

ASSE VIARIO MARCHE – UMBRIA E QUADRILATERO DI PENETRAZIONE INTERNA MAXI LOTTO 2

LAVORI DI COMPLETAMENTO DELLA DIRETTRICE PERUGIA ANCONA:
SS. 318 DI “VALFABBRICA”. TRATTO PIANELLO – VALFABBRICA
SS. 76 “VAL D’ESINO”. TRATTI FOSSATO VICO – CANCELLI E ALBACINA – SERRA SAN QUIRICO
“PEDEMONTANA DELLE MARCHE”, TRATTO FABRIANO – MUCCIA – SFERCIA

PERIZIA DI VARIANTE

<p>CONTRAENTE</p> 	<p>GENERALE: IL RESPONSABILE DEL CONTRAENTE GENERALE</p>	
<p>PROGETTAZIONE</p>  <p>IL PROGETTISTA <i>Dott. Ing. Salvatore Lieto</i></p>	<p>ASSISTENZA ALLA PROGETTAZIONE</p>  <p>IL PROGETTISTA <i>Ing. Valter Capata</i></p>	
<p>VISTO: IL RESPONSABILE DEL PROCEDIMENTO</p> <p>Ing. Iginio Farotti</p>	<p>IL COORDINATORE DELLA SICUREZZA IN FASE DI ESECUZIONE</p> <p>Ing. Vincenzo Pardo</p>	<p>IL DIRETTORE DEI LAVORI</p> <p>Ing. Peppino Marascio</p>

<p>2.1.3 PEDEMONTANA DELLE MARCHE 3° stralcio funzionale: Castelraimondo nord – Castelraimondo sud 4° stralcio funzionale: Castelraimondo sud – innesto S.S. 77 a Muccia</p> <p>OPERE D’ARTE MINORI Paratia con paramento sottoscarpa in DX da 8+895.00 a 9+005.00 Relazione tecnica e di calcolo</p>	<p>SCALA:</p> <hr/> <p>DATA:</p> <p><i>Luglio 2022</i></p>
---	--

Codice Unico di Progetto (CUP) F12C03000050021 (Assegnato CIPE 23-12-2015)

	Opera	Tratto	Settore	CEE	WBS	Id. doc.	N. prog.	Rev.
Codice Elaborato:	L 0 7 0 3	2 1 3	E	1 6	M U 0 0 2 9	R E L	0 1	D

REV.	DATA	DESCRIZIONE	Redatto		Controllato	Approvato
A	Settembre 2020	Emissione PE	PROGIN	M.Tartaglia	S.Lieto	A.Grimaldi
B	Maggio 2021	Emissione PED	SGS	C.Agostini	V. Capata	S.Lieto
C	Gennaio 2022	Emissione a seguito istruttoria ANAS del 22.12.2021	SGS	C.Agostini	V. Capata	S.Lieto
D	Luglio 2022	Emissione a seguito istruttoria ANAS del 18.07.2022	SGS	C.Agostini	V.Capata	S.Lieto

2.1.3 PEDEMONTANA DELLE MARCHE

3° stralcio funzionale: Castelraimondo nord – Castelraimondo sud

4° stralcio funzionale: Castelraimondo sud – innesto S.S. 77 a Muccia

Paratia di sottoscarpa con paramento in DX da 8+895 al km 9+005

Relazione tecnica e di calcolo

Opera L0703	Tratto 213	Settore E	CEE 16	WBS MU029	Id.doc REL	N.prog. 01	Rev. D	Pag.di Pag. 2 di 48
----------------	---------------	--------------	-----------	--------------	---------------	---------------	-----------	------------------------

1. GENERALITÀ	4
2. DOCUMENTI DI RIFERIMENTO	5
2.1 DOCUMENTI DI PROGETTO	5
2.2 NORMATIVE DI RIFERIMENTO	5
2.3 SOFTWARE	5
3. DESCRIZIONE DELL' OPERA	6
4. CARATTERISTICHE DEI MATERIALI	10
4.1 CALCESTRUZZO PER PALI E CORDOLO	10
4.2 CALCESTRUZZO PER PARAMENTO	10
4.3 ACCIAIO PER BARRE DI ARMATURA	11
5. MODELLO GEOTECNICO DI RIFERIMENTO	12
5.1 LIVELLO DELLA FALDA	12
5.2 CARATTERIZZAZIONE GEOTECNICA	12
6. CARATTERIZZAZIONE SISMICA	14
7. VERIFICHE GEOTECNICHE E STRUTTURALI	15
7.1 VERIFICHE GEOTECNICHE	15
7.1.1 STABILITA' GLOBALE	15
7.1.2 STABILITA' PARATIA	15
7.1.3 VERIFICA CAPACITA' PORTANTE PALI	15
7.2 VERIFICHE STRUTTURALI DELLE SEZIONI IN C.A.	16
7.2.1 STATO LIMITE ULTIMO	16
7.2.2 STATO LIMITE ESERCIZIO	17
8. STATI LIMITE E COMBINAZIONI DI CALCOLO	18
8.1 STATO LIMITE ULTIMO	18
8.2 STATO LIMITE ESERCIZIO	20
9. ANALISI DEI CARICHI	22
9.1 CARICHI PERMANENTI	22
9.2 CARICHI VARIABILI	22
9.3 AZIONE SISMICA	22
10. ANALISI E VERIFICHE	24
10.1 SEZIONI DI CALCOLO	24
10.2 RISULTATI DELLE ANALISI	26
10.2.1 Sollecitazioni nella paratia	26
10.2.2 Verifica sulla spinta mobilitata al piede della paratia	28
10.2.3 Stima degli spostamenti della paratia	29
10.2.4 Stabilità globale	30
10.2.5 Verifica della capacità portante dei pali sottoposti alle azioni verticali	31
10.2.6 Verifiche strutturali dei pali	35
10.3 VERIFICHE STRUTTURALI DEL PARAMENTO	41
11. CONCLUSIONI	46



2.1.3 PEDEMONTANA DELLE MARCHE

3° stralcio funzionale: Castelraimondo nord – Castelraimondo sud

4° stralcio funzionale: Castelraimondo sud – innesto S.S. 77 a Muccia

Paratia di sottoscarpa con paramento in DX da 8+895 al km 9+005

Relazione tecnica e di calcolo

Opera L0703	Tratto 213	Settore E	CEE 16	WBS MU029	Id.doc REL	N.prog. 01	Rev. D	Pag.di Pag. 3 di 48
----------------	---------------	--------------	-----------	--------------	---------------	---------------	-----------	------------------------

APPENDICE A..... 47

APPENDICE B..... 48



2.1.3 PEDEMONTANA DELLE MARCHE

3° stralcio funzionale: Castelraimondo nord – Castelraimondo sud

4° stralcio funzionale: Castelraimondo sud – innesto S.S. 77 a Muccia

Paratia di sottoscarpa con paramento in DX da 8+895 al km 9+005

Relazione tecnica e di calcolo

Opera L0703	Tratto 213	Settore E	CEE 16	WBS MU029	Id.doc REL	N.prog. 01	Rev. D	Pag.di Pag. 4 di 48
----------------	---------------	--------------	-----------	--------------	---------------	---------------	-----------	------------------------

1. GENERALITÀ

Il presente documento costituisce la relazione di calcolo del Progetto Esecutivo di Dettaglio (PED) delle opere geotecniche di contenimento previste nell'ambito dei lavori di completamento degli stralci funzionale 3-4 del tratto della Pedemontana delle Marche.

La redazione del Progetto Esecutivo di Dettaglio ha lo scopo di ottimizzare, laddove possibile, le opere geotecniche oggetto del Progetto Esecutivo. A tal fine, sono state prese a riferimento per la ottimizzazione le valutazioni e le caratterizzazioni idrogeologiche, geotecniche e sismiche dei siti in esame presenti nel Progetto Esecutivo.

I calcoli e le verifiche di sicurezza sono stati invece adattati alle nuove soluzioni progettuali proposte in conformità alle norme NTC 2008.

2.1.3 PEDEMONTANA DELLE MARCHE**3° stralcio funzionale: Castelraimondo nord – Castelraimondo sud****4° stralcio funzionale: Castelraimondo sud – innesto S.S. 77 a Muccia**

Paratia di sottoscarpa con paramento in DX da 8+895 al km 9+005

Relazione tecnica e di calcolo

Opera L0703	Tratto 213	Settore E	CEE 16	WBS MU029	Id.doc REL	N.prog. 01	Rev. D	Pag.diPag. 5 di 48
----------------	---------------	--------------	-----------	--------------	---------------	---------------	-----------	-----------------------

2. DOCUMENTI DI RIFERIMENTO

Nella redazione del progetto esecutivo di dettaglio si è fatto riferimento ai seguenti documenti.

2.1 DOCUMENTI DI PROGETTO

- L0703213E01000000REL01D - Relazione tecnica generale
- L0703213E02GE0000REL01C - Relazione geologica, geomorfologica e geoidrologica generale
- L03213E02GE0001REL01D - Relazione geotecnica generale sulle opere all'aperto e gallerie artificiali
- L0703213E04000000REL01D - Relazione sismica
- L0703213E02GE0000PRF05C – Profilo geologico
- L0703213E02GE0001PRF05D – Profilo geotecnico

2.2 NORMATIVE DI RIFERIMENTO

Nella redazione del progetto esecutivo si è fatto riferimento ai seguenti documenti normativi.

- D.M. 14/01/2008 *“Norme tecniche per le costruzioni” (NTC08)*.
- Circolare del 02/02/2009. *Istruzioni per l'applicazione delle “Norme tecniche per le costruzioni” di cui al D.M. del 14/01/2008.*
- UNI EN1990 *EUROCODICE 0 – Criteri generali di progettazione strutturale.*
- UNI EN1991 *EUROCODICE 1 – Azioni sulle strutture*
- UNI EN1992-1-1 *EUROCODICE 2, parte 1-1 Progettazione delle strutture in calcestruzzo. Parte 1-1: Regole generali e regole per gli edifici.*
- UNI EN 1997-1. *EUROCODICE 7, parte 1. Progettazione geotecnica. Parte 1: Regole generali*
- UNI EN 1998-5. *EUROCODICE 8, parte 5. Progettazione delle strutture per la resistenza sismica. Parte 5: Fondazioni, strutture di contenimento ed aspetti geotecnici.*

2.3 SOFTWARE

RC-Sec (GeoStru – 2021) - www.geostru.eu

PARATIE PLUS – versione 2021 – Harpaceas – www.harpaceas.it

Opera	Tratto	Settore	CEE	WBS	Id.doc	N.prog.	Rev.	Pag.di Pag.
L0703	213	E	16	MU029	REL	01	D	6 di 48

3. DESCRIZIONE DELL' OPERA

Le analisi e verifiche nel seguito esposte fanno in particolare riferimento all' opera di sostegno MU29 situata in DX dell'asse stradale, dal km 8+895 al km 9+005, per uno sviluppo totale di circa 10m.

Nell'ambito del Progetto Esecutivo di Dettaglio (PED), l'ottimizzazione dell'opera in oggetto prevede la realizzazione di muri di sostegno su paratia di pali $\phi 1500$, ad interasse 1.7 m, ed il prolungamento della scarpata costituente il rilevato stradale siano alle quote del piano campagna. I tratti di applicazione dei due tipi di intervento dipendono dall'altezza del paramento del muro e, quindi, della scarpata a tergo da sostenere.

In Figura 1, Figura 2, Figura 3 e Figura 4 sono rappresentate pianta, profilo e sezioni tipo dell'opera rispettivamente.

Per ulteriori dettagli agli elaborati grafici di riferimento.

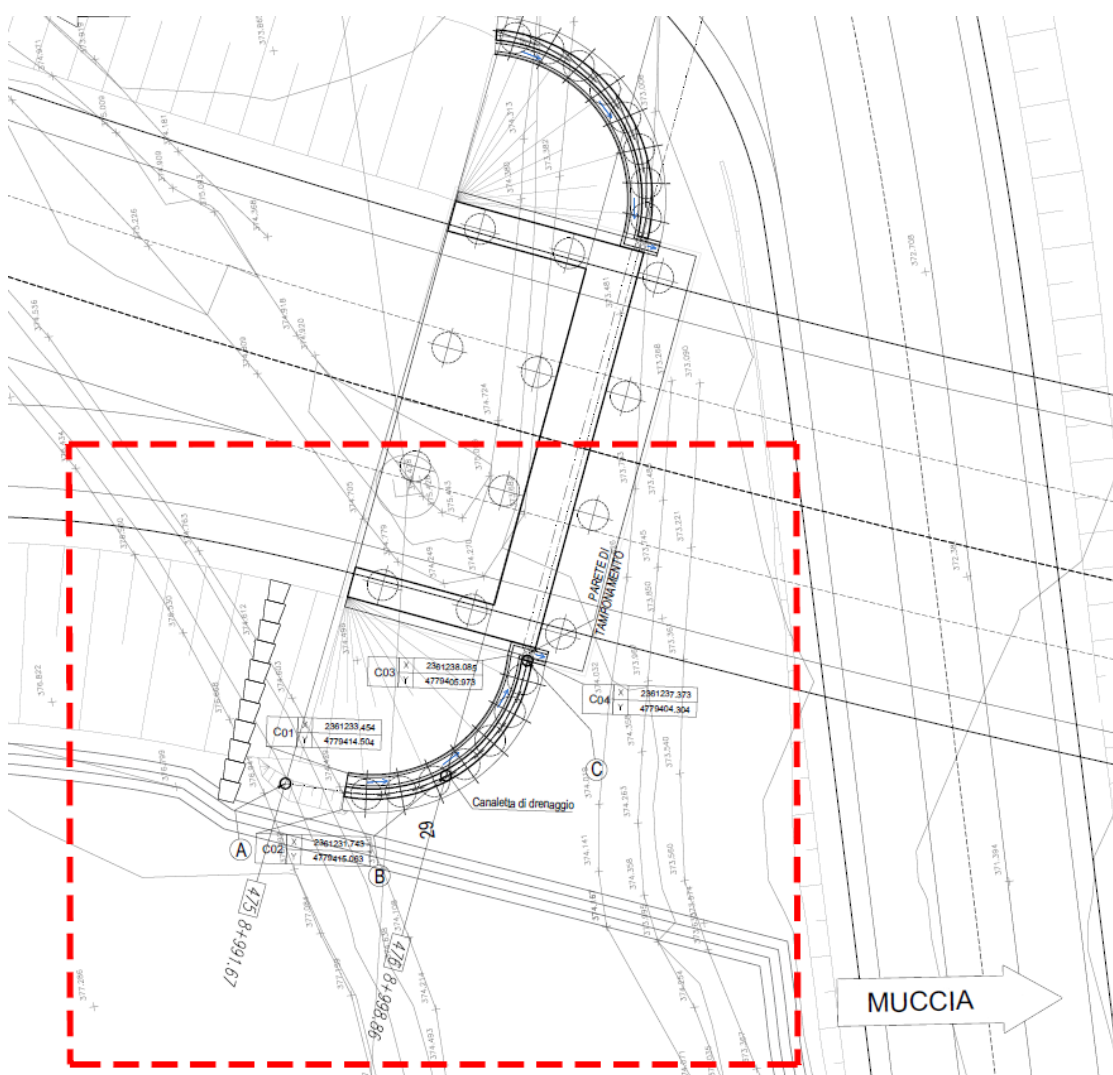


Figura 1 – Pianta dell'intervento

2.1.3 PEDEMONTANA DELLE MARCHE

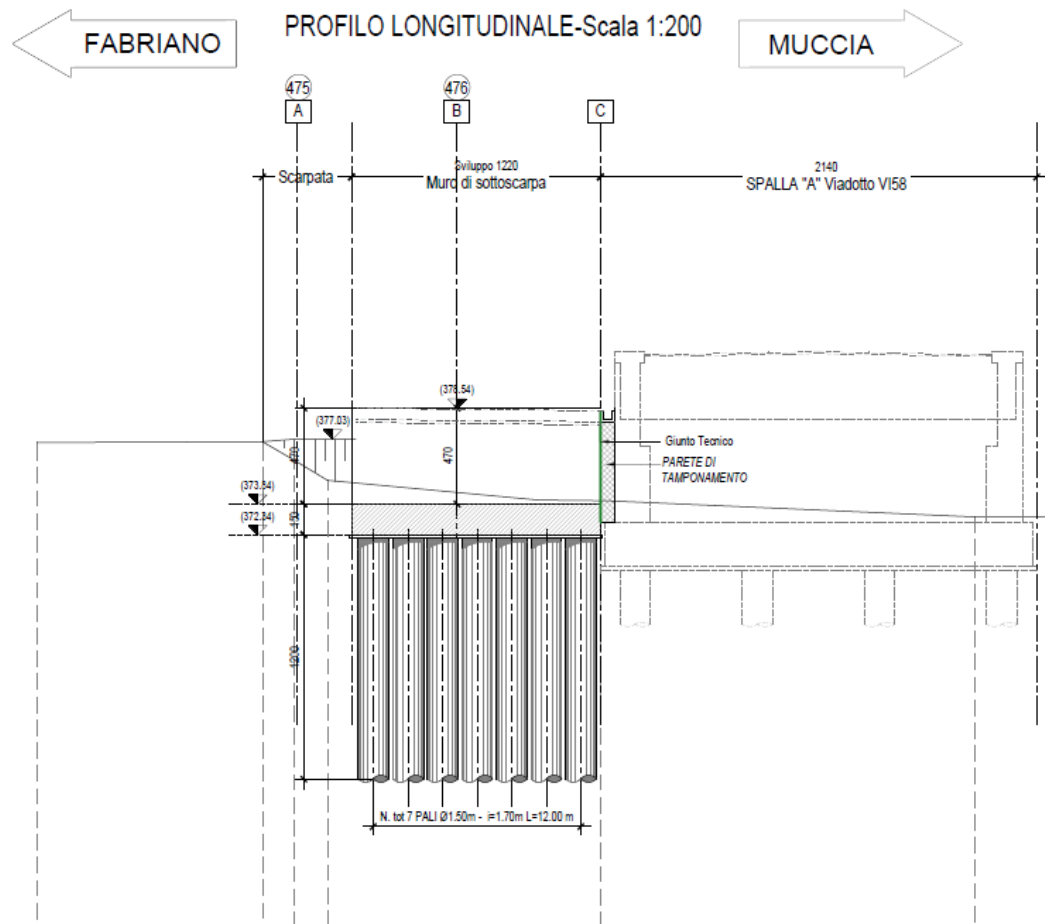
3° stralcio funzionale: Castelraimondo nord – Castelraimondo sud

4° stralcio funzionale: Castelraimondo sud – innesto S.S. 77 a Muccia

Paratia di sottscarpa con paramento in DX da 8+895 al km 9+005

Relazione tecnica e di calcolo

Opera	Tratto	Settore	CEE	WBS	Id.doc.	N.prog.	Rev.	Pag.di Pag.
L0703	213	E	16	MU029	REL	01	D	7 di 48



MU29

Figura 2 – Profilo longitudinale dell'intervento

2.1.3 PEDEMONTANA DELLE MARCHE

3° stralcio funzionale: Castelraimondo nord – Castelraimondo sud

4° stralcio funzionale: Castelraimondo sud – innesto S.S. 77 a Muccia

Paratia di sottoscarpa con paramento in DX da 8+895 al km 9+005

Relazione tecnica e di calcolo

Opera	Tratto	Settore	CEE	WBS	Id.doc.	N.prog.	Rev.	Pag.di Pag.
L0703	213	E	16	MU029	REL	01	D	8 di 48

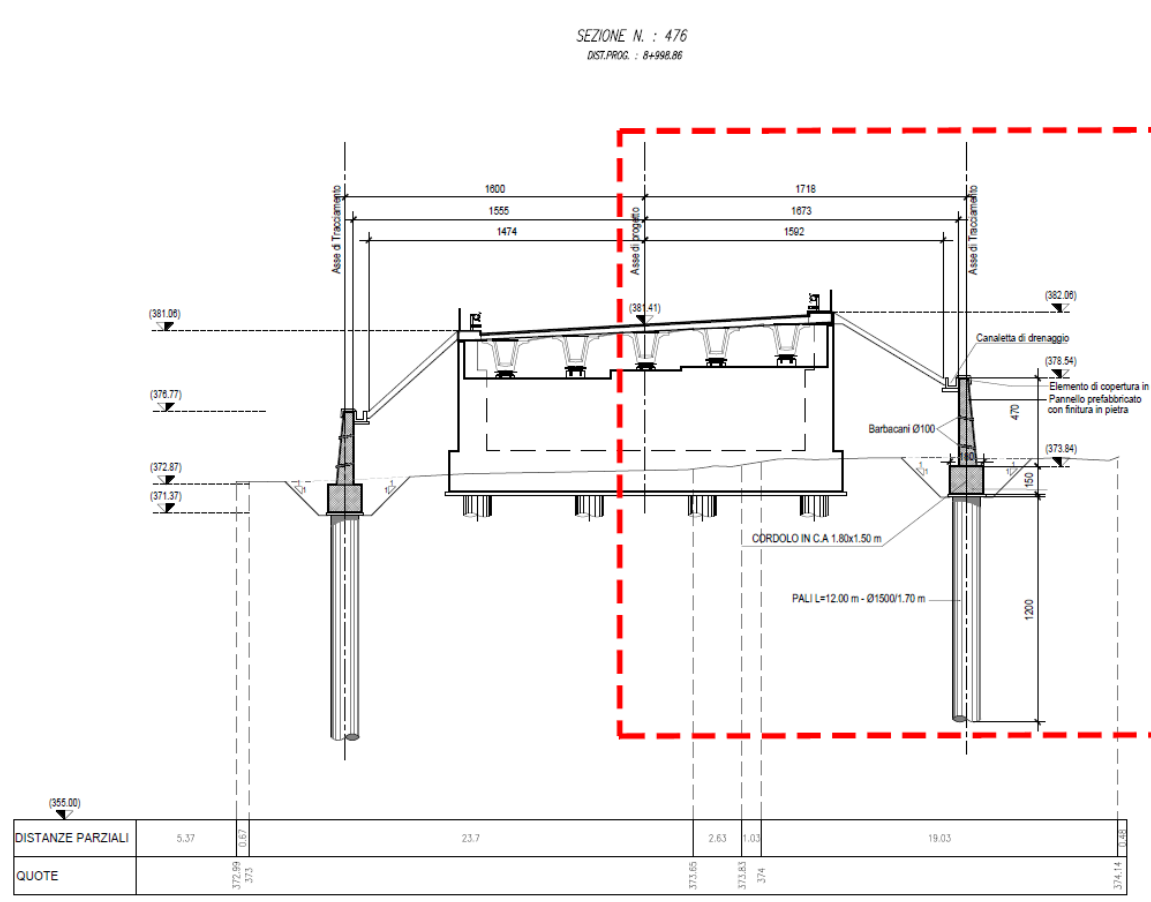


Figura 3 - Sezione tipo paratia

2.1.3 PEDEMONTANA DELLE MARCHE

3° stralcio funzionale: Castelraimondo nord – Castelraimondo sud

4° stralcio funzionale: Castelraimondo sud – innesto S.S. 77 a Muccia

Paratia di sottoscarpa con paramento in DX da 8+895 al km 9+005

Relazione tecnica e di calcolo

Opera	Tratto	Settore	CEE	WBS	Id.doc.	N.prog.	Rev.	Pag.di Pag.
L0703	213	E	16	MU029	REL	01	D	9 di 48

SEZIONE N. : 475
DIST.PROG. : 8+991.67

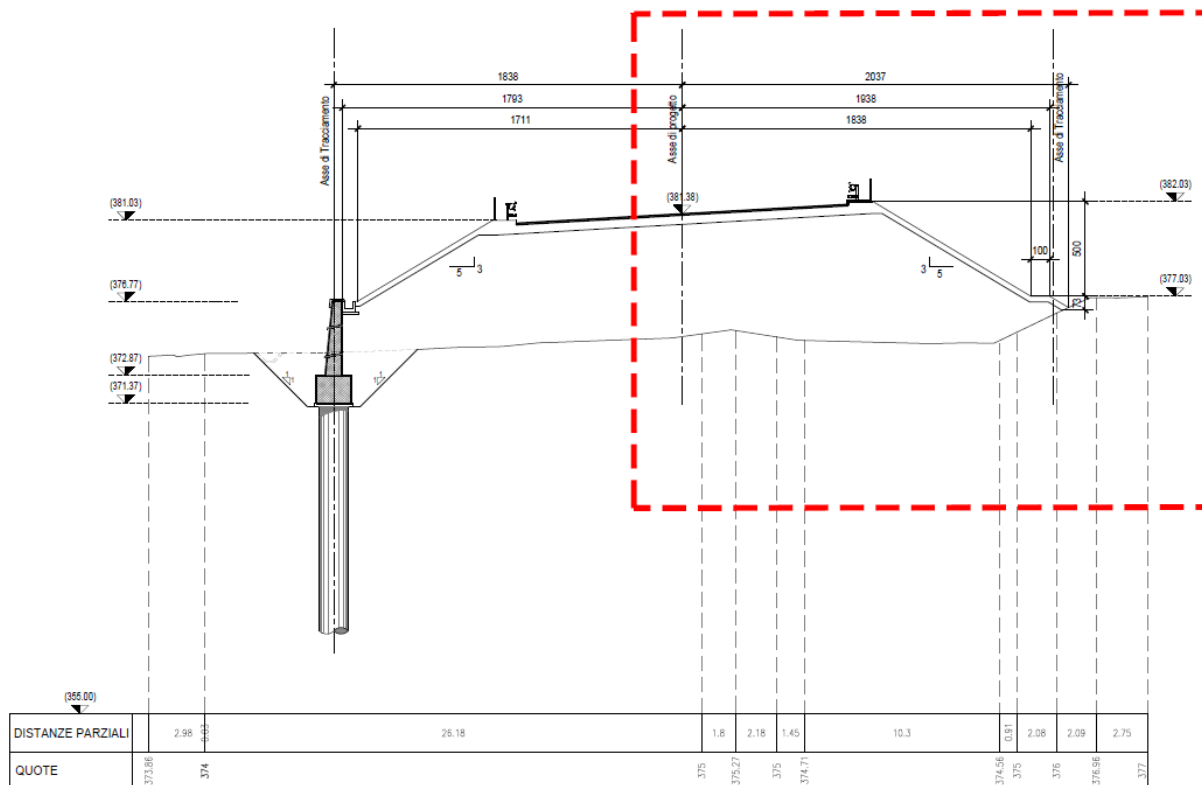


Figura 4 – Sezione tipo scarpata

2.1.3 PEDEMONTANA DELLE MARCHE

3° stralcio funzionale: Castelraimondo nord – Castelraimondo sud

4° stralcio funzionale: Castelraimondo sud – innesto S.S. 77 a Muccia

Paratia di sottoscarpa con paramento in DX da 8+895 al km 9+005

Relazione tecnica e di calcolo

Opera L0703	Tratto 213	Settore E	CEE 16	WBS MU029	Id.doc REL	N.prog. 01	Rev. D	Pag.di Pag. 10 di 48
----------------	---------------	--------------	-----------	--------------	---------------	---------------	-----------	-------------------------

4. CARATTERISTICHE DEI MATERIALI

4.1 CALCESTRUZZO PER PALI E CORDOLO

Per i getti in opera è stato considerato un calcestruzzo di classe C32/40 ($R_{ck}=40\text{MPa}$ a 28 gg), le cui proprietà meccaniche sono:

- Resistenza caratteristica cubica a compressione 28 gg: $R_{ck} = 40 \text{ MPa}$
- Resistenza caratteristica cilindrica a compressione 28 gg $f_{ck} = 0.83 \cdot R_{ck} = 32 \text{ MPa}$
- Resistenza media cilindrica a compressione: $f_{cm} = f_{ck} + 8 = 40 \text{ MPa}$
- Resistenza media a trazione semplice (assiale): $f_{ctm} = 0.3 \cdot f_{ck}^{2/3} = 3.02 \text{ Mpa}$
- Resistenza caratteristica corrispondente al frattile 5%: $f_{ctk,0.05} = 0.7 \cdot f_{ctm} = 2.12 \text{ MPa}$
- Modulo elastico $E_{cm} = 22 \cdot (f_{cm}/10)^{0.3} = 33 \text{ GPa}$
- Rapporto massimo acqua/cemento: $A/C \leq 0.50$
- Classe di esposizione ambientale: $XA2$

I valori delle resistenze di progetto sono ottenuti applicando i seguenti fattori di sicurezza:

- Coefficiente parziale di sicurezza relativo al calcestruzzo: $\gamma_c = 1.5$
- Coefficiente riduttivo per la resistenza di lunga durata: $\alpha_{cc} = 0.85$

Resistenza di progetto allo SLU

- Resistenza di calcolo a compressione: $f_{cd} = \alpha_{cc} \cdot f_{ck} / \gamma_c = 18.1 \text{ MPa}$
- Resistenza di calcolo a trazione: $f_{ctd} = f_{ctk,0.05} / \gamma_c = 1.41 \text{ MPa}$

Resistenza di progetto allo SLE

- Tensione limite in comb. caratteristica (rara) $\sigma_{c,r} = 0.6 \cdot f_{ck} = 19.2 \text{ MPa}$
- Tensione limite in comb. quasi permanente $\sigma_{c,qp} = 0.45 \cdot f_{ck} = 14.4 \text{ MPa}$
- Tensione limite fessurazione (trazione) $\sigma_t = f_{ctm} / 1.2 = 2.52 \text{ Mpa}$

4.2 CALCESTRUZZO PER PARAMENTO

Per i getti in opera è stato considerato un calcestruzzo di classe C25/30 ($R_{ck}=30\text{MPa}$ a 28 gg), le cui proprietà meccaniche sono:

- Resistenza caratteristica cubica a compressione 28 gg: $R_{ck} = 30 \text{ MPa}$
- Resistenza caratteristica cilindrica a compressione 28 gg $f_{ck} = 0.83 \cdot R_{ck} = 25 \text{ MPa}$
- Resistenza media cilindrica a compressione: $f_{cm} = f_{ck} + 8 = 32.9 \text{ MPa}$
- Resistenza media a trazione semplice (assiale): $f_{ctm} = 0.3 \cdot f_{ck}^{2/3} = 2.56 \text{ MPa}$
- Resistenza caratteristica corrispondente al frattile 5%: $f_{ctk,0.05} = 0.7 \cdot f_{ctm} = 1.79 \text{ MPa}$
- Modulo elastico $E_{cm} = 22 \cdot (f_{cm}/10)^{0.3} = 31447 \text{ MPa}$
- Rapporto massimo acqua/cemento: $A/C \leq 0.50$
- Classe di esposizione ambientale: $XC2$

2.1.3 PEDEMONTANA DELLE MARCHE

3° stralcio funzionale: Castelraimondo nord – Castelraimondo sud

4° stralcio funzionale: Castelraimondo sud – innesto S.S. 77 a Muccia

Paratia di sottoscarpa con paramento in DX da 8+895 al km 9+005

Relazione tecnica e di calcolo

Opera L0703	Tratto 213	Settore E	CEE 16	WBS MU029	Id.doc REL	N.prog. 01	Rev. D	Pag.di Pag. 11 di 48
----------------	---------------	--------------	-----------	--------------	---------------	---------------	-----------	-------------------------

I valori delle resistenze di progetto sono ottenuti applicando i seguenti fattori di sicurezza:

- Coefficiente parziale di sicurezza relativo al calcestruzzo: $\gamma_c = 1.5$
- Coefficiente riduttivo per la resistenza di lunga durata: $\alpha_{cc} = 0.85$

Resistenza di progetto allo SLU

- Resistenza di calcolo a compressione: $f_{cd} = \alpha_{cc} \cdot f_{ck} / \gamma_c = 14.1 \text{ MPa}$
- Resistenza di calcolo a trazione: $f_{ctd} = f_{ctk,0.05} / \gamma_c = 1.19 \text{ MPa}$

Resistenza di progetto allo SLE

- Tensione limite in comb. caratteristica (rara) $\sigma_{c,r} = 0.6 \cdot f_{ck} = 14.9 \text{ MPa}$
- Tensione limite in comb. quasi permanente $\sigma_{c,qp} = 0.45 \cdot f_{ck} = 11.2 \text{ MPa}$
- Tensione limite fessurazione (trazione) $\sigma_t = f_{ctm} / 1.2 = 2.13 \text{ MPa}$

4.3 ACCIAIO PER BARRE DI ARMATURA

Per le barre di armatura è stato considerato un acciaio del tipo B450C, le cui caratteristiche di resistenza sono:

- Tensione caratteristica di snervamento: $f_{yk} \geq 450 \text{ MPa}$
- Tensione caratteristica di rottura: $f_{tk} \geq 540 \text{ MPa}$
- Rapporto $(f_t/f_y)_k$: $1.15 \leq (f_t/f_y)_k < 1.35$
- Limite sup. resistenza caratteristica di snervamento: $f_{yk}/(450\text{MPa}) \leq 1.25$
- Allungamento: $(A_{gt})_k \geq 7.5\%$

Il valore della resistenza di progetto è ottenuto applicando un fattore di sicurezza pari a:

- Coefficiente parziale di sicurezza relativo all'acciaio: $\gamma_s = 1.15$

Resistenza di progetto allo SLU

- Resistenza di calcolo dell'acciaio: $f_{yd} = f_{yk} / \gamma_s = 450 / 1.15 = 391 \text{ MPa}$

Resistenza di progetto allo SLE

- Tensione massima acciaio $\sigma_s = 0.8 f_{yk} = 360 \text{ MPa}$

2.1.3 PEDEMONTANA DELLE MARCHE

3° stralcio funzionale: Castelraimondo nord – Castelraimondo sud

4° stralcio funzionale: Castelraimondo sud – innesto S.S. 77 a Muccia

Paratia di sottoscarpa con paramento in DX da 8+895 al km 9+005

Relazione tecnica e di calcolo

Opera L0703	Tratto 213	Settore E	CEE 16	WBS MU029	Id.doc REL	N.prog. 01	Rev. D	Pag.di Pag. 12 di 48
----------------	---------------	--------------	-----------	--------------	---------------	---------------	-----------	-------------------------

5. MODELLO GEOTECNICO DI RIFERIMENTO

Nel presente paragrafo si riporta la caratterizzazione geotecnica specifica per l'opera in esame. Per dettagli si rimanda alla Relazione Geotecnica Generale. Si sottolinea, comunque, che mediamente il profilo stratigrafico presenta uno strato superficiale, di spessore massimo pari a 11.2m circa, costituito da depositi alluvionali limoso argillosi. Al di sotto di tale strato è presente una fascia, di spessore ridotto, di terreni argillosi/marnosi che sovrasta la formazione di base (Formazione dello Schlier) costituita da alternanze di marne argillose, siltose e con intercalazioni di calcare detritico e calcareniti.

Analizzando il profilo geologico geotecnico, con riferimento ai tratti di ubicazione dell'opera di sostegno oggetto di dimensionamento, è possibile dunque assumere cautelativamente, la seguente configurazione stratigrafica:

Tabella 1 - Stratigrafia di riferimento OS9

Unità geotecnica	Profondità dal piano campagna [m da p.c.]	Descrizione
Ala	0 ÷ 11.2	Depositi alluvionali limoso argillosi
Salt	11.2 ÷ 13	Substrato alternato argilloso/marnoso
Sch	>13	Formazione dello Schlier

5.1 LIVELLO DELLA FALDA

La falda è riscontrata a profondità variabili. Nelle analisi si assume cautelativamente un livello di falda prossima ad una profondità di 4.8 metri dal piano campagna.

5.2 CARATTERIZZAZIONE GEOTECNICA

I parametri geotecnici considerati per l'opera in esame sono riportati nella seguente tabella e fanno riferimento alla caratterizzazione presentata in relazione L03213E02GE0001RELO1D.

Nella tabella seguente sono riassunti i parametri geotecnici utilizzati nelle analisi.

Tabella 2 - Parametri geotecnici terreno in sito

Unità	γ [kN/m ³]	ϕ' [°]	c' [kPa]	E [MPa]	ν [-]
Ala	19.5	25	0	35	0.2
Salt	20.25	26	10	200	0.2
Sch	23	31	55	135	0.2

Per il rilevato a tergo del paramento vengono assunti i seguenti parametri caratteristici:

2.1.3 PEDEMONTANA DELLE MARCHE

3° stralcio funzionale: Castelraimondo nord – Castelraimondo sud

4° stralcio funzionale: Castelraimondo sud – innesto S.S. 77 a Muccia

Paratia di sottoscarpa con paramento in DX da 8+895 al km 9+005

Relazione tecnica e di calcolo

Opera L0703	Tratto 213	Settore E	CEE 16	WBS MU029	Id.doc REL	N.prog. 01	Rev. D	Pag.di Pag. 13 di 48
----------------	---------------	--------------	-----------	--------------	---------------	---------------	-----------	-------------------------

Tabella 3 –Parametri geotecnici rilevato

Unità	γ [kN/m ³]	φ' [°]	c' [kPa]
Rilevato	20	35	0

γ = peso dell'unità di volume

φ' = angolo di resistenza al taglio

c' = coesione drenata

E = modulo elastico

ν = Modulo poisson

2.1.3 PEDEMONTANA DELLE MARCHE

3° stralcio funzionale: Castelraimondo nord – Castelraimondo sud

4° stralcio funzionale: Castelraimondo sud – innesto S.S. 77 a Muccia

Paratia di sottoscarpa con paramento in DX da 8+895 al km 9+005

Relazione tecnica e di calcolo

Opera L0703	Tratto 213	Settore E	CEE 16	WBS MU029	Id.doc REL	N.prog. 01	Rev. D	Pag.di Pag. 14 di 48
----------------	---------------	--------------	-----------	--------------	---------------	---------------	-----------	-------------------------

6. CARATTERIZZAZIONE SISMICA

Per la caratterizzazione sismica del sito si rimanda alle considerazioni presenti nella relazione sismica (L0703213E04000000REL01D).

Di seguito si riportano i parametri di progetto adottati per le verifiche della stabilità dell'opera in caso di azione sismica.

Tabella 4 – Periodo di riferimento azione sismica

Vita nominale V_N	Classe d'uso	Coefficiente d'uso	Periodo di riferimento V_R
50	III	1.5	75

Tabella 5 - Accelerazione (a_g), fattore (F_0) e periodo (T^*_c)

V_R [anni]	Stato Limite	PV_R -	T_R [anni]	a_g [g]	F_0 [-]	T_c [s]
75	SLO	81%	45	0.078	2.440	0.285
	SLD	63%	75	0.097	2.433	0.295
	SLV	10%	712	0.220	2.544	0.333
	SLC	5%	1462	0.277	2.584	0.343

Lo spettro di risposta elastico per la descrizione della componente orizzontale del moto sismico è infine costruito a partire dai parametri seguenti.

Tabella 6 – Caratterizzazione sito

Categoria di sottosuolo	Categoria topografica	S_s , fattore stratigrafico	S_t , fattore topografico
C	T1	1.365	1.0

7. VERIFICHE GEOTECNICHE E STRUTTURALI

Di seguito si riassumono le verifiche condotte per la stabilità globale dell'opera in esame e le verifiche strutturali della paratia.

7.1 VERIFICHE GEOTECNICHE

7.1.1 STABILITA' GLOBALE

La verifica di stabilità globale del complesso opera di sostegno-terrapieno è condotta mediante l'ausilio del programma di calcolo SLOPE STABILITY ANALYSIS di Geostru.

Per la verifica si fa riferimento al metodo dell'equilibrio limite di Bishop.

Per ulteriori approfondimenti teorici sul metodo di calcolo si rimanda al capitolo 10 della relazione geotecnica generale (L0703213E02GE0001REL01D).

7.1.2 STABILITA' PARATIA

La verifica di stabilità dell'opera di sostegno è condotta mediante l'ausilio del programma PARATIE PLUS.

7.1.3 VERIFICA CAPACITA' PORTANTE PALI

Le verifiche di capacità portante dei pali vengono svolte secondo la metodologia degli stati limite ultimi, in accordo alla normativa vigente (DM 14/01/2008. "Norme tecniche per le costruzioni"). La verifica della capacità portante dei pali è soddisfatta se:

$$F_{cd} < R_{cd}$$

essendo

$$R_{cd} = R_k / \gamma_R$$

dove:

F_{cd} = carico assiale di compressione di progetto;

R_{cd} = capacità portante di progetto nei confronti dei carichi assiali;

R_k = valore caratteristico della capacità portante limite del palo.

La portata di progetto di un palo trivellato (eseguito con completa asportazione del terreno) "Qd" può essere espressa dalla seguente relazione:

$$Q_d = \frac{Q_{ll}}{F_{SL}} + \frac{Q_{bl}}{F_{SB}} - W'p$$

dove:

Q_{ll} = portata laterale limite,

Q_{bl} = portata di base limite,

$W'p$ = peso efficace del palo (al netto del peso del terreno asportato: peso calcestruzzo-peso terreno),

2.1.3 PEDEMONTANA DELLE MARCHE

3° stralcio funzionale: Castelraimondo nord – Castelraimondo sud

4° stralcio funzionale: Castelraimondo sud – innesto S.S. 77 a Muccia

Paratia di sottoscarpa con paramento in DX da 8+895 al km 9+005

Relazione tecnica e di calcolo

Opera L0703	Tratto 213	Settore E	CEE 16	WBS MU029	Id.doc REL	N.prog. 01	Rev. D	Pag.di Pag. 16 di 48
----------------	---------------	--------------	-----------	--------------	---------------	---------------	-----------	-------------------------

FSL = fattore di sicurezza per la portata laterale a compressione ($=\xi_3 \cdot Y_s$).

FSB = fattore di sicurezza per la portata di base ($=\xi_3 \cdot Y_b$).

Portata laterale

La portata laterale limite viene valutata con la seguente relazione:

$$Q_{Li} = \pi \cdot D \cdot \sum_i (\tau_i \cdot h_i)$$

dove:

D = diametro palo,

τ_i = tensione di adesione laterale limite nello strato i-esimo,

h_i = altezza dello strato i-esimo.

La tensione tangenziale ultima lungo il fusto del palo, in accordo ad esempio a Burland [1973], Reese & O'Neill [1988], Chen & Kulhawy [1994], O'Neill & Hassan [1994], può essere valutata con riferimento alla seguente espressione:

$$\tau_i = \beta \cdot \sigma_v' \leq \tau_{l, max}$$

dove:

σ_v' = tensione verticale efficace litostatica,

$\tau_{l, max}$ = valore massimo dell'adesione laterale limite palo-terreno (pari a 150 kPa per terreni incoerenti).

β = coefficiente empirico $\beta = k \cdot \tan \varphi$ essendo

k = coefficiente di pressione laterale = 0.6 a compressione e 0.5 a trazione;

φ = angolo di resistenza al taglio.

7.2 VERIFICHE STRUTTURALI DELLE SEZIONI IN C.A.

Le verifiche delle sezioni in c.a. dei pali della paratia sono state condotte per mezzo del codice RC-Sec (GeoStru – 2021). Le sollecitazioni sulla paratia sono ricavate, in condizioni SLE, SLU ed SLV, dal calcolo svolto con il codice Paratie plus.

7.2.1 STATO LIMITE ULTIMO

La determinazione della capacità resistente della sezione del palo viene effettuata con i criteri di cui al punto 4.1.2.3 delle NTC08 per le seguenti sollecitazioni:

- Pressoflessione (rif. formule al punto 4.1.2.1.2.4 delle NTC 2008);
- Taglio per elementi con armature trasversali (rif. formule al punto 4.1.2.1.3 delle NTC 2008).

2.1.3 PEDEMONTANA DELLE MARCHE

3° stralcio funzionale: Castelraimondo nord – Castelraimondo sud

4° stralcio funzionale: Castelraimondo sud – innesto S.S. 77 a Muccia

Paratia di sottoscarpa con paramento in DX da 8+895 al km 9+005

Relazione tecnica e di calcolo

Opera L0703	Tratto 213	Settore E	CEE 16	WBS MU029	Id.doc REL	N.prog. 01	Rev. D	Pag.diPag. 17 di 48
----------------	---------------	--------------	-----------	--------------	---------------	---------------	-----------	------------------------

7.2.2 STATO LIMITE ESERCIZIO

La verifica nei confronti degli Stati limite di esercizio, consiste nel controllare, con riferimento alle Combinazioni di Calcolo allo SLE, il tasso di Lavoro nei materiali e l'ampiezza delle fessure nel calcestruzzo attesa, secondo quanto di seguito specificato:

- Verifica delle tensioni nel calcestruzzo e acciaio sotto combinazione di carico quasi permanente e rara (ref. punto 4.1.2.2.4.1 delle NTC 2008)

$$\sigma_{c,r} = 0.6 \cdot f_{ck} = 19.2 \text{ MPa} \quad \text{tensione limite calcestruzzo in comb. rara}$$

$$\sigma_{c,qp} = 0.45 \cdot f_{ck} = 14.4 \text{ MPa} \quad \text{tensione limite calcestruzzo in comb. qp}$$

$$\sigma_s = 0.8 f_{yk} = 360 \text{ MPa} \quad \text{tensione limite acciaio}$$

- Verifica a fessurazione calcestruzzo sotto combinazione di carico frequente e combinazione quasi permanente (ref. punto 4.1.2.2.4.2 e Tab. 4.1.IV delle NTC 2008)

Condizioni Ambientali: Ordinarie

Armature: Poco Sensibili

$w < 0.2 \text{ mm}$ combinazione Quasi permanente

$w < 0.3 \text{ mm}$ combinazione frequente

2.1.3 PEDEMONTANA DELLE MARCHE**3° stralcio funzionale: Castelraimondo nord – Castelraimondo sud****4° stralcio funzionale: Castelraimondo sud – innesto S.S. 77 a Muccia**

Paratia di sottoscarpa con paramento in DX da 8+895 al km 9+005

Relazione tecnica e di calcolo

Opera L0703	Tratto 213	Settore E	CEE 16	WBS MU029	Id.doc REL	N.prog. 01	Rev. D	Pag.di Pag. 18 di 48
----------------	---------------	--------------	-----------	--------------	---------------	---------------	-----------	-------------------------

8. STATI LIMITE E COMBINAZIONI DI CALCOLO

8.1 STATO LIMITE ULTIMO

Per le opere in materiali sciolti, come i rilevati, devono essere effettuate le verifiche con riferimento almeno ai seguenti stati limite:

- SLU di tipo geotecnico (GEO) e di equilibrio di corpo rigido per la verifica della stabilità globale e locale dell'opera di sostegno

Per quanto riguarda l'opera di stabilizzazione, costituita da una paratia di pali, si effettuano le verifiche con riferimento ai seguenti stati limite:

- SLU di tipo strutturale (STR) per il raggiungimento della resistenza negli elementi strutturali

Secondo quanto riportato in normativa DM 14-01-2008, la verifica di stabilità globale dell'insieme terreno-opera deve essere effettuata secondo l'Approccio 1:

- Combinazione 2: (A2+M2+R2)

Le rimanenti verifiche devono essere effettuate secondo almeno uno dei seguenti approcci:

Approccio 1:

- Combinazione 1: (A1+M1+R1)
- Combinazione 2: (A2+M2+R2) *

*Per la verifica di portanza dei pali alle azioni verticali la combinazione 2 diventa:

$$(A2+M1+R2)$$

come riportato nella Circolare del 02/02/2009. Istruzioni per l'applicazione delle "Norme tecniche per le costruzioni" di cui al D.M. del 14/01/2008

Approccio 2:

$$(A1+M1+R3)$$

Per le paratie si deve considerare il solo Approccio 1.

La resistenza di progetto a compressione $R_{c,d}$ è calcolata applicando al valore caratteristico della resistenza $R_{c,k}$ i coefficienti parziali γ_R riportati in tabella seguente, relativi alla condizione di pali trivellati. Il valore caratteristico della resistenza $R_{c,k}$ a compressione è ottenuto applicando i fattori di correlazione ξ_3 e ξ_4 (vedasi tabella seguente) alle resistenze di calcolo R_{cal} ; tali fattori sono funzione del numero di verticali d'indagine rappresentative.

Per ogni opera verrà assunto un coefficiente ξ_3 in funzione delle verticali di indagine eseguite. Nella tabella si riassumono i fattori di sicurezza assunti per ciascuna opera d'arte principale.

2.1.3 PEDEMONTANA DELLE MARCHE

3° stralcio funzionale: Castelraimondo nord – Castelraimondo sud

4° stralcio funzionale: Castelraimondo sud – innesto S.S. 77 a Muccia

Paratia di sottoscarpa con paramento in DX da 8+895 al km 9+005

Relazione tecnica e di calcolo

Opera L0703	Tratto 213	Settore E	CEE 16	WBS MU029	Id.doc REL	N.prog. 01	Rev. D	Pag.di Pag. 19 di 48
----------------	---------------	--------------	-----------	--------------	---------------	---------------	-----------	-------------------------

In condizioni sismiche le verifiche di capacità portante dei pali agli stati limite ultimi (SLU) vanno condotte con riferimento all'Approccio 2 (A1+M1+R3), tenendo conto dei coefficienti parziali riportati nella successiva tabella e ponendo i coefficienti parziali sulle azioni tutti pari all'unità.

Tabella 7 Coefficienti parziali γ_R da applicare alle resistenze caratteristiche

Resistenza	Simbolo	Pali infissi			Pali trivellati			Pali ad elica continua		
		(R1)	(R2)	(R3)	(R1)	(R2)	(R3)	(R1)	(R2)	(R3)
Base	γ_b	1,0	1,45	1,15	1,0	1,7	1,35	1,0	1,6	1,3
Laterale in compressione	γ_s	1,0	1,45	1,15	1,0	1,45	1,15	1,0	1,45	1,15
Totale (*)	γ_t	1,0	1,45	1,15	1,0	1,6	1,30	1,0	1,55	1,25
Laterale in trazione	γ_{st}	1,0	1,6	1,25	1,0	1,6	1,25	1,0	1,6	1,25

(*) da applicare alle resistenze caratteristiche dedotte dai risultati di prove di carico di progetto.

$$R_{c,k} = \text{Min} \left\{ \frac{(R_{c,cal})_{media}}{\xi_3}, \frac{(R_{c,cal})_{min}}{\xi_4} \right\}$$

$$R_{t,k} = \text{Min} \left\{ \frac{(R_{t,cal})_{media}}{\xi_3}, \frac{(R_{t,cal})_{min}}{\xi_4} \right\}$$

Tabella 8 Fattori di correlazione ξ per la determinazione della resistenza caratteristica in funzione del numero di verticali di indagine

Numero di verticali indagate	1	2	3	4	5	7	≥ 10
ξ_3	1,70	1,65	1,60	1,55	1,50	1,45	1,40
ξ_4	1,70	1,55	1,48	1,42	1,34	1,28	1,21

Lo stato limite di ribaltamento non prevede la mobilitazione della resistenza del terreno di fondazione e deve essere trattato come uno stato limite di equilibrio come corpo rigido (EQU), utilizzando i coefficienti parziali sulle azioni riportati in Tabella 8 ed adoperando i coefficienti parziali del gruppo (M") per il calcolo delle spinte.

I coefficienti per le azioni A, per i parametri geotecnici M e per le resistenze R sono riassunti nelle seguenti tabelle.

Tabella 9 – Coefficienti parziali per le azioni SLU

Carichi tipo	Effetto	Coefficiente parziale	A1	A2
Permanenti G1	Favorevole	γ_{G1}	1.0	1.0
	Sfavorevole		1.3	1.0
Permanenti non strutturali G2	Favorevole	γ_{G2}	0.8	0.8

2.1.3 PEDEMONTANA DELLE MARCHE

3° stralcio funzionale: Castelraimondo nord – Castelraimondo sud

4° stralcio funzionale: Castelraimondo sud – innesto S.S. 77 a Muccia

Paratia di sottoscarpa con paramento in DX da 8+895 al km 9+005

Relazione tecnica e di calcolo

Opera L0703	Tratto 213	Settore E	CEE 16	WBS MU029	Id.doc REL	N.prog. 01	Rev. D	Pag.di Pag. 20 di 48
----------------	---------------	--------------	-----------	--------------	---------------	---------------	-----------	-------------------------

	Sfavorevole		1.5	1.3
Variabili Q	Favorevole	γ_Q	0	0
	Sfavorevole		1.5	1.3

Tabella 10 – Coefficienti parziali per i parametri del terreno SLU

Carichi tipo	Coefficiente parziale	M1	M2
Tangente angolo resistenza al taglio	$\tan \phi'_k$	1.0	1.25
Coesione efficace	c'_k	1.0	1.25
Resistenza non drenata	c_{uk}	1.0	1.4
Peso unità di volume	γ	1.0	1.0

Tabella 11 – Coefficienti parziali resistenza R2 verifiche di opere in materiali sciolti e fronti di scavo

Verifica	R2
Stabilità globale	$\gamma_R = 1.1$

Tabella 12 – Coefficienti parziali resistenza γ_R per le STR e GEO di muri di sostegno

Verifica	R1	R2	R3
Capacità portante fondazione	$\gamma_R = 1.0$	$\gamma_R = 1.0$	$\gamma_R = 1.4$
Scorrimento	$\gamma_R = 1.0$	$\gamma_R = 1.0$	$\gamma_R = 1.1$
Resistenza terreno valle	$\gamma_R = 1.0$	$\gamma_R = 1.0$	$\gamma_R = 1.4$

In presenza di azioni sismiche, lo stato limite ultimo considerato comprende lo Stato Limite di Salvaguardia della Vita (SLV).

I coefficienti parziali sulle azioni e parametri geotecnici sono posti pari all'unità mentre i coefficienti parziali relativi alle resistenze risultano invariati rispetto a quelli considerati per le verifiche in condizioni statiche.

8.2 STATO LIMITE ESERCIZIO

Per le verifiche strutturali allo stato limite di esercizio seguenti coefficienti parziali per le azioni sono stati considerati:

2.1.3 PEDEMONTANA DELLE MARCHE

3° stralcio funzionale: Castelraimondo nord – Castelraimondo sud

4° stralcio funzionale: Castelraimondo sud – innesto S.S. 77 a Muccia

Paratia di sottoscarpa con paramento in DX da 8+895 al km 9+005

Relazione tecnica e di calcolo

Opera L0703	Tratto 213	Settore E	CEE 16	WBS MU029	Id.doc REL	N.prog. 01	Rev. D	Pag.di Pag. 21 di 48
----------------	---------------	--------------	-----------	--------------	---------------	---------------	-----------	-------------------------

Tabella 13 – Coefficienti parziali per le azioni SLS Freq. e QP

Carichi tipo	Effetto	γ	ψ
Permanenti G1	Sfavorevole	1.0	-
Permanenti G2	Sfavorevole	1.0	-
Variabili Q	Sfavorevole	1.0	-

Tabella 14 – Coefficienti parziali per le azioni SLS Rara

Carichi tipo	Effetto	γ	ψ
Permanenti G1	Sfavorevole	1.0	-
Permanenti G2	Sfavorevole	1.0	-
Traffico Q	Sfavorevole	1.0	0.75

Opera L0703	Tratto 213	Settore E	CEE 16	WBS MU029	Id.doc REL	N.prog. 01	Rev. D	Pag.di Pag. 22 di 48
----------------	---------------	--------------	-----------	--------------	---------------	---------------	-----------	-------------------------

9. ANALISI DEI CARICHI

9.1 CARICHI PERMANENTI

Per carichi permanenti si intendono le azioni associate ai pesi propri del palo, del terrapieno spingente e dell'acqua di falda, valutati in automatico dal Software di calcolo utilizzato.

9.2 CARICHI VARIABILI

Lo schema di carico da traffico veicolare considerato nelle analisi è un carico uniformemente distribuito di valore pari a 30kPa (nelle analisi relative al dimensionamento delle paratie è stato adottato cautelativamente un carico con distribuzione trapezia di valore minimo pari a 20 kPa e di valore massimo pari a 60 kPa).

9.3 AZIONE SISMICA

Per la valutazione degli effetti dell'azione sismica sulle masse e sui coefficienti di spinta del terreno, si è fatto riferimento al metodo pseudo-statico previsto al punto 7.11.3.5.2 - "Metodi di Analisi" - delle NTC2008 secondo il quale, nelle verifiche allo stato limite ultimo, i valori dei coefficienti sismici orizzontale k_h e verticale k_v possono essere valutati mediante le seguenti espressioni:

$$k_h = \beta_s \cdot \frac{a_{max}}{g}$$

$$k_v = \pm 0.5 \cdot k_h$$

dove

a_{max} = accelerazione orizzontale massima attesa al sito

g = accelerazione di gravità.

In assenza di analisi specifiche della risposta sismica locale, l'accelerazione massima può essere valutata con la relazione:

$$a_{max} = S \cdot a_g = S_s \cdot S_t \cdot a_g$$

dove

S = coefficiente che comprende l'effetto dell'amplificazione stratigrafica (S_s) e dell'amplificazione topografica (S_t).

a_g = accelerazione orizzontale massima attesa su sito di riferimento rigido.

Di seguito sono riportati i valori di β_s e β_m considerati per i fronti di scavo (utilizzati nelle analisi globali), e per le paratie, in accordo a quanto indicato nella NTC2008.

2.1.3 PEDEMONTANA DELLE MARCHE

3° stralcio funzionale: Castelraimondo nord – Castelraimondo sud

4° stralcio funzionale: Castelraimondo sud – innesto S.S. 77 a Muccia

Paratia di sottoscarpa con paramento in DX da 8+895 al km 9+005

Relazione tecnica e di calcolo

Opera L0703	Tratto 213	Settore E	CEE 16	WBS MU029	Id.doc REL	N.prog. 01	Rev. D	Pag.di Pag. 23 di 48
----------------	---------------	--------------	-----------	--------------	---------------	---------------	-----------	-------------------------

Tabella 15 – Coefficienti dell'accelerazione massima attesa al sito – Fronti di scavo e rilevati

	Categoria di sottosuolo	
	A	B, C, D, E
	β_s	β_s
$0.2 < a_g(g) \leq 0.4$	0.3	0.28
$0.1 < a_g(g) \leq 0.2$	0.27	0.24
$a_g(g) \leq 0.1$	0.2	0.2

Nel caso delle paratie, il coefficiente β può essere ricavato, con riferimento al seguente diagramma, in funzione del massimo spostamento u_s che l'opera può subire, che deve risultare:

$$u_s \leq 0.005 H$$

dove H indica la lunghezza complessiva della paratia.

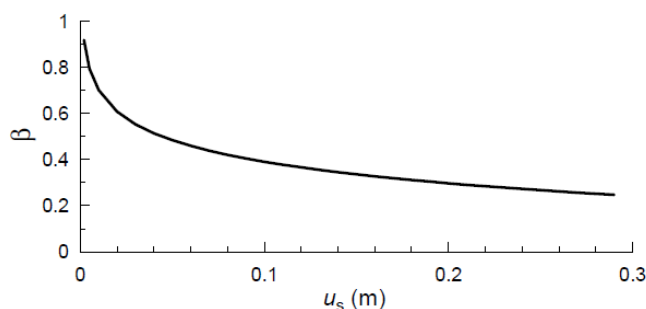


Figura 5 – Diagramma per la valutazione del coefficiente di spostamento β

I parametri di progetto dell'azione sismica considerati nell'analisi dell'opera oggetto della presente relazione sono riassunti nelle tabelle seguenti.

Tabella 16 – Parametri progetto azione sismica equivalente

Ss	S _T	a _g	a _{max}	k _h	k _v
1.364	1.0	0.22g	0.30g	0.10	±0.05

Opera L0703	Tratto 213	Settore E	CEE 16	WBS MU029	Id.doc REL	N.prog. 01	Rev. D	Pag.di Pag. 24 di 48
----------------	---------------	--------------	-----------	--------------	---------------	---------------	-----------	-------------------------

10. ANALISI E VERIFICHE

Si riportano di seguito risultati delle analisi e verifiche per le sezioni di calcolo considerate.

10.1 SEZIONI DI CALCOLO

E' stata analizzata una sezione di calcolo riferita alla paratia di pali con paramento di altezza H di sostegno pari a 4.7m. il terreno presente a monte della paratia è stato simulato mediante un un sovraccarico di 57 kPa. Il riepilogo delle sezioni analizzate e le progressive di riferimento è riportato nella seguente tabella.

Tabella 17 - Sezioni di calcolo

ID muro	Sezione di calcolo	L pali [m]	Lato stradale	pk
MU28	Paratia con paramento	12	DX	9+005

Di seguito sono sintetizzati i risultati delle analisi eseguite per le sezioni di calcolo analizzate.

Per il dettaglio delle analisi geotecniche e strutturali, fare riferimento agli ALLEGATI A e B rispettivamente.

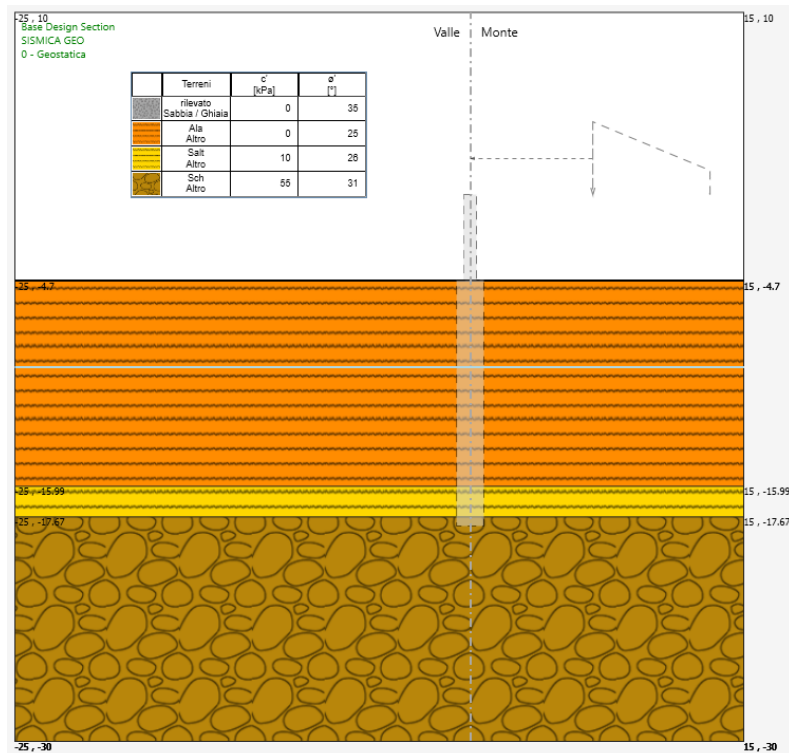


Figura 6 Modello di calcolo Paratie Plus – fase geostatica di inizializzazione degli sforzi

2.1.3 PEDEMONTANA DELLE MARCHE

3° stralcio funzionale: Castelraimondo nord – Castelraimondo sud

4° stralcio funzionale: Castelraimondo sud – innesto S.S. 77 a Muccia

Paratia di sottoscarpa con paramento in DX da 8+895 al km 9+005

Relazione tecnica e di calcolo

Opera	Tratto	Settore	CEE	WBS	Id.doc	N.prog.	Rev.	Pag.di Pag.
L0703	213	E	16	MU029	REL	01	D	25 di 48

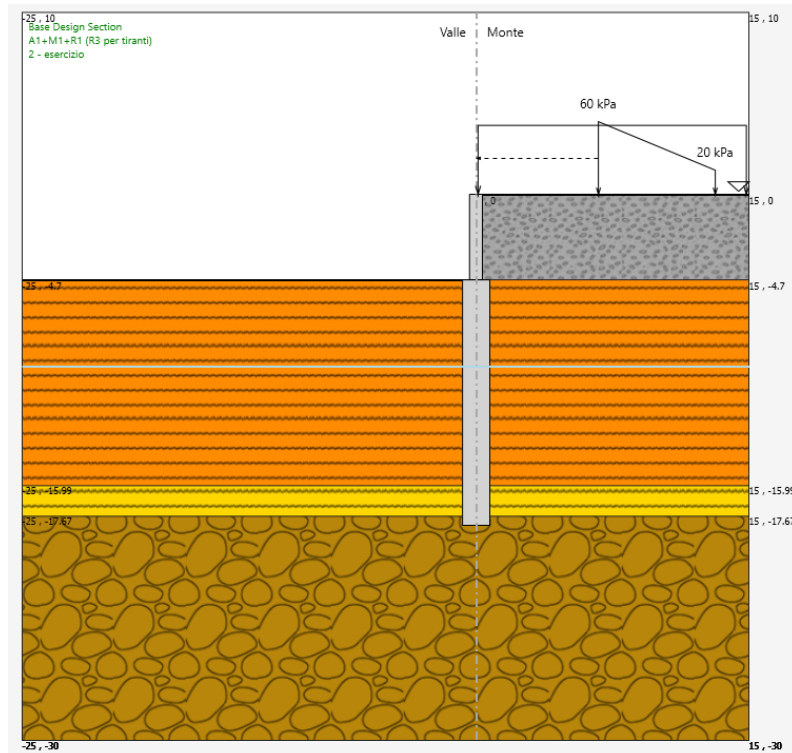


Figura 7 Modello di calcolo Paratie Plus

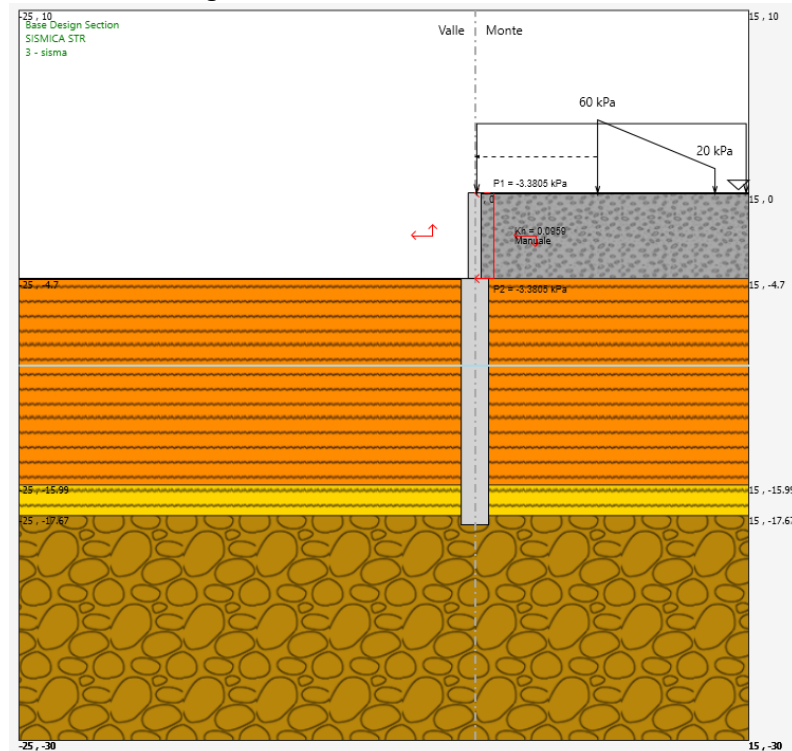


Figura 8 Modello di calcolo Paratie Plus - condizioni sismiche

2.1.3 PEDEMONTANA DELLE MARCHE

3° stralcio funzionale: Castelraimondo nord – Castelraimondo sud

4° stralcio funzionale: Castelraimondo sud – innesto S.S. 77 a Muccia

Paratia di sottoscarpa con paramento in DX da 8+895 al km 9+005

Relazione tecnica e di calcolo

Opera	Tratto	Settore	CEE	WBS	Id.doc	N.prog.	Rev.	Pag.diPag.
L0703	213	E	16	MU029	REL	01	D	26 di 48

10.2 RISULTATI DELLE ANALISI

10.2.1 Sollecitazioni nella paratia

Si presentano di seguito i risultati delle analisi per quanto riguarda le sollecitazioni nella paratia e nel paramento del muro. Le figure seguenti riportano una rappresentazione della sezione analizzata e le sollecitazioni nella paratia in SLU e SLV.

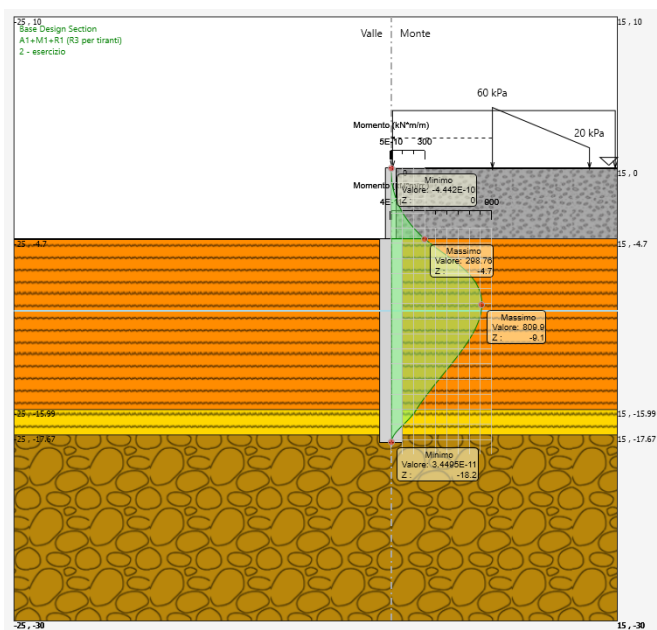


Figura 9 – Momento flettente nella paratia - configurazione finale (SLU)

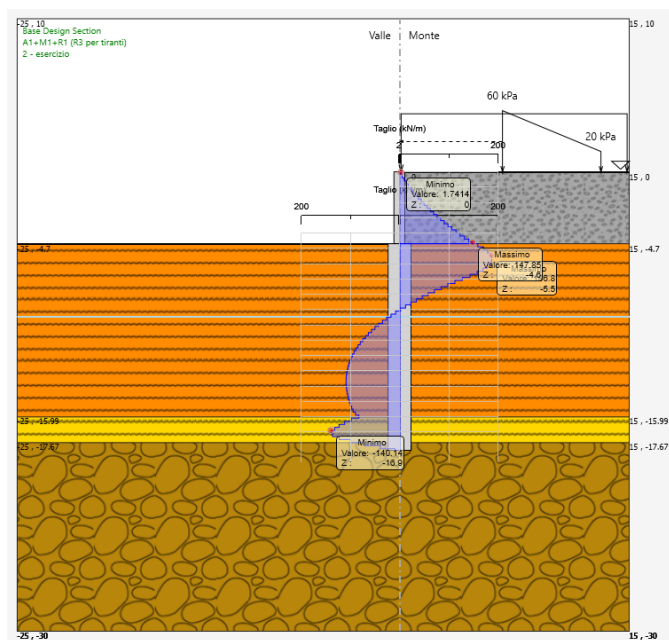


Figura 10 – Taglio nella paratia - configurazione finale (SLU)

2.1.3 PEDEMONTANA DELLE MARCHE

3° stralcio funzionale: Castelraimondo nord – Castelraimondo sud

4° stralcio funzionale: Castelraimondo sud – innesto S.S. 77 a Muccia

Paratia di sottoscarpa con paramento in DX da 8+895 al km 9+005

Relazione tecnica e di calcolo

Opera	Tratto	Settore	CEE	WBS	Id.doc	N.prog.	Rev.	Pag.di Pag.
L0703	213	E	16	MU029	REL	01	D	27 di 48

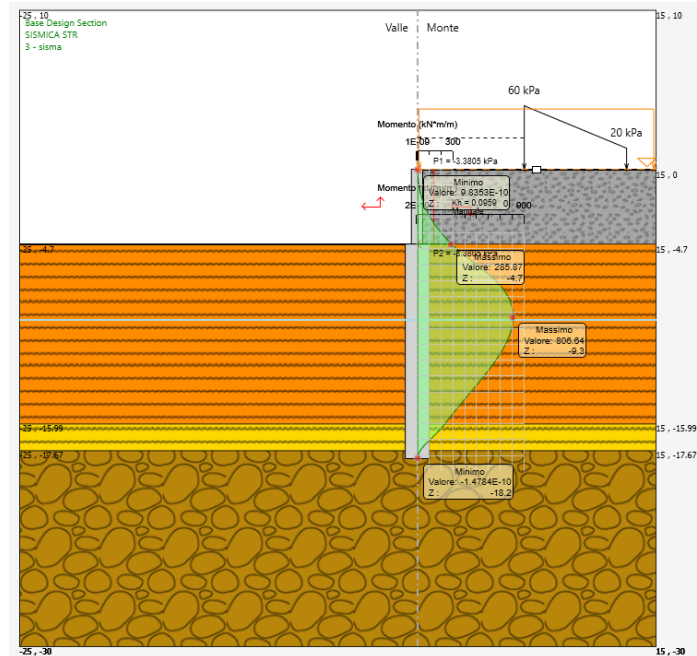


Figura 11 – Momento flettente nella paratia - configurazione finale (SLV)

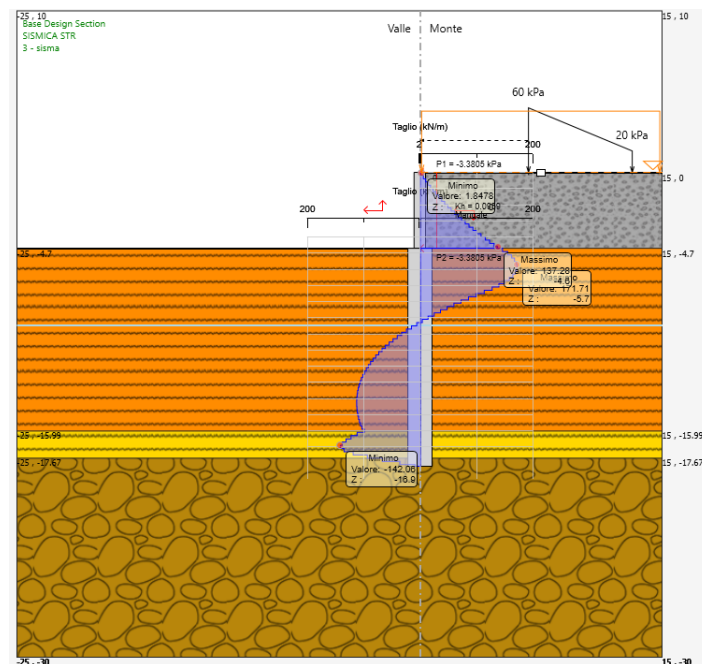


Figura 12– Taglio nella paratia - configurazione finale (SLV)

2.1.3 PEDEMONTANA DELLE MARCHE

3° stralcio funzionale: Castelraimondo nord – Castelraimondo sud

4° stralcio funzionale: Castelraimondo sud – innesto S.S. 77 a Muccia

Paratia di sottoscarpa con paramento in DX da 8+895 al km 9+005

Relazione tecnica e di calcolo

Opera	Tratto	Settore	CEE	WBS	Id.doc	N.prog.	Rev.	Pag.diPag.
L0703	213	E	16	MU029	REL	01	D	28 di 48

10.2.2 Verifica sulla spinta mobilitata al piede della paratia

La verifica sulla quota parte di spinta passiva mobilitata al piede della paratia è stata effettuata tramite il codice di calcolo Paratie.

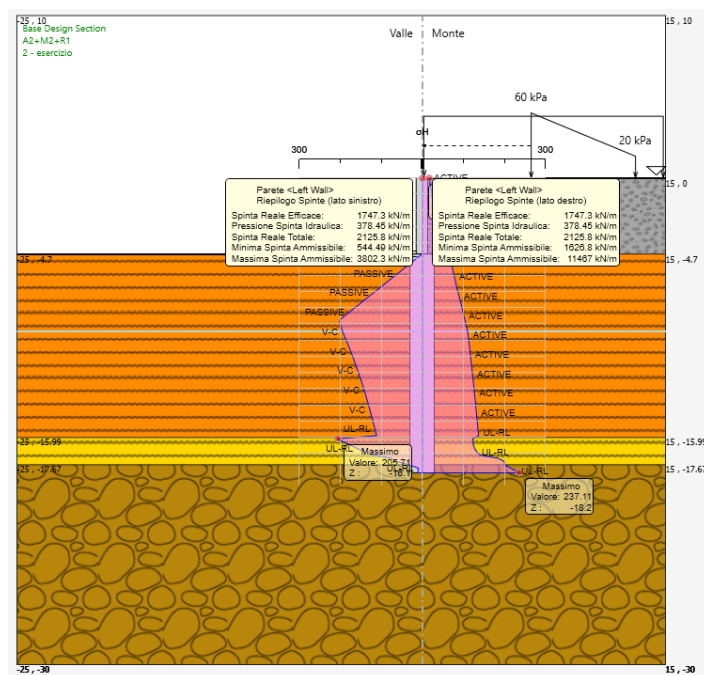


Figura 13 – Verifica sulla spinta mobilitata al piede delle paratia - configurazione finale (SLU)

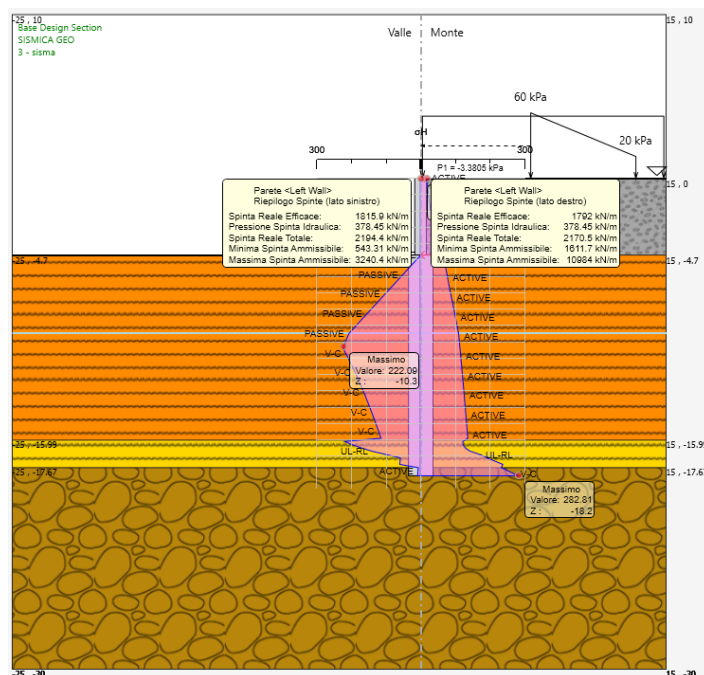


Figura 14 – Verifica sulla spinta mobilitata al piede delle paratia - configurazione finale (SLV)

2.1.3 PEDEMONTANA DELLE MARCHE

3° stralcio funzionale: Castelraimondo nord – Castelraimondo sud

4° stralcio funzionale: Castelraimondo sud – innesto S.S. 77 a Muccia

Paratia di sottoscarpa con paramento in DX da 8+895 al km 9+005

Relazione tecnica e di calcolo

Opera	Tratto	Settore	CEE	WBS	Id.doc	N.prog.	Rev.	Pag.diPag.
L0703	213	E	16	MU029	REL	01	D	29 di 48

Tabella 18 Mobilitazione della spinta passiva al piede della paratia

	SLU (A2+M2+R1)	SLV (SISMICA GEO)
Rp (%)	46	56

10.2.3 Stima degli spostamenti della paratia

Nella seguente figura si riporta il grafico relativo agli spostamenti SLE nella configurazione finale in condizioni statiche.

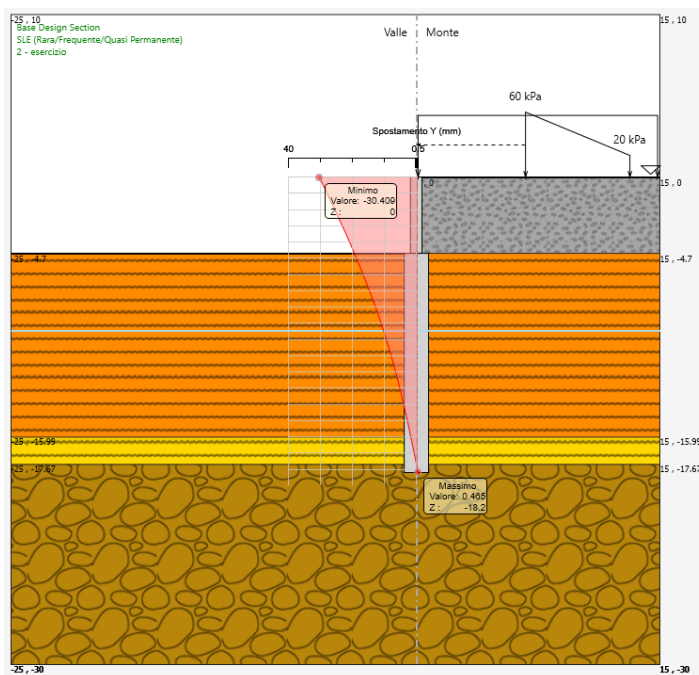


Figura 15 – Spostamenti della paratia – configurazione finale (SLE)

Gli spostamenti qui riportati sono a seguito del riempimento del rilevato e quindi da attendersi durante la fase costruttiva. Durante l'esercizio stradale non sono previsti ulteriori spostamenti orizzontali a tergo del paramento.

2.1.3 PEDEMONTANA DELLE MARCHE

3° stralcio funzionale: Castelraimondo nord – Castelraimondo sud

4° stralcio funzionale: Castelraimondo sud – innesto S.S. 77 a Muccia

Paratia di sottoscarpa con paramento in DX da 8+895 al km 9+005

Relazione tecnica e di calcolo

Opera	Tratto	Settore	CEE	WBS	Id.doc	N.prog.	Rev.	Pag.diPag.
L0703	213	E	16	MU029	REL	01	D	30 di 48

10.2.4 Stabilità globale

Nelle seguenti figure si riportano i risultati delle verifiche di stabilità globale per le condizioni statiche e sismiche.

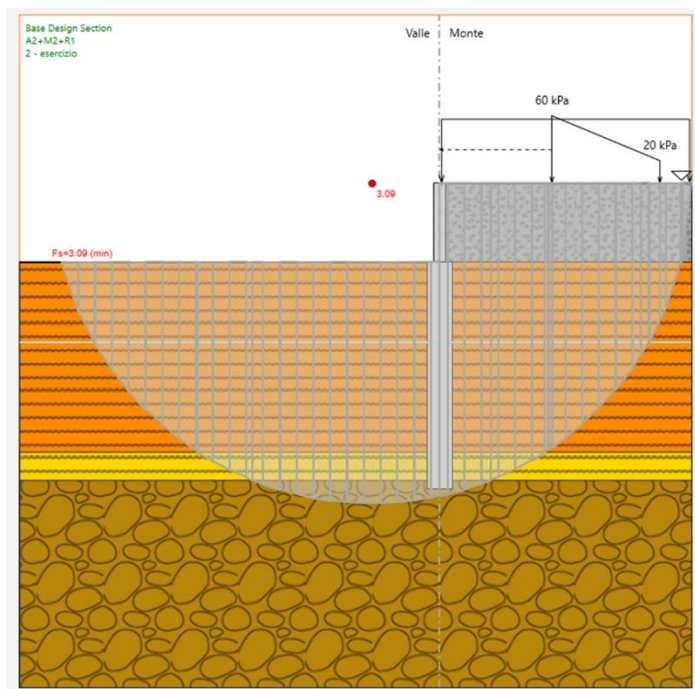


Figura 16 – Verifica di stabilità globale – configurazione finale (SLU)

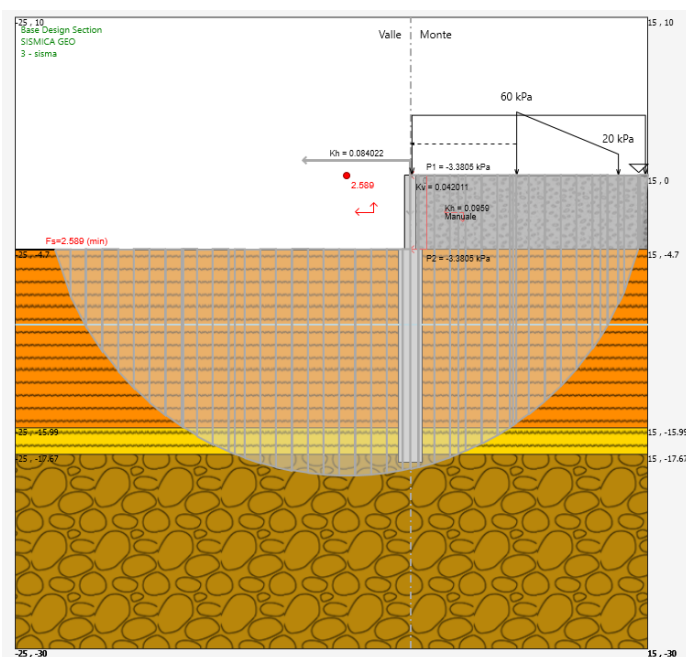


Figura 17 – Verifica di stabilità globale – configurazione finale (SLV kv +)

2.1.3 PEDEMONTANA DELLE MARCHE

3° stralcio funzionale: Castelraimondo nord – Castelraimondo sud

4° stralcio funzionale: Castelraimondo sud – innesto S.S. 77 a Muccia

Paratia di sottoscarpa con paramento in DX da 8+895 al km 9+005

Relazione tecnica e di calcolo

Opera	Tratto	Settore	CEE	WBS	Id.doc	N.prog.	Rev.	Pag.diPag.
L0703	213	E	16	MU029	REL	01	D	31 di 48

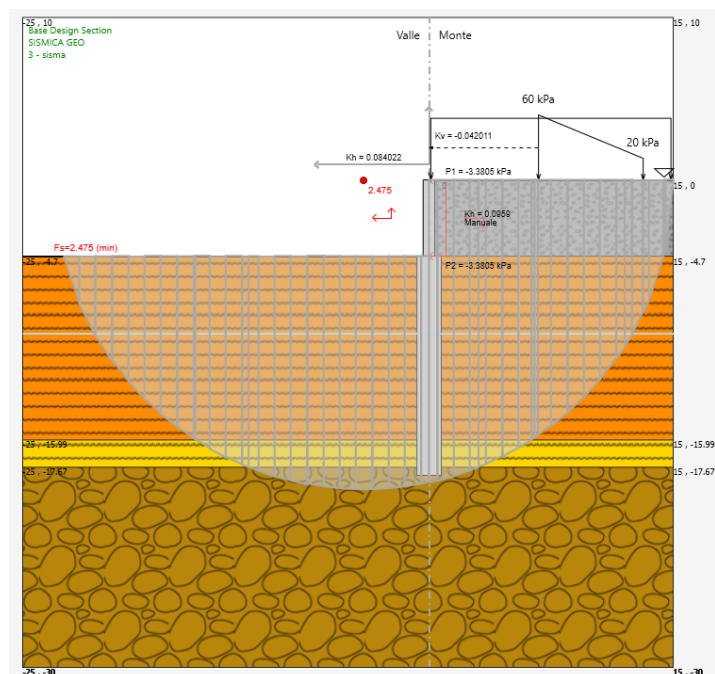


Figura 18 Verifica di stabilità globale – configurazione finale (SLV kv -)

In entrambi i casi è stato ottenuto un coefficiente di sicurezza FS, relativo alla superficie di scorrimento più critica, superiore al valore assunto del coefficiente parziale di resistenza che riduce la resistenza disponibile del terreno, γ_R , pari a 1.1, pertanto, secondo quanto prescritto dalla normativa considerata, le verifiche di sicurezza risultano essere soddisfatte.

10.2.5 Verifica della capacità portante dei pali sottoposti alle azioni verticali

I carichi verticali utilizzati per la verifica di capacità portante derivano esclusivamente dal peso proprio del paramento. Il calcolo è stato effettuato prendendo la geometria più grande lungo lo sviluppo del muro. In particolare:

$$N_{max} = W_{paramento} = \gamma \cdot \frac{(b + B) \cdot h}{2} = 25 \cdot \frac{(0.5 + 1) \cdot 5}{2}$$

$$N_{max} = (1 + k_v) \cdot W_{paramento} = (1 + 0.5 \cdot k_h) \cdot W_{paramento}$$

Tabella 19 Calcolo azioni verticali allo stato limite ultimo

N ULS (A1+M1+R2)	135 kN
N ULS (A2+M1+R2)	100 kN
N ULS SIM	106.5 kN

I parametri di calcolo della capacità portante dei pali vengono riportati nella seguente tabella:

2.1.3 PEDEMONTANA DELLE MARCHE

3° stralcio funzionale: Castelraimondo nord – Castelraimondo sud

4° stralcio funzionale: Castelraimondo sud – innesto S.S. 77 a Muccia

Paratia di sottoscarpa con paramento in DX da 8+895 al km 9+005

Relazione tecnica e di calcolo

Opera L0703	Tratto 213	Settore E	CEE 16	WBS MU029	Id.doc REL	N.prog. 01	Rev. D	Pag.di Pag. 32 di 48
----------------	---------------	--------------	-----------	--------------	---------------	---------------	-----------	-------------------------

Tabella 20 Parametri di calcolo della capacità portante

Approccio	Verticali indagate	ξ_3	Y_s	Y_b	F
DA1 (A1+M1+R1)	3	1.65	1.0	1.0	13
DA1 (A2+M1+R2)	3	1.65	1.45	1.7	11
DA2 SISM (A1+M1+R3)	3	1.65	1.15	1.35	12

Di seguito si riportano i risultati delle verifiche di portanza:

2.1.3 PEDEMONTANA DELLE MARCHE

3° stralcio funzionale: Castelraimondo nord – Castelraimondo sud

4° stralcio funzionale: Castelraimondo sud – innesto S.S. 77 a Muccia

Paratia di sottoscarpa con paramento in DX da 8+895 al km 9+005

Relazione tecnica e di calcolo

Opera L0703	Tratto 213	Settore E	CEE 16	WBS MU029	Id.doc REL	N.prog. 01	Rev. D	Pag.diPag. 33 di 48
----------------	---------------	--------------	-----------	--------------	---------------	---------------	-----------	------------------------

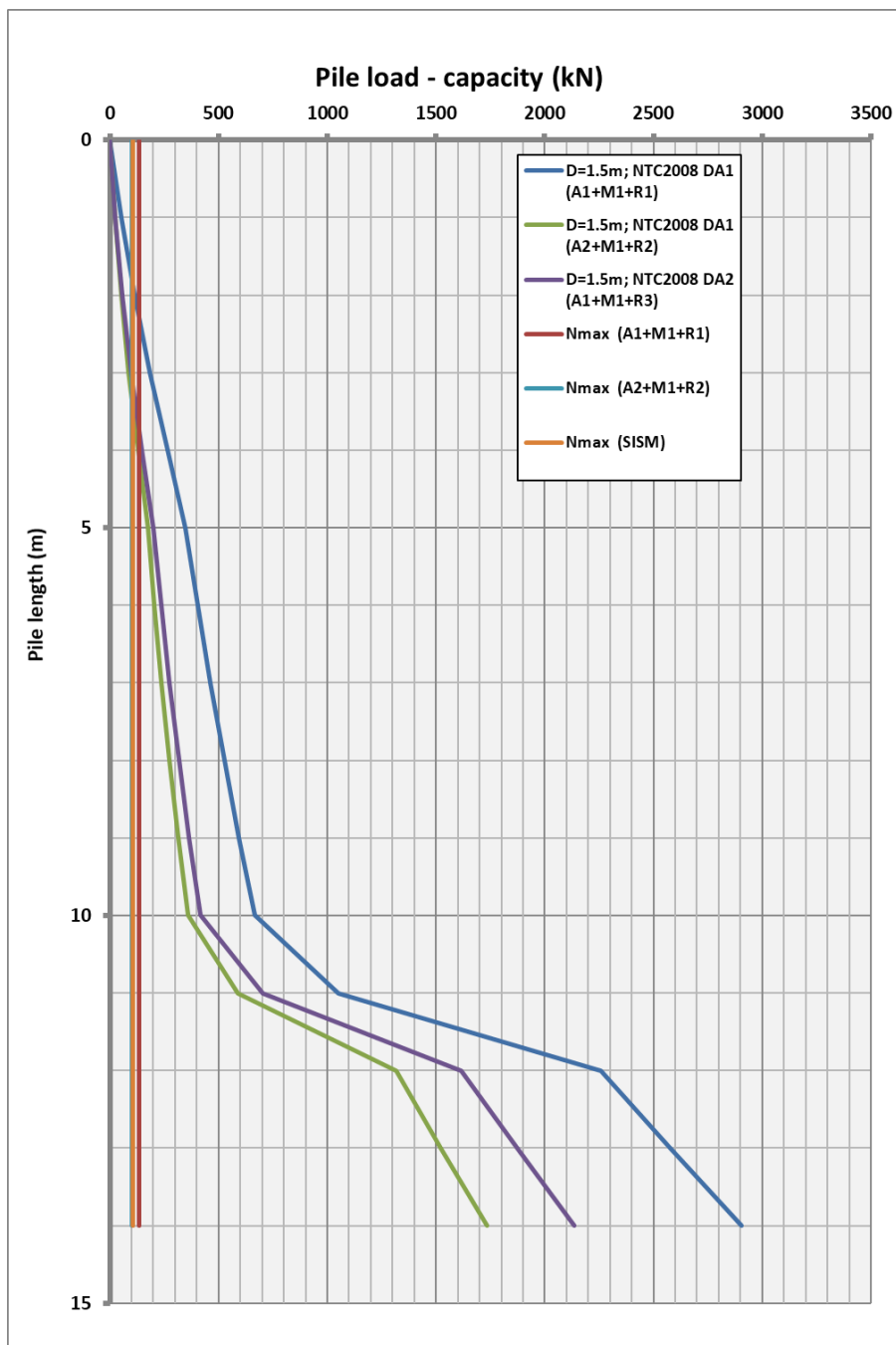


Figura 19 Capacità portante dei pali



2.1.3 PEDEMONTANA DELLE MARCHE

3° stralcio funzionale: Castelraimondo nord – Castelraimondo sud

4° stralcio funzionale: Castelraimondo sud – innesto S.S. 77 a Muccia

Paratia di sottoscarpa con paramento in DX da 8+895 al km 9+005

Relazione tecnica e di calcolo

Opera	Tratto	Settore	CEE	WBS	Id.doc.	N.prog.	Rev.	Pag.di Pag.
L0703	213	E	16	MU029	REL	01	D	34 di 48

Z	L pile	γ	$\sigma'v$	litto	Shear Resistance parameter		Bearing capacity factors				R calc			Pile weight			R ck			DA1 - COMB.1	DA1 - COMB.2	DA2 - SEISMIC		
					c'	ϕ'	Nc	Nq	$\tan \phi'$	k	τ	τ_{tot}	Rlat	Rb	Rtot	w'	w' (A1)	w' (A2)	Rlat / ξ	Rb / ξ	Rtot	Rcd	Rcd	Rcd
m, da p.c.	m	kN/mc	kPa	-	kPa	°	-	-	-	-	kPa	kPa	kN	kN	kN	kN	kN	kN	kN	kN	kN	kN	kN	kN
0	0	19	0	Ala	0	25	8,6	5	0,47	0,58	0	0	0	0	0	0	0	0	0	0	0	0	0	0
1	1	19	19	Ala	0	25	8,6	5	0,47	0,58	3	3	16	168	184	44	60	44	10	102	111	52	22	24
2	2	19	38	Ala	0	25	8,6	5	0,47	0,58	7	10	48	336	384	88	119	88	29	203	233	114	52	57
3	3	19	57	Ala	0	25	8,6	5	0,47	0,58	10	21	97	503	600	132	179	132	59	305	364	185	87	98
4	4	19	76	Ala	0	25	8,6	5	0,47	0,58	14	34	162	671	833	177	238	177	98	407	505	266	130	148
5	5	19	93	Ala	0	25	8,6	5	0,47	0,58	17	51	241	821	1062	219	295	219	146	498	644	348	175	200
6	6	19	102	Ala	0	25	8,6	5	0,47	0,58	18	69	327	901	1228	253	341	253	198	546	744	403	205	235
7	7	19	111	Ala	0	25	8,6	5	0,47	0,58	20	89	422	980	1402	287	388	287	256	594	850	462	239	275
8	8	19	120	Ala	0	25	8,6	5	0,47	0,58	22	111	524	1060	1583	321	434	321	317	642	960	526	275	318
9	9	19	129	Ala	0	25	8,6	5	0,47	0,58	23	134	633	1139	1773	355	480	355	384	690	1074	594	315	365
10	10	19	138	Ala	0	25	8,6	5	0,47	0,58	25	159	751	1219	1969	390	526	390	455	739	1194	668	359	417
11	11	20,25	148,25	Salt	10	26	10,3	6	0,49	0,56	37	196	926	1752	2678	424	572	424	561	1062	1623	1051	588	703
12	12	23	161,25	Sch	55	31	11,6	8	0,60	0,48	86	283	1333	3410	4744	458	618	458	808	2067	2875	2257	1315	1616
13	13	23	174,25	Sch	55	31	11,6	8	0,60	0,48	89	372	1753	3594	5347	492	664	492	1062	2178	3241	2576	1522	1873
14	14	23	187,25	Sch	55	31	11,6	8	0,60	0,48	92	464	2184	3778	5962	526	710	526	1324	2289	3613	2903	1734	2137

La verifica a capacità portante dei pali sottoposti ad azioni verticali risulta soddisfatta.

2.1.3 PEDEMONTANA DELLE MARCHE

3° stralcio funzionale: Castelraimondo nord – Castelraimondo sud

4° stralcio funzionale: Castelraimondo sud – innesto S.S. 77 a Muccia

Paratia di sottoscarpa con paramento in DX da 8+895 al km 9+005

Relazione tecnica e di calcolo

Opera LO703	Tratto 213	Settore E	CEE 16	WBS MU029	Id.doc REL	N.prog. 01	Rev. D	Pag.di Pag. 35 di 48
----------------	---------------	--------------	-----------	--------------	---------------	---------------	-----------	-------------------------

10.2.6 Verifiche strutturali dei pali

Per la paratia di pali, costituita da pali di diametro 1500mm ad interasse 1.7m, si prevede la seguente armatura di calcolo:

- Armatura longitudinale: Gabbia sup.: 26+26 Φ 26mm fino a 12m
Gabbia inf.: 26 Φ 26mm fino a base palo
- Armatura a taglio: Spirali Φ 16/20cm
- Copriferro netto: 9cm.

Il quantitativo di armatura longitudinale è stato verificato nei rispetti dei requisiti minimi e massimi da normativa UNI EN 1536:2003 e NTC08.

In particolare

$$A_{S_{gabbia1}} = 52\phi26 = 0.028 \text{ m}^2$$

$$A_{S_{resa1}} = 34\phi26 = 0.018 \text{ m}^2$$

$$A_{S_{min}} = 0.26 \frac{f_{ctm}}{f_{yk}} \cdot b_t \cdot d = 0.0027 \text{ m}^2 \text{ [4.1.6.1.1 NTC2008]}$$

$$A_{S_{min}} = 0.0013 \cdot b_t \cdot d = 0.002 \text{ m}^2 \text{ [4.1.6.1.1 NTC2008]}$$

$$A_{S_{min}} = 0.25\% \cdot A_c = 0.0044 \text{ m}^2 \text{ [7.6 UNI EN 1536]}$$

$$A_{S_{max}} = 0.04 \cdot A_c = 0.07 \text{ m}^2 \text{ [4.1.6.1.1 NTC2008]}$$

Con

$$bw = 1.34 \text{ m}$$

$$d = 1.17 \text{ m}$$

Per ulteriori dettagli si rimanda agli elaborati di carpenterie ed armature LO703213E16MU0026CRP01C e LO703213E16MU0026ARM01A.

La paratia è stata verificata per le seguenti combinazioni di carico:

Tabella 21 – Sollecitazioni verificate (gabbia sup.)

STATO LIMITE	N [kN]	M [kNm]	T [kN]
SLU	-	1377	318
SLV	-	1371	292
SLE	208	1059	-

2.1.3 PEDEMONTANA DELLE MARCHE

3° stralcio funzionale: Castelraimondo nord – Castelraimondo sud
 4° stralcio funzionale: Castelraimondo sud – innesto S.S. 77 a Muccia
 Paratia di sottoscarpa con paramento in DX da 8+895 al km 9+005
 Relazione tecnica e di calcolo

Opera	Tratto	Settore	CEE	WBS	Id.doc	N.prog.	Rev.	Pag.di Pag.
L0703	213	E	16	MU029	REL	01	D	36 di 48

PRESSOFLESSIONE STATO LIMITE ULTIMO

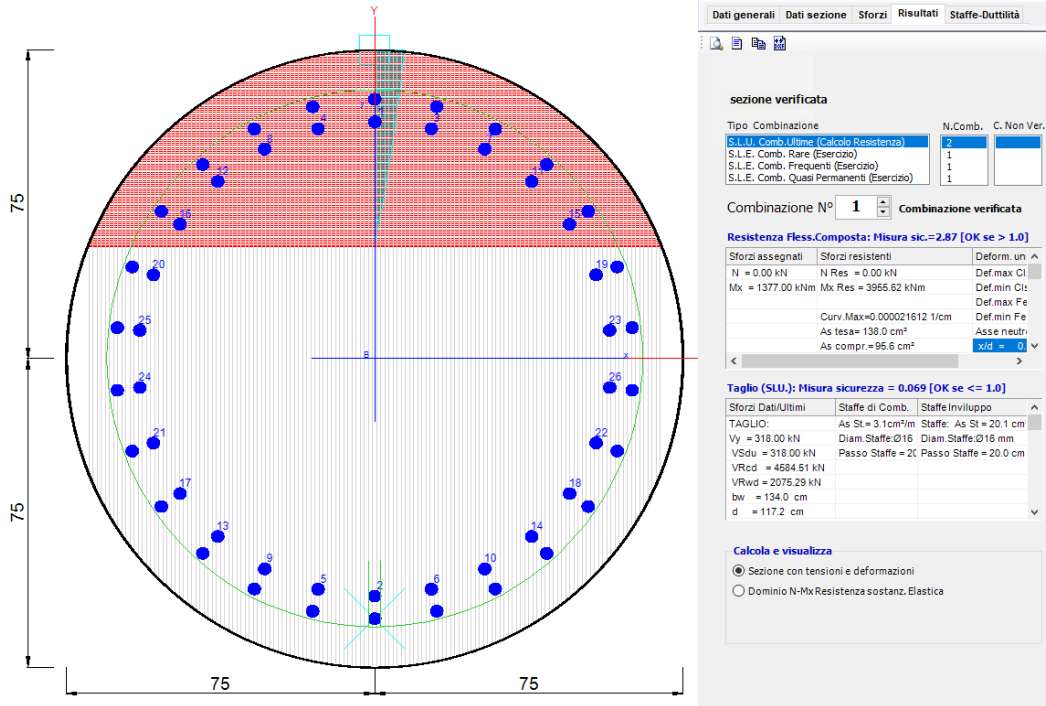


Figura 20 – Combinazione 1 (Mmax) – Gabbia sup. 26+26φ26 - SLU

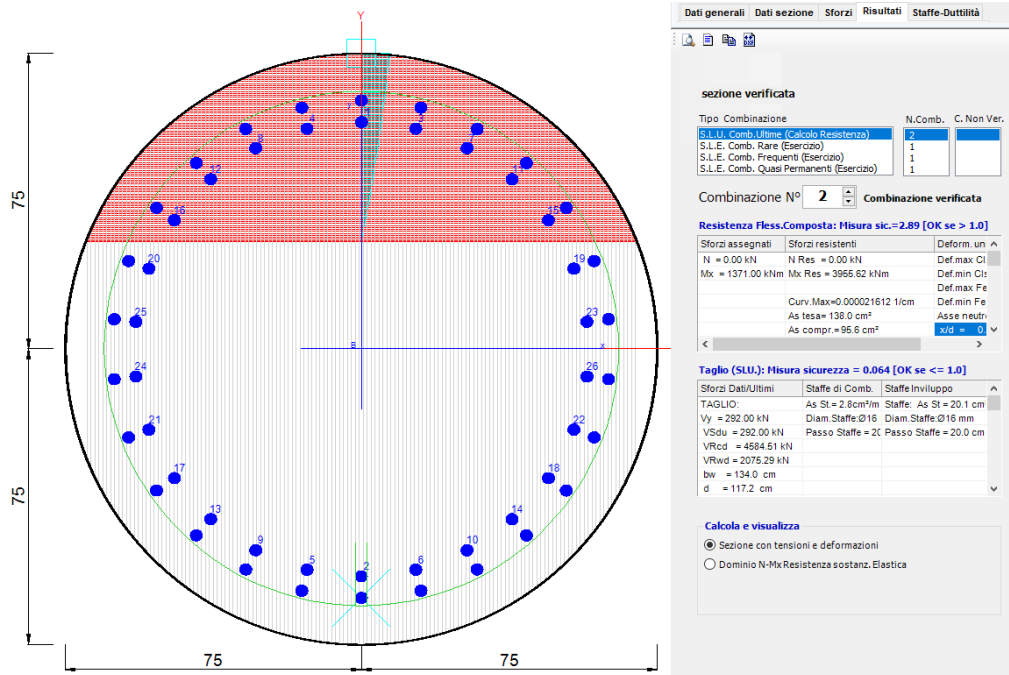


Figura 21 – Combinazione 2 (Mmax) – Gabbia sup. 26+26φ26 - SLV

2.1.3 PEDEMONTANA DELLE MARCHE

3° stralcio funzionale: Castelraimondo nord – Castelraimondo sud

4° stralcio funzionale: Castelraimondo sud – innesto S.S. 77 a Muccia

Paratia di sottoscarpa con paramento in DX da 8+895 al km 9+005

Relazione tecnica e di calcolo

Opera L0703	Tratto 213	Settore E	CEE 16	WBS MU029	Id.doc REL	N.prog. 01	Rev. D	Pag.di Pag. 37 di 48
----------------	---------------	--------------	-----------	--------------	---------------	---------------	-----------	-------------------------

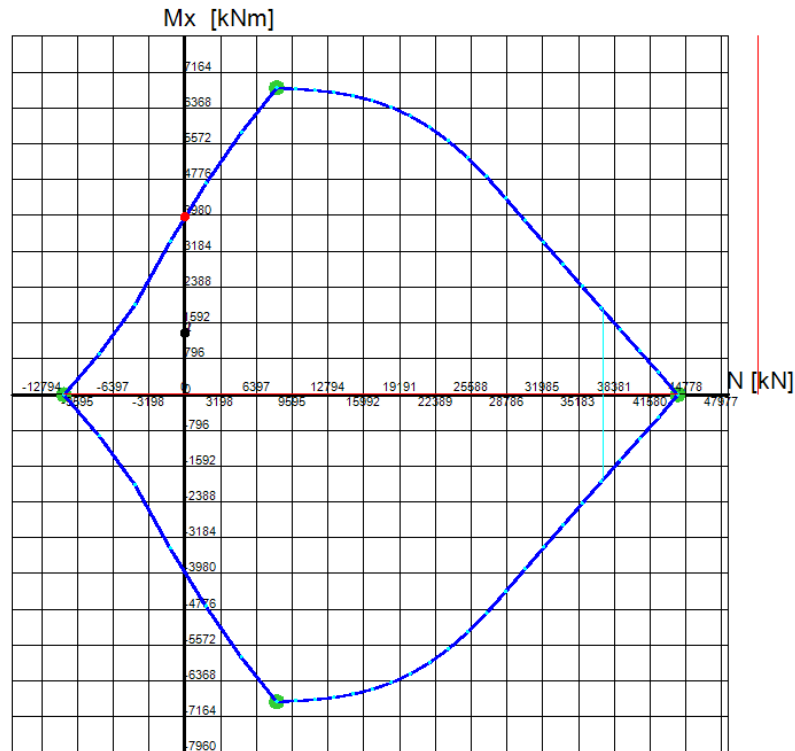


Figura 22 – Dominio M-N - Gabbia sup. 26+13 Φ 26 - SLU e SLV

Tabella 22 – Sollecitazioni verificate (gabbia inf.)

STATO LIMITE	N [kN]	M [kNm]	T [kN]
SLU	-	342	243
SLV	-	348	271
SLE	-	268	-

2.1.3 PEDEMONTANA DELLE MARCHE

3° stralcio funzionale: Castelraimondo nord – Castelraimondo sud

4° stralcio funzionale: Castelraimondo sud – innesto S.S. 77 a Muccia

Paratia di sottoscarpa con paramento in DX da 8+895 al km 9+005

Relazione tecnica e di calcolo

Opera	Tratto	Settore	CEE	WBS	Id.doc	N.prog.	Rev.	Pag.diPag.
L0703	213	E	16	MU029	REL	01	D	38 di 48

PRESSOFLESSIONE STATO LIMITE ULTIMO

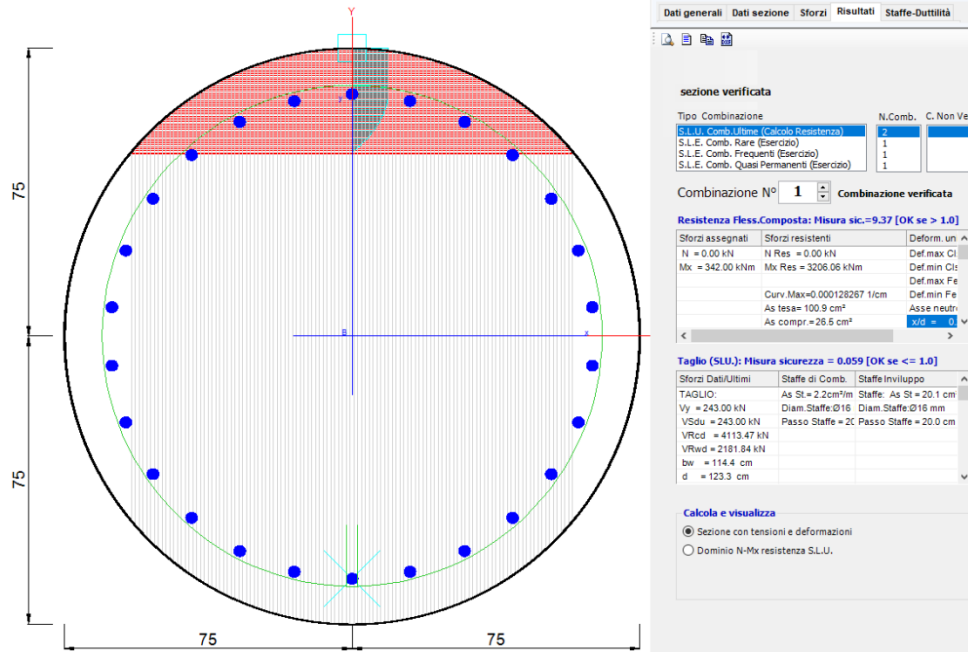


Figura 23 – Combinazione 1 (Mmax) – Gabbia inf. 26Φ26 – SLU

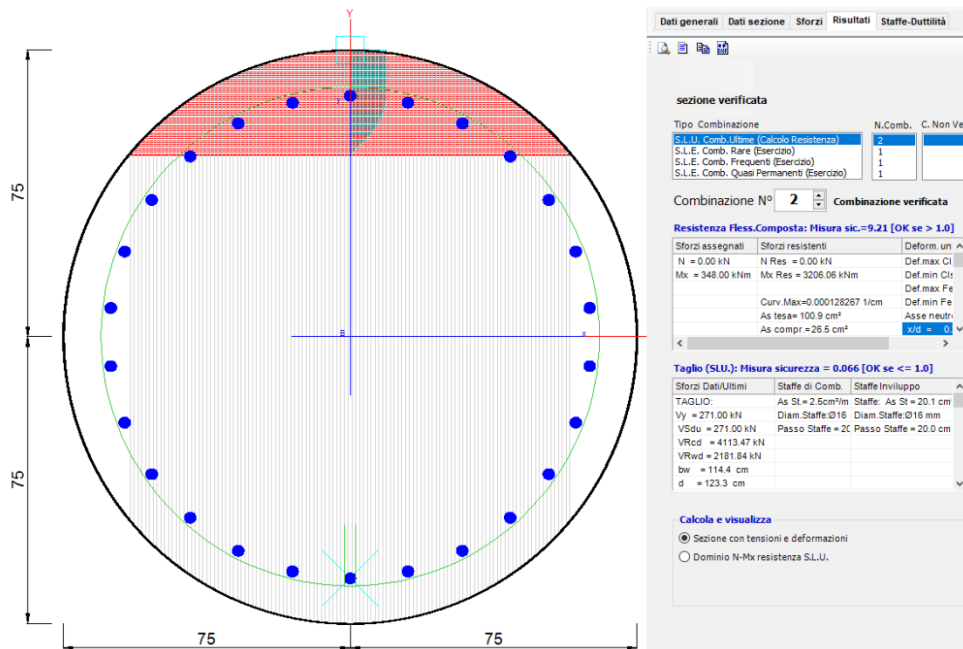


Figura 24 – Combinazione 2 (Mmax) – Gabbia inf. 26Φ26 - SLV

2.1.3 PEDEMONTANA DELLE MARCHE

3° stralcio funzionale: Castelraimondo nord – Castelraimondo sud

4° stralcio funzionale: Castelraimondo sud – innesto S.S. 77 a Muccia

Paratia di sottoscarpa con paramento in DX da 8+895 al km 9+005

Relazione tecnica e di calcolo

Opera L0703	Tratto 213	Settore E	CEE 16	WBS MU029	Id.doc REL	N.prog. 01	Rev. D	Pag.diPag. 39 di 48
----------------	---------------	--------------	-----------	--------------	---------------	---------------	-----------	------------------------

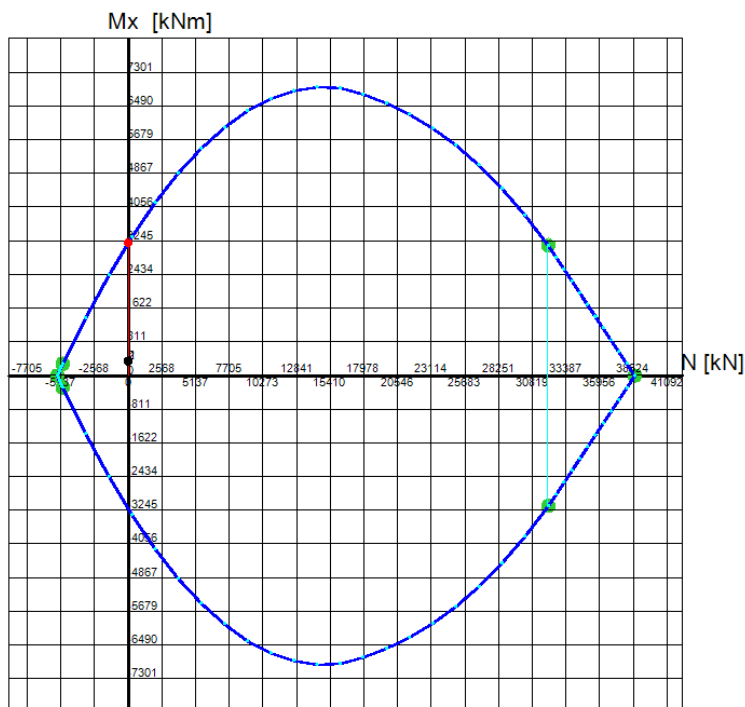


Figura 25 – Dominio M-N – Gabbia inf. 30+30ϕ30 - SLU e SLV

STATO LIMITE ESERCIZIO

Di seguito sono riportate le massime sollecitazioni nelle barre e nel calcestruzzo durante le fasi di esercizio e l'apertura massima delle fessure nella sezione maggiormente sollecitata del palo.

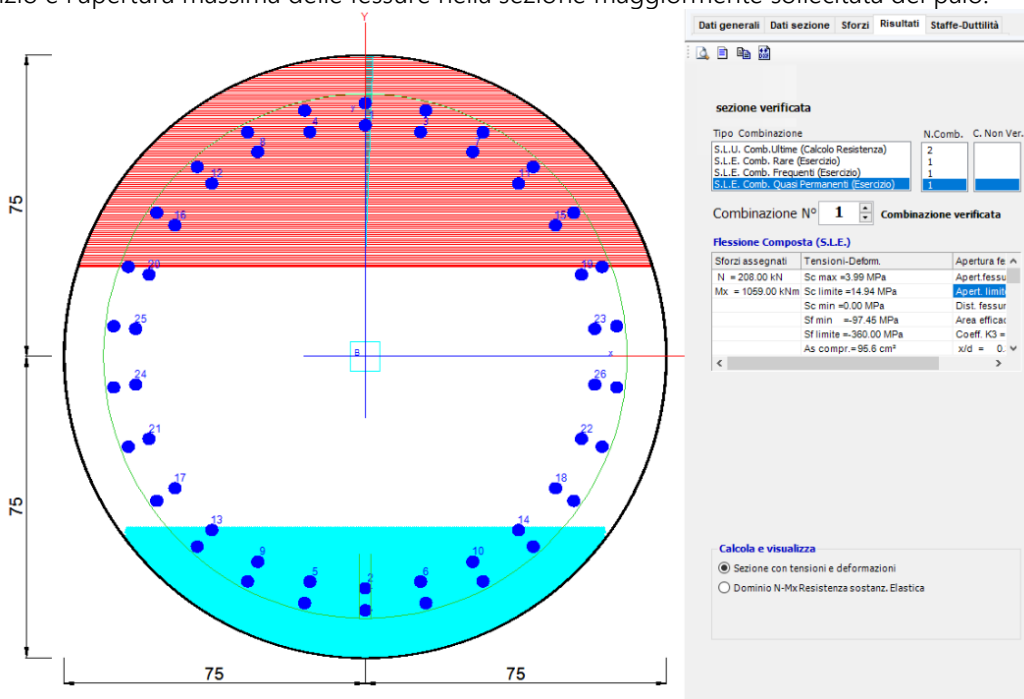


Figura 26 – Combinazione 3 - SLE – Verifiche di fessurazione e di tensione sulle barre

2.1.3 PEDEMONTANA DELLE MARCHE

3° stralcio funzionale: Castelraimondo nord – Castelraimondo sud

4° stralcio funzionale: Castelraimondo sud – innesto S.S. 77 a Muccia

Paratia di sottoscarpa con paramento in DX da 8+895 al km 9+005

Relazione tecnica e di calcolo

Opera L0703	Tratto 213	Settore E	CEE 16	WBS MU029	Id.doc REL	N.prog. 01	Rev. D	Pag.di Pag. 40 di 48
----------------	---------------	--------------	-----------	--------------	---------------	---------------	-----------	-------------------------

Tabella 23 – Verifica tensioni

COMBINAZIONE	TENSIONI ESERCIZIO	TENSIONI AMMISSIBILI
S.L.E. RARA	$\sigma_s = 97.45$ MPa	360 MPa
	$\sigma_c = 3.99$ MPa	19.18 MPa
S.L.E. QUASI PERMANENTE	$\sigma_s = 97.45$ MPa	360 MPa
	$\sigma_c = 3.99$ MPa	14.38 MPa

Tabella 24 – Verifica apertura fessure

COMBINAZIONE	MAX. APERTURA	FESSURA LIMITE
S.L.E. FREQUENTE	0.187 mm	0.3 mm
S.L.E. QUASI PERMANENTE	0.187 mm	0.2 mm

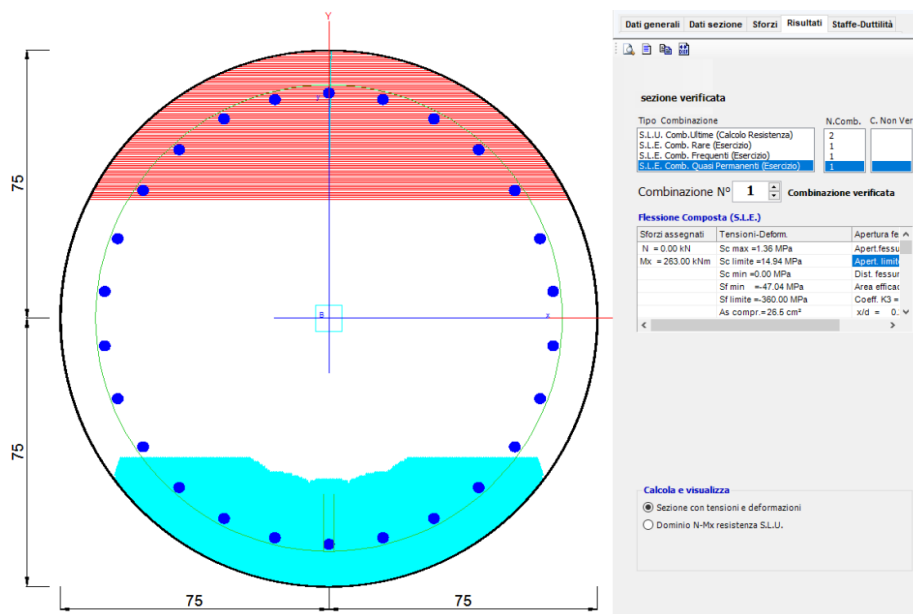


Figura 27 Combinazione 3 - SLE – Verifiche di fessurazione e di tensione sulle barre

Tabella 25 – Verifica tensioni

COMBINAZIONE	TENSIONI ESERCIZIO	TENSIONI AMMISSIBILI
S.L.E. RARA	$\sigma_s = 47.94$ MPa	360 MPa
	$\sigma_c = 1.36$ MPa	19.18 MPa
S.L.E. QUASI PERMANENTE	$\sigma_s = 47.94$ MPa	360 MPa
	$\sigma_c = 1.36$ MPa	14.38 MPa

2.1.3 PEDEMONTANA DELLE MARCHE

3° stralcio funzionale: Castelraimondo nord – Castelraimondo sud

4° stralcio funzionale: Castelraimondo sud – innesto S.S. 77 a Muccia

Paratia di sottoscarpa con paramento in DX da 8+895 al km 9+005

Relazione tecnica e di calcolo

Opera L0703	Tratto 213	Settore E	CEE 16	WBS MU029	Id.doc REL	N.prog. 01	Rev. D	Pag.di Pag. 41 di 48
----------------	---------------	--------------	-----------	--------------	---------------	---------------	-----------	-------------------------

Tabella 26 – Verifica apertura fessure

COMBINAZIONE	MAX. APERTURA	FESSURA LIMITE
S.L.E. FREQUENTE	0.102 mm	0.3 mm
S.L.E. QUASI PERMANENTE	0.102 mm	0.2 mm

10.3 VERIFICHE STRUTTURALI DEL PARAMENTO

Per il paramento del muro si prevede la seguente armatura di calcolo:

- Spessore sezione media 75cm
- Armatura trasversale: $\Phi 26/200\text{mm}$ lato monte + $\Phi 20/200\text{mm}$ lato valle
- Armatura longitudinale: $\Phi 16/20\text{mm}$
- Armatura a taglio: Spille $\Phi 12/\text{maglia } 200 \times 400\text{mm}$
- Copriferro netto sui ferri orizzontali: 50mm.

Il copriferro netto è stato calcolato considerando i limiti per le travi su terreno preparato secondo quanto riportato in normativa quantitativi di armatura soddisfano i requisiti da normativa UNI EN 1536:2003 e ENV 1992-1-1.

$$c_{nom} = c_{min} + \Delta_c = 40\text{mm} + 10\text{mm} = 50\text{mm}$$

Il quantitativo di armatura longitudinale è stato verificato nei rispetti dei requisiti da normativa NTC08 (par. 7.4.6.2.4) ed EC2 per quanto riguarda i minimi di armatura longitudinale e trasversale (par 9.6.2 e 9.6.3).

Per ulteriori dettagli si rimanda agli elaborati di carpenterie ed armature.

Il paramento del muro è stato verificato per le seguenti combinazioni di carico considerando la sezione più sollecitata tra quelle analizzate.

Tabella 27 – Sollecitazioni verificate

STATO LIMITE	N [kN]	M [kNm]	T [kN]
SLU	0	299	148
SLV	0	286	137
SLE	82	230	-

Opera	Tratto	Settore	CEE	WBS	Id.doc	N.prog.	Rev.	Pag.di Pag.
L0703	T13	E	16	MU029	REL	01	D	42 di 48

PRESSOFLESSIONE STATO LIMITE ULTIMO

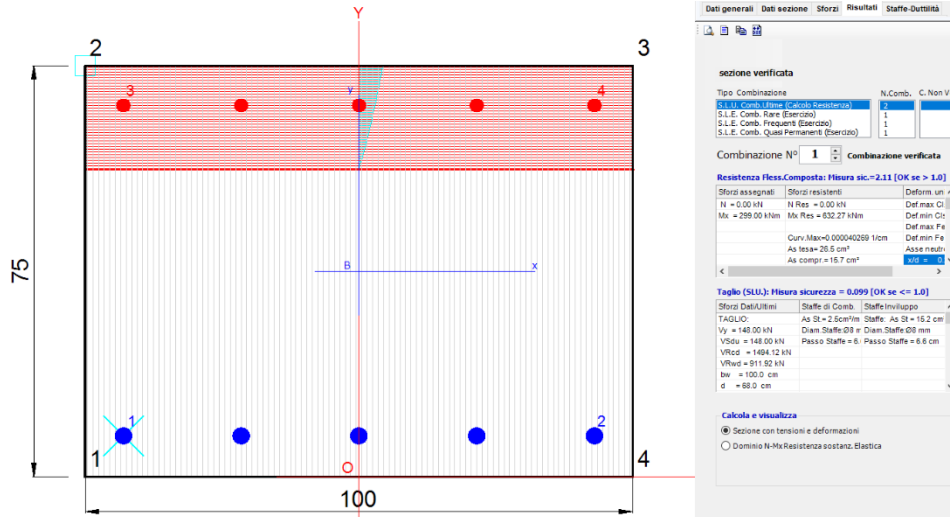


Figura 28 – Combinazione 1 (Mmax) - $\Phi 26/20$ lato monte + $\Phi 20/20$ lato valle – SLU

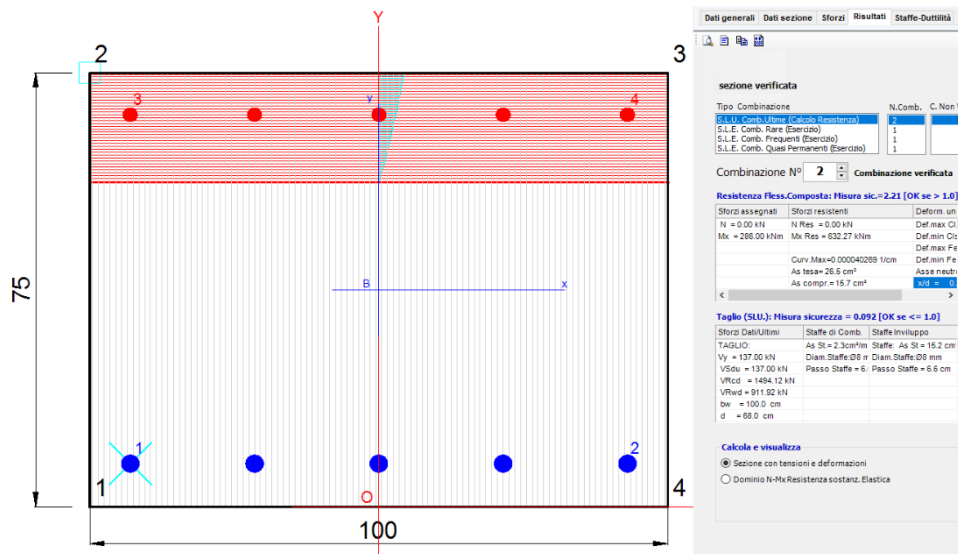


Figura 29 – Combinazione 2 (Mmax) – $\Phi 26/200$ mm lato monte + $\Phi 20/200$ mm lato valle - SLV

2.1.3 PEDEMONTANA DELLE MARCHE

3° stralcio funzionale: Castelraimondo nord – Castelraimondo sud

4° stralcio funzionale: Castelraimondo sud – innesto S.S. 77 a Muccia

Paratia di sottoscarpa con paramento in DX da 8+895 al km 9+005

Relazione tecnica e di calcolo

Opera L0703	Tratto 213	Settore E	CEE 16	WBS MU029	Id.doc REL	N.prog. 01	Rev. D	Pag.di Pag. 43 di 48
----------------	---------------	--------------	-----------	--------------	---------------	---------------	-----------	-------------------------

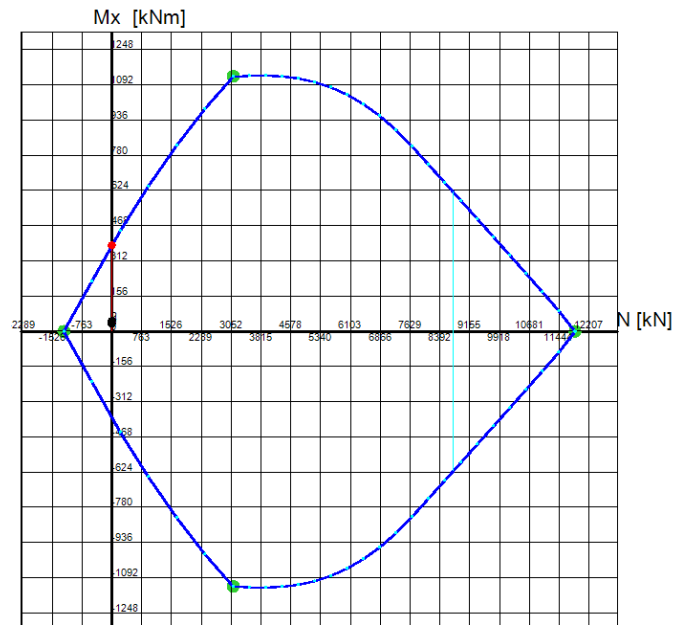


Figura 30 – Dominio M-N – $\Phi 26/200\text{mm}$ lato monte + $\Phi 20/200\text{mm}$ lato valle - SLU e SLV

STATO LIMITE ESERCIZIO

Di seguito sono riportate le massime sollecitazioni nelle barre e nel calcestruzzo durante le fasi di esercizio e l'apertura massima delle fessure nella sezione maggiormente sollecitata del palo.

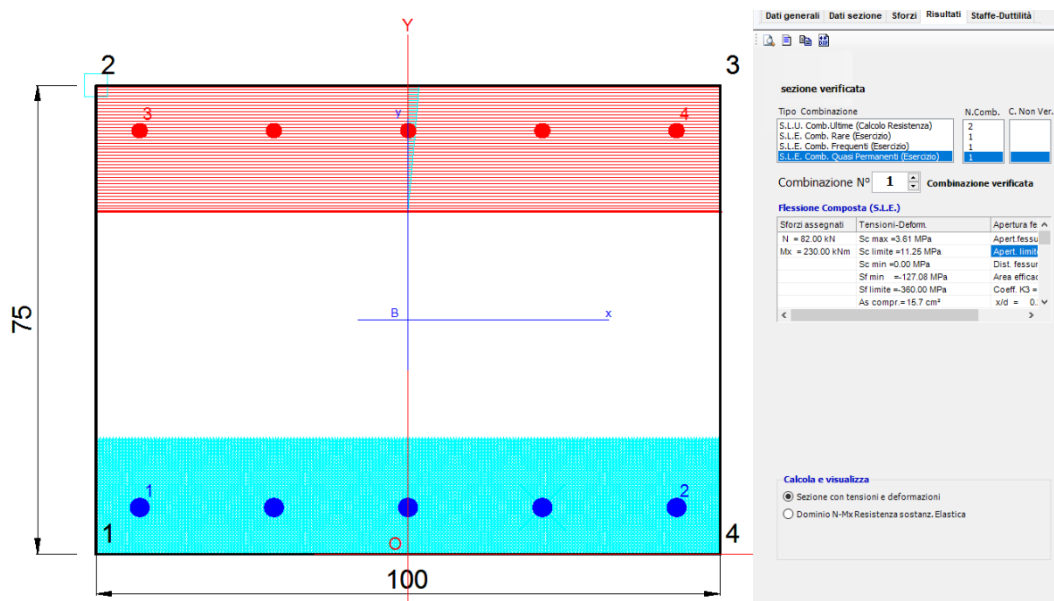


Figura 31 – Combinazione 3 - SLE – Verifiche di fessurazione e di tensione sulle barre

2.1.3 PEDEMONTANA DELLE MARCHE

3° stralcio funzionale: Castelraimondo nord – Castelraimondo sud

4° stralcio funzionale: Castelraimondo sud – innesto S.S. 77 a Muccia

Paratia di sottoscarpa con paramento in DX da 8+895 al km 9+005

Relazione tecnica e di calcolo

Opera L0703	Tratto 213	Settore E	CEE 16	WBS MU029	Id.doc REL	N.prog. 01	Rev. D	Pag.di Pag. 44 di 48
----------------	---------------	--------------	-----------	--------------	---------------	---------------	-----------	-------------------------

Tabella 28 – Verifica tensioni

COMBINAZIONE	TENSIONI ESERCIZIO	TENSIONI AMMISSIBILI
S.L.E. RARA	$\sigma_s = 127.08 \text{ MPa}$	360 MPa
	$\sigma_c = 3.61 \text{ MPa}$	19.18 MPa
S.L.E. QUASI PERMANENTE	$\sigma_s = 127.08 \text{ MPa}$	360 MPa
	$\sigma_c = 3.61 \text{ MPa}$	14.38 MPa

Tabella 29 – Verifica apertura fessure

COMBINAZIONE	MAX. APERTURA	FESSURA LIMITE
S.L.E. FREQUENTE	0.198 mm	0.3 mm
S.L.E. QUASI PERMANENTE	0.198 mm	0.2 mm

Il cordolo di testa di collegamento dei pali su cui è fondato il paramento, di altezza pari a 150 cm e larghezza pari a 180 cm, è stato dimensionato sulla base delle prescrizioni minime di armatura come riportato al capitolo 4.1.6.1.1 del NTC08.

Si prevede la seguente carpenteria ed armatura di calcolo:

- Armatura longitudinale: $28\phi 26\text{mm}$;
- Staffe: $\phi 16/20\text{cm} + \text{spille } \phi 16/40\text{cm}$;
- Copriferro netto: 5cm.

Il copriferro netto è stato calcolato considerando i limiti per le travi su terreno preparato secondo quanto riportato in normativa quantitativi di armatura soddisfano i requisiti da normativa UNI EN 1536:2003 e ENV 1992-1-1.

$$c_{nom} = c_{min} + \Delta_c = 40 + 10\text{mm} = 50\text{mm}$$

Il quantitativo di armatura longitudinale è stato verificato nei rispetti dei requisiti minimi e massimi da normativa UNI EN 1536:2003 e NTC08.

In particolare

$$A_s = 14\phi 26 = 0.0074 \text{ m}^2$$

$$A_{s,min} = 0.26 \frac{f_{ctm}}{f_{yk}} \cdot b_t \cdot d = 0.0045 \text{ m}^2 \text{ [4.1.6.1.1 NTC2008]}$$

$$A_{s,min} = 0.0013 \cdot b_t \cdot d = 0.0034 \text{ m}^2 \text{ [4.1.6.1.1 NTC2008]5}$$

$$A_{s,max} = 0.04 \cdot A_c = 0.108 \text{ m}^2 \text{ [4.1.6.1.1 NTC2008]}$$

Con

$$b = 1.5 \text{ m}$$

$$d = 1.72 \text{ m}$$



2.1.3 PEDEMONTANA DELLE MARCHE

3° stralcio funzionale: Castelraimondo nord – Castelraimondo sud

4° stralcio funzionale: Castelraimondo sud – innesto S.S. 77 a Muccia

Paratia di sottoscarpa con paramento in DX da 8+895 al km 9+005

Relazione tecnica e di calcolo

Opera L0703	Tratto 213	Settore E	CEE 16	WBS MU029	Id.doc REL	N.prog. 01	Rev. D	Pag.di Pag. 45 di 48
----------------	---------------	--------------	-----------	--------------	---------------	---------------	-----------	-------------------------

Il quantitativo di armatura trasversale è stato verificato nei rispetti dei requisiti minimi da normativa NTC08.

$$A_{sw} = 2 \text{ bracci } \frac{\phi 16}{20} + 2 \text{ spille } \frac{\phi 16}{40} = 2009 + 1004 = 3013 \frac{mm^2}{m}$$

$$A_{sw,min} = 1.5 b = 2250 \frac{mm^2}{m}$$

2.1.3 PEDEMONTANA DELLE MARCHE**3° stralcio funzionale: Castelraimondo nord – Castelraimondo sud****4° stralcio funzionale: Castelraimondo sud – innesto S.S. 77 a Muccia**

Paratia di sottoscarpa con paramento in DX da 8+895 al km 9+005

Relazione tecnica e di calcolo

Opera L0703	Tratto 213	Settore E	CEE 16	WBS MU029	Id.doc REL	N.prog. 01	Rev. D	Pag.di Pag. 46 di 48
----------------	---------------	--------------	-----------	--------------	---------------	---------------	-----------	-------------------------

11. CONCLUSIONI

La presente relazione tecnica e di calcolo riassume i criteri di dimensionamento, le analisi e le verifiche condotte sulle opere di stabilità profonda dei terreni di fondazione del rilevato da progressiva 8+895 a progressiva 9+005 dei Lotti 3 e 4 dell'opera Pedemontana delle Marche.

Le verifiche geotecniche e strutturali risultano soddisfatte per gli stati limite considerati secondo le normative di riferimento.



2.1.3 PEDEMONTANA DELLE MARCHE

3° stralcio funzionale: Castelraimondo nord – Castelraimondo sud

4° stralcio funzionale: Castelraimondo sud – innesto S.S. 77 a Muccia

Paratia di sottoscarpa con paramento in DX da 8+895 al km 9+005

Relazione tecnica e di calcolo

Opera L0703	Tratto 213	Settore E	CEE 16	WBS MU029	Id.doc REL	N.prog. 01	Rev. D	Pag.di Pag. 47 di 48
----------------	---------------	--------------	-----------	--------------	---------------	---------------	-----------	-------------------------

APPENDICE A

REPORT DI CALCOLO VERIFICHE GEOTECNICHE



Report di Calcolo

Sommario

Contenuto Sommario

1. Descrizione del Software

ParatiePlus è un codice agli elementi finiti che simula il problema di uno scavo sostenuto da diaframmi flessibili e permette di valutare il comportamento della parete di sostegno durante tutte le fasi intermedie e nella configurazione finale.

2. Descrizione della Stratigrafia e degli Strati di Terreno

Tipo : HORIZONTAL

Quota : 0 m

OCR : 1

Tipo : HORIZONTAL

Quota : -4.7 m

OCR : 1

Tipo : HORIZONTAL

Quota : -15.99 m

OCR : 1

Tipo : HORIZONTAL

Quota : -17.67 m

OCR : 1

Strato di Terreno	Terreno	γ dry	γ sat	ϕ'	ϕ	ϕ_{cv}	ϕ_p	c'	Su	Modulo Elastico	Eu	Evc	Eur	Ah	Av	exp Pa	Rur/Rvc	Rvc	Ku	Kvc	Kur	
		kN/m ³	kN/m ³	°	°	°	°	kPa	kPa			kPa	kPa			kPa		kPa	kN/m ³	kN/m ³	kN/m ³	
1	rilevato	20	20	35				0		Constant		50000	150000									
2	Ala	19.5	19.5	25				0		Constant		35000	105000									
3	Salt	20	20	26				10		Constant		200000	600000									
4	Sch	23	23	31				55		Constant		135000	405000									

3. Descrizione Pareti

X : 0 m

Quota in alto : -4.7 m

Quota di fondo : -18.2 m

Muro di sinistra

Sezione : pali 1500/1.7

Area equivalente : 1.03949756920251 m

Inerzia equivalente : 0.1462 m⁴/m

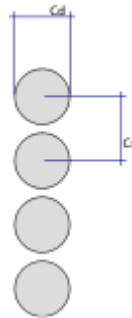
Materiale calcestruzzo : C32/40

Tipo sezione : Tangent

Spaziatura : 1.7 m

Diametro : 1.5 m

Efficacia : 1



X : 0 m

Quota in alto : 0 m

Quota di fondo : -4.7 m

Muro di sinistra

Sezione : muro 71cm

Area equivalente : 0.71 m

Inerzia equivalente : 0.035 m⁴/m

Materiale calcestruzzo : C20/25

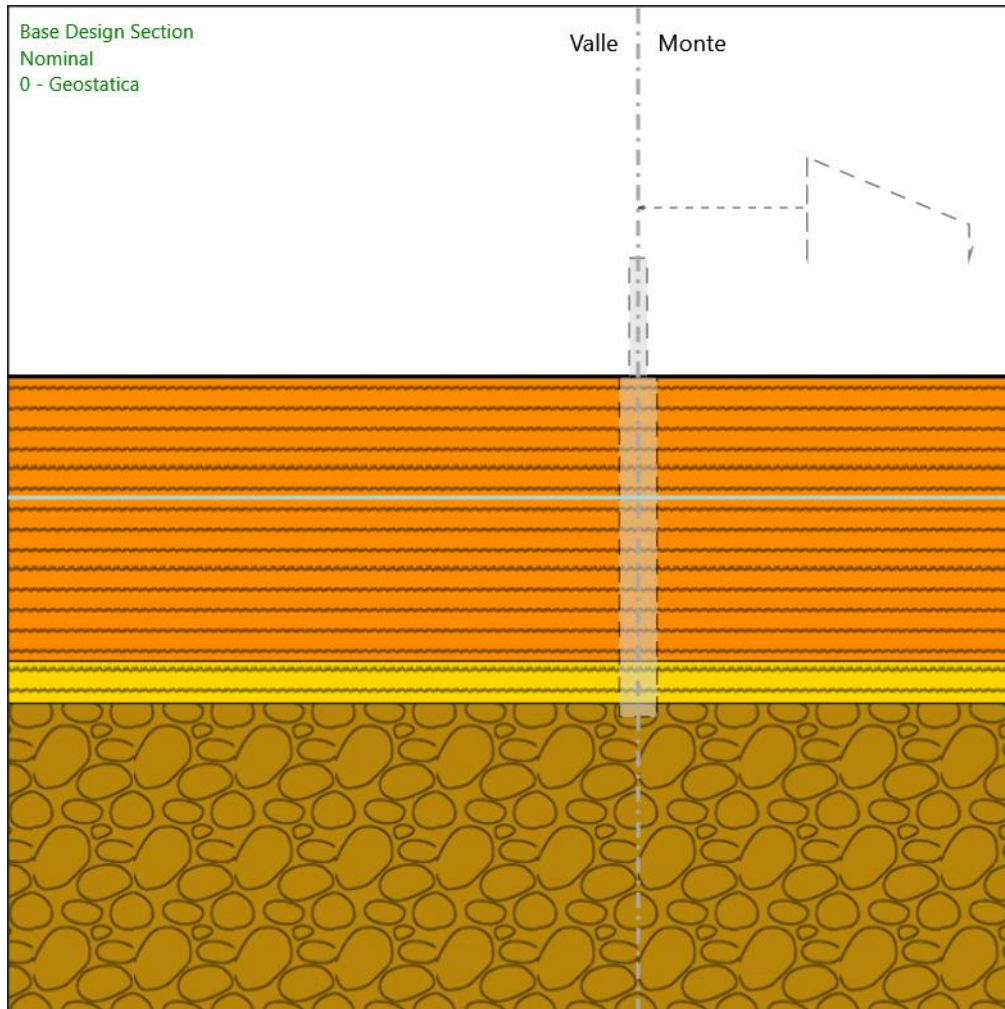
Tipo sezione : None

Spessore : 0.6 m

Efficacia : 1

4. Fasi di Calcolo

4.1. 0 - Geostatica



0 - Geostatica

Scavo

Muro di sinistra

Lato monte : -4.7 m

Lato valle : -4.7 m

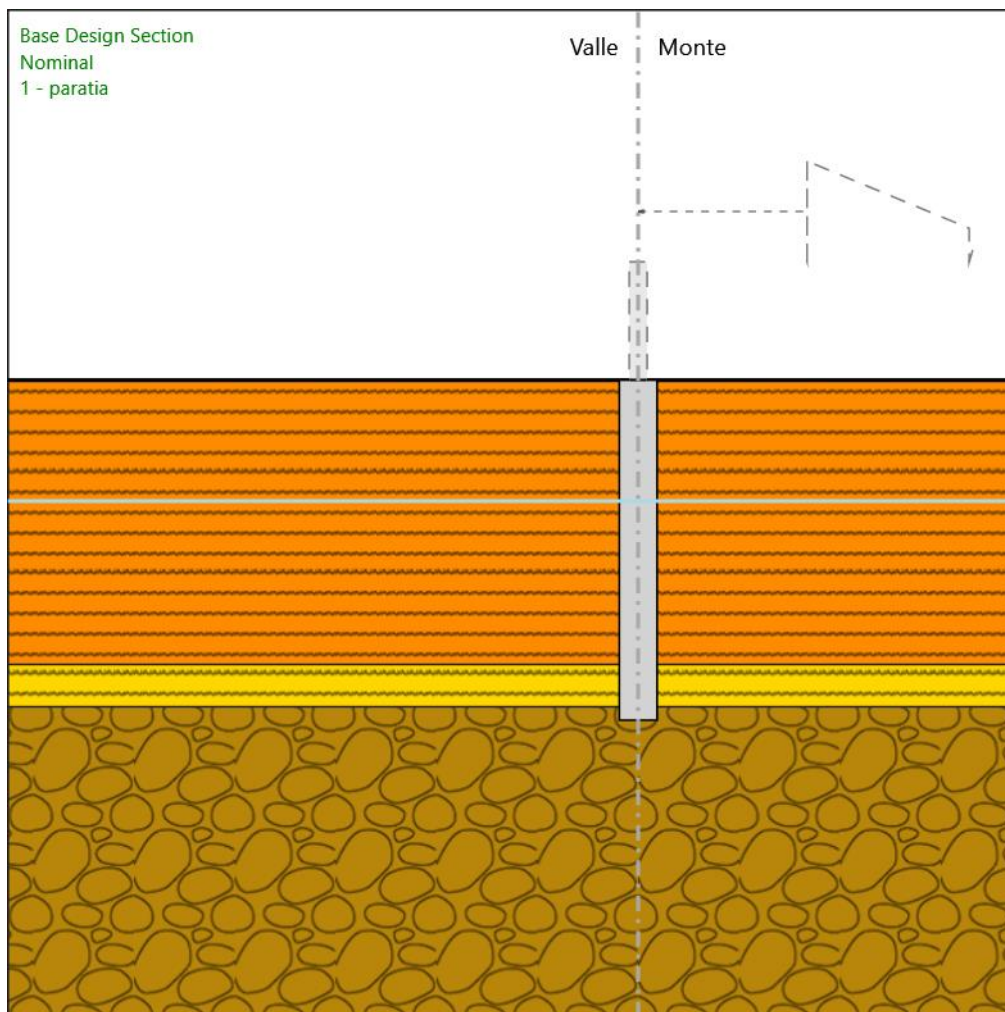
Linea di scavo di sinistra (Orizzontale)

-4.7 m

Linea di scavo di destra (Orizzontale)

-4.7 m

4.2. 1 - paratia



1 - paratia

Scavo

Muro di sinistra

Lato monte : -4.7 m

Lato valle : -4.7 m

Linea di scavo di sinistra (Orizzontale)

-4.7 m

Linea di scavo di destra (Orizzontale)

-4.7 m

Elementi strutturali

Paratia : pali 1500/1.7

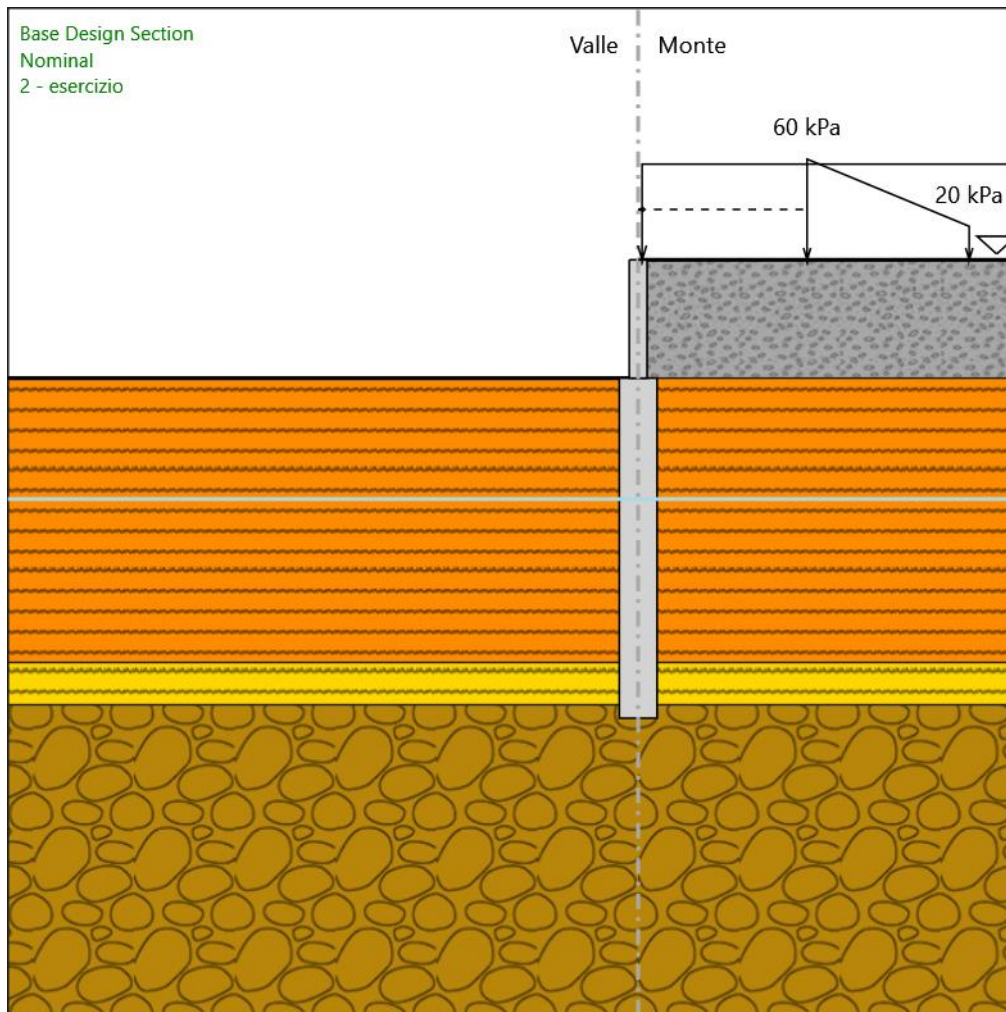
X : 0 m

Quota in alto : -4.7 m

Quota di fondo : -18.2 m

Sezione : pali 1500/1.7

4.3. 2 - esercizio



2 - esercizio

Scavo

Muro di sinistra

Lato monte : 0 m

Lato valle : -4.7 m

Linea di scavo di sinistra (Orizzontale)

-4.7 m

Linea di scavo di destra (Orizzontale)

0 m

Elementi strutturali

Paratia : pali 1500/1.7

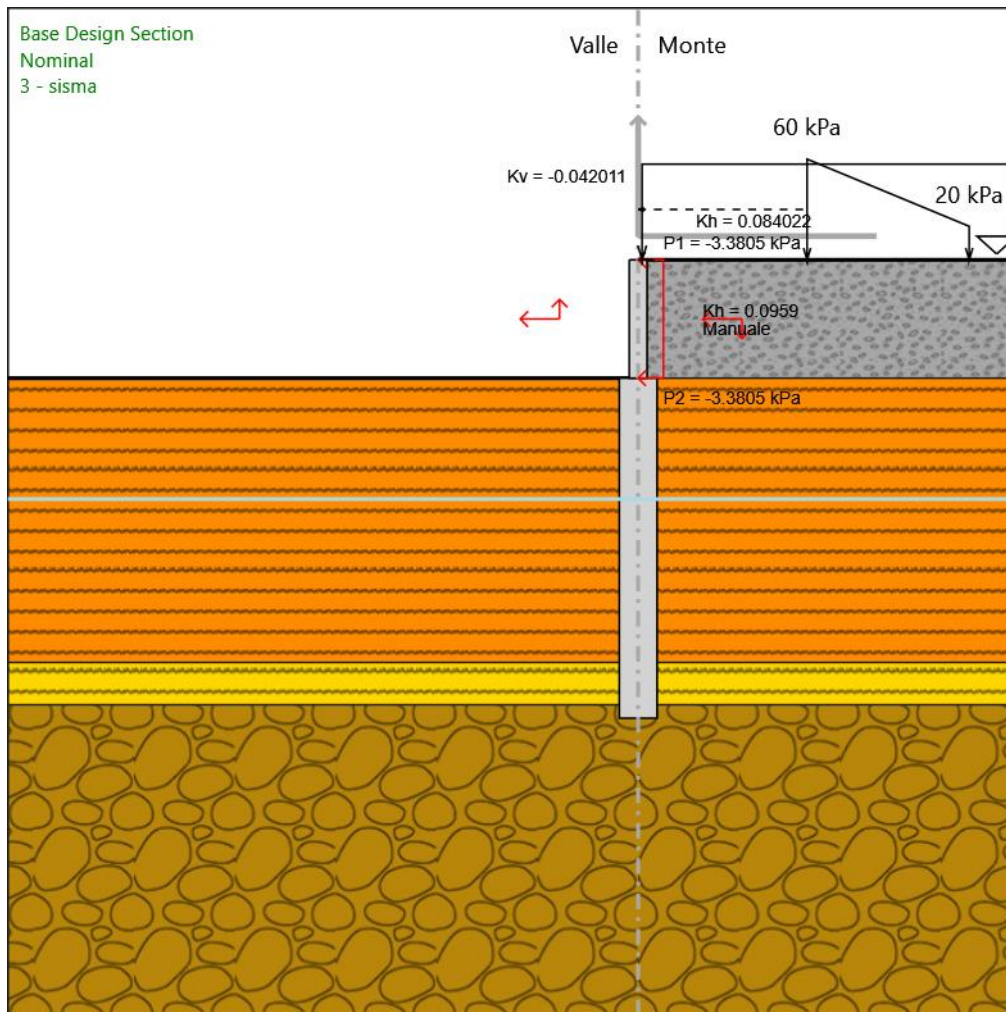
X : 0 m

Quota in alto : -4.7 m

Quota di fondo : -18.2 m

Sezione : pali 1500/1.7
Paratia : muro71cm
X : 0 m
Quota in alto : 0 m
Quota di fondo : -4.7 m
Sezione : muro 71cm

4.4. 3 - sisma



3 - sisma

Scavo

Muro di sinistra

Lato monte : 0 m

Lato valle : -4.7 m

Linea di scavo di sinistra (Orizzontale)

-4.7 m

Linea di scavo di destra (Orizzontale)

0 m

Elementi strutturali

Paratia : pali 1500/1.7

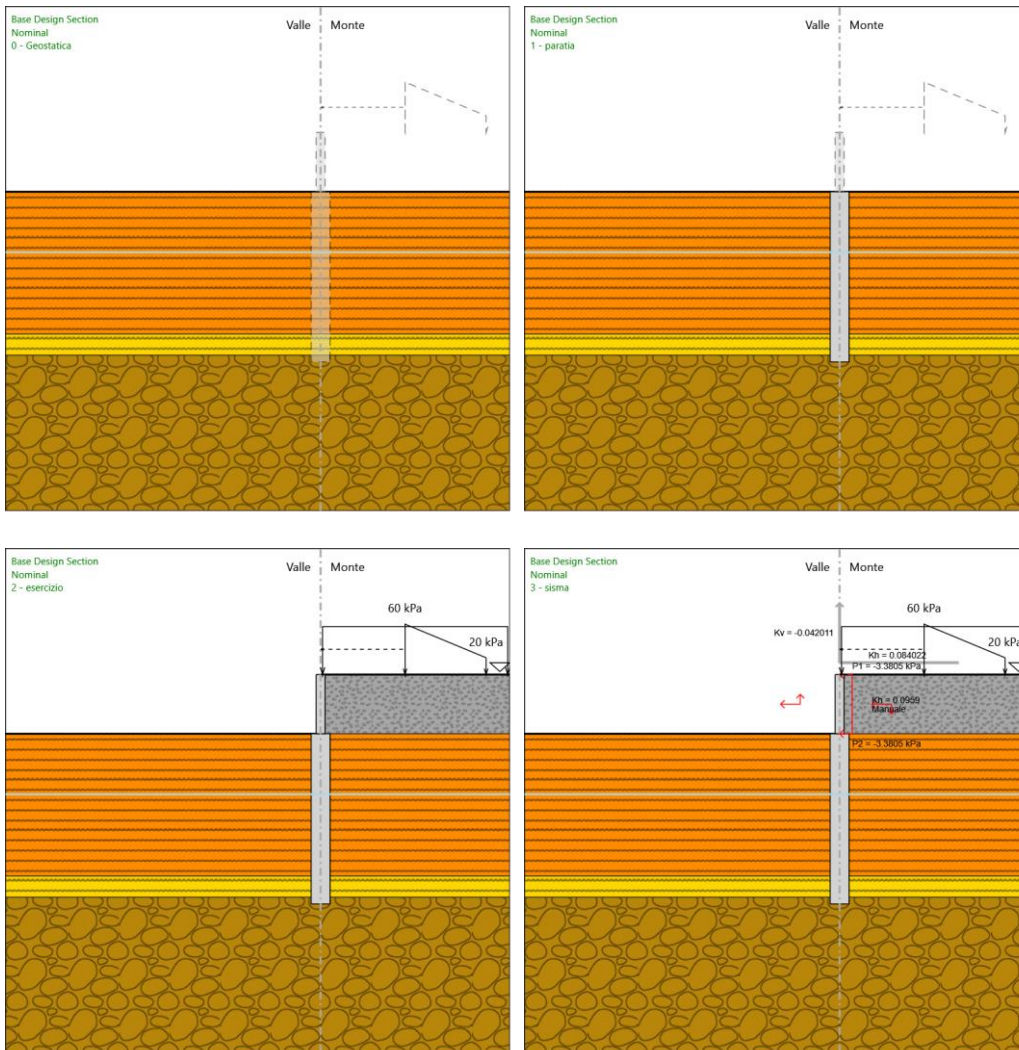
X : 0 m

Quota in alto : -4.7 m

Quota di fondo : -18.2 m

Sezione : pali 1500/1.7
Paratia : muro71cm
X : 0 m
Quota in alto : 0 m
Quota di fondo : -4.7 m
Sezione : muro 71cm

4.5. Tabella Configurazione Stage (Nominal)



5. Grafici dei Risultati

5.1. Design Assumption : Nominal

5.1.1. Tabella Spostamento Nominal - LEFT Stage: 0 - Geostatica

Design Assumption: Nominal	Tipo Risultato: Spostamento	Muro: LEFT
Stage	Z (m)	Spostamento orizzontale (mm)
0 - Geostatica	0	0
0 - Geostatica	-0.2	0
0 - Geostatica	-0.4	0
0 - Geostatica	-0.6	0
0 - Geostatica	-0.8	0
0 - Geostatica	-1	0
0 - Geostatica	-1.2	0
0 - Geostatica	-1.4	0
0 - Geostatica	-1.6	0
0 - Geostatica	-1.8	0
0 - Geostatica	-2	0
0 - Geostatica	-2.2	0
0 - Geostatica	-2.4	0
0 - Geostatica	-2.6	0
0 - Geostatica	-2.8	0
0 - Geostatica	-3	0
0 - Geostatica	-3.2	0
0 - Geostatica	-3.4	0
0 - Geostatica	-3.6	0
0 - Geostatica	-3.8	0
0 - Geostatica	-4	0
0 - Geostatica	-4.2	0
0 - Geostatica	-4.4	0
0 - Geostatica	-4.6	0
0 - Geostatica	-4.7	0
0 - Geostatica	-4.9	0
0 - Geostatica	-5.1	0
0 - Geostatica	-5.3	0
0 - Geostatica	-5.5	0
0 - Geostatica	-5.7	0
0 - Geostatica	-5.9	0
0 - Geostatica	-6.1	0
0 - Geostatica	-6.3	0
0 - Geostatica	-6.5	0
0 - Geostatica	-6.7	0
0 - Geostatica	-6.9	0
0 - Geostatica	-7.1	0
0 - Geostatica	-7.3	0
0 - Geostatica	-7.5	0
0 - Geostatica	-7.7	0
0 - Geostatica	-7.9	0
0 - Geostatica	-8.1	0
0 - Geostatica	-8.3	0
0 - Geostatica	-8.5	0
0 - Geostatica	-8.7	0
0 - Geostatica	-8.9	0
0 - Geostatica	-9.1	0
0 - Geostatica	-9.3	0
0 - Geostatica	-9.5	0
0 - Geostatica	-9.7	0
0 - Geostatica	-9.9	0
0 - Geostatica	-10.1	0
0 - Geostatica	-10.3	0
0 - Geostatica	-10.5	0
0 - Geostatica	-10.7	0
0 - Geostatica	-10.9	0
0 - Geostatica	-11.1	0
0 - Geostatica	-11.3	0
0 - Geostatica	-11.5	0
0 - Geostatica	-11.7	0
0 - Geostatica	-11.9	0

Design Assumption: Nominal Tipo Risultato: Spostamento			Muro: LEFT
Stage	Z (m)	Spostamento orizzontale (mm)	
0 - Geostatica	-12.1	0	
0 - Geostatica	-12.3	0	
0 - Geostatica	-12.5	0	
0 - Geostatica	-12.7	0	
0 - Geostatica	-12.9	0	
0 - Geostatica	-13.1	0	
0 - Geostatica	-13.3	0	
0 - Geostatica	-13.5	0	
0 - Geostatica	-13.7	0	
0 - Geostatica	-13.9	0	
0 - Geostatica	-14.1	0	
0 - Geostatica	-14.3	0	
0 - Geostatica	-14.5	0	
0 - Geostatica	-14.7	0	
0 - Geostatica	-14.9	0	
0 - Geostatica	-15.1	0	
0 - Geostatica	-15.3	0	
0 - Geostatica	-15.5	0	
0 - Geostatica	-15.7	0	
0 - Geostatica	-15.9	0	
0 - Geostatica	-16.1	0	
0 - Geostatica	-16.3	0	
0 - Geostatica	-16.5	0	
0 - Geostatica	-16.7	0	
0 - Geostatica	-16.9	0	
0 - Geostatica	-17.1	0	
0 - Geostatica	-17.3	0	
0 - Geostatica	-17.5	0	
0 - Geostatica	-17.7	0	
0 - Geostatica	-17.9	0	
0 - Geostatica	-18.1	0	
0 - Geostatica	-18.2	0	

5.1.2. Tabella Spostamento Nominal - LEFT Stage: 1 - paratia

Design Assumption: Nominal	Tipo Risultato: Spostamento	Muro: LEFT
Stage	Z (m)	Spostamento orizzontale (mm)
1 - paratia	0	0
1 - paratia	-0.2	0
1 - paratia	-0.4	0
1 - paratia	-0.6	0
1 - paratia	-0.8	0
1 - paratia	-1	0
1 - paratia	-1.2	0
1 - paratia	-1.4	0
1 - paratia	-1.6	0
1 - paratia	-1.8	0
1 - paratia	-2	0
1 - paratia	-2.2	0
1 - paratia	-2.4	0
1 - paratia	-2.6	0
1 - paratia	-2.8	0
1 - paratia	-3	0
1 - paratia	-3.2	0
1 - paratia	-3.4	0
1 - paratia	-3.6	0
1 - paratia	-3.8	0
1 - paratia	-4	0
1 - paratia	-4.2	0
1 - paratia	-4.4	0
1 - paratia	-4.6	0
1 - paratia	-4.7	0
1 - paratia	-4.9	0
1 - paratia	-5.1	0
1 - paratia	-5.3	0
1 - paratia	-5.5	0
1 - paratia	-5.7	0
1 - paratia	-5.9	0
1 - paratia	-6.1	0
1 - paratia	-6.3	0
1 - paratia	-6.5	0
1 - paratia	-6.7	0
1 - paratia	-6.9	0
1 - paratia	-7.1	0
1 - paratia	-7.3	0
1 - paratia	-7.5	0
1 - paratia	-7.7	0
1 - paratia	-7.9	0
1 - paratia	-8.1	0
1 - paratia	-8.3	0
1 - paratia	-8.5	0
1 - paratia	-8.7	0
1 - paratia	-8.9	0
1 - paratia	-9.1	0
1 - paratia	-9.3	0
1 - paratia	-9.5	0
1 - paratia	-9.7	0
1 - paratia	-9.9	0
1 - paratia	-10.1	0
1 - paratia	-10.3	0
1 - paratia	-10.5	0
1 - paratia	-10.7	0
1 - paratia	-10.9	0
1 - paratia	-11.1	0
1 - paratia	-11.3	0
1 - paratia	-11.5	0
1 - paratia	-11.7	0
1 - paratia	-11.9	0
1 - paratia	-12.1	0
1 - paratia	-12.3	0
1 - paratia	-12.5	0
1 - paratia	-12.7	0
1 - paratia	-12.9	0
1 - paratia	-13.1	0

Design Assumption: Nominal Tipo Risultato: Spostamento		Muro: LEFT
Stage	Z (m)	Spostamento orizzontale (mm)
1 - paratia	-13.3	0
1 - paratia	-13.5	0
1 - paratia	-13.7	0
1 - paratia	-13.9	0
1 - paratia	-14.1	0
1 - paratia	-14.3	0
1 - paratia	-14.5	0
1 - paratia	-14.7	0
1 - paratia	-14.9	0
1 - paratia	-15.1	0
1 - paratia	-15.3	0
1 - paratia	-15.5	0
1 - paratia	-15.7	0
1 - paratia	-15.9	0
1 - paratia	-16.1	0
1 - paratia	-16.3	0
1 - paratia	-16.5	0
1 - paratia	-16.7	0
1 - paratia	-16.9	0
1 - paratia	-17.1	0
1 - paratia	-17.3	0
1 - paratia	-17.5	0
1 - paratia	-17.7	0
1 - paratia	-17.9	0
1 - paratia	-18.1	0
1 - paratia	-18.2	0

5.1.3. Tabella Spostamento Nominal - LEFT Stage: 2 - esercizio

Design Assumption: Nominal	Tipo Risultato: Spostamento	Muro: LEFT
Stage	Z (m)	Spostamento orizzontale (mm)
2 - esercizio	0	-30.41
2 - esercizio	-0.2	-29.93
2 - esercizio	-0.4	-29.45
2 - esercizio	-0.6	-28.97
2 - esercizio	-0.8	-28.49
2 - esercizio	-1	-28.01
2 - esercizio	-1.2	-27.53
2 - esercizio	-1.4	-27.05
2 - esercizio	-1.6	-26.57
2 - esercizio	-1.8	-26.09
2 - esercizio	-2	-25.62
2 - esercizio	-2.2	-25.14
2 - esercizio	-2.4	-24.66
2 - esercizio	-2.6	-24.19
2 - esercizio	-2.8	-23.72
2 - esercizio	-3	-23.25
2 - esercizio	-3.2	-22.79
2 - esercizio	-3.4	-22.32
2 - esercizio	-3.6	-21.87
2 - esercizio	-3.8	-21.41
2 - esercizio	-4	-20.96
2 - esercizio	-4.2	-20.52
2 - esercizio	-4.4	-20.08
2 - esercizio	-4.6	-19.65
2 - esercizio	-4.7	-19.43
2 - esercizio	-4.9	-19.01
2 - esercizio	-5.1	-18.59
2 - esercizio	-5.3	-18.17
2 - esercizio	-5.5	-17.76
2 - esercizio	-5.7	-17.34
2 - esercizio	-5.9	-16.93
2 - esercizio	-6.1	-16.52
2 - esercizio	-6.3	-16.12
2 - esercizio	-6.5	-15.72
2 - esercizio	-6.7	-15.32
2 - esercizio	-6.9	-14.93
2 - esercizio	-7.1	-14.54
2 - esercizio	-7.3	-14.16
2 - esercizio	-7.5	-13.78
2 - esercizio	-7.7	-13.41
2 - esercizio	-7.9	-13.04
2 - esercizio	-8.1	-12.68
2 - esercizio	-8.3	-12.32
2 - esercizio	-8.5	-11.96
2 - esercizio	-8.7	-11.61
2 - esercizio	-8.9	-11.27
2 - esercizio	-9.1	-10.93
2 - esercizio	-9.3	-10.59
2 - esercizio	-9.5	-10.27
2 - esercizio	-9.7	-9.94
2 - esercizio	-9.9	-9.62
2 - esercizio	-10.1	-9.31
2 - esercizio	-10.3	-9
2 - esercizio	-10.5	-8.7
2 - esercizio	-10.7	-8.4
2 - esercizio	-10.9	-8.1
2 - esercizio	-11.1	-7.81
2 - esercizio	-11.3	-7.53
2 - esercizio	-11.5	-7.25
2 - esercizio	-11.7	-6.97
2 - esercizio	-11.9	-6.7
2 - esercizio	-12.1	-6.43
2 - esercizio	-12.3	-6.17
2 - esercizio	-12.5	-5.9
2 - esercizio	-12.7	-5.65
2 - esercizio	-12.9	-5.4
2 - esercizio	-13.1	-5.15

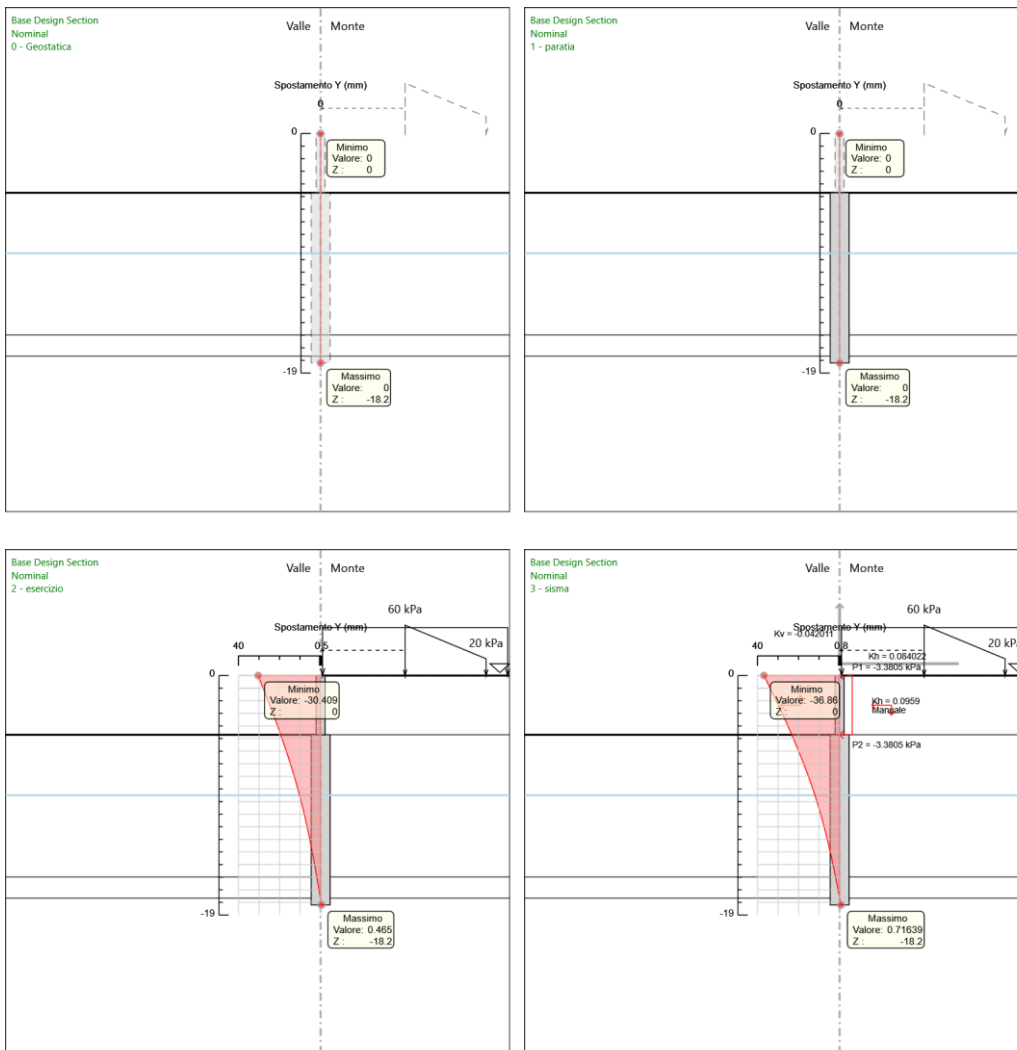
Design Assumption: Nominal Tipo Risultato: Spostamento		Muro: LEFT
Stage	Z (m)	Spostamento orizzontale (mm)
2 - esercizio	-13.3	-4.9
2 - esercizio	-13.5	-4.66
2 - esercizio	-13.7	-4.42
2 - esercizio	-13.9	-4.18
2 - esercizio	-14.1	-3.94
2 - esercizio	-14.3	-3.71
2 - esercizio	-14.5	-3.48
2 - esercizio	-14.7	-3.26
2 - esercizio	-14.9	-3.03
2 - esercizio	-15.1	-2.81
2 - esercizio	-15.3	-2.59
2 - esercizio	-15.5	-2.37
2 - esercizio	-15.7	-2.15
2 - esercizio	-15.9	-1.94
2 - esercizio	-16.1	-1.73
2 - esercizio	-16.3	-1.51
2 - esercizio	-16.5	-1.3
2 - esercizio	-16.7	-1.09
2 - esercizio	-16.9	-0.88
2 - esercizio	-17.1	-0.67
2 - esercizio	-17.3	-0.47
2 - esercizio	-17.5	-0.26
2 - esercizio	-17.7	-0.05
2 - esercizio	-17.9	0.15
2 - esercizio	-18.1	0.36
2 - esercizio	-18.2	0.47

5.1.4. Tabella Spostamento Nominal - LEFT Stage: 3 - sisma

Design Assumption: Nominal	Tipo Risultato: Spostamento	Muro: LEFT
Stage	Z (m)	Spostamento orizzontale (mm)
3 - sisma	0	-36.86
3 - sisma	-0.2	-36.27
3 - sisma	-0.4	-35.67
3 - sisma	-0.6	-35.08
3 - sisma	-0.8	-34.49
3 - sisma	-1	-33.89
3 - sisma	-1.2	-33.3
3 - sisma	-1.4	-32.71
3 - sisma	-1.6	-32.12
3 - sisma	-1.8	-31.53
3 - sisma	-2	-30.94
3 - sisma	-2.2	-30.35
3 - sisma	-2.4	-29.76
3 - sisma	-2.6	-29.18
3 - sisma	-2.8	-28.6
3 - sisma	-3	-28.02
3 - sisma	-3.2	-27.45
3 - sisma	-3.4	-26.88
3 - sisma	-3.6	-26.31
3 - sisma	-3.8	-25.75
3 - sisma	-4	-25.2
3 - sisma	-4.2	-24.65
3 - sisma	-4.4	-24.11
3 - sisma	-4.6	-23.58
3 - sisma	-4.7	-23.32
3 - sisma	-4.9	-22.79
3 - sisma	-5.1	-22.28
3 - sisma	-5.3	-21.76
3 - sisma	-5.5	-21.25
3 - sisma	-5.7	-20.74
3 - sisma	-5.9	-20.23
3 - sisma	-6.1	-19.73
3 - sisma	-6.3	-19.24
3 - sisma	-6.5	-18.74
3 - sisma	-6.7	-18.26
3 - sisma	-6.9	-17.77
3 - sisma	-7.1	-17.29
3 - sisma	-7.3	-16.82
3 - sisma	-7.5	-16.36
3 - sisma	-7.7	-15.9
3 - sisma	-7.9	-15.44
3 - sisma	-8.1	-14.99
3 - sisma	-8.3	-14.55
3 - sisma	-8.5	-14.12
3 - sisma	-8.7	-13.69
3 - sisma	-8.9	-13.26
3 - sisma	-9.1	-12.85
3 - sisma	-9.3	-12.44
3 - sisma	-9.5	-12.04
3 - sisma	-9.7	-11.64
3 - sisma	-9.9	-11.25
3 - sisma	-10.1	-10.87
3 - sisma	-10.3	-10.49
3 - sisma	-10.5	-10.12
3 - sisma	-10.7	-9.76
3 - sisma	-10.9	-9.4
3 - sisma	-11.1	-9.05
3 - sisma	-11.3	-8.7
3 - sisma	-11.5	-8.36
3 - sisma	-11.7	-8.03
3 - sisma	-11.9	-7.7
3 - sisma	-12.1	-7.38
3 - sisma	-12.3	-7.06
3 - sisma	-12.5	-6.75
3 - sisma	-12.7	-6.44
3 - sisma	-12.9	-6.14
3 - sisma	-13.1	-5.85

Design Assumption: Nominal Tipo Risultato: Spostamento		Muro: LEFT
Stage	Z (m)	Spostamento orizzontale (mm)
3 - sisma	-13.3	-5.55
3 - sisma	-13.5	-5.26
3 - sisma	-13.7	-4.98
3 - sisma	-13.9	-4.7
3 - sisma	-14.1	-4.42
3 - sisma	-14.3	-4.15
3 - sisma	-14.5	-3.88
3 - sisma	-14.7	-3.61
3 - sisma	-14.9	-3.35
3 - sisma	-15.1	-3.09
3 - sisma	-15.3	-2.83
3 - sisma	-15.5	-2.58
3 - sisma	-15.7	-2.32
3 - sisma	-15.9	-2.07
3 - sisma	-16.1	-1.83
3 - sisma	-16.3	-1.58
3 - sisma	-16.5	-1.33
3 - sisma	-16.7	-1.09
3 - sisma	-16.9	-0.85
3 - sisma	-17.1	-0.6
3 - sisma	-17.3	-0.36
3 - sisma	-17.5	-0.12
3 - sisma	-17.7	0.12
3 - sisma	-17.9	0.36
3 - sisma	-18.1	0.6
3 - sisma	-18.2	0.72

5.1.5. Grafici Spostamento in tabella



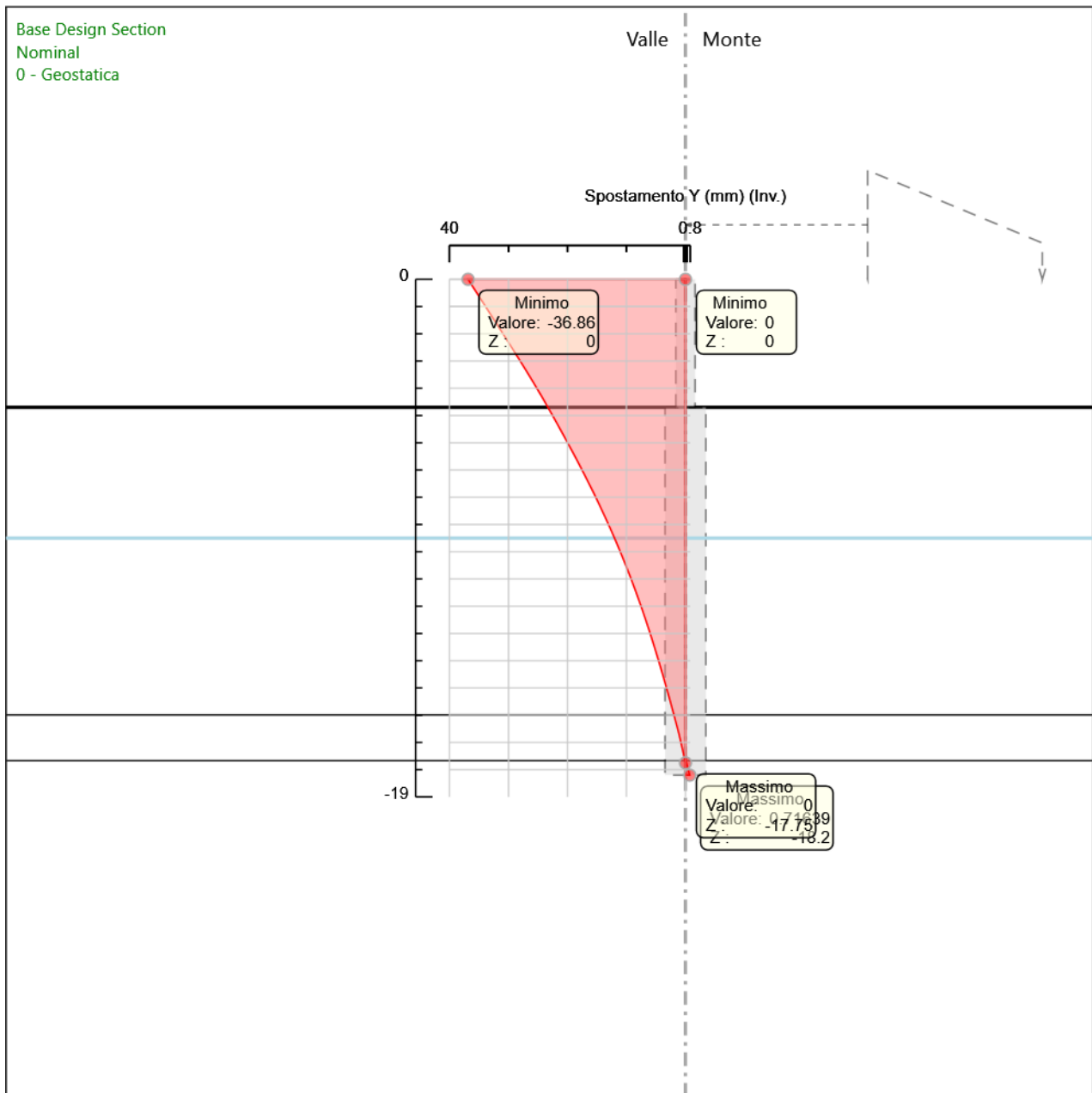
5.2. Involuppi Spostamento Nominal

5.2.1. Tabella Involuppi Spostamento orizzontale Nominal Left Wall

Selected Design Assumptions Involuppi: Spostamento orizzontale Muro: LEFT		
Z (m)	Lato sinistro (mm)	Lato destro (mm)
0	-36.86	0
-0.2	-36.27	0
-0.4	-35.67	0
-0.6	-35.08	0
-0.8	-34.49	0
-1	-33.89	0
-1.2	-33.3	0
-1.4	-32.71	0
-1.6	-32.12	0
-1.8	-31.53	0
-2	-30.94	0
-2.2	-30.35	0
-2.4	-29.76	0
-2.6	-29.18	0
-2.8	-28.6	0
-3	-28.02	0
-3.2	-27.45	0
-3.4	-26.88	0
-3.6	-26.31	0
-3.8	-25.75	0
-4	-25.2	0
-4.2	-24.65	0
-4.4	-24.11	0
-4.6	-23.58	0
-4.7	-23.32	0
-4.9	-22.79	0
-5.1	-22.28	0
-5.3	-21.76	0
-5.5	-21.25	0
-5.7	-20.74	0
-5.9	-20.23	0
-6.1	-19.73	0
-6.3	-19.24	0
-6.5	-18.74	0
-6.7	-18.26	0
-6.9	-17.77	0
-7.1	-17.29	0
-7.3	-16.82	0
-7.5	-16.36	0
-7.7	-15.9	0
-7.9	-15.44	0
-8.1	-14.99	0
-8.3	-14.55	0
-8.5	-14.12	0
-8.7	-13.69	0
-8.9	-13.26	0
-9.1	-12.85	0
-9.3	-12.44	0
-9.5	-12.04	0
-9.7	-11.64	0
-9.9	-11.25	0
-10.1	-10.87	0
-10.3	-10.49	0
-10.5	-10.12	0
-10.7	-9.76	0
-10.9	-9.4	0
-11.1	-9.05	0
-11.3	-8.7	0
-11.5	-8.36	0
-11.7	-8.03	0
-11.9	-7.7	0
-12.1	-7.38	0
-12.3	-7.06	0
-12.5	-6.75	0

Selected Design Assumptions Involuppi: Spostamento orizzontale Muro: LEFT		
Z (m)	Lato sinistro (mm)	Lato destro (mm)
-12.7	-6.44	0
-12.9	-6.14	0
-13.1	-5.85	0
-13.3	-5.55	0
-13.5	-5.26	0
-13.7	-4.98	0
-13.9	-4.7	0
-14.1	-4.42	0
-14.3	-4.15	0
-14.5	-3.88	0
-14.7	-3.61	0
-14.9	-3.35	0
-15.1	-3.09	0
-15.3	-2.83	0
-15.5	-2.58	0
-15.7	-2.32	0
-15.9	-2.07	0
-16.1	-1.83	0
-16.3	-1.58	0
-16.5	-1.33	0
-16.7	-1.09	0
-16.9	-0.88	0
-17.1	-0.67	0
-17.3	-0.47	0
-17.5	-0.26	0
-17.603	0	0
-17.7	-0.05	0.12
-17.9	0	0.36
-18.1	0	0.6
-18.2	0	0.72

5.2.3. Grafico Involuppi Spostamento



Spostamento

5.3. Risultati Paratia

5.3.1. Tabella Risultati Paratia Nominal - Stage: 0 - Geostatica

Design Assumption: Nominal Risultati Paratia		Muro: LEFT	
Stage	Z (m)	Momento (kN*m/m)	Taglio (kN/m)
0 - Geostatica	-4.7	0	0
0 - Geostatica	-4.9	0	0
0 - Geostatica	-5.1	0	0
0 - Geostatica	-5.3	0	0
0 - Geostatica	-5.5	0	0
0 - Geostatica	-5.7	0	0
0 - Geostatica	-5.9	0	0
0 - Geostatica	-6.1	0	0
0 - Geostatica	-6.3	0	0
0 - Geostatica	-6.5	0	0
0 - Geostatica	-6.7	0	0
0 - Geostatica	-6.9	0	0
0 - Geostatica	-7.1	0	0
0 - Geostatica	-7.3	0	0
0 - Geostatica	-7.5	0	0
0 - Geostatica	-7.7	0	0
0 - Geostatica	-7.9	0	0
0 - Geostatica	-8.1	0	0
0 - Geostatica	-8.3	0	0
0 - Geostatica	-8.5	0	0
0 - Geostatica	-8.7	0	0
0 - Geostatica	-8.9	0	0
0 - Geostatica	-9.1	0	0
0 - Geostatica	-9.3	0	0
0 - Geostatica	-9.5	0	0
0 - Geostatica	-9.7	0	0
0 - Geostatica	-9.9	0	0
0 - Geostatica	-10.1	0	0
0 - Geostatica	-10.3	0	0
0 - Geostatica	-10.5	0	0
0 - Geostatica	-10.7	0	0
0 - Geostatica	-10.9	0	0
0 - Geostatica	-11.1	0	0
0 - Geostatica	-11.3	0	0
0 - Geostatica	-11.5	0	0
0 - Geostatica	-11.7	0	0
0 - Geostatica	-11.9	0	0
0 - Geostatica	-12.1	0	0
0 - Geostatica	-12.3	0	0
0 - Geostatica	-12.5	0	0
0 - Geostatica	-12.7	0	0
0 - Geostatica	-12.9	0	0
0 - Geostatica	-13.1	0	0
0 - Geostatica	-13.3	0	0
0 - Geostatica	-13.5	0	0
0 - Geostatica	-13.7	0	0
0 - Geostatica	-13.9	0	0
0 - Geostatica	-14.1	0	0
0 - Geostatica	-14.3	0	0
0 - Geostatica	-14.5	0	0
0 - Geostatica	-14.7	0	0
0 - Geostatica	-14.9	0	0
0 - Geostatica	-15.1	0	0
0 - Geostatica	-15.3	0	0
0 - Geostatica	-15.5	0	0
0 - Geostatica	-15.7	0	0
0 - Geostatica	-15.9	0	0
0 - Geostatica	-16.1	0	0
0 - Geostatica	-16.3	0	0
0 - Geostatica	-16.5	0	0
0 - Geostatica	-16.7	0	0
0 - Geostatica	-16.9	0	0
0 - Geostatica	-17.1	0	0
0 - Geostatica	-17.3	0	0

Design Assumption: Nominal Risultati Paratia		Muro: LEFT	
Stage	Z (m)	Momento (kN*m/m)	Taglio (kN/m)
0 - Geostatica	-17.5	0	0
0 - Geostatica	-17.7	0	0
0 - Geostatica	-17.9	0	0
0 - Geostatica	-18.1	0	0
0 - Geostatica	-18.2	0	0

Design Assumption: Nominal Risultati Paratia		Muro: LEFT	
Stage	Z (m)	Momento (kN*m/m)	Taglio (kN/m)
0 - Geostatica	0	0	0
0 - Geostatica	-0.2	0	0
0 - Geostatica	-0.4	0	0
0 - Geostatica	-0.6	0	0
0 - Geostatica	-0.8	0	0
0 - Geostatica	-1	0	0
0 - Geostatica	-1.2	0	0
0 - Geostatica	-1.4	0	0
0 - Geostatica	-1.6	0	0
0 - Geostatica	-1.8	0	0
0 - Geostatica	-2	0	0
0 - Geostatica	-2.2	0	0
0 - Geostatica	-2.4	0	0
0 - Geostatica	-2.6	0	0
0 - Geostatica	-2.8	0	0
0 - Geostatica	-3	0	0
0 - Geostatica	-3.2	0	0
0 - Geostatica	-3.4	0	0
0 - Geostatica	-3.6	0	0
0 - Geostatica	-3.8	0	0
0 - Geostatica	-4	0	0
0 - Geostatica	-4.2	0	0
0 - Geostatica	-4.4	0	0
0 - Geostatica	-4.6	0	0
0 - Geostatica	-4.7	0	0

5.3.2. Tabella Risultati Paratia Nominal - Stage: 1 - paratia

Design Assumption: Nominal Risultati Paratia		Muro: LEFT	
Stage	Z (m)	Momento (kN*m/m)	Taglio (kN/m)
1 - paratia	-4.7	0	0
1 - paratia	-4.9	0	0
1 - paratia	-5.1	0	0
1 - paratia	-5.3	0	0
1 - paratia	-5.5	0	0
1 - paratia	-5.7	0	0
1 - paratia	-5.9	0	0
1 - paratia	-6.1	0	0
1 - paratia	-6.3	0	0
1 - paratia	-6.5	0	0
1 - paratia	-6.7	0	0
1 - paratia	-6.9	0	0
1 - paratia	-7.1	0	0
1 - paratia	-7.3	0	0
1 - paratia	-7.5	0	0
1 - paratia	-7.7	0	0
1 - paratia	-7.9	0	0
1 - paratia	-8.1	0	0
1 - paratia	-8.3	0	0
1 - paratia	-8.5	0	0
1 - paratia	-8.7	0	0
1 - paratia	-8.9	0	0
1 - paratia	-9.1	0	0
1 - paratia	-9.3	0	0
1 - paratia	-9.5	0	0
1 - paratia	-9.7	0	0
1 - paratia	-9.9	0	0
1 - paratia	-10.1	0	0
1 - paratia	-10.3	0	0
1 - paratia	-10.5	0	0
1 - paratia	-10.7	0	0
1 - paratia	-10.9	0	0
1 - paratia	-11.1	0	0
1 - paratia	-11.3	0	0
1 - paratia	-11.5	0	0
1 - paratia	-11.7	0	0
1 - paratia	-11.9	0	0
1 - paratia	-12.1	0	0
1 - paratia	-12.3	0	0
1 - paratia	-12.5	0	0
1 - paratia	-12.7	0	0
1 - paratia	-12.9	0	0
1 - paratia	-13.1	0	0
1 - paratia	-13.3	0	0
1 - paratia	-13.5	0	0
1 - paratia	-13.7	0	0
1 - paratia	-13.9	0	0
1 - paratia	-14.1	0	0
1 - paratia	-14.3	0	0
1 - paratia	-14.5	0	0
1 - paratia	-14.7	0	0
1 - paratia	-14.9	0	0
1 - paratia	-15.1	0	0
1 - paratia	-15.3	0	0
1 - paratia	-15.5	0	0
1 - paratia	-15.7	0	0
1 - paratia	-15.9	0	0
1 - paratia	-16.1	0	0
1 - paratia	-16.3	0	0
1 - paratia	-16.5	0	0
1 - paratia	-16.7	0	0
1 - paratia	-16.9	0	0
1 - paratia	-17.1	0	0
1 - paratia	-17.3	0	0
1 - paratia	-17.5	0	0
1 - paratia	-17.7	0	0
1 - paratia	-17.9	0	0

Design Assumption: Nominal Risultati Paratia		Muro: LEFT	
Stage	Z (m)	Momento (kN*m/m)	Taglio (kN/m)
1 - paratia	-18.1	0	0
1 - paratia	-18.2	0	0

Design Assumption: Nominal Risultati Paratia		Muro: LEFT	
Stage	Z (m)	Momento (kN*m/m)	Taglio (kN/m)
1 - paratia	0	0	0
1 - paratia	-0.2	0	0
1 - paratia	-0.4	0	0
1 - paratia	-0.6	0	0
1 - paratia	-0.8	0	0
1 - paratia	-1	0	0
1 - paratia	-1.2	0	0
1 - paratia	-1.4	0	0
1 - paratia	-1.6	0	0
1 - paratia	-1.8	0	0
1 - paratia	-2	0	0
1 - paratia	-2.2	0	0
1 - paratia	-2.4	0	0
1 - paratia	-2.6	0	0
1 - paratia	-2.8	0	0
1 - paratia	-3	0	0
1 - paratia	-3.2	0	0
1 - paratia	-3.4	0	0
1 - paratia	-3.6	0	0
1 - paratia	-3.8	0	0
1 - paratia	-4	0	0
1 - paratia	-4.2	0	0
1 - paratia	-4.4	0	0
1 - paratia	-4.6	0	0
1 - paratia	-4.7	0	0

5.3.3. Tabella Risultati Paratia Nominal - Stage: 2 - esercizio

Design Assumption: Nominal Risultati Paratia		Muro: LEFT	
Stage	Z (m)	Momento (kN*m/m)	Taglio (kN/m)
2 - esercizio	-4.7	229.73	121.87
2 - esercizio	-4.9	254.1	121.87
2 - esercizio	-5.1	280.22	130.61
2 - esercizio	-5.3	307.65	137.13
2 - esercizio	-5.5	335.93	141.43
2 - esercizio	-5.7	364.63	143.5
2 - esercizio	-5.9	393.31	143.36
2 - esercizio	-6.1	421.5	140.99
2 - esercizio	-6.3	448.78	136.39
2 - esercizio	-6.5	474.7	129.58
2 - esercizio	-6.7	498.8	120.54
2 - esercizio	-6.9	520.66	109.28
2 - esercizio	-7.1	540.14	97.39
2 - esercizio	-7.3	557.33	85.95
2 - esercizio	-7.5	572.31	74.94
2 - esercizio	-7.7	585.18	64.35
2 - esercizio	-7.9	596.02	54.18
2 - esercizio	-8.1	604.9	44.4
2 - esercizio	-8.3	611.91	35.03
2 - esercizio	-8.5	617.11	26.03
2 - esercizio	-8.7	620.59	17.41
2 - esercizio	-8.9	622.42	9.15
2 - esercizio	-9.1	622.67	1.25
2 - esercizio	-9.3	621.41	-6.31
2 - esercizio	-9.5	618.71	-13.51
2 - esercizio	-9.7	614.63	-20.4
2 - esercizio	-9.9	609.25	-26.88
2 - esercizio	-10.1	602.66	-32.98
2 - esercizio	-10.3	594.92	-38.68
2 - esercizio	-10.5	586.12	-44.01
2 - esercizio	-10.7	576.32	-48.98
2 - esercizio	-10.9	565.61	-53.58
2 - esercizio	-11.1	554.04	-57.83
2 - esercizio	-11.3	541.69	-61.74
2 - esercizio	-11.5	528.63	-65.32
2 - esercizio	-11.7	514.92	-68.56
2 - esercizio	-11.9	500.62	-71.48
2 - esercizio	-12.1	485.8	-74.09
2 - esercizio	-12.3	470.52	-76.39
2 - esercizio	-12.5	454.85	-78.38
2 - esercizio	-12.7	438.83	-80.09
2 - esercizio	-12.9	422.53	-81.49
2 - esercizio	-13.1	406.01	-82.62
2 - esercizio	-13.3	389.31	-83.47
2 - esercizio	-13.5	372.5	-84.04
2 - esercizio	-13.7	355.63	-84.36
2 - esercizio	-13.9	338.75	-84.42
2 - esercizio	-14.1	321.9	-84.23
2 - esercizio	-14.3	305.15	-83.78
2 - esercizio	-14.5	288.53	-83.09
2 - esercizio	-14.7	272.1	-82.16
2 - esercizio	-14.9	255.9	-80.99
2 - esercizio	-15.1	239.98	-79.58
2 - esercizio	-15.3	224.39	-77.94
2 - esercizio	-15.5	209.18	-76.07
2 - esercizio	-15.7	194.42	-73.78
2 - esercizio	-15.9	180.41	-70.05
2 - esercizio	-16.1	167.43	-64.89
2 - esercizio	-16.3	152.08	-76.73
2 - esercizio	-16.5	134.69	-86.97
2 - esercizio	-16.7	115.56	-95.62
2 - esercizio	-16.9	95.03	-102.68
2 - esercizio	-17.1	73.44	-107.93
2 - esercizio	-17.3	52.41	-105.18
2 - esercizio	-17.5	33.51	-94.47
2 - esercizio	-17.7	18.14	-76.86
2 - esercizio	-17.9	6.93	-56.07

Design Assumption: Nominal Risultati Paratia		Muro: LEFT	
Stage	Z (m)	Momento (kN*m/m)	Taglio (kN/m)
2 - esercizio	-18.1	0.8	-30.62
2 - esercizio	-18.2	0	-8.04

Design Assumption: Nominal Risultati Paratia		Muro: LEFT	
Stage	Z (m)	Momento (kN*m/m)	Taglio (kN/m)
2 - esercizio	0	0	1.34
2 - esercizio	-0.2	0.27	1.34
2 - esercizio	-0.4	1.11	4.21
2 - esercizio	-0.6	2.56	7.26
2 - esercizio	-0.8	4.66	10.5
2 - esercizio	-1	7.45	13.94
2 - esercizio	-1.2	10.96	17.56
2 - esercizio	-1.4	15.23	21.37
2 - esercizio	-1.6	20.31	25.36
2 - esercizio	-1.8	26.22	29.55
2 - esercizio	-2	33	33.93
2 - esercizio	-2.2	40.7	38.5
2 - esercizio	-2.4	49.36	43.26
2 - esercizio	-2.6	59	48.21
2 - esercizio	-2.8	69.67	53.35
2 - esercizio	-3	81.41	58.69
2 - esercizio	-3.2	94.25	64.22
2 - esercizio	-3.4	108.24	69.94
2 - esercizio	-3.6	123.41	75.85
2 - esercizio	-3.8	139.8	81.96
2 - esercizio	-4	157.45	88.26
2 - esercizio	-4.2	176.41	94.76
2 - esercizio	-4.4	196.69	101.45
2 - esercizio	-4.6	218.36	108.33
2 - esercizio	-4.7	229.73	113.64

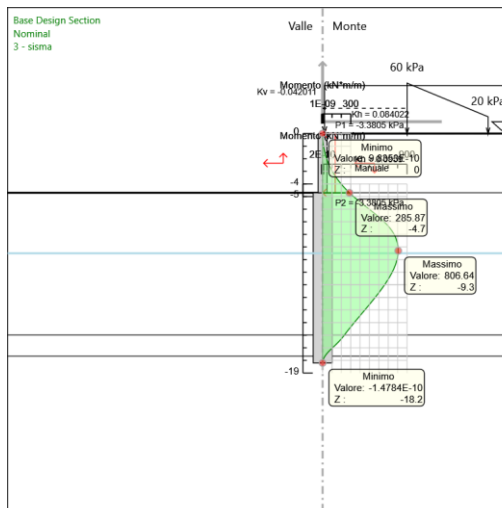
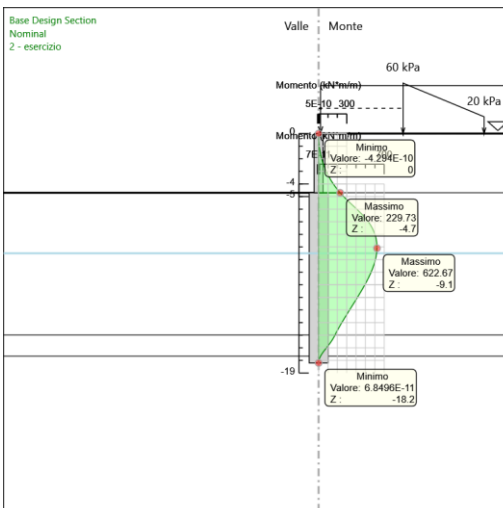
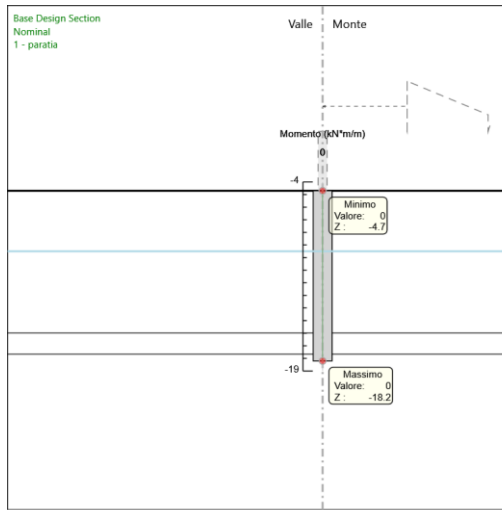
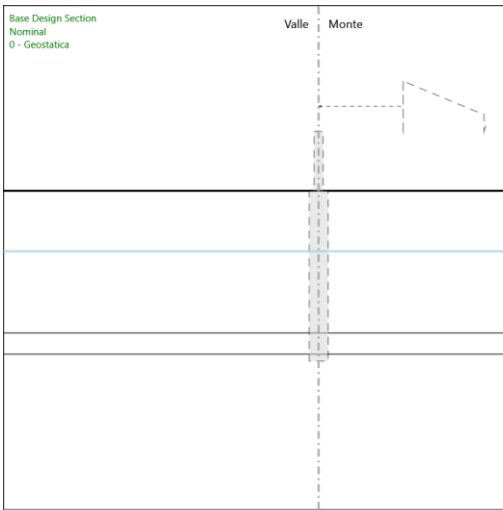
5.3.4. Tabella Risultati Paratia Nominal - Stage: 3 - sisma

Design Assumption: Nominal Risultati Paratia		Muro: LEFT	
Stage	Z (m)	Momento (kN*m/m)	Taglio (kN/m)
3 - sisma	-4.7	285.87	145.76
3 - sisma	-4.9	315.02	145.76
3 - sisma	-5.1	345.98	154.8
3 - sisma	-5.3	378.36	161.91
3 - sisma	-5.5	411.78	167.11
3 - sisma	-5.7	445.86	170.37
3 - sisma	-5.9	480.2	171.71
3 - sisma	-6.1	514.43	171.13
3 - sisma	-6.3	548.15	168.63
3 - sisma	-6.5	580.99	164.19
3 - sisma	-6.7	612.56	157.84
3 - sisma	-6.9	642.47	149.56
3 - sisma	-7.1	670.34	139.37
3 - sisma	-7.3	695.81	127.32
3 - sisma	-7.5	718.48	113.36
3 - sisma	-7.7	738.3	99.11
3 - sisma	-7.9	755.38	85.4
3 - sisma	-8.1	769.82	72.2
3 - sisma	-8.3	781.73	59.53
3 - sisma	-8.5	791.2	47.35
3 - sisma	-8.7	798.33	35.66
3 - sisma	-8.9	803.22	24.45
3 - sisma	-9.1	805.96	13.71
3 - sisma	-9.3	806.64	3.42
3 - sisma	-9.5	805.36	-6.41
3 - sisma	-9.7	802.2	-15.82
3 - sisma	-9.9	797.25	-24.72
3 - sisma	-10.1	790.63	-33.13
3 - sisma	-10.3	782.42	-41.05
3 - sisma	-10.5	772.71	-48.51
3 - sisma	-10.7	761.61	-55.5
3 - sisma	-10.9	749.2	-62.04
3 - sisma	-11.1	735.58	-68.14
3 - sisma	-11.3	720.81	-73.81
3 - sisma	-11.5	705	-79.06
3 - sisma	-11.7	688.22	-83.89
3 - sisma	-11.9	670.56	-88.33
3 - sisma	-12.1	652.09	-92.36
3 - sisma	-12.3	632.88	-96.02
3 - sisma	-12.5	613.02	-99.29
3 - sisma	-12.7	592.59	-102.2
3 - sisma	-12.9	571.64	-104.74
3 - sisma	-13.1	550.25	-106.93
3 - sisma	-13.3	528.5	-108.77
3 - sisma	-13.5	506.44	-110.28
3 - sisma	-13.7	484.15	-111.46
3 - sisma	-13.9	461.69	-112.32
3 - sisma	-14.1	439.11	-112.87
3 - sisma	-14.3	416.49	-113.1
3 - sisma	-14.5	393.89	-113.03
3 - sisma	-14.7	371.35	-112.67
3 - sisma	-14.9	348.95	-112
3 - sisma	-15.1	326.74	-111.05
3 - sisma	-15.3	304.78	-109.81
3 - sisma	-15.5	283.13	-108.28
3 - sisma	-15.7	261.83	-106.48
3 - sisma	-15.9	241.05	-103.88
3 - sisma	-16.1	221.13	-99.62
3 - sisma	-16.3	198.68	-112.25
3 - sisma	-16.5	174.08	-123.01
3 - sisma	-16.7	147.7	-131.91
3 - sisma	-16.9	119.94	-138.8
3 - sisma	-17.1	91.52	-142.06
3 - sisma	-17.3	64.42	-135.5
3 - sisma	-17.5	40.59	-119.18
3 - sisma	-17.7	21.76	-94.15
3 - sisma	-17.9	8.24	-67.6

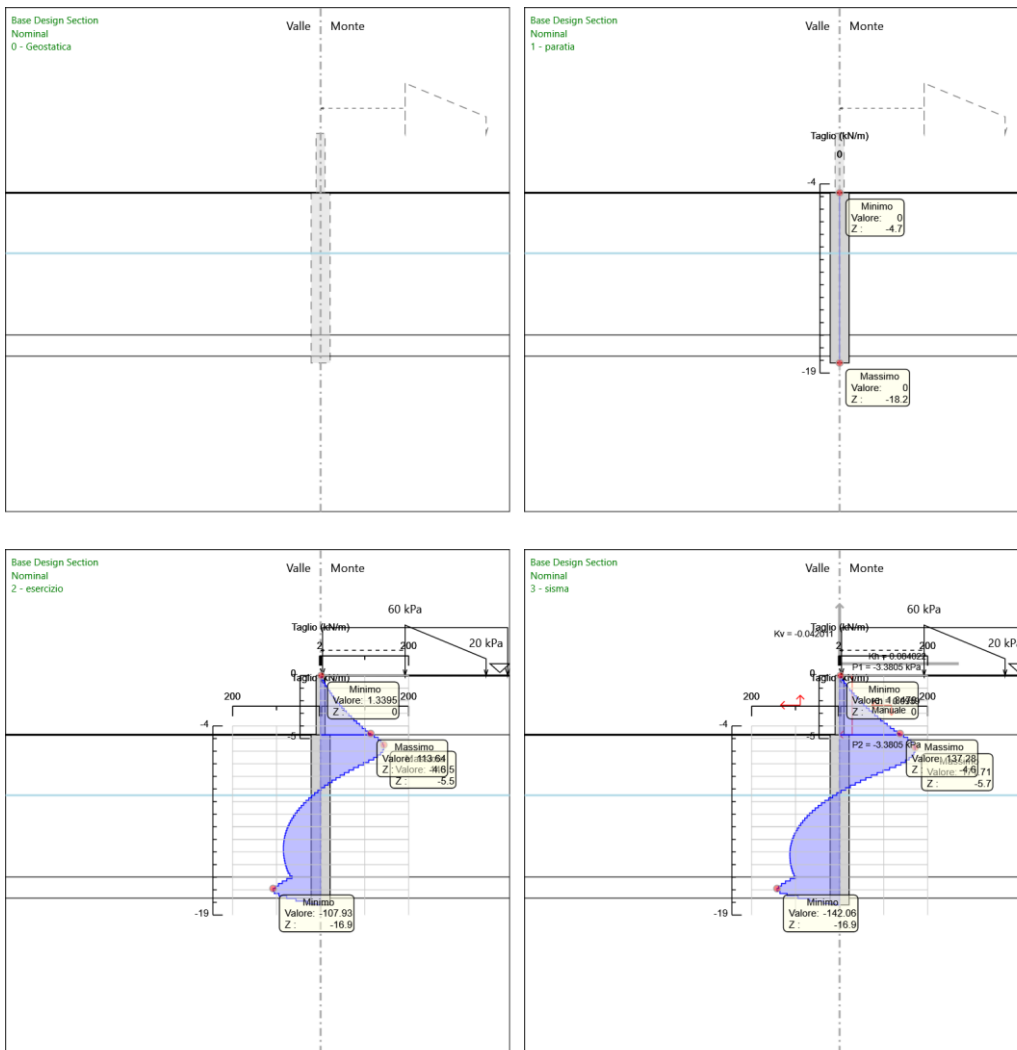
Design Assumption: Nominal Risultati Paratia		Muro: LEFT	
Stage	Z (m)	Momento (kN*m/m)	Taglio (kN/m)
3 - sisma	-18.1	0.95	-36.41
3 - sisma	-18.2	0	-9.54

Design Assumption: Nominal Risultati Paratia		Muro: LEFT	
Stage	Z (m)	Momento (kN*m/m)	Taglio (kN/m)
3 - sisma	0	0	1.85
3 - sisma	-0.2	0.37	1.85
3 - sisma	-0.4	1.52	5.73
3 - sisma	-0.6	3.48	9.8
3 - sisma	-0.8	6.29	14.06
3 - sisma	-1	9.99	18.51
3 - sisma	-1.2	14.62	23.15
3 - sisma	-1.4	20.22	27.97
3 - sisma	-1.6	26.81	32.99
3 - sisma	-1.8	34.45	38.19
3 - sisma	-2	43.17	43.59
3 - sisma	-2.2	53.01	49.17
3 - sisma	-2.4	64	54.95
3 - sisma	-2.6	76.18	60.92
3 - sisma	-2.8	89.59	67.08
3 - sisma	-3	104.28	73.43
3 - sisma	-3.2	120.28	79.97
3 - sisma	-3.4	137.62	86.71
3 - sisma	-3.6	156.35	93.64
3 - sisma	-3.8	176.5	100.77
3 - sisma	-4	198.12	108.09
3 - sisma	-4.2	221.24	115.6
3 - sisma	-4.4	245.9	123.31
3 - sisma	-4.6	272.14	131.21
3 - sisma	-4.7	285.87	137.28

5.3.5. Grafico Momento Nominal



5.3.6. Grafico Taglio Nominal



5.4. Involuppi Risultati Paratia Nominal

5.4.1. Tabella Involuppi Momento Nominal pali 1500/1.7

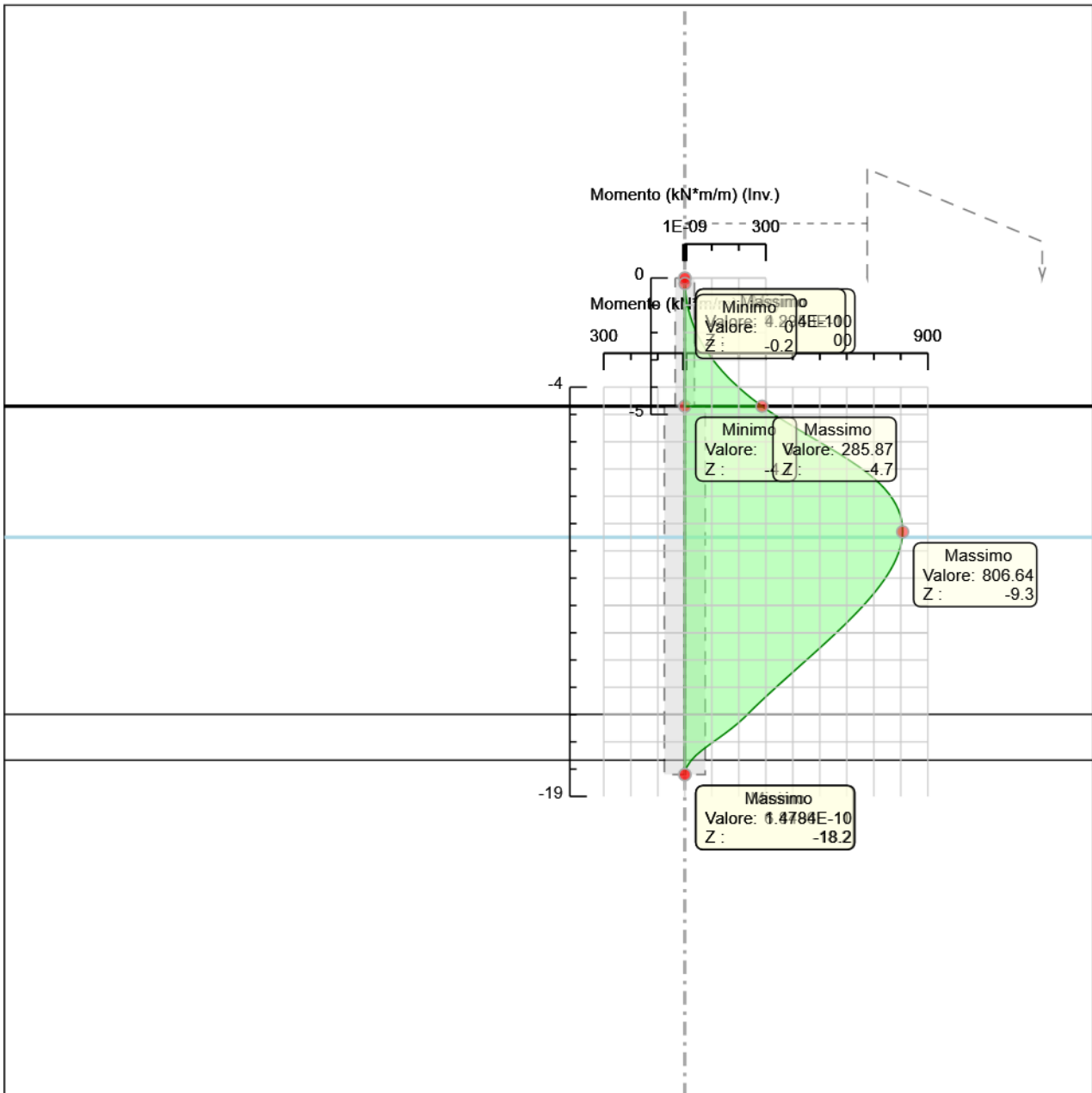
Selected Design Assumptions		Involuppi: Momento	Muro: pali 1500/1.7
Z (m)		Lato sinistro (kN*m/m)	Lato destro (kN*m/m)
-4.7		0	285.868
-4.9		0	315.02
-5.1		0	345.979
-5.3		0	378.362
-5.5		0	411.783
-5.7		0	445.858
-5.9		0	480.201
-6.1		0	514.427
-6.3		0	548.152
-6.5		0	580.991
-6.7		0	612.558
-6.9		0	642.469
-7.1		0	670.344
-7.3		0	695.807
-7.5		0	718.479
-7.7		0	738.301
-7.9		0	755.38
-8.1		0	769.82
-8.3		0	781.726
-8.5		0	791.195
-8.7		0	798.328
-8.9		0	803.217
-9.1		0	805.96
-9.3		0	806.644
-9.5		0	805.361
-9.7		0	802.196
-9.9		0	797.252
-10.1		0	790.626
-10.3		0	782.415
-10.5		0	772.713
-10.7		0	761.614
-10.9		0	749.205
-11.1		0	735.577
-11.3		0	720.814
-11.5		0	705.003
-11.7		0	688.224
-11.9		0	670.559
-12.1		0	652.086
-12.3		0	632.883
-12.5		0	613.025
-12.7		0	592.585
-12.9		0	571.638
-13.1		0	550.252
-13.3		0	528.498
-13.5		0	506.442
-13.7		0	484.15
-13.9		0	461.686
-14.1		0	439.113
-14.3		0	416.493
-14.5		0	393.886
-14.7		0	371.353
-14.9		0	348.952
-15.1		0	326.743
-15.3		0	304.782
-15.5		0	283.126
-15.7		0	261.831
-15.9		0	241.055
-16.1		0	221.131
-16.3		0	198.68
-16.5		0	174.078
-16.7		0	147.696
-16.9		0	119.936
-17.1		0	91.524
-17.3		0	64.423

Selected Design Assumptions	Inviluppi: Momento	Muro: pali 1500/1.7
Z (m)	Lato sinistro (kN*m/m)	Lato destro (kN*m/m)
-17.5	0	40.587
-17.7	0	21.756
-17.9	0	8.236
-18.1	0	0.954
-18.2	0	0

5.4.2. Tabella Involuppi Momento Nominal muro71cm

Selected Design Assumptions Z (m)	Involuppi: Momento		Muro: muro71cm
	Lato sinistro (kN*m/m)	Lato destro (kN*m/m)	
0	0	0	0
-0.2	0	0	0.37
-0.4	0	0	1.516
-0.6	0	0	3.476
-0.8	0	0	6.289
-1	0	0	9.991
-1.2	0	0	14.621
-1.4	0	0	20.216
-1.6	0	0	26.814
-1.8	0	0	34.452
-2	0	0	43.17
-2.2	0	0	53.005
-2.4	0	0	63.995
-2.6	0	0	76.179
-2.8	0	0	89.595
-3	0	0	104.281
-3.2	0	0	120.276
-3.4	0	0	137.618
-3.6	0	0	156.347
-3.8	0	0	176.5
-4	0	0	198.117
-4.2	0	0	221.237
-4.4	0	0	245.898
-4.6	0	0	272.14
-4.7	0	0	285.868

5.4.3. Grafico Involuppi Momento Nominal



Momento

5.4.4. Tabella Involuppi Taglio Nominal pali 1500/1.7

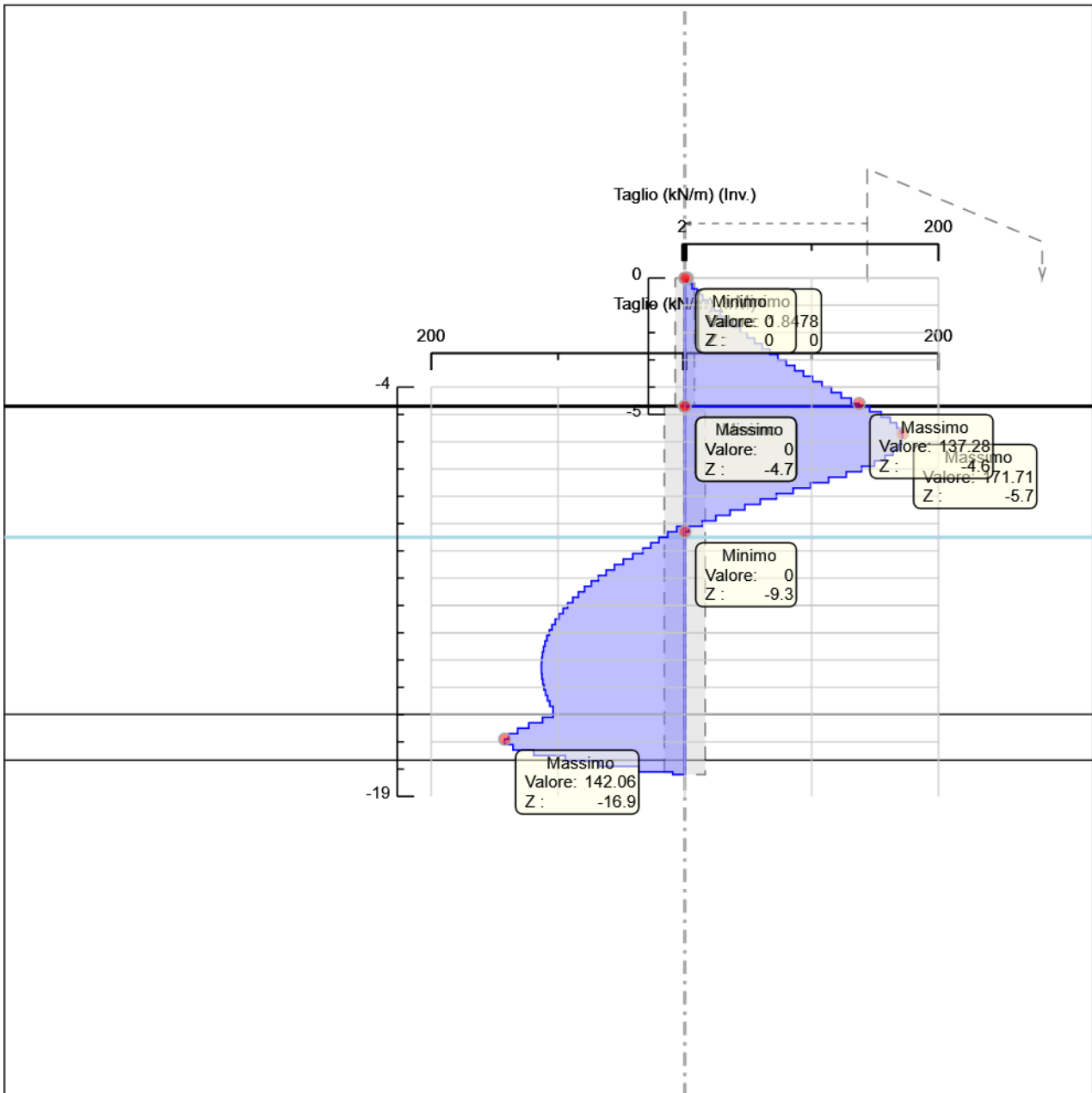
Selected Design Assumptions	Involuppi: Taglio	Muro: pali 1500/1.7
Z (m)	Lato sinistro (kN/m)	Lato destro (kN/m)
-4.7	0	145.758
-4.9	0	154.798
-5.1	0	161.914
-5.3	0	167.106
-5.5	0	170.372
-5.7	0	171.715
-5.9	0	171.715
-6.1	0	171.133
-6.3	0	168.626
-6.5	0	164.194
-6.7	0	157.837
-6.9	0	149.555
-7.1	0	139.373
-7.3	0	127.316
-7.5	0	113.359
-7.7	0	99.111
-7.9	0	85.395
-8.1	0	72.203
-8.3	0	59.527
-8.5	0	47.347
-8.7	0	35.663
-8.9	0	24.448
-9.1	6.305	13.712
-9.3	13.515	3.421
-9.5	20.405	0
-9.7	26.883	0
-9.9	33.132	0
-10.1	41.053	0
-10.3	48.51	0
-10.5	55.499	0
-10.7	62.042	0
-10.9	68.142	0
-11.1	73.811	0
-11.3	79.059	0
-11.5	83.893	0
-11.7	88.326	0
-11.9	92.363	0
-12.1	96.017	0
-12.3	99.29	0
-12.5	102.197	0
-12.7	104.739	0
-12.9	106.93	0
-13.1	108.771	0
-13.3	110.278	0
-13.5	111.459	0
-13.7	112.32	0
-13.9	112.866	0
-14.1	113.102	0
-14.3	113.102	0
-14.5	113.034	0
-14.7	112.665	0
-14.9	112.002	0
-15.1	111.047	0
-15.3	109.806	0
-15.5	108.28	0
-15.7	106.475	0
-15.9	103.88	0
-16.1	112.254	0
-16.3	123.012	0
-16.5	131.906	0
-16.7	138.803	0
-16.9	142.059	0
-17.1	142.059	0
-17.3	135.504	0
-17.5	119.179	0
-17.7	94.152	0
-17.9	67.601	0

Selected Design Assumptions	Inviluppi: Taglio	Muro: pali 1500/1.7
Z (m)	Lato sinistro (kN/m)	Lato destro (kN/m)
-18.1	36.41	0
-18.2	9.537	0

5.4.5. Tabella Involuppi Taglio Nominal muro71cm

Selected Design Assumptions Z (m)	Involuppi: Taglio Muro: muro71cm	
	Lato sinistro (kN/m)	Lato destro (kN/m)
0	0	1.848
-0.2	0	5.731
-0.4	0	9.803
-0.6	0	14.063
-0.8	0	18.511
-1	0	23.148
-1.2	0	27.974
-1.4	0	32.989
-1.6	0	38.194
-1.8	0	43.589
-2	0	49.175
-2.2	0	54.951
-2.4	0	60.919
-2.6	0	67.078
-2.8	0	73.43
-3	0	79.975
-3.2	0	86.712
-3.4	0	93.643
-3.6	0	100.768
-3.8	0	108.086
-4	0	115.599
-4.2	0	123.306
-4.4	0	131.208
-4.6	0	137.28
-4.7	0	137.28

5.4.6. Grafico Involuppi Taglio Nominal



Taglio

5.5. Risultati Terreno

5.5.1. Tabella Risultati Terreno Left Wall - Nominal - 0 - Geostatica

Design Assumption: Nominal Risultati Terreno										
Stage	Z (m)	Sigma V	Sigma H	Muro: LEFT	Stato	Ka	Lato Kp	LEFT Coesione	Pore Gradiente U*	Peq
0 - Geostatica	0	0	0	REMOVED	0	0	0	0	0	0
0 - Geostatica	-0.2	0	0	REMOVED	0	0	0	0	0	0
0 - Geostatica	-0.4	0	0	REMOVED	0	0	0	0	0	0
0 - Geostatica	-0.6	0	0	REMOVED	0	0	0	0	0	0
0 - Geostatica	-0.8	0	0	REMOVED	0	0	0	0	0	0
0 - Geostatica	-1	0	0	REMOVED	0	0	0	0	0	0
0 - Geostatica	-1.2	0	0	REMOVED	0	0	0	0	0	0
0 - Geostatica	-1.4	0	0	REMOVED	0	0	0	0	0	0
0 - Geostatica	-1.6	0	0	REMOVED	0	0	0	0	0	0
0 - Geostatica	-1.8	0	0	REMOVED	0	0	0	0	0	0
0 - Geostatica	-2	0	0	REMOVED	0	0	0	0	0	0
0 - Geostatica	-2.2	0	0	REMOVED	0	0	0	0	0	0
0 - Geostatica	-2.4	0	0	REMOVED	0	0	0	0	0	0
0 - Geostatica	-2.6	0	0	REMOVED	0	0	0	0	0	0
0 - Geostatica	-2.8	0	0	REMOVED	0	0	0	0	0	0
0 - Geostatica	-3	0	0	REMOVED	0	0	0	0	0	0
0 - Geostatica	-3.2	0	0	REMOVED	0	0	0	0	0	0
0 - Geostatica	-3.4	0	0	REMOVED	0	0	0	0	0	0
0 - Geostatica	-3.6	0	0	REMOVED	0	0	0	0	0	0
0 - Geostatica	-3.8	0	0	REMOVED	0	0	0	0	0	0
0 - Geostatica	-4	0	0	REMOVED	0	0	0	0	0	0
0 - Geostatica	-4.2	0	0	REMOVED	0	0	0	0	0	0
0 - Geostatica	-4.4	0	0	REMOVED	0	0	0	0	0	0
0 - Geostatica	-4.6	0	0	REMOVED	0	0	0	0	0	0
0 - Geostatica	-4.7	0	0	V-C	0.3593.222	0	0	0	0	0
0 - Geostatica	-4.9	3.9	2.192	V-C	0.3593.222	0	0	0	0	2.192
0 - Geostatica	-5.1	7.8	4.384	V-C	0.3593.222	0	0	0	0	4.384
0 - Geostatica	-5.3	11.7	6.575	V-C	0.3593.222	0	0	0	0	6.575
0 - Geostatica	-5.5	15.6	8.767	V-C	0.3593.222	0	0	0	0	8.767
0 - Geostatica	-5.7	19.5	10.959	V-C	0.3593.222	0	0	0	0	10.959
0 - Geostatica	-5.9	23.4	13.151	V-C	0.3593.222	0	0	0	0	13.151
0 - Geostatica	-6.1	27.3	15.343	V-C	0.3593.222	0	0	0	0	15.343
0 - Geostatica	-6.3	31.2	17.534	V-C	0.3593.222	0	0	0	0	17.534
0 - Geostatica	-6.5	35.1	19.726	V-C	0.3593.222	0	0	0	0	19.726
0 - Geostatica	-6.7	39	21.918	V-C	0.3593.222	0	0	0	0	21.918
0 - Geostatica	-6.9	42.9	24.11	V-C	0.3593.222	0	0	0	0	24.11
0 - Geostatica	-7.1	46.8	26.302	V-C	0.3593.222	0	0	0	0	26.302
0 - Geostatica	-7.3	50.7	28.493	V-C	0.3593.222	0	0	0	0	28.493
0 - Geostatica	-7.5	54.6	30.685	V-C	0.3593.222	0	0	0	0	30.685
0 - Geostatica	-7.7	58.5	32.877	V-C	0.3593.222	0	0	0	0	32.877
0 - Geostatica	-7.9	62.4	35.069	V-C	0.3593.222	0	0	0	0	35.069
0 - Geostatica	-8.1	66.3	37.261	V-C	0.3593.222	0	0	0	0	37.261
0 - Geostatica	-8.3	70.2	39.452	V-C	0.3593.222	0	0	0	0	39.452
0 - Geostatica	-8.5	74.1	41.644	V-C	0.3593.222	0	0	0	0	41.644
0 - Geostatica	-8.7	78	43.836	V-C	0.3593.222	0	0	0	0	43.836
0 - Geostatica	-8.9	81.9	46.028	V-C	0.3593.222	0	0	0	0	46.028
0 - Geostatica	-9.1	85.8	48.22	V-C	0.3593.222	0	0	0	0	48.22
0 - Geostatica	-9.3	89.7	50.411	V-C	0.3593.222	0	0	0	0	50.411
0 - Geostatica	-9.5	93.6	52.603	V-C	0.3593.222	0	0	0	0	52.603
0 - Geostatica	-9.7	95.5	53.671	V-C	0.3593.222	0	2	0	0	55.671
0 - Geostatica	-9.9	97.4	54.739	V-C	0.3593.222	0	4	0	0	58.739
0 - Geostatica	-10.1	99.3	55.807	V-C	0.3593.222	0	6	0	0	61.806
0 - Geostatica	-10.3	101.2	56.874	V-C	0.3593.222	0	8	0	0	64.874
0 - Geostatica	-10.5	103.1	57.942	V-C	0.3593.222	0	10	0	0	67.942
0 - Geostatica	-10.7	105	59.01	V-C	0.3593.222	0	12	0	0	71.01
0 - Geostatica	-10.9	106.9	60.078	V-C	0.3593.222	0	14	0	0	74.078
0 - Geostatica	-11.1	108.8	61.146	V-C	0.3593.222	0	16	0	0	77.145
0 - Geostatica	-11.3	110.7	62.213	V-C	0.3593.222	0	18	0	0	80.213
0 - Geostatica	-11.5	112.6	63.281	V-C	0.3593.222	0	20	0	0	83.281
0 - Geostatica	-11.7	114.5	64.349	V-C	0.3593.222	0	22	0	0	86.349
0 - Geostatica	-11.9	116.4	65.417	V-C	0.3593.222	0	24	0	0	89.417
0 - Geostatica	-12.1	118.3	66.485	V-C	0.3593.222	0	26	0	0	92.484
0 - Geostatica	-12.3	120.2	67.552	V-C	0.3593.222	0	28	0	0	95.552
0 - Geostatica	-12.5	122.1	68.62	V-C	0.3593.222	0	30	0	0	98.62

Design Assumption: Nominal Risultati Terreno Muro: LEFT Lato LEFT										
Stage	Z (m)	Sigma V	Sigma H	Stato	Ka	Kp	Coesione	Pore	Gradiente U*	Peq
0 - Geostatica	-12.7	124	69.688	V-C	0.3593.222	0	32	0	0	101.688
0 - Geostatica	-12.9	125.9	70.756	V-C	0.3593.222	0	34	0	0	104.756
0 - Geostatica	-13.1	127.8	71.824	V-C	0.3593.222	0	36	0	0	107.823
0 - Geostatica	-13.3	129.7	72.891	V-C	0.3593.222	0	38	0	0	110.891
0 - Geostatica	-13.5	131.6	73.959	V-C	0.3593.222	0	40	0	0	113.959
0 - Geostatica	-13.7	133.5	75.027	V-C	0.3593.222	0	42	0	0	117.027
0 - Geostatica	-13.9	135.4	76.095	V-C	0.3593.222	0	44	0	0	120.095
0 - Geostatica	-14.1	137.3	77.163	V-C	0.3593.222	0	46	0	0	123.162
0 - Geostatica	-14.3	139.2	78.23	V-C	0.3593.222	0	48	0	0	126.23
0 - Geostatica	-14.5	141.1	79.298	V-C	0.3593.222	0	50	0	0	129.298
0 - Geostatica	-14.7	143	80.366	V-C	0.3593.222	0	52	0	0	132.366
0 - Geostatica	-14.9	144.9	81.434	V-C	0.3593.222	0	54	0	0	135.434
0 - Geostatica	-15.1	146.8	82.502	V-C	0.3593.222	0	56	0	0	138.501
0 - Geostatica	-15.3	148.7	83.569	V-C	0.3593.222	0	58	0	0	141.569
0 - Geostatica	-15.5	150.6	84.637	V-C	0.3593.222	0	60	0	0	144.637
0 - Geostatica	-15.7	152.5	85.705	V-C	0.3593.222	0	62	0	0	147.705
0 - Geostatica	-15.9	154.4	86.773	V-C	0.3593.222	0	64	0	0	150.773
0 - Geostatica	-16.1	156.355	87.871	V-C	0.3443.404	10	66	0	0	153.871
0 - Geostatica	-16.3	158.355	88.995	V-C	0.3443.404	10	68	0	0	156.995
0 - Geostatica	-16.5	160.355	90.119	V-C	0.3443.404	10	70	0	0	160.119
0 - Geostatica	-16.7	162.355	91.243	V-C	0.3443.404	10	72	0	0	163.243
0 - Geostatica	-16.9	164.355	92.367	V-C	0.3443.404	10	74	0	0	166.367
0 - Geostatica	-17.1	166.355	93.491	V-C	0.3443.404	10	76	0	0	169.491
0 - Geostatica	-17.3	168.355	94.615	V-C	0.3443.404	10	78	0	0	172.615
0 - Geostatica	-17.5	170.355	95.739	V-C	0.3443.404	10	80	0	0	175.739
0 - Geostatica	-17.7	172.445	96.914	V-C	0.2794.555	55	82	0	0	178.914
0 - Geostatica	-17.9	175.045	98.375	V-C	0.2794.555	55	84	0	0	182.375
0 - Geostatica	-18.1	177.645	99.836	V-C	0.2794.555	55	86	0	0	185.836
0 - Geostatica	-18.2	178.945	100.567	V-C	0.2794.555	55	87	0	0	187.567

Design Assumption: Nominal Risultati Terreno Muro:										
Stage	Z (m)	Sigma V	Sigma H	LEFT		Lato RIGHT				
				Stato	Ka	Kp	Coesione	Pore	Gradiente	U*
0 - Geostatica	0	0	0	REMOVED	0	0	0	0	0	0
0 - Geostatica	-0.2	0	0	REMOVED	0	0	0	0	0	0
0 - Geostatica	-0.4	0	0	REMOVED	0	0	0	0	0	0
0 - Geostatica	-0.6	0	0	REMOVED	0	0	0	0	0	0
0 - Geostatica	-0.8	0	0	REMOVED	0	0	0	0	0	0
0 - Geostatica	-1	0	0	REMOVED	0	0	0	0	0	0
0 - Geostatica	-1.2	0	0	REMOVED	0	0	0	0	0	0
0 - Geostatica	-1.4	0	0	REMOVED	0	0	0	0	0	0
0 - Geostatica	-1.6	0	0	REMOVED	0	0	0	0	0	0
0 - Geostatica	-1.8	0	0	REMOVED	0	0	0	0	0	0
0 - Geostatica	-2	0	0	REMOVED	0	0	0	0	0	0
0 - Geostatica	-2.2	0	0	REMOVED	0	0	0	0	0	0
0 - Geostatica	-2.4	0	0	REMOVED	0	0	0	0	0	0
0 - Geostatica	-2.6	0	0	REMOVED	0	0	0	0	0	0
0 - Geostatica	-2.8	0	0	REMOVED	0	0	0	0	0	0
0 - Geostatica	-3	0	0	REMOVED	0	0	0	0	0	0
0 - Geostatica	-3.2	0	0	REMOVED	0	0	0	0	0	0
0 - Geostatica	-3.4	0	0	REMOVED	0	0	0	0	0	0
0 - Geostatica	-3.6	0	0	REMOVED	0	0	0	0	0	0
0 - Geostatica	-3.8	0	0	REMOVED	0	0	0	0	0	0
0 - Geostatica	-4	0	0	REMOVED	0	0	0	0	0	0
0 - Geostatica	-4.2	0	0	REMOVED	0	0	0	0	0	0
0 - Geostatica	-4.4	0	0	REMOVED	0	0	0	0	0	0
0 - Geostatica	-4.6	0	0	REMOVED	0	0	0	0	0	0
0 - Geostatica	-4.7	0	0	V-C	0.3593.222	0	0	0	0	0
0 - Geostatica	-4.9	3.9	2.192	V-C	0.3593.222	0	0	0	0	2.192
0 - Geostatica	-5.1	7.8	4.384	V-C	0.3593.222	0	0	0	0	4.384
0 - Geostatica	-5.3	11.7	6.575	V-C	0.3593.222	0	0	0	0	6.575
0 - Geostatica	-5.5	15.6	8.767	V-C	0.3593.222	0	0	0	0	8.767
0 - Geostatica	-5.7	19.5	10.959	V-C	0.3593.222	0	0	0	0	10.959
0 - Geostatica	-5.9	23.4	13.151	V-C	0.3593.222	0	0	0	0	13.151
0 - Geostatica	-6.1	27.3	15.343	V-C	0.3593.222	0	0	0	0	15.343
0 - Geostatica	-6.3	31.2	17.534	V-C	0.3593.222	0	0	0	0	17.534
0 - Geostatica	-6.5	35.1	19.726	V-C	0.3593.222	0	0	0	0	19.726
0 - Geostatica	-6.7	39	21.918	V-C	0.3593.222	0	0	0	0	21.918
0 - Geostatica	-6.9	42.9	24.11	V-C	0.3593.222	0	0	0	0	24.11
0 - Geostatica	-7.1	46.8	26.302	V-C	0.3593.222	0	0	0	0	26.302
0 - Geostatica	-7.3	50.7	28.493	V-C	0.3593.222	0	0	0	0	28.493
0 - Geostatica	-7.5	54.6	30.685	V-C	0.3593.222	0	0	0	0	30.685
0 - Geostatica	-7.7	58.5	32.877	V-C	0.3593.222	0	0	0	0	32.877
0 - Geostatica	-7.9	62.4	35.069	V-C	0.3593.222	0	0	0	0	35.069
0 - Geostatica	-8.1	66.3	37.261	V-C	0.3593.222	0	0	0	0	37.261
0 - Geostatica	-8.3	70.2	39.452	V-C	0.3593.222	0	0	0	0	39.452
0 - Geostatica	-8.5	74.1	41.644	V-C	0.3593.222	0	0	0	0	41.644
0 - Geostatica	-8.7	78	43.836	V-C	0.3593.222	0	0	0	0	43.836
0 - Geostatica	-8.9	81.9	46.028	V-C	0.3593.222	0	0	0	0	46.028
0 - Geostatica	-9.1	85.8	48.22	V-C	0.3593.222	0	0	0	0	48.22
0 - Geostatica	-9.3	89.7	50.411	V-C	0.3593.222	0	0	0	0	50.411
0 - Geostatica	-9.5	93.6	52.603	V-C	0.3593.222	0	0	0	0	52.603
0 - Geostatica	-9.7	95.5	53.671	V-C	0.3593.222	0	2	0	0	55.671
0 - Geostatica	-9.9	97.4	54.739	V-C	0.3593.222	0	4	0	0	58.739
0 - Geostatica	-10.1	99.3	55.807	V-C	0.3593.222	0	6	0	0	61.806
0 - Geostatica	-10.3	101.2	56.874	V-C	0.3593.222	0	8	0	0	64.874
0 - Geostatica	-10.5	103.1	57.942	V-C	0.3593.222	0	10	0	0	67.942
0 - Geostatica	-10.7	105	59.01	V-C	0.3593.222	0	12	0	0	71.01
0 - Geostatica	-10.9	106.9	60.078	V-C	0.3593.222	0	14	0	0	74.078
0 - Geostatica	-11.1	108.8	61.146	V-C	0.3593.222	0	16	0	0	77.145
0 - Geostatica	-11.3	110.7	62.213	V-C	0.3593.222	0	18	0	0	80.213
0 - Geostatica	-11.5	112.6	63.281	V-C	0.3593.222	0	20	0	0	83.281
0 - Geostatica	-11.7	114.5	64.349	V-C	0.3593.222	0	22	0	0	86.349
0 - Geostatica	-11.9	116.4	65.417	V-C	0.3593.222	0	24	0	0	89.417
0 - Geostatica	-12.1	118.3	66.485	V-C	0.3593.222	0	26	0	0	92.484
0 - Geostatica	-12.3	120.2	67.552	V-C	0.3593.222	0	28	0	0	95.552
0 - Geostatica	-12.5	122.1	68.62	V-C	0.3593.222	0	30	0	0	98.62
0 - Geostatica	-12.7	124	69.688	V-C	0.3593.222	0	32	0	0	101.688
0 - Geostatica	-12.9	125.9	70.756	V-C	0.3593.222	0	34	0	0	104.756
0 - Geostatica	-13.1	127.8	71.824	V-C	0.3593.222	0	36	0	0	107.823
0 - Geostatica	-13.3	129.7	72.891	V-C	0.3593.222	0	38	0	0	110.891
0 - Geostatica	-13.5	131.6	73.959	V-C	0.3593.222	0	40	0	0	113.959
0 - Geostatica	-13.7	133.5	75.027	V-C	0.3593.222	0	42	0	0	117.027

Design Assumption: Nominal Risultati Terreno Muro:											
Stage	Z (m)	Sigma V	Sigma H	LEFT Stato	Lato		RIGHT		Coesione	Pore Gradiente U*	Peq
					Ka	Kp					
0 - Geostatica	-13.9	135.4	76.095	V-C	0.3593.222	0	44	0	0	120.095	
0 - Geostatica	-14.1	137.3	77.163	V-C	0.3593.222	0	46	0	0	123.162	
0 - Geostatica	-14.3	139.2	78.23	V-C	0.3593.222	0	48	0	0	126.23	
0 - Geostatica	-14.5	141.1	79.298	V-C	0.3593.222	0	50	0	0	129.298	
0 - Geostatica	-14.7	143	80.366	V-C	0.3593.222	0	52	0	0	132.366	
0 - Geostatica	-14.9	144.9	81.434	V-C	0.3593.222	0	54	0	0	135.434	
0 - Geostatica	-15.1	146.8	82.502	V-C	0.3593.222	0	56	0	0	138.501	
0 - Geostatica	-15.3	148.7	83.569	V-C	0.3593.222	0	58	0	0	141.569	
0 - Geostatica	-15.5	150.6	84.637	V-C	0.3593.222	0	60	0	0	144.637	
0 - Geostatica	-15.7	152.5	85.705	V-C	0.3593.222	0	62	0	0	147.705	
0 - Geostatica	-15.9	154.4	86.773	V-C	0.3593.222	0	64	0	0	150.773	
0 - Geostatica	-16.1	156.355	87.871	V-C	0.3443.404	10	66	0	0	153.871	
0 - Geostatica	-16.3	158.355	88.995	V-C	0.3443.404	10	68	0	0	156.995	
0 - Geostatica	-16.5	160.355	90.119	V-C	0.3443.404	10	70	0	0	160.119	
0 - Geostatica	-16.7	162.355	91.243	V-C	0.3443.404	10	72	0	0	163.243	
0 - Geostatica	-16.9	164.355	92.367	V-C	0.3443.404	10	74	0	0	166.367	
0 - Geostatica	-17.1	166.355	93.491	V-C	0.3443.404	10	76	0	0	169.491	
0 - Geostatica	-17.3	168.355	94.615	V-C	0.3443.404	10	78	0	0	172.615	
0 - Geostatica	-17.5	170.355	95.739	V-C	0.3443.404	10	80	0	0	175.739	
0 - Geostatica	-17.7	172.445	96.914	V-C	0.2794.555	55	82	0	0	178.914	
0 - Geostatica	-17.9	175.045	98.375	V-C	0.2794.555	55	84	0	0	182.375	
0 - Geostatica	-18.1	177.645	99.836	V-C	0.2794.555	55	86	0	0	185.836	
0 - Geostatica	-18.2	178.945	100.567	V-C	0.2794.555	55	87	0	0	187.567	

5.5.2. Tabella Risultati Terreno Left Wall - Nominal - 1 - paratia

Design Assumption: Nominal Risultati Terreno Muro: LEFT Lato LEFT										
Stage	Z (m)	Sigma V	Sigma H	Stato	Ka	Kp	Coesione	Pore	Gradiente U*	Peq
1 - paratia	0	0	0	REMOVED	0	0	0	0	0	0
1 - paratia	-0.2	0	0	REMOVED	0	0	0	0	0	0
1 - paratia	-0.4	0	0	REMOVED	0	0	0	0	0	0
1 - paratia	-0.6	0	0	REMOVED	0	0	0	0	0	0
1 - paratia	-0.8	0	0	REMOVED	0	0	0	0	0	0
1 - paratia	-1	0	0	REMOVED	0	0	0	0	0	0
1 - paratia	-1.2	0	0	REMOVED	0	0	0	0	0	0
1 - paratia	-1.4	0	0	REMOVED	0	0	0	0	0	0
1 - paratia	-1.6	0	0	REMOVED	0	0	0	0	0	0
1 - paratia	-1.8	0	0	REMOVED	0	0	0	0	0	0
1 - paratia	-2	0	0	REMOVED	0	0	0	0	0	0
1 - paratia	-2.2	0	0	REMOVED	0	0	0	0	0	0
1 - paratia	-2.4	0	0	REMOVED	0	0	0	0	0	0
1 - paratia	-2.6	0	0	REMOVED	0	0	0	0	0	0
1 - paratia	-2.8	0	0	REMOVED	0	0	0	0	0	0
1 - paratia	-3	0	0	REMOVED	0	0	0	0	0	0
1 - paratia	-3.2	0	0	REMOVED	0	0	0	0	0	0
1 - paratia	-3.4	0	0	REMOVED	0	0	0	0	0	0
1 - paratia	-3.6	0	0	REMOVED	0	0	0	0	0	0
1 - paratia	-3.8	0	0	REMOVED	0	0	0	0	0	0
1 - paratia	-4	0	0	REMOVED	0	0	0	0	0	0
1 - paratia	-4.2	0	0	REMOVED	0	0	0	0	0	0
1 - paratia	-4.4	0	0	REMOVED	0	0	0	0	0	0
1 - paratia	-4.6	0	0	REMOVED	0	0	0	0	0	0
1 - paratia	-4.7	0	0	UL-RL	0.3593.222	0	0	0	0	0
1 - paratia	-4.9	3.9	2.192	UL-RL	0.3593.222	0	0	0	0	2.192
1 - paratia	-5.1	7.8	4.384	UL-RL	0.3593.222	0	0	0	0	4.384
1 - paratia	-5.3	11.7	6.575	UL-RL	0.3593.222	0	0	0	0	6.575
1 - paratia	-5.5	15.6	8.767	UL-RL	0.3593.222	0	0	0	0	8.767
1 - paratia	-5.7	19.5	10.959	UL-RL	0.3593.222	0	0	0	0	10.959
1 - paratia	-5.9	23.4	13.151	UL-RL	0.3593.222	0	0	0	0	13.151
1 - paratia	-6.1	27.3	15.343	UL-RL	0.3593.222	0	0	0	0	15.343
1 - paratia	-6.3	31.2	17.534	UL-RL	0.3593.222	0	0	0	0	17.534
1 - paratia	-6.5	35.1	19.726	UL-RL	0.3593.222	0	0	0	0	19.726
1 - paratia	-6.7	39	21.918	UL-RL	0.3593.222	0	0	0	0	21.918
1 - paratia	-6.9	42.9	24.11	UL-RL	0.3593.222	0	0	0	0	24.11
1 - paratia	-7.1	46.8	26.302	UL-RL	0.3593.222	0	0	0	0	26.302
1 - paratia	-7.3	50.7	28.493	UL-RL	0.3593.222	0	0	0	0	28.493
1 - paratia	-7.5	54.6	30.685	UL-RL	0.3593.222	0	0	0	0	30.685
1 - paratia	-7.7	58.5	32.877	UL-RL	0.3593.222	0	0	0	0	32.877
1 - paratia	-7.9	62.4	35.069	UL-RL	0.3593.222	0	0	0	0	35.069
1 - paratia	-8.1	66.3	37.261	UL-RL	0.3593.222	0	0	0	0	37.261
1 - paratia	-8.3	70.2	39.452	UL-RL	0.3593.222	0	0	0	0	39.452
1 - paratia	-8.5	74.1	41.644	UL-RL	0.3593.222	0	0	0	0	41.644
1 - paratia	-8.7	78	43.836	UL-RL	0.3593.222	0	0	0	0	43.836
1 - paratia	-8.9	81.9	46.028	UL-RL	0.3593.222	0	0	0	0	46.028
1 - paratia	-9.1	85.8	48.22	UL-RL	0.3593.222	0	0	0	0	48.22
1 - paratia	-9.3	89.7	50.411	UL-RL	0.3593.222	0	0	0	0	50.411
1 - paratia	-9.5	93.6	52.603	UL-RL	0.3593.222	0	0	0	0	52.603
1 - paratia	-9.7	95.5	53.671	UL-RL	0.3593.222	0	2	0	0	55.671
1 - paratia	-9.9	97.4	54.739	UL-RL	0.3593.222	0	4	0	0	58.739
1 - paratia	-10.1	99.3	55.807	UL-RL	0.3593.222	0	6	0	0	61.806
1 - paratia	-10.3	101.2	56.874	UL-RL	0.3593.222	0	8	0	0	64.874
1 - paratia	-10.5	103.1	57.942	UL-RL	0.3593.222	0	10	0	0	67.942
1 - paratia	-10.7	105	59.01	UL-RL	0.3593.222	0	12	0	0	71.01
1 - paratia	-10.9	106.9	60.078	UL-RL	0.3593.222	0	14	0	0	74.078
1 - paratia	-11.1	108.8	61.146	UL-RL	0.3593.222	0	16	0	0	77.145
1 - paratia	-11.3	110.7	62.213	UL-RL	0.3593.222	0	18	0	0	80.213
1 - paratia	-11.5	112.6	63.281	UL-RL	0.3593.222	0	20	0	0	83.281
1 - paratia	-11.7	114.5	64.349	UL-RL	0.3593.222	0	22	0	0	86.349
1 - paratia	-11.9	116.4	65.417	UL-RL	0.3593.222	0	24	0	0	89.417
1 - paratia	-12.1	118.3	66.485	UL-RL	0.3593.222	0	26	0	0	92.484
1 - paratia	-12.3	120.2	67.552	UL-RL	0.3593.222	0	28	0	0	95.552
1 - paratia	-12.5	122.1	68.62	UL-RL	0.3593.222	0	30	0	0	98.62
1 - paratia	-12.7	124	69.688	UL-RL	0.3593.222	0	32	0	0	101.688
1 - paratia	-12.9	125.9	70.756	UL-RL	0.3593.222	0	34	0	0	104.756
1 - paratia	-13.1	127.8	71.824	UL-RL	0.3593.222	0	36	0	0	107.823

Design Assumption: Nominal Risultati Terreno Muro: LEFT									
Stage	Z (m)	Sigma V	Sigma H	Stato	Lato		LEFT		Peq
					Ka	Kp	Coesione	Pore	Gradiente U*
1 - paratia	-13.3	129.7	72.891	UL-RL	0.3593.222	0	38	0	0 110.891
1 - paratia	-13.5	131.6	73.959	UL-RL	0.3593.222	0	40	0	0 113.959
1 - paratia	-13.7	133.5	75.027	UL-RL	0.3593.222	0	42	0	0 117.027
1 - paratia	-13.9	135.4	76.095	UL-RL	0.3593.222	0	44	0	0 120.095
1 - paratia	-14.1	137.3	77.163	UL-RL	0.3593.222	0	46	0	0 123.162
1 - paratia	-14.3	139.2	78.23	UL-RL	0.3593.222	0	48	0	0 126.23
1 - paratia	-14.5	141.1	79.298	UL-RL	0.3593.222	0	50	0	0 129.298
1 - paratia	-14.7	143	80.366	UL-RL	0.3593.222	0	52	0	0 132.366
1 - paratia	-14.9	144.9	81.434	UL-RL	0.3593.222	0	54	0	0 135.434
1 - paratia	-15.1	146.8	82.502	UL-RL	0.3593.222	0	56	0	0 138.501
1 - paratia	-15.3	148.7	83.569	UL-RL	0.3593.222	0	58	0	0 141.569
1 - paratia	-15.5	150.6	84.637	UL-RL	0.3593.222	0	60	0	0 144.637
1 - paratia	-15.7	152.5	85.705	UL-RL	0.3593.222	0	62	0	0 147.705
1 - paratia	-15.9	154.4	86.773	UL-RL	0.3593.222	0	64	0	0 150.773
1 - paratia	-16.1	156.355	87.871	UL-RL	0.3443.404	10	66	0	0 153.871
1 - paratia	-16.3	158.355	88.995	UL-RL	0.3443.404	10	68	0	0 156.995
1 - paratia	-16.5	160.355	90.119	UL-RL	0.3443.404	10	70	0	0 160.119
1 - paratia	-16.7	162.355	91.243	UL-RL	0.3443.404	10	72	0	0 163.243
1 - paratia	-16.9	164.355	92.367	UL-RL	0.3443.404	10	74	0	0 166.367
1 - paratia	-17.1	166.355	93.491	UL-RL	0.3443.404	10	76	0	0 169.491
1 - paratia	-17.3	168.355	94.615	UL-RL	0.3443.404	10	78	0	0 172.615
1 - paratia	-17.5	170.355	95.739	UL-RL	0.3443.404	10	80	0	0 175.739
1 - paratia	-17.7	172.445	96.914	UL-RL	0.2794.555	55	82	0	0 178.914
1 - paratia	-17.9	175.045	98.375	UL-RL	0.2794.555	55	84	0	0 182.375
1 - paratia	-18.1	177.645	99.836	UL-RL	0.2794.555	55	86	0	0 185.836
1 - paratia	-18.2	178.945	100.567	UL-RL	0.2794.555	55	87	0	0 187.567

Design Assumption: Nominal Risultati Terreno Muro:										
Stage	Z (m)	Sigma V	Sigma H	LEFT		Lato RIGHT				
				Stato	Ka	Kp	Coesione	Pore	Gradiente U*	Peq
1 - paratia	0	0	0	REMOVED	0	0	0	0	0	0
1 - paratia	-0.2	0	0	REMOVED	0	0	0	0	0	0
1 - paratia	-0.4	0	0	REMOVED	0	0	0	0	0	0
1 - paratia	-0.6	0	0	REMOVED	0	0	0	0	0	0
1 - paratia	-0.8	0	0	REMOVED	0	0	0	0	0	0
1 - paratia	-1	0	0	REMOVED	0	0	0	0	0	0
1 - paratia	-1.2	0	0	REMOVED	0	0	0	0	0	0
1 - paratia	-1.4	0	0	REMOVED	0	0	0	0	0	0
1 - paratia	-1.6	0	0	REMOVED	0	0	0	0	0	0
1 - paratia	-1.8	0	0	REMOVED	0	0	0	0	0	0
1 - paratia	-2	0	0	REMOVED	0	0	0	0	0	0
1 - paratia	-2.2	0	0	REMOVED	0	0	0	0	0	0
1 - paratia	-2.4	0	0	REMOVED	0	0	0	0	0	0
1 - paratia	-2.6	0	0	REMOVED	0	0	0	0	0	0
1 - paratia	-2.8	0	0	REMOVED	0	0	0	0	0	0
1 - paratia	-3	0	0	REMOVED	0	0	0	0	0	0
1 - paratia	-3.2	0	0	REMOVED	0	0	0	0	0	0
1 - paratia	-3.4	0	0	REMOVED	0	0	0	0	0	0
1 - paratia	-3.6	0	0	REMOVED	0	0	0	0	0	0
1 - paratia	-3.8	0	0	REMOVED	0	0	0	0	0	0
1 - paratia	-4	0	0	REMOVED	0	0	0	0	0	0
1 - paratia	-4.2	0	0	REMOVED	0	0	0	0	0	0
1 - paratia	-4.4	0	0	REMOVED	0	0	0	0	0	0
1 - paratia	-4.6	0	0	REMOVED	0	0	0	0	0	0
1 - paratia	-4.7	0	0	UL-RL	0.3593.222	0	0	0	0	0
1 - paratia	-4.9	3.9	2.192	UL-RL	0.3593.222	0	0	0	0	2.192
1 - paratia	-5.1	7.8	4.384	UL-RL	0.3593.222	0	0	0	0	4.384
1 - paratia	-5.3	11.7	6.575	UL-RL	0.3593.222	0	0	0	0	6.575
1 - paratia	-5.5	15.6	8.767	UL-RL	0.3593.222	0	0	0	0	8.767
1 - paratia	-5.7	19.5	10.959	UL-RL	0.3593.222	0	0	0	0	10.959
1 - paratia	-5.9	23.4	13.151	UL-RL	0.3593.222	0	0	0	0	13.151
1 - paratia	-6.1	27.3	15.343	UL-RL	0.3593.222	0	0	0	0	15.343
1 - paratia	-6.3	31.2	17.534	UL-RL	0.3593.222	0	0	0	0	17.534
1 - paratia	-6.5	35.1	19.726	UL-RL	0.3593.222	0	0	0	0	19.726
1 - paratia	-6.7	39	21.918	UL-RL	0.3593.222	0	0	0	0	21.918
1 - paratia	-6.9	42.9	24.11	UL-RL	0.3593.222	0	0	0	0	24.11
1 - paratia	-7.1	46.8	26.302	UL-RL	0.3593.222	0	0	0	0	26.302
1 - paratia	-7.3	50.7	28.493	UL-RL	0.3593.222	0	0	0	0	28.493
1 - paratia	-7.5	54.6	30.685	UL-RL	0.3593.222	0	0	0	0	30.685
1 - paratia	-7.7	58.5	32.877	UL-RL	0.3593.222	0	0	0	0	32.877
1 - paratia	-7.9	62.4	35.069	UL-RL	0.3593.222	0	0	0	0	35.069
1 - paratia	-8.1	66.3	37.261	UL-RL	0.3593.222	0	0	0	0	37.261
1 - paratia	-8.3	70.2	39.452	UL-RL	0.3593.222	0	0	0	0	39.452
1 - paratia	-8.5	74.1	41.644	UL-RL	0.3593.222	0	0	0	0	41.644
1 - paratia	-8.7	78	43.836	UL-RL	0.3593.222	0	0	0	0	43.836
1 - paratia	-8.9	81.9	46.028	UL-RL	0.3593.222	0	0	0	0	46.028
1 - paratia	-9.1	85.8	48.22	UL-RL	0.3593.222	0	0	0	0	48.22
1 - paratia	-9.3	89.7	50.411	UL-RL	0.3593.222	0	0	0	0	50.411
1 - paratia	-9.5	93.6	52.603	UL-RL	0.3593.222	0	0	0	0	52.603
1 - paratia	-9.7	95.5	53.671	UL-RL	0.3593.222	0	2	0	0	55.671
1 - paratia	-9.9	97.4	54.739	UL-RL	0.3593.222	0	4	0	0	58.739
1 - paratia	-10.1	99.3	55.807	UL-RL	0.3593.222	0	6	0	0	61.806
1 - paratia	-10.3	101.2	56.874	UL-RL	0.3593.222	0	8	0	0	64.874
1 - paratia	-10.5	103.1	57.942	UL-RL	0.3593.222	0	10	0	0	67.942
1 - paratia	-10.7	105	59.01	UL-RL	0.3593.222	0	12	0	0	71.01
1 - paratia	-10.9	106.9	60.078	UL-RL	0.3593.222	0	14	0	0	74.078
1 - paratia	-11.1	108.8	61.146	UL-RL	0.3593.222	0	16	0	0	77.145
1 - paratia	-11.3	110.7	62.213	UL-RL	0.3593.222	0	18	0	0	80.213
1 - paratia	-11.5	112.6	63.281	UL-RL	0.3593.222	0	20	0	0	83.281
1 - paratia	-11.7	114.5	64.349	UL-RL	0.3593.222	0	22	0	0	86.349
1 - paratia	-11.9	116.4	65.417	UL-RL	0.3593.222	0	24	0	0	89.417
1 - paratia	-12.1	118.3	66.485	UL-RL	0.3593.222	0	26	0	0	92.484
1 - paratia	-12.3	120.2	67.552	UL-RL	0.3593.222	0	28	0	0	95.552
1 - paratia	-12.5	122.1	68.62	UL-RL	0.3593.222	0	30	0	0	98.62
1 - paratia	-12.7	124	69.688	UL-RL	0.3593.222	0	32	0	0	101.688
1 - paratia	-12.9	125.9	70.756	UL-RL	0.3593.222	0	34	0	0	104.756
1 - paratia	-13.1	127.8	71.824	UL-RL	0.3593.222	0	36	0	0	107.823
1 - paratia	-13.3	129.7	72.891	UL-RL	0.3593.222	0	38	0	0	110.891
1 - paratia	-13.5	131.6	73.959	UL-RL	0.3593.222	0	40	0	0	113.959
1 - paratia	-13.7	133.5	75.027	UL-RL	0.3593.222	0	42	0	0	117.027

Design Assumption: Nominal Risultati Terreno Muro:											
Stage	Z (m)	Sigma V	Sigma H	LEFT Stato	Lato		RIGHT		Coesione Pore	Gradiente U*	Peq
					Ka	Kp					
1 - paratia	-13.9	135.4	76.095	UL-RL	0.3593.222	0	44	0	0	120.095	
1 - paratia	-14.1	137.3	77.163	UL-RL	0.3593.222	0	46	0	0	123.162	
1 - paratia	-14.3	139.2	78.23	UL-RL	0.3593.222	0	48	0	0	126.23	
1 - paratia	-14.5	141.1	79.298	UL-RL	0.3593.222	0	50	0	0	129.298	
1 - paratia	-14.7	143	80.366	UL-RL	0.3593.222	0	52	0	0	132.366	
1 - paratia	-14.9	144.9	81.434	UL-RL	0.3593.222	0	54	0	0	135.434	
1 - paratia	-15.1	146.8	82.502	UL-RL	0.3593.222	0	56	0	0	138.501	
1 - paratia	-15.3	148.7	83.569	UL-RL	0.3593.222	0	58	0	0	141.569	
1 - paratia	-15.5	150.6	84.637	UL-RL	0.3593.222	0	60	0	0	144.637	
1 - paratia	-15.7	152.5	85.705	UL-RL	0.3593.222	0	62	0	0	147.705	
1 - paratia	-15.9	154.4	86.773	UL-RL	0.3593.222	0	64	0	0	150.773	
1 - paratia	-16.1	156.355	87.871	UL-RL	0.3443.404	10	66	0	0	153.871	
1 - paratia	-16.3	158.355	88.995	UL-RL	0.3443.404	10	68	0	0	156.995	
1 - paratia	-16.5	160.355	90.119	UL-RL	0.3443.404	10	70	0	0	160.119	
1 - paratia	-16.7	162.355	91.243	UL-RL	0.3443.404	10	72	0	0	163.243	
1 - paratia	-16.9	164.355	92.367	UL-RL	0.3443.404	10	74	0	0	166.367	
1 - paratia	-17.1	166.355	93.491	UL-RL	0.3443.404	10	76	0	0	169.491	
1 - paratia	-17.3	168.355	94.615	UL-RL	0.3443.404	10	78	0	0	172.615	
1 - paratia	-17.5	170.355	95.739	UL-RL	0.3443.404	10	80	0	0	175.739	
1 - paratia	-17.7	172.445	96.914	UL-RL	0.2794.555	55	82	0	0	178.914	
1 - paratia	-17.9	175.045	98.375	UL-RL	0.2794.555	55	84	0	0	182.375	
1 - paratia	-18.1	177.645	99.836	UL-RL	0.2794.555	55	86	0	0	185.836	
1 - paratia	-18.2	178.945	100.567	UL-RL	0.2794.555	55	87	0	0	187.567	

5.5.3. Tabella Risultati Terreno Left Wall - Nominal - 2 - esercizio

Design Assumption: Nominal Risultati Terreno Muro: LEFT Lato LEFT										
Stage	Z (m)	Sigma V	Sigma H	Stato	Ka	Kp	Coesione	Pore	Gradiente U*	Peq
2 - esercizio	0	0	0	REMOVED	0	0	0	0	0	0
2 - esercizio	-0.2	0	0	REMOVED	0	0	0	0	0	0
2 - esercizio	-0.4	0	0	REMOVED	0	0	0	0	0	0
2 - esercizio	-0.6	0	0	REMOVED	0	0	0	0	0	0
2 - esercizio	-0.8	0	0	REMOVED	0	0	0	0	0	0
2 - esercizio	-1	0	0	REMOVED	0	0	0	0	0	0
2 - esercizio	-1.2	0	0	REMOVED	0	0	0	0	0	0
2 - esercizio	-1.4	0	0	REMOVED	0	0	0	0	0	0
2 - esercizio	-1.6	0	0	REMOVED	0	0	0	0	0	0
2 - esercizio	-1.8	0	0	REMOVED	0	0	0	0	0	0
2 - esercizio	-2	0	0	REMOVED	0	0	0	0	0	0
2 - esercizio	-2.2	0	0	REMOVED	0	0	0	0	0	0
2 - esercizio	-2.4	0	0	REMOVED	0	0	0	0	0	0
2 - esercizio	-2.6	0	0	REMOVED	0	0	0	0	0	0
2 - esercizio	-2.8	0	0	REMOVED	0	0	0	0	0	0
2 - esercizio	-3	0	0	REMOVED	0	0	0	0	0	0
2 - esercizio	-3.2	0	0	REMOVED	0	0	0	0	0	0
2 - esercizio	-3.4	0	0	REMOVED	0	0	0	0	0	0
2 - esercizio	-3.6	0	0	REMOVED	0	0	0	0	0	0
2 - esercizio	-3.8	0	0	REMOVED	0	0	0	0	0	0
2 - esercizio	-4	0	0	REMOVED	0	0	0	0	0	0
2 - esercizio	-4.2	0	0	REMOVED	0	0	0	0	0	0
2 - esercizio	-4.4	0	0	REMOVED	0	0	0	0	0	0
2 - esercizio	-4.6	0	0	REMOVED	0	0	0	0	0	0
2 - esercizio	-4.7	0	0	PASSIVE	0.3593.222	0	0	0	0	0
2 - esercizio	-4.9	3.9	12.566	PASSIVE	0.3593.222	0	0	0	0	12.566
2 - esercizio	-5.1	7.8	25.132	PASSIVE	0.3593.222	0	0	0	0	25.132
2 - esercizio	-5.3	11.7	37.697	PASSIVE	0.3593.222	0	0	0	0	37.697
2 - esercizio	-5.5	15.6	50.263	PASSIVE	0.3593.222	0	0	0	0	50.263
2 - esercizio	-5.7	19.5	62.829	PASSIVE	0.3593.222	0	0	0	0	62.829
2 - esercizio	-5.9	23.4	75.395	PASSIVE	0.3593.222	0	0	0	0	75.395
2 - esercizio	-6.1	27.3	87.96	PASSIVE	0.3593.222	0	0	0	0	87.96
2 - esercizio	-6.3	31.2	100.526	PASSIVE	0.3593.222	0	0	0	0	100.526
2 - esercizio	-6.5	35.1	113.092	PASSIVE	0.3593.222	0	0	0	0	113.092
2 - esercizio	-6.7	39	125.658	PASSIVE	0.3593.222	0	0	0	0	125.658
2 - esercizio	-6.9	42.9	130.374	V-C	0.3593.222	0	0	0	0	130.374
2 - esercizio	-7.1	46.8	129.806	V-C	0.3593.222	0	0	0	0	129.806
2 - esercizio	-7.3	50.7	129.27	V-C	0.3593.222	0	0	0	0	129.27
2 - esercizio	-7.5	54.6	128.767	V-C	0.3593.222	0	0	0	0	128.767
2 - esercizio	-7.7	58.5	128.296	V-C	0.3593.222	0	0	0	0	128.296
2 - esercizio	-7.9	62.4	127.86	V-C	0.3593.222	0	0	0	0	127.86
2 - esercizio	-8.1	66.3	127.459	V-C	0.3593.222	0	0	0	0	127.459
2 - esercizio	-8.3	70.2	127.093	V-C	0.3593.222	0	0	0	0	127.093
2 - esercizio	-8.5	74.1	126.762	V-C	0.3593.222	0	0	0	0	126.762
2 - esercizio	-8.7	78	126.468	V-C	0.3593.222	0	0	0	0	126.468
2 - esercizio	-8.9	81.9	126.21	V-C	0.3593.222	0	0	0	0	126.21
2 - esercizio	-9.1	85.8	125.988	V-C	0.3593.222	0	0	0	0	125.988
2 - esercizio	-9.3	89.7	125.803	V-C	0.3593.222	0	0	0	0	125.803
2 - esercizio	-9.5	93.6	125.654	V-C	0.3593.222	0	0	0	0	125.654
2 - esercizio	-9.7	95.5	124.417	V-C	0.3593.222	0	2	0	0	126.417
2 - esercizio	-9.9	97.4	123.216	V-C	0.3593.222	0	4	0	0	127.216
2 - esercizio	-10.1	99.3	122.05	V-C	0.3593.222	0	6	0	0	128.05
2 - esercizio	-10.3	101.2	120.92	V-C	0.3593.222	0	8	0	0	128.92
2 - esercizio	-10.5	103.1	119.824	V-C	0.3593.222	0	10	0	0	129.824
2 - esercizio	-10.7	105	118.763	V-C	0.3593.222	0	12	0	0	130.762
2 - esercizio	-10.9	106.9	117.735	V-C	0.3593.222	0	14	0	0	131.735
2 - esercizio	-11.1	108.8	116.74	V-C	0.3593.222	0	16	0	0	132.74
2 - esercizio	-11.3	110.7	115.778	V-C	0.3593.222	0	18	0	0	133.777
2 - esercizio	-11.5	112.6	114.847	V-C	0.3593.222	0	20	0	0	134.847
2 - esercizio	-11.7	114.5	113.947	V-C	0.3593.222	0	22	0	0	135.947
2 - esercizio	-11.9	116.4	113.077	V-C	0.3593.222	0	24	0	0	137.077
2 - esercizio	-12.1	118.3	112.236	V-C	0.3593.222	0	26	0	0	138.236
2 - esercizio	-12.3	120.2	111.424	V-C	0.3593.222	0	28	0	0	139.424
2 - esercizio	-12.5	122.1	110.639	V-C	0.3593.222	0	30	0	0	140.639
2 - esercizio	-12.7	124	109.881	V-C	0.3593.222	0	32	0	0	141.881
2 - esercizio	-12.9	125.9	109.148	V-C	0.3593.222	0	34	0	0	143.148
2 - esercizio	-13.1	127.8	108.44	V-C	0.3593.222	0	36	0	0	144.44

Design Assumption: Nominal Risultati Terreno Muro: LEFT Lato LEFT										
Stage	Z (m)	Sigma V	Sigma H	Stato	Ka	Kp	Coesione	Pore	Gradiente U*	Peq
2 - esercizio	-13.3	129.7	107.756	V-C	0.3593.222	0	38	0	0	145.756
2 - esercizio	-13.5	131.6	107.094	V-C	0.3593.222	0	40	0	0	147.094
2 - esercizio	-13.7	133.5	106.454	V-C	0.3593.222	0	42	0	0	148.454
2 - esercizio	-13.9	135.4	105.835	V-C	0.3593.222	0	44	0	0	149.835
2 - esercizio	-14.1	137.3	105.236	UL-RL	0.3593.222	0	46	0	0	151.236
2 - esercizio	-14.3	139.2	104.655	UL-RL	0.3593.222	0	48	0	0	152.655
2 - esercizio	-14.5	141.1	104.092	UL-RL	0.3593.222	0	50	0	0	154.092
2 - esercizio	-14.7	143	103.546	UL-RL	0.3593.222	0	52	0	0	155.546
2 - esercizio	-14.9	144.9	103.016	UL-RL	0.3593.222	0	54	0	0	157.016
2 - esercizio	-15.1	146.8	102.501	UL-RL	0.3593.222	0	56	0	0	158.501
2 - esercizio	-15.3	148.7	102	UL-RL	0.3593.222	0	58	0	0	160
2 - esercizio	-15.5	150.6	101.512	UL-RL	0.3593.222	0	60	0	0	161.512
2 - esercizio	-15.7	152.5	101.036	UL-RL	0.3593.222	0	62	0	0	163.036
2 - esercizio	-15.9	154.4	100.571	UL-RL	0.3593.222	0	64	0	0	164.571
2 - esercizio	-16.1	156.355	156.681	UL-RL	0.3443.404	10	66	0	0	222.681
2 - esercizio	-16.3	158.355	149.33	UL-RL	0.3443.404	10	68	0	0	217.33
2 - esercizio	-16.5	160.355	142.029	UL-RL	0.3443.404	10	70	0	0	212.029
2 - esercizio	-16.7	162.355	134.772	UL-RL	0.3443.404	10	72	0	0	206.772
2 - esercizio	-16.9	164.355	127.151	UL-RL	0.3443.404	10	74	0	0	201.151
2 - esercizio	-17.1	166.355	108.971	UL-RL	0.3443.404	10	76	0	0	184.97
2 - esercizio	-17.3	168.355	90.86	UL-RL	0.3443.404	10	78	0	0	168.86
2 - esercizio	-17.5	170.355	72.798	UL-RL	0.3443.404	10	80	0	0	152.798
2 - esercizio	-17.7	172.445	71.186	UL-RL	0.2794.555	55	82	0	0	153.186
2 - esercizio	-17.9	175.045	60.95	UL-RL	0.2794.555	55	84	0	0	144.95
2 - esercizio	-18.1	177.645	50.718	UL-RL	0.2794.555	55	86	0	0	136.718
2 - esercizio	-18.2	178.945	45.603	UL-RL	0.2794.555	55	87	0	0	132.603

Design Assumption: Nominal Risultati Terreno										
Stage	Z (m)	Sigma V	Muro: LEFT			Lato RIGHT				
			Sigma H	Stato	Ka	Kp	Coesione	Pore	Gradiente U*	Peq
2 - esercizio	0	57	13.395	ACTIVE	0.235	5.879	0	0	0	13.395
2 - esercizio	-0.2	61	14.335	ACTIVE	0.235	5.879	0	0	0	14.335
2 - esercizio	-0.4	65.002	15.275	ACTIVE	0.235	5.879	0	0	0	15.275
2 - esercizio	-0.6	69.006	16.216	ACTIVE	0.235	5.879	0	0	0	16.216
2 - esercizio	-0.8	73.015	17.158	ACTIVE	0.235	5.879	0	0	0	17.158
2 - esercizio	-1	77.029	18.102	ACTIVE	0.235	5.879	0	0	0	18.102
2 - esercizio	-1.2	81.049	19.046	ACTIVE	0.235	5.879	0	0	0	19.046
2 - esercizio	-1.4	85.076	19.993	ACTIVE	0.235	5.879	0	0	0	19.993
2 - esercizio	-1.6	89.112	20.941	ACTIVE	0.235	5.879	0	0	0	20.941
2 - esercizio	-1.8	93.156	21.892	ACTIVE	0.235	5.879	0	0	0	21.892
2 - esercizio	-2	97.209	22.844	ACTIVE	0.235	5.879	0	0	0	22.844
2 - esercizio	-2.2	101.272	23.799	ACTIVE	0.235	5.879	0	0	0	23.799
2 - esercizio	-2.4	105.344	24.756	ACTIVE	0.235	5.879	0	0	0	24.756
2 - esercizio	-2.6	109.425	25.715	ACTIVE	0.235	5.879	0	0	0	25.715
2 - esercizio	-2.8	113.515	26.676	ACTIVE	0.235	5.879	0	0	0	26.676
2 - esercizio	-3	117.614	27.639	ACTIVE	0.235	5.879	0	0	0	27.639
2 - esercizio	-3.2	121.721	28.604	ACTIVE	0.235	5.879	0	0	0	28.604
2 - esercizio	-3.4	125.835	29.571	ACTIVE	0.235	5.879	0	0	0	29.571
2 - esercizio	-3.6	129.957	30.54	ACTIVE	0.235	5.879	0	0	0	30.54
2 - esercizio	-3.8	134.084	31.51	ACTIVE	0.235	5.879	0	0	0	31.51
2 - esercizio	-4	138.217	32.481	ACTIVE	0.235	5.879	0	0	0	32.481
2 - esercizio	-4.2	142.354	33.453	ACTIVE	0.235	5.879	0	0	0	33.453
2 - esercizio	-4.4	146.496	34.427	ACTIVE	0.235	5.879	0	0	0	34.427
2 - esercizio	-4.6	150.64	35.4	ACTIVE	0.235	5.879	0	0	0	35.4
2 - esercizio	-4.7	152.713	54.824	ACTIVE	0.359	3.222	0	0	0	54.824
2 - esercizio	-4.9	156.761	56.277	ACTIVE	0.359	3.222	0	0	0	56.277
2 - esercizio	-5.1	160.81	57.731	ACTIVE	0.359	3.222	0	0	0	57.731
2 - esercizio	-5.3	164.86	59.185	ACTIVE	0.359	3.222	0	0	0	59.185
2 - esercizio	-5.5	168.909	60.638	ACTIVE	0.359	3.222	0	0	0	60.638
2 - esercizio	-5.7	172.958	62.092	ACTIVE	0.359	3.222	0	0	0	62.092
2 - esercizio	-5.9	177.005	63.545	ACTIVE	0.359	3.222	0	0	0	63.545
2 - esercizio	-6.1	181.051	64.997	ACTIVE	0.359	3.222	0	0	0	64.997
2 - esercizio	-6.3	185.095	66.449	ACTIVE	0.359	3.222	0	0	0	66.449
2 - esercizio	-6.5	189.137	67.9	ACTIVE	0.359	3.222	0	0	0	67.9
2 - esercizio	-6.7	193.175	69.35	ACTIVE	0.359	3.222	0	0	0	69.35
2 - esercizio	-6.9	197.556	70.923	ACTIVE	0.359	3.222	0	0	0	70.923
2 - esercizio	-7.1	202.304	72.627	ACTIVE	0.359	3.222	0	0	0	72.627
2 - esercizio	-7.3	206.695	74.204	ACTIVE	0.359	3.222	0	0	0	74.204
2 - esercizio	-7.5	211.25	75.839	ACTIVE	0.359	3.222	0	0	0	75.839
2 - esercizio	-7.7	215.648	77.418	ACTIVE	0.359	3.222	0	0	0	77.418
2 - esercizio	-7.9	220.038	78.994	ACTIVE	0.359	3.222	0	0	0	78.994
2 - esercizio	-8.1	224.438	80.573	ACTIVE	0.359	3.222	0	0	0	80.573
2 - esercizio	-8.3	228.689	82.099	ACTIVE	0.359	3.222	0	0	0	82.099
2 - esercizio	-8.5	233.075	83.674	ACTIVE	0.359	3.222	0	0	0	83.674
2 - esercizio	-8.7	237.218	85.161	ACTIVE	0.359	3.222	0	0	0	85.161
2 - esercizio	-8.9	241.599	86.734	ACTIVE	0.359	3.222	0	0	0	86.734
2 - esercizio	-9.1	245.676	88.198	ACTIVE	0.359	3.222	0	0	0	88.198
2 - esercizio	-9.3	250.014	89.755	ACTIVE	0.359	3.222	0	0	0	89.755
2 - esercizio	-9.5	254.052	91.205	ACTIVE	0.359	3.222	0	0	0	91.205
2 - esercizio	-9.7	256.332	92.023	ACTIVE	0.359	3.222	0	2	0	94.023
2 - esercizio	-9.9	258.336	92.743	ACTIVE	0.359	3.222	0	4	0	96.742
2 - esercizio	-10.1	260.556	93.54	ACTIVE	0.359	3.222	0	6	0	99.54
2 - esercizio	-10.3	262.531	94.249	ACTIVE	0.359	3.222	0	8	0	102.249
2 - esercizio	-10.5	264.679	95.02	ACTIVE	0.359	3.222	0	10	0	105.02
2 - esercizio	-10.7	266.661	95.731	ACTIVE	0.359	3.222	0	12	0	107.731
2 - esercizio	-10.9	268.733	96.475	ACTIVE	0.359	3.222	0	14	0	110.475
2 - esercizio	-11.1	270.727	97.191	ACTIVE	0.359	3.222	0	16	0	113.191
2 - esercizio	-11.3	272.734	97.912	ACTIVE	0.359	3.222	0	18	0	115.912
2 - esercizio	-11.5	274.734	98.629	ACTIVE	0.359	3.222	0	20	0	118.629
2 - esercizio	-11.7	276.687	99.331	ACTIVE	0.359	3.222	0	22	0	121.33
2 - esercizio	-11.9	278.685	100.048	ACTIVE	0.359	3.222	0	24	0	124.048
2 - esercizio	-12.1	280.596	100.734	ACTIVE	0.359	3.222	0	26	0	126.734
2 - esercizio	-12.3	282.594	101.451	ACTIVE	0.359	3.222	0	28	0	129.451
2 - esercizio	-12.5	284.476	102.127	ACTIVE	0.359	3.222	0	30	0	132.127
2 - esercizio	-12.7	286.46	102.839	ACTIVE	0.359	3.222	0	32	0	134.839
2 - esercizio	-12.9	288.33	103.51	ACTIVE	0.359	3.222	0	34	0	137.51
2 - esercizio	-13.1	290.289	104.214	ACTIVE	0.359	3.222	0	36	0	140.214
2 - esercizio	-13.3	292.108	104.867	ACTIVE	0.359	3.222	0	38	0	142.866
2 - esercizio	-13.5	293.907	105.512	ACTIVE	0.359	3.222	0	40	0	145.512
2 - esercizio	-13.7	295.708	106.159	ACTIVE	0.359	3.222	0	42	0	148.159

Design Assumption: Nominal Risultati Terreno										
Stage	Z (m)	Sigma V	Muro: LEFT		Lato RIGHT					
			Sigma H	Stato	Ka	Kp	Coesione	Pore	Gradiente U*	Peq
2 - esercizio	-13.9	297.51	106.806	ACTIVE	0.359	3.222	0	44	0	0 150.806
2 - esercizio	-14.1	299.314	107.454	UL-RL	0.359	3.222	0	46	0	0 153.454
2 - esercizio	-14.3	301.12	108.103	UL-RL	0.359	3.222	0	48	0	0 156.103
2 - esercizio	-14.5	302.928	108.752	UL-RL	0.359	3.222	0	50	0	0 158.752
2 - esercizio	-14.7	304.737	109.402	UL-RL	0.359	3.222	0	52	0	0 161.402
2 - esercizio	-14.9	306.548	110.052	UL-RL	0.359	3.222	0	54	0	0 164.052
2 - esercizio	-15.1	308.36	110.703	UL-RL	0.359	3.222	0	56	0	0 166.703
2 - esercizio	-15.3	310.174	111.355	UL-RL	0.359	3.222	0	58	0	0 169.355
2 - esercizio	-15.5	311.988	112.965	UL-RL	0.359	3.222	0	60	0	0 172.965
2 - esercizio	-15.7	313.805	119.69	UL-RL	0.359	3.222	0	62	0	0 181.69
2 - esercizio	-15.9	315.622	126.374	UL-RL	0.359	3.222	0	64	0	0 190.374
2 - esercizio	-16.1	317.496	97.515	UL-RL	0.344	3.404	10	66	0	0 163.515
2 - esercizio	-16.3	319.417	98.179	UL-RL	0.344	3.404	10	68	0	0 166.178
2 - esercizio	-16.5	321.338	98.843	UL-RL	0.344	3.404	10	70	0	0 168.843
2 - esercizio	-16.7	323.261	99.507	UL-RL	0.344	3.404	10	72	0	0 171.507
2 - esercizio	-16.9	325.185	100.942	UL-RL	0.344	3.404	10	74	0	0 174.942
2 - esercizio	-17.1	327.11	122.722	UL-RL	0.344	3.404	10	76	0	0 198.722
2 - esercizio	-17.3	329.036	144.413	UL-RL	0.344	3.404	10	78	0	0 222.413
2 - esercizio	-17.5	330.964	160.836	UL-RL	0.344	3.404	10	80	0	0 240.836
2 - esercizio	-17.7	332.982	175.125	UL-RL	0.279	4.555	55	82	0	0 257.125
2 - esercizio	-17.9	335.512	188.2	UL-RL	0.279	4.555	55	84	0	0 272.2
2 - esercizio	-18.1	338.042	201.272	UL-RL	0.279	4.555	55	86	0	0 287.272
2 - esercizio	-18.2	339.308	206.346	UL-RL	0.279	4.555	55	87	0	0 293.346

5.5.4. Tabella Risultati Terreno Left Wall - Nominal - 3 - sisma

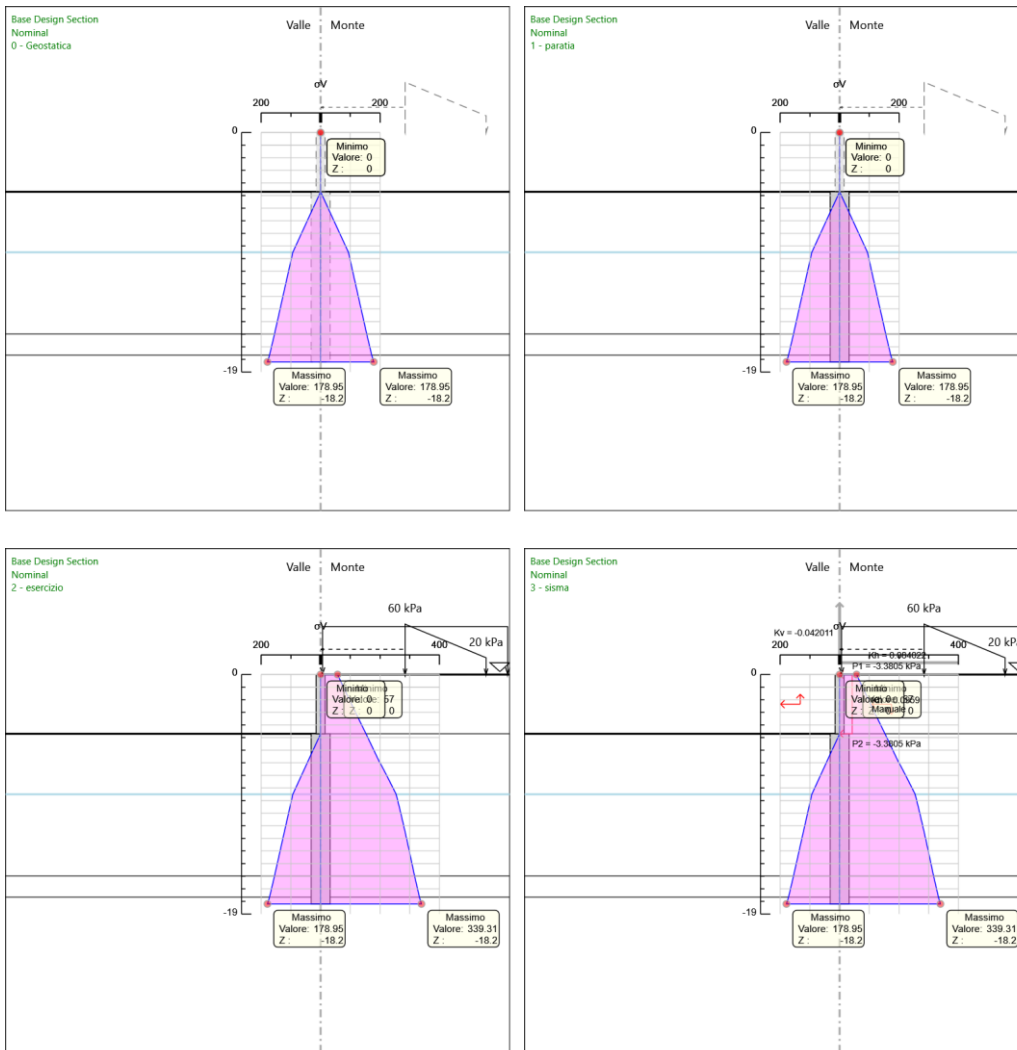
Design Assumption: Nominal Risultati Terreno Muro: LEFT Lato LEFT										
Stage	Z (m)	Sigma V	Sigma H	Stato	Ka	Kp	Coesione	Pore	Gradiente U*	Peq
3 - sisma	0	0	0	REMOVED	0	0	0	0	0	0
3 - sisma	-0.2	0	0	REMOVED	0	0	0	0	0	0
3 - sisma	-0.4	0	0	REMOVED	0	0	0	0	0	0
3 - sisma	-0.6	0	0	REMOVED	0	0	0	0	0	0
3 - sisma	-0.8	0	0	REMOVED	0	0	0	0	0	0
3 - sisma	-1	0	0	REMOVED	0	0	0	0	0	0
3 - sisma	-1.2	0	0	REMOVED	0	0	0	0	0	0
3 - sisma	-1.4	0	0	REMOVED	0	0	0	0	0	0
3 - sisma	-1.6	0	0	REMOVED	0	0	0	0	0	0
3 - sisma	-1.8	0	0	REMOVED	0	0	0	0	0	0
3 - sisma	-2	0	0	REMOVED	0	0	0	0	0	0
3 - sisma	-2.2	0	0	REMOVED	0	0	0	0	0	0
3 - sisma	-2.4	0	0	REMOVED	0	0	0	0	0	0
3 - sisma	-2.6	0	0	REMOVED	0	0	0	0	0	0
3 - sisma	-2.8	0	0	REMOVED	0	0	0	0	0	0
3 - sisma	-3	0	0	REMOVED	0	0	0	0	0	0
3 - sisma	-3.2	0	0	REMOVED	0	0	0	0	0	0
3 - sisma	-3.4	0	0	REMOVED	0	0	0	0	0	0
3 - sisma	-3.6	0	0	REMOVED	0	0	0	0	0	0
3 - sisma	-3.8	0	0	REMOVED	0	0	0	0	0	0
3 - sisma	-4	0	0	REMOVED	0	0	0	0	0	0
3 - sisma	-4.2	0	0	REMOVED	0	0	0	0	0	0
3 - sisma	-4.4	0	0	REMOVED	0	0	0	0	0	0
3 - sisma	-4.6	0	0	REMOVED	0	0	0	0	0	0
3 - sisma	-4.7	0	0	PASSIVE	0.359	2.84	0	0	0	0
3 - sisma	-4.9	3.9	11.076	PASSIVE	0.359	2.84	0	0	0	11.076
3 - sisma	-5.1	7.8	22.152	PASSIVE	0.359	2.84	0	0	0	22.152
3 - sisma	-5.3	11.7	33.228	PASSIVE	0.359	2.84	0	0	0	33.228
3 - sisma	-5.5	15.6	44.304	PASSIVE	0.359	2.84	0	0	0	44.304
3 - sisma	-5.7	19.5	55.38	PASSIVE	0.359	2.84	0	0	0	55.38
3 - sisma	-5.9	23.4	66.456	PASSIVE	0.359	2.84	0	0	0	66.456
3 - sisma	-6.1	27.3	77.532	PASSIVE	0.359	2.84	0	0	0	77.532
3 - sisma	-6.3	31.2	88.608	PASSIVE	0.359	2.84	0	0	0	88.608
3 - sisma	-6.5	35.1	99.684	PASSIVE	0.359	2.84	0	0	0	99.684
3 - sisma	-6.7	39	110.76	PASSIVE	0.359	2.84	0	0	0	110.76
3 - sisma	-6.9	42.9	121.836	PASSIVE	0.359	2.84	0	0	0	121.836
3 - sisma	-7.1	46.8	132.912	PASSIVE	0.359	2.84	0	0	0	132.912
3 - sisma	-7.3	50.7	143.988	PASSIVE	0.359	2.84	0	0	0	143.988
3 - sisma	-7.5	54.6	147.08	V-C	0.359	2.84	0	0	0	147.08
3 - sisma	-7.7	58.5	145.995	V-C	0.359	2.84	0	0	0	145.995
3 - sisma	-7.9	62.4	144.952	V-C	0.359	2.84	0	0	0	144.952
3 - sisma	-8.1	66.3	143.954	V-C	0.359	2.84	0	0	0	143.954
3 - sisma	-8.3	70.2	143.001	V-C	0.359	2.84	0	0	0	143.001
3 - sisma	-8.5	74.1	142.094	V-C	0.359	2.84	0	0	0	142.094
3 - sisma	-8.7	78	141.233	V-C	0.359	2.84	0	0	0	141.233
3 - sisma	-8.9	81.9	140.418	V-C	0.359	2.84	0	0	0	140.418
3 - sisma	-9.1	85.8	139.65	V-C	0.359	2.84	0	0	0	139.65
3 - sisma	-9.3	89.7	138.929	V-C	0.359	2.84	0	0	0	138.929
3 - sisma	-9.5	93.6	138.256	V-C	0.359	2.84	0	0	0	138.256
3 - sisma	-9.7	95.5	136.505	V-C	0.359	2.834	0	2	0	138.505
3 - sisma	-9.9	97.4	134.801	V-C	0.359	2.828	0	4	0	138.801
3 - sisma	-10.1	99.3	133.144	V-C	0.359	2.823	0	6	0	139.144
3 - sisma	-10.3	101.2	131.533	V-C	0.359	2.817	0	8	0	139.533
3 - sisma	-10.5	103.1	129.967	V-C	0.359	2.812	0	10	0	139.967
3 - sisma	-10.7	105	128.447	V-C	0.359	2.807	0	12	0	140.447
3 - sisma	-10.9	106.9	126.971	V-C	0.359	2.802	0	14	0	140.971
3 - sisma	-11.1	108.8	125.539	V-C	0.359	2.798	0	16	0	141.539
3 - sisma	-11.3	110.7	124.15	V-C	0.359	2.793	0	18	0	142.149
3 - sisma	-11.5	112.6	122.802	V-C	0.359	2.789	0	20	0	142.802
3 - sisma	-11.7	114.5	121.496	V-C	0.359	2.785	0	22	0	143.496
3 - sisma	-11.9	116.4	120.23	V-C	0.359	2.781	0	24	0	144.23
3 - sisma	-12.1	118.3	119.004	V-C	0.359	2.777	0	26	0	145.004
3 - sisma	-12.3	120.2	117.815	V-C	0.359	2.773	0	28	0	145.815
3 - sisma	-12.5	122.1	116.664	V-C	0.359	2.769	0	30	0	146.663
3 - sisma	-12.7	124	115.548	V-C	0.359	2.766	0	32	0	147.548
3 - sisma	-12.9	125.9	114.466	V-C	0.359	2.762	0	34	0	148.466
3 - sisma	-13.1	127.8	113.418	V-C	0.359	2.759	0	36	0	149.418

Design Assumption: Nominal Risultati Terreno Muro: LEFT Lato LEFT										
Stage	Z (m)	Sigma V	Sigma H	Stato	Ka	Kp	Coesione	Pore	Gradiente U*	Peq
3 - sisma	-13.3	129.7	112.403	V-C	0.3592.755	0	38	0	0	150.402
3 - sisma	-13.5	131.6	111.418	V-C	0.3592.752	0	40	0	0	151.418
3 - sisma	-13.7	133.5	110.462	V-C	0.3592.749	0	42	0	0	152.462
3 - sisma	-13.9	135.4	109.535	V-C	0.3592.746	0	44	0	0	153.535
3 - sisma	-14.1	137.3	108.635	V-C	0.3592.743	0	46	0	0	154.635
3 - sisma	-14.3	139.2	107.761	V-C	0.3592.741	0	48	0	0	155.76
3 - sisma	-14.5	141.1	106.91	V-C	0.3592.738	0	50	0	0	156.91
3 - sisma	-14.7	143	106.083	V-C	0.3592.735	0	52	0	0	158.083
3 - sisma	-14.9	144.9	105.278	V-C	0.3592.732	0	54	0	0	159.278
3 - sisma	-15.1	146.8	104.493	V-C	0.3592.73	0	56	0	0	160.493
3 - sisma	-15.3	148.7	103.727	V-C	0.3592.727	0	58	0	0	161.727
3 - sisma	-15.5	150.6	102.978	V-C	0.3592.725	0	60	0	0	162.978
3 - sisma	-15.7	152.5	102.247	V-C	0.3592.723	0	62	0	0	164.247
3 - sisma	-15.9	154.4	101.53	V-C	0.3592.72	0	64	0	0	165.53
3 - sisma	-16.1	156.355	160.664	V-C	0.3442.888	10.249	66	0	0	226.664
3 - sisma	-16.3	158.355	151.939	V-C	0.3442.886	10.249	68	0	0	219.939
3 - sisma	-16.5	160.355	143.279	V-C	0.3442.884	10.249	70	0	0	213.279
3 - sisma	-16.7	162.355	134.429	UL-RL	0.3442.882	10.249	72	0	0	206.429
3 - sisma	-16.9	164.355	122.797	UL-RL	0.3442.88	10.249	74	0	0	196.797
3 - sisma	-17.1	166.355	100.63	UL-RL	0.3442.877	10.249	76	0	0	176.63
3 - sisma	-17.3	168.355	78.551	UL-RL	0.3442.876	10.249	78	0	0	156.55
3 - sisma	-17.5	170.355	56.532	UL-RL	0.3442.874	10.249	80	0	0	136.532
3 - sisma	-17.7	172.445	58.83	UL-RL	0.2793.935	56.368	82	0	0	140.83
3 - sisma	-17.9	175.045	46.183	UL-RL	0.2793.933	56.368	84	0	0	130.183
3 - sisma	-18.1	177.645	33.54	UL-RL	0.2793.931	56.368	86	0	0	119.54
3 - sisma	-18.2	178.945	27.22	UL-RL	0.2793.93	56.368	87	0	0	114.22

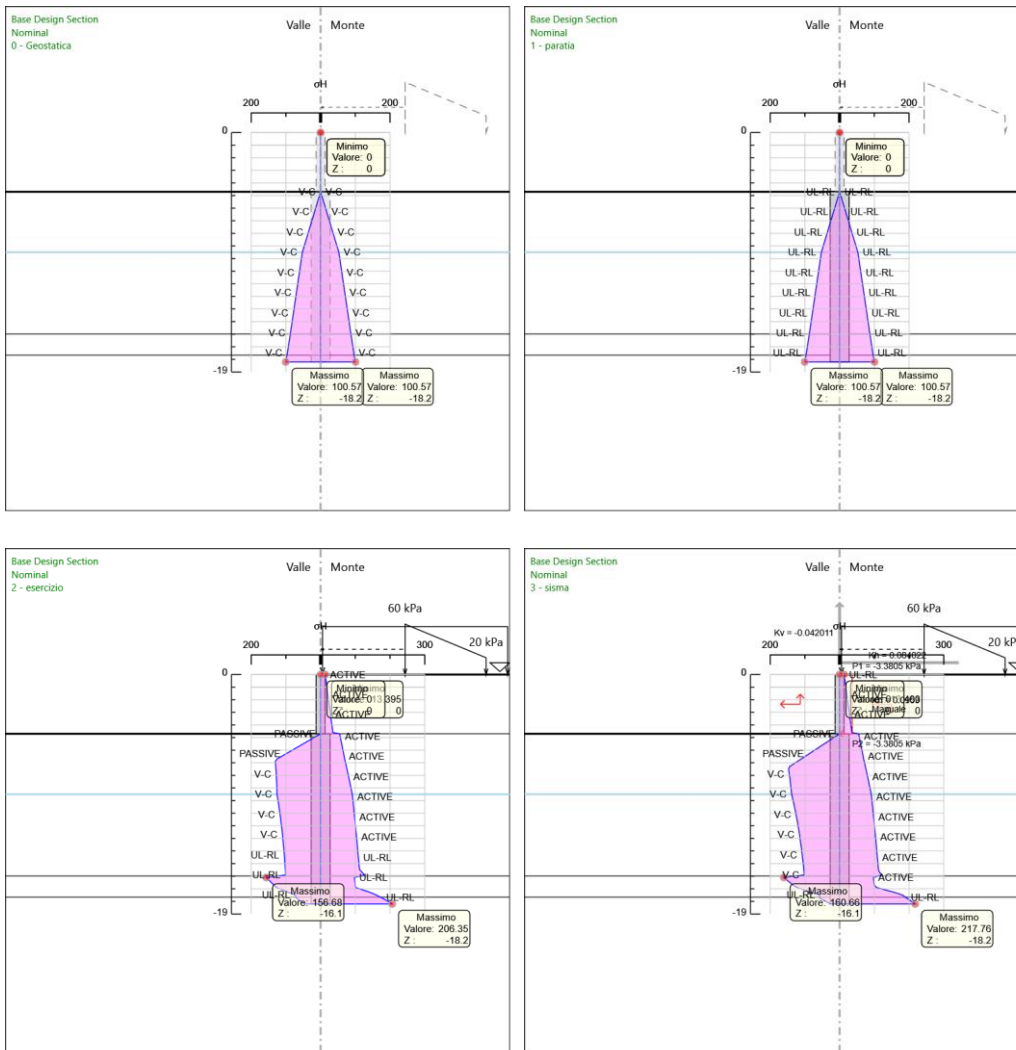
Design Assumption: Nominal Risultati Terreno										
Stage	Z (m)	Sigma V	Muro: LEFT			Lato RIGHT				
			Sigma H	Stato	Ka	Kp	Coesione	Pore	Gradiente U*	Peq
3 - sisma	0	57	13.403	UL-RL	0.235	5.83	0	0	0	13.403
3 - sisma	-0.2	61	14.341	UL-RL	0.235	5.83	0	0	0	14.341
3 - sisma	-0.4	65.002	15.279	UL-RL	0.235	5.83	0	0	0	15.279
3 - sisma	-0.6	69.006	16.217	UL-RL	0.235	5.83	0	0	0	16.217
3 - sisma	-0.8	73.015	17.158	ACTIVE	0.235	5.83	0	0	0	17.158
3 - sisma	-1	77.029	18.102	ACTIVE	0.235	5.83	0	0	0	18.102
3 - sisma	-1.2	81.049	19.046	ACTIVE	0.235	5.83	0	0	0	19.046
3 - sisma	-1.4	85.076	19.993	ACTIVE	0.235	5.83	0	0	0	19.993
3 - sisma	-1.6	89.112	20.941	ACTIVE	0.235	5.83	0	0	0	20.941
3 - sisma	-1.8	93.156	21.892	ACTIVE	0.235	5.83	0	0	0	21.892
3 - sisma	-2	97.209	22.844	ACTIVE	0.235	5.83	0	0	0	22.844
3 - sisma	-2.2	101.272	23.799	ACTIVE	0.235	5.83	0	0	0	23.799
3 - sisma	-2.4	105.344	24.756	ACTIVE	0.235	5.83	0	0	0	24.756
3 - sisma	-2.6	109.425	25.715	ACTIVE	0.235	5.83	0	0	0	25.715
3 - sisma	-2.8	113.515	26.676	ACTIVE	0.235	5.83	0	0	0	26.676
3 - sisma	-3	117.614	27.639	ACTIVE	0.235	5.83	0	0	0	27.639
3 - sisma	-3.2	121.721	28.604	ACTIVE	0.235	5.83	0	0	0	28.604
3 - sisma	-3.4	125.835	29.571	ACTIVE	0.235	5.83	0	0	0	29.571
3 - sisma	-3.6	129.957	30.54	ACTIVE	0.235	5.83	0	0	0	30.54
3 - sisma	-3.8	134.084	31.51	ACTIVE	0.235	5.83	0	0	0	31.51
3 - sisma	-4	138.217	32.481	ACTIVE	0.235	5.83	0	0	0	32.481
3 - sisma	-4.2	142.354	33.453	ACTIVE	0.235	5.83	0	0	0	33.453
3 - sisma	-4.4	146.496	34.427	ACTIVE	0.235	5.83	0	0	0	34.427
3 - sisma	-4.6	150.64	35.4	ACTIVE	0.235	5.83	0	0	0	35.4
3 - sisma	-4.7	152.713	54.824	ACTIVE	0.359	3.151	0	0	0	54.824
3 - sisma	-4.9	156.761	56.277	ACTIVE	0.359	3.151	0	0	0	56.277
3 - sisma	-5.1	160.81	57.731	ACTIVE	0.359	3.151	0	0	0	57.731
3 - sisma	-5.3	164.86	59.185	ACTIVE	0.359	3.151	0	0	0	59.185
3 - sisma	-5.5	168.909	60.638	ACTIVE	0.359	3.151	0	0	0	60.638
3 - sisma	-5.7	172.958	62.092	ACTIVE	0.359	3.151	0	0	0	62.092
3 - sisma	-5.9	177.005	63.545	ACTIVE	0.359	3.151	0	0	0	63.545
3 - sisma	-6.1	181.051	64.997	ACTIVE	0.359	3.151	0	0	0	64.997
3 - sisma	-6.3	185.095	66.449	ACTIVE	0.359	3.151	0	0	0	66.449
3 - sisma	-6.5	189.137	67.9	ACTIVE	0.359	3.151	0	0	0	67.9
3 - sisma	-6.7	193.175	69.35	ACTIVE	0.359	3.151	0	0	0	69.35
3 - sisma	-6.9	197.556	70.923	ACTIVE	0.359	3.151	0	0	0	70.923
3 - sisma	-7.1	202.304	72.627	ACTIVE	0.359	3.151	0	0	0	72.627
3 - sisma	-7.3	206.695	74.204	ACTIVE	0.359	3.151	0	0	0	74.204
3 - sisma	-7.5	211.25	75.839	ACTIVE	0.359	3.151	0	0	0	75.839
3 - sisma	-7.7	215.648	77.418	ACTIVE	0.359	3.151	0	0	0	77.418
3 - sisma	-7.9	220.038	78.994	ACTIVE	0.359	3.151	0	0	0	78.994
3 - sisma	-8.1	224.438	80.573	ACTIVE	0.359	3.151	0	0	0	80.573
3 - sisma	-8.3	228.689	82.099	ACTIVE	0.359	3.151	0	0	0	82.099
3 - sisma	-8.5	233.075	83.674	ACTIVE	0.359	3.151	0	0	0	83.674
3 - sisma	-8.7	237.218	85.161	ACTIVE	0.359	3.151	0	0	0	85.161
3 - sisma	-8.9	241.599	86.734	ACTIVE	0.359	3.151	0	0	0	86.734
3 - sisma	-9.1	245.676	88.198	ACTIVE	0.359	3.151	0	0	0	88.198
3 - sisma	-9.3	250.014	89.755	ACTIVE	0.359	3.151	0	0	0	89.755
3 - sisma	-9.5	254.052	91.205	ACTIVE	0.359	3.151	0	0	0	91.205
3 - sisma	-9.7	256.332	92.023	ACTIVE	0.359	3.149	0	2	0	94.023
3 - sisma	-9.9	258.336	92.743	ACTIVE	0.359	3.146	0	4	0	96.742
3 - sisma	-10.1	260.556	93.54	ACTIVE	0.359	3.144	0	6	0	99.54
3 - sisma	-10.3	262.531	94.249	ACTIVE	0.359	3.142	0	8	0	102.249
3 - sisma	-10.5	264.679	95.02	ACTIVE	0.359	3.139	0	10	0	105.02
3 - sisma	-10.7	266.661	95.731	ACTIVE	0.359	3.137	0	12	0	107.731
3 - sisma	-10.9	268.733	96.475	ACTIVE	0.359	3.135	0	14	0	110.475
3 - sisma	-11.1	270.727	97.191	ACTIVE	0.359	3.133	0	16	0	113.191
3 - sisma	-11.3	272.734	97.912	ACTIVE	0.359	3.131	0	18	0	115.912
3 - sisma	-11.5	274.734	98.629	ACTIVE	0.359	3.129	0	20	0	118.629
3 - sisma	-11.7	276.687	99.331	ACTIVE	0.359	3.127	0	22	0	121.33
3 - sisma	-11.9	278.685	100.048	ACTIVE	0.359	3.125	0	24	0	124.048
3 - sisma	-12.1	280.596	100.734	ACTIVE	0.359	3.123	0	26	0	126.734
3 - sisma	-12.3	282.594	101.451	ACTIVE	0.359	3.121	0	28	0	129.451
3 - sisma	-12.5	284.476	102.127	ACTIVE	0.359	3.12	0	30	0	132.127
3 - sisma	-12.7	286.46	102.839	ACTIVE	0.359	3.118	0	32	0	134.839
3 - sisma	-12.9	288.33	103.51	ACTIVE	0.359	3.116	0	34	0	137.51
3 - sisma	-13.1	290.289	104.214	ACTIVE	0.359	3.114	0	36	0	140.214
3 - sisma	-13.3	292.108	104.867	ACTIVE	0.359	3.113	0	38	0	142.866
3 - sisma	-13.5	293.907	105.512	ACTIVE	0.359	3.111	0	40	0	145.512
3 - sisma	-13.7	295.708	106.159	ACTIVE	0.359	3.11	0	42	0	148.159

Design Assumption: Nominal Risultati Terreno										
Stage	Z (m)	Sigma V	Muro: LEFT		Lato RIGHT					
			Sigma H	Stato	Ka	Kp	Coesione	Pore	Gradiente U*	Peq
3 - sisma	-13.9	297.51	106.806	ACTIVE	0.359	3.108	0	44	0	0 150.806
3 - sisma	-14.1	299.314	107.454	ACTIVE	0.359	3.107	0	46	0	0 153.454
3 - sisma	-14.3	301.12	108.102	ACTIVE	0.359	3.105	0	48	0	0 156.102
3 - sisma	-14.5	302.928	108.751	ACTIVE	0.359	3.104	0	50	0	0 158.751
3 - sisma	-14.7	304.737	109.401	ACTIVE	0.359	3.102	0	52	0	0 161.4
3 - sisma	-14.9	306.548	110.051	ACTIVE	0.359	3.101	0	54	0	0 164.051
3 - sisma	-15.1	308.36	110.701	ACTIVE	0.359	3.099	0	56	0	0 166.701
3 - sisma	-15.3	310.174	111.352	ACTIVE	0.359	3.098	0	58	0	0 169.352
3 - sisma	-15.5	311.988	112.004	ACTIVE	0.359	3.097	0	60	0	0 172.004
3 - sisma	-15.7	313.805	115.222	UL-RL	0.359	3.095	0	62	0	0 177.222
3 - sisma	-15.9	315.622	122.838	UL-RL	0.359	3.094	0	64	0	0 186.838
3 - sisma	-16.1	317.496	97.488	ACTIVE	0.344	3.278	10	66	0	0 163.488
3 - sisma	-16.3	319.417	98.149	ACTIVE	0.344	3.277	10	68	0	0 166.149
3 - sisma	-16.5	321.338	98.81	ACTIVE	0.344	3.275	10	70	0	0 168.81
3 - sisma	-16.7	323.261	99.946	UL-RL	0.344	3.274	10	72	0	0 171.946
3 - sisma	-16.9	325.185	106.518	UL-RL	0.344	3.273	10	74	0	0 180.518
3 - sisma	-17.1	327.11	133.402	UL-RL	0.344	3.271	10	76	0	0 209.402
3 - sisma	-17.3	329.036	160.176	UL-RL	0.344	3.27	10	78	0	0 238.176
3 - sisma	-17.5	330.964	181.666	UL-RL	0.344	3.269	10	80	0	0 261.666
3 - sisma	-17.7	332.982	191.365	UL-RL	0.279	4.434	55	82	0	0 273.365
3 - sisma	-17.9	335.512	201.924	UL-RL	0.279	4.433	55	84	0	0 285.924
3 - sisma	-18.1	338.042	212.48	UL-RL	0.279	4.431	55	86	0	0 298.48
3 - sisma	-18.2	339.308	217.758	UL-RL	0.279	4.43	55	87	0	0 304.758

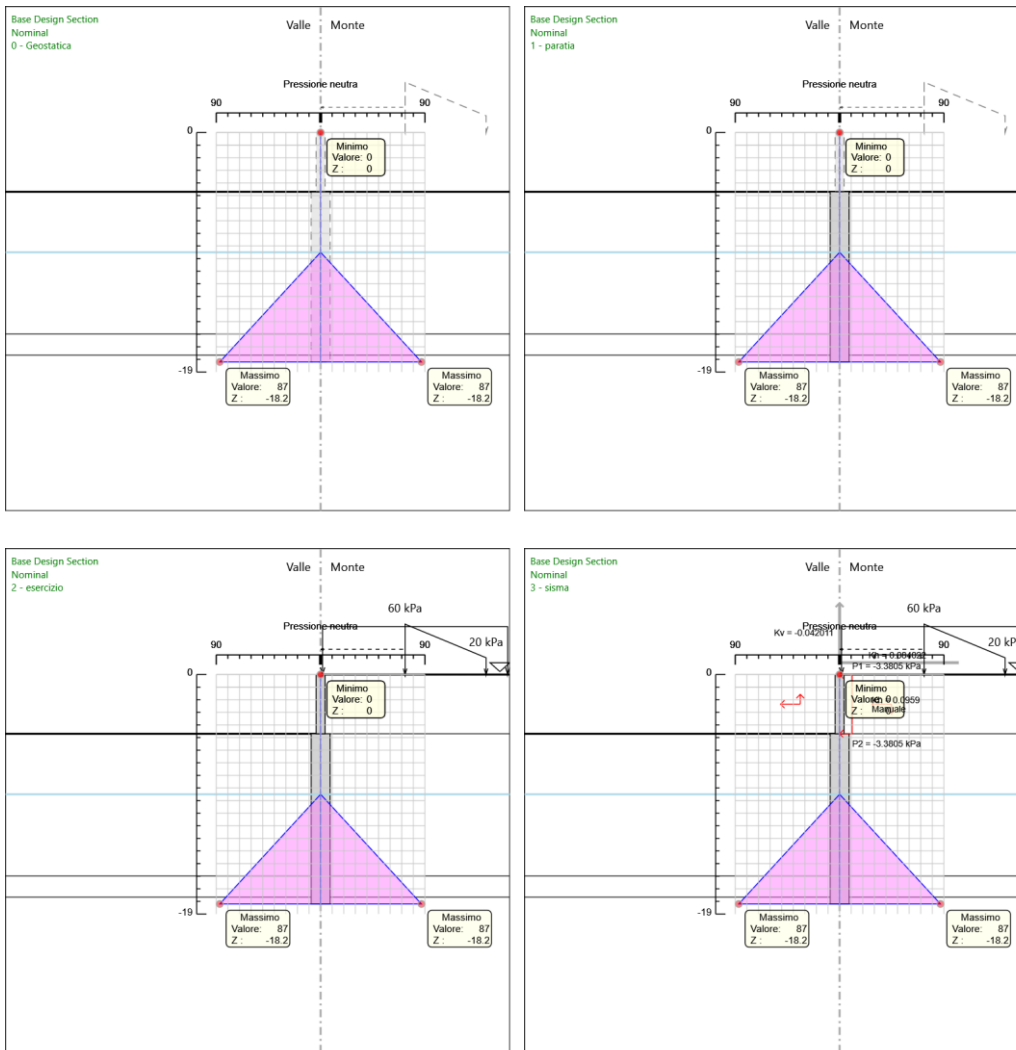
5.6. Grafico Risultati Terreno Sigma V



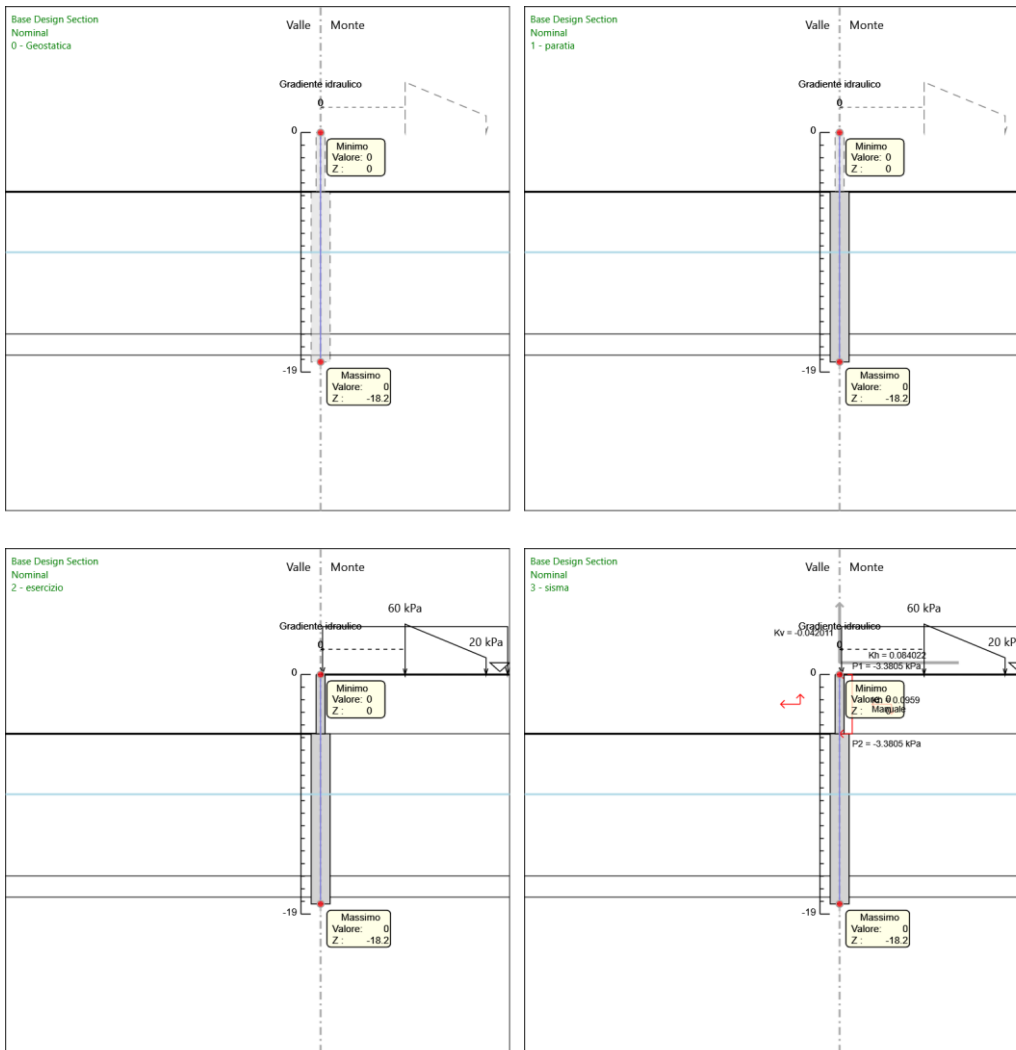
5.7. Grafico Risultati Terreno Sigma H



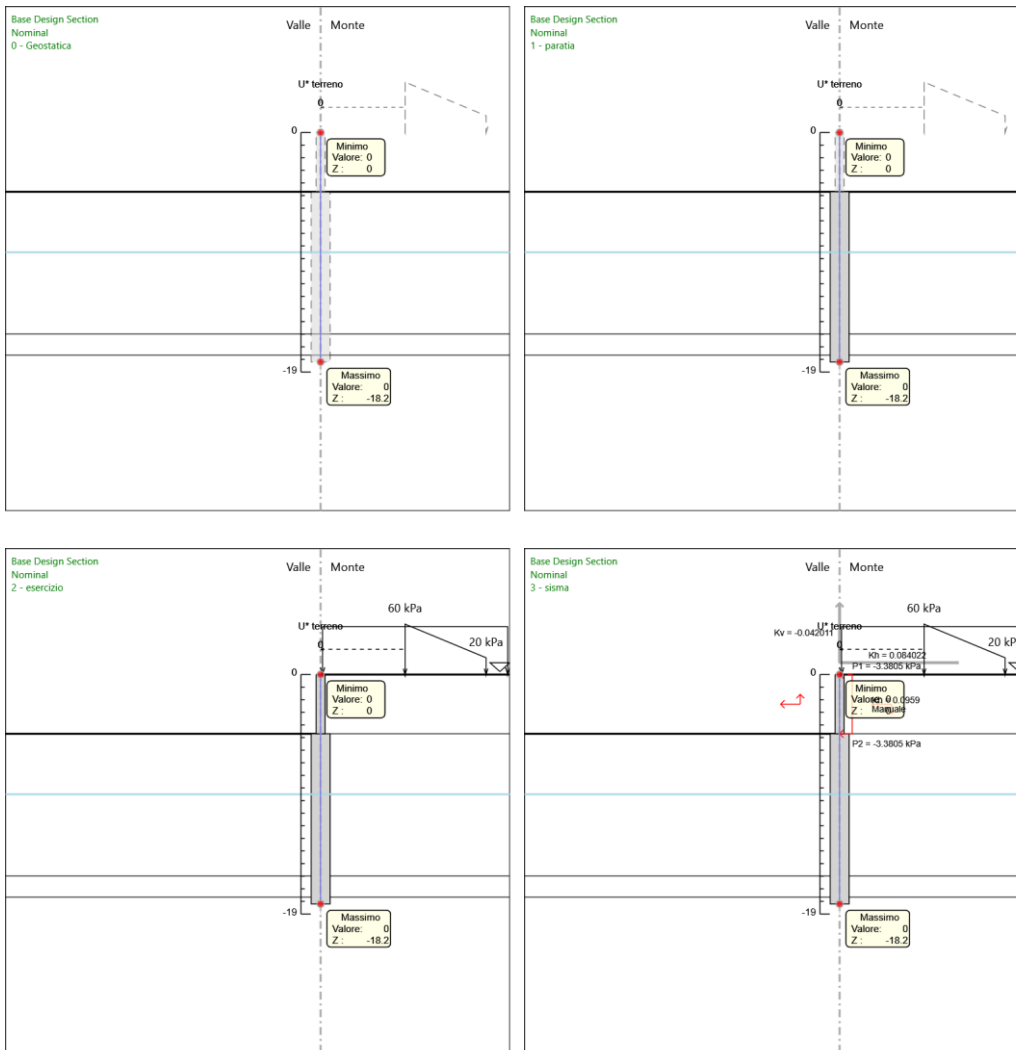
5.8. Grafico Risultati Terreno Pore



5.9. Grafico Risultati Terreno Gradiente



5.10. Grafico Risultati Terreno U*



5.10. Riepilogo spinte

Design Assump- tion: Nominal Stage	Tipo Risultato: Riepi- logo spinte Vera effettiva (kN/m)	Muro: LEFT		Lato		LEFT	
		Pressione neutra (kN/m)	Vera Totale (kN/m)	Min ammissibile (kN/m)	Max ammissibile (kN/m)	Percentuale di resi- stenza massima	Vera / Attiva
0 - Geostatica	786.9	378.4	1165.3	442.2	4898.8	16.06%	1.78
1 - paratia	786.9	378.4	1165.3	442.2	4898.8	16.06%	1.78
2 - esercizio	1435.9	378.4	1814.3	442.2	4898.8	29.31%	3.25
3 - sisma	1477	378.4	1855.5	441.8	4230.7	34.91%	3.34

Design Assump- tion: Nominal Stage	Tipo Risultato: Riepi- logo spinte Vera effettiva (kN/m)	Muro: LEFT		Lato		RIGHT	
		Pressione neutra (kN/m)	Vera Totale (kN/m)	Min ammissibile (kN/m)	Max ammissibile (kN/m)	Percentuale di resi- stenza massima	Vera / Attiva
0 - Geostatica	786.9	378.4	1165.3	442.2	4898.8	16.06%	1.78
1 - paratia	786.9	378.4	1165.3	442.2	4898.8	16.06%	1.78
2 - esercizio	1435.9	378.4	1814.4	1315	14883.3	9.65%	1.09
3 - sisma	1453	378.4	1831.5	1315	14501.1	10.02%	1.1

6. Descrizione Coefficienti Design Assumption

Coefficienti A

Nome	Carichi Per- manenti Sfavorevoli (F_dead_lo ad_unfa- vour)	Carichi Per- manenti Favorevoli (F_dead_lo ad_favour)	Carichi Va- riabili Sfa- vorevoli (F_live_loa d_unfa- vour)	Carichi Va- riabili Fa- vorevoli (F_live_loa d_favour)	Carico Si- smico (F_seism_ load)	Pres sioni Lato Mon te (F_ Wa- terD R)	Pres sioni Lato Vall e (F_ Wa- ter Res)	Carichi Perma- nenti De- stabiliz- zanti (F_UPL_G DStab)	Carichi Perma- nenti Sta- bilizzanti (F_UPL_G Stab)	Carichi Va- riabili De- stabiliz- zanti (F_UPL_Q DStab)	Carichi Perma- nenti De- stabiliz- zanti (F_HYD_G DStab)	Carichi Perma- nenti Sta- bilizzanti (F_HYD_G Stab)	Carichi Va- riabili De- stabiliz- zanti (F_HYD_Q DStab)
Simbolo	γ_G	γ_G	γ_Q	γ_Q	γ_{QE}	γ_G	γ_G	γ_{Gdst}	γ_{Gstb}	γ_{Qdst}	γ_{Gdst}	γ_{Gstb}	γ_{Qdst}
Nominal	1	1	1	1	1	1	1	1	1	1	1	1	1
SLE (Rara/Fre- quente/ Quasi Perma- nente)	1	1	1	1	0	1	1	1	1	1	1	1	1
A1+M1+ R1 (R3 per tiranti)	1.3	1	1.5	1	0	1.3	1	1	1	1	1.3	0.9	1
A2+M2+ R1	1	1	1.3	1	0	1	1	1	1	1	1.3	0.9	1
SISMICA STR	1	1	1	1	1	1	1	1	1	1	1	1	1
SISMICA GEO	1	1	1	1	1	1	1	1	1	1	1.3	0.9	1

Coefficienti M

Nome	Parziale su tan(ϕ') (F_Fr)	Parziale su c' (F_eff_cohe)	Parziale su Su (F_Su)	Parziale su qu (F_qu)	Parziale su peso specifico (F_gamma)
Simbolo	γ_ϕ	γ_c	γ_{cu}	γ_{qu}	γ_γ
Nominal	1	1	1	1	1
SLE (Rara/Fre- quente/Quasi Per- manente)	1	1	1	1	1
A1+M1+R1 (R3 per tiranti)	1	1	1	1	1
A2+M2+R1	1.25	1.25	1.4	1	1
SISMICA STR	1	1	1	1	1
SISMICA GEO	1.25	1.25	1.4	1	1

Coefficienti R

Nome	Parziale resistenza terreno (es. Kp) (F_Soil_Res_walls)	Parziale resistenza Tiranti permanenti (F_Anch_P)	Parziale resistenza Tiranti temporanei (F_Anch_T)	Parziale elementi strutturali (F_wall)
Simbolo	γ_{Re}	γ_{ap}	γ_{at}	
Nominal	1	1	1	1
SLE (Rara/Fre- quente/Quasi Perma- nente)	1	1	1	1
A1+M1+R1 (R3 per tiranti)	1	1.2	1.1	1
A2+M2+R1	1	1.2	1.1	1
SISMICA STR	1	1.2	1.1	1
SISMICA GEO	1	1.2	1.1	1

6.1. Risultati SLE (Rara/Frequente/Quasi Permanente)

6.1.1. Tabella Spostamento SLE (Rara/Frequente/Quasi Permanente) - LEFT Stage: 0 - Geostatica

Design Assumption: SLE (Rara/Frequente/Quasi Permanente) Tipo Risultato: Spostamento		
Stage	Z (m)	Muro: LEFT Spostamento orizzontale (mm)
0 - Geostatica	0	0
0 - Geostatica	-0.2	0
0 - Geostatica	-0.4	0
0 - Geostatica	-0.6	0
0 - Geostatica	-0.8	0
0 - Geostatica	-1	0
0 - Geostatica	-1.2	0
0 - Geostatica	-1.4	0
0 - Geostatica	-1.6	0
0 - Geostatica	-1.8	0
0 - Geostatica	-2	0
0 - Geostatica	-2.2	0
0 - Geostatica	-2.4	0
0 - Geostatica	-2.6	0
0 - Geostatica	-2.8	0
0 - Geostatica	-3	0
0 - Geostatica	-3.2	0
0 - Geostatica	-3.4	0
0 - Geostatica	-3.6	0
0 - Geostatica	-3.8	0
0 - Geostatica	-4	0
0 - Geostatica	-4.2	0
0 - Geostatica	-4.4	0
0 - Geostatica	-4.6	0
0 - Geostatica	-4.7	0
0 - Geostatica	-4.9	0
0 - Geostatica	-5.1	0
0 - Geostatica	-5.3	0
0 - Geostatica	-5.5	0
0 - Geostatica	-5.7	0
0 - Geostatica	-5.9	0
0 - Geostatica	-6.1	0
0 - Geostatica	-6.3	0
0 - Geostatica	-6.5	0
0 - Geostatica	-6.7	0
0 - Geostatica	-6.9	0
0 - Geostatica	-7.1	0
0 - Geostatica	-7.3	0
0 - Geostatica	-7.5	0
0 - Geostatica	-7.7	0
0 - Geostatica	-7.9	0
0 - Geostatica	-8.1	0
0 - Geostatica	-8.3	0
0 - Geostatica	-8.5	0
0 - Geostatica	-8.7	0
0 - Geostatica	-8.9	0
0 - Geostatica	-9.1	0
0 - Geostatica	-9.3	0
0 - Geostatica	-9.5	0
0 - Geostatica	-9.7	0
0 - Geostatica	-9.9	0
0 - Geostatica	-10.1	0
0 - Geostatica	-10.3	0
0 - Geostatica	-10.5	0
0 - Geostatica	-10.7	0
0 - Geostatica	-10.9	0
0 - Geostatica	-11.1	0
0 - Geostatica	-11.3	0
0 - Geostatica	-11.5	0
0 - Geostatica	-11.7	0
0 - Geostatica	-11.9	0
0 - Geostatica	-12.1	0
0 - Geostatica	-12.3	0
0 - Geostatica	-12.5	0

Design Assumption: SLE (Rara/Frequente/Quasi Permanente) Tipo Risultato: Spostamento		Muro: LEFT
Stage	Z (m)	Spostamento orizzontale (mm)
0 - Geostatica	-12.7	0
0 - Geostatica	-12.9	0
0 - Geostatica	-13.1	0
0 - Geostatica	-13.3	0
0 - Geostatica	-13.5	0
0 - Geostatica	-13.7	0
0 - Geostatica	-13.9	0
0 - Geostatica	-14.1	0
0 - Geostatica	-14.3	0
0 - Geostatica	-14.5	0
0 - Geostatica	-14.7	0
0 - Geostatica	-14.9	0
0 - Geostatica	-15.1	0
0 - Geostatica	-15.3	0
0 - Geostatica	-15.5	0
0 - Geostatica	-15.7	0
0 - Geostatica	-15.9	0
0 - Geostatica	-16.1	0
0 - Geostatica	-16.3	0
0 - Geostatica	-16.5	0
0 - Geostatica	-16.7	0
0 - Geostatica	-16.9	0
0 - Geostatica	-17.1	0
0 - Geostatica	-17.3	0
0 - Geostatica	-17.5	0
0 - Geostatica	-17.7	0
0 - Geostatica	-17.9	0
0 - Geostatica	-18.1	0
0 - Geostatica	-18.2	0

6.1.2. Tabella Risultati Paratia SLE (Rara/Frequente/Quasi Permanente) - Left Wall - Stage: 0 - Geostatica

Design Assumption: SLE (Rara/Frequente/Quasi Permanente) Risultati Paratia		Muro: LEFT	
Stage	Z (m)	Momento (kN*m/m)	Taglio (kN/m)
0 - Geostatica	-4.7	0	0
0 - Geostatica	-4.9	0	0
0 - Geostatica	-5.1	0	0
0 - Geostatica	-5.3	0	0
0 - Geostatica	-5.5	0	0
0 - Geostatica	-5.7	0	0
0 - Geostatica	-5.9	0	0
0 - Geostatica	-6.1	0	0
0 - Geostatica	-6.3	0	0
0 - Geostatica	-6.5	0	0
0 - Geostatica	-6.7	0	0
0 - Geostatica	-6.9	0	0
0 - Geostatica	-7.1	0	0
0 - Geostatica	-7.3	0	0
0 - Geostatica	-7.5	0	0
0 - Geostatica	-7.7	0	0
0 - Geostatica	-7.9	0	0
0 - Geostatica	-8.1	0	0
0 - Geostatica	-8.3	0	0
0 - Geostatica	-8.5	0	0
0 - Geostatica	-8.7	0	0
0 - Geostatica	-8.9	0	0
0 - Geostatica	-9.1	0	0
0 - Geostatica	-9.3	0	0
0 - Geostatica	-9.5	0	0
0 - Geostatica	-9.7	0	0
0 - Geostatica	-9.9	0	0
0 - Geostatica	-10.1	0	0
0 - Geostatica	-10.3	0	0
0 - Geostatica	-10.5	0	0
0 - Geostatica	-10.7	0	0
0 - Geostatica	-10.9	0	0
0 - Geostatica	-11.1	0	0
0 - Geostatica	-11.3	0	0
0 - Geostatica	-11.5	0	0
0 - Geostatica	-11.7	0	0
0 - Geostatica	-11.9	0	0
0 - Geostatica	-12.1	0	0
0 - Geostatica	-12.3	0	0
0 - Geostatica	-12.5	0	0
0 - Geostatica	-12.7	0	0
0 - Geostatica	-12.9	0	0
0 - Geostatica	-13.1	0	0
0 - Geostatica	-13.3	0	0
0 - Geostatica	-13.5	0	0
0 - Geostatica	-13.7	0	0
0 - Geostatica	-13.9	0	0
0 - Geostatica	-14.1	0	0
0 - Geostatica	-14.3	0	0
0 - Geostatica	-14.5	0	0
0 - Geostatica	-14.7	0	0
0 - Geostatica	-14.9	0	0
0 - Geostatica	-15.1	0	0
0 - Geostatica	-15.3	0	0
0 - Geostatica	-15.5	0	0
0 - Geostatica	-15.7	0	0
0 - Geostatica	-15.9	0	0
0 - Geostatica	-16.1	0	0
0 - Geostatica	-16.3	0	0
0 - Geostatica	-16.5	0	0
0 - Geostatica	-16.7	0	0
0 - Geostatica	-16.9	0	0
0 - Geostatica	-17.1	0	0
0 - Geostatica	-17.3	0	0
0 - Geostatica	-17.5	0	0

Design Assumption: SLE (Rara/Frequente/Quasi Permanente) Risultati Paratia		Muro: LEFT	
Stage	Z (m)	Momento (kN*m/m)	Taglio (kN/m)
0 - Geostatica	-17.7	0	0
0 - Geostatica	-17.9	0	0
0 - Geostatica	-18.1	0	0
0 - Geostatica	-18.2	0	0

Design Assumption: SLE (Rara/Frequente/Quasi Permanente) Risultati Paratia		Muro: LEFT	
Stage	Z (m)	Momento (kN*m/m)	Taglio (kN/m)
0 - Geostatica	0	0	0
0 - Geostatica	-0.2	0	0
0 - Geostatica	-0.4	0	0
0 - Geostatica	-0.6	0	0
0 - Geostatica	-0.8	0	0
0 - Geostatica	-1	0	0
0 - Geostatica	-1.2	0	0
0 - Geostatica	-1.4	0	0
0 - Geostatica	-1.6	0	0
0 - Geostatica	-1.8	0	0
0 - Geostatica	-2	0	0
0 - Geostatica	-2.2	0	0
0 - Geostatica	-2.4	0	0
0 - Geostatica	-2.6	0	0
0 - Geostatica	-2.8	0	0
0 - Geostatica	-3	0	0
0 - Geostatica	-3.2	0	0
0 - Geostatica	-3.4	0	0
0 - Geostatica	-3.6	0	0
0 - Geostatica	-3.8	0	0
0 - Geostatica	-4	0	0
0 - Geostatica	-4.2	0	0
0 - Geostatica	-4.4	0	0
0 - Geostatica	-4.6	0	0
0 - Geostatica	-4.7	0	0

6.1.3. Tabella Spostamento SLE (Rara/Frequente/Quasi Permanente) - LEFT Stage: 1 - paratia

Design Assumption: SLE (Rara/Frequente/Quasi Permanente) Tipo Risultato: Spostamento	Muro: LEFT	
Stage	Z (m)	Spostamento orizzontale (mm)
1 - paratia	0	0
1 - paratia	-0.2	0
1 - paratia	-0.4	0
1 - paratia	-0.6	0
1 - paratia	-0.8	0
1 - paratia	-1	0
1 - paratia	-1.2	0
1 - paratia	-1.4	0
1 - paratia	-1.6	0
1 - paratia	-1.8	0
1 - paratia	-2	0
1 - paratia	-2.2	0
1 - paratia	-2.4	0
1 - paratia	-2.6	0
1 - paratia	-2.8	0
1 - paratia	-3	0
1 - paratia	-3.2	0
1 - paratia	-3.4	0
1 - paratia	-3.6	0
1 - paratia	-3.8	0
1 - paratia	-4	0
1 - paratia	-4.2	0
1 - paratia	-4.4	0
1 - paratia	-4.6	0
1 - paratia	-4.7	0
1 - paratia	-4.9	0
1 - paratia	-5.1	0
1 - paratia	-5.3	0
1 - paratia	-5.5	0
1 - paratia	-5.7	0
1 - paratia	-5.9	0
1 - paratia	-6.1	0
1 - paratia	-6.3	0
1 - paratia	-6.5	0
1 - paratia	-6.7	0
1 - paratia	-6.9	0
1 - paratia	-7.1	0
1 - paratia	-7.3	0
1 - paratia	-7.5	0
1 - paratia	-7.7	0
1 - paratia	-7.9	0
1 - paratia	-8.1	0
1 - paratia	-8.3	0
1 - paratia	-8.5	0
1 - paratia	-8.7	0
1 - paratia	-8.9	0
1 - paratia	-9.1	0
1 - paratia	-9.3	0
1 - paratia	-9.5	0
1 - paratia	-9.7	0
1 - paratia	-9.9	0
1 - paratia	-10.1	0
1 - paratia	-10.3	0
1 - paratia	-10.5	0
1 - paratia	-10.7	0
1 - paratia	-10.9	0
1 - paratia	-11.1	0
1 - paratia	-11.3	0
1 - paratia	-11.5	0
1 - paratia	-11.7	0
1 - paratia	-11.9	0
1 - paratia	-12.1	0
1 - paratia	-12.3	0
1 - paratia	-12.5	0
1 - paratia	-12.7	0
1 - paratia	-12.9	0
1 - paratia	-13.1	0

Design Assumption: SLE (Rara/Frequente/Quasi Permanente) Tipo Risultato: Spostamento			Muro: LEFT
Stage	Z (m)	Spostamento orizzontale (mm)	
1 - paratia	-13.3	0	
1 - paratia	-13.5	0	
1 - paratia	-13.7	0	
1 - paratia	-13.9	0	
1 - paratia	-14.1	0	
1 - paratia	-14.3	0	
1 - paratia	-14.5	0	
1 - paratia	-14.7	0	
1 - paratia	-14.9	0	
1 - paratia	-15.1	0	
1 - paratia	-15.3	0	
1 - paratia	-15.5	0	
1 - paratia	-15.7	0	
1 - paratia	-15.9	0	
1 - paratia	-16.1	0	
1 - paratia	-16.3	0	
1 - paratia	-16.5	0	
1 - paratia	-16.7	0	
1 - paratia	-16.9	0	
1 - paratia	-17.1	0	
1 - paratia	-17.3	0	
1 - paratia	-17.5	0	
1 - paratia	-17.7	0	
1 - paratia	-17.9	0	
1 - paratia	-18.1	0	
1 - paratia	-18.2	0	

6.1.4. Tabella Risultati Paratia SLE (Rara/Frequente/Quasi Permanente) - Left Wall - Stage: 1 - paratia

Design Assumption: SLE (Rara/Frequente/Quasi Permanente) Risultati Paratia		Muro: LEFT	
Stage	Z (m)	Momento (kN*m/m)	Taglio (kN/m)
1 - paratia	-4.7	0	0
1 - paratia	-4.9	0	0
1 - paratia	-5.1	0	0
1 - paratia	-5.3	0	0
1 - paratia	-5.5	0	0
1 - paratia	-5.7	0	0
1 - paratia	-5.9	0	0
1 - paratia	-6.1	0	0
1 - paratia	-6.3	0	0
1 - paratia	-6.5	0	0
1 - paratia	-6.7	0	0
1 - paratia	-6.9	0	0
1 - paratia	-7.1	0	0
1 - paratia	-7.3	0	0
1 - paratia	-7.5	0	0
1 - paratia	-7.7	0	0
1 - paratia	-7.9	0	0
1 - paratia	-8.1	0	0
1 - paratia	-8.3	0	0
1 - paratia	-8.5	0	0
1 - paratia	-8.7	0	0
1 - paratia	-8.9	0	0
1 - paratia	-9.1	0	0
1 - paratia	-9.3	0	0
1 - paratia	-9.5	0	0
1 - paratia	-9.7	0	0
1 - paratia	-9.9	0	0
1 - paratia	-10.1	0	0
1 - paratia	-10.3	0	0
1 - paratia	-10.5	0	0
1 - paratia	-10.7	0	0
1 - paratia	-10.9	0	0
1 - paratia	-11.1	0	0
1 - paratia	-11.3	0	0
1 - paratia	-11.5	0	0
1 - paratia	-11.7	0	0
1 - paratia	-11.9	0	0
1 - paratia	-12.1	0	0
1 - paratia	-12.3	0	0
1 - paratia	-12.5	0	0
1 - paratia	-12.7	0	0
1 - paratia	-12.9	0	0
1 - paratia	-13.1	0	0
1 - paratia	-13.3	0	0
1 - paratia	-13.5	0	0
1 - paratia	-13.7	0	0
1 - paratia	-13.9	0	0
1 - paratia	-14.1	0	0
1 - paratia	-14.3	0	0
1 - paratia	-14.5	0	0
1 - paratia	-14.7	0	0
1 - paratia	-14.9	0	0
1 - paratia	-15.1	0	0
1 - paratia	-15.3	0	0
1 - paratia	-15.5	0	0
1 - paratia	-15.7	0	0
1 - paratia	-15.9	0	0
1 - paratia	-16.1	0	0
1 - paratia	-16.3	0	0
1 - paratia	-16.5	0	0
1 - paratia	-16.7	0	0
1 - paratia	-16.9	0	0
1 - paratia	-17.1	0	0
1 - paratia	-17.3	0	0
1 - paratia	-17.5	0	0

Design Assumption: SLE (Rara/Frequente/Quasi Permanente) Risultati Paratia		Muro: LEFT	
Stage	Z (m)	Momento (kN*m/m)	Taglio (kN/m)
1 - paratia	-17.7	0	0
1 - paratia	-17.9	0	0
1 - paratia	-18.1	0	0
1 - paratia	-18.2	0	0

Design Assumption: SLE (Rara/Frequente/Quasi Permanente) Risultati Paratia		Muro: LEFT	
Stage	Z (m)	Momento (kN*m/m)	Taglio (kN/m)
1 - paratia	0	0	0
1 - paratia	-0.2	0	0
1 - paratia	-0.4	0	0
1 - paratia	-0.6	0	0
1 - paratia	-0.8	0	0
1 - paratia	-1	0	0
1 - paratia	-1.2	0	0
1 - paratia	-1.4	0	0
1 - paratia	-1.6	0	0
1 - paratia	-1.8	0	0
1 - paratia	-2	0	0
1 - paratia	-2.2	0	0
1 - paratia	-2.4	0	0
1 - paratia	-2.6	0	0
1 - paratia	-2.8	0	0
1 - paratia	-3	0	0
1 - paratia	-3.2	0	0
1 - paratia	-3.4	0	0
1 - paratia	-3.6	0	0
1 - paratia	-3.8	0	0
1 - paratia	-4	0	0
1 - paratia	-4.2	0	0
1 - paratia	-4.4	0	0
1 - paratia	-4.6	0	0
1 - paratia	-4.7	0	0

6.1.5. Tabella Spostamento SLE (Rara/Frequente/Quasi Permanente) - LEFT Stage: 2 - esercizio

Design Assumption: SLE (Rara/Frequente/Quasi Permanente) Tipo Risultato: Spostamento	Muro: LEFT	
Stage	Z (m)	Spostamento orizzontale (mm)
2 - esercizio	0	-30.41
2 - esercizio	-0.2	-29.93
2 - esercizio	-0.4	-29.45
2 - esercizio	-0.6	-28.97
2 - esercizio	-0.8	-28.49
2 - esercizio	-1	-28.01
2 - esercizio	-1.2	-27.53
2 - esercizio	-1.4	-27.05
2 - esercizio	-1.6	-26.57
2 - esercizio	-1.8	-26.09
2 - esercizio	-2	-25.62
2 - esercizio	-2.2	-25.14
2 - esercizio	-2.4	-24.66
2 - esercizio	-2.6	-24.19
2 - esercizio	-2.8	-23.72
2 - esercizio	-3	-23.25
2 - esercizio	-3.2	-22.79
2 - esercizio	-3.4	-22.32
2 - esercizio	-3.6	-21.87
2 - esercizio	-3.8	-21.41
2 - esercizio	-4	-20.96
2 - esercizio	-4.2	-20.52
2 - esercizio	-4.4	-20.08
2 - esercizio	-4.6	-19.65
2 - esercizio	-4.7	-19.43
2 - esercizio	-4.9	-19.01
2 - esercizio	-5.1	-18.59
2 - esercizio	-5.3	-18.17
2 - esercizio	-5.5	-17.76
2 - esercizio	-5.7	-17.34
2 - esercizio	-5.9	-16.93
2 - esercizio	-6.1	-16.52
2 - esercizio	-6.3	-16.12
2 - esercizio	-6.5	-15.72
2 - esercizio	-6.7	-15.32
2 - esercizio	-6.9	-14.93
2 - esercizio	-7.1	-14.54
2 - esercizio	-7.3	-14.16
2 - esercizio	-7.5	-13.78
2 - esercizio	-7.7	-13.41
2 - esercizio	-7.9	-13.04
2 - esercizio	-8.1	-12.68
2 - esercizio	-8.3	-12.32
2 - esercizio	-8.5	-11.96
2 - esercizio	-8.7	-11.61
2 - esercizio	-8.9	-11.27
2 - esercizio	-9.1	-10.93
2 - esercizio	-9.3	-10.59
2 - esercizio	-9.5	-10.27
2 - esercizio	-9.7	-9.94
2 - esercizio	-9.9	-9.62
2 - esercizio	-10.1	-9.31
2 - esercizio	-10.3	-9
2 - esercizio	-10.5	-8.7
2 - esercizio	-10.7	-8.4
2 - esercizio	-10.9	-8.1
2 - esercizio	-11.1	-7.81
2 - esercizio	-11.3	-7.53
2 - esercizio	-11.5	-7.25
2 - esercizio	-11.7	-6.97
2 - esercizio	-11.9	-6.7
2 - esercizio	-12.1	-6.43
2 - esercizio	-12.3	-6.17
2 - esercizio	-12.5	-5.9
2 - esercizio	-12.7	-5.65
2 - esercizio	-12.9	-5.4
2 - esercizio	-13.1	-5.15

Design Assumption: SLE (Rara/Frequente/Quasi Permanente) Tipo Risultato: Spostamento		Muro: LEFT
Stage	Z (m)	Spostamento orizzontale (mm)
2 - esercizio	-13.3	-4.9
2 - esercizio	-13.5	-4.66
2 - esercizio	-13.7	-4.42
2 - esercizio	-13.9	-4.18
2 - esercizio	-14.1	-3.94
2 - esercizio	-14.3	-3.71
2 - esercizio	-14.5	-3.48
2 - esercizio	-14.7	-3.26
2 - esercizio	-14.9	-3.03
2 - esercizio	-15.1	-2.81
2 - esercizio	-15.3	-2.59
2 - esercizio	-15.5	-2.37
2 - esercizio	-15.7	-2.15
2 - esercizio	-15.9	-1.94
2 - esercizio	-16.1	-1.73
2 - esercizio	-16.3	-1.51
2 - esercizio	-16.5	-1.3
2 - esercizio	-16.7	-1.09
2 - esercizio	-16.9	-0.88
2 - esercizio	-17.1	-0.67
2 - esercizio	-17.3	-0.47
2 - esercizio	-17.5	-0.26
2 - esercizio	-17.7	-0.05
2 - esercizio	-17.9	0.15
2 - esercizio	-18.1	0.36
2 - esercizio	-18.2	0.47

6.1.6. Tabella Risultati Paratia SLE (Rara/Frequente/Quasi Permanente) - Left Wall - Stage: 2 - esercizio

Design Assumption: SLE (Rara/Frequente/Quasi Permanente) Risultati Paratia		Muro: LEFT	
Stage	Z (m)	Momento (kN*m/m)	Taglio (kN/m)
2 - esercizio	-4.7	229.73	121.87
2 - esercizio	-4.9	254.1	121.87
2 - esercizio	-5.1	280.22	130.61
2 - esercizio	-5.3	307.65	137.13
2 - esercizio	-5.5	335.93	141.43
2 - esercizio	-5.7	364.63	143.5
2 - esercizio	-5.9	393.31	143.36
2 - esercizio	-6.1	421.5	140.99
2 - esercizio	-6.3	448.78	136.39
2 - esercizio	-6.5	474.7	129.58
2 - esercizio	-6.7	498.8	120.54
2 - esercizio	-6.9	520.66	109.28
2 - esercizio	-7.1	540.14	97.39
2 - esercizio	-7.3	557.33	85.95
2 - esercizio	-7.5	572.31	74.94
2 - esercizio	-7.7	585.18	64.35
2 - esercizio	-7.9	596.02	54.18
2 - esercizio	-8.1	604.9	44.4
2 - esercizio	-8.3	611.91	35.03
2 - esercizio	-8.5	617.11	26.03
2 - esercizio	-8.7	620.59	17.41
2 - esercizio	-8.9	622.42	9.15
2 - esercizio	-9.1	622.67	1.25
2 - esercizio	-9.3	621.41	-6.31
2 - esercizio	-9.5	618.71	-13.51
2 - esercizio	-9.7	614.63	-20.4
2 - esercizio	-9.9	609.25	-26.88
2 - esercizio	-10.1	602.66	-32.98
2 - esercizio	-10.3	594.92	-38.68
2 - esercizio	-10.5	586.12	-44.01
2 - esercizio	-10.7	576.32	-48.98
2 - esercizio	-10.9	565.61	-53.58
2 - esercizio	-11.1	554.04	-57.83
2 - esercizio	-11.3	541.69	-61.74
2 - esercizio	-11.5	528.63	-65.32
2 - esercizio	-11.7	514.92	-68.56
2 - esercizio	-11.9	500.62	-71.48
2 - esercizio	-12.1	485.8	-74.09
2 - esercizio	-12.3	470.52	-76.39
2 - esercizio	-12.5	454.85	-78.38
2 - esercizio	-12.7	438.83	-80.09
2 - esercizio	-12.9	422.53	-81.49
2 - esercizio	-13.1	406.01	-82.62
2 - esercizio	-13.3	389.31	-83.47
2 - esercizio	-13.5	372.5	-84.04
2 - esercizio	-13.7	355.63	-84.36
2 - esercizio	-13.9	338.75	-84.42
2 - esercizio	-14.1	321.9	-84.23
2 - esercizio	-14.3	305.15	-83.78
2 - esercizio	-14.5	288.53	-83.09
2 - esercizio	-14.7	272.1	-82.16
2 - esercizio	-14.9	255.9	-80.99
2 - esercizio	-15.1	239.98	-79.58
2 - esercizio	-15.3	224.39	-77.94
2 - esercizio	-15.5	209.18	-76.07
2 - esercizio	-15.7	194.42	-73.78
2 - esercizio	-15.9	180.41	-70.05
2 - esercizio	-16.1	167.43	-64.89
2 - esercizio	-16.3	152.08	-76.73
2 - esercizio	-16.5	134.69	-86.97
2 - esercizio	-16.7	115.56	-95.62
2 - esercizio	-16.9	95.03	-102.68
2 - esercizio	-17.1	73.44	-107.93
2 - esercizio	-17.3	52.41	-105.18
2 - esercizio	-17.5	33.51	-94.47

Design Assumption: SLE (Rara/Frequente/Quasi Permanente) Risultati Paratia		Muro: LEFT	
Stage	Z (m)	Momento (kN*m/m)	Taglio (kN/m)
2 - esercizio	-17.7	18.14	-76.86
2 - esercizio	-17.9	6.93	-56.07
2 - esercizio	-18.1	0.8	-30.62
2 - esercizio	-18.2	0	-8.04

Design Assumption: SLE (Rara/Frequente/Quasi Permanente) Risultati Paratia		Muro: LEFT	
Stage	Z (m)	Momento (kN*m/m)	Taglio (kN/m)
2 - esercizio	0	0	1.34
2 - esercizio	-0.2	0.27	1.34
2 - esercizio	-0.4	1.11	4.21
2 - esercizio	-0.6	2.56	7.26
2 - esercizio	-0.8	4.66	10.5
2 - esercizio	-1	7.45	13.94
2 - esercizio	-1.2	10.96	17.56
2 - esercizio	-1.4	15.23	21.37
2 - esercizio	-1.6	20.31	25.36
2 - esercizio	-1.8	26.22	29.55
2 - esercizio	-2	33	33.93
2 - esercizio	-2.2	40.7	38.5
2 - esercizio	-2.4	49.36	43.26
2 - esercizio	-2.6	59	48.21
2 - esercizio	-2.8	69.67	53.35
2 - esercizio	-3	81.41	58.69
2 - esercizio	-3.2	94.25	64.22
2 - esercizio	-3.4	108.24	69.94
2 - esercizio	-3.6	123.41	75.85
2 - esercizio	-3.8	139.8	81.96
2 - esercizio	-4	157.45	88.26
2 - esercizio	-4.2	176.41	94.76
2 - esercizio	-4.4	196.69	101.45
2 - esercizio	-4.6	218.36	108.33
2 - esercizio	-4.7	229.73	113.64

6.1.7. Tabella Spostamento SLE (Rara/Frequente/Quasi Permanente) - LEFT Stage: 3 - sisma

Design Assumption: SLE (Rara/Frequente/Quasi Permanente) Tipo Risultato: Spostamento	Muro: LEFT	
Stage	Z (m)	Spostamento orizzontale (mm)
3 - sisma	0	-30.41
3 - sisma	-0.2	-29.93
3 - sisma	-0.4	-29.45
3 - sisma	-0.6	-28.97
3 - sisma	-0.8	-28.49
3 - sisma	-1	-28.01
3 - sisma	-1.2	-27.53
3 - sisma	-1.4	-27.05
3 - sisma	-1.6	-26.57
3 - sisma	-1.8	-26.09
3 - sisma	-2	-25.62
3 - sisma	-2.2	-25.14
3 - sisma	-2.4	-24.66
3 - sisma	-2.6	-24.19
3 - sisma	-2.8	-23.72
3 - sisma	-3	-23.25
3 - sisma	-3.2	-22.79
3 - sisma	-3.4	-22.32
3 - sisma	-3.6	-21.87
3 - sisma	-3.8	-21.41
3 - sisma	-4	-20.96
3 - sisma	-4.2	-20.52
3 - sisma	-4.4	-20.08
3 - sisma	-4.6	-19.65
3 - sisma	-4.7	-19.43
3 - sisma	-4.9	-19.01
3 - sisma	-5.1	-18.59
3 - sisma	-5.3	-18.17
3 - sisma	-5.5	-17.76
3 - sisma	-5.7	-17.34
3 - sisma	-5.9	-16.93
3 - sisma	-6.1	-16.52
3 - sisma	-6.3	-16.12
3 - sisma	-6.5	-15.72
3 - sisma	-6.7	-15.32
3 - sisma	-6.9	-14.93
3 - sisma	-7.1	-14.54
3 - sisma	-7.3	-14.16
3 - sisma	-7.5	-13.78
3 - sisma	-7.7	-13.41
3 - sisma	-7.9	-13.04
3 - sisma	-8.1	-12.68
3 - sisma	-8.3	-12.32
3 - sisma	-8.5	-11.96
3 - sisma	-8.7	-11.61
3 - sisma	-8.9	-11.27
3 - sisma	-9.1	-10.93
3 - sisma	-9.3	-10.59
3 - sisma	-9.5	-10.27
3 - sisma	-9.7	-9.94
3 - sisma	-9.9	-9.62
3 - sisma	-10.1	-9.31
3 - sisma	-10.3	-9
3 - sisma	-10.5	-8.7
3 - sisma	-10.7	-8.4
3 - sisma	-10.9	-8.1
3 - sisma	-11.1	-7.81
3 - sisma	-11.3	-7.53
3 - sisma	-11.5	-7.25
3 - sisma	-11.7	-6.97
3 - sisma	-11.9	-6.7
3 - sisma	-12.1	-6.43
3 - sisma	-12.3	-6.17
3 - sisma	-12.5	-5.9
3 - sisma	-12.7	-5.65
3 - sisma	-12.9	-5.4
3 - sisma	-13.1	-5.15

Design Assumption: SLE (Rara/Frequente/Quasi Permanente) Tipo Risultato: Spostamento		Muro: LEFT	
Stage	Z (m)	Spostamento orizzontale (mm)	
3 - sisma	-13.3	-4.9	
3 - sisma	-13.5	-4.66	
3 - sisma	-13.7	-4.42	
3 - sisma	-13.9	-4.18	
3 - sisma	-14.1	-3.95	
3 - sisma	-14.3	-3.71	
3 - sisma	-14.5	-3.48	
3 - sisma	-14.7	-3.26	
3 - sisma	-14.9	-3.03	
3 - sisma	-15.1	-2.81	
3 - sisma	-15.3	-2.59	
3 - sisma	-15.5	-2.37	
3 - sisma	-15.7	-2.15	
3 - sisma	-15.9	-1.94	
3 - sisma	-16.1	-1.73	
3 - sisma	-16.3	-1.51	
3 - sisma	-16.5	-1.3	
3 - sisma	-16.7	-1.09	
3 - sisma	-16.9	-0.88	
3 - sisma	-17.1	-0.67	
3 - sisma	-17.3	-0.47	
3 - sisma	-17.5	-0.26	
3 - sisma	-17.7	-0.05	
3 - sisma	-17.9	0.15	
3 - sisma	-18.1	0.36	
3 - sisma	-18.2	0.46	

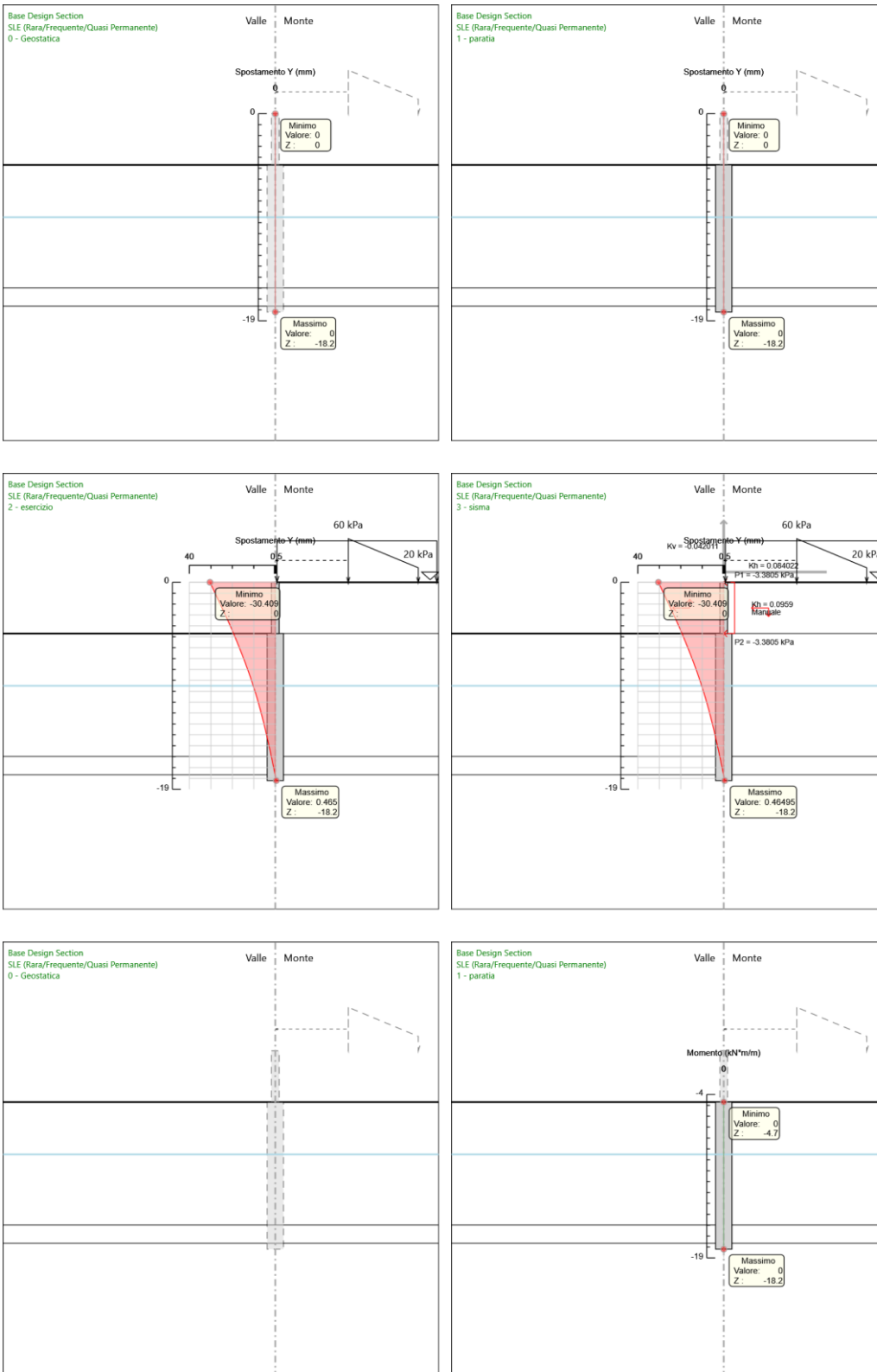
6.1.8. Tabella Risultati Paratia SLE (Rara/Frequente/Quasi Permanente) - Left Wall - Stage: 3 - sisma

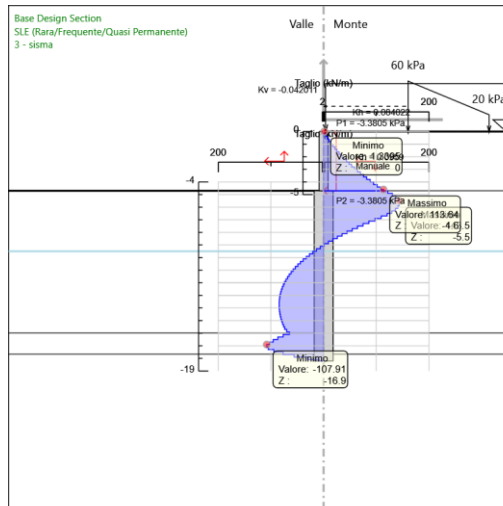
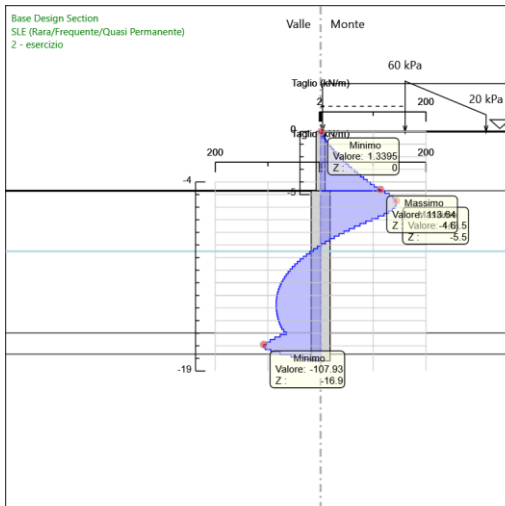
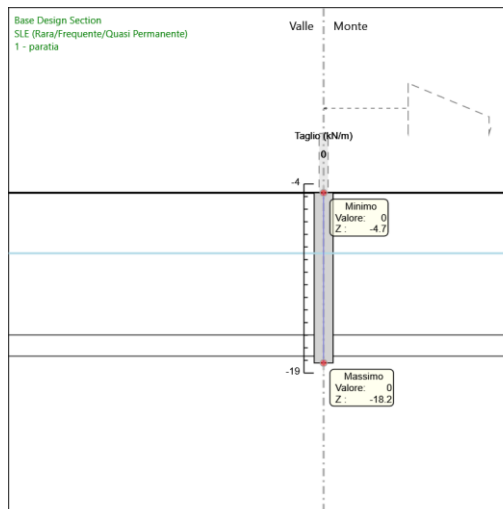
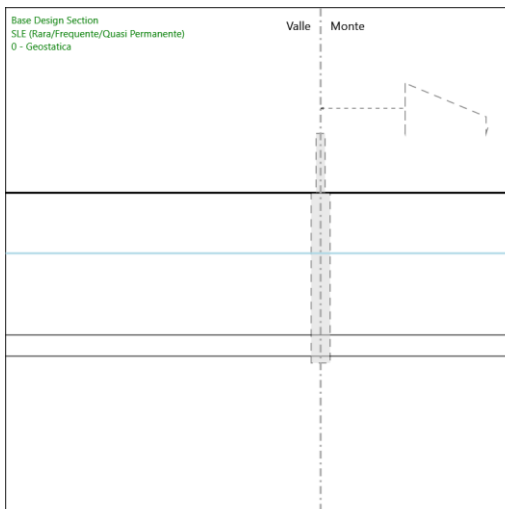
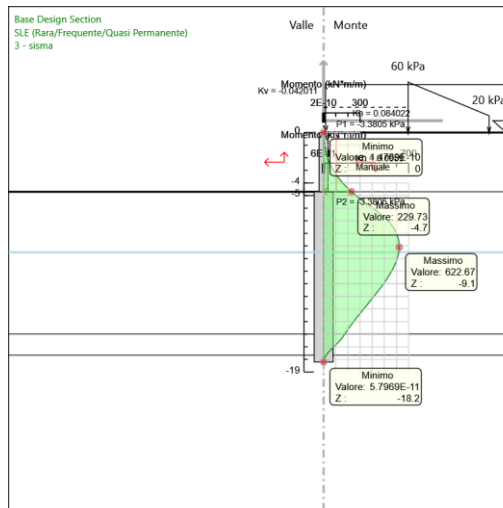
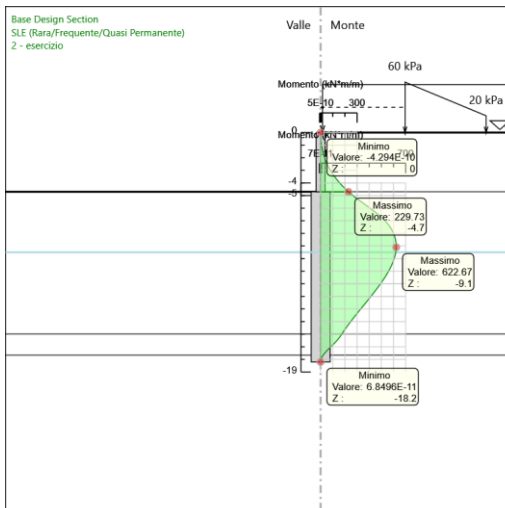
Design Assumption: SLE (Rara/Frequente/Quasi Permanente) Risultati Paratia		Muro: LEFT	
Stage	Z (m)	Momento (kN*m/m)	Taglio (kN/m)
3 - sisma	-4.7	229.73	121.87
3 - sisma	-4.9	254.1	121.87
3 - sisma	-5.1	280.22	130.61
3 - sisma	-5.3	307.65	137.13
3 - sisma	-5.5	335.94	141.43
3 - sisma	-5.7	364.64	143.5
3 - sisma	-5.9	393.31	143.36
3 - sisma	-6.1	421.5	140.99
3 - sisma	-6.3	448.78	136.39
3 - sisma	-6.5	474.7	129.58
3 - sisma	-6.7	498.81	120.54
3 - sisma	-6.9	520.66	109.28
3 - sisma	-7.1	540.14	97.39
3 - sisma	-7.3	557.33	85.95
3 - sisma	-7.5	572.32	74.94
3 - sisma	-7.7	585.19	64.35
3 - sisma	-7.9	596.02	54.18
3 - sisma	-8.1	604.9	44.4
3 - sisma	-8.3	611.91	35.03
3 - sisma	-8.5	617.11	26.03
3 - sisma	-8.7	620.59	17.41
3 - sisma	-8.9	622.42	9.15
3 - sisma	-9.1	622.67	1.25
3 - sisma	-9.3	621.41	-6.31
3 - sisma	-9.5	618.71	-13.52
3 - sisma	-9.7	614.63	-20.41
3 - sisma	-9.9	609.25	-26.88
3 - sisma	-10.1	602.66	-32.98
3 - sisma	-10.3	594.92	-38.68
3 - sisma	-10.5	586.12	-44.02
3 - sisma	-10.7	576.32	-48.98
3 - sisma	-10.9	565.6	-53.58
3 - sisma	-11.1	554.04	-57.84
3 - sisma	-11.3	541.69	-61.74
3 - sisma	-11.5	528.62	-65.32
3 - sisma	-11.7	514.91	-68.56
3 - sisma	-11.9	500.61	-71.48
3 - sisma	-12.1	485.8	-74.09
3 - sisma	-12.3	470.52	-76.39
3 - sisma	-12.5	454.84	-78.39
3 - sisma	-12.7	438.82	-80.09
3 - sisma	-12.9	422.52	-81.5
3 - sisma	-13.1	406	-82.62
3 - sisma	-13.3	389.31	-83.47
3 - sisma	-13.5	372.5	-84.05
3 - sisma	-13.7	355.62	-84.36
3 - sisma	-13.9	338.74	-84.42
3 - sisma	-14.1	321.89	-84.23
3 - sisma	-14.3	305.14	-83.79
3 - sisma	-14.5	288.52	-83.1
3 - sisma	-14.7	272.08	-82.16
3 - sisma	-14.9	255.88	-80.99
3 - sisma	-15.1	239.97	-79.59
3 - sisma	-15.3	224.38	-77.95
3 - sisma	-15.5	209.16	-76.08
3 - sisma	-15.7	194.4	-73.79
3 - sisma	-15.9	180.39	-70.06
3 - sisma	-16.1	167.41	-64.9
3 - sisma	-16.3	152.07	-76.73
3 - sisma	-16.5	134.67	-86.97
3 - sisma	-16.7	115.55	-95.61
3 - sisma	-16.9	95.02	-102.67
3 - sisma	-17.1	73.44	-107.91
3 - sisma	-17.3	52.4	-105.16
3 - sisma	-17.5	33.51	-94.46

Design Assumption: SLE (Rara/Frequente/Quasi Permanente) Risultati Paratia		Muro: LEFT	
Stage	Z (m)	Momento (kN*m/m)	Taglio (kN/m)
3 - sisma	-17.7	18.14	-76.85
3 - sisma	-17.9	6.93	-56.07
3 - sisma	-18.1	0.8	-30.62
3 - sisma	-18.2	0	-8.04

Design Assumption: SLE (Rara/Frequente/Quasi Permanente) Risultati Paratia		Muro: LEFT	
Stage	Z (m)	Momento (kN*m/m)	Taglio (kN/m)
3 - sisma	0	0	1.34
3 - sisma	-0.2	0.27	1.34
3 - sisma	-0.4	1.11	4.21
3 - sisma	-0.6	2.56	7.26
3 - sisma	-0.8	4.66	10.51
3 - sisma	-1	7.45	13.94
3 - sisma	-1.2	10.96	17.56
3 - sisma	-1.4	15.23	21.37
3 - sisma	-1.6	20.31	25.37
3 - sisma	-1.8	26.22	29.55
3 - sisma	-2	33	33.93
3 - sisma	-2.2	40.71	38.5
3 - sisma	-2.4	49.36	43.26
3 - sisma	-2.6	59	48.21
3 - sisma	-2.8	69.67	53.35
3 - sisma	-3	81.41	58.69
3 - sisma	-3.2	94.25	64.22
3 - sisma	-3.4	108.24	69.94
3 - sisma	-3.6	123.41	75.85
3 - sisma	-3.8	139.8	81.96
3 - sisma	-4	157.46	88.26
3 - sisma	-4.2	176.41	94.76
3 - sisma	-4.4	196.7	101.45
3 - sisma	-4.6	218.36	108.33
3 - sisma	-4.7	229.73	113.64

6.1.9. Tabella Grafici dei Risultati





6.2. Risultati A1+M1+R1 (R3 per tiranti)

6.2.1. Tabella Risultati Paratia A1+M1+R1 (R3 per tiranti) - Left Wall - Stage: 0 - Geostatica

Design Assumption: A1+M1+R1 (R3 per tiranti) Risultati Paratia		Muro: LEFT	
Stage	Z (m)	Momento (kN*m/m)	Taglio (kN/m)
0 - Geostatica	-4.7	0	0
0 - Geostatica	-4.9	0	0
0 - Geostatica	-5.1	0	0
0 - Geostatica	-5.3	0	0
0 - Geostatica	-5.5	0	0
0 - Geostatica	-5.7	0	0
0 - Geostatica	-5.9	0	0
0 - Geostatica	-6.1	0	0
0 - Geostatica	-6.3	0	0
0 - Geostatica	-6.5	0	0
0 - Geostatica	-6.7	0	0
0 - Geostatica	-6.9	0	0
0 - Geostatica	-7.1	0	0
0 - Geostatica	-7.3	0	0
0 - Geostatica	-7.5	0	0
0 - Geostatica	-7.7	0	0
0 - Geostatica	-7.9	0	0
0 - Geostatica	-8.1	0	0
0 - Geostatica	-8.3	0	0
0 - Geostatica	-8.5	0	0
0 - Geostatica	-8.7	0	0
0 - Geostatica	-8.9	0	0
0 - Geostatica	-9.1	0	0
0 - Geostatica	-9.3	0	0
0 - Geostatica	-9.5	0	0
0 - Geostatica	-9.7	0	0
0 - Geostatica	-9.9	0	0
0 - Geostatica	-10.1	0	0
0 - Geostatica	-10.3	0	0
0 - Geostatica	-10.5	0	0
0 - Geostatica	-10.7	0	0
0 - Geostatica	-10.9	0	0
0 - Geostatica	-11.1	0	0
0 - Geostatica	-11.3	0	0
0 - Geostatica	-11.5	0	0
0 - Geostatica	-11.7	0	0
0 - Geostatica	-11.9	0	0
0 - Geostatica	-12.1	0	0
0 - Geostatica	-12.3	0	0
0 - Geostatica	-12.5	0	0
0 - Geostatica	-12.7	0	0
0 - Geostatica	-12.9	0	0
0 - Geostatica	-13.1	0	0
0 - Geostatica	-13.3	0	0
0 - Geostatica	-13.5	0	0
0 - Geostatica	-13.7	0	0
0 - Geostatica	-13.9	0	0
0 - Geostatica	-14.1	0	0
0 - Geostatica	-14.3	0	0
0 - Geostatica	-14.5	0	0
0 - Geostatica	-14.7	0	0
0 - Geostatica	-14.9	0	0
0 - Geostatica	-15.1	0	0
0 - Geostatica	-15.3	0	0
0 - Geostatica	-15.5	0	0
0 - Geostatica	-15.7	0	0
0 - Geostatica	-15.9	0	0
0 - Geostatica	-16.1	0	0
0 - Geostatica	-16.3	0	0
0 - Geostatica	-16.5	0	0
0 - Geostatica	-16.7	0	0
0 - Geostatica	-16.9	0	0
0 - Geostatica	-17.1	0	0
0 - Geostatica	-17.3	0	0

Design Assumption: A1+M1+R1 (R3 per tiranti) Risultati Paratia		Muro: LEFT	
Stage	Z (m)	Momento (kN*m/m)	Taglio (kN/m)
0 - Geostatica	-17.5	0	0
0 - Geostatica	-17.7	0	0
0 - Geostatica	-17.9	0	0
0 - Geostatica	-18.1	0	0
0 - Geostatica	-18.2	0	0
Design Assumption: A1+M1+R1 (R3 per tiranti) Risultati Paratia		Muro: LEFT	
Stage	Z (m)	Momento (kN*m/m)	Taglio (kN/m)
0 - Geostatica	0	0	0
0 - Geostatica	-0.2	0	0
0 - Geostatica	-0.4	0	0
0 - Geostatica	-0.6	0	0
0 - Geostatica	-0.8	0	0
0 - Geostatica	-1	0	0
0 - Geostatica	-1.2	0	0
0 - Geostatica	-1.4	0	0
0 - Geostatica	-1.6	0	0
0 - Geostatica	-1.8	0	0
0 - Geostatica	-2	0	0
0 - Geostatica	-2.2	0	0
0 - Geostatica	-2.4	0	0
0 - Geostatica	-2.6	0	0
0 - Geostatica	-2.8	0	0
0 - Geostatica	-3	0	0
0 - Geostatica	-3.2	0	0
0 - Geostatica	-3.4	0	0
0 - Geostatica	-3.6	0	0
0 - Geostatica	-3.8	0	0
0 - Geostatica	-4	0	0
0 - Geostatica	-4.2	0	0
0 - Geostatica	-4.4	0	0
0 - Geostatica	-4.6	0	0
0 - Geostatica	-4.7	0	0

6.2.2. Tabella Risultati Paratia A1+M1+R1 (R3 per tiranti) - Left Wall - Stage: 1 - paratia

Design Assumption: A1+M1+R1 (R3 per tiranti) Risultati Paratia		Muro: LEFT	
Stage	Z (m)	Momento (kN*m/m)	Taglio (kN/m)
1 - paratia	-4.7	0	0
1 - paratia	-4.9	0	0
1 - paratia	-5.1	0	0
1 - paratia	-5.3	0	0
1 - paratia	-5.5	0	0
1 - paratia	-5.7	0	0
1 - paratia	-5.9	0	0
1 - paratia	-6.1	0	0
1 - paratia	-6.3	0	0
1 - paratia	-6.5	0	0
1 - paratia	-6.7	0	0
1 - paratia	-6.9	0	0
1 - paratia	-7.1	0	0
1 - paratia	-7.3	0	0
1 - paratia	-7.5	0	0
1 - paratia	-7.7	0	0
1 - paratia	-7.9	0	0
1 - paratia	-8.1	0	0
1 - paratia	-8.3	0	0
1 - paratia	-8.5	0	0
1 - paratia	-8.7	0	0
1 - paratia	-8.9	0	0
1 - paratia	-9.1	0	0
1 - paratia	-9.3	0	0
1 - paratia	-9.5	0	0
1 - paratia	-9.7	0	0
1 - paratia	-9.9	0	0
1 - paratia	-10.1	0	0
1 - paratia	-10.3	0	0
1 - paratia	-10.5	0	0
1 - paratia	-10.7	0	0
1 - paratia	-10.9	0	0
1 - paratia	-11.1	0	0
1 - paratia	-11.3	0	0
1 - paratia	-11.5	0	0
1 - paratia	-11.7	0	0
1 - paratia	-11.9	0	0
1 - paratia	-12.1	0	0
1 - paratia	-12.3	0	0
1 - paratia	-12.5	0	0
1 - paratia	-12.7	0	0
1 - paratia	-12.9	0	0
1 - paratia	-13.1	0	0
1 - paratia	-13.3	0	0
1 - paratia	-13.5	0	0
1 - paratia	-13.7	0	0
1 - paratia	-13.9	0	0
1 - paratia	-14.1	0	0
1 - paratia	-14.3	0	0
1 - paratia	-14.5	0	0
1 - paratia	-14.7	0	0
1 - paratia	-14.9	0	0
1 - paratia	-15.1	0	0
1 - paratia	-15.3	0	0
1 - paratia	-15.5	0	0
1 - paratia	-15.7	0	0
1 - paratia	-15.9	0	0
1 - paratia	-16.1	0	0
1 - paratia	-16.3	0	0
1 - paratia	-16.5	0	0
1 - paratia	-16.7	0	0
1 - paratia	-16.9	0	0
1 - paratia	-17.1	0	0
1 - paratia	-17.3	0	0
1 - paratia	-17.5	0	0
1 - paratia	-17.7	0	0
1 - paratia	-17.9	0	0

Design Assumption: A1+M1+R1 (R3 per tiranti) Risultati Paratia		Muro: LEFT	
Stage	Z (m)	Momento (kN*m/m)	Taglio (kN/m)
1 - paratia	-18.1	0	0
1 - paratia	-18.2	0	0

Design Assumption: A1+M1+R1 (R3 per tiranti) Risultati Paratia		Muro: LEFT	
Stage	Z (m)	Momento (kN*m/m)	Taglio (kN/m)
1 - paratia	0	0	0
1 - paratia	-0.2	0	0
1 - paratia	-0.4	0	0
1 - paratia	-0.6	0	0
1 - paratia	-0.8	0	0
1 - paratia	-1	0	0
1 - paratia	-1.2	0	0
1 - paratia	-1.4	0	0
1 - paratia	-1.6	0	0
1 - paratia	-1.8	0	0
1 - paratia	-2	0	0
1 - paratia	-2.2	0	0
1 - paratia	-2.4	0	0
1 - paratia	-2.6	0	0
1 - paratia	-2.8	0	0
1 - paratia	-3	0	0
1 - paratia	-3.2	0	0
1 - paratia	-3.4	0	0
1 - paratia	-3.6	0	0
1 - paratia	-3.8	0	0
1 - paratia	-4	0	0
1 - paratia	-4.2	0	0
1 - paratia	-4.4	0	0
1 - paratia	-4.6	0	0
1 - paratia	-4.7	0	0

6.2.3. Tabella Risultati Paratia A1+M1+R1 (R3 per tiranti) - Left Wall - Stage: 2 - esercizio

Design Assumption: A1+M1+R1 (R3 per tiranti) Risultati Paratia		Muro: LEFT	
Stage	Z (m)	Momento (kN*m/m)	Taglio (kN/m)
2 - esercizio	-4.7	298.76	158.56
2 - esercizio	-4.9	330.47	158.56
2 - esercizio	-5.1	364.46	169.95
2 - esercizio	-5.3	400.15	178.45
2 - esercizio	-5.5	436.97	184.07
2 - esercizio	-5.7	474.33	186.8
2 - esercizio	-5.9	511.66	186.65
2 - esercizio	-6.1	548.38	183.6
2 - esercizio	-6.3	583.91	177.67
2 - esercizio	-6.5	617.68	168.85
2 - esercizio	-6.7	649.11	157.15
2 - esercizio	-6.9	677.62	142.55
2 - esercizio	-7.1	703.01	126.95
2 - esercizio	-7.3	725.4	111.95
2 - esercizio	-7.5	744.9	97.51
2 - esercizio	-7.7	761.63	83.64
2 - esercizio	-7.9	775.69	70.31
2 - esercizio	-8.1	787.2	57.52
2 - esercizio	-8.3	796.25	45.25
2 - esercizio	-8.5	802.95	33.48
2 - esercizio	-8.7	807.39	22.22
2 - esercizio	-8.9	809.68	11.43
2 - esercizio	-9.1	809.9	1.12
2 - esercizio	-9.3	808.15	-8.74
2 - esercizio	-9.5	804.52	-18.14
2 - esercizio	-9.7	799.1	-27.12
2 - esercizio	-9.9	791.99	-35.55
2 - esercizio	-10.1	783.29	-43.48
2 - esercizio	-10.3	773.11	-50.9
2 - esercizio	-10.5	761.55	-57.83
2 - esercizio	-10.7	748.7	-64.27
2 - esercizio	-10.9	734.65	-70.24
2 - esercizio	-11.1	719.5	-75.75
2 - esercizio	-11.3	703.34	-80.8
2 - esercizio	-11.5	686.25	-85.42
2 - esercizio	-11.7	668.33	-89.6
2 - esercizio	-11.9	649.66	-93.36
2 - esercizio	-12.1	630.32	-96.71
2 - esercizio	-12.3	610.39	-99.65
2 - esercizio	-12.5	589.95	-102.19
2 - esercizio	-12.7	569.08	-104.35
2 - esercizio	-12.9	547.86	-106.12
2 - esercizio	-13.1	526.35	-107.53
2 - esercizio	-13.3	504.64	-108.56
2 - esercizio	-13.5	482.79	-109.24
2 - esercizio	-13.7	460.87	-109.58
2 - esercizio	-13.9	438.96	-109.59
2 - esercizio	-14.1	417.1	-109.26
2 - esercizio	-14.3	395.38	-108.61
2 - esercizio	-14.5	373.86	-107.63
2 - esercizio	-14.7	352.59	-106.34
2 - esercizio	-14.9	331.64	-104.74
2 - esercizio	-15.1	311.08	-102.83
2 - esercizio	-15.3	290.96	-100.61
2 - esercizio	-15.5	271.34	-98.09
2 - esercizio	-15.7	252.31	-95.14
2 - esercizio	-15.9	234.25	-90.31
2 - esercizio	-16.1	217.52	-83.61
2 - esercizio	-16.3	197.7	-99.1
2 - esercizio	-16.5	175.2	-112.49
2 - esercizio	-16.7	150.45	-123.79
2 - esercizio	-16.9	123.85	-133
2 - esercizio	-17.1	95.82	-140.14
2 - esercizio	-17.3	68.42	-137.01
2 - esercizio	-17.5	43.73	-123.44
2 - esercizio	-17.7	23.66	-100.36
2 - esercizio	-17.9	9.02	-73.16

Design Assumption: A1+M1+R1 (R3 per tiranti) Risultati Paratia		Muro: LEFT	
Stage	Z (m)	Momento (kN*m/m)	Taglio (kN/m)
2 - esercizio	-18.1	1.05	-39.89
2 - esercizio	-18.2	0	-10.46

Design Assumption: A1+M1+R1 (R3 per tiranti) Risultati Paratia		Muro: LEFT	
Stage	Z (m)	Momento (kN*m/m)	Taglio (kN/m)
2 - esercizio	0	0	1.74
2 - esercizio	-0.2	0.35	1.74
2 - esercizio	-0.4	1.44	5.47
2 - esercizio	-0.6	3.33	9.44
2 - esercizio	-0.8	6.06	13.66
2 - esercizio	-1	9.68	18.12
2 - esercizio	-1.2	14.25	22.82
2 - esercizio	-1.4	19.81	27.78
2 - esercizio	-1.6	26.4	32.98
2 - esercizio	-1.8	34.08	38.42
2 - esercizio	-2	42.91	44.12
2 - esercizio	-2.2	52.92	50.06
2 - esercizio	-2.4	64.17	56.25
2 - esercizio	-2.6	76.71	62.69
2 - esercizio	-2.8	90.58	69.38
2 - esercizio	-3	105.84	76.32
2 - esercizio	-3.2	122.55	83.51
2 - esercizio	-3.4	140.74	90.95
2 - esercizio	-3.6	160.47	98.65
2 - esercizio	-3.8	181.79	106.6
2 - esercizio	-4	204.75	114.8
2 - esercizio	-4.2	229.4	123.26
2 - esercizio	-4.4	255.79	131.97
2 - esercizio	-4.6	283.98	140.93
2 - esercizio	-4.7	298.76	147.85

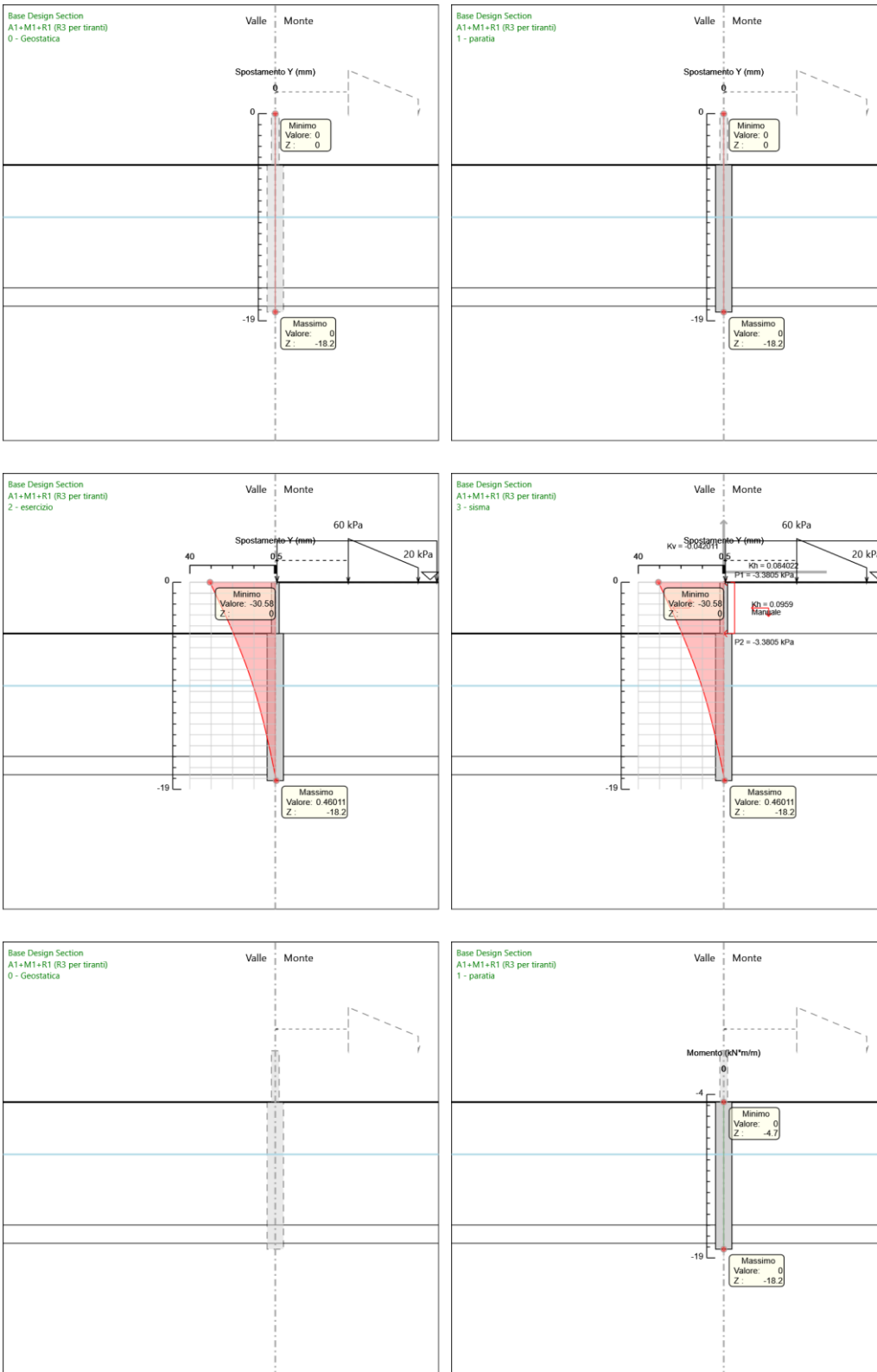
6.2.4. Tabella Risultati Paratia A1+M1+R1 (R3 per tiranti) - Left Wall - Stage: 3 - sisma

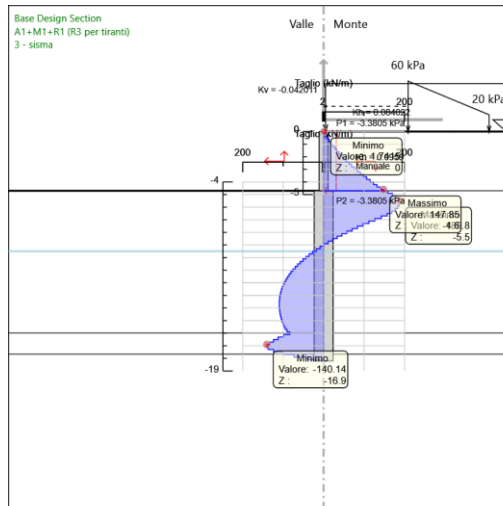
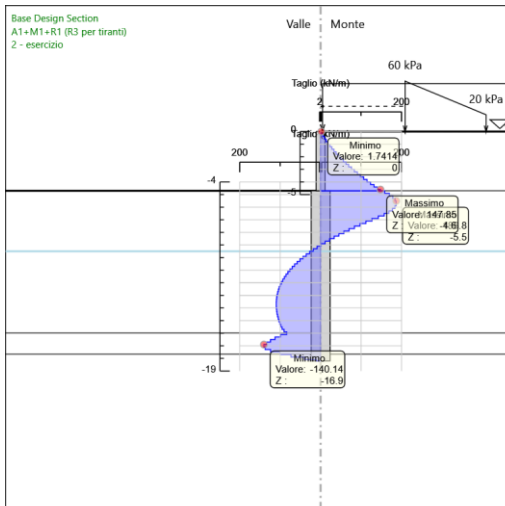
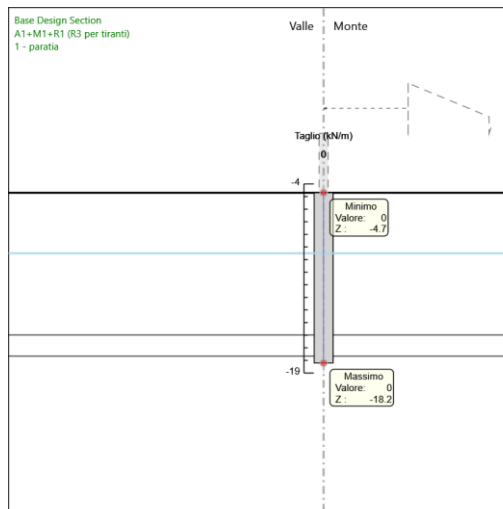
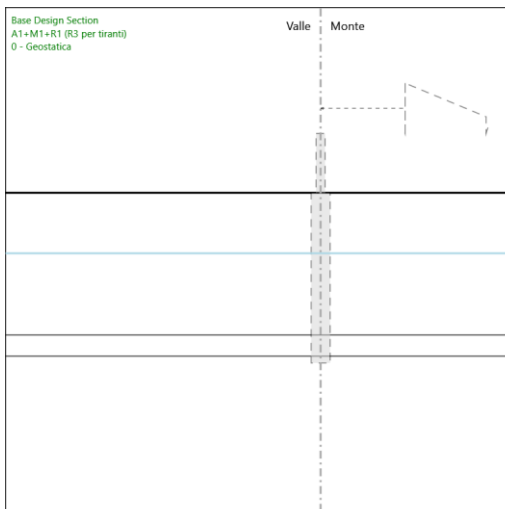
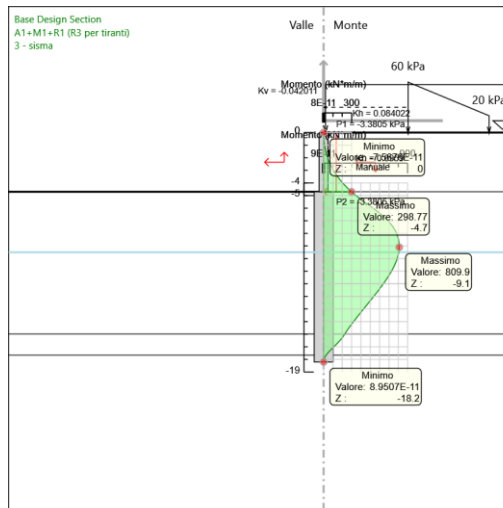
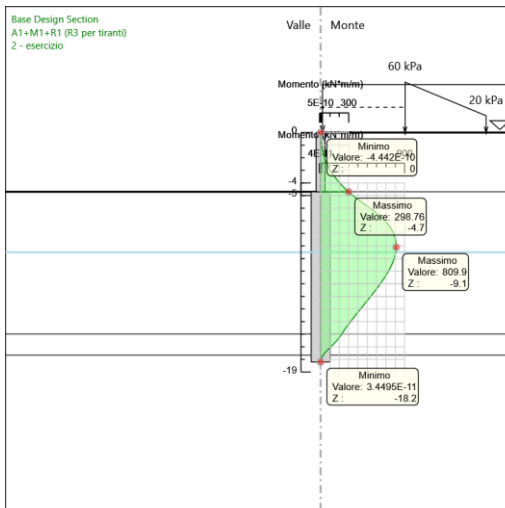
Design Assumption: A1+M1+R1 (R3 per tiranti) Risultati Paratia		Muro: LEFT	
Stage	Z (m)	Momento (kN*m/m)	Taglio (kN/m)
3 - sisma	-4.7	298.77	158.56
3 - sisma	-4.9	330.48	158.56
3 - sisma	-5.1	364.47	169.95
3 - sisma	-5.3	400.16	178.45
3 - sisma	-5.5	436.97	184.07
3 - sisma	-5.7	474.33	186.8
3 - sisma	-5.9	511.66	186.65
3 - sisma	-6.1	548.38	183.6
3 - sisma	-6.3	583.92	177.67
3 - sisma	-6.5	617.69	168.85
3 - sisma	-6.7	649.12	157.15
3 - sisma	-6.9	677.63	142.55
3 - sisma	-7.1	703.01	126.95
3 - sisma	-7.3	725.4	111.95
3 - sisma	-7.5	744.91	97.51
3 - sisma	-7.7	761.63	83.64
3 - sisma	-7.9	775.7	70.31
3 - sisma	-8.1	787.2	57.52
3 - sisma	-8.3	796.25	45.25
3 - sisma	-8.5	802.95	33.48
3 - sisma	-8.7	807.39	22.22
3 - sisma	-8.9	809.68	11.43
3 - sisma	-9.1	809.9	1.12
3 - sisma	-9.3	808.15	-8.74
3 - sisma	-9.5	804.53	-18.14
3 - sisma	-9.7	799.1	-27.12
3 - sisma	-9.9	791.99	-35.55
3 - sisma	-10.1	783.3	-43.48
3 - sisma	-10.3	773.12	-50.9
3 - sisma	-10.5	761.55	-57.83
3 - sisma	-10.7	748.7	-64.27
3 - sisma	-10.9	734.65	-70.24
3 - sisma	-11.1	719.5	-75.75
3 - sisma	-11.3	703.34	-80.81
3 - sisma	-11.5	686.25	-85.42
3 - sisma	-11.7	668.33	-89.6
3 - sisma	-11.9	649.66	-93.36
3 - sisma	-12.1	630.32	-96.71
3 - sisma	-12.3	610.39	-99.65
3 - sisma	-12.5	589.95	-102.19
3 - sisma	-12.7	569.08	-104.35
3 - sisma	-12.9	547.85	-106.12
3 - sisma	-13.1	526.35	-107.53
3 - sisma	-13.3	504.64	-108.56
3 - sisma	-13.5	482.79	-109.24
3 - sisma	-13.7	460.87	-109.58
3 - sisma	-13.9	438.95	-109.59
3 - sisma	-14.1	417.1	-109.26
3 - sisma	-14.3	395.38	-108.61
3 - sisma	-14.5	373.85	-107.63
3 - sisma	-14.7	352.58	-106.34
3 - sisma	-14.9	331.64	-104.74
3 - sisma	-15.1	311.07	-102.82
3 - sisma	-15.3	290.95	-100.6
3 - sisma	-15.5	271.33	-98.08
3 - sisma	-15.7	252.31	-95.14
3 - sisma	-15.9	234.24	-90.31
3 - sisma	-16.1	217.52	-83.61
3 - sisma	-16.3	197.7	-99.1
3 - sisma	-16.5	175.2	-112.49
3 - sisma	-16.7	150.45	-123.79
3 - sisma	-16.9	123.85	-133
3 - sisma	-17.1	95.82	-140.14
3 - sisma	-17.3	68.42	-137.01
3 - sisma	-17.5	43.73	-123.43
3 - sisma	-17.7	23.66	-100.36
3 - sisma	-17.9	9.02	-73.16

Design Assumption: A1+M1+R1 (R3 per tiranti) Risultati Paratia		Muro: LEFT	
Stage	Z (m)	Momento (kN*m/m)	Taglio (kN/m)
3 - sisma	-18.1	1.05	-39.89
3 - sisma	-18.2	0	-10.46

Design Assumption: A1+M1+R1 (R3 per tiranti) Risultati Paratia		Muro: LEFT	
Stage	Z (m)	Momento (kN*m/m)	Taglio (kN/m)
3 - sisma	0	0	1.74
3 - sisma	-0.2	0.35	1.74
3 - sisma	-0.4	1.44	5.47
3 - sisma	-0.6	3.33	9.44
3 - sisma	-0.8	6.06	13.66
3 - sisma	-1	9.69	18.12
3 - sisma	-1.2	14.25	22.83
3 - sisma	-1.4	19.81	27.78
3 - sisma	-1.6	26.4	32.98
3 - sisma	-1.8	34.09	38.42
3 - sisma	-2	42.91	44.12
3 - sisma	-2.2	52.92	50.06
3 - sisma	-2.4	64.17	56.25
3 - sisma	-2.6	76.71	62.69
3 - sisma	-2.8	90.58	69.38
3 - sisma	-3	105.85	76.32
3 - sisma	-3.2	122.55	83.51
3 - sisma	-3.4	140.74	90.95
3 - sisma	-3.6	160.47	98.65
3 - sisma	-3.8	181.79	106.6
3 - sisma	-4	204.75	114.8
3 - sisma	-4.2	229.4	123.26
3 - sisma	-4.4	255.79	131.97
3 - sisma	-4.6	283.98	140.93
3 - sisma	-4.7	298.77	147.85

6.2.5. Tabella Grafici dei Risultati





6.3. Risultati A2+M2+R1

6.3.1. Tabella Risultati Paratia A2+M2+R1 - Left Wall - Stage: 0 - Geostatica

Design Assumption: A2+M2+R1 Risultati Paratia		Muro: LEFT	
Stage	Z (m)	Momento (kN*m/m)	Taglio (kN/m)
0 - Geostatica	-4.7	0	0
0 - Geostatica	-4.9	0	0
0 - Geostatica	-5.1	0	0
0 - Geostatica	-5.3	0	0
0 - Geostatica	-5.5	0	0
0 - Geostatica	-5.7	0	0
0 - Geostatica	-5.9	0	0
0 - Geostatica	-6.1	0	0
0 - Geostatica	-6.3	0	0
0 - Geostatica	-6.5	0	0
0 - Geostatica	-6.7	0	0
0 - Geostatica	-6.9	0	0
0 - Geostatica	-7.1	0	0
0 - Geostatica	-7.3	0	0
0 - Geostatica	-7.5	0	0
0 - Geostatica	-7.7	0	0
0 - Geostatica	-7.9	0	0
0 - Geostatica	-8.1	0	0
0 - Geostatica	-8.3	0	0
0 - Geostatica	-8.5	0	0
0 - Geostatica	-8.7	0	0
0 - Geostatica	-8.9	0	0
0 - Geostatica	-9.1	0	0
0 - Geostatica	-9.3	0	0
0 - Geostatica	-9.5	0	0
0 - Geostatica	-9.7	0	0
0 - Geostatica	-9.9	0	0
0 - Geostatica	-10.1	0	0
0 - Geostatica	-10.3	0	0
0 - Geostatica	-10.5	0	0
0 - Geostatica	-10.7	0	0
0 - Geostatica	-10.9	0	0
0 - Geostatica	-11.1	0	0
0 - Geostatica	-11.3	0	0
0 - Geostatica	-11.5	0	0
0 - Geostatica	-11.7	0	0
0 - Geostatica	-11.9	0	0
0 - Geostatica	-12.1	0	0
0 - Geostatica	-12.3	0	0
0 - Geostatica	-12.5	0	0
0 - Geostatica	-12.7	0	0
0 - Geostatica	-12.9	0	0
0 - Geostatica	-13.1	0	0
0 - Geostatica	-13.3	0	0
0 - Geostatica	-13.5	0	0
0 - Geostatica	-13.7	0	0
0 - Geostatica	-13.9	0	0
0 - Geostatica	-14.1	0	0
0 - Geostatica	-14.3	0	0
0 - Geostatica	-14.5	0	0
0 - Geostatica	-14.7	0	0
0 - Geostatica	-14.9	0	0
0 - Geostatica	-15.1	0	0
0 - Geostatica	-15.3	0	0
0 - Geostatica	-15.5	0	0
0 - Geostatica	-15.7	0	0
0 - Geostatica	-15.9	0	0
0 - Geostatica	-16.1	0	0
0 - Geostatica	-16.3	0	0
0 - Geostatica	-16.5	0	0
0 - Geostatica	-16.7	0	0
0 - Geostatica	-16.9	0	0
0 - Geostatica	-17.1	0	0
0 - Geostatica	-17.3	0	0

Design Assumption: A2+M2+R1 Risultati Paratia		Muro: LEFT	
Stage	Z (m)	Momento (kN*m/m)	Taglio (kN/m)
0 - Geostatica	-17.5	0	0
0 - Geostatica	-17.7	0	0
0 - Geostatica	-17.9	0	0
0 - Geostatica	-18.1	0	0
0 - Geostatica	-18.2	0	0

Design Assumption: A2+M2+R1 Risultati Paratia		Muro: LEFT	
Stage	Z (m)	Momento (kN*m/m)	Taglio (kN/m)
0 - Geostatica	0	0	0
0 - Geostatica	-0.2	0	0
0 - Geostatica	-0.4	0	0
0 - Geostatica	-0.6	0	0
0 - Geostatica	-0.8	0	0
0 - Geostatica	-1	0	0
0 - Geostatica	-1.2	0	0
0 - Geostatica	-1.4	0	0
0 - Geostatica	-1.6	0	0
0 - Geostatica	-1.8	0	0
0 - Geostatica	-2	0	0
0 - Geostatica	-2.2	0	0
0 - Geostatica	-2.4	0	0
0 - Geostatica	-2.6	0	0
0 - Geostatica	-2.8	0	0
0 - Geostatica	-3	0	0
0 - Geostatica	-3.2	0	0
0 - Geostatica	-3.4	0	0
0 - Geostatica	-3.6	0	0
0 - Geostatica	-3.8	0	0
0 - Geostatica	-4	0	0
0 - Geostatica	-4.2	0	0
0 - Geostatica	-4.4	0	0
0 - Geostatica	-4.6	0	0
0 - Geostatica	-4.7	0	0

6.3.2. Tabella Risultati Paratia A2+M2+R1 - Left Wall - Stage: 1 - paratia

Design Assumption: A2+M2+R1 Risultati Paratia		Muro: LEFT	
Stage	Z (m)	Momento (kN*m/m)	Taglio (kN/m)
1 - paratia	-4.7	0	0
1 - paratia	-4.9	0	0
1 - paratia	-5.1	0	0
1 - paratia	-5.3	0	0
1 - paratia	-5.5	0	0
1 - paratia	-5.7	0	0
1 - paratia	-5.9	0	0
1 - paratia	-6.1	0	0
1 - paratia	-6.3	0	0
1 - paratia	-6.5	0	0
1 - paratia	-6.7	0	0
1 - paratia	-6.9	0	0
1 - paratia	-7.1	0	0
1 - paratia	-7.3	0	0
1 - paratia	-7.5	0	0
1 - paratia	-7.7	0	0
1 - paratia	-7.9	0	0
1 - paratia	-8.1	0	0
1 - paratia	-8.3	0	0
1 - paratia	-8.5	0	0
1 - paratia	-8.7	0	0
1 - paratia	-8.9	0	0
1 - paratia	-9.1	0	0
1 - paratia	-9.3	0	0
1 - paratia	-9.5	0	0
1 - paratia	-9.7	0	0
1 - paratia	-9.9	0	0
1 - paratia	-10.1	0	0
1 - paratia	-10.3	0	0
1 - paratia	-10.5	0	0
1 - paratia	-10.7	0	0
1 - paratia	-10.9	0	0
1 - paratia	-11.1	0	0
1 - paratia	-11.3	0	0
1 - paratia	-11.5	0	0
1 - paratia	-11.7	0	0
1 - paratia	-11.9	0	0
1 - paratia	-12.1	0	0
1 - paratia	-12.3	0	0
1 - paratia	-12.5	0	0
1 - paratia	-12.7	0	0
1 - paratia	-12.9	0	0
1 - paratia	-13.1	0	0
1 - paratia	-13.3	0	0
1 - paratia	-13.5	0	0
1 - paratia	-13.7	0	0
1 - paratia	-13.9	0	0
1 - paratia	-14.1	0	0
1 - paratia	-14.3	0	0
1 - paratia	-14.5	0	0
1 - paratia	-14.7	0	0
1 - paratia	-14.9	0	0
1 - paratia	-15.1	0	0
1 - paratia	-15.3	0	0
1 - paratia	-15.5	0	0
1 - paratia	-15.7	0	0
1 - paratia	-15.9	0	0
1 - paratia	-16.1	0	0
1 - paratia	-16.3	0	0
1 - paratia	-16.5	0	0
1 - paratia	-16.7	0	0
1 - paratia	-16.9	0	0
1 - paratia	-17.1	0	0
1 - paratia	-17.3	0	0
1 - paratia	-17.5	0	0
1 - paratia	-17.7	0	0
1 - paratia	-17.9	0	0

Design Assumption: A2+M2+R1 Risultati Paratia		Muro: LEFT	
Stage	Z (m)	Momento (kN*m/m)	Taglio (kN/m)
1 - paratia	-18.1	0	0
1 - paratia	-18.2	0	0

Design Assumption: A2+M2+R1 Risultati Paratia		Muro: LEFT	
Stage	Z (m)	Momento (kN*m/m)	Taglio (kN/m)
1 - paratia	0	0	0
1 - paratia	-0.2	0	0
1 - paratia	-0.4	0	0
1 - paratia	-0.6	0	0
1 - paratia	-0.8	0	0
1 - paratia	-1	0	0
1 - paratia	-1.2	0	0
1 - paratia	-1.4	0	0
1 - paratia	-1.6	0	0
1 - paratia	-1.8	0	0
1 - paratia	-2	0	0
1 - paratia	-2.2	0	0
1 - paratia	-2.4	0	0
1 - paratia	-2.6	0	0
1 - paratia	-2.8	0	0
1 - paratia	-3	0	0
1 - paratia	-3.2	0	0
1 - paratia	-3.4	0	0
1 - paratia	-3.6	0	0
1 - paratia	-3.8	0	0
1 - paratia	-4	0	0
1 - paratia	-4.2	0	0
1 - paratia	-4.4	0	0
1 - paratia	-4.6	0	0
1 - paratia	-4.7	0	0

6.3.3. Tabella Risultati Paratia A2+M2+R1 - Left Wall - Stage: 2 - esercizio

Design Assumption: A2+M2+R1 Risultati Paratia		Muro: LEFT	
Stage	Z (m)	Momento (kN*m/m)	Taglio (kN/m)
2 - esercizio	-4.7	293.5	155.22
2 - esercizio	-4.9	324.54	155.22
2 - esercizio	-5.1	357.91	166.83
2 - esercizio	-5.3	393.27	176.82
2 - esercizio	-5.5	430.31	185.19
2 - esercizio	-5.7	468.7	191.94
2 - esercizio	-5.9	508.11	197.06
2 - esercizio	-6.1	548.22	200.55
2 - esercizio	-6.3	588.7	202.43
2 - esercizio	-6.5	629.24	202.68
2 - esercizio	-6.7	669.5	201.3
2 - esercizio	-6.9	709.16	198.3
2 - esercizio	-7.1	747.9	193.71
2 - esercizio	-7.3	785.42	187.58
2 - esercizio	-7.5	821.39	179.87
2 - esercizio	-7.7	855.51	170.58
2 - esercizio	-7.9	887.45	159.71
2 - esercizio	-8.1	916.9	147.26
2 - esercizio	-8.3	943.55	133.22
2 - esercizio	-8.5	967.06	117.58
2 - esercizio	-8.7	987.14	100.36
2 - esercizio	-8.9	1003.44	81.52
2 - esercizio	-9.1	1015.92	62.42
2 - esercizio	-9.3	1024.76	44.17
2 - esercizio	-9.5	1030.12	26.8
2 - esercizio	-9.7	1032.17	10.27
2 - esercizio	-9.9	1031.1	-5.38
2 - esercizio	-10.1	1027.06	-20.16
2 - esercizio	-10.3	1020.25	-34.09
2 - esercizio	-10.5	1010.81	-47.19
2 - esercizio	-10.7	998.92	-59.46
2 - esercizio	-10.9	984.73	-70.93
2 - esercizio	-11.1	968.41	-81.61
2 - esercizio	-11.3	950.1	-91.52
2 - esercizio	-11.5	929.97	-100.66
2 - esercizio	-11.7	908.16	-109.05
2 - esercizio	-11.9	884.82	-116.7
2 - esercizio	-12.1	860.1	-123.63
2 - esercizio	-12.3	834.12	-129.86
2 - esercizio	-12.5	807.05	-135.38
2 - esercizio	-12.7	779.01	-140.22
2 - esercizio	-12.9	750.13	-144.37
2 - esercizio	-13.1	720.56	-147.87
2 - esercizio	-13.3	690.42	-150.71
2 - esercizio	-13.5	659.83	-152.91
2 - esercizio	-13.7	628.94	-154.49
2 - esercizio	-13.9	597.85	-155.45
2 - esercizio	-14.1	566.69	-155.81
2 - esercizio	-14.3	535.57	-155.56
2 - esercizio	-14.5	504.63	-154.72
2 - esercizio	-14.7	473.97	-153.3
2 - esercizio	-14.9	443.71	-151.29
2 - esercizio	-15.1	413.97	-148.7
2 - esercizio	-15.3	384.86	-145.55
2 - esercizio	-15.5	356.49	-141.83
2 - esercizio	-15.7	328.98	-137.56
2 - esercizio	-15.9	302.44	-132.72
2 - esercizio	-16.1	276.97	-127.34
2 - esercizio	-16.3	248.21	-143.8
2 - esercizio	-16.5	216.83	-156.93
2 - esercizio	-16.7	183.47	-166.76
2 - esercizio	-16.9	148.95	-172.61
2 - esercizio	-17.1	114.22	-173.66
2 - esercizio	-17.3	80.41	-169.06
2 - esercizio	-17.5	50.96	-147.26
2 - esercizio	-17.7	27.09	-119.32
2 - esercizio	-17.9	9.99	-85.51

Design Assumption: A2+M2+R1 Risultati Paratia		Muro: LEFT	
Stage	Z (m)	Momento (kN*m/m)	Taglio (kN/m)
2 - esercizio	-18.1	1.13	-44.29
2 - esercizio	-18.2	0	-11.33

Design Assumption: A2+M2+R1 Risultati Paratia		Muro: LEFT	
Stage	Z (m)	Momento (kN*m/m)	Taglio (kN/m)
2 - esercizio	0	0	1.71
2 - esercizio	-0.2	0.34	1.71
2 - esercizio	-0.4	1.42	5.37
2 - esercizio	-0.6	3.27	9.27
2 - esercizio	-0.8	5.95	13.41
2 - esercizio	-1	9.51	17.79
2 - esercizio	-1.2	13.99	22.41
2 - esercizio	-1.4	19.45	27.28
2 - esercizio	-1.6	25.93	32.38
2 - esercizio	-1.8	33.47	37.73
2 - esercizio	-2	42.14	43.32
2 - esercizio	-2.2	51.97	49.16
2 - esercizio	-2.4	63.02	55.24
2 - esercizio	-2.6	75.33	61.57
2 - esercizio	-2.8	88.96	68.14
2 - esercizio	-3	103.95	74.96
2 - esercizio	-3.2	120.36	82.03
2 - esercizio	-3.4	138.23	89.35
2 - esercizio	-3.6	157.61	96.91
2 - esercizio	-3.8	178.56	104.73
2 - esercizio	-4	201.11	112.79
2 - esercizio	-4.2	225.33	121.11
2 - esercizio	-4.4	251.27	129.67
2 - esercizio	-4.6	278.97	138.49
2 - esercizio	-4.7	293.5	145.29

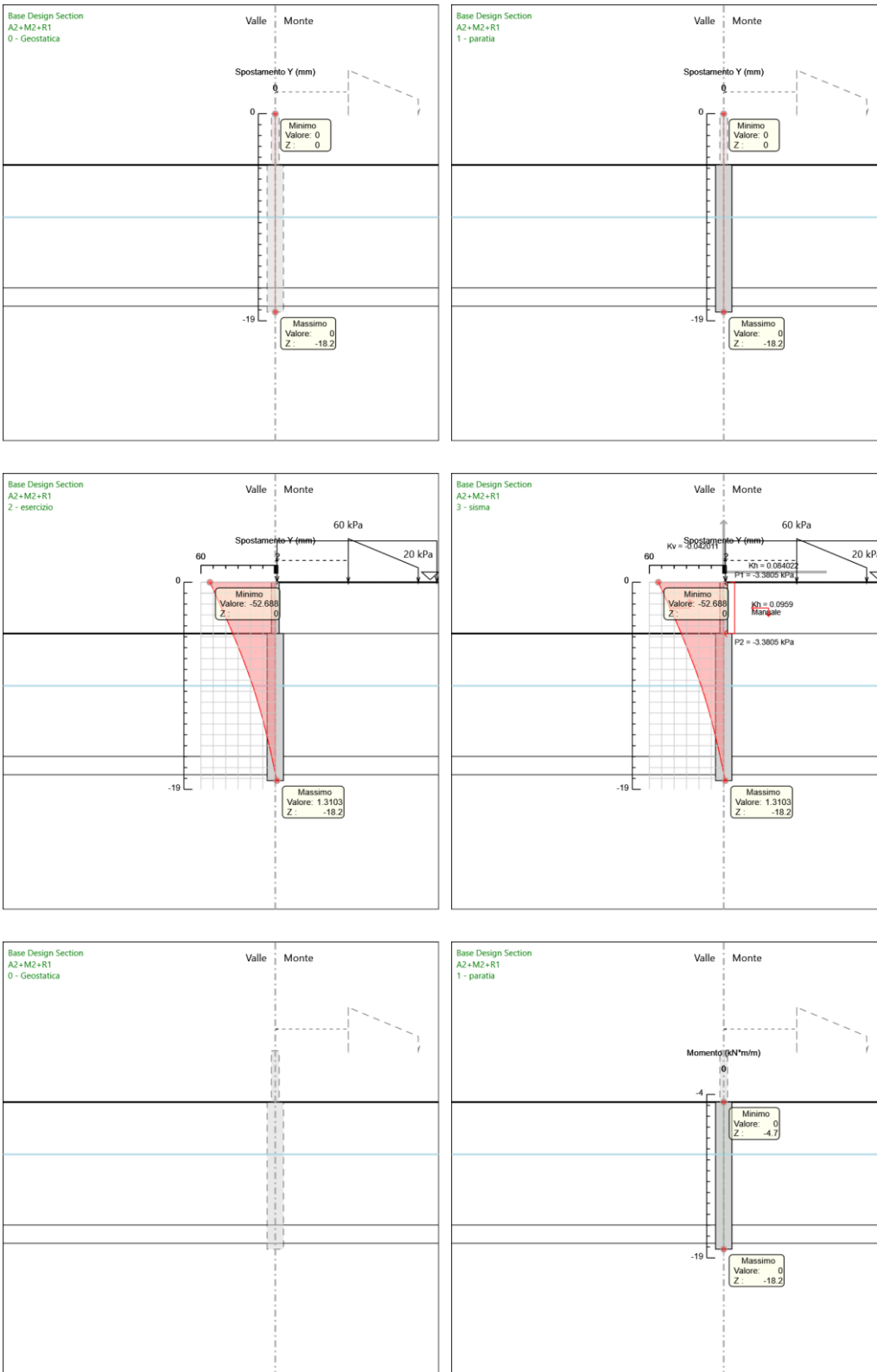
6.3.4. Tabella Risultati Paratia A2+M2+R1 - Left Wall - Stage: 3 - sisma

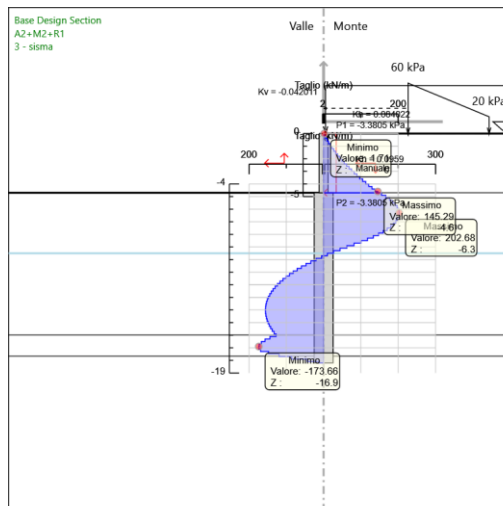
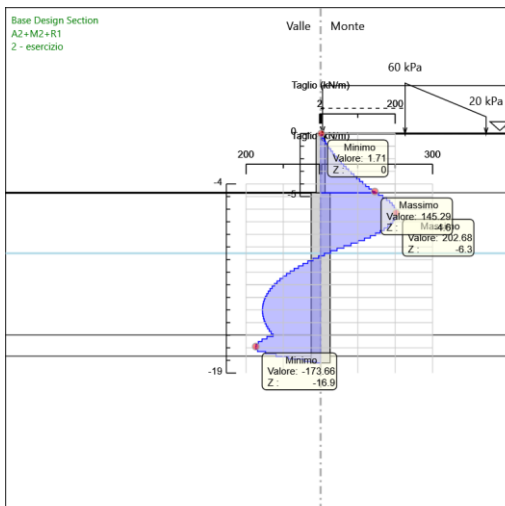
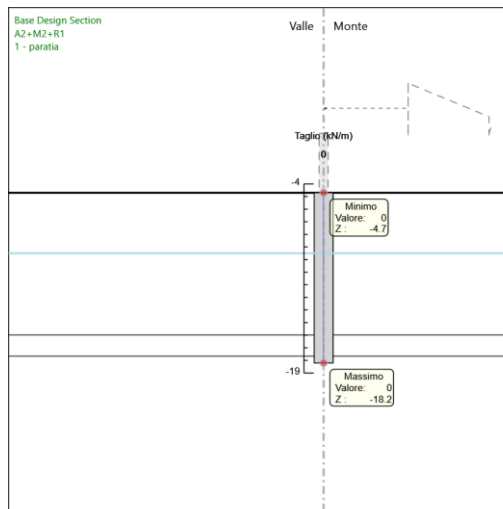
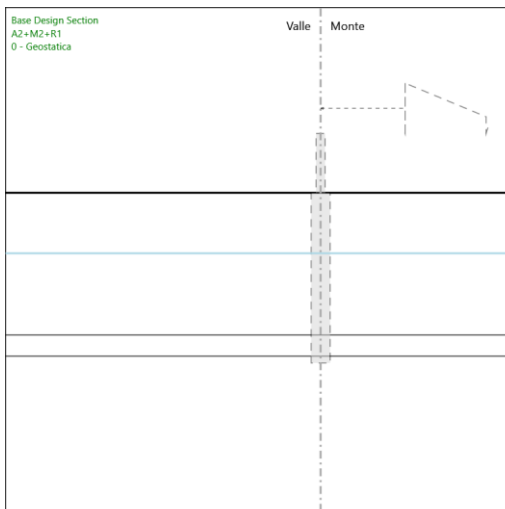
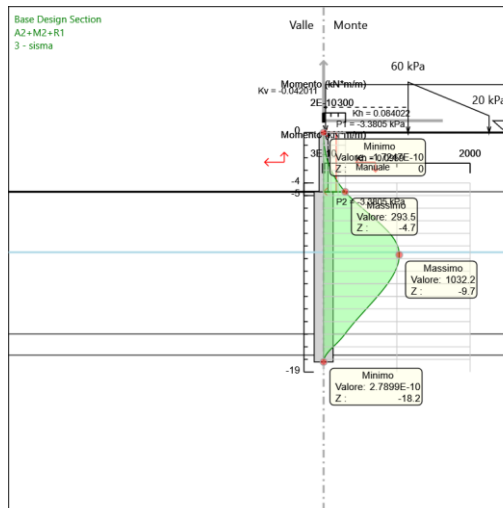
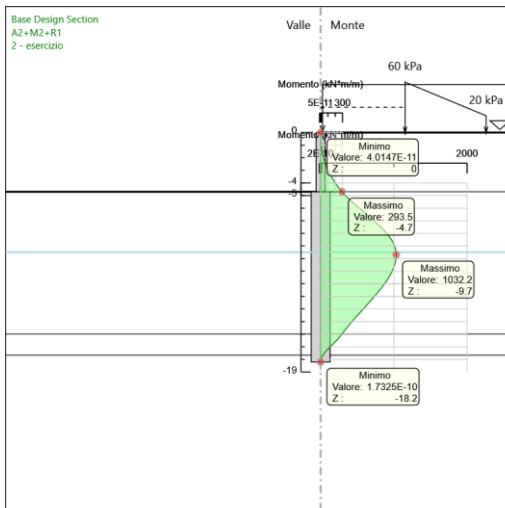
Design Assumption: A2+M2+R1 Risultati Paratia		Muro: LEFT	
Stage	Z (m)	Momento (kN*m/m)	Taglio (kN/m)
3 - sisma	-4.7	293.5	155.22
3 - sisma	-4.9	324.54	155.22
3 - sisma	-5.1	357.91	166.83
3 - sisma	-5.3	393.27	176.82
3 - sisma	-5.5	430.31	185.19
3 - sisma	-5.7	468.7	191.94
3 - sisma	-5.9	508.11	197.06
3 - sisma	-6.1	548.22	200.55
3 - sisma	-6.3	588.7	202.43
3 - sisma	-6.5	629.24	202.68
3 - sisma	-6.7	669.5	201.3
3 - sisma	-6.9	709.16	198.3
3 - sisma	-7.1	747.9	193.71
3 - sisma	-7.3	785.42	187.58
3 - sisma	-7.5	821.39	179.86
3 - sisma	-7.7	855.51	170.58
3 - sisma	-7.9	887.45	159.71
3 - sisma	-8.1	916.9	147.26
3 - sisma	-8.3	943.55	133.22
3 - sisma	-8.5	967.06	117.58
3 - sisma	-8.7	987.13	100.36
3 - sisma	-8.9	1003.44	81.52
3 - sisma	-9.1	1015.92	62.42
3 - sisma	-9.3	1024.76	44.17
3 - sisma	-9.5	1030.12	26.8
3 - sisma	-9.7	1032.17	10.26
3 - sisma	-9.9	1031.09	-5.38
3 - sisma	-10.1	1027.06	-20.16
3 - sisma	-10.3	1020.24	-34.09
3 - sisma	-10.5	1010.81	-47.19
3 - sisma	-10.7	998.91	-59.46
3 - sisma	-10.9	984.73	-70.94
3 - sisma	-11.1	968.4	-81.61
3 - sisma	-11.3	950.1	-91.52
3 - sisma	-11.5	929.97	-100.66
3 - sisma	-11.7	908.16	-109.05
3 - sisma	-11.9	884.82	-116.71
3 - sisma	-12.1	860.09	-123.64
3 - sisma	-12.3	834.12	-129.86
3 - sisma	-12.5	807.04	-135.38
3 - sisma	-12.7	779	-140.22
3 - sisma	-12.9	750.12	-144.37
3 - sisma	-13.1	720.55	-147.87
3 - sisma	-13.3	690.41	-150.71
3 - sisma	-13.5	659.83	-152.91
3 - sisma	-13.7	628.93	-154.49
3 - sisma	-13.9	597.84	-155.45
3 - sisma	-14.1	566.68	-155.8
3 - sisma	-14.3	535.57	-155.56
3 - sisma	-14.5	504.62	-154.72
3 - sisma	-14.7	473.96	-153.29
3 - sisma	-14.9	443.71	-151.28
3 - sisma	-15.1	413.97	-148.7
3 - sisma	-15.3	384.86	-145.55
3 - sisma	-15.5	356.49	-141.83
3 - sisma	-15.7	328.98	-137.55
3 - sisma	-15.9	302.44	-132.72
3 - sisma	-16.1	276.97	-127.33
3 - sisma	-16.3	248.21	-143.79
3 - sisma	-16.5	216.83	-156.93
3 - sisma	-16.7	183.47	-166.76
3 - sisma	-16.9	148.95	-172.61
3 - sisma	-17.1	114.22	-173.66
3 - sisma	-17.3	80.41	-169.06
3 - sisma	-17.5	50.96	-147.26
3 - sisma	-17.7	27.09	-119.32
3 - sisma	-17.9	9.99	-85.51

Design Assumption: A2+M2+R1 Risultati Paratia		Muro: LEFT	
Stage	Z (m)	Momento (kN*m/m)	Taglio (kN/m)
3 - sisma	-18.1	1.13	-44.29
3 - sisma	-18.2	0	-11.33

Design Assumption: A2+M2+R1 Risultati Paratia		Muro: LEFT	
Stage	Z (m)	Momento (kN*m/m)	Taglio (kN/m)
3 - sisma	0	0	1.71
3 - sisma	-0.2	0.34	1.71
3 - sisma	-0.4	1.42	5.37
3 - sisma	-0.6	3.27	9.27
3 - sisma	-0.8	5.95	13.41
3 - sisma	-1	9.51	17.79
3 - sisma	-1.2	13.99	22.41
3 - sisma	-1.4	19.45	27.28
3 - sisma	-1.6	25.93	32.38
3 - sisma	-1.8	33.47	37.73
3 - sisma	-2	42.14	43.32
3 - sisma	-2.2	51.97	49.16
3 - sisma	-2.4	63.02	55.24
3 - sisma	-2.6	75.33	61.57
3 - sisma	-2.8	88.96	68.14
3 - sisma	-3	103.95	74.96
3 - sisma	-3.2	120.36	82.03
3 - sisma	-3.4	138.23	89.35
3 - sisma	-3.6	157.61	96.91
3 - sisma	-3.8	178.56	104.73
3 - sisma	-4	201.11	112.79
3 - sisma	-4.2	225.33	121.11
3 - sisma	-4.4	251.27	129.67
3 - sisma	-4.6	278.97	138.49
3 - sisma	-4.7	293.5	145.29

6.3.5. Tabella Grafici dei Risultati





6.4. Risultati SISMICA STR

6.4.1. Tabella Risultati Paratia SISMICA STR - Left Wall - Stage: 0 - Geostatica

Design Assumption: SISMICA STR Risultati Paratia		Muro: LEFT	
Stage	Z (m)	Momento (kN*m/m)	Taglio (kN/m)
0 - Geostatica	-4.7	0	0
0 - Geostatica	-4.9	0	0
0 - Geostatica	-5.1	0	0
0 - Geostatica	-5.3	0	0
0 - Geostatica	-5.5	0	0
0 - Geostatica	-5.7	0	0
0 - Geostatica	-5.9	0	0
0 - Geostatica	-6.1	0	0
0 - Geostatica	-6.3	0	0
0 - Geostatica	-6.5	0	0
0 - Geostatica	-6.7	0	0
0 - Geostatica	-6.9	0	0
0 - Geostatica	-7.1	0	0
0 - Geostatica	-7.3	0	0
0 - Geostatica	-7.5	0	0
0 - Geostatica	-7.7	0	0
0 - Geostatica	-7.9	0	0
0 - Geostatica	-8.1	0	0
0 - Geostatica	-8.3	0	0
0 - Geostatica	-8.5	0	0
0 - Geostatica	-8.7	0	0
0 - Geostatica	-8.9	0	0
0 - Geostatica	-9.1	0	0
0 - Geostatica	-9.3	0	0
0 - Geostatica	-9.5	0	0
0 - Geostatica	-9.7	0	0
0 - Geostatica	-9.9	0	0
0 - Geostatica	-10.1	0	0
0 - Geostatica	-10.3	0	0
0 - Geostatica	-10.5	0	0
0 - Geostatica	-10.7	0	0
0 - Geostatica	-10.9	0	0
0 - Geostatica	-11.1	0	0
0 - Geostatica	-11.3	0	0
0 - Geostatica	-11.5	0	0
0 - Geostatica	-11.7	0	0
0 - Geostatica	-11.9	0	0
0 - Geostatica	-12.1	0	0
0 - Geostatica	-12.3	0	0
0 - Geostatica	-12.5	0	0
0 - Geostatica	-12.7	0	0
0 - Geostatica	-12.9	0	0
0 - Geostatica	-13.1	0	0
0 - Geostatica	-13.3	0	0
0 - Geostatica	-13.5	0	0
0 - Geostatica	-13.7	0	0
0 - Geostatica	-13.9	0	0
0 - Geostatica	-14.1	0	0
0 - Geostatica	-14.3	0	0
0 - Geostatica	-14.5	0	0
0 - Geostatica	-14.7	0	0
0 - Geostatica	-14.9	0	0
0 - Geostatica	-15.1	0	0
0 - Geostatica	-15.3	0	0
0 - Geostatica	-15.5	0	0
0 - Geostatica	-15.7	0	0
0 - Geostatica	-15.9	0	0
0 - Geostatica	-16.1	0	0
0 - Geostatica	-16.3	0	0
0 - Geostatica	-16.5	0	0
0 - Geostatica	-16.7	0	0
0 - Geostatica	-16.9	0	0
0 - Geostatica	-17.1	0	0
0 - Geostatica	-17.3	0	0

Design Assumption: SISMICA STR Risultati Paratia		Muro: LEFT	
Stage	Z (m)	Momento (kN*m/m)	Taglio (kN/m)
0 - Geostatica	-17.5	0	0
0 - Geostatica	-17.7	0	0
0 - Geostatica	-17.9	0	0
0 - Geostatica	-18.1	0	0
0 - Geostatica	-18.2	0	0

Design Assumption: SISMICA STR Risultati Paratia		Muro: LEFT	
Stage	Z (m)	Momento (kN*m/m)	Taglio (kN/m)
0 - Geostatica	0	0	0
0 - Geostatica	-0.2	0	0
0 - Geostatica	-0.4	0	0
0 - Geostatica	-0.6	0	0
0 - Geostatica	-0.8	0	0
0 - Geostatica	-1	0	0
0 - Geostatica	-1.2	0	0
0 - Geostatica	-1.4	0	0
0 - Geostatica	-1.6	0	0
0 - Geostatica	-1.8	0	0
0 - Geostatica	-2	0	0
0 - Geostatica	-2.2	0	0
0 - Geostatica	-2.4	0	0
0 - Geostatica	-2.6	0	0
0 - Geostatica	-2.8	0	0
0 - Geostatica	-3	0	0
0 - Geostatica	-3.2	0	0
0 - Geostatica	-3.4	0	0
0 - Geostatica	-3.6	0	0
0 - Geostatica	-3.8	0	0
0 - Geostatica	-4	0	0
0 - Geostatica	-4.2	0	0
0 - Geostatica	-4.4	0	0
0 - Geostatica	-4.6	0	0
0 - Geostatica	-4.7	0	0

6.4.2. Tabella Risultati Paratia SISMICA STR - Left Wall - Stage: 1 - paratia

Design Assumption: SISMICA STR Risultati Paratia		Muro: LEFT	
Stage	Z (m)	Momento (kN*m/m)	Taglio (kN/m)
1 - paratia	-4.7	0	0
1 - paratia	-4.9	0	0
1 - paratia	-5.1	0	0
1 - paratia	-5.3	0	0
1 - paratia	-5.5	0	0
1 - paratia	-5.7	0	0
1 - paratia	-5.9	0	0
1 - paratia	-6.1	0	0
1 - paratia	-6.3	0	0
1 - paratia	-6.5	0	0
1 - paratia	-6.7	0	0
1 - paratia	-6.9	0	0
1 - paratia	-7.1	0	0
1 - paratia	-7.3	0	0
1 - paratia	-7.5	0	0
1 - paratia	-7.7	0	0
1 - paratia	-7.9	0	0
1 - paratia	-8.1	0	0
1 - paratia	-8.3	0	0
1 - paratia	-8.5	0	0
1 - paratia	-8.7	0	0
1 - paratia	-8.9	0	0
1 - paratia	-9.1	0	0
1 - paratia	-9.3	0	0
1 - paratia	-9.5	0	0
1 - paratia	-9.7	0	0
1 - paratia	-9.9	0	0
1 - paratia	-10.1	0	0
1 - paratia	-10.3	0	0
1 - paratia	-10.5	0	0
1 - paratia	-10.7	0	0
1 - paratia	-10.9	0	0
1 - paratia	-11.1	0	0
1 - paratia	-11.3	0	0
1 - paratia	-11.5	0	0
1 - paratia	-11.7	0	0
1 - paratia	-11.9	0	0
1 - paratia	-12.1	0	0
1 - paratia	-12.3	0	0
1 - paratia	-12.5	0	0
1 - paratia	-12.7	0	0
1 - paratia	-12.9	0	0
1 - paratia	-13.1	0	0
1 - paratia	-13.3	0	0
1 - paratia	-13.5	0	0
1 - paratia	-13.7	0	0
1 - paratia	-13.9	0	0
1 - paratia	-14.1	0	0
1 - paratia	-14.3	0	0
1 - paratia	-14.5	0	0
1 - paratia	-14.7	0	0
1 - paratia	-14.9	0	0
1 - paratia	-15.1	0	0
1 - paratia	-15.3	0	0
1 - paratia	-15.5	0	0
1 - paratia	-15.7	0	0
1 - paratia	-15.9	0	0
1 - paratia	-16.1	0	0
1 - paratia	-16.3	0	0
1 - paratia	-16.5	0	0
1 - paratia	-16.7	0	0
1 - paratia	-16.9	0	0
1 - paratia	-17.1	0	0
1 - paratia	-17.3	0	0
1 - paratia	-17.5	0	0
1 - paratia	-17.7	0	0
1 - paratia	-17.9	0	0

Design Assumption: SISMICA STR Risultati Paratia		Muro: LEFT	
Stage	Z (m)	Momento (kN*m/m)	Taglio (kN/m)
1 - paratia	-18.1	0	0
1 - paratia	-18.2	0	0

Design Assumption: SISMICA STR Risultati Paratia		Muro: LEFT	
Stage	Z (m)	Momento (kN*m/m)	Taglio (kN/m)
1 - paratia	0	0	0
1 - paratia	-0.2	0	0
1 - paratia	-0.4	0	0
1 - paratia	-0.6	0	0
1 - paratia	-0.8	0	0
1 - paratia	-1	0	0
1 - paratia	-1.2	0	0
1 - paratia	-1.4	0	0
1 - paratia	-1.6	0	0
1 - paratia	-1.8	0	0
1 - paratia	-2	0	0
1 - paratia	-2.2	0	0
1 - paratia	-2.4	0	0
1 - paratia	-2.6	0	0
1 - paratia	-2.8	0	0
1 - paratia	-3	0	0
1 - paratia	-3.2	0	0
1 - paratia	-3.4	0	0
1 - paratia	-3.6	0	0
1 - paratia	-3.8	0	0
1 - paratia	-4	0	0
1 - paratia	-4.2	0	0
1 - paratia	-4.4	0	0
1 - paratia	-4.6	0	0
1 - paratia	-4.7	0	0

6.4.3. Tabella Risultati Paratia SISMICA STR - Left Wall - Stage: 2 - esercizio

Design Assumption: SISMICA STR Risultati Paratia		Muro: LEFT	
Stage	Z (m)	Momento (kN*m/m)	Taglio (kN/m)
2 - esercizio	-4.7	229.73	121.87
2 - esercizio	-4.9	254.1	121.87
2 - esercizio	-5.1	280.22	130.61
2 - esercizio	-5.3	307.65	137.13
2 - esercizio	-5.5	335.93	141.43
2 - esercizio	-5.7	364.63	143.5
2 - esercizio	-5.9	393.31	143.36
2 - esercizio	-6.1	421.5	140.99
2 - esercizio	-6.3	448.78	136.39
2 - esercizio	-6.5	474.7	129.58
2 - esercizio	-6.7	498.8	120.54
2 - esercizio	-6.9	520.66	109.28
2 - esercizio	-7.1	540.14	97.39
2 - esercizio	-7.3	557.33	85.95
2 - esercizio	-7.5	572.31	74.94
2 - esercizio	-7.7	585.18	64.35
2 - esercizio	-7.9	596.02	54.18
2 - esercizio	-8.1	604.9	44.4
2 - esercizio	-8.3	611.91	35.03
2 - esercizio	-8.5	617.11	26.03
2 - esercizio	-8.7	620.59	17.41
2 - esercizio	-8.9	622.42	9.15
2 - esercizio	-9.1	622.67	1.25
2 - esercizio	-9.3	621.41	-6.31
2 - esercizio	-9.5	618.71	-13.51
2 - esercizio	-9.7	614.63	-20.4
2 - esercizio	-9.9	609.25	-26.88
2 - esercizio	-10.1	602.66	-32.98
2 - esercizio	-10.3	594.92	-38.68
2 - esercizio	-10.5	586.12	-44.01
2 - esercizio	-10.7	576.32	-48.98
2 - esercizio	-10.9	565.61	-53.58
2 - esercizio	-11.1	554.04	-57.83
2 - esercizio	-11.3	541.69	-61.74
2 - esercizio	-11.5	528.63	-65.32
2 - esercizio	-11.7	514.92	-68.56
2 - esercizio	-11.9	500.62	-71.48
2 - esercizio	-12.1	485.8	-74.09
2 - esercizio	-12.3	470.52	-76.39
2 - esercizio	-12.5	454.85	-78.38
2 - esercizio	-12.7	438.83	-80.09
2 - esercizio	-12.9	422.53	-81.49
2 - esercizio	-13.1	406.01	-82.62
2 - esercizio	-13.3	389.31	-83.47
2 - esercizio	-13.5	372.5	-84.04
2 - esercizio	-13.7	355.63	-84.36
2 - esercizio	-13.9	338.75	-84.42
2 - esercizio	-14.1	321.9	-84.23
2 - esercizio	-14.3	305.15	-83.78
2 - esercizio	-14.5	288.53	-83.09
2 - esercizio	-14.7	272.1	-82.16
2 - esercizio	-14.9	255.9	-80.99
2 - esercizio	-15.1	239.98	-79.58
2 - esercizio	-15.3	224.39	-77.94
2 - esercizio	-15.5	209.18	-76.07
2 - esercizio	-15.7	194.42	-73.78
2 - esercizio	-15.9	180.41	-70.05
2 - esercizio	-16.1	167.43	-64.89
2 - esercizio	-16.3	152.08	-76.73
2 - esercizio	-16.5	134.69	-86.97
2 - esercizio	-16.7	115.56	-95.62
2 - esercizio	-16.9	95.03	-102.68
2 - esercizio	-17.1	73.44	-107.93
2 - esercizio	-17.3	52.41	-105.18
2 - esercizio	-17.5	33.51	-94.47
2 - esercizio	-17.7	18.14	-76.86
2 - esercizio	-17.9	6.93	-56.07

Design Assumption: SISMICA STR Risultati Paratia		Muro: LEFT	
Stage	Z (m)	Momento (kN*m/m)	Taglio (kN/m)
2 - esercizio	-18.1	0.8	-30.62
2 - esercizio	-18.2	0	-8.04

Design Assumption: SISMICA STR Risultati Paratia		Muro: LEFT	
Stage	Z (m)	Momento (kN*m/m)	Taglio (kN/m)
2 - esercizio	0	0	1.34
2 - esercizio	-0.2	0.27	1.34
2 - esercizio	-0.4	1.11	4.21
2 - esercizio	-0.6	2.56	7.26
2 - esercizio	-0.8	4.66	10.5
2 - esercizio	-1	7.45	13.94
2 - esercizio	-1.2	10.96	17.56
2 - esercizio	-1.4	15.23	21.37
2 - esercizio	-1.6	20.31	25.36
2 - esercizio	-1.8	26.22	29.55
2 - esercizio	-2	33	33.93
2 - esercizio	-2.2	40.7	38.5
2 - esercizio	-2.4	49.36	43.26
2 - esercizio	-2.6	59	48.21
2 - esercizio	-2.8	69.67	53.35
2 - esercizio	-3	81.41	58.69
2 - esercizio	-3.2	94.25	64.22
2 - esercizio	-3.4	108.24	69.94
2 - esercizio	-3.6	123.41	75.85
2 - esercizio	-3.8	139.8	81.96
2 - esercizio	-4	157.45	88.26
2 - esercizio	-4.2	176.41	94.76
2 - esercizio	-4.4	196.69	101.45
2 - esercizio	-4.6	218.36	108.33
2 - esercizio	-4.7	229.73	113.64

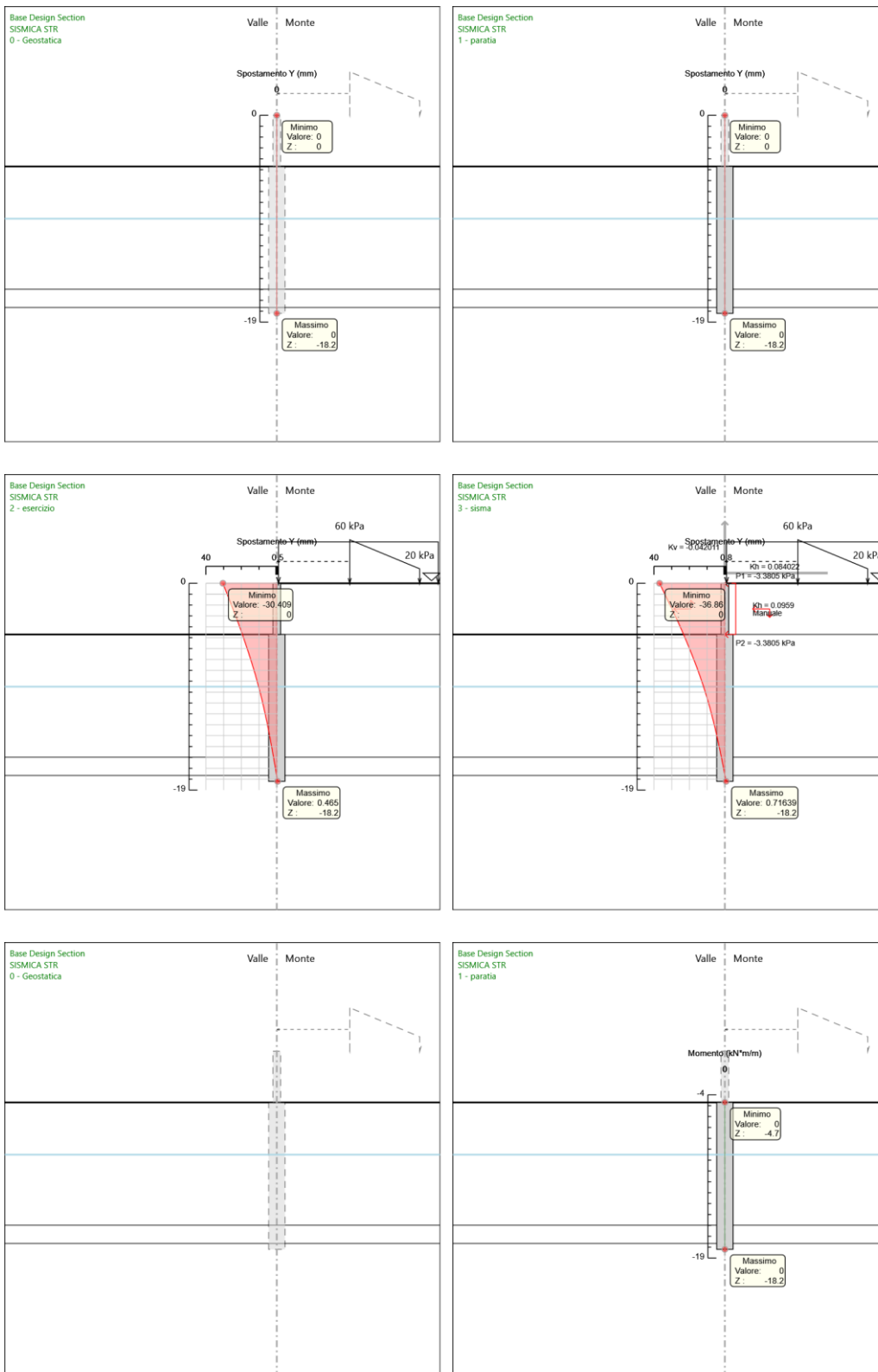
6.4.4. Tabella Risultati Paratia SISMICA STR - Left Wall - Stage: 3 - sisma

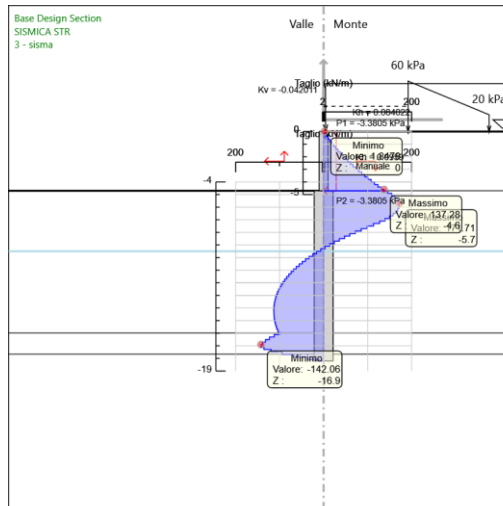
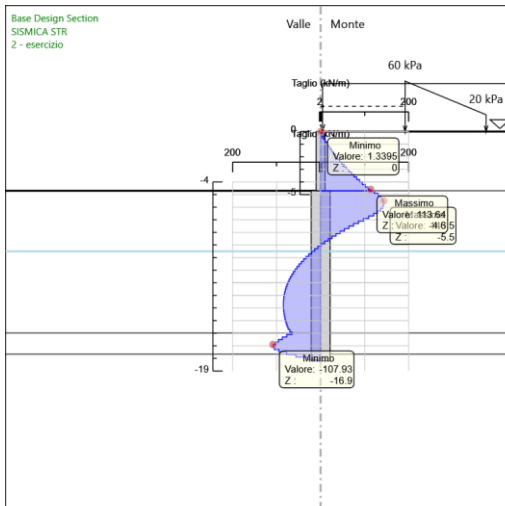
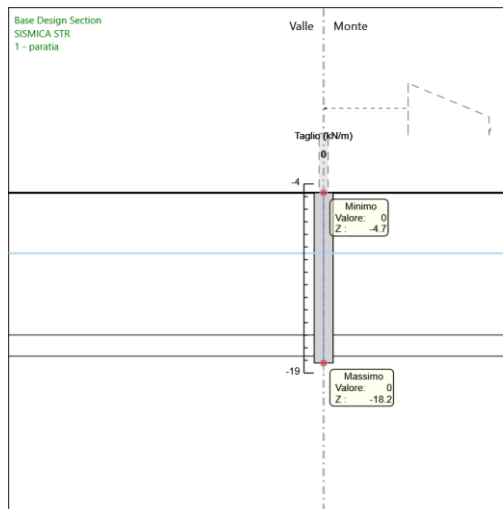
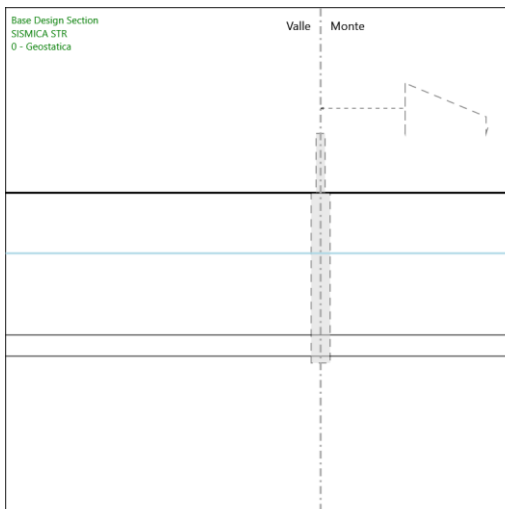
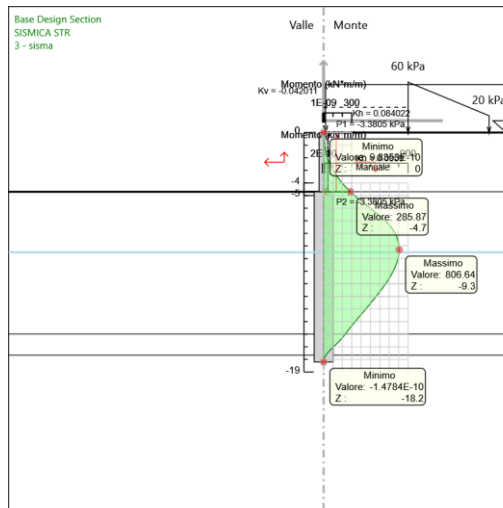
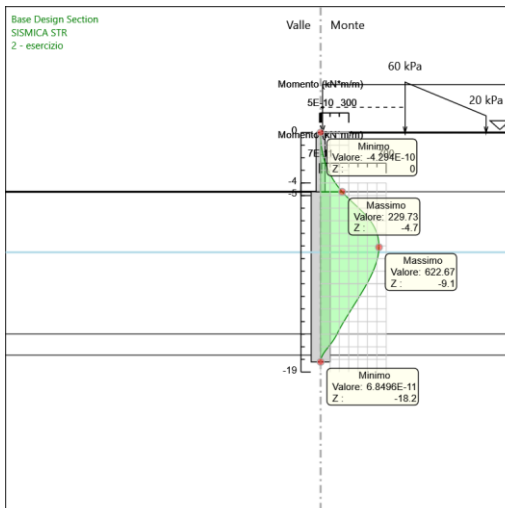
Design Assumption: SISMICA STR Risultati Paratia		Muro: LEFT	
Stage	Z (m)	Momento (kN*m/m)	Taglio (kN/m)
3 - sisma	-4.7	285.87	145.76
3 - sisma	-4.9	315.02	145.76
3 - sisma	-5.1	345.98	154.8
3 - sisma	-5.3	378.36	161.91
3 - sisma	-5.5	411.78	167.11
3 - sisma	-5.7	445.86	170.37
3 - sisma	-5.9	480.2	171.71
3 - sisma	-6.1	514.43	171.13
3 - sisma	-6.3	548.15	168.63
3 - sisma	-6.5	580.99	164.19
3 - sisma	-6.7	612.56	157.84
3 - sisma	-6.9	642.47	149.56
3 - sisma	-7.1	670.34	139.37
3 - sisma	-7.3	695.81	127.32
3 - sisma	-7.5	718.48	113.36
3 - sisma	-7.7	738.3	99.11
3 - sisma	-7.9	755.38	85.4
3 - sisma	-8.1	769.82	72.2
3 - sisma	-8.3	781.73	59.53
3 - sisma	-8.5	791.2	47.35
3 - sisma	-8.7	798.33	35.66
3 - sisma	-8.9	803.22	24.45
3 - sisma	-9.1	805.96	13.71
3 - sisma	-9.3	806.64	3.42
3 - sisma	-9.5	805.36	-6.41
3 - sisma	-9.7	802.2	-15.82
3 - sisma	-9.9	797.25	-24.72
3 - sisma	-10.1	790.63	-33.13
3 - sisma	-10.3	782.42	-41.05
3 - sisma	-10.5	772.71	-48.51
3 - sisma	-10.7	761.61	-55.5
3 - sisma	-10.9	749.2	-62.04
3 - sisma	-11.1	735.58	-68.14
3 - sisma	-11.3	720.81	-73.81
3 - sisma	-11.5	705	-79.06
3 - sisma	-11.7	688.22	-83.89
3 - sisma	-11.9	670.56	-88.33
3 - sisma	-12.1	652.09	-92.36
3 - sisma	-12.3	632.88	-96.02
3 - sisma	-12.5	613.02	-99.29
3 - sisma	-12.7	592.59	-102.2
3 - sisma	-12.9	571.64	-104.74
3 - sisma	-13.1	550.25	-106.93
3 - sisma	-13.3	528.5	-108.77
3 - sisma	-13.5	506.44	-110.28
3 - sisma	-13.7	484.15	-111.46
3 - sisma	-13.9	461.69	-112.32
3 - sisma	-14.1	439.11	-112.87
3 - sisma	-14.3	416.49	-113.1
3 - sisma	-14.5	393.89	-113.03
3 - sisma	-14.7	371.35	-112.67
3 - sisma	-14.9	348.95	-112
3 - sisma	-15.1	326.74	-111.05
3 - sisma	-15.3	304.78	-109.81
3 - sisma	-15.5	283.13	-108.28
3 - sisma	-15.7	261.83	-106.48
3 - sisma	-15.9	241.05	-103.88
3 - sisma	-16.1	221.13	-99.62
3 - sisma	-16.3	198.68	-112.25
3 - sisma	-16.5	174.08	-123.01
3 - sisma	-16.7	147.7	-131.91
3 - sisma	-16.9	119.94	-138.8
3 - sisma	-17.1	91.52	-142.06
3 - sisma	-17.3	64.42	-135.5
3 - sisma	-17.5	40.59	-119.18
3 - sisma	-17.7	21.76	-94.15
3 - sisma	-17.9	8.24	-67.6

Design Assumption: SISMICA STR Risultati Paratia		Muro: LEFT	
Stage	Z (m)	Momento (kN*m/m)	Taglio (kN/m)
3 - sisma	-18.1	0.95	-36.41
3 - sisma	-18.2	0	-9.54

Design Assumption: SISMICA STR Risultati Paratia		Muro: LEFT	
Stage	Z (m)	Momento (kN*m/m)	Taglio (kN/m)
3 - sisma	0	0	1.85
3 - sisma	-0.2	0.37	1.85
3 - sisma	-0.4	1.52	5.73
3 - sisma	-0.6	3.48	9.8
3 - sisma	-0.8	6.29	14.06
3 - sisma	-1	9.99	18.51
3 - sisma	-1.2	14.62	23.15
3 - sisma	-1.4	20.22	27.97
3 - sisma	-1.6	26.81	32.99
3 - sisma	-1.8	34.45	38.19
3 - sisma	-2	43.17	43.59
3 - sisma	-2.2	53.01	49.17
3 - sisma	-2.4	64	54.95
3 - sisma	-2.6	76.18	60.92
3 - sisma	-2.8	89.59	67.08
3 - sisma	-3	104.28	73.43
3 - sisma	-3.2	120.28	79.97
3 - sisma	-3.4	137.62	86.71
3 - sisma	-3.6	156.35	93.64
3 - sisma	-3.8	176.5	100.77
3 - sisma	-4	198.12	108.09
3 - sisma	-4.2	221.24	115.6
3 - sisma	-4.4	245.9	123.31
3 - sisma	-4.6	272.14	131.21
3 - sisma	-4.7	285.87	137.28

6.4.5. Tabella Grafici dei Risultati





6.5. Risultati SISMICA GEO

6.5.1. Tabella Risultati Paratia SISMICA GEO - Left Wall - Stage: 0 - Geostatica

Design Assumption: SISMICA GEO Risultati Paratia		Muro: LEFT	
Stage	Z (m)	Momento (kN*m/m)	Taglio (kN/m)
0 - Geostatica	-4.7	0	0
0 - Geostatica	-4.9	0	0
0 - Geostatica	-5.1	0	0
0 - Geostatica	-5.3	0	0
0 - Geostatica	-5.5	0	0
0 - Geostatica	-5.7	0	0
0 - Geostatica	-5.9	0	0
0 - Geostatica	-6.1	0	0
0 - Geostatica	-6.3	0	0
0 - Geostatica	-6.5	0	0
0 - Geostatica	-6.7	0	0
0 - Geostatica	-6.9	0	0
0 - Geostatica	-7.1	0	0
0 - Geostatica	-7.3	0	0
0 - Geostatica	-7.5	0	0
0 - Geostatica	-7.7	0	0
0 - Geostatica	-7.9	0	0
0 - Geostatica	-8.1	0	0
0 - Geostatica	-8.3	0	0
0 - Geostatica	-8.5	0	0
0 - Geostatica	-8.7	0	0
0 - Geostatica	-8.9	0	0
0 - Geostatica	-9.1	0	0
0 - Geostatica	-9.3	0	0
0 - Geostatica	-9.5	0	0
0 - Geostatica	-9.7	0	0
0 - Geostatica	-9.9	0	0
0 - Geostatica	-10.1	0	0
0 - Geostatica	-10.3	0	0
0 - Geostatica	-10.5	0	0
0 - Geostatica	-10.7	0	0
0 - Geostatica	-10.9	0	0
0 - Geostatica	-11.1	0	0
0 - Geostatica	-11.3	0	0
0 - Geostatica	-11.5	0	0
0 - Geostatica	-11.7	0	0
0 - Geostatica	-11.9	0	0
0 - Geostatica	-12.1	0	0
0 - Geostatica	-12.3	0	0
0 - Geostatica	-12.5	0	0
0 - Geostatica	-12.7	0	0
0 - Geostatica	-12.9	0	0
0 - Geostatica	-13.1	0	0
0 - Geostatica	-13.3	0	0
0 - Geostatica	-13.5	0	0
0 - Geostatica	-13.7	0	0
0 - Geostatica	-13.9	0	0
0 - Geostatica	-14.1	0	0
0 - Geostatica	-14.3	0	0
0 - Geostatica	-14.5	0	0
0 - Geostatica	-14.7	0	0
0 - Geostatica	-14.9	0	0
0 - Geostatica	-15.1	0	0
0 - Geostatica	-15.3	0	0
0 - Geostatica	-15.5	0	0
0 - Geostatica	-15.7	0	0
0 - Geostatica	-15.9	0	0
0 - Geostatica	-16.1	0	0
0 - Geostatica	-16.3	0	0
0 - Geostatica	-16.5	0	0
0 - Geostatica	-16.7	0	0
0 - Geostatica	-16.9	0	0
0 - Geostatica	-17.1	0	0
0 - Geostatica	-17.3	0	0

Design Assumption: SISMICA GEO Risultati Paratia		Muro: LEFT	
Stage	Z (m)	Momento (kN*m/m)	Taglio (kN/m)
0 - Geostatica	-17.5	0	0
0 - Geostatica	-17.7	0	0
0 - Geostatica	-17.9	0	0
0 - Geostatica	-18.1	0	0
0 - Geostatica	-18.2	0	0

Design Assumption: SISMICA GEO Risultati Paratia		Muro: LEFT	
Stage	Z (m)	Momento (kN*m/m)	Taglio (kN/m)
0 - Geostatica	0	0	0
0 - Geostatica	-0.2	0	0
0 - Geostatica	-0.4	0	0
0 - Geostatica	-0.6	0	0
0 - Geostatica	-0.8	0	0
0 - Geostatica	-1	0	0
0 - Geostatica	-1.2	0	0
0 - Geostatica	-1.4	0	0
0 - Geostatica	-1.6	0	0
0 - Geostatica	-1.8	0	0
0 - Geostatica	-2	0	0
0 - Geostatica	-2.2	0	0
0 - Geostatica	-2.4	0	0
0 - Geostatica	-2.6	0	0
0 - Geostatica	-2.8	0	0
0 - Geostatica	-3	0	0
0 - Geostatica	-3.2	0	0
0 - Geostatica	-3.4	0	0
0 - Geostatica	-3.6	0	0
0 - Geostatica	-3.8	0	0
0 - Geostatica	-4	0	0
0 - Geostatica	-4.2	0	0
0 - Geostatica	-4.4	0	0
0 - Geostatica	-4.6	0	0
0 - Geostatica	-4.7	0	0

6.5.2. Tabella Risultati Paratia SISMICA GEO - Left Wall - Stage: 1 - paratia

Design Assumption: SISMICA GEO Risultati Paratia		Muro: LEFT	
Stage	Z (m)	Momento (kN*m/m)	Taglio (kN/m)
1 - paratia	-4.7	0	0
1 - paratia	-4.9	0	0
1 - paratia	-5.1	0	0
1 - paratia	-5.3	0	0
1 - paratia	-5.5	0	0
1 - paratia	-5.7	0	0
1 - paratia	-5.9	0	0
1 - paratia	-6.1	0	0
1 - paratia	-6.3	0	0
1 - paratia	-6.5	0	0
1 - paratia	-6.7	0	0
1 - paratia	-6.9	0	0
1 - paratia	-7.1	0	0
1 - paratia	-7.3	0	0
1 - paratia	-7.5	0	0
1 - paratia	-7.7	0	0
1 - paratia	-7.9	0	0
1 - paratia	-8.1	0	0
1 - paratia	-8.3	0	0
1 - paratia	-8.5	0	0
1 - paratia	-8.7	0	0
1 - paratia	-8.9	0	0
1 - paratia	-9.1	0	0
1 - paratia	-9.3	0	0
1 - paratia	-9.5	0	0
1 - paratia	-9.7	0	0
1 - paratia	-9.9	0	0
1 - paratia	-10.1	0	0
1 - paratia	-10.3	0	0
1 - paratia	-10.5	0	0
1 - paratia	-10.7	0	0
1 - paratia	-10.9	0	0
1 - paratia	-11.1	0	0
1 - paratia	-11.3	0	0
1 - paratia	-11.5	0	0
1 - paratia	-11.7	0	0
1 - paratia	-11.9	0	0
1 - paratia	-12.1	0	0
1 - paratia	-12.3	0	0
1 - paratia	-12.5	0	0
1 - paratia	-12.7	0	0
1 - paratia	-12.9	0	0
1 - paratia	-13.1	0	0
1 - paratia	-13.3	0	0
1 - paratia	-13.5	0	0
1 - paratia	-13.7	0	0
1 - paratia	-13.9	0	0
1 - paratia	-14.1	0	0
1 - paratia	-14.3	0	0
1 - paratia	-14.5	0	0
1 - paratia	-14.7	0	0
1 - paratia	-14.9	0	0
1 - paratia	-15.1	0	0
1 - paratia	-15.3	0	0
1 - paratia	-15.5	0	0
1 - paratia	-15.7	0	0
1 - paratia	-15.9	0	0
1 - paratia	-16.1	0	0
1 - paratia	-16.3	0	0
1 - paratia	-16.5	0	0
1 - paratia	-16.7	0	0
1 - paratia	-16.9	0	0
1 - paratia	-17.1	0	0
1 - paratia	-17.3	0	0
1 - paratia	-17.5	0	0
1 - paratia	-17.7	0	0
1 - paratia	-17.9	0	0

Design Assumption: SISMICA GEO Risultati Paratia		Muro: LEFT	
Stage	Z (m)	Momento (kN*m/m)	Taglio (kN/m)
1 - paratia	-18.1	0	0
1 - paratia	-18.2	0	0

Design Assumption: SISMICA GEO Risultati Paratia		Muro: LEFT	
Stage	Z (m)	Momento (kN*m/m)	Taglio (kN/m)
1 - paratia	0	0	0
1 - paratia	-0.2	0	0
1 - paratia	-0.4	0	0
1 - paratia	-0.6	0	0
1 - paratia	-0.8	0	0
1 - paratia	-1	0	0
1 - paratia	-1.2	0	0
1 - paratia	-1.4	0	0
1 - paratia	-1.6	0	0
1 - paratia	-1.8	0	0
1 - paratia	-2	0	0
1 - paratia	-2.2	0	0
1 - paratia	-2.4	0	0
1 - paratia	-2.6	0	0
1 - paratia	-2.8	0	0
1 - paratia	-3	0	0
1 - paratia	-3.2	0	0
1 - paratia	-3.4	0	0
1 - paratia	-3.6	0	0
1 - paratia	-3.8	0	0
1 - paratia	-4	0	0
1 - paratia	-4.2	0	0
1 - paratia	-4.4	0	0
1 - paratia	-4.6	0	0
1 - paratia	-4.7	0	0

6.5.3. Tabella Risultati Paratia SISMICA GEO - Left Wall - Stage: 2 - esercizio

Design Assumption: SISMICA GEO Risultati Paratia		Muro: LEFT	
Stage	Z (m)	Momento (kN*m/m)	Taglio (kN/m)
2 - esercizio	-4.7	293.27	154.97
2 - esercizio	-4.9	324.26	154.97
2 - esercizio	-5.1	357.57	166.54
2 - esercizio	-5.3	392.87	176.48
2 - esercizio	-5.5	429.82	184.79
2 - esercizio	-5.7	468.12	191.48
2 - esercizio	-5.9	507.43	196.53
2 - esercizio	-6.1	547.42	199.96
2 - esercizio	-6.3	587.77	201.76
2 - esercizio	-6.5	628.16	201.94
2 - esercizio	-6.7	668.26	200.48
2 - esercizio	-6.9	707.74	197.4
2 - esercizio	-7.1	746.28	192.72
2 - esercizio	-7.3	783.58	186.47
2 - esercizio	-7.5	819.3	178.63
2 - esercizio	-7.7	853.14	169.2
2 - esercizio	-7.9	884.77	158.17
2 - esercizio	-8.1	913.88	145.54
2 - esercizio	-8.3	940.15	131.32
2 - esercizio	-8.5	963.24	115.49
2 - esercizio	-8.7	982.85	98.06
2 - esercizio	-8.9	998.66	79.01
2 - esercizio	-9.1	1010.71	60.27
2 - esercizio	-9.3	1019.18	42.37
2 - esercizio	-9.5	1024.25	25.32
2 - esercizio	-9.7	1026.06	9.09
2 - esercizio	-9.9	1024.81	-6.27
2 - esercizio	-10.1	1020.65	-20.8
2 - esercizio	-10.3	1013.76	-34.48
2 - esercizio	-10.5	1004.28	-47.36
2 - esercizio	-10.7	992.4	-59.43
2 - esercizio	-10.9	978.26	-70.71
2 - esercizio	-11.1	962.01	-81.22
2 - esercizio	-11.3	943.82	-90.98
2 - esercizio	-11.5	923.82	-99.98
2 - esercizio	-11.7	902.17	-108.25
2 - esercizio	-11.9	879.01	-115.8
2 - esercizio	-12.1	854.48	-122.65
2 - esercizio	-12.3	828.72	-128.8
2 - esercizio	-12.5	801.87	-134.26
2 - esercizio	-12.7	774.06	-139.05
2 - esercizio	-12.9	745.42	-143.18
2 - esercizio	-13.1	716.09	-146.65
2 - esercizio	-13.3	686.2	-149.49
2 - esercizio	-13.5	655.86	-151.7
2 - esercizio	-13.7	625.2	-153.29
2 - esercizio	-13.9	594.34	-154.29
2 - esercizio	-14.1	563.4	-154.69
2 - esercizio	-14.3	532.5	-154.49
2 - esercizio	-14.5	501.76	-153.71
2 - esercizio	-14.7	471.29	-152.36
2 - esercizio	-14.9	441.2	-150.43
2 - esercizio	-15.1	411.62	-147.94
2 - esercizio	-15.3	382.64	-144.89
2 - esercizio	-15.5	354.38	-141.28
2 - esercizio	-15.7	326.96	-137.12
2 - esercizio	-15.9	300.47	-132.42
2 - esercizio	-16.1	275.04	-127.17
2 - esercizio	-16.3	246.39	-143.26
2 - esercizio	-16.5	215.17	-156.09
2 - esercizio	-16.7	182.04	-165.67
2 - esercizio	-16.9	147.72	-171.56
2 - esercizio	-17.1	113.16	-172.84
2 - esercizio	-17.3	79.62	-167.68
2 - esercizio	-17.5	50.46	-145.78
2 - esercizio	-17.7	26.83	-118.16
2 - esercizio	-17.9	9.89	-84.69

Design Assumption: SISMICA GEO Risultati Paratia		Muro: LEFT	
Stage	Z (m)	Momento (kN*m/m)	Taglio (kN/m)
2 - esercizio	-18.1	1.12	-43.85
2 - esercizio	-18.2	0	-11.21

Design Assumption: SISMICA GEO Risultati Paratia		Muro: LEFT	
Stage	Z (m)	Momento (kN*m/m)	Taglio (kN/m)
2 - esercizio	0	0	1.71
2 - esercizio	-0.2	0.34	1.71
2 - esercizio	-0.4	1.42	5.37
2 - esercizio	-0.6	3.27	9.27
2 - esercizio	-0.8	5.95	13.41
2 - esercizio	-1	9.51	17.79
2 - esercizio	-1.2	13.99	22.41
2 - esercizio	-1.4	19.45	27.28
2 - esercizio	-1.6	25.92	32.38
2 - esercizio	-1.8	33.47	37.73
2 - esercizio	-2	42.13	43.32
2 - esercizio	-2.2	51.96	49.15
2 - esercizio	-2.4	63.01	55.23
2 - esercizio	-2.6	75.32	61.55
2 - esercizio	-2.8	88.94	68.11
2 - esercizio	-3	103.92	74.92
2 - esercizio	-3.2	120.32	81.98
2 - esercizio	-3.4	138.18	89.28
2 - esercizio	-3.6	157.54	96.83
2 - esercizio	-3.8	178.47	104.63
2 - esercizio	-4	201	112.68
2 - esercizio	-4.2	225.2	120.97
2 - esercizio	-4.4	251.1	129.51
2 - esercizio	-4.6	278.76	138.3
2 - esercizio	-4.7	293.27	145.08

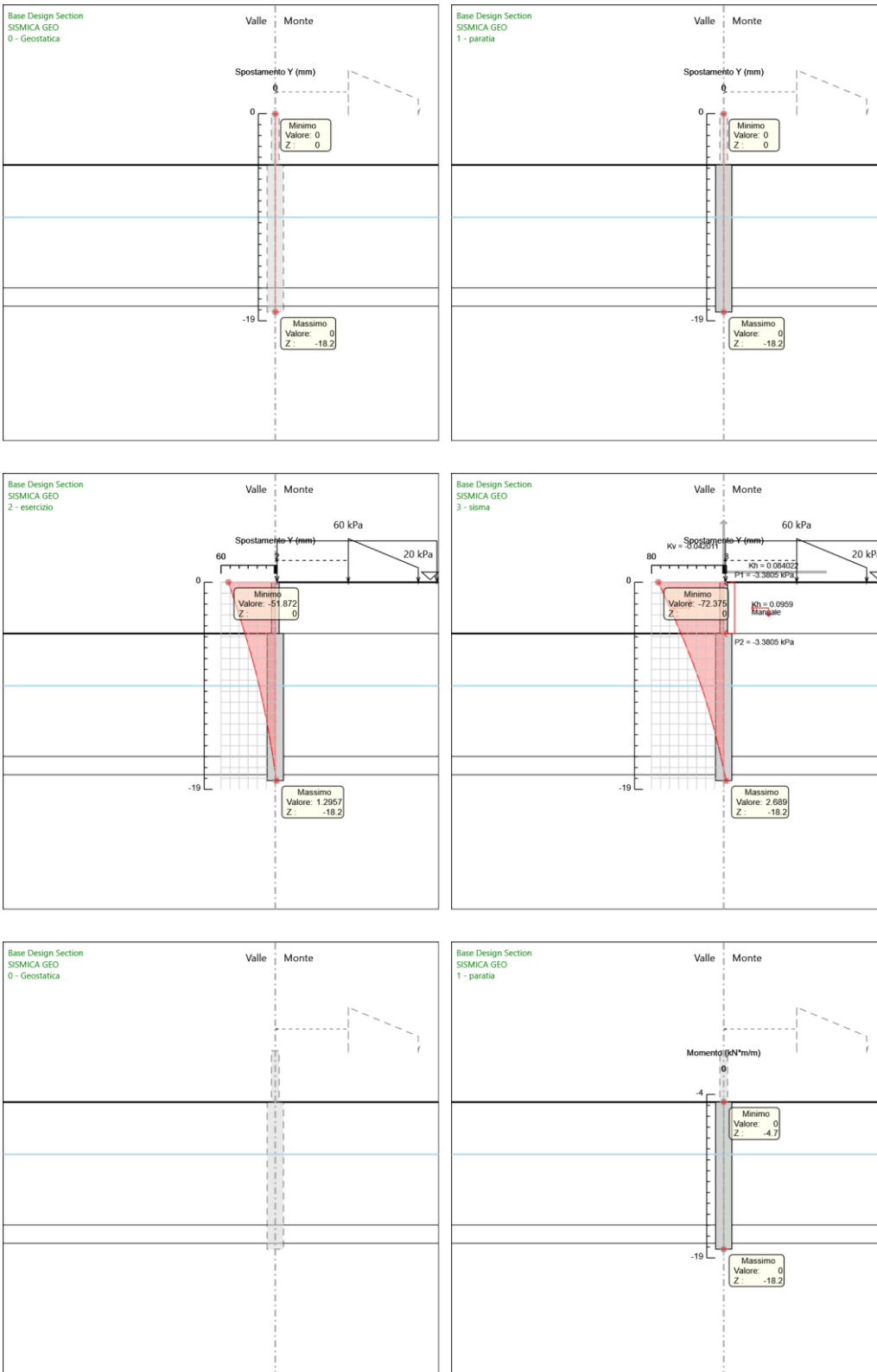
6.5.4. Tabella Risultati Paratia SISMICA GEO - Left Wall - Stage: 3 - sisma

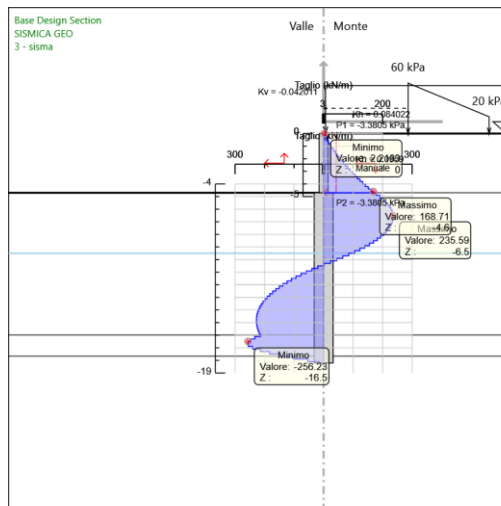
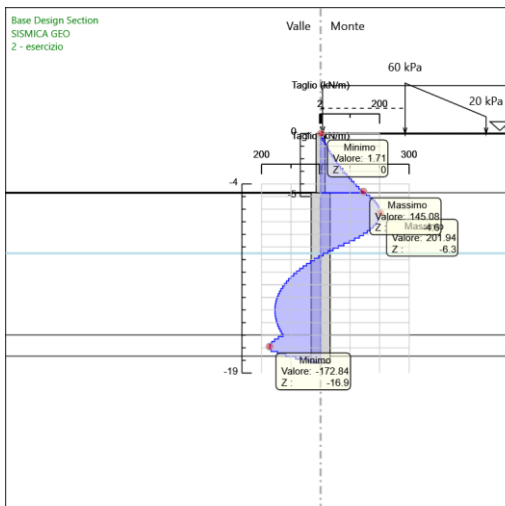
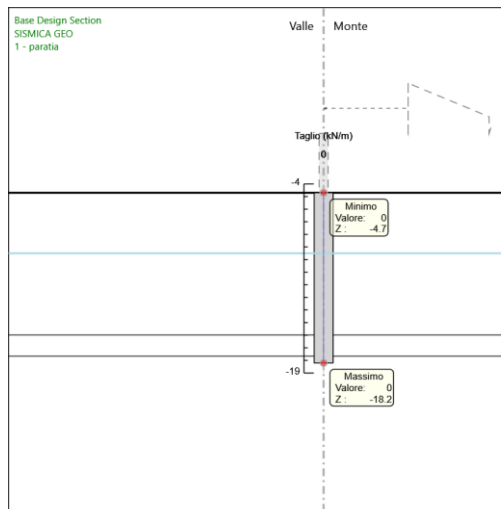
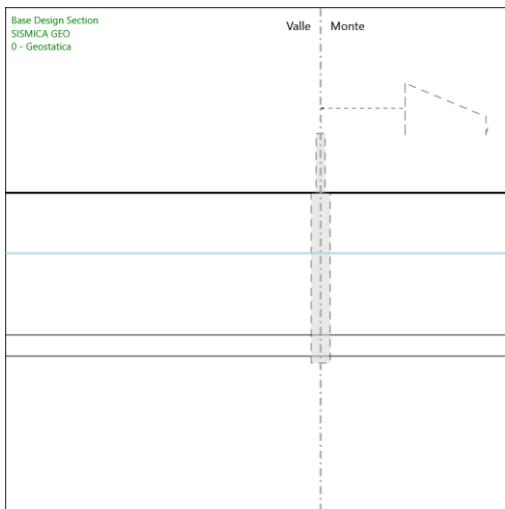
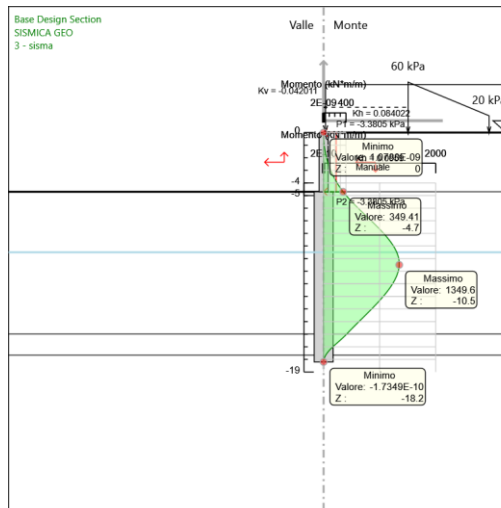
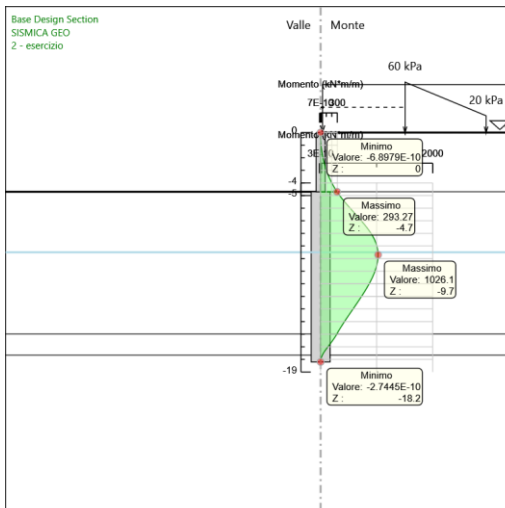
Design Assumption: SISMICA GEO Risultati Paratia		Muro: LEFT	
Stage	Z (m)	Momento (kN*m/m)	Taglio (kN/m)
3 - sisma	-4.7	349.41	178.86
3 - sisma	-4.9	385.18	178.86
3 - sisma	-5.1	423.32	190.68
3 - sisma	-5.3	463.54	201.12
3 - sisma	-5.5	505.58	210.18
3 - sisma	-5.7	549.15	217.86
3 - sisma	-5.9	593.98	224.16
3 - sisma	-6.1	639.8	229.09
3 - sisma	-6.3	686.33	232.64
3 - sisma	-6.5	733.29	234.8
3 - sisma	-6.7	780.41	235.59
3 - sisma	-6.9	827.41	235
3 - sisma	-7.1	874.02	233.06
3 - sisma	-7.3	919.98	229.81
3 - sisma	-7.5	965.02	225.2
3 - sisma	-7.7	1008.87	219.26
3 - sisma	-7.9	1051.27	211.97
3 - sisma	-8.1	1091.93	203.34
3 - sisma	-8.3	1130.6	193.35
3 - sisma	-8.5	1167.01	182.01
3 - sisma	-8.7	1200.87	169.31
3 - sisma	-8.9	1231.92	155.25
3 - sisma	-9.1	1259.88	139.83
3 - sisma	-9.3	1284.49	123.04
3 - sisma	-9.5	1305.47	104.9
3 - sisma	-9.7	1322.55	85.38
3 - sisma	-9.9	1335.61	65.32
3 - sisma	-10.1	1344.55	44.69
3 - sisma	-10.3	1349.25	23.52
3 - sisma	-10.5	1349.61	1.79
3 - sisma	-10.7	1345.69	-19.58
3 - sisma	-10.9	1337.74	-39.79
3 - sisma	-11.1	1325.96	-58.86
3 - sisma	-11.3	1310.6	-76.82
3 - sisma	-11.5	1291.86	-93.68
3 - sisma	-11.7	1269.97	-109.45
3 - sisma	-11.9	1245.14	-124.16
3 - sisma	-12.1	1217.58	-137.82
3 - sisma	-12.3	1187.49	-150.45
3 - sisma	-12.5	1155.07	-162.07
3 - sisma	-12.7	1120.54	-172.69
3 - sisma	-12.9	1084.07	-182.32
3 - sisma	-13.1	1045.87	-190.99
3 - sisma	-13.3	1006.14	-198.69
3 - sisma	-13.5	965.04	-205.47
3 - sisma	-13.7	922.78	-211.33
3 - sisma	-13.9	879.52	-216.28
3 - sisma	-14.1	835.45	-220.34
3 - sisma	-14.3	790.75	-223.51
3 - sisma	-14.5	745.59	-225.81
3 - sisma	-14.7	700.14	-227.25
3 - sisma	-14.9	654.57	-227.84
3 - sisma	-15.1	609.05	-227.58
3 - sisma	-15.3	563.76	-226.48
3 - sisma	-15.5	518.85	-224.56
3 - sisma	-15.7	474.48	-221.81
3 - sisma	-15.9	430.84	-218.24
3 - sisma	-16.1	388.06	-213.87
3 - sisma	-16.3	341.39	-233.36
3 - sisma	-16.5	291.77	-248.11
3 - sisma	-16.7	240.52	-256.23
3 - sisma	-16.9	189.47	-255.25
3 - sisma	-17.1	141.37	-240.49
3 - sisma	-17.3	98.59	-213.92
3 - sisma	-17.5	62	-182.93
3 - sisma	-17.7	32.49	-147.54
3 - sisma	-17.9	12.03	-102.32

Design Assumption: SISMICA GEO Risultati Paratia		Muro: LEFT	
Stage	Z (m)	Momento (kN*m/m)	Taglio (kN/m)
3 - sisma	-18.1	1.37	-53.3
3 - sisma	-18.2	0	-13.68

Design Assumption: SISMICA GEO Risultati Paratia		Muro: LEFT	
Stage	Z (m)	Momento (kN*m/m)	Taglio (kN/m)
3 - sisma	0	0	2.22
3 - sisma	-0.2	0.44	2.22
3 - sisma	-0.4	1.82	6.89
3 - sisma	-0.6	4.18	11.81
3 - sisma	-0.8	7.58	16.97
3 - sisma	-1	12.05	22.37
3 - sisma	-1.2	17.65	28
3 - sisma	-1.4	24.43	33.88
3 - sisma	-1.6	32.43	40.01
3 - sisma	-1.8	41.7	46.37
3 - sisma	-2	52.3	52.97
3 - sisma	-2.2	64.26	59.82
3 - sisma	-2.4	77.65	66.92
3 - sisma	-2.6	92.5	74.25
3 - sisma	-2.8	108.87	81.84
3 - sisma	-3	126.8	89.66
3 - sisma	-3.2	146.35	97.74
3 - sisma	-3.4	167.56	106.06
3 - sisma	-3.6	190.48	114.62
3 - sisma	-3.8	215.17	123.44
3 - sisma	-4	241.67	132.5
3 - sisma	-4.2	270.03	141.81
3 - sisma	-4.4	300.3	151.37
3 - sisma	-4.6	332.54	161.17
3 - sisma	-4.7	349.41	168.71

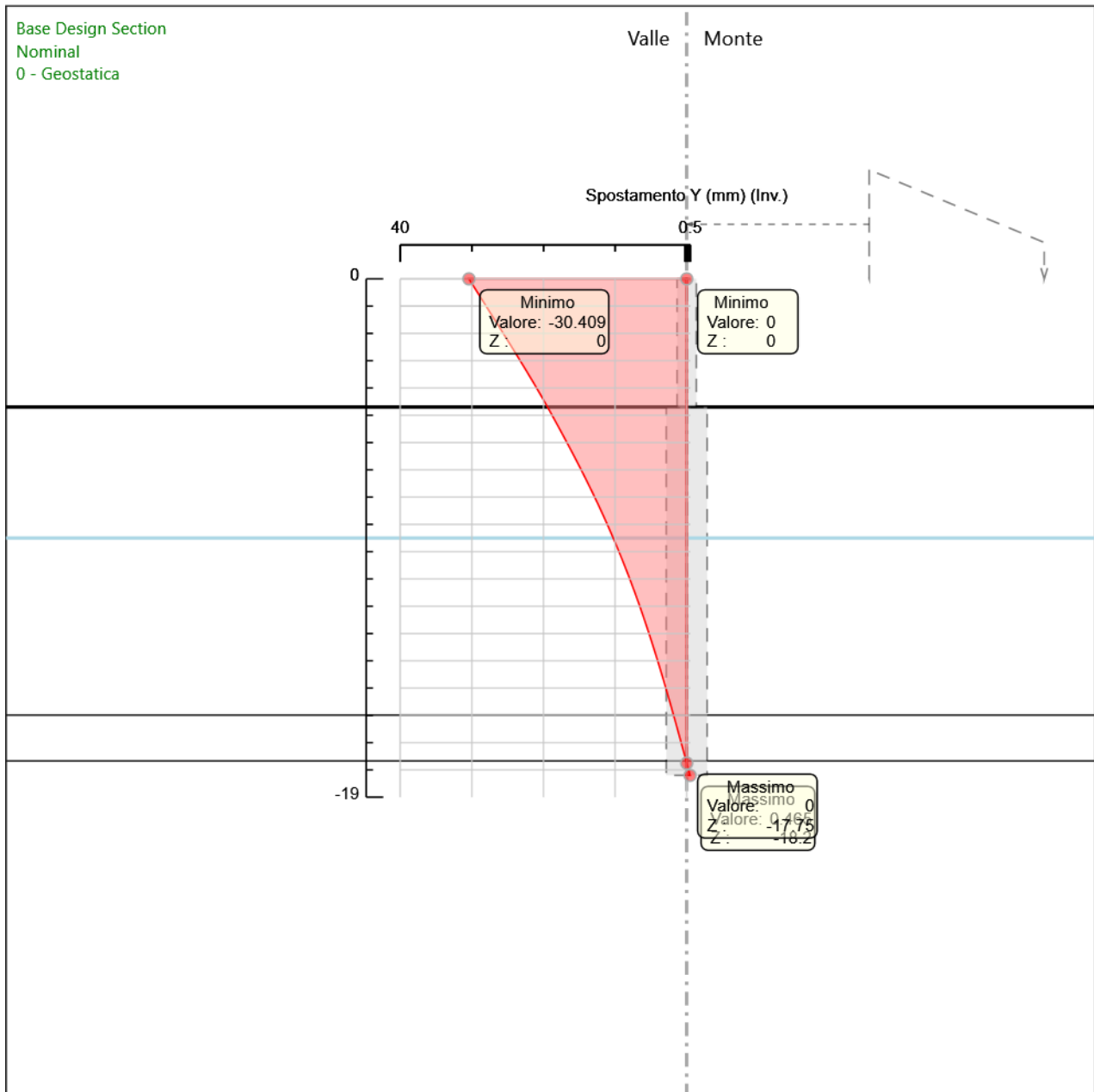
6.5.5. Tabella Grafici dei Risultati





7. Descrizione sintetica dei risultati delle Design Assumption (Inviluppi)

7.1. Grafico Inviluppi Spostamento



Spostamento

7.2. Tabella Involuppi Momento pali 1500/1.7

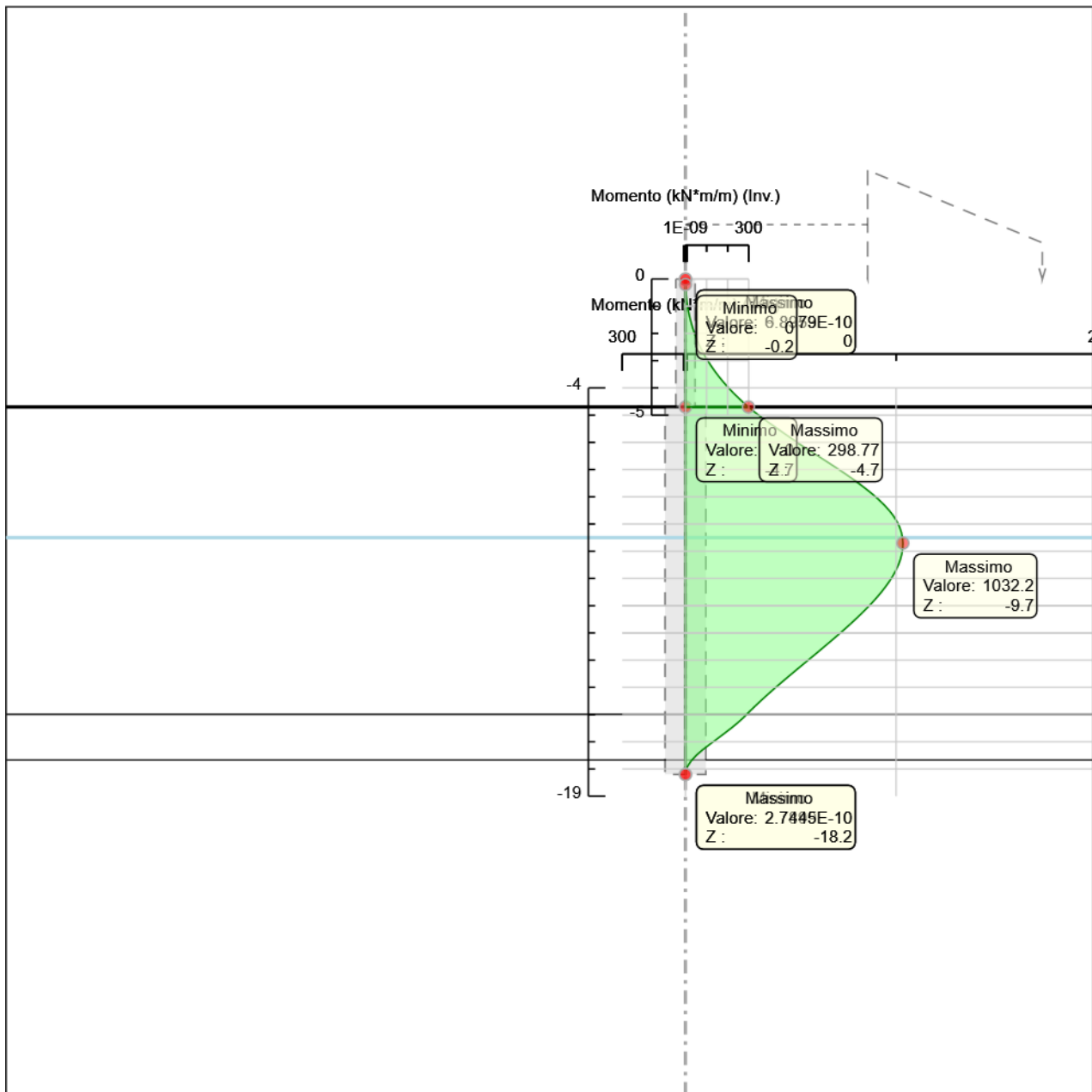
Selected Design Assumptions		
Z (m)	Involuppi: Momento	Muro: pali 1500/1.7
	Lato sinistro (kN*m/m)	Lato destro (kN*m/m)
-4.7	0	298.765
-4.9	0	330.477
-5.1	0	364.466
-5.3	0	400.157
-5.5	0	436.971
-5.7	0	474.332
-5.9	0	511.661
-6.1	0	548.381
-6.3	0	588.705
-6.5	0	629.24
-6.7	0	669.5
-6.9	0	709.16
-7.1	0	747.903
-7.3	0	785.42
-7.5	0	821.393
-7.7	0	855.509
-7.9	0	887.452
-8.1	0	916.904
-8.3	0	943.548
-8.5	0	967.065
-8.7	0	987.137
-8.9	0	1003.441
-9.1	0	1015.925
-9.3	0	1024.759
-9.5	0	1030.119
-9.7	0	1032.172
-9.9	0	1031.097
-10.1	0	1027.065
-10.3	0	1020.247
-10.5	0	1010.809
-10.7	0	998.917
-10.9	0	984.73
-11.1	0	968.408
-11.3	0	950.104
-11.5	0	929.973
-11.7	0	908.164
-11.9	0	884.823
-12.1	0	860.096
-12.3	0	834.124
-12.5	0	807.048
-12.7	0	779.005
-12.9	0	750.131
-13.1	0	720.557
-13.3	0	690.415
-13.5	0	659.834
-13.7	0	628.936
-13.9	0	597.846
-14.1	0	566.685
-14.3	0	535.573
-14.5	0	504.629
-14.7	0	473.97
-14.9	0	443.712
-15.1	0	413.971
-15.3	0	384.861
-15.5	0	356.494
-15.7	0	328.983
-15.9	0	302.439
-16.1	0	276.971
-16.3	0	248.212
-16.5	0	216.826
-16.7	0	183.475
-16.9	0	148.952
-17.1	0	114.221
-17.3	0	80.409
-17.5	0	50.958
-17.7	0	27.093
-17.9	0	9.991

Selected Design Assumptions	Inviluppi: Momento	Muro: pali 1500/1.7
Z (m)	Lato sinistro (kN*m/m)	Lato destro (kN*m/m)
-18.1	0	1.133
-18.2	0	0

7.3. Tabella Involuppi Momento muro71cm

Selected Design Assumptions Z (m)	Involuppi: Momento Muro: muro71cm	
	Lato sinistro (kN*m/m)	Lato destro (kN*m/m)
0	0	0
-0.2	0	0.37
-0.4	0	1.516
-0.6	0	3.476
-0.8	0	6.289
-1	0	9.991
-1.2	0	14.621
-1.4	0	20.216
-1.6	0	26.814
-1.8	0	34.452
-2	0	43.17
-2.2	0	53.005
-2.4	0	64.17
-2.6	0	76.707
-2.8	0	90.582
-3	0	105.846
-3.2	0	122.548
-3.4	0	140.738
-3.6	0	160.468
-3.8	0	181.788
-4	0	204.748
-4.2	0	229.4
-4.4	0	255.794
-4.6	0	283.98
-4.7	0	298.765

7.4. Grafico Involuppi Momento



Momento

7.5. Tabella Involuppi Taglio pali 1500/1.7

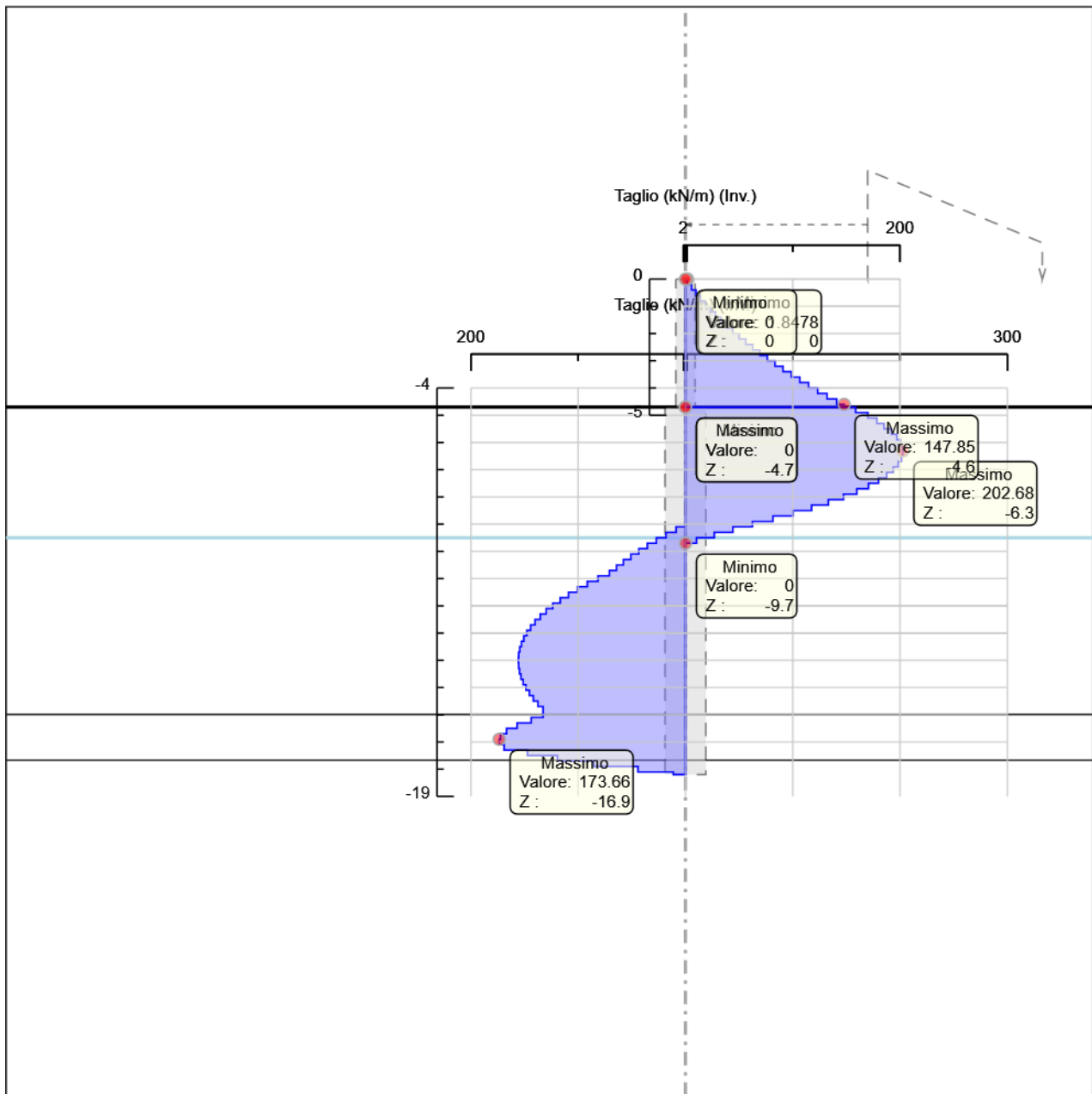
Selected Design Assumptions	Involuppi: Taglio Muro: pali 1500/1.7	
Z (m)	Lato sinistro (kN/m)	Lato destro (kN/m)
-4.7	0	158.557
-4.9	0	169.949
-5.1	0	178.454
-5.3	0	185.193
-5.5	0	191.937
-5.7	0	197.058
-5.9	0	200.555
-6.1	0	202.428
-6.3	0	202.677
-6.5	0	202.677
-6.7	0	201.301
-6.9	0	198.301
-7.1	0	193.714
-7.3	0	187.582
-7.5	0	179.866
-7.7	0	170.582
-7.9	0	159.714
-8.1	0	147.26
-8.3	0	133.223
-8.5	0	117.584
-8.7	0	100.36
-8.9	0	81.522
-9.1	8.74	62.416
-9.3	18.139	44.171
-9.5	27.118	26.803
-9.7	35.553	10.265
-9.9	43.485	0
-10.1	50.898	0
-10.3	57.829	0
-10.5	64.268	0
-10.7	70.935	0
-10.9	81.613	0
-11.1	91.518	0
-11.3	100.658	0
-11.5	109.048	0
-11.7	116.705	0
-11.9	123.635	0
-12.1	129.86	0
-12.3	135.379	0
-12.5	140.218	0
-12.7	144.374	0
-12.9	147.871	0
-13.1	150.708	0
-13.3	152.91	0
-13.5	154.488	0
-13.7	155.451	0
-13.9	155.806	0
-14.1	155.806	0
-14.3	155.561	0
-14.5	154.722	0
-14.7	153.295	0
-14.9	151.288	0
-15.1	148.705	0
-15.3	145.552	0
-15.5	141.834	0
-15.7	137.556	0
-15.9	132.722	0
-16.1	143.795	0
-16.3	156.93	0
-16.5	166.757	0
-16.7	172.613	0
-16.9	173.656	0
-17.1	173.656	0
-17.3	169.06	0
-17.5	147.255	0
-17.7	119.322	0
-17.9	85.506	0

Selected Design Assumptions	Inviluppi: Taglio	Muro: pali 1500/1.7
Z (m)	Lato sinistro (kN/m)	Lato destro (kN/m)
-18.1	44.292	0
-18.2	11.329	0

7.6. Tabella Involuppi Taglio muro71cm

Selected Design Assumptions	Involuppi: Taglio	Muro: muro71cm
Z (m)	Lato sinistro (kN/m)	Lato destro (kN/m)
0	0	1.848
-0.2	0	5.731
-0.4	0	9.803
-0.6	0	14.063
-0.8	0	18.511
-1	0	23.148
-1.2	0	27.974
-1.4	0	32.989
-1.6	0	38.423
-1.8	0	44.116
-2	0	50.057
-2.2	0	56.247
-2.4	0	62.687
-2.6	0	69.377
-2.8	0	76.317
-3	0	83.509
-3.2	0	90.953
-3.4	0	98.649
-3.6	0	106.599
-3.8	0	114.801
-4	0	123.258
-4.2	0	131.969
-4.4	0	140.934
-4.6	0	147.848
-4.7	0	147.848

7.7. Grafico Involuppi Taglio



Taglio

7.8. Involuppo Spinta Reale Efficace / Spinta Passiva

Design Assumption	Stage	Muro	Lato	Involuppo Spinta Reale Efficace / Spinta Passiva %
A2+M2+R1	2 - esercizio	Left Wall	LEFT	45.95
A2+M2+R1	0 - Geostatica	Left Wall	RIGHT	20.69

7.9. Involuppo Spinta Reale Efficace / Spinta Attiva

Design Assumption	Stage	Muro	Lato	Involuppo Spinta Reale Efficace / Spinta Attiva %
A2+M2+R1	0 - Geostatica	Left Wall	LEFT	144.52
A2+M2+R1	2 - esercizio	Left Wall	RIGHT	107.41

8. Allegati

8.1. Design Assumption : Nominal - File di Paratie - File di input (.d)

```
* PARATIE ANALYSIS FOR DESIGN SECTION:Base Design Section USING ASSUMPTION: Nominal
* Time:venerdì 28 gennaio 2022 11:11:15
* 1: Defining general settings
UNIT m kN
TITLE New Project
DELTA 0.2
option param itemax 40
option control contact lagrange

option control hinges 0 0.0001 0.001

* 2: Defining wall(s)
WALL LeftWall_32 0 -18.2 0 -1

* 3: Defining surfaces for wall(s)
SOIL 0_L LeftWall_32 -18.2 0 2 0
SOIL 0_R LeftWall_32 -18.2 0 1 180

* 4: Defining soil layers
*
* Soil Profile (rilevato_6589_8_L_0)
*
LDATA rilevato_6589_8_L_0 0 LeftWall_32
ATREST 0.426 0.5 1
WEIGHT 20 10 10
PERMEABILITY 1E-05
RESISTANCE 0 35 0 0 0
TZDATA LINEAR 0 0 0 0.5 0
KSCALE 0 0
YOUNG 50000 1.5E+05
ENDL
*
* Soil Profile (Ala_161_6590_L_0)
*
LDATA Ala_161_6590_L_0 -4.7 LeftWall_32
ATREST 0.562 0.5 1
WEIGHT 19.5 9.5 10
PERMEABILITY 1E-05
RESISTANCE 0 25 0 0 0
TZDATA LINEAR 0 0 0 0.5 0
KSCALE 0 0
YOUNG 35000 1.05E+05
ENDL
*
* Soil Profile (Salt_21271_21259_L_0)
*
LDATA Salt_21271_21259_L_0 -15.99 LeftWall_32
ATREST 0.562 0.5 1
WEIGHT 20 10 10
PERMEABILITY 1E-05
RESISTANCE 10 26 0 0 0
TZDATA LINEAR 0 0 0 0.5 0
KSCALE 0 0
YOUNG 2E+05 6E+05
ENDL
*
* Soil Profile (Sch_21272_21260_L_0)
*
LDATA Sch_21272_21260_L_0 -17.67 LeftWall_32
ATREST 0.562 0.5 1
WEIGHT 23 13 10
PERMEABILITY 1E-05
RESISTANCE 55 31 0 0 0
TZDATA LINEAR 0 0 0 0.5 0
KSCALE 0 0
YOUNG 1.35E+05 4.05E+05
ENDL

* 5: Defining structural materials
* Steel material: 110 Name=Fe360 E=206000200 kPa
MATERIAL Fe360_110 2.06E+08
* Concrete material: 108 Name=C32/40 E=33345800 kPa
MATERIAL C3240_108 3.3346E+07

* 6: Defining structural elements
* 6.1: Beams and combined Wall Elements
** rev 2021 and later
BEAM pali15001.7_33 LeftWall_32 -18.2 -4.7 C3240_108 1.206 1.0395 0.14618 25.987 00 00 0
** rev 2021 and later
BEAM muro71cm_4658 LeftWall_32 -4.7 0 C3240_108 0.74889 0.71 0.035 17.75 00 00 0
```

* 6.2: Supports

* 6.3: Strips

```
STRIP LeftWall_32 3 4 6.7 0.37824 0 58.824 45
STRIP LeftWall_32 3 4 7.0782 0.37824 0 56.471 45
STRIP LeftWall_32 3 4 7.4565 0.37824 0 54.118 45
STRIP LeftWall_32 3 4 7.8347 0.37824 0 51.765 45
STRIP LeftWall_32 3 4 8.2129 0.37824 0 49.412 45
STRIP LeftWall_32 3 4 8.5912 0.37824 0 47.059 45
STRIP LeftWall_32 3 4 8.9694 0.37824 0 44.706 45
STRIP LeftWall_32 3 4 9.3476 0.37824 0 42.353 45
STRIP LeftWall_32 3 4 9.7259 0.37824 0 40 45
STRIP LeftWall_32 3 4 10.104 0.37824 0 37.647 45
STRIP LeftWall_32 3 4 10.482 0.37824 0 35.294 45
STRIP LeftWall_32 3 4 10.861 0.37824 0 32.941 45
STRIP LeftWall_32 3 4 11.239 0.37824 0 30.588 45
STRIP LeftWall_32 3 4 11.617 0.37824 0 28.235 45
STRIP LeftWall_32 3 4 11.995 0.37824 0 25.882 45
STRIP LeftWall_32 3 4 12.374 0.37824 0 23.529 45
STRIP LeftWall_32 3 4 12.752 0.37824 0 21.176 45
```

* 7: Defining Steps

```
STEP 0-Geostatica_31
CHANGE rilevato_6589_8_L_0 U-FRICT=35 LeftWall_32
CHANGE rilevato_6589_8_L_0 D-FRICT=35 LeftWall_32
CHANGE rilevato_6589_8_L_0 U-KA=0.235 LeftWall_32
CHANGE rilevato_6589_8_L_0 U-KP=5.879 LeftWall_32
CHANGE rilevato_6589_8_L_0 D-KA=0.235 LeftWall_32
CHANGE rilevato_6589_8_L_0 D-KP=5.879 LeftWall_32
CHANGE Ala_161_6590_L_0 U-FRICT=25 LeftWall_32
CHANGE Ala_161_6590_L_0 D-FRICT=25 LeftWall_32
CHANGE Ala_161_6590_L_0 U-KA=0.359 LeftWall_32
CHANGE Ala_161_6590_L_0 U-KP=3.222 LeftWall_32
CHANGE Ala_161_6590_L_0 D-KA=0.359 LeftWall_32
CHANGE Ala_161_6590_L_0 D-KP=3.222 LeftWall_32
CHANGE Salt_21271_21259_L_0 U-FRICT=26 LeftWall_32
CHANGE Salt_21271_21259_L_0 D-FRICT=26 LeftWall_32
CHANGE Salt_21271_21259_L_0 U-KA=0.344 LeftWall_32
CHANGE Salt_21271_21259_L_0 U-KP=3.404 LeftWall_32
CHANGE Salt_21271_21259_L_0 D-KA=0.344 LeftWall_32
CHANGE Salt_21271_21259_L_0 D-KP=3.404 LeftWall_32
CHANGE Sch_21272_21260_L_0 U-FRICT=31 LeftWall_32
CHANGE Sch_21272_21260_L_0 D-FRICT=31 LeftWall_32
CHANGE Sch_21272_21260_L_0 U-KA=0.279 LeftWall_32
CHANGE Sch_21272_21260_L_0 U-KP=4.555 LeftWall_32
CHANGE Sch_21272_21260_L_0 D-KA=0.279 LeftWall_32
CHANGE Sch_21272_21260_L_0 D-KP=4.555 LeftWall_32
CHANGE rilevato_6589_8_L_0 U-COHE=0 LeftWall_32
CHANGE rilevato_6589_8_L_0 U-ADHES=0 LeftWall_32
CHANGE rilevato_6589_8_L_0 D-COHE=0 LeftWall_32
CHANGE rilevato_6589_8_L_0 D-ADHES=0 LeftWall_32
CHANGE Ala_161_6590_L_0 U-COHE=0 LeftWall_32
CHANGE Ala_161_6590_L_0 U-ADHES=0 LeftWall_32
CHANGE Ala_161_6590_L_0 D-COHE=0 LeftWall_32
CHANGE Ala_161_6590_L_0 D-ADHES=0 LeftWall_32
CHANGE Salt_21271_21259_L_0 U-COHE=10 LeftWall_32
CHANGE Salt_21271_21259_L_0 U-ADHES=0 LeftWall_32
CHANGE Salt_21271_21259_L_0 D-COHE=10 LeftWall_32
CHANGE Salt_21271_21259_L_0 D-ADHES=0 LeftWall_32
CHANGE Sch_21272_21260_L_0 U-COHE=55 LeftWall_32
CHANGE Sch_21272_21260_L_0 U-ADHES=0 LeftWall_32
CHANGE Sch_21272_21260_L_0 D-COHE=55 LeftWall_32
CHANGE Sch_21272_21260_L_0 D-ADHES=0 LeftWall_32
SETWALL LeftWall_32
GEOM -4.7 -4.7
SURCHARGE 0 0 0 0
WATER -9.5 0 -18.2 0 0
ENDSTEP

STEP 1-paratia_39155
SETWALL LeftWall_32
GEOM -4.7 -4.7
SURCHARGE 0 0 0 0
WATER -9.5 0 -18.2 0 0
ADD pali15001.7_33
ENDSTEP

STEP 2-esercizio_90561
SETWALL LeftWall_32
GEOM 0 -4.7
SURCHARGE 57 0 0 -4.7
WATER -9.5 0 -18.2 0 0
ADD muro71cm_4658
ENDSTEP

STEP 3-sisma_44110
SETWALL LeftWall_32
```

```

GEOM 0 -4.7
SURCHARGE 57 0 0 0
WATER -9.5 0 -18.2 0 0
CHANGE rilevato_6589_8_L_0 U-KAED=0.29971 LeftWall_32
CHANGE rilevato_6589_8_L_0 U-KAEW=0.36573 LeftWall_32
CHANGE rilevato_6589_8_L_0 U-KPED=5.8297 LeftWall_32
CHANGE rilevato_6589_8_L_0 U-KPEW=5.4315 LeftWall_32
CHANGE rilevato_6589_8_L_0 D-KAED=0.278 LeftWall_32
CHANGE rilevato_6589_8_L_0 D-KAEW=0.34559 LeftWall_32
CHANGE rilevato_6589_8_L_0 D-KPED=5.2629 LeftWall_32
CHANGE rilevato_6589_8_L_0 D-KPEW=4.8545 LeftWall_32
CHANGE Ala_161_6590_L_0 U-KAED=0.44538 LeftWall_32
CHANGE Ala_161_6590_L_0 U-KAEW=0.5376 LeftWall_32
CHANGE Ala_161_6590_L_0 U-KPED=3.1512 LeftWall_32
CHANGE Ala_161_6590_L_0 U-KPEW=2.8567 LeftWall_32
CHANGE Ala_161_6590_L_0 D-KAED=0.41129 LeftWall_32
CHANGE Ala_161_6590_L_0 D-KAEW=0.50839 LeftWall_32
CHANGE Ala_161_6590_L_0 D-KPED=2.84 LeftWall_32
CHANGE Ala_161_6590_L_0 D-KPEW=2.5363 LeftWall_32
CHANGE Salt_21271_21259_L_0 U-KAED=0.42861 LeftWall_32
CHANGE Salt_21271_21259_L_0 U-KAEW=0.5135 LeftWall_32
CHANGE Salt_21271_21259_L_0 U-KPED=3.3356 LeftWall_32
CHANGE Salt_21271_21259_L_0 U-KPEW=3.0485 LeftWall_32
CHANGE Salt_21271_21259_L_0 D-KAED=0.39605 LeftWall_32
CHANGE Salt_21271_21259_L_0 D-KAEW=0.48459 LeftWall_32
CHANGE Salt_21271_21259_L_0 D-KPED=3.0066 LeftWall_32
CHANGE Salt_21271_21259_L_0 D-KPEW=2.7114 LeftWall_32
CHANGE Sch_21272_21260_L_0 U-KAED=0.35211 LeftWall_32
CHANGE Sch_21272_21260_L_0 U-KAEW=0.4066 LeftWall_32
CHANGE Sch_21272_21260_L_0 U-KPED=4.4947 LeftWall_32
CHANGE Sch_21272_21260_L_0 U-KPEW=4.239 LeftWall_32
CHANGE Sch_21272_21260_L_0 D-KAED=0.3256 LeftWall_32
CHANGE Sch_21272_21260_L_0 D-KAEW=0.38272 LeftWall_32
CHANGE Sch_21272_21260_L_0 D-KPED=4.0548 LeftWall_32
CHANGE Sch_21272_21260_L_0 D-KPEW=3.793 LeftWall_32
EQK USER 0.0959 0.04795 -0.04795 0 0.5 0 0.5 0 0
* Defining seismic surcharge pressures on wall LeftWall_32
*   min elevation = -4,7
*   max elevation = 0
*   average gamma = 20
*   kh = 0,0959
*   deltaQ = 15,8882325
DLOAD step LeftWall_32 -4.7 -3.3805 0 -3.3805
* Include pressure contribution from wall: LeftWall_32
* Include wall contribution
DLOAD step LeftWall_32 -4.7 -1.7022 0 -1.7022
ENDSTEP

```

8.2. Design Assumption : Nominal - File di Paratie - File di output (.out)

```

+-----+
|                PARATIEPLUS(TM)   NLS ENGINE RELEASE  2022.0.0  FULL VERSION  *Build date:Sep 13, 2021*                |
|                                                                                                                                            |
|                                                                                               ParatiePlus                                                                                               |
|                                                                                               Exe Time :28 January 2022   11:11:16                                                                                               |
+-----+

*****
*
*   PARATIE PLUS Non-Linear Spring Engine
*
*   AN ELASTOPLASTIC FINITE ELEMENT PROGRAM
*   FOR FLEXIBLE EARTH-RETAINING STRUCTURES
*
*   Written by CEAS s.r.l. (ITALY)
*   with the scientific supervision of
*   Roberto Nova - full professor SOIL MECHANICS
*   at Politecnico di Milano (ITALY)
*
*****
*
*   RELEASE  2022.0.0  *Build date:Sep 13, 2021*
*
*
*   CEAS S.R.L. VIALE  GIUSTINIANO 10
*   20129  M I L A N O  (ITALIA)
*   TEL.      +39 02 2020221
*
*   email     bruno.becci@ceas.it
*   Web Page  www.ceas.it      www.paratieplus.com
*****

JOB : ParatiePlus
STARTING

```

```
ACCEPTED <FILE,GENW >
ACCEPTED <FILE,PLOTTER,BINARY >
ACCEPTED <SOLVE TOTAL STRESS >
ACCEPTED <PARAM ITEMPAX 40 >
ACCEPTED <CONTROL CONTACT LAGRANGE >
ACCEPTED <CONTROL HINGES 0 0.0001 0.001 >
```

```
*****
*
* WARNING : PORE PRESSURES ARE AUTOMATICALLY COMPUTED *
* BY THE PROGRAM. *
*****
```

```
PRELIMINARY OPERATIONS CPU TIME 0.01 [sec]
```

```

+-----+
|          PARATIEPLUS(TM)  NLS ENGINE RELEASE  2022.0.0  FULL VERSION  *Build date:Sep 13, 2021*          |
|                                                                                                                                            |
|                                                                                               ParatiePlus                               |
|                                                                                               Exe Time :28 January 2022   11:11:16           |
+-----+

```

INPUT FILE HAS BEEN GENERATED BY WALGEN PROGRAM

New Project

```

NO. OF NODAL POINTS (NUMNP) ..... 93
NO. OF COORDINATES (NCOORD)..... 2
NO. OF NODE DOFS (NDOF)..... 2
NO. OF EQUATIONS (NEQ)..... 186
NO. OF CONSTRAINTS CARDS (NVINC)..... 0
NO. OF ELEMENT GROUPS (NEG)..... 4
NO. OF SOLUTION STEPS (NSTE)..... 4
NO. OF ELEMENT SETS ATTACHED TO SLAVE NODES ... 0
NO. OF RECORD FROM WALGEN ..... 167
NO. OF LONG NAMES (LASTNAME) ..... 19
LENGTH UNIT CHOICE ..... 3 (M )
FORCE UNIT CHOICE ..... 3 (KN )
MAX PORE PRESSURE TABLE LENGTH..... 1
MAX INELASTIC DISPL. TABLE LENGTH..... 0
NO. OF ELEMENT GROUPS REQUIRING ADD. SLIP DOF . 0

```

```

IDOFA (01) = 2 Y-DISPL.F
IDOFA (02) = 4 X-ROT. F

```

RELEVANT ITEMS UNITS

```

STRESSES                kPa
Y-DISPLACEMENTS        m
ROTATIONS                RADIANS
BEAM AND SLAB MOMENTS   kN*m/m
BEAM SHEAR FORCES       kN/m
ANCHOR FORCES           kN/m
AXIAL FORCES IN TRUSSES kN/m
AXIAL FORCES SPRINGS    kN/m
Y-REACTIONS             kN/m
X-MOMENT REACTIONS      kN*m/m
ETC.

```



```

80 : CHANGE Salt_21271_21259_L_0 U-FRICT=26 LeftWall_32
81 : CHANGE Salt_21271_21259_L_0 D-FRICT=26 LeftWall_32
82 : CHANGE Salt_21271_21259_L_0 U-KA=0.344 LeftWall_32
83 : CHANGE Salt_21271_21259_L_0 U-KP=3.404 LeftWall_32
84 : CHANGE Salt_21271_21259_L_0 D-KA=0.344 LeftWall_32
85 : CHANGE Salt_21271_21259_L_0 D-KP=3.404 LeftWall_32
86 : CHANGE Sch_21272_21260_L_0 U-FRICT=31 LeftWall_32
87 : CHANGE Sch_21272_21260_L_0 D-FRICT=31 LeftWall_32
88 : CHANGE Sch_21272_21260_L_0 U-KA=0.279 LeftWall_32
89 : CHANGE Sch_21272_21260_L_0 U-KP=4.555 LeftWall_32
90 : CHANGE Sch_21272_21260_L_0 D-KA=0.279 LeftWall_32
91 : CHANGE Sch_21272_21260_L_0 D-KP=4.555 LeftWall_32
92 : CHANGE rilevato_6589_8_L_0 U-COHE=0 LeftWall_32
93 : CHANGE rilevato_6589_8_L_0 U-ADHES=0 LeftWall_32
94 : CHANGE rilevato_6589_8_L_0 D-COHE=0 LeftWall_32
95 : CHANGE rilevato_6589_8_L_0 D-ADHES=0 LeftWall_32
96 : CHANGE Ala_161_6590_L_0 U-COHE=0 LeftWall_32
97 : CHANGE Ala_161_6590_L_0 U-ADHES=0 LeftWall_32
98 : CHANGE Ala_161_6590_L_0 D-COHE=0 LeftWall_32
99 : CHANGE Ala_161_6590_L_0 D-ADHES=0 LeftWall_32
100 : CHANGE Salt_21271_21259_L_0 U-COHE=10 LeftWall_32
101 : CHANGE Salt_21271_21259_L_0 U-ADHES=0 LeftWall_32
102 : CHANGE Salt_21271_21259_L_0 D-COHE=10 LeftWall_32
103 : CHANGE Salt_21271_21259_L_0 D-ADHES=0 LeftWall_32
104 : CHANGE Sch_21272_21260_L_0 U-COHE=55 LeftWall_32
105 : CHANGE Sch_21272_21260_L_0 U-ADHES=0 LeftWall_32
106 : CHANGE Sch_21272_21260_L_0 D-COHE=55 LeftWall_32
107 : CHANGE Sch_21272_21260_L_0 D-ADHES=0 LeftWall_32
108 : SETWALL LeftWall_32
109 : GEOM -4.7 -4.7
110 : SURCHARGE 0 0 0 0
111 : WATER -9.5 0 -18.2 0 0
112 : ENDSTEP
113 : STEP 1-paratia_39155
114 : SETWALL LeftWall_32
115 : GEOM -4.7 -4.7
116 : SURCHARGE 0 0 0 0
117 : WATER -9.5 0 -18.2 0 0
118 : ADD pali15001.7_33
119 : ENDSTEP
120 : STEP 2-esercizio_90561
121 : SETWALL LeftWall_32
122 : GEOM 0 -4.7
123 : SURCHARGE 57 0 0 -4.7
124 : WATER -9.5 0 -18.2 0 0
125 : ADD muro71cm_4658
126 : ENDSTEP
127 : STEP 3-sisma_44110
128 : SETWALL LeftWall_32
129 : GEOM 0 -4.7
130 : SURCHARGE 57 0 0 0
131 : WATER -9.5 0 -18.2 0 0
132 : CHANGE rilevato_6589_8_L_0 U-KAED=0.29971 LeftWall_32
133 : CHANGE rilevato_6589_8_L_0 U-KAEW=0.36573 LeftWall_32
134 : CHANGE rilevato_6589_8_L_0 U-KPED=5.8297 LeftWall_32
135 : CHANGE rilevato_6589_8_L_0 U-KPEW=5.4315 LeftWall_32
136 : CHANGE rilevato_6589_8_L_0 D-KAED=0.278 LeftWall_32
137 : CHANGE rilevato_6589_8_L_0 D-KAEW=0.34559 LeftWall_32
138 : CHANGE rilevato_6589_8_L_0 D-KPED=5.2629 LeftWall_32
139 : CHANGE rilevato_6589_8_L_0 D-KPEW=4.8545 LeftWall_32
140 : CHANGE Ala_161_6590_L_0 U-KAED=0.44538 LeftWall_32
141 : CHANGE Ala_161_6590_L_0 U-KAEW=0.5376 LeftWall_32
142 : CHANGE Ala_161_6590_L_0 U-KPED=3.1512 LeftWall_32
143 : CHANGE Ala_161_6590_L_0 U-KPEW=2.8567 LeftWall_32
144 : CHANGE Ala_161_6590_L_0 D-KAED=0.41129 LeftWall_32
145 : CHANGE Ala_161_6590_L_0 D-KAEW=0.50839 LeftWall_32
146 : CHANGE Ala_161_6590_L_0 D-KPED=2.84 LeftWall_32
147 : CHANGE Ala_161_6590_L_0 D-KPEW=2.5363 LeftWall_32
148 : CHANGE Salt_21271_21259_L_0 U-KAED=0.42861 LeftWall_32
149 : CHANGE Salt_21271_21259_L_0 U-KAEW=0.5135 LeftWall_32
150 : CHANGE Salt_21271_21259_L_0 U-KPED=3.3356 LeftWall_32
151 : CHANGE Salt_21271_21259_L_0 U-KPEW=3.0485 LeftWall_32
152 : CHANGE Salt_21271_21259_L_0 D-KAED=0.39605 LeftWall_32
153 : CHANGE Salt_21271_21259_L_0 D-KAEW=0.48459 LeftWall_32
154 : CHANGE Salt_21271_21259_L_0 D-KPED=3.0066 LeftWall_32
155 : CHANGE Salt_21271_21259_L_0 D-KPEW=2.7114 LeftWall_32
156 : CHANGE Sch_21272_21260_L_0 U-KAED=0.35211 LeftWall_32
157 : CHANGE Sch_21272_21260_L_0 U-KAEW=0.4066 LeftWall_32
158 : CHANGE Sch_21272_21260_L_0 U-KPED=4.4947 LeftWall_32
159 : CHANGE Sch_21272_21260_L_0 U-KPEW=4.239 LeftWall_32
160 : CHANGE Sch_21272_21260_L_0 D-KAED=0.3256 LeftWall_32
161 : CHANGE Sch_21272_21260_L_0 D-KAEW=0.38272 LeftWall_32
162 : CHANGE Sch_21272_21260_L_0 D-KPED=4.0548 LeftWall_32
163 : CHANGE Sch_21272_21260_L_0 D-KPEW=3.793 LeftWall_32
164 : EQK USER 0.0959 0.04795 -0.04795 0 0.5 0 0.5 0 0
165 : DLOAD step LeftWall_32 -4.7 -3.3805 0 -3.3805
166 : DLOAD step LeftWall_32 -4.7 -1.7022 0 -1.7022
167 : ENDSTEP

```

```

+-----+
|          PARATIEPLUS(TM)  NLS ENGINE RELEASE  2022.0.0  FULL VERSION  *Build date:Sep 13, 2021*          |
|                                                                                                                                            |
|                                                                                               ParatiePlus                               |
|                                                                                               Exe Time :28 January 2022   11:11:16           |
+-----+

```

N O D A L P O I N T D A T A

NODE	Y-COORD	Z-COORD /	NODE	Y-COORD	Z-COORD /	NODE	Y-COORD	Z-COORD /	NODE	Y-COORD	Z-COORD /				
1	0.0000	0.0000	/	2	0.0000	-0.20000	/	3	0.0000	-0.40000	/	4	0.0000	-0.60000	/
5	0.0000	-0.80000	/	6	0.0000	-1.0000	/	7	0.0000	-1.2000	/	8	0.0000	-1.4000	/
9	0.0000	-1.6000	/	10	0.0000	-1.8000	/	11	0.0000	-2.0000	/	12	0.0000	-2.2000	/
13	0.0000	-2.4000	/	14	0.0000	-2.6000	/	15	0.0000	-2.8000	/	16	0.0000	-3.0000	/
17	0.0000	-3.2000	/	18	0.0000	-3.4000	/	19	0.0000	-3.6000	/	20	0.0000	-3.8000	/
21	0.0000	-4.0000	/	22	0.0000	-4.2000	/	23	0.0000	-4.4000	/	24	0.0000	-4.6000	/
25	0.0000	-4.7000	/	26	0.0000	-4.9000	/	27	0.0000	-5.1000	/	28	0.0000	-5.3000	/
29	0.0000	-5.5000	/	30	0.0000	-5.7000	/	31	0.0000	-5.9000	/	32	0.0000	-6.1000	/
33	0.0000	-6.3000	/	34	0.0000	-6.5000	/	35	0.0000	-6.7000	/	36	0.0000	-6.9000	/
37	0.0000	-7.1000	/	38	0.0000	-7.3000	/	39	0.0000	-7.5000	/	40	0.0000	-7.7000	/
41	0.0000	-7.9000	/	42	0.0000	-8.1000	/	43	0.0000	-8.3000	/	44	0.0000	-8.5000	/
45	0.0000	-8.7000	/	46	0.0000	-8.9000	/	47	0.0000	-9.1000	/	48	0.0000	-9.3000	/
49	0.0000	-9.5000	/	50	0.0000	-9.7000	/	51	0.0000	-9.9000	/	52	0.0000	-10.100	/
53	0.0000	-10.300	/	54	0.0000	-10.500	/	55	0.0000	-10.700	/	56	0.0000	-10.900	/
57	0.0000	-11.100	/	58	0.0000	-11.300	/	59	0.0000	-11.500	/	60	0.0000	-11.700	/
61	0.0000	-11.900	/	62	0.0000	-12.100	/	63	0.0000	-12.300	/	64	0.0000	-12.500	/
65	0.0000	-12.700	/	66	0.0000	-12.900	/	67	0.0000	-13.100	/	68	0.0000	-13.300	/
69	0.0000	-13.500	/	70	0.0000	-13.700	/	71	0.0000	-13.900	/	72	0.0000	-14.100	/
73	0.0000	-14.300	/	74	0.0000	-14.500	/	75	0.0000	-14.700	/	76	0.0000	-14.900	/
77	0.0000	-15.100	/	78	0.0000	-15.300	/	79	0.0000	-15.500	/	80	0.0000	-15.700	/
81	0.0000	-15.900	/	82	0.0000	-16.100	/	83	0.0000	-16.300	/	84	0.0000	-16.500	/
85	0.0000	-16.700	/	86	0.0000	-16.900	/	87	0.0000	-17.100	/	88	0.0000	-17.300	/
89	0.0000	-17.500	/	90	0.0000	-17.700	/	91	0.0000	-17.900	/	92	0.0000	-18.100	/
93	0.0000	-18.200	/												

38	38	2	0.2000	0.000	0.000	0.000	2.000
39	39	2	0.2000	0.000	0.000	0.000	2.000
40	40	2	0.2000	0.000	0.000	0.000	2.000
41	41	2	0.2000	0.000	0.000	0.000	2.000
42	42	2	0.2000	0.000	0.000	0.000	2.000
43	43	2	0.2000	0.000	0.000	0.000	2.000
44	44	2	0.2000	0.000	0.000	0.000	2.000
45	45	2	0.2000	0.000	0.000	0.000	2.000
46	46	2	0.2000	0.000	0.000	0.000	2.000
47	47	2	0.2000	0.000	0.000	0.000	2.000
48	48	2	0.2000	0.000	0.000	0.000	2.000
49	49	2	0.2000	0.000	0.000	0.000	2.000
50	50	2	0.2000	0.000	0.000	0.000	2.000
51	51	2	0.2000	0.000	0.000	0.000	2.000
52	52	2	0.2000	0.000	0.000	0.000	2.000
53	53	2	0.2000	0.000	0.000	0.000	2.000
54	54	2	0.2000	0.000	0.000	0.000	2.000
55	55	2	0.2000	0.000	0.000	0.000	2.000
56	56	2	0.2000	0.000	0.000	0.000	2.000
57	57	2	0.2000	0.000	0.000	0.000	2.000
58	58	2	0.2000	0.000	0.000	0.000	2.000
59	59	2	0.2000	0.000	0.000	0.000	2.000
60	60	2	0.2000	0.000	0.000	0.000	2.000
61	61	2	0.2000	0.000	0.000	0.000	2.000
62	62	2	0.2000	0.000	0.000	0.000	2.000
63	63	2	0.2000	0.000	0.000	0.000	2.000
64	64	2	0.2000	0.000	0.000	0.000	2.000
65	65	2	0.2000	0.000	0.000	0.000	2.000
66	66	2	0.2000	0.000	0.000	0.000	2.000
67	67	2	0.2000	0.000	0.000	0.000	2.000
68	68	2	0.2000	0.000	0.000	0.000	2.000
69	69	2	0.2000	0.000	0.000	0.000	2.000
70	70	2	0.2000	0.000	0.000	0.000	2.000
71	71	2	0.2000	0.000	0.000	0.000	2.000
72	72	2	0.2000	0.000	0.000	0.000	2.000
73	73	2	0.2000	0.000	0.000	0.000	2.000
74	74	2	0.2000	0.000	0.000	0.000	2.000
75	75	2	0.2000	0.000	0.000	0.000	2.000
76	76	2	0.2000	0.000	0.000	0.000	2.000
77	77	2	0.2000	0.000	0.000	0.000	2.000
78	78	2	0.2000	0.000	0.000	0.000	2.000
79	79	2	0.2000	0.000	0.000	0.000	2.000
80	80	2	0.2000	0.000	0.000	0.000	2.000
81	81	2	0.2000	0.000	0.000	0.000	2.000
82	82	3	0.2000	0.000	0.000	0.000	2.000
83	83	3	0.2000	0.000	0.000	0.000	2.000
84	84	3	0.2000	0.000	0.000	0.000	2.000
85	85	3	0.2000	0.000	0.000	0.000	2.000
86	86	3	0.2000	0.000	0.000	0.000	2.000
87	87	3	0.2000	0.000	0.000	0.000	2.000
88	88	3	0.2000	0.000	0.000	0.000	2.000
89	89	3	0.2000	0.000	0.000	0.000	2.000
90	90	4	0.2000	0.000	0.000	0.000	2.000
91	91	4	0.2000	0.000	0.000	0.000	2.000
92	92	4	0.1500	0.000	0.000	0.000	2.000
93	93	4	0.5000E-01	0.000	0.000	0.000	2.000

```

+-----+
|          PARATIEPLUS(TM)  NLS ENGINE RELEASE  2022.0.0  FULL VERSION  *Build date:Sep 13, 2021*          |
|                                                                                                                                            |
|                                                                                               ParatiePlus                               |
|                                                                                               Exe Time :28 January 2022   11:11:16           |
+-----+

```

ELEMENT GROUP NO. 2

```

0_R          :
 5 93 0 1 0 0 0 0 0 0 0 0 0 0 0 0 0 0 4 0 0 0 0

```

```

.....2D PLASTIC SOIL .....

```

element group behaviour throughout stage analysis

stage status

```

-----
1 active
2 active
3 active
4 active

```

material set no. 1

```

prop( 1) angle          180.000
prop( 2) layer as foreseen 1.00000

```

material set no. 2

```

prop( 1) angle          180.000
prop( 2) layer as foreseen 2.00000

```

material set no. 3

```

prop( 1) angle          180.000
prop( 2) layer as foreseen 3.00000

```

material set no. 4

```

prop( 1) angle          180.000
prop( 2) layer as foreseen 4.00000

```

element data

el	n	mat	area	flag
1	1	1	0.1000	0.000	0.000	0.000	1.000
2	2	1	0.2000	0.000	0.000	0.000	1.000
3	3	1	0.2000	0.000	0.000	0.000	1.000
4	4	1	0.2000	0.000	0.000	0.000	1.000
5	5	1	0.2000	0.000	0.000	0.000	1.000
6	6	1	0.2000	0.000	0.000	0.000	1.000
7	7	1	0.2000	0.000	0.000	0.000	1.000
8	8	1	0.2000	0.000	0.000	0.000	1.000
9	9	1	0.2000	0.000	0.000	0.000	1.000
10	10	1	0.2000	0.000	0.000	0.000	1.000
11	11	1	0.2000	0.000	0.000	0.000	1.000
12	12	1	0.2000	0.000	0.000	0.000	1.000
13	13	1	0.2000	0.000	0.000	0.000	1.000
14	14	1	0.2000	0.000	0.000	0.000	1.000
15	15	1	0.2000	0.000	0.000	0.000	1.000
16	16	1	0.2000	0.000	0.000	0.000	1.000
17	17	1	0.2000	0.000	0.000	0.000	1.000
18	18	1	0.2000	0.000	0.000	0.000	1.000
19	19	1	0.2000	0.000	0.000	0.000	1.000
20	20	1	0.2000	0.000	0.000	0.000	1.000
21	21	1	0.2000	0.000	0.000	0.000	1.000
22	22	1	0.2000	0.000	0.000	0.000	1.000
23	23	1	0.2000	0.000	0.000	0.000	1.000
24	24	1	0.1500	0.000	0.000	0.000	1.000
25	25	2	0.1500	0.000	0.000	0.000	1.000
26	26	2	0.2000	0.000	0.000	0.000	1.000
27	27	2	0.2000	0.000	0.000	0.000	1.000
28	28	2	0.2000	0.000	0.000	0.000	1.000
29	29	2	0.2000	0.000	0.000	0.000	1.000
30	30	2	0.2000	0.000	0.000	0.000	1.000
31	31	2	0.2000	0.000	0.000	0.000	1.000
32	32	2	0.2000	0.000	0.000	0.000	1.000
33	33	2	0.2000	0.000	0.000	0.000	1.000
34	34	2	0.2000	0.000	0.000	0.000	1.000
35	35	2	0.2000	0.000	0.000	0.000	1.000
36	36	2	0.2000	0.000	0.000	0.000	1.000
37	37	2	0.2000	0.000	0.000	0.000	1.000

38	38	2	0.2000	0.000	0.000	0.000	1.000
39	39	2	0.2000	0.000	0.000	0.000	1.000
40	40	2	0.2000	0.000	0.000	0.000	1.000
41	41	2	0.2000	0.000	0.000	0.000	1.000
42	42	2	0.2000	0.000	0.000	0.000	1.000
43	43	2	0.2000	0.000	0.000	0.000	1.000
44	44	2	0.2000	0.000	0.000	0.000	1.000
45	45	2	0.2000	0.000	0.000	0.000	1.000
46	46	2	0.2000	0.000	0.000	0.000	1.000
47	47	2	0.2000	0.000	0.000	0.000	1.000
48	48	2	0.2000	0.000	0.000	0.000	1.000
49	49	2	0.2000	0.000	0.000	0.000	1.000
50	50	2	0.2000	0.000	0.000	0.000	1.000
51	51	2	0.2000	0.000	0.000	0.000	1.000
52	52	2	0.2000	0.000	0.000	0.000	1.000
53	53	2	0.2000	0.000	0.000	0.000	1.000
54	54	2	0.2000	0.000	0.000	0.000	1.000
55	55	2	0.2000	0.000	0.000	0.000	1.000
56	56	2	0.2000	0.000	0.000	0.000	1.000
57	57	2	0.2000	0.000	0.000	0.000	1.000
58	58	2	0.2000	0.000	0.000	0.000	1.000
59	59	2	0.2000	0.000	0.000	0.000	1.000
60	60	2	0.2000	0.000	0.000	0.000	1.000
61	61	2	0.2000	0.000	0.000	0.000	1.000
62	62	2	0.2000	0.000	0.000	0.000	1.000
63	63	2	0.2000	0.000	0.000	0.000	1.000
64	64	2	0.2000	0.000	0.000	0.000	1.000
65	65	2	0.2000	0.000	0.000	0.000	1.000
66	66	2	0.2000	0.000	0.000	0.000	1.000
67	67	2	0.2000	0.000	0.000	0.000	1.000
68	68	2	0.2000	0.000	0.000	0.000	1.000
69	69	2	0.2000	0.000	0.000	0.000	1.000
70	70	2	0.2000	0.000	0.000	0.000	1.000
71	71	2	0.2000	0.000	0.000	0.000	1.000
72	72	2	0.2000	0.000	0.000	0.000	1.000
73	73	2	0.2000	0.000	0.000	0.000	1.000
74	74	2	0.2000	0.000	0.000	0.000	1.000
75	75	2	0.2000	0.000	0.000	0.000	1.000
76	76	2	0.2000	0.000	0.000	0.000	1.000
77	77	2	0.2000	0.000	0.000	0.000	1.000
78	78	2	0.2000	0.000	0.000	0.000	1.000
79	79	2	0.2000	0.000	0.000	0.000	1.000
80	80	2	0.2000	0.000	0.000	0.000	1.000
81	81	2	0.2000	0.000	0.000	0.000	1.000
82	82	3	0.2000	0.000	0.000	0.000	1.000
83	83	3	0.2000	0.000	0.000	0.000	1.000
84	84	3	0.2000	0.000	0.000	0.000	1.000
85	85	3	0.2000	0.000	0.000	0.000	1.000
86	86	3	0.2000	0.000	0.000	0.000	1.000
87	87	3	0.2000	0.000	0.000	0.000	1.000
88	88	3	0.2000	0.000	0.000	0.000	1.000
89	89	3	0.2000	0.000	0.000	0.000	1.000
90	90	4	0.2000	0.000	0.000	0.000	1.000
91	91	4	0.2000	0.000	0.000	0.000	1.000
92	92	4	0.1500	0.000	0.000	0.000	1.000
93	93	4	0.5000E-01	0.000	0.000	0.000	1.000

46	70	71	1	0.000	0.000	1.206	1.040	0.1462	25.99	0.000	0.000
47	71	72	1	0.000	0.000	1.206	1.040	0.1462	25.99	0.000	0.000
48	72	73	1	0.000	0.000	1.206	1.040	0.1462	25.99	0.000	0.000
49	73	74	1	0.000	0.000	1.206	1.040	0.1462	25.99	0.000	0.000
50	74	75	1	0.000	0.000	1.206	1.040	0.1462	25.99	0.000	0.000
51	75	76	1	0.000	0.000	1.206	1.040	0.1462	25.99	0.000	0.000
52	76	77	1	0.000	0.000	1.206	1.040	0.1462	25.99	0.000	0.000
53	77	78	1	0.000	0.000	1.206	1.040	0.1462	25.99	0.000	0.000
54	78	79	1	0.000	0.000	1.206	1.040	0.1462	25.99	0.000	0.000
55	79	80	1	0.000	0.000	1.206	1.040	0.1462	25.99	0.000	0.000
56	80	81	1	0.000	0.000	1.206	1.040	0.1462	25.99	0.000	0.000
57	81	82	1	0.000	0.000	1.206	1.040	0.1462	25.99	0.000	0.000
58	82	83	1	0.000	0.000	1.206	1.040	0.1462	25.99	0.000	0.000
59	83	84	1	0.000	0.000	1.206	1.040	0.1462	25.99	0.000	0.000
60	84	85	1	0.000	0.000	1.206	1.040	0.1462	25.99	0.000	0.000
61	85	86	1	0.000	0.000	1.206	1.040	0.1462	25.99	0.000	0.000
62	86	87	1	0.000	0.000	1.206	1.040	0.1462	25.99	0.000	0.000
63	87	88	1	0.000	0.000	1.206	1.040	0.1462	25.99	0.000	0.000
64	88	89	1	0.000	0.000	1.206	1.040	0.1462	25.99	0.000	0.000
65	89	90	1	0.000	0.000	1.206	1.040	0.1462	25.99	0.000	0.000
66	90	91	1	0.000	0.000	1.206	1.040	0.1462	25.99	0.000	0.000
67	91	92	1	0.000	0.000	1.206	1.040	0.1462	25.99	0.000	0.000
68	92	93	1	0.000	0.000	1.206	1.040	0.1462	25.99	0.000	0.000


```
+-----+
|          PARATIEPLUS(TM)  NLS ENGINE RELEASE 2022.0.0 FULL VERSION *Build date:Sep 13, 2021*          |
|                                                                                                                                            |
|                                                                                               ParatiePlus                               |
|                                                                                               Exe Time :28 January 2022  11:11:16          |
+-----+
```

```
NO. OF NODAL LOADS (NLOAD) ..... 0
NO. OF LOAD CURVES (NLCUR) ..... 8
MAXIMUM POINTS/LCURVE (NPTM)..... 5
```

```

+-----+
|          PARATIEPLUS(TM)  NLS ENGINE RELEASE  2022.0.0  FULL VERSION  *Build date:Sep 13, 2021*          |
|                                                                                                                                            |
|                                                                                               ParatiePlus                               |
|                                                                                               Exe Time :28 January 2022   11:11:16           |
+-----+

```

L O A D D A T A

```

LOAD FUNCTION NUMBER = 1
NUMBER OF TIME POINTS = 5

```

TIME VALUE	FUNCTION
0.00000	0.0000E+00
0.80000	0.0000E+00
1.00000	0.1000E+01
1.20000	0.0000E+00
5.00000	0.0000E+00

```

LOAD FUNCTION NUMBER = 2
NUMBER OF TIME POINTS = 5

```

TIME VALUE	FUNCTION
0.00000	0.0000E+00
1.80000	0.0000E+00
2.00000	0.1000E+01
2.20000	0.0000E+00
5.00000	0.0000E+00

```

LOAD FUNCTION NUMBER = 3
NUMBER OF TIME POINTS = 5

```

TIME VALUE	FUNCTION
0.00000	0.0000E+00
2.80000	0.0000E+00
3.00000	0.1000E+01
3.20000	0.0000E+00
5.00000	0.0000E+00

```

LOAD FUNCTION NUMBER = 4
NUMBER OF TIME POINTS = 5

```

TIME VALUE	FUNCTION
0.00000	0.0000E+00
3.80000	0.0000E+00
4.00000	0.1000E+01
4.20000	0.0000E+00
5.00000	0.0000E+00

```

LOAD FUNCTION NUMBER = 5
NUMBER OF TIME POINTS = 4

```

TIME VALUE	FUNCTION
0.00000	0.0000E+00
0.80000	0.0000E+00
1.00000	0.1000E+01
5.00000	0.1000E+01

```

LOAD FUNCTION NUMBER = 6
NUMBER OF TIME POINTS = 4

```

TIME VALUE	FUNCTION
0.00000	0.0000E+00
1.80000	0.0000E+00
2.00000	0.1000E+01
5.00000	0.1000E+01

```

LOAD FUNCTION NUMBER = 7
NUMBER OF TIME POINTS = 4

```

TIME VALUE	FUNCTION
0.00000	0.0000E+00
2.80000	0.0000E+00
3.00000	0.1000E+01
5.00000	0.1000E+01

LOAD FUNCTION NUMBER = 8
NUMBER OF TIME POINTS = 4

TIME VALUE	FUNCTION
0.00000	0.0000E+00
3.80000	0.0000E+00
4.00000	0.1000E+01
5.00000	0.1000E+01

PROCESSING DISTRIBUTED LOADS CARD NO. 1
AT Y-COORD 0.000 Z-COORD -4.700 PRESSURE -3.381
Z-COORD 0.000 PRESSURE -3.381
L.CURVE 4

NO. OF GENERATED NODAL FORCES		25							
NODE	Z-LVL	FORCE /	NODE	Z-LVL	FORCE /	NODE	Z-LVL	FORCE /	
25	-.4700E+01	-0.1690500E+00 /	24	-.4600E+01	-0.5071500E+00 /	23	-.4400E+01	-0.6762000E+00 /	
22	-.4200E+01	-0.6762000E+00 /	21	-.4000E+01	-0.6761983E+00 /	20	-.3800E+01	-0.6761983E+00 /	
19	-.3600E+01	-0.6762000E+00 /	18	-.3400E+01	-0.6762000E+00 /	17	-.3200E+01	-0.6762017E+00 /	
16	-.3000E+01	-0.6762017E+00 /	15	-.2800E+01	-0.6762000E+00 /	14	-.2600E+01	-0.6762000E+00 /	
13	-.2400E+01	-0.6762000E+00 /	12	-.2200E+01	-0.6762000E+00 /	11	-.2000E+01	-0.6762000E+00 /	
10	-.1800E+01	-0.6762000E+00 /	9	-.1600E+01	-0.6762000E+00 /	8	-.1400E+01	-0.6762000E+00 /	
7	-.1200E+01	-0.6762000E+00 /	6	-.1000E+01	-0.6762000E+00 /	5	-.8000E+00	-0.6762000E+00 /	
4	-.6000E+00	-0.6762000E+00 /	3	-.4000E+00	-0.6762000E+00 /	2	-.2000E+00	-0.6762000E+00 /	
1	0.0000E+00	-0.3381000E+00 /							

OVERALL APPLIED Y FORCE FOR CURRENT DISTRIBUTED LOAD -15.891

PROCESSING DISTRIBUTED LOADS CARD NO. 2
AT Y-COORD 0.000 Z-COORD -4.700 PRESSURE -1.702
Z-COORD 0.000 PRESSURE -1.702
L.CURVE 4

NO. OF GENERATED NODAL FORCES		25							
NODE	Z-LVL	FORCE /	NODE	Z-LVL	FORCE /	NODE	Z-LVL	FORCE /	
25	-.4700E+01	-0.8510000E-01 /	24	-.4600E+01	-0.2553000E+00 /	23	-.4400E+01	-0.3404000E+00 /	
22	-.4200E+01	-0.3404000E+00 /	21	-.4000E+01	-0.3403991E+00 /	20	-.3800E+01	-0.3403991E+00 /	
19	-.3600E+01	-0.3404000E+00 /	18	-.3400E+01	-0.3404000E+00 /	17	-.3200E+01	-0.3404009E+00 /	
16	-.3000E+01	-0.3404009E+00 /	15	-.2800E+01	-0.3404000E+00 /	14	-.2600E+01	-0.3404000E+00 /	
13	-.2400E+01	-0.3404000E+00 /	12	-.2200E+01	-0.3404000E+00 /	11	-.2000E+01	-0.3404000E+00 /	
10	-.1800E+01	-0.3404000E+00 /	9	-.1600E+01	-0.3404000E+00 /	8	-.1400E+01	-0.3404000E+00 /	
7	-.1200E+01	-0.3404000E+00 /	6	-.1000E+01	-0.3404000E+00 /	5	-.8000E+00	-0.3404000E+00 /	
4	-.6000E+00	-0.3404000E+00 /	3	-.4000E+00	-0.3404000E+00 /	2	-.2000E+00	-0.3404000E+00 /	
1	0.0000E+00	-0.1702000E+00 /							

OVERALL APPLIED Y FORCE FOR CURRENT DISTRIBUTED LOAD -7.9994

NO. OF DISTRIBUTED LOAD CARDS 2

```

+-----+
|          PARATIEPLUS(TM)  NLS ENGINE RELEASE  2022.0.0  FULL VERSION  *Build date:Sep 13, 2021*          |
|                                                                                                                                            |
|                                                                                               ParatiePlus                               |
|                                                                                               Exe Time :28 January 2022   11:11:16           |
+-----+

```

```

L O A D      B A L A N C E

STEP  1  TOTAL APPLIED LOAD IN DIR.  2  Y-DISPL.F      0.0000000
STEP  1  TOTAL APPLIED LOAD IN DIR.  4  X-ROT. F      0.0000000

STEP  2  TOTAL APPLIED LOAD IN DIR.  2  Y-DISPL.F      0.0000000
STEP  2  TOTAL APPLIED LOAD IN DIR.  4  X-ROT. F      0.0000000

STEP  3  TOTAL APPLIED LOAD IN DIR.  2  Y-DISPL.F      0.0000000
STEP  3  TOTAL APPLIED LOAD IN DIR.  4  X-ROT. F      0.0000000

STEP  4  TOTAL APPLIED LOAD IN DIR.  2  Y-DISPL.F     -23.890100
STEP  4  TOTAL APPLIED LOAD IN DIR.  4  X-ROT. F      0.0000000

```

LOAD INPUT SECTION COMPLETED

```
+-----+
|          PARATIEPLUS(TM)  NLS ENGINE RELEASE  2022.0.0  FULL VERSION  *Build date:Sep 13, 2021*          |
|                                                                                                                                            |
|                                                                                               ParatiePlus                               |
|                                                                                               Exe Time :28 January 2022   11:11:16           |
+-----+
```

```
NO. OF LAYERS ..... 4
NO. OF DATA PER LAYER..... 160
```

```

+-----+
|                PARATIEPLUS(TM)  NLS ENGINE RELEASE  2022.0.0  FULL VERSION  *Build date:Sep 13, 2021*                |
|                                                                                                                                            |
|                                                                                               ParatiePlus                                                                                               |
|                                                                                               Exe Time :28 January 2022  11:11:16                                                                                               |
+-----+

```

LAYER DESCRIPTORS FOR STEP NO. 1

NON ZERO LAYER DESCRIPTORS FOR LAYER NO. 1 FOR STEP NO. 1

```

ITEM NO.  1&lt;NAME      &gt;= 12.000  (BOTH WALLS)
ITEM NO.  2&lt;NATURE   &gt;=  1.0000  (BOTH WALLS)
ITEM NO.  3&lt;LEVEL    &gt;=  0.0000  (BOTH WALLS)
ITEM NO.  4&lt;WALL     &gt;=  1.0000  (BOTH WALLS)
ITEM NO.  5&lt;GAMMAD   &gt;= 20.000  (BOTH WALLS)
ITEM NO.  6&lt;GAMMAB   &gt;= 10.000  (BOTH WALLS)
ITEM NO.  7&lt;GAMMAW   &gt;= 10.000  (BOTH WALLS)
ITEM NO.  9&lt;U-FRICT  &gt;= 35.000  (BOTH WALLS)
ITEM NO. 10&lt;U-KA     &gt;= 0.23500  WALL NO. 1
ITEM NO. 11&lt;U-KP     &gt;=  5.8790  WALL NO. 1
ITEM NO. 12&lt;K0-NC    &gt;= 0.42600  (BOTH WALLS)
ITEM NO. 13&lt;NEXP     &gt;= 0.50000  (BOTH WALLS)
ITEM NO. 14&lt;OCR      &gt;=  1.0000  (BOTH WALLS)
ITEM NO. 16&lt;MODEL    &gt;=  1.0000  (BOTH WALLS)
ITEM NO. 17&lt;EVC      &gt;= 50000.  (BOTH WALLS)
ITEM NO. 18&lt;EUR      &gt;= 0.15000E+06 (BOTH WALLS)
ITEM NO. 27&lt;U-PERM   &gt;= 0.10000E-04 (BOTH WALLS)
ITEM NO. 61&lt;U-TZALPH&gt;= 0.50000  (BOTH WALLS)
ITEM NO. 82&lt;D-NATURE&gt;=  1.0000  (BOTH WALLS)
ITEM NO. 83&lt;D-LEVEL  &gt;=  0.0000  (BOTH WALLS)
ITEM NO. 89&lt;D-FRICT  &gt;= 35.000  (BOTH WALLS)
ITEM NO. 90&lt;D-KA     &gt;= 0.23500  WALL NO. 1
ITEM NO. 91&lt;D-KP     &gt;=  5.8790  WALL NO. 1
ITEM NO. 107&lt;D-PERM  &gt;= 0.10000E-04 (BOTH WALLS)
ITEM NO. 141&lt;D-TZALPH&gt;= 0.50000  (BOTH WALLS)

```

NON ZERO LAYER DESCRIPTORS FOR LAYER NO. 2 FOR STEP NO. 1

```

ITEM NO.  1&lt;NAME      &gt;= 13.000  (BOTH WALLS)
ITEM NO.  2&lt;NATURE   &gt;=  1.0000  (BOTH WALLS)
ITEM NO.  3&lt;LEVEL    &gt;= -4.7000  (BOTH WALLS)
ITEM NO.  4&lt;WALL     &gt;=  1.0000  (BOTH WALLS)
ITEM NO.  5&lt;GAMMAD   &gt;= 19.500  (BOTH WALLS)
ITEM NO.  6&lt;GAMMAB   &gt;=  9.5000  (BOTH WALLS)
ITEM NO.  7&lt;GAMMAW   &gt;= 10.000  (BOTH WALLS)
ITEM NO.  9&lt;U-FRICT  &gt;= 25.000  (BOTH WALLS)
ITEM NO. 10&lt;U-KA     &gt;= 0.35900  WALL NO. 1
ITEM NO. 11&lt;U-KP     &gt;=  3.2220  WALL NO. 1
ITEM NO. 12&lt;K0-NC    &gt;= 0.56200  (BOTH WALLS)
ITEM NO. 13&lt;NEXP     &gt;= 0.50000  (BOTH WALLS)
ITEM NO. 14&lt;OCR      &gt;=  1.0000  (BOTH WALLS)
ITEM NO. 16&lt;MODEL    &gt;=  1.0000  (BOTH WALLS)
ITEM NO. 17&lt;EVC      &gt;= 35000.  (BOTH WALLS)
ITEM NO. 18&lt;EUR      &gt;= 0.10500E+06 (BOTH WALLS)
ITEM NO. 27&lt;U-PERM   &gt;= 0.10000E-04 (BOTH WALLS)
ITEM NO. 61&lt;U-TZALPH&gt;= 0.50000  (BOTH WALLS)
ITEM NO. 82&lt;D-NATURE&gt;=  1.0000  (BOTH WALLS)
ITEM NO. 83&lt;D-LEVEL  &gt;=  0.0000  (BOTH WALLS)
ITEM NO. 89&lt;D-FRICT  &gt;= 25.000  (BOTH WALLS)
ITEM NO. 90&lt;D-KA     &gt;= 0.35900  WALL NO. 1
ITEM NO. 91&lt;D-KP     &gt;=  3.2220  WALL NO. 1
ITEM NO. 107&lt;D-PERM  &gt;= 0.10000E-04 (BOTH WALLS)
ITEM NO. 141&lt;D-TZALPH&gt;= 0.50000  (BOTH WALLS)

```

NON ZERO LAYER DESCRIPTORS FOR LAYER NO. 3 FOR STEP NO. 1

```

ITEM NO.  1&lt;NAME      &gt;= 14.000  (BOTH WALLS)
ITEM NO.  2&lt;NATURE   &gt;=  1.0000  (BOTH WALLS)
ITEM NO.  3&lt;LEVEL    &gt;= -15.990  (BOTH WALLS)
ITEM NO.  4&lt;WALL     &gt;=  1.0000  (BOTH WALLS)
ITEM NO.  5&lt;GAMMAD   &gt;= 20.000  (BOTH WALLS)
ITEM NO.  6&lt;GAMMAB   &gt;= 10.000  (BOTH WALLS)
ITEM NO.  7&lt;GAMMAW   &gt;= 10.000  (BOTH WALLS)
ITEM NO.  8&lt;U-COHE   &gt;= 10.000  (BOTH WALLS)
ITEM NO.  9&lt;U-FRICT  &gt;= 26.000  (BOTH WALLS)
ITEM NO. 10&lt;U-KA     &gt;= 0.34400  WALL NO. 1
ITEM NO. 11&lt;U-KP     &gt;=  3.4040  WALL NO. 1
ITEM NO. 12&lt;K0-NC    &gt;= 0.56200  (BOTH WALLS)
ITEM NO. 13&lt;NEXP     &gt;= 0.50000  (BOTH WALLS)
ITEM NO. 14&lt;OCR      &gt;=  1.0000  (BOTH WALLS)
ITEM NO. 16&lt;MODEL    &gt;=  1.0000  (BOTH WALLS)
ITEM NO. 17&lt;EVC      &gt;= 0.20000E+06 (BOTH WALLS)
ITEM NO. 18&lt;EUR      &gt;= 0.60000E+06 (BOTH WALLS)
ITEM NO. 27&lt;U-PERM   &gt;= 0.10000E-04 (BOTH WALLS)
ITEM NO. 61&lt;U-TZALPH&gt;= 0.50000  (BOTH WALLS)
ITEM NO. 82&lt;D-NATURE&gt;=  1.0000  (BOTH WALLS)
ITEM NO. 83&lt;D-LEVEL  &gt;=  0.0000  (BOTH WALLS)

```


ITEM NO. 88<D-COHE >= 10.000 (BOTH WALLS)
 ITEM NO. 89<D-FRICT >= 26.000 (BOTH WALLS)
 ITEM NO. 90<D-KA >= 0.34400 WALL NO. 1
 ITEM NO. 91<D-KP >= 3.4040 WALL NO. 1
 ITEM NO. 107<D-PERM >= 0.10000E-04 (BOTH WALLS)
 ITEM NO. 141<D-TZALPH>= 0.50000 (BOTH WALLS)

NON ZERO LAYER DESCRIPTORS FOR LAYER NO. 4 FOR STEP NO. 1

ITEM NO. 1<NAME >= 15.000 (BOTH WALLS)
 ITEM NO. 2<NATURE >= 1.0000 (BOTH WALLS)
 ITEM NO. 3<LEVEL >= -17.670 (BOTH WALLS)
 ITEM NO. 4<WALL >= 1.0000 (BOTH WALLS)
 ITEM NO. 5<GAMMAD >= 23.000 (BOTH WALLS)
 ITEM NO. 6<GAMMAB >= 13.000 (BOTH WALLS)
 ITEM NO. 7<GAMMAW >= 10.000 (BOTH WALLS)
 ITEM NO. 8<D-COHE >= 55.000 (BOTH WALLS)
 ITEM NO. 9<U-FRICT >= 31.000 (BOTH WALLS)
 ITEM NO. 10<U-KA >= 0.27900 WALL NO. 1
 ITEM NO. 11<U-KP >= 4.5550 WALL NO. 1
 ITEM NO. 12<K0-NC >= 0.56200 (BOTH WALLS)
 ITEM NO. 13<NEXP >= 0.50000 (BOTH WALLS)
 ITEM NO. 14<OCR >= 1.0000 (BOTH WALLS)
 ITEM NO. 16<MODEL >= 1.0000 (BOTH WALLS)
 ITEM NO. 17<EVC >= 0.13500E+06 (BOTH WALLS)
 ITEM NO. 18<EUR >= 0.40500E+06 (BOTH WALLS)
 ITEM NO. 27<U-PERM >= 0.10000E-04 (BOTH WALLS)
 ITEM NO. 61<U-TZALPH>= 0.50000 (BOTH WALLS)
 ITEM NO. 82<D-NATURE>= 1.0000 (BOTH WALLS)
 ITEM NO. 83<D-LEVEL >= 0.0000 (BOTH WALLS)
 ITEM NO. 88<D-COHE >= 55.000 (BOTH WALLS)
 ITEM NO. 89<D-FRICT >= 31.000 (BOTH WALLS)
 ITEM NO. 90<D-KA >= 0.27900 WALL NO. 1
 ITEM NO. 91<D-KP >= 4.5550 WALL NO. 1
 ITEM NO. 107<D-PERM >= 0.10000E-04 (BOTH WALLS)
 ITEM NO. 141<D-TZALPH>= 0.50000 (BOTH WALLS)

LAYER DESCRIPTORS FOR STEP NO. 2

NON ZERO LAYER DESCRIPTORS FOR LAYER NO. 1 FOR STEP NO. 2

ITEM NO. 1<NAME >= 12.000 (BOTH WALLS)
 ITEM NO. 2<NATURE >= 1.0000 (BOTH WALLS)
 ITEM NO. 3<LEVEL >= 0.0000 (BOTH WALLS)
 ITEM NO. 4<WALL >= 1.0000 (BOTH WALLS)
 ITEM NO. 5<GAMMAD >= 20.000 (BOTH WALLS)
 ITEM NO. 6<GAMMAB >= 10.000 (BOTH WALLS)
 ITEM NO. 7<GAMMAW >= 10.000 (BOTH WALLS)
 ITEM NO. 9<U-FRICT >= 35.000 (BOTH WALLS)
 ITEM NO. 10<U-KA >= 0.23500 WALL NO. 1
 ITEM NO. 11<U-KP >= 5.8790 WALL NO. 1
 ITEM NO. 12<K0-NC >= 0.42600 (BOTH WALLS)
 ITEM NO. 13<NEXP >= 0.50000 (BOTH WALLS)
 ITEM NO. 14<OCR >= 1.0000 (BOTH WALLS)
 ITEM NO. 16<MODEL >= 1.0000 (BOTH WALLS)
 ITEM NO. 17<EVC >= 50000. (BOTH WALLS)
 ITEM NO. 18<EUR >= 0.15000E+06 (BOTH WALLS)
 ITEM NO. 27<U-PERM >= 0.10000E-04 (BOTH WALLS)
 ITEM NO. 61<U-TZALPH>= 0.50000 (BOTH WALLS)
 ITEM NO. 82<D-NATURE>= 1.0000 (BOTH WALLS)
 ITEM NO. 83<D-LEVEL >= 0.0000 (BOTH WALLS)
 ITEM NO. 89<D-FRICT >= 35.000 (BOTH WALLS)
 ITEM NO. 90<D-KA >= 0.23500 WALL NO. 1
 ITEM NO. 91<D-KP >= 5.8790 WALL NO. 1
 ITEM NO. 107<D-PERM >= 0.10000E-04 (BOTH WALLS)
 ITEM NO. 141<D-TZALPH>= 0.50000 (BOTH WALLS)

NON ZERO LAYER DESCRIPTORS FOR LAYER NO. 2 FOR STEP NO. 2

ITEM NO. 1<NAME >= 13.000 (BOTH WALLS)
 ITEM NO. 2<NATURE >= 1.0000 (BOTH WALLS)
 ITEM NO. 3<LEVEL >= -4.7000 (BOTH WALLS)
 ITEM NO. 4<WALL >= 1.0000 (BOTH WALLS)
 ITEM NO. 5<GAMMAD >= 19.500 (BOTH WALLS)
 ITEM NO. 6<GAMMAB >= 9.5000 (BOTH WALLS)
 ITEM NO. 7<GAMMAW >= 10.000 (BOTH WALLS)
 ITEM NO. 9<U-FRICT >= 25.000 (BOTH WALLS)
 ITEM NO. 10<U-KA >= 0.35900 WALL NO. 1
 ITEM NO. 11<U-KP >= 3.2220 WALL NO. 1
 ITEM NO. 12<K0-NC >= 0.56200 (BOTH WALLS)
 ITEM NO. 13<NEXP >= 0.50000 (BOTH WALLS)
 ITEM NO. 14<OCR >= 1.0000 (BOTH WALLS)
 ITEM NO. 16<MODEL >= 1.0000 (BOTH WALLS)
 ITEM NO. 17<EVC >= 35000. (BOTH WALLS)
 ITEM NO. 18<EUR >= 0.10500E+06 (BOTH WALLS)
 ITEM NO. 27<U-PERM >= 0.10000E-04 (BOTH WALLS)
 ITEM NO. 61<U-TZALPH>= 0.50000 (BOTH WALLS)
 ITEM NO. 82<D-NATURE>= 1.0000 (BOTH WALLS)
 ITEM NO. 83<D-LEVEL >= 0.0000 (BOTH WALLS)
 ITEM NO. 89<D-FRICT >= 25.000 (BOTH WALLS)
 ITEM NO. 90<D-KA >= 0.35900 WALL NO. 1

ITEM NO. 91<D-KP >= 3.2220 WALL NO. 1
 ITEM NO. 107<D-PERM >= 0.10000E-04 (BOTH WALLS)
 ITEM NO. 141<D-TZALPH>= 0.50000 (BOTH WALLS)

NON ZERO LAYER DESCRIPTORS FOR LAYER NO. 3 FOR STEP NO. 2

ITEM NO. 1<NAME >= 14.000 (BOTH WALLS)
 ITEM NO. 2<NATURE >= 1.0000 (BOTH WALLS)
 ITEM NO. 3<LEVEL >= -15.990 (BOTH WALLS)
 ITEM NO. 4<WALL >= 1.0000 (BOTH WALLS)
 ITEM NO. 5<GAMMAD >= 20.000 (BOTH WALLS)
 ITEM NO. 6<GAMMAB >= 10.000 (BOTH WALLS)
 ITEM NO. 7<GAMMAW >= 10.000 (BOTH WALLS)
 ITEM NO. 8<U-COHE >= 10.000 (BOTH WALLS)
 ITEM NO. 9<U-FRICT >= 26.000 (BOTH WALLS)
 ITEM NO. 10<U-KA >= 0.34400 WALL NO. 1
 ITEM NO. 11<U-KP >= 3.4040 WALL NO. 1
 ITEM NO. 12<K0-NC >= 0.56200 (BOTH WALLS)
 ITEM NO. 13<NEXP >= 0.50000 (BOTH WALLS)
 ITEM NO. 14<OCR >= 1.0000 (BOTH WALLS)
 ITEM NO. 16<MODEL >= 1.0000 (BOTH WALLS)
 ITEM NO. 17<EVC >= 0.20000E+06 (BOTH WALLS)
 ITEM NO. 18<EUR >= 0.60000E+06 (BOTH WALLS)
 ITEM NO. 27<U-PERM >= 0.10000E-04 (BOTH WALLS)
 ITEM NO. 61<U-TZALPH>= 0.50000 (BOTH WALLS)
 ITEM NO. 82<D-NATURE>= 1.0000 (BOTH WALLS)
 ITEM NO. 83<D-LEVEL >= 0.0000 (BOTH WALLS)
 ITEM NO. 88<D-COHE >= 10.000 (BOTH WALLS)
 ITEM NO. 89<D-FRICT >= 26.000 (BOTH WALLS)
 ITEM NO. 90<D-KA >= 0.34400 WALL NO. 1
 ITEM NO. 91<D-KP >= 3.4040 WALL NO. 1
 ITEM NO. 107<D-PERM >= 0.10000E-04 (BOTH WALLS)
 ITEM NO. 141<D-TZALPH>= 0.50000 (BOTH WALLS)

NON ZERO LAYER DESCRIPTORS FOR LAYER NO. 4 FOR STEP NO. 2

ITEM NO. 1<NAME >= 15.000 (BOTH WALLS)
 ITEM NO. 2<NATURE >= 1.0000 (BOTH WALLS)
 ITEM NO. 3<LEVEL >= -17.670 (BOTH WALLS)
 ITEM NO. 4<WALL >= 1.0000 (BOTH WALLS)
 ITEM NO. 5<GAMMAD >= 23.000 (BOTH WALLS)
 ITEM NO. 6<GAMMAB >= 13.000 (BOTH WALLS)
 ITEM NO. 7<GAMMAW >= 10.000 (BOTH WALLS)
 ITEM NO. 8<U-COHE >= 55.000 (BOTH WALLS)
 ITEM NO. 9<U-FRICT >= 31.000 (BOTH WALLS)
 ITEM NO. 10<U-KA >= 0.27900 WALL NO. 1
 ITEM NO. 11<U-KP >= 4.5550 WALL NO. 1
 ITEM NO. 12<K0-NC >= 0.56200 (BOTH WALLS)
 ITEM NO. 13<NEXP >= 0.50000 (BOTH WALLS)
 ITEM NO. 14<OCR >= 1.0000 (BOTH WALLS)
 ITEM NO. 16<MODEL >= 1.0000 (BOTH WALLS)
 ITEM NO. 17<EVC >= 0.13500E+06 (BOTH WALLS)
 ITEM NO. 18<EUR >= 0.40500E+06 (BOTH WALLS)
 ITEM NO. 27<U-PERM >= 0.10000E-04 (BOTH WALLS)
 ITEM NO. 61<U-TZALPH>= 0.50000 (BOTH WALLS)
 ITEM NO. 82<D-NATURE>= 1.0000 (BOTH WALLS)
 ITEM NO. 83<D-LEVEL >= 0.0000 (BOTH WALLS)
 ITEM NO. 88<D-COHE >= 55.000 (BOTH WALLS)
 ITEM NO. 89<D-FRICT >= 31.000 (BOTH WALLS)
 ITEM NO. 90<D-KA >= 0.27900 WALL NO. 1
 ITEM NO. 91<D-KP >= 4.5550 WALL NO. 1
 ITEM NO. 107<D-PERM >= 0.10000E-04 (BOTH WALLS)
 ITEM NO. 141<D-TZALPH>= 0.50000 (BOTH WALLS)

LAYER DESCRIPTORS FOR STEP NO. 3

NON ZERO LAYER DESCRIPTORS FOR LAYER NO. 1 FOR STEP NO. 3

ITEM NO. 1<NAME >= 12.000 (BOTH WALLS)
 ITEM NO. 2<NATURE >= 1.0000 (BOTH WALLS)
 ITEM NO. 3<LEVEL >= 0.0000 (BOTH WALLS)
 ITEM NO. 4<WALL >= 1.0000 (BOTH WALLS)
 ITEM NO. 5<GAMMAD >= 20.000 (BOTH WALLS)
 ITEM NO. 6<GAMMAB >= 10.000 (BOTH WALLS)
 ITEM NO. 7<GAMMAW >= 10.000 (BOTH WALLS)
 ITEM NO. 9<U-FRICT >= 35.000 (BOTH WALLS)
 ITEM NO. 10<U-KA >= 0.23500 WALL NO. 1
 ITEM NO. 11<U-KP >= 5.8790 WALL NO. 1
 ITEM NO. 12<K0-NC >= 0.42600 (BOTH WALLS)
 ITEM NO. 13<NEXP >= 0.50000 (BOTH WALLS)
 ITEM NO. 14<OCR >= 1.0000 (BOTH WALLS)
 ITEM NO. 16<MODEL >= 1.0000 (BOTH WALLS)
 ITEM NO. 17<EVC >= 50000. (BOTH WALLS)
 ITEM NO. 18<EUR >= 0.15000E+06 (BOTH WALLS)
 ITEM NO. 27<U-PERM >= 0.10000E-04 (BOTH WALLS)
 ITEM NO. 61<U-TZALPH>= 0.50000 (BOTH WALLS)
 ITEM NO. 82<D-NATURE>= 1.0000 (BOTH WALLS)
 ITEM NO. 83<D-LEVEL >= 0.0000 (BOTH WALLS)
 ITEM NO. 89<D-FRICT >= 35.000 (BOTH WALLS)
 ITEM NO. 90<D-KA >= 0.23500 WALL NO. 1
 ITEM NO. 91<D-KP >= 5.8790 WALL NO. 1

ITEM NO. 107<D-PERM >= 0.10000E-04 (BOTH WALLS)
ITEM NO. 141<D-TZALPH>= 0.50000 (BOTH WALLS)

NON ZERO LAYER DESCRIPTORS FOR LAYER NO. 2 FOR STEP NO. 3

ITEM NO. 1<NAME >= 13.000 (BOTH WALLS)
ITEM NO. 2<NATURE >= 1.0000 (BOTH WALLS)
ITEM NO. 3<LEVEL >= -4.7000 (BOTH WALLS)
ITEM NO. 4<WALL >= 1.0000 (BOTH WALLS)
ITEM NO. 5<GAMMAD >= 19.500 (BOTH WALLS)
ITEM NO. 6<GAMMAB >= 9.5000 (BOTH WALLS)
ITEM NO. 7<GAMMAW >= 10.000 (BOTH WALLS)
ITEM NO. 9<U-FRICT >= 25.000 (BOTH WALLS)
ITEM NO. 10<U-KA >= 0.35900 WALL NO. 1
ITEM NO. 11<U-KP >= 3.2220 WALL NO. 1
ITEM NO. 12<K0-NC >= 0.56200 (BOTH WALLS)
ITEM NO. 13<NEXP >= 0.50000 (BOTH WALLS)
ITEM NO. 14<OCR >= 1.0000 (BOTH WALLS)
ITEM NO. 16<MODEL >= 1.0000 (BOTH WALLS)
ITEM NO. 17<EVC >= 35000. (BOTH WALLS)
ITEM NO. 18<EUR >= 0.10500E+06 (BOTH WALLS)
ITEM NO. 27<U-PERM >= 0.10000E-04 (BOTH WALLS)
ITEM NO. 61<U-TZALPH>= 0.50000 (BOTH WALLS)
ITEM NO. 82<D-NATURE>= 1.0000 (BOTH WALLS)
ITEM NO. 83<D-LEVEL >= 0.0000 (BOTH WALLS)
ITEM NO. 89<D-FRICT >= 25.000 (BOTH WALLS)
ITEM NO. 90<D-KA >= 0.35900 WALL NO. 1
ITEM NO. 91<D-KP >= 3.2220 WALL NO. 1
ITEM NO. 107<D-PERM >= 0.10000E-04 (BOTH WALLS)
ITEM NO. 141<D-TZALPH>= 0.50000 (BOTH WALLS)

NON ZERO LAYER DESCRIPTORS FOR LAYER NO. 3 FOR STEP NO. 3

ITEM NO. 1<NAME >= 14.000 (BOTH WALLS)
ITEM NO. 2<NATURE >= 1.0000 (BOTH WALLS)
ITEM NO. 3<LEVEL >= -15.990 (BOTH WALLS)
ITEM NO. 4<WALL >= 1.0000 (BOTH WALLS)
ITEM NO. 5<GAMMAD >= 20.000 (BOTH WALLS)
ITEM NO. 6<GAMMAB >= 10.000 (BOTH WALLS)
ITEM NO. 7<GAMMAW >= 10.000 (BOTH WALLS)
ITEM NO. 8<U-COHE >= 10.000 (BOTH WALLS)
ITEM NO. 9<U-FRICT >= 26.000 (BOTH WALLS)
ITEM NO. 10<U-KA >= 0.34400 WALL NO. 1
ITEM NO. 11<U-KP >= 3.4040 WALL NO. 1
ITEM NO. 12<K0-NC >= 0.56200 (BOTH WALLS)
ITEM NO. 13<NEXP >= 0.50000 (BOTH WALLS)
ITEM NO. 14<OCR >= 1.0000 (BOTH WALLS)
ITEM NO. 16<MODEL >= 1.0000 (BOTH WALLS)
ITEM NO. 17<EVC >= 0.20000E+06 (BOTH WALLS)
ITEM NO. 18<EUR >= 0.60000E+06 (BOTH WALLS)
ITEM NO. 27<U-PERM >= 0.10000E-04 (BOTH WALLS)
ITEM NO. 61<U-TZALPH>= 0.50000 (BOTH WALLS)
ITEM NO. 82<D-NATURE>= 1.0000 (BOTH WALLS)
ITEM NO. 83<D-LEVEL >= 0.0000 (BOTH WALLS)
ITEM NO. 88<D-COHE >= 10.000 (BOTH WALLS)
ITEM NO. 89<D-FRICT >= 26.000 (BOTH WALLS)
ITEM NO. 90<D-KA >= 0.34400 WALL NO. 1
ITEM NO. 91<D-KP >= 3.4040 WALL NO. 1
ITEM NO. 107<D-PERM >= 0.10000E-04 (BOTH WALLS)
ITEM NO. 141<D-TZALPH>= 0.50000 (BOTH WALLS)

NON ZERO LAYER DESCRIPTORS FOR LAYER NO. 4 FOR STEP NO. 3

ITEM NO. 1<NAME >= 15.000 (BOTH WALLS)
ITEM NO. 2<NATURE >= 1.0000 (BOTH WALLS)
ITEM NO. 3<LEVEL >= -17.670 (BOTH WALLS)
ITEM NO. 4<WALL >= 1.0000 (BOTH WALLS)
ITEM NO. 5<GAMMAD >= 23.000 (BOTH WALLS)
ITEM NO. 6<GAMMAB >= 13.000 (BOTH WALLS)
ITEM NO. 7<GAMMAW >= 10.000 (BOTH WALLS)
ITEM NO. 8<U-COHE >= 55.000 (BOTH WALLS)
ITEM NO. 9<U-FRICT >= 31.000 (BOTH WALLS)
ITEM NO. 10<U-KA >= 0.27900 WALL NO. 1
ITEM NO. 11<U-KP >= 4.5550 WALL NO. 1
ITEM NO. 12<K0-NC >= 0.56200 (BOTH WALLS)
ITEM NO. 13<NEXP >= 0.50000 (BOTH WALLS)
ITEM NO. 14<OCR >= 1.0000 (BOTH WALLS)
ITEM NO. 16<MODEL >= 1.0000 (BOTH WALLS)
ITEM NO. 17<EVC >= 0.13500E+06 (BOTH WALLS)
ITEM NO. 18<EUR >= 0.40500E+06 (BOTH WALLS)
ITEM NO. 27<U-PERM >= 0.10000E-04 (BOTH WALLS)
ITEM NO. 61<U-TZALPH>= 0.50000 (BOTH WALLS)
ITEM NO. 82<D-NATURE>= 1.0000 (BOTH WALLS)
ITEM NO. 83<D-LEVEL >= 0.0000 (BOTH WALLS)
ITEM NO. 88<D-COHE >= 55.000 (BOTH WALLS)
ITEM NO. 89<D-FRICT >= 31.000 (BOTH WALLS)
ITEM NO. 90<D-KA >= 0.27900 WALL NO. 1
ITEM NO. 91<D-KP >= 4.5550 WALL NO. 1
ITEM NO. 107<D-PERM >= 0.10000E-04 (BOTH WALLS)
ITEM NO. 141<D-TZALPH>= 0.50000 (BOTH WALLS)

LAYER DESCRIPTORS FOR STEP NO. 4

NON ZERO LAYER DESCRIPTORS FOR LAYER NO. 1 FOR STEP NO. 4

ITEM NO.	1	NAME	>= 12.000	(BOTH WALLS)	
ITEM NO.	2	NATURE	>= 1.0000	(BOTH WALLS)	
ITEM NO.	3	LEVEL	>= 0.0000	(BOTH WALLS)	
ITEM NO.	4	WALL	>= 1.0000	(BOTH WALLS)	
ITEM NO.	5	GAMMAD	>= 20.000	(BOTH WALLS)	
ITEM NO.	6	GAMMAB	>= 10.000	(BOTH WALLS)	
ITEM NO.	7	GAMMAW	>= 10.000	(BOTH WALLS)	
ITEM NO.	9	U-FRICT	>= 35.000	(BOTH WALLS)	
ITEM NO.	10	U-KA	>= 0.23500	WALL NO.	1
ITEM NO.	11	U-KP	>= 5.8790	WALL NO.	1
ITEM NO.	12	K0-NC	>= 0.42600	(BOTH WALLS)	
ITEM NO.	13	NEXP	>= 0.50000	(BOTH WALLS)	
ITEM NO.	14	OCR	>= 1.0000	(BOTH WALLS)	
ITEM NO.	16	MODEL	>= 1.0000	(BOTH WALLS)	
ITEM NO.	17	EVC	>= 50000.	(BOTH WALLS)	
ITEM NO.	18	EUR	>= 0.15000E+06	(BOTH WALLS)	
ITEM NO.	27	U-PERM	>= 0.10000E-04	(BOTH WALLS)	
ITEM NO.	47	U-KAED	>= 0.29971	WALL NO.	1
ITEM NO.	48	U-KAEW	>= 0.36573	WALL NO.	1
ITEM NO.	49	U-KPED	>= 5.8297	WALL NO.	1
ITEM NO.	50	U-KPEW	>= 5.4315	WALL NO.	1
ITEM NO.	61	U-TZALPH	>= 0.50000	(BOTH WALLS)	
ITEM NO.	82	D-NATURE	>= 1.0000	(BOTH WALLS)	
ITEM NO.	83	D-LEVEL	>= 0.0000	(BOTH WALLS)	
ITEM NO.	89	D-FRICT	>= 35.000	(BOTH WALLS)	
ITEM NO.	90	D-KA	>= 0.23500	WALL NO.	1
ITEM NO.	91	D-KP	>= 5.8790	WALL NO.	1
ITEM NO.	107	D-PERM	>= 0.10000E-04	(BOTH WALLS)	
ITEM NO.	127	D-KAED	>= 0.27800	WALL NO.	1
ITEM NO.	128	D-KAEW	>= 0.34559	WALL NO.	1
ITEM NO.	129	D-KPED	>= 5.2629	WALL NO.	1
ITEM NO.	130	D-KPEW	>= 4.8545	WALL NO.	1
ITEM NO.	141	D-TZALPH	>= 0.50000	(BOTH WALLS)	

NON ZERO LAYER DESCRIPTORS FOR LAYER NO. 2 FOR STEP NO. 4

ITEM NO.	1	NAME	>= 13.000	(BOTH WALLS)	
ITEM NO.	2	NATURE	>= 1.0000	(BOTH WALLS)	
ITEM NO.	3	LEVEL	>= -4.7000	(BOTH WALLS)	
ITEM NO.	4	WALL	>= 1.0000	(BOTH WALLS)	
ITEM NO.	5	GAMMAD	>= 19.500	(BOTH WALLS)	
ITEM NO.	6	GAMMAB	>= 9.5000	(BOTH WALLS)	
ITEM NO.	7	GAMMAW	>= 10.000	(BOTH WALLS)	
ITEM NO.	9	U-FRICT	>= 25.000	(BOTH WALLS)	
ITEM NO.	10	U-KA	>= 0.35900	WALL NO.	1
ITEM NO.	11	U-KP	>= 3.2220	WALL NO.	1
ITEM NO.	12	K0-NC	>= 0.56200	(BOTH WALLS)	
ITEM NO.	13	NEXP	>= 0.50000	(BOTH WALLS)	
ITEM NO.	14	OCR	>= 1.0000	(BOTH WALLS)	
ITEM NO.	16	MODEL	>= 1.0000	(BOTH WALLS)	
ITEM NO.	17	EVC	>= 35000.	(BOTH WALLS)	
ITEM NO.	18	EUR	>= 0.10500E+06	(BOTH WALLS)	
ITEM NO.	27	U-PERM	>= 0.10000E-04	(BOTH WALLS)	
ITEM NO.	47	U-KAED	>= 0.44538	WALL NO.	1
ITEM NO.	48	U-KAEW	>= 0.53760	WALL NO.	1
ITEM NO.	49	U-KPED	>= 3.1512	WALL NO.	1
ITEM NO.	50	U-KPEW	>= 2.8567	WALL NO.	1
ITEM NO.	61	U-TZALPH	>= 0.50000	(BOTH WALLS)	
ITEM NO.	82	D-NATURE	>= 1.0000	(BOTH WALLS)	
ITEM NO.	83	D-LEVEL	>= 0.0000	(BOTH WALLS)	
ITEM NO.	89	D-FRICT	>= 25.000	(BOTH WALLS)	
ITEM NO.	90	D-KA	>= 0.35900	WALL NO.	1
ITEM NO.	91	D-KP	>= 3.2220	WALL NO.	1
ITEM NO.	107	D-PERM	>= 0.10000E-04	(BOTH WALLS)	
ITEM NO.	127	D-KAED	>= 0.41129	WALL NO.	1
ITEM NO.	128	D-KAEW	>= 0.50839	WALL NO.	1
ITEM NO.	129	D-KPED	>= 2.8400	WALL NO.	1
ITEM NO.	130	D-KPEW	>= 2.5363	WALL NO.	1
ITEM NO.	141	D-TZALPH	>= 0.50000	(BOTH WALLS)	

NON ZERO LAYER DESCRIPTORS FOR LAYER NO. 3 FOR STEP NO. 4

ITEM NO.	1	NAME	>= 14.000	(BOTH WALLS)	
ITEM NO.	2	NATURE	>= 1.0000	(BOTH WALLS)	
ITEM NO.	3	LEVEL	>= -15.990	(BOTH WALLS)	
ITEM NO.	4	WALL	>= 1.0000	(BOTH WALLS)	
ITEM NO.	5	GAMMAD	>= 20.000	(BOTH WALLS)	
ITEM NO.	6	GAMMAB	>= 10.000	(BOTH WALLS)	
ITEM NO.	7	GAMMAW	>= 10.000	(BOTH WALLS)	
ITEM NO.	8	U-COHE	>= 10.000	(BOTH WALLS)	
ITEM NO.	9	U-FRICT	>= 26.000	(BOTH WALLS)	
ITEM NO.	10	U-KA	>= 0.34400	WALL NO.	1
ITEM NO.	11	U-KP	>= 3.4040	WALL NO.	1
ITEM NO.	12	K0-NC	>= 0.56200	(BOTH WALLS)	
ITEM NO.	13	NEXP	>= 0.50000	(BOTH WALLS)	
ITEM NO.	14	OCR	>= 1.0000	(BOTH WALLS)	
ITEM NO.	16	MODEL	>= 1.0000	(BOTH WALLS)	
ITEM NO.	17	EVC	>= 0.20000E+06	(BOTH WALLS)	

ITEM NO. 18<EUR >= 0.60000E+06 (BOTH WALLS)
ITEM NO. 27<U-PERM >= 0.10000E-04 (BOTH WALLS)
ITEM NO. 47<U-KAED >= 0.42861 WALL NO. 1
ITEM NO. 48<U-KAEW >= 0.51350 WALL NO. 1
ITEM NO. 49<U-KPED >= 3.3356 WALL NO. 1
ITEM NO. 50<U-KPEW >= 3.0485 WALL NO. 1
ITEM NO. 61<U-TZALPH>= 0.50000 (BOTH WALLS)
ITEM NO. 82<D-NATURE>= 1.0000 (BOTH WALLS)
ITEM NO. 83<D-LEVEL >= 0.0000 (BOTH WALLS)
ITEM NO. 88<D-COHE >= 10.000 (BOTH WALLS)
ITEM NO. 89<D-FRICT >= 26.000 (BOTH WALLS)
ITEM NO. 90<D-KA >= 0.34400 WALL NO. 1
ITEM NO. 91<D-KP >= 3.4040 WALL NO. 1
ITEM NO. 107<D-PERM >= 0.10000E-04 (BOTH WALLS)
ITEM NO. 127<D-KAED >= 0.39605 WALL NO. 1
ITEM NO. 128<D-KAEW >= 0.48459 WALL NO. 1
ITEM NO. 129<D-KPED >= 3.0066 WALL NO. 1
ITEM NO. 130<D-KPEW >= 2.7114 WALL NO. 1
ITEM NO. 141<D-TZALPH>= 0.50000 (BOTH WALLS)

NON ZERO LAYER DESCRIPTORS FOR LAYER NO. 4 FOR STEP NO. 4

ITEM NO. 1<NAME >= 15.000 (BOTH WALLS)
ITEM NO. 2<NATURE >= 1.0000 (BOTH WALLS)
ITEM NO. 3<LEVEL >= -17.670 (BOTH WALLS)
ITEM NO. 4<WALL >= 1.0000 (BOTH WALLS)
ITEM NO. 5<GAMMAD >= 23.000 (BOTH WALLS)
ITEM NO. 6<GAMMAB >= 13.000 (BOTH WALLS)
ITEM NO. 7<GAMMAW >= 10.000 (BOTH WALLS)
ITEM NO. 8<U-COHE >= 55.000 (BOTH WALLS)
ITEM NO. 9<U-FRICT >= 31.000 (BOTH WALLS)
ITEM NO. 10<U-KA >= 0.27900 WALL NO. 1
ITEM NO. 11<U-KP >= 4.5550 WALL NO. 1
ITEM NO. 12<K0-NC >= 0.56200 (BOTH WALLS)
ITEM NO. 13<NEXP >= 0.50000 (BOTH WALLS)
ITEM NO. 14<OCR >= 1.0000 (BOTH WALLS)
ITEM NO. 16<MODEL >= 1.0000 (BOTH WALLS)
ITEM NO. 17<EVC >= 0.13500E+06 (BOTH WALLS)
ITEM NO. 18<EUR >= 0.40500E+06 (BOTH WALLS)
ITEM NO. 27<U-PERM >= 0.10000E-04 (BOTH WALLS)
ITEM NO. 47<U-KAED >= 0.35211 WALL NO. 1
ITEM NO. 48<U-KAEW >= 0.40660 WALL NO. 1
ITEM NO. 49<U-KPED >= 4.4947 WALL NO. 1
ITEM NO. 50<U-KPEW >= 4.2390 WALL NO. 1
ITEM NO. 61<U-TZALPH>= 0.50000 (BOTH WALLS)
ITEM NO. 82<D-NATURE>= 1.0000 (BOTH WALLS)
ITEM NO. 83<D-LEVEL >= 0.0000 (BOTH WALLS)
ITEM NO. 88<D-COHE >= 55.000 (BOTH WALLS)
ITEM NO. 89<D-FRICT >= 31.000 (BOTH WALLS)
ITEM NO. 90<D-KA >= 0.27900 WALL NO. 1
ITEM NO. 91<D-KP >= 4.5550 WALL NO. 1
ITEM NO. 107<D-PERM >= 0.10000E-04 (BOTH WALLS)
ITEM NO. 127<D-KAED >= 0.32560 WALL NO. 1
ITEM NO. 128<D-KAEW >= 0.38272 WALL NO. 1
ITEM NO. 129<D-KPED >= 4.0548 WALL NO. 1
ITEM NO. 130<D-KPEW >= 3.7930 WALL NO. 1
ITEM NO. 141<D-TZALPH>= 0.50000 (BOTH WALLS)

DEFAULT WATER UNIT WEIGHT = 10.000
AVERAGED ON 16 VALUES

Z-PC	0.000	0.000
Z-EXCAVATION	-4.700	0.000
Z-WATER_TABLE	-9.500	-0.9990E+30
Q_AT_THE_FREE_FIELD_LEVEL	57.00	0.000
ZQ	0.000	0.000
DZW_OF_THE_WATER_TABLE	0.000	0.000
QS_ON_THE_EXCAVATION_SIDE	0.000	0.000
ZQS	-4.700	-0.9990E+30
ZCUT	0.000	0.000
BALANCE LEVEL FOR PORE PRESSURES	-18.20	-18.20
WATER_BEHAVIOUR_FLAG (LINING OPT)	0.000	0.000
PORE_UPDATE_FLAG	0.000	0.000
PORE_TAB._FLAG (gt.0= use tabs)	0.000	0.000
lateral thrusts reduction elevatio	0.000	0.000
Downhill reduction factor for effe	0.000	0.000
Downhill reduction factor for pore	0.000	0.000
Uphill reduction factor for effect	0.000	0.000
Uphill reduction factor for pore p	0.000	0.000
SEISMIC HORIZONTAL ACCEL. Kh [g]	0.000	0.000
UPHILL VERTICAL ACCEL. Kv_uh [g]	0.000	0.000
DOWNHILL VERTICAL ACCEL.Kv_dh [g]	0.000	0.000
UPHILL BETA ANGLE (SLOPE) [deg]	0.000	0.000
UPHILL DELTA/PHI RATIO	0.000	0.000
DOWNHILL BETA ANGLE (SLOPE) [deg]	0.000	0.000
DOWNHILL DELTA/PHI RATIO	0.000	0.000
DYN.WATER BEHAVIOUR	0.000	0.000
Excess pore pressure RATIO Ru	0.000	0.000
SEISMIC PRESSURE LOWER VALUE	0.000	0.000
SEISMIC PRESSURE UPPER VALUE	0.000	0.000
SEISMIC PRESSURE LOWER LEVEL	0.000	0.000
SEISMIC PRESSURE UPPER LEVEL	0.000	0.000

=====
=====end of step 3

STEP NO.	4 no. of subincrements	1	
		LEFT WALL	RIGHT WALL
Y		0.000	-0.9990E+30
Z-PC		0.000	0.000
Z-EXCAVATION		-4.700	0.000
Z-WATER_TABLE		-9.500	-0.9990E+30
Q_AT_THE_FREE_FIELD_LEVEL		57.00	0.000
ZQ		0.000	0.000
DZW_OF_THE_WATER_TABLE		0.000	0.000
QS_ON_THE_EXCAVATION_SIDE		0.000	0.000
ZQS		0.000	-0.9990E+30
ZCUT		0.000	0.000
BALANCE LEVEL FOR PORE PRESSURES		-18.20	-18.20
WATER_BEHAVIOUR_FLAG (LINING OPT)		0.000	0.000
PORE_UPDATE_FLAG		0.000	0.000
PORE_TAB._FLAG (gt.0= use tabs)		0.000	0.000
lateral thrusts reduction elevatio		0.000	0.000
Downhill reduction factor for effe		0.000	0.000
Downhill reduction factor for pore		0.000	0.000
Uphill reduction factor for effect		0.000	0.000
Uphill reduction factor for pore p		0.000	0.000
SEISMIC HORIZONTAL ACCEL. Kh [g]		-0.9590E-01	0.000
		MANUAL	
UPHILL VERTICAL ACCEL. Kv_uh [g]		0.4795E-01	0.000
DOWNHILL VERTICAL ACCEL.Kv_dh [g]		-0.4795E-01	0.000
UPHILL BETA ANGLE (SLOPE) [deg]		0.000	0.000
UPHILL DELTA/PHI RATIO		0.5000	0.000
DOWNHILL BETA ANGLE (SLOPE) [deg]		0.000	0.000
DOWNHILL DELTA/PHI RATIO		0.5000	0.000
DYN.WATER BEHAVIOUR		0.000	0.000
Excess pore pressure RATIO Ru		0.000	0.000
SEISMIC PRESSURE LOWER VALUE		0.000	0.000
SEISMIC PRESSURE UPPER VALUE		0.000	0.000
SEISMIC PRESSURE LOWER LEVEL		0.000	0.000
SEISMIC PRESSURE UPPER LEVEL		0.000	0.000

=====
=====end of step 4

LEFT-HAND WALL

LOWER LEVEL	-18.20000
UPPER LEVEL	0.00000

RIGHT-HAND WALL

LOWER LEVEL	-18.20000
UPPER LEVEL	0.00000

```

+-----+
|          PARATIEPLUS(TM)  NLS ENGINE RELEASE 2022.0.0  FULL VERSION  *Build date:Sep 13, 2021*          |
|                                                                                                                                            |
|                                                                                               ParatiePlus                               |
|                                                                                               Exe Time :28 January 2022   11:11:16          |
+-----+

```

I N I T I A L S T R E S S T A B L E S

S E C T I O N

NUMBER OF DEFINED TABLES 17

INPUT DATA FOR INITIAL STRESS SET NO. 1
PERTAINING SOIL ELEMENTS AT Y-COORD 0.0000

ACTIVATION TIME 3.0000
END TIME (TIME BEYOND WHICH IT IS REMOVED) 4.0000

TYPE BOUSSINESQ

HORIZONTAL DISTANCE (DY) 6.700000000000000
FOUNDATION WIDTH (B) 0.378240000000000
ZETA-F..... 0.000000000000000E+000
Q-F 58.8240000000000
BETA 45.0000000000000
BEHAVIOUR (0=FREE, 1=REFLECTING) 0.000000000000000E+000

INPUT DATA FOR INITIAL STRESS SET NO. 2
PERTAINING SOIL ELEMENTS AT Y-COORD 0.0000

ACTIVATION TIME 3.0000
END TIME (TIME BEYOND WHICH IT IS REMOVED) 4.0000

TYPE BOUSSINESQ

HORIZONTAL DISTANCE (DY) 7.078200000000000
FOUNDATION WIDTH (B) 0.378240000000000
ZETA-F..... 0.000000000000000E+000
Q-F 56.4710000000000
BETA 45.0000000000000
BEHAVIOUR (0=FREE, 1=REFLECTING) 0.000000000000000E+000

INPUT DATA FOR INITIAL STRESS SET NO. 3
PERTAINING SOIL ELEMENTS AT Y-COORD 0.0000

ACTIVATION TIME 3.0000
END TIME (TIME BEYOND WHICH IT IS REMOVED) 4.0000

TYPE BOUSSINESQ

HORIZONTAL DISTANCE (DY) 7.456500000000000
FOUNDATION WIDTH (B) 0.378240000000000
ZETA-F..... 0.000000000000000E+000
Q-F 54.1180000000000
BETA 45.0000000000000
BEHAVIOUR (0=FREE, 1=REFLECTING) 0.000000000000000E+000

INPUT DATA FOR INITIAL STRESS SET NO. 4
PERTAINING SOIL ELEMENTS AT Y-COORD 0.0000

ACTIVATION TIME 3.0000
END TIME (TIME BEYOND WHICH IT IS REMOVED) 4.0000

TYPE BOUSSINESQ

HORIZONTAL DISTANCE (DY) 7.834700000000000
FOUNDATION WIDTH (B) 0.378240000000000
ZETA-F..... 0.000000000000000E+000
Q-F 51.7650000000000
BETA 45.0000000000000
BEHAVIOUR (0=FREE, 1=REFLECTING) 0.000000000000000E+000

INPUT DATA FOR INITIAL STRESS SET NO. 5
PERTAINING SOIL ELEMENTS AT Y-COORD 0.0000

ACTIVATION TIME 3.0000
END TIME (TIME BEYOND WHICH IT IS REMOVED) 4.0000

TYPE BOUSSINESQ

HORIZONTAL DISTANCE (DY) 8.212900000000000
FOUNDATION WIDTH (B) 0.378240000000000
ZETA-F..... 0.000000000000000E+000
Q-F 49.4120000000000

BETA 45.00000000000000
BEHAVIOUR (0=FREE, 1=REFLECTING) 0.0000000000000000E+000

INPUT DATA FOR INITIAL STRESS SET NO. 6
PERTAINING SOIL ELEMENTS AT Y-COORD 0.0000

ACTIVATION TIME 3.0000
END TIME (TIME BEYOND WHICH IT IS REMOVED) 4.0000

TYPE BOUSSINESQ

HORIZONTAL DISTANCE (DY) 8.591200000000000
FOUNDATION WIDTH (B) 0.3782400000000000
ZETA-F..... 0.0000000000000000E+000
Q-F 47.059000000000000
BETA 45.000000000000000
BEHAVIOUR (0=FREE, 1=REFLECTING) 0.0000000000000000E+000

INPUT DATA FOR INITIAL STRESS SET NO. 7
PERTAINING SOIL ELEMENTS AT Y-COORD 0.0000

ACTIVATION TIME 3.0000
END TIME (TIME BEYOND WHICH IT IS REMOVED) 4.0000

TYPE BOUSSINESQ

HORIZONTAL DISTANCE (DY) 8.969400000000000
FOUNDATION WIDTH (B) 0.3782400000000000
ZETA-F..... 0.0000000000000000E+000
Q-F 44.706000000000000
BETA 45.000000000000000
BEHAVIOUR (0=FREE, 1=REFLECTING) 0.0000000000000000E+000

INPUT DATA FOR INITIAL STRESS SET NO. 8
PERTAINING SOIL ELEMENTS AT Y-COORD 0.0000

ACTIVATION TIME 3.0000
END TIME (TIME BEYOND WHICH IT IS REMOVED) 4.0000

TYPE BOUSSINESQ

HORIZONTAL DISTANCE (DY) 9.347600000000000
FOUNDATION WIDTH (B) 0.3782400000000000
ZETA-F..... 0.0000000000000000E+000
Q-F 42.353000000000000
BETA 45.000000000000000
BEHAVIOUR (0=FREE, 1=REFLECTING) 0.0000000000000000E+000

INPUT DATA FOR INITIAL STRESS SET NO. 9
PERTAINING SOIL ELEMENTS AT Y-COORD 0.0000

ACTIVATION TIME 3.0000
END TIME (TIME BEYOND WHICH IT IS REMOVED) 4.0000

TYPE BOUSSINESQ

HORIZONTAL DISTANCE (DY) 9.725900000000000
FOUNDATION WIDTH (B) 0.3782400000000000
ZETA-F..... 0.0000000000000000E+000
Q-F 40.000000000000000
BETA 45.000000000000000
BEHAVIOUR (0=FREE, 1=REFLECTING) 0.0000000000000000E+000

INPUT DATA FOR INITIAL STRESS SET NO. 10
PERTAINING SOIL ELEMENTS AT Y-COORD 0.0000

ACTIVATION TIME 3.0000
END TIME (TIME BEYOND WHICH IT IS REMOVED) 4.0000

TYPE BOUSSINESQ

HORIZONTAL DISTANCE (DY) 10.104000000000000
FOUNDATION WIDTH (B) 0.3782400000000000
ZETA-F..... 0.0000000000000000E+000
Q-F 37.647000000000000
BETA 45.000000000000000
BEHAVIOUR (0=FREE, 1=REFLECTING) 0.0000000000000000E+000

INPUT DATA FOR INITIAL STRESS SET NO. 11
PERTAINING SOIL ELEMENTS AT Y-COORD 0.0000

ACTIVATION TIME 3.0000
END TIME (TIME BEYOND WHICH IT IS REMOVED) 4.0000

TYPE BOUSSINESQ

HORIZONTAL DISTANCE (DY) 10.4820000000000
FOUNDATION WIDTH (B) 0.378240000000000
ZETA-F..... 0.000000000000000E+000
Q-F 35.2940000000000
BETA 45.0000000000000
BEHAVIOUR (0=FREE, 1=REFLECTING) 0.000000000000000E+000

INPUT DATA FOR INITIAL STRESS SET NO. 12
PERTAINING SOIL ELEMENTS AT Y-COORD 0.0000

ACTIVATION TIME 3.0000
END TIME (TIME BEYOND WHICH IT IS REMOVED) 4.0000

TYPE BOUSSINESQ

HORIZONTAL DISTANCE (DY) 10.8610000000000
FOUNDATION WIDTH (B) 0.378240000000000
ZETA-F..... 0.000000000000000E+000
Q-F 32.9410000000000
BETA 45.0000000000000
BEHAVIOUR (0=FREE, 1=REFLECTING) 0.000000000000000E+000

INPUT DATA FOR INITIAL STRESS SET NO. 13
PERTAINING SOIL ELEMENTS AT Y-COORD 0.0000

ACTIVATION TIME 3.0000
END TIME (TIME BEYOND WHICH IT IS REMOVED) 4.0000

TYPE BOUSSINESQ

HORIZONTAL DISTANCE (DY) 11.2390000000000
FOUNDATION WIDTH (B) 0.378240000000000
ZETA-F..... 0.000000000000000E+000
Q-F 30.5880000000000
BETA 45.0000000000000
BEHAVIOUR (0=FREE, 1=REFLECTING) 0.000000000000000E+000

INPUT DATA FOR INITIAL STRESS SET NO. 14
PERTAINING SOIL ELEMENTS AT Y-COORD 0.0000

ACTIVATION TIME 3.0000
END TIME (TIME BEYOND WHICH IT IS REMOVED) 4.0000

TYPE BOUSSINESQ

HORIZONTAL DISTANCE (DY) 11.6170000000000
FOUNDATION WIDTH (B) 0.378240000000000
ZETA-F..... 0.000000000000000E+000
Q-F 28.2350000000000
BETA 45.0000000000000
BEHAVIOUR (0=FREE, 1=REFLECTING) 0.000000000000000E+000

INPUT DATA FOR INITIAL STRESS SET NO. 15
PERTAINING SOIL ELEMENTS AT Y-COORD 0.0000

ACTIVATION TIME 3.0000
END TIME (TIME BEYOND WHICH IT IS REMOVED) 4.0000

TYPE BOUSSINESQ

HORIZONTAL DISTANCE (DY) 11.9950000000000
FOUNDATION WIDTH (B) 0.378240000000000
ZETA-F..... 0.000000000000000E+000
Q-F 25.8820000000000
BETA 45.0000000000000
BEHAVIOUR (0=FREE, 1=REFLECTING) 0.000000000000000E+000

INPUT DATA FOR INITIAL STRESS SET NO. 16
PERTAINING SOIL ELEMENTS AT Y-COORD 0.0000

ACTIVATION TIME 3.0000
END TIME (TIME BEYOND WHICH IT IS REMOVED) 4.0000

TYPE BOUSSINESQ

HORIZONTAL DISTANCE (DY) 12.3740000000000
FOUNDATION WIDTH (B) 0.378240000000000
ZETA-F..... 0.000000000000000E+000
Q-F 23.5290000000000
BETA 45.0000000000000
BEHAVIOUR (0=FREE, 1=REFLECTING) 0.000000000000000E+000

INPUT DATA FOR INITIAL STRESS SET NO. 17
PERTAINING SOIL ELEMENTS AT Y-COORD 0.0000

ACTIVATION TIME 3.0000

END TIME (TIME BEYOND WHICH IT IS REMOVED) 4.0000

TYPE BOUSSINESQ

HORIZONTAL DISTANCE (DY) 12.7520000000000
FOUNDATION WIDTH (B) 0.378240000000000
ZETA-F..... 0.000000000000000E+000
Q-F 21.1760000000000
BETA 45.0000000000000
BEHAVIOUR (0=FREE, 1=REFLECTING) 0.000000000000000E+000

ELEMENT GROUPS BACKUP AREA CAN STAY IN CORE AT
POSITION 7228

NO. OF D.P.W FOR THIS AREA 14242
MAX NO. OF D.P.W. AVAILABLE 81920
** MAX NO OF ITERATIONS SET TO 40

ITER 0 RNORM = 0.000 RMNORM= 0.000
RINORM=0.5558E+05 RIMNOR= 0.000
RENORM= 0.000 REMNOR= 0.000 RATIO = 0.000 TOLER =0.1000E-03 CONVERGED !
RFMAX = 36.48 RMMAX = 0.000
RTSMAL=0.1000E-03 RMSMAL= 0.000
RDT =0.5558E+05 RDR = 0.000
RATIOT= 0.000 RATIO= 0.000
MAX UN= 0.000 IEQ= 186 NODE 93 DOF 2 X-ROT. F
MIN UN= 0.000 IEQ= 1 NODE 1 DOF 1 Y-DISPL.F
NO. OF CONTACT CONSTRAINT VIOLATIONS 0

ITER 1 RNORM = 0.000 RMNORM= 0.000
RINORM=0.5558E+05 RIMNOR= 0.000
RENORM= 0.000 REMNOR= 0.000 RATIO = 0.000 TOLER =0.1000E-03 CONVERGED !
RFMAX = 36.48 RMMAX = 0.000
RTSMAL=0.1000E-03 RMSMAL= 0.000
RDT =0.5558E+05 RDR = 0.000
RATIOT= 0.000 RATIO= 0.000
MAX UN= 0.000 IEQ= 186 NODE 93 DOF 2 X-ROT. F
MIN UN= 0.000 IEQ= 1 NODE 1 DOF 1 Y-DISPL.F
NO. OF CONTACT CONSTRAINT VIOLATIONS 0

ITER 2 RNORM = 0.000 RMNORM= 0.000
RINORM=0.5558E+05 RIMNOR= 0.000
RENORM= 0.000 REMNOR= 0.000 RATIO = 0.000 TOLER =0.1000E-03 CONVERGED !
RFMAX = 36.48 RMMAX = 0.000
RTSMAL=0.1000E-03 RMSMAL= 0.000
RDT =0.5558E+05 RDR = 0.000
RATIOT= 0.000 RATIO= 0.000
MAX UN= 0.000 IEQ= 186 NODE 93 DOF 2 X-ROT. F
MIN UN= 0.000 IEQ= 1 NODE 1 DOF 1 Y-DISPL.F
NO. OF CONTACT CONSTRAINT VIOLATIONS 0

```
+-----+
|          PARATIEPLUS(TM)  NLS ENGINE RELEASE  2022.0.0  FULL VERSION  *Build date:Sep 13, 2021*  |
|                                                                                               |
|                                                                                               |
|                               ParatiePlus                                                    |
|                               Exe Time :28 January 2022  11:11:16                            |
+-----+
```

New Project
SOLUTION REACHED USING 2 ITERATIONS ON 40

P R I N T O U T F O R T I M E S T E P 1 (AT TIME 1.000) SUBINCREMENT 00001/00001

PRINT OUT OF ACTIVE COMPONENTS (FIXED NODES ARE NOT PRINTED OUT)

Y-DISPL.F	X-ROT. F
02	04

ALL NODAL POINTS HAVE ZERO DISPLACEMENT COMPONENTS

```

+-----+
|                PARATIEPLUS(TM)  NLS ENGINE RELEASE  2022.0.0  FULL VERSION  *Build date:Sep 13, 2021*                |
|                                                                                                                                            |
|                                                                                               ParatiePlus                               |
|                                                                                               Exe Time :28 January 2022   11:11:16                               |
+-----+

```

New Project

STRESS RESULTS FOR GROUP NO. 1

0_L :
ELEMENT TYPE 5 NO.OF ELEMENTS. IN THIS GROUP 93
CURRENT TIME IS 1.0000 SUBINCREMENT 00001/00001

HARDENING 2D SOIL ELEMENT

***** TOTAL STRESS FORMULATION *****

EL * TOR QSL	FORCE UFACTOR ZD	DISPL-Y Peq ZPL	VERTICAL-P Su_a Kz	HORIZON.-P Su_p	MAX-V-P Coh_e_a	MAX-H-P Coh_e_p	STATE LAYER	STIFFNESS	Z-LEVEL	PORE ZFO	E FAC- QS
1	0.000	--	--	--	--	--	REMOVED	--	0.000	0.000	
1.000	1.000	0.000	0.000	0.000	0.000	0.000	not available				
2	0.000	--	--	--	--	--	REMOVED	--	-0.2000	0.000	
1.000	1.000	0.000	0.000	0.000	0.000	0.000	not available				
3	0.000	--	--	--	--	--	REMOVED	--	-0.4000	0.000	
1.000	1.000	0.000	0.000	0.000	0.000	0.000	not available				
4	0.000	--	--	--	--	--	REMOVED	--	-0.6000	0.000	
1.000	1.000	0.000	0.000	0.000	0.000	0.000	not available				
5	0.000	--	--	--	--	--	REMOVED	--	-0.8000	0.000	
1.000	1.000	0.000	0.000	0.000	0.000	0.000	not available				
6	0.000	--	--	--	--	--	REMOVED	--	-1.000	0.000	
1.000	1.000	0.000	0.000	0.000	0.000	0.000	not available				
7	0.000	--	--	--	--	--	REMOVED	--	-1.200	0.000	
1.000	1.000	0.000	0.000	0.000	0.000	0.000	not available				
8	0.000	--	--	--	--	--	REMOVED	--	-1.400	0.000	
1.000	1.000	0.000	0.000	0.000	0.000	0.000	not available				
9	0.000	--	--	--	--	--	REMOVED	--	-1.600	0.000	
1.000	1.000	0.000	0.000	0.000	0.000	0.000	not available				
10	0.000	--	--	--	--	--	REMOVED	--	-1.800	0.000	
1.000	1.000	0.000	0.000	0.000	0.000	0.000	not available				
11	0.000	--	--	--	--	--	REMOVED	--	-2.000	0.000	
1.000	1.000	0.000	0.000	0.000	0.000	0.000	not available				
12	0.000	--	--	--	--	--	REMOVED	--	-2.200	0.000	
1.000	1.000	0.000	0.000	0.000	0.000	0.000	not available				
13	0.000	--	--	--	--	--	REMOVED	--	-2.400	0.000	
1.000	1.000	0.000	0.000	0.000	0.000	0.000	not available				
14	0.000	--	--	--	--	--	REMOVED	--	-2.600	0.000	
1.000	1.000	0.000	0.000	0.000	0.000	0.000	not available				
15	0.000	--	--	--	--	--	REMOVED	--	-2.800	0.000	
1.000	1.000	0.000	0.000	0.000	0.000	0.000	not available				
16	0.000	--	--	--	--	--	REMOVED	--	-3.000	0.000	
1.000	1.000	0.000	0.000	0.000	0.000	0.000	not available				
17	0.000	--	--	--	--	--	REMOVED	--	-3.200	0.000	
1.000	1.000	0.000	0.000	0.000	0.000	0.000	not available				
18	0.000	--	--	--	--	--	REMOVED	--	-3.400	0.000	
1.000	1.000	0.000	0.000	0.000	0.000	0.000	not available				
19	0.000	--	--	--	--	--	REMOVED	--	-3.600	0.000	
1.000	1.000	0.000	0.000	0.000	0.000	0.000	not available				
20	0.000	--	--	--	--	--	REMOVED	--	-3.800	0.000	
1.000	1.000	0.000	0.000	0.000	0.000	0.000	not available				
21	0.000	--	--	--	--	--	REMOVED	--	-4.000	0.000	
1.000	1.000	0.000	0.000	0.000	0.000	0.000	not available				
22	0.000	--	--	--	--	--	REMOVED	--	-4.200	0.000	
1.000	1.000	0.000	0.000	0.000	0.000	0.000	not available				
23	0.000	--	--	--	--	--	REMOVED	--	-4.400	0.000	
1.000	1.000	0.000	0.000	0.000	0.000	0.000	not available				
24	0.000	--	--	--	--	--	REMOVED	--	-4.600	0.000	
1.000	1.000	0.000	0.000	0.000	0.000	0.000	not available				
25 D	0.000	0.000	0.000	0.000	0.000	0.000	V-C 1.8377E+04		-4.700	0.000	
1.000	1.000	0.000	0.000	0.000	0.000	0.000	Ala_161_6590_L_0			0.0000	
0.0000	0.0000	0.0000	0.0000	0.0000	0.0000	0.0000					
26 D	0.4384	0.000	3.900	2.192	3.900	2.192	V-C 1.8377E+04		-4.900	0.000	
1.000	1.000	2.192	0.000	0.000	0.000	0.000	Ala_161_6590_L_0			0.0000	
0.0000	0.0000	0.0000	0.0000	0.0000	0.0000	0.0000					
27 D	0.8767	0.000	7.800	4.384	7.800	4.384	V-C 1.8377E+04		-5.100	0.000	
1.000	1.000	4.384	0.000	0.000	0.000	0.000	Ala_161_6590_L_0			0.0000	
0.0000	0.0000	0.0000	0.0000	0.0000	0.0000	0.0000					
28 D	1.315	0.000	11.70	6.575	11.70	6.575	V-C 1.8377E+04		-5.300	0.000	
1.000	1.000	6.575	0.000	0.000	0.000	0.000	Ala_161_6590_L_0			0.0000	
0.0000	0.0000	0.0000	0.0000	0.0000	0.0000	0.0000					
29 D	1.753	0.000	15.60	8.767	15.60	8.767	V-C 1.8377E+04		-5.500	0.000	
1.000	1.000	8.767	0.000	0.000	0.000	0.000	Ala_161_6590_L_0			0.0000	
0.0000	0.0000	0.0000	0.0000	0.0000	0.0000	0.0000					
30 D	2.192	0.000	19.50	10.96	19.50	10.96	V-C 1.8377E+04		-5.700	0.000	

1.000	1.000	10.96	0.000	0.000	0.000	0.000	Ala_161_6590_L_0	0.0000	
0.0000	0.0000	0.0000	0.0000	0.0000	0.0000	0.0000			
31 D	2.630	0.000	23.40	13.15	23.40	13.15	V-C 1.8377E+04	-5.900	0.000
1.000	1.000	13.15	0.000	0.000	0.000	0.000	Ala_161_6590_L_0	0.0000	
0.0000	0.0000	0.0000	0.0000	0.0000	0.0000	0.0000			
32 D	3.069	0.000	27.30	15.34	27.30	15.34	V-C 1.8377E+04	-6.100	0.000
1.000	1.000	15.34	0.000	0.000	0.000	0.000	Ala_161_6590_L_0	0.0000	
0.0000	0.0000	0.0000	0.0000	0.0000	0.0000	0.0000			
33 D	3.507	0.000	31.20	17.53	31.20	17.53	V-C 1.8377E+04	-6.300	0.000
1.000	1.000	17.53	0.000	0.000	0.000	0.000	Ala_161_6590_L_0	0.0000	
0.0000	0.0000	0.0000	0.0000	0.0000	0.0000	0.0000			
34 D	3.945	0.000	35.10	19.73	35.10	19.73	V-C 1.8377E+04	-6.500	0.000
1.000	1.000	19.73	0.000	0.000	0.000	0.000	Ala_161_6590_L_0	0.0000	
0.0000	0.0000	0.0000	0.0000	0.0000	0.0000	0.0000			
35 D	4.384	0.000	39.00	21.92	39.00	21.92	V-C 1.8377E+04	-6.700	0.000
1.000	1.000	21.92	0.000	0.000	0.000	0.000	Ala_161_6590_L_0	0.0000	
0.0000	0.0000	0.0000	0.0000	0.0000	0.0000	0.0000			
36 D	4.822	0.000	42.90	24.11	42.90	24.11	V-C 1.8377E+04	-6.900	0.000
1.000	1.000	24.11	0.000	0.000	0.000	0.000	Ala_161_6590_L_0	0.0000	
0.0000	0.0000	0.0000	0.0000	0.0000	0.0000	0.0000			
37 D	5.260	0.000	46.80	26.30	46.80	26.30	V-C 1.8377E+04	-7.100	0.000
1.000	1.000	26.30	0.000	0.000	0.000	0.000	Ala_161_6590_L_0	0.0000	
0.0000	0.0000	0.0000	0.0000	0.0000	0.0000	0.0000			
38 D	5.699	0.000	50.70	28.49	50.70	28.49	V-C 1.8377E+04	-7.300	0.000
1.000	1.000	28.49	0.000	0.000	0.000	0.000	Ala_161_6590_L_0	0.0000	
0.0000	0.0000	0.0000	0.0000	0.0000	0.0000	0.0000			
39 D	6.137	0.000	54.60	30.69	54.60	30.69	V-C 1.8377E+04	-7.500	0.000
1.000	1.000	30.69	0.000	0.000	0.000	0.000	Ala_161_6590_L_0	0.0000	
0.0000	0.0000	0.0000	0.0000	0.0000	0.0000	0.0000			
40 D	6.575	0.000	58.50	32.88	58.50	32.88	V-C 1.8377E+04	-7.700	0.000
1.000	1.000	32.88	0.000	0.000	0.000	0.000	Ala_161_6590_L_0	0.0000	
0.0000	0.0000	0.0000	0.0000	0.0000	0.0000	0.0000			
41 D	7.014	0.000	62.40	35.07	62.40	35.07	V-C 1.8377E+04	-7.900	0.000
1.000	1.000	35.07	0.000	0.000	0.000	0.000	Ala_161_6590_L_0	0.0000	
0.0000	0.0000	0.0000	0.0000	0.0000	0.0000	0.0000			
42 D	7.452	0.000	66.30	37.26	66.30	37.26	V-C 1.8377E+04	-8.100	0.000
1.000	1.000	37.26	0.000	0.000	0.000	0.000	Ala_161_6590_L_0	0.0000	
0.0000	0.0000	0.0000	0.0000	0.0000	0.0000	0.0000			
43 D	7.890	0.000	70.20	39.45	70.20	39.45	V-C 1.8377E+04	-8.300	0.000
1.000	1.000	39.45	0.000	0.000	0.000	0.000	Ala_161_6590_L_0	0.0000	
0.0000	0.0000	0.0000	0.0000	0.0000	0.0000	0.0000			
44 D	8.329	0.000	74.10	41.64	74.10	41.64	V-C 1.8377E+04	-8.500	0.000
1.000	1.000	41.64	0.000	0.000	0.000	0.000	Ala_161_6590_L_0	0.0000	
0.0000	0.0000	0.0000	0.0000	0.0000	0.0000	0.0000			
45 D	8.767	0.000	78.00	43.84	78.00	43.84	V-C 1.8377E+04	-8.700	0.000
1.000	1.000	43.84	0.000	0.000	0.000	0.000	Ala_161_6590_L_0	0.0000	
0.0000	0.0000	0.0000	0.0000	0.0000	0.0000	0.0000			
46 D	9.206	0.000	81.90	46.03	81.90	46.03	V-C 1.8377E+04	-8.900	0.000
1.000	1.000	46.03	0.000	0.000	0.000	0.000	Ala_161_6590_L_0	0.0000	
0.0000	0.0000	0.0000	0.0000	0.0000	0.0000	0.0000			
47 D	9.644	0.000	85.80	48.22	85.80	48.22	V-C 1.8377E+04	-9.100	0.000
1.000	1.000	48.22	0.000	0.000	0.000	0.000	Ala_161_6590_L_0	0.0000	
0.0000	0.0000	0.0000	0.0000	0.0000	0.0000	0.0000			
48 D	10.08	0.000	89.70	50.41	89.70	50.41	V-C 1.8377E+04	-9.300	0.000
1.000	1.000	50.41	0.000	0.000	0.000	0.000	Ala_161_6590_L_0	0.0000	
0.0000	0.0000	0.0000	0.0000	0.0000	0.0000	0.0000			
49 D	10.52	0.000	93.60	52.60	93.60	52.60	V-C 1.8377E+04	-9.500	0.000
1.000	1.000	52.60	0.000	0.000	0.000	0.000	Ala_161_6590_L_0	0.0000	
0.0000	0.0000	0.0000	0.0000	0.0000	0.0000	0.0000			
50 D	11.13	0.000	95.50	53.67	95.50	53.67	V-C 1.8377E+04	-9.700	2.000
1.000	1.000	55.67	0.000	0.000	0.000	0.000	Ala_161_6590_L_0	0.0000	
0.0000	0.0000	0.0000	0.0000	0.0000	0.0000	0.0000			
51 D	11.75	0.000	97.40	54.74	97.40	54.74	V-C 1.8377E+04	-9.900	4.000
1.000	1.000	58.74	0.000	0.000	0.000	0.000	Ala_161_6590_L_0	0.0000	
0.0000	0.0000	0.0000	0.0000	0.0000	0.0000	0.0000			
52 D	12.36	0.000	99.30	55.81	99.30	55.81	V-C 1.8377E+04	-10.10	6.000
1.000	1.000	61.81	0.000	0.000	0.000	0.000	Ala_161_6590_L_0	0.0000	
0.0000	0.0000	0.0000	0.0000	0.0000	0.0000	0.0000			
53 D	12.97	0.000	101.2	56.87	101.2	56.87	V-C 1.8377E+04	-10.30	8.000
1.000	1.000	64.87	0.000	0.000	0.000	0.000	Ala_161_6590_L_0	0.0000	
0.0000	0.0000	0.0000	0.0000	0.0000	0.0000	0.0000			
54 D	13.59	0.000	103.1	57.94	103.1	57.94	V-C 1.8377E+04	-10.50	10.000
1.000	1.000	67.94	0.000	0.000	0.000	0.000	Ala_161_6590_L_0	0.0000	
0.0000	0.0000	0.0000	0.0000	0.0000	0.0000	0.0000			
55 D	14.20	0.000	105.0	59.01	105.0	59.01	V-C 1.8377E+04	-10.70	12.00
1.000	1.000	71.01	0.000	0.000	0.000	0.000	Ala_161_6590_L_0	0.0000	
0.0000	0.0000	0.0000	0.0000	0.0000	0.0000	0.0000			
56 D	14.82	0.000	106.9	60.08	106.9	60.08	V-C 1.8377E+04	-10.90	14.00
1.000	1.000	74.08	0.000	0.000	0.000	0.000	Ala_161_6590_L_0	0.0000	
0.0000	0.0000	0.0000	0.0000	0.0000	0.0000	0.0000			
57 D	15.43	0.000	108.8	61.15	108.8	61.15	V-C 1.8377E+04	-11.10	16.00
1.000	1.000	77.15	0.000	0.000	0.000	0.000	Ala_161_6590_L_0	0.0000	
0.0000	0.0000	0.0000	0.0000	0.0000	0.0000	0.0000			
58 D	16.04	0.000	110.7	62.21	110.7	62.21	V-C 1.8377E+04	-11.30	18.00
1.000	1.000	80.21	0.000	0.000	0.000	0.000	Ala_161_6590_L_0	0.0000	
0.0000	0.0000	0.0000	0.0000	0.0000	0.0000	0.0000			
59 D	16.66	0.000	112.6	63.28	112.6	63.28	V-C 1.8377E+04	-11.50	20.00
1.000	1.000	83.28	0.000	0.000	0.000	0.000	Ala_161_6590_L_0	0.0000	
0.0000	0.0000	0.0000	0.0000	0.0000	0.0000	0.0000			
60 D	17.27	0.000	114.5	64.35	114.5	64.35	V-C 1.8377E+04	-11.70	22.00
1.000	1.000	86.35	0.000	0.000	0.000	0.000	Ala_161_6590_L_0	0.0000	
0.0000	0.0000	0.0000	0.0000	0.0000	0.0000	0.0000			

61 D	17.88	0.000	116.4	65.42	116.4	65.42	V-C 1.8377E+04	-11.90	24.00
1.000	1.000	89.42	0.000	0.000	0.000	0.000	Ala_161_6590_L_0		0.0000
0.0000	0.0000	0.0000	0.0000	0.0000	0.0000	0.0000			
62 D	18.50	0.000	118.3	66.48	118.3	66.48	V-C 1.8377E+04	-12.10	26.00
1.000	1.000	92.48	0.000	0.000	0.000	0.000	Ala_161_6590_L_0		0.0000
0.0000	0.0000	0.0000	0.0000	0.0000	0.0000	0.0000			
63 D	19.11	0.000	120.2	67.55	120.2	67.55	V-C 1.8377E+04	-12.30	28.00
1.000	1.000	95.55	0.000	0.000	0.000	0.000	Ala_161_6590_L_0		0.0000
0.0000	0.0000	0.0000	0.0000	0.0000	0.0000	0.0000			
64 D	19.72	0.000	122.1	68.62	122.1	68.62	V-C 1.8377E+04	-12.50	30.00
1.000	1.000	98.62	0.000	0.000	0.000	0.000	Ala_161_6590_L_0		0.0000
0.0000	0.0000	0.0000	0.0000	0.0000	0.0000	0.0000			
65 D	20.34	0.000	124.0	69.69	124.0	69.69	V-C 1.8377E+04	-12.70	32.00
1.000	1.000	101.7	0.000	0.000	0.000	0.000	Ala_161_6590_L_0		0.0000
0.0000	0.0000	0.0000	0.0000	0.0000	0.0000	0.0000			
66 D	20.95	0.000	125.9	70.76	125.9	70.76	V-C 1.8377E+04	-12.90	34.00
1.000	1.000	104.8	0.000	0.000	0.000	0.000	Ala_161_6590_L_0		0.0000
0.0000	0.0000	0.0000	0.0000	0.0000	0.0000	0.0000			
67 D	21.56	0.000	127.8	71.82	127.8	71.82	V-C 1.8377E+04	-13.10	36.00
1.000	1.000	107.8	0.000	0.000	0.000	0.000	Ala_161_6590_L_0		0.0000
0.0000	0.0000	0.0000	0.0000	0.0000	0.0000	0.0000			
68 D	22.18	0.000	129.7	72.89	129.7	72.89	V-C 1.8377E+04	-13.30	38.00
1.000	1.000	110.9	0.000	0.000	0.000	0.000	Ala_161_6590_L_0		0.0000
0.0000	0.0000	0.0000	0.0000	0.0000	0.0000	0.0000			
69 D	22.79	0.000	131.6	73.96	131.6	73.96	V-C 1.8377E+04	-13.50	40.00
1.000	1.000	114.0	0.000	0.000	0.000	0.000	Ala_161_6590_L_0		0.0000
0.0000	0.0000	0.0000	0.0000	0.0000	0.0000	0.0000			
70 D	23.41	0.000	133.5	75.03	133.5	75.03	V-C 1.8377E+04	-13.70	42.00
1.000	1.000	117.0	0.000	0.000	0.000	0.000	Ala_161_6590_L_0		0.0000
0.0000	0.0000	0.0000	0.0000	0.0000	0.0000	0.0000			
71 D	24.02	0.000	135.4	76.09	135.4	76.09	V-C 1.8377E+04	-13.90	44.00
1.000	1.000	120.1	0.000	0.000	0.000	0.000	Ala_161_6590_L_0		0.0000
0.0000	0.0000	0.0000	0.0000	0.0000	0.0000	0.0000			
72 D	24.63	0.000	137.3	77.16	137.3	77.16	V-C 1.8377E+04	-14.10	46.00
1.000	1.000	123.2	0.000	0.000	0.000	0.000	Ala_161_6590_L_0		0.0000
0.0000	0.0000	0.0000	0.0000	0.0000	0.0000	0.0000			
73 D	25.25	0.000	139.2	78.23	139.2	78.23	V-C 1.8377E+04	-14.30	48.00
1.000	1.000	126.2	0.000	0.000	0.000	0.000	Ala_161_6590_L_0		0.0000
0.0000	0.0000	0.0000	0.0000	0.0000	0.0000	0.0000			
74 D	25.86	0.000	141.1	79.30	141.1	79.30	V-C 1.8377E+04	-14.50	50.00
1.000	1.000	129.3	0.000	0.000	0.000	0.000	Ala_161_6590_L_0		0.0000
0.0000	0.0000	0.0000	0.0000	0.0000	0.0000	0.0000			
75 D	26.47	0.000	143.0	80.37	143.0	80.37	V-C 1.8377E+04	-14.70	52.00
1.000	1.000	132.4	0.000	0.000	0.000	0.000	Ala_161_6590_L_0		0.0000
0.0000	0.0000	0.0000	0.0000	0.0000	0.0000	0.0000			
76 D	27.09	0.000	144.9	81.43	144.9	81.43	V-C 1.8377E+04	-14.90	54.00
1.000	1.000	135.4	0.000	0.000	0.000	0.000	Ala_161_6590_L_0		0.0000
0.0000	0.0000	0.0000	0.0000	0.0000	0.0000	0.0000			
77 D	27.70	0.000	146.8	82.50	146.8	82.50	V-C 1.8377E+04	-15.10	56.00
1.000	1.000	138.5	0.000	0.000	0.000	0.000	Ala_161_6590_L_0		0.0000
0.0000	0.0000	0.0000	0.0000	0.0000	0.0000	0.0000			
78 D	28.31	0.000	148.7	83.57	148.7	83.57	V-C 1.8377E+04	-15.30	58.00
1.000	1.000	141.6	0.000	0.000	0.000	0.000	Ala_161_6590_L_0		0.0000
0.0000	0.0000	0.0000	0.0000	0.0000	0.0000	0.0000			
79 D	28.93	0.000	150.6	84.64	150.6	84.64	V-C 1.8377E+04	-15.50	60.00
1.000	1.000	144.6	0.000	0.000	0.000	0.000	Ala_161_6590_L_0		0.0000
0.0000	0.0000	0.0000	0.0000	0.0000	0.0000	0.0000			
80 D	29.54	0.000	152.5	85.70	152.5	85.70	V-C 1.8377E+04	-15.70	62.00
1.000	1.000	147.7	0.000	0.000	0.000	0.000	Ala_161_6590_L_0		0.0000
0.0000	0.0000	0.0000	0.0000	0.0000	0.0000	0.0000			
81 D	30.15	0.000	154.4	86.77	154.4	86.77	V-C 1.8377E+04	-15.90	64.00
1.000	1.000	150.8	0.000	0.000	0.000	0.000	Ala_161_6590_L_0		0.0000
0.0000	0.0000	0.0000	0.0000	0.0000	0.0000	0.0000			
82 D	30.77	0.000	156.4	87.87	156.4	87.87	V-C 1.0300E+05	-16.10	66.00
1.000	1.000	153.9	0.000	0.000	0.000	0.000	Salt_21271_21259_L_0		0.0000
0.0000	0.0000	0.0000	0.0000	0.0000	0.0000	0.0000			
83 D	31.40	0.000	158.4	89.00	158.4	89.00	V-C 1.0300E+05	-16.30	68.00
1.000	1.000	157.0	0.000	0.000	0.000	0.000	Salt_21271_21259_L_0		0.0000
0.0000	0.0000	0.0000	0.0000	0.0000	0.0000	0.0000			
84 D	32.02	0.000	160.4	90.12	160.4	90.12	V-C 1.0300E+05	-16.50	70.00
1.000	1.000	160.1	0.000	0.000	0.000	0.000	Salt_21271_21259_L_0		0.0000
0.0000	0.0000	0.0000	0.0000	0.0000	0.0000	0.0000			
85 D	32.65	0.000	162.4	91.24	162.4	91.24	V-C 1.0300E+05	-16.70	72.00
1.000	1.000	163.2	0.000	0.000	0.000	0.000	Salt_21271_21259_L_0		0.0000
0.0000	0.0000	0.0000	0.0000	0.0000	0.0000	0.0000			
86 D	33.27	0.000	164.4	92.37	164.4	92.37	V-C 1.0300E+05	-16.90	74.00
1.000	1.000	166.4	0.000	0.000	0.000	0.000	Salt_21271_21259_L_0		0.0000
0.0000	0.0000	0.0000	0.0000	0.0000	0.0000	0.0000			
87 D	33.90	0.000	166.4	93.49	166.4	93.49	V-C 1.0300E+05	-17.10	76.00
1.000	1.000	169.5	0.000	0.000	0.000	0.000	Salt_21271_21259_L_0		0.0000
0.0000	0.0000	0.0000	0.0000	0.0000	0.0000	0.0000			
88 D	34.52	0.000	168.4	94.62	168.4	94.62	V-C 1.0300E+05	-17.30	78.00
1.000	1.000	172.6	0.000	0.000	0.000	0.000	Salt_21271_21259_L_0		0.0000
0.0000	0.0000	0.0000	0.0000	0.0000	0.0000	0.0000			
89 D	35.15	0.000	170.4	95.74	170.4	95.74	V-C 1.0300E+05	-17.50	80.00
1.000	1.000	175.7	0.000	0.000	0.000	0.000	Salt_21271_21259_L_0		0.0000
0.0000	0.0000	0.0000	0.0000	0.0000	0.0000	0.0000			
90 D	35.78	0.000	172.4	96.91	172.4	96.91	V-C 6.2950E+04	-17.70	82.00
1.000	1.000	178.9	0.000	0.000	0.000	0.000	Sch_21272_21260_L_0		0.0000
0.0000	0.0000	0.0000	0.0000	0.0000	0.0000	0.0000			
91 D	36.48	0.000	175.0	98.38	175.0	98.38	V-C 6.2950E+04	-17.90	84.00
1.000	1.000	182.4	0.000	0.000	0.000	0.000	Sch_21272_21260_L_0		0.0000

0.0000	0.0000	0.0000	0.0000	0.0000						
92 D	27.88	0.000	177.6	99.84	177.6	99.84	V-C	6.2950E+04	-18.10	86.00
1.000	1.000	185.8	0.000	0.000	0.000	0.000	Sch_21272_21260_L_0			0.0000
0.0000	0.0000	0.0000	0.0000	0.0000						
93 D	9.378	0.000	178.9	100.6	178.9	100.6	V-C	6.2950E+04	-18.20	87.00
1.000	1.000	187.6	0.000	0.000	0.000	0.000	Sch_21272_21260_L_0			0.0000
0.0000	0.0000	0.0000	0.0000	0.0000						


```

+-----+
|                PARATIEPLUS(TM)  NLS ENGINE RELEASE 2022.0.0  FULL VERSION  *Build date:Sep 13, 2021*                |
|                                                                                                                                            |
|                                                                                               ParatiePlus                                                                                               |
|                                                                                               Exe Time :28 January 2022  11:11:16                                                                                               |
+-----+

```

New Project

S T R E S S R E S U L T S F O R G R O U P N O . 2

O_R :
ELEMENT TYPE 5 NO.OF ELEMENTS. IN THIS GROUP 93
C U R R E N T T I M E I S 1.0000 SUBINCREMENT 00001/00001

HARDENING 2D SOIL ELEMENT

***** TOTAL STRESS FORMULATION *****

EL * TOR QSL	FORCE UFACTOR ZD	DISPL-Y Peq ZPL	VERTICAL-P Su_a Kz	HORIZON.-P Su_p	MAX-V-P Coh_e_a	MAX-H-P Coh_e_p	STATE LAYER	STIFFNESS	Z-LEVEL	PORE ZFO	E FAC- QS
1	0.000	--	--	--	--	--	REMOVED	--	0.000	0.000	
1.000	1.000	0.000	0.000	0.000	0.000	0.000	not available				
2	0.000	--	--	--	--	--	REMOVED	--	-0.2000	0.000	
1.000	1.000	0.000	0.000	0.000	0.000	0.000	not available				
3	0.000	--	--	--	--	--	REMOVED	--	-0.4000	0.000	
1.000	1.000	0.000	0.000	0.000	0.000	0.000	not available				
4	0.000	--	--	--	--	--	REMOVED	--	-0.6000	0.000	
1.000	1.000	0.000	0.000	0.000	0.000	0.000	not available				
5	0.000	--	--	--	--	--	REMOVED	--	-0.8000	0.000	
1.000	1.000	0.000	0.000	0.000	0.000	0.000	not available				
6	0.000	--	--	--	--	--	REMOVED	--	-1.000	0.000	
1.000	1.000	0.000	0.000	0.000	0.000	0.000	not available				
7	0.000	--	--	--	--	--	REMOVED	--	-1.200	0.000	
1.000	1.000	0.000	0.000	0.000	0.000	0.000	not available				
8	0.000	--	--	--	--	--	REMOVED	--	-1.400	0.000	
1.000	1.000	0.000	0.000	0.000	0.000	0.000	not available				
9	0.000	--	--	--	--	--	REMOVED	--	-1.600	0.000	
1.000	1.000	0.000	0.000	0.000	0.000	0.000	not available				
10	0.000	--	--	--	--	--	REMOVED	--	-1.800	0.000	
1.000	1.000	0.000	0.000	0.000	0.000	0.000	not available				
11	0.000	--	--	--	--	--	REMOVED	--	-2.000	0.000	
1.000	1.000	0.000	0.000	0.000	0.000	0.000	not available				
12	0.000	--	--	--	--	--	REMOVED	--	-2.200	0.000	
1.000	1.000	0.000	0.000	0.000	0.000	0.000	not available				
13	0.000	--	--	--	--	--	REMOVED	--	-2.400	0.000	
1.000	1.000	0.000	0.000	0.000	0.000	0.000	not available				
14	0.000	--	--	--	--	--	REMOVED	--	-2.600	0.000	
1.000	1.000	0.000	0.000	0.000	0.000	0.000	not available				
15	0.000	--	--	--	--	--	REMOVED	--	-2.800	0.000	
1.000	1.000	0.000	0.000	0.000	0.000	0.000	not available				
16	0.000	--	--	--	--	--	REMOVED	--	-3.000	0.000	
1.000	1.000	0.000	0.000	0.000	0.000	0.000	not available				
17	0.000	--	--	--	--	--	REMOVED	--	-3.200	0.000	
1.000	1.000	0.000	0.000	0.000	0.000	0.000	not available				
18	0.000	--	--	--	--	--	REMOVED	--	-3.400	0.000	
1.000	1.000	0.000	0.000	0.000	0.000	0.000	not available				
19	0.000	--	--	--	--	--	REMOVED	--	-3.600	0.000	
1.000	1.000	0.000	0.000	0.000	0.000	0.000	not available				
20	0.000	--	--	--	--	--	REMOVED	--	-3.800	0.000	
1.000	1.000	0.000	0.000	0.000	0.000	0.000	not available				
21	0.000	--	--	--	--	--	REMOVED	--	-4.000	0.000	
1.000	1.000	0.000	0.000	0.000	0.000	0.000	not available				
22	0.000	--	--	--	--	--	REMOVED	--	-4.200	0.000	
1.000	1.000	0.000	0.000	0.000	0.000	0.000	not available				
23	0.000	--	--	--	--	--	REMOVED	--	-4.400	0.000	
1.000	1.000	0.000	0.000	0.000	0.000	0.000	not available				
24	0.000	--	--	--	--	--	REMOVED	--	-4.600	0.000	
1.000	1.000	0.000	0.000	0.000	0.000	0.000	not available				
25 D	0.000	0.000	0.000	0.000	0.000	0.000	V-C 2.2640E+04		-4.700	0.000	
1.000	1.000	0.000	0.000	0.000	0.000	0.000	Ala_161_6590_L_0			0.0000	
0.0000	0.0000	0.0000	0.0000	0.0000	0.0000	0.0000					
26 D	0.4384	0.000	3.900	2.192	3.900	2.192	V-C 2.2640E+04		-4.900	0.000	
1.000	1.000	2.192	0.000	0.000	0.000	0.000	Ala_161_6590_L_0			0.0000	
0.0000	0.0000	0.0000	0.0000	0.0000	0.0000	0.0000					
27 D	0.8767	0.000	7.800	4.384	7.800	4.384	V-C 2.2640E+04		-5.100	0.000	
1.000	1.000	4.384	0.000	0.000	0.000	0.000	Ala_161_6590_L_0			0.0000	
0.0000	0.0000	0.0000	0.0000	0.0000	0.0000	0.0000					
28 D	1.315	0.000	11.70	6.575	11.70	6.575	V-C 2.2640E+04		-5.300	0.000	
1.000	1.000	6.575	0.000	0.000	0.000	0.000	Ala_161_6590_L_0			0.0000	
0.0000	0.0000	0.0000	0.0000	0.0000	0.0000	0.0000					
29 D	1.753	0.000	15.60	8.767	15.60	8.767	V-C 2.2640E+04		-5.500	0.000	
1.000	1.000	8.767	0.000	0.000	0.000	0.000	Ala_161_6590_L_0			0.0000	
0.0000	0.0000	0.0000	0.0000	0.0000	0.0000	0.0000					
30 D	2.192	0.000	19.50	10.96	19.50	10.96	V-C 2.2640E+04		-5.700	0.000	

1.000	1.000	10.96	0.000	0.000	0.000	0.000	Ala_161_6590_L_0	0.0000	
0.0000	0.0000	0.0000	0.0000	0.0000	0.0000	0.0000			
31 D	2.630	0.000	23.40	13.15	23.40	13.15	V-C 2.2640E+04	-5.900	0.000
1.000	1.000	13.15	0.000	0.000	0.000	0.000	Ala_161_6590_L_0	0.0000	
0.0000	0.0000	0.0000	0.0000	0.0000	0.0000	0.0000			
32 D	3.069	0.000	27.30	15.34	27.30	15.34	V-C 2.2640E+04	-6.100	0.000
1.000	1.000	15.34	0.000	0.000	0.000	0.000	Ala_161_6590_L_0	0.0000	
0.0000	0.0000	0.0000	0.0000	0.0000	0.0000	0.0000			
33 D	3.507	0.000	31.20	17.53	31.20	17.53	V-C 2.2640E+04	-6.300	0.000
1.000	1.000	17.53	0.000	0.000	0.000	0.000	Ala_161_6590_L_0	0.0000	
0.0000	0.0000	0.0000	0.0000	0.0000	0.0000	0.0000			
34 D	3.945	0.000	35.10	19.73	35.10	19.73	V-C 2.2640E+04	-6.500	0.000
1.000	1.000	19.73	0.000	0.000	0.000	0.000	Ala_161_6590_L_0	0.0000	
0.0000	0.0000	0.0000	0.0000	0.0000	0.0000	0.0000			
35 D	4.384	0.000	39.00	21.92	39.00	21.92	V-C 2.2640E+04	-6.700	0.000
1.000	1.000	21.92	0.000	0.000	0.000	0.000	Ala_161_6590_L_0	0.0000	
0.0000	0.0000	0.0000	0.0000	0.0000	0.0000	0.0000			
36 D	4.822	0.000	42.90	24.11	42.90	24.11	V-C 2.2640E+04	-6.900	0.000
1.000	1.000	24.11	0.000	0.000	0.000	0.000	Ala_161_6590_L_0	0.0000	
0.0000	0.0000	0.0000	0.0000	0.0000	0.0000	0.0000			
37 D	5.260	0.000	46.80	26.30	46.80	26.30	V-C 2.2640E+04	-7.100	0.000
1.000	1.000	26.30	0.000	0.000	0.000	0.000	Ala_161_6590_L_0	0.0000	
0.0000	0.0000	0.0000	0.0000	0.0000	0.0000	0.0000			
38 D	5.699	0.000	50.70	28.49	50.70	28.49	V-C 2.2640E+04	-7.300	0.000
1.000	1.000	28.49	0.000	0.000	0.000	0.000	Ala_161_6590_L_0	0.0000	
0.0000	0.0000	0.0000	0.0000	0.0000	0.0000	0.0000			
39 D	6.137	0.000	54.60	30.69	54.60	30.69	V-C 2.2640E+04	-7.500	0.000
1.000	1.000	30.69	0.000	0.000	0.000	0.000	Ala_161_6590_L_0	0.0000	
0.0000	0.0000	0.0000	0.0000	0.0000	0.0000	0.0000			
40 D	6.575	0.000	58.50	32.88	58.50	32.88	V-C 2.2640E+04	-7.700	0.000
1.000	1.000	32.88	0.000	0.000	0.000	0.000	Ala_161_6590_L_0	0.0000	
0.0000	0.0000	0.0000	0.0000	0.0000	0.0000	0.0000			
41 D	7.014	0.000	62.40	35.07	62.40	35.07	V-C 2.2640E+04	-7.900	0.000
1.000	1.000	35.07	0.000	0.000	0.000	0.000	Ala_161_6590_L_0	0.0000	
0.0000	0.0000	0.0000	0.0000	0.0000	0.0000	0.0000			
42 D	7.452	0.000	66.30	37.26	66.30	37.26	V-C 2.2640E+04	-8.100	0.000
1.000	1.000	37.26	0.000	0.000	0.000	0.000	Ala_161_6590_L_0	0.0000	
0.0000	0.0000	0.0000	0.0000	0.0000	0.0000	0.0000			
43 D	7.890	0.000	70.20	39.45	70.20	39.45	V-C 2.2640E+04	-8.300	0.000
1.000	1.000	39.45	0.000	0.000	0.000	0.000	Ala_161_6590_L_0	0.0000	
0.0000	0.0000	0.0000	0.0000	0.0000	0.0000	0.0000			
44 D	8.329	0.000	74.10	41.64	74.10	41.64	V-C 2.2640E+04	-8.500	0.000
1.000	1.000	41.64	0.000	0.000	0.000	0.000	Ala_161_6590_L_0	0.0000	
0.0000	0.0000	0.0000	0.0000	0.0000	0.0000	0.0000			
45 D	8.767	0.000	78.00	43.84	78.00	43.84	V-C 2.2640E+04	-8.700	0.000
1.000	1.000	43.84	0.000	0.000	0.000	0.000	Ala_161_6590_L_0	0.0000	
0.0000	0.0000	0.0000	0.0000	0.0000	0.0000	0.0000			
46 D	9.206	0.000	81.90	46.03	81.90	46.03	V-C 2.2640E+04	-8.900	0.000
1.000	1.000	46.03	0.000	0.000	0.000	0.000	Ala_161_6590_L_0	0.0000	
0.0000	0.0000	0.0000	0.0000	0.0000	0.0000	0.0000			
47 D	9.644	0.000	85.80	48.22	85.80	48.22	V-C 2.2640E+04	-9.100	0.000
1.000	1.000	48.22	0.000	0.000	0.000	0.000	Ala_161_6590_L_0	0.0000	
0.0000	0.0000	0.0000	0.0000	0.0000	0.0000	0.0000			
48 D	10.08	0.000	89.70	50.41	89.70	50.41	V-C 2.2640E+04	-9.300	0.000
1.000	1.000	50.41	0.000	0.000	0.000	0.000	Ala_161_6590_L_0	0.0000	
0.0000	0.0000	0.0000	0.0000	0.0000	0.0000	0.0000			
49 D	10.52	0.000	93.60	52.60	93.60	52.60	V-C 2.2640E+04	-9.500	0.000
1.000	1.000	52.60	0.000	0.000	0.000	0.000	Ala_161_6590_L_0	0.0000	
0.0000	0.0000	0.0000	0.0000	0.0000	0.0000	0.0000			
50 D	11.13	0.000	95.50	53.67	95.50	53.67	V-C 2.2640E+04	-9.700	2.000
1.000	1.000	55.67	0.000	0.000	0.000	0.000	Ala_161_6590_L_0	0.0000	
0.0000	0.0000	0.0000	0.0000	0.0000	0.0000	0.0000			
51 D	11.75	0.000	97.40	54.74	97.40	54.74	V-C 2.2640E+04	-9.900	4.000
1.000	1.000	58.74	0.000	0.000	0.000	0.000	Ala_161_6590_L_0	0.0000	
0.0000	0.0000	0.0000	0.0000	0.0000	0.0000	0.0000			
52 D	12.36	0.000	99.30	55.81	99.30	55.81	V-C 2.2640E+04	-10.10	6.000
1.000	1.000	61.81	0.000	0.000	0.000	0.000	Ala_161_6590_L_0	0.0000	
0.0000	0.0000	0.0000	0.0000	0.0000	0.0000	0.0000			
53 D	12.97	0.000	101.2	56.87	101.2	56.87	V-C 2.2640E+04	-10.30	8.000
1.000	1.000	64.87	0.000	0.000	0.000	0.000	Ala_161_6590_L_0	0.0000	
0.0000	0.0000	0.0000	0.0000	0.0000	0.0000	0.0000			
54 D	13.59	0.000	103.1	57.94	103.1	57.94	V-C 2.2640E+04	-10.50	10.000
1.000	1.000	67.94	0.000	0.000	0.000	0.000	Ala_161_6590_L_0	0.0000	
0.0000	0.0000	0.0000	0.0000	0.0000	0.0000	0.0000			
55 D	14.20	0.000	105.0	59.01	105.0	59.01	V-C 2.2640E+04	-10.70	12.00
1.000	1.000	71.01	0.000	0.000	0.000	0.000	Ala_161_6590_L_0	0.0000	
0.0000	0.0000	0.0000	0.0000	0.0000	0.0000	0.0000			
56 D	14.82	0.000	106.9	60.08	106.9	60.08	V-C 2.2640E+04	-10.90	14.00
1.000	1.000	74.08	0.000	0.000	0.000	0.000	Ala_161_6590_L_0	0.0000	
0.0000	0.0000	0.0000	0.0000	0.0000	0.0000	0.0000			
57 D	15.43	0.000	108.8	61.15	108.8	61.15	V-C 2.2640E+04	-11.10	16.00
1.000	1.000	77.15	0.000	0.000	0.000	0.000	Ala_161_6590_L_0	0.0000	
0.0000	0.0000	0.0000	0.0000	0.0000	0.0000	0.0000			
58 D	16.04	0.000	110.7	62.21	110.7	62.21	V-C 2.2640E+04	-11.30	18.00
1.000	1.000	80.21	0.000	0.000	0.000	0.000	Ala_161_6590_L_0	0.0000	
0.0000	0.0000	0.0000	0.0000	0.0000	0.0000	0.0000			
59 D	16.66	0.000	112.6	63.28	112.6	63.28	V-C 2.2640E+04	-11.50	20.00
1.000	1.000	83.28	0.000	0.000	0.000	0.000	Ala_161_6590_L_0	0.0000	
0.0000	0.0000	0.0000	0.0000	0.0000	0.0000	0.0000			
60 D	17.27	0.000	114.5	64.35	114.5	64.35	V-C 2.2640E+04	-11.70	22.00
1.000	1.000	86.35	0.000	0.000	0.000	0.000	Ala_161_6590_L_0	0.0000	
0.0000	0.0000	0.0000	0.0000	0.0000	0.0000	0.0000			

61 D	17.88	0.000	116.4	65.42	116.4	65.42	V-C 2.2640E+04	-11.90	24.00
1.000	1.000	89.42	0.000	0.000	0.000	0.000	Ala_161_6590_L_0		0.0000
0.0000	0.0000	0.0000	0.0000	0.0000	0.0000	0.0000			
62 D	18.50	0.000	118.3	66.48	118.3	66.48	V-C 2.2640E+04	-12.10	26.00
1.000	1.000	92.48	0.000	0.000	0.000	0.000	Ala_161_6590_L_0		0.0000
0.0000	0.0000	0.0000	0.0000	0.0000	0.0000	0.0000			
63 D	19.11	0.000	120.2	67.55	120.2	67.55	V-C 2.2640E+04	-12.30	28.00
1.000	1.000	95.55	0.000	0.000	0.000	0.000	Ala_161_6590_L_0		0.0000
0.0000	0.0000	0.0000	0.0000	0.0000	0.0000	0.0000			
64 D	19.72	0.000	122.1	68.62	122.1	68.62	V-C 2.2640E+04	-12.50	30.00
1.000	1.000	98.62	0.000	0.000	0.000	0.000	Ala_161_6590_L_0		0.0000
0.0000	0.0000	0.0000	0.0000	0.0000	0.0000	0.0000			
65 D	20.34	0.000	124.0	69.69	124.0	69.69	V-C 2.2640E+04	-12.70	32.00
1.000	1.000	101.7	0.000	0.000	0.000	0.000	Ala_161_6590_L_0		0.0000
0.0000	0.0000	0.0000	0.0000	0.0000	0.0000	0.0000			
66 D	20.95	0.000	125.9	70.76	125.9	70.76	V-C 2.2640E+04	-12.90	34.00
1.000	1.000	104.8	0.000	0.000	0.000	0.000	Ala_161_6590_L_0		0.0000
0.0000	0.0000	0.0000	0.0000	0.0000	0.0000	0.0000			
67 D	21.56	0.000	127.8	71.82	127.8	71.82	V-C 2.2640E+04	-13.10	36.00
1.000	1.000	107.8	0.000	0.000	0.000	0.000	Ala_161_6590_L_0		0.0000
0.0000	0.0000	0.0000	0.0000	0.0000	0.0000	0.0000			
68 D	22.18	0.000	129.7	72.89	129.7	72.89	V-C 2.2640E+04	-13.30	38.00
1.000	1.000	110.9	0.000	0.000	0.000	0.000	Ala_161_6590_L_0		0.0000
0.0000	0.0000	0.0000	0.0000	0.0000	0.0000	0.0000			
69 D	22.79	0.000	131.6	73.96	131.6	73.96	V-C 2.2640E+04	-13.50	40.00
1.000	1.000	114.0	0.000	0.000	0.000	0.000	Ala_161_6590_L_0		0.0000
0.0000	0.0000	0.0000	0.0000	0.0000	0.0000	0.0000			
70 D	23.41	0.000	133.5	75.03	133.5	75.03	V-C 2.2640E+04	-13.70	42.00
1.000	1.000	117.0	0.000	0.000	0.000	0.000	Ala_161_6590_L_0		0.0000
0.0000	0.0000	0.0000	0.0000	0.0000	0.0000	0.0000			
71 D	24.02	0.000	135.4	76.09	135.4	76.09	V-C 2.2640E+04	-13.90	44.00
1.000	1.000	120.1	0.000	0.000	0.000	0.000	Ala_161_6590_L_0		0.0000
0.0000	0.0000	0.0000	0.0000	0.0000	0.0000	0.0000			
72 D	24.63	0.000	137.3	77.16	137.3	77.16	V-C 2.2640E+04	-14.10	46.00
1.000	1.000	123.2	0.000	0.000	0.000	0.000	Ala_161_6590_L_0		0.0000
0.0000	0.0000	0.0000	0.0000	0.0000	0.0000	0.0000			
73 D	25.25	0.000	139.2	78.23	139.2	78.23	V-C 2.2640E+04	-14.30	48.00
1.000	1.000	126.2	0.000	0.000	0.000	0.000	Ala_161_6590_L_0		0.0000
0.0000	0.0000	0.0000	0.0000	0.0000	0.0000	0.0000			
74 D	25.86	0.000	141.1	79.30	141.1	79.30	V-C 2.2640E+04	-14.50	50.00
1.000	1.000	129.3	0.000	0.000	0.000	0.000	Ala_161_6590_L_0		0.0000
0.0000	0.0000	0.0000	0.0000	0.0000	0.0000	0.0000			
75 D	26.47	0.000	143.0	80.37	143.0	80.37	V-C 2.2640E+04	-14.70	52.00
1.000	1.000	132.4	0.000	0.000	0.000	0.000	Ala_161_6590_L_0		0.0000
0.0000	0.0000	0.0000	0.0000	0.0000	0.0000	0.0000			
76 D	27.09	0.000	144.9	81.43	144.9	81.43	V-C 2.2640E+04	-14.90	54.00
1.000	1.000	135.4	0.000	0.000	0.000	0.000	Ala_161_6590_L_0		0.0000
0.0000	0.0000	0.0000	0.0000	0.0000	0.0000	0.0000			
77 D	27.70	0.000	146.8	82.50	146.8	82.50	V-C 2.2640E+04	-15.10	56.00
1.000	1.000	138.5	0.000	0.000	0.000	0.000	Ala_161_6590_L_0		0.0000
0.0000	0.0000	0.0000	0.0000	0.0000	0.0000	0.0000			
78 D	28.31	0.000	148.7	83.57	148.7	83.57	V-C 2.2640E+04	-15.30	58.00
1.000	1.000	141.6	0.000	0.000	0.000	0.000	Ala_161_6590_L_0		0.0000
0.0000	0.0000	0.0000	0.0000	0.0000	0.0000	0.0000			
79 D	28.93	0.000	150.6	84.64	150.6	84.64	V-C 2.2640E+04	-15.50	60.00
1.000	1.000	144.6	0.000	0.000	0.000	0.000	Ala_161_6590_L_0		0.0000
0.0000	0.0000	0.0000	0.0000	0.0000	0.0000	0.0000			
80 D	29.54	0.000	152.5	85.70	152.5	85.70	V-C 2.2640E+04	-15.70	62.00
1.000	1.000	147.7	0.000	0.000	0.000	0.000	Ala_161_6590_L_0		0.0000
0.0000	0.0000	0.0000	0.0000	0.0000	0.0000	0.0000			
81 D	30.15	0.000	154.4	86.77	154.4	86.77	V-C 2.2640E+04	-15.90	64.00
1.000	1.000	150.8	0.000	0.000	0.000	0.000	Ala_161_6590_L_0		0.0000
0.0000	0.0000	0.0000	0.0000	0.0000	0.0000	0.0000			
82 D	30.77	0.000	156.4	87.87	156.4	87.87	V-C 1.3190E+05	-16.10	66.00
1.000	1.000	153.9	0.000	0.000	0.000	0.000	Salt_21271_21259_L_0		0.0000
0.0000	0.0000	0.0000	0.0000	0.0000	0.0000	0.0000			
83 D	31.40	0.000	158.4	89.00	158.4	89.00	V-C 1.3190E+05	-16.30	68.00
1.000	1.000	157.0	0.000	0.000	0.000	0.000	Salt_21271_21259_L_0		0.0000
0.0000	0.0000	0.0000	0.0000	0.0000	0.0000	0.0000			
84 D	32.02	0.000	160.4	90.12	160.4	90.12	V-C 1.3190E+05	-16.50	70.00
1.000	1.000	160.1	0.000	0.000	0.000	0.000	Salt_21271_21259_L_0		0.0000
0.0000	0.0000	0.0000	0.0000	0.0000	0.0000	0.0000			
85 D	32.65	0.000	162.4	91.24	162.4	91.24	V-C 1.3190E+05	-16.70	72.00
1.000	1.000	163.2	0.000	0.000	0.000	0.000	Salt_21271_21259_L_0		0.0000
0.0000	0.0000	0.0000	0.0000	0.0000	0.0000	0.0000			
86 D	33.27	0.000	164.4	92.37	164.4	92.37	V-C 1.3190E+05	-16.90	74.00
1.000	1.000	166.4	0.000	0.000	0.000	0.000	Salt_21271_21259_L_0		0.0000
0.0000	0.0000	0.0000	0.0000	0.0000	0.0000	0.0000			
87 D	33.90	0.000	166.4	93.49	166.4	93.49	V-C 1.3190E+05	-17.10	76.00
1.000	1.000	169.5	0.000	0.000	0.000	0.000	Salt_21271_21259_L_0		0.0000
0.0000	0.0000	0.0000	0.0000	0.0000	0.0000	0.0000			
88 D	34.52	0.000	168.4	94.62	168.4	94.62	V-C 1.3190E+05	-17.30	78.00
1.000	1.000	172.6	0.000	0.000	0.000	0.000	Salt_21271_21259_L_0		0.0000
0.0000	0.0000	0.0000	0.0000	0.0000	0.0000	0.0000			
89 D	35.15	0.000	170.4	95.74	170.4	95.74	V-C 1.3190E+05	-17.50	80.00
1.000	1.000	175.7	0.000	0.000	0.000	0.000	Salt_21271_21259_L_0		0.0000
0.0000	0.0000	0.0000	0.0000	0.0000	0.0000	0.0000			
90 D	35.78	0.000	172.4	96.91	172.4	96.91	V-C 9.8329E+04	-17.70	82.00
1.000	1.000	178.9	0.000	0.000	0.000	0.000	Sch_21272_21260_L_0		0.0000
0.0000	0.0000	0.0000	0.0000	0.0000	0.0000	0.0000			
91 D	36.48	0.000	175.0	98.38	175.0	98.38	V-C 9.8329E+04	-17.90	84.00
1.000	1.000	182.4	0.000	0.000	0.000	0.000	Sch_21272_21260_L_0		0.0000

0.0000	0.0000	0.0000	0.0000	0.0000						
92 D	27.88	0.000	177.6	99.84	177.6	99.84	V-C 9.8329E+04	-18.10	86.00	
1.000	1.000	185.8	0.000	0.000	0.000	0.000	Sch_21272_21260_L_0		0.0000	
0.0000	0.0000	0.0000	0.0000	0.0000						
93 D	9.378	0.000	178.9	100.6	178.9	100.6	V-C 9.8329E+04	-18.20	87.00	
1.000	1.000	187.6	0.000	0.000	0.000	0.000	Sch_21272_21260_L_0		0.0000	
0.0000	0.0000	0.0000	0.0000	0.0000						

```
+-----+
|          PARATIEPLUS(TM)  NLS ENGINE RELEASE  2022.0.0  FULL VERSION  *Build date:Sep 13, 2021*  |
|                                                                                               |
|                                                                                               |
|                                                                                               |
|                                                                                               |
|          ParatiePlus                                                                           |
|          Exe Time :28 January 2022  11:11:16                                               |
+-----+
```

New Project

S T R E S S R E S U L T S F O R G R O U P N O . 3

pali15001.7_33 :
ELEMENT TYPE 2 NO.OF ELEMENTS. IN THIS GROUP 68
C U R R E N T T I M E I S 1.0000 SUBINCREMENT 00001/00001

WALL2D ELEMENT

EL TA TB MA MB

***** NO ONE ELEMENT ACTIVE AT CURRENT STEP *****

```

+-----+
|          PARATIEPLUS(TM)  NLS ENGINE RELEASE 2022.0.0  FULL VERSION  *Build date:Sep 13, 2021*          |
|                                                                                                                                            |
|                                                                                               ParatiePlus |
|                                                                                               Exe Time :28 January 2022  11:11:16 |
+-----+

```

New Project

S T R E S S R E S U L T S F O R G R O U P N O . 4

muro71cm_4658 :
ELEMENT TYPE 2 NO.OF ELEMENTS. IN THIS GROUP 24
C U R R E N T T I M E I S 1.0000 SUBINCREMENT 00001/00001

WALL2D ELEMENT

EL TA TB MA MB

***** NO ONE ELEMENT ACTIVE AT CURRENT STEP *****

```

ITER   0  RNORM = 0.000   RMNORM= 0.000
      RINORM=0.5558E+05 RIMNOR= 0.000
      RENORM= 0.000   REMNOR= 0.000   RATIO = 0.000   TOLER =0.1000E-03   CONVERGED !
      RFMAX = 36.48   RMMAX = 0.000
      RTSMAL=0.1000E-03 RMSMAL= 0.000
      RDT   =0.5558E+05 RDR   = 0.000
      RATIOT= 0.000   RATIOOR= 0.000
      MAX UN= 0.000   IEQ=   186 NODE   93 DOF   2   X-ROT. F
      MIN UN= 0.000   IEQ=   1 NODE   1 DOF   1   Y-DISPL.F
      NO. OF CONTACT CONSTRAINT VIOLATIONS   0

```

```

ITER   1  RNORM = 0.000   RMNORM= 0.000
      RINORM=0.5558E+05 RIMNOR= 0.000
      RENORM= 0.000   REMNOR= 0.000   RATIO = 0.000   TOLER =0.1000E-03   CONVERGED !
      RFMAX = 36.48   RMMAX = 0.000
      RTSMAL=0.1000E-03 RMSMAL= 0.000
      RDT   =0.5558E+05 RDR   = 0.000
      RATIOT= 0.000   RATIOOR= 0.000
      MAX UN= 0.000   IEQ=   186 NODE   93 DOF   2   X-ROT. F
      MIN UN= 0.000   IEQ=   1 NODE   1 DOF   1   Y-DISPL.F
      NO. OF CONTACT CONSTRAINT VIOLATIONS   0

```

```

ITER   2  RNORM = 0.000   RMNORM= 0.000
      RINORM=0.5558E+05 RIMNOR= 0.000
      RENORM= 0.000   REMNOR= 0.000   RATIO = 0.000   TOLER =0.1000E-03   CONVERGED !
      RFMAX = 36.48   RMMAX = 0.000
      RTSMAL=0.1000E-03 RMSMAL= 0.000
      RDT   =0.5558E+05 RDR   = 0.000
      RATIOT= 0.000   RATIOOR= 0.000
      MAX UN= 0.000   IEQ=   186 NODE   93 DOF   2   X-ROT. F
      MIN UN= 0.000   IEQ=   1 NODE   1 DOF   1   Y-DISPL.F
      NO. OF CONTACT CONSTRAINT VIOLATIONS   0

```

```
+-----+
|          PARATIEPLUS(TM)  NLS ENGINE RELEASE  2022.0.0  FULL VERSION  *Build date:Sep 13, 2021*  |
|                                                                                               |
|                                                                                               |
|                               ParatiePlus                                                    |
|                               Exe Time :28 January 2022  11:11:16                            |
+-----+
```

New Project
SOLUTION REACHED USING 2 ITERATIONS ON 40

P R I N T O U T F O R T I M E S T E P 2 (AT TIME 2.000) SUBINCREMENT 00001/00001

PRINT OUT OF ACTIVE COMPONENTS (FIXED NODES ARE NOT PRINTED OUT)

Y-DISPL.F	X-ROT. F
02	04

ALL NODAL POINTS HAVE ZERO DISPLACEMENT COMPONENTS

```

+-----+
|                PARATIEPLUS(TM)  NLS ENGINE RELEASE 2022.0.0  FULL VERSION  *Build date:Sep 13, 2021*                |
|                                                                                                                                           |
|                                                                                               ParatiePlus                               |
|                                                                                               Exe Time :28 January 2022  11:11:16           |
+-----+

```

New Project

S T R E S S R E S U L T S F O R G R O U P N O . 1

0_L :
ELEMENT TYPE 5 NO.OF ELEMENTS. IN THIS GROUP 93
C U R R E N T T I M E I S 2.0000 SUBINCREMENT 00001/00001

HARDENING 2D SOIL ELEMENT

***** TOTAL STRESS FORMULATION *****

EL * TOR QSL	FORCE UFACTOR ZD	DISPL-Y Peq ZPL	VERTICAL-P Su_a Kz	HORIZON.-P Su_p	MAX-V-P Coh_e_a	MAX-H-P Coh_e_p	STATE LAYER	STIFFNESS	Z-LEVEL	PORE ZFO	E FAC- QS
1	0.000	--	--	--	--	--	REMOVED	--	0.000	0.000	
1.000	1.000	0.000	0.000	0.000	0.000	0.000	not available				
2	0.000	--	--	--	--	--	REMOVED	--	-0.2000	0.000	
1.000	1.000	0.000	0.000	0.000	0.000	0.000	not available				
3	0.000	--	--	--	--	--	REMOVED	--	-0.4000	0.000	
1.000	1.000	0.000	0.000	0.000	0.000	0.000	not available				
4	0.000	--	--	--	--	--	REMOVED	--	-0.6000	0.000	
1.000	1.000	0.000	0.000	0.000	0.000	0.000	not available				
5	0.000	--	--	--	--	--	REMOVED	--	-0.8000	0.000	
1.000	1.000	0.000	0.000	0.000	0.000	0.000	not available				
6	0.000	--	--	--	--	--	REMOVED	--	-1.000	0.000	
1.000	1.000	0.000	0.000	0.000	0.000	0.000	not available				
7	0.000	--	--	--	--	--	REMOVED	--	-1.200	0.000	
1.000	1.000	0.000	0.000	0.000	0.000	0.000	not available				
8	0.000	--	--	--	--	--	REMOVED	--	-1.400	0.000	
1.000	1.000	0.000	0.000	0.000	0.000	0.000	not available				
9	0.000	--	--	--	--	--	REMOVED	--	-1.600	0.000	
1.000	1.000	0.000	0.000	0.000	0.000	0.000	not available				
10	0.000	--	--	--	--	--	REMOVED	--	-1.800	0.000	
1.000	1.000	0.000	0.000	0.000	0.000	0.000	not available				
11	0.000	--	--	--	--	--	REMOVED	--	-2.000	0.000	
1.000	1.000	0.000	0.000	0.000	0.000	0.000	not available				
12	0.000	--	--	--	--	--	REMOVED	--	-2.200	0.000	
1.000	1.000	0.000	0.000	0.000	0.000	0.000	not available				
13	0.000	--	--	--	--	--	REMOVED	--	-2.400	0.000	
1.000	1.000	0.000	0.000	0.000	0.000	0.000	not available				
14	0.000	--	--	--	--	--	REMOVED	--	-2.600	0.000	
1.000	1.000	0.000	0.000	0.000	0.000	0.000	not available				
15	0.000	--	--	--	--	--	REMOVED	--	-2.800	0.000	
1.000	1.000	0.000	0.000	0.000	0.000	0.000	not available				
16	0.000	--	--	--	--	--	REMOVED	--	-3.000	0.000	
1.000	1.000	0.000	0.000	0.000	0.000	0.000	not available				
17	0.000	--	--	--	--	--	REMOVED	--	-3.200	0.000	
1.000	1.000	0.000	0.000	0.000	0.000	0.000	not available				
18	0.000	--	--	--	--	--	REMOVED	--	-3.400	0.000	
1.000	1.000	0.000	0.000	0.000	0.000	0.000	not available				
19	0.000	--	--	--	--	--	REMOVED	--	-3.600	0.000	
1.000	1.000	0.000	0.000	0.000	0.000	0.000	not available				
20	0.000	--	--	--	--	--	REMOVED	--	-3.800	0.000	
1.000	1.000	0.000	0.000	0.000	0.000	0.000	not available				
21	0.000	--	--	--	--	--	REMOVED	--	-4.000	0.000	
1.000	1.000	0.000	0.000	0.000	0.000	0.000	not available				
22	0.000	--	--	--	--	--	REMOVED	--	-4.200	0.000	
1.000	1.000	0.000	0.000	0.000	0.000	0.000	not available				
23	0.000	--	--	--	--	--	REMOVED	--	-4.400	0.000	
1.000	1.000	0.000	0.000	0.000	0.000	0.000	not available				
24	0.000	--	--	--	--	--	REMOVED	--	-4.600	0.000	
1.000	1.000	0.000	0.000	0.000	0.000	0.000	not available				
25 D	0.000	0.000	0.000	0.000	0.000	0.000	UL-RL 5.5131E+04		-4.700	0.000	
1.000	1.000	0.000	0.000	0.000	0.000	0.000	Ala_161_6590_L_0			0.0000	
0.0000	0.0000	0.0000	0.0000	0.0000	0.0000	0.0000					
26 D	0.4384	0.000	3.900	2.192	3.900	2.192	UL-RL 5.5131E+04		-4.900	0.000	
1.000	1.000	2.192	0.000	0.000	0.000	0.000	Ala_161_6590_L_0			0.0000	
0.0000	0.0000	0.0000	0.0000	0.0000	0.0000	0.0000					
27 D	0.8767	0.000	7.800	4.384	7.800	4.384	UL-RL 5.5131E+04		-5.100	0.000	
1.000	1.000	4.384	0.000	0.000	0.000	0.000	Ala_161_6590_L_0			0.0000	
0.0000	0.0000	0.0000	0.0000	0.0000	0.0000	0.0000					
28 D	1.315	0.000	11.70	6.575	11.70	6.575	UL-RL 5.5131E+04		-5.300	0.000	
1.000	1.000	6.575	0.000	0.000	0.000	0.000	Ala_161_6590_L_0			0.0000	
0.0000	0.0000	0.0000	0.0000	0.0000	0.0000	0.0000					
29 D	1.753	0.000	15.60	8.767	15.60	8.767	UL-RL 5.5131E+04		-5.500	0.000	
1.000	1.000	8.767	0.000	0.000	0.000	0.000	Ala_161_6590_L_0			0.0000	
0.0000	0.0000	0.0000	0.0000	0.0000	0.0000	0.0000					
30 D	2.192	0.000	19.50	10.96	19.50	10.96	UL-RL 5.5131E+04		-5.700	0.000	

1.000	1.000	10.96	0.000	0.000	0.000	0.000	0.000	Ala_161_6590_L_0	0.0000	
0.0000	0.0000	0.0000	0.0000	0.0000	0.0000	0.0000	0.0000			
31 D	2.630	0.000	23.40	13.15	23.40	13.15	23.40	UL-RL 5.5131E+04	-5.900	0.000
1.000	1.000	13.15	0.000	0.000	0.000	0.000	0.000	Ala_161_6590_L_0	0.0000	0.0000
0.0000	0.0000	0.0000	0.0000	0.0000	0.0000	0.0000	0.0000			
32 D	3.069	0.000	27.30	15.34	27.30	15.34	27.30	UL-RL 5.5131E+04	-6.100	0.000
1.000	1.000	15.34	0.000	0.000	0.000	0.000	0.000	Ala_161_6590_L_0	0.0000	0.0000
0.0000	0.0000	0.0000	0.0000	0.0000	0.0000	0.0000	0.0000			
33 D	3.507	0.000	31.20	17.53	31.20	17.53	31.20	UL-RL 5.5131E+04	-6.300	0.000
1.000	1.000	17.53	0.000	0.000	0.000	0.000	0.000	Ala_161_6590_L_0	0.0000	0.0000
0.0000	0.0000	0.0000	0.0000	0.0000	0.0000	0.0000	0.0000			
34 D	3.945	0.000	35.10	19.73	35.10	19.73	35.10	UL-RL 5.5131E+04	-6.500	0.000
1.000	1.000	19.73	0.000	0.000	0.000	0.000	0.000	Ala_161_6590_L_0	0.0000	0.0000
0.0000	0.0000	0.0000	0.0000	0.0000	0.0000	0.0000	0.0000			
35 D	4.384	0.000	39.00	21.92	39.00	21.92	39.00	UL-RL 5.5131E+04	-6.700	0.000
1.000	1.000	21.92	0.000	0.000	0.000	0.000	0.000	Ala_161_6590_L_0	0.0000	0.0000
0.0000	0.0000	0.0000	0.0000	0.0000	0.0000	0.0000	0.0000			
36 D	4.822	0.000	42.90	24.11	42.90	24.11	42.90	UL-RL 5.5131E+04	-6.900	0.000
1.000	1.000	24.11	0.000	0.000	0.000	0.000	0.000	Ala_161_6590_L_0	0.0000	0.0000
0.0000	0.0000	0.0000	0.0000	0.0000	0.0000	0.0000	0.0000			
37 D	5.260	0.000	46.80	26.30	46.80	26.30	46.80	UL-RL 5.5131E+04	-7.100	0.000
1.000	1.000	26.30	0.000	0.000	0.000	0.000	0.000	Ala_161_6590_L_0	0.0000	0.0000
0.0000	0.0000	0.0000	0.0000	0.0000	0.0000	0.0000	0.0000			
38 D	5.699	0.000	50.70	28.49	50.70	28.49	50.70	UL-RL 5.5131E+04	-7.300	0.000
1.000	1.000	28.49	0.000	0.000	0.000	0.000	0.000	Ala_161_6590_L_0	0.0000	0.0000
0.0000	0.0000	0.0000	0.0000	0.0000	0.0000	0.0000	0.0000			
39 D	6.137	0.000	54.60	30.69	54.60	30.69	54.60	UL-RL 5.5131E+04	-7.500	0.000
1.000	1.000	30.69	0.000	0.000	0.000	0.000	0.000	Ala_161_6590_L_0	0.0000	0.0000
0.0000	0.0000	0.0000	0.0000	0.0000	0.0000	0.0000	0.0000			
40 D	6.575	0.000	58.50	32.88	58.50	32.88	58.50	UL-RL 5.5131E+04	-7.700	0.000
1.000	1.000	32.88	0.000	0.000	0.000	0.000	0.000	Ala_161_6590_L_0	0.0000	0.0000
0.0000	0.0000	0.0000	0.0000	0.0000	0.0000	0.0000	0.0000			
41 D	7.014	0.000	62.40	35.07	62.40	35.07	62.40	UL-RL 5.5131E+04	-7.900	0.000
1.000	1.000	35.07	0.000	0.000	0.000	0.000	0.000	Ala_161_6590_L_0	0.0000	0.0000
0.0000	0.0000	0.0000	0.0000	0.0000	0.0000	0.0000	0.0000			
42 D	7.452	0.000	66.30	37.26	66.30	37.26	66.30	UL-RL 5.5131E+04	-8.100	0.000
1.000	1.000	37.26	0.000	0.000	0.000	0.000	0.000	Ala_161_6590_L_0	0.0000	0.0000
0.0000	0.0000	0.0000	0.0000	0.0000	0.0000	0.0000	0.0000			
43 D	7.890	0.000	70.20	39.45	70.20	39.45	70.20	UL-RL 5.5131E+04	-8.300	0.000
1.000	1.000	39.45	0.000	0.000	0.000	0.000	0.000	Ala_161_6590_L_0	0.0000	0.0000
0.0000	0.0000	0.0000	0.0000	0.0000	0.0000	0.0000	0.0000			
44 D	8.329	0.000	74.10	41.64	74.10	41.64	74.10	UL-RL 5.5131E+04	-8.500	0.000
1.000	1.000	41.64	0.000	0.000	0.000	0.000	0.000	Ala_161_6590_L_0	0.0000	0.0000
0.0000	0.0000	0.0000	0.0000	0.0000	0.0000	0.0000	0.0000			
45 D	8.767	0.000	78.00	43.84	78.00	43.84	78.00	UL-RL 5.5131E+04	-8.700	0.000
1.000	1.000	43.84	0.000	0.000	0.000	0.000	0.000	Ala_161_6590_L_0	0.0000	0.0000
0.0000	0.0000	0.0000	0.0000	0.0000	0.0000	0.0000	0.0000			
46 D	9.206	0.000	81.90	46.03	81.90	46.03	81.90	UL-RL 5.5131E+04	-8.900	0.000
1.000	1.000	46.03	0.000	0.000	0.000	0.000	0.000	Ala_161_6590_L_0	0.0000	0.0000
0.0000	0.0000	0.0000	0.0000	0.0000	0.0000	0.0000	0.0000			
47 D	9.644	0.000	85.80	48.22	85.80	48.22	85.80	UL-RL 5.5131E+04	-9.100	0.000
1.000	1.000	48.22	0.000	0.000	0.000	0.000	0.000	Ala_161_6590_L_0	0.0000	0.0000
0.0000	0.0000	0.0000	0.0000	0.0000	0.0000	0.0000	0.0000			
48 D	10.08	0.000	89.70	50.41	89.70	50.41	89.70	UL-RL 5.5131E+04	-9.300	0.000
1.000	1.000	50.41	0.000	0.000	0.000	0.000	0.000	Ala_161_6590_L_0	0.0000	0.0000
0.0000	0.0000	0.0000	0.0000	0.0000	0.0000	0.0000	0.0000			
49 D	10.52	0.000	93.60	52.60	93.60	52.60	93.60	UL-RL 5.5131E+04	-9.500	0.000
1.000	1.000	52.60	0.000	0.000	0.000	0.000	0.000	Ala_161_6590_L_0	0.0000	0.0000
0.0000	0.0000	0.0000	0.0000	0.0000	0.0000	0.0000	0.0000			
50 D	11.13	0.000	95.50	53.67	95.50	53.67	95.50	UL-RL 5.5131E+04	-9.700	2.000
1.000	1.000	55.67	0.000	0.000	0.000	0.000	0.000	Ala_161_6590_L_0	0.0000	0.0000
0.0000	0.0000	0.0000	0.0000	0.0000	0.0000	0.0000	0.0000			
51 D	11.75	0.000	97.40	54.74	97.40	54.74	97.40	UL-RL 5.5131E+04	-9.900	4.000
1.000	1.000	58.74	0.000	0.000	0.000	0.000	0.000	Ala_161_6590_L_0	0.0000	0.0000
0.0000	0.0000	0.0000	0.0000	0.0000	0.0000	0.0000	0.0000			
52 D	12.36	0.000	99.30	55.81	99.30	55.81	99.30	UL-RL 5.5131E+04	-10.10	6.000
1.000	1.000	61.81	0.000	0.000	0.000	0.000	0.000	Ala_161_6590_L_0	0.0000	0.0000
0.0000	0.0000	0.0000	0.0000	0.0000	0.0000	0.0000	0.0000			
53 D	12.97	0.000	101.2	56.87	101.2	56.87	101.2	UL-RL 5.5131E+04	-10.30	8.000
1.000	1.000	64.87	0.000	0.000	0.000	0.000	0.000	Ala_161_6590_L_0	0.0000	0.0000
0.0000	0.0000	0.0000	0.0000	0.0000	0.0000	0.0000	0.0000			
54 D	13.59	0.000	103.1	57.94	103.1	57.94	103.1	UL-RL 5.5131E+04	-10.50	10.000
1.000	1.000	67.94	0.000	0.000	0.000	0.000	0.000	Ala_161_6590_L_0	0.0000	0.0000
0.0000	0.0000	0.0000	0.0000	0.0000	0.0000	0.0000	0.0000			
55 D	14.20	0.000	105.0	59.01	105.0	59.01	105.0	UL-RL 5.5131E+04	-10.70	12.00
1.000	1.000	71.01	0.000	0.000	0.000	0.000	0.000	Ala_161_6590_L_0	0.0000	0.0000
0.0000	0.0000	0.0000	0.0000	0.0000	0.0000	0.0000	0.0000			
56 D	14.82	0.000	106.9	60.08	106.9	60.08	106.9	UL-RL 5.5131E+04	-10.90	14.00
1.000	1.000	74.08	0.000	0.000	0.000	0.000	0.000	Ala_161_6590_L_0	0.0000	0.0000
0.0000	0.0000	0.0000	0.0000	0.0000	0.0000	0.0000	0.0000			
57 D	15.43	0.000	108.8	61.15	108.8	61.15	108.8	UL-RL 5.5131E+04	-11.10	16.00
1.000	1.000	77.15	0.000	0.000	0.000	0.000	0.000	Ala_161_6590_L_0	0.0000	0.0000
0.0000	0.0000	0.0000	0.0000	0.0000	0.0000	0.0000	0.0000			
58 D	16.04	0.000	110.7	62.21	110.7	62.21	110.7	UL-RL 5.5131E+04	-11.30	18.00
1.000	1.000	80.21	0.000	0.000	0.000	0.000	0.000	Ala_161_6590_L_0	0.0000	0.0000
0.0000	0.0000	0.0000	0.0000	0.0000	0.0000	0.0000	0.0000			
59 D	16.66	0.000	112.6	63.28	112.6	63.28	112.6	UL-RL 5.5131E+04	-11.50	20.00
1.000	1.000	83.28	0.000	0.000	0.000	0.000	0.000	Ala_161_6590_L_0	0.0000	0.0000
0.0000	0.0000	0.0000	0.0000	0.0000	0.0000	0.0000	0.0000			
60 D	17.27	0.000	114.5	64.35	114.5	64.35	114.5	UL-RL 5.5131E+04	-11.70	22.00
1.000	1.000	86.35	0.000	0.000	0.000	0.000	0.000	Ala_161_6590_L_0	0.0000	0.0000
0.0000	0.0000	0.0000	0.0000	0.0000	0.0000	0.0000	0.0000			

61 D	17.88	0.000	116.4	65.42	116.4	65.42	UL-RL 5.5131E+04	-11.90	24.00
1.000	1.000	89.42	0.000	0.000	0.000	0.000	Ala_161_6590_L_0		0.0000
0.0000	0.0000	0.0000	0.0000	0.0000	0.0000	0.0000			
62 D	18.50	0.000	118.3	66.48	118.3	66.48	UL-RL 5.5131E+04	-12.10	26.00
1.000	1.000	92.48	0.000	0.000	0.000	0.000	Ala_161_6590_L_0		0.0000
0.0000	0.0000	0.0000	0.0000	0.0000	0.0000	0.0000			
63 D	19.11	0.000	120.2	67.55	120.2	67.55	UL-RL 5.5131E+04	-12.30	28.00
1.000	1.000	95.55	0.000	0.000	0.000	0.000	Ala_161_6590_L_0		0.0000
0.0000	0.0000	0.0000	0.0000	0.0000	0.0000	0.0000			
64 D	19.72	0.000	122.1	68.62	122.1	68.62	UL-RL 5.5131E+04	-12.50	30.00
1.000	1.000	98.62	0.000	0.000	0.000	0.000	Ala_161_6590_L_0		0.0000
0.0000	0.0000	0.0000	0.0000	0.0000	0.0000	0.0000			
65 D	20.34	0.000	124.0	69.69	124.0	69.69	UL-RL 5.5131E+04	-12.70	32.00
1.000	1.000	101.7	0.000	0.000	0.000	0.000	Ala_161_6590_L_0		0.0000
0.0000	0.0000	0.0000	0.0000	0.0000	0.0000	0.0000			
66 D	20.95	0.000	125.9	70.76	125.9	70.76	UL-RL 5.5131E+04	-12.90	34.00
1.000	1.000	104.8	0.000	0.000	0.000	0.000	Ala_161_6590_L_0		0.0000
0.0000	0.0000	0.0000	0.0000	0.0000	0.0000	0.0000			
67 D	21.56	0.000	127.8	71.82	127.8	71.82	UL-RL 5.5131E+04	-13.10	36.00
1.000	1.000	107.8	0.000	0.000	0.000	0.000	Ala_161_6590_L_0		0.0000
0.0000	0.0000	0.0000	0.0000	0.0000	0.0000	0.0000			
68 D	22.18	0.000	129.7	72.89	129.7	72.89	UL-RL 5.5131E+04	-13.30	38.00
1.000	1.000	110.9	0.000	0.000	0.000	0.000	Ala_161_6590_L_0		0.0000
0.0000	0.0000	0.0000	0.0000	0.0000	0.0000	0.0000			
69 D	22.79	0.000	131.6	73.96	131.6	73.96	UL-RL 5.5131E+04	-13.50	40.00
1.000	1.000	114.0	0.000	0.000	0.000	0.000	Ala_161_6590_L_0		0.0000
0.0000	0.0000	0.0000	0.0000	0.0000	0.0000	0.0000			
70 D	23.41	0.000	133.5	75.03	133.5	75.03	UL-RL 5.5131E+04	-13.70	42.00
1.000	1.000	117.0	0.000	0.000	0.000	0.000	Ala_161_6590_L_0		0.0000
0.0000	0.0000	0.0000	0.0000	0.0000	0.0000	0.0000			
71 D	24.02	0.000	135.4	76.09	135.4	76.09	UL-RL 5.5131E+04	-13.90	44.00
1.000	1.000	120.1	0.000	0.000	0.000	0.000	Ala_161_6590_L_0		0.0000
0.0000	0.0000	0.0000	0.0000	0.0000	0.0000	0.0000			
72 D	24.63	0.000	137.3	77.16	137.3	77.16	UL-RL 5.5131E+04	-14.10	46.00
1.000	1.000	123.2	0.000	0.000	0.000	0.000	Ala_161_6590_L_0		0.0000
0.0000	0.0000	0.0000	0.0000	0.0000	0.0000	0.0000			
73 D	25.25	0.000	139.2	78.23	139.2	78.23	UL-RL 5.5131E+04	-14.30	48.00
1.000	1.000	126.2	0.000	0.000	0.000	0.000	Ala_161_6590_L_0		0.0000
0.0000	0.0000	0.0000	0.0000	0.0000	0.0000	0.0000			
74 D	25.86	0.000	141.1	79.30	141.1	79.30	UL-RL 5.5131E+04	-14.50	50.00
1.000	1.000	129.3	0.000	0.000	0.000	0.000	Ala_161_6590_L_0		0.0000
0.0000	0.0000	0.0000	0.0000	0.0000	0.0000	0.0000			
75 D	26.47	0.000	143.0	80.37	143.0	80.37	UL-RL 5.5131E+04	-14.70	52.00
1.000	1.000	132.4	0.000	0.000	0.000	0.000	Ala_161_6590_L_0		0.0000
0.0000	0.0000	0.0000	0.0000	0.0000	0.0000	0.0000			
76 D	27.09	0.000	144.9	81.43	144.9	81.43	UL-RL 5.5131E+04	-14.90	54.00
1.000	1.000	135.4	0.000	0.000	0.000	0.000	Ala_161_6590_L_0		0.0000
0.0000	0.0000	0.0000	0.0000	0.0000	0.0000	0.0000			
77 D	27.70	0.000	146.8	82.50	146.8	82.50	UL-RL 5.5131E+04	-15.10	56.00
1.000	1.000	138.5	0.000	0.000	0.000	0.000	Ala_161_6590_L_0		0.0000
0.0000	0.0000	0.0000	0.0000	0.0000	0.0000	0.0000			
78 D	28.31	0.000	148.7	83.57	148.7	83.57	UL-RL 5.5131E+04	-15.30	58.00
1.000	1.000	141.6	0.000	0.000	0.000	0.000	Ala_161_6590_L_0		0.0000
0.0000	0.0000	0.0000	0.0000	0.0000	0.0000	0.0000			
79 D	28.93	0.000	150.6	84.64	150.6	84.64	UL-RL 5.5131E+04	-15.50	60.00
1.000	1.000	144.6	0.000	0.000	0.000	0.000	Ala_161_6590_L_0		0.0000
0.0000	0.0000	0.0000	0.0000	0.0000	0.0000	0.0000			
80 D	29.54	0.000	152.5	85.70	152.5	85.70	UL-RL 5.5131E+04	-15.70	62.00
1.000	1.000	147.7	0.000	0.000	0.000	0.000	Ala_161_6590_L_0		0.0000
0.0000	0.0000	0.0000	0.0000	0.0000	0.0000	0.0000			
81 D	30.15	0.000	154.4	86.77	154.4	86.77	UL-RL 5.5131E+04	-15.90	64.00
1.000	1.000	150.8	0.000	0.000	0.000	0.000	Ala_161_6590_L_0		0.0000
0.0000	0.0000	0.0000	0.0000	0.0000	0.0000	0.0000			
82 D	30.77	0.000	156.4	87.87	156.4	87.87	UL-RL 3.0900E+05	-16.10	66.00
1.000	1.000	153.9	0.000	0.000	10.00	10.00	Salt_21271_21259_L_0		0.0000
0.0000	0.0000	0.0000	0.0000	0.0000	0.0000	0.0000			
83 D	31.40	0.000	158.4	89.00	158.4	89.00	UL-RL 3.0900E+05	-16.30	68.00
1.000	1.000	157.0	0.000	0.000	10.00	10.00	Salt_21271_21259_L_0		0.0000
0.0000	0.0000	0.0000	0.0000	0.0000	0.0000	0.0000			
84 D	32.02	0.000	160.4	90.12	160.4	90.12	UL-RL 3.0900E+05	-16.50	70.00
1.000	1.000	160.1	0.000	0.000	10.00	10.00	Salt_21271_21259_L_0		0.0000
0.0000	0.0000	0.0000	0.0000	0.0000	0.0000	0.0000			
85 D	32.65	0.000	162.4	91.24	162.4	91.24	UL-RL 3.0900E+05	-16.70	72.00
1.000	1.000	163.2	0.000	0.000	10.00	10.00	Salt_21271_21259_L_0		0.0000
0.0000	0.0000	0.0000	0.0000	0.0000	0.0000	0.0000			
86 D	33.27	0.000	164.4	92.37	164.4	92.37	UL-RL 3.0900E+05	-16.90	74.00
1.000	1.000	166.4	0.000	0.000	10.00	10.00	Salt_21271_21259_L_0		0.0000
0.0000	0.0000	0.0000	0.0000	0.0000	0.0000	0.0000			
87 D	33.90	0.000	166.4	93.49	166.4	93.49	UL-RL 3.0900E+05	-17.10	76.00
1.000	1.000	169.5	0.000	0.000	10.00	10.00	Salt_21271_21259_L_0		0.0000
0.0000	0.0000	0.0000	0.0000	0.0000	0.0000	0.0000			
88 D	34.52	0.000	168.4	94.62	168.4	94.62	UL-RL 3.0900E+05	-17.30	78.00
1.000	1.000	172.6	0.000	0.000	10.00	10.00	Salt_21271_21259_L_0		0.0000
0.0000	0.0000	0.0000	0.0000	0.0000	0.0000	0.0000			
89 D	35.15	0.000	170.4	95.74	170.4	95.74	UL-RL 3.0900E+05	-17.50	80.00
1.000	1.000	175.7	0.000	0.000	10.00	10.00	Salt_21271_21259_L_0		0.0000
0.0000	0.0000	0.0000	0.0000	0.0000	0.0000	0.0000			
90 D	35.78	0.000	172.4	96.91	172.4	96.91	UL-RL 1.8885E+05	-17.70	82.00
1.000	1.000	178.9	0.000	0.000	55.00	55.00	Sch_21272_21260_L_0		0.0000
0.0000	0.0000	0.0000	0.0000	0.0000	0.0000	0.0000			
91 D	36.48	0.000	175.0	98.38	175.0	98.38	UL-RL 1.8885E+05	-17.90	84.00
1.000	1.000	182.4	0.000	0.000	55.00	55.00	Sch_21272_21260_L_0		0.0000

0.0000	0.0000	0.0000	0.0000	0.0000						
92 D	27.88	0.000	177.6	99.84	177.6	99.84	UL-RL 1.8885E+05	-18.10	86.00	
1.000	1.000	185.8	0.000	0.000	55.00	55.00	Sch_21272_21260_L_0		0.0000	
0.0000	0.0000	0.0000	0.0000	0.0000						
93 D	9.378	0.000	178.9	100.6	178.9	100.6	UL-RL 1.8885E+05	-18.20	87.00	
1.000	1.000	187.6	0.000	0.000	55.00	55.00	Sch_21272_21260_L_0		0.0000	
0.0000	0.0000	0.0000	0.0000	0.0000						

```

+-----+
|                PARATIEPLUS(TM)  NLS ENGINE RELEASE 2022.0.0  FULL VERSION  *Build date:Sep 13, 2021*                |
|                                                                                                                                            |
|                                                                                               ParatiePlus                                                                                               |
|                                                                                               Exe Time :28 January 2022  11:11:16                                                                                               |
+-----+

```

New Project

S T R E S S R E S U L T S F O R G R O U P N O . 2

```

O_R :
ELEMENT TYPE   5 NO.OF ELEMENTS. IN THIS GROUP   93
C U R R E N T   T I M E   I S   2.0000 SUBINCREMENT 00001/00001

```

HARDENING 2D SOIL ELEMENT

***** TOTAL STRESS FORMULATION *****

EL * TOR QSL	FORCE UFACTOR ZD	DISPL-Y Peq ZPL	VERTICAL-P Su_a Kz	HORIZON.-P Su_p	MAX-V-P Coh_e_a	MAX-H-P Coh_e_p	STATE LAYER	STIFFNESS	Z-LEVEL	PORE ZFO	E FAC- QS
1	0.000	--	--	--	--	--	REMOVED	--	0.000	0.000	
1.000	1.000	0.000	0.000	0.000	0.000	0.000	not available				
2	0.000	--	--	--	--	--	REMOVED	--	-0.2000	0.000	
1.000	1.000	0.000	0.000	0.000	0.000	0.000	not available				
3	0.000	--	--	--	--	--	REMOVED	--	-0.4000	0.000	
1.000	1.000	0.000	0.000	0.000	0.000	0.000	not available				
4	0.000	--	--	--	--	--	REMOVED	--	-0.6000	0.000	
1.000	1.000	0.000	0.000	0.000	0.000	0.000	not available				
5	0.000	--	--	--	--	--	REMOVED	--	-0.8000	0.000	
1.000	1.000	0.000	0.000	0.000	0.000	0.000	not available				
6	0.000	--	--	--	--	--	REMOVED	--	-1.000	0.000	
1.000	1.000	0.000	0.000	0.000	0.000	0.000	not available				
7	0.000	--	--	--	--	--	REMOVED	--	-1.200	0.000	
1.000	1.000	0.000	0.000	0.000	0.000	0.000	not available				
8	0.000	--	--	--	--	--	REMOVED	--	-1.400	0.000	
1.000	1.000	0.000	0.000	0.000	0.000	0.000	not available				
9	0.000	--	--	--	--	--	REMOVED	--	-1.600	0.000	
1.000	1.000	0.000	0.000	0.000	0.000	0.000	not available				
10	0.000	--	--	--	--	--	REMOVED	--	-1.800	0.000	
1.000	1.000	0.000	0.000	0.000	0.000	0.000	not available				
11	0.000	--	--	--	--	--	REMOVED	--	-2.000	0.000	
1.000	1.000	0.000	0.000	0.000	0.000	0.000	not available				
12	0.000	--	--	--	--	--	REMOVED	--	-2.200	0.000	
1.000	1.000	0.000	0.000	0.000	0.000	0.000	not available				
13	0.000	--	--	--	--	--	REMOVED	--	-2.400	0.000	
1.000	1.000	0.000	0.000	0.000	0.000	0.000	not available				
14	0.000	--	--	--	--	--	REMOVED	--	-2.600	0.000	
1.000	1.000	0.000	0.000	0.000	0.000	0.000	not available				
15	0.000	--	--	--	--	--	REMOVED	--	-2.800	0.000	
1.000	1.000	0.000	0.000	0.000	0.000	0.000	not available				
16	0.000	--	--	--	--	--	REMOVED	--	-3.000	0.000	
1.000	1.000	0.000	0.000	0.000	0.000	0.000	not available				
17	0.000	--	--	--	--	--	REMOVED	--	-3.200	0.000	
1.000	1.000	0.000	0.000	0.000	0.000	0.000	not available				
18	0.000	--	--	--	--	--	REMOVED	--	-3.400	0.000	
1.000	1.000	0.000	0.000	0.000	0.000	0.000	not available				
19	0.000	--	--	--	--	--	REMOVED	--	-3.600	0.000	
1.000	1.000	0.000	0.000	0.000	0.000	0.000	not available				
20	0.000	--	--	--	--	--	REMOVED	--	-3.800	0.000	
1.000	1.000	0.000	0.000	0.000	0.000	0.000	not available				
21	0.000	--	--	--	--	--	REMOVED	--	-4.000	0.000	
1.000	1.000	0.000	0.000	0.000	0.000	0.000	not available				
22	0.000	--	--	--	--	--	REMOVED	--	-4.200	0.000	
1.000	1.000	0.000	0.000	0.000	0.000	0.000	not available				
23	0.000	--	--	--	--	--	REMOVED	--	-4.400	0.000	
1.000	1.000	0.000	0.000	0.000	0.000	0.000	not available				
24	0.000	--	--	--	--	--	REMOVED	--	-4.600	0.000	
1.000	1.000	0.000	0.000	0.000	0.000	0.000	not available				
25 D	0.000	0.000	0.000	0.000	0.000	0.000	UL-RL 6.7919E+04		-4.700	0.000	
1.000	1.000	0.000	0.000	0.000	0.000	0.000	Ala_161_6590_L_0			0.0000	
0.0000	0.0000	0.0000	0.0000	0.0000	0.0000	0.0000					
26 D	0.4384	0.000	3.900	2.192	3.900	2.192	UL-RL 6.7919E+04		-4.900	0.000	
1.000	1.000	2.192	0.000	0.000	0.000	0.000	Ala_161_6590_L_0			0.0000	
0.0000	0.0000	0.0000	0.0000	0.0000	0.0000	0.0000					
27 D	0.8767	0.000	7.800	4.384	7.800	4.384	UL-RL 6.7919E+04		-5.100	0.000	
1.000	1.000	4.384	0.000	0.000	0.000	0.000	Ala_161_6590_L_0			0.0000	
0.0000	0.0000	0.0000	0.0000	0.0000	0.0000	0.0000					
28 D	1.315	0.000	11.70	6.575	11.70	6.575	UL-RL 6.7919E+04		-5.300	0.000	
1.000	1.000	6.575	0.000	0.000	0.000	0.000	Ala_161_6590_L_0			0.0000	
0.0000	0.0000	0.0000	0.0000	0.0000	0.0000	0.0000					
29 D	1.753	0.000	15.60	8.767	15.60	8.767	UL-RL 6.7919E+04		-5.500	0.000	
1.000	1.000	8.767	0.000	0.000	0.000	0.000	Ala_161_6590_L_0			0.0000	
0.0000	0.0000	0.0000	0.0000	0.0000	0.0000	0.0000					
30 D	2.192	0.000	19.50	10.96	19.50	10.96	UL-RL 6.7919E+04		-5.700	0.000	

1.000	1.000	10.96	0.000	0.000	0.000	0.000	0.000	Ala_161_6590_L_0	0.0000	
0.0000	0.0000	0.0000	0.0000	0.0000	0.0000	0.0000	0.0000			
31 D	2.630	0.000	23.40	13.15	23.40	13.15	0.000	UL-RL 6.7919E+04	-5.900	0.000
1.000	1.000	13.15	0.000	0.000	0.000	0.000	0.000	Ala_161_6590_L_0	0.0000	0.0000
0.0000	0.0000	0.0000	0.0000	0.0000	0.0000	0.0000	0.0000			
32 D	3.069	0.000	27.30	15.34	27.30	15.34	0.000	UL-RL 6.7919E+04	-6.100	0.000
1.000	1.000	15.34	0.000	0.000	0.000	0.000	0.000	Ala_161_6590_L_0	0.0000	0.0000
0.0000	0.0000	0.0000	0.0000	0.0000	0.0000	0.0000	0.0000			
33 D	3.507	0.000	31.20	17.53	31.20	17.53	0.000	UL-RL 6.7919E+04	-6.300	0.000
1.000	1.000	17.53	0.000	0.000	0.000	0.000	0.000	Ala_161_6590_L_0	0.0000	0.0000
0.0000	0.0000	0.0000	0.0000	0.0000	0.0000	0.0000	0.0000			
34 D	3.945	0.000	35.10	19.73	35.10	19.73	0.000	UL-RL 6.7919E+04	-6.500	0.000
1.000	1.000	19.73	0.000	0.000	0.000	0.000	0.000	Ala_161_6590_L_0	0.0000	0.0000
0.0000	0.0000	0.0000	0.0000	0.0000	0.0000	0.0000	0.0000			
35 D	4.384	0.000	39.00	21.92	39.00	21.92	0.000	UL-RL 6.7919E+04	-6.700	0.000
1.000	1.000	21.92	0.000	0.000	0.000	0.000	0.000	Ala_161_6590_L_0	0.0000	0.0000
0.0000	0.0000	0.0000	0.0000	0.0000	0.0000	0.0000	0.0000			
36 D	4.822	0.000	42.90	24.11	42.90	24.11	0.000	UL-RL 6.7919E+04	-6.900	0.000
1.000	1.000	24.11	0.000	0.000	0.000	0.000	0.000	Ala_161_6590_L_0	0.0000	0.0000
0.0000	0.0000	0.0000	0.0000	0.0000	0.0000	0.0000	0.0000			
37 D	5.260	0.000	46.80	26.30	46.80	26.30	0.000	UL-RL 6.7919E+04	-7.100	0.000
1.000	1.000	26.30	0.000	0.000	0.000	0.000	0.000	Ala_161_6590_L_0	0.0000	0.0000
0.0000	0.0000	0.0000	0.0000	0.0000	0.0000	0.0000	0.0000			
38 D	5.699	0.000	50.70	28.49	50.70	28.49	0.000	UL-RL 6.7919E+04	-7.300	0.000
1.000	1.000	28.49	0.000	0.000	0.000	0.000	0.000	Ala_161_6590_L_0	0.0000	0.0000
0.0000	0.0000	0.0000	0.0000	0.0000	0.0000	0.0000	0.0000			
39 D	6.137	0.000	54.60	30.69	54.60	30.69	0.000	UL-RL 6.7919E+04	-7.500	0.000
1.000	1.000	30.69	0.000	0.000	0.000	0.000	0.000	Ala_161_6590_L_0	0.0000	0.0000
0.0000	0.0000	0.0000	0.0000	0.0000	0.0000	0.0000	0.0000			
40 D	6.575	0.000	58.50	32.88	58.50	32.88	0.000	UL-RL 6.7919E+04	-7.700	0.000
1.000	1.000	32.88	0.000	0.000	0.000	0.000	0.000	Ala_161_6590_L_0	0.0000	0.0000
0.0000	0.0000	0.0000	0.0000	0.0000	0.0000	0.0000	0.0000			
41 D	7.014	0.000	62.40	35.07	62.40	35.07	0.000	UL-RL 6.7919E+04	-7.900	0.000
1.000	1.000	35.07	0.000	0.000	0.000	0.000	0.000	Ala_161_6590_L_0	0.0000	0.0000
0.0000	0.0000	0.0000	0.0000	0.0000	0.0000	0.0000	0.0000			
42 D	7.452	0.000	66.30	37.26	66.30	37.26	0.000	UL-RL 6.7919E+04	-8.100	0.000
1.000	1.000	37.26	0.000	0.000	0.000	0.000	0.000	Ala_161_6590_L_0	0.0000	0.0000
0.0000	0.0000	0.0000	0.0000	0.0000	0.0000	0.0000	0.0000			
43 D	7.890	0.000	70.20	39.45	70.20	39.45	0.000	UL-RL 6.7919E+04	-8.300	0.000
1.000	1.000	39.45	0.000	0.000	0.000	0.000	0.000	Ala_161_6590_L_0	0.0000	0.0000
0.0000	0.0000	0.0000	0.0000	0.0000	0.0000	0.0000	0.0000			
44 D	8.329	0.000	74.10	41.64	74.10	41.64	0.000	UL-RL 6.7919E+04	-8.500	0.000
1.000	1.000	41.64	0.000	0.000	0.000	0.000	0.000	Ala_161_6590_L_0	0.0000	0.0000
0.0000	0.0000	0.0000	0.0000	0.0000	0.0000	0.0000	0.0000			
45 D	8.767	0.000	78.00	43.84	78.00	43.84	0.000	UL-RL 6.7919E+04	-8.700	0.000
1.000	1.000	43.84	0.000	0.000	0.000	0.000	0.000	Ala_161_6590_L_0	0.0000	0.0000
0.0000	0.0000	0.0000	0.0000	0.0000	0.0000	0.0000	0.0000			
46 D	9.206	0.000	81.90	46.03	81.90	46.03	0.000	UL-RL 6.7919E+04	-8.900	0.000
1.000	1.000	46.03	0.000	0.000	0.000	0.000	0.000	Ala_161_6590_L_0	0.0000	0.0000
0.0000	0.0000	0.0000	0.0000	0.0000	0.0000	0.0000	0.0000			
47 D	9.644	0.000	85.80	48.22	85.80	48.22	0.000	UL-RL 6.7919E+04	-9.100	0.000
1.000	1.000	48.22	0.000	0.000	0.000	0.000	0.000	Ala_161_6590_L_0	0.0000	0.0000
0.0000	0.0000	0.0000	0.0000	0.0000	0.0000	0.0000	0.0000			
48 D	10.08	0.000	89.70	50.41	89.70	50.41	0.000	UL-RL 6.7919E+04	-9.300	0.000
1.000	1.000	50.41	0.000	0.000	0.000	0.000	0.000	Ala_161_6590_L_0	0.0000	0.0000
0.0000	0.0000	0.0000	0.0000	0.0000	0.0000	0.0000	0.0000			
49 D	10.52	0.000	93.60	52.60	93.60	52.60	0.000	UL-RL 6.7919E+04	-9.500	0.000
1.000	1.000	52.60	0.000	0.000	0.000	0.000	0.000	Ala_161_6590_L_0	0.0000	0.0000
0.0000	0.0000	0.0000	0.0000	0.0000	0.0000	0.0000	0.0000			
50 D	11.13	0.000	95.50	53.67	95.50	53.67	0.000	UL-RL 6.7919E+04	-9.700	2.000
1.000	1.000	55.67	0.000	0.000	0.000	0.000	0.000	Ala_161_6590_L_0	0.0000	0.0000
0.0000	0.0000	0.0000	0.0000	0.0000	0.0000	0.0000	0.0000			
51 D	11.75	0.000	97.40	54.74	97.40	54.74	0.000	UL-RL 6.7919E+04	-9.900	4.000
1.000	1.000	58.74	0.000	0.000	0.000	0.000	0.000	Ala_161_6590_L_0	0.0000	0.0000
0.0000	0.0000	0.0000	0.0000	0.0000	0.0000	0.0000	0.0000			
52 D	12.36	0.000	99.30	55.81	99.30	55.81	0.000	UL-RL 6.7919E+04	-10.10	6.000
1.000	1.000	61.81	0.000	0.000	0.000	0.000	0.000	Ala_161_6590_L_0	0.0000	0.0000
0.0000	0.0000	0.0000	0.0000	0.0000	0.0000	0.0000	0.0000			
53 D	12.97	0.000	101.2	56.87	101.2	56.87	0.000	UL-RL 6.7919E+04	-10.30	8.000
1.000	1.000	64.87	0.000	0.000	0.000	0.000	0.000	Ala_161_6590_L_0	0.0000	0.0000
0.0000	0.0000	0.0000	0.0000	0.0000	0.0000	0.0000	0.0000			
54 D	13.59	0.000	103.1	57.94	103.1	57.94	0.000	UL-RL 6.7919E+04	-10.50	10.000
1.000	1.000	67.94	0.000	0.000	0.000	0.000	0.000	Ala_161_6590_L_0	0.0000	0.0000
0.0000	0.0000	0.0000	0.0000	0.0000	0.0000	0.0000	0.0000			
55 D	14.20	0.000	105.0	59.01	105.0	59.01	0.000	UL-RL 6.7919E+04	-10.70	12.00
1.000	1.000	71.01	0.000	0.000	0.000	0.000	0.000	Ala_161_6590_L_0	0.0000	0.0000
0.0000	0.0000	0.0000	0.0000	0.0000	0.0000	0.0000	0.0000			
56 D	14.82	0.000	106.9	60.08	106.9	60.08	0.000	UL-RL 6.7919E+04	-10.90	14.00
1.000	1.000	74.08	0.000	0.000	0.000	0.000	0.000	Ala_161_6590_L_0	0.0000	0.0000
0.0000	0.0000	0.0000	0.0000	0.0000	0.0000	0.0000	0.0000			
57 D	15.43	0.000	108.8	61.15	108.8	61.15	0.000	UL-RL 6.7919E+04	-11.10	16.00
1.000	1.000	77.15	0.000	0.000	0.000	0.000	0.000	Ala_161_6590_L_0	0.0000	0.0000
0.0000	0.0000	0.0000	0.0000	0.0000	0.0000	0.0000	0.0000			
58 D	16.04	0.000	110.7	62.21	110.7	62.21	0.000	UL-RL 6.7919E+04	-11.30	18.00
1.000	1.000	80.21	0.000	0.000	0.000	0.000	0.000	Ala_161_6590_L_0	0.0000	0.0000
0.0000	0.0000	0.0000	0.0000	0.0000	0.0000	0.0000	0.0000			
59 D	16.66	0.000	112.6	63.28	112.6	63.28	0.000	UL-RL 6.7919E+04	-11.50	20.00
1.000	1.000	83.28	0.000	0.000	0.000	0.000	0.000	Ala_161_6590_L_0	0.0000	0.0000
0.0000	0.0000	0.0000	0.0000	0.0000	0.0000	0.0000	0.0000			
60 D	17.27	0.000	114.5	64.35	114.5	64.35	0.000	UL-RL 6.7919E+04	-11.70	22.00
1.000	1.000	86.35	0.000	0.000	0.000	0.000	0.000	Ala_161_6590_L_0	0.0000	0.0000
0.0000	0.0000	0.0000	0.0000	0.0000	0.0000	0.0000	0.0000			

61 D	17.88	0.000	116.4	65.42	116.4	65.42	UL-RL 6.7919E+04	-11.90	24.00
1.000	1.000	89.42	0.000	0.000	0.000	0.000	Ala_161_6590_L_0		0.0000
0.0000	0.0000	0.0000	0.0000	0.0000	0.0000	0.0000			
62 D	18.50	0.000	118.3	66.48	118.3	66.48	UL-RL 6.7919E+04	-12.10	26.00
1.000	1.000	92.48	0.000	0.000	0.000	0.000	Ala_161_6590_L_0		0.0000
0.0000	0.0000	0.0000	0.0000	0.0000	0.0000	0.0000			
63 D	19.11	0.000	120.2	67.55	120.2	67.55	UL-RL 6.7919E+04	-12.30	28.00
1.000	1.000	95.55	0.000	0.000	0.000	0.000	Ala_161_6590_L_0		0.0000
0.0000	0.0000	0.0000	0.0000	0.0000	0.0000	0.0000			
64 D	19.72	0.000	122.1	68.62	122.1	68.62	UL-RL 6.7919E+04	-12.50	30.00
1.000	1.000	98.62	0.000	0.000	0.000	0.000	Ala_161_6590_L_0		0.0000
0.0000	0.0000	0.0000	0.0000	0.0000	0.0000	0.0000			
65 D	20.34	0.000	124.0	69.69	124.0	69.69	UL-RL 6.7919E+04	-12.70	32.00
1.000	1.000	101.7	0.000	0.000	0.000	0.000	Ala_161_6590_L_0		0.0000
0.0000	0.0000	0.0000	0.0000	0.0000	0.0000	0.0000			
66 D	20.95	0.000	125.9	70.76	125.9	70.76	UL-RL 6.7919E+04	-12.90	34.00
1.000	1.000	104.8	0.000	0.000	0.000	0.000	Ala_161_6590_L_0		0.0000
0.0000	0.0000	0.0000	0.0000	0.0000	0.0000	0.0000			
67 D	21.56	0.000	127.8	71.82	127.8	71.82	UL-RL 6.7919E+04	-13.10	36.00
1.000	1.000	107.8	0.000	0.000	0.000	0.000	Ala_161_6590_L_0		0.0000
0.0000	0.0000	0.0000	0.0000	0.0000	0.0000	0.0000			
68 D	22.18	0.000	129.7	72.89	129.7	72.89	UL-RL 6.7919E+04	-13.30	38.00
1.000	1.000	110.9	0.000	0.000	0.000	0.000	Ala_161_6590_L_0		0.0000
0.0000	0.0000	0.0000	0.0000	0.0000	0.0000	0.0000			
69 D	22.79	0.000	131.6	73.96	131.6	73.96	UL-RL 6.7919E+04	-13.50	40.00
1.000	1.000	114.0	0.000	0.000	0.000	0.000	Ala_161_6590_L_0		0.0000
0.0000	0.0000	0.0000	0.0000	0.0000	0.0000	0.0000			
70 D	23.41	0.000	133.5	75.03	133.5	75.03	UL-RL 6.7919E+04	-13.70	42.00
1.000	1.000	117.0	0.000	0.000	0.000	0.000	Ala_161_6590_L_0		0.0000
0.0000	0.0000	0.0000	0.0000	0.0000	0.0000	0.0000			
71 D	24.02	0.000	135.4	76.09	135.4	76.09	UL-RL 6.7919E+04	-13.90	44.00
1.000	1.000	120.1	0.000	0.000	0.000	0.000	Ala_161_6590_L_0		0.0000
0.0000	0.0000	0.0000	0.0000	0.0000	0.0000	0.0000			
72 D	24.63	0.000	137.3	77.16	137.3	77.16	UL-RL 6.7919E+04	-14.10	46.00
1.000	1.000	123.2	0.000	0.000	0.000	0.000	Ala_161_6590_L_0		0.0000
0.0000	0.0000	0.0000	0.0000	0.0000	0.0000	0.0000			
73 D	25.25	0.000	139.2	78.23	139.2	78.23	UL-RL 6.7919E+04	-14.30	48.00
1.000	1.000	126.2	0.000	0.000	0.000	0.000	Ala_161_6590_L_0		0.0000
0.0000	0.0000	0.0000	0.0000	0.0000	0.0000	0.0000			
74 D	25.86	0.000	141.1	79.30	141.1	79.30	UL-RL 6.7919E+04	-14.50	50.00
1.000	1.000	129.3	0.000	0.000	0.000	0.000	Ala_161_6590_L_0		0.0000
0.0000	0.0000	0.0000	0.0000	0.0000	0.0000	0.0000			
75 D	26.47	0.000	143.0	80.37	143.0	80.37	UL-RL 6.7919E+04	-14.70	52.00
1.000	1.000	132.4	0.000	0.000	0.000	0.000	Ala_161_6590_L_0		0.0000
0.0000	0.0000	0.0000	0.0000	0.0000	0.0000	0.0000			
76 D	27.09	0.000	144.9	81.43	144.9	81.43	UL-RL 6.7919E+04	-14.90	54.00
1.000	1.000	135.4	0.000	0.000	0.000	0.000	Ala_161_6590_L_0		0.0000
0.0000	0.0000	0.0000	0.0000	0.0000	0.0000	0.0000			
77 D	27.70	0.000	146.8	82.50	146.8	82.50	UL-RL 6.7919E+04	-15.10	56.00
1.000	1.000	138.5	0.000	0.000	0.000	0.000	Ala_161_6590_L_0		0.0000
0.0000	0.0000	0.0000	0.0000	0.0000	0.0000	0.0000			
78 D	28.31	0.000	148.7	83.57	148.7	83.57	UL-RL 6.7919E+04	-15.30	58.00
1.000	1.000	141.6	0.000	0.000	0.000	0.000	Ala_161_6590_L_0		0.0000
0.0000	0.0000	0.0000	0.0000	0.0000	0.0000	0.0000			
79 D	28.93	0.000	150.6	84.64	150.6	84.64	UL-RL 6.7919E+04	-15.50	60.00
1.000	1.000	144.6	0.000	0.000	0.000	0.000	Ala_161_6590_L_0		0.0000
0.0000	0.0000	0.0000	0.0000	0.0000	0.0000	0.0000			
80 D	29.54	0.000	152.5	85.70	152.5	85.70	UL-RL 6.7919E+04	-15.70	62.00
1.000	1.000	147.7	0.000	0.000	0.000	0.000	Ala_161_6590_L_0		0.0000
0.0000	0.0000	0.0000	0.0000	0.0000	0.0000	0.0000			
81 D	30.15	0.000	154.4	86.77	154.4	86.77	UL-RL 6.7919E+04	-15.90	64.00
1.000	1.000	150.8	0.000	0.000	0.000	0.000	Ala_161_6590_L_0		0.0000
0.0000	0.0000	0.0000	0.0000	0.0000	0.0000	0.0000			
82 D	30.77	0.000	156.4	87.87	156.4	87.87	UL-RL 3.9569E+05	-16.10	66.00
1.000	1.000	153.9	0.000	0.000	10.00	10.00	Salt_21271_21259_L_0		0.0000
0.0000	0.0000	0.0000	0.0000	0.0000	0.0000	0.0000			
83 D	31.40	0.000	158.4	89.00	158.4	89.00	UL-RL 3.9569E+05	-16.30	68.00
1.000	1.000	157.0	0.000	0.000	10.00	10.00	Salt_21271_21259_L_0		0.0000
0.0000	0.0000	0.0000	0.0000	0.0000	0.0000	0.0000			
84 D	32.02	0.000	160.4	90.12	160.4	90.12	UL-RL 3.9569E+05	-16.50	70.00
1.000	1.000	160.1	0.000	0.000	10.00	10.00	Salt_21271_21259_L_0		0.0000
0.0000	0.0000	0.0000	0.0000	0.0000	0.0000	0.0000			
85 D	32.65	0.000	162.4	91.24	162.4	91.24	UL-RL 3.9569E+05	-16.70	72.00
1.000	1.000	163.2	0.000	0.000	10.00	10.00	Salt_21271_21259_L_0		0.0000
0.0000	0.0000	0.0000	0.0000	0.0000	0.0000	0.0000			
86 D	33.27	0.000	164.4	92.37	164.4	92.37	UL-RL 3.9569E+05	-16.90	74.00
1.000	1.000	166.4	0.000	0.000	10.00	10.00	Salt_21271_21259_L_0		0.0000
0.0000	0.0000	0.0000	0.0000	0.0000	0.0000	0.0000			
87 D	33.90	0.000	166.4	93.49	166.4	93.49	UL-RL 3.9569E+05	-17.10	76.00
1.000	1.000	169.5	0.000	0.000	10.00	10.00	Salt_21271_21259_L_0		0.0000
0.0000	0.0000	0.0000	0.0000	0.0000	0.0000	0.0000			
88 D	34.52	0.000	168.4	94.62	168.4	94.62	UL-RL 3.9569E+05	-17.30	78.00
1.000	1.000	172.6	0.000	0.000	10.00	10.00	Salt_21271_21259_L_0		0.0000
0.0000	0.0000	0.0000	0.0000	0.0000	0.0000	0.0000			
89 D	35.15	0.000	170.4	95.74	170.4	95.74	UL-RL 3.9569E+05	-17.50	80.00
1.000	1.000	175.7	0.000	0.000	10.00	10.00	Salt_21271_21259_L_0		0.0000
0.0000	0.0000	0.0000	0.0000	0.0000	0.0000	0.0000			
90 D	35.78	0.000	172.4	96.91	172.4	96.91	UL-RL 2.9499E+05	-17.70	82.00
1.000	1.000	178.9	0.000	0.000	55.00	55.00	Sch_21272_21260_L_0		0.0000
0.0000	0.0000	0.0000	0.0000	0.0000	0.0000	0.0000			
91 D	36.48	0.000	175.0	98.38	175.0	98.38	UL-RL 2.9499E+05	-17.90	84.00
1.000	1.000	182.4	0.000	0.000	55.00	55.00	Sch_21272_21260_L_0		0.0000

0.0000	0.0000	0.0000	0.0000	0.0000						
92 D	27.88	0.000	177.6	99.84	177.6	99.84	UL-RL 2.9499E+05	-18.10	86.00	
1.000	1.000	185.8	0.000	0.000	55.00	55.00	Sch_21272_21260_L_0		0.0000	
0.0000	0.0000	0.0000	0.0000	0.0000						
93 D	9.378	0.000	178.9	100.6	178.9	100.6	UL-RL 2.9499E+05	-18.20	87.00	
1.000	1.000	187.6	0.000	0.000	55.00	55.00	Sch_21272_21260_L_0		0.0000	
0.0000	0.0000	0.0000	0.0000	0.0000						

```

+-----+
|          PARATIEPLUS(TM)  NLS ENGINE RELEASE  2022.0.0  FULL VERSION  *Build date:Sep 13, 2021*          |
|                                                                                                                                            |
|                                                                                               ParatiePlus                               |
|                                                                                               Exe Time :28 January 2022   11:11:16           |
+-----+

```

New Project

S T R E S S R E S U L T S F O R G R O U P N O . 3

```

pali15001.7_33 :
ELEMENT TYPE   2 NO.OF ELEMENTS. IN THIS GROUP   68
C U R R E N T   T I M E   I S   2.0000 SUBINCREMENT 00001/00001

```

WALL2D ELEMENT

EL	TA	TB	MA	MB
1	0.0000	0.0000	0.0000	0.0000
2	0.0000	0.0000	0.0000	0.0000
3	0.0000	0.0000	0.0000	0.0000
4	0.0000	0.0000	0.0000	0.0000
5	0.0000	0.0000	0.0000	0.0000
6	0.0000	0.0000	0.0000	0.0000
7	0.0000	0.0000	0.0000	0.0000
8	0.0000	0.0000	0.0000	0.0000
9	0.0000	0.0000	0.0000	0.0000
10	0.0000	0.0000	0.0000	0.0000
11	0.0000	0.0000	0.0000	0.0000
12	0.0000	0.0000	0.0000	0.0000
13	0.0000	0.0000	0.0000	0.0000
14	0.0000	0.0000	0.0000	0.0000
15	0.0000	0.0000	0.0000	0.0000
16	0.0000	0.0000	0.0000	0.0000
17	0.0000	0.0000	0.0000	0.0000
18	0.0000	0.0000	0.0000	0.0000
19	0.0000	0.0000	0.0000	0.0000
20	0.0000	0.0000	0.0000	0.0000
21	0.0000	0.0000	0.0000	0.0000
22	0.0000	0.0000	0.0000	0.0000
23	0.0000	0.0000	0.0000	0.0000
24	0.0000	0.0000	0.0000	0.0000
25	0.0000	0.0000	0.0000	0.0000
26	0.0000	0.0000	0.0000	0.0000
27	0.0000	0.0000	0.0000	0.0000
28	0.0000	0.0000	0.0000	0.0000
29	0.0000	0.0000	0.0000	0.0000
30	0.0000	0.0000	0.0000	0.0000
31	0.0000	0.0000	0.0000	0.0000
32	0.0000	0.0000	0.0000	0.0000
33	0.0000	0.0000	0.0000	0.0000
34	0.0000	0.0000	0.0000	0.0000
35	0.0000	0.0000	0.0000	0.0000
36	0.0000	0.0000	0.0000	0.0000
37	0.0000	0.0000	0.0000	0.0000
38	0.0000	0.0000	0.0000	0.0000
39	0.0000	0.0000	0.0000	0.0000
40	0.0000	0.0000	0.0000	0.0000
41	0.0000	0.0000	0.0000	0.0000
42	0.0000	0.0000	0.0000	0.0000
43	0.0000	0.0000	0.0000	0.0000
44	0.0000	0.0000	0.0000	0.0000
45	0.0000	0.0000	0.0000	0.0000
46	0.0000	0.0000	0.0000	0.0000
47	0.0000	0.0000	0.0000	0.0000
48	0.0000	0.0000	0.0000	0.0000
49	0.0000	0.0000	0.0000	0.0000
50	0.0000	0.0000	0.0000	0.0000
51	0.0000	0.0000	0.0000	0.0000
52	0.0000	0.0000	0.0000	0.0000
53	0.0000	0.0000	0.0000	0.0000
54	0.0000	0.0000	0.0000	0.0000
55	0.0000	0.0000	0.0000	0.0000
56	0.0000	0.0000	0.0000	0.0000
57	0.0000	0.0000	0.0000	0.0000
58	0.0000	0.0000	0.0000	0.0000
59	0.0000	0.0000	0.0000	0.0000
60	0.0000	0.0000	0.0000	0.0000
61	0.0000	0.0000	0.0000	0.0000
62	0.0000	0.0000	0.0000	0.0000
63	0.0000	0.0000	0.0000	0.0000
64	0.0000	0.0000	0.0000	0.0000
65	0.0000	0.0000	0.0000	0.0000
66	0.0000	0.0000	0.0000	0.0000
67	0.0000	0.0000	0.0000	0.0000
68	0.0000	0.0000	0.0000	0.0000


```

+-----+
|                PARATIEPLUS(TM)  NLS ENGINE RELEASE  2022.0.0  FULL VERSION  *Build date:Sep 13, 2021*                |
|                                                                                                                                            |
|                                                                                               ParatiePlus                               |
|                                                                                               Exe Time :28 January 2022   11:11:16           |
+-----+

```

New Project

S T R E S S R E S U L T S F O R G R O U P N O . 4

```

muro71cm_4658 :
ELEMENT TYPE 2 NO.OF ELEMENTS. IN THIS GROUP 24
C U R R E N T   T I M E   I S   2.0000 SUBINCREMENT 00001/00001

```

WALL2D ELEMENT

```

-----
EL   TA   TB   MA   MB
-----

```

***** NO ONE ELEMENT ACTIVE AT CURRENT STEP *****

```

ITER   0  RNORM = 0.000   RMNORM= 0.000
RINORM=0.1208E+06 RIMNOR= 0.000
RENORM=0.2352E+05 REMNOR= 0.000   RATIO =0.4413   TOLER =0.1000E-03 NOT CONVERGED
RFMAX = 54.51   RMMAX = 0.000
RTSMAL=0.1000E-03 RMSMAL= 0.000
RDT =0.1208E+06 RDR = 0.000
RATIOT=0.4413   RATIO= 0.000
MAX UN= 0.000   IEQ= 186 NODE   93 DOF   2   X-ROT. F
MIN UN=-18.26   IEQ= 133 NODE   67 DOF   1   Y-DISPL.F
NO. OF CONTACT CONSTRAINT VIOLATIONS   0

```

```

ITER   2  RNORM = 0.000   RMNORM= 0.000
RINORM=0.1208E+06 RIMNOR= 0.000
RENORM= 3350.   REMNOR=0.4799E-17 RATIO =0.1665   TOLER =0.1000E-03 NOT CONVERGED
RFMAX = 54.51   RMMAX = 0.000
RTSMAL=0.1000E-03 RMSMAL= 0.000
RDT =0.1208E+06 RDR = 0.000
RATIOT=0.1665   RATIO= 0.000
MAX UN=0.5656E-08 IEQ= 133 NODE   67 DOF   1   Y-DISPL.F
MIN UN=-19.64   IEQ= 163 NODE   82 DOF   1   Y-DISPL.F
NO. OF CONTACT CONSTRAINT VIOLATIONS   0

```

```

ITER   3  RNORM = 0.000   RMNORM= 0.000
RINORM=0.1208E+06 RIMNOR= 0.000
RENORM= 3405.   REMNOR=0.5279E-16 RATIO =0.1679   TOLER =0.1000E-03 NOT CONVERGED
RFMAX = 54.51   RMMAX = 0.000
RTSMAL=0.1000E-03 RMSMAL= 0.000
RDT =0.1208E+06 RDR = 0.000
RATIOT=0.1679   RATIO= 0.000
MAX UN=0.3933E-07 IEQ= 71 NODE   36 DOF   1   Y-DISPL.F
MIN UN=-26.84   IEQ= 177 NODE   89 DOF   1   Y-DISPL.F
NO. OF CONTACT CONSTRAINT VIOLATIONS   0

```

```

ITER   4  RNORM = 0.000   RMNORM= 0.000
RINORM=0.1208E+06 RIMNOR= 0.000
RENORM= 366.3   REMNOR=0.3103E-16 RATIO =0.5507E-01 TOLER =0.1000E-03 NOT CONVERGED
RFMAX = 54.51   RMMAX = 0.000
RTSMAL=0.1000E-03 RMSMAL= 0.000
RDT =0.1208E+06 RDR = 0.000
RATIOT=0.5507E-01 RATIO= 0.000
MAX UN= 2.735   IEQ= 177 NODE   89 DOF   1   Y-DISPL.F
MIN UN=-15.50   IEQ= 165 NODE   83 DOF   1   Y-DISPL.F
NO. OF CONTACT CONSTRAINT VIOLATIONS   0

```

```

ITER   5  RNORM = 0.000   RMNORM= 0.000
RINORM=0.1208E+06 RIMNOR= 0.000
RENORM=0.1083E-01 REMNOR=0.2785E-16 RATIO =0.2995E-03 TOLER =0.1000E-03 NOT CONVERGED
RFMAX = 54.51   RMMAX = 0.000
RTSMAL=0.1000E-03 RMSMAL= 0.000
RDT =0.1208E+06 RDR = 0.000
RATIOT=0.2995E-03 RATIO= 0.000
MAX UN=0.1041   IEQ= 185 NODE   93 DOF   1   Y-DISPL.F
MIN UN=-.2477E-07 IEQ= 51 NODE   26 DOF   1   Y-DISPL.F
NO. OF CONTACT CONSTRAINT VIOLATIONS   0

```

```

ITER   6  RNORM = 0.000   RMNORM= 0.000
RINORM=0.1208E+06 RIMNOR= 0.000
RENORM=0.3639E-03 REMNOR=0.1542E-16 RATIO =0.5489E-04 TOLER =0.1000E-03   CONVERGED !
RFMAX = 54.51   RMMAX = 0.000
RTSMAL=0.1000E-03 RMSMAL= 0.000
RDT =0.1208E+06 RDR = 0.000
RATIOT=0.5489E-04 RATIO= 0.000

```

MAX UN=0.4215E-07 IEQ= 61 NODE 31 DOF 1 Y-DISPL.F
MIN UN=-.1089E-01 IEQ= 169 NODE 85 DOF 1 Y-DISPL.F
NO. OF CONTACT CONSTRAINT VIOLATIONS 0

```

+-----+
|                PARATIEPLUS(TM)  NLS ENGINE RELEASE  2022.0.0  FULL VERSION  *Build date:Sep 13, 2021*                |
|                                                                                                                                            |
|                                                                                                                                            |
|                                                                                                                                            |
|                                                                                                                                            |
|                                                                                                                                            |
|                                                                                                                                            |
|                                                                                                                                            |
|                                                                                                                                            |
|                                                                                                                                            |
|                                                                                                                                            |
+-----+

```

```

New Project
SOLUTION REACHED USING      6 ITERATIONS ON      40

```

```

P R I N T   O U T   F O R   T I M E   S T E P   3   ( AT TIME   3.000   ) SUBINCREMENT 00001/00001

```

```

PRINT OUT OF ACTIVE COMPONENTS (FIXED NODES ARE NOT PRINTED OUT)

```

	Y-DISPL.F	X-ROT. F
	02	04
1	-3.0408604E-02	2.4010540E-03
2	-2.9928395E-02	2.4010310E-03
3	-2.9448198E-02	2.4009130E-03
4	-2.8968043E-02	2.4005986E-03
5	-2.8487979E-02	2.3999797E-03
6	-2.8008079E-02	2.3989420E-03
7	-2.7528438E-02	2.3973647E-03
8	-2.7049178E-02	2.3951205E-03
9	-2.6570444E-02	2.3920756E-03
10	-2.6092410E-02	2.3880898E-03
11	-2.5615280E-02	2.3830162E-03
12	-2.5139286E-02	2.3767015E-03
13	-2.4664693E-02	2.3689860E-03
14	-2.4191797E-02	2.3597031E-03
15	-2.3720928E-02	2.3486801E-03
16	-2.3252453E-02	2.3357372E-03
17	-2.2786771E-02	2.3206884E-03
18	-2.2324328E-02	2.3033411E-03
19	-2.1865601E-02	2.2834957E-03
20	-2.1411110E-02	2.2609464E-03
21	-2.0961419E-02	2.2354806E-03
22	-2.0517129E-02	2.2068788E-03
23	-2.0078892E-02	2.1749151E-03
24	-1.9647403E-02	2.1393570E-03
25	-1.9434419E-02	2.1201630E-03
26	-1.9011362E-02	2.1102380E-03
27	-1.8590395E-02	2.0992771E-03
28	-1.8171726E-02	2.0872177E-03
29	-1.7755584E-02	2.0740155E-03
30	-1.7342198E-02	2.0596443E-03
31	-1.6931804E-02	2.0440962E-03
32	-1.6524639E-02	2.0273816E-03
33	-1.6120930E-02	2.0095289E-03
34	-1.5720901E-02	1.9905850E-03
35	-1.5324764E-02	1.9706149E-03
36	-1.4932717E-02	1.9497020E-03
37	-1.4544940E-02	1.9279412E-03
38	-1.4161593E-02	1.9054283E-03
39	-1.3782814E-02	1.8822552E-03
40	-1.3408729E-02	1.8585106E-03
41	-1.3039443E-02	1.8342798E-03
42	-1.2675044E-02	1.8096444E-03
43	-1.2315608E-02	1.7846834E-03
44	-1.1961189E-02	1.7594717E-03
45	-1.1611832E-02	1.7340819E-03
46	-1.1267564E-02	1.7085830E-03
47	-1.0928401E-02	1.6830415E-03
48	-1.0594348E-02	1.6575209E-03
49	-1.0265389E-02	1.6320814E-03
50	-9.9415057E-03	1.6067811E-03
51	-9.6226638E-03	1.5816748E-03
52	-9.3088272E-03	1.5568147E-03
53	-8.9999262E-03	1.5322480E-03
54	-8.6959054E-03	1.5080206E-03
55	-8.3966925E-03	1.4841746E-03
56	-8.1022075E-03	1.4607495E-03
57	-7.8123623E-03	1.4377814E-03
58	-7.5270622E-03	1.4153039E-03
59	-7.2462059E-03	1.3933478E-03
60	-6.9696865E-03	1.3719408E-03
61	-6.6973913E-03	1.3511085E-03
62	-6.4292033E-03	1.3308733E-03
63	-6.1650008E-03	1.3112556E-03
64	-5.9046587E-03	1.2922728E-03
65	-5.6480483E-03	1.2739402E-03
66	-5.3950384E-03	1.2562705E-03
67	-5.1454952E-03	1.2392742E-03
68	-4.8992833E-03	1.2229593E-03
69	-4.6562657E-03	1.2073316E-03
70	-4.4163046E-03	1.1923948E-03
71	-4.1792616E-03	1.1781505E-03
72	-3.9449983E-03	1.1645982E-03
73	-3.7133764E-03	1.1517351E-03
74	-3.4842586E-03	1.1395567E-03

75	-3.2575085E-03	1.1280562E-03
76	-3.0329915E-03	1.1172252E-03
77	-2.8105746E-03	1.1070529E-03
78	-2.5901272E-03	1.0975269E-03
79	-2.3715217E-03	1.0886328E-03
80	-2.1546331E-03	1.0803536E-03
81	-1.9393409E-03	1.0726645E-03
82	-1.7255304E-03	1.0655290E-03
83	-1.5130906E-03	1.0589746E-03
84	-1.3018958E-03	1.0530918E-03
85	-1.0918039E-03	1.0479582E-03
86	-8.8265830E-04	1.0436382E-03
87	-6.7429102E-04	1.0401822E-03
88	-4.6652712E-04	1.0376006E-03
89	-2.5919619E-04	1.0358380E-03
90	-5.2134716E-05	1.0347783E-03
91	1.5476185E-04	1.0342640E-03
92	3.6159460E-04	1.0341054E-03
93	4.6500460E-04	1.0340972E-03

```

+-----+
|                PARATIEPLUS(TM)  NLS ENGINE RELEASE  2022.0.0  FULL VERSION  *Build date:Sep 13, 2021*                |
|                                                                                                                                            |
|                                                                                               ParatiePlus                                                                                               |
|                                                                                               Exe Time :28 January 2022  11:11:16                                                                                               |
+-----+

```

New Project

STRESS RESULTS FOR GROUP NO. 1

O_L :
 ELEMENT TYPE 5 NO.OF ELEMENTS. IN THIS GROUP 93
 CURRENT TIME IS 3.0000 SUBINCREMENT 00001/00001

HARDENING 2D SOIL ELEMENT

***** TOTAL STRESS FORMULATION *****

EL * TOR QSL	FORCE UFACTOR ZD	DISPL-Y Peq ZPL	VERTICAL-P Su_a Kz	HORIZON.-P Su_p	MAX-V-P Cohes_a	MAX-H-P Cohes_p	STATE LAYER	STIFFNESS	Z-LEVEL	PORE ZFO	E FAC- QS
1	0.000	--	--	--	--	--	REMOVED	--	0.000	0.000	
1.000	1.000	0.000	0.000	0.000	0.000	0.000	not available				
2	0.000	--	--	--	--	--	REMOVED	--	-0.2000	0.000	
1.000	1.000	0.000	0.000	0.000	0.000	0.000	not available				
3	0.000	--	--	--	--	--	REMOVED	--	-0.4000	0.000	
1.000	1.000	0.000	0.000	0.000	0.000	0.000	not available				
4	0.000	--	--	--	--	--	REMOVED	--	-0.6000	0.000	
1.000	1.000	0.000	0.000	0.000	0.000	0.000	not available				
5	0.000	--	--	--	--	--	REMOVED	--	-0.8000	0.000	
1.000	1.000	0.000	0.000	0.000	0.000	0.000	not available				
6	0.000	--	--	--	--	--	REMOVED	--	-1.000	0.000	
1.000	1.000	0.000	0.000	0.000	0.000	0.000	not available				
7	0.000	--	--	--	--	--	REMOVED	--	-1.200	0.000	
1.000	1.000	0.000	0.000	0.000	0.000	0.000	not available				
8	0.000	--	--	--	--	--	REMOVED	--	-1.400	0.000	
1.000	1.000	0.000	0.000	0.000	0.000	0.000	not available				
9	0.000	--	--	--	--	--	REMOVED	--	-1.600	0.000	
1.000	1.000	0.000	0.000	0.000	0.000	0.000	not available				
10	0.000	--	--	--	--	--	REMOVED	--	-1.800	0.000	
1.000	1.000	0.000	0.000	0.000	0.000	0.000	not available				
11	0.000	--	--	--	--	--	REMOVED	--	-2.000	0.000	
1.000	1.000	0.000	0.000	0.000	0.000	0.000	not available				
12	0.000	--	--	--	--	--	REMOVED	--	-2.200	0.000	
1.000	1.000	0.000	0.000	0.000	0.000	0.000	not available				
13	0.000	--	--	--	--	--	REMOVED	--	-2.400	0.000	
1.000	1.000	0.000	0.000	0.000	0.000	0.000	not available				
14	0.000	--	--	--	--	--	REMOVED	--	-2.600	0.000	
1.000	1.000	0.000	0.000	0.000	0.000	0.000	not available				
15	0.000	--	--	--	--	--	REMOVED	--	-2.800	0.000	
1.000	1.000	0.000	0.000	0.000	0.000	0.000	not available				
16	0.000	--	--	--	--	--	REMOVED	--	-3.000	0.000	
1.000	1.000	0.000	0.000	0.000	0.000	0.000	not available				
17	0.000	--	--	--	--	--	REMOVED	--	-3.200	0.000	
1.000	1.000	0.000	0.000	0.000	0.000	0.000	not available				
18	0.000	--	--	--	--	--	REMOVED	--	-3.400	0.000	
1.000	1.000	0.000	0.000	0.000	0.000	0.000	not available				
19	0.000	--	--	--	--	--	REMOVED	--	-3.600	0.000	
1.000	1.000	0.000	0.000	0.000	0.000	0.000	not available				
20	0.000	--	--	--	--	--	REMOVED	--	-3.800	0.000	
1.000	1.000	0.000	0.000	0.000	0.000	0.000	not available				
21	0.000	--	--	--	--	--	REMOVED	--	-4.000	0.000	
1.000	1.000	0.000	0.000	0.000	0.000	0.000	not available				
22	0.000	--	--	--	--	--	REMOVED	--	-4.200	0.000	
1.000	1.000	0.000	0.000	0.000	0.000	0.000	not available				
23	0.000	--	--	--	--	--	REMOVED	--	-4.400	0.000	
1.000	1.000	0.000	0.000	0.000	0.000	0.000	not available				
24	0.000	--	--	--	--	--	REMOVED	--	-4.600	0.000	
1.000	1.000	0.000	0.000	0.000	0.000	0.000	not available				
25 D	0.000	1.9434E-02	0.000	0.000	0.000	0.000	PASSIVE	0.000	-4.700	0.000	
1.000	1.000	0.000	0.000	0.000	0.000	0.000	Ala_161_6590_L_0			0.0000	
0.0000	0.0000	0.0000	0.0000	0.0000	0.0000	0.0000					
26 D	2.513	1.9011E-02	3.900	12.57	3.900	12.57	PASSIVE	0.000	-4.900	0.000	
1.000	1.000	12.57	0.000	0.000	0.000	0.000	Ala_161_6590_L_0			0.0000	
0.0000	0.0000	0.0000	0.0000	0.0000	0.0000	0.0000					
27 D	5.026	1.8590E-02	7.800	25.13	7.800	25.13	PASSIVE	0.000	-5.100	0.000	
1.000	1.000	25.13	0.000	0.000	0.000	0.000	Ala_161_6590_L_0			0.0000	
0.0000	0.0000	0.0000	0.0000	0.0000	0.0000	0.0000					
28 D	7.539	1.8172E-02	11.70	37.70	11.70	37.70	PASSIVE	0.000	-5.300	0.000	
1.000	1.000	37.70	0.000	0.000	0.000	0.000	Ala_161_6590_L_0			0.0000	
0.0000	0.0000	0.0000	0.0000	0.0000	0.0000	0.0000					
29 D	10.05	1.7756E-02	15.60	50.26	15.60	50.26	PASSIVE	0.000	-5.500	0.000	
1.000	1.000	50.26	0.000	0.000	0.000	0.000	Ala_161_6590_L_0			0.0000	
0.0000	0.0000	0.0000	0.0000	0.0000	0.0000	0.0000					
30 D	12.57	1.7342E-02	19.50	62.83	19.50	62.83	PASSIVE	0.000	-5.700	0.000	

1.000	1.000	62.83	0.000	0.000	0.000	0.000	Ala_161_6590_L_0	0.0000	
0.0000	0.0000	0.0000	0.0000	0.0000	0.0000	0.0000			
31 D	15.08	1.6932E-02	23.40	75.39	23.40	75.39	PASSIVE 0.000	-5.900	0.000
1.000	1.000	75.39	0.000	0.000	0.000	0.000	Ala_161_6590_L_0	0.0000	
0.0000	0.0000	0.0000	0.0000	0.0000	0.0000	0.0000			
32 D	17.59	1.6525E-02	27.30	87.96	27.30	87.96	PASSIVE 0.000	-6.100	0.000
1.000	1.000	87.96	0.000	0.000	0.000	0.000	Ala_161_6590_L_0	0.0000	
0.0000	0.0000	0.0000	0.0000	0.0000	0.0000	0.0000			
33 D	20.11	1.6121E-02	31.20	100.5	31.20	100.5	PASSIVE 0.000	-6.300	0.000
1.000	1.000	100.5	0.000	0.000	0.000	0.000	Ala_161_6590_L_0	0.0000	
0.0000	0.0000	0.0000	0.0000	0.0000	0.0000	0.0000			
34 D	22.62	1.5721E-02	35.10	113.1	35.10	113.1	PASSIVE 0.000	-6.500	0.000
1.000	1.000	113.1	0.000	0.000	0.000	0.000	Ala_161_6590_L_0	0.0000	
0.0000	0.0000	0.0000	0.0000	0.0000	0.0000	0.0000			
35 D	25.13	1.5325E-02	39.00	125.7	39.00	125.7	PASSIVE 0.000	-6.700	0.000
1.000	1.000	125.7	0.000	0.000	0.000	0.000	Ala_161_6590_L_0	0.0000	
0.0000	0.0000	0.0000	0.0000	0.0000	0.0000	0.0000			
36 D	26.07	1.4933E-02	42.90	130.4	42.90	130.4	V-C 7116.	-6.900	0.000
1.000	1.000	130.4	0.000	0.000	0.000	0.000	Ala_161_6590_L_0	0.0000	
0.0000	0.0000	0.0000	0.0000	0.0000	0.0000	0.0000			
37 D	25.96	1.4545E-02	46.80	129.8	46.80	129.8	V-C 7116.	-7.100	0.000
1.000	1.000	129.8	0.000	0.000	0.000	0.000	Ala_161_6590_L_0	0.0000	
0.0000	0.0000	0.0000	0.0000	0.0000	0.0000	0.0000			
38 D	25.85	1.4162E-02	50.70	129.3	50.70	129.3	V-C 7116.	-7.300	0.000
1.000	1.000	129.3	0.000	0.000	0.000	0.000	Ala_161_6590_L_0	0.0000	
0.0000	0.0000	0.0000	0.0000	0.0000	0.0000	0.0000			
39 D	25.75	1.3783E-02	54.60	128.8	54.60	128.8	V-C 7116.	-7.500	0.000
1.000	1.000	128.8	0.000	0.000	0.000	0.000	Ala_161_6590_L_0	0.0000	
0.0000	0.0000	0.0000	0.0000	0.0000	0.0000	0.0000			
40 D	25.66	1.3409E-02	58.50	128.3	58.50	128.3	V-C 7116.	-7.700	0.000
1.000	1.000	128.3	0.000	0.000	0.000	0.000	Ala_161_6590_L_0	0.0000	
0.0000	0.0000	0.0000	0.0000	0.0000	0.0000	0.0000			
41 D	25.57	1.3039E-02	62.40	127.9	62.40	127.9	V-C 7116.	-7.900	0.000
1.000	1.000	127.9	0.000	0.000	0.000	0.000	Ala_161_6590_L_0	0.0000	
0.0000	0.0000	0.0000	0.0000	0.0000	0.0000	0.0000			
42 D	25.49	1.2675E-02	66.30	127.5	66.30	127.5	V-C 7116.	-8.100	0.000
1.000	1.000	127.5	0.000	0.000	0.000	0.000	Ala_161_6590_L_0	0.0000	
0.0000	0.0000	0.0000	0.0000	0.0000	0.0000	0.0000			
43 D	25.42	1.2316E-02	70.20	127.1	70.20	127.1	V-C 7116.	-8.300	0.000
1.000	1.000	127.1	0.000	0.000	0.000	0.000	Ala_161_6590_L_0	0.0000	
0.0000	0.0000	0.0000	0.0000	0.0000	0.0000	0.0000			
44 D	25.35	1.1961E-02	74.10	126.8	74.10	126.8	V-C 7116.	-8.500	0.000
1.000	1.000	126.8	0.000	0.000	0.000	0.000	Ala_161_6590_L_0	0.0000	
0.0000	0.0000	0.0000	0.0000	0.0000	0.0000	0.0000			
45 D	25.29	1.1612E-02	78.00	126.5	78.00	126.5	V-C 7116.	-8.700	0.000
1.000	1.000	126.5	0.000	0.000	0.000	0.000	Ala_161_6590_L_0	0.0000	
0.0000	0.0000	0.0000	0.0000	0.0000	0.0000	0.0000			
46 D	25.24	1.1268E-02	81.90	126.2	81.90	126.2	V-C 7116.	-8.900	0.000
1.000	1.000	126.2	0.000	0.000	0.000	0.000	Ala_161_6590_L_0	0.0000	
0.0000	0.0000	0.0000	0.0000	0.0000	0.0000	0.0000			
47 D	25.20	1.0928E-02	85.80	126.0	85.80	126.0	V-C 7116.	-9.100	0.000
1.000	1.000	126.0	0.000	0.000	0.000	0.000	Ala_161_6590_L_0	0.0000	
0.0000	0.0000	0.0000	0.0000	0.0000	0.0000	0.0000			
48 D	25.16	1.0594E-02	89.70	125.8	89.70	125.8	V-C 7116.	-9.300	0.000
1.000	1.000	125.8	0.000	0.000	0.000	0.000	Ala_161_6590_L_0	0.0000	
0.0000	0.0000	0.0000	0.0000	0.0000	0.0000	0.0000			
49 D	25.13	1.0265E-02	93.60	125.7	93.60	125.7	V-C 7116.	-9.500	0.000
1.000	1.000	125.7	0.000	0.000	0.000	0.000	Ala_161_6590_L_0	0.0000	
0.0000	0.0000	0.0000	0.0000	0.0000	0.0000	0.0000			
50 D	25.28	9.9415E-03	95.50	124.4	95.50	124.4	V-C 7116.	-9.700	2.000
1.000	1.000	126.4	0.000	0.000	0.000	0.000	Ala_161_6590_L_0	0.0000	
0.0000	0.0000	0.0000	0.0000	0.0000	0.0000	0.0000			
51 D	25.44	9.6227E-03	97.40	123.2	97.40	123.2	V-C 7116.	-9.900	4.000
1.000	1.000	127.2	0.000	0.000	0.000	0.000	Ala_161_6590_L_0	0.0000	
0.0000	0.0000	0.0000	0.0000	0.0000	0.0000	0.0000			
52 D	25.61	9.3088E-03	99.30	122.1	99.30	122.1	V-C 7116.	-10.10	6.000
1.000	1.000	128.1	0.000	0.000	0.000	0.000	Ala_161_6590_L_0	0.0000	
0.0000	0.0000	0.0000	0.0000	0.0000	0.0000	0.0000			
53 D	25.78	8.9999E-03	101.2	120.9	101.2	120.9	V-C 7116.	-10.30	8.000
1.000	1.000	128.9	0.000	0.000	0.000	0.000	Ala_161_6590_L_0	0.0000	
0.0000	0.0000	0.0000	0.0000	0.0000	0.0000	0.0000			
54 D	25.96	8.6959E-03	103.1	119.8	103.1	119.8	V-C 7116.	-10.50	10.000
1.000	1.000	129.8	0.000	0.000	0.000	0.000	Ala_161_6590_L_0	0.0000	
0.0000	0.0000	0.0000	0.0000	0.0000	0.0000	0.0000			
55 D	26.15	8.3967E-03	105.0	118.8	105.0	118.8	V-C 7116.	-10.70	12.00
1.000	1.000	130.8	0.000	0.000	0.000	0.000	Ala_161_6590_L_0	0.0000	
0.0000	0.0000	0.0000	0.0000	0.0000	0.0000	0.0000			
56 D	26.35	8.1022E-03	106.9	117.7	106.9	117.7	V-C 7116.	-10.90	14.00
1.000	1.000	131.7	0.000	0.000	0.000	0.000	Ala_161_6590_L_0	0.0000	
0.0000	0.0000	0.0000	0.0000	0.0000	0.0000	0.0000			
57 D	26.55	7.8124E-03	108.8	116.7	108.8	116.7	V-C 7116.	-11.10	16.00
1.000	1.000	132.7	0.000	0.000	0.000	0.000	Ala_161_6590_L_0	0.0000	
0.0000	0.0000	0.0000	0.0000	0.0000	0.0000	0.0000			
58 D	26.76	7.5271E-03	110.7	115.8	110.7	115.8	V-C 7116.	-11.30	18.00
1.000	1.000	133.8	0.000	0.000	0.000	0.000	Ala_161_6590_L_0	0.0000	
0.0000	0.0000	0.0000	0.0000	0.0000	0.0000	0.0000			
59 D	26.97	7.2462E-03	112.6	114.8	112.6	114.8	V-C 7116.	-11.50	20.00
1.000	1.000	134.8	0.000	0.000	0.000	0.000	Ala_161_6590_L_0	0.0000	
0.0000	0.0000	0.0000	0.0000	0.0000	0.0000	0.0000			
60 D	27.19	6.9697E-03	114.5	113.9	114.5	113.9	V-C 7116.	-11.70	22.00
1.000	1.000	135.9	0.000	0.000	0.000	0.000	Ala_161_6590_L_0	0.0000	
0.0000	0.0000	0.0000	0.0000	0.0000	0.0000	0.0000			

61 D	27.42	6.6974E-03	116.4	113.1	116.4	113.1	V-C	7116.	-11.90	24.00
1.000	1.000	137.1	0.000	0.000	0.000	0.000	Ala_161_6590_L_0			0.0000
0.0000	0.0000	0.0000	0.0000	0.0000						
62 D	27.65	6.4292E-03	118.3	112.2	118.3	112.2	V-C	7116.	-12.10	26.00
1.000	1.000	138.2	0.000	0.000	0.000	0.000	Ala_161_6590_L_0			0.0000
0.0000	0.0000	0.0000	0.0000	0.0000						
63 D	27.88	6.1650E-03	120.2	111.4	120.2	111.4	V-C	7116.	-12.30	28.00
1.000	1.000	139.4	0.000	0.000	0.000	0.000	Ala_161_6590_L_0			0.0000
0.0000	0.0000	0.0000	0.0000	0.0000						
64 D	28.13	5.9047E-03	122.1	110.6	122.1	110.6	V-C	7116.	-12.50	30.00
1.000	1.000	140.6	0.000	0.000	0.000	0.000	Ala_161_6590_L_0			0.0000
0.0000	0.0000	0.0000	0.0000	0.0000						
65 D	28.38	5.6480E-03	124.0	109.9	124.0	109.9	V-C	7116.	-12.70	32.00
1.000	1.000	141.9	0.000	0.000	0.000	0.000	Ala_161_6590_L_0			0.0000
0.0000	0.0000	0.0000	0.0000	0.0000						
66 D	28.63	5.3950E-03	125.9	109.1	125.9	109.1	V-C	7116.	-12.90	34.00
1.000	1.000	143.1	0.000	0.000	0.000	0.000	Ala_161_6590_L_0			0.0000
0.0000	0.0000	0.0000	0.0000	0.0000						
67 D	28.89	5.1455E-03	127.8	108.4	127.8	108.4	V-C	7116.	-13.10	36.00
1.000	1.000	144.4	0.000	0.000	0.000	0.000	Ala_161_6590_L_0			0.0000
0.0000	0.0000	0.0000	0.0000	0.0000						
68 D	29.15	4.8993E-03	129.7	107.8	129.7	107.8	V-C	7116.	-13.30	38.00
1.000	1.000	145.8	0.000	0.000	0.000	0.000	Ala_161_6590_L_0			0.0000
0.0000	0.0000	0.0000	0.0000	0.0000						
69 D	29.42	4.6563E-03	131.6	107.1	131.6	107.1	V-C	7116.	-13.50	40.00
1.000	1.000	147.1	0.000	0.000	0.000	0.000	Ala_161_6590_L_0			0.0000
0.0000	0.0000	0.0000	0.0000	0.0000						
70 D	29.69	4.4163E-03	133.5	106.5	133.5	106.5	V-C	7116.	-13.70	42.00
1.000	1.000	148.5	0.000	0.000	0.000	0.000	Ala_161_6590_L_0			0.0000
0.0000	0.0000	0.0000	0.0000	0.0000						
71 D	29.97	4.1793E-03	135.4	105.8	135.4	105.8	V-C	7116.	-13.90	44.00
1.000	1.000	149.8	0.000	0.000	0.000	0.000	Ala_161_6590_L_0			0.0000
0.0000	0.0000	0.0000	0.0000	0.0000						
72 D	30.25	3.9450E-03	137.3	105.2	137.3	105.2	UL-RL	2.1349E+04	-14.10	46.00
1.000	1.000	151.2	0.000	0.000	0.000	0.000	Ala_161_6590_L_0			0.0000
0.0000	0.0000	0.0000	0.0000	0.0000						
73 D	30.53	3.7134E-03	139.2	104.7	139.2	104.7	UL-RL	2.1349E+04	-14.30	48.00
1.000	1.000	152.7	0.000	0.000	0.000	0.000	Ala_161_6590_L_0			0.0000
0.0000	0.0000	0.0000	0.0000	0.0000						
74 D	30.82	3.4843E-03	141.1	104.1	141.1	104.1	UL-RL	2.1349E+04	-14.50	50.00
1.000	1.000	154.1	0.000	0.000	0.000	0.000	Ala_161_6590_L_0			0.0000
0.0000	0.0000	0.0000	0.0000	0.0000						
75 D	31.11	3.2575E-03	143.0	103.5	143.0	103.5	UL-RL	2.1349E+04	-14.70	52.00
1.000	1.000	155.5	0.000	0.000	0.000	0.000	Ala_161_6590_L_0			0.0000
0.0000	0.0000	0.0000	0.0000	0.0000						
76 D	31.40	3.0330E-03	144.9	103.0	144.9	103.0	UL-RL	2.1349E+04	-14.90	54.00
1.000	1.000	157.0	0.000	0.000	0.000	0.000	Ala_161_6590_L_0			0.0000
0.0000	0.0000	0.0000	0.0000	0.0000						
77 D	31.70	2.8106E-03	146.8	102.5	146.8	102.5	UL-RL	2.1349E+04	-15.10	56.00
1.000	1.000	158.5	0.000	0.000	0.000	0.000	Ala_161_6590_L_0			0.0000
0.0000	0.0000	0.0000	0.0000	0.0000						
78 D	32.00	2.5901E-03	148.7	102.0	148.7	102.0	UL-RL	2.1349E+04	-15.30	58.00
1.000	1.000	160.0	0.000	0.000	0.000	0.000	Ala_161_6590_L_0			0.0000
0.0000	0.0000	0.0000	0.0000	0.0000						
79 D	32.30	2.3715E-03	150.6	101.5	150.6	101.5	UL-RL	2.1349E+04	-15.50	60.00
1.000	1.000	161.5	0.000	0.000	0.000	0.000	Ala_161_6590_L_0			0.0000
0.0000	0.0000	0.0000	0.0000	0.0000						
80 D	32.61	2.1546E-03	152.5	101.0	152.5	101.0	UL-RL	2.1349E+04	-15.70	62.00
1.000	1.000	163.0	0.000	0.000	0.000	0.000	Ala_161_6590_L_0			0.0000
0.0000	0.0000	0.0000	0.0000	0.0000						
81 D	32.91	1.9393E-03	154.4	100.6	154.4	100.6	UL-RL	2.1349E+04	-15.90	64.00
1.000	1.000	164.6	0.000	0.000	0.000	0.000	Ala_161_6590_L_0			0.0000
0.0000	0.0000	0.0000	0.0000	0.0000						
82 D	44.54	1.7255E-03	156.4	156.7	156.4	156.7	UL-RL	1.1966E+05	-16.10	66.00
1.000	1.000	222.7	0.000	0.000	10.00	10.00	Salt_21271_21259_L_0			0.0000
0.0000	0.0000	0.0000	0.0000	0.0000						
83 D	43.47	1.5131E-03	158.4	149.3	158.4	149.4	UL-RL	1.1966E+05	-16.30	68.00
1.000	1.000	217.3	0.000	0.000	10.00	10.00	Salt_21271_21259_L_0			0.0000
0.0000	0.0000	0.0000	0.0000	0.0000						
84 D	42.41	1.3019E-03	160.4	142.0	160.4	142.1	UL-RL	1.1966E+05	-16.50	70.00
1.000	1.000	212.0	0.000	0.000	10.00	10.00	Salt_21271_21259_L_0			0.0000
0.0000	0.0000	0.0000	0.0000	0.0000						
85 D	41.35	1.0918E-03	162.4	134.8	162.4	134.8	UL-RL	1.1966E+05	-16.70	72.00
1.000	1.000	206.8	0.000	0.000	10.00	10.00	Salt_21271_21259_L_0			0.0000
0.0000	0.0000	0.0000	0.0000	0.0000						
86 D	40.23	8.8266E-04	164.4	127.2	164.4	127.8	UL-RL	1.1966E+05	-16.90	74.00
1.000	1.000	201.2	0.000	0.000	10.00	10.00	Salt_21271_21259_L_0			0.0000
0.0000	0.0000	0.0000	0.0000	0.0000						
87 D	36.99	6.7429E-04	166.4	109.0	166.4	126.1	UL-RL	1.1966E+05	-17.10	76.00
1.000	1.000	185.0	0.000	0.000	10.00	10.00	Salt_21271_21259_L_0			0.0000
0.0000	0.0000	0.0000	0.0000	0.0000						
88 D	33.77	4.6653E-04	168.4	90.86	168.4	124.4	UL-RL	1.1966E+05	-17.30	78.00
1.000	1.000	168.9	0.000	0.000	10.00	10.00	Salt_21271_21259_L_0			0.0000
0.0000	0.0000	0.0000	0.0000	0.0000						
89 D	30.56	2.5920E-04	170.4	72.80	170.4	122.7	UL-RL	1.1966E+05	-17.50	80.00
1.000	1.000	152.8	0.000	0.000	10.00	10.00	Salt_21271_21259_L_0			0.0000
0.0000	0.0000	0.0000	0.0000	0.0000						
90 D	30.64	5.2135E-05	172.4	71.19	172.4	111.7	UL-RL	7.3129E+04	-17.70	82.00
1.000	1.000	153.2	0.000	0.000	55.00	55.00	Sch_21272_21260_L_0			0.0000
0.0000	0.0000	0.0000	0.0000	0.0000						
91 D	28.99	-1.5476E-04	175.0	60.95	175.0	111.4	UL-RL	7.3129E+04	-17.90	84.00
1.000	1.000	144.9	0.000	0.000	55.00	55.00	Sch_21272_21260_L_0			0.0000

0.0000	0.0000	0.0000	0.0000	0.0000						
92 D	20.51	-3.6159E-04	177.6	50.72	177.6	111.2	UL-RL 7.3129E+04	-18.10	86.00	
1.000	1.000	136.7	0.000	0.000	55.00	55.00	Sch_21272_21260_L_0		0.0000	
0.0000	0.0000	0.0000	0.0000	0.0000						
93 D	6.630	-4.6500E-04	178.9	45.60	178.9	111.0	UL-RL 7.3129E+04	-18.20	87.00	
1.000	1.000	132.6	0.000	0.000	55.00	55.00	Sch_21272_21260_L_0		0.0000	
0.0000	0.0000	0.0000	0.0000	0.0000						

1.000	1.000	33.45	0.000	0.000	0.000	0.000	rilevato_6589_8_L_0	0.0000	
0.0000	0.0000	0.0000	0.0000	0.0000	0.0000	0.0000			
23 D	6.885	-2.0079E-02	146.5	34.43	146.5	61.77	ACTIVE 0.000	-4.400	0.000
1.000	1.000	34.43	0.000	0.000	0.000	0.000	rilevato_6589_8_L_0	0.0000	
0.0000	0.0000	0.0000	0.0000	0.0000	0.0000	0.0000			
24 D	5.310	-1.9647E-02	150.6	35.40	150.6	63.47	ACTIVE 0.000	-4.600	0.000
1.000	1.000	35.40	0.000	0.000	0.000	0.000	rilevato_6589_8_L_0	0.0000	
0.0000	0.0000	0.0000	0.0000	0.0000	0.0000	0.0000			
25 D	8.224	-1.9434E-02	152.7	54.82	152.7	85.82	ACTIVE 0.000	-4.700	0.000
1.000	1.000	54.82	0.000	0.000	0.000	0.000	Ala_161_6590_L_0	0.0000	
0.0000	0.0000	0.0000	0.0000	0.0000	0.0000	0.0000			
26 D	11.26	-1.9011E-02	156.8	56.28	156.8	88.10	ACTIVE 0.000	-4.900	0.000
1.000	1.000	56.28	0.000	0.000	0.000	0.000	Ala_161_6590_L_0	0.0000	
0.0000	0.0000	0.0000	0.0000	0.0000	0.0000	0.0000			
27 D	11.55	-1.8590E-02	160.8	57.73	160.8	90.38	ACTIVE 0.000	-5.100	0.000
1.000	1.000	57.73	0.000	0.000	0.000	0.000	Ala_161_6590_L_0	0.0000	
0.0000	0.0000	0.0000	0.0000	0.0000	0.0000	0.0000			
28 D	11.84	-1.8172E-02	164.9	59.18	164.9	92.65	ACTIVE 0.000	-5.300	0.000
1.000	1.000	59.18	0.000	0.000	0.000	0.000	Ala_161_6590_L_0	0.0000	
0.0000	0.0000	0.0000	0.0000	0.0000	0.0000	0.0000			
29 D	12.13	-1.7756E-02	168.9	60.64	168.9	94.93	ACTIVE 0.000	-5.500	0.000
1.000	1.000	60.64	0.000	0.000	0.000	0.000	Ala_161_6590_L_0	0.0000	
0.0000	0.0000	0.0000	0.0000	0.0000	0.0000	0.0000			
30 D	12.42	-1.7342E-02	173.0	62.09	173.0	97.20	ACTIVE 0.000	-5.700	0.000
1.000	1.000	62.09	0.000	0.000	0.000	0.000	Ala_161_6590_L_0	0.0000	
0.0000	0.0000	0.0000	0.0000	0.0000	0.0000	0.0000			
31 D	12.71	-1.6932E-02	177.0	63.54	177.0	99.48	ACTIVE 0.000	-5.900	0.000
1.000	1.000	63.54	0.000	0.000	0.000	0.000	Ala_161_6590_L_0	0.0000	
0.0000	0.0000	0.0000	0.0000	0.0000	0.0000	0.0000			
32 D	13.00	-1.6525E-02	181.1	65.00	181.1	101.8	ACTIVE 0.000	-6.100	0.000
1.000	1.000	65.00	0.000	0.000	0.000	0.000	Ala_161_6590_L_0	0.0000	
0.0000	0.0000	0.0000	0.0000	0.0000	0.0000	0.0000			
33 D	13.29	-1.6121E-02	185.1	66.45	185.1	104.0	ACTIVE 0.000	-6.300	0.000
1.000	1.000	66.45	0.000	0.000	0.000	0.000	Ala_161_6590_L_0	0.0000	
0.0000	0.0000	0.0000	0.0000	0.0000	0.0000	0.0000			
34 D	13.58	-1.5721E-02	189.1	67.90	189.1	106.3	ACTIVE 0.000	-6.500	0.000
1.000	1.000	67.90	0.000	0.000	0.000	0.000	Ala_161_6590_L_0	0.0000	
0.0000	0.0000	0.0000	0.0000	0.0000	0.0000	0.0000			
35 D	13.87	-1.5325E-02	193.2	69.35	193.2	108.6	ACTIVE 0.000	-6.700	0.000
1.000	1.000	69.35	0.000	0.000	0.000	0.000	Ala_161_6590_L_0	0.0000	
0.0000	0.0000	0.0000	0.0000	0.0000	0.0000	0.0000			
36 D	14.18	-1.4933E-02	197.6	70.92	197.6	111.0	ACTIVE 0.000	-6.900	0.000
1.000	1.000	70.92	0.000	0.000	0.000	0.000	Ala_161_6590_L_0	0.0000	
0.0000	0.0000	0.0000	0.0000	0.0000	0.0000	0.0000			
37 D	14.53	-1.4545E-02	202.3	72.63	202.3	113.7	ACTIVE 0.000	-7.100	0.000
1.000	1.000	72.63	0.000	0.000	0.000	0.000	Ala_161_6590_L_0	0.0000	
0.0000	0.0000	0.0000	0.0000	0.0000	0.0000	0.0000			
38 D	14.84	-1.4162E-02	206.7	74.20	206.7	116.2	ACTIVE 0.000	-7.300	0.000
1.000	1.000	74.20	0.000	0.000	0.000	0.000	Ala_161_6590_L_0	0.0000	
0.0000	0.0000	0.0000	0.0000	0.0000	0.0000	0.0000			
39 D	15.17	-1.3783E-02	211.2	75.84	211.2	118.7	ACTIVE 0.000	-7.500	0.000
1.000	1.000	75.84	0.000	0.000	0.000	0.000	Ala_161_6590_L_0	0.0000	
0.0000	0.0000	0.0000	0.0000	0.0000	0.0000	0.0000			
40 D	15.48	-1.3409E-02	215.6	77.42	215.6	121.2	ACTIVE 0.000	-7.700	0.000
1.000	1.000	77.42	0.000	0.000	0.000	0.000	Ala_161_6590_L_0	0.0000	
0.0000	0.0000	0.0000	0.0000	0.0000	0.0000	0.0000			
41 D	15.80	-1.3039E-02	220.0	78.99	220.0	123.7	ACTIVE 0.000	-7.900	0.000
1.000	1.000	78.99	0.000	0.000	0.000	0.000	Ala_161_6590_L_0	0.0000	
0.0000	0.0000	0.0000	0.0000	0.0000	0.0000	0.0000			
42 D	16.11	-1.2675E-02	224.4	80.57	224.4	126.1	ACTIVE 0.000	-8.100	0.000
1.000	1.000	80.57	0.000	0.000	0.000	0.000	Ala_161_6590_L_0	0.0000	
0.0000	0.0000	0.0000	0.0000	0.0000	0.0000	0.0000			
43 D	16.42	-1.2316E-02	228.7	82.10	228.7	128.5	ACTIVE 0.000	-8.300	0.000
1.000	1.000	82.10	0.000	0.000	0.000	0.000	Ala_161_6590_L_0	0.0000	
0.0000	0.0000	0.0000	0.0000	0.0000	0.0000	0.0000			
44 D	16.73	-1.1961E-02	233.1	83.67	233.1	131.0	ACTIVE 0.000	-8.500	0.000
1.000	1.000	83.67	0.000	0.000	0.000	0.000	Ala_161_6590_L_0	0.0000	
0.0000	0.0000	0.0000	0.0000	0.0000	0.0000	0.0000			
45 D	17.03	-1.1612E-02	237.2	85.16	237.2	133.3	ACTIVE 0.000	-8.700	0.000
1.000	1.000	85.16	0.000	0.000	0.000	0.000	Ala_161_6590_L_0	0.0000	
0.0000	0.0000	0.0000	0.0000	0.0000	0.0000	0.0000			
46 D	17.35	-1.1268E-02	241.6	86.73	241.6	135.8	ACTIVE 0.000	-8.900	0.000
1.000	1.000	86.73	0.000	0.000	0.000	0.000	Ala_161_6590_L_0	0.0000	
0.0000	0.0000	0.0000	0.0000	0.0000	0.0000	0.0000			
47 D	17.64	-1.0928E-02	245.7	88.20	245.7	138.1	ACTIVE 0.000	-9.100	0.000
1.000	1.000	88.20	0.000	0.000	0.000	0.000	Ala_161_6590_L_0	0.0000	
0.0000	0.0000	0.0000	0.0000	0.0000	0.0000	0.0000			
48 D	17.95	-1.0594E-02	250.0	89.75	250.0	140.5	ACTIVE 0.000	-9.300	0.000
1.000	1.000	89.75	0.000	0.000	0.000	0.000	Ala_161_6590_L_0	0.0000	
0.0000	0.0000	0.0000	0.0000	0.0000	0.0000	0.0000			
49 D	18.24	-1.0265E-02	254.1	91.20	254.1	142.8	ACTIVE 0.000	-9.500	0.000
1.000	1.000	91.20	0.000	0.000	0.000	0.000	Ala_161_6590_L_0	0.0000	
0.0000	0.0000	0.0000	0.0000	0.0000	0.0000	0.0000			
50 D	18.80	-9.9415E-03	256.3	92.02	256.3	144.1	ACTIVE 0.000	-9.700	2.000
1.000	1.000	94.02	0.000	0.000	0.000	0.000	Ala_161_6590_L_0	0.0000	
0.0000	0.0000	0.0000	0.0000	0.0000	0.0000	0.0000			
51 D	19.35	-9.6227E-03	258.3	92.74	258.3	145.2	ACTIVE 0.000	-9.900	4.000
1.000	1.000	96.74	0.000	0.000	0.000	0.000	Ala_161_6590_L_0	0.0000	
0.0000	0.0000	0.0000	0.0000	0.0000	0.0000	0.0000			
52 D	19.91	-9.3088E-03	260.6	93.54	260.6	146.4	ACTIVE 0.000	-10.10	6.000
1.000	1.000	99.54	0.000	0.000	0.000	0.000	Ala_161_6590_L_0	0.0000	
0.0000	0.0000	0.0000	0.0000	0.0000	0.0000	0.0000			

53 D	20.45	-8.9999E-03	262.5	94.25	262.5	147.5	ACTIVE	0.000	-10.30	8.000
1.000	1.000	102.2	0.000	0.000	0.000	0.000	Ala_161_6590_L_0			0.0000
0.0000	0.0000	0.0000	0.0000	0.0000	0.0000	0.0000				
54 D	21.00	-8.6959E-03	264.7	95.02	264.7	148.7	ACTIVE	0.000	-10.50	10.000
1.000	1.000	105.0	0.000	0.000	0.000	0.000	Ala_161_6590_L_0			0.0000
0.0000	0.0000	0.0000	0.0000	0.0000	0.0000	0.0000				
55 D	21.55	-8.3967E-03	266.7	95.73	266.7	149.9	ACTIVE	0.000	-10.70	12.00
1.000	1.000	107.7	0.000	0.000	0.000	0.000	Ala_161_6590_L_0			0.0000
0.0000	0.0000	0.0000	0.0000	0.0000	0.0000	0.0000				
56 D	22.10	-8.1022E-03	268.7	96.48	268.7	151.0	ACTIVE	0.000	-10.90	14.00
1.000	1.000	110.5	0.000	0.000	0.000	0.000	Ala_161_6590_L_0			0.0000
0.0000	0.0000	0.0000	0.0000	0.0000	0.0000	0.0000				
57 D	22.64	-7.8124E-03	270.7	97.19	270.7	152.1	ACTIVE	0.000	-11.10	16.00
1.000	1.000	113.2	0.000	0.000	0.000	0.000	Ala_161_6590_L_0			0.0000
0.0000	0.0000	0.0000	0.0000	0.0000	0.0000	0.0000				
58 D	23.18	-7.5271E-03	272.7	97.91	272.7	153.3	ACTIVE	0.000	-11.30	18.00
1.000	1.000	115.9	0.000	0.000	0.000	0.000	Ala_161_6590_L_0			0.0000
0.0000	0.0000	0.0000	0.0000	0.0000	0.0000	0.0000				
59 D	23.73	-7.2462E-03	274.7	98.63	274.7	154.4	ACTIVE	0.000	-11.50	20.00
1.000	1.000	118.6	0.000	0.000	0.000	0.000	Ala_161_6590_L_0			0.0000
0.0000	0.0000	0.0000	0.0000	0.0000	0.0000	0.0000				
60 D	24.27	-6.9697E-03	276.7	99.33	276.7	155.5	ACTIVE	0.000	-11.70	22.00
1.000	1.000	121.3	0.000	0.000	0.000	0.000	Ala_161_6590_L_0			0.0000
0.0000	0.0000	0.0000	0.0000	0.0000	0.0000	0.0000				
61 D	24.81	-6.6974E-03	278.7	100.0	278.7	156.6	ACTIVE	0.000	-11.90	24.00
1.000	1.000	124.0	0.000	0.000	0.000	0.000	Ala_161_6590_L_0			0.0000
0.0000	0.0000	0.0000	0.0000	0.0000	0.0000	0.0000				
62 D	25.35	-6.4292E-03	280.6	100.7	280.6	157.7	ACTIVE	0.000	-12.10	26.00
1.000	1.000	126.7	0.000	0.000	0.000	0.000	Ala_161_6590_L_0			0.0000
0.0000	0.0000	0.0000	0.0000	0.0000	0.0000	0.0000				
63 D	25.89	-6.1650E-03	282.6	101.5	282.6	158.8	ACTIVE	0.000	-12.30	28.00
1.000	1.000	129.5	0.000	0.000	0.000	0.000	Ala_161_6590_L_0			0.0000
0.0000	0.0000	0.0000	0.0000	0.0000	0.0000	0.0000				
64 D	26.43	-5.9047E-03	284.5	102.1	284.5	159.9	ACTIVE	0.000	-12.50	30.00
1.000	1.000	132.1	0.000	0.000	0.000	0.000	Ala_161_6590_L_0			0.0000
0.0000	0.0000	0.0000	0.0000	0.0000	0.0000	0.0000				
65 D	26.97	-5.6480E-03	286.5	102.8	286.5	161.0	ACTIVE	0.000	-12.70	32.00
1.000	1.000	134.8	0.000	0.000	0.000	0.000	Ala_161_6590_L_0			0.0000
0.0000	0.0000	0.0000	0.0000	0.0000	0.0000	0.0000				
66 D	27.50	-5.3950E-03	288.3	103.5	288.3	162.0	ACTIVE	0.000	-12.90	34.00
1.000	1.000	137.5	0.000	0.000	0.000	0.000	Ala_161_6590_L_0			0.0000
0.0000	0.0000	0.0000	0.0000	0.0000	0.0000	0.0000				
67 D	28.04	-5.1455E-03	290.3	104.2	290.3	163.1	ACTIVE	0.000	-13.10	36.00
1.000	1.000	140.2	0.000	0.000	0.000	0.000	Ala_161_6590_L_0			0.0000
0.0000	0.0000	0.0000	0.0000	0.0000	0.0000	0.0000				
68 D	28.57	-4.8993E-03	292.1	104.9	292.1	164.2	ACTIVE	0.000	-13.30	38.00
1.000	1.000	142.9	0.000	0.000	0.000	0.000	Ala_161_6590_L_0			0.0000
0.0000	0.0000	0.0000	0.0000	0.0000	0.0000	0.0000				
69 D	29.10	-4.6563E-03	293.9	105.5	293.9	165.2	ACTIVE	0.000	-13.50	40.00
1.000	1.000	145.5	0.000	0.000	0.000	0.000	Ala_161_6590_L_0			0.0000
0.0000	0.0000	0.0000	0.0000	0.0000	0.0000	0.0000				
70 D	29.63	-4.4163E-03	295.7	106.2	295.7	166.2	ACTIVE	0.000	-13.70	42.00
1.000	1.000	148.2	0.000	0.000	0.000	0.000	Ala_161_6590_L_0			0.0000
0.0000	0.0000	0.0000	0.0000	0.0000	0.0000	0.0000				
71 D	30.16	-4.1793E-03	297.5	106.8	297.5	167.2	ACTIVE	0.000	-13.90	44.00
1.000	1.000	150.8	0.000	0.000	0.000	0.000	Ala_161_6590_L_0			0.0000
0.0000	0.0000	0.0000	0.0000	0.0000	0.0000	0.0000				
72 D	30.69	-3.9450E-03	299.3	107.5	299.3	168.2	UL-RL 2.6301E+04		-14.10	46.00
1.000	1.000	153.5	0.000	0.000	0.000	0.000	Ala_161_6590_L_0			0.0000
0.0000	0.0000	0.0000	0.0000	0.0000	0.0000	0.0000				
73 D	31.22	-3.7134E-03	301.1	108.1	301.1	169.2	UL-RL 2.6301E+04		-14.30	48.00
1.000	1.000	156.1	0.000	0.000	0.000	0.000	Ala_161_6590_L_0			0.0000
0.0000	0.0000	0.0000	0.0000	0.0000	0.0000	0.0000				
74 D	31.75	-3.4843E-03	302.9	108.8	302.9	170.2	UL-RL 2.6301E+04		-14.50	50.00
1.000	1.000	158.8	0.000	0.000	0.000	0.000	Ala_161_6590_L_0			0.0000
0.0000	0.0000	0.0000	0.0000	0.0000	0.0000	0.0000				
75 D	32.28	-3.2575E-03	304.7	109.4	304.7	171.3	UL-RL 2.6301E+04		-14.70	52.00
1.000	1.000	161.4	0.000	0.000	0.000	0.000	Ala_161_6590_L_0			0.0000
0.0000	0.0000	0.0000	0.0000	0.0000	0.0000	0.0000				
76 D	32.81	-3.0330E-03	306.5	110.1	306.5	172.3	UL-RL 2.6301E+04		-14.90	54.00
1.000	1.000	164.1	0.000	0.000	0.000	0.000	Ala_161_6590_L_0			0.0000
0.0000	0.0000	0.0000	0.0000	0.0000	0.0000	0.0000				
77 D	33.34	-2.8106E-03	308.4	110.7	308.4	173.3	UL-RL 2.6301E+04		-15.10	56.00
1.000	1.000	166.7	0.000	0.000	0.000	0.000	Ala_161_6590_L_0			0.0000
0.0000	0.0000	0.0000	0.0000	0.0000	0.0000	0.0000				
78 D	33.87	-2.5901E-03	310.2	111.4	310.2	174.3	UL-RL 2.6301E+04		-15.30	58.00
1.000	1.000	169.4	0.000	0.000	0.000	0.000	Ala_161_6590_L_0			0.0000
0.0000	0.0000	0.0000	0.0000	0.0000	0.0000	0.0000				
79 D	34.59	-2.3715E-03	312.0	113.0	312.0	175.3	UL-RL 2.6301E+04		-15.50	60.00
1.000	1.000	173.0	0.000	0.000	0.000	0.000	Ala_161_6590_L_0			0.0000
0.0000	0.0000	0.0000	0.0000	0.0000	0.0000	0.0000				
80 D	36.34	-2.1546E-03	313.8	119.7	313.8	176.4	UL-RL 2.6301E+04		-15.70	62.00
1.000	1.000	181.7	0.000	0.000	0.000	0.000	Ala_161_6590_L_0			0.0000
0.0000	0.0000	0.0000	0.0000	0.0000	0.0000	0.0000				
81 D	38.07	-1.9393E-03	315.6	126.4	315.6	177.4	UL-RL 2.6301E+04		-15.90	64.00
1.000	1.000	190.4	0.000	0.000	0.000	0.000	Ala_161_6590_L_0			0.0000
0.0000	0.0000	0.0000	0.0000	0.0000	0.0000	0.0000				
82 D	32.70	-1.7255E-03	317.5	97.51	317.5	178.4	UL-RL 1.5322E+05		-16.10	66.00
1.000	1.000	163.5	0.000	0.000	10.00	10.00	Salt_21271_21259_L_0			0.0000
0.0000	0.0000	0.0000	0.0000	0.0000	0.0000	0.0000				
83 D	33.24	-1.5131E-03	319.4	98.18	319.4	179.5	UL-RL 1.5322E+05		-16.30	68.00
1.000	1.000	166.2	0.000	0.000	10.00	10.00	Salt_21271_21259_L_0			0.0000

0.0000	0.0000	0.0000	0.0000	0.0000						
84 D	33.77	-1.3019E-03	321.3	98.84	321.3	180.6	UL-RL 1.5322E+05	-16.50	70.00	
1.000	1.000	168.8	0.000	0.000	10.00	10.00	Salt_21271_21259_L_0		0.0000	
0.0000	0.0000	0.0000	0.0000	0.0000						
85 D	34.30	-1.0918E-03	323.3	99.51	323.3	181.7	UL-RL 1.5322E+05	-16.70	72.00	
1.000	1.000	171.5	0.000	0.000	10.00	10.00	Salt_21271_21259_L_0		0.0000	
0.0000	0.0000	0.0000	0.0000	0.0000						
86 D	34.99	-8.8266E-04	325.2	100.9	325.2	182.8	UL-RL 1.5322E+05	-16.90	74.00	
1.000	1.000	174.9	0.000	0.000	10.00	10.00	Salt_21271_21259_L_0		0.0000	
0.0000	0.0000	0.0000	0.0000	0.0000						
87 D	39.74	-6.7429E-04	327.1	122.7	327.1	183.8	UL-RL 1.5322E+05	-17.10	76.00	
1.000	1.000	198.7	0.000	0.000	10.00	10.00	Salt_21271_21259_L_0		0.0000	
0.0000	0.0000	0.0000	0.0000	0.0000						
88 D	44.48	-4.6653E-04	329.0	144.4	329.0	184.9	UL-RL 1.5322E+05	-17.30	78.00	
1.000	1.000	222.4	0.000	0.000	10.00	10.00	Salt_21271_21259_L_0		0.0000	
0.0000	0.0000	0.0000	0.0000	0.0000						
89 D	48.17	-2.5920E-04	331.0	160.8	331.0	188.6	UL-RL 1.5322E+05	-17.50	80.00	
1.000	1.000	240.8	0.000	0.000	10.00	10.00	Salt_21271_21259_L_0		0.0000	
0.0000	0.0000	0.0000	0.0000	0.0000						
90 D	51.43	-5.2135E-05	333.0	175.1	333.0	190.2	UL-RL 1.1423E+05	-17.70	82.00	
1.000	1.000	257.1	0.000	0.000	55.00	55.00	Sch_21272_21260_L_0		0.0000	
0.0000	0.0000	0.0000	0.0000	0.0000						
91 D	54.44	1.5476E-04	335.5	188.2	335.5	197.6	UL-RL 1.1423E+05	-17.90	84.00	
1.000	1.000	272.2	0.000	0.000	55.00	55.00	Sch_21272_21260_L_0		0.0000	
0.0000	0.0000	0.0000	0.0000	0.0000						
92 D	43.09	3.6159E-04	338.0	201.3	338.0	205.0	UL-RL 1.1423E+05	-18.10	86.00	
1.000	1.000	287.3	0.000	0.000	55.00	55.00	Sch_21272_21260_L_0		0.0000	
0.0000	0.0000	0.0000	0.0000	0.0000						
93 D	14.67	4.6500E-04	339.3	206.3	339.3	209.4	UL-RL 1.1423E+05	-18.20	87.00	
1.000	1.000	293.3	0.000	0.000	55.00	55.00	Sch_21272_21260_L_0		0.0000	
0.0000	0.0000	0.0000	0.0000	0.0000						

```

+-----+
|                PARATIEPLUS(TM)  NLS ENGINE RELEASE  2022.0.0  FULL VERSION  *Build date:Sep 13, 2021*                |
|                                                                                                                                            |
|                                                                                               ParatiePlus                               |
|                                                                                               Exe Time :28 January 2022   11:11:16                               |
+-----+

```

New Project

S T R E S S R E S U L T S F O R G R O U P N O . 3

```

pali15001.7_33 :
ELEMENT TYPE   2 NO.OF ELEMENTS. IN THIS GROUP   68
C U R R E N T   T I M E   I S   3.0000 SUBINCREMENT 00001/00001

```

WALL2D ELEMENT

EL	TA	TB	MA	MB
1	-121.87	121.87	229.73	-254.10
2	-130.61	130.61	254.10	-280.22
3	-137.13	137.13	280.22	-307.65
4	-141.43	141.43	307.65	-335.93
5	-143.50	143.50	335.93	-364.63
6	-143.36	143.36	364.63	-393.31
7	-140.99	140.99	393.31	-421.50
8	-136.39	136.39	421.50	-448.78
9	-129.58	129.58	448.78	-474.70
10	-120.54	120.54	474.70	-498.80
11	-109.28	109.28	498.80	-520.66
12	-97.387	97.387	520.66	-540.14
13	-85.951	85.951	540.14	-557.33
14	-74.938	74.938	557.33	-572.31
15	-64.352	64.352	572.31	-585.18
16	-54.177	54.177	585.18	-596.02
17	-44.403	44.403	596.02	-604.90
18	-35.026	35.026	604.90	-611.91
19	-26.027	26.027	611.91	-617.11
20	-17.410	17.410	617.11	-620.59
21	-9.1482	9.1482	620.59	-622.42
22	-1.2530	1.2530	622.42	-622.67
23	6.3051	-6.3051	622.67	-621.41
24	13.515	-13.515	621.41	-618.71
25	20.405	-20.405	618.71	-614.63
26	26.883	-26.883	614.63	-609.25
27	32.978	-32.978	609.25	-602.66
28	38.680	-38.680	602.66	-594.92
29	44.014	-44.014	594.92	-586.12
30	48.975	-48.975	586.12	-576.32
31	53.581	-53.581	576.32	-565.61
32	57.833	-57.833	565.61	-554.04
33	61.743	-61.743	554.04	-541.69
34	65.316	-65.316	541.69	-528.63
35	68.560	-68.560	528.63	-514.92
36	71.483	-71.483	514.92	-500.62
37	74.089	-74.089	500.62	-485.80
38	76.389	-76.389	485.80	-470.52
39	78.384	-78.384	470.52	-454.85
40	80.086	-80.086	454.85	-438.83
41	81.494	-81.494	438.83	-422.53
42	82.622	-82.622	422.53	-406.01
43	83.467	-83.467	406.01	-389.31
44	84.045	-84.045	389.31	-372.50
45	84.361	-84.361	372.50	-355.63
46	84.420	-84.420	355.63	-338.75
47	84.226	-84.226	338.75	-321.90
48	83.783	-83.783	321.90	-305.15
49	83.093	-83.093	305.15	-288.53
50	82.162	-82.162	288.53	-272.10
51	80.991	-80.991	272.10	-255.90
52	79.584	-79.584	255.90	-239.98
53	77.944	-77.944	239.98	-224.39
54	76.074	-76.074	224.39	-209.18
55	73.784	-73.784	209.18	-194.42
56	70.053	-70.053	194.42	-180.41
57	64.893	-64.893	180.41	-167.43
58	76.734	-76.734	167.43	-152.08
59	86.974	-86.974	152.08	-134.69
60	95.621	-95.621	134.69	-115.56
61	102.68	-102.68	115.56	-95.028
62	107.93	-107.93	95.028	-73.443
63	105.18	-105.18	73.443	-52.407
64	94.466	-94.466	52.407	-33.514
65	76.858	-76.858	33.514	-18.142
66	56.070	-56.070	18.142	-6.9278
67	30.620	-30.620	6.9278	-0.80372
68	8.0372	-8.0372	0.80372	-6.84963E-11

```

+-----+
|                PARATIEPLUS(TM)  NLS ENGINE RELEASE 2022.0.0  FULL VERSION  *Build date:Sep 13, 2021*                |
|                                                                                                                                            |
|                                                                                               ParatiePlus                               |
|                                                                                               Exe Time :28 January 2022   11:11:16           |
+-----+

```

New Project

S T R E S S R E S U L T S F O R G R O U P N O . 4

```

muro71cm_4658 :
ELEMENT TYPE   2 NO.OF ELEMENTS. IN THIS GROUP   24
C U R R E N T   T I M E   I S   3.0000 SUBINCREMENT 00001/00001

```

WALL2D ELEMENT

EL	TA	TB	MA	MB
1	-1.3395	1.3395	-4.29403E-10	0.26790
2	-4.2065	4.2065	0.26790	-1.1092
3	-7.2616	7.2616	1.1092	-2.5615
4	-10.505	10.505	2.5615	-4.6625
5	-13.937	13.937	4.6625	-7.4498
6	-17.557	17.557	7.4498	-10.961
7	-21.366	21.366	10.961	-15.234
8	-25.365	25.365	15.234	-20.307
9	-29.553	29.553	20.307	-26.218
10	-33.931	33.931	26.218	-33.004
11	-38.500	38.500	33.004	-40.704
12	-43.260	43.260	40.704	-49.356
13	-48.211	48.211	49.356	-58.999
14	-53.354	53.354	58.999	-69.669
15	-58.689	58.689	69.669	-81.407
16	-64.217	64.217	81.407	-94.251
17	-69.938	69.938	94.251	-108.24
18	-75.852	75.852	108.24	-123.41
19	-81.960	81.960	123.41	-139.80
20	-88.262	88.262	139.80	-157.45
21	-94.759	94.759	157.45	-176.41
22	-101.45	101.45	176.41	-196.69
23	-108.33	108.33	196.69	-218.36
24	-113.64	113.64	218.36	-229.73

```

ITER   0  RNORM = 23.64   RMNORM= 0.000
RINORM=0.1215E+07   RIMNOR=0.2609E+08
RENORM= 60.74   REMNOR=0.1542E-16   RATIO =0.7071E-02   TOLER =0.1000E-03   NOT CONVERGED
RFMAX = 143.5   RMMAX = 622.7
RTSMAL=0.1000E-02   RMSMAL=0.1000E-02
RDT =0.1215E+07   RDR =0.2609E+08
RATIOT=0.7071E-02   RATIO= 0.000
MAX UN=0.1076E-07   IEQ= 101 NODE   51 DOF   1   Y-DISPL.F
MIN UN=-2.980   IEQ= 69 NODE   35 DOF   1   Y-DISPL.F
NO. OF CONTACT CONSTRAINT VIOLATIONS   0

```

```

ITER   2  RNORM = 23.64   RMNORM= 0.000
RINORM=0.1215E+07   RIMNOR=0.2609E+08
RENORM= 48.71   REMNOR=0.2759E-16   RATIO =0.6332E-02   TOLER =0.1000E-03   NOT CONVERGED
RFMAX = 143.5   RMMAX = 622.7
RTSMAL=0.1000E-02   RMSMAL=0.1000E-02
RDT =0.1215E+07   RDR =0.2609E+08
RATIOT=0.6332E-02   RATIO= 0.000
MAX UN= 2.057   IEQ= 183 NODE   92 DOF   1   Y-DISPL.F
MIN UN=-2.871   IEQ= 73 NODE   37 DOF   1   Y-DISPL.F
NO. OF CONTACT CONSTRAINT VIOLATIONS   0

```

```

ITER   3  RNORM = 23.64   RMNORM= 0.000
RINORM=0.1215E+07   RIMNOR=0.2609E+08
RENORM= 1.651   REMNOR=0.3349E-16   RATIO =0.1166E-02   TOLER =0.1000E-03   NOT CONVERGED
RFMAX = 143.5   RMMAX = 622.7
RTSMAL=0.1000E-02   RMSMAL=0.1000E-02
RDT =0.1215E+07   RDR =0.2609E+08
RATIOT=0.1166E-02   RATIO= 0.000
MAX UN=0.3389E-07   IEQ= 73 NODE   37 DOF   1   Y-DISPL.F
MIN UN=-1.285   IEQ= 167 NODE   84 DOF   1   Y-DISPL.F
NO. OF CONTACT CONSTRAINT VIOLATIONS   0

```

```

ITER   4  RNORM = 23.64   RMNORM= 0.000
RINORM=0.1215E+07   RIMNOR=0.2609E+08
RENORM=0.4901E-02   REMNOR=0.2700E-16   RATIO =0.6352E-04   TOLER =0.1000E-03   CONVERGED !
RFMAX = 143.5   RMMAX = 622.7
RTSMAL=0.1000E-02   RMSMAL=0.1000E-02
RDT =0.1215E+07   RDR =0.2609E+08
RATIOT=0.6352E-04   RATIO= 0.000
MAX UN=0.4383E-01   IEQ= 179 NODE   90 DOF   1   Y-DISPL.F
MIN UN=-.1101E-02   IEQ= 3 NODE   2 DOF   1   Y-DISPL.F

```

NO. OF CONTACT CONSTRAINT VIOLATIONS 0

```

+-----+
|                PARATIEPLUS(TM)  NLS ENGINE RELEASE  2022.0.0  FULL VERSION  *Build date:Sep 13, 2021*                |
|                                                                                                                                            |
|                                                                                               ParatiePlus                               |
|                                                                                               Exe Time :28 January 2022   11:11:16   |
+-----+

```

New Project
SOLUTION REACHED USING 4 ITERATIONS ON 40

PRINT OUT FOR TIME STEP 4 (AT TIME 4.000) SUBINCREMENT 0001/00001

PRINT OUT OF ACTIVE COMPONENTS (FIXED NODES ARE NOT PRINTED OUT)

	Y-DISPL.F	X-ROT. F
	02	04
1	-3.6859754E-02	2.9667610E-03
2	-3.6266404E-02	2.9667293E-03
3	-3.5673071E-02	2.9665678E-03
4	-3.5079795E-02	2.9661401E-03
5	-3.4486643E-02	2.9653035E-03
6	-3.3893711E-02	2.9639087E-03
7	-3.3301127E-02	2.9618002E-03
8	-3.2709049E-02	2.9588157E-03
9	-3.2117670E-02	2.9547867E-03
10	-3.1527216E-02	2.9495380E-03
11	-3.0937948E-02	2.9428880E-03
12	-3.0350166E-02	2.9346486E-03
13	-2.9764208E-02	2.9246251E-03
14	-2.9180449E-02	2.9126162E-03
15	-2.8599307E-02	2.8984143E-03
16	-2.8021244E-02	2.8818049E-03
17	-2.7446758E-02	2.8625669E-03
18	-2.6876404E-02	2.8404730E-03
19	-2.6310775E-02	2.8152889E-03
20	-2.5750511E-02	2.7867737E-03
21	-2.5196307E-02	2.7546801E-03
22	-2.4648897E-02	2.7187538E-03
23	-2.4109078E-02	2.6787341E-03
24	-2.3577694E-02	2.6343535E-03
25	-2.3315444E-02	2.6104511E-03
26	-2.2794567E-02	2.5981247E-03
27	-2.2276279E-02	2.5845652E-03
28	-2.1760830E-02	2.5697063E-03
29	-2.1248487E-02	2.5534975E-03
30	-2.0739523E-02	2.5359042E-03
31	-2.0234218E-02	2.5169073E-03
32	-1.9732856E-02	2.4965039E-03
33	-1.9235712E-02	2.4747065E-03
34	-1.8743065E-02	2.4515437E-03
35	-1.8255183E-02	2.4270596E-03
36	-1.7772325E-02	2.4013143E-03
37	-1.7294736E-02	2.3743837E-03
38	-1.6822647E-02	2.3463591E-03
39	-1.6356261E-02	2.3173469E-03
40	-1.5895766E-02	2.2874630E-03
41	-1.5441326E-02	2.2568221E-03
42	-1.4993081E-02	2.2255346E-03
43	-1.4551150E-02	2.1937069E-03
44	-1.4115629E-02	2.1614405E-03
45	-1.3686597E-02	2.1288335E-03
46	-1.3264112E-02	2.0959800E-03
47	-1.2848215E-02	2.0629698E-03
48	-1.2438931E-02	2.0298896E-03
49	-1.2036261E-02	1.9968214E-03
50	-1.1640196E-02	1.9638445E-03
51	-1.1250712E-02	1.9310339E-03
52	-1.0867776E-02	1.8984615E-03
53	-1.0491317E-02	1.8661927E-03
54	-1.0121275E-02	1.8342913E-03
55	-9.7575717E-03	1.8028166E-03
56	-9.4001161E-03	1.7718241E-03
57	-9.0488065E-03	1.7413658E-03
58	-8.7035310E-03	1.7114899E-03
59	-8.3641687E-03	1.6822411E-03
60	-8.0305900E-03	1.6536609E-03
61	-7.7026572E-03	1.6257873E-03
62	-7.3802256E-03	1.5986550E-03
63	-7.0631437E-03	1.5722955E-03
64	-6.7512540E-03	1.5467374E-03
65	-6.4443937E-03	1.5220059E-03
66	-6.1423950E-03	1.4981234E-03
67	-5.8450864E-03	1.4751093E-03
68	-5.5522923E-03	1.4529802E-03
69	-5.2638344E-03	1.4317498E-03
70	-4.9795318E-03	1.4114291E-03
71	-4.6992015E-03	1.3920265E-03
72	-4.4226595E-03	1.3735478E-03
73	-4.1497206E-03	1.3559962E-03
74	-3.8801992E-03	1.3393724E-03

75	-3.6139099E-03	1.3236745E-03
76	-3.3506680E-03	1.3088984E-03
77	-3.0902896E-03	1.2950374E-03
78	-2.8325926E-03	1.2820825E-03
79	-2.5773969E-03	1.2700224E-03
80	-2.3245249E-03	1.2588433E-03
81	-2.0738020E-03	1.2485273E-03
82	-1.8250583E-03	1.2390461E-03
83	-1.5781256E-03	1.2304343E-03
84	-1.3328203E-03	1.2227877E-03
85	-1.0889409E-03	1.2161869E-03
86	-8.4627147E-04	1.2106968E-03
87	-6.0458532E-04	1.2063589E-03
88	-3.6365197E-04	1.2031599E-03
89	-1.2325171E-04	1.2010057E-03
90	1.1682067E-04	1.1997268E-03
91	3.5669525E-04	1.1991115E-03
92	5.9649373E-04	1.1989230E-03
93	7.1638538E-04	1.1989132E-03

```

+-----+
|                PARATIEPLUS(TM)  NLS ENGINE RELEASE 2022.0.0  FULL VERSION  *Build date:Sep 13, 2021*                |
|                                                                                                                                            |
|                                                                                               ParatiePlus                                                                                               |
|                                                                                               Exe Time :28 January 2022  11:11:16                                                                                               |
+-----+

```

New Project

S T R E S S R E S U L T S F O R G R O U P N O . 1

O_L :
ELEMENT TYPE 5 NO.OF ELEMENTS. IN THIS GROUP 93
C U R R E N T T I M E I S 4.0000 SUBINCREMENT 00001/00001

HARDENING 2D SOIL ELEMENT

***** TOTAL STRESS FORMULATION *****

EL * TOR QSL	FORCE UFACTOR ZD	DISPL-Y Peq ZPL	VERTICAL-P Su_a Kz	HORIZON.-P Su_p	MAX-V-P Cohe_a	MAX-H-P Cohe_p	STATE LAYER	STIFFNESS	Z-LEVEL	PORE ZFO	E FAC- QS
1	0.000	--	--	--	--	--	REMOVED	--	0.000	0.000	
1.000	1.000	0.000	0.000	0.000	0.000	0.000	not available				
2	0.000	--	--	--	--	--	REMOVED	--	-0.2000	0.000	
1.000	1.000	0.000	0.000	0.000	0.000	0.000	not available				
3	0.000	--	--	--	--	--	REMOVED	--	-0.4000	0.000	
1.000	1.000	0.000	0.000	0.000	0.000	0.000	not available				
4	0.000	--	--	--	--	--	REMOVED	--	-0.6000	0.000	
1.000	1.000	0.000	0.000	0.000	0.000	0.000	not available				
5	0.000	--	--	--	--	--	REMOVED	--	-0.8000	0.000	
1.000	1.000	0.000	0.000	0.000	0.000	0.000	not available				
6	0.000	--	--	--	--	--	REMOVED	--	-1.000	0.000	
1.000	1.000	0.000	0.000	0.000	0.000	0.000	not available				
7	0.000	--	--	--	--	--	REMOVED	--	-1.200	0.000	
1.000	1.000	0.000	0.000	0.000	0.000	0.000	not available				
8	0.000	--	--	--	--	--	REMOVED	--	-1.400	0.000	
1.000	1.000	0.000	0.000	0.000	0.000	0.000	not available				
9	0.000	--	--	--	--	--	REMOVED	--	-1.600	0.000	
1.000	1.000	0.000	0.000	0.000	0.000	0.000	not available				
10	0.000	--	--	--	--	--	REMOVED	--	-1.800	0.000	
1.000	1.000	0.000	0.000	0.000	0.000	0.000	not available				
11	0.000	--	--	--	--	--	REMOVED	--	-2.000	0.000	
1.000	1.000	0.000	0.000	0.000	0.000	0.000	not available				
12	0.000	--	--	--	--	--	REMOVED	--	-2.200	0.000	
1.000	1.000	0.000	0.000	0.000	0.000	0.000	not available				
13	0.000	--	--	--	--	--	REMOVED	--	-2.400	0.000	
1.000	1.000	0.000	0.000	0.000	0.000	0.000	not available				
14	0.000	--	--	--	--	--	REMOVED	--	-2.600	0.000	
1.000	1.000	0.000	0.000	0.000	0.000	0.000	not available				
15	0.000	--	--	--	--	--	REMOVED	--	-2.800	0.000	
1.000	1.000	0.000	0.000	0.000	0.000	0.000	not available				
16	0.000	--	--	--	--	--	REMOVED	--	-3.000	0.000	
1.000	1.000	0.000	0.000	0.000	0.000	0.000	not available				
17	0.000	--	--	--	--	--	REMOVED	--	-3.200	0.000	
1.000	1.000	0.000	0.000	0.000	0.000	0.000	not available				
18	0.000	--	--	--	--	--	REMOVED	--	-3.400	0.000	
1.000	1.000	0.000	0.000	0.000	0.000	0.000	not available				
19	0.000	--	--	--	--	--	REMOVED	--	-3.600	0.000	
1.000	1.000	0.000	0.000	0.000	0.000	0.000	not available				
20	0.000	--	--	--	--	--	REMOVED	--	-3.800	0.000	
1.000	1.000	0.000	0.000	0.000	0.000	0.000	not available				
21	0.000	--	--	--	--	--	REMOVED	--	-4.000	0.000	
1.000	1.000	0.000	0.000	0.000	0.000	0.000	not available				
22	0.000	--	--	--	--	--	REMOVED	--	-4.200	0.000	
1.000	1.000	0.000	0.000	0.000	0.000	0.000	not available				
23	0.000	--	--	--	--	--	REMOVED	--	-4.400	0.000	
1.000	1.000	0.000	0.000	0.000	0.000	0.000	not available				
24	0.000	--	--	--	--	--	REMOVED	--	-4.600	0.000	
1.000	1.000	0.000	0.000	0.000	0.000	0.000	not available				
25 D	0.000	2.3315E-02	0.000	0.000	0.000	0.000	PASSIVE	0.000	-4.700	0.000	
1.000	1.000	0.000	0.000	0.000	0.000	0.000	Ala_161_6590_L_0			0.0000	
0.0000	0.0000	0.0000	0.0000	0.0000	0.0000	0.0000					
26 D	2.215	2.2795E-02	3.900	11.08	3.900	12.57	PASSIVE	0.000	-4.900	0.000	
1.000	1.000	11.08	0.000	0.000	0.000	0.000	Ala_161_6590_L_0			0.0000	
0.0000	0.0000	0.0000	0.0000	0.0000	0.0000	0.0000					
27 D	4.430	2.2276E-02	7.800	22.15	7.800	25.13	PASSIVE	0.000	-5.100	0.000	
1.000	1.000	22.15	0.000	0.000	0.000	0.000	Ala_161_6590_L_0			0.0000	
0.0000	0.0000	0.0000	0.0000	0.0000	0.0000	0.0000					
28 D	6.646	2.1761E-02	11.70	33.23	11.70	37.70	PASSIVE	0.000	-5.300	0.000	
1.000	1.000	33.23	0.000	0.000	0.000	0.000	Ala_161_6590_L_0			0.0000	
0.0000	0.0000	0.0000	0.0000	0.0000	0.0000	0.0000					
29 D	8.861	2.1248E-02	15.60	44.30	15.60	50.26	PASSIVE	0.000	-5.500	0.000	
1.000	1.000	44.30	0.000	0.000	0.000	0.000	Ala_161_6590_L_0			0.0000	
0.0000	0.0000	0.0000	0.0000	0.0000	0.0000	0.0000					
30 D	11.08	2.0740E-02	19.50	55.38	19.50	62.83	PASSIVE	0.000	-5.700	0.000	

1.000	1.000	55.38	0.000	0.000	0.000	0.000	Ala_161_6590_L_0	0.0000	
0.0000	0.0000	0.0000	0.0000	0.0000	0.0000	0.0000			
31 D	13.29	2.0234E-02	23.40	66.46	23.40	75.39	PASSIVE 0.000	-5.900	0.000
1.000	1.000	66.46	0.000	0.000	0.000	0.000	Ala_161_6590_L_0	0.0000	
0.0000	0.0000	0.0000	0.0000	0.0000	0.0000	0.0000			
32 D	15.51	1.9733E-02	27.30	77.53	27.30	87.96	PASSIVE 0.000	-6.100	0.000
1.000	1.000	77.53	0.000	0.000	0.000	0.000	Ala_161_6590_L_0	0.0000	
0.0000	0.0000	0.0000	0.0000	0.0000	0.0000	0.0000			
33 D	17.72	1.9236E-02	31.20	88.61	31.20	100.5	PASSIVE 0.000	-6.300	0.000
1.000	1.000	88.61	0.000	0.000	0.000	0.000	Ala_161_6590_L_0	0.0000	
0.0000	0.0000	0.0000	0.0000	0.0000	0.0000	0.0000			
34 D	19.94	1.8743E-02	35.10	99.68	35.10	113.1	PASSIVE 0.000	-6.500	0.000
1.000	1.000	99.68	0.000	0.000	0.000	0.000	Ala_161_6590_L_0	0.0000	
0.0000	0.0000	0.0000	0.0000	0.0000	0.0000	0.0000			
35 D	22.15	1.8255E-02	39.00	110.8	39.00	125.7	PASSIVE 0.000	-6.700	0.000
1.000	1.000	110.8	0.000	0.000	0.000	0.000	Ala_161_6590_L_0	0.0000	
0.0000	0.0000	0.0000	0.0000	0.0000	0.0000	0.0000			
36 D	24.37	1.7772E-02	42.90	121.8	42.90	130.4	PASSIVE 0.000	-6.900	0.000
1.000	1.000	121.8	0.000	0.000	0.000	0.000	Ala_161_6590_L_0	0.0000	
0.0000	0.0000	0.0000	0.0000	0.0000	0.0000	0.0000			
37 D	26.58	1.7295E-02	46.80	132.9	46.80	132.9	PASSIVE 0.000	-7.100	0.000
1.000	1.000	132.9	0.000	0.000	0.000	0.000	Ala_161_6590_L_0	0.0000	
0.0000	0.0000	0.0000	0.0000	0.0000	0.0000	0.0000			
38 D	28.80	1.6823E-02	50.70	144.0	50.70	144.0	PASSIVE 0.000	-7.300	0.000
1.000	1.000	144.0	0.000	0.000	0.000	0.000	Ala_161_6590_L_0	0.0000	
0.0000	0.0000	0.0000	0.0000	0.0000	0.0000	0.0000			
39 D	29.42	1.6356E-02	54.60	147.1	54.60	147.1	V-C 7116.	-7.500	0.000
1.000	1.000	147.1	0.000	0.000	0.000	0.000	Ala_161_6590_L_0	0.0000	
0.0000	0.0000	0.0000	0.0000	0.0000	0.0000	0.0000			
40 D	29.20	1.5896E-02	58.50	146.0	58.50	146.0	V-C 7116.	-7.700	0.000
1.000	1.000	146.0	0.000	0.000	0.000	0.000	Ala_161_6590_L_0	0.0000	
0.0000	0.0000	0.0000	0.0000	0.0000	0.0000	0.0000			
41 D	28.99	1.5441E-02	62.40	145.0	62.40	145.0	V-C 7116.	-7.900	0.000
1.000	1.000	145.0	0.000	0.000	0.000	0.000	Ala_161_6590_L_0	0.0000	
0.0000	0.0000	0.0000	0.0000	0.0000	0.0000	0.0000			
42 D	28.79	1.4993E-02	66.30	144.0	66.30	144.0	V-C 7116.	-8.100	0.000
1.000	1.000	144.0	0.000	0.000	0.000	0.000	Ala_161_6590_L_0	0.0000	
0.0000	0.0000	0.0000	0.0000	0.0000	0.0000	0.0000			
43 D	28.60	1.4551E-02	70.20	143.0	70.20	143.0	V-C 7116.	-8.300	0.000
1.000	1.000	143.0	0.000	0.000	0.000	0.000	Ala_161_6590_L_0	0.0000	
0.0000	0.0000	0.0000	0.0000	0.0000	0.0000	0.0000			
44 D	28.42	1.4116E-02	74.10	142.1	74.10	142.1	V-C 7116.	-8.500	0.000
1.000	1.000	142.1	0.000	0.000	0.000	0.000	Ala_161_6590_L_0	0.0000	
0.0000	0.0000	0.0000	0.0000	0.0000	0.0000	0.0000			
45 D	28.25	1.3687E-02	78.00	141.2	78.00	141.2	V-C 7116.	-8.700	0.000
1.000	1.000	141.2	0.000	0.000	0.000	0.000	Ala_161_6590_L_0	0.0000	
0.0000	0.0000	0.0000	0.0000	0.0000	0.0000	0.0000			
46 D	28.08	1.3264E-02	81.90	140.4	81.90	140.4	V-C 7116.	-8.900	0.000
1.000	1.000	140.4	0.000	0.000	0.000	0.000	Ala_161_6590_L_0	0.0000	
0.0000	0.0000	0.0000	0.0000	0.0000	0.0000	0.0000			
47 D	27.93	1.2848E-02	85.80	139.7	85.80	139.7	V-C 7116.	-9.100	0.000
1.000	1.000	139.7	0.000	0.000	0.000	0.000	Ala_161_6590_L_0	0.0000	
0.0000	0.0000	0.0000	0.0000	0.0000	0.0000	0.0000			
48 D	27.79	1.2439E-02	89.70	138.9	89.70	138.9	V-C 7116.	-9.300	0.000
1.000	1.000	138.9	0.000	0.000	0.000	0.000	Ala_161_6590_L_0	0.0000	
0.0000	0.0000	0.0000	0.0000	0.0000	0.0000	0.0000			
49 D	27.65	1.2036E-02	93.60	138.3	93.60	138.3	V-C 7116.	-9.500	0.000
1.000	1.000	138.3	0.000	0.000	0.000	0.000	Ala_161_6590_L_0	0.0000	
0.0000	0.0000	0.0000	0.0000	0.0000	0.0000	0.0000			
50 D	27.70	1.1640E-02	95.50	136.5	95.50	136.5	V-C 7116.	-9.700	2.000
1.000	1.000	138.5	0.000	0.000	0.000	0.000	Ala_161_6590_L_0	0.0000	
0.0000	0.0000	0.0000	0.0000	0.0000	0.0000	0.0000			
51 D	27.76	1.1251E-02	97.40	134.8	97.40	134.8	V-C 7116.	-9.900	4.000
1.000	1.000	138.8	0.000	0.000	0.000	0.000	Ala_161_6590_L_0	0.0000	
0.0000	0.0000	0.0000	0.0000	0.0000	0.0000	0.0000			
52 D	27.83	1.0868E-02	99.30	133.1	99.30	133.1	V-C 7116.	-10.10	6.000
1.000	1.000	139.1	0.000	0.000	0.000	0.000	Ala_161_6590_L_0	0.0000	
0.0000	0.0000	0.0000	0.0000	0.0000	0.0000	0.0000			
53 D	27.91	1.0491E-02	101.2	131.5	101.2	131.5	V-C 7116.	-10.30	8.000
1.000	1.000	139.5	0.000	0.000	0.000	0.000	Ala_161_6590_L_0	0.0000	
0.0000	0.0000	0.0000	0.0000	0.0000	0.0000	0.0000			
54 D	27.99	1.0121E-02	103.1	130.0	103.1	130.0	V-C 7116.	-10.50	10.000
1.000	1.000	140.0	0.000	0.000	0.000	0.000	Ala_161_6590_L_0	0.0000	
0.0000	0.0000	0.0000	0.0000	0.0000	0.0000	0.0000			
55 D	28.09	9.7576E-03	105.0	128.4	105.0	128.4	V-C 7116.	-10.70	12.00
1.000	1.000	140.4	0.000	0.000	0.000	0.000	Ala_161_6590_L_0	0.0000	
0.0000	0.0000	0.0000	0.0000	0.0000	0.0000	0.0000			
56 D	28.19	9.4001E-03	106.9	127.0	106.9	127.0	V-C 7116.	-10.90	14.00
1.000	1.000	141.0	0.000	0.000	0.000	0.000	Ala_161_6590_L_0	0.0000	
0.0000	0.0000	0.0000	0.0000	0.0000	0.0000	0.0000			
57 D	28.31	9.0488E-03	108.8	125.5	108.8	125.5	V-C 7116.	-11.10	16.00
1.000	1.000	141.5	0.000	0.000	0.000	0.000	Ala_161_6590_L_0	0.0000	
0.0000	0.0000	0.0000	0.0000	0.0000	0.0000	0.0000			
58 D	28.43	8.7035E-03	110.7	124.1	110.7	124.1	V-C 7116.	-11.30	18.00
1.000	1.000	142.1	0.000	0.000	0.000	0.000	Ala_161_6590_L_0	0.0000	
0.0000	0.0000	0.0000	0.0000	0.0000	0.0000	0.0000			
59 D	28.56	8.3642E-03	112.6	122.8	112.6	122.8	V-C 7116.	-11.50	20.00
1.000	1.000	142.8	0.000	0.000	0.000	0.000	Ala_161_6590_L_0	0.0000	
0.0000	0.0000	0.0000	0.0000	0.0000	0.0000	0.0000			
60 D	28.70	8.0306E-03	114.5	121.5	114.5	121.5	V-C 7116.	-11.70	22.00
1.000	1.000	143.5	0.000	0.000	0.000	0.000	Ala_161_6590_L_0	0.0000	
0.0000	0.0000	0.0000	0.0000	0.0000	0.0000	0.0000			

61 D	28.85	7.7027E-03	116.4	120.2	116.4	120.2	V-C	7116.	-11.90	24.00
1.000	1.000	144.2	0.000	0.000	0.000	0.000	Ala_161_6590_L_0			0.0000
0.0000	0.0000	0.0000	0.0000	0.0000						
62 D	29.00	7.3802E-03	118.3	119.0	118.3	119.0	V-C	7116.	-12.10	26.00
1.000	1.000	145.0	0.000	0.000	0.000	0.000	Ala_161_6590_L_0			0.0000
0.0000	0.0000	0.0000	0.0000	0.0000						
63 D	29.16	7.0631E-03	120.2	117.8	120.2	117.8	V-C	7116.	-12.30	28.00
1.000	1.000	145.8	0.000	0.000	0.000	0.000	Ala_161_6590_L_0			0.0000
0.0000	0.0000	0.0000	0.0000	0.0000						
64 D	29.33	6.7513E-03	122.1	116.7	122.1	116.7	V-C	7116.	-12.50	30.00
1.000	1.000	146.7	0.000	0.000	0.000	0.000	Ala_161_6590_L_0			0.0000
0.0000	0.0000	0.0000	0.0000	0.0000						
65 D	29.51	6.4444E-03	124.0	115.5	124.0	115.5	V-C	7116.	-12.70	32.00
1.000	1.000	147.5	0.000	0.000	0.000	0.000	Ala_161_6590_L_0			0.0000
0.0000	0.0000	0.0000	0.0000	0.0000						
66 D	29.69	6.1424E-03	125.9	114.5	125.9	114.5	V-C	7116.	-12.90	34.00
1.000	1.000	148.5	0.000	0.000	0.000	0.000	Ala_161_6590_L_0			0.0000
0.0000	0.0000	0.0000	0.0000	0.0000						
67 D	29.88	5.8451E-03	127.8	113.4	127.8	113.4	V-C	7116.	-13.10	36.00
1.000	1.000	149.4	0.000	0.000	0.000	0.000	Ala_161_6590_L_0			0.0000
0.0000	0.0000	0.0000	0.0000	0.0000						
68 D	30.08	5.5523E-03	129.7	112.4	129.7	112.4	V-C	7116.	-13.30	38.00
1.000	1.000	150.4	0.000	0.000	0.000	0.000	Ala_161_6590_L_0			0.0000
0.0000	0.0000	0.0000	0.0000	0.0000						
69 D	30.28	5.2638E-03	131.6	111.4	131.6	111.4	V-C	7116.	-13.50	40.00
1.000	1.000	151.4	0.000	0.000	0.000	0.000	Ala_161_6590_L_0			0.0000
0.0000	0.0000	0.0000	0.0000	0.0000						
70 D	30.49	4.9795E-03	133.5	110.5	133.5	110.5	V-C	7116.	-13.70	42.00
1.000	1.000	152.5	0.000	0.000	0.000	0.000	Ala_161_6590_L_0			0.0000
0.0000	0.0000	0.0000	0.0000	0.0000						
71 D	30.71	4.6992E-03	135.4	109.5	135.4	109.5	V-C	7116.	-13.90	44.00
1.000	1.000	153.5	0.000	0.000	0.000	0.000	Ala_161_6590_L_0			0.0000
0.0000	0.0000	0.0000	0.0000	0.0000						
72 D	30.93	4.4227E-03	137.3	108.6	137.3	108.6	V-C	7116.	-14.10	46.00
1.000	1.000	154.6	0.000	0.000	0.000	0.000	Ala_161_6590_L_0			0.0000
0.0000	0.0000	0.0000	0.0000	0.0000						
73 D	31.15	4.1497E-03	139.2	107.8	139.2	107.8	V-C	7116.	-14.30	48.00
1.000	1.000	155.8	0.000	0.000	0.000	0.000	Ala_161_6590_L_0			0.0000
0.0000	0.0000	0.0000	0.0000	0.0000						
74 D	31.38	3.8802E-03	141.1	106.9	141.1	106.9	V-C	7116.	-14.50	50.00
1.000	1.000	156.9	0.000	0.000	0.000	0.000	Ala_161_6590_L_0			0.0000
0.0000	0.0000	0.0000	0.0000	0.0000						
75 D	31.62	3.6139E-03	143.0	106.1	143.0	106.1	V-C	7116.	-14.70	52.00
1.000	1.000	158.1	0.000	0.000	0.000	0.000	Ala_161_6590_L_0			0.0000
0.0000	0.0000	0.0000	0.0000	0.0000						
76 D	31.86	3.3507E-03	144.9	105.3	144.9	105.3	V-C	7116.	-14.90	54.00
1.000	1.000	159.3	0.000	0.000	0.000	0.000	Ala_161_6590_L_0			0.0000
0.0000	0.0000	0.0000	0.0000	0.0000						
77 D	32.10	3.0903E-03	146.8	104.5	146.8	104.5	V-C	7116.	-15.10	56.00
1.000	1.000	160.5	0.000	0.000	0.000	0.000	Ala_161_6590_L_0			0.0000
0.0000	0.0000	0.0000	0.0000	0.0000						
78 D	32.35	2.8326E-03	148.7	103.7	148.7	103.7	V-C	7116.	-15.30	58.00
1.000	1.000	161.7	0.000	0.000	0.000	0.000	Ala_161_6590_L_0			0.0000
0.0000	0.0000	0.0000	0.0000	0.0000						
79 D	32.60	2.5774E-03	150.6	103.0	150.6	103.0	V-C	7116.	-15.50	60.00
1.000	1.000	163.0	0.000	0.000	0.000	0.000	Ala_161_6590_L_0			0.0000
0.0000	0.0000	0.0000	0.0000	0.0000						
80 D	32.85	2.3245E-03	152.5	102.2	152.5	102.2	V-C	7116.	-15.70	62.00
1.000	1.000	164.2	0.000	0.000	0.000	0.000	Ala_161_6590_L_0			0.0000
0.0000	0.0000	0.0000	0.0000	0.0000						
81 D	33.11	2.0738E-03	154.4	101.5	154.4	101.5	V-C	7116.	-15.90	64.00
1.000	1.000	165.5	0.000	0.000	0.000	0.000	Ala_161_6590_L_0			0.0000
0.0000	0.0000	0.0000	0.0000	0.0000						
82 D	45.33	1.8251E-03	156.4	160.7	156.4	160.7	V-C	3.9885E+04	-16.10	66.00
1.000	1.000	226.7	0.000	0.000	10.25	10.25	Salt_21271_21259_L_0			0.0000
0.0000	0.0000	0.0000	0.0000	0.0000						
83 D	43.99	1.5781E-03	158.4	151.9	158.4	151.9	V-C	3.9885E+04	-16.30	68.00
1.000	1.000	219.9	0.000	0.000	10.25	10.25	Salt_21271_21259_L_0			0.0000
0.0000	0.0000	0.0000	0.0000	0.0000						
84 D	42.66	1.3328E-03	160.4	143.3	160.4	143.3	V-C	3.9885E+04	-16.50	70.00
1.000	1.000	213.3	0.000	0.000	10.25	10.25	Salt_21271_21259_L_0			0.0000
0.0000	0.0000	0.0000	0.0000	0.0000						
85 D	41.29	1.0889E-03	162.4	134.4	162.4	134.8	UL-RL	1.1966E+05	-16.70	72.00
1.000	1.000	206.4	0.000	0.000	10.25	10.25	Salt_21271_21259_L_0			0.0000
0.0000	0.0000	0.0000	0.0000	0.0000						
86 D	39.36	8.4627E-04	164.4	122.8	164.4	127.8	UL-RL	1.1966E+05	-16.90	74.00
1.000	1.000	196.8	0.000	0.000	10.25	10.25	Salt_21271_21259_L_0			0.0000
0.0000	0.0000	0.0000	0.0000	0.0000						
87 D	35.33	6.0459E-04	166.4	100.6	166.4	126.1	UL-RL	1.1966E+05	-17.10	76.00
1.000	1.000	176.6	0.000	0.000	10.25	10.25	Salt_21271_21259_L_0			0.0000
0.0000	0.0000	0.0000	0.0000	0.0000						
88 D	31.31	3.6365E-04	168.4	78.55	168.4	124.4	UL-RL	1.1966E+05	-17.30	78.00
1.000	1.000	156.6	0.000	0.000	10.25	10.25	Salt_21271_21259_L_0			0.0000
0.0000	0.0000	0.0000	0.0000	0.0000						
89 D	27.31	1.2325E-04	170.4	56.53	170.4	122.7	UL-RL	1.1966E+05	-17.50	80.00
1.000	1.000	136.5	0.000	0.000	10.25	10.25	Salt_21271_21259_L_0			0.0000
0.0000	0.0000	0.0000	0.0000	0.0000						
90 D	28.17	-1.1682E-04	172.4	58.83	172.4	111.7	UL-RL	7.3129E+04	-17.70	82.00
1.000	1.000	140.8	0.000	0.000	56.37	56.37	Sch_21272_21260_L_0			0.0000
0.0000	0.0000	0.0000	0.0000	0.0000						
91 D	26.04	-3.5670E-04	175.0	46.18	175.0	111.4	UL-RL	7.3129E+04	-17.90	84.00
1.000	1.000	130.2	0.000	0.000	56.37	56.37	Sch_21272_21260_L_0			0.0000

0.0000	0.0000	0.0000	0.0000	0.0000						
92 D	17.93	-5.9649E-04	177.6	33.54	177.6	111.2	UL-RL 7.3129E+04	-18.10	86.00	
1.000	1.000	119.5	0.000	0.000	56.37	56.37	Sch_21272_21260_L_0		0.0000	
0.0000	0.0000	0.0000	0.0000	0.0000						
93 D	5.711	-7.1639E-04	178.9	27.22	178.9	111.0	UL-RL 7.3129E+04	-18.20	87.00	
1.000	1.000	114.2	0.000	0.000	56.37	56.37	Sch_21272_21260_L_0		0.0000	
0.0000	0.0000	0.0000	0.0000	0.0000						

1.000	1.000	33.45	0.000	0.000	0.000	0.000	rilevato_6589_8_L_0	0.0000	
0.0000	0.0000	0.0000	0.0000	0.0000	0.0000				
23 D	6.885	-2.4109E-02	146.5	34.43	146.5	61.77	ACTIVE 0.000	-4.400	0.000
1.000	1.000	34.43	0.000	0.000	0.000	0.000	rilevato_6589_8_L_0	0.0000	
0.0000	0.0000	0.0000	0.0000	0.0000	0.0000				
24 D	5.310	-2.3578E-02	150.6	35.40	150.6	63.47	ACTIVE 0.000	-4.600	0.000
1.000	1.000	35.40	0.000	0.000	0.000	0.000	rilevato_6589_8_L_0	0.0000	
0.0000	0.0000	0.0000	0.0000	0.0000	0.0000				
25 D	8.224	-2.3315E-02	152.7	54.82	152.7	85.82	ACTIVE 0.000	-4.700	0.000
1.000	1.000	54.82	0.000	0.000	0.000	0.000	Ala_161_6590_L_0	0.0000	
0.0000	0.0000	0.0000	0.0000	0.0000	0.0000				
26 D	11.26	-2.2795E-02	156.8	56.28	156.8	88.10	ACTIVE 0.000	-4.900	0.000
1.000	1.000	56.28	0.000	0.000	0.000	0.000	Ala_161_6590_L_0	0.0000	
0.0000	0.0000	0.0000	0.0000	0.0000	0.0000				
27 D	11.55	-2.2276E-02	160.8	57.73	160.8	90.38	ACTIVE 0.000	-5.100	0.000
1.000	1.000	57.73	0.000	0.000	0.000	0.000	Ala_161_6590_L_0	0.0000	
0.0000	0.0000	0.0000	0.0000	0.0000	0.0000				
28 D	11.84	-2.1761E-02	164.9	59.18	164.9	92.65	ACTIVE 0.000	-5.300	0.000
1.000	1.000	59.18	0.000	0.000	0.000	0.000	Ala_161_6590_L_0	0.0000	
0.0000	0.0000	0.0000	0.0000	0.0000	0.0000				
29 D	12.13	-2.1248E-02	168.9	60.64	168.9	94.93	ACTIVE 0.000	-5.500	0.000
1.000	1.000	60.64	0.000	0.000	0.000	0.000	Ala_161_6590_L_0	0.0000	
0.0000	0.0000	0.0000	0.0000	0.0000	0.0000				
30 D	12.42	-2.0740E-02	173.0	62.09	173.0	97.20	ACTIVE 0.000	-5.700	0.000
1.000	1.000	62.09	0.000	0.000	0.000	0.000	Ala_161_6590_L_0	0.0000	
0.0000	0.0000	0.0000	0.0000	0.0000	0.0000				
31 D	12.71	-2.0234E-02	177.0	63.54	177.0	99.48	ACTIVE 0.000	-5.900	0.000
1.000	1.000	63.54	0.000	0.000	0.000	0.000	Ala_161_6590_L_0	0.0000	
0.0000	0.0000	0.0000	0.0000	0.0000	0.0000				
32 D	13.00	-1.9733E-02	181.1	65.00	181.1	101.8	ACTIVE 0.000	-6.100	0.000
1.000	1.000	65.00	0.000	0.000	0.000	0.000	Ala_161_6590_L_0	0.0000	
0.0000	0.0000	0.0000	0.0000	0.0000	0.0000				
33 D	13.29	-1.9236E-02	185.1	66.45	185.1	104.0	ACTIVE 0.000	-6.300	0.000
1.000	1.000	66.45	0.000	0.000	0.000	0.000	Ala_161_6590_L_0	0.0000	
0.0000	0.0000	0.0000	0.0000	0.0000	0.0000				
34 D	13.58	-1.8743E-02	189.1	67.90	189.1	106.3	ACTIVE 0.000	-6.500	0.000
1.000	1.000	67.90	0.000	0.000	0.000	0.000	Ala_161_6590_L_0	0.0000	
0.0000	0.0000	0.0000	0.0000	0.0000	0.0000				
35 D	13.87	-1.8255E-02	193.2	69.35	193.2	108.6	ACTIVE 0.000	-6.700	0.000
1.000	1.000	69.35	0.000	0.000	0.000	0.000	Ala_161_6590_L_0	0.0000	
0.0000	0.0000	0.0000	0.0000	0.0000	0.0000				
36 D	14.18	-1.7772E-02	197.6	70.92	197.6	111.0	ACTIVE 0.000	-6.900	0.000
1.000	1.000	70.92	0.000	0.000	0.000	0.000	Ala_161_6590_L_0	0.0000	
0.0000	0.0000	0.0000	0.0000	0.0000	0.0000				
37 D	14.53	-1.7295E-02	202.3	72.63	202.3	113.7	ACTIVE 0.000	-7.100	0.000
1.000	1.000	72.63	0.000	0.000	0.000	0.000	Ala_161_6590_L_0	0.0000	
0.0000	0.0000	0.0000	0.0000	0.0000	0.0000				
38 D	14.84	-1.6823E-02	206.7	74.20	206.7	116.2	ACTIVE 0.000	-7.300	0.000
1.000	1.000	74.20	0.000	0.000	0.000	0.000	Ala_161_6590_L_0	0.0000	
0.0000	0.0000	0.0000	0.0000	0.0000	0.0000				
39 D	15.17	-1.6356E-02	211.2	75.84	211.2	118.7	ACTIVE 0.000	-7.500	0.000
1.000	1.000	75.84	0.000	0.000	0.000	0.000	Ala_161_6590_L_0	0.0000	
0.0000	0.0000	0.0000	0.0000	0.0000	0.0000				
40 D	15.48	-1.5896E-02	215.6	77.42	215.6	121.2	ACTIVE 0.000	-7.700	0.000
1.000	1.000	77.42	0.000	0.000	0.000	0.000	Ala_161_6590_L_0	0.0000	
0.0000	0.0000	0.0000	0.0000	0.0000	0.0000				
41 D	15.80	-1.5441E-02	220.0	78.99	220.0	123.7	ACTIVE 0.000	-7.900	0.000
1.000	1.000	78.99	0.000	0.000	0.000	0.000	Ala_161_6590_L_0	0.0000	
0.0000	0.0000	0.0000	0.0000	0.0000	0.0000				
42 D	16.11	-1.4993E-02	224.4	80.57	224.4	126.1	ACTIVE 0.000	-8.100	0.000
1.000	1.000	80.57	0.000	0.000	0.000	0.000	Ala_161_6590_L_0	0.0000	
0.0000	0.0000	0.0000	0.0000	0.0000	0.0000				
43 D	16.42	-1.4551E-02	228.7	82.10	228.7	128.5	ACTIVE 0.000	-8.300	0.000
1.000	1.000	82.10	0.000	0.000	0.000	0.000	Ala_161_6590_L_0	0.0000	
0.0000	0.0000	0.0000	0.0000	0.0000	0.0000				
44 D	16.73	-1.4116E-02	233.1	83.67	233.1	131.0	ACTIVE 0.000	-8.500	0.000
1.000	1.000	83.67	0.000	0.000	0.000	0.000	Ala_161_6590_L_0	0.0000	
0.0000	0.0000	0.0000	0.0000	0.0000	0.0000				
45 D	17.03	-1.3687E-02	237.2	85.16	237.2	133.3	ACTIVE 0.000	-8.700	0.000
1.000	1.000	85.16	0.000	0.000	0.000	0.000	Ala_161_6590_L_0	0.0000	
0.0000	0.0000	0.0000	0.0000	0.0000	0.0000				
46 D	17.35	-1.3264E-02	241.6	86.73	241.6	135.8	ACTIVE 0.000	-8.900	0.000
1.000	1.000	86.73	0.000	0.000	0.000	0.000	Ala_161_6590_L_0	0.0000	
0.0000	0.0000	0.0000	0.0000	0.0000	0.0000				
47 D	17.64	-1.2848E-02	245.7	88.20	245.7	138.1	ACTIVE 0.000	-9.100	0.000
1.000	1.000	88.20	0.000	0.000	0.000	0.000	Ala_161_6590_L_0	0.0000	
0.0000	0.0000	0.0000	0.0000	0.0000	0.0000				
48 D	17.95	-1.2439E-02	250.0	89.75	250.0	140.5	ACTIVE 0.000	-9.300	0.000
1.000	1.000	89.75	0.000	0.000	0.000	0.000	Ala_161_6590_L_0	0.0000	
0.0000	0.0000	0.0000	0.0000	0.0000	0.0000				
49 D	18.24	-1.2036E-02	254.1	91.20	254.1	142.8	ACTIVE 0.000	-9.500	0.000
1.000	1.000	91.20	0.000	0.000	0.000	0.000	Ala_161_6590_L_0	0.0000	
0.0000	0.0000	0.0000	0.0000	0.0000	0.0000				
50 D	18.80	-1.1640E-02	256.3	92.02	256.3	144.1	ACTIVE 0.000	-9.700	2.000
1.000	1.000	94.02	0.000	0.000	0.000	0.000	Ala_161_6590_L_0	0.0000	
0.0000	0.0000	0.0000	0.0000	0.0000	0.0000				
51 D	19.35	-1.1251E-02	258.3	92.74	258.3	145.2	ACTIVE 0.000	-9.900	4.000
1.000	1.000	96.74	0.000	0.000	0.000	0.000	Ala_161_6590_L_0	0.0000	
0.0000	0.0000	0.0000	0.0000	0.0000	0.0000				
52 D	19.91	-1.0868E-02	260.6	93.54	260.6	146.4	ACTIVE 0.000	-10.10	6.000
1.000	1.000	99.54	0.000	0.000	0.000	0.000	Ala_161_6590_L_0	0.0000	
0.0000	0.0000	0.0000	0.0000	0.0000	0.0000				

53 D	20.45	-1.0491E-02	262.5	94.25	262.5	147.5	ACTIVE	0.000	-10.30	8.000
1.000	1.000	102.2	0.000	0.000	0.000	0.000	Ala_161_6590_L_0			0.0000
0.0000	0.0000	0.0000	0.0000	0.0000	0.0000	0.0000				
54 D	21.00	-1.0121E-02	264.7	95.02	264.7	148.7	ACTIVE	0.000	-10.50	10.000
1.000	1.000	105.0	0.000	0.000	0.000	0.000	Ala_161_6590_L_0			0.0000
0.0000	0.0000	0.0000	0.0000	0.0000	0.0000	0.0000				
55 D	21.55	-9.7576E-03	266.7	95.73	266.7	149.9	ACTIVE	0.000	-10.70	12.00
1.000	1.000	107.7	0.000	0.000	0.000	0.000	Ala_161_6590_L_0			0.0000
0.0000	0.0000	0.0000	0.0000	0.0000	0.0000	0.0000				
56 D	22.10	-9.4001E-03	268.7	96.48	268.7	151.0	ACTIVE	0.000	-10.90	14.00
1.000	1.000	110.5	0.000	0.000	0.000	0.000	Ala_161_6590_L_0			0.0000
0.0000	0.0000	0.0000	0.0000	0.0000	0.0000	0.0000				
57 D	22.64	-9.0488E-03	270.7	97.19	270.7	152.1	ACTIVE	0.000	-11.10	16.00
1.000	1.000	113.2	0.000	0.000	0.000	0.000	Ala_161_6590_L_0			0.0000
0.0000	0.0000	0.0000	0.0000	0.0000	0.0000	0.0000				
58 D	23.18	-8.7035E-03	272.7	97.91	272.7	153.3	ACTIVE	0.000	-11.30	18.00
1.000	1.000	115.9	0.000	0.000	0.000	0.000	Ala_161_6590_L_0			0.0000
0.0000	0.0000	0.0000	0.0000	0.0000	0.0000	0.0000				
59 D	23.73	-8.3642E-03	274.7	98.63	274.7	154.4	ACTIVE	0.000	-11.50	20.00
1.000	1.000	118.6	0.000	0.000	0.000	0.000	Ala_161_6590_L_0			0.0000
0.0000	0.0000	0.0000	0.0000	0.0000	0.0000	0.0000				
60 D	24.27	-8.0306E-03	276.7	99.33	276.7	155.5	ACTIVE	0.000	-11.70	22.00
1.000	1.000	121.3	0.000	0.000	0.000	0.000	Ala_161_6590_L_0			0.0000
0.0000	0.0000	0.0000	0.0000	0.0000	0.0000	0.0000				
61 D	24.81	-7.7027E-03	278.7	100.0	278.7	156.6	ACTIVE	0.000	-11.90	24.00
1.000	1.000	124.0	0.000	0.000	0.000	0.000	Ala_161_6590_L_0			0.0000
0.0000	0.0000	0.0000	0.0000	0.0000	0.0000	0.0000				
62 D	25.35	-7.3802E-03	280.6	100.7	280.6	157.7	ACTIVE	0.000	-12.10	26.00
1.000	1.000	126.7	0.000	0.000	0.000	0.000	Ala_161_6590_L_0			0.0000
0.0000	0.0000	0.0000	0.0000	0.0000	0.0000	0.0000				
63 D	25.89	-7.0631E-03	282.6	101.5	282.6	158.8	ACTIVE	0.000	-12.30	28.00
1.000	1.000	129.5	0.000	0.000	0.000	0.000	Ala_161_6590_L_0			0.0000
0.0000	0.0000	0.0000	0.0000	0.0000	0.0000	0.0000				
64 D	26.43	-6.7513E-03	284.5	102.1	284.5	159.9	ACTIVE	0.000	-12.50	30.00
1.000	1.000	132.1	0.000	0.000	0.000	0.000	Ala_161_6590_L_0			0.0000
0.0000	0.0000	0.0000	0.0000	0.0000	0.0000	0.0000				
65 D	26.97	-6.4444E-03	286.5	102.8	286.5	161.0	ACTIVE	0.000	-12.70	32.00
1.000	1.000	134.8	0.000	0.000	0.000	0.000	Ala_161_6590_L_0			0.0000
0.0000	0.0000	0.0000	0.0000	0.0000	0.0000	0.0000				
66 D	27.50	-6.1424E-03	288.3	103.5	288.3	162.0	ACTIVE	0.000	-12.90	34.00
1.000	1.000	137.5	0.000	0.000	0.000	0.000	Ala_161_6590_L_0			0.0000
0.0000	0.0000	0.0000	0.0000	0.0000	0.0000	0.0000				
67 D	28.04	-5.8451E-03	290.3	104.2	290.3	163.1	ACTIVE	0.000	-13.10	36.00
1.000	1.000	140.2	0.000	0.000	0.000	0.000	Ala_161_6590_L_0			0.0000
0.0000	0.0000	0.0000	0.0000	0.0000	0.0000	0.0000				
68 D	28.57	-5.5523E-03	292.1	104.9	292.1	164.2	ACTIVE	0.000	-13.30	38.00
1.000	1.000	142.9	0.000	0.000	0.000	0.000	Ala_161_6590_L_0			0.0000
0.0000	0.0000	0.0000	0.0000	0.0000	0.0000	0.0000				
69 D	29.10	-5.2638E-03	293.9	105.5	293.9	165.2	ACTIVE	0.000	-13.50	40.00
1.000	1.000	145.5	0.000	0.000	0.000	0.000	Ala_161_6590_L_0			0.0000
0.0000	0.0000	0.0000	0.0000	0.0000	0.0000	0.0000				
70 D	29.63	-4.9795E-03	295.7	106.2	295.7	166.2	ACTIVE	0.000	-13.70	42.00
1.000	1.000	148.2	0.000	0.000	0.000	0.000	Ala_161_6590_L_0			0.0000
0.0000	0.0000	0.0000	0.0000	0.0000	0.0000	0.0000				
71 D	30.16	-4.6992E-03	297.5	106.8	297.5	167.2	ACTIVE	0.000	-13.90	44.00
1.000	1.000	150.8	0.000	0.000	0.000	0.000	Ala_161_6590_L_0			0.0000
0.0000	0.0000	0.0000	0.0000	0.0000	0.0000	0.0000				
72 D	30.69	-4.4227E-03	299.3	107.5	299.3	168.2	ACTIVE	0.000	-14.10	46.00
1.000	1.000	153.5	0.000	0.000	0.000	0.000	Ala_161_6590_L_0			0.0000
0.0000	0.0000	0.0000	0.0000	0.0000	0.0000	0.0000				
73 D	31.22	-4.1497E-03	301.1	108.1	301.1	169.2	ACTIVE	0.000	-14.30	48.00
1.000	1.000	156.1	0.000	0.000	0.000	0.000	Ala_161_6590_L_0			0.0000
0.0000	0.0000	0.0000	0.0000	0.0000	0.0000	0.0000				
74 D	31.75	-3.8802E-03	302.9	108.8	302.9	170.2	ACTIVE	0.000	-14.50	50.00
1.000	1.000	158.8	0.000	0.000	0.000	0.000	Ala_161_6590_L_0			0.0000
0.0000	0.0000	0.0000	0.0000	0.0000	0.0000	0.0000				
75 D	32.28	-3.6139E-03	304.7	109.4	304.7	171.3	ACTIVE	0.000	-14.70	52.00
1.000	1.000	161.4	0.000	0.000	0.000	0.000	Ala_161_6590_L_0			0.0000
0.0000	0.0000	0.0000	0.0000	0.0000	0.0000	0.0000				
76 D	32.81	-3.3507E-03	306.5	110.1	306.5	172.3	ACTIVE	0.000	-14.90	54.00
1.000	1.000	164.1	0.000	0.000	0.000	0.000	Ala_161_6590_L_0			0.0000
0.0000	0.0000	0.0000	0.0000	0.0000	0.0000	0.0000				
77 D	33.34	-3.0903E-03	308.4	110.7	308.4	173.3	ACTIVE	0.000	-15.10	56.00
1.000	1.000	166.7	0.000	0.000	0.000	0.000	Ala_161_6590_L_0			0.0000
0.0000	0.0000	0.0000	0.0000	0.0000	0.0000	0.0000				
78 D	33.87	-2.8326E-03	310.2	111.4	310.2	174.3	ACTIVE	0.000	-15.30	58.00
1.000	1.000	169.4	0.000	0.000	0.000	0.000	Ala_161_6590_L_0			0.0000
0.0000	0.0000	0.0000	0.0000	0.0000	0.0000	0.0000				
79 D	34.40	-2.5774E-03	312.0	112.0	312.0	175.3	ACTIVE	0.000	-15.50	60.00
1.000	1.000	172.0	0.000	0.000	0.000	0.000	Ala_161_6590_L_0			0.0000
0.0000	0.0000	0.0000	0.0000	0.0000	0.0000	0.0000				
80 D	35.44	-2.3245E-03	313.8	115.2	313.8	176.4	UL-RL	2.6301E+04	-15.70	62.00
1.000	1.000	177.2	0.000	0.000	0.000	0.000	Ala_161_6590_L_0			0.0000
0.0000	0.0000	0.0000	0.0000	0.0000	0.0000	0.0000				
81 D	37.37	-2.0738E-03	315.6	122.8	315.6	177.4	UL-RL	2.6301E+04	-15.90	64.00
1.000	1.000	186.8	0.000	0.000	0.000	0.000	Ala_161_6590_L_0			0.0000
0.0000	0.0000	0.0000	0.0000	0.0000	0.0000	0.0000				
82 D	32.70	-1.8251E-03	317.5	97.49	317.5	178.4	ACTIVE	0.000	-16.10	66.00
1.000	1.000	163.5	0.000	0.000	10.00	10.00	Salt_21271_21259_L_0			0.0000
0.0000	0.0000	0.0000	0.0000	0.0000	0.0000	0.0000				
83 D	33.23	-1.5781E-03	319.4	98.15	319.4	179.5	ACTIVE	0.000	-16.30	68.00
1.000	1.000	166.1	0.000	0.000	10.00	10.00	Salt_21271_21259_L_0			0.0000

0.0000	0.0000	0.0000	0.0000	0.0000						
84 D	33.76	-1.3328E-03	321.3	98.81	321.3	180.6	ACTIVE	0.000	-16.50	70.00
1.000	1.000	168.8	0.000	0.000	10.00	10.00	Salt_21271_21259_L_0			0.0000
0.0000	0.0000	0.0000	0.0000	0.0000						
85 D	34.39	-1.0889E-03	323.3	99.95	323.3	181.7	UL-RL	1.5322E+05	-16.70	72.00
1.000	1.000	171.9	0.000	0.000	10.00	10.00	Salt_21271_21259_L_0			0.0000
0.0000	0.0000	0.0000	0.0000	0.0000						
86 D	36.10	-8.4627E-04	325.2	106.5	325.2	182.8	UL-RL	1.5322E+05	-16.90	74.00
1.000	1.000	180.5	0.000	0.000	10.00	10.00	Salt_21271_21259_L_0			0.0000
0.0000	0.0000	0.0000	0.0000	0.0000						
87 D	41.88	-6.0459E-04	327.1	133.4	327.1	183.8	UL-RL	1.5322E+05	-17.10	76.00
1.000	1.000	209.4	0.000	0.000	10.00	10.00	Salt_21271_21259_L_0			0.0000
0.0000	0.0000	0.0000	0.0000	0.0000						
88 D	47.64	-3.6365E-04	329.0	160.2	329.0	184.9	UL-RL	1.5322E+05	-17.30	78.00
1.000	1.000	238.2	0.000	0.000	10.00	10.00	Salt_21271_21259_L_0			0.0000
0.0000	0.0000	0.0000	0.0000	0.0000						
89 D	52.33	-1.2325E-04	331.0	181.7	331.0	188.6	UL-RL	1.5322E+05	-17.50	80.00
1.000	1.000	261.7	0.000	0.000	10.00	10.00	Salt_21271_21259_L_0			0.0000
0.0000	0.0000	0.0000	0.0000	0.0000						
90 D	54.67	1.1682E-04	333.0	191.4	333.0	191.7	UL-RL	1.1423E+05	-17.70	82.00
1.000	1.000	273.4	0.000	0.000	55.00	55.00	Sch_21272_21260_L_0			0.0000
0.0000	0.0000	0.0000	0.0000	0.0000						
91 D	57.18	3.5670E-04	335.5	201.9	335.5	202.2	UL-RL	1.1423E+05	-17.90	84.00
1.000	1.000	285.9	0.000	0.000	55.00	55.00	Sch_21272_21260_L_0			0.0000
0.0000	0.0000	0.0000	0.0000	0.0000						
92 D	44.77	5.9649E-04	338.0	212.5	338.0	212.8	UL-RL	1.1423E+05	-18.10	86.00
1.000	1.000	298.5	0.000	0.000	55.00	55.00	Sch_21272_21260_L_0			0.0000
0.0000	0.0000	0.0000	0.0000	0.0000						
93 D	15.24	7.1639E-04	339.3	217.8	339.3	218.1	UL-RL	1.1423E+05	-18.20	87.00
1.000	1.000	304.8	0.000	0.000	55.00	55.00	Sch_21272_21260_L_0			0.0000
0.0000	0.0000	0.0000	0.0000	0.0000						

```

+-----+
|          PARATIEPLUS(TM)  NLS ENGINE RELEASE  2022.0.0  FULL VERSION  *Build date:Sep 13, 2021*          |
|                                                                                                                                            |
|                                                                                               ParatiePlus |
|                                                                                               Exe Time :28 January 2022  11:11:16 |
+-----+

```

New Project

S T R E S S R E S U L T S F O R G R O U P N O . 3

```

pali15001.7_33 :
ELEMENT TYPE   2 NO.OF ELEMENTS. IN THIS GROUP   68
C U R R E N T   T I M E   I S   4.0000 SUBINCREMENT 00001/00001

```

WALL2D ELEMENT

EL	TA	TB	MA	MB
1	-145.76	145.76	285.87	-315.02
2	-154.80	154.80	315.02	-345.98
3	-161.91	161.91	345.98	-378.36
4	-167.11	167.11	378.36	-411.78
5	-170.37	170.37	411.78	-445.86
6	-171.71	171.71	445.86	-480.20
7	-171.13	171.13	480.20	-514.43
8	-168.63	168.63	514.43	-548.15
9	-164.19	164.19	548.15	-580.99
10	-157.84	157.84	580.99	-612.56
11	-149.56	149.56	612.56	-642.47
12	-139.37	139.37	642.47	-670.34
13	-127.32	127.32	670.34	-695.81
14	-113.36	113.36	695.81	-718.48
15	-99.111	99.111	718.48	-738.30
16	-85.395	85.395	738.30	-755.38
17	-72.203	72.203	755.38	-769.82
18	-59.527	59.527	769.82	-781.73
19	-47.347	47.347	781.73	-791.20
20	-35.663	35.663	791.20	-798.33
21	-24.448	24.448	798.33	-803.22
22	-13.712	13.712	803.22	-805.96
23	-3.4211	3.4211	805.96	-806.64
24	6.4138	-6.4138	806.64	-805.36
25	15.824	-15.824	805.36	-802.20
26	24.720	-24.720	802.20	-797.25
27	33.132	-33.132	797.25	-790.63
28	41.053	-41.053	790.63	-782.42
29	48.510	-48.510	782.42	-772.71
30	55.499	-55.499	772.71	-761.61
31	62.042	-62.042	761.61	-749.21
32	68.142	-68.142	749.21	-735.58
33	73.811	-73.811	735.58	-720.81
34	79.059	-79.059	720.81	-705.00
35	83.893	-83.893	705.00	-688.22
36	88.326	-88.326	688.22	-670.56
37	92.363	-92.363	670.56	-652.09
38	96.017	-96.017	652.09	-632.88
39	99.290	-99.290	632.88	-613.02
40	102.20	-102.20	613.02	-592.59
41	104.74	-104.74	592.59	-571.64
42	106.93	-106.93	571.64	-550.25
43	108.77	-108.77	550.25	-528.50
44	110.28	-110.28	528.50	-506.44
45	111.46	-111.46	506.44	-484.15
46	112.32	-112.32	484.15	-461.69
47	112.87	-112.87	461.69	-439.11
48	113.10	-113.10	439.11	-416.49
49	113.03	-113.03	416.49	-393.89
50	112.67	-112.67	393.89	-371.35
51	112.00	-112.00	371.35	-348.95
52	111.05	-111.05	348.95	-326.74
53	109.81	-109.81	326.74	-304.78
54	108.28	-108.28	304.78	-283.13
55	106.48	-106.48	283.13	-261.83
56	103.88	-103.88	261.83	-241.05
57	99.619	-99.619	241.05	-221.13
58	112.25	-112.25	221.13	-198.68
59	123.01	-123.01	198.68	-174.08
60	131.91	-131.91	174.08	-147.70
61	138.80	-138.80	147.70	-119.94
62	142.06	-142.06	119.94	-91.524
63	135.50	-135.50	91.524	-64.423
64	119.18	-119.18	64.423	-40.587
65	94.152	-94.152	40.587	-21.756
66	67.601	-67.601	21.756	-8.2358
67	36.410	-36.410	8.2358	-0.95374
68	9.5374	-9.5374	0.95374	1.47836E-10

```

+-----+
|          PARATIEPLUS(TM)  NLS ENGINE RELEASE  2022.0.0  FULL VERSION  *Build date:Sep 13, 2021*          |
|                                                                                                                                            |
|                                                                                               ParatiePlus                               |
|                                                                                               Exe Time :28 January 2022   11:11:16          |
+-----+

```

New Project

S T R E S S R E S U L T S F O R G R O U P N O . 4

```

muro71cm_4658 :
ELEMENT TYPE   2 NO.OF ELEMENTS. IN THIS GROUP   24
C U R R E N T   T I M E   I S   4.0000 SUBINCREMENT 00001/00001

```

WALL2D ELEMENT

EL	TA	TB	MA	MB
1	-1.8478	1.8478	9.83533E-10	-0.36956
2	-5.7314	5.7314	0.36956	-1.5158
3	-9.8031	9.8031	1.5158	-3.4765
4	-14.063	14.063	3.4765	-6.2891
5	-18.511	18.511	6.2891	-9.9913
6	-23.148	23.148	9.9913	-14.621
7	-27.974	27.974	14.621	-20.216
8	-32.989	32.989	20.216	-26.814
9	-38.194	38.194	26.814	-34.452
10	-43.589	43.589	34.452	-43.170
11	-49.175	49.175	43.170	-53.005
12	-54.951	54.951	53.005	-63.995
13	-60.919	60.919	63.995	-76.179
14	-67.078	67.078	76.179	-89.595
15	-73.430	73.430	89.595	-104.28
16	-79.975	79.975	104.28	-120.28
17	-86.712	86.712	120.28	-137.62
18	-93.643	93.643	137.62	-156.35
19	-100.77	100.77	156.35	-176.50
20	-108.09	108.09	176.50	-198.12
21	-115.60	115.60	198.12	-221.24
22	-123.31	123.31	221.24	-245.90
23	-131.21	131.21	245.90	-272.14
24	-137.28	137.28	272.14	-285.87

```
+-----+
|          PARATIEPLUS(TM)  NLS ENGINE RELEASE  2022.0.0  FULL VERSION  *Build date:Sep 13, 2021*          |
|                                                                                                                                            |
|                                                                                               ParatiePlus                               |
|                                                                                               Exe Time :28 January 2022   11:11:16           |
+-----+
```

F I N A L I N C R E M E N T A L A N A L Y S I S
S U M M A R Y

STEP		NO. OF ITERATIONS
1	CONVERGENCE :YES	2
2	CONVERGENCE :YES	2
3	CONVERGENCE :YES	6
4	CONVERGENCE :YES	4

END OF PROCESS FOR PROBLEM
New Project
NONLINEAR SOLUTION CPU TIME 0.10 [sec]
DATABASE CREATION CPU TIME..... 0.22 [sec]

8.3. Design Assumption : SLE (Rara/Frequente/Quasi Permanente) - File di Paratie - File di input (.d)

```
* PARATIE ANALYSIS FOR DESIGN SECTION:Base Design Section USING ASSUMPTION: SLE (Rara/Frequente/Quasi Permanente)
* Time:venerdi 28 gennaio 2022 11:11:16
* 1: Defining general settings
UNIT m kN
TITLE New Project
DELTA 0.2
option param itemax 40
option control contact lagrange

option control hinges 0 0.0001 0.001

* 2: Defining wall(s)
WALL LeftWall_32 0 -18.2 0 -1

* 3: Defining surfaces for wall(s)
SOIL 0_L LeftWall_32 -18.2 0 2 0
SOIL 0_R LeftWall_32 -18.2 0 1 180

* 4: Defining soil layers
*
* Soil Profile (rilevato_6589_8_L_0)
*
LDATA rilevato_6589_8_L_0 0 LeftWall_32
ATREST 0.426 0.5 1
WEIGHT 20 10 10
PERMEABILITY 1E-05
RESISTANCE 0 35 0 0 0
TZDATA LINEAR 0 0 0 0.5 0
KSCALE 0 0
YOUNG 50000 1.5E+05
ENDL
*
* Soil Profile (Ala_161_6590_L_0)
*
LDATA Ala_161_6590_L_0 -4.7 LeftWall_32
ATREST 0.562 0.5 1
WEIGHT 19.5 9.5 10
PERMEABILITY 1E-05
RESISTANCE 0 25 0 0 0
TZDATA LINEAR 0 0 0 0.5 0
KSCALE 0 0
YOUNG 35000 1.05E+05
ENDL
*
* Soil Profile (Salt_21271_21259_L_0)
*
LDATA Salt_21271_21259_L_0 -15.99 LeftWall_32
ATREST 0.562 0.5 1
WEIGHT 20 10 10
PERMEABILITY 1E-05
RESISTANCE 10 26 0 0 0
TZDATA LINEAR 0 0 0 0.5 0
KSCALE 0 0
YOUNG 2E+05 6E+05
ENDL
*
* Soil Profile (Sch_21272_21260_L_0)
*
LDATA Sch_21272_21260_L_0 -17.67 LeftWall_32
ATREST 0.562 0.5 1
WEIGHT 23 13 10
PERMEABILITY 1E-05
RESISTANCE 55 31 0 0 0
TZDATA LINEAR 0 0 0 0.5 0
KSCALE 0 0
YOUNG 1.35E+05 4.05E+05
ENDL

* 5: Defining structural materials
* Steel material: 110 Name=Fe360 E=206000200 kPa
MATERIAL Fe360_110 2.06E+08
* Concrete material: 108 Name=C32/40 E=33345800 kPa
MATERIAL C3240_108 3.3346E+07

* 6: Defining structural elements
* 6.1: Beams and combined Wall Elements
** rev 2021 and later
BEAM pali15001.7_33 LeftWall_32 -18.2 -4.7 C3240_108 1.206 1.0395 0.14618 25.987 00 00 0
** rev 2021 and later
BEAM muro71cm_4658 LeftWall_32 -4.7 0 C3240_108 0.74889 0.71 0.035 17.75 00 00 0

* 6.2: Supports
```

* 6.3: Strips

STRIP LeftWall_32 3 4 6.7 0.37824 0 58.824 45
STRIP LeftWall_32 3 4 7.0782 0.37824 0 56.471 45
STRIP LeftWall_32 3 4 7.4565 0.37824 0 54.118 45
STRIP LeftWall_32 3 4 7.8347 0.37824 0 51.765 45
STRIP LeftWall_32 3 4 8.2129 0.37824 0 49.412 45
STRIP LeftWall_32 3 4 8.5912 0.37824 0 47.059 45
STRIP LeftWall_32 3 4 8.9694 0.37824 0 44.706 45
STRIP LeftWall_32 3 4 9.3476 0.37824 0 42.353 45
STRIP LeftWall_32 3 4 9.7259 0.37824 0 40 45
STRIP LeftWall_32 3 4 10.104 0.37824 0 37.647 45
STRIP LeftWall_32 3 4 10.482 0.37824 0 35.294 45
STRIP LeftWall_32 3 4 10.861 0.37824 0 32.941 45
STRIP LeftWall_32 3 4 11.239 0.37824 0 30.588 45
STRIP LeftWall_32 3 4 11.617 0.37824 0 28.235 45
STRIP LeftWall_32 3 4 11.995 0.37824 0 25.882 45
STRIP LeftWall_32 3 4 12.374 0.37824 0 23.529 45
STRIP LeftWall_32 3 4 12.752 0.37824 0 21.176 45

* 7: Defining Steps

STEP 0-Geostatica_31
CHANGE rilevato_6589_8_L_0 U-FRICT=35 LeftWall_32
CHANGE rilevato_6589_8_L_0 D-FRICT=35 LeftWall_32
CHANGE rilevato_6589_8_L_0 U-KA=0.235 LeftWall_32
CHANGE rilevato_6589_8_L_0 U-KP=5.879 LeftWall_32
CHANGE rilevato_6589_8_L_0 D-KA=0.235 LeftWall_32
CHANGE rilevato_6589_8_L_0 D-KP=5.879 LeftWall_32
CHANGE Ala_161_6590_L_0 U-FRICT=25 LeftWall_32
CHANGE Ala_161_6590_L_0 D-FRICT=25 LeftWall_32
CHANGE Ala_161_6590_L_0 U-KA=0.359 LeftWall_32
CHANGE Ala_161_6590_L_0 U-KP=3.222 LeftWall_32
CHANGE Ala_161_6590_L_0 D-KA=0.359 LeftWall_32
CHANGE Ala_161_6590_L_0 D-KP=3.222 LeftWall_32
CHANGE Salt_21271_21259_L_0 U-FRICT=26 LeftWall_32
CHANGE Salt_21271_21259_L_0 D-FRICT=26 LeftWall_32
CHANGE Salt_21271_21259_L_0 U-KA=0.344 LeftWall_32
CHANGE Salt_21271_21259_L_0 U-KP=3.404 LeftWall_32
CHANGE Salt_21271_21259_L_0 D-KA=0.344 LeftWall_32
CHANGE Salt_21271_21259_L_0 D-KP=3.404 LeftWall_32
CHANGE Sch_21272_21260_L_0 U-FRICT=31 LeftWall_32
CHANGE Sch_21272_21260_L_0 D-FRICT=31 LeftWall_32
CHANGE Sch_21272_21260_L_0 U-KA=0.279 LeftWall_32
CHANGE Sch_21272_21260_L_0 U-KP=4.555 LeftWall_32
CHANGE Sch_21272_21260_L_0 D-KA=0.279 LeftWall_32
CHANGE Sch_21272_21260_L_0 D-KP=4.555 LeftWall_32
CHANGE rilevato_6589_8_L_0 U-COHE=0 LeftWall_32
CHANGE rilevato_6589_8_L_0 U-ADHES=0 LeftWall_32
CHANGE rilevato_6589_8_L_0 D-COHE=0 LeftWall_32
CHANGE rilevato_6589_8_L_0 D-ADHES=0 LeftWall_32
CHANGE Ala_161_6590_L_0 U-COHE=0 LeftWall_32
CHANGE Ala_161_6590_L_0 U-ADHES=0 LeftWall_32
CHANGE Ala_161_6590_L_0 D-COHE=0 LeftWall_32
CHANGE Ala_161_6590_L_0 D-ADHES=0 LeftWall_32
CHANGE Salt_21271_21259_L_0 U-COHE=10 LeftWall_32
CHANGE Salt_21271_21259_L_0 U-ADHES=0 LeftWall_32
CHANGE Salt_21271_21259_L_0 D-COHE=10 LeftWall_32
CHANGE Salt_21271_21259_L_0 D-ADHES=0 LeftWall_32
CHANGE Sch_21272_21260_L_0 U-COHE=55 LeftWall_32
CHANGE Sch_21272_21260_L_0 U-ADHES=0 LeftWall_32
CHANGE Sch_21272_21260_L_0 D-COHE=55 LeftWall_32
CHANGE Sch_21272_21260_L_0 D-ADHES=0 LeftWall_32
SETWALL LeftWall_32
GEOM -4.7 -4.7
SURCHARGE 0 0 0 0
WATER -9.5 0 -18.2 0 0
ENDSTEP

STEP 1-paratia_39155
SETWALL LeftWall_32
GEOM -4.7 -4.7
SURCHARGE 0 0 0 0
WATER -9.5 0 -18.2 0 0
ADD pali15001.7_33
ENDSTEP

STEP 2-esercizio_90561
SETWALL LeftWall_32
GEOM 0 -4.7
SURCHARGE 57 0 0 -4.7
WATER -9.5 0 -18.2 0 0
ADD muro71cm_4658
ENDSTEP

STEP 3-sisma_44110
SETWALL LeftWall_32
GEOM 0 -4.7
SURCHARGE 57 0 0 0

WATER -9.5 0 -18.2 0 0
ENDSTEP

8.4. Design Assumption : SLE (Rara/Frequente/Quasi Permanente) - File di Paratie - File di output (.out)

```
+-----+  
|                PARATIEPLUS(TM)  NLS ENGINE RELEASE  2022.0.0  FULL VERSION  *Build date:Sep 13, 2021*  |  
|                |  
|                |                ParatiePlus  |  
|                |                Exe Time :28 January 2022  11:11:17  |  
+-----+
```

```
*****  
*                                                                 *  
*  PARATIE PLUS Non-Linear Spring Engine                          *  
*                                                                 *  
*      AN ELASTOPLASTIC FINITE ELEMENT PROGRAM                   *  
*      FOR FLEXIBLE EARTH-RETAINING STRUCTURES                    *  
*                                                                 *  
*      Written by CEAS s.r.l. (ITALY)                             *  
*      with the scientific supervision of                          *  
*      Roberto Nova - full professor SOIL MECHANICS              *  
*      at Politecnico di Milano (ITALY)                           *  
*                                                                 *  
*****  
*  RELEASE  2022.0.0  *Build date:Sep 13, 2021*                  *  
*                                                                 *  
*  CEAS S.R.L  VIALE  GIUSTINIANO 10                             *  
*              20129  M I L A N O  (ITALIA)                       *  
*  TEL.        +39 02 2020221                                     *  
*                                                                 *  
*  email      bruno.becci@ceas.it                                 *  
*  Web Page   www.ceas.it    www.paratieplus.com                 *  
*****
```

JOB : ParatiePlus

STARTING

```
ACCEPTED &lt;FILE,GENW &gt;  
ACCEPTED &lt;FILE,PLOTTER,BINARY &gt;  
ACCEPTED &lt;SOLVE TOTAL_STRESS &gt;  
ACCEPTED &lt;PARAM ITEMAX 40 &gt;  
ACCEPTED &lt;CONTROL CONTACT LAGRANGE &gt;  
ACCEPTED &lt;CONTROL HINGES 0 0.0001 0.001 &gt;
```

```
*****  
*                                                                 *  
*  WARNING : PORE PRESSURES ARE AUTOMATICALLY COMPUTED          *  
*            BY THE PROGRAM.                                       *  
*****
```

PRELIMINARY OPERATIONS CPU TIME 0.00 [sec]

```

+-----+
|          PARATIEPLUS(TM)  NLS ENGINE RELEASE  2022.0.0  FULL VERSION  *Build date:Sep 13, 2021*          |
|                                                                                                                                            |
|                                                                                               ParatiePlus                               |
|                                                                                               Exe Time :28 January 2022   11:11:17           |
+-----+

```

INPUT FILE HAS BEEN GENERATED BY WALGEN PROGRAM

New Project

```

NO. OF NODAL POINTS (NUMNP) ..... 93
NO. OF COORDINATES (NCOORD)..... 2
NO. OF NODE DOFS (NDOF)..... 2
NO. OF EQUATIONS (NEQ)..... 186
NO. OF CONSTRAINTS CARDS (NVINC)..... 0
NO. OF ELEMENT GROUPS (NEG)..... 4
NO. OF SOLUTION STEPS (NSTE)..... 4
NO. OF ELEMENT SETS ATTACHED TO SLAVE NODES ... 0
NO. OF RECORD FROM WALGEN ..... 132
NO. OF LONG NAMES (LASTNAME) ..... 19
LENGTH UNIT CHOICE ..... 3 (M )
FORCE UNIT CHOICE ..... 3 (KN )
MAX PORE PRESSURE TABLE LENGTH..... 1
MAX INELASTIC DISPL. TABLE LENGTH..... 0
NO. OF ELEMENT GROUPS REQUIRING ADD. SLIP DOF . 0

```

```

IDOFA (01) = 2 Y-DISPL.F
IDOFA (02) = 4 X-ROT. F

```

RELEVANT ITEMS UNITS

```

STRESSES                kPa
Y-DISPLACEMENTS        m
ROTATIONS                RADIANS
BEAM AND SLAB MOMENTS   kN*m/m
BEAM SHEAR FORCES       kN/m
ANCHOR FORCES           kN/m
AXIAL FORCES IN TRUSSES kN/m
AXIAL FORCES SPRINGS    kN/m
Y-REACTIONS             kN/m
X-MOMENT REACTIONS      kN*m/m
ETC.

```


-----+-----
| PARATIEPLUS(TM) NLS ENGINE RELEASE 2022.0.0 FULL VERSION *Build date:Sep 13, 2021* |
| | |
| ParatiePlus |
| Exe Time :28 January 2022 11:11:17 |
-----+-----

P R E P R O C E S S O R D A T A

N O . O F C O M M A N D S 132

1 : UNIT m kN
2 : TITLE New Project
3 : DELTA 0.2
4 : option param itemax 40
5 : option control contact lagrange
6 : option control hinges 0 0.0001 0.001
7 : WALL LeftWall_32 0 -18.2 0 -1
8 : SOIL 0_L LeftWall_32 -18.2 0 2 0
9 : SOIL 0_R LeftWall_32 -18.2 0 1 180
10 : LDATA rilevato_6589_8_L_0 0 LeftWall_32
11 : ATREST 0.426 0.5 1
12 : WEIGHT 20 10 10
13 : PERMEABILITY 1E-05
14 : RESISTANCE 0 35 0 0 0
15 : TZDATA LINEAR 0 0 0 0.5 0
16 : KSCALE 0 0
17 : YOUNG 50000 1.5E+05
18 : ENDL
19 : LDATA Ala_161_6590_L_0 -4.7 LeftWall_32
20 : ATREST 0.562 0.5 1
21 : WEIGHT 19.5 9.5 10
22 : PERMEABILITY 1E-05
23 : RESISTANCE 0 25 0 0 0
24 : TZDATA LINEAR 0 0 0 0.5 0
25 : KSCALE 0 0
26 : YOUNG 35000 1.05E+05
27 : ENDL
28 : LDATA Salt_21271_21259_L_0 -15.99 LeftWall_32
29 : ATREST 0.562 0.5 1
30 : WEIGHT 20 10 10
31 : PERMEABILITY 1E-05
32 : RESISTANCE 10 26 0 0 0
33 : TZDATA LINEAR 0 0 0 0.5 0
34 : KSCALE 0 0
35 : YOUNG 2E+05 6E+05
36 : ENDL
37 : LDATA Sch_21272_21260_L_0 -17.67 LeftWall_32
38 : ATREST 0.562 0.5 1
39 : WEIGHT 23 13 10
40 : PERMEABILITY 1E-05
41 : RESISTANCE 55 31 0 0 0
42 : TZDATA LINEAR 0 0 0 0.5 0
43 : KSCALE 0 0
44 : YOUNG 1.35E+05 4.05E+05
45 : ENDL
46 : MATERIAL Fe360_110 2.06E+08
47 : MATERIAL C3240_108 3.3346E+07
48 : BEAM pali15001.7_33 LeftWall_32 -18.2 -4.7 C3240_108 1.206 1.0395 0.14618 25.987 00 00 0
49 : BEAM muro71cm_4658 LeftWall_32 -4.7 0 C3240_108 0.74889 0.71 0.035 17.75 00 00 0
50 : STRIP LeftWall_32 3 4 6.7 0.37824 0 58.824 45
51 : STRIP LeftWall_32 3 4 7.0782 0.37824 0 56.471 45
52 : STRIP LeftWall_32 3 4 7.4565 0.37824 0 54.118 45
53 : STRIP LeftWall_32 3 4 7.8347 0.37824 0 51.765 45
54 : STRIP LeftWall_32 3 4 8.2129 0.37824 0 49.412 45
55 : STRIP LeftWall_32 3 4 8.5912 0.37824 0 47.059 45
56 : STRIP LeftWall_32 3 4 8.9694 0.37824 0 44.706 45
57 : STRIP LeftWall_32 3 4 9.3476 0.37824 0 42.353 45
58 : STRIP LeftWall_32 3 4 9.7259 0.37824 0 40 45
59 : STRIP LeftWall_32 3 4 10.104 0.37824 0 37.647 45
60 : STRIP LeftWall_32 3 4 10.482 0.37824 0 35.294 45
61 : STRIP LeftWall_32 3 4 10.861 0.37824 0 32.941 45
62 : STRIP LeftWall_32 3 4 11.239 0.37824 0 30.588 45
63 : STRIP LeftWall_32 3 4 11.617 0.37824 0 28.235 45
64 : STRIP LeftWall_32 3 4 11.995 0.37824 0 25.882 45
65 : STRIP LeftWall_32 3 4 12.374 0.37824 0 23.529 45
66 : STRIP LeftWall_32 3 4 12.752 0.37824 0 21.176 45
67 : STEP 0-Geostatica_31
68 : CHANGE rilevato_6589_8_L_0 U-FRICT=35 LeftWall_32
69 : CHANGE rilevato_6589_8_L_0 D-FRICT=35 LeftWall_32
70 : CHANGE rilevato_6589_8_L_0 U-KA=0.235 LeftWall_32
71 : CHANGE rilevato_6589_8_L_0 U-KP=5.879 LeftWall_32
72 : CHANGE rilevato_6589_8_L_0 D-KA=0.235 LeftWall_32
73 : CHANGE rilevato_6589_8_L_0 D-KP=5.879 LeftWall_32
74 : CHANGE Ala_161_6590_L_0 U-FRICT=25 LeftWall_32
75 : CHANGE Ala_161_6590_L_0 D-FRICT=25 LeftWall_32
76 : CHANGE Ala_161_6590_L_0 U-KA=0.359 LeftWall_32
77 : CHANGE Ala_161_6590_L_0 U-KP=3.222 LeftWall_32
78 : CHANGE Ala_161_6590_L_0 D-KA=0.359 LeftWall_32
79 : CHANGE Ala_161_6590_L_0 D-KP=3.222 LeftWall_32

80 : CHANGE Salt_21271_21259_L_0 U-FRICT=26 LeftWall_32
81 : CHANGE Salt_21271_21259_L_0 D-FRICT=26 LeftWall_32
82 : CHANGE Salt_21271_21259_L_0 U-KA=0.344 LeftWall_32
83 : CHANGE Salt_21271_21259_L_0 U-KP=3.404 LeftWall_32
84 : CHANGE Salt_21271_21259_L_0 D-KA=0.344 LeftWall_32
85 : CHANGE Salt_21271_21259_L_0 D-KP=3.404 LeftWall_32
86 : CHANGE Sch_21272_21260_L_0 U-FRICT=31 LeftWall_32
87 : CHANGE Sch_21272_21260_L_0 D-FRICT=31 LeftWall_32
88 : CHANGE Sch_21272_21260_L_0 U-KA=0.279 LeftWall_32
89 : CHANGE Sch_21272_21260_L_0 U-KP=4.555 LeftWall_32
90 : CHANGE Sch_21272_21260_L_0 D-KA=0.279 LeftWall_32
91 : CHANGE Sch_21272_21260_L_0 D-KP=4.555 LeftWall_32
92 : CHANGE rilevato_6589_8_L_0 U-COHE=0 LeftWall_32
93 : CHANGE rilevato_6589_8_L_0 U-ADHES=0 LeftWall_32
94 : CHANGE rilevato_6589_8_L_0 D-COHE=0 LeftWall_32
95 : CHANGE rilevato_6589_8_L_0 D-ADHES=0 LeftWall_32
96 : CHANGE Ala_161_6590_L_0 U-COHE=0 LeftWall_32
97 : CHANGE Ala_161_6590_L_0 U-ADHES=0 LeftWall_32
98 : CHANGE Ala_161_6590_L_0 D-COHE=0 LeftWall_32
99 : CHANGE Ala_161_6590_L_0 D-ADHES=0 LeftWall_32
100 : CHANGE Salt_21271_21259_L_0 U-COHE=10 LeftWall_32
101 : CHANGE Salt_21271_21259_L_0 U-ADHES=0 LeftWall_32
102 : CHANGE Salt_21271_21259_L_0 D-COHE=10 LeftWall_32
103 : CHANGE Salt_21271_21259_L_0 D-ADHES=0 LeftWall_32
104 : CHANGE Sch_21272_21260_L_0 U-COHE=55 LeftWall_32
105 : CHANGE Sch_21272_21260_L_0 U-ADHES=0 LeftWall_32
106 : CHANGE Sch_21272_21260_L_0 D-COHE=55 LeftWall_32
107 : CHANGE Sch_21272_21260_L_0 D-ADHES=0 LeftWall_32
108 : SETWALL LeftWall_32
109 : GEOM -4.7 -4.7
110 : SURCHARGE 0 0 0 0
111 : WATER -9.5 0 -18.2 0 0
112 : ENDSTEP
113 : STEP 1-paratia_39155
114 : SETWALL LeftWall_32
115 : GEOM -4.7 -4.7
116 : SURCHARGE 0 0 0 0
117 : WATER -9.5 0 -18.2 0 0
118 : ADD pali15001.7_33
119 : ENDSTEP
120 : STEP 2-esercizio_90561
121 : SETWALL LeftWall_32
122 : GEOM 0 -4.7
123 : SURCHARGE 57 0 0 -4.7
124 : WATER -9.5 0 -18.2 0 0
125 : ADD muro71cm_4658
126 : ENDSTEP
127 : STEP 3-sisma_44110
128 : SETWALL LeftWall_32
129 : GEOM 0 -4.7
130 : SURCHARGE 57 0 0 0
131 : WATER -9.5 0 -18.2 0 0
132 : ENDSTEP

```

+-----+
|          PARATIEPLUS(TM)  NLS ENGINE RELEASE 2022.0.0  FULL VERSION  *Build date:Sep 13, 2021*          |
|                                                                                                                                            |
|                                                                                               ParatiePlus                               |
|                                                                                               Exe Time :28 January 2022   11:11:17          |
+-----+

```

N O D A L P O I N T D A T A

NODE	Y-COORD	Z-COORD /	NODE	Y-COORD	Z-COORD /	NODE	Y-COORD	Z-COORD /	NODE	Y-COORD	Z-COORD /
1	0.0000	0.0000 /	2	0.0000	-0.20000 /	3	0.0000	-0.40000 /	4	0.0000	-0.60000 /
5	0.0000	-0.80000 /	6	0.0000	-1.0000 /	7	0.0000	-1.2000 /	8	0.0000	-1.4000 /
9	0.0000	-1.6000 /	10	0.0000	-1.8000 /	11	0.0000	-2.0000 /	12	0.0000	-2.2000 /
13	0.0000	-2.4000 /	14	0.0000	-2.6000 /	15	0.0000	-2.8000 /	16	0.0000	-3.0000 /
17	0.0000	-3.2000 /	18	0.0000	-3.4000 /	19	0.0000	-3.6000 /	20	0.0000	-3.8000 /
21	0.0000	-4.0000 /	22	0.0000	-4.2000 /	23	0.0000	-4.4000 /	24	0.0000	-4.6000 /
25	0.0000	-4.7000 /	26	0.0000	-4.9000 /	27	0.0000	-5.1000 /	28	0.0000	-5.3000 /
29	0.0000	-5.5000 /	30	0.0000	-5.7000 /	31	0.0000	-5.9000 /	32	0.0000	-6.1000 /
33	0.0000	-6.3000 /	34	0.0000	-6.5000 /	35	0.0000	-6.7000 /	36	0.0000	-6.9000 /
37	0.0000	-7.1000 /	38	0.0000	-7.3000 /	39	0.0000	-7.5000 /	40	0.0000	-7.7000 /
41	0.0000	-7.9000 /	42	0.0000	-8.1000 /	43	0.0000	-8.3000 /	44	0.0000	-8.5000 /
45	0.0000	-8.7000 /	46	0.0000	-8.9000 /	47	0.0000	-9.1000 /	48	0.0000	-9.3000 /
49	0.0000	-9.5000 /	50	0.0000	-9.7000 /	51	0.0000	-9.9000 /	52	0.0000	-10.100 /
53	0.0000	-10.300 /	54	0.0000	-10.500 /	55	0.0000	-10.700 /	56	0.0000	-10.900 /
57	0.0000	-11.100 /	58	0.0000	-11.300 /	59	0.0000	-11.500 /	60	0.0000	-11.700 /
61	0.0000	-11.900 /	62	0.0000	-12.100 /	63	0.0000	-12.300 /	64	0.0000	-12.500 /
65	0.0000	-12.700 /	66	0.0000	-12.900 /	67	0.0000	-13.100 /	68	0.0000	-13.300 /
69	0.0000	-13.500 /	70	0.0000	-13.700 /	71	0.0000	-13.900 /	72	0.0000	-14.100 /
73	0.0000	-14.300 /	74	0.0000	-14.500 /	75	0.0000	-14.700 /	76	0.0000	-14.900 /
77	0.0000	-15.100 /	78	0.0000	-15.300 /	79	0.0000	-15.500 /	80	0.0000	-15.700 /
81	0.0000	-15.900 /	82	0.0000	-16.100 /	83	0.0000	-16.300 /	84	0.0000	-16.500 /
85	0.0000	-16.700 /	86	0.0000	-16.900 /	87	0.0000	-17.100 /	88	0.0000	-17.300 /
89	0.0000	-17.500 /	90	0.0000	-17.700 /	91	0.0000	-17.900 /	92	0.0000	-18.100 /
93	0.0000	-18.200 /									

```

+-----+
|          PARATIEPLUS(TM)  NLS ENGINE RELEASE  2022.0.0  FULL VERSION  *Build date:Sep 13, 2021*          |
|                                                                                                                                            |
|                                                                                               ParatiePlus                               |
|                                                                                               Exe Time :28 January 2022   11:11:17          |
+-----+

```

ELEMENT GROUP NO. 1

```

0_L          :
 5 93  0  1  0  0  0  0  0  0  0  0  0  0  0  0  4  0  0  0  0

```

```

.....2D PLASTIC SOIL .....

```

element group behaviour throughout stage analysis

stage status

```

-----
1  active
2  active
3  active
4  active

```

material set no. 1

```

prop( 1) angle          0.00000
prop( 2) layer as foreseen 1.00000

```

material set no. 2

```

prop( 1) angle          0.00000
prop( 2) layer as foreseen 2.00000

```

material set no. 3

```

prop( 1) angle          0.00000
prop( 2) layer as foreseen 3.00000

```

material set no. 4

```

prop( 1) angle          0.00000
prop( 2) layer as foreseen 4.00000

```

element data

el	n	mat	area	flag
1	1	1	0.1000	0.000	0.000	0.000	2.000
2	2	1	0.2000	0.000	0.000	0.000	2.000
3	3	1	0.2000	0.000	0.000	0.000	2.000
4	4	1	0.2000	0.000	0.000	0.000	2.000
5	5	1	0.2000	0.000	0.000	0.000	2.000
6	6	1	0.2000	0.000	0.000	0.000	2.000
7	7	1	0.2000	0.000	0.000	0.000	2.000
8	8	1	0.2000	0.000	0.000	0.000	2.000
9	9	1	0.2000	0.000	0.000	0.000	2.000
10	10	1	0.2000	0.000	0.000	0.000	2.000
11	11	1	0.2000	0.000	0.000	0.000	2.000
12	12	1	0.2000	0.000	0.000	0.000	2.000
13	13	1	0.2000	0.000	0.000	0.000	2.000
14	14	1	0.2000	0.000	0.000	0.000	2.000
15	15	1	0.2000	0.000	0.000	0.000	2.000
16	16	1	0.2000	0.000	0.000	0.000	2.000
17	17	1	0.2000	0.000	0.000	0.000	2.000
18	18	1	0.2000	0.000	0.000	0.000	2.000
19	19	1	0.2000	0.000	0.000	0.000	2.000
20	20	1	0.2000	0.000	0.000	0.000	2.000
21	21	1	0.2000	0.000	0.000	0.000	2.000
22	22	1	0.2000	0.000	0.000	0.000	2.000
23	23	1	0.2000	0.000	0.000	0.000	2.000
24	24	1	0.1500	0.000	0.000	0.000	2.000
25	25	2	0.1500	0.000	0.000	0.000	2.000
26	26	2	0.2000	0.000	0.000	0.000	2.000
27	27	2	0.2000	0.000	0.000	0.000	2.000
28	28	2	0.2000	0.000	0.000	0.000	2.000
29	29	2	0.2000	0.000	0.000	0.000	2.000
30	30	2	0.2000	0.000	0.000	0.000	2.000
31	31	2	0.2000	0.000	0.000	0.000	2.000
32	32	2	0.2000	0.000	0.000	0.000	2.000
33	33	2	0.2000	0.000	0.000	0.000	2.000
34	34	2	0.2000	0.000	0.000	0.000	2.000
35	35	2	0.2000	0.000	0.000	0.000	2.000
36	36	2	0.2000	0.000	0.000	0.000	2.000
37	37	2	0.2000	0.000	0.000	0.000	2.000

38	38	2	0.2000	0.000	0.000	0.000	2.000
39	39	2	0.2000	0.000	0.000	0.000	2.000
40	40	2	0.2000	0.000	0.000	0.000	2.000
41	41	2	0.2000	0.000	0.000	0.000	2.000
42	42	2	0.2000	0.000	0.000	0.000	2.000
43	43	2	0.2000	0.000	0.000	0.000	2.000
44	44	2	0.2000	0.000	0.000	0.000	2.000
45	45	2	0.2000	0.000	0.000	0.000	2.000
46	46	2	0.2000	0.000	0.000	0.000	2.000
47	47	2	0.2000	0.000	0.000	0.000	2.000
48	48	2	0.2000	0.000	0.000	0.000	2.000
49	49	2	0.2000	0.000	0.000	0.000	2.000
50	50	2	0.2000	0.000	0.000	0.000	2.000
51	51	2	0.2000	0.000	0.000	0.000	2.000
52	52	2	0.2000	0.000	0.000	0.000	2.000
53	53	2	0.2000	0.000	0.000	0.000	2.000
54	54	2	0.2000	0.000	0.000	0.000	2.000
55	55	2	0.2000	0.000	0.000	0.000	2.000
56	56	2	0.2000	0.000	0.000	0.000	2.000
57	57	2	0.2000	0.000	0.000	0.000	2.000
58	58	2	0.2000	0.000	0.000	0.000	2.000
59	59	2	0.2000	0.000	0.000	0.000	2.000
60	60	2	0.2000	0.000	0.000	0.000	2.000
61	61	2	0.2000	0.000	0.000	0.000	2.000
62	62	2	0.2000	0.000	0.000	0.000	2.000
63	63	2	0.2000	0.000	0.000	0.000	2.000
64	64	2	0.2000	0.000	0.000	0.000	2.000
65	65	2	0.2000	0.000	0.000	0.000	2.000
66	66	2	0.2000	0.000	0.000	0.000	2.000
67	67	2	0.2000	0.000	0.000	0.000	2.000
68	68	2	0.2000	0.000	0.000	0.000	2.000
69	69	2	0.2000	0.000	0.000	0.000	2.000
70	70	2	0.2000	0.000	0.000	0.000	2.000
71	71	2	0.2000	0.000	0.000	0.000	2.000
72	72	2	0.2000	0.000	0.000	0.000	2.000
73	73	2	0.2000	0.000	0.000	0.000	2.000
74	74	2	0.2000	0.000	0.000	0.000	2.000
75	75	2	0.2000	0.000	0.000	0.000	2.000
76	76	2	0.2000	0.000	0.000	0.000	2.000
77	77	2	0.2000	0.000	0.000	0.000	2.000
78	78	2	0.2000	0.000	0.000	0.000	2.000
79	79	2	0.2000	0.000	0.000	0.000	2.000
80	80	2	0.2000	0.000	0.000	0.000	2.000
81	81	2	0.2000	0.000	0.000	0.000	2.000
82	82	3	0.2000	0.000	0.000	0.000	2.000
83	83	3	0.2000	0.000	0.000	0.000	2.000
84	84	3	0.2000	0.000	0.000	0.000	2.000
85	85	3	0.2000	0.000	0.000	0.000	2.000
86	86	3	0.2000	0.000	0.000	0.000	2.000
87	87	3	0.2000	0.000	0.000	0.000	2.000
88	88	3	0.2000	0.000	0.000	0.000	2.000
89	89	3	0.2000	0.000	0.000	0.000	2.000
90	90	4	0.2000	0.000	0.000	0.000	2.000
91	91	4	0.2000	0.000	0.000	0.000	2.000
92	92	4	0.1500	0.000	0.000	0.000	2.000
93	93	4	0.5000E-01	0.000	0.000	0.000	2.000

```

+-----+
|          PARATIEPLUS(TM)  NLS ENGINE RELEASE  2022.0.0  FULL VERSION  *Build date:Sep 13, 2021*          |
|                                                                                                                                            |
|                                                                                               ParatiePlus                               |
|                                                                                               Exe Time :28 January 2022   11:11:17          |
+-----+

```

ELEMENT GROUP NO. 2

```

0_R          :
 5 93  0  1  0  0  0  0  0  0  0  0  0  0  0  0  4  0  0  0  0

```

```

.....2D PLASTIC SOIL .....

```

element group behaviour throughout stage analysis

```

stage  status
-----
 1  active
 2  active
 3  active
 4  active

```

```

material set no.  1

prop( 1) angle          180.000
prop( 2) layer as foreseen 1.00000

```

```

material set no.  2

prop( 1) angle          180.000
prop( 2) layer as foreseen 2.00000

```

```

material set no.  3

prop( 1) angle          180.000
prop( 2) layer as foreseen 3.00000

```

```

material set no.  4

prop( 1) angle          180.000
prop( 2) layer as foreseen 4.00000

```

element data

el	n	mat	area	flag
1	1	1	0.1000	0.000	0.000	0.000	1.000
2	2	1	0.2000	0.000	0.000	0.000	1.000
3	3	1	0.2000	0.000	0.000	0.000	1.000
4	4	1	0.2000	0.000	0.000	0.000	1.000
5	5	1	0.2000	0.000	0.000	0.000	1.000
6	6	1	0.2000	0.000	0.000	0.000	1.000
7	7	1	0.2000	0.000	0.000	0.000	1.000
8	8	1	0.2000	0.000	0.000	0.000	1.000
9	9	1	0.2000	0.000	0.000	0.000	1.000
10	10	1	0.2000	0.000	0.000	0.000	1.000
11	11	1	0.2000	0.000	0.000	0.000	1.000
12	12	1	0.2000	0.000	0.000	0.000	1.000
13	13	1	0.2000	0.000	0.000	0.000	1.000
14	14	1	0.2000	0.000	0.000	0.000	1.000
15	15	1	0.2000	0.000	0.000	0.000	1.000
16	16	1	0.2000	0.000	0.000	0.000	1.000
17	17	1	0.2000	0.000	0.000	0.000	1.000
18	18	1	0.2000	0.000	0.000	0.000	1.000
19	19	1	0.2000	0.000	0.000	0.000	1.000
20	20	1	0.2000	0.000	0.000	0.000	1.000
21	21	1	0.2000	0.000	0.000	0.000	1.000
22	22	1	0.2000	0.000	0.000	0.000	1.000
23	23	1	0.2000	0.000	0.000	0.000	1.000
24	24	1	0.1500	0.000	0.000	0.000	1.000
25	25	2	0.1500	0.000	0.000	0.000	1.000
26	26	2	0.2000	0.000	0.000	0.000	1.000
27	27	2	0.2000	0.000	0.000	0.000	1.000
28	28	2	0.2000	0.000	0.000	0.000	1.000
29	29	2	0.2000	0.000	0.000	0.000	1.000
30	30	2	0.2000	0.000	0.000	0.000	1.000
31	31	2	0.2000	0.000	0.000	0.000	1.000
32	32	2	0.2000	0.000	0.000	0.000	1.000
33	33	2	0.2000	0.000	0.000	0.000	1.000
34	34	2	0.2000	0.000	0.000	0.000	1.000
35	35	2	0.2000	0.000	0.000	0.000	1.000
36	36	2	0.2000	0.000	0.000	0.000	1.000
37	37	2	0.2000	0.000	0.000	0.000	1.000

38	38	2	0.2000	0.000	0.000	0.000	1.000
39	39	2	0.2000	0.000	0.000	0.000	1.000
40	40	2	0.2000	0.000	0.000	0.000	1.000
41	41	2	0.2000	0.000	0.000	0.000	1.000
42	42	2	0.2000	0.000	0.000	0.000	1.000
43	43	2	0.2000	0.000	0.000	0.000	1.000
44	44	2	0.2000	0.000	0.000	0.000	1.000
45	45	2	0.2000	0.000	0.000	0.000	1.000
46	46	2	0.2000	0.000	0.000	0.000	1.000
47	47	2	0.2000	0.000	0.000	0.000	1.000
48	48	2	0.2000	0.000	0.000	0.000	1.000
49	49	2	0.2000	0.000	0.000	0.000	1.000
50	50	2	0.2000	0.000	0.000	0.000	1.000
51	51	2	0.2000	0.000	0.000	0.000	1.000
52	52	2	0.2000	0.000	0.000	0.000	1.000
53	53	2	0.2000	0.000	0.000	0.000	1.000
54	54	2	0.2000	0.000	0.000	0.000	1.000
55	55	2	0.2000	0.000	0.000	0.000	1.000
56	56	2	0.2000	0.000	0.000	0.000	1.000
57	57	2	0.2000	0.000	0.000	0.000	1.000
58	58	2	0.2000	0.000	0.000	0.000	1.000
59	59	2	0.2000	0.000	0.000	0.000	1.000
60	60	2	0.2000	0.000	0.000	0.000	1.000
61	61	2	0.2000	0.000	0.000	0.000	1.000
62	62	2	0.2000	0.000	0.000	0.000	1.000
63	63	2	0.2000	0.000	0.000	0.000	1.000
64	64	2	0.2000	0.000	0.000	0.000	1.000
65	65	2	0.2000	0.000	0.000	0.000	1.000
66	66	2	0.2000	0.000	0.000	0.000	1.000
67	67	2	0.2000	0.000	0.000	0.000	1.000
68	68	2	0.2000	0.000	0.000	0.000	1.000
69	69	2	0.2000	0.000	0.000	0.000	1.000
70	70	2	0.2000	0.000	0.000	0.000	1.000
71	71	2	0.2000	0.000	0.000	0.000	1.000
72	72	2	0.2000	0.000	0.000	0.000	1.000
73	73	2	0.2000	0.000	0.000	0.000	1.000
74	74	2	0.2000	0.000	0.000	0.000	1.000
75	75	2	0.2000	0.000	0.000	0.000	1.000
76	76	2	0.2000	0.000	0.000	0.000	1.000
77	77	2	0.2000	0.000	0.000	0.000	1.000
78	78	2	0.2000	0.000	0.000	0.000	1.000
79	79	2	0.2000	0.000	0.000	0.000	1.000
80	80	2	0.2000	0.000	0.000	0.000	1.000
81	81	2	0.2000	0.000	0.000	0.000	1.000
82	82	3	0.2000	0.000	0.000	0.000	1.000
83	83	3	0.2000	0.000	0.000	0.000	1.000
84	84	3	0.2000	0.000	0.000	0.000	1.000
85	85	3	0.2000	0.000	0.000	0.000	1.000
86	86	3	0.2000	0.000	0.000	0.000	1.000
87	87	3	0.2000	0.000	0.000	0.000	1.000
88	88	3	0.2000	0.000	0.000	0.000	1.000
89	89	3	0.2000	0.000	0.000	0.000	1.000
90	90	4	0.2000	0.000	0.000	0.000	1.000
91	91	4	0.2000	0.000	0.000	0.000	1.000
92	92	4	0.1500	0.000	0.000	0.000	1.000
93	93	4	0.5000E-01	0.000	0.000	0.000	1.000

46	70	71	1	0.000	0.000	1.206	1.040	0.1462	25.99	0.000	0.000
47	71	72	1	0.000	0.000	1.206	1.040	0.1462	25.99	0.000	0.000
48	72	73	1	0.000	0.000	1.206	1.040	0.1462	25.99	0.000	0.000
49	73	74	1	0.000	0.000	1.206	1.040	0.1462	25.99	0.000	0.000
50	74	75	1	0.000	0.000	1.206	1.040	0.1462	25.99	0.000	0.000
51	75	76	1	0.000	0.000	1.206	1.040	0.1462	25.99	0.000	0.000
52	76	77	1	0.000	0.000	1.206	1.040	0.1462	25.99	0.000	0.000
53	77	78	1	0.000	0.000	1.206	1.040	0.1462	25.99	0.000	0.000
54	78	79	1	0.000	0.000	1.206	1.040	0.1462	25.99	0.000	0.000
55	79	80	1	0.000	0.000	1.206	1.040	0.1462	25.99	0.000	0.000
56	80	81	1	0.000	0.000	1.206	1.040	0.1462	25.99	0.000	0.000
57	81	82	1	0.000	0.000	1.206	1.040	0.1462	25.99	0.000	0.000
58	82	83	1	0.000	0.000	1.206	1.040	0.1462	25.99	0.000	0.000
59	83	84	1	0.000	0.000	1.206	1.040	0.1462	25.99	0.000	0.000
60	84	85	1	0.000	0.000	1.206	1.040	0.1462	25.99	0.000	0.000
61	85	86	1	0.000	0.000	1.206	1.040	0.1462	25.99	0.000	0.000
62	86	87	1	0.000	0.000	1.206	1.040	0.1462	25.99	0.000	0.000
63	87	88	1	0.000	0.000	1.206	1.040	0.1462	25.99	0.000	0.000
64	88	89	1	0.000	0.000	1.206	1.040	0.1462	25.99	0.000	0.000
65	89	90	1	0.000	0.000	1.206	1.040	0.1462	25.99	0.000	0.000
66	90	91	1	0.000	0.000	1.206	1.040	0.1462	25.99	0.000	0.000
67	91	92	1	0.000	0.000	1.206	1.040	0.1462	25.99	0.000	0.000
68	92	93	1	0.000	0.000	1.206	1.040	0.1462	25.99	0.000	0.000


```
+-----+
|          PARATIEPLUS(TM)  NLS ENGINE RELEASE 2022.0.0 FULL VERSION *Build date:Sep 13, 2021*          |
|                                                                                                                                            |
|                                                                                               ParatiePlus                               |
|                                                                                               Exe Time :28 January 2022  11:11:17          |
+-----+
```

```
NO. OF NODAL LOADS (NLOAD) ..... 0
NO. OF LOAD CURVES (NLCUR) ..... 8
MAXIMUM POINTS/LCURVE (NPTM)..... 5
```

```

+-----+
|          PARATIEPLUS(TM)  NLS ENGINE RELEASE  2022.0.0  FULL VERSION  *Build date:Sep 13, 2021*          |
|                                                                                                                                            |
|                                                                                               ParatiePlus                               |
|                                                                                               Exe Time :28 January 2022   11:11:17          |
+-----+

```

L O A D D A T A

```

LOAD FUNCTION NUMBER = 1
NUMBER OF TIME POINTS = 5

```

TIME VALUE	FUNCTION
0.00000	0.0000E+00
0.80000	0.0000E+00
1.00000	0.1000E+01
1.20000	0.0000E+00
5.00000	0.0000E+00

```

LOAD FUNCTION NUMBER = 2
NUMBER OF TIME POINTS = 5

```

TIME VALUE	FUNCTION
0.00000	0.0000E+00
1.80000	0.0000E+00
2.00000	0.1000E+01
2.20000	0.0000E+00
5.00000	0.0000E+00

```

LOAD FUNCTION NUMBER = 3
NUMBER OF TIME POINTS = 5

```

TIME VALUE	FUNCTION
0.00000	0.0000E+00
2.80000	0.0000E+00
3.00000	0.1000E+01
3.20000	0.0000E+00
5.00000	0.0000E+00

```

LOAD FUNCTION NUMBER = 4
NUMBER OF TIME POINTS = 5

```

TIME VALUE	FUNCTION
0.00000	0.0000E+00
3.80000	0.0000E+00
4.00000	0.1000E+01
4.20000	0.0000E+00
5.00000	0.0000E+00

```

LOAD FUNCTION NUMBER = 5
NUMBER OF TIME POINTS = 4

```

TIME VALUE	FUNCTION
0.00000	0.0000E+00
0.80000	0.0000E+00
1.00000	0.1000E+01
5.00000	0.1000E+01

```

LOAD FUNCTION NUMBER = 6
NUMBER OF TIME POINTS = 4

```

TIME VALUE	FUNCTION
0.00000	0.0000E+00
1.80000	0.0000E+00
2.00000	0.1000E+01
5.00000	0.1000E+01

```

LOAD FUNCTION NUMBER = 7
NUMBER OF TIME POINTS = 4

```

TIME VALUE	FUNCTION
0.00000	0.0000E+00
2.80000	0.0000E+00
3.00000	0.1000E+01
5.00000	0.1000E+01

LOAD FUNCTION NUMBER = 8
NUMBER OF TIME POINTS = 4

TIME VALUE	FUNCTION
0.00000	0.0000E+00
3.80000	0.0000E+00
4.00000	0.1000E+01
5.00000	0.1000E+01

NO. OF DISTRIBUTED LOAD CARDS 0

```

+-----+
|          PARATIEPLUS(TM)  NLS ENGINE RELEASE  2022.0.0  FULL VERSION  *Build date:Sep 13, 2021*          |
|                                                                                                                                            |
|                                                                                               ParatiePlus                               |
|                                                                                               Exe Time :28 January 2022   11:11:17          |
+-----+

```

```

L O A D      B A L A N C E

STEP  1  TOTAL APPLIED LOAD IN DIR.  2  Y-DISPL.F      0.0000000
STEP  1  TOTAL APPLIED LOAD IN DIR.  4  X-ROT. F      0.0000000

STEP  2  TOTAL APPLIED LOAD IN DIR.  2  Y-DISPL.F      0.0000000
STEP  2  TOTAL APPLIED LOAD IN DIR.  4  X-ROT. F      0.0000000

STEP  3  TOTAL APPLIED LOAD IN DIR.  2  Y-DISPL.F      0.0000000
STEP  3  TOTAL APPLIED LOAD IN DIR.  4  X-ROT. F      0.0000000

STEP  4  TOTAL APPLIED LOAD IN DIR.  2  Y-DISPL.F      0.0000000
STEP  4  TOTAL APPLIED LOAD IN DIR.  4  X-ROT. F      0.0000000

```

LOAD INPUT SECTION COMPLETED

```
+-----+
|          PARATIEPLUS(TM)  NLS ENGINE RELEASE  2022.0.0  FULL VERSION  *Build date:Sep 13, 2021*          |
|                                                                                                                                            |
|                                                                                               ParatiePlus                               |
|                                                                                               Exe Time :28 January 2022   11:11:17          |
+-----+
```

```
NO. OF LAYERS ..... 4
NO. OF DATA PER LAYER..... 160
```

```

+-----+
|                PARATIEPLUS(TM)  NLS ENGINE RELEASE  2022.0.0  FULL VERSION  *Build date:Sep 13, 2021*                |
|                                                                                                                                            |
|                                                                                               ParatiePlus                                                                                               |
|                                                                                               Exe Time :28 January 2022  11:11:17                                                                                               |
+-----+

```

LAYER DESCRIPTORS FOR STEP NO. 1

NON ZERO LAYER DESCRIPTORS FOR LAYER NO. 1 FOR STEP NO. 1

```

ITEM NO.  1&lt;NAME      &gt;= 12.000  (BOTH WALLS)
ITEM NO.  2&lt;NATURE   &gt;=  1.0000  (BOTH WALLS)
ITEM NO.  3&lt;LEVEL    &gt;=  0.0000  (BOTH WALLS)
ITEM NO.  4&lt;WALL     &gt;=  1.0000  (BOTH WALLS)
ITEM NO.  5&lt;GAMMAD   &gt;= 20.000  (BOTH WALLS)
ITEM NO.  6&lt;GAMMAB   &gt;= 10.000  (BOTH WALLS)
ITEM NO.  7&lt;GAMMAW   &gt;= 10.000  (BOTH WALLS)
ITEM NO.  9&lt;U-FRICT  &gt;= 35.000  (BOTH WALLS)
ITEM NO. 10&lt;U-KA     &gt;= 0.23500  WALL NO. 1
ITEM NO. 11&lt;U-KP     &gt;=  5.8790  WALL NO. 1
ITEM NO. 12&lt;K0-NC    &gt;= 0.42600  (BOTH WALLS)
ITEM NO. 13&lt;NEXP     &gt;= 0.50000  (BOTH WALLS)
ITEM NO. 14&lt;OCR      &gt;=  1.0000  (BOTH WALLS)
ITEM NO. 16&lt;MODEL    &gt;=  1.0000  (BOTH WALLS)
ITEM NO. 17&lt;EVC      &gt;= 50000.  (BOTH WALLS)
ITEM NO. 18&lt;EUR      &gt;= 0.15000E+06 (BOTH WALLS)
ITEM NO. 27&lt;U-PERM   &gt;= 0.10000E-04 (BOTH WALLS)
ITEM NO. 61&lt;U-TZALPH&gt;= 0.50000  (BOTH WALLS)
ITEM NO. 82&lt;D-NATURE&gt;=  1.0000  (BOTH WALLS)
ITEM NO. 83&lt;D-LEVEL  &gt;=  0.0000  (BOTH WALLS)
ITEM NO. 89&lt;D-FRICT  &gt;= 35.000  (BOTH WALLS)
ITEM NO. 90&lt;D-KA     &gt;= 0.23500  WALL NO. 1
ITEM NO. 91&lt;D-KP     &gt;=  5.8790  WALL NO. 1
ITEM NO. 107&lt;D-PERM  &gt;= 0.10000E-04 (BOTH WALLS)
ITEM NO. 141&lt;D-TZALPH&gt;= 0.50000  (BOTH WALLS)

```

NON ZERO LAYER DESCRIPTORS FOR LAYER NO. 2 FOR STEP NO. 1

```

ITEM NO.  1&lt;NAME      &gt;= 13.000  (BOTH WALLS)
ITEM NO.  2&lt;NATURE   &gt;=  1.0000  (BOTH WALLS)
ITEM NO.  3&lt;LEVEL    &gt;= -4.7000  (BOTH WALLS)
ITEM NO.  4&lt;WALL     &gt;=  1.0000  (BOTH WALLS)
ITEM NO.  5&lt;GAMMAD   &gt;= 19.500  (BOTH WALLS)
ITEM NO.  6&lt;GAMMAB   &gt;=  9.5000  (BOTH WALLS)
ITEM NO.  7&lt;GAMMAW   &gt;= 10.000  (BOTH WALLS)
ITEM NO.  9&lt;U-FRICT  &gt;= 25.000  (BOTH WALLS)
ITEM NO. 10&lt;U-KA     &gt;= 0.35900  WALL NO. 1
ITEM NO. 11&lt;U-KP     &gt;=  3.2220  WALL NO. 1
ITEM NO. 12&lt;K0-NC    &gt;= 0.56200  (BOTH WALLS)
ITEM NO. 13&lt;NEXP     &gt;= 0.50000  (BOTH WALLS)
ITEM NO. 14&lt;OCR      &gt;=  1.0000  (BOTH WALLS)
ITEM NO. 16&lt;MODEL    &gt;=  1.0000  (BOTH WALLS)
ITEM NO. 17&lt;EVC      &gt;= 35000.  (BOTH WALLS)
ITEM NO. 18&lt;EUR      &gt;= 0.10500E+06 (BOTH WALLS)
ITEM NO. 27&lt;U-PERM   &gt;= 0.10000E-04 (BOTH WALLS)
ITEM NO. 61&lt;U-TZALPH&gt;= 0.50000  (BOTH WALLS)
ITEM NO. 82&lt;D-NATURE&gt;=  1.0000  (BOTH WALLS)
ITEM NO. 83&lt;D-LEVEL  &gt;=  0.0000  (BOTH WALLS)
ITEM NO. 89&lt;D-FRICT  &gt;= 25.000  (BOTH WALLS)
ITEM NO. 90&lt;D-KA     &gt;= 0.35900  WALL NO. 1
ITEM NO. 91&lt;D-KP     &gt;=  3.2220  WALL NO. 1
ITEM NO. 107&lt;D-PERM  &gt;= 0.10000E-04 (BOTH WALLS)
ITEM NO. 141&lt;D-TZALPH&gt;= 0.50000  (BOTH WALLS)

```

NON ZERO LAYER DESCRIPTORS FOR LAYER NO. 3 FOR STEP NO. 1

```

ITEM NO.  1&lt;NAME      &gt;= 14.000  (BOTH WALLS)
ITEM NO.  2&lt;NATURE   &gt;=  1.0000  (BOTH WALLS)
ITEM NO.  3&lt;LEVEL    &gt;= -15.990  (BOTH WALLS)
ITEM NO.  4&lt;WALL     &gt;=  1.0000  (BOTH WALLS)
ITEM NO.  5&lt;GAMMAD   &gt;= 20.000  (BOTH WALLS)
ITEM NO.  6&lt;GAMMAB   &gt;= 10.000  (BOTH WALLS)
ITEM NO.  7&lt;GAMMAW   &gt;= 10.000  (BOTH WALLS)
ITEM NO.  8&lt;U-COHE   &gt;= 10.000  (BOTH WALLS)
ITEM NO.  9&lt;U-FRICT  &gt;= 26.000  (BOTH WALLS)
ITEM NO. 10&lt;U-KA     &gt;= 0.34400  WALL NO. 1
ITEM NO. 11&lt;U-KP     &gt;=  3.4040  WALL NO. 1
ITEM NO. 12&lt;K0-NC    &gt;= 0.56200  (BOTH WALLS)
ITEM NO. 13&lt;NEXP     &gt;= 0.50000  (BOTH WALLS)
ITEM NO. 14&lt;OCR      &gt;=  1.0000  (BOTH WALLS)
ITEM NO. 16&lt;MODEL    &gt;=  1.0000  (BOTH WALLS)
ITEM NO. 17&lt;EVC      &gt;= 0.20000E+06 (BOTH WALLS)
ITEM NO. 18&lt;EUR      &gt;= 0.60000E+06 (BOTH WALLS)
ITEM NO. 27&lt;U-PERM   &gt;= 0.10000E-04 (BOTH WALLS)
ITEM NO. 61&lt;U-TZALPH&gt;= 0.50000  (BOTH WALLS)
ITEM NO. 82&lt;D-NATURE&gt;=  1.0000  (BOTH WALLS)
ITEM NO. 83&lt;D-LEVEL  &gt;=  0.0000  (BOTH WALLS)

```


ITEM NO. 88<D-COHE >= 10.000 (BOTH WALLS)
ITEM NO. 89<D-FRICT >= 26.000 (BOTH WALLS)
ITEM NO. 90<D-KA >= 0.34400 WALL NO. 1
ITEM NO. 91<D-KP >= 3.4040 WALL NO. 1
ITEM NO. 107<D-PERM >= 0.10000E-04 (BOTH WALLS)
ITEM NO. 141<D-TZALPH>= 0.50000 (BOTH WALLS)

NON ZERO LAYER DESCRIPTORS FOR LAYER NO. 4 FOR STEP NO. 1

ITEM NO. 1<NAME >= 15.000 (BOTH WALLS)
ITEM NO. 2<NATURE >= 1.0000 (BOTH WALLS)
ITEM NO. 3<LEVEL >= -17.670 (BOTH WALLS)
ITEM NO. 4<WALL >= 1.0000 (BOTH WALLS)
ITEM NO. 5<GAMMAD >= 23.000 (BOTH WALLS)
ITEM NO. 6<GAMMAB >= 13.000 (BOTH WALLS)
ITEM NO. 7<GAMMAW >= 10.000 (BOTH WALLS)
ITEM NO. 8<D-COHE >= 55.000 (BOTH WALLS)
ITEM NO. 9<U-FRICT >= 31.000 (BOTH WALLS)
ITEM NO. 10<U-KA >= 0.27900 WALL NO. 1
ITEM NO. 11<U-KP >= 4.5550 WALL NO. 1
ITEM NO. 12<K0-NC >= 0.56200 (BOTH WALLS)
ITEM NO. 13<NEXP >= 0.50000 (BOTH WALLS)
ITEM NO. 14<OCR >= 1.0000 (BOTH WALLS)
ITEM NO. 16<MODEL >= 1.0000 (BOTH WALLS)
ITEM NO. 17<EVC >= 0.13500E+06 (BOTH WALLS)
ITEM NO. 18<EUR >= 0.40500E+06 (BOTH WALLS)
ITEM NO. 27<U-PERM >= 0.10000E-04 (BOTH WALLS)
ITEM NO. 61<U-TZALPH>= 0.50000 (BOTH WALLS)
ITEM NO. 82<D-NATURE>= 1.0000 (BOTH WALLS)
ITEM NO. 83<D-LEVEL >= 0.0000 (BOTH WALLS)
ITEM NO. 88<D-COHE >= 55.000 (BOTH WALLS)
ITEM NO. 89<D-FRICT >= 31.000 (BOTH WALLS)
ITEM NO. 90<D-KA >= 0.27900 WALL NO. 1
ITEM NO. 91<D-KP >= 4.5550 WALL NO. 1
ITEM NO. 107<D-PERM >= 0.10000E-04 (BOTH WALLS)
ITEM NO. 141<D-TZALPH>= 0.50000 (BOTH WALLS)

LAYER DESCRIPTORS FOR STEP NO. 2

NON ZERO LAYER DESCRIPTORS FOR LAYER NO. 1 FOR STEP NO. 2

ITEM NO. 1<NAME >= 12.000 (BOTH WALLS)
ITEM NO. 2<NATURE >= 1.0000 (BOTH WALLS)
ITEM NO. 3<LEVEL >= 0.0000 (BOTH WALLS)
ITEM NO. 4<WALL >= 1.0000 (BOTH WALLS)
ITEM NO. 5<GAMMAD >= 20.000 (BOTH WALLS)
ITEM NO. 6<GAMMAB >= 10.000 (BOTH WALLS)
ITEM NO. 7<GAMMAW >= 10.000 (BOTH WALLS)
ITEM NO. 9<U-FRICT >= 35.000 (BOTH WALLS)
ITEM NO. 10<U-KA >= 0.23500 WALL NO. 1
ITEM NO. 11<U-KP >= 5.8790 WALL NO. 1
ITEM NO. 12<K0-NC >= 0.42600 (BOTH WALLS)
ITEM NO. 13<NEXP >= 0.50000 (BOTH WALLS)
ITEM NO. 14<OCR >= 1.0000 (BOTH WALLS)
ITEM NO. 16<MODEL >= 1.0000 (BOTH WALLS)
ITEM NO. 17<EVC >= 50000. (BOTH WALLS)
ITEM NO. 18<EUR >= 0.15000E+06 (BOTH WALLS)
ITEM NO. 27<U-PERM >= 0.10000E-04 (BOTH WALLS)
ITEM NO. 61<U-TZALPH>= 0.50000 (BOTH WALLS)
ITEM NO. 82<D-NATURE>= 1.0000 (BOTH WALLS)
ITEM NO. 83<D-LEVEL >= 0.0000 (BOTH WALLS)
ITEM NO. 89<D-FRICT >= 35.000 (BOTH WALLS)
ITEM NO. 90<D-KA >= 0.23500 WALL NO. 1
ITEM NO. 91<D-KP >= 5.8790 WALL NO. 1
ITEM NO. 107<D-PERM >= 0.10000E-04 (BOTH WALLS)
ITEM NO. 141<D-TZALPH>= 0.50000 (BOTH WALLS)

NON ZERO LAYER DESCRIPTORS FOR LAYER NO. 2 FOR STEP NO. 2

ITEM NO. 1<NAME >= 13.000 (BOTH WALLS)
ITEM NO. 2<NATURE >= 1.0000 (BOTH WALLS)
ITEM NO. 3<LEVEL >= -4.7000 (BOTH WALLS)
ITEM NO. 4<WALL >= 1.0000 (BOTH WALLS)
ITEM NO. 5<GAMMAD >= 19.500 (BOTH WALLS)
ITEM NO. 6<GAMMAB >= 9.5000 (BOTH WALLS)
ITEM NO. 7<GAMMAW >= 10.000 (BOTH WALLS)
ITEM NO. 9<U-FRICT >= 25.000 (BOTH WALLS)
ITEM NO. 10<U-KA >= 0.35900 WALL NO. 1
ITEM NO. 11<U-KP >= 3.2220 WALL NO. 1
ITEM NO. 12<K0-NC >= 0.56200 (BOTH WALLS)
ITEM NO. 13<NEXP >= 0.50000 (BOTH WALLS)
ITEM NO. 14<OCR >= 1.0000 (BOTH WALLS)
ITEM NO. 16<MODEL >= 1.0000 (BOTH WALLS)
ITEM NO. 17<EVC >= 35000. (BOTH WALLS)
ITEM NO. 18<EUR >= 0.10500E+06 (BOTH WALLS)
ITEM NO. 27<U-PERM >= 0.10000E-04 (BOTH WALLS)
ITEM NO. 61<U-TZALPH>= 0.50000 (BOTH WALLS)
ITEM NO. 82<D-NATURE>= 1.0000 (BOTH WALLS)
ITEM NO. 83<D-LEVEL >= 0.0000 (BOTH WALLS)
ITEM NO. 89<D-FRICT >= 25.000 (BOTH WALLS)
ITEM NO. 90<D-KA >= 0.35900 WALL NO. 1

ITEM NO. 91<D-KP >= 3.2220 WALL NO. 1
 ITEM NO. 107<D-PERM >= 0.10000E-04 (BOTH WALLS)
 ITEM NO. 141<D-TZALPH>= 0.50000 (BOTH WALLS)

NON ZERO LAYER DESCRIPTORS FOR LAYER NO. 3 FOR STEP NO. 2

ITEM NO. 1<NAME >= 14.000 (BOTH WALLS)
 ITEM NO. 2<NATURE >= 1.0000 (BOTH WALLS)
 ITEM NO. 3<LEVEL >= -15.990 (BOTH WALLS)
 ITEM NO. 4<WALL >= 1.0000 (BOTH WALLS)
 ITEM NO. 5<GAMMAD >= 20.000 (BOTH WALLS)
 ITEM NO. 6<GAMMAB >= 10.000 (BOTH WALLS)
 ITEM NO. 7<GAMMAW >= 10.000 (BOTH WALLS)
 ITEM NO. 8<U-COHE >= 10.000 (BOTH WALLS)
 ITEM NO. 9<U-FRICT >= 26.000 (BOTH WALLS)
 ITEM NO. 10<U-KA >= 0.34400 WALL NO. 1
 ITEM NO. 11<U-KP >= 3.4040 WALL NO. 1
 ITEM NO. 12<K0-NC >= 0.56200 (BOTH WALLS)
 ITEM NO. 13<NEXP >= 0.50000 (BOTH WALLS)
 ITEM NO. 14<OCR >= 1.0000 (BOTH WALLS)
 ITEM NO. 16<MODEL >= 1.0000 (BOTH WALLS)
 ITEM NO. 17<EVC >= 0.20000E+06 (BOTH WALLS)
 ITEM NO. 18<EUR >= 0.60000E+06 (BOTH WALLS)
 ITEM NO. 27<U-PERM >= 0.10000E-04 (BOTH WALLS)
 ITEM NO. 61<U-TZALPH>= 0.50000 (BOTH WALLS)
 ITEM NO. 82<D-NATURE>= 1.0000 (BOTH WALLS)
 ITEM NO. 83<D-LEVEL >= 0.0000 (BOTH WALLS)
 ITEM NO. 88<D-COHE >= 10.000 (BOTH WALLS)
 ITEM NO. 89<D-FRICT >= 26.000 (BOTH WALLS)
 ITEM NO. 90<D-KA >= 0.34400 WALL NO. 1
 ITEM NO. 91<D-KP >= 3.4040 WALL NO. 1
 ITEM NO. 107<D-PERM >= 0.10000E-04 (BOTH WALLS)
 ITEM NO. 141<D-TZALPH>= 0.50000 (BOTH WALLS)

NON ZERO LAYER DESCRIPTORS FOR LAYER NO. 4 FOR STEP NO. 2

ITEM NO. 1<NAME >= 15.000 (BOTH WALLS)
 ITEM NO. 2<NATURE >= 1.0000 (BOTH WALLS)
 ITEM NO. 3<LEVEL >= -17.670 (BOTH WALLS)
 ITEM NO. 4<WALL >= 1.0000 (BOTH WALLS)
 ITEM NO. 5<GAMMAD >= 23.000 (BOTH WALLS)
 ITEM NO. 6<GAMMAB >= 13.000 (BOTH WALLS)
 ITEM NO. 7<GAMMAW >= 10.000 (BOTH WALLS)
 ITEM NO. 8<U-COHE >= 55.000 (BOTH WALLS)
 ITEM NO. 9<U-FRICT >= 31.000 (BOTH WALLS)
 ITEM NO. 10<U-KA >= 0.27900 WALL NO. 1
 ITEM NO. 11<U-KP >= 4.5550 WALL NO. 1
 ITEM NO. 12<K0-NC >= 0.56200 (BOTH WALLS)
 ITEM NO. 13<NEXP >= 0.50000 (BOTH WALLS)
 ITEM NO. 14<OCR >= 1.0000 (BOTH WALLS)
 ITEM NO. 16<MODEL >= 1.0000 (BOTH WALLS)
 ITEM NO. 17<EVC >= 0.13500E+06 (BOTH WALLS)
 ITEM NO. 18<EUR >= 0.40500E+06 (BOTH WALLS)
 ITEM NO. 27<U-PERM >= 0.10000E-04 (BOTH WALLS)
 ITEM NO. 61<U-TZALPH>= 0.50000 (BOTH WALLS)
 ITEM NO. 82<D-NATURE>= 1.0000 (BOTH WALLS)
 ITEM NO. 83<D-LEVEL >= 0.0000 (BOTH WALLS)
 ITEM NO. 88<D-COHE >= 55.000 (BOTH WALLS)
 ITEM NO. 89<D-FRICT >= 31.000 (BOTH WALLS)
 ITEM NO. 90<D-KA >= 0.27900 WALL NO. 1
 ITEM NO. 91<D-KP >= 4.5550 WALL NO. 1
 ITEM NO. 107<D-PERM >= 0.10000E-04 (BOTH WALLS)
 ITEM NO. 141<D-TZALPH>= 0.50000 (BOTH WALLS)

LAYER DESCRIPTORS FOR STEP NO. 3

NON ZERO LAYER DESCRIPTORS FOR LAYER NO. 1 FOR STEP NO. 3

ITEM NO. 1<NAME >= 12.000 (BOTH WALLS)
 ITEM NO. 2<NATURE >= 1.0000 (BOTH WALLS)
 ITEM NO. 3<LEVEL >= 0.0000 (BOTH WALLS)
 ITEM NO. 4<WALL >= 1.0000 (BOTH WALLS)
 ITEM NO. 5<GAMMAD >= 20.000 (BOTH WALLS)
 ITEM NO. 6<GAMMAB >= 10.000 (BOTH WALLS)
 ITEM NO. 7<GAMMAW >= 10.000 (BOTH WALLS)
 ITEM NO. 9<U-FRICT >= 35.000 (BOTH WALLS)
 ITEM NO. 10<U-KA >= 0.23500 WALL NO. 1
 ITEM NO. 11<U-KP >= 5.8790 WALL NO. 1
 ITEM NO. 12<K0-NC >= 0.42600 (BOTH WALLS)
 ITEM NO. 13<NEXP >= 0.50000 (BOTH WALLS)
 ITEM NO. 14<OCR >= 1.0000 (BOTH WALLS)
 ITEM NO. 16<MODEL >= 1.0000 (BOTH WALLS)
 ITEM NO. 17<EVC >= 50000. (BOTH WALLS)
 ITEM NO. 18<EUR >= 0.15000E+06 (BOTH WALLS)
 ITEM NO. 27<U-PERM >= 0.10000E-04 (BOTH WALLS)
 ITEM NO. 61<U-TZALPH>= 0.50000 (BOTH WALLS)
 ITEM NO. 82<D-NATURE>= 1.0000 (BOTH WALLS)
 ITEM NO. 83<D-LEVEL >= 0.0000 (BOTH WALLS)
 ITEM NO. 89<D-FRICT >= 35.000 (BOTH WALLS)
 ITEM NO. 90<D-KA >= 0.23500 WALL NO. 1
 ITEM NO. 91<D-KP >= 5.8790 WALL NO. 1

ITEM NO. 107<D-PERM >= 0.10000E-04 (BOTH WALLS)
ITEM NO. 141<D-TZALPH>= 0.50000 (BOTH WALLS)

NON ZERO LAYER DESCRIPTORS FOR LAYER NO. 2 FOR STEP NO. 3

ITEM NO. 1<NAME >= 13.000 (BOTH WALLS)
ITEM NO. 2<NATURE >= 1.0000 (BOTH WALLS)
ITEM NO. 3<LEVEL >= -4.7000 (BOTH WALLS)
ITEM NO. 4<WALL >= 1.0000 (BOTH WALLS)
ITEM NO. 5<GAMMAD >= 19.500 (BOTH WALLS)
ITEM NO. 6<GAMMAB >= 9.5000 (BOTH WALLS)
ITEM NO. 7<GAMMAW >= 10.000 (BOTH WALLS)
ITEM NO. 9<U-FRICT >= 25.000 (BOTH WALLS)
ITEM NO. 10<U-KA >= 0.35900 WALL NO. 1
ITEM NO. 11<U-KP >= 3.2220 WALL NO. 1
ITEM NO. 12<K0-NC >= 0.56200 (BOTH WALLS)
ITEM NO. 13<NEXP >= 0.50000 (BOTH WALLS)
ITEM NO. 14<OCR >= 1.0000 (BOTH WALLS)
ITEM NO. 16<MODEL >= 1.0000 (BOTH WALLS)
ITEM NO. 17<EVC >= 35000. (BOTH WALLS)
ITEM NO. 18<EUR >= 0.10500E+06 (BOTH WALLS)
ITEM NO. 27<U-PERM >= 0.10000E-04 (BOTH WALLS)
ITEM NO. 61<U-TZALPH>= 0.50000 (BOTH WALLS)
ITEM NO. 82<D-NATURE>= 1.0000 (BOTH WALLS)
ITEM NO. 83<D-LEVEL >= 0.0000 (BOTH WALLS)
ITEM NO. 89<D-FRICT >= 25.000 (BOTH WALLS)
ITEM NO. 90<D-KA >= 0.35900 WALL NO. 1
ITEM NO. 91<D-KP >= 3.2220 WALL NO. 1
ITEM NO. 107<D-PERM >= 0.10000E-04 (BOTH WALLS)
ITEM NO. 141<D-TZALPH>= 0.50000 (BOTH WALLS)

NON ZERO LAYER DESCRIPTORS FOR LAYER NO. 3 FOR STEP NO. 3

ITEM NO. 1<NAME >= 14.000 (BOTH WALLS)
ITEM NO. 2<NATURE >= 1.0000 (BOTH WALLS)
ITEM NO. 3<LEVEL >= -15.990 (BOTH WALLS)
ITEM NO. 4<WALL >= 1.0000 (BOTH WALLS)
ITEM NO. 5<GAMMAD >= 20.000 (BOTH WALLS)
ITEM NO. 6<GAMMAB >= 10.000 (BOTH WALLS)
ITEM NO. 7<GAMMAW >= 10.000 (BOTH WALLS)
ITEM NO. 8<U-COHE >= 10.000 (BOTH WALLS)
ITEM NO. 9<U-FRICT >= 26.000 (BOTH WALLS)
ITEM NO. 10<U-KA >= 0.34400 WALL NO. 1
ITEM NO. 11<U-KP >= 3.4040 WALL NO. 1
ITEM NO. 12<K0-NC >= 0.56200 (BOTH WALLS)
ITEM NO. 13<NEXP >= 0.50000 (BOTH WALLS)
ITEM NO. 14<OCR >= 1.0000 (BOTH WALLS)
ITEM NO. 16<MODEL >= 1.0000 (BOTH WALLS)
ITEM NO. 17<EVC >= 0.20000E+06 (BOTH WALLS)
ITEM NO. 18<EUR >= 0.60000E+06 (BOTH WALLS)
ITEM NO. 27<U-PERM >= 0.10000E-04 (BOTH WALLS)
ITEM NO. 61<U-TZALPH>= 0.50000 (BOTH WALLS)
ITEM NO. 82<D-NATURE>= 1.0000 (BOTH WALLS)
ITEM NO. 83<D-LEVEL >= 0.0000 (BOTH WALLS)
ITEM NO. 88<D-COHE >= 10.000 (BOTH WALLS)
ITEM NO. 89<D-FRICT >= 26.000 (BOTH WALLS)
ITEM NO. 90<D-KA >= 0.34400 WALL NO. 1
ITEM NO. 91<D-KP >= 3.4040 WALL NO. 1
ITEM NO. 107<D-PERM >= 0.10000E-04 (BOTH WALLS)
ITEM NO. 141<D-TZALPH>= 0.50000 (BOTH WALLS)

NON ZERO LAYER DESCRIPTORS FOR LAYER NO. 4 FOR STEP NO. 3

ITEM NO. 1<NAME >= 15.000 (BOTH WALLS)
ITEM NO. 2<NATURE >= 1.0000 (BOTH WALLS)
ITEM NO. 3<LEVEL >= -17.670 (BOTH WALLS)
ITEM NO. 4<WALL >= 1.0000 (BOTH WALLS)
ITEM NO. 5<GAMMAD >= 23.000 (BOTH WALLS)
ITEM NO. 6<GAMMAB >= 13.000 (BOTH WALLS)
ITEM NO. 7<GAMMAW >= 10.000 (BOTH WALLS)
ITEM NO. 8<U-COHE >= 55.000 (BOTH WALLS)
ITEM NO. 9<U-FRICT >= 31.000 (BOTH WALLS)
ITEM NO. 10<U-KA >= 0.27900 WALL NO. 1
ITEM NO. 11<U-KP >= 4.5550 WALL NO. 1
ITEM NO. 12<K0-NC >= 0.56200 (BOTH WALLS)
ITEM NO. 13<NEXP >= 0.50000 (BOTH WALLS)
ITEM NO. 14<OCR >= 1.0000 (BOTH WALLS)
ITEM NO. 16<MODEL >= 1.0000 (BOTH WALLS)
ITEM NO. 17<EVC >= 0.13500E+06 (BOTH WALLS)
ITEM NO. 18<EUR >= 0.40500E+06 (BOTH WALLS)
ITEM NO. 27<U-PERM >= 0.10000E-04 (BOTH WALLS)
ITEM NO. 61<U-TZALPH>= 0.50000 (BOTH WALLS)
ITEM NO. 82<D-NATURE>= 1.0000 (BOTH WALLS)
ITEM NO. 83<D-LEVEL >= 0.0000 (BOTH WALLS)
ITEM NO. 88<D-COHE >= 55.000 (BOTH WALLS)
ITEM NO. 89<D-FRICT >= 31.000 (BOTH WALLS)
ITEM NO. 90<D-KA >= 0.27900 WALL NO. 1
ITEM NO. 91<D-KP >= 4.5550 WALL NO. 1
ITEM NO. 107<D-PERM >= 0.10000E-04 (BOTH WALLS)
ITEM NO. 141<D-TZALPH>= 0.50000 (BOTH WALLS)

LAYER DESCRIPTORS FOR STEP NO. 4

NON ZERO LAYER DESCRIPTORS FOR LAYER NO. 1 FOR STEP NO. 4

ITEM NO. 1 <NAME >= 12.000 (BOTH WALLS)
 ITEM NO. 2 <NATURE >= 1.0000 (BOTH WALLS)
 ITEM NO. 3 <LEVEL >= 0.0000 (BOTH WALLS)
 ITEM NO. 4 <WALL >= 1.0000 (BOTH WALLS)
 ITEM NO. 5 <GAMMAD >= 20.000 (BOTH WALLS)
 ITEM NO. 6 <GAMMAB >= 10.000 (BOTH WALLS)
 ITEM NO. 7 <GAMMAW >= 10.000 (BOTH WALLS)
 ITEM NO. 9 <U-FRICT >= 35.000 (BOTH WALLS)
 ITEM NO. 10 <U-KA >= 0.23500 WALL NO. 1
 ITEM NO. 11 <U-KP >= 5.8790 WALL NO. 1
 ITEM NO. 12 <K0-NC >= 0.42600 (BOTH WALLS)
 ITEM NO. 13 <NEXP >= 0.50000 (BOTH WALLS)
 ITEM NO. 14 <OCR >= 1.0000 (BOTH WALLS)
 ITEM NO. 16 <MODEL >= 1.0000 (BOTH WALLS)
 ITEM NO. 17 <EVC >= 50000. (BOTH WALLS)
 ITEM NO. 18 <EUR >= 0.15000E+06 (BOTH WALLS)
 ITEM NO. 27 <U-PERM >= 0.10000E-04 (BOTH WALLS)
 ITEM NO. 61 <U-TZALPH>= 0.50000 (BOTH WALLS)
 ITEM NO. 82 <D-NATURE>= 1.0000 (BOTH WALLS)
 ITEM NO. 83 <D-LEVEL >= 0.0000 (BOTH WALLS)
 ITEM NO. 89 <D-FRICT >= 35.000 (BOTH WALLS)
 ITEM NO. 90 <D-KA >= 0.23500 WALL NO. 1
 ITEM NO. 91 <D-KP >= 5.8790 WALL NO. 1
 ITEM NO. 107 <D-PERM >= 0.10000E-04 (BOTH WALLS)
 ITEM NO. 141 <D-TZALPH>= 0.50000 (BOTH WALLS)

NON ZERO LAYER DESCRIPTORS FOR LAYER NO. 2 FOR STEP NO. 4

ITEM NO. 1 <NAME >= 13.000 (BOTH WALLS)
 ITEM NO. 2 <NATURE >= 1.0000 (BOTH WALLS)
 ITEM NO. 3 <LEVEL >= -4.7000 (BOTH WALLS)
 ITEM NO. 4 <WALL >= 1.0000 (BOTH WALLS)
 ITEM NO. 5 <GAMMAD >= 19.500 (BOTH WALLS)
 ITEM NO. 6 <GAMMAB >= 9.5000 (BOTH WALLS)
 ITEM NO. 7 <GAMMAW >= 10.000 (BOTH WALLS)
 ITEM NO. 9 <U-FRICT >= 25.000 (BOTH WALLS)
 ITEM NO. 10 <U-KA >= 0.35900 WALL NO. 1
 ITEM NO. 11 <U-KP >= 3.2220 WALL NO. 1
 ITEM NO. 12 <K0-NC >= 0.56200 (BOTH WALLS)
 ITEM NO. 13 <NEXP >= 0.50000 (BOTH WALLS)
 ITEM NO. 14 <OCR >= 1.0000 (BOTH WALLS)
 ITEM NO. 16 <MODEL >= 1.0000 (BOTH WALLS)
 ITEM NO. 17 <EVC >= 35000. (BOTH WALLS)
 ITEM NO. 18 <EUR >= 0.10500E+06 (BOTH WALLS)
 ITEM NO. 27 <U-PERM >= 0.10000E-04 (BOTH WALLS)
 ITEM NO. 61 <U-TZALPH>= 0.50000 (BOTH WALLS)
 ITEM NO. 82 <D-NATURE>= 1.0000 (BOTH WALLS)
 ITEM NO. 83 <D-LEVEL >= 0.0000 (BOTH WALLS)
 ITEM NO. 89 <D-FRICT >= 25.000 (BOTH WALLS)
 ITEM NO. 90 <D-KA >= 0.35900 WALL NO. 1
 ITEM NO. 91 <D-KP >= 3.2220 WALL NO. 1
 ITEM NO. 107 <D-PERM >= 0.10000E-04 (BOTH WALLS)
 ITEM NO. 141 <D-TZALPH>= 0.50000 (BOTH WALLS)

NON ZERO LAYER DESCRIPTORS FOR LAYER NO. 3 FOR STEP NO. 4

ITEM NO. 1 <NAME >= 14.000 (BOTH WALLS)
 ITEM NO. 2 <NATURE >= 1.0000 (BOTH WALLS)
 ITEM NO. 3 <LEVEL >= -15.990 (BOTH WALLS)
 ITEM NO. 4 <WALL >= 1.0000 (BOTH WALLS)
 ITEM NO. 5 <GAMMAD >= 20.000 (BOTH WALLS)
 ITEM NO. 6 <GAMMAB >= 10.000 (BOTH WALLS)
 ITEM NO. 7 <GAMMAW >= 10.000 (BOTH WALLS)
 ITEM NO. 8 <U-COHE >= 10.000 (BOTH WALLS)
 ITEM NO. 9 <U-FRICT >= 26.000 (BOTH WALLS)
 ITEM NO. 10 <U-KA >= 0.34400 WALL NO. 1
 ITEM NO. 11 <U-KP >= 3.4040 WALL NO. 1
 ITEM NO. 12 <K0-NC >= 0.56200 (BOTH WALLS)
 ITEM NO. 13 <NEXP >= 0.50000 (BOTH WALLS)
 ITEM NO. 14 <OCR >= 1.0000 (BOTH WALLS)
 ITEM NO. 16 <MODEL >= 1.0000 (BOTH WALLS)
 ITEM NO. 17 <EVC >= 0.20000E+06 (BOTH WALLS)
 ITEM NO. 18 <EUR >= 0.60000E+06 (BOTH WALLS)
 ITEM NO. 27 <U-PERM >= 0.10000E-04 (BOTH WALLS)
 ITEM NO. 61 <U-TZALPH>= 0.50000 (BOTH WALLS)
 ITEM NO. 82 <D-NATURE>= 1.0000 (BOTH WALLS)
 ITEM NO. 83 <D-LEVEL >= 0.0000 (BOTH WALLS)
 ITEM NO. 88 <D-COHE >= 10.000 (BOTH WALLS)
 ITEM NO. 89 <D-FRICT >= 26.000 (BOTH WALLS)
 ITEM NO. 90 <D-KA >= 0.34400 WALL NO. 1
 ITEM NO. 91 <D-KP >= 3.4040 WALL NO. 1
 ITEM NO. 107 <D-PERM >= 0.10000E-04 (BOTH WALLS)
 ITEM NO. 141 <D-TZALPH>= 0.50000 (BOTH WALLS)

NON ZERO LAYER DESCRIPTORS FOR LAYER NO. 4 FOR STEP NO. 4

ITEM NO. 1 <NAME >= 15.000 (BOTH WALLS)
 ITEM NO. 2 <NATURE >= 1.0000 (BOTH WALLS)

ITEM NO.	3	LEVEL	>= -17.670	(BOTH WALLS)	
ITEM NO.	4	WALL	>= 1.0000	(BOTH WALLS)	
ITEM NO.	5	GAMMAD	>= 23.000	(BOTH WALLS)	
ITEM NO.	6	GAMMAB	>= 13.000	(BOTH WALLS)	
ITEM NO.	7	GAMMAW	>= 10.000	(BOTH WALLS)	
ITEM NO.	8	U-COHE	>= 55.000	(BOTH WALLS)	
ITEM NO.	9	U-FRICT	>= 31.000	(BOTH WALLS)	
ITEM NO.	10	U-KA	>= 0.27900	WALL NO.	1
ITEM NO.	11	U-KP	>= 4.5550	WALL NO.	1
ITEM NO.	12	K0-NC	>= 0.56200	(BOTH WALLS)	
ITEM NO.	13	NEXP	>= 0.50000	(BOTH WALLS)	
ITEM NO.	14	OCR	>= 1.0000	(BOTH WALLS)	
ITEM NO.	16	MODEL	>= 1.0000	(BOTH WALLS)	
ITEM NO.	17	EVC	>= 0.13500E+06	(BOTH WALLS)	
ITEM NO.	18	EUR	>= 0.40500E+06	(BOTH WALLS)	
ITEM NO.	27	U-PERM	>= 0.10000E-04	(BOTH WALLS)	
ITEM NO.	61	U-TZALPH	>= 0.50000	(BOTH WALLS)	
ITEM NO.	82	D-NATURE	>= 1.0000	(BOTH WALLS)	
ITEM NO.	83	D-LEVEL	>= 0.0000	(BOTH WALLS)	
ITEM NO.	88	D-COHE	>= 55.000	(BOTH WALLS)	
ITEM NO.	89	D-FRICT	>= 31.000	(BOTH WALLS)	
ITEM NO.	90	D-KA	>= 0.27900	WALL NO.	1
ITEM NO.	91	D-KP	>= 4.5550	WALL NO.	1
ITEM NO.	107	D-PERM	>= 0.10000E-04	(BOTH WALLS)	
ITEM NO.	141	D-TZALPH	>= 0.50000	(BOTH WALLS)	

DEFAULT WATER UNIT WEIGHT = 10.000
AVERAGED ON 16 VALUES

```

+-----+
|                PARATIEPLUS(TM)  NLS ENGINE RELEASE  2022.0.0  FULL VERSION  *Build date:Sep 13, 2021*                |
|                                                                                                                                            |
|                                                                                               ParatiePlus                                                                 |
|                                                                                               Exe Time :28 January 2022  11:11:17                                                                 |
+-----+

```

PHASE DESCRIPTORS

```

STEP NO.      1 no. of subincrements      1
                LEFT WALL      RIGHT WALL
Y              0.000            -0.9990E+30
Z-PC           -4.700            0.000
Z-EXCAVATION   -4.700            0.000
Z-WATER_TABLE  -9.500            -0.9990E+30
Q_AT_THE_FREE_FIELD_LEVEL  0.000            0.000
ZQ             0.000            0.000
DZW_OF_THE_WATER_TABLE  0.000            0.000
QS_ON_THE_EXCAVATION_SIDE  0.000            0.000
ZQS           0.000            -0.9990E+30
ZCUT          0.000            0.000
BALANCE LEVEL FOR PORE PRESSURES  -18.20           -18.20
WATER_BEHAVIOUR_FLAG (LINING OPT)  0.000            0.000
PORE_UPDATE_FLAG  0.000            0.000
PORE_TAB._FLAG (gt.0= use tabs)  0.000            0.000
lateral thrusts reduction elevatio  0.000            0.000
Downhill reduction factor for effe  0.000            0.000
Downhill reduction factor for pore  0.000            0.000
Uphill reduction factor for effect  0.000            0.000
Uphill reduction factor for pore p  0.000            0.000
SEISMIC HORIZONTAL ACCEL. Kh [g]  0.000            0.000
UPHILL VERTICAL ACCEL. Kv_uh [g]  0.000            0.000
DOWNHILL VERTICAL ACCEL.Kv_dh [g]  0.000            0.000
UPHILL BETA ANGLE (SLOPE) [deg]  0.000            0.000
UPHILL DELTA/PHI RATIO  0.000            0.000
DOWNHILL BETA ANGLE (SLOPE) [deg]  0.000            0.000
DOWNHILL DELTA/PHI RATIO  0.000            0.000
DYN.WATER BEHAVIOUR  0.000            0.000
Excess pore pressure RATIO Ru  0.000            0.000
SEISMIC PRESSURE LOWER VALUE  0.000            0.000
SEISMIC PRESSURE UPPER VALUE  0.000            0.000
SEISMIC PRESSURE LOWER LEVEL  0.000            0.000
SEISMIC PRESSURE UPPER LEVEL  0.000            0.000

```

=====
=====end of step 1

```

STEP NO.      2 no. of subincrements      1
                LEFT WALL      RIGHT WALL
Y              0.000            -0.9990E+30
Z-PC           -4.700            0.000
Z-EXCAVATION   -4.700            0.000
Z-WATER_TABLE  -9.500            -0.9990E+30
Q_AT_THE_FREE_FIELD_LEVEL  0.000            0.000
ZQ             0.000            0.000
DZW_OF_THE_WATER_TABLE  0.000            0.000
QS_ON_THE_EXCAVATION_SIDE  0.000            0.000
ZQS           0.000            -0.9990E+30
ZCUT          0.000            0.000
BALANCE LEVEL FOR PORE PRESSURES  -18.20           -18.20
WATER_BEHAVIOUR_FLAG (LINING OPT)  0.000            0.000
PORE_UPDATE_FLAG  0.000            0.000
PORE_TAB._FLAG (gt.0= use tabs)  0.000            0.000
lateral thrusts reduction elevatio  0.000            0.000
Downhill reduction factor for effe  0.000            0.000
Downhill reduction factor for pore  0.000            0.000
Uphill reduction factor for effect  0.000            0.000
Uphill reduction factor for pore p  0.000            0.000
SEISMIC HORIZONTAL ACCEL. Kh [g]  0.000            0.000
UPHILL VERTICAL ACCEL. Kv_uh [g]  0.000            0.000
DOWNHILL VERTICAL ACCEL.Kv_dh [g]  0.000            0.000
UPHILL BETA ANGLE (SLOPE) [deg]  0.000            0.000
UPHILL DELTA/PHI RATIO  0.000            0.000
DOWNHILL BETA ANGLE (SLOPE) [deg]  0.000            0.000
DOWNHILL DELTA/PHI RATIO  0.000            0.000
DYN.WATER BEHAVIOUR  0.000            0.000
Excess pore pressure RATIO Ru  0.000            0.000
SEISMIC PRESSURE LOWER VALUE  0.000            0.000
SEISMIC PRESSURE UPPER VALUE  0.000            0.000
SEISMIC PRESSURE LOWER LEVEL  0.000            0.000
SEISMIC PRESSURE UPPER LEVEL  0.000            0.000

```

=====
=====end of step 2

```

STEP NO.      3 no. of subincrements      1
                LEFT WALL      RIGHT WALL
Y              0.000            -0.9990E+30

```

Z-PC	0.000	0.000
Z-EXCAVATION	-4.700	0.000
Z-WATER_TABLE	-9.500	-0.9990E+30
Q_AT_THE_FREE_FIELD_LEVEL	57.00	0.000
ZQ	0.000	0.000
DZW_OF_THE_WATER_TABLE	0.000	0.000
QS_ON_THE_EXCAVATION_SIDE	0.000	0.000
ZQS	-4.700	-0.9990E+30
ZCUT	0.000	0.000
BALANCE LEVEL FOR PORE PRESSURES	-18.20	-18.20
WATER_BEHAVIOUR_FLAG (LINING OPT)	0.000	0.000
PORE_UPDATE_FLAG	0.000	0.000
PORE_TAB._FLAG (gt.0= use tabs)	0.000	0.000
lateral thrusts reduction elevatio	0.000	0.000
Downhill reduction factor for effe	0.000	0.000
Downhill reduction factor for pore	0.000	0.000
Uphill reduction factor for effect	0.000	0.000
Uphill reduction factor for pore p	0.000	0.000
SEISMIC HORIZONTAL ACCEL. Kh [g]	0.000	0.000
UPHILL VERTICAL ACCEL. Kv_uh [g]	0.000	0.000
DOWNHILL VERTICAL ACCEL.Kv_dh [g]	0.000	0.000
UPHILL BETA ANGLE (SLOPE) [deg]	0.000	0.000
UPHILL DELTA/PHI RATIO	0.000	0.000
DOWNHILL BETA ANGLE (SLOPE) [deg]	0.000	0.000
DOWNHILL DELTA/PHI RATIO	0.000	0.000
DYN.WATER BEHAVIOUR	0.000	0.000
Excess pore pressure RATIO Ru	0.000	0.000
SEISMIC PRESSURE LOWER VALUE	0.000	0.000
SEISMIC PRESSURE UPPER VALUE	0.000	0.000
SEISMIC PRESSURE LOWER LEVEL	0.000	0.000
SEISMIC PRESSURE UPPER LEVEL	0.000	0.000

=====
=====end of step 3

STEP NO.	4 no. of subincrements	1	
		LEFT WALL	RIGHT WALL
Y		0.000	-0.9990E+30
Z-PC		0.000	0.000
Z-EXCAVATION		-4.700	0.000
Z-WATER_TABLE		-9.500	-0.9990E+30
Q_AT_THE_FREE_FIELD_LEVEL		57.00	0.000
ZQ		0.000	0.000
DZW_OF_THE_WATER_TABLE		0.000	0.000
QS_ON_THE_EXCAVATION_SIDE		0.000	0.000
ZQS		0.000	-0.9990E+30
ZCUT		0.000	0.000
BALANCE LEVEL FOR PORE PRESSURES		-18.20	-18.20
WATER_BEHAVIOUR_FLAG (LINING OPT)		0.000	0.000
PORE_UPDATE_FLAG		0.000	0.000
PORE_TAB._FLAG (gt.0= use tabs)		0.000	0.000
lateral thrusts reduction elevatio		0.000	0.000
Downhill reduction factor for effe		0.000	0.000
Downhill reduction factor for pore		0.000	0.000
Uphill reduction factor for effect		0.000	0.000
Uphill reduction factor for pore p		0.000	0.000
SEISMIC HORIZONTAL ACCEL. Kh [g]		0.000	0.000
UPHILL VERTICAL ACCEL. Kv_uh [g]		0.000	0.000
DOWNHILL VERTICAL ACCEL.Kv_dh [g]		0.000	0.000
UPHILL BETA ANGLE (SLOPE) [deg]		0.000	0.000
UPHILL DELTA/PHI RATIO		0.000	0.000
DOWNHILL BETA ANGLE (SLOPE) [deg]		0.000	0.000
DOWNHILL DELTA/PHI RATIO		0.000	0.000
DYN.WATER BEHAVIOUR		0.000	0.000
Excess pore pressure RATIO Ru		0.000	0.000
SEISMIC PRESSURE LOWER VALUE		0.000	0.000
SEISMIC PRESSURE UPPER VALUE		0.000	0.000
SEISMIC PRESSURE LOWER LEVEL		0.000	0.000
SEISMIC PRESSURE UPPER LEVEL		0.000	0.000

=====
=====end of step 4

LEFT-HAND WALL

LOWER LEVEL	-18.20000
UPPER LEVEL	0.00000

RIGHT-HAND WALL

LOWER LEVEL	-18.20000
UPPER LEVEL	0.00000

```

+-----+
|          PARATIEPLUS(TM)  NLS ENGINE RELEASE  2022.0.0  FULL VERSION  *Build date:Sep 13, 2021*          |
|                                                                                                                                            |
|                                                                                               ParatiePlus                               |
|                                                                                               Exe Time :28 January 2022   11:11:17          |
+-----+

```

I N I T I A L S T R E S S T A B L E S

S E C T I O N

NUMBER OF DEFINED TABLES 17

INPUT DATA FOR INITIAL STRESS SET NO. 1
PERTAINING SOIL ELEMENTS AT Y-COORD 0.0000

ACTIVATION TIME 3.0000
END TIME (TIME BEYOND WHICH IT IS REMOVED) 4.0000

TYPE BOUSSINESQ

HORIZONTAL DISTANCE (DY) 6.700000000000000
FOUNDATION WIDTH (B) 0.378240000000000
ZETA-F..... 0.000000000000000E+000
Q-F 58.8240000000000
BETA 45.0000000000000
BEHAVIOUR (0=FREE, 1=REFLECTING) 0.000000000000000E+000

INPUT DATA FOR INITIAL STRESS SET NO. 2
PERTAINING SOIL ELEMENTS AT Y-COORD 0.0000

ACTIVATION TIME 3.0000
END TIME (TIME BEYOND WHICH IT IS REMOVED) 4.0000

TYPE BOUSSINESQ

HORIZONTAL DISTANCE (DY) 7.078200000000000
FOUNDATION WIDTH (B) 0.378240000000000
ZETA-F..... 0.000000000000000E+000
Q-F 56.4710000000000
BETA 45.0000000000000
BEHAVIOUR (0=FREE, 1=REFLECTING) 0.000000000000000E+000

INPUT DATA FOR INITIAL STRESS SET NO. 3
PERTAINING SOIL ELEMENTS AT Y-COORD 0.0000

ACTIVATION TIME 3.0000
END TIME (TIME BEYOND WHICH IT IS REMOVED) 4.0000

TYPE BOUSSINESQ

HORIZONTAL DISTANCE (DY) 7.456500000000000
FOUNDATION WIDTH (B) 0.378240000000000
ZETA-F..... 0.000000000000000E+000
Q-F 54.1180000000000
BETA 45.0000000000000
BEHAVIOUR (0=FREE, 1=REFLECTING) 0.000000000000000E+000

INPUT DATA FOR INITIAL STRESS SET NO. 4
PERTAINING SOIL ELEMENTS AT Y-COORD 0.0000

ACTIVATION TIME 3.0000
END TIME (TIME BEYOND WHICH IT IS REMOVED) 4.0000

TYPE BOUSSINESQ

HORIZONTAL DISTANCE (DY) 7.834700000000000
FOUNDATION WIDTH (B) 0.378240000000000
ZETA-F..... 0.000000000000000E+000
Q-F 51.7650000000000
BETA 45.0000000000000
BEHAVIOUR (0=FREE, 1=REFLECTING) 0.000000000000000E+000

INPUT DATA FOR INITIAL STRESS SET NO. 5
PERTAINING SOIL ELEMENTS AT Y-COORD 0.0000

ACTIVATION TIME 3.0000
END TIME (TIME BEYOND WHICH IT IS REMOVED) 4.0000

TYPE BOUSSINESQ

HORIZONTAL DISTANCE (DY) 8.212900000000000
FOUNDATION WIDTH (B) 0.378240000000000
ZETA-F..... 0.000000000000000E+000
Q-F 49.4120000000000

BETA 45.00000000000000
BEHAVIOUR (0=FREE, 1=REFLECTING) 0.0000000000000000E+000

INPUT DATA FOR INITIAL STRESS SET NO. 6
PERTAINING SOIL ELEMENTS AT Y-COORD 0.0000

ACTIVATION TIME 3.0000
END TIME (TIME BEYOND WHICH IT IS REMOVED) 4.0000

TYPE BOUSSINESQ

HORIZONTAL DISTANCE (DY) 8.591200000000000
FOUNDATION WIDTH (B) 0.3782400000000000
ZETA-F..... 0.0000000000000000E+000
Q-F 47.059000000000000
BETA 45.000000000000000
BEHAVIOUR (0=FREE, 1=REFLECTING) 0.0000000000000000E+000

INPUT DATA FOR INITIAL STRESS SET NO. 7
PERTAINING SOIL ELEMENTS AT Y-COORD 0.0000

ACTIVATION TIME 3.0000
END TIME (TIME BEYOND WHICH IT IS REMOVED) 4.0000

TYPE BOUSSINESQ

HORIZONTAL DISTANCE (DY) 8.969400000000000
FOUNDATION WIDTH (B) 0.3782400000000000
ZETA-F..... 0.0000000000000000E+000
Q-F 44.706000000000000
BETA 45.000000000000000
BEHAVIOUR (0=FREE, 1=REFLECTING) 0.0000000000000000E+000

INPUT DATA FOR INITIAL STRESS SET NO. 8
PERTAINING SOIL ELEMENTS AT Y-COORD 0.0000

ACTIVATION TIME 3.0000
END TIME (TIME BEYOND WHICH IT IS REMOVED) 4.0000

TYPE BOUSSINESQ

HORIZONTAL DISTANCE (DY) 9.347600000000000
FOUNDATION WIDTH (B) 0.3782400000000000
ZETA-F..... 0.0000000000000000E+000
Q-F 42.353000000000000
BETA 45.000000000000000
BEHAVIOUR (0=FREE, 1=REFLECTING) 0.0000000000000000E+000

INPUT DATA FOR INITIAL STRESS SET NO. 9
PERTAINING SOIL ELEMENTS AT Y-COORD 0.0000

ACTIVATION TIME 3.0000
END TIME (TIME BEYOND WHICH IT IS REMOVED) 4.0000

TYPE BOUSSINESQ

HORIZONTAL DISTANCE (DY) 9.725900000000000
FOUNDATION WIDTH (B) 0.3782400000000000
ZETA-F..... 0.0000000000000000E+000
Q-F 40.000000000000000
BETA 45.000000000000000
BEHAVIOUR (0=FREE, 1=REFLECTING) 0.0000000000000000E+000

INPUT DATA FOR INITIAL STRESS SET NO. 10
PERTAINING SOIL ELEMENTS AT Y-COORD 0.0000

ACTIVATION TIME 3.0000
END TIME (TIME BEYOND WHICH IT IS REMOVED) 4.0000

TYPE BOUSSINESQ

HORIZONTAL DISTANCE (DY) 10.104000000000000
FOUNDATION WIDTH (B) 0.3782400000000000
ZETA-F..... 0.0000000000000000E+000
Q-F 37.647000000000000
BETA 45.000000000000000
BEHAVIOUR (0=FREE, 1=REFLECTING) 0.0000000000000000E+000

INPUT DATA FOR INITIAL STRESS SET NO. 11
PERTAINING SOIL ELEMENTS AT Y-COORD 0.0000

ACTIVATION TIME 3.0000
END TIME (TIME BEYOND WHICH IT IS REMOVED) 4.0000

TYPE BOUSSINESQ

HORIZONTAL DISTANCE (DY) 10.4820000000000
FOUNDATION WIDTH (B) 0.378240000000000
ZETA-F..... 0.000000000000000E+000
Q-F 35.2940000000000
BETA 45.0000000000000
BEHAVIOUR (0=FREE, 1=REFLECTING) 0.000000000000000E+000

INPUT DATA FOR INITIAL STRESS SET NO. 12
PERTAINING SOIL ELEMENTS AT Y-COORD 0.0000

ACTIVATION TIME 3.0000
END TIME (TIME BEYOND WHICH IT IS REMOVED) 4.0000

TYPE BOUSSINESQ

HORIZONTAL DISTANCE (DY) 10.8610000000000
FOUNDATION WIDTH (B) 0.378240000000000
ZETA-F..... 0.000000000000000E+000
Q-F 32.9410000000000
BETA 45.0000000000000
BEHAVIOUR (0=FREE, 1=REFLECTING) 0.000000000000000E+000

INPUT DATA FOR INITIAL STRESS SET NO. 13
PERTAINING SOIL ELEMENTS AT Y-COORD 0.0000

ACTIVATION TIME 3.0000
END TIME (TIME BEYOND WHICH IT IS REMOVED) 4.0000

TYPE BOUSSINESQ

HORIZONTAL DISTANCE (DY) 11.2390000000000
FOUNDATION WIDTH (B) 0.378240000000000
ZETA-F..... 0.000000000000000E+000
Q-F 30.5880000000000
BETA 45.0000000000000
BEHAVIOUR (0=FREE, 1=REFLECTING) 0.000000000000000E+000

INPUT DATA FOR INITIAL STRESS SET NO. 14
PERTAINING SOIL ELEMENTS AT Y-COORD 0.0000

ACTIVATION TIME 3.0000
END TIME (TIME BEYOND WHICH IT IS REMOVED) 4.0000

TYPE BOUSSINESQ

HORIZONTAL DISTANCE (DY) 11.6170000000000
FOUNDATION WIDTH (B) 0.378240000000000
ZETA-F..... 0.000000000000000E+000
Q-F 28.2350000000000
BETA 45.0000000000000
BEHAVIOUR (0=FREE, 1=REFLECTING) 0.000000000000000E+000

INPUT DATA FOR INITIAL STRESS SET NO. 15
PERTAINING SOIL ELEMENTS AT Y-COORD 0.0000

ACTIVATION TIME 3.0000
END TIME (TIME BEYOND WHICH IT IS REMOVED) 4.0000

TYPE BOUSSINESQ

HORIZONTAL DISTANCE (DY) 11.9950000000000
FOUNDATION WIDTH (B) 0.378240000000000
ZETA-F..... 0.000000000000000E+000
Q-F 25.8820000000000
BETA 45.0000000000000
BEHAVIOUR (0=FREE, 1=REFLECTING) 0.000000000000000E+000

INPUT DATA FOR INITIAL STRESS SET NO. 16
PERTAINING SOIL ELEMENTS AT Y-COORD 0.0000

ACTIVATION TIME 3.0000
END TIME (TIME BEYOND WHICH IT IS REMOVED) 4.0000

TYPE BOUSSINESQ

HORIZONTAL DISTANCE (DY) 12.3740000000000
FOUNDATION WIDTH (B) 0.378240000000000
ZETA-F..... 0.000000000000000E+000
Q-F 23.5290000000000
BETA 45.0000000000000
BEHAVIOUR (0=FREE, 1=REFLECTING) 0.000000000000000E+000

INPUT DATA FOR INITIAL STRESS SET NO. 17
PERTAINING SOIL ELEMENTS AT Y-COORD 0.0000

ACTIVATION TIME 3.0000

END TIME (TIME BEYOND WHICH IT IS REMOVED) 4.0000

TYPE BOUSSINESQ

HORIZONTAL DISTANCE (DY) 12.7520000000000
FOUNDATION WIDTH (B) 0.378240000000000
ZETA-F..... 0.000000000000000E+000
Q-F 21.1760000000000
BETA 45.0000000000000
BEHAVIOUR (0=FREE, 1=REFLECTING) 0.000000000000000E+000

ELEMENT GROUPS BACKUP AREA CAN STAY IN CORE AT
POSITION 7228

NO. OF D.P.W FOR THIS AREA 14242
MAX NO. OF D.P.W. AVAILABLE 81920
** MAX NO OF ITERATIONS SET TO 40

ITER 0 RNORM = 0.000 RMNORM= 0.000
RINORM=0.5558E+05 RIMNOR= 0.000
RENORM= 0.000 REMNOR= 0.000 RATIO = 0.000 TOLER =0.1000E-03 CONVERGED !
RFMAX = 36.48 RMMAX = 0.000
RTSMAL=0.1000E-03 RMSMAL= 0.000
RDT =0.5558E+05 RDR = 0.000
RATIOT= 0.000 RATIO= 0.000
MAX UN= 0.000 IEQ= 186 NODE 93 DOF 2 X-ROT. F
MIN UN= 0.000 IEQ= 1 NODE 1 DOF 1 Y-DISPL.F
NO. OF CONTACT CONSTRAINT VIOLATIONS 0

ITER 1 RNORM = 0.000 RMNORM= 0.000
RINORM=0.5558E+05 RIMNOR= 0.000
RENORM= 0.000 REMNOR= 0.000 RATIO = 0.000 TOLER =0.1000E-03 CONVERGED !
RFMAX = 36.48 RMMAX = 0.000
RTSMAL=0.1000E-03 RMSMAL= 0.000
RDT =0.5558E+05 RDR = 0.000
RATIOT= 0.000 RATIO= 0.000
MAX UN= 0.000 IEQ= 186 NODE 93 DOF 2 X-ROT. F
MIN UN= 0.000 IEQ= 1 NODE 1 DOF 1 Y-DISPL.F
NO. OF CONTACT CONSTRAINT VIOLATIONS 0

ITER 2 RNORM = 0.000 RMNORM= 0.000
RINORM=0.5558E+05 RIMNOR= 0.000
RENORM= 0.000 REMNOR= 0.000 RATIO = 0.000 TOLER =0.1000E-03 CONVERGED !
RFMAX = 36.48 RMMAX = 0.000
RTSMAL=0.1000E-03 RMSMAL= 0.000
RDT =0.5558E+05 RDR = 0.000
RATIOT= 0.000 RATIO= 0.000
MAX UN= 0.000 IEQ= 186 NODE 93 DOF 2 X-ROT. F
MIN UN= 0.000 IEQ= 1 NODE 1 DOF 1 Y-DISPL.F
NO. OF CONTACT CONSTRAINT VIOLATIONS 0

```
+-----+
|          PARATIEPLUS(TM)  NLS ENGINE RELEASE  2022.0.0  FULL VERSION  *Build date:Sep 13, 2021*  |
|                                                                                               |
|                                                                                               |
|                               ParatiePlus                                                    |
|                               Exe Time :28 January 2022  11:11:17                            |
+-----+
```

New Project

SOLUTION REACHED USING 2 ITERATIONS ON 40

P R I N T O U T F O R T I M E S T E P 1 (AT TIME 1.000) SUBINCREMENT 00001/00001

PRINT OUT OF ACTIVE COMPONENTS (FIXED NODES ARE NOT PRINTED OUT)

Y-DISPL.F	X-ROT. F
02	04

ALL NODAL POINTS HAVE ZERO DISPLACEMENT COMPONENTS

```

+-----+
|                PARATIEPLUS(TM)  NLS ENGINE RELEASE 2022.0.0  FULL VERSION  *Build date:Sep 13, 2021*                |
|                                                                                                                                            |
|                                                                                               ParatiePlus                                                                                               |
|                                                                                               Exe Time :28 January 2022   11:11:17                                                                                               |
+-----+

```

New Project

S T R E S S R E S U L T S F O R G R O U P N O . 1

0_L :
ELEMENT TYPE 5 NO.OF ELEMENTS. IN THIS GROUP 93
C U R R E N T T I M E I S 1.0000 SUBINCREMENT 00001/00001

HARDENING 2D SOIL ELEMENT

***** TOTAL STRESS FORMULATION *****

EL * TOR QSL	FORCE UFACTOR ZD	DISPL-Y Peq ZPL	VERTICAL-P Su_a Kz	HORIZON.-P Su_p	MAX-V-P Coh_e_a	MAX-H-P Coh_e_p	STATE LAYER	STIFFNESS	Z-LEVEL	PORE ZFO	E FAC- QS
1	0.000	--	--	--	--	--	REMOVED	--	0.000	0.000	
1.000	1.000	0.000	0.000	0.000	0.000	0.000	not available				
2	0.000	--	--	--	--	--	REMOVED	--	-0.2000	0.000	
1.000	1.000	0.000	0.000	0.000	0.000	0.000	not available				
3	0.000	--	--	--	--	--	REMOVED	--	-0.4000	0.000	
1.000	1.000	0.000	0.000	0.000	0.000	0.000	not available				
4	0.000	--	--	--	--	--	REMOVED	--	-0.6000	0.000	
1.000	1.000	0.000	0.000	0.000	0.000	0.000	not available				
5	0.000	--	--	--	--	--	REMOVED	--	-0.8000	0.000	
1.000	1.000	0.000	0.000	0.000	0.000	0.000	not available				
6	0.000	--	--	--	--	--	REMOVED	--	-1.000	0.000	
1.000	1.000	0.000	0.000	0.000	0.000	0.000	not available				
7	0.000	--	--	--	--	--	REMOVED	--	-1.200	0.000	
1.000	1.000	0.000	0.000	0.000	0.000	0.000	not available				
8	0.000	--	--	--	--	--	REMOVED	--	-1.400	0.000	
1.000	1.000	0.000	0.000	0.000	0.000	0.000	not available				
9	0.000	--	--	--	--	--	REMOVED	--	-1.600	0.000	
1.000	1.000	0.000	0.000	0.000	0.000	0.000	not available				
10	0.000	--	--	--	--	--	REMOVED	--	-1.800	0.000	
1.000	1.000	0.000	0.000	0.000	0.000	0.000	not available				
11	0.000	--	--	--	--	--	REMOVED	--	-2.000	0.000	
1.000	1.000	0.000	0.000	0.000	0.000	0.000	not available				
12	0.000	--	--	--	--	--	REMOVED	--	-2.200	0.000	
1.000	1.000	0.000	0.000	0.000	0.000	0.000	not available				
13	0.000	--	--	--	--	--	REMOVED	--	-2.400	0.000	
1.000	1.000	0.000	0.000	0.000	0.000	0.000	not available				
14	0.000	--	--	--	--	--	REMOVED	--	-2.600	0.000	
1.000	1.000	0.000	0.000	0.000	0.000	0.000	not available				
15	0.000	--	--	--	--	--	REMOVED	--	-2.800	0.000	
1.000	1.000	0.000	0.000	0.000	0.000	0.000	not available				
16	0.000	--	--	--	--	--	REMOVED	--	-3.000	0.000	
1.000	1.000	0.000	0.000	0.000	0.000	0.000	not available				
17	0.000	--	--	--	--	--	REMOVED	--	-3.200	0.000	
1.000	1.000	0.000	0.000	0.000	0.000	0.000	not available				
18	0.000	--	--	--	--	--	REMOVED	--	-3.400	0.000	
1.000	1.000	0.000	0.000	0.000	0.000	0.000	not available				
19	0.000	--	--	--	--	--	REMOVED	--	-3.600	0.000	
1.000	1.000	0.000	0.000	0.000	0.000	0.000	not available				
20	0.000	--	--	--	--	--	REMOVED	--	-3.800	0.000	
1.000	1.000	0.000	0.000	0.000	0.000	0.000	not available				
21	0.000	--	--	--	--	--	REMOVED	--	-4.000	0.000	
1.000	1.000	0.000	0.000	0.000	0.000	0.000	not available				
22	0.000	--	--	--	--	--	REMOVED	--	-4.200	0.000	
1.000	1.000	0.000	0.000	0.000	0.000	0.000	not available				
23	0.000	--	--	--	--	--	REMOVED	--	-4.400	0.000	
1.000	1.000	0.000	0.000	0.000	0.000	0.000	not available				
24	0.000	--	--	--	--	--	REMOVED	--	-4.600	0.000	
1.000	1.000	0.000	0.000	0.000	0.000	0.000	not available				
25 D	0.000	0.000	0.000	0.000	0.000	0.000	V-C 1.8377E+04		-4.700	0.000	
1.000	1.000	0.000	0.000	0.000	0.000	0.000	Ala_161_6590_L_0			0.0000	
0.0000	0.0000	0.0000	0.0000	0.0000	0.0000	0.0000					
26 D	0.4384	0.000	3.900	2.192	3.900	2.192	V-C 1.8377E+04		-4.900	0.000	
1.000	1.000	2.192	0.000	0.000	0.000	0.000	Ala_161_6590_L_0			0.0000	
0.0000	0.0000	0.0000	0.0000	0.0000	0.0000	0.0000					
27 D	0.8767	0.000	7.800	4.384	7.800	4.384	V-C 1.8377E+04		-5.100	0.000	
1.000	1.000	4.384	0.000	0.000	0.000	0.000	Ala_161_6590_L_0			0.0000	
0.0000	0.0000	0.0000	0.0000	0.0000	0.0000	0.0000					
28 D	1.315	0.000	11.70	6.575	11.70	6.575	V-C 1.8377E+04		-5.300	0.000	
1.000	1.000	6.575	0.000	0.000	0.000	0.000	Ala_161_6590_L_0			0.0000	
0.0000	0.0000	0.0000	0.0000	0.0000	0.0000	0.0000					
29 D	1.753	0.000	15.60	8.767	15.60	8.767	V-C 1.8377E+04		-5.500	0.000	
1.000	1.000	8.767	0.000	0.000	0.000	0.000	Ala_161_6590_L_0			0.0000	
0.0000	0.0000	0.0000	0.0000	0.0000	0.0000	0.0000					
30 D	2.192	0.000	19.50	10.96	19.50	10.96	V-C 1.8377E+04		-5.700	0.000	

1.000	1.000	10.96	0.000	0.000	0.000	0.000	Ala_161_6590_L_0	0.0000	
0.0000	0.0000	0.0000	0.0000	0.0000	0.0000	0.0000			
31 D	2.630	0.000	23.40	13.15	23.40	13.15	V-C 1.8377E+04	-5.900	0.000
1.000	1.000	13.15	0.000	0.000	0.000	0.000	Ala_161_6590_L_0	0.0000	
0.0000	0.0000	0.0000	0.0000	0.0000	0.0000	0.0000			
32 D	3.069	0.000	27.30	15.34	27.30	15.34	V-C 1.8377E+04	-6.100	0.000
1.000	1.000	15.34	0.000	0.000	0.000	0.000	Ala_161_6590_L_0	0.0000	
0.0000	0.0000	0.0000	0.0000	0.0000	0.0000	0.0000			
33 D	3.507	0.000	31.20	17.53	31.20	17.53	V-C 1.8377E+04	-6.300	0.000
1.000	1.000	17.53	0.000	0.000	0.000	0.000	Ala_161_6590_L_0	0.0000	
0.0000	0.0000	0.0000	0.0000	0.0000	0.0000	0.0000			
34 D	3.945	0.000	35.10	19.73	35.10	19.73	V-C 1.8377E+04	-6.500	0.000
1.000	1.000	19.73	0.000	0.000	0.000	0.000	Ala_161_6590_L_0	0.0000	
0.0000	0.0000	0.0000	0.0000	0.0000	0.0000	0.0000			
35 D	4.384	0.000	39.00	21.92	39.00	21.92	V-C 1.8377E+04	-6.700	0.000
1.000	1.000	21.92	0.000	0.000	0.000	0.000	Ala_161_6590_L_0	0.0000	
0.0000	0.0000	0.0000	0.0000	0.0000	0.0000	0.0000			
36 D	4.822	0.000	42.90	24.11	42.90	24.11	V-C 1.8377E+04	-6.900	0.000
1.000	1.000	24.11	0.000	0.000	0.000	0.000	Ala_161_6590_L_0	0.0000	
0.0000	0.0000	0.0000	0.0000	0.0000	0.0000	0.0000			
37 D	5.260	0.000	46.80	26.30	46.80	26.30	V-C 1.8377E+04	-7.100	0.000
1.000	1.000	26.30	0.000	0.000	0.000	0.000	Ala_161_6590_L_0	0.0000	
0.0000	0.0000	0.0000	0.0000	0.0000	0.0000	0.0000			
38 D	5.699	0.000	50.70	28.49	50.70	28.49	V-C 1.8377E+04	-7.300	0.000
1.000	1.000	28.49	0.000	0.000	0.000	0.000	Ala_161_6590_L_0	0.0000	
0.0000	0.0000	0.0000	0.0000	0.0000	0.0000	0.0000			
39 D	6.137	0.000	54.60	30.69	54.60	30.69	V-C 1.8377E+04	-7.500	0.000
1.000	1.000	30.69	0.000	0.000	0.000	0.000	Ala_161_6590_L_0	0.0000	
0.0000	0.0000	0.0000	0.0000	0.0000	0.0000	0.0000			
40 D	6.575	0.000	58.50	32.88	58.50	32.88	V-C 1.8377E+04	-7.700	0.000
1.000	1.000	32.88	0.000	0.000	0.000	0.000	Ala_161_6590_L_0	0.0000	
0.0000	0.0000	0.0000	0.0000	0.0000	0.0000	0.0000			
41 D	7.014	0.000	62.40	35.07	62.40	35.07	V-C 1.8377E+04	-7.900	0.000
1.000	1.000	35.07	0.000	0.000	0.000	0.000	Ala_161_6590_L_0	0.0000	
0.0000	0.0000	0.0000	0.0000	0.0000	0.0000	0.0000			
42 D	7.452	0.000	66.30	37.26	66.30	37.26	V-C 1.8377E+04	-8.100	0.000
1.000	1.000	37.26	0.000	0.000	0.000	0.000	Ala_161_6590_L_0	0.0000	
0.0000	0.0000	0.0000	0.0000	0.0000	0.0000	0.0000			
43 D	7.890	0.000	70.20	39.45	70.20	39.45	V-C 1.8377E+04	-8.300	0.000
1.000	1.000	39.45	0.000	0.000	0.000	0.000	Ala_161_6590_L_0	0.0000	
0.0000	0.0000	0.0000	0.0000	0.0000	0.0000	0.0000			
44 D	8.329	0.000	74.10	41.64	74.10	41.64	V-C 1.8377E+04	-8.500	0.000
1.000	1.000	41.64	0.000	0.000	0.000	0.000	Ala_161_6590_L_0	0.0000	
0.0000	0.0000	0.0000	0.0000	0.0000	0.0000	0.0000			
45 D	8.767	0.000	78.00	43.84	78.00	43.84	V-C 1.8377E+04	-8.700	0.000
1.000	1.000	43.84	0.000	0.000	0.000	0.000	Ala_161_6590_L_0	0.0000	
0.0000	0.0000	0.0000	0.0000	0.0000	0.0000	0.0000			
46 D	9.206	0.000	81.90	46.03	81.90	46.03	V-C 1.8377E+04	-8.900	0.000
1.000	1.000	46.03	0.000	0.000	0.000	0.000	Ala_161_6590_L_0	0.0000	
0.0000	0.0000	0.0000	0.0000	0.0000	0.0000	0.0000			
47 D	9.644	0.000	85.80	48.22	85.80	48.22	V-C 1.8377E+04	-9.100	0.000
1.000	1.000	48.22	0.000	0.000	0.000	0.000	Ala_161_6590_L_0	0.0000	
0.0000	0.0000	0.0000	0.0000	0.0000	0.0000	0.0000			
48 D	10.08	0.000	89.70	50.41	89.70	50.41	V-C 1.8377E+04	-9.300	0.000
1.000	1.000	50.41	0.000	0.000	0.000	0.000	Ala_161_6590_L_0	0.0000	
0.0000	0.0000	0.0000	0.0000	0.0000	0.0000	0.0000			
49 D	10.52	0.000	93.60	52.60	93.60	52.60	V-C 1.8377E+04	-9.500	0.000
1.000	1.000	52.60	0.000	0.000	0.000	0.000	Ala_161_6590_L_0	0.0000	
0.0000	0.0000	0.0000	0.0000	0.0000	0.0000	0.0000			
50 D	11.13	0.000	95.50	53.67	95.50	53.67	V-C 1.8377E+04	-9.700	2.000
1.000	1.000	55.67	0.000	0.000	0.000	0.000	Ala_161_6590_L_0	0.0000	
0.0000	0.0000	0.0000	0.0000	0.0000	0.0000	0.0000			
51 D	11.75	0.000	97.40	54.74	97.40	54.74	V-C 1.8377E+04	-9.900	4.000
1.000	1.000	58.74	0.000	0.000	0.000	0.000	Ala_161_6590_L_0	0.0000	
0.0000	0.0000	0.0000	0.0000	0.0000	0.0000	0.0000			
52 D	12.36	0.000	99.30	55.81	99.30	55.81	V-C 1.8377E+04	-10.10	6.000
1.000	1.000	61.81	0.000	0.000	0.000	0.000	Ala_161_6590_L_0	0.0000	
0.0000	0.0000	0.0000	0.0000	0.0000	0.0000	0.0000			
53 D	12.97	0.000	101.2	56.87	101.2	56.87	V-C 1.8377E+04	-10.30	8.000
1.000	1.000	64.87	0.000	0.000	0.000	0.000	Ala_161_6590_L_0	0.0000	
0.0000	0.0000	0.0000	0.0000	0.0000	0.0000	0.0000			
54 D	13.59	0.000	103.1	57.94	103.1	57.94	V-C 1.8377E+04	-10.50	10.000
1.000	1.000	67.94	0.000	0.000	0.000	0.000	Ala_161_6590_L_0	0.0000	
0.0000	0.0000	0.0000	0.0000	0.0000	0.0000	0.0000			
55 D	14.20	0.000	105.0	59.01	105.0	59.01	V-C 1.8377E+04	-10.70	12.00
1.000	1.000	71.01	0.000	0.000	0.000	0.000	Ala_161_6590_L_0	0.0000	
0.0000	0.0000	0.0000	0.0000	0.0000	0.0000	0.0000			
56 D	14.82	0.000	106.9	60.08	106.9	60.08	V-C 1.8377E+04	-10.90	14.00
1.000	1.000	74.08	0.000	0.000	0.000	0.000	Ala_161_6590_L_0	0.0000	
0.0000	0.0000	0.0000	0.0000	0.0000	0.0000	0.0000			
57 D	15.43	0.000	108.8	61.15	108.8	61.15	V-C 1.8377E+04	-11.10	16.00
1.000	1.000	77.15	0.000	0.000	0.000	0.000	Ala_161_6590_L_0	0.0000	
0.0000	0.0000	0.0000	0.0000	0.0000	0.0000	0.0000			
58 D	16.04	0.000	110.7	62.21	110.7	62.21	V-C 1.8377E+04	-11.30	18.00
1.000	1.000	80.21	0.000	0.000	0.000	0.000	Ala_161_6590_L_0	0.0000	
0.0000	0.0000	0.0000	0.0000	0.0000	0.0000	0.0000			
59 D	16.66	0.000	112.6	63.28	112.6	63.28	V-C 1.8377E+04	-11.50	20.00
1.000	1.000	83.28	0.000	0.000	0.000	0.000	Ala_161_6590_L_0	0.0000	
0.0000	0.0000	0.0000	0.0000	0.0000	0.0000	0.0000			
60 D	17.27	0.000	114.5	64.35	114.5	64.35	V-C 1.8377E+04	-11.70	22.00
1.000	1.000	86.35	0.000	0.000	0.000	0.000	Ala_161_6590_L_0	0.0000	
0.0000	0.0000	0.0000	0.0000	0.0000	0.0000	0.0000			

61 D	17.88	0.000	116.4	65.42	116.4	65.42	V-C 1.8377E+04	-11.90	24.00
1.000	1.000	89.42	0.000	0.000	0.000	0.000	Ala_161_6590_L_0		0.0000
0.0000	0.0000	0.0000	0.0000	0.0000	0.0000	0.0000			
62 D	18.50	0.000	118.3	66.48	118.3	66.48	V-C 1.8377E+04	-12.10	26.00
1.000	1.000	92.48	0.000	0.000	0.000	0.000	Ala_161_6590_L_0		0.0000
0.0000	0.0000	0.0000	0.0000	0.0000	0.0000	0.0000			
63 D	19.11	0.000	120.2	67.55	120.2	67.55	V-C 1.8377E+04	-12.30	28.00
1.000	1.000	95.55	0.000	0.000	0.000	0.000	Ala_161_6590_L_0		0.0000
0.0000	0.0000	0.0000	0.0000	0.0000	0.0000	0.0000			
64 D	19.72	0.000	122.1	68.62	122.1	68.62	V-C 1.8377E+04	-12.50	30.00
1.000	1.000	98.62	0.000	0.000	0.000	0.000	Ala_161_6590_L_0		0.0000
0.0000	0.0000	0.0000	0.0000	0.0000	0.0000	0.0000			
65 D	20.34	0.000	124.0	69.69	124.0	69.69	V-C 1.8377E+04	-12.70	32.00
1.000	1.000	101.7	0.000	0.000	0.000	0.000	Ala_161_6590_L_0		0.0000
0.0000	0.0000	0.0000	0.0000	0.0000	0.0000	0.0000			
66 D	20.95	0.000	125.9	70.76	125.9	70.76	V-C 1.8377E+04	-12.90	34.00
1.000	1.000	104.8	0.000	0.000	0.000	0.000	Ala_161_6590_L_0		0.0000
0.0000	0.0000	0.0000	0.0000	0.0000	0.0000	0.0000			
67 D	21.56	0.000	127.8	71.82	127.8	71.82	V-C 1.8377E+04	-13.10	36.00
1.000	1.000	107.8	0.000	0.000	0.000	0.000	Ala_161_6590_L_0		0.0000
0.0000	0.0000	0.0000	0.0000	0.0000	0.0000	0.0000			
68 D	22.18	0.000	129.7	72.89	129.7	72.89	V-C 1.8377E+04	-13.30	38.00
1.000	1.000	110.9	0.000	0.000	0.000	0.000	Ala_161_6590_L_0		0.0000
0.0000	0.0000	0.0000	0.0000	0.0000	0.0000	0.0000			
69 D	22.79	0.000	131.6	73.96	131.6	73.96	V-C 1.8377E+04	-13.50	40.00
1.000	1.000	114.0	0.000	0.000	0.000	0.000	Ala_161_6590_L_0		0.0000
0.0000	0.0000	0.0000	0.0000	0.0000	0.0000	0.0000			
70 D	23.41	0.000	133.5	75.03	133.5	75.03	V-C 1.8377E+04	-13.70	42.00
1.000	1.000	117.0	0.000	0.000	0.000	0.000	Ala_161_6590_L_0		0.0000
0.0000	0.0000	0.0000	0.0000	0.0000	0.0000	0.0000			
71 D	24.02	0.000	135.4	76.09	135.4	76.09	V-C 1.8377E+04	-13.90	44.00
1.000	1.000	120.1	0.000	0.000	0.000	0.000	Ala_161_6590_L_0		0.0000
0.0000	0.0000	0.0000	0.0000	0.0000	0.0000	0.0000			
72 D	24.63	0.000	137.3	77.16	137.3	77.16	V-C 1.8377E+04	-14.10	46.00
1.000	1.000	123.2	0.000	0.000	0.000	0.000	Ala_161_6590_L_0		0.0000
0.0000	0.0000	0.0000	0.0000	0.0000	0.0000	0.0000			
73 D	25.25	0.000	139.2	78.23	139.2	78.23	V-C 1.8377E+04	-14.30	48.00
1.000	1.000	126.2	0.000	0.000	0.000	0.000	Ala_161_6590_L_0		0.0000
0.0000	0.0000	0.0000	0.0000	0.0000	0.0000	0.0000			
74 D	25.86	0.000	141.1	79.30	141.1	79.30	V-C 1.8377E+04	-14.50	50.00
1.000	1.000	129.3	0.000	0.000	0.000	0.000	Ala_161_6590_L_0		0.0000
0.0000	0.0000	0.0000	0.0000	0.0000	0.0000	0.0000			
75 D	26.47	0.000	143.0	80.37	143.0	80.37	V-C 1.8377E+04	-14.70	52.00
1.000	1.000	132.4	0.000	0.000	0.000	0.000	Ala_161_6590_L_0		0.0000
0.0000	0.0000	0.0000	0.0000	0.0000	0.0000	0.0000			
76 D	27.09	0.000	144.9	81.43	144.9	81.43	V-C 1.8377E+04	-14.90	54.00
1.000	1.000	135.4	0.000	0.000	0.000	0.000	Ala_161_6590_L_0		0.0000
0.0000	0.0000	0.0000	0.0000	0.0000	0.0000	0.0000			
77 D	27.70	0.000	146.8	82.50	146.8	82.50	V-C 1.8377E+04	-15.10	56.00
1.000	1.000	138.5	0.000	0.000	0.000	0.000	Ala_161_6590_L_0		0.0000
0.0000	0.0000	0.0000	0.0000	0.0000	0.0000	0.0000			
78 D	28.31	0.000	148.7	83.57	148.7	83.57	V-C 1.8377E+04	-15.30	58.00
1.000	1.000	141.6	0.000	0.000	0.000	0.000	Ala_161_6590_L_0		0.0000
0.0000	0.0000	0.0000	0.0000	0.0000	0.0000	0.0000			
79 D	28.93	0.000	150.6	84.64	150.6	84.64	V-C 1.8377E+04	-15.50	60.00
1.000	1.000	144.6	0.000	0.000	0.000	0.000	Ala_161_6590_L_0		0.0000
0.0000	0.0000	0.0000	0.0000	0.0000	0.0000	0.0000			
80 D	29.54	0.000	152.5	85.70	152.5	85.70	V-C 1.8377E+04	-15.70	62.00
1.000	1.000	147.7	0.000	0.000	0.000	0.000	Ala_161_6590_L_0		0.0000
0.0000	0.0000	0.0000	0.0000	0.0000	0.0000	0.0000			
81 D	30.15	0.000	154.4	86.77	154.4	86.77	V-C 1.8377E+04	-15.90	64.00
1.000	1.000	150.8	0.000	0.000	0.000	0.000	Ala_161_6590_L_0		0.0000
0.0000	0.0000	0.0000	0.0000	0.0000	0.0000	0.0000			
82 D	30.77	0.000	156.4	87.87	156.4	87.87	V-C 1.0300E+05	-16.10	66.00
1.000	1.000	153.9	0.000	0.000	0.000	0.000	Salt_21271_21259_L_0		0.0000
0.0000	0.0000	0.0000	0.0000	0.0000	0.0000	0.0000			
83 D	31.40	0.000	158.4	89.00	158.4	89.00	V-C 1.0300E+05	-16.30	68.00
1.000	1.000	157.0	0.000	0.000	0.000	0.000	Salt_21271_21259_L_0		0.0000
0.0000	0.0000	0.0000	0.0000	0.0000	0.0000	0.0000			
84 D	32.02	0.000	160.4	90.12	160.4	90.12	V-C 1.0300E+05	-16.50	70.00
1.000	1.000	160.1	0.000	0.000	0.000	0.000	Salt_21271_21259_L_0		0.0000
0.0000	0.0000	0.0000	0.0000	0.0000	0.0000	0.0000			
85 D	32.65	0.000	162.4	91.24	162.4	91.24	V-C 1.0300E+05	-16.70	72.00
1.000	1.000	163.2	0.000	0.000	0.000	0.000	Salt_21271_21259_L_0		0.0000
0.0000	0.0000	0.0000	0.0000	0.0000	0.0000	0.0000			
86 D	33.27	0.000	164.4	92.37	164.4	92.37	V-C 1.0300E+05	-16.90	74.00
1.000	1.000	166.4	0.000	0.000	0.000	0.000	Salt_21271_21259_L_0		0.0000
0.0000	0.0000	0.0000	0.0000	0.0000	0.0000	0.0000			
87 D	33.90	0.000	166.4	93.49	166.4	93.49	V-C 1.0300E+05	-17.10	76.00
1.000	1.000	169.5	0.000	0.000	0.000	0.000	Salt_21271_21259_L_0		0.0000
0.0000	0.0000	0.0000	0.0000	0.0000	0.0000	0.0000			
88 D	34.52	0.000	168.4	94.62	168.4	94.62	V-C 1.0300E+05	-17.30	78.00
1.000	1.000	172.6	0.000	0.000	0.000	0.000	Salt_21271_21259_L_0		0.0000
0.0000	0.0000	0.0000	0.0000	0.0000	0.0000	0.0000			
89 D	35.15	0.000	170.4	95.74	170.4	95.74	V-C 1.0300E+05	-17.50	80.00
1.000	1.000	175.7	0.000	0.000	0.000	0.000	Salt_21271_21259_L_0		0.0000
0.0000	0.0000	0.0000	0.0000	0.0000	0.0000	0.0000			
90 D	35.78	0.000	172.4	96.91	172.4	96.91	V-C 6.2950E+04	-17.70	82.00
1.000	1.000	178.9	0.000	0.000	0.000	0.000	Sch_21272_21260_L_0		0.0000
0.0000	0.0000	0.0000	0.0000	0.0000	0.0000	0.0000			
91 D	36.48	0.000	175.0	98.38	175.0	98.38	V-C 6.2950E+04	-17.90	84.00
1.000	1.000	182.4	0.000	0.000	0.000	0.000	Sch_21272_21260_L_0		0.0000

0.0000	0.0000	0.0000	0.0000	0.0000						
92 D	27.88	0.000	177.6	99.84	177.6	99.84	V-C	6.2950E+04	-18.10	86.00
1.000	1.000	185.8	0.000	0.000	0.000	0.000	Sch_21272_21260_L_0			0.0000
0.0000	0.0000	0.0000	0.0000	0.0000						
93 D	9.378	0.000	178.9	100.6	178.9	100.6	V-C	6.2950E+04	-18.20	87.00
1.000	1.000	187.6	0.000	0.000	0.000	0.000	Sch_21272_21260_L_0			0.0000
0.0000	0.0000	0.0000	0.0000	0.0000						


```

+-----+
|                PARATIEPLUS(TM)  NLS ENGINE RELEASE 2022.0.0  FULL VERSION  *Build date:Sep 13, 2021*                |
|                                                                                                                                            |
|                                                                                               ParatiePlus                                                                                               |
|                                                                                               Exe Time :28 January 2022  11:11:17                                                                                               |
+-----+

```

New Project

S T R E S S R E S U L T S F O R G R O U P N O . 2

```

O_R :
ELEMENT TYPE   5 NO.OF ELEMENTS. IN THIS GROUP   93
C U R R E N T   T I M E   I S   1.0000 SUBINCREMENT 00001/00001

```

HARDENING 2D SOIL ELEMENT

***** TOTAL STRESS FORMULATION *****

EL * TOR QSL	FORCE UFACTOR ZD	DISPL-Y Peq ZPL	VERTICAL-P Su_a Kz	HORIZON.-P Su_p	MAX-V-P Coh_e_a	MAX-H-P Coh_e_p	STATE LAYER	STIFFNESS	Z-LEVEL	PORE ZFO	E FAC- QS
1	0.000	--	--	--	--	--	REMOVED	--	0.000	0.000	
1.000	1.000	0.000	0.000	0.000	0.000	0.000	not available				
2	0.000	--	--	--	--	--	REMOVED	--	-0.2000	0.000	
1.000	1.000	0.000	0.000	0.000	0.000	0.000	not available				
3	0.000	--	--	--	--	--	REMOVED	--	-0.4000	0.000	
1.000	1.000	0.000	0.000	0.000	0.000	0.000	not available				
4	0.000	--	--	--	--	--	REMOVED	--	-0.6000	0.000	
1.000	1.000	0.000	0.000	0.000	0.000	0.000	not available				
5	0.000	--	--	--	--	--	REMOVED	--	-0.8000	0.000	
1.000	1.000	0.000	0.000	0.000	0.000	0.000	not available				
6	0.000	--	--	--	--	--	REMOVED	--	-1.000	0.000	
1.000	1.000	0.000	0.000	0.000	0.000	0.000	not available				
7	0.000	--	--	--	--	--	REMOVED	--	-1.200	0.000	
1.000	1.000	0.000	0.000	0.000	0.000	0.000	not available				
8	0.000	--	--	--	--	--	REMOVED	--	-1.400	0.000	
1.000	1.000	0.000	0.000	0.000	0.000	0.000	not available				
9	0.000	--	--	--	--	--	REMOVED	--	-1.600	0.000	
1.000	1.000	0.000	0.000	0.000	0.000	0.000	not available				
10	0.000	--	--	--	--	--	REMOVED	--	-1.800	0.000	
1.000	1.000	0.000	0.000	0.000	0.000	0.000	not available				
11	0.000	--	--	--	--	--	REMOVED	--	-2.000	0.000	
1.000	1.000	0.000	0.000	0.000	0.000	0.000	not available				
12	0.000	--	--	--	--	--	REMOVED	--	-2.200	0.000	
1.000	1.000	0.000	0.000	0.000	0.000	0.000	not available				
13	0.000	--	--	--	--	--	REMOVED	--	-2.400	0.000	
1.000	1.000	0.000	0.000	0.000	0.000	0.000	not available				
14	0.000	--	--	--	--	--	REMOVED	--	-2.600	0.000	
1.000	1.000	0.000	0.000	0.000	0.000	0.000	not available				
15	0.000	--	--	--	--	--	REMOVED	--	-2.800	0.000	
1.000	1.000	0.000	0.000	0.000	0.000	0.000	not available				
16	0.000	--	--	--	--	--	REMOVED	--	-3.000	0.000	
1.000	1.000	0.000	0.000	0.000	0.000	0.000	not available				
17	0.000	--	--	--	--	--	REMOVED	--	-3.200	0.000	
1.000	1.000	0.000	0.000	0.000	0.000	0.000	not available				
18	0.000	--	--	--	--	--	REMOVED	--	-3.400	0.000	
1.000	1.000	0.000	0.000	0.000	0.000	0.000	not available				
19	0.000	--	--	--	--	--	REMOVED	--	-3.600	0.000	
1.000	1.000	0.000	0.000	0.000	0.000	0.000	not available				
20	0.000	--	--	--	--	--	REMOVED	--	-3.800	0.000	
1.000	1.000	0.000	0.000	0.000	0.000	0.000	not available				
21	0.000	--	--	--	--	--	REMOVED	--	-4.000	0.000	
1.000	1.000	0.000	0.000	0.000	0.000	0.000	not available				
22	0.000	--	--	--	--	--	REMOVED	--	-4.200	0.000	
1.000	1.000	0.000	0.000	0.000	0.000	0.000	not available				
23	0.000	--	--	--	--	--	REMOVED	--	-4.400	0.000	
1.000	1.000	0.000	0.000	0.000	0.000	0.000	not available				
24	0.000	--	--	--	--	--	REMOVED	--	-4.600	0.000	
1.000	1.000	0.000	0.000	0.000	0.000	0.000	not available				
25 D	0.000	0.000	0.000	0.000	0.000	0.000	V-C 2.2640E+04		-4.700	0.000	
1.000	1.000	0.000	0.000	0.000	0.000	0.000	Ala_161_6590_L_0			0.0000	
0.0000	0.0000	0.0000	0.0000	0.0000	0.0000	0.0000					
26 D	0.4384	0.000	3.900	2.192	3.900	2.192	V-C 2.2640E+04		-4.900	0.000	
1.000	1.000	2.192	0.000	0.000	0.000	0.000	Ala_161_6590_L_0			0.0000	
0.0000	0.0000	0.0000	0.0000	0.0000	0.0000	0.0000					
27 D	0.8767	0.000	7.800	4.384	7.800	4.384	V-C 2.2640E+04		-5.100	0.000	
1.000	1.000	4.384	0.000	0.000	0.000	0.000	Ala_161_6590_L_0			0.0000	
0.0000	0.0000	0.0000	0.0000	0.0000	0.0000	0.0000					
28 D	1.315	0.000	11.70	6.575	11.70	6.575	V-C 2.2640E+04		-5.300	0.000	
1.000	1.000	6.575	0.000	0.000	0.000	0.000	Ala_161_6590_L_0			0.0000	
0.0000	0.0000	0.0000	0.0000	0.0000	0.0000	0.0000					
29 D	1.753	0.000	15.60	8.767	15.60	8.767	V-C 2.2640E+04		-5.500	0.000	
1.000	1.000	8.767	0.000	0.000	0.000	0.000	Ala_161_6590_L_0			0.0000	
0.0000	0.0000	0.0000	0.0000	0.0000	0.0000	0.0000					
30 D	2.192	0.000	19.50	10.96	19.50	10.96	V-C 2.2640E+04		-5.700	0.000	

1.000	1.000	10.96	0.000	0.000	0.000	0.000	Ala_161_6590_L_0	0.0000	
0.0000	0.0000	0.0000	0.0000	0.0000	0.0000	0.0000			
31 D	2.630	0.000	23.40	13.15	23.40	13.15	V-C 2.2640E+04	-5.900	0.000
1.000	1.000	13.15	0.000	0.000	0.000	0.000	Ala_161_6590_L_0	0.0000	
0.0000	0.0000	0.0000	0.0000	0.0000	0.0000	0.0000			
32 D	3.069	0.000	27.30	15.34	27.30	15.34	V-C 2.2640E+04	-6.100	0.000
1.000	1.000	15.34	0.000	0.000	0.000	0.000	Ala_161_6590_L_0	0.0000	
0.0000	0.0000	0.0000	0.0000	0.0000	0.0000	0.0000			
33 D	3.507	0.000	31.20	17.53	31.20	17.53	V-C 2.2640E+04	-6.300	0.000
1.000	1.000	17.53	0.000	0.000	0.000	0.000	Ala_161_6590_L_0	0.0000	
0.0000	0.0000	0.0000	0.0000	0.0000	0.0000	0.0000			
34 D	3.945	0.000	35.10	19.73	35.10	19.73	V-C 2.2640E+04	-6.500	0.000
1.000	1.000	19.73	0.000	0.000	0.000	0.000	Ala_161_6590_L_0	0.0000	
0.0000	0.0000	0.0000	0.0000	0.0000	0.0000	0.0000			
35 D	4.384	0.000	39.00	21.92	39.00	21.92	V-C 2.2640E+04	-6.700	0.000
1.000	1.000	21.92	0.000	0.000	0.000	0.000	Ala_161_6590_L_0	0.0000	
0.0000	0.0000	0.0000	0.0000	0.0000	0.0000	0.0000			
36 D	4.822	0.000	42.90	24.11	42.90	24.11	V-C 2.2640E+04	-6.900	0.000
1.000	1.000	24.11	0.000	0.000	0.000	0.000	Ala_161_6590_L_0	0.0000	
0.0000	0.0000	0.0000	0.0000	0.0000	0.0000	0.0000			
37 D	5.260	0.000	46.80	26.30	46.80	26.30	V-C 2.2640E+04	-7.100	0.000
1.000	1.000	26.30	0.000	0.000	0.000	0.000	Ala_161_6590_L_0	0.0000	
0.0000	0.0000	0.0000	0.0000	0.0000	0.0000	0.0000			
38 D	5.699	0.000	50.70	28.49	50.70	28.49	V-C 2.2640E+04	-7.300	0.000
1.000	1.000	28.49	0.000	0.000	0.000	0.000	Ala_161_6590_L_0	0.0000	
0.0000	0.0000	0.0000	0.0000	0.0000	0.0000	0.0000			
39 D	6.137	0.000	54.60	30.69	54.60	30.69	V-C 2.2640E+04	-7.500	0.000
1.000	1.000	30.69	0.000	0.000	0.000	0.000	Ala_161_6590_L_0	0.0000	
0.0000	0.0000	0.0000	0.0000	0.0000	0.0000	0.0000			
40 D	6.575	0.000	58.50	32.88	58.50	32.88	V-C 2.2640E+04	-7.700	0.000
1.000	1.000	32.88	0.000	0.000	0.000	0.000	Ala_161_6590_L_0	0.0000	
0.0000	0.0000	0.0000	0.0000	0.0000	0.0000	0.0000			
41 D	7.014	0.000	62.40	35.07	62.40	35.07	V-C 2.2640E+04	-7.900	0.000
1.000	1.000	35.07	0.000	0.000	0.000	0.000	Ala_161_6590_L_0	0.0000	
0.0000	0.0000	0.0000	0.0000	0.0000	0.0000	0.0000			
42 D	7.452	0.000	66.30	37.26	66.30	37.26	V-C 2.2640E+04	-8.100	0.000
1.000	1.000	37.26	0.000	0.000	0.000	0.000	Ala_161_6590_L_0	0.0000	
0.0000	0.0000	0.0000	0.0000	0.0000	0.0000	0.0000			
43 D	7.890	0.000	70.20	39.45	70.20	39.45	V-C 2.2640E+04	-8.300	0.000
1.000	1.000	39.45	0.000	0.000	0.000	0.000	Ala_161_6590_L_0	0.0000	
0.0000	0.0000	0.0000	0.0000	0.0000	0.0000	0.0000			
44 D	8.329	0.000	74.10	41.64	74.10	41.64	V-C 2.2640E+04	-8.500	0.000
1.000	1.000	41.64	0.000	0.000	0.000	0.000	Ala_161_6590_L_0	0.0000	
0.0000	0.0000	0.0000	0.0000	0.0000	0.0000	0.0000			
45 D	8.767	0.000	78.00	43.84	78.00	43.84	V-C 2.2640E+04	-8.700	0.000
1.000	1.000	43.84	0.000	0.000	0.000	0.000	Ala_161_6590_L_0	0.0000	
0.0000	0.0000	0.0000	0.0000	0.0000	0.0000	0.0000			
46 D	9.206	0.000	81.90	46.03	81.90	46.03	V-C 2.2640E+04	-8.900	0.000
1.000	1.000	46.03	0.000	0.000	0.000	0.000	Ala_161_6590_L_0	0.0000	
0.0000	0.0000	0.0000	0.0000	0.0000	0.0000	0.0000			
47 D	9.644	0.000	85.80	48.22	85.80	48.22	V-C 2.2640E+04	-9.100	0.000
1.000	1.000	48.22	0.000	0.000	0.000	0.000	Ala_161_6590_L_0	0.0000	
0.0000	0.0000	0.0000	0.0000	0.0000	0.0000	0.0000			
48 D	10.08	0.000	89.70	50.41	89.70	50.41	V-C 2.2640E+04	-9.300	0.000
1.000	1.000	50.41	0.000	0.000	0.000	0.000	Ala_161_6590_L_0	0.0000	
0.0000	0.0000	0.0000	0.0000	0.0000	0.0000	0.0000			
49 D	10.52	0.000	93.60	52.60	93.60	52.60	V-C 2.2640E+04	-9.500	0.000
1.000	1.000	52.60	0.000	0.000	0.000	0.000	Ala_161_6590_L_0	0.0000	
0.0000	0.0000	0.0000	0.0000	0.0000	0.0000	0.0000			
50 D	11.13	0.000	95.50	53.67	95.50	53.67	V-C 2.2640E+04	-9.700	2.000
1.000	1.000	55.67	0.000	0.000	0.000	0.000	Ala_161_6590_L_0	0.0000	
0.0000	0.0000	0.0000	0.0000	0.0000	0.0000	0.0000			
51 D	11.75	0.000	97.40	54.74	97.40	54.74	V-C 2.2640E+04	-9.900	4.000
1.000	1.000	58.74	0.000	0.000	0.000	0.000	Ala_161_6590_L_0	0.0000	
0.0000	0.0000	0.0000	0.0000	0.0000	0.0000	0.0000			
52 D	12.36	0.000	99.30	55.81	99.30	55.81	V-C 2.2640E+04	-10.10	6.000
1.000	1.000	61.81	0.000	0.000	0.000	0.000	Ala_161_6590_L_0	0.0000	
0.0000	0.0000	0.0000	0.0000	0.0000	0.0000	0.0000			
53 D	12.97	0.000	101.2	56.87	101.2	56.87	V-C 2.2640E+04	-10.30	8.000
1.000	1.000	64.87	0.000	0.000	0.000	0.000	Ala_161_6590_L_0	0.0000	
0.0000	0.0000	0.0000	0.0000	0.0000	0.0000	0.0000			
54 D	13.59	0.000	103.1	57.94	103.1	57.94	V-C 2.2640E+04	-10.50	10.000
1.000	1.000	67.94	0.000	0.000	0.000	0.000	Ala_161_6590_L_0	0.0000	
0.0000	0.0000	0.0000	0.0000	0.0000	0.0000	0.0000			
55 D	14.20	0.000	105.0	59.01	105.0	59.01	V-C 2.2640E+04	-10.70	12.00
1.000	1.000	71.01	0.000	0.000	0.000	0.000	Ala_161_6590_L_0	0.0000	
0.0000	0.0000	0.0000	0.0000	0.0000	0.0000	0.0000			
56 D	14.82	0.000	106.9	60.08	106.9	60.08	V-C 2.2640E+04	-10.90	14.00
1.000	1.000	74.08	0.000	0.000	0.000	0.000	Ala_161_6590_L_0	0.0000	
0.0000	0.0000	0.0000	0.0000	0.0000	0.0000	0.0000			
57 D	15.43	0.000	108.8	61.15	108.8	61.15	V-C 2.2640E+04	-11.10	16.00
1.000	1.000	77.15	0.000	0.000	0.000	0.000	Ala_161_6590_L_0	0.0000	
0.0000	0.0000	0.0000	0.0000	0.0000	0.0000	0.0000			
58 D	16.04	0.000	110.7	62.21	110.7	62.21	V-C 2.2640E+04	-11.30	18.00
1.000	1.000	80.21	0.000	0.000	0.000	0.000	Ala_161_6590_L_0	0.0000	
0.0000	0.0000	0.0000	0.0000	0.0000	0.0000	0.0000			
59 D	16.66	0.000	112.6	63.28	112.6	63.28	V-C 2.2640E+04	-11.50	20.00
1.000	1.000	83.28	0.000	0.000	0.000	0.000	Ala_161_6590_L_0	0.0000	
0.0000	0.0000	0.0000	0.0000	0.0000	0.0000	0.0000			
60 D	17.27	0.000	114.5	64.35	114.5	64.35	V-C 2.2640E+04	-11.70	22.00
1.000	1.000	86.35	0.000	0.000	0.000	0.000	Ala_161_6590_L_0	0.0000	
0.0000	0.0000	0.0000	0.0000	0.0000	0.0000	0.0000			

61 D	17.88	0.000	116.4	65.42	116.4	65.42	V-C 2.2640E+04	-11.90	24.00
1.000	1.000	89.42	0.000	0.000	0.000	0.000	Ala_161_6590_L_0		0.0000
0.0000	0.0000	0.0000	0.0000	0.0000	0.0000	0.0000			
62 D	18.50	0.000	118.3	66.48	118.3	66.48	V-C 2.2640E+04	-12.10	26.00
1.000	1.000	92.48	0.000	0.000	0.000	0.000	Ala_161_6590_L_0		0.0000
0.0000	0.0000	0.0000	0.0000	0.0000	0.0000	0.0000			
63 D	19.11	0.000	120.2	67.55	120.2	67.55	V-C 2.2640E+04	-12.30	28.00
1.000	1.000	95.55	0.000	0.000	0.000	0.000	Ala_161_6590_L_0		0.0000
0.0000	0.0000	0.0000	0.0000	0.0000	0.0000	0.0000			
64 D	19.72	0.000	122.1	68.62	122.1	68.62	V-C 2.2640E+04	-12.50	30.00
1.000	1.000	98.62	0.000	0.000	0.000	0.000	Ala_161_6590_L_0		0.0000
0.0000	0.0000	0.0000	0.0000	0.0000	0.0000	0.0000			
65 D	20.34	0.000	124.0	69.69	124.0	69.69	V-C 2.2640E+04	-12.70	32.00
1.000	1.000	101.7	0.000	0.000	0.000	0.000	Ala_161_6590_L_0		0.0000
0.0000	0.0000	0.0000	0.0000	0.0000	0.0000	0.0000			
66 D	20.95	0.000	125.9	70.76	125.9	70.76	V-C 2.2640E+04	-12.90	34.00
1.000	1.000	104.8	0.000	0.000	0.000	0.000	Ala_161_6590_L_0		0.0000
0.0000	0.0000	0.0000	0.0000	0.0000	0.0000	0.0000			
67 D	21.56	0.000	127.8	71.82	127.8	71.82	V-C 2.2640E+04	-13.10	36.00
1.000	1.000	107.8	0.000	0.000	0.000	0.000	Ala_161_6590_L_0		0.0000
0.0000	0.0000	0.0000	0.0000	0.0000	0.0000	0.0000			
68 D	22.18	0.000	129.7	72.89	129.7	72.89	V-C 2.2640E+04	-13.30	38.00
1.000	1.000	110.9	0.000	0.000	0.000	0.000	Ala_161_6590_L_0		0.0000
0.0000	0.0000	0.0000	0.0000	0.0000	0.0000	0.0000			
69 D	22.79	0.000	131.6	73.96	131.6	73.96	V-C 2.2640E+04	-13.50	40.00
1.000	1.000	114.0	0.000	0.000	0.000	0.000	Ala_161_6590_L_0		0.0000
0.0000	0.0000	0.0000	0.0000	0.0000	0.0000	0.0000			
70 D	23.41	0.000	133.5	75.03	133.5	75.03	V-C 2.2640E+04	-13.70	42.00
1.000	1.000	117.0	0.000	0.000	0.000	0.000	Ala_161_6590_L_0		0.0000
0.0000	0.0000	0.0000	0.0000	0.0000	0.0000	0.0000			
71 D	24.02	0.000	135.4	76.09	135.4	76.09	V-C 2.2640E+04	-13.90	44.00
1.000	1.000	120.1	0.000	0.000	0.000	0.000	Ala_161_6590_L_0		0.0000
0.0000	0.0000	0.0000	0.0000	0.0000	0.0000	0.0000			
72 D	24.63	0.000	137.3	77.16	137.3	77.16	V-C 2.2640E+04	-14.10	46.00
1.000	1.000	123.2	0.000	0.000	0.000	0.000	Ala_161_6590_L_0		0.0000
0.0000	0.0000	0.0000	0.0000	0.0000	0.0000	0.0000			
73 D	25.25	0.000	139.2	78.23	139.2	78.23	V-C 2.2640E+04	-14.30	48.00
1.000	1.000	126.2	0.000	0.000	0.000	0.000	Ala_161_6590_L_0		0.0000
0.0000	0.0000	0.0000	0.0000	0.0000	0.0000	0.0000			
74 D	25.86	0.000	141.1	79.30	141.1	79.30	V-C 2.2640E+04	-14.50	50.00
1.000	1.000	129.3	0.000	0.000	0.000	0.000	Ala_161_6590_L_0		0.0000
0.0000	0.0000	0.0000	0.0000	0.0000	0.0000	0.0000			
75 D	26.47	0.000	143.0	80.37	143.0	80.37	V-C 2.2640E+04	-14.70	52.00
1.000	1.000	132.4	0.000	0.000	0.000	0.000	Ala_161_6590_L_0		0.0000
0.0000	0.0000	0.0000	0.0000	0.0000	0.0000	0.0000			
76 D	27.09	0.000	144.9	81.43	144.9	81.43	V-C 2.2640E+04	-14.90	54.00
1.000	1.000	135.4	0.000	0.000	0.000	0.000	Ala_161_6590_L_0		0.0000
0.0000	0.0000	0.0000	0.0000	0.0000	0.0000	0.0000			
77 D	27.70	0.000	146.8	82.50	146.8	82.50	V-C 2.2640E+04	-15.10	56.00
1.000	1.000	138.5	0.000	0.000	0.000	0.000	Ala_161_6590_L_0		0.0000
0.0000	0.0000	0.0000	0.0000	0.0000	0.0000	0.0000			
78 D	28.31	0.000	148.7	83.57	148.7	83.57	V-C 2.2640E+04	-15.30	58.00
1.000	1.000	141.6	0.000	0.000	0.000	0.000	Ala_161_6590_L_0		0.0000
0.0000	0.0000	0.0000	0.0000	0.0000	0.0000	0.0000			
79 D	28.93	0.000	150.6	84.64	150.6	84.64	V-C 2.2640E+04	-15.50	60.00
1.000	1.000	144.6	0.000	0.000	0.000	0.000	Ala_161_6590_L_0		0.0000
0.0000	0.0000	0.0000	0.0000	0.0000	0.0000	0.0000			
80 D	29.54	0.000	152.5	85.70	152.5	85.70	V-C 2.2640E+04	-15.70	62.00
1.000	1.000	147.7	0.000	0.000	0.000	0.000	Ala_161_6590_L_0		0.0000
0.0000	0.0000	0.0000	0.0000	0.0000	0.0000	0.0000			
81 D	30.15	0.000	154.4	86.77	154.4	86.77	V-C 2.2640E+04	-15.90	64.00
1.000	1.000	150.8	0.000	0.000	0.000	0.000	Ala_161_6590_L_0		0.0000
0.0000	0.0000	0.0000	0.0000	0.0000	0.0000	0.0000			
82 D	30.77	0.000	156.4	87.87	156.4	87.87	V-C 1.3190E+05	-16.10	66.00
1.000	1.000	153.9	0.000	0.000	0.000	0.000	Salt_21271_21259_L_0		0.0000
0.0000	0.0000	0.0000	0.0000	0.0000	0.0000	0.0000			
83 D	31.40	0.000	158.4	89.00	158.4	89.00	V-C 1.3190E+05	-16.30	68.00
1.000	1.000	157.0	0.000	0.000	0.000	0.000	Salt_21271_21259_L_0		0.0000
0.0000	0.0000	0.0000	0.0000	0.0000	0.0000	0.0000			
84 D	32.02	0.000	160.4	90.12	160.4	90.12	V-C 1.3190E+05	-16.50	70.00
1.000	1.000	160.1	0.000	0.000	0.000	0.000	Salt_21271_21259_L_0		0.0000
0.0000	0.0000	0.0000	0.0000	0.0000	0.0000	0.0000			
85 D	32.65	0.000	162.4	91.24	162.4	91.24	V-C 1.3190E+05	-16.70	72.00
1.000	1.000	163.2	0.000	0.000	0.000	0.000	Salt_21271_21259_L_0		0.0000
0.0000	0.0000	0.0000	0.0000	0.0000	0.0000	0.0000			
86 D	33.27	0.000	164.4	92.37	164.4	92.37	V-C 1.3190E+05	-16.90	74.00
1.000	1.000	166.4	0.000	0.000	0.000	0.000	Salt_21271_21259_L_0		0.0000
0.0000	0.0000	0.0000	0.0000	0.0000	0.0000	0.0000			
87 D	33.90	0.000	166.4	93.49	166.4	93.49	V-C 1.3190E+05	-17.10	76.00
1.000	1.000	169.5	0.000	0.000	0.000	0.000	Salt_21271_21259_L_0		0.0000
0.0000	0.0000	0.0000	0.0000	0.0000	0.0000	0.0000			
88 D	34.52	0.000	168.4	94.62	168.4	94.62	V-C 1.3190E+05	-17.30	78.00
1.000	1.000	172.6	0.000	0.000	0.000	0.000	Salt_21271_21259_L_0		0.0000
0.0000	0.0000	0.0000	0.0000	0.0000	0.0000	0.0000			
89 D	35.15	0.000	170.4	95.74	170.4	95.74	V-C 1.3190E+05	-17.50	80.00
1.000	1.000	175.7	0.000	0.000	0.000	0.000	Salt_21271_21259_L_0		0.0000
0.0000	0.0000	0.0000	0.0000	0.0000	0.0000	0.0000			
90 D	35.78	0.000	172.4	96.91	172.4	96.91	V-C 9.8329E+04	-17.70	82.00
1.000	1.000	178.9	0.000	0.000	0.000	0.000	Sch_21272_21260_L_0		0.0000
0.0000	0.0000	0.0000	0.0000	0.0000	0.0000	0.0000			
91 D	36.48	0.000	175.0	98.38	175.0	98.38	V-C 9.8329E+04	-17.90	84.00
1.000	1.000	182.4	0.000	0.000	0.000	0.000	Sch_21272_21260_L_0		0.0000

0.0000	0.0000	0.0000	0.0000	0.0000						
92 D	27.88	0.000	177.6	99.84	177.6	99.84	V-C 9.8329E+04	-18.10	86.00	
1.000	1.000	185.8	0.000	0.000	0.000	0.000	Sch_21272_21260_L_0		0.0000	
0.0000	0.0000	0.0000	0.0000	0.0000						
93 D	9.378	0.000	178.9	100.6	178.9	100.6	V-C 9.8329E+04	-18.20	87.00	
1.000	1.000	187.6	0.000	0.000	0.000	0.000	Sch_21272_21260_L_0		0.0000	
0.0000	0.0000	0.0000	0.0000	0.0000						

```
+-----+
|          PARATIEPLUS(TM)  NLS ENGINE RELEASE  2022.0.0  FULL VERSION  *Build date:Sep 13, 2021*  |
|                                                                                               |
|                                                                                               |
|                                                                                               |
|                                                                                               |
|          ParatiePlus                                                                           |
|          Exe Time :28 January 2022  11:11:17                                               |
+-----+
```

New Project

S T R E S S R E S U L T S F O R G R O U P N O . 3

pali15001.7_33 :
ELEMENT TYPE 2 NO.OF ELEMENTS. IN THIS GROUP 68
C U R R E N T T I M E I S 1.0000 SUBINCREMENT 00001/00001

WALL2D ELEMENT

EL TA TB MA MB

***** NO ONE ELEMENT ACTIVE AT CURRENT STEP *****

```

+-----+
|          PARATIEPLUS(TM)  NLS ENGINE RELEASE 2022.0.0  FULL VERSION  *Build date:Sep 13, 2021*          |
|                                                                                                                                            |
|                                                                                               ParatiePlus                               |
|                                                                                               Exe Time :28 January 2022  11:11:17          |
+-----+

```

New Project

S T R E S S R E S U L T S F O R G R O U P N O . 4

```

muro71cm_4658
ELEMENT TYPE   2 NO.OF ELEMENTS. IN THIS GROUP   24
C U R R E N T   T I M E   I S   1.0000 SUBINCREMENT 00001/00001

```

WALL2D ELEMENT

```

EL   TA   TB   MA   MB
-----

```

***** NO ONE ELEMENT ACTIVE AT CURRENT STEP *****

```

ITER   0  RNORM = 0.000   RMNORM= 0.000
RINORM=0.5558E+05 RIMNOR= 0.000
RENORM= 0.000   REMNOR= 0.000   RATIO = 0.000   TOLER =0.1000E-03   CONVERGED !
RFMAX = 36.48   RMMAX = 0.000
RTSMAL=0.1000E-03 RMSMAL= 0.000
RDT   =0.5558E+05 RDR   = 0.000
RATIOT= 0.000   RATIOOR= 0.000
MAX UN= 0.000   IEQ=   186 NODE   93 DOF   2   X-ROT. F
MIN UN= 0.000   IEQ=   1 NODE   1 DOF   1   Y-DISPL.F
NO. OF CONTACT CONSTRAINT VIOLATIONS   0

```

```

ITER   1  RNORM = 0.000   RMNORM= 0.000
RINORM=0.5558E+05 RIMNOR= 0.000
RENORM= 0.000   REMNOR= 0.000   RATIO = 0.000   TOLER =0.1000E-03   CONVERGED !
RFMAX = 36.48   RMMAX = 0.000
RTSMAL=0.1000E-03 RMSMAL= 0.000
RDT   =0.5558E+05 RDR   = 0.000
RATIOT= 0.000   RATIOOR= 0.000
MAX UN= 0.000   IEQ=   186 NODE   93 DOF   2   X-ROT. F
MIN UN= 0.000   IEQ=   1 NODE   1 DOF   1   Y-DISPL.F
NO. OF CONTACT CONSTRAINT VIOLATIONS   0

```

```

ITER   2  RNORM = 0.000   RMNORM= 0.000
RINORM=0.5558E+05 RIMNOR= 0.000
RENORM= 0.000   REMNOR= 0.000   RATIO = 0.000   TOLER =0.1000E-03   CONVERGED !
RFMAX = 36.48   RMMAX = 0.000
RTSMAL=0.1000E-03 RMSMAL= 0.000
RDT   =0.5558E+05 RDR   = 0.000
RATIOT= 0.000   RATIOOR= 0.000
MAX UN= 0.000   IEQ=   186 NODE   93 DOF   2   X-ROT. F
MIN UN= 0.000   IEQ=   1 NODE   1 DOF   1   Y-DISPL.F
NO. OF CONTACT CONSTRAINT VIOLATIONS   0

```

```
+-----+
|          PARATIEPLUS(TM)  NLS ENGINE RELEASE  2022.0.0  FULL VERSION  *Build date:Sep 13, 2021*  |
|                                                                                               |
|                                                                                               |
|                               ParatiePlus                                                    |
|                               Exe Time :28 January 2022  11:11:17                            |
+-----+
```

New Project

SOLUTION REACHED USING 2 ITERATIONS ON 40

P R I N T O U T F O R T I M E S T E P 2 (AT TIME 2.000) SUBINCREMENT 00001/00001

PRINT OUT OF ACTIVE COMPONENTS (FIXED NODES ARE NOT PRINTED OUT)

Y-DISPL.F	X-ROT. F
02	04

ALL NODAL POINTS HAVE ZERO DISPLACEMENT COMPONENTS

```

+-----+
|                PARATIEPLUS(TM)  NLS ENGINE RELEASE 2022.0.0  FULL VERSION  *Build date:Sep 13, 2021*                |
|                                                                                                                                            |
|                                                                                               ParatiePlus                               |
|                                                                                               Exe Time :28 January 2022   11:11:17           |
+-----+

```

New Project

S T R E S S R E S U L T S F O R G R O U P N O . 1

O_L :
ELEMENT TYPE 5 NO.OF ELEMENTS. IN THIS GROUP 93
C U R R E N T T I M E I S 2.0000 SUBINCREMENT 00001/00001

HARDENING 2D SOIL ELEMENT

***** TOTAL STRESS FORMULATION *****

EL * TOR QSL	FORCE UFACTOR ZD	DISPL-Y Peq ZPL	VERTICAL-P Su_a Kz	HORIZON.-P Su_p	MAX-V-P Coh_e_a	MAX-H-P Coh_e_p	STATE LAYER	STIFFNESS	Z-LEVEL	PORE ZFO	E FAC- QS
1	0.000	--	--	--	--	--	REMOVED	--	0.000	0.000	
1.000	1.000	0.000	0.000	0.000	0.000	0.000	not available				
2	0.000	--	--	--	--	--	REMOVED	--	-0.2000	0.000	
1.000	1.000	0.000	0.000	0.000	0.000	0.000	not available				
3	0.000	--	--	--	--	--	REMOVED	--	-0.4000	0.000	
1.000	1.000	0.000	0.000	0.000	0.000	0.000	not available				
4	0.000	--	--	--	--	--	REMOVED	--	-0.6000	0.000	
1.000	1.000	0.000	0.000	0.000	0.000	0.000	not available				
5	0.000	--	--	--	--	--	REMOVED	--	-0.8000	0.000	
1.000	1.000	0.000	0.000	0.000	0.000	0.000	not available				
6	0.000	--	--	--	--	--	REMOVED	--	-1.000	0.000	
1.000	1.000	0.000	0.000	0.000	0.000	0.000	not available				
7	0.000	--	--	--	--	--	REMOVED	--	-1.200	0.000	
1.000	1.000	0.000	0.000	0.000	0.000	0.000	not available				
8	0.000	--	--	--	--	--	REMOVED	--	-1.400	0.000	
1.000	1.000	0.000	0.000	0.000	0.000	0.000	not available				
9	0.000	--	--	--	--	--	REMOVED	--	-1.600	0.000	
1.000	1.000	0.000	0.000	0.000	0.000	0.000	not available				
10	0.000	--	--	--	--	--	REMOVED	--	-1.800	0.000	
1.000	1.000	0.000	0.000	0.000	0.000	0.000	not available				
11	0.000	--	--	--	--	--	REMOVED	--	-2.000	0.000	
1.000	1.000	0.000	0.000	0.000	0.000	0.000	not available				
12	0.000	--	--	--	--	--	REMOVED	--	-2.200	0.000	
1.000	1.000	0.000	0.000	0.000	0.000	0.000	not available				
13	0.000	--	--	--	--	--	REMOVED	--	-2.400	0.000	
1.000	1.000	0.000	0.000	0.000	0.000	0.000	not available				
14	0.000	--	--	--	--	--	REMOVED	--	-2.600	0.000	
1.000	1.000	0.000	0.000	0.000	0.000	0.000	not available				
15	0.000	--	--	--	--	--	REMOVED	--	-2.800	0.000	
1.000	1.000	0.000	0.000	0.000	0.000	0.000	not available				
16	0.000	--	--	--	--	--	REMOVED	--	-3.000	0.000	
1.000	1.000	0.000	0.000	0.000	0.000	0.000	not available				
17	0.000	--	--	--	--	--	REMOVED	--	-3.200	0.000	
1.000	1.000	0.000	0.000	0.000	0.000	0.000	not available				
18	0.000	--	--	--	--	--	REMOVED	--	-3.400	0.000	
1.000	1.000	0.000	0.000	0.000	0.000	0.000	not available				
19	0.000	--	--	--	--	--	REMOVED	--	-3.600	0.000	
1.000	1.000	0.000	0.000	0.000	0.000	0.000	not available				
20	0.000	--	--	--	--	--	REMOVED	--	-3.800	0.000	
1.000	1.000	0.000	0.000	0.000	0.000	0.000	not available				
21	0.000	--	--	--	--	--	REMOVED	--	-4.000	0.000	
1.000	1.000	0.000	0.000	0.000	0.000	0.000	not available				
22	0.000	--	--	--	--	--	REMOVED	--	-4.200	0.000	
1.000	1.000	0.000	0.000	0.000	0.000	0.000	not available				
23	0.000	--	--	--	--	--	REMOVED	--	-4.400	0.000	
1.000	1.000	0.000	0.000	0.000	0.000	0.000	not available				
24	0.000	--	--	--	--	--	REMOVED	--	-4.600	0.000	
1.000	1.000	0.000	0.000	0.000	0.000	0.000	not available				
25 D	0.000	0.000	0.000	0.000	0.000	0.000	UL-RL 5.5131E+04		-4.700	0.000	
1.000	1.000	0.000	0.000	0.000	0.000	0.000	Ala_161_6590_L_0			0.0000	
0.0000	0.0000	0.0000	0.0000	0.0000	0.0000	0.0000					
26 D	0.4384	0.000	3.900	2.192	3.900	2.192	UL-RL 5.5131E+04		-4.900	0.000	
1.000	1.000	2.192	0.000	0.000	0.000	0.000	Ala_161_6590_L_0			0.0000	
0.0000	0.0000	0.0000	0.0000	0.0000	0.0000	0.0000					
27 D	0.8767	0.000	7.800	4.384	7.800	4.384	UL-RL 5.5131E+04		-5.100	0.000	
1.000	1.000	4.384	0.000	0.000	0.000	0.000	Ala_161_6590_L_0			0.0000	
0.0000	0.0000	0.0000	0.0000	0.0000	0.0000	0.0000					
28 D	1.315	0.000	11.70	6.575	11.70	6.575	UL-RL 5.5131E+04		-5.300	0.000	
1.000	1.000	6.575	0.000	0.000	0.000	0.000	Ala_161_6590_L_0			0.0000	
0.0000	0.0000	0.0000	0.0000	0.0000	0.0000	0.0000					
29 D	1.753	0.000	15.60	8.767	15.60	8.767	UL-RL 5.5131E+04		-5.500	0.000	
1.000	1.000	8.767	0.000	0.000	0.000	0.000	Ala_161_6590_L_0			0.0000	
0.0000	0.0000	0.0000	0.0000	0.0000	0.0000	0.0000					
30 D	2.192	0.000	19.50	10.96	19.50	10.96	UL-RL 5.5131E+04		-5.700	0.000	

1.000	1.000	10.96	0.000	0.000	0.000	0.000	0.000	Ala_161_6590_L_0	0.0000	
0.0000	0.0000	0.0000	0.0000	0.0000	0.0000	0.0000	0.0000			
31 D	2.630	0.000	23.40	13.15	23.40	13.15	23.40	UL-RL 5.5131E+04	-5.900	0.000
1.000	1.000	13.15	0.000	0.000	0.000	0.000	0.000	Ala_161_6590_L_0	0.0000	0.0000
0.0000	0.0000	0.0000	0.0000	0.0000	0.0000	0.0000	0.0000			
32 D	3.069	0.000	27.30	15.34	27.30	15.34	27.30	UL-RL 5.5131E+04	-6.100	0.000
1.000	1.000	15.34	0.000	0.000	0.000	0.000	0.000	Ala_161_6590_L_0	0.0000	0.0000
0.0000	0.0000	0.0000	0.0000	0.0000	0.0000	0.0000	0.0000			
33 D	3.507	0.000	31.20	17.53	31.20	17.53	31.20	UL-RL 5.5131E+04	-6.300	0.000
1.000	1.000	17.53	0.000	0.000	0.000	0.000	0.000	Ala_161_6590_L_0	0.0000	0.0000
0.0000	0.0000	0.0000	0.0000	0.0000	0.0000	0.0000	0.0000			
34 D	3.945	0.000	35.10	19.73	35.10	19.73	35.10	UL-RL 5.5131E+04	-6.500	0.000
1.000	1.000	19.73	0.000	0.000	0.000	0.000	0.000	Ala_161_6590_L_0	0.0000	0.0000
0.0000	0.0000	0.0000	0.0000	0.0000	0.0000	0.0000	0.0000			
35 D	4.384	0.000	39.00	21.92	39.00	21.92	39.00	UL-RL 5.5131E+04	-6.700	0.000
1.000	1.000	21.92	0.000	0.000	0.000	0.000	0.000	Ala_161_6590_L_0	0.0000	0.0000
0.0000	0.0000	0.0000	0.0000	0.0000	0.0000	0.0000	0.0000			
36 D	4.822	0.000	42.90	24.11	42.90	24.11	42.90	UL-RL 5.5131E+04	-6.900	0.000
1.000	1.000	24.11	0.000	0.000	0.000	0.000	0.000	Ala_161_6590_L_0	0.0000	0.0000
0.0000	0.0000	0.0000	0.0000	0.0000	0.0000	0.0000	0.0000			
37 D	5.260	0.000	46.80	26.30	46.80	26.30	46.80	UL-RL 5.5131E+04	-7.100	0.000
1.000	1.000	26.30	0.000	0.000	0.000	0.000	0.000	Ala_161_6590_L_0	0.0000	0.0000
0.0000	0.0000	0.0000	0.0000	0.0000	0.0000	0.0000	0.0000			
38 D	5.699	0.000	50.70	28.49	50.70	28.49	50.70	UL-RL 5.5131E+04	-7.300	0.000
1.000	1.000	28.49	0.000	0.000	0.000	0.000	0.000	Ala_161_6590_L_0	0.0000	0.0000
0.0000	0.0000	0.0000	0.0000	0.0000	0.0000	0.0000	0.0000			
39 D	6.137	0.000	54.60	30.69	54.60	30.69	54.60	UL-RL 5.5131E+04	-7.500	0.000
1.000	1.000	30.69	0.000	0.000	0.000	0.000	0.000	Ala_161_6590_L_0	0.0000	0.0000
0.0000	0.0000	0.0000	0.0000	0.0000	0.0000	0.0000	0.0000			
40 D	6.575	0.000	58.50	32.88	58.50	32.88	58.50	UL-RL 5.5131E+04	-7.700	0.000
1.000	1.000	32.88	0.000	0.000	0.000	0.000	0.000	Ala_161_6590_L_0	0.0000	0.0000
0.0000	0.0000	0.0000	0.0000	0.0000	0.0000	0.0000	0.0000			
41 D	7.014	0.000	62.40	35.07	62.40	35.07	62.40	UL-RL 5.5131E+04	-7.900	0.000
1.000	1.000	35.07	0.000	0.000	0.000	0.000	0.000	Ala_161_6590_L_0	0.0000	0.0000
0.0000	0.0000	0.0000	0.0000	0.0000	0.0000	0.0000	0.0000			
42 D	7.452	0.000	66.30	37.26	66.30	37.26	66.30	UL-RL 5.5131E+04	-8.100	0.000
1.000	1.000	37.26	0.000	0.000	0.000	0.000	0.000	Ala_161_6590_L_0	0.0000	0.0000
0.0000	0.0000	0.0000	0.0000	0.0000	0.0000	0.0000	0.0000			
43 D	7.890	0.000	70.20	39.45	70.20	39.45	70.20	UL-RL 5.5131E+04	-8.300	0.000
1.000	1.000	39.45	0.000	0.000	0.000	0.000	0.000	Ala_161_6590_L_0	0.0000	0.0000
0.0000	0.0000	0.0000	0.0000	0.0000	0.0000	0.0000	0.0000			
44 D	8.329	0.000	74.10	41.64	74.10	41.64	74.10	UL-RL 5.5131E+04	-8.500	0.000
1.000	1.000	41.64	0.000	0.000	0.000	0.000	0.000	Ala_161_6590_L_0	0.0000	0.0000
0.0000	0.0000	0.0000	0.0000	0.0000	0.0000	0.0000	0.0000			
45 D	8.767	0.000	78.00	43.84	78.00	43.84	78.00	UL-RL 5.5131E+04	-8.700	0.000
1.000	1.000	43.84	0.000	0.000	0.000	0.000	0.000	Ala_161_6590_L_0	0.0000	0.0000
0.0000	0.0000	0.0000	0.0000	0.0000	0.0000	0.0000	0.0000			
46 D	9.206	0.000	81.90	46.03	81.90	46.03	81.90	UL-RL 5.5131E+04	-8.900	0.000
1.000	1.000	46.03	0.000	0.000	0.000	0.000	0.000	Ala_161_6590_L_0	0.0000	0.0000
0.0000	0.0000	0.0000	0.0000	0.0000	0.0000	0.0000	0.0000			
47 D	9.644	0.000	85.80	48.22	85.80	48.22	85.80	UL-RL 5.5131E+04	-9.100	0.000
1.000	1.000	48.22	0.000	0.000	0.000	0.000	0.000	Ala_161_6590_L_0	0.0000	0.0000
0.0000	0.0000	0.0000	0.0000	0.0000	0.0000	0.0000	0.0000			
48 D	10.08	0.000	89.70	50.41	89.70	50.41	89.70	UL-RL 5.5131E+04	-9.300	0.000
1.000	1.000	50.41	0.000	0.000	0.000	0.000	0.000	Ala_161_6590_L_0	0.0000	0.0000
0.0000	0.0000	0.0000	0.0000	0.0000	0.0000	0.0000	0.0000			
49 D	10.52	0.000	93.60	52.60	93.60	52.60	93.60	UL-RL 5.5131E+04	-9.500	0.000
1.000	1.000	52.60	0.000	0.000	0.000	0.000	0.000	Ala_161_6590_L_0	0.0000	0.0000
0.0000	0.0000	0.0000	0.0000	0.0000	0.0000	0.0000	0.0000			
50 D	11.13	0.000	95.50	53.67	95.50	53.67	95.50	UL-RL 5.5131E+04	-9.700	2.000
1.000	1.000	55.67	0.000	0.000	0.000	0.000	0.000	Ala_161_6590_L_0	0.0000	0.0000
0.0000	0.0000	0.0000	0.0000	0.0000	0.0000	0.0000	0.0000			
51 D	11.75	0.000	97.40	54.74	97.40	54.74	97.40	UL-RL 5.5131E+04	-9.900	4.000
1.000	1.000	58.74	0.000	0.000	0.000	0.000	0.000	Ala_161_6590_L_0	0.0000	0.0000
0.0000	0.0000	0.0000	0.0000	0.0000	0.0000	0.0000	0.0000			
52 D	12.36	0.000	99.30	55.81	99.30	55.81	99.30	UL-RL 5.5131E+04	-10.10	6.000
1.000	1.000	61.81	0.000	0.000	0.000	0.000	0.000	Ala_161_6590_L_0	0.0000	0.0000
0.0000	0.0000	0.0000	0.0000	0.0000	0.0000	0.0000	0.0000			
53 D	12.97	0.000	101.2	56.87	101.2	56.87	101.2	UL-RL 5.5131E+04	-10.30	8.000
1.000	1.000	64.87	0.000	0.000	0.000	0.000	0.000	Ala_161_6590_L_0	0.0000	0.0000
0.0000	0.0000	0.0000	0.0000	0.0000	0.0000	0.0000	0.0000			
54 D	13.59	0.000	103.1	57.94	103.1	57.94	103.1	UL-RL 5.5131E+04	-10.50	10.000
1.000	1.000	67.94	0.000	0.000	0.000	0.000	0.000	Ala_161_6590_L_0	0.0000	0.0000
0.0000	0.0000	0.0000	0.0000	0.0000	0.0000	0.0000	0.0000			
55 D	14.20	0.000	105.0	59.01	105.0	59.01	105.0	UL-RL 5.5131E+04	-10.70	12.00
1.000	1.000	71.01	0.000	0.000	0.000	0.000	0.000	Ala_161_6590_L_0	0.0000	0.0000
0.0000	0.0000	0.0000	0.0000	0.0000	0.0000	0.0000	0.0000			
56 D	14.82	0.000	106.9	60.08	106.9	60.08	106.9	UL-RL 5.5131E+04	-10.90	14.00
1.000	1.000	74.08	0.000	0.000	0.000	0.000	0.000	Ala_161_6590_L_0	0.0000	0.0000
0.0000	0.0000	0.0000	0.0000	0.0000	0.0000	0.0000	0.0000			
57 D	15.43	0.000	108.8	61.15	108.8	61.15	108.8	UL-RL 5.5131E+04	-11.10	16.00
1.000	1.000	77.15	0.000	0.000	0.000	0.000	0.000	Ala_161_6590_L_0	0.0000	0.0000
0.0000	0.0000	0.0000	0.0000	0.0000	0.0000	0.0000	0.0000			
58 D	16.04	0.000	110.7	62.21	110.7	62.21	110.7	UL-RL 5.5131E+04	-11.30	18.00
1.000	1.000	80.21	0.000	0.000	0.000	0.000	0.000	Ala_161_6590_L_0	0.0000	0.0000
0.0000	0.0000	0.0000	0.0000	0.0000	0.0000	0.0000	0.0000			
59 D	16.66	0.000	112.6	63.28	112.6	63.28	112.6	UL-RL 5.5131E+04	-11.50	20.00
1.000	1.000	83.28	0.000	0.000	0.000	0.000	0.000	Ala_161_6590_L_0	0.0000	0.0000
0.0000	0.0000	0.0000	0.0000	0.0000	0.0000	0.0000	0.0000			
60 D	17.27	0.000	114.5	64.35	114.5	64.35	114.5	UL-RL 5.5131E+04	-11.70	22.00
1.000	1.000	86.35	0.000	0.000	0.000	0.000	0.000	Ala_161_6590_L_0	0.0000	0.0000
0.0000	0.0000	0.0000	0.0000	0.0000	0.0000	0.0000	0.0000			

61 D	17.88	0.000	116.4	65.42	116.4	65.42	UL-RL 5.5131E+04	-11.90	24.00
1.000	1.000	89.42	0.000	0.000	0.000	0.000	Ala_161_6590_L_0		0.0000
0.0000	0.0000	0.0000	0.0000	0.0000	0.0000	0.0000			
62 D	18.50	0.000	118.3	66.48	118.3	66.48	UL-RL 5.5131E+04	-12.10	26.00
1.000	1.000	92.48	0.000	0.000	0.000	0.000	Ala_161_6590_L_0		0.0000
0.0000	0.0000	0.0000	0.0000	0.0000	0.0000	0.0000			
63 D	19.11	0.000	120.2	67.55	120.2	67.55	UL-RL 5.5131E+04	-12.30	28.00
1.000	1.000	95.55	0.000	0.000	0.000	0.000	Ala_161_6590_L_0		0.0000
0.0000	0.0000	0.0000	0.0000	0.0000	0.0000	0.0000			
64 D	19.72	0.000	122.1	68.62	122.1	68.62	UL-RL 5.5131E+04	-12.50	30.00
1.000	1.000	98.62	0.000	0.000	0.000	0.000	Ala_161_6590_L_0		0.0000
0.0000	0.0000	0.0000	0.0000	0.0000	0.0000	0.0000			
65 D	20.34	0.000	124.0	69.69	124.0	69.69	UL-RL 5.5131E+04	-12.70	32.00
1.000	1.000	101.7	0.000	0.000	0.000	0.000	Ala_161_6590_L_0		0.0000
0.0000	0.0000	0.0000	0.0000	0.0000	0.0000	0.0000			
66 D	20.95	0.000	125.9	70.76	125.9	70.76	UL-RL 5.5131E+04	-12.90	34.00
1.000	1.000	104.8	0.000	0.000	0.000	0.000	Ala_161_6590_L_0		0.0000
0.0000	0.0000	0.0000	0.0000	0.0000	0.0000	0.0000			
67 D	21.56	0.000	127.8	71.82	127.8	71.82	UL-RL 5.5131E+04	-13.10	36.00
1.000	1.000	107.8	0.000	0.000	0.000	0.000	Ala_161_6590_L_0		0.0000
0.0000	0.0000	0.0000	0.0000	0.0000	0.0000	0.0000			
68 D	22.18	0.000	129.7	72.89	129.7	72.89	UL-RL 5.5131E+04	-13.30	38.00
1.000	1.000	110.9	0.000	0.000	0.000	0.000	Ala_161_6590_L_0		0.0000
0.0000	0.0000	0.0000	0.0000	0.0000	0.0000	0.0000			
69 D	22.79	0.000	131.6	73.96	131.6	73.96	UL-RL 5.5131E+04	-13.50	40.00
1.000	1.000	114.0	0.000	0.000	0.000	0.000	Ala_161_6590_L_0		0.0000
0.0000	0.0000	0.0000	0.0000	0.0000	0.0000	0.0000			
70 D	23.41	0.000	133.5	75.03	133.5	75.03	UL-RL 5.5131E+04	-13.70	42.00
1.000	1.000	117.0	0.000	0.000	0.000	0.000	Ala_161_6590_L_0		0.0000
0.0000	0.0000	0.0000	0.0000	0.0000	0.0000	0.0000			
71 D	24.02	0.000	135.4	76.09	135.4	76.09	UL-RL 5.5131E+04	-13.90	44.00
1.000	1.000	120.1	0.000	0.000	0.000	0.000	Ala_161_6590_L_0		0.0000
0.0000	0.0000	0.0000	0.0000	0.0000	0.0000	0.0000			
72 D	24.63	0.000	137.3	77.16	137.3	77.16	UL-RL 5.5131E+04	-14.10	46.00
1.000	1.000	123.2	0.000	0.000	0.000	0.000	Ala_161_6590_L_0		0.0000
0.0000	0.0000	0.0000	0.0000	0.0000	0.0000	0.0000			
73 D	25.25	0.000	139.2	78.23	139.2	78.23	UL-RL 5.5131E+04	-14.30	48.00
1.000	1.000	126.2	0.000	0.000	0.000	0.000	Ala_161_6590_L_0		0.0000
0.0000	0.0000	0.0000	0.0000	0.0000	0.0000	0.0000			
74 D	25.86	0.000	141.1	79.30	141.1	79.30	UL-RL 5.5131E+04	-14.50	50.00
1.000	1.000	129.3	0.000	0.000	0.000	0.000	Ala_161_6590_L_0		0.0000
0.0000	0.0000	0.0000	0.0000	0.0000	0.0000	0.0000			
75 D	26.47	0.000	143.0	80.37	143.0	80.37	UL-RL 5.5131E+04	-14.70	52.00
1.000	1.000	132.4	0.000	0.000	0.000	0.000	Ala_161_6590_L_0		0.0000
0.0000	0.0000	0.0000	0.0000	0.0000	0.0000	0.0000			
76 D	27.09	0.000	144.9	81.43	144.9	81.43	UL-RL 5.5131E+04	-14.90	54.00
1.000	1.000	135.4	0.000	0.000	0.000	0.000	Ala_161_6590_L_0		0.0000
0.0000	0.0000	0.0000	0.0000	0.0000	0.0000	0.0000			
77 D	27.70	0.000	146.8	82.50	146.8	82.50	UL-RL 5.5131E+04	-15.10	56.00
1.000	1.000	138.5	0.000	0.000	0.000	0.000	Ala_161_6590_L_0		0.0000
0.0000	0.0000	0.0000	0.0000	0.0000	0.0000	0.0000			
78 D	28.31	0.000	148.7	83.57	148.7	83.57	UL-RL 5.5131E+04	-15.30	58.00
1.000	1.000	141.6	0.000	0.000	0.000	0.000	Ala_161_6590_L_0		0.0000
0.0000	0.0000	0.0000	0.0000	0.0000	0.0000	0.0000			
79 D	28.93	0.000	150.6	84.64	150.6	84.64	UL-RL 5.5131E+04	-15.50	60.00
1.000	1.000	144.6	0.000	0.000	0.000	0.000	Ala_161_6590_L_0		0.0000
0.0000	0.0000	0.0000	0.0000	0.0000	0.0000	0.0000			
80 D	29.54	0.000	152.5	85.70	152.5	85.70	UL-RL 5.5131E+04	-15.70	62.00
1.000	1.000	147.7	0.000	0.000	0.000	0.000	Ala_161_6590_L_0		0.0000
0.0000	0.0000	0.0000	0.0000	0.0000	0.0000	0.0000			
81 D	30.15	0.000	154.4	86.77	154.4	86.77	UL-RL 5.5131E+04	-15.90	64.00
1.000	1.000	150.8	0.000	0.000	0.000	0.000	Ala_161_6590_L_0		0.0000
0.0000	0.0000	0.0000	0.0000	0.0000	0.0000	0.0000			
82 D	30.77	0.000	156.4	87.87	156.4	87.87	UL-RL 3.0900E+05	-16.10	66.00
1.000	1.000	153.9	0.000	0.000	10.00	10.00	Salt_21271_21259_L_0		0.0000
0.0000	0.0000	0.0000	0.0000	0.0000	0.0000	0.0000			
83 D	31.40	0.000	158.4	89.00	158.4	89.00	UL-RL 3.0900E+05	-16.30	68.00
1.000	1.000	157.0	0.000	0.000	10.00	10.00	Salt_21271_21259_L_0		0.0000
0.0000	0.0000	0.0000	0.0000	0.0000	0.0000	0.0000			
84 D	32.02	0.000	160.4	90.12	160.4	90.12	UL-RL 3.0900E+05	-16.50	70.00
1.000	1.000	160.1	0.000	0.000	10.00	10.00	Salt_21271_21259_L_0		0.0000
0.0000	0.0000	0.0000	0.0000	0.0000	0.0000	0.0000			
85 D	32.65	0.000	162.4	91.24	162.4	91.24	UL-RL 3.0900E+05	-16.70	72.00
1.000	1.000	163.2	0.000	0.000	10.00	10.00	Salt_21271_21259_L_0		0.0000
0.0000	0.0000	0.0000	0.0000	0.0000	0.0000	0.0000			
86 D	33.27	0.000	164.4	92.37	164.4	92.37	UL-RL 3.0900E+05	-16.90	74.00
1.000	1.000	166.4	0.000	0.000	10.00	10.00	Salt_21271_21259_L_0		0.0000
0.0000	0.0000	0.0000	0.0000	0.0000	0.0000	0.0000			
87 D	33.90	0.000	166.4	93.49	166.4	93.49	UL-RL 3.0900E+05	-17.10	76.00
1.000	1.000	169.5	0.000	0.000	10.00	10.00	Salt_21271_21259_L_0		0.0000
0.0000	0.0000	0.0000	0.0000	0.0000	0.0000	0.0000			
88 D	34.52	0.000	168.4	94.62	168.4	94.62	UL-RL 3.0900E+05	-17.30	78.00
1.000	1.000	172.6	0.000	0.000	10.00	10.00	Salt_21271_21259_L_0		0.0000
0.0000	0.0000	0.0000	0.0000	0.0000	0.0000	0.0000			
89 D	35.15	0.000	170.4	95.74	170.4	95.74	UL-RL 3.0900E+05	-17.50	80.00
1.000	1.000	175.7	0.000	0.000	10.00	10.00	Salt_21271_21259_L_0		0.0000
0.0000	0.0000	0.0000	0.0000	0.0000	0.0000	0.0000			
90 D	35.78	0.000	172.4	96.91	172.4	96.91	UL-RL 1.8885E+05	-17.70	82.00
1.000	1.000	178.9	0.000	0.000	55.00	55.00	Sch_21272_21260_L_0		0.0000
0.0000	0.0000	0.0000	0.0000	0.0000	0.0000	0.0000			
91 D	36.48	0.000	175.0	98.38	175.0	98.38	UL-RL 1.8885E+05	-17.90	84.00
1.000	1.000	182.4	0.000	0.000	55.00	55.00	Sch_21272_21260_L_0		0.0000

0.0000	0.0000	0.0000	0.0000	0.0000						
92 D	27.88	0.000	177.6	99.84	177.6	99.84	UL-RL 1.8885E+05	-18.10	86.00	
1.000	1.000	185.8	0.000	0.000	55.00	55.00	Sch_21272_21260_L_0		0.0000	
0.0000	0.0000	0.0000	0.0000	0.0000						
93 D	9.378	0.000	178.9	100.6	178.9	100.6	UL-RL 1.8885E+05	-18.20	87.00	
1.000	1.000	187.6	0.000	0.000	55.00	55.00	Sch_21272_21260_L_0		0.0000	
0.0000	0.0000	0.0000	0.0000	0.0000						

```

+-----+
|                PARATIEPLUS(TM)  NLS ENGINE RELEASE 2022.0.0  FULL VERSION  *Build date:Sep 13, 2021*                |
|                                                                                                                                            |
|                                                                                               ParatiePlus                                                                                               |
|                                                                                               Exe Time :28 January 2022  11:11:17                                                                                               |
+-----+

```

New Project

S T R E S S R E S U L T S F O R G R O U P N O . 2

O_R :
ELEMENT TYPE 5 NO.OF ELEMENTS. IN THIS GROUP 93
C U R R E N T T I M E I S 2.0000 SUBINCREMENT 00001/00001

HARDENING 2D SOIL ELEMENT

***** TOTAL STRESS FORMULATION *****

EL * TOR QSL	FORCE UFACTOR ZD	DISPL-Y Peq ZPL	VERTICAL-P Su_a Kz	HORIZON.-P Su_p	MAX-V-P Coh_e_a	MAX-H-P Coh_e_p	STATE LAYER	STIFFNESS	Z-LEVEL	PORE ZFO	E FAC- QS
1	0.000	--	--	--	--	--	REMOVED	--	0.000	0.000	
1.000	1.000	0.000	0.000	0.000	0.000	0.000	not available				
2	0.000	--	--	--	--	--	REMOVED	--	-0.2000	0.000	
1.000	1.000	0.000	0.000	0.000	0.000	0.000	not available				
3	0.000	--	--	--	--	--	REMOVED	--	-0.4000	0.000	
1.000	1.000	0.000	0.000	0.000	0.000	0.000	not available				
4	0.000	--	--	--	--	--	REMOVED	--	-0.6000	0.000	
1.000	1.000	0.000	0.000	0.000	0.000	0.000	not available				
5	0.000	--	--	--	--	--	REMOVED	--	-0.8000	0.000	
1.000	1.000	0.000	0.000	0.000	0.000	0.000	not available				
6	0.000	--	--	--	--	--	REMOVED	--	-1.000	0.000	
1.000	1.000	0.000	0.000	0.000	0.000	0.000	not available				
7	0.000	--	--	--	--	--	REMOVED	--	-1.200	0.000	
1.000	1.000	0.000	0.000	0.000	0.000	0.000	not available				
8	0.000	--	--	--	--	--	REMOVED	--	-1.400	0.000	
1.000	1.000	0.000	0.000	0.000	0.000	0.000	not available				
9	0.000	--	--	--	--	--	REMOVED	--	-1.600	0.000	
1.000	1.000	0.000	0.000	0.000	0.000	0.000	not available				
10	0.000	--	--	--	--	--	REMOVED	--	-1.800	0.000	
1.000	1.000	0.000	0.000	0.000	0.000	0.000	not available				
11	0.000	--	--	--	--	--	REMOVED	--	-2.000	0.000	
1.000	1.000	0.000	0.000	0.000	0.000	0.000	not available				
12	0.000	--	--	--	--	--	REMOVED	--	-2.200	0.000	
1.000	1.000	0.000	0.000	0.000	0.000	0.000	not available				
13	0.000	--	--	--	--	--	REMOVED	--	-2.400	0.000	
1.000	1.000	0.000	0.000	0.000	0.000	0.000	not available				
14	0.000	--	--	--	--	--	REMOVED	--	-2.600	0.000	
1.000	1.000	0.000	0.000	0.000	0.000	0.000	not available				
15	0.000	--	--	--	--	--	REMOVED	--	-2.800	0.000	
1.000	1.000	0.000	0.000	0.000	0.000	0.000	not available				
16	0.000	--	--	--	--	--	REMOVED	--	-3.000	0.000	
1.000	1.000	0.000	0.000	0.000	0.000	0.000	not available				
17	0.000	--	--	--	--	--	REMOVED	--	-3.200	0.000	
1.000	1.000	0.000	0.000	0.000	0.000	0.000	not available				
18	0.000	--	--	--	--	--	REMOVED	--	-3.400	0.000	
1.000	1.000	0.000	0.000	0.000	0.000	0.000	not available				
19	0.000	--	--	--	--	--	REMOVED	--	-3.600	0.000	
1.000	1.000	0.000	0.000	0.000	0.000	0.000	not available				
20	0.000	--	--	--	--	--	REMOVED	--	-3.800	0.000	
1.000	1.000	0.000	0.000	0.000	0.000	0.000	not available				
21	0.000	--	--	--	--	--	REMOVED	--	-4.000	0.000	
1.000	1.000	0.000	0.000	0.000	0.000	0.000	not available				
22	0.000	--	--	--	--	--	REMOVED	--	-4.200	0.000	
1.000	1.000	0.000	0.000	0.000	0.000	0.000	not available				
23	0.000	--	--	--	--	--	REMOVED	--	-4.400	0.000	
1.000	1.000	0.000	0.000	0.000	0.000	0.000	not available				
24	0.000	--	--	--	--	--	REMOVED	--	-4.600	0.000	
1.000	1.000	0.000	0.000	0.000	0.000	0.000	not available				
25 D	0.000	0.000	0.000	0.000	0.000	0.000	UL-RL 6.7919E+04		-4.700	0.000	
1.000	1.000	0.000	0.000	0.000	0.000	0.000	Ala_161_6590_L_0			0.0000	
0.0000	0.0000	0.0000	0.0000	0.0000	0.0000	0.0000					
26 D	0.4384	0.000	3.900	2.192	3.900	2.192	UL-RL 6.7919E+04		-4.900	0.000	
1.000	1.000	2.192	0.000	0.000	0.000	0.000	Ala_161_6590_L_0			0.0000	
0.0000	0.0000	0.0000	0.0000	0.0000	0.0000	0.0000					
27 D	0.8767	0.000	7.800	4.384	7.800	4.384	UL-RL 6.7919E+04		-5.100	0.000	
1.000	1.000	4.384	0.000	0.000	0.000	0.000	Ala_161_6590_L_0			0.0000	
0.0000	0.0000	0.0000	0.0000	0.0000	0.0000	0.0000					
28 D	1.315	0.000	11.70	6.575	11.70	6.575	UL-RL 6.7919E+04		-5.300	0.000	
1.000	1.000	6.575	0.000	0.000	0.000	0.000	Ala_161_6590_L_0			0.0000	
0.0000	0.0000	0.0000	0.0000	0.0000	0.0000	0.0000					
29 D	1.753	0.000	15.60	8.767	15.60	8.767	UL-RL 6.7919E+04		-5.500	0.000	
1.000	1.000	8.767	0.000	0.000	0.000	0.000	Ala_161_6590_L_0			0.0000	
0.0000	0.0000	0.0000	0.0000	0.0000	0.0000	0.0000					
30 D	2.192	0.000	19.50	10.96	19.50	10.96	UL-RL 6.7919E+04		-5.700	0.000	

1.000	1.000	10.96	0.000	0.000	0.000	0.000	Ala_161_6590_L_0	0.0000	
0.0000	0.0000	0.0000	0.0000	0.0000	0.0000	0.0000			
31 D	2.630	0.000	23.40	13.15	23.40	13.15	UL-RL 6.7919E+04	-5.900	0.000
1.000	1.000	13.15	0.000	0.000	0.000	0.000	Ala_161_6590_L_0	0.0000	0.0000
0.0000	0.0000	0.0000	0.0000	0.0000	0.0000	0.0000			
32 D	3.069	0.000	27.30	15.34	27.30	15.34	UL-RL 6.7919E+04	-6.100	0.000
1.000	1.000	15.34	0.000	0.000	0.000	0.000	Ala_161_6590_L_0	0.0000	0.0000
0.0000	0.0000	0.0000	0.0000	0.0000	0.0000	0.0000			
33 D	3.507	0.000	31.20	17.53	31.20	17.53	UL-RL 6.7919E+04	-6.300	0.000
1.000	1.000	17.53	0.000	0.000	0.000	0.000	Ala_161_6590_L_0	0.0000	0.0000
0.0000	0.0000	0.0000	0.0000	0.0000	0.0000	0.0000			
34 D	3.945	0.000	35.10	19.73	35.10	19.73	UL-RL 6.7919E+04	-6.500	0.000
1.000	1.000	19.73	0.000	0.000	0.000	0.000	Ala_161_6590_L_0	0.0000	0.0000
0.0000	0.0000	0.0000	0.0000	0.0000	0.0000	0.0000			
35 D	4.384	0.000	39.00	21.92	39.00	21.92	UL-RL 6.7919E+04	-6.700	0.000
1.000	1.000	21.92	0.000	0.000	0.000	0.000	Ala_161_6590_L_0	0.0000	0.0000
0.0000	0.0000	0.0000	0.0000	0.0000	0.0000	0.0000			
36 D	4.822	0.000	42.90	24.11	42.90	24.11	UL-RL 6.7919E+04	-6.900	0.000
1.000	1.000	24.11	0.000	0.000	0.000	0.000	Ala_161_6590_L_0	0.0000	0.0000
0.0000	0.0000	0.0000	0.0000	0.0000	0.0000	0.0000			
37 D	5.260	0.000	46.80	26.30	46.80	26.30	UL-RL 6.7919E+04	-7.100	0.000
1.000	1.000	26.30	0.000	0.000	0.000	0.000	Ala_161_6590_L_0	0.0000	0.0000
0.0000	0.0000	0.0000	0.0000	0.0000	0.0000	0.0000			
38 D	5.699	0.000	50.70	28.49	50.70	28.49	UL-RL 6.7919E+04	-7.300	0.000
1.000	1.000	28.49	0.000	0.000	0.000	0.000	Ala_161_6590_L_0	0.0000	0.0000
0.0000	0.0000	0.0000	0.0000	0.0000	0.0000	0.0000			
39 D	6.137	0.000	54.60	30.69	54.60	30.69	UL-RL 6.7919E+04	-7.500	0.000
1.000	1.000	30.69	0.000	0.000	0.000	0.000	Ala_161_6590_L_0	0.0000	0.0000
0.0000	0.0000	0.0000	0.0000	0.0000	0.0000	0.0000			
40 D	6.575	0.000	58.50	32.88	58.50	32.88	UL-RL 6.7919E+04	-7.700	0.000
1.000	1.000	32.88	0.000	0.000	0.000	0.000	Ala_161_6590_L_0	0.0000	0.0000
0.0000	0.0000	0.0000	0.0000	0.0000	0.0000	0.0000			
41 D	7.014	0.000	62.40	35.07	62.40	35.07	UL-RL 6.7919E+04	-7.900	0.000
1.000	1.000	35.07	0.000	0.000	0.000	0.000	Ala_161_6590_L_0	0.0000	0.0000
0.0000	0.0000	0.0000	0.0000	0.0000	0.0000	0.0000			
42 D	7.452	0.000	66.30	37.26	66.30	37.26	UL-RL 6.7919E+04	-8.100	0.000
1.000	1.000	37.26	0.000	0.000	0.000	0.000	Ala_161_6590_L_0	0.0000	0.0000
0.0000	0.0000	0.0000	0.0000	0.0000	0.0000	0.0000			
43 D	7.890	0.000	70.20	39.45	70.20	39.45	UL-RL 6.7919E+04	-8.300	0.000
1.000	1.000	39.45	0.000	0.000	0.000	0.000	Ala_161_6590_L_0	0.0000	0.0000
0.0000	0.0000	0.0000	0.0000	0.0000	0.0000	0.0000			
44 D	8.329	0.000	74.10	41.64	74.10	41.64	UL-RL 6.7919E+04	-8.500	0.000
1.000	1.000	41.64	0.000	0.000	0.000	0.000	Ala_161_6590_L_0	0.0000	0.0000
0.0000	0.0000	0.0000	0.0000	0.0000	0.0000	0.0000			
45 D	8.767	0.000	78.00	43.84	78.00	43.84	UL-RL 6.7919E+04	-8.700	0.000
1.000	1.000	43.84	0.000	0.000	0.000	0.000	Ala_161_6590_L_0	0.0000	0.0000
0.0000	0.0000	0.0000	0.0000	0.0000	0.0000	0.0000			
46 D	9.206	0.000	81.90	46.03	81.90	46.03	UL-RL 6.7919E+04	-8.900	0.000
1.000	1.000	46.03	0.000	0.000	0.000	0.000	Ala_161_6590_L_0	0.0000	0.0000
0.0000	0.0000	0.0000	0.0000	0.0000	0.0000	0.0000			
47 D	9.644	0.000	85.80	48.22	85.80	48.22	UL-RL 6.7919E+04	-9.100	0.000
1.000	1.000	48.22	0.000	0.000	0.000	0.000	Ala_161_6590_L_0	0.0000	0.0000
0.0000	0.0000	0.0000	0.0000	0.0000	0.0000	0.0000			
48 D	10.08	0.000	89.70	50.41	89.70	50.41	UL-RL 6.7919E+04	-9.300	0.000
1.000	1.000	50.41	0.000	0.000	0.000	0.000	Ala_161_6590_L_0	0.0000	0.0000
0.0000	0.0000	0.0000	0.0000	0.0000	0.0000	0.0000			
49 D	10.52	0.000	93.60	52.60	93.60	52.60	UL-RL 6.7919E+04	-9.500	0.000
1.000	1.000	52.60	0.000	0.000	0.000	0.000	Ala_161_6590_L_0	0.0000	0.0000
0.0000	0.0000	0.0000	0.0000	0.0000	0.0000	0.0000			
50 D	11.13	0.000	95.50	53.67	95.50	53.67	UL-RL 6.7919E+04	-9.700	2.000
1.000	1.000	55.67	0.000	0.000	0.000	0.000	Ala_161_6590_L_0	0.0000	0.0000
0.0000	0.0000	0.0000	0.0000	0.0000	0.0000	0.0000			
51 D	11.75	0.000	97.40	54.74	97.40	54.74	UL-RL 6.7919E+04	-9.900	4.000
1.000	1.000	58.74	0.000	0.000	0.000	0.000	Ala_161_6590_L_0	0.0000	0.0000
0.0000	0.0000	0.0000	0.0000	0.0000	0.0000	0.0000			
52 D	12.36	0.000	99.30	55.81	99.30	55.81	UL-RL 6.7919E+04	-10.10	6.000
1.000	1.000	61.81	0.000	0.000	0.000	0.000	Ala_161_6590_L_0	0.0000	0.0000
0.0000	0.0000	0.0000	0.0000	0.0000	0.0000	0.0000			
53 D	12.97	0.000	101.2	56.87	101.2	56.87	UL-RL 6.7919E+04	-10.30	8.000
1.000	1.000	64.87	0.000	0.000	0.000	0.000	Ala_161_6590_L_0	0.0000	0.0000
0.0000	0.0000	0.0000	0.0000	0.0000	0.0000	0.0000			
54 D	13.59	0.000	103.1	57.94	103.1	57.94	UL-RL 6.7919E+04	-10.50	10.000
1.000	1.000	67.94	0.000	0.000	0.000	0.000	Ala_161_6590_L_0	0.0000	0.0000
0.0000	0.0000	0.0000	0.0000	0.0000	0.0000	0.0000			
55 D	14.20	0.000	105.0	59.01	105.0	59.01	UL-RL 6.7919E+04	-10.70	12.00
1.000	1.000	71.01	0.000	0.000	0.000	0.000	Ala_161_6590_L_0	0.0000	0.0000
0.0000	0.0000	0.0000	0.0000	0.0000	0.0000	0.0000			
56 D	14.82	0.000	106.9	60.08	106.9	60.08	UL-RL 6.7919E+04	-10.90	14.00
1.000	1.000	74.08	0.000	0.000	0.000	0.000	Ala_161_6590_L_0	0.0000	0.0000
0.0000	0.0000	0.0000	0.0000	0.0000	0.0000	0.0000			
57 D	15.43	0.000	108.8	61.15	108.8	61.15	UL-RL 6.7919E+04	-11.10	16.00
1.000	1.000	77.15	0.000	0.000	0.000	0.000	Ala_161_6590_L_0	0.0000	0.0000
0.0000	0.0000	0.0000	0.0000	0.0000	0.0000	0.0000			
58 D	16.04	0.000	110.7	62.21	110.7	62.21	UL-RL 6.7919E+04	-11.30	18.00
1.000	1.000	80.21	0.000	0.000	0.000	0.000	Ala_161_6590_L_0	0.0000	0.0000
0.0000	0.0000	0.0000	0.0000	0.0000	0.0000	0.0000			
59 D	16.66	0.000	112.6	63.28	112.6	63.28	UL-RL 6.7919E+04	-11.50	20.00
1.000	1.000	83.28	0.000	0.000	0.000	0.000	Ala_161_6590_L_0	0.0000	0.0000
0.0000	0.0000	0.0000	0.0000	0.0000	0.0000	0.0000			
60 D	17.27	0.000	114.5	64.35	114.5	64.35	UL-RL 6.7919E+04	-11.70	22.00
1.000	1.000	86.35	0.000	0.000	0.000	0.000	Ala_161_6590_L_0	0.0000	0.0000
0.0000	0.0000	0.0000	0.0000	0.0000	0.0000	0.0000			

61 D	17.88	0.000	116.4	65.42	116.4	65.42	UL-RL 6.7919E+04	-11.90	24.00
1.000	1.000	89.42	0.000	0.000	0.000	0.000	Ala_161_6590_L_0		0.0000
0.0000	0.0000	0.0000	0.0000	0.0000	0.0000	0.0000			
62 D	18.50	0.000	118.3	66.48	118.3	66.48	UL-RL 6.7919E+04	-12.10	26.00
1.000	1.000	92.48	0.000	0.000	0.000	0.000	Ala_161_6590_L_0		0.0000
0.0000	0.0000	0.0000	0.0000	0.0000	0.0000	0.0000			
63 D	19.11	0.000	120.2	67.55	120.2	67.55	UL-RL 6.7919E+04	-12.30	28.00
1.000	1.000	95.55	0.000	0.000	0.000	0.000	Ala_161_6590_L_0		0.0000
0.0000	0.0000	0.0000	0.0000	0.0000	0.0000	0.0000			
64 D	19.72	0.000	122.1	68.62	122.1	68.62	UL-RL 6.7919E+04	-12.50	30.00
1.000	1.000	98.62	0.000	0.000	0.000	0.000	Ala_161_6590_L_0		0.0000
0.0000	0.0000	0.0000	0.0000	0.0000	0.0000	0.0000			
65 D	20.34	0.000	124.0	69.69	124.0	69.69	UL-RL 6.7919E+04	-12.70	32.00
1.000	1.000	101.7	0.000	0.000	0.000	0.000	Ala_161_6590_L_0		0.0000
0.0000	0.0000	0.0000	0.0000	0.0000	0.0000	0.0000			
66 D	20.95	0.000	125.9	70.76	125.9	70.76	UL-RL 6.7919E+04	-12.90	34.00
1.000	1.000	104.8	0.000	0.000	0.000	0.000	Ala_161_6590_L_0		0.0000
0.0000	0.0000	0.0000	0.0000	0.0000	0.0000	0.0000			
67 D	21.56	0.000	127.8	71.82	127.8	71.82	UL-RL 6.7919E+04	-13.10	36.00
1.000	1.000	107.8	0.000	0.000	0.000	0.000	Ala_161_6590_L_0		0.0000
0.0000	0.0000	0.0000	0.0000	0.0000	0.0000	0.0000			
68 D	22.18	0.000	129.7	72.89	129.7	72.89	UL-RL 6.7919E+04	-13.30	38.00
1.000	1.000	110.9	0.000	0.000	0.000	0.000	Ala_161_6590_L_0		0.0000
0.0000	0.0000	0.0000	0.0000	0.0000	0.0000	0.0000			
69 D	22.79	0.000	131.6	73.96	131.6	73.96	UL-RL 6.7919E+04	-13.50	40.00
1.000	1.000	114.0	0.000	0.000	0.000	0.000	Ala_161_6590_L_0		0.0000
0.0000	0.0000	0.0000	0.0000	0.0000	0.0000	0.0000			
70 D	23.41	0.000	133.5	75.03	133.5	75.03	UL-RL 6.7919E+04	-13.70	42.00
1.000	1.000	117.0	0.000	0.000	0.000	0.000	Ala_161_6590_L_0		0.0000
0.0000	0.0000	0.0000	0.0000	0.0000	0.0000	0.0000			
71 D	24.02	0.000	135.4	76.09	135.4	76.09	UL-RL 6.7919E+04	-13.90	44.00
1.000	1.000	120.1	0.000	0.000	0.000	0.000	Ala_161_6590_L_0		0.0000
0.0000	0.0000	0.0000	0.0000	0.0000	0.0000	0.0000			
72 D	24.63	0.000	137.3	77.16	137.3	77.16	UL-RL 6.7919E+04	-14.10	46.00
1.000	1.000	123.2	0.000	0.000	0.000	0.000	Ala_161_6590_L_0		0.0000
0.0000	0.0000	0.0000	0.0000	0.0000	0.0000	0.0000			
73 D	25.25	0.000	139.2	78.23	139.2	78.23	UL-RL 6.7919E+04	-14.30	48.00
1.000	1.000	126.2	0.000	0.000	0.000	0.000	Ala_161_6590_L_0		0.0000
0.0000	0.0000	0.0000	0.0000	0.0000	0.0000	0.0000			
74 D	25.86	0.000	141.1	79.30	141.1	79.30	UL-RL 6.7919E+04	-14.50	50.00
1.000	1.000	129.3	0.000	0.000	0.000	0.000	Ala_161_6590_L_0		0.0000
0.0000	0.0000	0.0000	0.0000	0.0000	0.0000	0.0000			
75 D	26.47	0.000	143.0	80.37	143.0	80.37	UL-RL 6.7919E+04	-14.70	52.00
1.000	1.000	132.4	0.000	0.000	0.000	0.000	Ala_161_6590_L_0		0.0000
0.0000	0.0000	0.0000	0.0000	0.0000	0.0000	0.0000			
76 D	27.09	0.000	144.9	81.43	144.9	81.43	UL-RL 6.7919E+04	-14.90	54.00
1.000	1.000	135.4	0.000	0.000	0.000	0.000	Ala_161_6590_L_0		0.0000
0.0000	0.0000	0.0000	0.0000	0.0000	0.0000	0.0000			
77 D	27.70	0.000	146.8	82.50	146.8	82.50	UL-RL 6.7919E+04	-15.10	56.00
1.000	1.000	138.5	0.000	0.000	0.000	0.000	Ala_161_6590_L_0		0.0000
0.0000	0.0000	0.0000	0.0000	0.0000	0.0000	0.0000			
78 D	28.31	0.000	148.7	83.57	148.7	83.57	UL-RL 6.7919E+04	-15.30	58.00
1.000	1.000	141.6	0.000	0.000	0.000	0.000	Ala_161_6590_L_0		0.0000
0.0000	0.0000	0.0000	0.0000	0.0000	0.0000	0.0000			
79 D	28.93	0.000	150.6	84.64	150.6	84.64	UL-RL 6.7919E+04	-15.50	60.00
1.000	1.000	144.6	0.000	0.000	0.000	0.000	Ala_161_6590_L_0		0.0000
0.0000	0.0000	0.0000	0.0000	0.0000	0.0000	0.0000			
80 D	29.54	0.000	152.5	85.70	152.5	85.70	UL-RL 6.7919E+04	-15.70	62.00
1.000	1.000	147.7	0.000	0.000	0.000	0.000	Ala_161_6590_L_0		0.0000
0.0000	0.0000	0.0000	0.0000	0.0000	0.0000	0.0000			
81 D	30.15	0.000	154.4	86.77	154.4	86.77	UL-RL 6.7919E+04	-15.90	64.00
1.000	1.000	150.8	0.000	0.000	0.000	0.000	Ala_161_6590_L_0		0.0000
0.0000	0.0000	0.0000	0.0000	0.0000	0.0000	0.0000			
82 D	30.77	0.000	156.4	87.87	156.4	87.87	UL-RL 3.9569E+05	-16.10	66.00
1.000	1.000	153.9	0.000	0.000	10.00	10.00	Salt_21271_21259_L_0		0.0000
0.0000	0.0000	0.0000	0.0000	0.0000	0.0000	0.0000			
83 D	31.40	0.000	158.4	89.00	158.4	89.00	UL-RL 3.9569E+05	-16.30	68.00
1.000	1.000	157.0	0.000	0.000	10.00	10.00	Salt_21271_21259_L_0		0.0000
0.0000	0.0000	0.0000	0.0000	0.0000	0.0000	0.0000			
84 D	32.02	0.000	160.4	90.12	160.4	90.12	UL-RL 3.9569E+05	-16.50	70.00
1.000	1.000	160.1	0.000	0.000	10.00	10.00	Salt_21271_21259_L_0		0.0000
0.0000	0.0000	0.0000	0.0000	0.0000	0.0000	0.0000			
85 D	32.65	0.000	162.4	91.24	162.4	91.24	UL-RL 3.9569E+05	-16.70	72.00
1.000	1.000	163.2	0.000	0.000	10.00	10.00	Salt_21271_21259_L_0		0.0000
0.0000	0.0000	0.0000	0.0000	0.0000	0.0000	0.0000			
86 D	33.27	0.000	164.4	92.37	164.4	92.37	UL-RL 3.9569E+05	-16.90	74.00
1.000	1.000	166.4	0.000	0.000	10.00	10.00	Salt_21271_21259_L_0		0.0000
0.0000	0.0000	0.0000	0.0000	0.0000	0.0000	0.0000			
87 D	33.90	0.000	166.4	93.49	166.4	93.49	UL-RL 3.9569E+05	-17.10	76.00
1.000	1.000	169.5	0.000	0.000	10.00	10.00	Salt_21271_21259_L_0		0.0000
0.0000	0.0000	0.0000	0.0000	0.0000	0.0000	0.0000			
88 D	34.52	0.000	168.4	94.62	168.4	94.62	UL-RL 3.9569E+05	-17.30	78.00
1.000	1.000	172.6	0.000	0.000	10.00	10.00	Salt_21271_21259_L_0		0.0000
0.0000	0.0000	0.0000	0.0000	0.0000	0.0000	0.0000			
89 D	35.15	0.000	170.4	95.74	170.4	95.74	UL-RL 3.9569E+05	-17.50	80.00
1.000	1.000	175.7	0.000	0.000	10.00	10.00	Salt_21271_21259_L_0		0.0000
0.0000	0.0000	0.0000	0.0000	0.0000	0.0000	0.0000			
90 D	35.78	0.000	172.4	96.91	172.4	96.91	UL-RL 2.9499E+05	-17.70	82.00
1.000	1.000	178.9	0.000	0.000	55.00	55.00	Sch_21272_21260_L_0		0.0000
0.0000	0.0000	0.0000	0.0000	0.0000	0.0000	0.0000			
91 D	36.48	0.000	175.0	98.38	175.0	98.38	UL-RL 2.9499E+05	-17.90	84.00
1.000	1.000	182.4	0.000	0.000	55.00	55.00	Sch_21272_21260_L_0		0.0000

0.0000	0.0000	0.0000	0.0000	0.0000						
92 D	27.88	0.000	177.6	99.84	177.6	99.84	UL-RL 2.9499E+05	-18.10	86.00	
1.000	1.000	185.8	0.000	0.000	55.00	55.00	Sch_21272_21260_L_0		0.0000	
0.0000	0.0000	0.0000	0.0000	0.0000						
93 D	9.378	0.000	178.9	100.6	178.9	100.6	UL-RL 2.9499E+05	-18.20	87.00	
1.000	1.000	187.6	0.000	0.000	55.00	55.00	Sch_21272_21260_L_0		0.0000	
0.0000	0.0000	0.0000	0.0000	0.0000						

```

+-----+
|          PARATIEPLUS(TM)  NLS ENGINE RELEASE  2022.0.0  FULL VERSION  *Build date:Sep 13, 2021*          |
|                                                                                                                                            |
|                                                                                               ParatiePlus                               |
|                                                                                               Exe Time :28 January 2022   11:11:17          |
+-----+

```

New Project

S T R E S S R E S U L T S F O R G R O U P N O . 3

pali15001.7_33 :
ELEMENT TYPE 2 NO.OF ELEMENTS. IN THIS GROUP 68
C U R R E N T T I M E I S 2.0000 SUBINCREMENT 00001/00001

WALL2D ELEMENT

EL	TA	TB	MA	MB
1	0.0000	0.0000	0.0000	0.0000
2	0.0000	0.0000	0.0000	0.0000
3	0.0000	0.0000	0.0000	0.0000
4	0.0000	0.0000	0.0000	0.0000
5	0.0000	0.0000	0.0000	0.0000
6	0.0000	0.0000	0.0000	0.0000
7	0.0000	0.0000	0.0000	0.0000
8	0.0000	0.0000	0.0000	0.0000
9	0.0000	0.0000	0.0000	0.0000
10	0.0000	0.0000	0.0000	0.0000
11	0.0000	0.0000	0.0000	0.0000
12	0.0000	0.0000	0.0000	0.0000
13	0.0000	0.0000	0.0000	0.0000
14	0.0000	0.0000	0.0000	0.0000
15	0.0000	0.0000	0.0000	0.0000
16	0.0000	0.0000	0.0000	0.0000
17	0.0000	0.0000	0.0000	0.0000
18	0.0000	0.0000	0.0000	0.0000
19	0.0000	0.0000	0.0000	0.0000
20	0.0000	0.0000	0.0000	0.0000
21	0.0000	0.0000	0.0000	0.0000
22	0.0000	0.0000	0.0000	0.0000
23	0.0000	0.0000	0.0000	0.0000
24	0.0000	0.0000	0.0000	0.0000
25	0.0000	0.0000	0.0000	0.0000
26	0.0000	0.0000	0.0000	0.0000
27	0.0000	0.0000	0.0000	0.0000
28	0.0000	0.0000	0.0000	0.0000
29	0.0000	0.0000	0.0000	0.0000
30	0.0000	0.0000	0.0000	0.0000
31	0.0000	0.0000	0.0000	0.0000
32	0.0000	0.0000	0.0000	0.0000
33	0.0000	0.0000	0.0000	0.0000
34	0.0000	0.0000	0.0000	0.0000
35	0.0000	0.0000	0.0000	0.0000
36	0.0000	0.0000	0.0000	0.0000
37	0.0000	0.0000	0.0000	0.0000
38	0.0000	0.0000	0.0000	0.0000
39	0.0000	0.0000	0.0000	0.0000
40	0.0000	0.0000	0.0000	0.0000
41	0.0000	0.0000	0.0000	0.0000
42	0.0000	0.0000	0.0000	0.0000
43	0.0000	0.0000	0.0000	0.0000
44	0.0000	0.0000	0.0000	0.0000
45	0.0000	0.0000	0.0000	0.0000
46	0.0000	0.0000	0.0000	0.0000
47	0.0000	0.0000	0.0000	0.0000
48	0.0000	0.0000	0.0000	0.0000
49	0.0000	0.0000	0.0000	0.0000
50	0.0000	0.0000	0.0000	0.0000
51	0.0000	0.0000	0.0000	0.0000
52	0.0000	0.0000	0.0000	0.0000
53	0.0000	0.0000	0.0000	0.0000
54	0.0000	0.0000	0.0000	0.0000
55	0.0000	0.0000	0.0000	0.0000
56	0.0000	0.0000	0.0000	0.0000
57	0.0000	0.0000	0.0000	0.0000
58	0.0000	0.0000	0.0000	0.0000
59	0.0000	0.0000	0.0000	0.0000
60	0.0000	0.0000	0.0000	0.0000
61	0.0000	0.0000	0.0000	0.0000
62	0.0000	0.0000	0.0000	0.0000
63	0.0000	0.0000	0.0000	0.0000
64	0.0000	0.0000	0.0000	0.0000
65	0.0000	0.0000	0.0000	0.0000
66	0.0000	0.0000	0.0000	0.0000
67	0.0000	0.0000	0.0000	0.0000
68	0.0000	0.0000	0.0000	0.0000


```

+-----+
|                PARATIEPLUS(TM)  NLS ENGINE RELEASE  2022.0.0  FULL VERSION  *Build date:Sep 13, 2021*                |
|                                                                                                                                            |
|                                                                                               ParatiePlus                                                                                               |
|                                                                                               Exe Time :28 January 2022  11:11:17                                                                                               |
+-----+

```

New Project

S T R E S S R E S U L T S F O R G R O U P N O . 4

muro71cm_4658 :
ELEMENT TYPE 2 NO.OF ELEMENTS. IN THIS GROUP 24
C U R R E N T T I M E I S 2.0000 SUBINCREMENT 00001/00001

WALL2D ELEMENT

EL TA TB MA MB

***** NO ONE ELEMENT ACTIVE AT CURRENT STEP *****

```

ITER   0  RNORM = 0.000   RMNORM= 0.000
RINORM=0.1208E+06 RIMNOR= 0.000
RENORM=0.2352E+05 REMNOR= 0.000   RATIO =0.4413   TOLER =0.1000E-03 NOT CONVERGED
RFMAX = 54.51   RMMAX = 0.000
RTSMAL=0.1000E-03 RMSMAL= 0.000
RDT =0.1208E+06 RDR = 0.000
RATIOT=0.4413   RATIO= 0.000
MAX UN= 0.000   IEQ= 186 NODE   93 DOF   2   X-ROT. F
MIN UN=-18.26   IEQ= 133 NODE   67 DOF   1   Y-DISPL.F
NO. OF CONTACT CONSTRAINT VIOLATIONS   0

```

```

ITER   2  RNORM = 0.000   RMNORM= 0.000
RINORM=0.1208E+06 RIMNOR= 0.000
RENORM= 3350.   REMNOR=0.4799E-17 RATIO =0.1665   TOLER =0.1000E-03 NOT CONVERGED
RFMAX = 54.51   RMMAX = 0.000
RTSMAL=0.1000E-03 RMSMAL= 0.000
RDT =0.1208E+06 RDR = 0.000
RATIOT=0.1665   RATIO= 0.000
MAX UN=0.5656E-08 IEQ= 133 NODE   67 DOF   1   Y-DISPL.F
MIN UN=-19.64   IEQ= 163 NODE   82 DOF   1   Y-DISPL.F
NO. OF CONTACT CONSTRAINT VIOLATIONS   0

```

```

ITER   3  RNORM = 0.000   RMNORM= 0.000
RINORM=0.1208E+06 RIMNOR= 0.000
RENORM= 3405.   REMNOR=0.5279E-16 RATIO =0.1679   TOLER =0.1000E-03 NOT CONVERGED
RFMAX = 54.51   RMMAX = 0.000
RTSMAL=0.1000E-03 RMSMAL= 0.000
RDT =0.1208E+06 RDR = 0.000
RATIOT=0.1679   RATIO= 0.000
MAX UN=0.3933E-07 IEQ= 71 NODE   36 DOF   1   Y-DISPL.F
MIN UN=-26.84   IEQ= 177 NODE   89 DOF   1   Y-DISPL.F
NO. OF CONTACT CONSTRAINT VIOLATIONS   0

```

```

ITER   4  RNORM = 0.000   RMNORM= 0.000
RINORM=0.1208E+06 RIMNOR= 0.000
RENORM= 366.3   REMNOR=0.3103E-16 RATIO =0.5507E-01 TOLER =0.1000E-03 NOT CONVERGED
RFMAX = 54.51   RMMAX = 0.000
RTSMAL=0.1000E-03 RMSMAL= 0.000
RDT =0.1208E+06 RDR = 0.000
RATIOT=0.5507E-01 RATIO= 0.000
MAX UN= 2.735   IEQ= 177 NODE   89 DOF   1   Y-DISPL.F
MIN UN=-15.50   IEQ= 165 NODE   83 DOF   1   Y-DISPL.F
NO. OF CONTACT CONSTRAINT VIOLATIONS   0

```

```

ITER   5  RNORM = 0.000   RMNORM= 0.000
RINORM=0.1208E+06 RIMNOR= 0.000
RENORM=0.1083E-01 REMNOR=0.2785E-16 RATIO =0.2995E-03 TOLER =0.1000E-03 NOT CONVERGED
RFMAX = 54.51   RMMAX = 0.000
RTSMAL=0.1000E-03 RMSMAL= 0.000
RDT =0.1208E+06 RDR = 0.000
RATIOT=0.2995E-03 RATIO= 0.000
MAX UN=0.1041   IEQ= 185 NODE   93 DOF   1   Y-DISPL.F
MIN UN=-.2477E-07 IEQ= 51 NODE   26 DOF   1   Y-DISPL.F
NO. OF CONTACT CONSTRAINT VIOLATIONS   0

```

```

ITER   6  RNORM = 0.000   RMNORM= 0.000
RINORM=0.1208E+06 RIMNOR= 0.000
RENORM=0.3639E-03 REMNOR=0.1542E-16 RATIO =0.5489E-04 TOLER =0.1000E-03   CONVERGED !
RFMAX = 54.51   RMMAX = 0.000
RTSMAL=0.1000E-03 RMSMAL= 0.000
RDT =0.1208E+06 RDR = 0.000
RATIOT=0.5489E-04 RATIO= 0.000

```

MAX UN=0.4215E-07 IEQ= 61 NODE 31 DOF 1 Y-DISPL.F
MIN UN=-.1089E-01 IEQ= 169 NODE 85 DOF 1 Y-DISPL.F
NO. OF CONTACT CONSTRAINT VIOLATIONS 0

75	-3.2575085E-03	1.1280562E-03
76	-3.0329915E-03	1.1172252E-03
77	-2.8105746E-03	1.1070529E-03
78	-2.5901272E-03	1.0975269E-03
79	-2.3715217E-03	1.0886328E-03
80	-2.1546331E-03	1.0803536E-03
81	-1.9393409E-03	1.0726645E-03
82	-1.7255304E-03	1.0655290E-03
83	-1.5130906E-03	1.0589746E-03
84	-1.3018958E-03	1.0530918E-03
85	-1.0918039E-03	1.0479582E-03
86	-8.8265830E-04	1.0436382E-03
87	-6.7429102E-04	1.0401822E-03
88	-4.6652712E-04	1.0376006E-03
89	-2.5919619E-04	1.0358380E-03
90	-5.2134716E-05	1.0347783E-03
91	1.5476185E-04	1.0342640E-03
92	3.6159460E-04	1.0341054E-03
93	4.6500460E-04	1.0340972E-03

```

+-----+
|                PARATIEPLUS(TM)  NLS ENGINE RELEASE 2022.0.0  FULL VERSION  *Build date:Sep 13, 2021*                |
|                                                                                                                                            |
|                                                                                               ParatiePlus                               |
|                                                                                               Exe Time :28 January 2022  11:11:17          |
+-----+

```

New Project

S T R E S S R E S U L T S F O R G R O U P N O . 1

0_L :
ELEMENT TYPE 5 NO.OF ELEMENTS. IN THIS GROUP 93
C U R R E N T T I M E I S 3.0000 SUBINCREMENT 00001/00001

HARDENING 2D SOIL ELEMENT

***** TOTAL STRESS FORMULATION *****

EL * TOR QSL	FORCE UFACTOR ZD	DISPL-Y Peq ZPL	VERTICAL-P Su_a Kz	HORIZON.-P Su_p	MAX-V-P Coh_e_a	MAX-H-P Coh_e_p	STATE LAYER	STIFFNESS	Z-LEVEL	PORE ZFO	E FAC- QS
1	0.000	--	--	--	--	--	REMOVED	--	0.000	0.000	
1.000	1.000	0.000	0.000	0.000	0.000	0.000	not available				
2	0.000	--	--	--	--	--	REMOVED	--	-0.2000	0.000	
1.000	1.000	0.000	0.000	0.000	0.000	0.000	not available				
3	0.000	--	--	--	--	--	REMOVED	--	-0.4000	0.000	
1.000	1.000	0.000	0.000	0.000	0.000	0.000	not available				
4	0.000	--	--	--	--	--	REMOVED	--	-0.6000	0.000	
1.000	1.000	0.000	0.000	0.000	0.000	0.000	not available				
5	0.000	--	--	--	--	--	REMOVED	--	-0.8000	0.000	
1.000	1.000	0.000	0.000	0.000	0.000	0.000	not available				
6	0.000	--	--	--	--	--	REMOVED	--	-1.000	0.000	
1.000	1.000	0.000	0.000	0.000	0.000	0.000	not available				
7	0.000	--	--	--	--	--	REMOVED	--	-1.200	0.000	
1.000	1.000	0.000	0.000	0.000	0.000	0.000	not available				
8	0.000	--	--	--	--	--	REMOVED	--	-1.400	0.000	
1.000	1.000	0.000	0.000	0.000	0.000	0.000	not available				
9	0.000	--	--	--	--	--	REMOVED	--	-1.600	0.000	
1.000	1.000	0.000	0.000	0.000	0.000	0.000	not available				
10	0.000	--	--	--	--	--	REMOVED	--	-1.800	0.000	
1.000	1.000	0.000	0.000	0.000	0.000	0.000	not available				
11	0.000	--	--	--	--	--	REMOVED	--	-2.000	0.000	
1.000	1.000	0.000	0.000	0.000	0.000	0.000	not available				
12	0.000	--	--	--	--	--	REMOVED	--	-2.200	0.000	
1.000	1.000	0.000	0.000	0.000	0.000	0.000	not available				
13	0.000	--	--	--	--	--	REMOVED	--	-2.400	0.000	
1.000	1.000	0.000	0.000	0.000	0.000	0.000	not available				
14	0.000	--	--	--	--	--	REMOVED	--	-2.600	0.000	
1.000	1.000	0.000	0.000	0.000	0.000	0.000	not available				
15	0.000	--	--	--	--	--	REMOVED	--	-2.800	0.000	
1.000	1.000	0.000	0.000	0.000	0.000	0.000	not available				
16	0.000	--	--	--	--	--	REMOVED	--	-3.000	0.000	
1.000	1.000	0.000	0.000	0.000	0.000	0.000	not available				
17	0.000	--	--	--	--	--	REMOVED	--	-3.200	0.000	
1.000	1.000	0.000	0.000	0.000	0.000	0.000	not available				
18	0.000	--	--	--	--	--	REMOVED	--	-3.400	0.000	
1.000	1.000	0.000	0.000	0.000	0.000	0.000	not available				
19	0.000	--	--	--	--	--	REMOVED	--	-3.600	0.000	
1.000	1.000	0.000	0.000	0.000	0.000	0.000	not available				
20	0.000	--	--	--	--	--	REMOVED	--	-3.800	0.000	
1.000	1.000	0.000	0.000	0.000	0.000	0.000	not available				
21	0.000	--	--	--	--	--	REMOVED	--	-4.000	0.000	
1.000	1.000	0.000	0.000	0.000	0.000	0.000	not available				
22	0.000	--	--	--	--	--	REMOVED	--	-4.200	0.000	
1.000	1.000	0.000	0.000	0.000	0.000	0.000	not available				
23	0.000	--	--	--	--	--	REMOVED	--	-4.400	0.000	
1.000	1.000	0.000	0.000	0.000	0.000	0.000	not available				
24	0.000	--	--	--	--	--	REMOVED	--	-4.600	0.000	
1.000	1.000	0.000	0.000	0.000	0.000	0.000	not available				
25 D	0.000	1.9434E-02	0.000	0.000	0.000	0.000	PASSIVE	0.000	-4.700	0.000	
1.000	1.000	0.000	0.000	0.000	0.000	0.000	Ala_161_6590_L_0			0.0000	
0.0000	0.0000	0.0000	0.0000	0.0000	0.0000						
26 D	2.513	1.9011E-02	3.900	12.57	3.900	12.57	PASSIVE	0.000	-4.900	0.000	
1.000	1.000	12.57	0.000	0.000	0.000	0.000	Ala_161_6590_L_0			0.0000	
0.0000	0.0000	0.0000	0.0000	0.0000	0.0000						
27 D	5.026	1.8590E-02	7.800	25.13	7.800	25.13	PASSIVE	0.000	-5.100	0.000	
1.000	1.000	25.13	0.000	0.000	0.000	0.000	Ala_161_6590_L_0			0.0000	
0.0000	0.0000	0.0000	0.0000	0.0000	0.0000						
28 D	7.539	1.8172E-02	11.70	37.70	11.70	37.70	PASSIVE	0.000	-5.300	0.000	
1.000	1.000	37.70	0.000	0.000	0.000	0.000	Ala_161_6590_L_0			0.0000	
0.0000	0.0000	0.0000	0.0000	0.0000	0.0000						
29 D	10.05	1.7756E-02	15.60	50.26	15.60	50.26	PASSIVE	0.000	-5.500	0.000	
1.000	1.000	50.26	0.000	0.000	0.000	0.000	Ala_161_6590_L_0			0.0000	
0.0000	0.0000	0.0000	0.0000	0.0000	0.0000						
30 D	12.57	1.7342E-02	19.50	62.83	19.50	62.83	PASSIVE	0.000	-5.700	0.000	

1.000	1.000	62.83	0.000	0.000	0.000	0.000	Ala_161_6590_L_0	0.0000	
0.0000	0.0000	0.0000	0.0000	0.0000	0.0000	0.0000			
31 D	15.08	1.6932E-02	23.40	75.39	23.40	75.39	PASSIVE 0.000	-5.900	0.000
1.000	1.000	75.39	0.000	0.000	0.000	0.000	Ala_161_6590_L_0	0.0000	
0.0000	0.0000	0.0000	0.0000	0.0000	0.0000	0.0000			
32 D	17.59	1.6525E-02	27.30	87.96	27.30	87.96	PASSIVE 0.000	-6.100	0.000
1.000	1.000	87.96	0.000	0.000	0.000	0.000	Ala_161_6590_L_0	0.0000	
0.0000	0.0000	0.0000	0.0000	0.0000	0.0000	0.0000			
33 D	20.11	1.6121E-02	31.20	100.5	31.20	100.5	PASSIVE 0.000	-6.300	0.000
1.000	1.000	100.5	0.000	0.000	0.000	0.000	Ala_161_6590_L_0	0.0000	
0.0000	0.0000	0.0000	0.0000	0.0000	0.0000	0.0000			
34 D	22.62	1.5721E-02	35.10	113.1	35.10	113.1	PASSIVE 0.000	-6.500	0.000
1.000	1.000	113.1	0.000	0.000	0.000	0.000	Ala_161_6590_L_0	0.0000	
0.0000	0.0000	0.0000	0.0000	0.0000	0.0000	0.0000			
35 D	25.13	1.5325E-02	39.00	125.7	39.00	125.7	PASSIVE 0.000	-6.700	0.000
1.000	1.000	125.7	0.000	0.000	0.000	0.000	Ala_161_6590_L_0	0.0000	
0.0000	0.0000	0.0000	0.0000	0.0000	0.0000	0.0000			
36 D	26.07	1.4933E-02	42.90	130.4	42.90	130.4	V-C 7116.	-6.900	0.000
1.000	1.000	130.4	0.000	0.000	0.000	0.000	Ala_161_6590_L_0	0.0000	
0.0000	0.0000	0.0000	0.0000	0.0000	0.0000	0.0000			
37 D	25.96	1.4545E-02	46.80	129.8	46.80	129.8	V-C 7116.	-7.100	0.000
1.000	1.000	129.8	0.000	0.000	0.000	0.000	Ala_161_6590_L_0	0.0000	
0.0000	0.0000	0.0000	0.0000	0.0000	0.0000	0.0000			
38 D	25.85	1.4162E-02	50.70	129.3	50.70	129.3	V-C 7116.	-7.300	0.000
1.000	1.000	129.3	0.000	0.000	0.000	0.000	Ala_161_6590_L_0	0.0000	
0.0000	0.0000	0.0000	0.0000	0.0000	0.0000	0.0000			
39 D	25.75	1.3783E-02	54.60	128.8	54.60	128.8	V-C 7116.	-7.500	0.000
1.000	1.000	128.8	0.000	0.000	0.000	0.000	Ala_161_6590_L_0	0.0000	
0.0000	0.0000	0.0000	0.0000	0.0000	0.0000	0.0000			
40 D	25.66	1.3409E-02	58.50	128.3	58.50	128.3	V-C 7116.	-7.700	0.000
1.000	1.000	128.3	0.000	0.000	0.000	0.000	Ala_161_6590_L_0	0.0000	
0.0000	0.0000	0.0000	0.0000	0.0000	0.0000	0.0000			
41 D	25.57	1.3039E-02	62.40	127.9	62.40	127.9	V-C 7116.	-7.900	0.000
1.000	1.000	127.9	0.000	0.000	0.000	0.000	Ala_161_6590_L_0	0.0000	
0.0000	0.0000	0.0000	0.0000	0.0000	0.0000	0.0000			
42 D	25.49	1.2675E-02	66.30	127.5	66.30	127.5	V-C 7116.	-8.100	0.000
1.000	1.000	127.5	0.000	0.000	0.000	0.000	Ala_161_6590_L_0	0.0000	
0.0000	0.0000	0.0000	0.0000	0.0000	0.0000	0.0000			
43 D	25.42	1.2316E-02	70.20	127.1	70.20	127.1	V-C 7116.	-8.300	0.000
1.000	1.000	127.1	0.000	0.000	0.000	0.000	Ala_161_6590_L_0	0.0000	
0.0000	0.0000	0.0000	0.0000	0.0000	0.0000	0.0000			
44 D	25.35	1.1961E-02	74.10	126.8	74.10	126.8	V-C 7116.	-8.500	0.000
1.000	1.000	126.8	0.000	0.000	0.000	0.000	Ala_161_6590_L_0	0.0000	
0.0000	0.0000	0.0000	0.0000	0.0000	0.0000	0.0000			
45 D	25.29	1.1612E-02	78.00	126.5	78.00	126.5	V-C 7116.	-8.700	0.000
1.000	1.000	126.5	0.000	0.000	0.000	0.000	Ala_161_6590_L_0	0.0000	
0.0000	0.0000	0.0000	0.0000	0.0000	0.0000	0.0000			
46 D	25.24	1.1268E-02	81.90	126.2	81.90	126.2	V-C 7116.	-8.900	0.000
1.000	1.000	126.2	0.000	0.000	0.000	0.000	Ala_161_6590_L_0	0.0000	
0.0000	0.0000	0.0000	0.0000	0.0000	0.0000	0.0000			
47 D	25.20	1.0928E-02	85.80	126.0	85.80	126.0	V-C 7116.	-9.100	0.000
1.000	1.000	126.0	0.000	0.000	0.000	0.000	Ala_161_6590_L_0	0.0000	
0.0000	0.0000	0.0000	0.0000	0.0000	0.0000	0.0000			
48 D	25.16	1.0594E-02	89.70	125.8	89.70	125.8	V-C 7116.	-9.300	0.000
1.000	1.000	125.8	0.000	0.000	0.000	0.000	Ala_161_6590_L_0	0.0000	
0.0000	0.0000	0.0000	0.0000	0.0000	0.0000	0.0000			
49 D	25.13	1.0265E-02	93.60	125.7	93.60	125.7	V-C 7116.	-9.500	0.000
1.000	1.000	125.7	0.000	0.000	0.000	0.000	Ala_161_6590_L_0	0.0000	
0.0000	0.0000	0.0000	0.0000	0.0000	0.0000	0.0000			
50 D	25.28	9.9415E-03	95.50	124.4	95.50	124.4	V-C 7116.	-9.700	2.000
1.000	1.000	126.4	0.000	0.000	0.000	0.000	Ala_161_6590_L_0	0.0000	
0.0000	0.0000	0.0000	0.0000	0.0000	0.0000	0.0000			
51 D	25.44	9.6227E-03	97.40	123.2	97.40	123.2	V-C 7116.	-9.900	4.000
1.000	1.000	127.2	0.000	0.000	0.000	0.000	Ala_161_6590_L_0	0.0000	
0.0000	0.0000	0.0000	0.0000	0.0000	0.0000	0.0000			
52 D	25.61	9.3088E-03	99.30	122.1	99.30	122.1	V-C 7116.	-10.10	6.000
1.000	1.000	128.1	0.000	0.000	0.000	0.000	Ala_161_6590_L_0	0.0000	
0.0000	0.0000	0.0000	0.0000	0.0000	0.0000	0.0000			
53 D	25.78	8.9999E-03	101.2	120.9	101.2	120.9	V-C 7116.	-10.30	8.000
1.000	1.000	128.9	0.000	0.000	0.000	0.000	Ala_161_6590_L_0	0.0000	
0.0000	0.0000	0.0000	0.0000	0.0000	0.0000	0.0000			
54 D	25.96	8.6959E-03	103.1	119.8	103.1	119.8	V-C 7116.	-10.50	10.000
1.000	1.000	129.8	0.000	0.000	0.000	0.000	Ala_161_6590_L_0	0.0000	
0.0000	0.0000	0.0000	0.0000	0.0000	0.0000	0.0000			
55 D	26.15	8.3967E-03	105.0	118.8	105.0	118.8	V-C 7116.	-10.70	12.00
1.000	1.000	130.8	0.000	0.000	0.000	0.000	Ala_161_6590_L_0	0.0000	
0.0000	0.0000	0.0000	0.0000	0.0000	0.0000	0.0000			
56 D	26.35	8.1022E-03	106.9	117.7	106.9	117.7	V-C 7116.	-10.90	14.00
1.000	1.000	131.7	0.000	0.000	0.000	0.000	Ala_161_6590_L_0	0.0000	
0.0000	0.0000	0.0000	0.0000	0.0000	0.0000	0.0000			
57 D	26.55	7.8124E-03	108.8	116.7	108.8	116.7	V-C 7116.	-11.10	16.00
1.000	1.000	132.7	0.000	0.000	0.000	0.000	Ala_161_6590_L_0	0.0000	
0.0000	0.0000	0.0000	0.0000	0.0000	0.0000	0.0000			
58 D	26.76	7.5271E-03	110.7	115.8	110.7	115.8	V-C 7116.	-11.30	18.00
1.000	1.000	133.8	0.000	0.000	0.000	0.000	Ala_161_6590_L_0	0.0000	
0.0000	0.0000	0.0000	0.0000	0.0000	0.0000	0.0000			
59 D	26.97	7.2462E-03	112.6	114.8	112.6	114.8	V-C 7116.	-11.50	20.00
1.000	1.000	134.8	0.000	0.000	0.000	0.000	Ala_161_6590_L_0	0.0000	
0.0000	0.0000	0.0000	0.0000	0.0000	0.0000	0.0000			
60 D	27.19	6.9697E-03	114.5	113.9	114.5	113.9	V-C 7116.	-11.70	22.00
1.000	1.000	135.9	0.000	0.000	0.000	0.000	Ala_161_6590_L_0	0.0000	
0.0000	0.0000	0.0000	0.0000	0.0000	0.0000	0.0000			

61 D	27.42	6.6974E-03	116.4	113.1	116.4	113.1	V-C	7116.	-11.90	24.00
1.000	1.000	137.1	0.000	0.000	0.000	0.000	Ala_161_6590_L_0			0.0000
0.0000	0.0000	0.0000	0.0000	0.0000						
62 D	27.65	6.4292E-03	118.3	112.2	118.3	112.2	V-C	7116.	-12.10	26.00
1.000	1.000	138.2	0.000	0.000	0.000	0.000	Ala_161_6590_L_0			0.0000
0.0000	0.0000	0.0000	0.0000	0.0000						
63 D	27.88	6.1650E-03	120.2	111.4	120.2	111.4	V-C	7116.	-12.30	28.00
1.000	1.000	139.4	0.000	0.000	0.000	0.000	Ala_161_6590_L_0			0.0000
0.0000	0.0000	0.0000	0.0000	0.0000						
64 D	28.13	5.9047E-03	122.1	110.6	122.1	110.6	V-C	7116.	-12.50	30.00
1.000	1.000	140.6	0.000	0.000	0.000	0.000	Ala_161_6590_L_0			0.0000
0.0000	0.0000	0.0000	0.0000	0.0000						
65 D	28.38	5.6480E-03	124.0	109.9	124.0	109.9	V-C	7116.	-12.70	32.00
1.000	1.000	141.9	0.000	0.000	0.000	0.000	Ala_161_6590_L_0			0.0000
0.0000	0.0000	0.0000	0.0000	0.0000						
66 D	28.63	5.3950E-03	125.9	109.1	125.9	109.1	V-C	7116.	-12.90	34.00
1.000	1.000	143.1	0.000	0.000	0.000	0.000	Ala_161_6590_L_0			0.0000
0.0000	0.0000	0.0000	0.0000	0.0000						
67 D	28.89	5.1455E-03	127.8	108.4	127.8	108.4	V-C	7116.	-13.10	36.00
1.000	1.000	144.4	0.000	0.000	0.000	0.000	Ala_161_6590_L_0			0.0000
0.0000	0.0000	0.0000	0.0000	0.0000						
68 D	29.15	4.8993E-03	129.7	107.8	129.7	107.8	V-C	7116.	-13.30	38.00
1.000	1.000	145.8	0.000	0.000	0.000	0.000	Ala_161_6590_L_0			0.0000
0.0000	0.0000	0.0000	0.0000	0.0000						
69 D	29.42	4.6563E-03	131.6	107.1	131.6	107.1	V-C	7116.	-13.50	40.00
1.000	1.000	147.1	0.000	0.000	0.000	0.000	Ala_161_6590_L_0			0.0000
0.0000	0.0000	0.0000	0.0000	0.0000						
70 D	29.69	4.4163E-03	133.5	106.5	133.5	106.5	V-C	7116.	-13.70	42.00
1.000	1.000	148.5	0.000	0.000	0.000	0.000	Ala_161_6590_L_0			0.0000
0.0000	0.0000	0.0000	0.0000	0.0000						
71 D	29.97	4.1793E-03	135.4	105.8	135.4	105.8	V-C	7116.	-13.90	44.00
1.000	1.000	149.8	0.000	0.000	0.000	0.000	Ala_161_6590_L_0			0.0000
0.0000	0.0000	0.0000	0.0000	0.0000						
72 D	30.25	3.9450E-03	137.3	105.2	137.3	105.2	UL-RL	2.1349E+04	-14.10	46.00
1.000	1.000	151.2	0.000	0.000	0.000	0.000	Ala_161_6590_L_0			0.0000
0.0000	0.0000	0.0000	0.0000	0.0000						
73 D	30.53	3.7134E-03	139.2	104.7	139.2	104.7	UL-RL	2.1349E+04	-14.30	48.00
1.000	1.000	152.7	0.000	0.000	0.000	0.000	Ala_161_6590_L_0			0.0000
0.0000	0.0000	0.0000	0.0000	0.0000						
74 D	30.82	3.4843E-03	141.1	104.1	141.1	104.1	UL-RL	2.1349E+04	-14.50	50.00
1.000	1.000	154.1	0.000	0.000	0.000	0.000	Ala_161_6590_L_0			0.0000
0.0000	0.0000	0.0000	0.0000	0.0000						
75 D	31.11	3.2575E-03	143.0	103.5	143.0	103.5	UL-RL	2.1349E+04	-14.70	52.00
1.000	1.000	155.5	0.000	0.000	0.000	0.000	Ala_161_6590_L_0			0.0000
0.0000	0.0000	0.0000	0.0000	0.0000						
76 D	31.40	3.0330E-03	144.9	103.0	144.9	103.0	UL-RL	2.1349E+04	-14.90	54.00
1.000	1.000	157.0	0.000	0.000	0.000	0.000	Ala_161_6590_L_0			0.0000
0.0000	0.0000	0.0000	0.0000	0.0000						
77 D	31.70	2.8106E-03	146.8	102.5	146.8	102.5	UL-RL	2.1349E+04	-15.10	56.00
1.000	1.000	158.5	0.000	0.000	0.000	0.000	Ala_161_6590_L_0			0.0000
0.0000	0.0000	0.0000	0.0000	0.0000						
78 D	32.00	2.5901E-03	148.7	102.0	148.7	102.0	UL-RL	2.1349E+04	-15.30	58.00
1.000	1.000	160.0	0.000	0.000	0.000	0.000	Ala_161_6590_L_0			0.0000
0.0000	0.0000	0.0000	0.0000	0.0000						
79 D	32.30	2.3715E-03	150.6	101.5	150.6	101.5	UL-RL	2.1349E+04	-15.50	60.00
1.000	1.000	161.5	0.000	0.000	0.000	0.000	Ala_161_6590_L_0			0.0000
0.0000	0.0000	0.0000	0.0000	0.0000						
80 D	32.61	2.1546E-03	152.5	101.0	152.5	101.0	UL-RL	2.1349E+04	-15.70	62.00
1.000	1.000	163.0	0.000	0.000	0.000	0.000	Ala_161_6590_L_0			0.0000
0.0000	0.0000	0.0000	0.0000	0.0000						
81 D	32.91	1.9393E-03	154.4	100.6	154.4	100.6	UL-RL	2.1349E+04	-15.90	64.00
1.000	1.000	164.6	0.000	0.000	0.000	0.000	Ala_161_6590_L_0			0.0000
0.0000	0.0000	0.0000	0.0000	0.0000						
82 D	44.54	1.7255E-03	156.4	156.7	156.4	156.7	UL-RL	1.1966E+05	-16.10	66.00
1.000	1.000	222.7	0.000	0.000	10.00	10.00	Salt_21271_21259_L_0			0.0000
0.0000	0.0000	0.0000	0.0000	0.0000						
83 D	43.47	1.5131E-03	158.4	149.3	158.4	149.4	UL-RL	1.1966E+05	-16.30	68.00
1.000	1.000	217.3	0.000	0.000	10.00	10.00	Salt_21271_21259_L_0			0.0000
0.0000	0.0000	0.0000	0.0000	0.0000						
84 D	42.41	1.3019E-03	160.4	142.0	160.4	142.1	UL-RL	1.1966E+05	-16.50	70.00
1.000	1.000	212.0	0.000	0.000	10.00	10.00	Salt_21271_21259_L_0			0.0000
0.0000	0.0000	0.0000	0.0000	0.0000						
85 D	41.35	1.0918E-03	162.4	134.8	162.4	134.8	UL-RL	1.1966E+05	-16.70	72.00
1.000	1.000	206.8	0.000	0.000	10.00	10.00	Salt_21271_21259_L_0			0.0000
0.0000	0.0000	0.0000	0.0000	0.0000						
86 D	40.23	8.8266E-04	164.4	127.2	164.4	127.8	UL-RL	1.1966E+05	-16.90	74.00
1.000	1.000	201.2	0.000	0.000	10.00	10.00	Salt_21271_21259_L_0			0.0000
0.0000	0.0000	0.0000	0.0000	0.0000						
87 D	36.99	6.7429E-04	166.4	109.0	166.4	126.1	UL-RL	1.1966E+05	-17.10	76.00
1.000	1.000	185.0	0.000	0.000	10.00	10.00	Salt_21271_21259_L_0			0.0000
0.0000	0.0000	0.0000	0.0000	0.0000						
88 D	33.77	4.6653E-04	168.4	90.86	168.4	124.4	UL-RL	1.1966E+05	-17.30	78.00
1.000	1.000	168.9	0.000	0.000	10.00	10.00	Salt_21271_21259_L_0			0.0000
0.0000	0.0000	0.0000	0.0000	0.0000						
89 D	30.56	2.5920E-04	170.4	72.80	170.4	122.7	UL-RL	1.1966E+05	-17.50	80.00
1.000	1.000	152.8	0.000	0.000	10.00	10.00	Salt_21271_21259_L_0			0.0000
0.0000	0.0000	0.0000	0.0000	0.0000						
90 D	30.64	5.2135E-05	172.4	71.19	172.4	111.7	UL-RL	7.3129E+04	-17.70	82.00
1.000	1.000	153.2	0.000	0.000	55.00	55.00	Sch_21272_21260_L_0			0.0000
0.0000	0.0000	0.0000	0.0000	0.0000						
91 D	28.99	-1.5476E-04	175.0	60.95	175.0	111.4	UL-RL	7.3129E+04	-17.90	84.00
1.000	1.000	144.9	0.000	0.000	55.00	55.00	Sch_21272_21260_L_0			0.0000

0.0000	0.0000	0.0000	0.0000	0.0000						
92 D	20.51	-3.6159E-04	177.6	50.72	177.6	111.2	UL-RL 7.3129E+04	-18.10	86.00	
1.000	1.000	136.7	0.000	0.000	55.00	55.00	Sch_21272_21260_L_0		0.0000	
0.0000	0.0000	0.0000	0.0000	0.0000						
93 D	6.630	-4.6500E-04	178.9	45.60	178.9	111.0	UL-RL 7.3129E+04	-18.20	87.00	
1.000	1.000	132.6	0.000	0.000	55.00	55.00	Sch_21272_21260_L_0		0.0000	
0.0000	0.0000	0.0000	0.0000	0.0000						


```

+-----+
|                PARATIEPLUS(TM)  NLS ENGINE RELEASE  2022.0.0  FULL VERSION  *Build date:Sep 13, 2021*                |
|                                                                                                                                            |
|                                                                                               ParatiePlus                                                                                               |
|                                                                                               Exe Time :28 January 2022  11:11:17                                                                                               |
+-----+

```

New Project

S T R E S S R E S U L T S F O R G R O U P N O . 2

0_R :
ELEMENT TYPE 5 NO.OF ELEMENTS. IN THIS GROUP 93
C U R R E N T T I M E I S 3.0000 SUBINCREMENT 00001/00001

HARDENING 2D SOIL ELEMENT

***** TOTAL STRESS FORMULATION *****

EL * TOR QSL	FORCE UFACTOR ZD	DISPL-Y Peq ZPL	VERTICAL-P Su_a Kz	HORIZON.-P Su_p	MAX-V-P Cohe_a	MAX-H-P Cohe_p	STATE LAYER	STIFFNESS	Z-LEVEL	PORE ZFO	E FAC- QS
1 D	1.340	-3.0409E-02	57.00	13.39	57.00	24.28	ACTIVE	0.000	0.000	0.000	
1.000	1.000	13.40	0.000	0.000	0.000	0.000	rilevato_6589_8_L_0			0.000	
0.0000	0.0000	0.0000	0.0000	0.0000							
2 D	2.867	-2.9928E-02	61.00	14.34	61.00	25.99	ACTIVE	0.000	-0.2000	0.000	
1.000	1.000	14.34	0.000	0.000	0.000	0.000	rilevato_6589_8_L_0			0.000	
0.0000	0.0000	0.0000	0.0000	0.0000							
3 D	3.055	-2.9448E-02	65.00	15.28	65.00	27.69	ACTIVE	0.000	-0.4000	0.000	
1.000	1.000	15.28	0.000	0.000	0.000	0.000	rilevato_6589_8_L_0			0.000	
0.0000	0.0000	0.0000	0.0000	0.0000							
4 D	3.243	-2.8968E-02	69.01	16.22	69.01	29.39	ACTIVE	0.000	-0.6000	0.000	
1.000	1.000	16.22	0.000	0.000	0.000	0.000	rilevato_6589_8_L_0			0.000	
0.0000	0.0000	0.0000	0.0000	0.0000							
5 D	3.432	-2.8488E-02	73.01	17.16	73.01	31.10	ACTIVE	0.000	-0.8000	0.000	
1.000	1.000	17.16	0.000	0.000	0.000	0.000	rilevato_6589_8_L_0			0.000	
0.0000	0.0000	0.0000	0.0000	0.0000							
6 D	3.620	-2.8008E-02	77.03	18.10	77.03	32.80	ACTIVE	0.000	-1.000	0.000	
1.000	1.000	18.10	0.000	0.000	0.000	0.000	rilevato_6589_8_L_0			0.000	
0.0000	0.0000	0.0000	0.0000	0.0000							
7 D	3.809	-2.7528E-02	81.05	19.05	81.05	34.51	ACTIVE	0.000	-1.200	0.000	
1.000	1.000	19.05	0.000	0.000	0.000	0.000	rilevato_6589_8_L_0			0.000	
0.0000	0.0000	0.0000	0.0000	0.0000							
8 D	3.999	-2.7049E-02	85.08	19.99	85.08	36.21	ACTIVE	0.000	-1.400	0.000	
1.000	1.000	19.99	0.000	0.000	0.000	0.000	rilevato_6589_8_L_0			0.000	
0.0000	0.0000	0.0000	0.0000	0.0000							
9 D	4.188	-2.6570E-02	89.11	20.94	89.11	37.91	ACTIVE	0.000	-1.600	0.000	
1.000	1.000	20.94	0.000	0.000	0.000	0.000	rilevato_6589_8_L_0			0.000	
0.0000	0.0000	0.0000	0.0000	0.0000							
10 D	4.378	-2.6092E-02	93.16	21.89	93.16	39.62	ACTIVE	0.000	-1.800	0.000	
1.000	1.000	21.89	0.000	0.000	0.000	0.000	rilevato_6589_8_L_0			0.000	
0.0000	0.0000	0.0000	0.0000	0.0000							
11 D	4.569	-2.5615E-02	97.21	22.84	97.21	41.32	ACTIVE	0.000	-2.000	0.000	
1.000	1.000	22.84	0.000	0.000	0.000	0.000	rilevato_6589_8_L_0			0.000	
0.0000	0.0000	0.0000	0.0000	0.0000							
12 D	4.760	-2.5139E-02	101.3	23.80	101.3	43.03	ACTIVE	0.000	-2.200	0.000	
1.000	1.000	23.80	0.000	0.000	0.000	0.000	rilevato_6589_8_L_0			0.000	
0.0000	0.0000	0.0000	0.0000	0.0000							
13 D	4.951	-2.4665E-02	105.3	24.76	105.3	44.73	ACTIVE	0.000	-2.400	0.000	
1.000	1.000	24.76	0.000	0.000	0.000	0.000	rilevato_6589_8_L_0			0.000	
0.0000	0.0000	0.0000	0.0000	0.0000							
14 D	5.143	-2.4192E-02	109.4	25.71	109.4	46.43	ACTIVE	0.000	-2.600	0.000	
1.000	1.000	25.71	0.000	0.000	0.000	0.000	rilevato_6589_8_L_0			0.000	
0.0000	0.0000	0.0000	0.0000	0.0000							
15 D	5.335	-2.3721E-02	113.5	26.68	113.5	48.14	ACTIVE	0.000	-2.800	0.000	
1.000	1.000	26.68	0.000	0.000	0.000	0.000	rilevato_6589_8_L_0			0.000	
0.0000	0.0000	0.0000	0.0000	0.0000							
16 D	5.528	-2.3252E-02	117.6	27.64	117.6	49.84	ACTIVE	0.000	-3.000	0.000	
1.000	1.000	27.64	0.000	0.000	0.000	0.000	rilevato_6589_8_L_0			0.000	
0.0000	0.0000	0.0000	0.0000	0.0000							
17 D	5.721	-2.2787E-02	121.7	28.60	121.7	51.55	ACTIVE	0.000	-3.200	0.000	
1.000	1.000	28.60	0.000	0.000	0.000	0.000	rilevato_6589_8_L_0			0.000	
0.0000	0.0000	0.0000	0.0000	0.0000							
18 D	5.914	-2.2324E-02	125.8	29.57	125.8	53.25	ACTIVE	0.000	-3.400	0.000	
1.000	1.000	29.57	0.000	0.000	0.000	0.000	rilevato_6589_8_L_0			0.000	
0.0000	0.0000	0.0000	0.0000	0.0000							
19 D	6.108	-2.1866E-02	130.0	30.54	130.0	54.95	ACTIVE	0.000	-3.600	0.000	
1.000	1.000	30.54	0.000	0.000	0.000	0.000	rilevato_6589_8_L_0			0.000	
0.0000	0.0000	0.0000	0.0000	0.0000							
20 D	6.302	-2.1411E-02	134.1	31.51	134.1	56.66	ACTIVE	0.000	-3.800	0.000	
1.000	1.000	31.51	0.000	0.000	0.000	0.000	rilevato_6589_8_L_0			0.000	
0.0000	0.0000	0.0000	0.0000	0.0000							
21 D	6.496	-2.0961E-02	138.2	32.48	138.2	58.36	ACTIVE	0.000	-4.000	0.000	
1.000	1.000	32.48	0.000	0.000	0.000	0.000	rilevato_6589_8_L_0			0.000	
0.0000	0.0000	0.0000	0.0000	0.0000							
22 D	6.691	-2.0517E-02	142.4	33.45	142.4	60.07	ACTIVE	0.000	-4.200	0.000	

1.000	1.000	33.45	0.000	0.000	0.000	0.000	rilevato_6589_8_L_0	0.0000	
0.0000	0.0000	0.0000	0.0000	0.0000	0.0000				
23 D	6.885	-2.0079E-02	146.5	34.43	146.5	61.77	ACTIVE 0.000	-4.400	0.000
1.000	1.000	34.43	0.000	0.000	0.000	0.000	rilevato_6589_8_L_0	0.0000	
0.0000	0.0000	0.0000	0.0000	0.0000	0.0000				
24 D	5.310	-1.9647E-02	150.6	35.40	150.6	63.47	ACTIVE 0.000	-4.600	0.000
1.000	1.000	35.40	0.000	0.000	0.000	0.000	rilevato_6589_8_L_0	0.0000	
0.0000	0.0000	0.0000	0.0000	0.0000	0.0000				
25 D	8.224	-1.9434E-02	152.7	54.82	152.7	85.82	ACTIVE 0.000	-4.700	0.000
1.000	1.000	54.82	0.000	0.000	0.000	0.000	Ala_161_6590_L_0	0.0000	
0.0000	0.0000	0.0000	0.0000	0.0000	0.0000				
26 D	11.26	-1.9011E-02	156.8	56.28	156.8	88.10	ACTIVE 0.000	-4.900	0.000
1.000	1.000	56.28	0.000	0.000	0.000	0.000	Ala_161_6590_L_0	0.0000	
0.0000	0.0000	0.0000	0.0000	0.0000	0.0000				
27 D	11.55	-1.8590E-02	160.8	57.73	160.8	90.38	ACTIVE 0.000	-5.100	0.000
1.000	1.000	57.73	0.000	0.000	0.000	0.000	Ala_161_6590_L_0	0.0000	
0.0000	0.0000	0.0000	0.0000	0.0000	0.0000				
28 D	11.84	-1.8172E-02	164.9	59.18	164.9	92.65	ACTIVE 0.000	-5.300	0.000
1.000	1.000	59.18	0.000	0.000	0.000	0.000	Ala_161_6590_L_0	0.0000	
0.0000	0.0000	0.0000	0.0000	0.0000	0.0000				
29 D	12.13	-1.7756E-02	168.9	60.64	168.9	94.93	ACTIVE 0.000	-5.500	0.000
1.000	1.000	60.64	0.000	0.000	0.000	0.000	Ala_161_6590_L_0	0.0000	
0.0000	0.0000	0.0000	0.0000	0.0000	0.0000				
30 D	12.42	-1.7342E-02	173.0	62.09	173.0	97.20	ACTIVE 0.000	-5.700	0.000
1.000	1.000	62.09	0.000	0.000	0.000	0.000	Ala_161_6590_L_0	0.0000	
0.0000	0.0000	0.0000	0.0000	0.0000	0.0000				
31 D	12.71	-1.6932E-02	177.0	63.54	177.0	99.48	ACTIVE 0.000	-5.900	0.000
1.000	1.000	63.54	0.000	0.000	0.000	0.000	Ala_161_6590_L_0	0.0000	
0.0000	0.0000	0.0000	0.0000	0.0000	0.0000				
32 D	13.00	-1.6525E-02	181.1	65.00	181.1	101.8	ACTIVE 0.000	-6.100	0.000
1.000	1.000	65.00	0.000	0.000	0.000	0.000	Ala_161_6590_L_0	0.0000	
0.0000	0.0000	0.0000	0.0000	0.0000	0.0000				
33 D	13.29	-1.6121E-02	185.1	66.45	185.1	104.0	ACTIVE 0.000	-6.300	0.000
1.000	1.000	66.45	0.000	0.000	0.000	0.000	Ala_161_6590_L_0	0.0000	
0.0000	0.0000	0.0000	0.0000	0.0000	0.0000				
34 D	13.58	-1.5721E-02	189.1	67.90	189.1	106.3	ACTIVE 0.000	-6.500	0.000
1.000	1.000	67.90	0.000	0.000	0.000	0.000	Ala_161_6590_L_0	0.0000	
0.0000	0.0000	0.0000	0.0000	0.0000	0.0000				
35 D	13.87	-1.5325E-02	193.2	69.35	193.2	108.6	ACTIVE 0.000	-6.700	0.000
1.000	1.000	69.35	0.000	0.000	0.000	0.000	Ala_161_6590_L_0	0.0000	
0.0000	0.0000	0.0000	0.0000	0.0000	0.0000				
36 D	14.18	-1.4933E-02	197.6	70.92	197.6	111.0	ACTIVE 0.000	-6.900	0.000
1.000	1.000	70.92	0.000	0.000	0.000	0.000	Ala_161_6590_L_0	0.0000	
0.0000	0.0000	0.0000	0.0000	0.0000	0.0000				
37 D	14.53	-1.4545E-02	202.3	72.63	202.3	113.7	ACTIVE 0.000	-7.100	0.000
1.000	1.000	72.63	0.000	0.000	0.000	0.000	Ala_161_6590_L_0	0.0000	
0.0000	0.0000	0.0000	0.0000	0.0000	0.0000				
38 D	14.84	-1.4162E-02	206.7	74.20	206.7	116.2	ACTIVE 0.000	-7.300	0.000
1.000	1.000	74.20	0.000	0.000	0.000	0.000	Ala_161_6590_L_0	0.0000	
0.0000	0.0000	0.0000	0.0000	0.0000	0.0000				
39 D	15.17	-1.3783E-02	211.2	75.84	211.2	118.7	ACTIVE 0.000	-7.500	0.000
1.000	1.000	75.84	0.000	0.000	0.000	0.000	Ala_161_6590_L_0	0.0000	
0.0000	0.0000	0.0000	0.0000	0.0000	0.0000				
40 D	15.48	-1.3409E-02	215.6	77.42	215.6	121.2	ACTIVE 0.000	-7.700	0.000
1.000	1.000	77.42	0.000	0.000	0.000	0.000	Ala_161_6590_L_0	0.0000	
0.0000	0.0000	0.0000	0.0000	0.0000	0.0000				
41 D	15.80	-1.3039E-02	220.0	78.99	220.0	123.7	ACTIVE 0.000	-7.900	0.000
1.000	1.000	78.99	0.000	0.000	0.000	0.000	Ala_161_6590_L_0	0.0000	
0.0000	0.0000	0.0000	0.0000	0.0000	0.0000				
42 D	16.11	-1.2675E-02	224.4	80.57	224.4	126.1	ACTIVE 0.000	-8.100	0.000
1.000	1.000	80.57	0.000	0.000	0.000	0.000	Ala_161_6590_L_0	0.0000	
0.0000	0.0000	0.0000	0.0000	0.0000	0.0000				
43 D	16.42	-1.2316E-02	228.7	82.10	228.7	128.5	ACTIVE 0.000	-8.300	0.000
1.000	1.000	82.10	0.000	0.000	0.000	0.000	Ala_161_6590_L_0	0.0000	
0.0000	0.0000	0.0000	0.0000	0.0000	0.0000				
44 D	16.73	-1.1961E-02	233.1	83.67	233.1	131.0	ACTIVE 0.000	-8.500	0.000
1.000	1.000	83.67	0.000	0.000	0.000	0.000	Ala_161_6590_L_0	0.0000	
0.0000	0.0000	0.0000	0.0000	0.0000	0.0000				
45 D	17.03	-1.1612E-02	237.2	85.16	237.2	133.3	ACTIVE 0.000	-8.700	0.000
1.000	1.000	85.16	0.000	0.000	0.000	0.000	Ala_161_6590_L_0	0.0000	
0.0000	0.0000	0.0000	0.0000	0.0000	0.0000				
46 D	17.35	-1.1268E-02	241.6	86.73	241.6	135.8	ACTIVE 0.000	-8.900	0.000
1.000	1.000	86.73	0.000	0.000	0.000	0.000	Ala_161_6590_L_0	0.0000	
0.0000	0.0000	0.0000	0.0000	0.0000	0.0000				
47 D	17.64	-1.0928E-02	245.7	88.20	245.7	138.1	ACTIVE 0.000	-9.100	0.000
1.000	1.000	88.20	0.000	0.000	0.000	0.000	Ala_161_6590_L_0	0.0000	
0.0000	0.0000	0.0000	0.0000	0.0000	0.0000				
48 D	17.95	-1.0594E-02	250.0	89.75	250.0	140.5	ACTIVE 0.000	-9.300	0.000
1.000	1.000	89.75	0.000	0.000	0.000	0.000	Ala_161_6590_L_0	0.0000	
0.0000	0.0000	0.0000	0.0000	0.0000	0.0000				
49 D	18.24	-1.0265E-02	254.1	91.20	254.1	142.8	ACTIVE 0.000	-9.500	0.000
1.000	1.000	91.20	0.000	0.000	0.000	0.000	Ala_161_6590_L_0	0.0000	
0.0000	0.0000	0.0000	0.0000	0.0000	0.0000				
50 D	18.80	-9.9415E-03	256.3	92.02	256.3	144.1	ACTIVE 0.000	-9.700	2.000
1.000	1.000	94.02	0.000	0.000	0.000	0.000	Ala_161_6590_L_0	0.0000	
0.0000	0.0000	0.0000	0.0000	0.0000	0.0000				
51 D	19.35	-9.6227E-03	258.3	92.74	258.3	145.2	ACTIVE 0.000	-9.900	4.000
1.000	1.000	96.74	0.000	0.000	0.000	0.000	Ala_161_6590_L_0	0.0000	
0.0000	0.0000	0.0000	0.0000	0.0000	0.0000				
52 D	19.91	-9.3088E-03	260.6	93.54	260.6	146.4	ACTIVE 0.000	-10.10	6.000
1.000	1.000	99.54	0.000	0.000	0.000	0.000	Ala_161_6590_L_0	0.0000	
0.0000	0.0000	0.0000	0.0000	0.0000	0.0000				

53 D	20.45	-8.9999E-03	262.5	94.25	262.5	147.5	ACTIVE	0.000	-10.30	8.000
1.000	1.000	102.2	0.000	0.000	0.000	0.000	Ala_161_6590_L_0			0.0000
0.0000	0.0000	0.0000	0.0000	0.0000	0.0000					
54 D	21.00	-8.6959E-03	264.7	95.02	264.7	148.7	ACTIVE	0.000	-10.50	10.000
1.000	1.000	105.0	0.000	0.000	0.000	0.000	Ala_161_6590_L_0			0.0000
0.0000	0.0000	0.0000	0.0000	0.0000	0.0000					
55 D	21.55	-8.3967E-03	266.7	95.73	266.7	149.9	ACTIVE	0.000	-10.70	12.00
1.000	1.000	107.7	0.000	0.000	0.000	0.000	Ala_161_6590_L_0			0.0000
0.0000	0.0000	0.0000	0.0000	0.0000	0.0000					
56 D	22.10	-8.1022E-03	268.7	96.48	268.7	151.0	ACTIVE	0.000	-10.90	14.00
1.000	1.000	110.5	0.000	0.000	0.000	0.000	Ala_161_6590_L_0			0.0000
0.0000	0.0000	0.0000	0.0000	0.0000	0.0000					
57 D	22.64	-7.8124E-03	270.7	97.19	270.7	152.1	ACTIVE	0.000	-11.10	16.00
1.000	1.000	113.2	0.000	0.000	0.000	0.000	Ala_161_6590_L_0			0.0000
0.0000	0.0000	0.0000	0.0000	0.0000	0.0000					
58 D	23.18	-7.5271E-03	272.7	97.91	272.7	153.3	ACTIVE	0.000	-11.30	18.00
1.000	1.000	115.9	0.000	0.000	0.000	0.000	Ala_161_6590_L_0			0.0000
0.0000	0.0000	0.0000	0.0000	0.0000	0.0000					
59 D	23.73	-7.2462E-03	274.7	98.63	274.7	154.4	ACTIVE	0.000	-11.50	20.00
1.000	1.000	118.6	0.000	0.000	0.000	0.000	Ala_161_6590_L_0			0.0000
0.0000	0.0000	0.0000	0.0000	0.0000	0.0000					
60 D	24.27	-6.9697E-03	276.7	99.33	276.7	155.5	ACTIVE	0.000	-11.70	22.00
1.000	1.000	121.3	0.000	0.000	0.000	0.000	Ala_161_6590_L_0			0.0000
0.0000	0.0000	0.0000	0.0000	0.0000	0.0000					
61 D	24.81	-6.6974E-03	278.7	100.0	278.7	156.6	ACTIVE	0.000	-11.90	24.00
1.000	1.000	124.0	0.000	0.000	0.000	0.000	Ala_161_6590_L_0			0.0000
0.0000	0.0000	0.0000	0.0000	0.0000	0.0000					
62 D	25.35	-6.4292E-03	280.6	100.7	280.6	157.7	ACTIVE	0.000	-12.10	26.00
1.000	1.000	126.7	0.000	0.000	0.000	0.000	Ala_161_6590_L_0			0.0000
0.0000	0.0000	0.0000	0.0000	0.0000	0.0000					
63 D	25.89	-6.1650E-03	282.6	101.5	282.6	158.8	ACTIVE	0.000	-12.30	28.00
1.000	1.000	129.5	0.000	0.000	0.000	0.000	Ala_161_6590_L_0			0.0000
0.0000	0.0000	0.0000	0.0000	0.0000	0.0000					
64 D	26.43	-5.9047E-03	284.5	102.1	284.5	159.9	ACTIVE	0.000	-12.50	30.00
1.000	1.000	132.1	0.000	0.000	0.000	0.000	Ala_161_6590_L_0			0.0000
0.0000	0.0000	0.0000	0.0000	0.0000	0.0000					
65 D	26.97	-5.6480E-03	286.5	102.8	286.5	161.0	ACTIVE	0.000	-12.70	32.00
1.000	1.000	134.8	0.000	0.000	0.000	0.000	Ala_161_6590_L_0			0.0000
0.0000	0.0000	0.0000	0.0000	0.0000	0.0000					
66 D	27.50	-5.3950E-03	288.3	103.5	288.3	162.0	ACTIVE	0.000	-12.90	34.00
1.000	1.000	137.5	0.000	0.000	0.000	0.000	Ala_161_6590_L_0			0.0000
0.0000	0.0000	0.0000	0.0000	0.0000	0.0000					
67 D	28.04	-5.1455E-03	290.3	104.2	290.3	163.1	ACTIVE	0.000	-13.10	36.00
1.000	1.000	140.2	0.000	0.000	0.000	0.000	Ala_161_6590_L_0			0.0000
0.0000	0.0000	0.0000	0.0000	0.0000	0.0000					
68 D	28.57	-4.8993E-03	292.1	104.9	292.1	164.2	ACTIVE	0.000	-13.30	38.00
1.000	1.000	142.9	0.000	0.000	0.000	0.000	Ala_161_6590_L_0			0.0000
0.0000	0.0000	0.0000	0.0000	0.0000	0.0000					
69 D	29.10	-4.6563E-03	293.9	105.5	293.9	165.2	ACTIVE	0.000	-13.50	40.00
1.000	1.000	145.5	0.000	0.000	0.000	0.000	Ala_161_6590_L_0			0.0000
0.0000	0.0000	0.0000	0.0000	0.0000	0.0000					
70 D	29.63	-4.4163E-03	295.7	106.2	295.7	166.2	ACTIVE	0.000	-13.70	42.00
1.000	1.000	148.2	0.000	0.000	0.000	0.000	Ala_161_6590_L_0			0.0000
0.0000	0.0000	0.0000	0.0000	0.0000	0.0000					
71 D	30.16	-4.1793E-03	297.5	106.8	297.5	167.2	ACTIVE	0.000	-13.90	44.00
1.000	1.000	150.8	0.000	0.000	0.000	0.000	Ala_161_6590_L_0			0.0000
0.0000	0.0000	0.0000	0.0000	0.0000	0.0000					
72 D	30.69	-3.9450E-03	299.3	107.5	299.3	168.2	UL-RL	2.6301E+04	-14.10	46.00
1.000	1.000	153.5	0.000	0.000	0.000	0.000	Ala_161_6590_L_0			0.0000
0.0000	0.0000	0.0000	0.0000	0.0000	0.0000					
73 D	31.22	-3.7134E-03	301.1	108.1	301.1	169.2	UL-RL	2.6301E+04	-14.30	48.00
1.000	1.000	156.1	0.000	0.000	0.000	0.000	Ala_161_6590_L_0			0.0000
0.0000	0.0000	0.0000	0.0000	0.0000	0.0000					
74 D	31.75	-3.4843E-03	302.9	108.8	302.9	170.2	UL-RL	2.6301E+04	-14.50	50.00
1.000	1.000	158.8	0.000	0.000	0.000	0.000	Ala_161_6590_L_0			0.0000
0.0000	0.0000	0.0000	0.0000	0.0000	0.0000					
75 D	32.28	-3.2575E-03	304.7	109.4	304.7	171.3	UL-RL	2.6301E+04	-14.70	52.00
1.000	1.000	161.4	0.000	0.000	0.000	0.000	Ala_161_6590_L_0			0.0000
0.0000	0.0000	0.0000	0.0000	0.0000	0.0000					
76 D	32.81	-3.0330E-03	306.5	110.1	306.5	172.3	UL-RL	2.6301E+04	-14.90	54.00
1.000	1.000	164.1	0.000	0.000	0.000	0.000	Ala_161_6590_L_0			0.0000
0.0000	0.0000	0.0000	0.0000	0.0000	0.0000					
77 D	33.34	-2.8106E-03	308.4	110.7	308.4	173.3	UL-RL	2.6301E+04	-15.10	56.00
1.000	1.000	166.7	0.000	0.000	0.000	0.000	Ala_161_6590_L_0			0.0000
0.0000	0.0000	0.0000	0.0000	0.0000	0.0000					
78 D	33.87	-2.5901E-03	310.2	111.4	310.2	174.3	UL-RL	2.6301E+04	-15.30	58.00
1.000	1.000	169.4	0.000	0.000	0.000	0.000	Ala_161_6590_L_0			0.0000
0.0000	0.0000	0.0000	0.0000	0.0000	0.0000					
79 D	34.59	-2.3715E-03	312.0	113.0	312.0	175.3	UL-RL	2.6301E+04	-15.50	60.00
1.000	1.000	173.0	0.000	0.000	0.000	0.000	Ala_161_6590_L_0			0.0000
0.0000	0.0000	0.0000	0.0000	0.0000	0.0000					
80 D	36.34	-2.1546E-03	313.8	119.7	313.8	176.4	UL-RL	2.6301E+04	-15.70	62.00
1.000	1.000	181.7	0.000	0.000	0.000	0.000	Ala_161_6590_L_0			0.0000
0.0000	0.0000	0.0000	0.0000	0.0000	0.0000					
81 D	38.07	-1.9393E-03	315.6	126.4	315.6	177.4	UL-RL	2.6301E+04	-15.90	64.00
1.000	1.000	190.4	0.000	0.000	0.000	0.000	Ala_161_6590_L_0			0.0000
0.0000	0.0000	0.0000	0.0000	0.0000	0.0000					
82 D	32.70	-1.7255E-03	317.5	97.51	317.5	178.4	UL-RL	1.5322E+05	-16.10	66.00
1.000	1.000	163.5	0.000	0.000	10.00	10.00	Salt_21271_21259_L_0			0.0000
0.0000	0.0000	0.0000	0.0000	0.0000	0.0000					
83 D	33.24	-1.5131E-03	319.4	98.18	319.4	179.5	UL-RL	1.5322E+05	-16.30	68.00
1.000	1.000	166.2	0.000	0.000	10.00	10.00	Salt_21271_21259_L_0			0.0000

0.0000	0.0000	0.0000	0.0000	0.0000						
84 D	33.77	-1.3019E-03	321.3	98.84	321.3	180.6	UL-RL 1.5322E+05	-16.50	70.00	
1.000	1.000	168.8	0.000	0.000	10.00	10.00	Salt_21271_21259_L_0		0.0000	
0.0000	0.0000	0.0000	0.0000	0.0000						
85 D	34.30	-1.0918E-03	323.3	99.51	323.3	181.7	UL-RL 1.5322E+05	-16.70	72.00	
1.000	1.000	171.5	0.000	0.000	10.00	10.00	Salt_21271_21259_L_0		0.0000	
0.0000	0.0000	0.0000	0.0000	0.0000						
86 D	34.99	-8.8266E-04	325.2	100.9	325.2	182.8	UL-RL 1.5322E+05	-16.90	74.00	
1.000	1.000	174.9	0.000	0.000	10.00	10.00	Salt_21271_21259_L_0		0.0000	
0.0000	0.0000	0.0000	0.0000	0.0000						
87 D	39.74	-6.7429E-04	327.1	122.7	327.1	183.8	UL-RL 1.5322E+05	-17.10	76.00	
1.000	1.000	198.7	0.000	0.000	10.00	10.00	Salt_21271_21259_L_0		0.0000	
0.0000	0.0000	0.0000	0.0000	0.0000						
88 D	44.48	-4.6653E-04	329.0	144.4	329.0	184.9	UL-RL 1.5322E+05	-17.30	78.00	
1.000	1.000	222.4	0.000	0.000	10.00	10.00	Salt_21271_21259_L_0		0.0000	
0.0000	0.0000	0.0000	0.0000	0.0000						
89 D	48.17	-2.5920E-04	331.0	160.8	331.0	188.6	UL-RL 1.5322E+05	-17.50	80.00	
1.000	1.000	240.8	0.000	0.000	10.00	10.00	Salt_21271_21259_L_0		0.0000	
0.0000	0.0000	0.0000	0.0000	0.0000						
90 D	51.43	-5.2135E-05	333.0	175.1	333.0	190.2	UL-RL 1.1423E+05	-17.70	82.00	
1.000	1.000	257.1	0.000	0.000	55.00	55.00	Sch_21272_21260_L_0		0.0000	
0.0000	0.0000	0.0000	0.0000	0.0000						
91 D	54.44	1.5476E-04	335.5	188.2	335.5	197.6	UL-RL 1.1423E+05	-17.90	84.00	
1.000	1.000	272.2	0.000	0.000	55.00	55.00	Sch_21272_21260_L_0		0.0000	
0.0000	0.0000	0.0000	0.0000	0.0000						
92 D	43.09	3.6159E-04	338.0	201.3	338.0	205.0	UL-RL 1.1423E+05	-18.10	86.00	
1.000	1.000	287.3	0.000	0.000	55.00	55.00	Sch_21272_21260_L_0		0.0000	
0.0000	0.0000	0.0000	0.0000	0.0000						
93 D	14.67	4.6500E-04	339.3	206.3	339.3	209.4	UL-RL 1.1423E+05	-18.20	87.00	
1.000	1.000	293.3	0.000	0.000	55.00	55.00	Sch_21272_21260_L_0		0.0000	
0.0000	0.0000	0.0000	0.0000	0.0000						

```

+-----+
|                PARATIEPLUS(TM)  NLS ENGINE RELEASE  2022.0.0  FULL VERSION  *Build date:Sep 13, 2021*                |
|                                                                                                                                            |
|                                                                                               ParatiePlus                               |
|                                                                                               Exe Time :28 January 2022   11:11:17   |
+-----+

```

New Project

S T R E S S R E S U L T S F O R G R O U P N O . 3

```

pali15001.7_33 :
ELEMENT TYPE   2 NO.OF ELEMENTS. IN THIS GROUP   68
C U R R E N T   T I M E   I S   3.0000 SUBINCREMENT 00001/00001

```

WALL2D ELEMENT

EL	TA	TB	MA	MB
1	-121.87	121.87	229.73	-254.10
2	-130.61	130.61	254.10	-280.22
3	-137.13	137.13	280.22	-307.65
4	-141.43	141.43	307.65	-335.93
5	-143.50	143.50	335.93	-364.63
6	-143.36	143.36	364.63	-393.31
7	-140.99	140.99	393.31	-421.50
8	-136.39	136.39	421.50	-448.78
9	-129.58	129.58	448.78	-474.70
10	-120.54	120.54	474.70	-498.80
11	-109.28	109.28	498.80	-520.66
12	-97.387	97.387	520.66	-540.14
13	-85.951	85.951	540.14	-557.33
14	-74.938	74.938	557.33	-572.31
15	-64.352	64.352	572.31	-585.18
16	-54.177	54.177	585.18	-596.02
17	-44.403	44.403	596.02	-604.90
18	-35.026	35.026	604.90	-611.91
19	-26.027	26.027	611.91	-617.11
20	-17.410	17.410	617.11	-620.59
21	-9.1482	9.1482	620.59	-622.42
22	-1.2530	1.2530	622.42	-622.67
23	6.3051	-6.3051	622.67	-621.41
24	13.515	-13.515	621.41	-618.71
25	20.405	-20.405	618.71	-614.63
26	26.883	-26.883	614.63	-609.25
27	32.978	-32.978	609.25	-602.66
28	38.680	-38.680	602.66	-594.92
29	44.014	-44.014	594.92	-586.12
30	48.975	-48.975	586.12	-576.32
31	53.581	-53.581	576.32	-565.61
32	57.833	-57.833	565.61	-554.04
33	61.743	-61.743	554.04	-541.69
34	65.316	-65.316	541.69	-528.63
35	68.560	-68.560	528.63	-514.92
36	71.483	-71.483	514.92	-500.62
37	74.089	-74.089	500.62	-485.80
38	76.389	-76.389	485.80	-470.52
39	78.384	-78.384	470.52	-454.85
40	80.086	-80.086	454.85	-438.83
41	81.494	-81.494	438.83	-422.53
42	82.622	-82.622	422.53	-406.01
43	83.467	-83.467	406.01	-389.31
44	84.045	-84.045	389.31	-372.50
45	84.361	-84.361	372.50	-355.63
46	84.420	-84.420	355.63	-338.75
47	84.226	-84.226	338.75	-321.90
48	83.783	-83.783	321.90	-305.15
49	83.093	-83.093	305.15	-288.53
50	82.162	-82.162	288.53	-272.10
51	80.991	-80.991	272.10	-255.90
52	79.584	-79.584	255.90	-239.98
53	77.944	-77.944	239.98	-224.39
54	76.074	-76.074	224.39	-209.18
55	73.784	-73.784	209.18	-194.42
56	70.053	-70.053	194.42	-180.41
57	64.893	-64.893	180.41	-167.43
58	76.734	-76.734	167.43	-152.08
59	86.974	-86.974	152.08	-134.69
60	95.621	-95.621	134.69	-115.56
61	102.68	-102.68	115.56	-95.028
62	107.93	-107.93	95.028	-73.443
63	105.18	-105.18	73.443	-52.407
64	94.466	-94.466	52.407	-33.514
65	76.858	-76.858	33.514	-18.142
66	56.070	-56.070	18.142	-6.9278
67	30.620	-30.620	6.9278	-0.80372
68	8.0372	-8.0372	0.80372	-6.84963E-11

```

+-----+
|                PARATIEPLUS(TM)  NLS ENGINE RELEASE 2022.0.0  FULL VERSION  *Build date:Sep 13, 2021*                |
|                                                                                                                                            |
|                                                                                               ParatiePlus                               |
|                                                                                               Exe Time :28 January 2022  11:11:17          |
+-----+

```

New Project

S T R E S S R E S U L T S F O R G R O U P N O . 4

```

muro71cm_4658 :
ELEMENT TYPE   2 NO.OF ELEMENTS. IN THIS GROUP   24
C U R R E N T   T I M E   I S   3.0000 SUBINCREMENT 00001/00001

```

WALL2D ELEMENT

EL	TA	TB	MA	MB
1	-1.3395	1.3395	-4.29403E-10	0.26790
2	-4.2065	4.2065	0.26790	-1.1092
3	-7.2616	7.2616	1.1092	-2.5615
4	-10.505	10.505	2.5615	-4.6625
5	-13.937	13.937	4.6625	-7.4498
6	-17.557	17.557	7.4498	-10.961
7	-21.366	21.366	10.961	-15.234
8	-25.365	25.365	15.234	-20.307
9	-29.553	29.553	20.307	-26.218
10	-33.931	33.931	26.218	-33.004
11	-38.500	38.500	33.004	-40.704
12	-43.260	43.260	40.704	-49.356
13	-48.211	48.211	49.356	-58.999
14	-53.354	53.354	58.999	-69.669
15	-58.689	58.689	69.669	-81.407
16	-64.217	64.217	81.407	-94.251
17	-69.938	69.938	94.251	-108.24
18	-75.852	75.852	108.24	-123.41
19	-81.960	81.960	123.41	-139.80
20	-88.262	88.262	139.80	-157.45
21	-94.759	94.759	157.45	-176.41
22	-101.45	101.45	176.41	-196.69
23	-108.33	108.33	196.69	-218.36
24	-113.64	113.64	218.36	-229.73

```

ITER   0 RNORM = 0.000   RMNORM= 0.000
RINORM=0.1215E+07   RIMNOR=0.2609E+08
RENORM=0.3639E-03   REMNOR=0.1542E-16   RATIO =0.1730E-04   TOLER =0.1000E-03   CONVERGED !
RFMAX = 143.5   RMMAX = 622.7
RTSMAL=0.1000E-02   RMSMAL=0.1000E-02
RDT =0.1215E+07   RDR =0.2609E+08
RATIOT=0.1730E-04   RATIO= 0.000
MAX UN=0.4215E-07   IEQ=   61 NODE   31 DOF   1   Y-DISPL.F
MIN UN=-.1089E-01   IEQ=   169 NODE   85 DOF   1   Y-DISPL.F
NO. OF CONTACT CONSTRAINT VIOLATIONS   0

```

```

ITER   1 RNORM = 0.000   RMNORM= 0.000
RINORM=0.1215E+07   RIMNOR=0.2609E+08
RENORM=0.1378E-05   REMNOR=0.2238E-16   RATIO =0.1065E-05   TOLER =0.1000E-03   CONVERGED !
RFMAX = 143.5   RMMAX = 622.7
RTSMAL=0.1000E-02   RMSMAL=0.1000E-02
RDT =0.1215E+07   RDR =0.2609E+08
RATIOT=0.1065E-05   RATIO= 0.000
MAX UN=0.1015E-04   IEQ=   49 NODE   25 DOF   1   Y-DISPL.F
MIN UN=-.3476E-03   IEQ=   141 NODE   71 DOF   1   Y-DISPL.F
NO. OF CONTACT CONSTRAINT VIOLATIONS   0

```

```

ITER   2 RNORM = 0.000   RMNORM= 0.000
RINORM=0.1215E+07   RIMNOR=0.2609E+08
RENORM=0.1661E-06   REMNOR=0.2179E-16   RATIO =0.3697E-06   TOLER =0.1000E-03   CONVERGED !
RFMAX = 143.5   RMMAX = 622.7
RTSMAL=0.1000E-02   RMSMAL=0.1000E-02
RDT =0.1215E+07   RDR =0.2609E+08
RATIOT=0.3697E-06   RATIO= 0.000
MAX UN=0.1876E-07   IEQ=   83 NODE   42 DOF   1   Y-DISPL.F
MIN UN=-.1692E-03   IEQ=   65 NODE   33 DOF   1   Y-DISPL.F
NO. OF CONTACT CONSTRAINT VIOLATIONS   0

```


75	-3.2575757E-03	1.1280551E-03
76	-3.0330588E-03	1.1172246E-03
77	-2.8106420E-03	1.1070529E-03
78	-2.5901946E-03	1.0975275E-03
79	-2.3715888E-03	1.0886340E-03
80	-2.1547000E-03	1.0803554E-03
81	-1.9394073E-03	1.0726670E-03
82	-1.7255963E-03	1.0655322E-03
83	-1.5131557E-03	1.0589785E-03
84	-1.3019601E-03	1.0530964E-03
85	-1.0918672E-03	1.0479634E-03
86	-8.8272051E-04	1.0436439E-03
87	-6.7435204E-04	1.0401883E-03
88	-4.6658690E-04	1.0376069E-03
89	-2.5925468E-04	1.0358445E-03
90	-5.2191909E-05	1.0347848E-03
91	1.5470597E-04	1.0342706E-03
92	3.6154004E-04	1.0341120E-03
93	4.6495070E-04	1.0341038E-03

1.000	1.000	62.83	0.000	0.000	0.000	0.000	Ala_161_6590_L_0	0.0000	
0.0000	0.0000	0.0000	0.0000	0.0000	0.0000	0.0000			
31 D	15.08	1.6932E-02	23.40	75.39	23.40	75.39	PASSIVE 0.000	-5.900	0.000
1.000	1.000	75.39	0.000	0.000	0.000	0.000	Ala_161_6590_L_0	0.0000	
0.0000	0.0000	0.0000	0.0000	0.0000	0.0000	0.0000			
32 D	17.59	1.6525E-02	27.30	87.96	27.30	87.96	PASSIVE 0.000	-6.100	0.000
1.000	1.000	87.96	0.000	0.000	0.000	0.000	Ala_161_6590_L_0	0.0000	
0.0000	0.0000	0.0000	0.0000	0.0000	0.0000	0.0000			
33 D	20.11	1.6121E-02	31.20	100.5	31.20	100.5	PASSIVE 0.000	-6.300	0.000
1.000	1.000	100.5	0.000	0.000	0.000	0.000	Ala_161_6590_L_0	0.0000	
0.0000	0.0000	0.0000	0.0000	0.0000	0.0000	0.0000			
34 D	22.62	1.5721E-02	35.10	113.1	35.10	113.1	PASSIVE 0.000	-6.500	0.000
1.000	1.000	113.1	0.000	0.000	0.000	0.000	Ala_161_6590_L_0	0.0000	
0.0000	0.0000	0.0000	0.0000	0.0000	0.0000	0.0000			
35 D	25.13	1.5325E-02	39.00	125.7	39.00	125.7	PASSIVE 0.000	-6.700	0.000
1.000	1.000	125.7	0.000	0.000	0.000	0.000	Ala_161_6590_L_0	0.0000	
0.0000	0.0000	0.0000	0.0000	0.0000	0.0000	0.0000			
36 D	26.07	1.4933E-02	42.90	130.4	42.90	130.4	V-C 7116.	-6.900	0.000
1.000	1.000	130.4	0.000	0.000	0.000	0.000	Ala_161_6590_L_0	0.0000	
0.0000	0.0000	0.0000	0.0000	0.0000	0.0000	0.0000			
37 D	25.96	1.4545E-02	46.80	129.8	46.80	129.8	V-C 7116.	-7.100	0.000
1.000	1.000	129.8	0.000	0.000	0.000	0.000	Ala_161_6590_L_0	0.0000	
0.0000	0.0000	0.0000	0.0000	0.0000	0.0000	0.0000			
38 D	25.85	1.4162E-02	50.70	129.3	50.70	129.3	V-C 7116.	-7.300	0.000
1.000	1.000	129.3	0.000	0.000	0.000	0.000	Ala_161_6590_L_0	0.0000	
0.0000	0.0000	0.0000	0.0000	0.0000	0.0000	0.0000			
39 D	25.75	1.3783E-02	54.60	128.8	54.60	128.8	V-C 7116.	-7.500	0.000
1.000	1.000	128.8	0.000	0.000	0.000	0.000	Ala_161_6590_L_0	0.0000	
0.0000	0.0000	0.0000	0.0000	0.0000	0.0000	0.0000			
40 D	25.66	1.3409E-02	58.50	128.3	58.50	128.3	V-C 7116.	-7.700	0.000
1.000	1.000	128.3	0.000	0.000	0.000	0.000	Ala_161_6590_L_0	0.0000	
0.0000	0.0000	0.0000	0.0000	0.0000	0.0000	0.0000			
41 D	25.57	1.3039E-02	62.40	127.9	62.40	127.9	V-C 7116.	-7.900	0.000
1.000	1.000	127.9	0.000	0.000	0.000	0.000	Ala_161_6590_L_0	0.0000	
0.0000	0.0000	0.0000	0.0000	0.0000	0.0000	0.0000			
42 D	25.49	1.2675E-02	66.30	127.5	66.30	127.5	V-C 7116.	-8.100	0.000
1.000	1.000	127.5	0.000	0.000	0.000	0.000	Ala_161_6590_L_0	0.0000	
0.0000	0.0000	0.0000	0.0000	0.0000	0.0000	0.0000			
43 D	25.42	1.2316E-02	70.20	127.1	70.20	127.1	V-C 7116.	-8.300	0.000
1.000	1.000	127.1	0.000	0.000	0.000	0.000	Ala_161_6590_L_0	0.0000	
0.0000	0.0000	0.0000	0.0000	0.0000	0.0000	0.0000			
44 D	25.35	1.1961E-02	74.10	126.8	74.10	126.8	V-C 7116.	-8.500	0.000
1.000	1.000	126.8	0.000	0.000	0.000	0.000	Ala_161_6590_L_0	0.0000	
0.0000	0.0000	0.0000	0.0000	0.0000	0.0000	0.0000			
45 D	25.29	1.1612E-02	78.00	126.5	78.00	126.5	V-C 7116.	-8.700	0.000
1.000	1.000	126.5	0.000	0.000	0.000	0.000	Ala_161_6590_L_0	0.0000	
0.0000	0.0000	0.0000	0.0000	0.0000	0.0000	0.0000			
46 D	25.24	1.1268E-02	81.90	126.2	81.90	126.2	V-C 7116.	-8.900	0.000
1.000	1.000	126.2	0.000	0.000	0.000	0.000	Ala_161_6590_L_0	0.0000	
0.0000	0.0000	0.0000	0.0000	0.0000	0.0000	0.0000			
47 D	25.20	1.0928E-02	85.80	126.0	85.80	126.0	V-C 7116.	-9.100	0.000
1.000	1.000	126.0	0.000	0.000	0.000	0.000	Ala_161_6590_L_0	0.0000	
0.0000	0.0000	0.0000	0.0000	0.0000	0.0000	0.0000			
48 D	25.16	1.0594E-02	89.70	125.8	89.70	125.8	V-C 7116.	-9.300	0.000
1.000	1.000	125.8	0.000	0.000	0.000	0.000	Ala_161_6590_L_0	0.0000	
0.0000	0.0000	0.0000	0.0000	0.0000	0.0000	0.0000			
49 D	25.13	1.0265E-02	93.60	125.7	93.60	125.7	V-C 7116.	-9.500	0.000
1.000	1.000	125.7	0.000	0.000	0.000	0.000	Ala_161_6590_L_0	0.0000	
0.0000	0.0000	0.0000	0.0000	0.0000	0.0000	0.0000			
50 D	25.28	9.9415E-03	95.50	124.4	95.50	124.4	V-C 7116.	-9.700	2.000
1.000	1.000	126.4	0.000	0.000	0.000	0.000	Ala_161_6590_L_0	0.0000	
0.0000	0.0000	0.0000	0.0000	0.0000	0.0000	0.0000			
51 D	25.44	9.6227E-03	97.40	123.2	97.40	123.2	V-C 7116.	-9.900	4.000
1.000	1.000	127.2	0.000	0.000	0.000	0.000	Ala_161_6590_L_0	0.0000	
0.0000	0.0000	0.0000	0.0000	0.0000	0.0000	0.0000			
52 D	25.61	9.3089E-03	99.30	122.1	99.30	122.1	V-C 7116.	-10.10	6.000
1.000	1.000	128.1	0.000	0.000	0.000	0.000	Ala_161_6590_L_0	0.0000	
0.0000	0.0000	0.0000	0.0000	0.0000	0.0000	0.0000			
53 D	25.78	9.0000E-03	101.2	120.9	101.2	120.9	V-C 7116.	-10.30	8.000
1.000	1.000	128.9	0.000	0.000	0.000	0.000	Ala_161_6590_L_0	0.0000	
0.0000	0.0000	0.0000	0.0000	0.0000	0.0000	0.0000			
54 D	25.96	8.6960E-03	103.1	119.8	103.1	119.8	V-C 7116.	-10.50	10.000
1.000	1.000	129.8	0.000	0.000	0.000	0.000	Ala_161_6590_L_0	0.0000	
0.0000	0.0000	0.0000	0.0000	0.0000	0.0000	0.0000			
55 D	26.15	8.3967E-03	105.0	118.8	105.0	118.8	V-C 7116.	-10.70	12.00
1.000	1.000	130.8	0.000	0.000	0.000	0.000	Ala_161_6590_L_0	0.0000	
0.0000	0.0000	0.0000	0.0000	0.0000	0.0000	0.0000			
56 D	26.35	8.1023E-03	106.9	117.7	106.9	117.7	V-C 7116.	-10.90	14.00
1.000	1.000	131.7	0.000	0.000	0.000	0.000	Ala_161_6590_L_0	0.0000	
0.0000	0.0000	0.0000	0.0000	0.0000	0.0000	0.0000			
57 D	26.55	7.8124E-03	108.8	116.7	108.8	116.7	V-C 7116.	-11.10	16.00
1.000	1.000	132.7	0.000	0.000	0.000	0.000	Ala_161_6590_L_0	0.0000	
0.0000	0.0000	0.0000	0.0000	0.0000	0.0000	0.0000			
58 D	26.76	7.5271E-03	110.7	115.8	110.7	115.8	V-C 7116.	-11.30	18.00
1.000	1.000	133.8	0.000	0.000	0.000	0.000	Ala_161_6590_L_0	0.0000	
0.0000	0.0000	0.0000	0.0000	0.0000	0.0000	0.0000			
59 D	26.97	7.2463E-03	112.6	114.8	112.6	114.8	V-C 7116.	-11.50	20.00
1.000	1.000	134.8	0.000	0.000	0.000	0.000	Ala_161_6590_L_0	0.0000	
0.0000	0.0000	0.0000	0.0000	0.0000	0.0000	0.0000			
60 D	27.19	6.9697E-03	114.5	113.9	114.5	113.9	V-C 7116.	-11.70	22.00
1.000	1.000	135.9	0.000	0.000	0.000	0.000	Ala_161_6590_L_0	0.0000	
0.0000	0.0000	0.0000	0.0000	0.0000	0.0000	0.0000			

61 D	27.42	6.6974E-03	116.4	113.1	116.4	113.1	V-C	7116.	-11.90	24.00
1.000	1.000	137.1	0.000	0.000	0.000	0.000	Ala_161_6590_L_0			0.0000
0.0000	0.0000	0.0000	0.0000	0.0000						
62 D	27.65	6.4293E-03	118.3	112.2	118.3	112.2	V-C	7116.	-12.10	26.00
1.000	1.000	138.2	0.000	0.000	0.000	0.000	Ala_161_6590_L_0			0.0000
0.0000	0.0000	0.0000	0.0000	0.0000						
63 D	27.88	6.1651E-03	120.2	111.4	120.2	111.4	V-C	7116.	-12.30	28.00
1.000	1.000	139.4	0.000	0.000	0.000	0.000	Ala_161_6590_L_0			0.0000
0.0000	0.0000	0.0000	0.0000	0.0000						
64 D	28.13	5.9047E-03	122.1	110.6	122.1	110.6	V-C	7116.	-12.50	30.00
1.000	1.000	140.6	0.000	0.000	0.000	0.000	Ala_161_6590_L_0			0.0000
0.0000	0.0000	0.0000	0.0000	0.0000						
65 D	28.38	5.6481E-03	124.0	109.9	124.0	109.9	V-C	7116.	-12.70	32.00
1.000	1.000	141.9	0.000	0.000	0.000	0.000	Ala_161_6590_L_0			0.0000
0.0000	0.0000	0.0000	0.0000	0.0000						
66 D	28.63	5.3951E-03	125.9	109.1	125.9	109.1	V-C	7116.	-12.90	34.00
1.000	1.000	143.1	0.000	0.000	0.000	0.000	Ala_161_6590_L_0			0.0000
0.0000	0.0000	0.0000	0.0000	0.0000						
67 D	28.89	5.1456E-03	127.8	108.4	127.8	108.4	V-C	7116.	-13.10	36.00
1.000	1.000	144.4	0.000	0.000	0.000	0.000	Ala_161_6590_L_0			0.0000
0.0000	0.0000	0.0000	0.0000	0.0000						
68 D	29.15	4.8993E-03	129.7	107.8	129.7	107.8	V-C	7116.	-13.30	38.00
1.000	1.000	145.8	0.000	0.000	0.000	0.000	Ala_161_6590_L_0			0.0000
0.0000	0.0000	0.0000	0.0000	0.0000						
69 D	29.42	4.6563E-03	131.6	107.1	131.6	107.1	V-C	7116.	-13.50	40.00
1.000	1.000	147.1	0.000	0.000	0.000	0.000	Ala_161_6590_L_0			0.0000
0.0000	0.0000	0.0000	0.0000	0.0000						
70 D	29.69	4.4164E-03	133.5	106.5	133.5	106.5	V-C	7116.	-13.70	42.00
1.000	1.000	148.5	0.000	0.000	0.000	0.000	Ala_161_6590_L_0			0.0000
0.0000	0.0000	0.0000	0.0000	0.0000						
71 D	29.97	4.1793E-03	135.4	105.8	135.4	105.8	V-C	7116.	-13.90	44.00
1.000	1.000	149.8	0.000	0.000	0.000	0.000	Ala_161_6590_L_0			0.0000
0.0000	0.0000	0.0000	0.0000	0.0000						
72 D	30.25	3.9451E-03	137.3	105.2	137.3	105.2	V-C	7116.	-14.10	46.00
1.000	1.000	151.2	0.000	0.000	0.000	0.000	Ala_161_6590_L_0			0.0000
0.0000	0.0000	0.0000	0.0000	0.0000						
73 D	30.53	3.7134E-03	139.2	104.7	139.2	104.7	V-C	7116.	-14.30	48.00
1.000	1.000	152.7	0.000	0.000	0.000	0.000	Ala_161_6590_L_0			0.0000
0.0000	0.0000	0.0000	0.0000	0.0000						
74 D	30.82	3.4843E-03	141.1	104.1	141.1	104.1	V-C	7116.	-14.50	50.00
1.000	1.000	154.1	0.000	0.000	0.000	0.000	Ala_161_6590_L_0			0.0000
0.0000	0.0000	0.0000	0.0000	0.0000						
75 D	31.11	3.2576E-03	143.0	103.5	143.0	103.5	V-C	7116.	-14.70	52.00
1.000	1.000	155.5	0.000	0.000	0.000	0.000	Ala_161_6590_L_0			0.0000
0.0000	0.0000	0.0000	0.0000	0.0000						
76 D	31.40	3.0331E-03	144.9	103.0	144.9	103.0	V-C	7116.	-14.90	54.00
1.000	1.000	157.0	0.000	0.000	0.000	0.000	Ala_161_6590_L_0			0.0000
0.0000	0.0000	0.0000	0.0000	0.0000						
77 D	31.70	2.8106E-03	146.8	102.5	146.8	102.5	UL-RL	2.1349E+04	-15.10	56.00
1.000	1.000	158.5	0.000	0.000	0.000	0.000	Ala_161_6590_L_0			0.0000
0.0000	0.0000	0.0000	0.0000	0.0000						
78 D	32.00	2.5902E-03	148.7	102.0	148.7	102.0	UL-RL	2.1349E+04	-15.30	58.00
1.000	1.000	160.0	0.000	0.000	0.000	0.000	Ala_161_6590_L_0			0.0000
0.0000	0.0000	0.0000	0.0000	0.0000						
79 D	32.30	2.3716E-03	150.6	101.5	150.6	101.5	UL-RL	2.1349E+04	-15.50	60.00
1.000	1.000	161.5	0.000	0.000	0.000	0.000	Ala_161_6590_L_0			0.0000
0.0000	0.0000	0.0000	0.0000	0.0000						
80 D	32.61	2.1547E-03	152.5	101.0	152.5	101.0	UL-RL	2.1349E+04	-15.70	62.00
1.000	1.000	163.0	0.000	0.000	0.000	0.000	Ala_161_6590_L_0			0.0000
0.0000	0.0000	0.0000	0.0000	0.0000						
81 D	32.91	1.9394E-03	154.4	100.6	154.4	100.6	UL-RL	2.1349E+04	-15.90	64.00
1.000	1.000	164.6	0.000	0.000	0.000	0.000	Ala_161_6590_L_0			0.0000
0.0000	0.0000	0.0000	0.0000	0.0000						
82 D	44.54	1.7256E-03	156.4	156.7	156.4	156.7	UL-RL	1.1966E+05	-16.10	66.00
1.000	1.000	222.7	0.000	0.000	10.00	10.00	Salt_21271_21259_L_0			0.0000
0.0000	0.0000	0.0000	0.0000	0.0000						
83 D	43.47	1.5132E-03	158.4	149.3	158.4	149.4	UL-RL	1.1966E+05	-16.30	68.00
1.000	1.000	217.3	0.000	0.000	10.00	10.00	Salt_21271_21259_L_0			0.0000
0.0000	0.0000	0.0000	0.0000	0.0000						
84 D	42.41	1.3020E-03	160.4	142.0	160.4	142.1	UL-RL	1.1966E+05	-16.50	70.00
1.000	1.000	212.0	0.000	0.000	10.00	10.00	Salt_21271_21259_L_0			0.0000
0.0000	0.0000	0.0000	0.0000	0.0000						
85 D	41.36	1.0919E-03	162.4	134.8	162.4	134.8	UL-RL	1.1966E+05	-16.70	72.00
1.000	1.000	206.8	0.000	0.000	10.00	10.00	Salt_21271_21259_L_0			0.0000
0.0000	0.0000	0.0000	0.0000	0.0000						
86 D	40.23	8.8272E-04	164.4	127.2	164.4	127.8	UL-RL	1.1966E+05	-16.90	74.00
1.000	1.000	201.2	0.000	0.000	10.00	10.00	Salt_21271_21259_L_0			0.0000
0.0000	0.0000	0.0000	0.0000	0.0000						
87 D	37.00	6.7435E-04	166.4	109.0	166.4	126.1	UL-RL	1.1966E+05	-17.10	76.00
1.000	1.000	185.0	0.000	0.000	10.00	10.00	Salt_21271_21259_L_0			0.0000
0.0000	0.0000	0.0000	0.0000	0.0000						
88 D	33.77	4.6659E-04	168.4	90.87	168.4	124.4	UL-RL	1.1966E+05	-17.30	78.00
1.000	1.000	168.9	0.000	0.000	10.00	10.00	Salt_21271_21259_L_0			0.0000
0.0000	0.0000	0.0000	0.0000	0.0000						
89 D	30.56	2.5925E-04	170.4	72.81	170.4	122.7	UL-RL	1.1966E+05	-17.50	80.00
1.000	1.000	152.8	0.000	0.000	10.00	10.00	Salt_21271_21259_L_0			0.0000
0.0000	0.0000	0.0000	0.0000	0.0000						
90 D	30.64	5.2192E-05	172.4	71.19	172.4	111.7	UL-RL	7.3129E+04	-17.70	82.00
1.000	1.000	153.2	0.000	0.000	55.00	55.00	Sch_21272_21260_L_0			0.0000
0.0000	0.0000	0.0000	0.0000	0.0000						
91 D	28.99	-1.5471E-04	175.0	60.95	175.0	111.4	UL-RL	7.3129E+04	-17.90	84.00
1.000	1.000	145.0	0.000	0.000	55.00	55.00	Sch_21272_21260_L_0			0.0000

0.0000	0.0000	0.0000	0.0000	0.0000						
92 D	20.51	-3.6154E-04	177.6	50.72	177.6	111.2	UL-RL 7.3129E+04	-18.10	86.00	
1.000	1.000	136.7	0.000	0.000	55.00	55.00	Sch_21272_21260_L_0		0.0000	
0.0000	0.0000	0.0000	0.0000	0.0000						
93 D	6.630	-4.6495E-04	178.9	45.61	178.9	111.0	UL-RL 7.3129E+04	-18.20	87.00	
1.000	1.000	132.6	0.000	0.000	55.00	55.00	Sch_21272_21260_L_0		0.0000	
0.0000	0.0000	0.0000	0.0000	0.0000						

```

+-----+
|          PARATIEPLUS(TM)  NLS ENGINE RELEASE  2022.0.0  FULL VERSION  *Build date:Sep 13, 2021*          |
|                                                                                                                                            |
|                                                                                               ParatiePlus                               |
|                                                                                               Exe Time :28 January 2022  11:11:17          |
+-----+

```

New Project

S T R E S S R E S U L T S F O R G R O U P N O . 2

O_R :
ELEMENT TYPE 5 NO.OF ELEMENTS. IN THIS GROUP 93
CURRENT TIME IS 4.0000 SUBINCREMENT 00001/00001

HARDENING 2D SOIL ELEMENT

***** TOTAL STRESS FORMULATION *****

EL * TOR QSL	FORCE UFACTOR ZD	DISPL-Y Peq ZPL	VERTICAL-P Su_a Kz	HORIZON.-P Su_p	MAX-V-P Cohe_a	MAX-H-P Cohe_p	STATE LAYER	STIFFNESS	Z-LEVEL	PORE ZFO	E FAC- QS
1 D	1.340	-3.0409E-02	57.00	13.40	57.00	24.28	UL-RL	4.5981E+04	0.000	0.000	
1.000	1.000	13.40	0.000	0.000	0.000	0.000	rilevato_6589_8_L_0			0.000	
0.0000	0.0000	0.0000	0.0000	0.0000							
2 D	2.867	-2.9928E-02	61.00	14.34	61.00	25.99	UL-RL	4.5981E+04	-0.2000	0.000	
1.000	1.000	14.34	0.000	0.000	0.000	0.000	rilevato_6589_8_L_0			0.000	
0.0000	0.0000	0.0000	0.0000	0.0000							
3 D	3.055	-2.9448E-02	65.00	15.28	65.00	27.69	UL-RL	4.5981E+04	-0.4000	0.000	
1.000	1.000	15.28	0.000	0.000	0.000	0.000	rilevato_6589_8_L_0			0.000	
0.0000	0.0000	0.0000	0.0000	0.0000							
4 D	3.243	-2.8968E-02	69.01	16.22	69.01	29.39	UL-RL	4.5981E+04	-0.6000	0.000	
1.000	1.000	16.22	0.000	0.000	0.000	0.000	rilevato_6589_8_L_0			0.000	
0.0000	0.0000	0.0000	0.0000	0.0000							
5 D	3.432	-2.8488E-02	73.01	17.16	73.01	31.10	UL-RL	4.5981E+04	-0.8000	0.000	
1.000	1.000	17.16	0.000	0.000	0.000	0.000	rilevato_6589_8_L_0			0.000	
0.0000	0.0000	0.0000	0.0000	0.0000							
6 D	3.620	-2.8008E-02	77.03	18.10	77.03	32.80	UL-RL	4.5981E+04	-1.000	0.000	
1.000	1.000	18.10	0.000	0.000	0.000	0.000	rilevato_6589_8_L_0			0.000	
0.0000	0.0000	0.0000	0.0000	0.0000							
7 D	3.809	-2.7528E-02	81.05	19.05	81.05	34.51	UL-RL	4.5981E+04	-1.200	0.000	
1.000	1.000	19.05	0.000	0.000	0.000	0.000	rilevato_6589_8_L_0			0.000	
0.0000	0.0000	0.0000	0.0000	0.0000							
8 D	3.999	-2.7049E-02	85.08	19.99	85.08	36.21	UL-RL	4.5981E+04	-1.400	0.000	
1.000	1.000	19.99	0.000	0.000	0.000	0.000	rilevato_6589_8_L_0			0.000	
0.0000	0.0000	0.0000	0.0000	0.0000							
9 D	4.188	-2.6570E-02	89.11	20.94	89.11	37.91	UL-RL	4.5981E+04	-1.600	0.000	
1.000	1.000	20.94	0.000	0.000	0.000	0.000	rilevato_6589_8_L_0			0.000	
0.0000	0.0000	0.0000	0.0000	0.0000							
10 D	4.378	-2.6092E-02	93.16	21.89	93.16	39.62	UL-RL	4.5981E+04	-1.800	0.000	
1.000	1.000	21.89	0.000	0.000	0.000	0.000	rilevato_6589_8_L_0			0.000	
0.0000	0.0000	0.0000	0.0000	0.0000							
11 D	4.569	-2.5615E-02	97.21	22.84	97.21	41.32	UL-RL	4.5981E+04	-2.000	0.000	
1.000	1.000	22.84	0.000	0.000	0.000	0.000	rilevato_6589_8_L_0			0.000	
0.0000	0.0000	0.0000	0.0000	0.0000							
12 D	4.760	-2.5139E-02	101.3	23.80	101.3	43.03	UL-RL	4.5981E+04	-2.200	0.000	
1.000	1.000	23.80	0.000	0.000	0.000	0.000	rilevato_6589_8_L_0			0.000	
0.0000	0.0000	0.0000	0.0000	0.0000							
13 D	4.951	-2.4665E-02	105.3	24.76	105.3	44.73	UL-RL	4.5981E+04	-2.400	0.000	
1.000	1.000	24.76	0.000	0.000	0.000	0.000	rilevato_6589_8_L_0			0.000	
0.0000	0.0000	0.0000	0.0000	0.0000							
14 D	5.143	-2.4192E-02	109.4	25.71	109.4	46.43	UL-RL	4.5981E+04	-2.600	0.000	
1.000	1.000	25.71	0.000	0.000	0.000	0.000	rilevato_6589_8_L_0			0.000	
0.0000	0.0000	0.0000	0.0000	0.0000							
15 D	5.335	-2.3721E-02	113.5	26.68	113.5	48.14	UL-RL	4.5981E+04	-2.800	0.000	
1.000	1.000	26.68	0.000	0.000	0.000	0.000	rilevato_6589_8_L_0			0.000	
0.0000	0.0000	0.0000	0.0000	0.0000							
16 D	5.528	-2.3252E-02	117.6	27.64	117.6	49.84	UL-RL	4.5981E+04	-3.000	0.000	
1.000	1.000	27.64	0.000	0.000	0.000	0.000	rilevato_6589_8_L_0			0.000	
0.0000	0.0000	0.0000	0.0000	0.0000							
17 D	5.721	-2.2787E-02	121.7	28.60	121.7	51.55	ACTIVE	0.000	-3.200	0.000	
1.000	1.000	28.60	0.000	0.000	0.000	0.000	rilevato_6589_8_L_0			0.000	
0.0000	0.0000	0.0000	0.0000	0.0000							
18 D	5.914	-2.2324E-02	125.8	29.57	125.8	53.25	ACTIVE	0.000	-3.400	0.000	
1.000	1.000	29.57	0.000	0.000	0.000	0.000	rilevato_6589_8_L_0			0.000	
0.0000	0.0000	0.0000	0.0000	0.0000							
19 D	6.108	-2.1866E-02	130.0	30.54	130.0	54.95	ACTIVE	0.000	-3.600	0.000	
1.000	1.000	30.54	0.000	0.000	0.000	0.000	rilevato_6589_8_L_0			0.000	
0.0000	0.0000	0.0000	0.0000	0.0000							
20 D	6.302	-2.1411E-02	134.1	31.51	134.1	56.66	ACTIVE	0.000	-3.800	0.000	
1.000	1.000	31.51	0.000	0.000	0.000	0.000	rilevato_6589_8_L_0			0.000	
0.0000	0.0000	0.0000	0.0000	0.0000							
21 D	6.496	-2.0961E-02	138.2	32.48	138.2	58.36	ACTIVE	0.000	-4.000	0.000	
1.000	1.000	32.48	0.000	0.000	0.000	0.000	rilevato_6589_8_L_0			0.000	
0.0000	0.0000	0.0000	0.0000	0.0000							
22 D	6.691	-2.0517E-02	142.4	33.45	142.4	60.07	ACTIVE	0.000	-4.200	0.000	

1.000	1.000	33.45	0.000	0.000	0.000	0.000	rilevato_6589_8_L_0	0.0000	
0.0000	0.0000	0.0000	0.0000	0.0000	0.0000	0.0000			
23 D	6.885	-2.0079E-02	146.5	34.43	146.5	61.77	ACTIVE 0.000	-4.400	0.000
1.000	1.000	34.43	0.000	0.000	0.000	0.000	rilevato_6589_8_L_0	0.0000	
0.0000	0.0000	0.0000	0.0000	0.0000	0.0000	0.0000			
24 D	5.310	-1.9647E-02	150.6	35.40	150.6	63.47	ACTIVE 0.000	-4.600	0.000
1.000	1.000	56.28	0.000	0.000	0.000	0.000	rilevato_6589_8_L_0	0.0000	
0.0000	0.0000	0.0000	0.0000	0.0000	0.0000	0.0000			
25 D	8.224	-1.9434E-02	152.7	54.82	152.7	85.82	ACTIVE 0.000	-4.700	0.000
1.000	1.000	54.82	0.000	0.000	0.000	0.000	Ala_161_6590_L_0	0.0000	
0.0000	0.0000	0.0000	0.0000	0.0000	0.0000	0.0000			
26 D	11.26	-1.9011E-02	156.8	56.28	156.8	88.10	ACTIVE 0.000	-4.900	0.000
1.000	1.000	56.28	0.000	0.000	0.000	0.000	Ala_161_6590_L_0	0.0000	
0.0000	0.0000	0.0000	0.0000	0.0000	0.0000	0.0000			
27 D	11.55	-1.8590E-02	160.8	57.73	160.8	90.38	ACTIVE 0.000	-5.100	0.000
1.000	1.000	57.73	0.000	0.000	0.000	0.000	Ala_161_6590_L_0	0.0000	
0.0000	0.0000	0.0000	0.0000	0.0000	0.0000	0.0000			
28 D	11.84	-1.8172E-02	164.9	59.18	164.9	92.65	ACTIVE 0.000	-5.300	0.000
1.000	1.000	59.18	0.000	0.000	0.000	0.000	Ala_161_6590_L_0	0.0000	
0.0000	0.0000	0.0000	0.0000	0.0000	0.0000	0.0000			
29 D	12.13	-1.7756E-02	168.9	60.64	168.9	94.93	ACTIVE 0.000	-5.500	0.000
1.000	1.000	60.64	0.000	0.000	0.000	0.000	Ala_161_6590_L_0	0.0000	
0.0000	0.0000	0.0000	0.0000	0.0000	0.0000	0.0000			
30 D	12.42	-1.7342E-02	173.0	62.09	173.0	97.20	ACTIVE 0.000	-5.700	0.000
1.000	1.000	62.09	0.000	0.000	0.000	0.000	Ala_161_6590_L_0	0.0000	
0.0000	0.0000	0.0000	0.0000	0.0000	0.0000	0.0000			
31 D	12.71	-1.6932E-02	177.0	63.54	177.0	99.48	ACTIVE 0.000	-5.900	0.000
1.000	1.000	63.54	0.000	0.000	0.000	0.000	Ala_161_6590_L_0	0.0000	
0.0000	0.0000	0.0000	0.0000	0.0000	0.0000	0.0000			
32 D	13.00	-1.6525E-02	181.1	65.00	181.1	101.8	ACTIVE 0.000	-6.100	0.000
1.000	1.000	65.00	0.000	0.000	0.000	0.000	Ala_161_6590_L_0	0.0000	
0.0000	0.0000	0.0000	0.0000	0.0000	0.0000	0.0000			
33 D	13.29	-1.6121E-02	185.1	66.45	185.1	104.0	ACTIVE 0.000	-6.300	0.000
1.000	1.000	66.45	0.000	0.000	0.000	0.000	Ala_161_6590_L_0	0.0000	
0.0000	0.0000	0.0000	0.0000	0.0000	0.0000	0.0000			
34 D	13.58	-1.5721E-02	189.1	67.90	189.1	106.3	ACTIVE 0.000	-6.500	0.000
1.000	1.000	67.90	0.000	0.000	0.000	0.000	Ala_161_6590_L_0	0.0000	
0.0000	0.0000	0.0000	0.0000	0.0000	0.0000	0.0000			
35 D	13.87	-1.5325E-02	193.2	69.35	193.2	108.6	ACTIVE 0.000	-6.700	0.000
1.000	1.000	69.35	0.000	0.000	0.000	0.000	Ala_161_6590_L_0	0.0000	
0.0000	0.0000	0.0000	0.0000	0.0000	0.0000	0.0000			
36 D	14.18	-1.4933E-02	197.6	70.92	197.6	111.0	ACTIVE 0.000	-6.900	0.000
1.000	1.000	70.92	0.000	0.000	0.000	0.000	Ala_161_6590_L_0	0.0000	
0.0000	0.0000	0.0000	0.0000	0.0000	0.0000	0.0000			
37 D	14.53	-1.4545E-02	202.3	72.63	202.3	113.7	ACTIVE 0.000	-7.100	0.000
1.000	1.000	72.63	0.000	0.000	0.000	0.000	Ala_161_6590_L_0	0.0000	
0.0000	0.0000	0.0000	0.0000	0.0000	0.0000	0.0000			
38 D	14.84	-1.4162E-02	206.7	74.20	206.7	116.2	ACTIVE 0.000	-7.300	0.000
1.000	1.000	74.20	0.000	0.000	0.000	0.000	Ala_161_6590_L_0	0.0000	
0.0000	0.0000	0.0000	0.0000	0.0000	0.0000	0.0000			
39 D	15.17	-1.3783E-02	211.2	75.84	211.2	118.7	ACTIVE 0.000	-7.500	0.000
1.000	1.000	75.84	0.000	0.000	0.000	0.000	Ala_161_6590_L_0	0.0000	
0.0000	0.0000	0.0000	0.0000	0.0000	0.0000	0.0000			
40 D	15.48	-1.3409E-02	215.6	77.42	215.6	121.2	ACTIVE 0.000	-7.700	0.000
1.000	1.000	77.42	0.000	0.000	0.000	0.000	Ala_161_6590_L_0	0.0000	
0.0000	0.0000	0.0000	0.0000	0.0000	0.0000	0.0000			
41 D	15.80	-1.3039E-02	220.0	78.99	220.0	123.7	ACTIVE 0.000	-7.900	0.000
1.000	1.000	78.99	0.000	0.000	0.000	0.000	Ala_161_6590_L_0	0.0000	
0.0000	0.0000	0.0000	0.0000	0.0000	0.0000	0.0000			
42 D	16.11	-1.2675E-02	224.4	80.57	224.4	126.1	ACTIVE 0.000	-8.100	0.000
1.000	1.000	80.57	0.000	0.000	0.000	0.000	Ala_161_6590_L_0	0.0000	
0.0000	0.0000	0.0000	0.0000	0.0000	0.0000	0.0000			
43 D	16.42	-1.2316E-02	228.7	82.10	228.7	128.5	ACTIVE 0.000	-8.300	0.000
1.000	1.000	82.10	0.000	0.000	0.000	0.000	Ala_161_6590_L_0	0.0000	
0.0000	0.0000	0.0000	0.0000	0.0000	0.0000	0.0000			
44 D	16.73	-1.1961E-02	233.1	83.67	233.1	131.0	ACTIVE 0.000	-8.500	0.000
1.000	1.000	83.67	0.000	0.000	0.000	0.000	Ala_161_6590_L_0	0.0000	
0.0000	0.0000	0.0000	0.0000	0.0000	0.0000	0.0000			
45 D	17.03	-1.1612E-02	237.2	85.16	237.2	133.3	ACTIVE 0.000	-8.700	0.000
1.000	1.000	85.16	0.000	0.000	0.000	0.000	Ala_161_6590_L_0	0.0000	
0.0000	0.0000	0.0000	0.0000	0.0000	0.0000	0.0000			
46 D	17.35	-1.1268E-02	241.6	86.73	241.6	135.8	ACTIVE 0.000	-8.900	0.000
1.000	1.000	86.73	0.000	0.000	0.000	0.000	Ala_161_6590_L_0	0.0000	
0.0000	0.0000	0.0000	0.0000	0.0000	0.0000	0.0000			
47 D	17.64	-1.0928E-02	245.7	88.20	245.7	138.1	ACTIVE 0.000	-9.100	0.000
1.000	1.000	88.20	0.000	0.000	0.000	0.000	Ala_161_6590_L_0	0.0000	
0.0000	0.0000	0.0000	0.0000	0.0000	0.0000	0.0000			
48 D	17.95	-1.0594E-02	250.0	89.75	250.0	140.5	ACTIVE 0.000	-9.300	0.000
1.000	1.000	89.75	0.000	0.000	0.000	0.000	Ala_161_6590_L_0	0.0000	
0.0000	0.0000	0.0000	0.0000	0.0000	0.0000	0.0000			
49 D	18.24	-1.0265E-02	254.1	91.20	254.1	142.8	ACTIVE 0.000	-9.500	0.000
1.000	1.000	91.20	0.000	0.000	0.000	0.000	Ala_161_6590_L_0	0.0000	
0.0000	0.0000	0.0000	0.0000	0.0000	0.0000	0.0000			
50 D	18.80	-9.9415E-03	256.3	92.02	256.3	144.1	ACTIVE 0.000	-9.700	2.000
1.000	1.000	94.02	0.000	0.000	0.000	0.000	Ala_161_6590_L_0	0.0000	
0.0000	0.0000	0.0000	0.0000	0.0000	0.0000	0.0000			
51 D	19.35	-9.6227E-03	258.3	92.74	258.3	145.2	ACTIVE 0.000	-9.900	4.000
1.000	1.000	96.74	0.000	0.000	0.000	0.000	Ala_161_6590_L_0	0.0000	
0.0000	0.0000	0.0000	0.0000	0.0000	0.0000	0.0000			
52 D	19.91	-9.3089E-03	260.6	93.54	260.6	146.4	ACTIVE 0.000	-10.10	6.000
1.000	1.000	99.54	0.000	0.000	0.000	0.000	Ala_161_6590_L_0	0.0000	
0.0000	0.0000	0.0000	0.0000	0.0000	0.0000	0.0000			

53 D	20.45	-9.0000E-03	262.5	94.25	262.5	147.5	ACTIVE	0.000	-10.30	8.000
1.000	1.000	102.2	0.000	0.000	0.000	0.000	Ala_161_6590_L_0			0.0000
0.0000	0.0000	0.0000	0.0000	0.0000	0.0000					
54 D	21.00	-8.6960E-03	264.7	95.02	264.7	148.7	ACTIVE	0.000	-10.50	10.000
1.000	1.000	105.0	0.000	0.000	0.000	0.000	Ala_161_6590_L_0			0.0000
0.0000	0.0000	0.0000	0.0000	0.0000	0.0000					
55 D	21.55	-8.3967E-03	266.7	95.73	266.7	149.9	ACTIVE	0.000	-10.70	12.00
1.000	1.000	107.7	0.000	0.000	0.000	0.000	Ala_161_6590_L_0			0.0000
0.0000	0.0000	0.0000	0.0000	0.0000	0.0000					
56 D	22.10	-8.1023E-03	268.7	96.48	268.7	151.0	ACTIVE	0.000	-10.90	14.00
1.000	1.000	110.5	0.000	0.000	0.000	0.000	Ala_161_6590_L_0			0.0000
0.0000	0.0000	0.0000	0.0000	0.0000	0.0000					
57 D	22.64	-7.8124E-03	270.7	97.19	270.7	152.1	ACTIVE	0.000	-11.10	16.00
1.000	1.000	113.2	0.000	0.000	0.000	0.000	Ala_161_6590_L_0			0.0000
0.0000	0.0000	0.0000	0.0000	0.0000	0.0000					
58 D	23.18	-7.5271E-03	272.7	97.91	272.7	153.3	ACTIVE	0.000	-11.30	18.00
1.000	1.000	115.9	0.000	0.000	0.000	0.000	Ala_161_6590_L_0			0.0000
0.0000	0.0000	0.0000	0.0000	0.0000	0.0000					
59 D	23.73	-7.2463E-03	274.7	98.63	274.7	154.4	ACTIVE	0.000	-11.50	20.00
1.000	1.000	118.6	0.000	0.000	0.000	0.000	Ala_161_6590_L_0			0.0000
0.0000	0.0000	0.0000	0.0000	0.0000	0.0000					
60 D	24.27	-6.9697E-03	276.7	99.33	276.7	155.5	ACTIVE	0.000	-11.70	22.00
1.000	1.000	121.3	0.000	0.000	0.000	0.000	Ala_161_6590_L_0			0.0000
0.0000	0.0000	0.0000	0.0000	0.0000	0.0000					
61 D	24.81	-6.6974E-03	278.7	100.0	278.7	156.6	ACTIVE	0.000	-11.90	24.00
1.000	1.000	124.0	0.000	0.000	0.000	0.000	Ala_161_6590_L_0			0.0000
0.0000	0.0000	0.0000	0.0000	0.0000	0.0000					
62 D	25.35	-6.4293E-03	280.6	100.7	280.6	157.7	ACTIVE	0.000	-12.10	26.00
1.000	1.000	126.7	0.000	0.000	0.000	0.000	Ala_161_6590_L_0			0.0000
0.0000	0.0000	0.0000	0.0000	0.0000	0.0000					
63 D	25.89	-6.1651E-03	282.6	101.5	282.6	158.8	ACTIVE	0.000	-12.30	28.00
1.000	1.000	129.5	0.000	0.000	0.000	0.000	Ala_161_6590_L_0			0.0000
0.0000	0.0000	0.0000	0.0000	0.0000	0.0000					
64 D	26.43	-5.9047E-03	284.5	102.1	284.5	159.9	ACTIVE	0.000	-12.50	30.00
1.000	1.000	132.1	0.000	0.000	0.000	0.000	Ala_161_6590_L_0			0.0000
0.0000	0.0000	0.0000	0.0000	0.0000	0.0000					
65 D	26.97	-5.6481E-03	286.5	102.8	286.5	161.0	ACTIVE	0.000	-12.70	32.00
1.000	1.000	134.8	0.000	0.000	0.000	0.000	Ala_161_6590_L_0			0.0000
0.0000	0.0000	0.0000	0.0000	0.0000	0.0000					
66 D	27.50	-5.3951E-03	288.3	103.5	288.3	162.0	ACTIVE	0.000	-12.90	34.00
1.000	1.000	137.5	0.000	0.000	0.000	0.000	Ala_161_6590_L_0			0.0000
0.0000	0.0000	0.0000	0.0000	0.0000	0.0000					
67 D	28.04	-5.1456E-03	290.3	104.2	290.3	163.1	ACTIVE	0.000	-13.10	36.00
1.000	1.000	140.2	0.000	0.000	0.000	0.000	Ala_161_6590_L_0			0.0000
0.0000	0.0000	0.0000	0.0000	0.0000	0.0000					
68 D	28.57	-4.8993E-03	292.1	104.9	292.1	164.2	ACTIVE	0.000	-13.30	38.00
1.000	1.000	142.9	0.000	0.000	0.000	0.000	Ala_161_6590_L_0			0.0000
0.0000	0.0000	0.0000	0.0000	0.0000	0.0000					
69 D	29.10	-4.6563E-03	293.9	105.5	293.9	165.2	ACTIVE	0.000	-13.50	40.00
1.000	1.000	145.5	0.000	0.000	0.000	0.000	Ala_161_6590_L_0			0.0000
0.0000	0.0000	0.0000	0.0000	0.0000	0.0000					
70 D	29.63	-4.4164E-03	295.7	106.2	295.7	166.2	ACTIVE	0.000	-13.70	42.00
1.000	1.000	148.2	0.000	0.000	0.000	0.000	Ala_161_6590_L_0			0.0000
0.0000	0.0000	0.0000	0.0000	0.0000	0.0000					
71 D	30.16	-4.1793E-03	297.5	106.8	297.5	167.2	ACTIVE	0.000	-13.90	44.00
1.000	1.000	150.8	0.000	0.000	0.000	0.000	Ala_161_6590_L_0			0.0000
0.0000	0.0000	0.0000	0.0000	0.0000	0.0000					
72 D	30.69	-3.9451E-03	299.3	107.5	299.3	168.2	ACTIVE	0.000	-14.10	46.00
1.000	1.000	153.5	0.000	0.000	0.000	0.000	Ala_161_6590_L_0			0.0000
0.0000	0.0000	0.0000	0.0000	0.0000	0.0000					
73 D	31.22	-3.7134E-03	301.1	108.1	301.1	169.2	ACTIVE	0.000	-14.30	48.00
1.000	1.000	156.1	0.000	0.000	0.000	0.000	Ala_161_6590_L_0			0.0000
0.0000	0.0000	0.0000	0.0000	0.0000	0.0000					
74 D	31.75	-3.4843E-03	302.9	108.8	302.9	170.2	ACTIVE	0.000	-14.50	50.00
1.000	1.000	158.8	0.000	0.000	0.000	0.000	Ala_161_6590_L_0			0.0000
0.0000	0.0000	0.0000	0.0000	0.0000	0.0000					
75 D	32.28	-3.2576E-03	304.7	109.4	304.7	171.3	ACTIVE	0.000	-14.70	52.00
1.000	1.000	161.4	0.000	0.000	0.000	0.000	Ala_161_6590_L_0			0.0000
0.0000	0.0000	0.0000	0.0000	0.0000	0.0000					
76 D	32.81	-3.0331E-03	306.5	110.1	306.5	172.3	ACTIVE	0.000	-14.90	54.00
1.000	1.000	164.1	0.000	0.000	0.000	0.000	Ala_161_6590_L_0			0.0000
0.0000	0.0000	0.0000	0.0000	0.0000	0.0000					
77 D	33.34	-2.8106E-03	308.4	110.7	308.4	173.3	UL-RL	2.6301E+04	-15.10	56.00
1.000	1.000	166.7	0.000	0.000	0.000	0.000	Ala_161_6590_L_0			0.0000
0.0000	0.0000	0.0000	0.0000	0.0000	0.0000					
78 D	33.87	-2.5902E-03	310.2	111.4	310.2	174.3	UL-RL	2.6301E+04	-15.30	58.00
1.000	1.000	169.4	0.000	0.000	0.000	0.000	Ala_161_6590_L_0			0.0000
0.0000	0.0000	0.0000	0.0000	0.0000	0.0000					
79 D	34.59	-2.3716E-03	312.0	113.0	312.0	175.3	UL-RL	2.6301E+04	-15.50	60.00
1.000	1.000	173.0	0.000	0.000	0.000	0.000	Ala_161_6590_L_0			0.0000
0.0000	0.0000	0.0000	0.0000	0.0000	0.0000					
80 D	36.34	-2.1547E-03	313.8	119.7	313.8	176.4	UL-RL	2.6301E+04	-15.70	62.00
1.000	1.000	181.7	0.000	0.000	0.000	0.000	Ala_161_6590_L_0			0.0000
0.0000	0.0000	0.0000	0.0000	0.0000	0.0000					
81 D	38.07	-1.9394E-03	315.6	126.4	315.6	177.4	UL-RL	2.6301E+04	-15.90	64.00
1.000	1.000	190.4	0.000	0.000	0.000	0.000	Ala_161_6590_L_0			0.0000
0.0000	0.0000	0.0000	0.0000	0.0000	0.0000					
82 D	32.70	-1.7256E-03	317.5	97.50	317.5	178.4	UL-RL	1.5322E+05	-16.10	66.00
1.000	1.000	163.5	0.000	0.000	10.00	10.00	Salt_21271_21259_L_0			0.0000
0.0000	0.0000	0.0000	0.0000	0.0000	0.0000					
83 D	33.23	-1.5132E-03	319.4	98.17	319.4	179.5	UL-RL	1.5322E+05	-16.30	68.00
1.000	1.000	166.2	0.000	0.000	10.00	10.00	Salt_21271_21259_L_0			0.0000

0.0000	0.0000	0.0000	0.0000	0.0000						
84 D	33.77	-1.3020E-03	321.3	98.83	321.3	180.6	UL-RL 1.5322E+05	-16.50	70.00	
1.000	1.000	168.8	0.000	0.000	10.00	10.00	Salt_21271_21259_L_0		0.0000	
0.0000	0.0000	0.0000	0.0000	0.0000						
85 D	34.30	-1.0919E-03	323.3	99.50	323.3	181.7	UL-RL 1.5322E+05	-16.70	72.00	
1.000	1.000	171.5	0.000	0.000	10.00	10.00	Salt_21271_21259_L_0		0.0000	
0.0000	0.0000	0.0000	0.0000	0.0000						
86 D	34.99	-8.8272E-04	325.2	100.9	325.2	182.8	UL-RL 1.5322E+05	-16.90	74.00	
1.000	1.000	174.9	0.000	0.000	10.00	10.00	Salt_21271_21259_L_0		0.0000	
0.0000	0.0000	0.0000	0.0000	0.0000						
87 D	39.74	-6.7435E-04	327.1	122.7	327.1	183.8	UL-RL 1.5322E+05	-17.10	76.00	
1.000	1.000	198.7	0.000	0.000	10.00	10.00	Salt_21271_21259_L_0		0.0000	
0.0000	0.0000	0.0000	0.0000	0.0000						
88 D	44.48	-4.6659E-04	329.0	144.4	329.0	184.9	UL-RL 1.5322E+05	-17.30	78.00	
1.000	1.000	222.4	0.000	0.000	10.00	10.00	Salt_21271_21259_L_0		0.0000	
0.0000	0.0000	0.0000	0.0000	0.0000						
89 D	48.17	-2.5925E-04	331.0	160.8	331.0	188.6	UL-RL 1.5322E+05	-17.50	80.00	
1.000	1.000	240.8	0.000	0.000	10.00	10.00	Salt_21271_21259_L_0		0.0000	
0.0000	0.0000	0.0000	0.0000	0.0000						
90 D	51.42	-5.2192E-05	333.0	175.1	333.0	190.2	UL-RL 1.1423E+05	-17.70	82.00	
1.000	1.000	257.1	0.000	0.000	55.00	55.00	Sch_21272_21260_L_0		0.0000	
0.0000	0.0000	0.0000	0.0000	0.0000						
91 D	54.44	1.5471E-04	335.5	188.2	335.5	197.6	UL-RL 1.1423E+05	-17.90	84.00	
1.000	1.000	272.2	0.000	0.000	55.00	55.00	Sch_21272_21260_L_0		0.0000	
0.0000	0.0000	0.0000	0.0000	0.0000						
92 D	43.09	3.6154E-04	338.0	201.3	338.0	205.0	UL-RL 1.1423E+05	-18.10	86.00	
1.000	1.000	287.3	0.000	0.000	55.00	55.00	Sch_21272_21260_L_0		0.0000	
0.0000	0.0000	0.0000	0.0000	0.0000						
93 D	14.67	4.6495E-04	339.3	206.3	339.3	209.4	UL-RL 1.1423E+05	-18.20	87.00	
1.000	1.000	293.3	0.000	0.000	55.00	55.00	Sch_21272_21260_L_0		0.0000	
0.0000	0.0000	0.0000	0.0000	0.0000						


```

+-----+
|                PARATIEPLUS(TM)  NLS ENGINE RELEASE  2022.0.0  FULL VERSION  *Build date:Sep 13, 2021*                |
|                                                                                                                                            |
|                                                                                               ParatiePlus                               |
|                                                                                               Exe Time :28 January 2022   11:11:17   |
+-----+

```

New Project

S T R E S S R E S U L T S F O R G R O U P N O . 3

```

pali15001.7_33 :
ELEMENT TYPE   2 NO.OF ELEMENTS. IN THIS GROUP   68
C U R R E N T   T I M E   I S   4.0000 SUBINCREMENT 00001/00001

```

WALL2D ELEMENT

EL	TA	TB	MA	MB
1	-121.87	121.87	229.73	-254.10
2	-130.61	130.61	254.10	-280.22
3	-137.13	137.13	280.22	-307.65
4	-141.43	141.43	307.65	-335.94
5	-143.50	143.50	335.94	-364.64
6	-143.36	143.36	364.64	-393.31
7	-140.99	140.99	393.31	-421.50
8	-136.39	136.39	421.50	-448.78
9	-129.58	129.58	448.78	-474.70
10	-120.54	120.54	474.70	-498.81
11	-109.28	109.28	498.81	-520.66
12	-97.386	97.386	520.66	-540.14
13	-85.950	85.950	540.14	-557.33
14	-74.937	74.937	557.33	-572.32
15	-64.351	64.351	572.32	-585.19
16	-54.176	54.176	585.19	-596.02
17	-44.402	44.402	596.02	-604.90
18	-35.025	35.025	604.90	-611.91
19	-26.026	26.026	611.91	-617.11
20	-17.409	17.409	617.11	-620.59
21	-9.1471	9.1471	620.59	-622.42
22	-1.2519	1.2519	622.42	-622.67
23	6.3063	-6.3063	622.67	-621.41
24	13.516	-13.516	621.41	-618.71
25	20.406	-20.406	618.71	-614.63
26	26.885	-26.885	614.63	-609.25
27	32.979	-32.979	609.25	-602.65
28	38.682	-38.682	602.65	-594.92
29	44.016	-44.016	594.92	-586.12
30	48.977	-48.977	586.12	-576.32
31	53.583	-53.583	576.32	-565.60
32	57.835	-57.835	565.60	-554.04
33	61.745	-61.745	554.04	-541.69
34	65.318	-65.318	541.69	-528.62
35	68.562	-68.562	528.62	-514.91
36	71.485	-71.485	514.91	-500.61
37	74.091	-74.091	500.61	-485.80
38	76.391	-76.391	485.80	-470.52
39	78.386	-78.386	470.52	-454.84
40	80.088	-80.088	454.84	-438.82
41	81.497	-81.497	438.82	-422.52
42	82.624	-82.624	422.52	-406.00
43	83.470	-83.470	406.00	-389.31
44	84.048	-84.048	389.31	-372.50
45	84.364	-84.364	372.50	-355.62
46	84.423	-84.423	355.62	-338.74
47	84.229	-84.229	338.74	-321.89
48	83.786	-83.786	321.89	-305.14
49	83.096	-83.096	305.14	-288.52
50	82.165	-82.165	288.52	-272.08
51	80.994	-80.994	272.08	-255.88
52	79.588	-79.588	255.88	-239.97
53	77.948	-77.948	239.97	-224.38
54	76.078	-76.078	224.38	-209.16
55	73.788	-73.788	209.16	-194.40
56	70.057	-70.057	194.40	-180.39
57	64.897	-64.897	180.39	-167.41
58	76.734	-76.734	167.41	-152.07
59	86.968	-86.968	152.07	-134.67
60	95.609	-95.609	134.67	-115.55
61	102.67	-102.67	115.55	-95.018
62	107.91	-107.91	95.018	-73.436
63	105.16	-105.16	73.436	-52.403
64	94.456	-94.456	52.403	-33.512
65	76.852	-76.852	33.512	-18.141
66	56.066	-56.066	18.141	-6.9273
67	30.618	-30.618	6.9273	-0.80367
68	8.0367	-8.0367	0.80367	-5.79685E-11

```

+-----+
|          PARATIEPLUS(TM)  NLS ENGINE RELEASE  2022.0.0  FULL VERSION  *Build date:Sep 13, 2021*          |
|                                                                                                                                            |
|                                                                                               ParatiePlus                               |
|                                                                                               Exe Time :28 January 2022   11:11:17          |
+-----+

```

New Project

S T R E S S R E S U L T S F O R G R O U P N O . 4

```

muro71cm_4658 :
ELEMENT TYPE   2 NO.OF ELEMENTS. IN THIS GROUP   24
C U R R E N T   T I M E   I S   4.0000 SUBINCREMENT 00001/00001

```

WALL2D ELEMENT

EL	TA	TB	MA	MB
1	-1.3395	1.3395	1.47687E-10	-0.26791
2	-4.2066	4.2066	0.26791	-1.1092
3	-7.2618	7.2618	1.1092	-2.5616
4	-10.505	10.505	2.5616	-4.6626
5	-13.937	13.937	4.6626	-7.4500
6	-17.557	17.557	7.4500	-10.961
7	-21.367	21.367	10.961	-15.235
8	-25.365	25.365	15.235	-20.308
9	-29.554	29.554	20.308	-26.219
10	-33.932	33.932	26.219	-33.005
11	-38.501	38.501	33.005	-40.705
12	-43.261	43.261	40.705	-49.357
13	-48.212	48.212	49.357	-59.000
14	-53.355	53.355	59.000	-69.671
15	-58.690	58.690	69.671	-81.409
16	-64.218	64.218	81.409	-94.252
17	-69.939	69.939	94.252	-108.24
18	-75.853	75.853	108.24	-123.41
19	-81.961	81.961	123.41	-139.80
20	-88.263	88.263	139.80	-157.46
21	-94.759	94.759	157.46	-176.41
22	-101.45	101.45	176.41	-196.70
23	-108.33	108.33	196.70	-218.36
24	-113.64	113.64	218.36	-229.73

```

+-----+
|          PARATIEPLUS(TM)  NLS ENGINE RELEASE  2022.0.0  FULL VERSION  *Build date:Sep 13, 2021*          |
|                                                                                                                                            |
|                                                                                               ParatiePlus                               |
|                                                                                               Exe Time :28 January 2022   11:11:17          |
+-----+

```

F I N A L I N C R E M E N T A L A N A L Y S I S

S U M M A R Y

STEP		NO. OF ITERATIONS
1	CONVERGENCE :YES	2
2	CONVERGENCE :YES	2
3	CONVERGENCE :YES	6
4	CONVERGENCE :YES	2

END OF PROCESS FOR PROBLEM

New Project

NONLINEAR SOLUTION CPU TIME 0.09 [sec]

DATABASE CREATION CPU TIME..... 0.21 [sec]

8.5. Design Assumption : A1+M1+R1 (R3 per tiranti) - File di Paratie - File di input (.d)

```
* PARATIE ANALYSIS FOR DESIGN SECTION:Base Design Section USING ASSUMPTION: A1+M1+R1 (R3 per tiranti)
* Time:venerdi 28 gennaio 2022 11:11:17
* 1: Defining general settings
UNIT m kN
TITLE New Project
DELTA 0.2
option param itemax 40
option control contact lagrange

option control hinges 0 0.0001 0.001

* 2: Defining wall(s)
WALL LeftWall_32 0 -18.2 0 -1

* 3: Defining surfaces for wall(s)
SOIL 0_L LeftWall_32 -18.2 0 2 0
SOIL 0_R LeftWall_32 -18.2 0 1 180

* 4: Defining soil layers
*
* Soil Profile (rilevato_6589_8_L_0)
*
LDATA rilevato_6589_8_L_0 0 LeftWall_32
ATREST 0.426 0.5 1
WEIGHT 20 10 10
PERMEABILITY 1E-05
RESISTANCE 0 35 0 0 0
TZDATA LINEAR 0 0 0 0.5 0
KSCALE 0 0
YOUNG 50000 1.5E+05
ENDL
*
* Soil Profile (Ala_161_6590_L_0)
*
LDATA Ala_161_6590_L_0 -4.7 LeftWall_32
ATREST 0.562 0.5 1
WEIGHT 19.5 9.5 10
PERMEABILITY 1E-05
RESISTANCE 0 25 0 0 0
TZDATA LINEAR 0 0 0 0.5 0
KSCALE 0 0
YOUNG 35000 1.05E+05
ENDL
*
* Soil Profile (Salt_21271_21259_L_0)
*
LDATA Salt_21271_21259_L_0 -15.99 LeftWall_32
ATREST 0.562 0.5 1
WEIGHT 20 10 10
PERMEABILITY 1E-05
RESISTANCE 10 26 0 0 0
TZDATA LINEAR 0 0 0 0.5 0
KSCALE 0 0
YOUNG 2E+05 6E+05
ENDL
*
* Soil Profile (Sch_21272_21260_L_0)
*
LDATA Sch_21272_21260_L_0 -17.67 LeftWall_32
ATREST 0.562 0.5 1
WEIGHT 23 13 10
PERMEABILITY 1E-05
RESISTANCE 55 31 0 0 0
TZDATA LINEAR 0 0 0 0.5 0
KSCALE 0 0
YOUNG 1.35E+05 4.05E+05
ENDL

* 5: Defining structural materials
* Steel material: 110 Name=Fe360 E=206000200 kPa
MATERIAL Fe360_110 2.06E+08
* Concrete material: 108 Name=C32/40 E=33345800 kPa
MATERIAL C3240_108 3.3346E+07

* 6: Defining structural elements
* 6.1: Beams and combined Wall Elements
** rev 2021 and later
BEAM pali15001.7_33 LeftWall_32 -18.2 -4.7 C3240_108 1.206 1.0395 0.14618 25.987 00 00 0
** rev 2021 and later
BEAM muro71cm_4658 LeftWall_32 -4.7 0 C3240_108 0.74889 0.71 0.035 17.75 00 00 0

* 6.2: Supports
```

* 6.3: Strips

```
STRIP LeftWall_32 3 4 6.7 0.37824 0 67.873 45
STRIP LeftWall_32 3 4 7.0782 0.37824 0 65.158 45
STRIP LeftWall_32 3 4 7.4565 0.37824 0 62.443 45
STRIP LeftWall_32 3 4 7.8347 0.37824 0 59.729 45
STRIP LeftWall_32 3 4 8.2129 0.37824 0 57.014 45
STRIP LeftWall_32 3 4 8.5912 0.37824 0 54.299 45
STRIP LeftWall_32 3 4 8.9694 0.37824 0 51.584 45
STRIP LeftWall_32 3 4 9.3476 0.37824 0 48.869 45
STRIP LeftWall_32 3 4 9.7259 0.37824 0 46.154 45
STRIP LeftWall_32 3 4 10.104 0.37824 0 43.439 45
STRIP LeftWall_32 3 4 10.482 0.37824 0 40.724 45
STRIP LeftWall_32 3 4 10.861 0.37824 0 38.009 45
STRIP LeftWall_32 3 4 11.239 0.37824 0 35.294 45
STRIP LeftWall_32 3 4 11.617 0.37824 0 32.579 45
STRIP LeftWall_32 3 4 11.995 0.37824 0 29.864 45
STRIP LeftWall_32 3 4 12.374 0.37824 0 27.149 45
STRIP LeftWall_32 3 4 12.752 0.37824 0 24.434 45
```

* 7: Defining Steps

```
STEP 0-Geostatica_31
CHANGE rilevato_6589_8_L_0 U-FRICT=35 LeftWall_32
CHANGE rilevato_6589_8_L_0 D-FRICT=35 LeftWall_32
CHANGE rilevato_6589_8_L_0 U-KA=0.235 LeftWall_32
CHANGE rilevato_6589_8_L_0 U-KP=5.879 LeftWall_32
CHANGE rilevato_6589_8_L_0 D-KA=0.235 LeftWall_32
CHANGE rilevato_6589_8_L_0 D-KP=5.879 LeftWall_32
CHANGE Ala_161_6590_L_0 U-FRICT=25 LeftWall_32
CHANGE Ala_161_6590_L_0 D-FRICT=25 LeftWall_32
CHANGE Ala_161_6590_L_0 U-KA=0.359 LeftWall_32
CHANGE Ala_161_6590_L_0 U-KP=3.222 LeftWall_32
CHANGE Ala_161_6590_L_0 D-KA=0.359 LeftWall_32
CHANGE Ala_161_6590_L_0 D-KP=3.222 LeftWall_32
CHANGE Salt_21271_21259_L_0 U-FRICT=26 LeftWall_32
CHANGE Salt_21271_21259_L_0 D-FRICT=26 LeftWall_32
CHANGE Salt_21271_21259_L_0 U-KA=0.344 LeftWall_32
CHANGE Salt_21271_21259_L_0 U-KP=3.404 LeftWall_32
CHANGE Salt_21271_21259_L_0 D-KA=0.344 LeftWall_32
CHANGE Salt_21271_21259_L_0 D-KP=3.404 LeftWall_32
CHANGE Sch_21272_21260_L_0 U-FRICT=31 LeftWall_32
CHANGE Sch_21272_21260_L_0 D-FRICT=31 LeftWall_32
CHANGE Sch_21272_21260_L_0 U-KA=0.279 LeftWall_32
CHANGE Sch_21272_21260_L_0 U-KP=4.555 LeftWall_32
CHANGE Sch_21272_21260_L_0 D-KA=0.279 LeftWall_32
CHANGE Sch_21272_21260_L_0 D-KP=4.555 LeftWall_32
CHANGE rilevato_6589_8_L_0 U-COHE=0 LeftWall_32
CHANGE rilevato_6589_8_L_0 U-ADHES=0 LeftWall_32
CHANGE rilevato_6589_8_L_0 D-COHE=0 LeftWall_32
CHANGE rilevato_6589_8_L_0 D-ADHES=0 LeftWall_32
CHANGE Ala_161_6590_L_0 U-COHE=0 LeftWall_32
CHANGE Ala_161_6590_L_0 U-ADHES=0 LeftWall_32
CHANGE Ala_161_6590_L_0 D-COHE=0 LeftWall_32
CHANGE Ala_161_6590_L_0 D-ADHES=0 LeftWall_32
CHANGE Salt_21271_21259_L_0 U-COHE=10 LeftWall_32
CHANGE Salt_21271_21259_L_0 U-ADHES=0 LeftWall_32
CHANGE Salt_21271_21259_L_0 D-COHE=10 LeftWall_32
CHANGE Salt_21271_21259_L_0 D-ADHES=0 LeftWall_32
CHANGE Sch_21272_21260_L_0 U-COHE=55 LeftWall_32
CHANGE Sch_21272_21260_L_0 U-ADHES=0 LeftWall_32
CHANGE Sch_21272_21260_L_0 D-COHE=55 LeftWall_32
CHANGE Sch_21272_21260_L_0 D-ADHES=0 LeftWall_32
SETWALL LeftWall_32
GEOM -4.7 -4.7
SURCHARGE 0 0 0 0
WATER -9.5 0 -18.2 0 0
ENDSTEP
```

```
STEP 1-paratia_39155
SETWALL LeftWall_32
GEOM -4.7 -4.7
SURCHARGE 0 0 0 0
WATER -9.5 0 -18.2 0 0
ADD pali15001.7_33
ENDSTEP
```

```
STEP 2-esercizio_90561
SETWALL LeftWall_32
GEOM 0 -4.7
SURCHARGE 57 0 0 -4.7
WATER -9.5 0 -18.2 0 0
ADD muro71cm_4658
ENDSTEP
```

```
STEP 3-sisma_44110
SETWALL LeftWall_32
GEOM 0 -4.7
SURCHARGE 57 0 0 0
```

WATER -9.5 0 -18.2 0 0
ENDSTEP

8.6. Design Assumption : A1+M1+R1 (R3 per tiranti) - File di Paratie - File di output (.out)

```
+-----+  
|                PARATIEPLUS(TM)  NLS ENGINE RELEASE  2022.0.0  FULL VERSION  *Build date:Sep 13, 2021*  |  
|                |  
|                |                ParatiePlus  |  
|                |                Exe Time :28 January 2022  11:11:17  |  
+-----+
```

```
*****  
*                                                                 *  
*  PARATIE PLUS Non-Linear Spring Engine                          *  
*                                                                 *  
*          AN ELASTOPLASTIC FINITE ELEMENT PROGRAM              *  
*          FOR FLEXIBLE EARTH-RETAINING STRUCTURES               *  
*                                                                 *  
*          Written by CEAS s.r.l. (ITALY)                        *  
*          with the scientific supervision of                      *  
*          Roberto Nova - full professor SOIL MECHANICS         *  
*          at Politecnico di Milano (ITALY)                      *  
*                                                                 *  
*****  
*  RELEASE  2022.0.0  *Build date:Sep 13, 2021*                 *  
*                                                                 *  
*                                                                 *  
*  CEAS S.R.L  VIALE  GIUSTINIANO 10                             *  
*                20129  M I L A N O  (ITALIA)                   *  
*  TEL.         +39 02 2020221                                    *  
*                                                                 *  
*  email        bruno.becci@ceas.it                              *  
*  Web Page     www.ceas.it   www.paratieplus.com                *  
*****
```

JOB : ParatiePlus

STARTING

```
ACCEPTED &lt;FILE,GENW &gt;  
ACCEPTED &lt;FILE,PLOTTER,BINARY &gt;  
ACCEPTED &lt;SOLVE TOTAL_STRESS &gt;  
ACCEPTED &lt;PARAM ITEMAX 40 &gt;  
ACCEPTED &lt;CONTROL CONTACT LAGRANGE &gt;  
ACCEPTED &lt;CONTROL HINGES 0 0.0001 0.001 &gt;
```

```
*****  
*                                                                 *  
*  WARNING : PORE PRESSURES ARE AUTOMATICALLY COMPUTED         *  
*          BY THE PROGRAM.                                       *  
*****
```

PRELIMINARY OPERATIONS CPU TIME 0.00 [sec]

```

+-----+
|          PARATIEPLUS(TM)  NLS ENGINE RELEASE  2022.0.0  FULL VERSION  *Build date:Sep 13, 2021*          |
|                                                                                                                                            |
|                                                                                               ParatiePlus                                                                                   |
|                                                                                               Exe Time :28 January 2022   11:11:17                                                                 |
+-----+

```

INPUT FILE HAS BEEN GENERATED BY WALGEN PROGRAM

New Project

```

NO. OF NODAL POINTS (NUMNP) ..... 93
NO. OF COORDINATES (NCOORD)..... 2
NO. OF NODE DOFS (NDOF)..... 2
NO. OF EQUATIONS (NEQ)..... 186
NO. OF CONSTRAINTS CARDS (NVINC)..... 0
NO. OF ELEMENT GROUPS (NEG)..... 4
NO. OF SOLUTION STEPS (NSTE)..... 4
NO. OF ELEMENT SETS ATTACHED TO SLAVE NODES ... 0
NO. OF RECORD FROM WALGEN ..... 132
NO. OF LONG NAMES (LASTNAME) ..... 19
LENGTH UNIT CHOICE ..... 3 (M )
FORCE UNIT CHOICE ..... 3 (KN )
MAX PORE PRESSURE TABLE LENGTH..... 1
MAX INELASTIC DISPL. TABLE LENGTH..... 0
NO. OF ELEMENT GROUPS REQUIRING ADD. SLIP DOF . 0

```

```

IDOFA (01) = 2 Y-DISPL.F
IDOFA (02) = 4 X-ROT. F

```

RELEVANT ITEMS UNITS

```

STRESSES                kPa
Y-DISPLACEMENTS        m
ROTATIONS                RADIANS
BEAM AND SLAB MOMENTS   kN*m/m
BEAM SHEAR FORCES       kN/m
ANCHOR FORCES           kN/m
AXIAL FORCES IN TRUSSES kN/m
AXIAL FORCES SPRINGS    kN/m
Y-REACTIONS             kN/m
X-MOMENT REACTIONS      kN*m/m
ETC.

```

```

+-----+
|                PARATIEPLUS(TM)  NLS ENGINE RELEASE  2022.0.0  FULL VERSION  *Build date:Sep 13, 2021*                |
|                                                                                                                                            |
|                                                                                               ParatiePlus                                                                                               |
|                                                                                               Exe Time :28 January 2022   11:11:17                                                                                               |
+-----+

```

P R E P R O C E S S O R D A T A

N O . O F C O M M A N D S 132

```

1 : UNIT m kN
2 : TITLE New Project
3 : DELTA 0.2
4 : option param itemax 40
5 : option control contact lagrange
6 : option control hinges 0 0.0001 0.001
7 : WALL LeftWall_32 0 -18.2 0 -1
8 : SOIL 0_L LeftWall_32 -18.2 0 2 0
9 : SOIL 0_R LeftWall_32 -18.2 0 1 180
10 : LDATA rilevato_6589_8_L_0 0 LeftWall_32
11 : ATREST 0.426 0.5 1
12 : WEIGHT 20 10 10
13 : PERMEABILITY 1E-05
14 : RESISTANCE 0 35 0 0 0
15 : TZDATA LINEAR 0 0 0 0.5 0
16 : KSCALE 0 0
17 : YOUNG 50000 1.5E+05
18 : ENDL
19 : LDATA Ala_161_6590_L_0 -4.7 LeftWall_32
20 : ATREST 0.562 0.5 1
21 : WEIGHT 19.5 9.5 10
22 : PERMEABILITY 1E-05
23 : RESISTANCE 0 25 0 0 0
24 : TZDATA LINEAR 0 0 0 0.5 0
25 : KSCALE 0 0
26 : YOUNG 35000 1.05E+05
27 : ENDL
28 : LDATA Salt_21271_21259_L_0 -15.99 LeftWall_32
29 : ATREST 0.562 0.5 1
30 : WEIGHT 20 10 10
31 : PERMEABILITY 1E-05
32 : RESISTANCE 10 26 0 0 0
33 : TZDATA LINEAR 0 0 0 0.5 0
34 : KSCALE 0 0
35 : YOUNG 2E+05 6E+05
36 : ENDL
37 : LDATA Sch_21272_21260_L_0 -17.67 LeftWall_32
38 : ATREST 0.562 0.5 1
39 : WEIGHT 23 13 10
40 : PERMEABILITY 1E-05
41 : RESISTANCE 55 31 0 0 0
42 : TZDATA LINEAR 0 0 0 0.5 0
43 : KSCALE 0 0
44 : YOUNG 1.35E+05 4.05E+05
45 : ENDL
46 : MATERIAL Fe360_110 2.06E+08
47 : MATERIAL C3240_108 3.3346E+07
48 : BEAM pali15001.7_33 LeftWall_32 -18.2 -4.7 C3240_108 1.206 1.0395 0.14618 25.987 00 00 0
49 : BEAM muro71cm_4658 LeftWall_32 -4.7 0 C3240_108 0.74889 0.71 0.035 17.75 00 00 0
50 : STRIP LeftWall_32 3 4 6.7 0.37824 0 67.873 45
51 : STRIP LeftWall_32 3 4 7.0782 0.37824 0 65.158 45
52 : STRIP LeftWall_32 3 4 7.4565 0.37824 0 62.443 45
53 : STRIP LeftWall_32 3 4 7.8347 0.37824 0 59.729 45
54 : STRIP LeftWall_32 3 4 8.2129 0.37824 0 57.014 45
55 : STRIP LeftWall_32 3 4 8.5912 0.37824 0 54.299 45
56 : STRIP LeftWall_32 3 4 8.9694 0.37824 0 51.584 45
57 : STRIP LeftWall_32 3 4 9.3476 0.37824 0 48.869 45
58 : STRIP LeftWall_32 3 4 9.7259 0.37824 0 46.154 45
59 : STRIP LeftWall_32 3 4 10.104 0.37824 0 43.439 45
60 : STRIP LeftWall_32 3 4 10.482 0.37824 0 40.724 45
61 : STRIP LeftWall_32 3 4 10.861 0.37824 0 38.009 45
62 : STRIP LeftWall_32 3 4 11.239 0.37824 0 35.294 45
63 : STRIP LeftWall_32 3 4 11.617 0.37824 0 32.579 45
64 : STRIP LeftWall_32 3 4 11.995 0.37824 0 29.864 45
65 : STRIP LeftWall_32 3 4 12.374 0.37824 0 27.149 45
66 : STRIP LeftWall_32 3 4 12.752 0.37824 0 24.434 45
67 : STEP 0-Geostatica_31
68 : CHANGE rilevato_6589_8_L_0 U-FRICT=35 LeftWall_32
69 : CHANGE rilevato_6589_8_L_0 D-FRICT=35 LeftWall_32
70 : CHANGE rilevato_6589_8_L_0 U-KA=0.235 LeftWall_32
71 : CHANGE rilevato_6589_8_L_0 U-KP=5.879 LeftWall_32
72 : CHANGE rilevato_6589_8_L_0 D-KA=0.235 LeftWall_32
73 : CHANGE rilevato_6589_8_L_0 D-KP=5.879 LeftWall_32
74 : CHANGE Ala_161_6590_L_0 U-FRICT=25 LeftWall_32
75 : CHANGE Ala_161_6590_L_0 D-FRICT=25 LeftWall_32
76 : CHANGE Ala_161_6590_L_0 U-KA=0.359 LeftWall_32
77 : CHANGE Ala_161_6590_L_0 U-KP=3.222 LeftWall_32
78 : CHANGE Ala_161_6590_L_0 D-KA=0.359 LeftWall_32
79 : CHANGE Ala_161_6590_L_0 D-KP=3.222 LeftWall_32

```


80 : CHANGE Salt_21271_21259_L_0 U-FRICT=26 LeftWall_32
81 : CHANGE Salt_21271_21259_L_0 D-FRICT=26 LeftWall_32
82 : CHANGE Salt_21271_21259_L_0 U-KA=0.344 LeftWall_32
83 : CHANGE Salt_21271_21259_L_0 U-KP=3.404 LeftWall_32
84 : CHANGE Salt_21271_21259_L_0 D-KA=0.344 LeftWall_32
85 : CHANGE Salt_21271_21259_L_0 D-KP=3.404 LeftWall_32
86 : CHANGE Sch_21272_21260_L_0 U-FRICT=31 LeftWall_32
87 : CHANGE Sch_21272_21260_L_0 D-FRICT=31 LeftWall_32
88 : CHANGE Sch_21272_21260_L_0 U-KA=0.279 LeftWall_32
89 : CHANGE Sch_21272_21260_L_0 U-KP=4.555 LeftWall_32
90 : CHANGE Sch_21272_21260_L_0 D-KA=0.279 LeftWall_32
91 : CHANGE Sch_21272_21260_L_0 D-KP=4.555 LeftWall_32
92 : CHANGE rilevato_6589_8_L_0 U-COHE=0 LeftWall_32
93 : CHANGE rilevato_6589_8_L_0 U-ADHES=0 LeftWall_32
94 : CHANGE rilevato_6589_8_L_0 D-COHE=0 LeftWall_32
95 : CHANGE rilevato_6589_8_L_0 D-ADHES=0 LeftWall_32
96 : CHANGE Ala_161_6590_L_0 U-COHE=0 LeftWall_32
97 : CHANGE Ala_161_6590_L_0 U-ADHES=0 LeftWall_32
98 : CHANGE Ala_161_6590_L_0 D-COHE=0 LeftWall_32
99 : CHANGE Ala_161_6590_L_0 D-ADHES=0 LeftWall_32
100 : CHANGE Salt_21271_21259_L_0 U-COHE=10 LeftWall_32
101 : CHANGE Salt_21271_21259_L_0 U-ADHES=0 LeftWall_32
102 : CHANGE Salt_21271_21259_L_0 D-COHE=10 LeftWall_32
103 : CHANGE Salt_21271_21259_L_0 D-ADHES=0 LeftWall_32
104 : CHANGE Sch_21272_21260_L_0 U-COHE=55 LeftWall_32
105 : CHANGE Sch_21272_21260_L_0 U-ADHES=0 LeftWall_32
106 : CHANGE Sch_21272_21260_L_0 D-COHE=55 LeftWall_32
107 : CHANGE Sch_21272_21260_L_0 D-ADHES=0 LeftWall_32
108 : SETWALL LeftWall_32
109 : GEOM -4.7 -4.7
110 : SURCHARGE 0 0 0 0
111 : WATER -9.5 0 -18.2 0 0
112 : ENDSTEP
113 : STEP 1-paratia_39155
114 : SETWALL LeftWall_32
115 : GEOM -4.7 -4.7
116 : SURCHARGE 0 0 0 0
117 : WATER -9.5 0 -18.2 0 0
118 : ADD pali15001.7_33
119 : ENDSTEP
120 : STEP 2-esercizio_90561
121 : SETWALL LeftWall_32
122 : GEOM 0 -4.7
123 : SURCHARGE 57 0 0 -4.7
124 : WATER -9.5 0 -18.2 0 0
125 : ADD muro71cm_4658
126 : ENDSTEP
127 : STEP 3-sisma_44110
128 : SETWALL LeftWall_32
129 : GEOM 0 -4.7
130 : SURCHARGE 57 0 0 0
131 : WATER -9.5 0 -18.2 0 0
132 : ENDSTEP

```

+-----+
|          PARATIEPLUS(TM)  NLS ENGINE RELEASE  2022.0.0  FULL VERSION  *Build date:Sep 13, 2021*          |
|                                                                                                                                            |
|                                                                                               ParatiePlus                               |
|                                                                                               Exe Time :28 January 2022   11:11:17          |
+-----+

```

N O D A L P O I N T D A T A

NODE	Y-COORD	Z-COORD /	NODE	Y-COORD	Z-COORD /	NODE	Y-COORD	Z-COORD /	NODE	Y-COORD	Z-COORD /				
1	0.0000	0.0000	/	2	0.0000	-0.20000	/	3	0.0000	-0.40000	/	4	0.0000	-0.60000	/
5	0.0000	-0.80000	/	6	0.0000	-1.0000	/	7	0.0000	-1.2000	/	8	0.0000	-1.4000	/
9	0.0000	-1.6000	/	10	0.0000	-1.8000	/	11	0.0000	-2.0000	/	12	0.0000	-2.2000	/
13	0.0000	-2.4000	/	14	0.0000	-2.6000	/	15	0.0000	-2.8000	/	16	0.0000	-3.0000	/
17	0.0000	-3.2000	/	18	0.0000	-3.4000	/	19	0.0000	-3.6000	/	20	0.0000	-3.8000	/
21	0.0000	-4.0000	/	22	0.0000	-4.2000	/	23	0.0000	-4.4000	/	24	0.0000	-4.6000	/
25	0.0000	-4.7000	/	26	0.0000	-4.9000	/	27	0.0000	-5.1000	/	28	0.0000	-5.3000	/
29	0.0000	-5.5000	/	30	0.0000	-5.7000	/	31	0.0000	-5.9000	/	32	0.0000	-6.1000	/
33	0.0000	-6.3000	/	34	0.0000	-6.5000	/	35	0.0000	-6.7000	/	36	0.0000	-6.9000	/
37	0.0000	-7.1000	/	38	0.0000	-7.3000	/	39	0.0000	-7.5000	/	40	0.0000	-7.7000	/
41	0.0000	-7.9000	/	42	0.0000	-8.1000	/	43	0.0000	-8.3000	/	44	0.0000	-8.5000	/
45	0.0000	-8.7000	/	46	0.0000	-8.9000	/	47	0.0000	-9.1000	/	48	0.0000	-9.3000	/
49	0.0000	-9.5000	/	50	0.0000	-9.7000	/	51	0.0000	-9.9000	/	52	0.0000	-10.100	/
53	0.0000	-10.300	/	54	0.0000	-10.500	/	55	0.0000	-10.700	/	56	0.0000	-10.900	/
57	0.0000	-11.100	/	58	0.0000	-11.300	/	59	0.0000	-11.500	/	60	0.0000	-11.700	/
61	0.0000	-11.900	/	62	0.0000	-12.100	/	63	0.0000	-12.300	/	64	0.0000	-12.500	/
65	0.0000	-12.700	/	66	0.0000	-12.900	/	67	0.0000	-13.100	/	68	0.0000	-13.300	/
69	0.0000	-13.500	/	70	0.0000	-13.700	/	71	0.0000	-13.900	/	72	0.0000	-14.100	/
73	0.0000	-14.300	/	74	0.0000	-14.500	/	75	0.0000	-14.700	/	76	0.0000	-14.900	/
77	0.0000	-15.100	/	78	0.0000	-15.300	/	79	0.0000	-15.500	/	80	0.0000	-15.700	/
81	0.0000	-15.900	/	82	0.0000	-16.100	/	83	0.0000	-16.300	/	84	0.0000	-16.500	/
85	0.0000	-16.700	/	86	0.0000	-16.900	/	87	0.0000	-17.100	/	88	0.0000	-17.300	/
89	0.0000	-17.500	/	90	0.0000	-17.700	/	91	0.0000	-17.900	/	92	0.0000	-18.100	/
93	0.0000	-18.200	/												

38	38	2	0.2000	0.000	0.000	0.000	2.000
39	39	2	0.2000	0.000	0.000	0.000	2.000
40	40	2	0.2000	0.000	0.000	0.000	2.000
41	41	2	0.2000	0.000	0.000	0.000	2.000
42	42	2	0.2000	0.000	0.000	0.000	2.000
43	43	2	0.2000	0.000	0.000	0.000	2.000
44	44	2	0.2000	0.000	0.000	0.000	2.000
45	45	2	0.2000	0.000	0.000	0.000	2.000
46	46	2	0.2000	0.000	0.000	0.000	2.000
47	47	2	0.2000	0.000	0.000	0.000	2.000
48	48	2	0.2000	0.000	0.000	0.000	2.000
49	49	2	0.2000	0.000	0.000	0.000	2.000
50	50	2	0.2000	0.000	0.000	0.000	2.000
51	51	2	0.2000	0.000	0.000	0.000	2.000
52	52	2	0.2000	0.000	0.000	0.000	2.000
53	53	2	0.2000	0.000	0.000	0.000	2.000
54	54	2	0.2000	0.000	0.000	0.000	2.000
55	55	2	0.2000	0.000	0.000	0.000	2.000
56	56	2	0.2000	0.000	0.000	0.000	2.000
57	57	2	0.2000	0.000	0.000	0.000	2.000
58	58	2	0.2000	0.000	0.000	0.000	2.000
59	59	2	0.2000	0.000	0.000	0.000	2.000
60	60	2	0.2000	0.000	0.000	0.000	2.000
61	61	2	0.2000	0.000	0.000	0.000	2.000
62	62	2	0.2000	0.000	0.000	0.000	2.000
63	63	2	0.2000	0.000	0.000	0.000	2.000
64	64	2	0.2000	0.000	0.000	0.000	2.000
65	65	2	0.2000	0.000	0.000	0.000	2.000
66	66	2	0.2000	0.000	0.000	0.000	2.000
67	67	2	0.2000	0.000	0.000	0.000	2.000
68	68	2	0.2000	0.000	0.000	0.000	2.000
69	69	2	0.2000	0.000	0.000	0.000	2.000
70	70	2	0.2000	0.000	0.000	0.000	2.000
71	71	2	0.2000	0.000	0.000	0.000	2.000
72	72	2	0.2000	0.000	0.000	0.000	2.000
73	73	2	0.2000	0.000	0.000	0.000	2.000
74	74	2	0.2000	0.000	0.000	0.000	2.000
75	75	2	0.2000	0.000	0.000	0.000	2.000
76	76	2	0.2000	0.000	0.000	0.000	2.000
77	77	2	0.2000	0.000	0.000	0.000	2.000
78	78	2	0.2000	0.000	0.000	0.000	2.000
79	79	2	0.2000	0.000	0.000	0.000	2.000
80	80	2	0.2000	0.000	0.000	0.000	2.000
81	81	2	0.2000	0.000	0.000	0.000	2.000
82	82	3	0.2000	0.000	0.000	0.000	2.000
83	83	3	0.2000	0.000	0.000	0.000	2.000
84	84	3	0.2000	0.000	0.000	0.000	2.000
85	85	3	0.2000	0.000	0.000	0.000	2.000
86	86	3	0.2000	0.000	0.000	0.000	2.000
87	87	3	0.2000	0.000	0.000	0.000	2.000
88	88	3	0.2000	0.000	0.000	0.000	2.000
89	89	3	0.2000	0.000	0.000	0.000	2.000
90	90	4	0.2000	0.000	0.000	0.000	2.000
91	91	4	0.2000	0.000	0.000	0.000	2.000
92	92	4	0.1500	0.000	0.000	0.000	2.000
93	93	4	0.5000E-01	0.000	0.000	0.000	2.000

```

+-----+
|          PARATIEPLUS(TM)  NLS ENGINE RELEASE  2022.0.0  FULL VERSION  *Build date:Sep 13, 2021*          |
|                                                                                                                                            |
|                                                                                               ParatiePlus                               |
|                                                                                               Exe Time :28 January 2022   11:11:17          |
+-----+

```

ELEMENT GROUP NO. 2

0_R :
5 93 0 1 0 0 0 0 0 0 0 0 0 0 0 0 4 0 0 0 0

.....2D PLASTIC SOIL

element group behaviour throughout stage analysis

stage status

- 1 active
- 2 active
- 3 active
- 4 active

material set no. 1

prop(1) angle 180.000
prop(2) layer as foreseen 1.00000

material set no. 2

prop(1) angle 180.000
prop(2) layer as foreseen 2.00000

material set no. 3

prop(1) angle 180.000
prop(2) layer as foreseen 3.00000

material set no. 4

prop(1) angle 180.000
prop(2) layer as foreseen 4.00000

element data

el	n	mat	area	flag
1	1	1	0.1000	0.000	0.000	0.000	1.000
2	2	1	0.2000	0.000	0.000	0.000	1.000
3	3	1	0.2000	0.000	0.000	0.000	1.000
4	4	1	0.2000	0.000	0.000	0.000	1.000
5	5	1	0.2000	0.000	0.000	0.000	1.000
6	6	1	0.2000	0.000	0.000	0.000	1.000
7	7	1	0.2000	0.000	0.000	0.000	1.000
8	8	1	0.2000	0.000	0.000	0.000	1.000
9	9	1	0.2000	0.000	0.000	0.000	1.000
10	10	1	0.2000	0.000	0.000	0.000	1.000
11	11	1	0.2000	0.000	0.000	0.000	1.000
12	12	1	0.2000	0.000	0.000	0.000	1.000
13	13	1	0.2000	0.000	0.000	0.000	1.000
14	14	1	0.2000	0.000	0.000	0.000	1.000
15	15	1	0.2000	0.000	0.000	0.000	1.000
16	16	1	0.2000	0.000	0.000	0.000	1.000
17	17	1	0.2000	0.000	0.000	0.000	1.000
18	18	1	0.2000	0.000	0.000	0.000	1.000
19	19	1	0.2000	0.000	0.000	0.000	1.000
20	20	1	0.2000	0.000	0.000	0.000	1.000
21	21	1	0.2000	0.000	0.000	0.000	1.000
22	22	1	0.2000	0.000	0.000	0.000	1.000
23	23	1	0.2000	0.000	0.000	0.000	1.000
24	24	1	0.1500	0.000	0.000	0.000	1.000
25	25	2	0.1500	0.000	0.000	0.000	1.000
26	26	2	0.2000	0.000	0.000	0.000	1.000
27	27	2	0.2000	0.000	0.000	0.000	1.000
28	28	2	0.2000	0.000	0.000	0.000	1.000
29	29	2	0.2000	0.000	0.000	0.000	1.000
30	30	2	0.2000	0.000	0.000	0.000	1.000
31	31	2	0.2000	0.000	0.000	0.000	1.000
32	32	2	0.2000	0.000	0.000	0.000	1.000
33	33	2	0.2000	0.000	0.000	0.000	1.000
34	34	2	0.2000	0.000	0.000	0.000	1.000
35	35	2	0.2000	0.000	0.000	0.000	1.000
36	36	2	0.2000	0.000	0.000	0.000	1.000
37	37	2	0.2000	0.000	0.000	0.000	1.000

38	38	2	0.2000	0.000	0.000	0.000	1.000
39	39	2	0.2000	0.000	0.000	0.000	1.000
40	40	2	0.2000	0.000	0.000	0.000	1.000
41	41	2	0.2000	0.000	0.000	0.000	1.000
42	42	2	0.2000	0.000	0.000	0.000	1.000
43	43	2	0.2000	0.000	0.000	0.000	1.000
44	44	2	0.2000	0.000	0.000	0.000	1.000
45	45	2	0.2000	0.000	0.000	0.000	1.000
46	46	2	0.2000	0.000	0.000	0.000	1.000
47	47	2	0.2000	0.000	0.000	0.000	1.000
48	48	2	0.2000	0.000	0.000	0.000	1.000
49	49	2	0.2000	0.000	0.000	0.000	1.000
50	50	2	0.2000	0.000	0.000	0.000	1.000
51	51	2	0.2000	0.000	0.000	0.000	1.000
52	52	2	0.2000	0.000	0.000	0.000	1.000
53	53	2	0.2000	0.000	0.000	0.000	1.000
54	54	2	0.2000	0.000	0.000	0.000	1.000
55	55	2	0.2000	0.000	0.000	0.000	1.000
56	56	2	0.2000	0.000	0.000	0.000	1.000
57	57	2	0.2000	0.000	0.000	0.000	1.000
58	58	2	0.2000	0.000	0.000	0.000	1.000
59	59	2	0.2000	0.000	0.000	0.000	1.000
60	60	2	0.2000	0.000	0.000	0.000	1.000
61	61	2	0.2000	0.000	0.000	0.000	1.000
62	62	2	0.2000	0.000	0.000	0.000	1.000
63	63	2	0.2000	0.000	0.000	0.000	1.000
64	64	2	0.2000	0.000	0.000	0.000	1.000
65	65	2	0.2000	0.000	0.000	0.000	1.000
66	66	2	0.2000	0.000	0.000	0.000	1.000
67	67	2	0.2000	0.000	0.000	0.000	1.000
68	68	2	0.2000	0.000	0.000	0.000	1.000
69	69	2	0.2000	0.000	0.000	0.000	1.000
70	70	2	0.2000	0.000	0.000	0.000	1.000
71	71	2	0.2000	0.000	0.000	0.000	1.000
72	72	2	0.2000	0.000	0.000	0.000	1.000
73	73	2	0.2000	0.000	0.000	0.000	1.000
74	74	2	0.2000	0.000	0.000	0.000	1.000
75	75	2	0.2000	0.000	0.000	0.000	1.000
76	76	2	0.2000	0.000	0.000	0.000	1.000
77	77	2	0.2000	0.000	0.000	0.000	1.000
78	78	2	0.2000	0.000	0.000	0.000	1.000
79	79	2	0.2000	0.000	0.000	0.000	1.000
80	80	2	0.2000	0.000	0.000	0.000	1.000
81	81	2	0.2000	0.000	0.000	0.000	1.000
82	82	3	0.2000	0.000	0.000	0.000	1.000
83	83	3	0.2000	0.000	0.000	0.000	1.000
84	84	3	0.2000	0.000	0.000	0.000	1.000
85	85	3	0.2000	0.000	0.000	0.000	1.000
86	86	3	0.2000	0.000	0.000	0.000	1.000
87	87	3	0.2000	0.000	0.000	0.000	1.000
88	88	3	0.2000	0.000	0.000	0.000	1.000
89	89	3	0.2000	0.000	0.000	0.000	1.000
90	90	4	0.2000	0.000	0.000	0.000	1.000
91	91	4	0.2000	0.000	0.000	0.000	1.000
92	92	4	0.1500	0.000	0.000	0.000	1.000
93	93	4	0.5000E-01	0.000	0.000	0.000	1.000

46	70	71	1	0.000	0.000	1.206	1.040	0.1462	25.99	0.000	0.000
47	71	72	1	0.000	0.000	1.206	1.040	0.1462	25.99	0.000	0.000
48	72	73	1	0.000	0.000	1.206	1.040	0.1462	25.99	0.000	0.000
49	73	74	1	0.000	0.000	1.206	1.040	0.1462	25.99	0.000	0.000
50	74	75	1	0.000	0.000	1.206	1.040	0.1462	25.99	0.000	0.000
51	75	76	1	0.000	0.000	1.206	1.040	0.1462	25.99	0.000	0.000
52	76	77	1	0.000	0.000	1.206	1.040	0.1462	25.99	0.000	0.000
53	77	78	1	0.000	0.000	1.206	1.040	0.1462	25.99	0.000	0.000
54	78	79	1	0.000	0.000	1.206	1.040	0.1462	25.99	0.000	0.000
55	79	80	1	0.000	0.000	1.206	1.040	0.1462	25.99	0.000	0.000
56	80	81	1	0.000	0.000	1.206	1.040	0.1462	25.99	0.000	0.000
57	81	82	1	0.000	0.000	1.206	1.040	0.1462	25.99	0.000	0.000
58	82	83	1	0.000	0.000	1.206	1.040	0.1462	25.99	0.000	0.000
59	83	84	1	0.000	0.000	1.206	1.040	0.1462	25.99	0.000	0.000
60	84	85	1	0.000	0.000	1.206	1.040	0.1462	25.99	0.000	0.000
61	85	86	1	0.000	0.000	1.206	1.040	0.1462	25.99	0.000	0.000
62	86	87	1	0.000	0.000	1.206	1.040	0.1462	25.99	0.000	0.000
63	87	88	1	0.000	0.000	1.206	1.040	0.1462	25.99	0.000	0.000
64	88	89	1	0.000	0.000	1.206	1.040	0.1462	25.99	0.000	0.000
65	89	90	1	0.000	0.000	1.206	1.040	0.1462	25.99	0.000	0.000
66	90	91	1	0.000	0.000	1.206	1.040	0.1462	25.99	0.000	0.000
67	91	92	1	0.000	0.000	1.206	1.040	0.1462	25.99	0.000	0.000
68	92	93	1	0.000	0.000	1.206	1.040	0.1462	25.99	0.000	0.000


```
+-----+
|          PARATIEPLUS(TM)  NLS ENGINE RELEASE 2022.0.0 FULL VERSION *Build date:Sep 13, 2021*          |
|                                                                                                                                            |
|                                                                                               ParatiePlus                               |
|                                                                                               Exe Time :28 January 2022  11:11:17          |
+-----+
```

```
NO. OF NODAL LOADS (NLOAD) ..... 0
NO. OF LOAD CURVES (NLCUR) ..... 8
MAXIMUM POINTS/LCURVE (NPTM)..... 5
```

```

+-----+
|          PARATIEPLUS(TM)  NLS ENGINE RELEASE  2022.0.0  FULL VERSION  *Build date:Sep 13, 2021*          |
|                                                                                                                                            |
|                                                                                               ParatiePlus                               |
|                                                                                               Exe Time :28 January 2022   11:11:17          |
+-----+

```

L O A D D A T A

```

LOAD FUNCTION NUMBER = 1
NUMBER OF TIME POINTS = 5

```

TIME VALUE	FUNCTION
0.00000	0.0000E+00
0.80000	0.0000E+00
1.00000	0.1000E+01
1.20000	0.0000E+00
5.00000	0.0000E+00

```

LOAD FUNCTION NUMBER = 2
NUMBER OF TIME POINTS = 5

```

TIME VALUE	FUNCTION
0.00000	0.0000E+00
1.80000	0.0000E+00
2.00000	0.1000E+01
2.20000	0.0000E+00
5.00000	0.0000E+00

```

LOAD FUNCTION NUMBER = 3
NUMBER OF TIME POINTS = 5

```

TIME VALUE	FUNCTION
0.00000	0.0000E+00
2.80000	0.0000E+00
3.00000	0.1000E+01
3.20000	0.0000E+00
5.00000	0.0000E+00

```

LOAD FUNCTION NUMBER = 4
NUMBER OF TIME POINTS = 5

```

TIME VALUE	FUNCTION
0.00000	0.0000E+00
3.80000	0.0000E+00
4.00000	0.1000E+01
4.20000	0.0000E+00
5.00000	0.0000E+00

```

LOAD FUNCTION NUMBER = 5
NUMBER OF TIME POINTS = 4

```

TIME VALUE	FUNCTION
0.00000	0.0000E+00
0.80000	0.0000E+00
1.00000	0.1000E+01
5.00000	0.1000E+01

```

LOAD FUNCTION NUMBER = 6
NUMBER OF TIME POINTS = 4

```

TIME VALUE	FUNCTION
0.00000	0.0000E+00
1.80000	0.0000E+00
2.00000	0.1000E+01
5.00000	0.1000E+01

```

LOAD FUNCTION NUMBER = 7
NUMBER OF TIME POINTS = 4

```

TIME VALUE	FUNCTION
0.00000	0.0000E+00
2.80000	0.0000E+00
3.00000	0.1000E+01
5.00000	0.1000E+01

LOAD FUNCTION NUMBER = 8
NUMBER OF TIME POINTS = 4

TIME VALUE	FUNCTION
0.00000	0.0000E+00
3.80000	0.0000E+00
4.00000	0.1000E+01
5.00000	0.1000E+01

NO. OF DISTRIBUTED LOAD CARDS 0

```

+-----+
|          PARATIEPLUS(TM)  NLS ENGINE RELEASE  2022.0.0  FULL VERSION  *Build date:Sep 13, 2021*          |
|                                                                                                                                            |
|                                                                                               ParatiePlus                               |
|                                                                                               Exe Time :28 January 2022   11:11:17          |
+-----+

```

```

L O A D      B A L A N C E

STEP  1  TOTAL APPLIED LOAD IN DIR.  2  Y-DISPL.F          0.0000000
STEP  1  TOTAL APPLIED LOAD IN DIR.  4  X-ROT. F           0.0000000

STEP  2  TOTAL APPLIED LOAD IN DIR.  2  Y-DISPL.F          0.0000000
STEP  2  TOTAL APPLIED LOAD IN DIR.  4  X-ROT. F           0.0000000

STEP  3  TOTAL APPLIED LOAD IN DIR.  2  Y-DISPL.F          0.0000000
STEP  3  TOTAL APPLIED LOAD IN DIR.  4  X-ROT. F           0.0000000

STEP  4  TOTAL APPLIED LOAD IN DIR.  2  Y-DISPL.F          0.0000000
STEP  4  TOTAL APPLIED LOAD IN DIR.  4  X-ROT. F           0.0000000

```

LOAD INPUT SECTION COMPLETED

```
+-----+
|          PARATIEPLUS(TM)  NLS ENGINE RELEASE  2022.0.0  FULL VERSION  *Build date:Sep 13, 2021*          |
|                                                                                                                                            |
|                                                                                               ParatiePlus                               |
|                                                                                               Exe Time :28 January 2022   11:11:17           |
+-----+
```

```
NO. OF LAYERS ..... 4
NO. OF DATA PER LAYER..... 160
```

```

+-----+
|                PARATIEPLUS(TM)  NLS ENGINE RELEASE  2022.0.0  FULL VERSION  *Build date:Sep 13, 2021*                |
|                                                                                                                                            |
|                                                                                               ParatiePlus                                                                                               |
|                                                                                               Exe Time :28 January 2022   11:11:17                                                                                               |
+-----+

```

LAYER DESCRIPTORS FOR STEP NO. 1

NON ZERO LAYER DESCRIPTORS FOR LAYER NO. 1 FOR STEP NO. 1

```

ITEM NO.  1&lt;NAME      &gt;= 12.000    (BOTH WALLS)
ITEM NO.  2&lt;NATURE   &gt;=  1.0000   (BOTH WALLS)
ITEM NO.  3&lt;LEVEL    &gt;=  0.0000   (BOTH WALLS)
ITEM NO.  4&lt;WALL     &gt;=  1.0000   (BOTH WALLS)
ITEM NO.  5&lt;GAMMAD   &gt;= 20.000    (BOTH WALLS)
ITEM NO.  6&lt;GAMMAB   &gt;= 10.000    (BOTH WALLS)
ITEM NO.  7&lt;GAMMAW   &gt;= 10.000    (BOTH WALLS)
ITEM NO.  9&lt;U-FRICT  &gt;= 35.000    (BOTH WALLS)
ITEM NO. 10&lt;U-KA     &gt;= 0.23500   WALL NO.      1
ITEM NO. 11&lt;U-KP     &gt;=  5.8790   WALL NO.      1
ITEM NO. 12&lt;K0-NC    &gt;= 0.42600   (BOTH WALLS)
ITEM NO. 13&lt;NEXP     &gt;= 0.50000   (BOTH WALLS)
ITEM NO. 14&lt;OCR      &gt;=  1.0000   (BOTH WALLS)
ITEM NO. 16&lt;MODEL    &gt;=  1.0000   (BOTH WALLS)
ITEM NO. 17&lt;EVC      &gt;= 50000.    (BOTH WALLS)
ITEM NO. 18&lt;EUR      &gt;= 0.15000E+06 (BOTH WALLS)
ITEM NO. 27&lt;U-PERM   &gt;= 0.10000E-04 (BOTH WALLS)
ITEM NO. 61&lt;U-TZALPH&gt;= 0.50000   (BOTH WALLS)
ITEM NO. 82&lt;D-NATURE&gt;=  1.0000   (BOTH WALLS)
ITEM NO. 83&lt;D-LEVEL  &gt;=  0.0000   (BOTH WALLS)
ITEM NO. 89&lt;D-FRICT  &gt;= 35.000    (BOTH WALLS)
ITEM NO. 90&lt;D-KA     &gt;= 0.23500   WALL NO.      1
ITEM NO. 91&lt;D-KP     &gt;=  5.8790   WALL NO.      1
ITEM NO. 107&lt;D-PERM  &gt;= 0.10000E-04 (BOTH WALLS)
ITEM NO. 141&lt;D-TZALPH&gt;= 0.50000   (BOTH WALLS)

```

NON ZERO LAYER DESCRIPTORS FOR LAYER NO. 2 FOR STEP NO. 1

```

ITEM NO.  1&lt;NAME      &gt;= 13.000    (BOTH WALLS)
ITEM NO.  2&lt;NATURE   &gt;=  1.0000   (BOTH WALLS)
ITEM NO.  3&lt;LEVEL    &gt;= -4.7000   (BOTH WALLS)
ITEM NO.  4&lt;WALL     &gt;=  1.0000   (BOTH WALLS)
ITEM NO.  5&lt;GAMMAD   &gt;= 19.500    (BOTH WALLS)
ITEM NO.  6&lt;GAMMAB   &gt;=  9.5000   (BOTH WALLS)
ITEM NO.  7&lt;GAMMAW   &gt;= 10.000    (BOTH WALLS)
ITEM NO.  9&lt;U-FRICT  &gt;= 25.000    (BOTH WALLS)
ITEM NO. 10&lt;U-KA     &gt;= 0.35900   WALL NO.      1
ITEM NO. 11&lt;U-KP     &gt;=  3.2220   WALL NO.      1
ITEM NO. 12&lt;K0-NC    &gt;= 0.56200   (BOTH WALLS)
ITEM NO. 13&lt;NEXP     &gt;= 0.50000   (BOTH WALLS)
ITEM NO. 14&lt;OCR      &gt;=  1.0000   (BOTH WALLS)
ITEM NO. 16&lt;MODEL    &gt;=  1.0000   (BOTH WALLS)
ITEM NO. 17&lt;EVC      &gt;= 35000.    (BOTH WALLS)
ITEM NO. 18&lt;EUR      &gt;= 0.10500E+06 (BOTH WALLS)
ITEM NO. 27&lt;U-PERM   &gt;= 0.10000E-04 (BOTH WALLS)
ITEM NO. 61&lt;U-TZALPH&gt;= 0.50000   (BOTH WALLS)
ITEM NO. 82&lt;D-NATURE&gt;=  1.0000   (BOTH WALLS)
ITEM NO. 83&lt;D-LEVEL  &gt;=  0.0000   (BOTH WALLS)
ITEM NO. 89&lt;D-FRICT  &gt;= 25.000    (BOTH WALLS)
ITEM NO. 90&lt;D-KA     &gt;= 0.35900   WALL NO.      1
ITEM NO. 91&lt;D-KP     &gt;=  3.2220   WALL NO.      1
ITEM NO. 107&lt;D-PERM  &gt;= 0.10000E-04 (BOTH WALLS)
ITEM NO. 141&lt;D-TZALPH&gt;= 0.50000   (BOTH WALLS)

```

NON ZERO LAYER DESCRIPTORS FOR LAYER NO. 3 FOR STEP NO. 1

```

ITEM NO.  1&lt;NAME      &gt;= 14.000    (BOTH WALLS)
ITEM NO.  2&lt;NATURE   &gt;=  1.0000   (BOTH WALLS)
ITEM NO.  3&lt;LEVEL    &gt;= -15.990   (BOTH WALLS)
ITEM NO.  4&lt;WALL     &gt;=  1.0000   (BOTH WALLS)
ITEM NO.  5&lt;GAMMAD   &gt;= 20.000    (BOTH WALLS)
ITEM NO.  6&lt;GAMMAB   &gt;= 10.000    (BOTH WALLS)
ITEM NO.  7&lt;GAMMAW   &gt;= 10.000    (BOTH WALLS)
ITEM NO.  8&lt;U-COHE   &gt;= 10.000    (BOTH WALLS)
ITEM NO.  9&lt;U-FRICT  &gt;= 26.000    (BOTH WALLS)
ITEM NO. 10&lt;U-KA     &gt;= 0.34400   WALL NO.      1
ITEM NO. 11&lt;U-KP     &gt;=  3.4040   WALL NO.      1
ITEM NO. 12&lt;K0-NC    &gt;= 0.56200   (BOTH WALLS)
ITEM NO. 13&lt;NEXP     &gt;= 0.50000   (BOTH WALLS)
ITEM NO. 14&lt;OCR      &gt;=  1.0000   (BOTH WALLS)
ITEM NO. 16&lt;MODEL    &gt;=  1.0000   (BOTH WALLS)
ITEM NO. 17&lt;EVC      &gt;= 0.20000E+06 (BOTH WALLS)
ITEM NO. 18&lt;EUR      &gt;= 0.60000E+06 (BOTH WALLS)
ITEM NO. 27&lt;U-PERM   &gt;= 0.10000E-04 (BOTH WALLS)
ITEM NO. 61&lt;U-TZALPH&gt;= 0.50000   (BOTH WALLS)
ITEM NO. 82&lt;D-NATURE&gt;=  1.0000   (BOTH WALLS)
ITEM NO. 83&lt;D-LEVEL  &gt;=  0.0000   (BOTH WALLS)

```

ITEM NO. 88<D-COHE >= 10.000 (BOTH WALLS)
ITEM NO. 89<D-FRICT >= 26.000 (BOTH WALLS)
ITEM NO. 90<D-KA >= 0.34400 WALL NO. 1
ITEM NO. 91<D-KP >= 3.4040 WALL NO. 1
ITEM NO. 107<D-PERM >= 0.10000E-04 (BOTH WALLS)
ITEM NO. 141<D-TZALPH>= 0.50000 (BOTH WALLS)

NON ZERO LAYER DESCRIPTORS FOR LAYER NO. 4 FOR STEP NO. 1

ITEM NO. 1<NAME >= 15.000 (BOTH WALLS)
ITEM NO. 2<NATURE >= 1.0000 (BOTH WALLS)
ITEM NO. 3<LEVEL >= -17.670 (BOTH WALLS)
ITEM NO. 4<WALL >= 1.0000 (BOTH WALLS)
ITEM NO. 5<GAMMAD >= 23.000 (BOTH WALLS)
ITEM NO. 6<GAMMAB >= 13.000 (BOTH WALLS)
ITEM NO. 7<GAMMAW >= 10.000 (BOTH WALLS)
ITEM NO. 8<D-COHE >= 55.000 (BOTH WALLS)
ITEM NO. 9<U-FRICT >= 31.000 (BOTH WALLS)
ITEM NO. 10<U-KA >= 0.27900 WALL NO. 1
ITEM NO. 11<U-KP >= 4.5550 WALL NO. 1
ITEM NO. 12<K0-NC >= 0.56200 (BOTH WALLS)
ITEM NO. 13<NEXP >= 0.50000 (BOTH WALLS)
ITEM NO. 14<OCR >= 1.0000 (BOTH WALLS)
ITEM NO. 16<MODEL >= 1.0000 (BOTH WALLS)
ITEM NO. 17<EVC >= 0.13500E+06 (BOTH WALLS)
ITEM NO. 18<EUR >= 0.40500E+06 (BOTH WALLS)
ITEM NO. 27<U-PERM >= 0.10000E-04 (BOTH WALLS)
ITEM NO. 61<U-TZALPH>= 0.50000 (BOTH WALLS)
ITEM NO. 82<D-NATURE>= 1.0000 (BOTH WALLS)
ITEM NO. 83<D-LEVEL >= 0.0000 (BOTH WALLS)
ITEM NO. 88<D-COHE >= 55.000 (BOTH WALLS)
ITEM NO. 89<D-FRICT >= 31.000 (BOTH WALLS)
ITEM NO. 90<D-KA >= 0.27900 WALL NO. 1
ITEM NO. 91<D-KP >= 4.5550 WALL NO. 1
ITEM NO. 107<D-PERM >= 0.10000E-04 (BOTH WALLS)
ITEM NO. 141<D-TZALPH>= 0.50000 (BOTH WALLS)

LAYER DESCRIPTORS FOR STEP NO. 2

NON ZERO LAYER DESCRIPTORS FOR LAYER NO. 1 FOR STEP NO. 2

ITEM NO. 1<NAME >= 12.000 (BOTH WALLS)
ITEM NO. 2<NATURE >= 1.0000 (BOTH WALLS)
ITEM NO. 3<LEVEL >= 0.0000 (BOTH WALLS)
ITEM NO. 4<WALL >= 1.0000 (BOTH WALLS)
ITEM NO. 5<GAMMAD >= 20.000 (BOTH WALLS)
ITEM NO. 6<GAMMAB >= 10.000 (BOTH WALLS)
ITEM NO. 7<GAMMAW >= 10.000 (BOTH WALLS)
ITEM NO. 9<U-FRICT >= 35.000 (BOTH WALLS)
ITEM NO. 10<U-KA >= 0.23500 WALL NO. 1
ITEM NO. 11<U-KP >= 5.8790 WALL NO. 1
ITEM NO. 12<K0-NC >= 0.42600 (BOTH WALLS)
ITEM NO. 13<NEXP >= 0.50000 (BOTH WALLS)
ITEM NO. 14<OCR >= 1.0000 (BOTH WALLS)
ITEM NO. 16<MODEL >= 1.0000 (BOTH WALLS)
ITEM NO. 17<EVC >= 50000. (BOTH WALLS)
ITEM NO. 18<EUR >= 0.15000E+06 (BOTH WALLS)
ITEM NO. 27<U-PERM >= 0.10000E-04 (BOTH WALLS)
ITEM NO. 61<U-TZALPH>= 0.50000 (BOTH WALLS)
ITEM NO. 82<D-NATURE>= 1.0000 (BOTH WALLS)
ITEM NO. 83<D-LEVEL >= 0.0000 (BOTH WALLS)
ITEM NO. 89<D-FRICT >= 35.000 (BOTH WALLS)
ITEM NO. 90<D-KA >= 0.23500 WALL NO. 1
ITEM NO. 91<D-KP >= 5.8790 WALL NO. 1
ITEM NO. 107<D-PERM >= 0.10000E-04 (BOTH WALLS)
ITEM NO. 141<D-TZALPH>= 0.50000 (BOTH WALLS)

NON ZERO LAYER DESCRIPTORS FOR LAYER NO. 2 FOR STEP NO. 2

ITEM NO. 1<NAME >= 13.000 (BOTH WALLS)
ITEM NO. 2<NATURE >= 1.0000 (BOTH WALLS)
ITEM NO. 3<LEVEL >= -4.7000 (BOTH WALLS)
ITEM NO. 4<WALL >= 1.0000 (BOTH WALLS)
ITEM NO. 5<GAMMAD >= 19.500 (BOTH WALLS)
ITEM NO. 6<GAMMAB >= 9.5000 (BOTH WALLS)
ITEM NO. 7<GAMMAW >= 10.000 (BOTH WALLS)
ITEM NO. 9<U-FRICT >= 25.000 (BOTH WALLS)
ITEM NO. 10<U-KA >= 0.35900 WALL NO. 1
ITEM NO. 11<U-KP >= 3.2220 WALL NO. 1
ITEM NO. 12<K0-NC >= 0.56200 (BOTH WALLS)
ITEM NO. 13<NEXP >= 0.50000 (BOTH WALLS)
ITEM NO. 14<OCR >= 1.0000 (BOTH WALLS)
ITEM NO. 16<MODEL >= 1.0000 (BOTH WALLS)
ITEM NO. 17<EVC >= 35000. (BOTH WALLS)
ITEM NO. 18<EUR >= 0.10500E+06 (BOTH WALLS)
ITEM NO. 27<U-PERM >= 0.10000E-04 (BOTH WALLS)
ITEM NO. 61<U-TZALPH>= 0.50000 (BOTH WALLS)
ITEM NO. 82<D-NATURE>= 1.0000 (BOTH WALLS)
ITEM NO. 83<D-LEVEL >= 0.0000 (BOTH WALLS)
ITEM NO. 89<D-FRICT >= 25.000 (BOTH WALLS)
ITEM NO. 90<D-KA >= 0.35900 WALL NO. 1

ITEM NO. 91<D-KP >= 3.2220 WALL NO. 1
 ITEM NO. 107<D-PERM >= 0.10000E-04 (BOTH WALLS)
 ITEM NO. 141<D-TZALPH>= 0.50000 (BOTH WALLS)

NON ZERO LAYER DESCRIPTORS FOR LAYER NO. 3 FOR STEP NO. 2

ITEM NO. 1<NAME >= 14.000 (BOTH WALLS)
 ITEM NO. 2<NATURE >= 1.0000 (BOTH WALLS)
 ITEM NO. 3<LEVEL >= -15.990 (BOTH WALLS)
 ITEM NO. 4<WALL >= 1.0000 (BOTH WALLS)
 ITEM NO. 5<GAMMAD >= 20.000 (BOTH WALLS)
 ITEM NO. 6<GAMMAB >= 10.000 (BOTH WALLS)
 ITEM NO. 7<GAMMAW >= 10.000 (BOTH WALLS)
 ITEM NO. 8<U-COHE >= 10.000 (BOTH WALLS)
 ITEM NO. 9<U-FRICT >= 26.000 (BOTH WALLS)
 ITEM NO. 10<U-KA >= 0.34400 WALL NO. 1
 ITEM NO. 11<U-KP >= 3.4040 WALL NO. 1
 ITEM NO. 12<K0-NC >= 0.56200 (BOTH WALLS)
 ITEM NO. 13<NEXP >= 0.50000 (BOTH WALLS)
 ITEM NO. 14<OCR >= 1.0000 (BOTH WALLS)
 ITEM NO. 16<MODEL >= 1.0000 (BOTH WALLS)
 ITEM NO. 17<EVC >= 0.20000E+06 (BOTH WALLS)
 ITEM NO. 18<EUR >= 0.60000E+06 (BOTH WALLS)
 ITEM NO. 27<U-PERM >= 0.10000E-04 (BOTH WALLS)
 ITEM NO. 61<U-TZALPH>= 0.50000 (BOTH WALLS)
 ITEM NO. 82<D-NATURE>= 1.0000 (BOTH WALLS)
 ITEM NO. 83<D-LEVEL >= 0.0000 (BOTH WALLS)
 ITEM NO. 88<D-COHE >= 10.000 (BOTH WALLS)
 ITEM NO. 89<D-FRICT >= 26.000 (BOTH WALLS)
 ITEM NO. 90<D-KA >= 0.34400 WALL NO. 1
 ITEM NO. 91<D-KP >= 3.4040 WALL NO. 1
 ITEM NO. 107<D-PERM >= 0.10000E-04 (BOTH WALLS)
 ITEM NO. 141<D-TZALPH>= 0.50000 (BOTH WALLS)

NON ZERO LAYER DESCRIPTORS FOR LAYER NO. 4 FOR STEP NO. 2

ITEM NO. 1<NAME >= 15.000 (BOTH WALLS)
 ITEM NO. 2<NATURE >= 1.0000 (BOTH WALLS)
 ITEM NO. 3<LEVEL >= -17.670 (BOTH WALLS)
 ITEM NO. 4<WALL >= 1.0000 (BOTH WALLS)
 ITEM NO. 5<GAMMAD >= 23.000 (BOTH WALLS)
 ITEM NO. 6<GAMMAB >= 13.000 (BOTH WALLS)
 ITEM NO. 7<GAMMAW >= 10.000 (BOTH WALLS)
 ITEM NO. 8<U-COHE >= 55.000 (BOTH WALLS)
 ITEM NO. 9<U-FRICT >= 31.000 (BOTH WALLS)
 ITEM NO. 10<U-KA >= 0.27900 WALL NO. 1
 ITEM NO. 11<U-KP >= 4.5550 WALL NO. 1
 ITEM NO. 12<K0-NC >= 0.56200 (BOTH WALLS)
 ITEM NO. 13<NEXP >= 0.50000 (BOTH WALLS)
 ITEM NO. 14<OCR >= 1.0000 (BOTH WALLS)
 ITEM NO. 16<MODEL >= 1.0000 (BOTH WALLS)
 ITEM NO. 17<EVC >= 0.13500E+06 (BOTH WALLS)
 ITEM NO. 18<EUR >= 0.40500E+06 (BOTH WALLS)
 ITEM NO. 27<U-PERM >= 0.10000E-04 (BOTH WALLS)
 ITEM NO. 61<U-TZALPH>= 0.50000 (BOTH WALLS)
 ITEM NO. 82<D-NATURE>= 1.0000 (BOTH WALLS)
 ITEM NO. 83<D-LEVEL >= 0.0000 (BOTH WALLS)
 ITEM NO. 88<D-COHE >= 55.000 (BOTH WALLS)
 ITEM NO. 89<D-FRICT >= 31.000 (BOTH WALLS)
 ITEM NO. 90<D-KA >= 0.27900 WALL NO. 1
 ITEM NO. 91<D-KP >= 4.5550 WALL NO. 1
 ITEM NO. 107<D-PERM >= 0.10000E-04 (BOTH WALLS)
 ITEM NO. 141<D-TZALPH>= 0.50000 (BOTH WALLS)

LAYER DESCRIPTORS FOR STEP NO. 3

NON ZERO LAYER DESCRIPTORS FOR LAYER NO. 1 FOR STEP NO. 3

ITEM NO. 1<NAME >= 12.000 (BOTH WALLS)
 ITEM NO. 2<NATURE >= 1.0000 (BOTH WALLS)
 ITEM NO. 3<LEVEL >= 0.0000 (BOTH WALLS)
 ITEM NO. 4<WALL >= 1.0000 (BOTH WALLS)
 ITEM NO. 5<GAMMAD >= 20.000 (BOTH WALLS)
 ITEM NO. 6<GAMMAB >= 10.000 (BOTH WALLS)
 ITEM NO. 7<GAMMAW >= 10.000 (BOTH WALLS)
 ITEM NO. 9<U-FRICT >= 35.000 (BOTH WALLS)
 ITEM NO. 10<U-KA >= 0.23500 WALL NO. 1
 ITEM NO. 11<U-KP >= 5.8790 WALL NO. 1
 ITEM NO. 12<K0-NC >= 0.42600 (BOTH WALLS)
 ITEM NO. 13<NEXP >= 0.50000 (BOTH WALLS)
 ITEM NO. 14<OCR >= 1.0000 (BOTH WALLS)
 ITEM NO. 16<MODEL >= 1.0000 (BOTH WALLS)
 ITEM NO. 17<EVC >= 50000. (BOTH WALLS)
 ITEM NO. 18<EUR >= 0.15000E+06 (BOTH WALLS)
 ITEM NO. 27<U-PERM >= 0.10000E-04 (BOTH WALLS)
 ITEM NO. 61<U-TZALPH>= 0.50000 (BOTH WALLS)
 ITEM NO. 82<D-NATURE>= 1.0000 (BOTH WALLS)
 ITEM NO. 83<D-LEVEL >= 0.0000 (BOTH WALLS)
 ITEM NO. 89<D-FRICT >= 35.000 (BOTH WALLS)
 ITEM NO. 90<D-KA >= 0.23500 WALL NO. 1
 ITEM NO. 91<D-KP >= 5.8790 WALL NO. 1

ITEM NO. 107<D-PERM >= 0.10000E-04 (BOTH WALLS)
ITEM NO. 141<D-TZALPH>= 0.50000 (BOTH WALLS)

NON ZERO LAYER DESCRIPTORS FOR LAYER NO. 2 FOR STEP NO. 3

ITEM NO. 1<NAME >= 13.000 (BOTH WALLS)
ITEM NO. 2<NATURE >= 1.0000 (BOTH WALLS)
ITEM NO. 3<LEVEL >= -4.7000 (BOTH WALLS)
ITEM NO. 4<WALL >= 1.0000 (BOTH WALLS)
ITEM NO. 5<GAMMAD >= 19.500 (BOTH WALLS)
ITEM NO. 6<GAMMAB >= 9.5000 (BOTH WALLS)
ITEM NO. 7<GAMMAW >= 10.000 (BOTH WALLS)
ITEM NO. 9<U-FRICT >= 25.000 (BOTH WALLS)
ITEM NO. 10<U-KA >= 0.35900 WALL NO. 1
ITEM NO. 11<U-KP >= 3.2220 WALL NO. 1
ITEM NO. 12<K0-NC >= 0.56200 (BOTH WALLS)
ITEM NO. 13<NEXP >= 0.50000 (BOTH WALLS)
ITEM NO. 14<OCR >= 1.0000 (BOTH WALLS)
ITEM NO. 16<MODEL >= 1.0000 (BOTH WALLS)
ITEM NO. 17<EVC >= 35000. (BOTH WALLS)
ITEM NO. 18<EUR >= 0.10500E+06 (BOTH WALLS)
ITEM NO. 27<U-PERM >= 0.10000E-04 (BOTH WALLS)
ITEM NO. 61<U-TZALPH>= 0.50000 (BOTH WALLS)
ITEM NO. 82<D-NATURE>= 1.0000 (BOTH WALLS)
ITEM NO. 83<D-LEVEL >= 0.0000 (BOTH WALLS)
ITEM NO. 89<D-FRICT >= 25.000 (BOTH WALLS)
ITEM NO. 90<D-KA >= 0.35900 WALL NO. 1
ITEM NO. 91<D-KP >= 3.2220 WALL NO. 1
ITEM NO. 107<D-PERM >= 0.10000E-04 (BOTH WALLS)
ITEM NO. 141<D-TZALPH>= 0.50000 (BOTH WALLS)

NON ZERO LAYER DESCRIPTORS FOR LAYER NO. 3 FOR STEP NO. 3

ITEM NO. 1<NAME >= 14.000 (BOTH WALLS)
ITEM NO. 2<NATURE >= 1.0000 (BOTH WALLS)
ITEM NO. 3<LEVEL >= -15.990 (BOTH WALLS)
ITEM NO. 4<WALL >= 1.0000 (BOTH WALLS)
ITEM NO. 5<GAMMAD >= 20.000 (BOTH WALLS)
ITEM NO. 6<GAMMAB >= 10.000 (BOTH WALLS)
ITEM NO. 7<GAMMAW >= 10.000 (BOTH WALLS)
ITEM NO. 8<U-COHE >= 10.000 (BOTH WALLS)
ITEM NO. 9<U-FRICT >= 26.000 (BOTH WALLS)
ITEM NO. 10<U-KA >= 0.34400 WALL NO. 1
ITEM NO. 11<U-KP >= 3.4040 WALL NO. 1
ITEM NO. 12<K0-NC >= 0.56200 (BOTH WALLS)
ITEM NO. 13<NEXP >= 0.50000 (BOTH WALLS)
ITEM NO. 14<OCR >= 1.0000 (BOTH WALLS)
ITEM NO. 16<MODEL >= 1.0000 (BOTH WALLS)
ITEM NO. 17<EVC >= 0.20000E+06 (BOTH WALLS)
ITEM NO. 18<EUR >= 0.60000E+06 (BOTH WALLS)
ITEM NO. 27<U-PERM >= 0.10000E-04 (BOTH WALLS)
ITEM NO. 61<U-TZALPH>= 0.50000 (BOTH WALLS)
ITEM NO. 82<D-NATURE>= 1.0000 (BOTH WALLS)
ITEM NO. 83<D-LEVEL >= 0.0000 (BOTH WALLS)
ITEM NO. 88<D-COHE >= 10.000 (BOTH WALLS)
ITEM NO. 89<D-FRICT >= 26.000 (BOTH WALLS)
ITEM NO. 90<D-KA >= 0.34400 WALL NO. 1
ITEM NO. 91<D-KP >= 3.4040 WALL NO. 1
ITEM NO. 107<D-PERM >= 0.10000E-04 (BOTH WALLS)
ITEM NO. 141<D-TZALPH>= 0.50000 (BOTH WALLS)

NON ZERO LAYER DESCRIPTORS FOR LAYER NO. 4 FOR STEP NO. 3

ITEM NO. 1<NAME >= 15.000 (BOTH WALLS)
ITEM NO. 2<NATURE >= 1.0000 (BOTH WALLS)
ITEM NO. 3<LEVEL >= -17.670 (BOTH WALLS)
ITEM NO. 4<WALL >= 1.0000 (BOTH WALLS)
ITEM NO. 5<GAMMAD >= 23.000 (BOTH WALLS)
ITEM NO. 6<GAMMAB >= 13.000 (BOTH WALLS)
ITEM NO. 7<GAMMAW >= 10.000 (BOTH WALLS)
ITEM NO. 8<U-COHE >= 55.000 (BOTH WALLS)
ITEM NO. 9<U-FRICT >= 31.000 (BOTH WALLS)
ITEM NO. 10<U-KA >= 0.27900 WALL NO. 1
ITEM NO. 11<U-KP >= 4.5550 WALL NO. 1
ITEM NO. 12<K0-NC >= 0.56200 (BOTH WALLS)
ITEM NO. 13<NEXP >= 0.50000 (BOTH WALLS)
ITEM NO. 14<OCR >= 1.0000 (BOTH WALLS)
ITEM NO. 16<MODEL >= 1.0000 (BOTH WALLS)
ITEM NO. 17<EVC >= 0.13500E+06 (BOTH WALLS)
ITEM NO. 18<EUR >= 0.40500E+06 (BOTH WALLS)
ITEM NO. 27<U-PERM >= 0.10000E-04 (BOTH WALLS)
ITEM NO. 61<U-TZALPH>= 0.50000 (BOTH WALLS)
ITEM NO. 82<D-NATURE>= 1.0000 (BOTH WALLS)
ITEM NO. 83<D-LEVEL >= 0.0000 (BOTH WALLS)
ITEM NO. 88<D-COHE >= 55.000 (BOTH WALLS)
ITEM NO. 89<D-FRICT >= 31.000 (BOTH WALLS)
ITEM NO. 90<D-KA >= 0.27900 WALL NO. 1
ITEM NO. 91<D-KP >= 4.5550 WALL NO. 1
ITEM NO. 107<D-PERM >= 0.10000E-04 (BOTH WALLS)
ITEM NO. 141<D-TZALPH>= 0.50000 (BOTH WALLS)

LAYER DESCRIPTORS FOR STEP NO. 4

NON ZERO LAYER DESCRIPTORS FOR LAYER NO. 1 FOR STEP NO. 4

ITEM NO.	1	NAME	= 12.000	(BOTH WALLS)	
ITEM NO.	2	NATURE	= 1.0000	(BOTH WALLS)	
ITEM NO.	3	LEVEL	= 0.0000	(BOTH WALLS)	
ITEM NO.	4	WALL	= 1.0000	(BOTH WALLS)	
ITEM NO.	5	GAMMAD	= 20.000	(BOTH WALLS)	
ITEM NO.	6	GAMMAB	= 10.000	(BOTH WALLS)	
ITEM NO.	7	GAMMAW	= 10.000	(BOTH WALLS)	
ITEM NO.	9	U-FRICT	= 35.000	(BOTH WALLS)	
ITEM NO.	10	U-KA	= 0.23500	WALL NO.	1
ITEM NO.	11	U-KP	= 5.8790	WALL NO.	1
ITEM NO.	12	K0-NC	= 0.42600	(BOTH WALLS)	
ITEM NO.	13	NEXP	= 0.50000	(BOTH WALLS)	
ITEM NO.	14	OCR	= 1.0000	(BOTH WALLS)	
ITEM NO.	16	MODEL	= 1.0000	(BOTH WALLS)	
ITEM NO.	17	EVC	= 50000.	(BOTH WALLS)	
ITEM NO.	18	EUR	= 0.15000E+06	(BOTH WALLS)	
ITEM NO.	27	U-PERM	= 0.10000E-04	(BOTH WALLS)	
ITEM NO.	61	U-TZALPH	= 0.50000	(BOTH WALLS)	
ITEM NO.	82	D-NATURE	= 1.0000	(BOTH WALLS)	
ITEM NO.	83	D-LEVEL	= 0.0000	(BOTH WALLS)	
ITEM NO.	89	D-FRICT	= 35.000	(BOTH WALLS)	
ITEM NO.	90	D-KA	= 0.23500	WALL NO.	1
ITEM NO.	91	D-KP	= 5.8790	WALL NO.	1
ITEM NO.	107	D-PERM	= 0.10000E-04	(BOTH WALLS)	
ITEM NO.	141	D-TZALPH	= 0.50000	(BOTH WALLS)	

NON ZERO LAYER DESCRIPTORS FOR LAYER NO. 2 FOR STEP NO. 4

ITEM NO.	1	NAME	= 13.000	(BOTH WALLS)	
ITEM NO.	2	NATURE	= 1.0000	(BOTH WALLS)	
ITEM NO.	3	LEVEL	= -4.7000	(BOTH WALLS)	
ITEM NO.	4	WALL	= 1.0000	(BOTH WALLS)	
ITEM NO.	5	GAMMAD	= 19.500	(BOTH WALLS)	
ITEM NO.	6	GAMMAB	= 9.5000	(BOTH WALLS)	
ITEM NO.	7	GAMMAW	= 10.000	(BOTH WALLS)	
ITEM NO.	9	U-FRICT	= 25.000	(BOTH WALLS)	
ITEM NO.	10	U-KA	= 0.35900	WALL NO.	1
ITEM NO.	11	U-KP	= 3.2220	WALL NO.	1
ITEM NO.	12	K0-NC	= 0.56200	(BOTH WALLS)	
ITEM NO.	13	NEXP	= 0.50000	(BOTH WALLS)	
ITEM NO.	14	OCR	= 1.0000	(BOTH WALLS)	
ITEM NO.	16	MODEL	= 1.0000	(BOTH WALLS)	
ITEM NO.	17	EVC	= 35000.	(BOTH WALLS)	
ITEM NO.	18	EUR	= 0.10500E+06	(BOTH WALLS)	
ITEM NO.	27	U-PERM	= 0.10000E-04	(BOTH WALLS)	
ITEM NO.	61	U-TZALPH	= 0.50000	(BOTH WALLS)	
ITEM NO.	82	D-NATURE	= 1.0000	(BOTH WALLS)	
ITEM NO.	83	D-LEVEL	= 0.0000	(BOTH WALLS)	
ITEM NO.	89	D-FRICT	= 25.000	(BOTH WALLS)	
ITEM NO.	90	D-KA	= 0.35900	WALL NO.	1
ITEM NO.	91	D-KP	= 3.2220	WALL NO.	1
ITEM NO.	107	D-PERM	= 0.10000E-04	(BOTH WALLS)	
ITEM NO.	141	D-TZALPH	= 0.50000	(BOTH WALLS)	

NON ZERO LAYER DESCRIPTORS FOR LAYER NO. 3 FOR STEP NO. 4

ITEM NO.	1	NAME	= 14.000	(BOTH WALLS)	
ITEM NO.	2	NATURE	= 1.0000	(BOTH WALLS)	
ITEM NO.	3	LEVEL	= -15.990	(BOTH WALLS)	
ITEM NO.	4	WALL	= 1.0000	(BOTH WALLS)	
ITEM NO.	5	GAMMAD	= 20.000	(BOTH WALLS)	
ITEM NO.	6	GAMMAB	= 10.000	(BOTH WALLS)	
ITEM NO.	7	GAMMAW	= 10.000	(BOTH WALLS)	
ITEM NO.	8	U-COHE	= 10.000	(BOTH WALLS)	
ITEM NO.	9	U-FRICT	= 26.000	(BOTH WALLS)	
ITEM NO.	10	U-KA	= 0.34400	WALL NO.	1
ITEM NO.	11	U-KP	= 3.4040	WALL NO.	1
ITEM NO.	12	K0-NC	= 0.56200	(BOTH WALLS)	
ITEM NO.	13	NEXP	= 0.50000	(BOTH WALLS)	
ITEM NO.	14	OCR	= 1.0000	(BOTH WALLS)	
ITEM NO.	16	MODEL	= 1.0000	(BOTH WALLS)	
ITEM NO.	17	EVC	= 0.20000E+06	(BOTH WALLS)	
ITEM NO.	18	EUR	= 0.60000E+06	(BOTH WALLS)	
ITEM NO.	27	U-PERM	= 0.10000E-04	(BOTH WALLS)	
ITEM NO.	61	U-TZALPH	= 0.50000	(BOTH WALLS)	
ITEM NO.	82	D-NATURE	= 1.0000	(BOTH WALLS)	
ITEM NO.	83	D-LEVEL	= 0.0000	(BOTH WALLS)	
ITEM NO.	88	D-COHE	= 10.000	(BOTH WALLS)	
ITEM NO.	89	D-FRICT	= 26.000	(BOTH WALLS)	
ITEM NO.	90	D-KA	= 0.34400	WALL NO.	1
ITEM NO.	91	D-KP	= 3.4040	WALL NO.	1
ITEM NO.	107	D-PERM	= 0.10000E-04	(BOTH WALLS)	
ITEM NO.	141	D-TZALPH	= 0.50000	(BOTH WALLS)	

NON ZERO LAYER DESCRIPTORS FOR LAYER NO. 4 FOR STEP NO. 4

ITEM NO.	1	NAME	= 15.000	(BOTH WALLS)	
ITEM NO.	2	NATURE	= 1.0000	(BOTH WALLS)	

ITEM NO.	3	LEVEL	>= -17.670	(BOTH WALLS)	
ITEM NO.	4	WALL	>= 1.0000	(BOTH WALLS)	
ITEM NO.	5	GAMMAD	>= 23.000	(BOTH WALLS)	
ITEM NO.	6	GAMMAB	>= 13.000	(BOTH WALLS)	
ITEM NO.	7	GAMMAW	>= 10.000	(BOTH WALLS)	
ITEM NO.	8	U-COHE	>= 55.000	(BOTH WALLS)	
ITEM NO.	9	U-FRICT	>= 31.000	(BOTH WALLS)	
ITEM NO.	10	U-KA	>= 0.27900	WALL NO.	1
ITEM NO.	11	U-KP	>= 4.5550	WALL NO.	1
ITEM NO.	12	K0-NC	>= 0.56200	(BOTH WALLS)	
ITEM NO.	13	NEXP	>= 0.50000	(BOTH WALLS)	
ITEM NO.	14	OCR	>= 1.0000	(BOTH WALLS)	
ITEM NO.	16	MODEL	>= 1.0000	(BOTH WALLS)	
ITEM NO.	17	EVC	>= 0.13500E+06	(BOTH WALLS)	
ITEM NO.	18	EUR	>= 0.40500E+06	(BOTH WALLS)	
ITEM NO.	27	U-PERM	>= 0.10000E-04	(BOTH WALLS)	
ITEM NO.	61	U-TZALPH	>= 0.50000	(BOTH WALLS)	
ITEM NO.	82	D-NATURE	>= 1.0000	(BOTH WALLS)	
ITEM NO.	83	D-LEVEL	>= 0.0000	(BOTH WALLS)	
ITEM NO.	88	D-COHE	>= 55.000	(BOTH WALLS)	
ITEM NO.	89	D-FRICT	>= 31.000	(BOTH WALLS)	
ITEM NO.	90	D-KA	>= 0.27900	WALL NO.	1
ITEM NO.	91	D-KP	>= 4.5550	WALL NO.	1
ITEM NO.	107	D-PERM	>= 0.10000E-04	(BOTH WALLS)	
ITEM NO.	141	D-TZALPH	>= 0.50000	(BOTH WALLS)	

DEFAULT WATER UNIT WEIGHT = 10.000
AVERAGED ON 16 VALUES

```

+-----+
|          PARATIEPLUS(TM)  NLS ENGINE RELEASE  2022.0.0  FULL VERSION  *Build date:Sep 13, 2021*  |
|                                                                                               |
|                                                                                               |
|                               ParatiePlus                                                    |
|                               Exe Time :28 January 2022  11:11:17                            |
+-----+

```

PHASE DESCRIPTORS

```

STEP NO.      1 no. of subincrements      1
                LEFT WALL      RIGHT WALL
Y              0.000            -0.9990E+30
Z-PC           -4.700            0.000
Z-EXCAVATION   -4.700            0.000
Z-WATER_TABLE  -9.500            -0.9990E+30
Q_AT_THE_FREE_FIELD_LEVEL  0.000            0.000
ZQ             0.000            0.000
DZW_OF_THE_WATER_TABLE  0.000            0.000
QS_ON_THE_EXCAVATION_SIDE  0.000            0.000
ZQS           0.000            -0.9990E+30
ZCUT           0.000            0.000
BALANCE LEVEL FOR PORE PRESSURES  -18.20           -18.20
WATER_BEHAVIOUR_FLAG (LINING OPT)  0.000            0.000
PORE_UPDATE_FLAG  0.000            0.000
PORE_TAB._FLAG (gt.0= use tabs)  0.000            0.000
lateral thrusts reduction elevatio  0.000            0.000
Downhill reduction factor for effe  0.000            0.000
Downhill reduction factor for pore  0.000            0.000
Uphill reduction factor for effect  0.000            0.000
Uphill reduction factor for pore p  0.000            0.000
SEISMIC HORIZONTAL ACCEL. Kh [g]  0.000            0.000
UPHILL VERTICAL ACCEL. Kv_uh [g]  0.000            0.000
DOWNHILL VERTICAL ACCEL.Kv_dh [g]  0.000            0.000
UPHILL BETA ANGLE (SLOPE) [deg]  0.000            0.000
UPHILL DELTA/PHI RATIO  0.000            0.000
DOWNHILL BETA ANGLE (SLOPE) [deg]  0.000            0.000
DOWNHILL DELTA/PHI RATIO  0.000            0.000
DYN.WATER BEHAVIOUR  0.000            0.000
Excess pore pressure RATIO Ru  0.000            0.000
SEISMIC PRESSURE LOWER VALUE  0.000            0.000
SEISMIC PRESSURE UPPER VALUE  0.000            0.000
SEISMIC PRESSURE LOWER LEVEL  0.000            0.000
SEISMIC PRESSURE UPPER LEVEL  0.000            0.000

```

=====
=====end of step 1

```

STEP NO.      2 no. of subincrements      1
                LEFT WALL      RIGHT WALL
Y              0.000            -0.9990E+30
Z-PC           -4.700            0.000
Z-EXCAVATION   -4.700            0.000
Z-WATER_TABLE  -9.500            -0.9990E+30
Q_AT_THE_FREE_FIELD_LEVEL  0.000            0.000
ZQ             0.000            0.000
DZW_OF_THE_WATER_TABLE  0.000            0.000
QS_ON_THE_EXCAVATION_SIDE  0.000            0.000
ZQS           0.000            -0.9990E+30
ZCUT           0.000            0.000
BALANCE LEVEL FOR PORE PRESSURES  -18.20           -18.20
WATER_BEHAVIOUR_FLAG (LINING OPT)  0.000            0.000
PORE_UPDATE_FLAG  0.000            0.000
PORE_TAB._FLAG (gt.0= use tabs)  0.000            0.000
lateral thrusts reduction elevatio  0.000            0.000
Downhill reduction factor for effe  0.000            0.000
Downhill reduction factor for pore  0.000            0.000
Uphill reduction factor for effect  0.000            0.000
Uphill reduction factor for pore p  0.000            0.000
SEISMIC HORIZONTAL ACCEL. Kh [g]  0.000            0.000
UPHILL VERTICAL ACCEL. Kv_uh [g]  0.000            0.000
DOWNHILL VERTICAL ACCEL.Kv_dh [g]  0.000            0.000
UPHILL BETA ANGLE (SLOPE) [deg]  0.000            0.000
UPHILL DELTA/PHI RATIO  0.000            0.000
DOWNHILL BETA ANGLE (SLOPE) [deg]  0.000            0.000
DOWNHILL DELTA/PHI RATIO  0.000            0.000
DYN.WATER BEHAVIOUR  0.000            0.000
Excess pore pressure RATIO Ru  0.000            0.000
SEISMIC PRESSURE LOWER VALUE  0.000            0.000
SEISMIC PRESSURE UPPER VALUE  0.000            0.000
SEISMIC PRESSURE LOWER LEVEL  0.000            0.000
SEISMIC PRESSURE UPPER LEVEL  0.000            0.000

```

=====
=====end of step 2

```

STEP NO.      3 no. of subincrements      1
                LEFT WALL      RIGHT WALL
Y              0.000            -0.9990E+30

```

Z-PC	0.000	0.000
Z-EXCAVATION	-4.700	0.000
Z-WATER_TABLE	-9.500	-0.9990E+30
Q_AT_THE_FREE_FIELD_LEVEL	57.00	0.000
ZQ	0.000	0.000
DZW_OF_THE_WATER_TABLE	0.000	0.000
QS_ON_THE_EXCAVATION_SIDE	0.000	0.000
ZQS	-4.700	-0.9990E+30
ZCUT	0.000	0.000
BALANCE LEVEL FOR PORE PRESSURES	-18.20	-18.20
WATER_BEHAVIOUR_FLAG (LINING OPT)	0.000	0.000
PORE_UPDATE_FLAG	0.000	0.000
PORE_TAB._FLAG (gt.0= use tabs)	0.000	0.000
lateral thrusts reduction elevatio	0.000	0.000
Downhill reduction factor for effe	0.000	0.000
Downhill reduction factor for pore	0.000	0.000
Uphill reduction factor for effect	0.000	0.000
Uphill reduction factor for pore p	0.000	0.000
SEISMIC HORIZONTAL ACCEL. Kh [g]	0.000	0.000
UPHILL VERTICAL ACCEL. Kv_uh [g]	0.000	0.000
DOWNHILL VERTICAL ACCEL.Kv_dh [g]	0.000	0.000
UPHILL BETA ANGLE (SLOPE) [deg]	0.000	0.000
UPHILL DELTA/PHI RATIO	0.000	0.000
DOWNHILL BETA ANGLE (SLOPE) [deg]	0.000	0.000
DOWNHILL DELTA/PHI RATIO	0.000	0.000
DYN.WATER BEHAVIOUR	0.000	0.000
Excess pore pressure RATIO Ru	0.000	0.000
SEISMIC PRESSURE LOWER VALUE	0.000	0.000
SEISMIC PRESSURE UPPER VALUE	0.000	0.000
SEISMIC PRESSURE LOWER LEVEL	0.000	0.000
SEISMIC PRESSURE UPPER LEVEL	0.000	0.000

=====
=====end of step 3

STEP NO.	4 no. of subincrements	1	
		LEFT WALL	RIGHT WALL
Y		0.000	-0.9990E+30
Z-PC		0.000	0.000
Z-EXCAVATION		-4.700	0.000
Z-WATER_TABLE		-9.500	-0.9990E+30
Q_AT_THE_FREE_FIELD_LEVEL		57.00	0.000
ZQ		0.000	0.000
DZW_OF_THE_WATER_TABLE		0.000	0.000
QS_ON_THE_EXCAVATION_SIDE		0.000	0.000
ZQS		0.000	-0.9990E+30
ZCUT		0.000	0.000
BALANCE LEVEL FOR PORE PRESSURES		-18.20	-18.20
WATER_BEHAVIOUR_FLAG (LINING OPT)		0.000	0.000
PORE_UPDATE_FLAG		0.000	0.000
PORE_TAB._FLAG (gt.0= use tabs)		0.000	0.000
lateral thrusts reduction elevatio		0.000	0.000
Downhill reduction factor for effe		0.000	0.000
Downhill reduction factor for pore		0.000	0.000
Uphill reduction factor for effect		0.000	0.000
Uphill reduction factor for pore p		0.000	0.000
SEISMIC HORIZONTAL ACCEL. Kh [g]		0.000	0.000
UPHILL VERTICAL ACCEL. Kv_uh [g]		0.000	0.000
DOWNHILL VERTICAL ACCEL.Kv_dh [g]		0.000	0.000
UPHILL BETA ANGLE (SLOPE) [deg]		0.000	0.000
UPHILL DELTA/PHI RATIO		0.000	0.000
DOWNHILL BETA ANGLE (SLOPE) [deg]		0.000	0.000
DOWNHILL DELTA/PHI RATIO		0.000	0.000
DYN.WATER BEHAVIOUR		0.000	0.000
Excess pore pressure RATIO Ru		0.000	0.000
SEISMIC PRESSURE LOWER VALUE		0.000	0.000
SEISMIC PRESSURE UPPER VALUE		0.000	0.000
SEISMIC PRESSURE LOWER LEVEL		0.000	0.000
SEISMIC PRESSURE UPPER LEVEL		0.000	0.000

=====
=====end of step 4

LEFT-HAND WALL

LOWER LEVEL	-18.20000
UPPER LEVEL	0.00000

RIGHT-HAND WALL

LOWER LEVEL	-18.20000
UPPER LEVEL	0.00000

BETA 45.00000000000000
BEHAVIOUR (0=FREE, 1=REFLECTING) 0.0000000000000000E+000

INPUT DATA FOR INITIAL STRESS SET NO. 6
PERTAINING SOIL ELEMENTS AT Y-COORD 0.0000

ACTIVATION TIME 3.0000
END TIME (TIME BEYOND WHICH IT IS REMOVED) 4.0000

TYPE BOUSSINESQ

HORIZONTAL DISTANCE (DY) 8.591200000000000
FOUNDATION WIDTH (B) 0.3782400000000000
ZETA-F..... 0.0000000000000000E+000
Q-F 54.299000000000000
BETA 45.000000000000000
BEHAVIOUR (0=FREE, 1=REFLECTING) 0.0000000000000000E+000

INPUT DATA FOR INITIAL STRESS SET NO. 7
PERTAINING SOIL ELEMENTS AT Y-COORD 0.0000

ACTIVATION TIME 3.0000
END TIME (TIME BEYOND WHICH IT IS REMOVED) 4.0000

TYPE BOUSSINESQ

HORIZONTAL DISTANCE (DY) 8.969400000000000
FOUNDATION WIDTH (B) 0.3782400000000000
ZETA-F..... 0.0000000000000000E+000
Q-F 51.584000000000000
BETA 45.000000000000000
BEHAVIOUR (0=FREE, 1=REFLECTING) 0.0000000000000000E+000

INPUT DATA FOR INITIAL STRESS SET NO. 8
PERTAINING SOIL ELEMENTS AT Y-COORD 0.0000

ACTIVATION TIME 3.0000
END TIME (TIME BEYOND WHICH IT IS REMOVED) 4.0000

TYPE BOUSSINESQ

HORIZONTAL DISTANCE (DY) 9.347600000000000
FOUNDATION WIDTH (B) 0.3782400000000000
ZETA-F..... 0.0000000000000000E+000
Q-F 48.869000000000000
BETA 45.000000000000000
BEHAVIOUR (0=FREE, 1=REFLECTING) 0.0000000000000000E+000

INPUT DATA FOR INITIAL STRESS SET NO. 9
PERTAINING SOIL ELEMENTS AT Y-COORD 0.0000

ACTIVATION TIME 3.0000
END TIME (TIME BEYOND WHICH IT IS REMOVED) 4.0000

TYPE BOUSSINESQ

HORIZONTAL DISTANCE (DY) 9.725900000000000
FOUNDATION WIDTH (B) 0.3782400000000000
ZETA-F..... 0.0000000000000000E+000
Q-F 46.154000000000000
BETA 45.000000000000000
BEHAVIOUR (0=FREE, 1=REFLECTING) 0.0000000000000000E+000

INPUT DATA FOR INITIAL STRESS SET NO. 10
PERTAINING SOIL ELEMENTS AT Y-COORD 0.0000

ACTIVATION TIME 3.0000
END TIME (TIME BEYOND WHICH IT IS REMOVED) 4.0000

TYPE BOUSSINESQ

HORIZONTAL DISTANCE (DY) 10.104000000000000
FOUNDATION WIDTH (B) 0.3782400000000000
ZETA-F..... 0.0000000000000000E+000
Q-F 43.439000000000000
BETA 45.000000000000000
BEHAVIOUR (0=FREE, 1=REFLECTING) 0.0000000000000000E+000

INPUT DATA FOR INITIAL STRESS SET NO. 11
PERTAINING SOIL ELEMENTS AT Y-COORD 0.0000

ACTIVATION TIME 3.0000
END TIME (TIME BEYOND WHICH IT IS REMOVED) 4.0000

TYPE BOUSSINESQ

HORIZONTAL DISTANCE (DY) 10.4820000000000
FOUNDATION WIDTH (B) 0.378240000000000
ZETA-F..... 0.000000000000000E+000
Q-F 40.7240000000000
BETA 45.0000000000000
BEHAVIOUR (0=FREE, 1=REFLECTING) 0.000000000000000E+000

INPUT DATA FOR INITIAL STRESS SET NO. 12
PERTAINING SOIL ELEMENTS AT Y-COORD 0.0000

ACTIVATION TIME 3.0000
END TIME (TIME BEYOND WHICH IT IS REMOVED) 4.0000

TYPE BOUSSINESQ

HORIZONTAL DISTANCE (DY) 10.8610000000000
FOUNDATION WIDTH (B) 0.378240000000000
ZETA-F..... 0.000000000000000E+000
Q-F 38.0090000000000
BETA 45.0000000000000
BEHAVIOUR (0=FREE, 1=REFLECTING) 0.000000000000000E+000

INPUT DATA FOR INITIAL STRESS SET NO. 13
PERTAINING SOIL ELEMENTS AT Y-COORD 0.0000

ACTIVATION TIME 3.0000
END TIME (TIME BEYOND WHICH IT IS REMOVED) 4.0000

TYPE BOUSSINESQ

HORIZONTAL DISTANCE (DY) 11.2390000000000
FOUNDATION WIDTH (B) 0.378240000000000
ZETA-F..... 0.000000000000000E+000
Q-F 35.2940000000000
BETA 45.0000000000000
BEHAVIOUR (0=FREE, 1=REFLECTING) 0.000000000000000E+000

INPUT DATA FOR INITIAL STRESS SET NO. 14
PERTAINING SOIL ELEMENTS AT Y-COORD 0.0000

ACTIVATION TIME 3.0000
END TIME (TIME BEYOND WHICH IT IS REMOVED) 4.0000

TYPE BOUSSINESQ

HORIZONTAL DISTANCE (DY) 11.6170000000000
FOUNDATION WIDTH (B) 0.378240000000000
ZETA-F..... 0.000000000000000E+000
Q-F 32.5790000000000
BETA 45.0000000000000
BEHAVIOUR (0=FREE, 1=REFLECTING) 0.000000000000000E+000

INPUT DATA FOR INITIAL STRESS SET NO. 15
PERTAINING SOIL ELEMENTS AT Y-COORD 0.0000

ACTIVATION TIME 3.0000
END TIME (TIME BEYOND WHICH IT IS REMOVED) 4.0000

TYPE BOUSSINESQ

HORIZONTAL DISTANCE (DY) 11.9950000000000
FOUNDATION WIDTH (B) 0.378240000000000
ZETA-F..... 0.000000000000000E+000
Q-F 29.8640000000000
BETA 45.0000000000000
BEHAVIOUR (0=FREE, 1=REFLECTING) 0.000000000000000E+000

INPUT DATA FOR INITIAL STRESS SET NO. 16
PERTAINING SOIL ELEMENTS AT Y-COORD 0.0000

ACTIVATION TIME 3.0000
END TIME (TIME BEYOND WHICH IT IS REMOVED) 4.0000

TYPE BOUSSINESQ

HORIZONTAL DISTANCE (DY) 12.3740000000000
FOUNDATION WIDTH (B) 0.378240000000000
ZETA-F..... 0.000000000000000E+000
Q-F 27.1490000000000
BETA 45.0000000000000
BEHAVIOUR (0=FREE, 1=REFLECTING) 0.000000000000000E+000

INPUT DATA FOR INITIAL STRESS SET NO. 17
PERTAINING SOIL ELEMENTS AT Y-COORD 0.0000

ACTIVATION TIME 3.0000

END TIME (TIME BEYOND WHICH IT IS REMOVED) 4.0000

TYPE BOUSSINESQ

HORIZONTAL DISTANCE (DY) 12.7520000000000
FOUNDATION WIDTH (B) 0.378240000000000
ZETA-F..... 0.000000000000000E+000
Q-F 24.4340000000000
BETA 45.0000000000000
BEHAVIOUR (0=FREE, 1=REFLECTING) 0.000000000000000E+000

ELEMENT GROUPS BACKUP AREA CAN STAY IN CORE AT
POSITION 7228

NO. OF D.P.W FOR THIS AREA 14242
MAX NO. OF D.P.W. AVAILABLE 81920
** MAX NO OF ITERATIONS SET TO 40

ITER 0 RNORM = 0.000 RMNORM= 0.000
RINORM=0.5558E+05 RIMNOR= 0.000
RENORM= 0.000 REMNOR= 0.000 RATIO = 0.000 TOLER =0.1000E-03 CONVERGED !
RFMAX = 36.48 RMMAX = 0.000
RTSMAL=0.1000E-03 RMSMAL= 0.000
RDT =0.5558E+05 RDR = 0.000
RATIOT= 0.000 RATIO= 0.000
MAX UN= 0.000 IEQ= 186 NODE 93 DOF 2 X-ROT. F
MIN UN= 0.000 IEQ= 1 NODE 1 DOF 1 Y-DISPL.F
NO. OF CONTACT CONSTRAINT VIOLATIONS 0

ITER 1 RNORM = 0.000 RMNORM= 0.000
RINORM=0.5558E+05 RIMNOR= 0.000
RENORM= 0.000 REMNOR= 0.000 RATIO = 0.000 TOLER =0.1000E-03 CONVERGED !
RFMAX = 36.48 RMMAX = 0.000
RTSMAL=0.1000E-03 RMSMAL= 0.000
RDT =0.5558E+05 RDR = 0.000
RATIOT= 0.000 RATIO= 0.000
MAX UN= 0.000 IEQ= 186 NODE 93 DOF 2 X-ROT. F
MIN UN= 0.000 IEQ= 1 NODE 1 DOF 1 Y-DISPL.F
NO. OF CONTACT CONSTRAINT VIOLATIONS 0

ITER 2 RNORM = 0.000 RMNORM= 0.000
RINORM=0.5558E+05 RIMNOR= 0.000
RENORM= 0.000 REMNOR= 0.000 RATIO = 0.000 TOLER =0.1000E-03 CONVERGED !
RFMAX = 36.48 RMMAX = 0.000
RTSMAL=0.1000E-03 RMSMAL= 0.000
RDT =0.5558E+05 RDR = 0.000
RATIOT= 0.000 RATIO= 0.000
MAX UN= 0.000 IEQ= 186 NODE 93 DOF 2 X-ROT. F
MIN UN= 0.000 IEQ= 1 NODE 1 DOF 1 Y-DISPL.F
NO. OF CONTACT CONSTRAINT VIOLATIONS 0

```
+-----+
|          PARATIEPLUS(TM)  NLS ENGINE RELEASE  2022.0.0  FULL VERSION  *Build date:Sep 13, 2021*  |
|                                                                                               |
|                                                                                               |
|                                                                                               |
|          ParatiePlus                                                                           |
|          Exe Time :28 January 2022  11:11:17                                               |
+-----+
```

New Project

SOLUTION REACHED USING 2 ITERATIONS ON 40

P R I N T O U T F O R T I M E S T E P 1 (AT TIME 1.000) SUBINCREMENT 00001/00001

PRINT OUT OF ACTIVE COMPONENTS (FIXED NODES ARE NOT PRINTED OUT)

Y-DISPL.F	X-ROT. F
02	04

ALL NODAL POINTS HAVE ZERO DISPLACEMENT COMPONENTS

```

+-----+
|                PARATIEPLUS(TM)  NLS ENGINE RELEASE 2022.0.0  FULL VERSION  *Build date:Sep 13, 2021*                |
|                                                                                                                                            |
|                                                                                               ParatiePlus                               |
|                                                                                               Exe Time :28 January 2022   11:11:17   |
+-----+

```

New Project

S T R E S S R E S U L T S F O R G R O U P N O . 1

0_L :
ELEMENT TYPE 5 NO.OF ELEMENTS. IN THIS GROUP 93
C U R R E N T T I M E I S 1.0000 SUBINCREMENT 00001/00001

HARDENING 2D SOIL ELEMENT

***** TOTAL STRESS FORMULATION *****

EL * TOR QSL	FORCE UFACTOR ZD	DISPL-Y Peq ZPL	VERTICAL-P Su_a Kz	HORIZON.-P Su_p	MAX-V-P Coh_e_a	MAX-H-P Coh_e_p	STATE LAYER	STIFFNESS	Z-LEVEL	PORE ZFO	E FAC- QS
1	0.000	--	--	--	--	--	REMOVED	--	0.000	0.000	
1.000	1.000	0.000	0.000	0.000	0.000	0.000	not available				
2	0.000	--	--	--	--	--	REMOVED	--	-0.2000	0.000	
1.000	1.000	0.000	0.000	0.000	0.000	0.000	not available				
3	0.000	--	--	--	--	--	REMOVED	--	-0.4000	0.000	
1.000	1.000	0.000	0.000	0.000	0.000	0.000	not available				
4	0.000	--	--	--	--	--	REMOVED	--	-0.6000	0.000	
1.000	1.000	0.000	0.000	0.000	0.000	0.000	not available				
5	0.000	--	--	--	--	--	REMOVED	--	-0.8000	0.000	
1.000	1.000	0.000	0.000	0.000	0.000	0.000	not available				
6	0.000	--	--	--	--	--	REMOVED	--	-1.000	0.000	
1.000	1.000	0.000	0.000	0.000	0.000	0.000	not available				
7	0.000	--	--	--	--	--	REMOVED	--	-1.200	0.000	
1.000	1.000	0.000	0.000	0.000	0.000	0.000	not available				
8	0.000	--	--	--	--	--	REMOVED	--	-1.400	0.000	
1.000	1.000	0.000	0.000	0.000	0.000	0.000	not available				
9	0.000	--	--	--	--	--	REMOVED	--	-1.600	0.000	
1.000	1.000	0.000	0.000	0.000	0.000	0.000	not available				
10	0.000	--	--	--	--	--	REMOVED	--	-1.800	0.000	
1.000	1.000	0.000	0.000	0.000	0.000	0.000	not available				
11	0.000	--	--	--	--	--	REMOVED	--	-2.000	0.000	
1.000	1.000	0.000	0.000	0.000	0.000	0.000	not available				
12	0.000	--	--	--	--	--	REMOVED	--	-2.200	0.000	
1.000	1.000	0.000	0.000	0.000	0.000	0.000	not available				
13	0.000	--	--	--	--	--	REMOVED	--	-2.400	0.000	
1.000	1.000	0.000	0.000	0.000	0.000	0.000	not available				
14	0.000	--	--	--	--	--	REMOVED	--	-2.600	0.000	
1.000	1.000	0.000	0.000	0.000	0.000	0.000	not available				
15	0.000	--	--	--	--	--	REMOVED	--	-2.800	0.000	
1.000	1.000	0.000	0.000	0.000	0.000	0.000	not available				
16	0.000	--	--	--	--	--	REMOVED	--	-3.000	0.000	
1.000	1.000	0.000	0.000	0.000	0.000	0.000	not available				
17	0.000	--	--	--	--	--	REMOVED	--	-3.200	0.000	
1.000	1.000	0.000	0.000	0.000	0.000	0.000	not available				
18	0.000	--	--	--	--	--	REMOVED	--	-3.400	0.000	
1.000	1.000	0.000	0.000	0.000	0.000	0.000	not available				
19	0.000	--	--	--	--	--	REMOVED	--	-3.600	0.000	
1.000	1.000	0.000	0.000	0.000	0.000	0.000	not available				
20	0.000	--	--	--	--	--	REMOVED	--	-3.800	0.000	
1.000	1.000	0.000	0.000	0.000	0.000	0.000	not available				
21	0.000	--	--	--	--	--	REMOVED	--	-4.000	0.000	
1.000	1.000	0.000	0.000	0.000	0.000	0.000	not available				
22	0.000	--	--	--	--	--	REMOVED	--	-4.200	0.000	
1.000	1.000	0.000	0.000	0.000	0.000	0.000	not available				
23	0.000	--	--	--	--	--	REMOVED	--	-4.400	0.000	
1.000	1.000	0.000	0.000	0.000	0.000	0.000	not available				
24	0.000	--	--	--	--	--	REMOVED	--	-4.600	0.000	
1.000	1.000	0.000	0.000	0.000	0.000	0.000	not available				
25 D	0.000	0.000	0.000	0.000	0.000	0.000	V-C 1.8377E+04		-4.700	0.000	
1.000	1.000	0.000	0.000	0.000	0.000	0.000	Ala_161_6590_L_0			0.0000	
0.0000	0.0000	0.0000	0.0000	0.0000	0.0000	0.0000					
26 D	0.4384	0.000	3.900	2.192	3.900	2.192	V-C 1.8377E+04		-4.900	0.000	
1.000	1.000	2.192	0.000	0.000	0.000	0.000	Ala_161_6590_L_0			0.0000	
0.0000	0.0000	0.0000	0.0000	0.0000	0.0000	0.0000					
27 D	0.8767	0.000	7.800	4.384	7.800	4.384	V-C 1.8377E+04		-5.100	0.000	
1.000	1.000	4.384	0.000	0.000	0.000	0.000	Ala_161_6590_L_0			0.0000	
0.0000	0.0000	0.0000	0.0000	0.0000	0.0000	0.0000					
28 D	1.315	0.000	11.70	6.575	11.70	6.575	V-C 1.8377E+04		-5.300	0.000	
1.000	1.000	6.575	0.000	0.000	0.000	0.000	Ala_161_6590_L_0			0.0000	
0.0000	0.0000	0.0000	0.0000	0.0000	0.0000	0.0000					
29 D	1.753	0.000	15.60	8.767	15.60	8.767	V-C 1.8377E+04		-5.500	0.000	
1.000	1.000	8.767	0.000	0.000	0.000	0.000	Ala_161_6590_L_0			0.0000	
0.0000	0.0000	0.0000	0.0000	0.0000	0.0000	0.0000					
30 D	2.192	0.000	19.50	10.96	19.50	10.96	V-C 1.8377E+04		-5.700	0.000	

1.000	1.000	10.96	0.000	0.000	0.000	0.000	Ala_161_6590_L_0	0.0000	
0.0000	0.0000	0.0000	0.0000	0.0000	0.0000	0.0000			
31 D	2.630	0.000	23.40	13.15	23.40	13.15	V-C 1.8377E+04	-5.900	0.000
1.000	1.000	13.15	0.000	0.000	0.000	0.000	Ala_161_6590_L_0	0.0000	
0.0000	0.0000	0.0000	0.0000	0.0000	0.0000	0.0000			
32 D	3.069	0.000	27.30	15.34	27.30	15.34	V-C 1.8377E+04	-6.100	0.000
1.000	1.000	15.34	0.000	0.000	0.000	0.000	Ala_161_6590_L_0	0.0000	
0.0000	0.0000	0.0000	0.0000	0.0000	0.0000	0.0000			
33 D	3.507	0.000	31.20	17.53	31.20	17.53	V-C 1.8377E+04	-6.300	0.000
1.000	1.000	17.53	0.000	0.000	0.000	0.000	Ala_161_6590_L_0	0.0000	
0.0000	0.0000	0.0000	0.0000	0.0000	0.0000	0.0000			
34 D	3.945	0.000	35.10	19.73	35.10	19.73	V-C 1.8377E+04	-6.500	0.000
1.000	1.000	19.73	0.000	0.000	0.000	0.000	Ala_161_6590_L_0	0.0000	
0.0000	0.0000	0.0000	0.0000	0.0000	0.0000	0.0000			
35 D	4.384	0.000	39.00	21.92	39.00	21.92	V-C 1.8377E+04	-6.700	0.000
1.000	1.000	21.92	0.000	0.000	0.000	0.000	Ala_161_6590_L_0	0.0000	
0.0000	0.0000	0.0000	0.0000	0.0000	0.0000	0.0000			
36 D	4.822	0.000	42.90	24.11	42.90	24.11	V-C 1.8377E+04	-6.900	0.000
1.000	1.000	24.11	0.000	0.000	0.000	0.000	Ala_161_6590_L_0	0.0000	
0.0000	0.0000	0.0000	0.0000	0.0000	0.0000	0.0000			
37 D	5.260	0.000	46.80	26.30	46.80	26.30	V-C 1.8377E+04	-7.100	0.000
1.000	1.000	26.30	0.000	0.000	0.000	0.000	Ala_161_6590_L_0	0.0000	
0.0000	0.0000	0.0000	0.0000	0.0000	0.0000	0.0000			
38 D	5.699	0.000	50.70	28.49	50.70	28.49	V-C 1.8377E+04	-7.300	0.000
1.000	1.000	28.49	0.000	0.000	0.000	0.000	Ala_161_6590_L_0	0.0000	
0.0000	0.0000	0.0000	0.0000	0.0000	0.0000	0.0000			
39 D	6.137	0.000	54.60	30.69	54.60	30.69	V-C 1.8377E+04	-7.500	0.000
1.000	1.000	30.69	0.000	0.000	0.000	0.000	Ala_161_6590_L_0	0.0000	
0.0000	0.0000	0.0000	0.0000	0.0000	0.0000	0.0000			
40 D	6.575	0.000	58.50	32.88	58.50	32.88	V-C 1.8377E+04	-7.700	0.000
1.000	1.000	32.88	0.000	0.000	0.000	0.000	Ala_161_6590_L_0	0.0000	
0.0000	0.0000	0.0000	0.0000	0.0000	0.0000	0.0000			
41 D	7.014	0.000	62.40	35.07	62.40	35.07	V-C 1.8377E+04	-7.900	0.000
1.000	1.000	35.07	0.000	0.000	0.000	0.000	Ala_161_6590_L_0	0.0000	
0.0000	0.0000	0.0000	0.0000	0.0000	0.0000	0.0000			
42 D	7.452	0.000	66.30	37.26	66.30	37.26	V-C 1.8377E+04	-8.100	0.000
1.000	1.000	37.26	0.000	0.000	0.000	0.000	Ala_161_6590_L_0	0.0000	
0.0000	0.0000	0.0000	0.0000	0.0000	0.0000	0.0000			
43 D	7.890	0.000	70.20	39.45	70.20	39.45	V-C 1.8377E+04	-8.300	0.000
1.000	1.000	39.45	0.000	0.000	0.000	0.000	Ala_161_6590_L_0	0.0000	
0.0000	0.0000	0.0000	0.0000	0.0000	0.0000	0.0000			
44 D	8.329	0.000	74.10	41.64	74.10	41.64	V-C 1.8377E+04	-8.500	0.000
1.000	1.000	41.64	0.000	0.000	0.000	0.000	Ala_161_6590_L_0	0.0000	
0.0000	0.0000	0.0000	0.0000	0.0000	0.0000	0.0000			
45 D	8.767	0.000	78.00	43.84	78.00	43.84	V-C 1.8377E+04	-8.700	0.000
1.000	1.000	43.84	0.000	0.000	0.000	0.000	Ala_161_6590_L_0	0.0000	
0.0000	0.0000	0.0000	0.0000	0.0000	0.0000	0.0000			
46 D	9.206	0.000	81.90	46.03	81.90	46.03	V-C 1.8377E+04	-8.900	0.000
1.000	1.000	46.03	0.000	0.000	0.000	0.000	Ala_161_6590_L_0	0.0000	
0.0000	0.0000	0.0000	0.0000	0.0000	0.0000	0.0000			
47 D	9.644	0.000	85.80	48.22	85.80	48.22	V-C 1.8377E+04	-9.100	0.000
1.000	1.000	48.22	0.000	0.000	0.000	0.000	Ala_161_6590_L_0	0.0000	
0.0000	0.0000	0.0000	0.0000	0.0000	0.0000	0.0000			
48 D	10.08	0.000	89.70	50.41	89.70	50.41	V-C 1.8377E+04	-9.300	0.000
1.000	1.000	50.41	0.000	0.000	0.000	0.000	Ala_161_6590_L_0	0.0000	
0.0000	0.0000	0.0000	0.0000	0.0000	0.0000	0.0000			
49 D	10.52	0.000	93.60	52.60	93.60	52.60	V-C 1.8377E+04	-9.500	0.000
1.000	1.000	52.60	0.000	0.000	0.000	0.000	Ala_161_6590_L_0	0.0000	
0.0000	0.0000	0.0000	0.0000	0.0000	0.0000	0.0000			
50 D	11.13	0.000	95.50	53.67	95.50	53.67	V-C 1.8377E+04	-9.700	2.000
1.000	1.000	55.67	0.000	0.000	0.000	0.000	Ala_161_6590_L_0	0.0000	
0.0000	0.0000	0.0000	0.0000	0.0000	0.0000	0.0000			
51 D	11.75	0.000	97.40	54.74	97.40	54.74	V-C 1.8377E+04	-9.900	4.000
1.000	1.000	58.74	0.000	0.000	0.000	0.000	Ala_161_6590_L_0	0.0000	
0.0000	0.0000	0.0000	0.0000	0.0000	0.0000	0.0000			
52 D	12.36	0.000	99.30	55.81	99.30	55.81	V-C 1.8377E+04	-10.10	6.000
1.000	1.000	61.81	0.000	0.000	0.000	0.000	Ala_161_6590_L_0	0.0000	
0.0000	0.0000	0.0000	0.0000	0.0000	0.0000	0.0000			
53 D	12.97	0.000	101.2	56.87	101.2	56.87	V-C 1.8377E+04	-10.30	8.000
1.000	1.000	64.87	0.000	0.000	0.000	0.000	Ala_161_6590_L_0	0.0000	
0.0000	0.0000	0.0000	0.0000	0.0000	0.0000	0.0000			
54 D	13.59	0.000	103.1	57.94	103.1	57.94	V-C 1.8377E+04	-10.50	10.000
1.000	1.000	67.94	0.000	0.000	0.000	0.000	Ala_161_6590_L_0	0.0000	
0.0000	0.0000	0.0000	0.0000	0.0000	0.0000	0.0000			
55 D	14.20	0.000	105.0	59.01	105.0	59.01	V-C 1.8377E+04	-10.70	12.00
1.000	1.000	71.01	0.000	0.000	0.000	0.000	Ala_161_6590_L_0	0.0000	
0.0000	0.0000	0.0000	0.0000	0.0000	0.0000	0.0000			
56 D	14.82	0.000	106.9	60.08	106.9	60.08	V-C 1.8377E+04	-10.90	14.00
1.000	1.000	74.08	0.000	0.000	0.000	0.000	Ala_161_6590_L_0	0.0000	
0.0000	0.0000	0.0000	0.0000	0.0000	0.0000	0.0000			
57 D	15.43	0.000	108.8	61.15	108.8	61.15	V-C 1.8377E+04	-11.10	16.00
1.000	1.000	77.15	0.000	0.000	0.000	0.000	Ala_161_6590_L_0	0.0000	
0.0000	0.0000	0.0000	0.0000	0.0000	0.0000	0.0000			
58 D	16.04	0.000	110.7	62.21	110.7	62.21	V-C 1.8377E+04	-11.30	18.00
1.000	1.000	80.21	0.000	0.000	0.000	0.000	Ala_161_6590_L_0	0.0000	
0.0000	0.0000	0.0000	0.0000	0.0000	0.0000	0.0000			
59 D	16.66	0.000	112.6	63.28	112.6	63.28	V-C 1.8377E+04	-11.50	20.00
1.000	1.000	83.28	0.000	0.000	0.000	0.000	Ala_161_6590_L_0	0.0000	
0.0000	0.0000	0.0000	0.0000	0.0000	0.0000	0.0000			
60 D	17.27	0.000	114.5	64.35	114.5	64.35	V-C 1.8377E+04	-11.70	22.00
1.000	1.000	86.35	0.000	0.000	0.000	0.000	Ala_161_6590_L_0	0.0000	
0.0000	0.0000	0.0000	0.0000	0.0000	0.0000	0.0000			

61 D	17.88	0.000	116.4	65.42	116.4	65.42	V-C 1.8377E+04	-11.90	24.00
1.000	1.000	89.42	0.000	0.000	0.000	0.000	Ala_161_6590_L_0		0.0000
0.0000	0.0000	0.0000	0.0000	0.0000	0.0000	0.0000			
62 D	18.50	0.000	118.3	66.48	118.3	66.48	V-C 1.8377E+04	-12.10	26.00
1.000	1.000	92.48	0.000	0.000	0.000	0.000	Ala_161_6590_L_0		0.0000
0.0000	0.0000	0.0000	0.0000	0.0000	0.0000	0.0000			
63 D	19.11	0.000	120.2	67.55	120.2	67.55	V-C 1.8377E+04	-12.30	28.00
1.000	1.000	95.55	0.000	0.000	0.000	0.000	Ala_161_6590_L_0		0.0000
0.0000	0.0000	0.0000	0.0000	0.0000	0.0000	0.0000			
64 D	19.72	0.000	122.1	68.62	122.1	68.62	V-C 1.8377E+04	-12.50	30.00
1.000	1.000	98.62	0.000	0.000	0.000	0.000	Ala_161_6590_L_0		0.0000
0.0000	0.0000	0.0000	0.0000	0.0000	0.0000	0.0000			
65 D	20.34	0.000	124.0	69.69	124.0	69.69	V-C 1.8377E+04	-12.70	32.00
1.000	1.000	101.7	0.000	0.000	0.000	0.000	Ala_161_6590_L_0		0.0000
0.0000	0.0000	0.0000	0.0000	0.0000	0.0000	0.0000			
66 D	20.95	0.000	125.9	70.76	125.9	70.76	V-C 1.8377E+04	-12.90	34.00
1.000	1.000	104.8	0.000	0.000	0.000	0.000	Ala_161_6590_L_0		0.0000
0.0000	0.0000	0.0000	0.0000	0.0000	0.0000	0.0000			
67 D	21.56	0.000	127.8	71.82	127.8	71.82	V-C 1.8377E+04	-13.10	36.00
1.000	1.000	107.8	0.000	0.000	0.000	0.000	Ala_161_6590_L_0		0.0000
0.0000	0.0000	0.0000	0.0000	0.0000	0.0000	0.0000			
68 D	22.18	0.000	129.7	72.89	129.7	72.89	V-C 1.8377E+04	-13.30	38.00
1.000	1.000	110.9	0.000	0.000	0.000	0.000	Ala_161_6590_L_0		0.0000
0.0000	0.0000	0.0000	0.0000	0.0000	0.0000	0.0000			
69 D	22.79	0.000	131.6	73.96	131.6	73.96	V-C 1.8377E+04	-13.50	40.00
1.000	1.000	114.0	0.000	0.000	0.000	0.000	Ala_161_6590_L_0		0.0000
0.0000	0.0000	0.0000	0.0000	0.0000	0.0000	0.0000			
70 D	23.41	0.000	133.5	75.03	133.5	75.03	V-C 1.8377E+04	-13.70	42.00
1.000	1.000	117.0	0.000	0.000	0.000	0.000	Ala_161_6590_L_0		0.0000
0.0000	0.0000	0.0000	0.0000	0.0000	0.0000	0.0000			
71 D	24.02	0.000	135.4	76.09	135.4	76.09	V-C 1.8377E+04	-13.90	44.00
1.000	1.000	120.1	0.000	0.000	0.000	0.000	Ala_161_6590_L_0		0.0000
0.0000	0.0000	0.0000	0.0000	0.0000	0.0000	0.0000			
72 D	24.63	0.000	137.3	77.16	137.3	77.16	V-C 1.8377E+04	-14.10	46.00
1.000	1.000	123.2	0.000	0.000	0.000	0.000	Ala_161_6590_L_0		0.0000
0.0000	0.0000	0.0000	0.0000	0.0000	0.0000	0.0000			
73 D	25.25	0.000	139.2	78.23	139.2	78.23	V-C 1.8377E+04	-14.30	48.00
1.000	1.000	126.2	0.000	0.000	0.000	0.000	Ala_161_6590_L_0		0.0000
0.0000	0.0000	0.0000	0.0000	0.0000	0.0000	0.0000			
74 D	25.86	0.000	141.1	79.30	141.1	79.30	V-C 1.8377E+04	-14.50	50.00
1.000	1.000	129.3	0.000	0.000	0.000	0.000	Ala_161_6590_L_0		0.0000
0.0000	0.0000	0.0000	0.0000	0.0000	0.0000	0.0000			
75 D	26.47	0.000	143.0	80.37	143.0	80.37	V-C 1.8377E+04	-14.70	52.00
1.000	1.000	132.4	0.000	0.000	0.000	0.000	Ala_161_6590_L_0		0.0000
0.0000	0.0000	0.0000	0.0000	0.0000	0.0000	0.0000			
76 D	27.09	0.000	144.9	81.43	144.9	81.43	V-C 1.8377E+04	-14.90	54.00
1.000	1.000	135.4	0.000	0.000	0.000	0.000	Ala_161_6590_L_0		0.0000
0.0000	0.0000	0.0000	0.0000	0.0000	0.0000	0.0000			
77 D	27.70	0.000	146.8	82.50	146.8	82.50	V-C 1.8377E+04	-15.10	56.00
1.000	1.000	138.5	0.000	0.000	0.000	0.000	Ala_161_6590_L_0		0.0000
0.0000	0.0000	0.0000	0.0000	0.0000	0.0000	0.0000			
78 D	28.31	0.000	148.7	83.57	148.7	83.57	V-C 1.8377E+04	-15.30	58.00
1.000	1.000	141.6	0.000	0.000	0.000	0.000	Ala_161_6590_L_0		0.0000
0.0000	0.0000	0.0000	0.0000	0.0000	0.0000	0.0000			
79 D	28.93	0.000	150.6	84.64	150.6	84.64	V-C 1.8377E+04	-15.50	60.00
1.000	1.000	144.6	0.000	0.000	0.000	0.000	Ala_161_6590_L_0		0.0000
0.0000	0.0000	0.0000	0.0000	0.0000	0.0000	0.0000			
80 D	29.54	0.000	152.5	85.70	152.5	85.70	V-C 1.8377E+04	-15.70	62.00
1.000	1.000	147.7	0.000	0.000	0.000	0.000	Ala_161_6590_L_0		0.0000
0.0000	0.0000	0.0000	0.0000	0.0000	0.0000	0.0000			
81 D	30.15	0.000	154.4	86.77	154.4	86.77	V-C 1.8377E+04	-15.90	64.00
1.000	1.000	150.8	0.000	0.000	0.000	0.000	Ala_161_6590_L_0		0.0000
0.0000	0.0000	0.0000	0.0000	0.0000	0.0000	0.0000			
82 D	30.77	0.000	156.4	87.87	156.4	87.87	V-C 1.0300E+05	-16.10	66.00
1.000	1.000	153.9	0.000	0.000	0.000	0.000	Salt_21271_21259_L_0		0.0000
0.0000	0.0000	0.0000	0.0000	0.0000	0.0000	0.0000			
83 D	31.40	0.000	158.4	89.00	158.4	89.00	V-C 1.0300E+05	-16.30	68.00
1.000	1.000	157.0	0.000	0.000	0.000	0.000	Salt_21271_21259_L_0		0.0000
0.0000	0.0000	0.0000	0.0000	0.0000	0.0000	0.0000			
84 D	32.02	0.000	160.4	90.12	160.4	90.12	V-C 1.0300E+05	-16.50	70.00
1.000	1.000	160.1	0.000	0.000	0.000	0.000	Salt_21271_21259_L_0		0.0000
0.0000	0.0000	0.0000	0.0000	0.0000	0.0000	0.0000			
85 D	32.65	0.000	162.4	91.24	162.4	91.24	V-C 1.0300E+05	-16.70	72.00
1.000	1.000	163.2	0.000	0.000	0.000	0.000	Salt_21271_21259_L_0		0.0000
0.0000	0.0000	0.0000	0.0000	0.0000	0.0000	0.0000			
86 D	33.27	0.000	164.4	92.37	164.4	92.37	V-C 1.0300E+05	-16.90	74.00
1.000	1.000	166.4	0.000	0.000	0.000	0.000	Salt_21271_21259_L_0		0.0000
0.0000	0.0000	0.0000	0.0000	0.0000	0.0000	0.0000			
87 D	33.90	0.000	166.4	93.49	166.4	93.49	V-C 1.0300E+05	-17.10	76.00
1.000	1.000	169.5	0.000	0.000	0.000	0.000	Salt_21271_21259_L_0		0.0000
0.0000	0.0000	0.0000	0.0000	0.0000	0.0000	0.0000			
88 D	34.52	0.000	168.4	94.62	168.4	94.62	V-C 1.0300E+05	-17.30	78.00
1.000	1.000	172.6	0.000	0.000	0.000	0.000	Salt_21271_21259_L_0		0.0000
0.0000	0.0000	0.0000	0.0000	0.0000	0.0000	0.0000			
89 D	35.15	0.000	170.4	95.74	170.4	95.74	V-C 1.0300E+05	-17.50	80.00
1.000	1.000	175.7	0.000	0.000	0.000	0.000	Salt_21271_21259_L_0		0.0000
0.0000	0.0000	0.0000	0.0000	0.0000	0.0000	0.0000			
90 D	35.78	0.000	172.4	96.91	172.4	96.91	V-C 6.2950E+04	-17.70	82.00
1.000	1.000	178.9	0.000	0.000	0.000	0.000	Sch_21272_21260_L_0		0.0000
0.0000	0.0000	0.0000	0.0000	0.0000	0.0000	0.0000			
91 D	36.48	0.000	175.0	98.38	175.0	98.38	V-C 6.2950E+04	-17.90	84.00
1.000	1.000	182.4	0.000	0.000	0.000	0.000	Sch_21272_21260_L_0		0.0000

0.0000	0.0000	0.0000	0.0000	0.0000						
92 D	27.88	0.000	177.6	99.84	177.6	99.84	V-C	6.2950E+04	-18.10	86.00
1.000	1.000	185.8	0.000	0.000	0.000	0.000	Sch_21272_21260_L_0			0.0000
0.0000	0.0000	0.0000	0.0000	0.0000						
93 D	9.378	0.000	178.9	100.6	178.9	100.6	V-C	6.2950E+04	-18.20	87.00
1.000	1.000	187.6	0.000	0.000	0.000	0.000	Sch_21272_21260_L_0			0.0000
0.0000	0.0000	0.0000	0.0000	0.0000						

```

+-----+
|                PARATIEPLUS(TM)  NLS ENGINE RELEASE 2022.0.0  FULL VERSION  *Build date:Sep 13, 2021*                |
|                                                                                                                                            |
|                                                                                               ParatiePlus                               |
|                                                                                               Exe Time :28 January 2022  11:11:17          |
+-----+

```

New Project

S T R E S S R E S U L T S F O R G R O U P N O . 2

O_R :
ELEMENT TYPE 5 NO.OF ELEMENTS. IN THIS GROUP 93
C U R R E N T T I M E I S 1.0000 SUBINCREMENT 00001/00001

HARDENING 2D SOIL ELEMENT

***** TOTAL STRESS FORMULATION *****

EL * TOR QSL	FORCE UFACTOR ZD	DISPL-Y Peq ZPL	VERTICAL-P Su_a Kz	HORIZON.-P Su_p	MAX-V-P Coh_e_a	MAX-H-P Coh_e_p	STATE LAYER	STIFFNESS	Z-LEVEL	PORE ZFO	E FAC- QS
1	0.000	--	--	--	--	--	REMOVED	--	0.000	0.000	
1.000	1.000	0.000	0.000	0.000	0.000	0.000	not available				
2	0.000	--	--	--	--	--	REMOVED	--	-0.2000	0.000	
1.000	1.000	0.000	0.000	0.000	0.000	0.000	not available				
3	0.000	--	--	--	--	--	REMOVED	--	-0.4000	0.000	
1.000	1.000	0.000	0.000	0.000	0.000	0.000	not available				
4	0.000	--	--	--	--	--	REMOVED	--	-0.6000	0.000	
1.000	1.000	0.000	0.000	0.000	0.000	0.000	not available				
5	0.000	--	--	--	--	--	REMOVED	--	-0.8000	0.000	
1.000	1.000	0.000	0.000	0.000	0.000	0.000	not available				
6	0.000	--	--	--	--	--	REMOVED	--	-1.000	0.000	
1.000	1.000	0.000	0.000	0.000	0.000	0.000	not available				
7	0.000	--	--	--	--	--	REMOVED	--	-1.200	0.000	
1.000	1.000	0.000	0.000	0.000	0.000	0.000	not available				
8	0.000	--	--	--	--	--	REMOVED	--	-1.400	0.000	
1.000	1.000	0.000	0.000	0.000	0.000	0.000	not available				
9	0.000	--	--	--	--	--	REMOVED	--	-1.600	0.000	
1.000	1.000	0.000	0.000	0.000	0.000	0.000	not available				
10	0.000	--	--	--	--	--	REMOVED	--	-1.800	0.000	
1.000	1.000	0.000	0.000	0.000	0.000	0.000	not available				
11	0.000	--	--	--	--	--	REMOVED	--	-2.000	0.000	
1.000	1.000	0.000	0.000	0.000	0.000	0.000	not available				
12	0.000	--	--	--	--	--	REMOVED	--	-2.200	0.000	
1.000	1.000	0.000	0.000	0.000	0.000	0.000	not available				
13	0.000	--	--	--	--	--	REMOVED	--	-2.400	0.000	
1.000	1.000	0.000	0.000	0.000	0.000	0.000	not available				
14	0.000	--	--	--	--	--	REMOVED	--	-2.600	0.000	
1.000	1.000	0.000	0.000	0.000	0.000	0.000	not available				
15	0.000	--	--	--	--	--	REMOVED	--	-2.800	0.000	
1.000	1.000	0.000	0.000	0.000	0.000	0.000	not available				
16	0.000	--	--	--	--	--	REMOVED	--	-3.000	0.000	
1.000	1.000	0.000	0.000	0.000	0.000	0.000	not available				
17	0.000	--	--	--	--	--	REMOVED	--	-3.200	0.000	
1.000	1.000	0.000	0.000	0.000	0.000	0.000	not available				
18	0.000	--	--	--	--	--	REMOVED	--	-3.400	0.000	
1.000	1.000	0.000	0.000	0.000	0.000	0.000	not available				
19	0.000	--	--	--	--	--	REMOVED	--	-3.600	0.000	
1.000	1.000	0.000	0.000	0.000	0.000	0.000	not available				
20	0.000	--	--	--	--	--	REMOVED	--	-3.800	0.000	
1.000	1.000	0.000	0.000	0.000	0.000	0.000	not available				
21	0.000	--	--	--	--	--	REMOVED	--	-4.000	0.000	
1.000	1.000	0.000	0.000	0.000	0.000	0.000	not available				
22	0.000	--	--	--	--	--	REMOVED	--	-4.200	0.000	
1.000	1.000	0.000	0.000	0.000	0.000	0.000	not available				
23	0.000	--	--	--	--	--	REMOVED	--	-4.400	0.000	
1.000	1.000	0.000	0.000	0.000	0.000	0.000	not available				
24	0.000	--	--	--	--	--	REMOVED	--	-4.600	0.000	
1.000	1.000	0.000	0.000	0.000	0.000	0.000	not available				
25 D	0.000	0.000	0.000	0.000	0.000	0.000	V-C 2.2640E+04		-4.700	0.000	
1.000	1.000	0.000	0.000	0.000	0.000	0.000	Ala_161_6590_L_0			0.0000	
0.0000	0.0000	0.0000	0.0000	0.0000	0.0000	0.0000					
26 D	0.4384	0.000	3.900	2.192	3.900	2.192	V-C 2.2640E+04		-4.900	0.000	
1.000	1.000	2.192	0.000	0.000	0.000	0.000	Ala_161_6590_L_0			0.0000	
0.0000	0.0000	0.0000	0.0000	0.0000	0.0000	0.0000					
27 D	0.8767	0.000	7.800	4.384	7.800	4.384	V-C 2.2640E+04		-5.100	0.000	
1.000	1.000	4.384	0.000	0.000	0.000	0.000	Ala_161_6590_L_0			0.0000	
0.0000	0.0000	0.0000	0.0000	0.0000	0.0000	0.0000					
28 D	1.315	0.000	11.70	6.575	11.70	6.575	V-C 2.2640E+04		-5.300	0.000	
1.000	1.000	6.575	0.000	0.000	0.000	0.000	Ala_161_6590_L_0			0.0000	
0.0000	0.0000	0.0000	0.0000	0.0000	0.0000	0.0000					
29 D	1.753	0.000	15.60	8.767	15.60	8.767	V-C 2.2640E+04		-5.500	0.000	
1.000	1.000	8.767	0.000	0.000	0.000	0.000	Ala_161_6590_L_0			0.0000	
0.0000	0.0000	0.0000	0.0000	0.0000	0.0000	0.0000					
30 D	2.192	0.000	19.50	10.96	19.50	10.96	V-C 2.2640E+04		-5.700	0.000	

1.000	1.000	10.96	0.000	0.000	0.000	0.000	Ala_161_6590_L_0	0.0000	
0.0000	0.0000	0.0000	0.0000	0.0000	0.0000	0.0000			
31 D	2.630	0.000	23.40	13.15	23.40	13.15	V-C 2.2640E+04	-5.900	0.000
1.000	1.000	13.15	0.000	0.000	0.000	0.000	Ala_161_6590_L_0	0.0000	0.0000
0.0000	0.0000	0.0000	0.0000	0.0000	0.0000	0.0000			
32 D	3.069	0.000	27.30	15.34	27.30	15.34	V-C 2.2640E+04	-6.100	0.000
1.000	1.000	15.34	0.000	0.000	0.000	0.000	Ala_161_6590_L_0	0.0000	0.0000
0.0000	0.0000	0.0000	0.0000	0.0000	0.0000	0.0000			
33 D	3.507	0.000	31.20	17.53	31.20	17.53	V-C 2.2640E+04	-6.300	0.000
1.000	1.000	17.53	0.000	0.000	0.000	0.000	Ala_161_6590_L_0	0.0000	0.0000
0.0000	0.0000	0.0000	0.0000	0.0000	0.0000	0.0000			
34 D	3.945	0.000	35.10	19.73	35.10	19.73	V-C 2.2640E+04	-6.500	0.000
1.000	1.000	19.73	0.000	0.000	0.000	0.000	Ala_161_6590_L_0	0.0000	0.0000
0.0000	0.0000	0.0000	0.0000	0.0000	0.0000	0.0000			
35 D	4.384	0.000	39.00	21.92	39.00	21.92	V-C 2.2640E+04	-6.700	0.000
1.000	1.000	21.92	0.000	0.000	0.000	0.000	Ala_161_6590_L_0	0.0000	0.0000
0.0000	0.0000	0.0000	0.0000	0.0000	0.0000	0.0000			
36 D	4.822	0.000	42.90	24.11	42.90	24.11	V-C 2.2640E+04	-6.900	0.000
1.000	1.000	24.11	0.000	0.000	0.000	0.000	Ala_161_6590_L_0	0.0000	0.0000
0.0000	0.0000	0.0000	0.0000	0.0000	0.0000	0.0000			
37 D	5.260	0.000	46.80	26.30	46.80	26.30	V-C 2.2640E+04	-7.100	0.000
1.000	1.000	26.30	0.000	0.000	0.000	0.000	Ala_161_6590_L_0	0.0000	0.0000
0.0000	0.0000	0.0000	0.0000	0.0000	0.0000	0.0000			
38 D	5.699	0.000	50.70	28.49	50.70	28.49	V-C 2.2640E+04	-7.300	0.000
1.000	1.000	28.49	0.000	0.000	0.000	0.000	Ala_161_6590_L_0	0.0000	0.0000
0.0000	0.0000	0.0000	0.0000	0.0000	0.0000	0.0000			
39 D	6.137	0.000	54.60	30.69	54.60	30.69	V-C 2.2640E+04	-7.500	0.000
1.000	1.000	30.69	0.000	0.000	0.000	0.000	Ala_161_6590_L_0	0.0000	0.0000
0.0000	0.0000	0.0000	0.0000	0.0000	0.0000	0.0000			
40 D	6.575	0.000	58.50	32.88	58.50	32.88	V-C 2.2640E+04	-7.700	0.000
1.000	1.000	32.88	0.000	0.000	0.000	0.000	Ala_161_6590_L_0	0.0000	0.0000
0.0000	0.0000	0.0000	0.0000	0.0000	0.0000	0.0000			
41 D	7.014	0.000	62.40	35.07	62.40	35.07	V-C 2.2640E+04	-7.900	0.000
1.000	1.000	35.07	0.000	0.000	0.000	0.000	Ala_161_6590_L_0	0.0000	0.0000
0.0000	0.0000	0.0000	0.0000	0.0000	0.0000	0.0000			
42 D	7.452	0.000	66.30	37.26	66.30	37.26	V-C 2.2640E+04	-8.100	0.000
1.000	1.000	37.26	0.000	0.000	0.000	0.000	Ala_161_6590_L_0	0.0000	0.0000
0.0000	0.0000	0.0000	0.0000	0.0000	0.0000	0.0000			
43 D	7.890	0.000	70.20	39.45	70.20	39.45	V-C 2.2640E+04	-8.300	0.000
1.000	1.000	39.45	0.000	0.000	0.000	0.000	Ala_161_6590_L_0	0.0000	0.0000
0.0000	0.0000	0.0000	0.0000	0.0000	0.0000	0.0000			
44 D	8.329	0.000	74.10	41.64	74.10	41.64	V-C 2.2640E+04	-8.500	0.000
1.000	1.000	41.64	0.000	0.000	0.000	0.000	Ala_161_6590_L_0	0.0000	0.0000
0.0000	0.0000	0.0000	0.0000	0.0000	0.0000	0.0000			
45 D	8.767	0.000	78.00	43.84	78.00	43.84	V-C 2.2640E+04	-8.700	0.000
1.000	1.000	43.84	0.000	0.000	0.000	0.000	Ala_161_6590_L_0	0.0000	0.0000
0.0000	0.0000	0.0000	0.0000	0.0000	0.0000	0.0000			
46 D	9.206	0.000	81.90	46.03	81.90	46.03	V-C 2.2640E+04	-8.900	0.000
1.000	1.000	46.03	0.000	0.000	0.000	0.000	Ala_161_6590_L_0	0.0000	0.0000
0.0000	0.0000	0.0000	0.0000	0.0000	0.0000	0.0000			
47 D	9.644	0.000	85.80	48.22	85.80	48.22	V-C 2.2640E+04	-9.100	0.000
1.000	1.000	48.22	0.000	0.000	0.000	0.000	Ala_161_6590_L_0	0.0000	0.0000
0.0000	0.0000	0.0000	0.0000	0.0000	0.0000	0.0000			
48 D	10.08	0.000	89.70	50.41	89.70	50.41	V-C 2.2640E+04	-9.300	0.000
1.000	1.000	50.41	0.000	0.000	0.000	0.000	Ala_161_6590_L_0	0.0000	0.0000
0.0000	0.0000	0.0000	0.0000	0.0000	0.0000	0.0000			
49 D	10.52	0.000	93.60	52.60	93.60	52.60	V-C 2.2640E+04	-9.500	0.000
1.000	1.000	52.60	0.000	0.000	0.000	0.000	Ala_161_6590_L_0	0.0000	0.0000
0.0000	0.0000	0.0000	0.0000	0.0000	0.0000	0.0000			
50 D	11.13	0.000	95.50	53.67	95.50	53.67	V-C 2.2640E+04	-9.700	2.000
1.000	1.000	55.67	0.000	0.000	0.000	0.000	Ala_161_6590_L_0	0.0000	0.0000
0.0000	0.0000	0.0000	0.0000	0.0000	0.0000	0.0000			
51 D	11.75	0.000	97.40	54.74	97.40	54.74	V-C 2.2640E+04	-9.900	4.000
1.000	1.000	58.74	0.000	0.000	0.000	0.000	Ala_161_6590_L_0	0.0000	0.0000
0.0000	0.0000	0.0000	0.0000	0.0000	0.0000	0.0000			
52 D	12.36	0.000	99.30	55.81	99.30	55.81	V-C 2.2640E+04	-10.10	6.000
1.000	1.000	61.81	0.000	0.000	0.000	0.000	Ala_161_6590_L_0	0.0000	0.0000
0.0000	0.0000	0.0000	0.0000	0.0000	0.0000	0.0000			
53 D	12.97	0.000	101.2	56.87	101.2	56.87	V-C 2.2640E+04	-10.30	8.000
1.000	1.000	64.87	0.000	0.000	0.000	0.000	Ala_161_6590_L_0	0.0000	0.0000
0.0000	0.0000	0.0000	0.0000	0.0000	0.0000	0.0000			
54 D	13.59	0.000	103.1	57.94	103.1	57.94	V-C 2.2640E+04	-10.50	10.000
1.000	1.000	67.94	0.000	0.000	0.000	0.000	Ala_161_6590_L_0	0.0000	0.0000
0.0000	0.0000	0.0000	0.0000	0.0000	0.0000	0.0000			
55 D	14.20	0.000	105.0	59.01	105.0	59.01	V-C 2.2640E+04	-10.70	12.00
1.000	1.000	71.01	0.000	0.000	0.000	0.000	Ala_161_6590_L_0	0.0000	0.0000
0.0000	0.0000	0.0000	0.0000	0.0000	0.0000	0.0000			
56 D	14.82	0.000	106.9	60.08	106.9	60.08	V-C 2.2640E+04	-10.90	14.00
1.000	1.000	74.08	0.000	0.000	0.000	0.000	Ala_161_6590_L_0	0.0000	0.0000
0.0000	0.0000	0.0000	0.0000	0.0000	0.0000	0.0000			
57 D	15.43	0.000	108.8	61.15	108.8	61.15	V-C 2.2640E+04	-11.10	16.00
1.000	1.000	77.15	0.000	0.000	0.000	0.000	Ala_161_6590_L_0	0.0000	0.0000
0.0000	0.0000	0.0000	0.0000	0.0000	0.0000	0.0000			
58 D	16.04	0.000	110.7	62.21	110.7	62.21	V-C 2.2640E+04	-11.30	18.00
1.000	1.000	80.21	0.000	0.000	0.000	0.000	Ala_161_6590_L_0	0.0000	0.0000
0.0000	0.0000	0.0000	0.0000	0.0000	0.0000	0.0000			
59 D	16.66	0.000	112.6	63.28	112.6	63.28	V-C 2.2640E+04	-11.50	20.00
1.000	1.000	83.28	0.000	0.000	0.000	0.000	Ala_161_6590_L_0	0.0000	0.0000
0.0000	0.0000	0.0000	0.0000	0.0000	0.0000	0.0000			
60 D	17.27	0.000	114.5	64.35	114.5	64.35	V-C 2.2640E+04	-11.70	22.00
1.000	1.000	86.35	0.000	0.000	0.000	0.000	Ala_161_6590_L_0	0.0000	0.0000
0.0000	0.0000	0.0000	0.0000	0.0000	0.0000	0.0000			

61 D	17.88	0.000	116.4	65.42	116.4	65.42	V-C 2.2640E+04	-11.90	24.00
1.000	1.000	89.42	0.000	0.000	0.000	0.000	Ala_161_6590_L_0		0.0000
0.0000	0.0000	0.0000	0.0000	0.0000	0.0000	0.0000			
62 D	18.50	0.000	118.3	66.48	118.3	66.48	V-C 2.2640E+04	-12.10	26.00
1.000	1.000	92.48	0.000	0.000	0.000	0.000	Ala_161_6590_L_0		0.0000
0.0000	0.0000	0.0000	0.0000	0.0000	0.0000	0.0000			
63 D	19.11	0.000	120.2	67.55	120.2	67.55	V-C 2.2640E+04	-12.30	28.00
1.000	1.000	95.55	0.000	0.000	0.000	0.000	Ala_161_6590_L_0		0.0000
0.0000	0.0000	0.0000	0.0000	0.0000	0.0000	0.0000			
64 D	19.72	0.000	122.1	68.62	122.1	68.62	V-C 2.2640E+04	-12.50	30.00
1.000	1.000	98.62	0.000	0.000	0.000	0.000	Ala_161_6590_L_0		0.0000
0.0000	0.0000	0.0000	0.0000	0.0000	0.0000	0.0000			
65 D	20.34	0.000	124.0	69.69	124.0	69.69	V-C 2.2640E+04	-12.70	32.00
1.000	1.000	101.7	0.000	0.000	0.000	0.000	Ala_161_6590_L_0		0.0000
0.0000	0.0000	0.0000	0.0000	0.0000	0.0000	0.0000			
66 D	20.95	0.000	125.9	70.76	125.9	70.76	V-C 2.2640E+04	-12.90	34.00
1.000	1.000	104.8	0.000	0.000	0.000	0.000	Ala_161_6590_L_0		0.0000
0.0000	0.0000	0.0000	0.0000	0.0000	0.0000	0.0000			
67 D	21.56	0.000	127.8	71.82	127.8	71.82	V-C 2.2640E+04	-13.10	36.00
1.000	1.000	107.8	0.000	0.000	0.000	0.000	Ala_161_6590_L_0		0.0000
0.0000	0.0000	0.0000	0.0000	0.0000	0.0000	0.0000			
68 D	22.18	0.000	129.7	72.89	129.7	72.89	V-C 2.2640E+04	-13.30	38.00
1.000	1.000	110.9	0.000	0.000	0.000	0.000	Ala_161_6590_L_0		0.0000
0.0000	0.0000	0.0000	0.0000	0.0000	0.0000	0.0000			
69 D	22.79	0.000	131.6	73.96	131.6	73.96	V-C 2.2640E+04	-13.50	40.00
1.000	1.000	114.0	0.000	0.000	0.000	0.000	Ala_161_6590_L_0		0.0000
0.0000	0.0000	0.0000	0.0000	0.0000	0.0000	0.0000			
70 D	23.41	0.000	133.5	75.03	133.5	75.03	V-C 2.2640E+04	-13.70	42.00
1.000	1.000	117.0	0.000	0.000	0.000	0.000	Ala_161_6590_L_0		0.0000
0.0000	0.0000	0.0000	0.0000	0.0000	0.0000	0.0000			
71 D	24.02	0.000	135.4	76.09	135.4	76.09	V-C 2.2640E+04	-13.90	44.00
1.000	1.000	120.1	0.000	0.000	0.000	0.000	Ala_161_6590_L_0		0.0000
0.0000	0.0000	0.0000	0.0000	0.0000	0.0000	0.0000			
72 D	24.63	0.000	137.3	77.16	137.3	77.16	V-C 2.2640E+04	-14.10	46.00
1.000	1.000	123.2	0.000	0.000	0.000	0.000	Ala_161_6590_L_0		0.0000
0.0000	0.0000	0.0000	0.0000	0.0000	0.0000	0.0000			
73 D	25.25	0.000	139.2	78.23	139.2	78.23	V-C 2.2640E+04	-14.30	48.00
1.000	1.000	126.2	0.000	0.000	0.000	0.000	Ala_161_6590_L_0		0.0000
0.0000	0.0000	0.0000	0.0000	0.0000	0.0000	0.0000			
74 D	25.86	0.000	141.1	79.30	141.1	79.30	V-C 2.2640E+04	-14.50	50.00
1.000	1.000	129.3	0.000	0.000	0.000	0.000	Ala_161_6590_L_0		0.0000
0.0000	0.0000	0.0000	0.0000	0.0000	0.0000	0.0000			
75 D	26.47	0.000	143.0	80.37	143.0	80.37	V-C 2.2640E+04	-14.70	52.00
1.000	1.000	132.4	0.000	0.000	0.000	0.000	Ala_161_6590_L_0		0.0000
0.0000	0.0000	0.0000	0.0000	0.0000	0.0000	0.0000			
76 D	27.09	0.000	144.9	81.43	144.9	81.43	V-C 2.2640E+04	-14.90	54.00
1.000	1.000	135.4	0.000	0.000	0.000	0.000	Ala_161_6590_L_0		0.0000
0.0000	0.0000	0.0000	0.0000	0.0000	0.0000	0.0000			
77 D	27.70	0.000	146.8	82.50	146.8	82.50	V-C 2.2640E+04	-15.10	56.00
1.000	1.000	138.5	0.000	0.000	0.000	0.000	Ala_161_6590_L_0		0.0000
0.0000	0.0000	0.0000	0.0000	0.0000	0.0000	0.0000			
78 D	28.31	0.000	148.7	83.57	148.7	83.57	V-C 2.2640E+04	-15.30	58.00
1.000	1.000	141.6	0.000	0.000	0.000	0.000	Ala_161_6590_L_0		0.0000
0.0000	0.0000	0.0000	0.0000	0.0000	0.0000	0.0000			
79 D	28.93	0.000	150.6	84.64	150.6	84.64	V-C 2.2640E+04	-15.50	60.00
1.000	1.000	144.6	0.000	0.000	0.000	0.000	Ala_161_6590_L_0		0.0000
0.0000	0.0000	0.0000	0.0000	0.0000	0.0000	0.0000			
80 D	29.54	0.000	152.5	85.70	152.5	85.70	V-C 2.2640E+04	-15.70	62.00
1.000	1.000	147.7	0.000	0.000	0.000	0.000	Ala_161_6590_L_0		0.0000
0.0000	0.0000	0.0000	0.0000	0.0000	0.0000	0.0000			
81 D	30.15	0.000	154.4	86.77	154.4	86.77	V-C 2.2640E+04	-15.90	64.00
1.000	1.000	150.8	0.000	0.000	0.000	0.000	Ala_161_6590_L_0		0.0000
0.0000	0.0000	0.0000	0.0000	0.0000	0.0000	0.0000			
82 D	30.77	0.000	156.4	87.87	156.4	87.87	V-C 1.3190E+05	-16.10	66.00
1.000	1.000	153.9	0.000	0.000	0.000	0.000	Salt_21271_21259_L_0		0.0000
0.0000	0.0000	0.0000	0.0000	0.0000	0.0000	0.0000			
83 D	31.40	0.000	158.4	89.00	158.4	89.00	V-C 1.3190E+05	-16.30	68.00
1.000	1.000	157.0	0.000	0.000	0.000	0.000	Salt_21271_21259_L_0		0.0000
0.0000	0.0000	0.0000	0.0000	0.0000	0.0000	0.0000			
84 D	32.02	0.000	160.4	90.12	160.4	90.12	V-C 1.3190E+05	-16.50	70.00
1.000	1.000	160.1	0.000	0.000	0.000	0.000	Salt_21271_21259_L_0		0.0000
0.0000	0.0000	0.0000	0.0000	0.0000	0.0000	0.0000			
85 D	32.65	0.000	162.4	91.24	162.4	91.24	V-C 1.3190E+05	-16.70	72.00
1.000	1.000	163.2	0.000	0.000	0.000	0.000	Salt_21271_21259_L_0		0.0000
0.0000	0.0000	0.0000	0.0000	0.0000	0.0000	0.0000			
86 D	33.27	0.000	164.4	92.37	164.4	92.37	V-C 1.3190E+05	-16.90	74.00
1.000	1.000	166.4	0.000	0.000	0.000	0.000	Salt_21271_21259_L_0		0.0000
0.0000	0.0000	0.0000	0.0000	0.0000	0.0000	0.0000			
87 D	33.90	0.000	166.4	93.49	166.4	93.49	V-C 1.3190E+05	-17.10	76.00
1.000	1.000	169.5	0.000	0.000	0.000	0.000	Salt_21271_21259_L_0		0.0000
0.0000	0.0000	0.0000	0.0000	0.0000	0.0000	0.0000			
88 D	34.52	0.000	168.4	94.62	168.4	94.62	V-C 1.3190E+05	-17.30	78.00
1.000	1.000	172.6	0.000	0.000	0.000	0.000	Salt_21271_21259_L_0		0.0000
0.0000	0.0000	0.0000	0.0000	0.0000	0.0000	0.0000			
89 D	35.15	0.000	170.4	95.74	170.4	95.74	V-C 1.3190E+05	-17.50	80.00
1.000	1.000	175.7	0.000	0.000	0.000	0.000	Salt_21271_21259_L_0		0.0000
0.0000	0.0000	0.0000	0.0000	0.0000	0.0000	0.0000			
90 D	35.78	0.000	172.4	96.91	172.4	96.91	V-C 9.8329E+04	-17.70	82.00
1.000	1.000	178.9	0.000	0.000	0.000	0.000	Sch_21272_21260_L_0		0.0000
0.0000	0.0000	0.0000	0.0000	0.0000	0.0000	0.0000			
91 D	36.48	0.000	175.0	98.38	175.0	98.38	V-C 9.8329E+04	-17.90	84.00
1.000	1.000	182.4	0.000	0.000	0.000	0.000	Sch_21272_21260_L_0		0.0000

0.0000	0.0000	0.0000	0.0000	0.0000						
92 D	27.88	0.000	177.6	99.84	177.6	99.84	V-C 9.8329E+04	-18.10	86.00	
1.000	1.000	185.8	0.000	0.000	0.000	0.000	Sch_21272_21260_L_0		0.0000	
0.0000	0.0000	0.0000	0.0000	0.0000						
93 D	9.378	0.000	178.9	100.6	178.9	100.6	V-C 9.8329E+04	-18.20	87.00	
1.000	1.000	187.6	0.000	0.000	0.000	0.000	Sch_21272_21260_L_0		0.0000	
0.0000	0.0000	0.0000	0.0000	0.0000						

```
+-----+
|          PARATIEPLUS(TM)  NLS ENGINE RELEASE  2022.0.0  FULL VERSION  *Build date:Sep 13, 2021*  |
|                                                                                               |
|                                                                                               |
|                               ParatiePlus                                                    |
|                               Exe Time :28 January 2022  11:11:17                            |
+-----+
```

New Project

S T R E S S R E S U L T S F O R G R O U P N O . 3

pali15001.7_33 :
ELEMENT TYPE 2 NO.OF ELEMENTS. IN THIS GROUP 68
C U R R E N T T I M E I S 1.0000 SUBINCREMENT 00001/00001

WALL2D ELEMENT

EL TA TB MA MB

***** NO ONE ELEMENT ACTIVE AT CURRENT STEP *****

```

+-----+
|          PARATIEPLUS(TM)  NLS ENGINE RELEASE 2022.0.0  FULL VERSION  *Build date:Sep 13, 2021*  |
|                                                                                               |
|                                                                                               |
|                               ParatiePlus                                                    |
|                               Exe Time :28 January 2022  11:11:17                            |
+-----+

```

New Project

S T R E S S R E S U L T S F O R G R O U P N O . 4

```

muro71cm_4658
ELEMENT TYPE   2 NO.OF ELEMENTS. IN THIS GROUP   24
C U R R E N T   T I M E   I S   1.0000 SUBINCREMENT 00001/00001

```

WALL2D ELEMENT

```

EL   TA   TB   MA   MB
-----

```

***** NO ONE ELEMENT ACTIVE AT CURRENT STEP *****

```

ITER   0  RNORM = 0.000   RMNORM= 0.000
RINORM=0.5558E+05 RIMNOR= 0.000
RENORM= 0.000   REMNOR= 0.000   RATIO = 0.000   TOLER =0.1000E-03   CONVERGED !
RFMAX = 36.48   RMMAX = 0.000
RTSMAL=0.1000E-03 RMSMAL= 0.000
RDT   =0.5558E+05 RDR   = 0.000
RATIOT= 0.000   RATIO= 0.000
MAX UN= 0.000   IEQ=  186 NODE   93 DOF   2   X-ROT. F
MIN UN= 0.000   IEQ=    1 NODE    1 DOF   1   Y-DISPL.F
NO. OF CONTACT CONSTRAINT VIOLATIONS   0

```

```

ITER   1  RNORM = 0.000   RMNORM= 0.000
RINORM=0.5558E+05 RIMNOR= 0.000
RENORM= 0.000   REMNOR= 0.000   RATIO = 0.000   TOLER =0.1000E-03   CONVERGED !
RFMAX = 36.48   RMMAX = 0.000
RTSMAL=0.1000E-03 RMSMAL= 0.000
RDT   =0.5558E+05 RDR   = 0.000
RATIOT= 0.000   RATIO= 0.000
MAX UN= 0.000   IEQ=  186 NODE   93 DOF   2   X-ROT. F
MIN UN= 0.000   IEQ=    1 NODE    1 DOF   1   Y-DISPL.F
NO. OF CONTACT CONSTRAINT VIOLATIONS   0

```

```

ITER   2  RNORM = 0.000   RMNORM= 0.000
RINORM=0.5558E+05 RIMNOR= 0.000
RENORM= 0.000   REMNOR= 0.000   RATIO = 0.000   TOLER =0.1000E-03   CONVERGED !
RFMAX = 36.48   RMMAX = 0.000
RTSMAL=0.1000E-03 RMSMAL= 0.000
RDT   =0.5558E+05 RDR   = 0.000
RATIOT= 0.000   RATIO= 0.000
MAX UN= 0.000   IEQ=  186 NODE   93 DOF   2   X-ROT. F
MIN UN= 0.000   IEQ=    1 NODE    1 DOF   1   Y-DISPL.F
NO. OF CONTACT CONSTRAINT VIOLATIONS   0

```

```
+-----+
|          PARATIEPLUS(TM)  NLS ENGINE RELEASE  2022.0.0  FULL VERSION  *Build date:Sep 13, 2021*  |
|                                                                                               |
|                                                                                               |
|                               ParatiePlus                                                    |
|                               Exe Time :28 January 2022  11:11:17                            |
+-----+
```

New Project

SOLUTION REACHED USING 2 ITERATIONS ON 40

P R I N T O U T F O R T I M E S T E P 2 (AT TIME 2.000) SUBINCREMENT 00001/00001

PRINT OUT OF ACTIVE COMPONENTS (FIXED NODES ARE NOT PRINTED OUT)

Y-DISPL.F	X-ROT. F
02	04

ALL NODAL POINTS HAVE ZERO DISPLACEMENT COMPONENTS

```

+-----+
|                PARATIEPLUS(TM)  NLS ENGINE RELEASE 2022.0.0  FULL VERSION  *Build date:Sep 13, 2021*                |
|                                                                                                                                            |
|                                                                                               ParatiePlus                               |
|                                                                                               Exe Time :28 January 2022  11:11:17          |
+-----+

```

New Project

S T R E S S R E S U L T S F O R G R O U P N O . 1

```

O_L                               :
ELEMENT TYPE   5 NO.OF ELEMENTS. IN THIS GROUP   93
CURRENT   T I M E   I S   2.0000 SUBINCREMENT 00001/00001

```

HARDENING 2D SOIL ELEMENT

***** TOTAL STRESS FORMULATION *****

EL * TOR QSL	FORCE UFACTOR ZD	DISPL-Y Peq ZPL	VERTICAL-P Su_a Kz	HORIZON.-P Su_p	MAX-V-P Cohes_a	MAX-H-P Cohes_p	STATE LAYER	STIFFNESS	Z-LEVEL	PORE ZFO	E FAC- QS
1	0.000	--	--	--	--	--	REMOVED	--	0.000	0.000	
1.000	1.000	0.000	0.000	0.000	0.000	0.000	not available				
2	0.000	--	--	--	--	--	REMOVED	--	-0.2000	0.000	
1.000	1.000	0.000	0.000	0.000	0.000	0.000	not available				
3	0.000	--	--	--	--	--	REMOVED	--	-0.4000	0.000	
1.000	1.000	0.000	0.000	0.000	0.000	0.000	not available				
4	0.000	--	--	--	--	--	REMOVED	--	-0.6000	0.000	
1.000	1.000	0.000	0.000	0.000	0.000	0.000	not available				
5	0.000	--	--	--	--	--	REMOVED	--	-0.8000	0.000	
1.000	1.000	0.000	0.000	0.000	0.000	0.000	not available				
6	0.000	--	--	--	--	--	REMOVED	--	-1.000	0.000	
1.000	1.000	0.000	0.000	0.000	0.000	0.000	not available				
7	0.000	--	--	--	--	--	REMOVED	--	-1.200	0.000	
1.000	1.000	0.000	0.000	0.000	0.000	0.000	not available				
8	0.000	--	--	--	--	--	REMOVED	--	-1.400	0.000	
1.000	1.000	0.000	0.000	0.000	0.000	0.000	not available				
9	0.000	--	--	--	--	--	REMOVED	--	-1.600	0.000	
1.000	1.000	0.000	0.000	0.000	0.000	0.000	not available				
10	0.000	--	--	--	--	--	REMOVED	--	-1.800	0.000	
1.000	1.000	0.000	0.000	0.000	0.000	0.000	not available				
11	0.000	--	--	--	--	--	REMOVED	--	-2.000	0.000	
1.000	1.000	0.000	0.000	0.000	0.000	0.000	not available				
12	0.000	--	--	--	--	--	REMOVED	--	-2.200	0.000	
1.000	1.000	0.000	0.000	0.000	0.000	0.000	not available				
13	0.000	--	--	--	--	--	REMOVED	--	-2.400	0.000	
1.000	1.000	0.000	0.000	0.000	0.000	0.000	not available				
14	0.000	--	--	--	--	--	REMOVED	--	-2.600	0.000	
1.000	1.000	0.000	0.000	0.000	0.000	0.000	not available				
15	0.000	--	--	--	--	--	REMOVED	--	-2.800	0.000	
1.000	1.000	0.000	0.000	0.000	0.000	0.000	not available				
16	0.000	--	--	--	--	--	REMOVED	--	-3.000	0.000	
1.000	1.000	0.000	0.000	0.000	0.000	0.000	not available				
17	0.000	--	--	--	--	--	REMOVED	--	-3.200	0.000	
1.000	1.000	0.000	0.000	0.000	0.000	0.000	not available				
18	0.000	--	--	--	--	--	REMOVED	--	-3.400	0.000	
1.000	1.000	0.000	0.000	0.000	0.000	0.000	not available				
19	0.000	--	--	--	--	--	REMOVED	--	-3.600	0.000	
1.000	1.000	0.000	0.000	0.000	0.000	0.000	not available				
20	0.000	--	--	--	--	--	REMOVED	--	-3.800	0.000	
1.000	1.000	0.000	0.000	0.000	0.000	0.000	not available				
21	0.000	--	--	--	--	--	REMOVED	--	-4.000	0.000	
1.000	1.000	0.000	0.000	0.000	0.000	0.000	not available				
22	0.000	--	--	--	--	--	REMOVED	--	-4.200	0.000	
1.000	1.000	0.000	0.000	0.000	0.000	0.000	not available				
23	0.000	--	--	--	--	--	REMOVED	--	-4.400	0.000	
1.000	1.000	0.000	0.000	0.000	0.000	0.000	not available				
24	0.000	--	--	--	--	--	REMOVED	--	-4.600	0.000	
1.000	1.000	0.000	0.000	0.000	0.000	0.000	not available				
25 D	0.000	0.000	0.000	0.000	0.000	0.000	UL-RL 5.5131E+04		-4.700	0.000	
1.000	1.000	0.000	0.000	0.000	0.000	0.000	Ala_161_6590_L_0			0.0000	
0.0000	0.0000	0.0000	0.0000	0.0000	0.0000	0.0000					
26 D	0.4384	0.000	3.900	2.192	3.900	2.192	UL-RL 5.5131E+04		-4.900	0.000	
1.000	1.000	2.192	0.000	0.000	0.000	0.000	Ala_161_6590_L_0			0.0000	
0.0000	0.0000	0.0000	0.0000	0.0000	0.0000	0.0000					
27 D	0.8767	0.000	7.800	4.384	7.800	4.384	UL-RL 5.5131E+04		-5.100	0.000	
1.000	1.000	4.384	0.000	0.000	0.000	0.000	Ala_161_6590_L_0			0.0000	
0.0000	0.0000	0.0000	0.0000	0.0000	0.0000	0.0000					
28 D	1.315	0.000	11.70	6.575	11.70	6.575	UL-RL 5.5131E+04		-5.300	0.000	
1.000	1.000	6.575	0.000	0.000	0.000	0.000	Ala_161_6590_L_0			0.0000	
0.0000	0.0000	0.0000	0.0000	0.0000	0.0000	0.0000					
29 D	1.753	0.000	15.60	8.767	15.60	8.767	UL-RL 5.5131E+04		-5.500	0.000	
1.000	1.000	8.767	0.000	0.000	0.000	0.000	Ala_161_6590_L_0			0.0000	
0.0000	0.0000	0.0000	0.0000	0.0000	0.0000	0.0000					
30 D	2.192	0.000	19.50	10.96	19.50	10.96	UL-RL 5.5131E+04		-5.700	0.000	

1.000	1.000	10.96	0.000	0.000	0.000	0.000	Ala_161_6590_L_0	0.0000	
0.0000	0.0000	0.0000	0.0000	0.0000	0.0000	0.0000			
31 D	2.630	0.000	23.40	13.15	23.40	13.15	UL-RL 5.5131E+04	-5.900	0.000
1.000	1.000	13.15	0.000	0.000	0.000	0.000	Ala_161_6590_L_0	0.0000	
0.0000	0.0000	0.0000	0.0000	0.0000	0.0000	0.0000			
32 D	3.069	0.000	27.30	15.34	27.30	15.34	UL-RL 5.5131E+04	-6.100	0.000
1.000	1.000	15.34	0.000	0.000	0.000	0.000	Ala_161_6590_L_0	0.0000	
0.0000	0.0000	0.0000	0.0000	0.0000	0.0000	0.0000			
33 D	3.507	0.000	31.20	17.53	31.20	17.53	UL-RL 5.5131E+04	-6.300	0.000
1.000	1.000	17.53	0.000	0.000	0.000	0.000	Ala_161_6590_L_0	0.0000	
0.0000	0.0000	0.0000	0.0000	0.0000	0.0000	0.0000			
34 D	3.945	0.000	35.10	19.73	35.10	19.73	UL-RL 5.5131E+04	-6.500	0.000
1.000	1.000	19.73	0.000	0.000	0.000	0.000	Ala_161_6590_L_0	0.0000	
0.0000	0.0000	0.0000	0.0000	0.0000	0.0000	0.0000			
35 D	4.384	0.000	39.00	21.92	39.00	21.92	UL-RL 5.5131E+04	-6.700	0.000
1.000	1.000	21.92	0.000	0.000	0.000	0.000	Ala_161_6590_L_0	0.0000	
0.0000	0.0000	0.0000	0.0000	0.0000	0.0000	0.0000			
36 D	4.822	0.000	42.90	24.11	42.90	24.11	UL-RL 5.5131E+04	-6.900	0.000
1.000	1.000	24.11	0.000	0.000	0.000	0.000	Ala_161_6590_L_0	0.0000	
0.0000	0.0000	0.0000	0.0000	0.0000	0.0000	0.0000			
37 D	5.260	0.000	46.80	26.30	46.80	26.30	UL-RL 5.5131E+04	-7.100	0.000
1.000	1.000	26.30	0.000	0.000	0.000	0.000	Ala_161_6590_L_0	0.0000	
0.0000	0.0000	0.0000	0.0000	0.0000	0.0000	0.0000			
38 D	5.699	0.000	50.70	28.49	50.70	28.49	UL-RL 5.5131E+04	-7.300	0.000
1.000	1.000	28.49	0.000	0.000	0.000	0.000	Ala_161_6590_L_0	0.0000	
0.0000	0.0000	0.0000	0.0000	0.0000	0.0000	0.0000			
39 D	6.137	0.000	54.60	30.69	54.60	30.69	UL-RL 5.5131E+04	-7.500	0.000
1.000	1.000	30.69	0.000	0.000	0.000	0.000	Ala_161_6590_L_0	0.0000	
0.0000	0.0000	0.0000	0.0000	0.0000	0.0000	0.0000			
40 D	6.575	0.000	58.50	32.88	58.50	32.88	UL-RL 5.5131E+04	-7.700	0.000
1.000	1.000	32.88	0.000	0.000	0.000	0.000	Ala_161_6590_L_0	0.0000	
0.0000	0.0000	0.0000	0.0000	0.0000	0.0000	0.0000			
41 D	7.014	0.000	62.40	35.07	62.40	35.07	UL-RL 5.5131E+04	-7.900	0.000
1.000	1.000	35.07	0.000	0.000	0.000	0.000	Ala_161_6590_L_0	0.0000	
0.0000	0.0000	0.0000	0.0000	0.0000	0.0000	0.0000			
42 D	7.452	0.000	66.30	37.26	66.30	37.26	UL-RL 5.5131E+04	-8.100	0.000
1.000	1.000	37.26	0.000	0.000	0.000	0.000	Ala_161_6590_L_0	0.0000	
0.0000	0.0000	0.0000	0.0000	0.0000	0.0000	0.0000			
43 D	7.890	0.000	70.20	39.45	70.20	39.45	UL-RL 5.5131E+04	-8.300	0.000
1.000	1.000	39.45	0.000	0.000	0.000	0.000	Ala_161_6590_L_0	0.0000	
0.0000	0.0000	0.0000	0.0000	0.0000	0.0000	0.0000			
44 D	8.329	0.000	74.10	41.64	74.10	41.64	UL-RL 5.5131E+04	-8.500	0.000
1.000	1.000	41.64	0.000	0.000	0.000	0.000	Ala_161_6590_L_0	0.0000	
0.0000	0.0000	0.0000	0.0000	0.0000	0.0000	0.0000			
45 D	8.767	0.000	78.00	43.84	78.00	43.84	UL-RL 5.5131E+04	-8.700	0.000
1.000	1.000	43.84	0.000	0.000	0.000	0.000	Ala_161_6590_L_0	0.0000	
0.0000	0.0000	0.0000	0.0000	0.0000	0.0000	0.0000			
46 D	9.206	0.000	81.90	46.03	81.90	46.03	UL-RL 5.5131E+04	-8.900	0.000
1.000	1.000	46.03	0.000	0.000	0.000	0.000	Ala_161_6590_L_0	0.0000	
0.0000	0.0000	0.0000	0.0000	0.0000	0.0000	0.0000			
47 D	9.644	0.000	85.80	48.22	85.80	48.22	UL-RL 5.5131E+04	-9.100	0.000
1.000	1.000	48.22	0.000	0.000	0.000	0.000	Ala_161_6590_L_0	0.0000	
0.0000	0.0000	0.0000	0.0000	0.0000	0.0000	0.0000			
48 D	10.08	0.000	89.70	50.41	89.70	50.41	UL-RL 5.5131E+04	-9.300	0.000
1.000	1.000	50.41	0.000	0.000	0.000	0.000	Ala_161_6590_L_0	0.0000	
0.0000	0.0000	0.0000	0.0000	0.0000	0.0000	0.0000			
49 D	10.52	0.000	93.60	52.60	93.60	52.60	UL-RL 5.5131E+04	-9.500	0.000
1.000	1.000	52.60	0.000	0.000	0.000	0.000	Ala_161_6590_L_0	0.0000	
0.0000	0.0000	0.0000	0.0000	0.0000	0.0000	0.0000			
50 D	11.13	0.000	95.50	53.67	95.50	53.67	UL-RL 5.5131E+04	-9.700	2.000
1.000	1.000	55.67	0.000	0.000	0.000	0.000	Ala_161_6590_L_0	0.0000	
0.0000	0.0000	0.0000	0.0000	0.0000	0.0000	0.0000			
51 D	11.75	0.000	97.40	54.74	97.40	54.74	UL-RL 5.5131E+04	-9.900	4.000
1.000	1.000	58.74	0.000	0.000	0.000	0.000	Ala_161_6590_L_0	0.0000	
0.0000	0.0000	0.0000	0.0000	0.0000	0.0000	0.0000			
52 D	12.36	0.000	99.30	55.81	99.30	55.81	UL-RL 5.5131E+04	-10.10	6.000
1.000	1.000	61.81	0.000	0.000	0.000	0.000	Ala_161_6590_L_0	0.0000	
0.0000	0.0000	0.0000	0.0000	0.0000	0.0000	0.0000			
53 D	12.97	0.000	101.2	56.87	101.2	56.87	UL-RL 5.5131E+04	-10.30	8.000
1.000	1.000	64.87	0.000	0.000	0.000	0.000	Ala_161_6590_L_0	0.0000	
0.0000	0.0000	0.0000	0.0000	0.0000	0.0000	0.0000			
54 D	13.59	0.000	103.1	57.94	103.1	57.94	UL-RL 5.5131E+04	-10.50	10.000
1.000	1.000	67.94	0.000	0.000	0.000	0.000	Ala_161_6590_L_0	0.0000	
0.0000	0.0000	0.0000	0.0000	0.0000	0.0000	0.0000			
55 D	14.20	0.000	105.0	59.01	105.0	59.01	UL-RL 5.5131E+04	-10.70	12.00
1.000	1.000	71.01	0.000	0.000	0.000	0.000	Ala_161_6590_L_0	0.0000	
0.0000	0.0000	0.0000	0.0000	0.0000	0.0000	0.0000			
56 D	14.82	0.000	106.9	60.08	106.9	60.08	UL-RL 5.5131E+04	-10.90	14.00
1.000	1.000	74.08	0.000	0.000	0.000	0.000	Ala_161_6590_L_0	0.0000	
0.0000	0.0000	0.0000	0.0000	0.0000	0.0000	0.0000			
57 D	15.43	0.000	108.8	61.15	108.8	61.15	UL-RL 5.5131E+04	-11.10	16.00
1.000	1.000	77.15	0.000	0.000	0.000	0.000	Ala_161_6590_L_0	0.0000	
0.0000	0.0000	0.0000	0.0000	0.0000	0.0000	0.0000			
58 D	16.04	0.000	110.7	62.21	110.7	62.21	UL-RL 5.5131E+04	-11.30	18.00
1.000	1.000	80.21	0.000	0.000	0.000	0.000	Ala_161_6590_L_0	0.0000	
0.0000	0.0000	0.0000	0.0000	0.0000	0.0000	0.0000			
59 D	16.66	0.000	112.6	63.28	112.6	63.28	UL-RL 5.5131E+04	-11.50	20.00
1.000	1.000	83.28	0.000	0.000	0.000	0.000	Ala_161_6590_L_0	0.0000	
0.0000	0.0000	0.0000	0.0000	0.0000	0.0000	0.0000			
60 D	17.27	0.000	114.5	64.35	114.5	64.35	UL-RL 5.5131E+04	-11.70	22.00
1.000	1.000	86.35	0.000	0.000	0.000	0.000	Ala_161_6590_L_0	0.0000	
0.0000	0.0000	0.0000	0.0000	0.0000	0.0000	0.0000			

61 D	17.88	0.000	116.4	65.42	116.4	65.42	UL-RL 5.5131E+04	-11.90	24.00
1.000	1.000	89.42	0.000	0.000	0.000	0.000	Ala_161_6590_L_0		0.0000
0.0000	0.0000	0.0000	0.0000	0.0000	0.0000	0.0000			
62 D	18.50	0.000	118.3	66.48	118.3	66.48	UL-RL 5.5131E+04	-12.10	26.00
1.000	1.000	92.48	0.000	0.000	0.000	0.000	Ala_161_6590_L_0		0.0000
0.0000	0.0000	0.0000	0.0000	0.0000	0.0000	0.0000			
63 D	19.11	0.000	120.2	67.55	120.2	67.55	UL-RL 5.5131E+04	-12.30	28.00
1.000	1.000	95.55	0.000	0.000	0.000	0.000	Ala_161_6590_L_0		0.0000
0.0000	0.0000	0.0000	0.0000	0.0000	0.0000	0.0000			
64 D	19.72	0.000	122.1	68.62	122.1	68.62	UL-RL 5.5131E+04	-12.50	30.00
1.000	1.000	98.62	0.000	0.000	0.000	0.000	Ala_161_6590_L_0		0.0000
0.0000	0.0000	0.0000	0.0000	0.0000	0.0000	0.0000			
65 D	20.34	0.000	124.0	69.69	124.0	69.69	UL-RL 5.5131E+04	-12.70	32.00
1.000	1.000	101.7	0.000	0.000	0.000	0.000	Ala_161_6590_L_0		0.0000
0.0000	0.0000	0.0000	0.0000	0.0000	0.0000	0.0000			
66 D	20.95	0.000	125.9	70.76	125.9	70.76	UL-RL 5.5131E+04	-12.90	34.00
1.000	1.000	104.8	0.000	0.000	0.000	0.000	Ala_161_6590_L_0		0.0000
0.0000	0.0000	0.0000	0.0000	0.0000	0.0000	0.0000			
67 D	21.56	0.000	127.8	71.82	127.8	71.82	UL-RL 5.5131E+04	-13.10	36.00
1.000	1.000	107.8	0.000	0.000	0.000	0.000	Ala_161_6590_L_0		0.0000
0.0000	0.0000	0.0000	0.0000	0.0000	0.0000	0.0000			
68 D	22.18	0.000	129.7	72.89	129.7	72.89	UL-RL 5.5131E+04	-13.30	38.00
1.000	1.000	110.9	0.000	0.000	0.000	0.000	Ala_161_6590_L_0		0.0000
0.0000	0.0000	0.0000	0.0000	0.0000	0.0000	0.0000			
69 D	22.79	0.000	131.6	73.96	131.6	73.96	UL-RL 5.5131E+04	-13.50	40.00
1.000	1.000	114.0	0.000	0.000	0.000	0.000	Ala_161_6590_L_0		0.0000
0.0000	0.0000	0.0000	0.0000	0.0000	0.0000	0.0000			
70 D	23.41	0.000	133.5	75.03	133.5	75.03	UL-RL 5.5131E+04	-13.70	42.00
1.000	1.000	117.0	0.000	0.000	0.000	0.000	Ala_161_6590_L_0		0.0000
0.0000	0.0000	0.0000	0.0000	0.0000	0.0000	0.0000			
71 D	24.02	0.000	135.4	76.09	135.4	76.09	UL-RL 5.5131E+04	-13.90	44.00
1.000	1.000	120.1	0.000	0.000	0.000	0.000	Ala_161_6590_L_0		0.0000
0.0000	0.0000	0.0000	0.0000	0.0000	0.0000	0.0000			
72 D	24.63	0.000	137.3	77.16	137.3	77.16	UL-RL 5.5131E+04	-14.10	46.00
1.000	1.000	123.2	0.000	0.000	0.000	0.000	Ala_161_6590_L_0		0.0000
0.0000	0.0000	0.0000	0.0000	0.0000	0.0000	0.0000			
73 D	25.25	0.000	139.2	78.23	139.2	78.23	UL-RL 5.5131E+04	-14.30	48.00
1.000	1.000	126.2	0.000	0.000	0.000	0.000	Ala_161_6590_L_0		0.0000
0.0000	0.0000	0.0000	0.0000	0.0000	0.0000	0.0000			
74 D	25.86	0.000	141.1	79.30	141.1	79.30	UL-RL 5.5131E+04	-14.50	50.00
1.000	1.000	129.3	0.000	0.000	0.000	0.000	Ala_161_6590_L_0		0.0000
0.0000	0.0000	0.0000	0.0000	0.0000	0.0000	0.0000			
75 D	26.47	0.000	143.0	80.37	143.0	80.37	UL-RL 5.5131E+04	-14.70	52.00
1.000	1.000	132.4	0.000	0.000	0.000	0.000	Ala_161_6590_L_0		0.0000
0.0000	0.0000	0.0000	0.0000	0.0000	0.0000	0.0000			
76 D	27.09	0.000	144.9	81.43	144.9	81.43	UL-RL 5.5131E+04	-14.90	54.00
1.000	1.000	135.4	0.000	0.000	0.000	0.000	Ala_161_6590_L_0		0.0000
0.0000	0.0000	0.0000	0.0000	0.0000	0.0000	0.0000			
77 D	27.70	0.000	146.8	82.50	146.8	82.50	UL-RL 5.5131E+04	-15.10	56.00
1.000	1.000	138.5	0.000	0.000	0.000	0.000	Ala_161_6590_L_0		0.0000
0.0000	0.0000	0.0000	0.0000	0.0000	0.0000	0.0000			
78 D	28.31	0.000	148.7	83.57	148.7	83.57	UL-RL 5.5131E+04	-15.30	58.00
1.000	1.000	141.6	0.000	0.000	0.000	0.000	Ala_161_6590_L_0		0.0000
0.0000	0.0000	0.0000	0.0000	0.0000	0.0000	0.0000			
79 D	28.93	0.000	150.6	84.64	150.6	84.64	UL-RL 5.5131E+04	-15.50	60.00
1.000	1.000	144.6	0.000	0.000	0.000	0.000	Ala_161_6590_L_0		0.0000
0.0000	0.0000	0.0000	0.0000	0.0000	0.0000	0.0000			
80 D	29.54	0.000	152.5	85.70	152.5	85.70	UL-RL 5.5131E+04	-15.70	62.00
1.000	1.000	147.7	0.000	0.000	0.000	0.000	Ala_161_6590_L_0		0.0000
0.0000	0.0000	0.0000	0.0000	0.0000	0.0000	0.0000			
81 D	30.15	0.000	154.4	86.77	154.4	86.77	UL-RL 5.5131E+04	-15.90	64.00
1.000	1.000	150.8	0.000	0.000	0.000	0.000	Ala_161_6590_L_0		0.0000
0.0000	0.0000	0.0000	0.0000	0.0000	0.0000	0.0000			
82 D	30.77	0.000	156.4	87.87	156.4	87.87	UL-RL 3.0900E+05	-16.10	66.00
1.000	1.000	153.9	0.000	0.000	10.00	10.00	Salt_21271_21259_L_0		0.0000
0.0000	0.0000	0.0000	0.0000	0.0000	0.0000	0.0000			
83 D	31.40	0.000	158.4	89.00	158.4	89.00	UL-RL 3.0900E+05	-16.30	68.00
1.000	1.000	157.0	0.000	0.000	10.00	10.00	Salt_21271_21259_L_0		0.0000
0.0000	0.0000	0.0000	0.0000	0.0000	0.0000	0.0000			
84 D	32.02	0.000	160.4	90.12	160.4	90.12	UL-RL 3.0900E+05	-16.50	70.00
1.000	1.000	160.1	0.000	0.000	10.00	10.00	Salt_21271_21259_L_0		0.0000
0.0000	0.0000	0.0000	0.0000	0.0000	0.0000	0.0000			
85 D	32.65	0.000	162.4	91.24	162.4	91.24	UL-RL 3.0900E+05	-16.70	72.00
1.000	1.000	163.2	0.000	0.000	10.00	10.00	Salt_21271_21259_L_0		0.0000
0.0000	0.0000	0.0000	0.0000	0.0000	0.0000	0.0000			
86 D	33.27	0.000	164.4	92.37	164.4	92.37	UL-RL 3.0900E+05	-16.90	74.00
1.000	1.000	166.4	0.000	0.000	10.00	10.00	Salt_21271_21259_L_0		0.0000
0.0000	0.0000	0.0000	0.0000	0.0000	0.0000	0.0000			
87 D	33.90	0.000	166.4	93.49	166.4	93.49	UL-RL 3.0900E+05	-17.10	76.00
1.000	1.000	169.5	0.000	0.000	10.00	10.00	Salt_21271_21259_L_0		0.0000
0.0000	0.0000	0.0000	0.0000	0.0000	0.0000	0.0000			
88 D	34.52	0.000	168.4	94.62	168.4	94.62	UL-RL 3.0900E+05	-17.30	78.00
1.000	1.000	172.6	0.000	0.000	10.00	10.00	Salt_21271_21259_L_0		0.0000
0.0000	0.0000	0.0000	0.0000	0.0000	0.0000	0.0000			
89 D	35.15	0.000	170.4	95.74	170.4	95.74	UL-RL 3.0900E+05	-17.50	80.00
1.000	1.000	175.7	0.000	0.000	10.00	10.00	Salt_21271_21259_L_0		0.0000
0.0000	0.0000	0.0000	0.0000	0.0000	0.0000	0.0000			
90 D	35.78	0.000	172.4	96.91	172.4	96.91	UL-RL 1.8885E+05	-17.70	82.00
1.000	1.000	178.9	0.000	0.000	55.00	55.00	Sch_21272_21260_L_0		0.0000
0.0000	0.0000	0.0000	0.0000	0.0000	0.0000	0.0000			
91 D	36.48	0.000	175.0	98.38	175.0	98.38	UL-RL 1.8885E+05	-17.90	84.00
1.000	1.000	182.4	0.000	0.000	55.00	55.00	Sch_21272_21260_L_0		0.0000

0.0000	0.0000	0.0000	0.0000	0.0000						
92 D	27.88	0.000	177.6	99.84	177.6	99.84	UL-RL 1.8885E+05	-18.10	86.00	
1.000	1.000	185.8	0.000	0.000	55.00	55.00	Sch_21272_21260_L_0		0.0000	
0.0000	0.0000	0.0000	0.0000	0.0000						
93 D	9.378	0.000	178.9	100.6	178.9	100.6	UL-RL 1.8885E+05	-18.20	87.00	
1.000	1.000	187.6	0.000	0.000	55.00	55.00	Sch_21272_21260_L_0		0.0000	
0.0000	0.0000	0.0000	0.0000	0.0000						

```

+-----+
|                PARATIEPLUS(TM)  NLS ENGINE RELEASE 2022.0.0  FULL VERSION  *Build date:Sep 13, 2021*                |
|                                                                                                                                            |
|                                                                                               ParatiePlus                                                                                               |
|                                                                                               Exe Time :28 January 2022  11:11:17                                                                                               |
+-----+

```

New Project

S T R E S S R E S U L T S F O R G R O U P N O . 2

O_R :
ELEMENT TYPE 5 NO.OF ELEMENTS. IN THIS GROUP 93
C U R R E N T T I M E I S 2.0000 SUBINCREMENT 00001/00001

HARDENING 2D SOIL ELEMENT

***** TOTAL STRESS FORMULATION *****

EL * TOR QSL	FORCE UFACTOR ZD	DISPL-Y Peq ZPL	VERTICAL-P Su_a Kz	HORIZON.-P Su_p	MAX-V-P Coh_e_a	MAX-H-P Coh_e_p	STATE LAYER	STIFFNESS	Z-LEVEL	PORE ZFO	E FAC- QS
1	0.000	--	--	--	--	--	REMOVED	--	0.000	0.000	
1.000	1.000	0.000	0.000	0.000	0.000	0.000	not available				
2	0.000	--	--	--	--	--	REMOVED	--	-0.2000	0.000	
1.000	1.000	0.000	0.000	0.000	0.000	0.000	not available				
3	0.000	--	--	--	--	--	REMOVED	--	-0.4000	0.000	
1.000	1.000	0.000	0.000	0.000	0.000	0.000	not available				
4	0.000	--	--	--	--	--	REMOVED	--	-0.6000	0.000	
1.000	1.000	0.000	0.000	0.000	0.000	0.000	not available				
5	0.000	--	--	--	--	--	REMOVED	--	-0.8000	0.000	
1.000	1.000	0.000	0.000	0.000	0.000	0.000	not available				
6	0.000	--	--	--	--	--	REMOVED	--	-1.000	0.000	
1.000	1.000	0.000	0.000	0.000	0.000	0.000	not available				
7	0.000	--	--	--	--	--	REMOVED	--	-1.200	0.000	
1.000	1.000	0.000	0.000	0.000	0.000	0.000	not available				
8	0.000	--	--	--	--	--	REMOVED	--	-1.400	0.000	
1.000	1.000	0.000	0.000	0.000	0.000	0.000	not available				
9	0.000	--	--	--	--	--	REMOVED	--	-1.600	0.000	
1.000	1.000	0.000	0.000	0.000	0.000	0.000	not available				
10	0.000	--	--	--	--	--	REMOVED	--	-1.800	0.000	
1.000	1.000	0.000	0.000	0.000	0.000	0.000	not available				
11	0.000	--	--	--	--	--	REMOVED	--	-2.000	0.000	
1.000	1.000	0.000	0.000	0.000	0.000	0.000	not available				
12	0.000	--	--	--	--	--	REMOVED	--	-2.200	0.000	
1.000	1.000	0.000	0.000	0.000	0.000	0.000	not available				
13	0.000	--	--	--	--	--	REMOVED	--	-2.400	0.000	
1.000	1.000	0.000	0.000	0.000	0.000	0.000	not available				
14	0.000	--	--	--	--	--	REMOVED	--	-2.600	0.000	
1.000	1.000	0.000	0.000	0.000	0.000	0.000	not available				
15	0.000	--	--	--	--	--	REMOVED	--	-2.800	0.000	
1.000	1.000	0.000	0.000	0.000	0.000	0.000	not available				
16	0.000	--	--	--	--	--	REMOVED	--	-3.000	0.000	
1.000	1.000	0.000	0.000	0.000	0.000	0.000	not available				
17	0.000	--	--	--	--	--	REMOVED	--	-3.200	0.000	
1.000	1.000	0.000	0.000	0.000	0.000	0.000	not available				
18	0.000	--	--	--	--	--	REMOVED	--	-3.400	0.000	
1.000	1.000	0.000	0.000	0.000	0.000	0.000	not available				
19	0.000	--	--	--	--	--	REMOVED	--	-3.600	0.000	
1.000	1.000	0.000	0.000	0.000	0.000	0.000	not available				
20	0.000	--	--	--	--	--	REMOVED	--	-3.800	0.000	
1.000	1.000	0.000	0.000	0.000	0.000	0.000	not available				
21	0.000	--	--	--	--	--	REMOVED	--	-4.000	0.000	
1.000	1.000	0.000	0.000	0.000	0.000	0.000	not available				
22	0.000	--	--	--	--	--	REMOVED	--	-4.200	0.000	
1.000	1.000	0.000	0.000	0.000	0.000	0.000	not available				
23	0.000	--	--	--	--	--	REMOVED	--	-4.400	0.000	
1.000	1.000	0.000	0.000	0.000	0.000	0.000	not available				
24	0.000	--	--	--	--	--	REMOVED	--	-4.600	0.000	
1.000	1.000	0.000	0.000	0.000	0.000	0.000	not available				
25 D	0.000	0.000	0.000	0.000	0.000	0.000	UL-RL 6.7919E+04		-4.700	0.000	
1.000	1.000	0.000	0.000	0.000	0.000	0.000	Ala_161_6590_L_0			0.0000	
0.0000	0.0000	0.0000	0.0000	0.0000	0.0000	0.0000					
26 D	0.4384	0.000	3.900	2.192	3.900	2.192	UL-RL 6.7919E+04		-4.900	0.000	
1.000	1.000	2.192	0.000	0.000	0.000	0.000	Ala_161_6590_L_0			0.0000	
0.0000	0.0000	0.0000	0.0000	0.0000	0.0000	0.0000					
27 D	0.8767	0.000	7.800	4.384	7.800	4.384	UL-RL 6.7919E+04		-5.100	0.000	
1.000	1.000	4.384	0.000	0.000	0.000	0.000	Ala_161_6590_L_0			0.0000	
0.0000	0.0000	0.0000	0.0000	0.0000	0.0000	0.0000					
28 D	1.315	0.000	11.70	6.575	11.70	6.575	UL-RL 6.7919E+04		-5.300	0.000	
1.000	1.000	6.575	0.000	0.000	0.000	0.000	Ala_161_6590_L_0			0.0000	
0.0000	0.0000	0.0000	0.0000	0.0000	0.0000	0.0000					
29 D	1.753	0.000	15.60	8.767	15.60	8.767	UL-RL 6.7919E+04		-5.500	0.000	
1.000	1.000	8.767	0.000	0.000	0.000	0.000	Ala_161_6590_L_0			0.0000	
0.0000	0.0000	0.0000	0.0000	0.0000	0.0000	0.0000					
30 D	2.192	0.000	19.50	10.96	19.50	10.96	UL-RL 6.7919E+04		-5.700	0.000	

1.000	1.000	10.96	0.000	0.000	0.000	0.000	Ala_161_6590_L_0	0.0000	
0.0000	0.0000	0.0000	0.0000	0.0000	0.0000	0.0000			
31 D	2.630	0.000	23.40	13.15	23.40	13.15	UL-RL 6.7919E+04	-5.900	0.000
1.000	1.000	13.15	0.000	0.000	0.000	0.000	Ala_161_6590_L_0	0.0000	0.0000
0.0000	0.0000	0.0000	0.0000	0.0000	0.0000	0.0000			
32 D	3.069	0.000	27.30	15.34	27.30	15.34	UL-RL 6.7919E+04	-6.100	0.000
1.000	1.000	15.34	0.000	0.000	0.000	0.000	Ala_161_6590_L_0	0.0000	0.0000
0.0000	0.0000	0.0000	0.0000	0.0000	0.0000	0.0000			
33 D	3.507	0.000	31.20	17.53	31.20	17.53	UL-RL 6.7919E+04	-6.300	0.000
1.000	1.000	17.53	0.000	0.000	0.000	0.000	Ala_161_6590_L_0	0.0000	0.0000
0.0000	0.0000	0.0000	0.0000	0.0000	0.0000	0.0000			
34 D	3.945	0.000	35.10	19.73	35.10	19.73	UL-RL 6.7919E+04	-6.500	0.000
1.000	1.000	19.73	0.000	0.000	0.000	0.000	Ala_161_6590_L_0	0.0000	0.0000
0.0000	0.0000	0.0000	0.0000	0.0000	0.0000	0.0000			
35 D	4.384	0.000	39.00	21.92	39.00	21.92	UL-RL 6.7919E+04	-6.700	0.000
1.000	1.000	21.92	0.000	0.000	0.000	0.000	Ala_161_6590_L_0	0.0000	0.0000
0.0000	0.0000	0.0000	0.0000	0.0000	0.0000	0.0000			
36 D	4.822	0.000	42.90	24.11	42.90	24.11	UL-RL 6.7919E+04	-6.900	0.000
1.000	1.000	24.11	0.000	0.000	0.000	0.000	Ala_161_6590_L_0	0.0000	0.0000
0.0000	0.0000	0.0000	0.0000	0.0000	0.0000	0.0000			
37 D	5.260	0.000	46.80	26.30	46.80	26.30	UL-RL 6.7919E+04	-7.100	0.000
1.000	1.000	26.30	0.000	0.000	0.000	0.000	Ala_161_6590_L_0	0.0000	0.0000
0.0000	0.0000	0.0000	0.0000	0.0000	0.0000	0.0000			
38 D	5.699	0.000	50.70	28.49	50.70	28.49	UL-RL 6.7919E+04	-7.300	0.000
1.000	1.000	28.49	0.000	0.000	0.000	0.000	Ala_161_6590_L_0	0.0000	0.0000
0.0000	0.0000	0.0000	0.0000	0.0000	0.0000	0.0000			
39 D	6.137	0.000	54.60	30.69	54.60	30.69	UL-RL 6.7919E+04	-7.500	0.000
1.000	1.000	30.69	0.000	0.000	0.000	0.000	Ala_161_6590_L_0	0.0000	0.0000
0.0000	0.0000	0.0000	0.0000	0.0000	0.0000	0.0000			
40 D	6.575	0.000	58.50	32.88	58.50	32.88	UL-RL 6.7919E+04	-7.700	0.000
1.000	1.000	32.88	0.000	0.000	0.000	0.000	Ala_161_6590_L_0	0.0000	0.0000
0.0000	0.0000	0.0000	0.0000	0.0000	0.0000	0.0000			
41 D	7.014	0.000	62.40	35.07	62.40	35.07	UL-RL 6.7919E+04	-7.900	0.000
1.000	1.000	35.07	0.000	0.000	0.000	0.000	Ala_161_6590_L_0	0.0000	0.0000
0.0000	0.0000	0.0000	0.0000	0.0000	0.0000	0.0000			
42 D	7.452	0.000	66.30	37.26	66.30	37.26	UL-RL 6.7919E+04	-8.100	0.000
1.000	1.000	37.26	0.000	0.000	0.000	0.000	Ala_161_6590_L_0	0.0000	0.0000
0.0000	0.0000	0.0000	0.0000	0.0000	0.0000	0.0000			
43 D	7.890	0.000	70.20	39.45	70.20	39.45	UL-RL 6.7919E+04	-8.300	0.000
1.000	1.000	39.45	0.000	0.000	0.000	0.000	Ala_161_6590_L_0	0.0000	0.0000
0.0000	0.0000	0.0000	0.0000	0.0000	0.0000	0.0000			
44 D	8.329	0.000	74.10	41.64	74.10	41.64	UL-RL 6.7919E+04	-8.500	0.000
1.000	1.000	41.64	0.000	0.000	0.000	0.000	Ala_161_6590_L_0	0.0000	0.0000
0.0000	0.0000	0.0000	0.0000	0.0000	0.0000	0.0000			
45 D	8.767	0.000	78.00	43.84	78.00	43.84	UL-RL 6.7919E+04	-8.700	0.000
1.000	1.000	43.84	0.000	0.000	0.000	0.000	Ala_161_6590_L_0	0.0000	0.0000
0.0000	0.0000	0.0000	0.0000	0.0000	0.0000	0.0000			
46 D	9.206	0.000	81.90	46.03	81.90	46.03	UL-RL 6.7919E+04	-8.900	0.000
1.000	1.000	46.03	0.000	0.000	0.000	0.000	Ala_161_6590_L_0	0.0000	0.0000
0.0000	0.0000	0.0000	0.0000	0.0000	0.0000	0.0000			
47 D	9.644	0.000	85.80	48.22	85.80	48.22	UL-RL 6.7919E+04	-9.100	0.000
1.000	1.000	48.22	0.000	0.000	0.000	0.000	Ala_161_6590_L_0	0.0000	0.0000
0.0000	0.0000	0.0000	0.0000	0.0000	0.0000	0.0000			
48 D	10.08	0.000	89.70	50.41	89.70	50.41	UL-RL 6.7919E+04	-9.300	0.000
1.000	1.000	50.41	0.000	0.000	0.000	0.000	Ala_161_6590_L_0	0.0000	0.0000
0.0000	0.0000	0.0000	0.0000	0.0000	0.0000	0.0000			
49 D	10.52	0.000	93.60	52.60	93.60	52.60	UL-RL 6.7919E+04	-9.500	0.000
1.000	1.000	52.60	0.000	0.000	0.000	0.000	Ala_161_6590_L_0	0.0000	0.0000
0.0000	0.0000	0.0000	0.0000	0.0000	0.0000	0.0000			
50 D	11.13	0.000	95.50	53.67	95.50	53.67	UL-RL 6.7919E+04	-9.700	2.000
1.000	1.000	55.67	0.000	0.000	0.000	0.000	Ala_161_6590_L_0	0.0000	0.0000
0.0000	0.0000	0.0000	0.0000	0.0000	0.0000	0.0000			
51 D	11.75	0.000	97.40	54.74	97.40	54.74	UL-RL 6.7919E+04	-9.900	4.000
1.000	1.000	58.74	0.000	0.000	0.000	0.000	Ala_161_6590_L_0	0.0000	0.0000
0.0000	0.0000	0.0000	0.0000	0.0000	0.0000	0.0000			
52 D	12.36	0.000	99.30	55.81	99.30	55.81	UL-RL 6.7919E+04	-10.10	6.000
1.000	1.000	61.81	0.000	0.000	0.000	0.000	Ala_161_6590_L_0	0.0000	0.0000
0.0000	0.0000	0.0000	0.0000	0.0000	0.0000	0.0000			
53 D	12.97	0.000	101.2	56.87	101.2	56.87	UL-RL 6.7919E+04	-10.30	8.000
1.000	1.000	64.87	0.000	0.000	0.000	0.000	Ala_161_6590_L_0	0.0000	0.0000
0.0000	0.0000	0.0000	0.0000	0.0000	0.0000	0.0000			
54 D	13.59	0.000	103.1	57.94	103.1	57.94	UL-RL 6.7919E+04	-10.50	10.000
1.000	1.000	67.94	0.000	0.000	0.000	0.000	Ala_161_6590_L_0	0.0000	0.0000
0.0000	0.0000	0.0000	0.0000	0.0000	0.0000	0.0000			
55 D	14.20	0.000	105.0	59.01	105.0	59.01	UL-RL 6.7919E+04	-10.70	12.00
1.000	1.000	71.01	0.000	0.000	0.000	0.000	Ala_161_6590_L_0	0.0000	0.0000
0.0000	0.0000	0.0000	0.0000	0.0000	0.0000	0.0000			
56 D	14.82	0.000	106.9	60.08	106.9	60.08	UL-RL 6.7919E+04	-10.90	14.00
1.000	1.000	74.08	0.000	0.000	0.000	0.000	Ala_161_6590_L_0	0.0000	0.0000
0.0000	0.0000	0.0000	0.0000	0.0000	0.0000	0.0000			
57 D	15.43	0.000	108.8	61.15	108.8	61.15	UL-RL 6.7919E+04	-11.10	16.00
1.000	1.000	77.15	0.000	0.000	0.000	0.000	Ala_161_6590_L_0	0.0000	0.0000
0.0000	0.0000	0.0000	0.0000	0.0000	0.0000	0.0000			
58 D	16.04	0.000	110.7	62.21	110.7	62.21	UL-RL 6.7919E+04	-11.30	18.00
1.000	1.000	80.21	0.000	0.000	0.000	0.000	Ala_161_6590_L_0	0.0000	0.0000
0.0000	0.0000	0.0000	0.0000	0.0000	0.0000	0.0000			
59 D	16.66	0.000	112.6	63.28	112.6	63.28	UL-RL 6.7919E+04	-11.50	20.00
1.000	1.000	83.28	0.000	0.000	0.000	0.000	Ala_161_6590_L_0	0.0000	0.0000
0.0000	0.0000	0.0000	0.0000	0.0000	0.0000	0.0000			
60 D	17.27	0.000	114.5	64.35	114.5	64.35	UL-RL 6.7919E+04	-11.70	22.00
1.000	1.000	86.35	0.000	0.000	0.000	0.000	Ala_161_6590_L_0	0.0000	0.0000
0.0000	0.0000	0.0000	0.0000	0.0000	0.0000	0.0000			

61 D	17.88	0.000	116.4	65.42	116.4	65.42	UL-RL 6.7919E+04	-11.90	24.00
1.000	1.000	89.42	0.000	0.000	0.000	0.000	Ala_161_6590_L_0		0.0000
0.0000	0.0000	0.0000	0.0000	0.0000	0.0000				
62 D	18.50	0.000	118.3	66.48	118.3	66.48	UL-RL 6.7919E+04	-12.10	26.00
1.000	1.000	92.48	0.000	0.000	0.000	0.000	Ala_161_6590_L_0		0.0000
0.0000	0.0000	0.0000	0.0000	0.0000	0.0000				
63 D	19.11	0.000	120.2	67.55	120.2	67.55	UL-RL 6.7919E+04	-12.30	28.00
1.000	1.000	95.55	0.000	0.000	0.000	0.000	Ala_161_6590_L_0		0.0000
0.0000	0.0000	0.0000	0.0000	0.0000	0.0000				
64 D	19.72	0.000	122.1	68.62	122.1	68.62	UL-RL 6.7919E+04	-12.50	30.00
1.000	1.000	98.62	0.000	0.000	0.000	0.000	Ala_161_6590_L_0		0.0000
0.0000	0.0000	0.0000	0.0000	0.0000	0.0000				
65 D	20.34	0.000	124.0	69.69	124.0	69.69	UL-RL 6.7919E+04	-12.70	32.00
1.000	1.000	101.7	0.000	0.000	0.000	0.000	Ala_161_6590_L_0		0.0000
0.0000	0.0000	0.0000	0.0000	0.0000	0.0000				
66 D	20.95	0.000	125.9	70.76	125.9	70.76	UL-RL 6.7919E+04	-12.90	34.00
1.000	1.000	104.8	0.000	0.000	0.000	0.000	Ala_161_6590_L_0		0.0000
0.0000	0.0000	0.0000	0.0000	0.0000	0.0000				
67 D	21.56	0.000	127.8	71.82	127.8	71.82	UL-RL 6.7919E+04	-13.10	36.00
1.000	1.000	107.8	0.000	0.000	0.000	0.000	Ala_161_6590_L_0		0.0000
0.0000	0.0000	0.0000	0.0000	0.0000	0.0000				
68 D	22.18	0.000	129.7	72.89	129.7	72.89	UL-RL 6.7919E+04	-13.30	38.00
1.000	1.000	110.9	0.000	0.000	0.000	0.000	Ala_161_6590_L_0		0.0000
0.0000	0.0000	0.0000	0.0000	0.0000	0.0000				
69 D	22.79	0.000	131.6	73.96	131.6	73.96	UL-RL 6.7919E+04	-13.50	40.00
1.000	1.000	114.0	0.000	0.000	0.000	0.000	Ala_161_6590_L_0		0.0000
0.0000	0.0000	0.0000	0.0000	0.0000	0.0000				
70 D	23.41	0.000	133.5	75.03	133.5	75.03	UL-RL 6.7919E+04	-13.70	42.00
1.000	1.000	117.0	0.000	0.000	0.000	0.000	Ala_161_6590_L_0		0.0000
0.0000	0.0000	0.0000	0.0000	0.0000	0.0000				
71 D	24.02	0.000	135.4	76.09	135.4	76.09	UL-RL 6.7919E+04	-13.90	44.00
1.000	1.000	120.1	0.000	0.000	0.000	0.000	Ala_161_6590_L_0		0.0000
0.0000	0.0000	0.0000	0.0000	0.0000	0.0000				
72 D	24.63	0.000	137.3	77.16	137.3	77.16	UL-RL 6.7919E+04	-14.10	46.00
1.000	1.000	123.2	0.000	0.000	0.000	0.000	Ala_161_6590_L_0		0.0000
0.0000	0.0000	0.0000	0.0000	0.0000	0.0000				
73 D	25.25	0.000	139.2	78.23	139.2	78.23	UL-RL 6.7919E+04	-14.30	48.00
1.000	1.000	126.2	0.000	0.000	0.000	0.000	Ala_161_6590_L_0		0.0000
0.0000	0.0000	0.0000	0.0000	0.0000	0.0000				
74 D	25.86	0.000	141.1	79.30	141.1	79.30	UL-RL 6.7919E+04	-14.50	50.00
1.000	1.000	129.3	0.000	0.000	0.000	0.000	Ala_161_6590_L_0		0.0000
0.0000	0.0000	0.0000	0.0000	0.0000	0.0000				
75 D	26.47	0.000	143.0	80.37	143.0	80.37	UL-RL 6.7919E+04	-14.70	52.00
1.000	1.000	132.4	0.000	0.000	0.000	0.000	Ala_161_6590_L_0		0.0000
0.0000	0.0000	0.0000	0.0000	0.0000	0.0000				
76 D	27.09	0.000	144.9	81.43	144.9	81.43	UL-RL 6.7919E+04	-14.90	54.00
1.000	1.000	135.4	0.000	0.000	0.000	0.000	Ala_161_6590_L_0		0.0000
0.0000	0.0000	0.0000	0.0000	0.0000	0.0000				
77 D	27.70	0.000	146.8	82.50	146.8	82.50	UL-RL 6.7919E+04	-15.10	56.00
1.000	1.000	138.5	0.000	0.000	0.000	0.000	Ala_161_6590_L_0		0.0000
0.0000	0.0000	0.0000	0.0000	0.0000	0.0000				
78 D	28.31	0.000	148.7	83.57	148.7	83.57	UL-RL 6.7919E+04	-15.30	58.00
1.000	1.000	141.6	0.000	0.000	0.000	0.000	Ala_161_6590_L_0		0.0000
0.0000	0.0000	0.0000	0.0000	0.0000	0.0000				
79 D	28.93	0.000	150.6	84.64	150.6	84.64	UL-RL 6.7919E+04	-15.50	60.00
1.000	1.000	144.6	0.000	0.000	0.000	0.000	Ala_161_6590_L_0		0.0000
0.0000	0.0000	0.0000	0.0000	0.0000	0.0000				
80 D	29.54	0.000	152.5	85.70	152.5	85.70	UL-RL 6.7919E+04	-15.70	62.00
1.000	1.000	147.7	0.000	0.000	0.000	0.000	Ala_161_6590_L_0		0.0000
0.0000	0.0000	0.0000	0.0000	0.0000	0.0000				
81 D	30.15	0.000	154.4	86.77	154.4	86.77	UL-RL 6.7919E+04	-15.90	64.00
1.000	1.000	150.8	0.000	0.000	0.000	0.000	Ala_161_6590_L_0		0.0000
0.0000	0.0000	0.0000	0.0000	0.0000	0.0000				
82 D	30.77	0.000	156.4	87.87	156.4	87.87	UL-RL 3.9569E+05	-16.10	66.00
1.000	1.000	153.9	0.000	0.000	10.00	10.00	Salt_21271_21259_L_0		0.0000
0.0000	0.0000	0.0000	0.0000	0.0000	0.0000				
83 D	31.40	0.000	158.4	89.00	158.4	89.00	UL-RL 3.9569E+05	-16.30	68.00
1.000	1.000	157.0	0.000	0.000	10.00	10.00	Salt_21271_21259_L_0		0.0000
0.0000	0.0000	0.0000	0.0000	0.0000	0.0000				
84 D	32.02	0.000	160.4	90.12	160.4	90.12	UL-RL 3.9569E+05	-16.50	70.00
1.000	1.000	160.1	0.000	0.000	10.00	10.00	Salt_21271_21259_L_0		0.0000
0.0000	0.0000	0.0000	0.0000	0.0000	0.0000				
85 D	32.65	0.000	162.4	91.24	162.4	91.24	UL-RL 3.9569E+05	-16.70	72.00
1.000	1.000	163.2	0.000	0.000	10.00	10.00	Salt_21271_21259_L_0		0.0000
0.0000	0.0000	0.0000	0.0000	0.0000	0.0000				
86 D	33.27	0.000	164.4	92.37	164.4	92.37	UL-RL 3.9569E+05	-16.90	74.00
1.000	1.000	166.4	0.000	0.000	10.00	10.00	Salt_21271_21259_L_0		0.0000
0.0000	0.0000	0.0000	0.0000	0.0000	0.0000				
87 D	33.90	0.000	166.4	93.49	166.4	93.49	UL-RL 3.9569E+05	-17.10	76.00
1.000	1.000	169.5	0.000	0.000	10.00	10.00	Salt_21271_21259_L_0		0.0000
0.0000	0.0000	0.0000	0.0000	0.0000	0.0000				
88 D	34.52	0.000	168.4	94.62	168.4	94.62	UL-RL 3.9569E+05	-17.30	78.00
1.000	1.000	172.6	0.000	0.000	10.00	10.00	Salt_21271_21259_L_0		0.0000
0.0000	0.0000	0.0000	0.0000	0.0000	0.0000				
89 D	35.15	0.000	170.4	95.74	170.4	95.74	UL-RL 3.9569E+05	-17.50	80.00
1.000	1.000	175.7	0.000	0.000	10.00	10.00	Salt_21271_21259_L_0		0.0000
0.0000	0.0000	0.0000	0.0000	0.0000	0.0000				
90 D	35.78	0.000	172.4	96.91	172.4	96.91	UL-RL 2.9499E+05	-17.70	82.00
1.000	1.000	178.9	0.000	0.000	55.00	55.00	Sch_21272_21260_L_0		0.0000
0.0000	0.0000	0.0000	0.0000	0.0000	0.0000				
91 D	36.48	0.000	175.0	98.38	175.0	98.38	UL-RL 2.9499E+05	-17.90	84.00
1.000	1.000	182.4	0.000	0.000	55.00	55.00	Sch_21272_21260_L_0		0.0000

0.0000	0.0000	0.0000	0.0000	0.0000						
92 D	27.88	0.000	177.6	99.84	177.6	99.84	UL-RL 2.9499E+05	-18.10	86.00	
1.000	1.000	185.8	0.000	0.000	55.00	55.00	Sch_21272_21260_L_0		0.0000	
0.0000	0.0000	0.0000	0.0000	0.0000						
93 D	9.378	0.000	178.9	100.6	178.9	100.6	UL-RL 2.9499E+05	-18.20	87.00	
1.000	1.000	187.6	0.000	0.000	55.00	55.00	Sch_21272_21260_L_0		0.0000	
0.0000	0.0000	0.0000	0.0000	0.0000						

```

+-----+
|                PARATIEPLUS(TM)  NLS ENGINE RELEASE  2022.0.0  FULL VERSION  *Build date:Sep 13, 2021*                |
|                                                                                                                                            |
|                                                                                               ParatiePlus                               |
|                                                                                               Exe Time :28 January 2022   11:11:17           |
+-----+

```

New Project

S T R E S S R E S U L T S F O R G R O U P N O . 3

```

pali15001.7_33 :
ELEMENT TYPE   2 NO.OF ELEMENTS. IN THIS GROUP   68
C U R R E N T   T I M E   I S   2.0000 SUBINCREMENT 00001/00001

```

WALL2D ELEMENT

EL	TA	TB	MA	MB
1	0.0000	0.0000	0.0000	0.0000
2	0.0000	0.0000	0.0000	0.0000
3	0.0000	0.0000	0.0000	0.0000
4	0.0000	0.0000	0.0000	0.0000
5	0.0000	0.0000	0.0000	0.0000
6	0.0000	0.0000	0.0000	0.0000
7	0.0000	0.0000	0.0000	0.0000
8	0.0000	0.0000	0.0000	0.0000
9	0.0000	0.0000	0.0000	0.0000
10	0.0000	0.0000	0.0000	0.0000
11	0.0000	0.0000	0.0000	0.0000
12	0.0000	0.0000	0.0000	0.0000
13	0.0000	0.0000	0.0000	0.0000
14	0.0000	0.0000	0.0000	0.0000
15	0.0000	0.0000	0.0000	0.0000
16	0.0000	0.0000	0.0000	0.0000
17	0.0000	0.0000	0.0000	0.0000
18	0.0000	0.0000	0.0000	0.0000
19	0.0000	0.0000	0.0000	0.0000
20	0.0000	0.0000	0.0000	0.0000
21	0.0000	0.0000	0.0000	0.0000
22	0.0000	0.0000	0.0000	0.0000
23	0.0000	0.0000	0.0000	0.0000
24	0.0000	0.0000	0.0000	0.0000
25	0.0000	0.0000	0.0000	0.0000
26	0.0000	0.0000	0.0000	0.0000
27	0.0000	0.0000	0.0000	0.0000
28	0.0000	0.0000	0.0000	0.0000
29	0.0000	0.0000	0.0000	0.0000
30	0.0000	0.0000	0.0000	0.0000
31	0.0000	0.0000	0.0000	0.0000
32	0.0000	0.0000	0.0000	0.0000
33	0.0000	0.0000	0.0000	0.0000
34	0.0000	0.0000	0.0000	0.0000
35	0.0000	0.0000	0.0000	0.0000
36	0.0000	0.0000	0.0000	0.0000
37	0.0000	0.0000	0.0000	0.0000
38	0.0000	0.0000	0.0000	0.0000
39	0.0000	0.0000	0.0000	0.0000
40	0.0000	0.0000	0.0000	0.0000
41	0.0000	0.0000	0.0000	0.0000
42	0.0000	0.0000	0.0000	0.0000
43	0.0000	0.0000	0.0000	0.0000
44	0.0000	0.0000	0.0000	0.0000
45	0.0000	0.0000	0.0000	0.0000
46	0.0000	0.0000	0.0000	0.0000
47	0.0000	0.0000	0.0000	0.0000
48	0.0000	0.0000	0.0000	0.0000
49	0.0000	0.0000	0.0000	0.0000
50	0.0000	0.0000	0.0000	0.0000
51	0.0000	0.0000	0.0000	0.0000
52	0.0000	0.0000	0.0000	0.0000
53	0.0000	0.0000	0.0000	0.0000
54	0.0000	0.0000	0.0000	0.0000
55	0.0000	0.0000	0.0000	0.0000
56	0.0000	0.0000	0.0000	0.0000
57	0.0000	0.0000	0.0000	0.0000
58	0.0000	0.0000	0.0000	0.0000
59	0.0000	0.0000	0.0000	0.0000
60	0.0000	0.0000	0.0000	0.0000
61	0.0000	0.0000	0.0000	0.0000
62	0.0000	0.0000	0.0000	0.0000
63	0.0000	0.0000	0.0000	0.0000
64	0.0000	0.0000	0.0000	0.0000
65	0.0000	0.0000	0.0000	0.0000
66	0.0000	0.0000	0.0000	0.0000
67	0.0000	0.0000	0.0000	0.0000
68	0.0000	0.0000	0.0000	0.0000

```

+-----+
|                PARATIEPLUS(TM)  NLS ENGINE RELEASE 2022.0.0  FULL VERSION  *Build date:Sep 13, 2021*                |
|                                                                                                                                            |
|                                                                                               ParatiePlus                                                                                               |
|                                                                                               Exe Time :28 January 2022  11:11:17                                                                                               |
+-----+

```

New Project

S T R E S S R E S U L T S F O R G R O U P N O . 4

muro71cm_4658 :
ELEMENT TYPE 2 NO.OF ELEMENTS. IN THIS GROUP 24
C U R R E N T T I M E I S 2.0000 SUBINCREMENT 00001/00001

WALL2D ELEMENT

EL TA TB MA MB

***** NO ONE ELEMENT ACTIVE AT CURRENT STEP *****

```

ITER   0  RNORM = 0.000   RMNORM= 0.000
RINORM=0.1215E+06   RIMNOR= 0.000
RENORM=0.2388E+05   REMNOR= 0.000   RATIO =0.4433   TOLER =0.1000E-03   NOT CONVERGED
RFMAX = 54.68   RMMAX = 0.000
RTSMAL=0.1000E-03   RMSMAL= 0.000
RDT =0.1215E+06   RDR = 0.000
RATIOT=0.4433   RATIO= 0.000
MAX UN= 0.000   IEQ= 186 NODE   93 DOF   2   X-ROT. F
MIN UN=-18.46   IEQ= 133 NODE   67 DOF   1   Y-DISPL.F
NO. OF CONTACT CONSTRAINT VIOLATIONS   0

```

```

ITER   2  RNORM = 0.000   RMNORM= 0.000
RINORM=0.1215E+06   RIMNOR= 0.000
RENORM= 3418.   REMNOR=0.4448E-17   RATIO =0.1677   TOLER =0.1000E-03   NOT CONVERGED
RFMAX = 54.68   RMMAX = 0.000
RTSMAL=0.1000E-03   RMSMAL= 0.000
RDT =0.1215E+06   RDR = 0.000
RATIOT=0.1677   RATIO= 0.000
MAX UN=0.3752E-08   IEQ= 153 NODE   77 DOF   1   Y-DISPL.F
MIN UN=-19.93   IEQ= 163 NODE   82 DOF   1   Y-DISPL.F
NO. OF CONTACT CONSTRAINT VIOLATIONS   0

```

```

ITER   3  RNORM = 0.000   RMNORM= 0.000
RINORM=0.1215E+06   RIMNOR= 0.000
RENORM= 3172.   REMNOR=0.7806E-16   RATIO =0.1615   TOLER =0.1000E-03   NOT CONVERGED
RFMAX = 54.68   RMMAX = 0.000
RTSMAL=0.1000E-03   RMSMAL= 0.000
RDT =0.1215E+06   RDR = 0.000
RATIOT=0.1615   RATIO= 0.000
MAX UN=0.3308E-07   IEQ= 79 NODE   40 DOF   1   Y-DISPL.F
MIN UN=-26.51   IEQ= 177 NODE   89 DOF   1   Y-DISPL.F
NO. OF CONTACT CONSTRAINT VIOLATIONS   0

```

```

ITER   4  RNORM = 0.000   RMNORM= 0.000
RINORM=0.1215E+06   RIMNOR= 0.000
RENORM= 382.6   REMNOR=0.2751E-16   RATIO =0.5611E-01   TOLER =0.1000E-03   NOT CONVERGED
RFMAX = 54.68   RMMAX = 0.000
RTSMAL=0.1000E-03   RMSMAL= 0.000
RDT =0.1215E+06   RDR = 0.000
RATIOT=0.5611E-01   RATIO= 0.000
MAX UN= 2.448   IEQ= 177 NODE   89 DOF   1   Y-DISPL.F
MIN UN=-15.83   IEQ= 165 NODE   83 DOF   1   Y-DISPL.F
NO. OF CONTACT CONSTRAINT VIOLATIONS   0

```

```

ITER   5  RNORM = 0.000   RMNORM= 0.000
RINORM=0.1215E+06   RIMNOR= 0.000
RENORM=0.2017   REMNOR=0.1866E-16   RATIO =0.1288E-02   TOLER =0.1000E-03   NOT CONVERGED
RFMAX = 54.68   RMMAX = 0.000
RTSMAL=0.1000E-03   RMSMAL= 0.000
RDT =0.1215E+06   RDR = 0.000
RATIOT=0.1288E-02   RATIO= 0.000
MAX UN=0.3979   IEQ= 183 NODE   92 DOF   1   Y-DISPL.F
MIN UN=-.1690   IEQ= 171 NODE   86 DOF   1   Y-DISPL.F
NO. OF CONTACT CONSTRAINT VIOLATIONS   0

```

```

ITER   6  RNORM = 0.000   RMNORM= 0.000
RINORM=0.1215E+06   RIMNOR= 0.000
RENORM=0.6843E-02   REMNOR=0.1557E-16   RATIO =0.2373E-03   TOLER =0.1000E-03   NOT CONVERGED
RFMAX = 54.68   RMMAX = 0.000
RTSMAL=0.1000E-03   RMSMAL= 0.000
RDT =0.1215E+06   RDR = 0.000
RATIOT=0.2373E-03   RATIO= 0.000

```


MAX UN=0.2164E-07 IEQ= 59 NODE 30 DOF 1 Y-DISPL.F
MIN UN=-.4545E-01 IEQ= 171 NODE 86 DOF 1 Y-DISPL.F
NO. OF CONTACT CONSTRAINT VIOLATIONS 0

ITER 7 RNORM = 0.000 RMNORM= 0.000
RINORM=0.1215E+06 RIMNOR= 0.000
RENORM=0.1315E-04 REMNOR=0.1377E-16 RATIO =0.1040E-04 TOLER =0.1000E-03 CONVERGED !
RFMAX = 54.68 RMMAX = 0.000
RTSMAL=0.1000E-03 RMSMAL= 0.000
RDT =0.1215E+06 RDR = 0.000
RATIOT=0.1040E-04 RATIO= 0.000
MAX UN=0.2083E-07 IEQ= 79 NODE 40 DOF 1 Y-DISPL.F
MIN UN=-.2092E-02 IEQ= 149 NODE 75 DOF 1 Y-DISPL.F
NO. OF CONTACT CONSTRAINT VIOLATIONS 0

75	-3.2959695E-03	1.1375353E-03
76	-3.0695532E-03	1.1267383E-03
77	-2.8452306E-03	1.1165964E-03
78	-2.6228719E-03	1.1070964E-03
79	-2.4023502E-03	1.0982236E-03
80	-2.1835418E-03	1.0899606E-03
81	-1.9663269E-03	1.0822829E-03
82	-1.7505920E-03	1.0751540E-03
83	-1.5362269E-03	1.0686018E-03
84	-1.3231068E-03	1.0627174E-03
85	-1.1110902E-03	1.0575787E-03
86	-9.0002124E-04	1.0532505E-03
87	-6.8973252E-04	1.0497842E-03
88	-4.8004926E-04	1.0471926E-03
89	-2.7080070E-04	1.0454229E-03
90	-6.1822571E-05	1.0443595E-03
91	1.4699006E-04	1.0438438E-03
92	3.5573873E-04	1.0436849E-03
93	4.6010667E-04	1.0436766E-03

```

+-----+
|                PARATIEPLUS(TM)  NLS ENGINE RELEASE 2022.0.0  FULL VERSION  *Build date:Sep 13, 2021*                |
|                                                                                                                                            |
|                                                                                               ParatiePlus                                                                                               |
|                                                                                               Exe Time :28 January 2022  11:11:17                                                                                               |
+-----+

```

New Project

S T R E S S R E S U L T S F O R G R O U P N O . 1

0_L :
ELEMENT TYPE 5 NO.OF ELEMENTS. IN THIS GROUP 93
C U R R E N T T I M E I S 3.0000 SUBINCREMENT 00001/00001

HARDENING 2D SOIL ELEMENT

***** TOTAL STRESS FORMULATION *****

EL * TOR QSL	FORCE UFACTOR ZD	DISPL-Y Peq ZPL	VERTICAL-P Su_a Kz	HORIZON.-P Su_p	MAX-V-P Cohe_a	MAX-H-P Cohe_p	STATE LAYER	STIFFNESS	Z-LEVEL	PORE ZFO	E FAC- QS
1	0.000	--	--	--	--	--	REMOVED	--	0.000	0.000	
1.000	1.000	0.000	0.000	0.000	0.000	0.000	not available				
2	0.000	--	--	--	--	--	REMOVED	--	-0.2000	0.000	
1.000	1.000	0.000	0.000	0.000	0.000	0.000	not available				
3	0.000	--	--	--	--	--	REMOVED	--	-0.4000	0.000	
1.000	1.000	0.000	0.000	0.000	0.000	0.000	not available				
4	0.000	--	--	--	--	--	REMOVED	--	-0.6000	0.000	
1.000	1.000	0.000	0.000	0.000	0.000	0.000	not available				
5	0.000	--	--	--	--	--	REMOVED	--	-0.8000	0.000	
1.000	1.000	0.000	0.000	0.000	0.000	0.000	not available				
6	0.000	--	--	--	--	--	REMOVED	--	-1.000	0.000	
1.000	1.000	0.000	0.000	0.000	0.000	0.000	not available				
7	0.000	--	--	--	--	--	REMOVED	--	-1.200	0.000	
1.000	1.000	0.000	0.000	0.000	0.000	0.000	not available				
8	0.000	--	--	--	--	--	REMOVED	--	-1.400	0.000	
1.000	1.000	0.000	0.000	0.000	0.000	0.000	not available				
9	0.000	--	--	--	--	--	REMOVED	--	-1.600	0.000	
1.000	1.000	0.000	0.000	0.000	0.000	0.000	not available				
10	0.000	--	--	--	--	--	REMOVED	--	-1.800	0.000	
1.000	1.000	0.000	0.000	0.000	0.000	0.000	not available				
11	0.000	--	--	--	--	--	REMOVED	--	-2.000	0.000	
1.000	1.000	0.000	0.000	0.000	0.000	0.000	not available				
12	0.000	--	--	--	--	--	REMOVED	--	-2.200	0.000	
1.000	1.000	0.000	0.000	0.000	0.000	0.000	not available				
13	0.000	--	--	--	--	--	REMOVED	--	-2.400	0.000	
1.000	1.000	0.000	0.000	0.000	0.000	0.000	not available				
14	0.000	--	--	--	--	--	REMOVED	--	-2.600	0.000	
1.000	1.000	0.000	0.000	0.000	0.000	0.000	not available				
15	0.000	--	--	--	--	--	REMOVED	--	-2.800	0.000	
1.000	1.000	0.000	0.000	0.000	0.000	0.000	not available				
16	0.000	--	--	--	--	--	REMOVED	--	-3.000	0.000	
1.000	1.000	0.000	0.000	0.000	0.000	0.000	not available				
17	0.000	--	--	--	--	--	REMOVED	--	-3.200	0.000	
1.000	1.000	0.000	0.000	0.000	0.000	0.000	not available				
18	0.000	--	--	--	--	--	REMOVED	--	-3.400	0.000	
1.000	1.000	0.000	0.000	0.000	0.000	0.000	not available				
19	0.000	--	--	--	--	--	REMOVED	--	-3.600	0.000	
1.000	1.000	0.000	0.000	0.000	0.000	0.000	not available				
20	0.000	--	--	--	--	--	REMOVED	--	-3.800	0.000	
1.000	1.000	0.000	0.000	0.000	0.000	0.000	not available				
21	0.000	--	--	--	--	--	REMOVED	--	-4.000	0.000	
1.000	1.000	0.000	0.000	0.000	0.000	0.000	not available				
22	0.000	--	--	--	--	--	REMOVED	--	-4.200	0.000	
1.000	1.000	0.000	0.000	0.000	0.000	0.000	not available				
23	0.000	--	--	--	--	--	REMOVED	--	-4.400	0.000	
1.000	1.000	0.000	0.000	0.000	0.000	0.000	not available				
24	0.000	--	--	--	--	--	REMOVED	--	-4.600	0.000	
1.000	1.000	0.000	0.000	0.000	0.000	0.000	not available				
25 D	0.000	1.9562E-02	0.000	0.000	0.000	0.000	PASSIVE	0.000	-4.700	0.000	
1.000	1.000	0.000	0.000	0.000	0.000	0.000	Ala_161_6590_L_0			0.0000	
0.0000	0.0000	0.0000	0.0000	0.0000	0.0000						
26 D	2.513	1.9138E-02	3.900	12.57	3.900	12.57	PASSIVE	0.000	-4.900	0.000	
1.000	1.000	12.57	0.000	0.000	0.000	0.000	Ala_161_6590_L_0			0.0000	
0.0000	0.0000	0.0000	0.0000	0.0000	0.0000						
27 D	5.026	1.8715E-02	7.800	25.13	7.800	25.13	PASSIVE	0.000	-5.100	0.000	
1.000	1.000	25.13	0.000	0.000	0.000	0.000	Ala_161_6590_L_0			0.0000	
0.0000	0.0000	0.0000	0.0000	0.0000	0.0000						
28 D	7.539	1.8294E-02	11.70	37.70	11.70	37.70	PASSIVE	0.000	-5.300	0.000	
1.000	1.000	37.70	0.000	0.000	0.000	0.000	Ala_161_6590_L_0			0.0000	
0.0000	0.0000	0.0000	0.0000	0.0000	0.0000						
29 D	10.05	1.7876E-02	15.60	50.26	15.60	50.26	PASSIVE	0.000	-5.500	0.000	
1.000	1.000	50.26	0.000	0.000	0.000	0.000	Ala_161_6590_L_0			0.0000	
0.0000	0.0000	0.0000	0.0000	0.0000	0.0000						
30 D	12.57	1.7461E-02	19.50	62.83	19.50	62.83	PASSIVE	0.000	-5.700	0.000	

1.000	1.000	62.83	0.000	0.000	0.000	0.000	Ala_161_6590_L_0	0.0000	
0.0000	0.0000	0.0000	0.0000	0.0000	0.0000	0.0000			
31 D	15.08	1.7049E-02	23.40	75.39	23.40	75.39	PASSIVE 0.000	-5.900	0.000
1.000	1.000	75.39	0.000	0.000	0.000	0.000	Ala_161_6590_L_0	0.0000	
0.0000	0.0000	0.0000	0.0000	0.0000	0.0000	0.0000			
32 D	17.59	1.6640E-02	27.30	87.96	27.30	87.96	PASSIVE 0.000	-6.100	0.000
1.000	1.000	87.96	0.000	0.000	0.000	0.000	Ala_161_6590_L_0	0.0000	
0.0000	0.0000	0.0000	0.0000	0.0000	0.0000	0.0000			
33 D	20.11	1.6234E-02	31.20	100.5	31.20	100.5	PASSIVE 0.000	-6.300	0.000
1.000	1.000	100.5	0.000	0.000	0.000	0.000	Ala_161_6590_L_0	0.0000	
0.0000	0.0000	0.0000	0.0000	0.0000	0.0000	0.0000			
34 D	22.62	1.5833E-02	35.10	113.1	35.10	113.1	PASSIVE 0.000	-6.500	0.000
1.000	1.000	113.1	0.000	0.000	0.000	0.000	Ala_161_6590_L_0	0.0000	
0.0000	0.0000	0.0000	0.0000	0.0000	0.0000	0.0000			
35 D	25.13	1.5435E-02	39.00	125.7	39.00	125.7	PASSIVE 0.000	-6.700	0.000
1.000	1.000	125.7	0.000	0.000	0.000	0.000	Ala_161_6590_L_0	0.0000	
0.0000	0.0000	0.0000	0.0000	0.0000	0.0000	0.0000			
36 D	26.23	1.5041E-02	42.90	131.1	42.90	131.1	V-C 7116.	-6.900	0.000
1.000	1.000	131.1	0.000	0.000	0.000	0.000	Ala_161_6590_L_0	0.0000	
0.0000	0.0000	0.0000	0.0000	0.0000	0.0000	0.0000			
37 D	26.11	1.4651E-02	46.80	130.6	46.80	130.6	V-C 7116.	-7.100	0.000
1.000	1.000	130.6	0.000	0.000	0.000	0.000	Ala_161_6590_L_0	0.0000	
0.0000	0.0000	0.0000	0.0000	0.0000	0.0000	0.0000			
38 D	26.00	1.4266E-02	50.70	130.0	50.70	130.0	V-C 7116.	-7.300	0.000
1.000	1.000	130.0	0.000	0.000	0.000	0.000	Ala_161_6590_L_0	0.0000	
0.0000	0.0000	0.0000	0.0000	0.0000	0.0000	0.0000			
39 D	25.90	1.3885E-02	54.60	129.5	54.60	129.5	V-C 7116.	-7.500	0.000
1.000	1.000	129.5	0.000	0.000	0.000	0.000	Ala_161_6590_L_0	0.0000	
0.0000	0.0000	0.0000	0.0000	0.0000	0.0000	0.0000			
40 D	25.80	1.3510E-02	58.50	129.0	58.50	129.0	V-C 7116.	-7.700	0.000
1.000	1.000	129.0	0.000	0.000	0.000	0.000	Ala_161_6590_L_0	0.0000	
0.0000	0.0000	0.0000	0.0000	0.0000	0.0000	0.0000			
41 D	25.71	1.3139E-02	62.40	128.6	62.40	128.6	V-C 7116.	-7.900	0.000
1.000	1.000	128.6	0.000	0.000	0.000	0.000	Ala_161_6590_L_0	0.0000	
0.0000	0.0000	0.0000	0.0000	0.0000	0.0000	0.0000			
42 D	25.63	1.2772E-02	66.30	128.2	66.30	128.2	V-C 7116.	-8.100	0.000
1.000	1.000	128.2	0.000	0.000	0.000	0.000	Ala_161_6590_L_0	0.0000	
0.0000	0.0000	0.0000	0.0000	0.0000	0.0000	0.0000			
43 D	25.55	1.2411E-02	70.20	127.8	70.20	127.8	V-C 7116.	-8.300	0.000
1.000	1.000	127.8	0.000	0.000	0.000	0.000	Ala_161_6590_L_0	0.0000	
0.0000	0.0000	0.0000	0.0000	0.0000	0.0000	0.0000			
44 D	25.49	1.2055E-02	74.10	127.4	74.10	127.4	V-C 7116.	-8.500	0.000
1.000	1.000	127.4	0.000	0.000	0.000	0.000	Ala_161_6590_L_0	0.0000	
0.0000	0.0000	0.0000	0.0000	0.0000	0.0000	0.0000			
45 D	25.42	1.1704E-02	78.00	127.1	78.00	127.1	V-C 7116.	-8.700	0.000
1.000	1.000	127.1	0.000	0.000	0.000	0.000	Ala_161_6590_L_0	0.0000	
0.0000	0.0000	0.0000	0.0000	0.0000	0.0000	0.0000			
46 D	25.37	1.1358E-02	81.90	126.9	81.90	126.9	V-C 7116.	-8.900	0.000
1.000	1.000	126.9	0.000	0.000	0.000	0.000	Ala_161_6590_L_0	0.0000	
0.0000	0.0000	0.0000	0.0000	0.0000	0.0000	0.0000			
47 D	25.32	1.1017E-02	85.80	126.6	85.80	126.6	V-C 7116.	-9.100	0.000
1.000	1.000	126.6	0.000	0.000	0.000	0.000	Ala_161_6590_L_0	0.0000	
0.0000	0.0000	0.0000	0.0000	0.0000	0.0000	0.0000			
48 D	25.28	1.0681E-02	89.70	126.4	89.70	126.4	V-C 7116.	-9.300	0.000
1.000	1.000	126.4	0.000	0.000	0.000	0.000	Ala_161_6590_L_0	0.0000	
0.0000	0.0000	0.0000	0.0000	0.0000	0.0000	0.0000			
49 D	25.25	1.0351E-02	93.60	126.3	93.60	126.3	V-C 7116.	-9.500	0.000
1.000	1.000	126.3	0.000	0.000	0.000	0.000	Ala_161_6590_L_0	0.0000	
0.0000	0.0000	0.0000	0.0000	0.0000	0.0000	0.0000			
50 D	25.40	1.0025E-02	95.50	125.0	95.50	125.0	V-C 7116.	-9.700	2.000
1.000	1.000	127.0	0.000	0.000	0.000	0.000	Ala_161_6590_L_0	0.0000	
0.0000	0.0000	0.0000	0.0000	0.0000	0.0000	0.0000			
51 D	25.56	9.7043E-03	97.40	123.8	97.40	123.8	V-C 7116.	-9.900	4.000
1.000	1.000	127.8	0.000	0.000	0.000	0.000	Ala_161_6590_L_0	0.0000	
0.0000	0.0000	0.0000	0.0000	0.0000	0.0000	0.0000			
52 D	25.72	9.3888E-03	99.30	122.6	99.30	122.6	V-C 7116.	-10.10	6.000
1.000	1.000	128.6	0.000	0.000	0.000	0.000	Ala_161_6590_L_0	0.0000	
0.0000	0.0000	0.0000	0.0000	0.0000	0.0000	0.0000			
53 D	25.90	9.0781E-03	101.2	121.5	101.2	121.5	V-C 7116.	-10.30	8.000
1.000	1.000	129.5	0.000	0.000	0.000	0.000	Ala_161_6590_L_0	0.0000	
0.0000	0.0000	0.0000	0.0000	0.0000	0.0000	0.0000			
54 D	26.07	8.7724E-03	103.1	120.4	103.1	120.4	V-C 7116.	-10.50	10.000
1.000	1.000	130.4	0.000	0.000	0.000	0.000	Ala_161_6590_L_0	0.0000	
0.0000	0.0000	0.0000	0.0000	0.0000	0.0000	0.0000			
55 D	26.26	8.4714E-03	105.0	119.3	105.0	119.3	V-C 7116.	-10.70	12.00
1.000	1.000	131.3	0.000	0.000	0.000	0.000	Ala_161_6590_L_0	0.0000	
0.0000	0.0000	0.0000	0.0000	0.0000	0.0000	0.0000			
56 D	26.45	8.1752E-03	106.9	118.3	106.9	118.3	V-C 7116.	-10.90	14.00
1.000	1.000	132.3	0.000	0.000	0.000	0.000	Ala_161_6590_L_0	0.0000	
0.0000	0.0000	0.0000	0.0000	0.0000	0.0000	0.0000			
57 D	26.65	7.8836E-03	108.8	117.2	108.8	117.2	V-C 7116.	-11.10	16.00
1.000	1.000	133.2	0.000	0.000	0.000	0.000	Ala_161_6590_L_0	0.0000	
0.0000	0.0000	0.0000	0.0000	0.0000	0.0000	0.0000			
58 D	26.85	7.5965E-03	110.7	116.3	110.7	116.3	V-C 7116.	-11.30	18.00
1.000	1.000	134.3	0.000	0.000	0.000	0.000	Ala_161_6590_L_0	0.0000	
0.0000	0.0000	0.0000	0.0000	0.0000	0.0000	0.0000			
59 D	27.07	7.3139E-03	112.6	115.3	112.6	115.3	V-C 7116.	-11.50	20.00
1.000	1.000	135.3	0.000	0.000	0.000	0.000	Ala_161_6590_L_0	0.0000	
0.0000	0.0000	0.0000	0.0000	0.0000	0.0000	0.0000			
60 D	27.28	7.0356E-03	114.5	114.4	114.5	114.4	V-C 7116.	-11.70	22.00
1.000	1.000	136.4	0.000	0.000	0.000	0.000	Ala_161_6590_L_0	0.0000	
0.0000	0.0000	0.0000	0.0000	0.0000	0.0000	0.0000			

61 D	27.51	6.7616E-03	116.4	113.5	116.4	113.5	V-C	7116.	-11.90	24.00
1.000	1.000	137.5	0.000	0.000	0.000	0.000	Ala_161_6590_L_0			0.0000
0.0000	0.0000	0.0000	0.0000	0.0000						
62 D	27.74	6.4916E-03	118.3	112.7	118.3	112.7	V-C	7116.	-12.10	26.00
1.000	1.000	138.7	0.000	0.000	0.000	0.000	Ala_161_6590_L_0			0.0000
0.0000	0.0000	0.0000	0.0000	0.0000						
63 D	27.97	6.2256E-03	120.2	111.9	120.2	111.9	V-C	7116.	-12.30	28.00
1.000	1.000	139.9	0.000	0.000	0.000	0.000	Ala_161_6590_L_0			0.0000
0.0000	0.0000	0.0000	0.0000	0.0000						
64 D	28.21	5.9635E-03	122.1	111.1	122.1	111.1	V-C	7116.	-12.50	30.00
1.000	1.000	141.1	0.000	0.000	0.000	0.000	Ala_161_6590_L_0			0.0000
0.0000	0.0000	0.0000	0.0000	0.0000						
65 D	28.46	5.7050E-03	124.0	110.3	124.0	110.3	V-C	7116.	-12.70	32.00
1.000	1.000	142.3	0.000	0.000	0.000	0.000	Ala_161_6590_L_0			0.0000
0.0000	0.0000	0.0000	0.0000	0.0000						
66 D	28.71	5.4502E-03	125.9	109.5	125.9	109.5	V-C	7116.	-12.90	34.00
1.000	1.000	143.5	0.000	0.000	0.000	0.000	Ala_161_6590_L_0			0.0000
0.0000	0.0000	0.0000	0.0000	0.0000						
67 D	28.96	5.1989E-03	127.8	108.8	127.8	108.8	V-C	7116.	-13.10	36.00
1.000	1.000	144.8	0.000	0.000	0.000	0.000	Ala_161_6590_L_0			0.0000
0.0000	0.0000	0.0000	0.0000	0.0000						
68 D	29.22	4.9508E-03	129.7	108.1	129.7	108.1	V-C	7116.	-13.30	38.00
1.000	1.000	146.1	0.000	0.000	0.000	0.000	Ala_161_6590_L_0			0.0000
0.0000	0.0000	0.0000	0.0000	0.0000						
69 D	29.49	4.7060E-03	131.6	107.4	131.6	107.4	V-C	7116.	-13.50	40.00
1.000	1.000	147.4	0.000	0.000	0.000	0.000	Ala_161_6590_L_0			0.0000
0.0000	0.0000	0.0000	0.0000	0.0000						
70 D	29.76	4.4641E-03	133.5	106.8	133.5	106.8	V-C	7116.	-13.70	42.00
1.000	1.000	148.8	0.000	0.000	0.000	0.000	Ala_161_6590_L_0			0.0000
0.0000	0.0000	0.0000	0.0000	0.0000						
71 D	30.03	4.2252E-03	135.4	106.2	135.4	106.2	V-C	7116.	-13.90	44.00
1.000	1.000	150.2	0.000	0.000	0.000	0.000	Ala_161_6590_L_0			0.0000
0.0000	0.0000	0.0000	0.0000	0.0000						
72 D	30.31	3.9891E-03	137.3	105.5	137.3	105.5	V-C	7116.	-14.10	46.00
1.000	1.000	151.5	0.000	0.000	0.000	0.000	Ala_161_6590_L_0			0.0000
0.0000	0.0000	0.0000	0.0000	0.0000						
73 D	30.59	3.7556E-03	139.2	105.0	139.2	105.0	V-C	7116.	-14.30	48.00
1.000	1.000	153.0	0.000	0.000	0.000	0.000	Ala_161_6590_L_0			0.0000
0.0000	0.0000	0.0000	0.0000	0.0000						
74 D	30.88	3.5246E-03	141.1	104.4	141.1	104.4	V-C	7116.	-14.50	50.00
1.000	1.000	154.4	0.000	0.000	0.000	0.000	Ala_161_6590_L_0			0.0000
0.0000	0.0000	0.0000	0.0000	0.0000						
75 D	31.16	3.2960E-03	143.0	103.8	143.0	103.8	V-C	7116.	-14.70	52.00
1.000	1.000	155.8	0.000	0.000	0.000	0.000	Ala_161_6590_L_0			0.0000
0.0000	0.0000	0.0000	0.0000	0.0000						
76 D	31.46	3.0696E-03	144.9	103.3	144.9	103.3	V-C	7116.	-14.90	54.00
1.000	1.000	157.3	0.000	0.000	0.000	0.000	Ala_161_6590_L_0			0.0000
0.0000	0.0000	0.0000	0.0000	0.0000						
77 D	31.75	2.8452E-03	146.8	102.7	146.8	102.7	V-C	7116.	-15.10	56.00
1.000	1.000	158.7	0.000	0.000	0.000	0.000	Ala_161_6590_L_0			0.0000
0.0000	0.0000	0.0000	0.0000	0.0000						
78 D	32.05	2.6229E-03	148.7	102.2	148.7	102.2	V-C	7116.	-15.30	58.00
1.000	1.000	160.2	0.000	0.000	0.000	0.000	Ala_161_6590_L_0			0.0000
0.0000	0.0000	0.0000	0.0000	0.0000						
79 D	32.35	2.4024E-03	150.6	101.7	150.6	101.7	UL-RL	2.1349E+04	-15.50	60.00
1.000	1.000	161.7	0.000	0.000	0.000	0.000	Ala_161_6590_L_0			0.0000
0.0000	0.0000	0.0000	0.0000	0.0000						
80 D	32.65	2.1835E-03	152.5	101.2	152.5	101.2	UL-RL	2.1349E+04	-15.70	62.00
1.000	1.000	163.2	0.000	0.000	0.000	0.000	Ala_161_6590_L_0			0.0000
0.0000	0.0000	0.0000	0.0000	0.0000						
81 D	32.95	1.9663E-03	154.4	100.8	154.4	100.8	UL-RL	2.1349E+04	-15.90	64.00
1.000	1.000	164.8	0.000	0.000	0.000	0.000	Ala_161_6590_L_0			0.0000
0.0000	0.0000	0.0000	0.0000	0.0000						
82 D	44.73	1.7506E-03	156.4	157.7	156.4	157.7	UL-RL	1.1966E+05	-16.10	66.00
1.000	1.000	223.7	0.000	0.000	10.00	10.00	Salt_21271_21259_L_0			0.0000
0.0000	0.0000	0.0000	0.0000	0.0000						
83 D	43.65	1.5362E-03	158.4	150.2	158.4	150.3	UL-RL	1.1966E+05	-16.30	68.00
1.000	1.000	218.2	0.000	0.000	10.00	10.00	Salt_21271_21259_L_0			0.0000
0.0000	0.0000	0.0000	0.0000	0.0000						
84 D	42.57	1.3231E-03	160.4	142.9	160.4	142.9	UL-RL	1.1966E+05	-16.50	70.00
1.000	1.000	212.9	0.000	0.000	10.00	10.00	Salt_21271_21259_L_0			0.0000
0.0000	0.0000	0.0000	0.0000	0.0000						
85 D	41.50	1.1111E-03	162.4	135.5	162.4	135.6	UL-RL	1.1966E+05	-16.70	72.00
1.000	1.000	207.5	0.000	0.000	10.00	10.00	Salt_21271_21259_L_0			0.0000
0.0000	0.0000	0.0000	0.0000	0.0000						
86 D	40.44	9.0002E-04	164.4	128.2	164.4	128.3	UL-RL	1.1966E+05	-16.90	74.00
1.000	1.000	202.2	0.000	0.000	10.00	10.00	Salt_21271_21259_L_0			0.0000
0.0000	0.0000	0.0000	0.0000	0.0000						
87 D	37.23	6.8973E-04	166.4	110.1	166.4	126.4	UL-RL	1.1966E+05	-17.10	76.00
1.000	1.000	186.1	0.000	0.000	10.00	10.00	Salt_21271_21259_L_0			0.0000
0.0000	0.0000	0.0000	0.0000	0.0000						
88 D	33.97	4.8005E-04	168.4	91.85	168.4	124.7	UL-RL	1.1966E+05	-17.30	78.00
1.000	1.000	169.9	0.000	0.000	10.00	10.00	Salt_21271_21259_L_0			0.0000
0.0000	0.0000	0.0000	0.0000	0.0000						
89 D	30.72	2.7080E-04	170.4	73.61	170.4	123.0	UL-RL	1.1966E+05	-17.50	80.00
1.000	1.000	153.6	0.000	0.000	10.00	10.00	Salt_21271_21259_L_0			0.0000
0.0000	0.0000	0.0000	0.0000	0.0000						
90 D	30.71	6.1823E-05	172.4	71.57	172.4	111.8	UL-RL	7.3129E+04	-17.70	82.00
1.000	1.000	153.6	0.000	0.000	55.00	55.00	Sch_21272_21260_L_0			0.0000
0.0000	0.0000	0.0000	0.0000	0.0000						
91 D	29.05	-1.4699E-04	175.0	61.23	175.0	111.6	UL-RL	7.3129E+04	-17.90	84.00
1.000	1.000	145.2	0.000	0.000	55.00	55.00	Sch_21272_21260_L_0			0.0000

0.0000	0.0000	0.0000	0.0000	0.0000						
92 D	20.53	-3.5574E-04	177.6	50.89	177.6	111.3	UL-RL 7.3129E+04	-18.10	86.00	
1.000	1.000	136.9	0.000	0.000	55.00	55.00	Sch_21272_21260_L_0		0.0000	
0.0000	0.0000	0.0000	0.0000	0.0000						
93 D	6.636	-4.6011E-04	178.9	45.72	178.9	111.2	UL-RL 7.3129E+04	-18.20	87.00	
1.000	1.000	132.7	0.000	0.000	55.00	55.00	Sch_21272_21260_L_0		0.0000	
0.0000	0.0000	0.0000	0.0000	0.0000						

1.000	1.000	33.50	0.000	0.000	0.000	0.000	rilevato_6589_8_L_0	0.0000	
0.0000	0.0000	0.0000	0.0000	0.0000	0.0000				
23 D	6.896	-2.0210E-02	146.7	34.48	146.7	61.77	ACTIVE 0.000	-4.400	0.000
1.000	1.000	34.48	0.000	0.000	0.000	0.000	rilevato_6589_8_L_0	0.0000	
0.0000	0.0000	0.0000	0.0000	0.0000	0.0000				
24 D	5.319	-1.9776E-02	150.9	35.46	150.9	63.47	ACTIVE 0.000	-4.600	0.000
1.000	1.000	35.46	0.000	0.000	0.000	0.000	rilevato_6589_8_L_0	0.0000	
0.0000	0.0000	0.0000	0.0000	0.0000	0.0000				
25 D	8.238	-1.9562E-02	153.0	54.92	153.0	85.97	ACTIVE 0.000	-4.700	0.000
1.000	1.000	54.92	0.000	0.000	0.000	0.000	Ala_161_6590_L_0	0.0000	
0.0000	0.0000	0.0000	0.0000	0.0000	0.0000				
26 D	11.28	-1.9138E-02	157.0	56.38	157.0	88.26	ACTIVE 0.000	-4.900	0.000
1.000	1.000	56.38	0.000	0.000	0.000	0.000	Ala_161_6590_L_0	0.0000	
0.0000	0.0000	0.0000	0.0000	0.0000	0.0000				
27 D	11.57	-1.8715E-02	161.1	57.84	161.1	90.55	ACTIVE 0.000	-5.100	0.000
1.000	1.000	57.84	0.000	0.000	0.000	0.000	Ala_161_6590_L_0	0.0000	
0.0000	0.0000	0.0000	0.0000	0.0000	0.0000				
28 D	11.86	-1.8294E-02	165.2	59.30	165.2	92.84	ACTIVE 0.000	-5.300	0.000
1.000	1.000	59.30	0.000	0.000	0.000	0.000	Ala_161_6590_L_0	0.0000	
0.0000	0.0000	0.0000	0.0000	0.0000	0.0000				
29 D	12.15	-1.7876E-02	169.3	60.77	169.3	95.13	ACTIVE 0.000	-5.500	0.000
1.000	1.000	60.77	0.000	0.000	0.000	0.000	Ala_161_6590_L_0	0.0000	
0.0000	0.0000	0.0000	0.0000	0.0000	0.0000				
30 D	12.45	-1.7461E-02	173.3	62.23	173.3	97.41	ACTIVE 0.000	-5.700	0.000
1.000	1.000	62.23	0.000	0.000	0.000	0.000	Ala_161_6590_L_0	0.0000	
0.0000	0.0000	0.0000	0.0000	0.0000	0.0000				
31 D	12.74	-1.7049E-02	177.4	63.69	177.4	99.70	ACTIVE 0.000	-5.900	0.000
1.000	1.000	63.69	0.000	0.000	0.000	0.000	Ala_161_6590_L_0	0.0000	
0.0000	0.0000	0.0000	0.0000	0.0000	0.0000				
32 D	13.03	-1.6640E-02	181.5	65.15	181.5	102.0	ACTIVE 0.000	-6.100	0.000
1.000	1.000	65.15	0.000	0.000	0.000	0.000	Ala_161_6590_L_0	0.0000	
0.0000	0.0000	0.0000	0.0000	0.0000	0.0000				
33 D	13.32	-1.6234E-02	185.5	66.61	185.5	104.3	ACTIVE 0.000	-6.300	0.000
1.000	1.000	66.61	0.000	0.000	0.000	0.000	Ala_161_6590_L_0	0.0000	
0.0000	0.0000	0.0000	0.0000	0.0000	0.0000				
34 D	13.61	-1.5833E-02	189.6	68.07	189.6	106.6	ACTIVE 0.000	-6.500	0.000
1.000	1.000	68.07	0.000	0.000	0.000	0.000	Ala_161_6590_L_0	0.0000	
0.0000	0.0000	0.0000	0.0000	0.0000	0.0000				
35 D	13.91	-1.5435E-02	193.7	69.53	193.7	108.8	ACTIVE 0.000	-6.700	0.000
1.000	1.000	69.53	0.000	0.000	0.000	0.000	Ala_161_6590_L_0	0.0000	
0.0000	0.0000	0.0000	0.0000	0.0000	0.0000				
36 D	14.22	-1.5041E-02	198.1	71.12	198.1	111.3	ACTIVE 0.000	-6.900	0.000
1.000	1.000	71.12	0.000	0.000	0.000	0.000	Ala_161_6590_L_0	0.0000	
0.0000	0.0000	0.0000	0.0000	0.0000	0.0000				
37 D	14.58	-1.4651E-02	203.0	72.88	203.0	114.1	ACTIVE 0.000	-7.100	0.000
1.000	1.000	72.88	0.000	0.000	0.000	0.000	Ala_161_6590_L_0	0.0000	
0.0000	0.0000	0.0000	0.0000	0.0000	0.0000				
38 D	14.90	-1.4266E-02	207.5	74.48	207.5	116.6	ACTIVE 0.000	-7.300	0.000
1.000	1.000	74.48	0.000	0.000	0.000	0.000	Ala_161_6590_L_0	0.0000	
0.0000	0.0000	0.0000	0.0000	0.0000	0.0000				
39 D	15.23	-1.3885E-02	212.1	76.15	212.1	119.2	ACTIVE 0.000	-7.500	0.000
1.000	1.000	76.15	0.000	0.000	0.000	0.000	Ala_161_6590_L_0	0.0000	
0.0000	0.0000	0.0000	0.0000	0.0000	0.0000				
40 D	15.55	-1.3510E-02	216.6	77.76	216.6	121.7	ACTIVE 0.000	-7.700	0.000
1.000	1.000	77.76	0.000	0.000	0.000	0.000	Ala_161_6590_L_0	0.0000	
0.0000	0.0000	0.0000	0.0000	0.0000	0.0000				
41 D	15.87	-1.3139E-02	221.1	79.36	221.1	124.2	ACTIVE 0.000	-7.900	0.000
1.000	1.000	79.36	0.000	0.000	0.000	0.000	Ala_161_6590_L_0	0.0000	
0.0000	0.0000	0.0000	0.0000	0.0000	0.0000				
42 D	16.19	-1.2772E-02	225.5	80.97	225.5	126.8	ACTIVE 0.000	-8.100	0.000
1.000	1.000	80.97	0.000	0.000	0.000	0.000	Ala_161_6590_L_0	0.0000	
0.0000	0.0000	0.0000	0.0000	0.0000	0.0000				
43 D	16.50	-1.2411E-02	229.8	82.51	229.8	129.2	ACTIVE 0.000	-8.300	0.000
1.000	1.000	82.51	0.000	0.000	0.000	0.000	Ala_161_6590_L_0	0.0000	
0.0000	0.0000	0.0000	0.0000	0.0000	0.0000				
44 D	16.82	-1.2055E-02	234.3	84.11	234.3	131.7	ACTIVE 0.000	-8.500	0.000
1.000	1.000	84.11	0.000	0.000	0.000	0.000	Ala_161_6590_L_0	0.0000	
0.0000	0.0000	0.0000	0.0000	0.0000	0.0000				
45 D	17.12	-1.1704E-02	238.5	85.62	238.5	134.0	ACTIVE 0.000	-8.700	0.000
1.000	1.000	85.62	0.000	0.000	0.000	0.000	Ala_161_6590_L_0	0.0000	
0.0000	0.0000	0.0000	0.0000	0.0000	0.0000				
46 D	17.44	-1.1358E-02	242.9	87.21	242.9	136.5	ACTIVE 0.000	-8.900	0.000
1.000	1.000	87.21	0.000	0.000	0.000	0.000	Ala_161_6590_L_0	0.0000	
0.0000	0.0000	0.0000	0.0000	0.0000	0.0000				
47 D	17.74	-1.1017E-02	247.0	88.69	247.0	138.8	ACTIVE 0.000	-9.100	0.000
1.000	1.000	88.69	0.000	0.000	0.000	0.000	Ala_161_6590_L_0	0.0000	
0.0000	0.0000	0.0000	0.0000	0.0000	0.0000				
48 D	18.05	-1.0681E-02	251.4	90.27	251.4	141.3	ACTIVE 0.000	-9.300	0.000
1.000	1.000	90.27	0.000	0.000	0.000	0.000	Ala_161_6590_L_0	0.0000	
0.0000	0.0000	0.0000	0.0000	0.0000	0.0000				
49 D	18.35	-1.0351E-02	255.5	91.73	255.5	143.6	ACTIVE 0.000	-9.500	0.000
1.000	1.000	91.73	0.000	0.000	0.000	0.000	Ala_161_6590_L_0	0.0000	
0.0000	0.0000	0.0000	0.0000	0.0000	0.0000				
50 D	18.91	-1.0025E-02	257.8	92.57	257.8	144.9	ACTIVE 0.000	-9.700	2.000
1.000	1.000	94.57	0.000	0.000	0.000	0.000	Ala_161_6590_L_0	0.0000	
0.0000	0.0000	0.0000	0.0000	0.0000	0.0000				
51 D	19.46	-9.7043E-03	259.9	93.29	259.9	146.0	ACTIVE 0.000	-9.900	4.000
1.000	1.000	97.29	0.000	0.000	0.000	0.000	Ala_161_6590_L_0	0.0000	
0.0000	0.0000	0.0000	0.0000	0.0000	0.0000				
52 D	20.02	-9.3888E-03	262.1	94.11	262.1	147.3	ACTIVE 0.000	-10.10	6.000
1.000	1.000	100.1	0.000	0.000	0.000	0.000	Ala_161_6590_L_0	0.0000	
0.0000	0.0000	0.0000	0.0000	0.0000	0.0000				

53 D	20.56	-9.0781E-03	264.1	94.82	264.1	148.4	ACTIVE	0.000	-10.30	8.000
1.000	1.000	102.8	0.000	0.000	0.000	0.000	Ala_161_6590_L_0			0.0000
0.0000	0.0000	0.0000	0.0000	0.0000	0.0000					
54 D	21.12	-8.7724E-03	266.3	95.60	266.3	149.7	ACTIVE	0.000	-10.50	10.000
1.000	1.000	105.6	0.000	0.000	0.000	0.000	Ala_161_6590_L_0			0.0000
0.0000	0.0000	0.0000	0.0000	0.0000	0.0000					
55 D	21.66	-8.4714E-03	268.3	96.32	268.3	150.8	ACTIVE	0.000	-10.70	12.00
1.000	1.000	108.3	0.000	0.000	0.000	0.000	Ala_161_6590_L_0			0.0000
0.0000	0.0000	0.0000	0.0000	0.0000	0.0000					
56 D	22.21	-8.1752E-03	270.4	97.07	270.4	152.0	ACTIVE	0.000	-10.90	14.00
1.000	1.000	111.1	0.000	0.000	0.000	0.000	Ala_161_6590_L_0			0.0000
0.0000	0.0000	0.0000	0.0000	0.0000	0.0000					
57 D	22.76	-7.8836E-03	272.4	97.79	272.4	153.1	ACTIVE	0.000	-11.10	16.00
1.000	1.000	113.8	0.000	0.000	0.000	0.000	Ala_161_6590_L_0			0.0000
0.0000	0.0000	0.0000	0.0000	0.0000	0.0000					
58 D	23.30	-7.5965E-03	274.4	98.52	274.4	154.2	ACTIVE	0.000	-11.30	18.00
1.000	1.000	116.5	0.000	0.000	0.000	0.000	Ala_161_6590_L_0			0.0000
0.0000	0.0000	0.0000	0.0000	0.0000	0.0000					
59 D	23.85	-7.3139E-03	276.4	99.24	276.4	155.4	ACTIVE	0.000	-11.50	20.00
1.000	1.000	119.2	0.000	0.000	0.000	0.000	Ala_161_6590_L_0			0.0000
0.0000	0.0000	0.0000	0.0000	0.0000	0.0000					
60 D	24.39	-7.0356E-03	278.4	99.95	278.4	156.5	ACTIVE	0.000	-11.70	22.00
1.000	1.000	121.9	0.000	0.000	0.000	0.000	Ala_161_6590_L_0			0.0000
0.0000	0.0000	0.0000	0.0000	0.0000	0.0000					
61 D	24.93	-6.7616E-03	280.4	100.7	280.4	157.6	ACTIVE	0.000	-11.90	24.00
1.000	1.000	124.7	0.000	0.000	0.000	0.000	Ala_161_6590_L_0			0.0000
0.0000	0.0000	0.0000	0.0000	0.0000	0.0000					
62 D	25.47	-6.4916E-03	282.3	101.4	282.3	158.7	ACTIVE	0.000	-12.10	26.00
1.000	1.000	127.4	0.000	0.000	0.000	0.000	Ala_161_6590_L_0			0.0000
0.0000	0.0000	0.0000	0.0000	0.0000	0.0000					
63 D	26.02	-6.2256E-03	284.3	102.1	284.3	159.8	ACTIVE	0.000	-12.30	28.00
1.000	1.000	130.1	0.000	0.000	0.000	0.000	Ala_161_6590_L_0			0.0000
0.0000	0.0000	0.0000	0.0000	0.0000	0.0000					
64 D	26.55	-5.9635E-03	286.2	102.8	286.2	160.9	ACTIVE	0.000	-12.50	30.00
1.000	1.000	132.8	0.000	0.000	0.000	0.000	Ala_161_6590_L_0			0.0000
0.0000	0.0000	0.0000	0.0000	0.0000	0.0000					
65 D	27.09	-5.7050E-03	288.2	103.5	288.2	162.0	ACTIVE	0.000	-12.70	32.00
1.000	1.000	135.5	0.000	0.000	0.000	0.000	Ala_161_6590_L_0			0.0000
0.0000	0.0000	0.0000	0.0000	0.0000	0.0000					
66 D	27.63	-5.4502E-03	290.1	104.1	290.1	163.0	ACTIVE	0.000	-12.90	34.00
1.000	1.000	138.1	0.000	0.000	0.000	0.000	Ala_161_6590_L_0			0.0000
0.0000	0.0000	0.0000	0.0000	0.0000	0.0000					
67 D	28.17	-5.1989E-03	292.1	104.8	292.1	164.1	ACTIVE	0.000	-13.10	36.00
1.000	1.000	140.8	0.000	0.000	0.000	0.000	Ala_161_6590_L_0			0.0000
0.0000	0.0000	0.0000	0.0000	0.0000	0.0000					
68 D	28.70	-4.9508E-03	293.9	105.5	293.9	165.2	ACTIVE	0.000	-13.30	38.00
1.000	1.000	143.5	0.000	0.000	0.000	0.000	Ala_161_6590_L_0			0.0000
0.0000	0.0000	0.0000	0.0000	0.0000	0.0000					
69 D	29.23	-4.7060E-03	295.6	106.1	295.6	166.2	ACTIVE	0.000	-13.50	40.00
1.000	1.000	146.1	0.000	0.000	0.000	0.000	Ala_161_6590_L_0			0.0000
0.0000	0.0000	0.0000	0.0000	0.0000	0.0000					
70 D	29.76	-4.4641E-03	297.4	106.8	297.4	167.2	ACTIVE	0.000	-13.70	42.00
1.000	1.000	148.8	0.000	0.000	0.000	0.000	Ala_161_6590_L_0			0.0000
0.0000	0.0000	0.0000	0.0000	0.0000	0.0000					
71 D	30.28	-4.2252E-03	299.2	107.4	299.2	168.2	ACTIVE	0.000	-13.90	44.00
1.000	1.000	151.4	0.000	0.000	0.000	0.000	Ala_161_6590_L_0			0.0000
0.0000	0.0000	0.0000	0.0000	0.0000	0.0000					
72 D	30.81	-3.9891E-03	301.0	108.1	301.0	169.2	ACTIVE	0.000	-14.10	46.00
1.000	1.000	154.1	0.000	0.000	0.000	0.000	Ala_161_6590_L_0			0.0000
0.0000	0.0000	0.0000	0.0000	0.0000	0.0000					
73 D	31.34	-3.7556E-03	302.8	108.7	302.8	170.2	ACTIVE	0.000	-14.30	48.00
1.000	1.000	156.7	0.000	0.000	0.000	0.000	Ala_161_6590_L_0			0.0000
0.0000	0.0000	0.0000	0.0000	0.0000	0.0000					
74 D	31.87	-3.5246E-03	304.6	109.3	304.6	171.2	ACTIVE	0.000	-14.50	50.00
1.000	1.000	159.3	0.000	0.000	0.000	0.000	Ala_161_6590_L_0			0.0000
0.0000	0.0000	0.0000	0.0000	0.0000	0.0000					
75 D	32.40	-3.2960E-03	306.4	110.0	306.4	172.2	ACTIVE	0.000	-14.70	52.00
1.000	1.000	162.0	0.000	0.000	0.000	0.000	Ala_161_6590_L_0			0.0000
0.0000	0.0000	0.0000	0.0000	0.0000	0.0000					
76 D	32.93	-3.0696E-03	308.2	110.6	308.2	173.2	ACTIVE	0.000	-14.90	54.00
1.000	1.000	164.6	0.000	0.000	0.000	0.000	Ala_161_6590_L_0			0.0000
0.0000	0.0000	0.0000	0.0000	0.0000	0.0000					
77 D	33.46	-2.8452E-03	310.0	111.3	310.0	174.2	ACTIVE	0.000	-15.10	56.00
1.000	1.000	167.3	0.000	0.000	0.000	0.000	Ala_161_6590_L_0			0.0000
0.0000	0.0000	0.0000	0.0000	0.0000	0.0000					
78 D	33.99	-2.6229E-03	311.8	111.9	311.8	175.2	ACTIVE	0.000	-15.30	58.00
1.000	1.000	169.9	0.000	0.000	0.000	0.000	Ala_161_6590_L_0			0.0000
0.0000	0.0000	0.0000	0.0000	0.0000	0.0000					
79 D	34.61	-2.4024E-03	313.6	113.1	313.6	176.2	UL-RL 2.6301E+04		-15.50	60.00
1.000	1.000	173.1	0.000	0.000	0.000	0.000	Ala_161_6590_L_0			0.0000
0.0000	0.0000	0.0000	0.0000	0.0000	0.0000					
80 D	36.36	-2.1835E-03	315.4	119.8	315.4	177.2	UL-RL 2.6301E+04		-15.70	62.00
1.000	1.000	181.8	0.000	0.000	0.000	0.000	Ala_161_6590_L_0			0.0000
0.0000	0.0000	0.0000	0.0000	0.0000	0.0000					
81 D	38.11	-1.9663E-03	317.2	126.5	317.2	178.3	UL-RL 2.6301E+04		-15.90	64.00
1.000	1.000	190.5	0.000	0.000	0.000	0.000	Ala_161_6590_L_0			0.0000
0.0000	0.0000	0.0000	0.0000	0.0000	0.0000					
82 D	32.81	-1.7506E-03	319.1	98.07	319.1	179.3	UL-RL 1.5322E+05		-16.10	66.00
1.000	1.000	164.1	0.000	0.000	10.00	10.00	Salt_21271_21259_L_0			0.0000
0.0000	0.0000	0.0000	0.0000	0.0000						
83 D	33.35	-1.5362E-03	321.0	98.74	321.0	180.4	UL-RL 1.5322E+05		-16.30	68.00
1.000	1.000	166.7	0.000	0.000	10.00	10.00	Salt_21271_21259_L_0			0.0000

0.0000	0.0000	0.0000	0.0000	0.0000						
84 D	33.88	-1.3231E-03	322.9	99.41	322.9	181.5	UL-RL 1.5322E+05	-16.50	70.00	
1.000	1.000	169.4	0.000	0.000	10.00	10.00	Salt_21271_21259_L_0		0.0000	
0.0000	0.0000	0.0000	0.0000	0.0000						
85 D	34.42	-1.1111E-03	324.8	100.1	324.8	182.5	UL-RL 1.5322E+05	-16.70	72.00	
1.000	1.000	172.1	0.000	0.000	10.00	10.00	Salt_21271_21259_L_0		0.0000	
0.0000	0.0000	0.0000	0.0000	0.0000						
86 D	34.95	-9.0002E-04	326.7	100.8	326.7	183.6	UL-RL 1.5322E+05	-16.90	74.00	
1.000	1.000	174.8	0.000	0.000	10.00	10.00	Salt_21271_21259_L_0		0.0000	
0.0000	0.0000	0.0000	0.0000	0.0000						
87 D	39.63	-6.8973E-04	328.6	122.2	328.6	184.7	UL-RL 1.5322E+05	-17.10	76.00	
1.000	1.000	198.2	0.000	0.000	10.00	10.00	Salt_21271_21259_L_0		0.0000	
0.0000	0.0000	0.0000	0.0000	0.0000						
88 D	44.41	-4.8005E-04	330.5	144.1	330.5	185.8	UL-RL 1.5322E+05	-17.30	78.00	
1.000	1.000	222.1	0.000	0.000	10.00	10.00	Salt_21271_21259_L_0		0.0000	
0.0000	0.0000	0.0000	0.0000	0.0000						
89 D	48.47	-2.7080E-04	332.4	162.3	332.4	188.6	UL-RL 1.5322E+05	-17.50	80.00	
1.000	1.000	242.3	0.000	0.000	10.00	10.00	Salt_21271_21259_L_0		0.0000	
0.0000	0.0000	0.0000	0.0000	0.0000						
90 D	51.64	-6.1823E-05	334.4	176.2	334.4	190.3	UL-RL 1.1423E+05	-17.70	82.00	
1.000	1.000	258.2	0.000	0.000	55.00	55.00	Sch_21272_21260_L_0		0.0000	
0.0000	0.0000	0.0000	0.0000	0.0000						
91 D	54.64	1.4699E-04	337.0	189.2	337.0	197.9	UL-RL 1.1423E+05	-17.90	84.00	
1.000	1.000	273.2	0.000	0.000	55.00	55.00	Sch_21272_21260_L_0		0.0000	
0.0000	0.0000	0.0000	0.0000	0.0000						
92 D	43.17	3.5574E-04	339.5	201.8	339.5	205.6	UL-RL 1.1423E+05	-18.10	86.00	
1.000	1.000	287.8	0.000	0.000	55.00	55.00	Sch_21272_21260_L_0		0.0000	
0.0000	0.0000	0.0000	0.0000	0.0000						
93 D	14.68	4.6011E-04	340.7	206.7	340.7	210.2	UL-RL 1.1423E+05	-18.20	87.00	
1.000	1.000	293.7	0.000	0.000	55.00	55.00	Sch_21272_21260_L_0		0.0000	
0.0000	0.0000	0.0000	0.0000	0.0000						

```

+-----+
|          PARATIEPLUS(TM)  NLS ENGINE RELEASE  2022.0.0  FULL VERSION  *Build date:Sep 13, 2021*          |
|                                                                                                                                            |
|                                                                                               ParatiePlus                               |
|                                                                                               Exe Time :28 January 2022  11:11:17          |
+-----+

```

New Project

S T R E S S R E S U L T S F O R G R O U P N O . 3

```

pali15001.7_33 :
ELEMENT TYPE   2 NO.OF ELEMENTS. IN THIS GROUP   68
C U R R E N T   T I M E   I S   3.0000 SUBINCREMENT 00001/00001

```

WALL2D ELEMENT

EL	TA	TB	MA	MB
1	-121.97	121.97	229.82	-254.21
2	-130.73	130.73	254.21	-280.36
3	-137.27	137.27	280.36	-307.81
4	-141.59	141.59	307.81	-336.13
5	-143.69	143.69	336.13	-364.87
6	-143.57	143.57	364.87	-393.58
7	-141.23	141.23	393.58	-421.83
8	-136.67	136.67	421.83	-449.16
9	-129.89	129.89	449.16	-475.14
10	-120.88	120.88	475.14	-499.32
11	-109.66	109.66	499.32	-521.25
12	-97.652	97.652	521.25	-540.78
13	-86.114	86.114	540.78	-558.00
14	-75.007	75.007	558.00	-573.00
15	-64.338	64.338	573.00	-585.87
16	-54.087	54.087	585.87	-596.69
17	-44.246	44.246	596.69	-605.54
18	-34.809	34.809	605.54	-612.50
19	-25.757	25.757	612.50	-617.65
20	-17.093	17.093	617.65	-621.07
21	-8.7917	8.7917	621.07	-622.83
22	-0.86397	0.86397	622.83	-623.00
23	6.7223	-6.7223	623.00	-621.66
24	13.953	-13.953	621.66	-618.87
25	20.859	-20.859	618.87	-614.69
26	27.348	-27.348	614.69	-609.22
27	33.449	-33.449	609.22	-602.53
28	39.152	-39.152	602.53	-594.70
29	44.483	-44.483	594.70	-585.81
30	49.436	-49.436	585.81	-575.92
31	54.031	-54.031	575.92	-565.11
32	58.267	-58.267	565.11	-553.46
33	62.157	-62.157	553.46	-541.03
34	65.707	-65.707	541.03	-527.89
35	68.924	-68.924	527.89	-514.10
36	71.818	-71.818	514.10	-499.74
37	74.390	-74.390	499.74	-484.86
38	76.655	-76.655	484.86	-469.53
39	78.610	-78.610	469.53	-453.81
40	80.270	-80.270	453.81	-437.75
41	81.633	-81.633	437.75	-421.43
42	82.713	-82.713	421.43	-404.89
43	83.507	-83.507	404.89	-388.18
44	84.032	-84.032	388.18	-371.38
45	84.294	-84.294	371.38	-354.52
46	84.297	-84.297	354.52	-337.66
47	84.046	-84.046	337.66	-320.85
48	83.544	-83.544	320.85	-304.14
49	82.794	-82.794	304.14	-287.58
50	81.800	-81.800	287.58	-271.22
51	80.567	-80.567	271.22	-255.11
52	79.097	-79.097	255.11	-239.29
53	77.390	-77.390	239.29	-223.81
54	75.451	-75.451	223.81	-208.72
55	73.187	-73.187	208.72	-194.08
56	69.472	-69.472	194.08	-180.19
57	64.314	-64.314	180.19	-167.33
58	76.235	-76.235	167.33	-152.08
59	86.534	-86.534	152.08	-134.77
60	95.222	-95.222	134.77	-115.73
61	102.31	-102.31	115.73	-95.267
62	107.80	-107.80	95.267	-73.707
63	105.39	-105.39	73.707	-52.629
64	94.950	-94.950	52.629	-33.639
65	77.203	-77.203	33.639	-18.197
66	56.278	-56.278	18.197	-6.9417
67	30.684	-30.684	6.9417	-0.80491
68	8.0491	-8.0491	0.80491	-2.65343E-11


```

+-----+
|          PARATIEPLUS(TM)  NLS ENGINE RELEASE  2022.0.0  FULL VERSION  *Build date:Sep 13, 2021*          |
|                                                                                                                                            |
|                                                                                               ParatiePlus                               |
|                                                                                               Exe Time :28 January 2022   11:11:17          |
+-----+

```

New Project
SOLUTION REACHED USING 2 ITERATIONS ON 40

PRINT OUT FOR TIME STEP 4 (AT TIME 4.000) SUBINCREMENT 0001/00001

PRINT OUT OF ACTIVE COMPONENTS (FIXED NODES ARE NOT PRINTED OUT)

	Y-DISPL.F 02	X-ROT. F 04
1	-3.0579692E-02	2.4102295E-03
2	-3.0097648E-02	2.4102066E-03
3	-2.9615616E-02	2.4100886E-03
4	-2.9133625E-02	2.4097741E-03
5	-2.8651726E-02	2.4091552E-03
6	-2.8169991E-02	2.4081174E-03
7	-2.7688515E-02	2.4065401E-03
8	-2.7207420E-02	2.4042957E-03
9	-2.6726851E-02	2.4012506E-03
10	-2.6246982E-02	2.3972645E-03
11	-2.5768017E-02	2.3921905E-03
12	-2.5290189E-02	2.3858753E-03
13	-2.4813761E-02	2.3781590E-03
14	-2.4339030E-02	2.3688751E-03
15	-2.3866327E-02	2.3578507E-03
16	-2.3396017E-02	2.3449060E-03
17	-2.2928502E-02	2.3298547E-03
18	-2.2464226E-02	2.3125040E-03
19	-2.2003667E-02	2.2926544E-03
20	-2.1547345E-02	2.2700995E-03
21	-2.1095824E-02	2.2446268E-03
22	-2.0649706E-02	2.2160163E-03
23	-2.0209642E-02	2.1840418E-03
24	-1.9776329E-02	2.1484705E-03
25	-1.9562434E-02	2.1292690E-03
26	-1.9137556E-02	2.1193397E-03
27	-1.8714769E-02	2.1083737E-03
28	-1.8294282E-02	2.0963082E-03
29	-1.7876322E-02	2.0830985E-03
30	-1.7461121E-02	2.0687184E-03
31	-1.7048913E-02	2.0531596E-03
32	-1.6639937E-02	2.0364325E-03
33	-1.6234418E-02	2.0185652E-03
34	-1.5832584E-02	1.9996042E-03
35	-1.5434645E-02	1.9796144E-03
36	-1.5040801E-02	1.9586788E-03
37	-1.4651230E-02	1.9368926E-03
38	-1.4266096E-02	1.9143526E-03
39	-1.3885535E-02	1.8911515E-03
40	-1.3509674E-02	1.8673786E-03
41	-1.3138616E-02	1.8431199E-03
42	-1.2772453E-02	1.8184578E-03
43	-1.2411257E-02	1.7934715E-03
44	-1.2055082E-02	1.7682365E-03
45	-1.1703974E-02	1.7428258E-03
46	-1.1357959E-02	1.7173088E-03
47	-1.1017053E-02	1.6917523E-03
48	-1.0681258E-02	1.6662199E-03
49	-1.0350561E-02	1.6407722E-03
50	-1.0024940E-02	1.6154673E-03
51	-9.7043608E-03	1.5903603E-03
52	-9.3887869E-03	1.5655033E-03
53	-9.0781476E-03	1.5409435E-03
54	-8.7723867E-03	1.5167269E-03
55	-8.4714312E-03	1.4928956E-03
56	-8.1752001E-03	1.4694888E-03
57	-7.8836050E-03	1.4465427E-03
58	-7.5965501E-03	1.4240907E-03
59	-7.3139337E-03	1.4021633E-03
60	-7.0356480E-03	1.3807883E-03
61	-6.7615799E-03	1.3599908E-03
62	-6.4916117E-03	1.3397930E-03
63	-6.2256213E-03	1.3202150E-03
64	-5.9634832E-03	1.3012740E-03
65	-5.7050683E-03	1.2829849E-03
66	-5.4502449E-03	1.2653600E-03
67	-5.1988793E-03	1.2484094E-03
68	-4.9508357E-03	1.2321408E-03
69	-4.7059772E-03	1.2165595E-03
70	-4.4641659E-03	1.2016688E-03
71	-4.2252635E-03	1.1874699E-03
72	-3.9891319E-03	1.1739616E-03
73	-3.7556331E-03	1.1611409E-03
74	-3.5246300E-03	1.1490027E-03

75	-3.2959870E-03	1.1375397E-03
76	-3.0695697E-03	1.1267429E-03
77	-2.8452461E-03	1.1166012E-03
78	-2.6228864E-03	1.1071015E-03
79	-2.4023637E-03	1.0982288E-03
80	-2.1835543E-03	1.0899659E-03
81	-1.9663384E-03	1.0822883E-03
82	-1.7506024E-03	1.0751595E-03
83	-1.5362361E-03	1.0686074E-03
84	-1.3231149E-03	1.0627230E-03
85	-1.1110972E-03	1.0575843E-03
86	-9.0002716E-04	1.0532560E-03
87	-6.8973732E-04	1.0497898E-03
88	-4.8005295E-04	1.0471982E-03
89	-2.7080327E-04	1.0454285E-03
90	-6.1824019E-05	1.0443651E-03
91	1.4698973E-04	1.0438494E-03
92	3.5573952E-04	1.0436905E-03
93	4.6010802E-04	1.0436822E-03

```

+-----+
|                PARATIEPLUS(TM)  NLS ENGINE RELEASE  2022.0.0  FULL VERSION  *Build date:Sep 13, 2021*                |
|                                                                                                                                            |
|                                                                                               ParatiePlus                                                                                               |
|                                                                                               Exe Time :28 January 2022   11:11:17                                                                                               |
+-----+

```

New Project

STRESS RESULTS FOR GROUP NO. 1

0_L :
ELEMENT TYPE 5 NO.OF ELEMENTS. IN THIS GROUP 93
CURRENT TIME IS 4.0000 SUBINCREMENT 00001/00001

HARDENING 2D SOIL ELEMENT

***** TOTAL STRESS FORMULATION *****

EL * TOR QSL	FORCE UFACTOR ZD	DISPL-Y Peq ZPL	VERTICAL-P Su_a Kz	HORIZON.-P Su_p	MAX-V-P Cohe_a	MAX-H-P Cohe_p	STATE LAYER	STIFFNESS	Z-LEVEL	PORE ZFO	E FAC- QS
1	0.000	--	--	--	--	--	REMOVED	--	0.000	0.000	
1.000	1.000	0.000	0.000	0.000	0.000	0.000	not available				
2	0.000	--	--	--	--	--	REMOVED	--	-0.2000	0.000	
1.000	1.000	0.000	0.000	0.000	0.000	0.000	not available				
3	0.000	--	--	--	--	--	REMOVED	--	-0.4000	0.000	
1.000	1.000	0.000	0.000	0.000	0.000	0.000	not available				
4	0.000	--	--	--	--	--	REMOVED	--	-0.6000	0.000	
1.000	1.000	0.000	0.000	0.000	0.000	0.000	not available				
5	0.000	--	--	--	--	--	REMOVED	--	-0.8000	0.000	
1.000	1.000	0.000	0.000	0.000	0.000	0.000	not available				
6	0.000	--	--	--	--	--	REMOVED	--	-1.000	0.000	
1.000	1.000	0.000	0.000	0.000	0.000	0.000	not available				
7	0.000	--	--	--	--	--	REMOVED	--	-1.200	0.000	
1.000	1.000	0.000	0.000	0.000	0.000	0.000	not available				
8	0.000	--	--	--	--	--	REMOVED	--	-1.400	0.000	
1.000	1.000	0.000	0.000	0.000	0.000	0.000	not available				
9	0.000	--	--	--	--	--	REMOVED	--	-1.600	0.000	
1.000	1.000	0.000	0.000	0.000	0.000	0.000	not available				
10	0.000	--	--	--	--	--	REMOVED	--	-1.800	0.000	
1.000	1.000	0.000	0.000	0.000	0.000	0.000	not available				
11	0.000	--	--	--	--	--	REMOVED	--	-2.000	0.000	
1.000	1.000	0.000	0.000	0.000	0.000	0.000	not available				
12	0.000	--	--	--	--	--	REMOVED	--	-2.200	0.000	
1.000	1.000	0.000	0.000	0.000	0.000	0.000	not available				
13	0.000	--	--	--	--	--	REMOVED	--	-2.400	0.000	
1.000	1.000	0.000	0.000	0.000	0.000	0.000	not available				
14	0.000	--	--	--	--	--	REMOVED	--	-2.600	0.000	
1.000	1.000	0.000	0.000	0.000	0.000	0.000	not available				
15	0.000	--	--	--	--	--	REMOVED	--	-2.800	0.000	
1.000	1.000	0.000	0.000	0.000	0.000	0.000	not available				
16	0.000	--	--	--	--	--	REMOVED	--	-3.000	0.000	
1.000	1.000	0.000	0.000	0.000	0.000	0.000	not available				
17	0.000	--	--	--	--	--	REMOVED	--	-3.200	0.000	
1.000	1.000	0.000	0.000	0.000	0.000	0.000	not available				
18	0.000	--	--	--	--	--	REMOVED	--	-3.400	0.000	
1.000	1.000	0.000	0.000	0.000	0.000	0.000	not available				
19	0.000	--	--	--	--	--	REMOVED	--	-3.600	0.000	
1.000	1.000	0.000	0.000	0.000	0.000	0.000	not available				
20	0.000	--	--	--	--	--	REMOVED	--	-3.800	0.000	
1.000	1.000	0.000	0.000	0.000	0.000	0.000	not available				
21	0.000	--	--	--	--	--	REMOVED	--	-4.000	0.000	
1.000	1.000	0.000	0.000	0.000	0.000	0.000	not available				
22	0.000	--	--	--	--	--	REMOVED	--	-4.200	0.000	
1.000	1.000	0.000	0.000	0.000	0.000	0.000	not available				
23	0.000	--	--	--	--	--	REMOVED	--	-4.400	0.000	
1.000	1.000	0.000	0.000	0.000	0.000	0.000	not available				
24	0.000	--	--	--	--	--	REMOVED	--	-4.600	0.000	
1.000	1.000	0.000	0.000	0.000	0.000	0.000	not available				
25 D	0.000	1.9562E-02	0.000	0.000	0.000	0.000	PASSIVE	0.000	-4.700	0.000	
1.000	1.000	0.000	0.000	0.000	0.000	0.000	Ala_161_6590_L_0			0.0000	
0.0000	0.0000	0.0000	0.0000	0.0000	0.0000						
26 D	2.513	1.9138E-02	3.900	12.57	3.900	12.57	PASSIVE	0.000	-4.900	0.000	
1.000	1.000	12.57	0.000	0.000	0.000	0.000	Ala_161_6590_L_0			0.0000	
0.0000	0.0000	0.0000	0.0000	0.0000	0.0000						
27 D	5.026	1.8715E-02	7.800	25.13	7.800	25.13	PASSIVE	0.000	-5.100	0.000	
1.000	1.000	25.13	0.000	0.000	0.000	0.000	Ala_161_6590_L_0			0.0000	
0.0000	0.0000	0.0000	0.0000	0.0000	0.0000						
28 D	7.539	1.8294E-02	11.70	37.70	11.70	37.70	PASSIVE	0.000	-5.300	0.000	
1.000	1.000	37.70	0.000	0.000	0.000	0.000	Ala_161_6590_L_0			0.0000	
0.0000	0.0000	0.0000	0.0000	0.0000	0.0000						
29 D	10.05	1.7876E-02	15.60	50.26	15.60	50.26	PASSIVE	0.000	-5.500	0.000	
1.000	1.000	50.26	0.000	0.000	0.000	0.000	Ala_161_6590_L_0			0.0000	
0.0000	0.0000	0.0000	0.0000	0.0000	0.0000						
30 D	12.57	1.7461E-02	19.50	62.83	19.50	62.83	PASSIVE	0.000	-5.700	0.000	

1.000	1.000	62.83	0.000	0.000	0.000	0.000	Ala_161_6590_L_0	0.0000	
0.0000	0.0000	0.0000	0.0000	0.0000	0.0000	0.0000			
31 D	15.08	1.7049E-02	23.40	75.39	23.40	75.39	PASSIVE 0.000	-5.900	0.000
1.000	1.000	75.39	0.000	0.000	0.000	0.000	Ala_161_6590_L_0	0.0000	
0.0000	0.0000	0.0000	0.0000	0.0000	0.0000	0.0000			
32 D	17.59	1.6640E-02	27.30	87.96	27.30	87.96	PASSIVE 0.000	-6.100	0.000
1.000	1.000	87.96	0.000	0.000	0.000	0.000	Ala_161_6590_L_0	0.0000	
0.0000	0.0000	0.0000	0.0000	0.0000	0.0000	0.0000			
33 D	20.11	1.6234E-02	31.20	100.5	31.20	100.5	PASSIVE 0.000	-6.300	0.000
1.000	1.000	100.5	0.000	0.000	0.000	0.000	Ala_161_6590_L_0	0.0000	
0.0000	0.0000	0.0000	0.0000	0.0000	0.0000	0.0000			
34 D	22.62	1.5833E-02	35.10	113.1	35.10	113.1	PASSIVE 0.000	-6.500	0.000
1.000	1.000	113.1	0.000	0.000	0.000	0.000	Ala_161_6590_L_0	0.0000	
0.0000	0.0000	0.0000	0.0000	0.0000	0.0000	0.0000			
35 D	25.13	1.5435E-02	39.00	125.7	39.00	125.7	PASSIVE 0.000	-6.700	0.000
1.000	1.000	125.7	0.000	0.000	0.000	0.000	Ala_161_6590_L_0	0.0000	
0.0000	0.0000	0.0000	0.0000	0.0000	0.0000	0.0000			
36 D	26.23	1.5041E-02	42.90	131.1	42.90	131.1	V-C 7116.	-6.900	0.000
1.000	1.000	131.1	0.000	0.000	0.000	0.000	Ala_161_6590_L_0	0.0000	
0.0000	0.0000	0.0000	0.0000	0.0000	0.0000	0.0000			
37 D	26.11	1.4651E-02	46.80	130.6	46.80	130.6	V-C 7116.	-7.100	0.000
1.000	1.000	130.6	0.000	0.000	0.000	0.000	Ala_161_6590_L_0	0.0000	
0.0000	0.0000	0.0000	0.0000	0.0000	0.0000	0.0000			
38 D	26.00	1.4266E-02	50.70	130.0	50.70	130.0	V-C 7116.	-7.300	0.000
1.000	1.000	130.0	0.000	0.000	0.000	0.000	Ala_161_6590_L_0	0.0000	
0.0000	0.0000	0.0000	0.0000	0.0000	0.0000	0.0000			
39 D	25.90	1.3886E-02	54.60	129.5	54.60	129.5	V-C 7116.	-7.500	0.000
1.000	1.000	129.5	0.000	0.000	0.000	0.000	Ala_161_6590_L_0	0.0000	
0.0000	0.0000	0.0000	0.0000	0.0000	0.0000	0.0000			
40 D	25.80	1.3510E-02	58.50	129.0	58.50	129.0	V-C 7116.	-7.700	0.000
1.000	1.000	129.0	0.000	0.000	0.000	0.000	Ala_161_6590_L_0	0.0000	
0.0000	0.0000	0.0000	0.0000	0.0000	0.0000	0.0000			
41 D	25.71	1.3139E-02	62.40	128.6	62.40	128.6	V-C 7116.	-7.900	0.000
1.000	1.000	128.6	0.000	0.000	0.000	0.000	Ala_161_6590_L_0	0.0000	
0.0000	0.0000	0.0000	0.0000	0.0000	0.0000	0.0000			
42 D	25.63	1.2772E-02	66.30	128.2	66.30	128.2	V-C 7116.	-8.100	0.000
1.000	1.000	128.2	0.000	0.000	0.000	0.000	Ala_161_6590_L_0	0.0000	
0.0000	0.0000	0.0000	0.0000	0.0000	0.0000	0.0000			
43 D	25.55	1.2411E-02	70.20	127.8	70.20	127.8	V-C 7116.	-8.300	0.000
1.000	1.000	127.8	0.000	0.000	0.000	0.000	Ala_161_6590_L_0	0.0000	
0.0000	0.0000	0.0000	0.0000	0.0000	0.0000	0.0000			
44 D	25.49	1.2055E-02	74.10	127.4	74.10	127.4	V-C 7116.	-8.500	0.000
1.000	1.000	127.4	0.000	0.000	0.000	0.000	Ala_161_6590_L_0	0.0000	
0.0000	0.0000	0.0000	0.0000	0.0000	0.0000	0.0000			
45 D	25.42	1.1704E-02	78.00	127.1	78.00	127.1	V-C 7116.	-8.700	0.000
1.000	1.000	127.1	0.000	0.000	0.000	0.000	Ala_161_6590_L_0	0.0000	
0.0000	0.0000	0.0000	0.0000	0.0000	0.0000	0.0000			
46 D	25.37	1.1358E-02	81.90	126.9	81.90	126.9	V-C 7116.	-8.900	0.000
1.000	1.000	126.9	0.000	0.000	0.000	0.000	Ala_161_6590_L_0	0.0000	
0.0000	0.0000	0.0000	0.0000	0.0000	0.0000	0.0000			
47 D	25.32	1.1017E-02	85.80	126.6	85.80	126.6	V-C 7116.	-9.100	0.000
1.000	1.000	126.6	0.000	0.000	0.000	0.000	Ala_161_6590_L_0	0.0000	
0.0000	0.0000	0.0000	0.0000	0.0000	0.0000	0.0000			
48 D	25.28	1.0681E-02	89.70	126.4	89.70	126.4	V-C 7116.	-9.300	0.000
1.000	1.000	126.4	0.000	0.000	0.000	0.000	Ala_161_6590_L_0	0.0000	
0.0000	0.0000	0.0000	0.0000	0.0000	0.0000	0.0000			
49 D	25.25	1.0351E-02	93.60	126.3	93.60	126.3	V-C 7116.	-9.500	0.000
1.000	1.000	126.3	0.000	0.000	0.000	0.000	Ala_161_6590_L_0	0.0000	
0.0000	0.0000	0.0000	0.0000	0.0000	0.0000	0.0000			
50 D	25.40	1.0025E-02	95.50	125.0	95.50	125.0	V-C 7116.	-9.700	2.000
1.000	1.000	127.0	0.000	0.000	0.000	0.000	Ala_161_6590_L_0	0.0000	
0.0000	0.0000	0.0000	0.0000	0.0000	0.0000	0.0000			
51 D	25.56	9.7044E-03	97.40	123.8	97.40	123.8	V-C 7116.	-9.900	4.000
1.000	1.000	127.8	0.000	0.000	0.000	0.000	Ala_161_6590_L_0	0.0000	
0.0000	0.0000	0.0000	0.0000	0.0000	0.0000	0.0000			
52 D	25.72	9.3888E-03	99.30	122.6	99.30	122.6	V-C 7116.	-10.10	6.000
1.000	1.000	128.6	0.000	0.000	0.000	0.000	Ala_161_6590_L_0	0.0000	
0.0000	0.0000	0.0000	0.0000	0.0000	0.0000	0.0000			
53 D	25.90	9.0781E-03	101.2	121.5	101.2	121.5	V-C 7116.	-10.30	8.000
1.000	1.000	129.5	0.000	0.000	0.000	0.000	Ala_161_6590_L_0	0.0000	
0.0000	0.0000	0.0000	0.0000	0.0000	0.0000	0.0000			
54 D	26.07	8.7724E-03	103.1	120.4	103.1	120.4	V-C 7116.	-10.50	10.000
1.000	1.000	130.4	0.000	0.000	0.000	0.000	Ala_161_6590_L_0	0.0000	
0.0000	0.0000	0.0000	0.0000	0.0000	0.0000	0.0000			
55 D	26.26	8.4714E-03	105.0	119.3	105.0	119.3	V-C 7116.	-10.70	12.00
1.000	1.000	131.3	0.000	0.000	0.000	0.000	Ala_161_6590_L_0	0.0000	
0.0000	0.0000	0.0000	0.0000	0.0000	0.0000	0.0000			
56 D	26.45	8.1752E-03	106.9	118.3	106.9	118.3	V-C 7116.	-10.90	14.00
1.000	1.000	132.3	0.000	0.000	0.000	0.000	Ala_161_6590_L_0	0.0000	
0.0000	0.0000	0.0000	0.0000	0.0000	0.0000	0.0000			
57 D	26.65	7.8836E-03	108.8	117.2	108.8	117.2	V-C 7116.	-11.10	16.00
1.000	1.000	133.2	0.000	0.000	0.000	0.000	Ala_161_6590_L_0	0.0000	
0.0000	0.0000	0.0000	0.0000	0.0000	0.0000	0.0000			
58 D	26.85	7.5966E-03	110.7	116.3	110.7	116.3	V-C 7116.	-11.30	18.00
1.000	1.000	134.3	0.000	0.000	0.000	0.000	Ala_161_6590_L_0	0.0000	
0.0000	0.0000	0.0000	0.0000	0.0000	0.0000	0.0000			
59 D	27.07	7.3139E-03	112.6	115.3	112.6	115.3	V-C 7116.	-11.50	20.00
1.000	1.000	135.3	0.000	0.000	0.000	0.000	Ala_161_6590_L_0	0.0000	
0.0000	0.0000	0.0000	0.0000	0.0000	0.0000	0.0000			
60 D	27.28	7.0356E-03	114.5	114.4	114.5	114.4	V-C 7116.	-11.70	22.00
1.000	1.000	136.4	0.000	0.000	0.000	0.000	Ala_161_6590_L_0	0.0000	
0.0000	0.0000	0.0000	0.0000	0.0000	0.0000	0.0000			

61 D	27.51	6.7616E-03	116.4	113.5	116.4	113.5	V-C	7116.	-11.90	24.00
1.000	1.000	137.5	0.000	0.000	0.000	0.000	Ala_161_6590_L_0			0.0000
0.0000	0.0000	0.0000	0.0000	0.0000						
62 D	27.74	6.4916E-03	118.3	112.7	118.3	112.7	V-C	7116.	-12.10	26.00
1.000	1.000	138.7	0.000	0.000	0.000	0.000	Ala_161_6590_L_0			0.0000
0.0000	0.0000	0.0000	0.0000	0.0000						
63 D	27.97	6.2256E-03	120.2	111.9	120.2	111.9	V-C	7116.	-12.30	28.00
1.000	1.000	139.9	0.000	0.000	0.000	0.000	Ala_161_6590_L_0			0.0000
0.0000	0.0000	0.0000	0.0000	0.0000						
64 D	28.21	5.9635E-03	122.1	111.1	122.1	111.1	V-C	7116.	-12.50	30.00
1.000	1.000	141.1	0.000	0.000	0.000	0.000	Ala_161_6590_L_0			0.0000
0.0000	0.0000	0.0000	0.0000	0.0000						
65 D	28.46	5.7051E-03	124.0	110.3	124.0	110.3	V-C	7116.	-12.70	32.00
1.000	1.000	142.3	0.000	0.000	0.000	0.000	Ala_161_6590_L_0			0.0000
0.0000	0.0000	0.0000	0.0000	0.0000						
66 D	28.71	5.4502E-03	125.9	109.5	125.9	109.5	V-C	7116.	-12.90	34.00
1.000	1.000	143.5	0.000	0.000	0.000	0.000	Ala_161_6590_L_0			0.0000
0.0000	0.0000	0.0000	0.0000	0.0000						
67 D	28.96	5.1989E-03	127.8	108.8	127.8	108.8	V-C	7116.	-13.10	36.00
1.000	1.000	144.8	0.000	0.000	0.000	0.000	Ala_161_6590_L_0			0.0000
0.0000	0.0000	0.0000	0.0000	0.0000						
68 D	29.22	4.9508E-03	129.7	108.1	129.7	108.1	V-C	7116.	-13.30	38.00
1.000	1.000	146.1	0.000	0.000	0.000	0.000	Ala_161_6590_L_0			0.0000
0.0000	0.0000	0.0000	0.0000	0.0000						
69 D	29.49	4.7060E-03	131.6	107.4	131.6	107.4	V-C	7116.	-13.50	40.00
1.000	1.000	147.4	0.000	0.000	0.000	0.000	Ala_161_6590_L_0			0.0000
0.0000	0.0000	0.0000	0.0000	0.0000						
70 D	29.76	4.4642E-03	133.5	106.8	133.5	106.8	V-C	7116.	-13.70	42.00
1.000	1.000	148.8	0.000	0.000	0.000	0.000	Ala_161_6590_L_0			0.0000
0.0000	0.0000	0.0000	0.0000	0.0000						
71 D	30.03	4.2253E-03	135.4	106.2	135.4	106.2	V-C	7116.	-13.90	44.00
1.000	1.000	150.2	0.000	0.000	0.000	0.000	Ala_161_6590_L_0			0.0000
0.0000	0.0000	0.0000	0.0000	0.0000						
72 D	30.31	3.9891E-03	137.3	105.6	137.3	105.6	V-C	7116.	-14.10	46.00
1.000	1.000	151.5	0.000	0.000	0.000	0.000	Ala_161_6590_L_0			0.0000
0.0000	0.0000	0.0000	0.0000	0.0000						
73 D	30.59	3.7556E-03	139.2	105.0	139.2	105.0	V-C	7116.	-14.30	48.00
1.000	1.000	153.0	0.000	0.000	0.000	0.000	Ala_161_6590_L_0			0.0000
0.0000	0.0000	0.0000	0.0000	0.0000						
74 D	30.88	3.5246E-03	141.1	104.4	141.1	104.4	V-C	7116.	-14.50	50.00
1.000	1.000	154.4	0.000	0.000	0.000	0.000	Ala_161_6590_L_0			0.0000
0.0000	0.0000	0.0000	0.0000	0.0000						
75 D	31.16	3.2960E-03	143.0	103.8	143.0	103.8	V-C	7116.	-14.70	52.00
1.000	1.000	155.8	0.000	0.000	0.000	0.000	Ala_161_6590_L_0			0.0000
0.0000	0.0000	0.0000	0.0000	0.0000						
76 D	31.46	3.0696E-03	144.9	103.3	144.9	103.3	V-C	7116.	-14.90	54.00
1.000	1.000	157.3	0.000	0.000	0.000	0.000	Ala_161_6590_L_0			0.0000
0.0000	0.0000	0.0000	0.0000	0.0000						
77 D	31.75	2.8452E-03	146.8	102.7	146.8	102.7	V-C	7116.	-15.10	56.00
1.000	1.000	158.7	0.000	0.000	0.000	0.000	Ala_161_6590_L_0			0.0000
0.0000	0.0000	0.0000	0.0000	0.0000						
78 D	32.05	2.6229E-03	148.7	102.2	148.7	102.2	V-C	7116.	-15.30	58.00
1.000	1.000	160.2	0.000	0.000	0.000	0.000	Ala_161_6590_L_0			0.0000
0.0000	0.0000	0.0000	0.0000	0.0000						
79 D	32.35	2.4024E-03	150.6	101.7	150.6	101.7	UL-RL	2.1349E+04	-15.50	60.00
1.000	1.000	161.7	0.000	0.000	0.000	0.000	Ala_161_6590_L_0			0.0000
0.0000	0.0000	0.0000	0.0000	0.0000						
80 D	32.65	2.1836E-03	152.5	101.2	152.5	101.2	UL-RL	2.1349E+04	-15.70	62.00
1.000	1.000	163.2	0.000	0.000	0.000	0.000	Ala_161_6590_L_0			0.0000
0.0000	0.0000	0.0000	0.0000	0.0000						
81 D	32.95	1.9663E-03	154.4	100.8	154.4	100.8	UL-RL	2.1349E+04	-15.90	64.00
1.000	1.000	164.8	0.000	0.000	0.000	0.000	Ala_161_6590_L_0			0.0000
0.0000	0.0000	0.0000	0.0000	0.0000						
82 D	44.73	1.7506E-03	156.4	157.7	156.4	157.7	UL-RL	1.1966E+05	-16.10	66.00
1.000	1.000	223.7	0.000	0.000	10.00	10.00	Salt_21271_21259_L_0			0.0000
0.0000	0.0000	0.0000	0.0000	0.0000						
83 D	43.65	1.5362E-03	158.4	150.2	158.4	150.3	UL-RL	1.1966E+05	-16.30	68.00
1.000	1.000	218.2	0.000	0.000	10.00	10.00	Salt_21271_21259_L_0			0.0000
0.0000	0.0000	0.0000	0.0000	0.0000						
84 D	42.57	1.3231E-03	160.4	142.9	160.4	142.9	UL-RL	1.1966E+05	-16.50	70.00
1.000	1.000	212.9	0.000	0.000	10.00	10.00	Salt_21271_21259_L_0			0.0000
0.0000	0.0000	0.0000	0.0000	0.0000						
85 D	41.50	1.1111E-03	162.4	135.5	162.4	135.6	UL-RL	1.1966E+05	-16.70	72.00
1.000	1.000	207.5	0.000	0.000	10.00	10.00	Salt_21271_21259_L_0			0.0000
0.0000	0.0000	0.0000	0.0000	0.0000						
86 D	40.44	9.0003E-04	164.4	128.2	164.4	128.3	UL-RL	1.1966E+05	-16.90	74.00
1.000	1.000	202.2	0.000	0.000	10.00	10.00	Salt_21271_21259_L_0			0.0000
0.0000	0.0000	0.0000	0.0000	0.0000						
87 D	37.23	6.8974E-04	166.4	110.1	166.4	126.4	UL-RL	1.1966E+05	-17.10	76.00
1.000	1.000	186.1	0.000	0.000	10.00	10.00	Salt_21271_21259_L_0			0.0000
0.0000	0.0000	0.0000	0.0000	0.0000						
88 D	33.97	4.8005E-04	168.4	91.85	168.4	124.7	UL-RL	1.1966E+05	-17.30	78.00
1.000	1.000	169.9	0.000	0.000	10.00	10.00	Salt_21271_21259_L_0			0.0000
0.0000	0.0000	0.0000	0.0000	0.0000						
89 D	30.72	2.7080E-04	170.4	73.61	170.4	123.0	UL-RL	1.1966E+05	-17.50	80.00
1.000	1.000	153.6	0.000	0.000	10.00	10.00	Salt_21271_21259_L_0			0.0000
0.0000	0.0000	0.0000	0.0000	0.0000						
90 D	30.71	6.1824E-05	172.4	71.57	172.4	111.8	UL-RL	7.3129E+04	-17.70	82.00
1.000	1.000	153.6	0.000	0.000	55.00	55.00	Sch_21272_21260_L_0			0.0000
0.0000	0.0000	0.0000	0.0000	0.0000						
91 D	29.05	-1.4699E-04	175.0	61.23	175.0	111.6	UL-RL	7.3129E+04	-17.90	84.00
1.000	1.000	145.2	0.000	0.000	55.00	55.00	Sch_21272_21260_L_0			0.0000

0.0000	0.0000	0.0000	0.0000	0.0000						
92 D	20.53	-3.5574E-04	177.6	50.89	177.6	111.3	UL-RL 7.3129E+04	-18.10	86.00	
1.000	1.000	136.9	0.000	0.000	55.00	55.00	Sch_21272_21260_L_0		0.0000	
0.0000	0.0000	0.0000	0.0000	0.0000						
93 D	6.636	-4.6011E-04	178.9	45.72	178.9	111.2	UL-RL 7.3129E+04	-18.20	87.00	
1.000	1.000	132.7	0.000	0.000	55.00	55.00	Sch_21272_21260_L_0		0.0000	
0.0000	0.0000	0.0000	0.0000	0.0000						

1.000	1.000	33.50	0.000	0.000	0.000	0.000	rilevato_6589_8_L_0	0.0000	
0.0000	0.0000	0.0000	0.0000	0.0000	0.0000	0.0000			
23 D	6.896	-2.0210E-02	146.7	34.48	146.7	61.77	ACTIVE 0.000	-4.400	0.000
1.000	1.000	34.48	0.000	0.000	0.000	0.000	rilevato_6589_8_L_0	0.0000	
0.0000	0.0000	0.0000	0.0000	0.0000	0.0000	0.0000			
24 D	5.319	-1.9776E-02	150.9	35.46	150.9	63.47	ACTIVE 0.000	-4.600	0.000
1.000	1.000	35.46	0.000	0.000	0.000	0.000	rilevato_6589_8_L_0	0.0000	
0.0000	0.0000	0.0000	0.0000	0.0000	0.0000	0.0000			
25 D	8.238	-1.9562E-02	153.0	54.92	153.0	85.97	ACTIVE 0.000	-4.700	0.000
1.000	1.000	54.92	0.000	0.000	0.000	0.000	Ala_161_6590_L_0	0.0000	
0.0000	0.0000	0.0000	0.0000	0.0000	0.0000	0.0000			
26 D	11.28	-1.9138E-02	157.0	56.38	157.0	88.26	ACTIVE 0.000	-4.900	0.000
1.000	1.000	56.38	0.000	0.000	0.000	0.000	Ala_161_6590_L_0	0.0000	
0.0000	0.0000	0.0000	0.0000	0.0000	0.0000	0.0000			
27 D	11.57	-1.8715E-02	161.1	57.84	161.1	90.55	ACTIVE 0.000	-5.100	0.000
1.000	1.000	57.84	0.000	0.000	0.000	0.000	Ala_161_6590_L_0	0.0000	
0.0000	0.0000	0.0000	0.0000	0.0000	0.0000	0.0000			
28 D	11.86	-1.8294E-02	165.2	59.30	165.2	92.84	ACTIVE 0.000	-5.300	0.000
1.000	1.000	59.30	0.000	0.000	0.000	0.000	Ala_161_6590_L_0	0.0000	
0.0000	0.0000	0.0000	0.0000	0.0000	0.0000	0.0000			
29 D	12.15	-1.7876E-02	169.3	60.77	169.3	95.13	ACTIVE 0.000	-5.500	0.000
1.000	1.000	60.77	0.000	0.000	0.000	0.000	Ala_161_6590_L_0	0.0000	
0.0000	0.0000	0.0000	0.0000	0.0000	0.0000	0.0000			
30 D	12.45	-1.7461E-02	173.3	62.23	173.3	97.41	ACTIVE 0.000	-5.700	0.000
1.000	1.000	62.23	0.000	0.000	0.000	0.000	Ala_161_6590_L_0	0.0000	
0.0000	0.0000	0.0000	0.0000	0.0000	0.0000	0.0000			
31 D	12.74	-1.7049E-02	177.4	63.69	177.4	99.70	ACTIVE 0.000	-5.900	0.000
1.000	1.000	63.69	0.000	0.000	0.000	0.000	Ala_161_6590_L_0	0.0000	
0.0000	0.0000	0.0000	0.0000	0.0000	0.0000	0.0000			
32 D	13.03	-1.6640E-02	181.5	65.15	181.5	102.0	ACTIVE 0.000	-6.100	0.000
1.000	1.000	65.15	0.000	0.000	0.000	0.000	Ala_161_6590_L_0	0.0000	
0.0000	0.0000	0.0000	0.0000	0.0000	0.0000	0.0000			
33 D	13.32	-1.6234E-02	185.5	66.61	185.5	104.3	ACTIVE 0.000	-6.300	0.000
1.000	1.000	66.61	0.000	0.000	0.000	0.000	Ala_161_6590_L_0	0.0000	
0.0000	0.0000	0.0000	0.0000	0.0000	0.0000	0.0000			
34 D	13.61	-1.5833E-02	189.6	68.07	189.6	106.6	ACTIVE 0.000	-6.500	0.000
1.000	1.000	68.07	0.000	0.000	0.000	0.000	Ala_161_6590_L_0	0.0000	
0.0000	0.0000	0.0000	0.0000	0.0000	0.0000	0.0000			
35 D	13.91	-1.5435E-02	193.7	69.53	193.7	108.8	ACTIVE 0.000	-6.700	0.000
1.000	1.000	69.53	0.000	0.000	0.000	0.000	Ala_161_6590_L_0	0.0000	
0.0000	0.0000	0.0000	0.0000	0.0000	0.0000	0.0000			
36 D	14.22	-1.5041E-02	198.1	71.12	198.1	111.3	ACTIVE 0.000	-6.900	0.000
1.000	1.000	71.12	0.000	0.000	0.000	0.000	Ala_161_6590_L_0	0.0000	
0.0000	0.0000	0.0000	0.0000	0.0000	0.0000	0.0000			
37 D	14.58	-1.4651E-02	203.0	72.88	203.0	114.1	ACTIVE 0.000	-7.100	0.000
1.000	1.000	72.88	0.000	0.000	0.000	0.000	Ala_161_6590_L_0	0.0000	
0.0000	0.0000	0.0000	0.0000	0.0000	0.0000	0.0000			
38 D	14.90	-1.4266E-02	207.5	74.48	207.5	116.6	ACTIVE 0.000	-7.300	0.000
1.000	1.000	74.48	0.000	0.000	0.000	0.000	Ala_161_6590_L_0	0.0000	
0.0000	0.0000	0.0000	0.0000	0.0000	0.0000	0.0000			
39 D	15.23	-1.3886E-02	212.1	76.15	212.1	119.2	ACTIVE 0.000	-7.500	0.000
1.000	1.000	76.15	0.000	0.000	0.000	0.000	Ala_161_6590_L_0	0.0000	
0.0000	0.0000	0.0000	0.0000	0.0000	0.0000	0.0000			
40 D	15.55	-1.3510E-02	216.6	77.76	216.6	121.7	ACTIVE 0.000	-7.700	0.000
1.000	1.000	77.76	0.000	0.000	0.000	0.000	Ala_161_6590_L_0	0.0000	
0.0000	0.0000	0.0000	0.0000	0.0000	0.0000	0.0000			
41 D	15.87	-1.3139E-02	221.1	79.36	221.1	124.2	ACTIVE 0.000	-7.900	0.000
1.000	1.000	79.36	0.000	0.000	0.000	0.000	Ala_161_6590_L_0	0.0000	
0.0000	0.0000	0.0000	0.0000	0.0000	0.0000	0.0000			
42 D	16.19	-1.2772E-02	225.5	80.97	225.5	126.8	ACTIVE 0.000	-8.100	0.000
1.000	1.000	80.97	0.000	0.000	0.000	0.000	Ala_161_6590_L_0	0.0000	
0.0000	0.0000	0.0000	0.0000	0.0000	0.0000	0.0000			
43 D	16.50	-1.2411E-02	229.8	82.51	229.8	129.2	ACTIVE 0.000	-8.300	0.000
1.000	1.000	82.51	0.000	0.000	0.000	0.000	Ala_161_6590_L_0	0.0000	
0.0000	0.0000	0.0000	0.0000	0.0000	0.0000	0.0000			
44 D	16.82	-1.2055E-02	234.3	84.11	234.3	131.7	ACTIVE 0.000	-8.500	0.000
1.000	1.000	84.11	0.000	0.000	0.000	0.000	Ala_161_6590_L_0	0.0000	
0.0000	0.0000	0.0000	0.0000	0.0000	0.0000	0.0000			
45 D	17.12	-1.1704E-02	238.5	85.62	238.5	134.0	ACTIVE 0.000	-8.700	0.000
1.000	1.000	85.62	0.000	0.000	0.000	0.000	Ala_161_6590_L_0	0.0000	
0.0000	0.0000	0.0000	0.0000	0.0000	0.0000	0.0000			
46 D	17.44	-1.1358E-02	242.9	87.21	242.9	136.5	ACTIVE 0.000	-8.900	0.000
1.000	1.000	87.21	0.000	0.000	0.000	0.000	Ala_161_6590_L_0	0.0000	
0.0000	0.0000	0.0000	0.0000	0.0000	0.0000	0.0000			
47 D	17.74	-1.1017E-02	247.0	88.69	247.0	138.8	ACTIVE 0.000	-9.100	0.000
1.000	1.000	88.69	0.000	0.000	0.000	0.000	Ala_161_6590_L_0	0.0000	
0.0000	0.0000	0.0000	0.0000	0.0000	0.0000	0.0000			
48 D	18.05	-1.0681E-02	251.4	90.27	251.4	141.3	ACTIVE 0.000	-9.300	0.000
1.000	1.000	90.27	0.000	0.000	0.000	0.000	Ala_161_6590_L_0	0.0000	
0.0000	0.0000	0.0000	0.0000	0.0000	0.0000	0.0000			
49 D	18.35	-1.0351E-02	255.5	91.73	255.5	143.6	ACTIVE 0.000	-9.500	0.000
1.000	1.000	91.73	0.000	0.000	0.000	0.000	Ala_161_6590_L_0	0.0000	
0.0000	0.0000	0.0000	0.0000	0.0000	0.0000	0.0000			
50 D	18.91	-1.0025E-02	257.8	92.57	257.8	144.9	ACTIVE 0.000	-9.700	2.000
1.000	1.000	94.57	0.000	0.000	0.000	0.000	Ala_161_6590_L_0	0.0000	
0.0000	0.0000	0.0000	0.0000	0.0000	0.0000	0.0000			
51 D	19.46	-9.7044E-03	259.9	93.29	259.9	146.0	ACTIVE 0.000	-9.900	4.000
1.000	1.000	97.29	0.000	0.000	0.000	0.000	Ala_161_6590_L_0	0.0000	
0.0000	0.0000	0.0000	0.0000	0.0000	0.0000	0.0000			
52 D	20.02	-9.3888E-03	262.1	94.11	262.1	147.3	ACTIVE 0.000	-10.10	6.000
1.000	1.000	100.1	0.000	0.000	0.000	0.000	Ala_161_6590_L_0	0.0000	
0.0000	0.0000	0.0000	0.0000	0.0000	0.0000	0.0000			

53 D	20.56	-9.0781E-03	264.1	94.82	264.1	148.4	ACTIVE	0.000	-10.30	8.000
1.000	1.000	102.8	0.000	0.000	0.000	0.000	Ala_161_6590_L_0			0.0000
0.0000	0.0000	0.0000	0.0000	0.0000	0.0000					
54 D	21.12	-8.7724E-03	266.3	95.60	266.3	149.7	ACTIVE	0.000	-10.50	10.000
1.000	1.000	105.6	0.000	0.000	0.000	0.000	Ala_161_6590_L_0			0.0000
0.0000	0.0000	0.0000	0.0000	0.0000	0.0000					
55 D	21.66	-8.4714E-03	268.3	96.32	268.3	150.8	ACTIVE	0.000	-10.70	12.00
1.000	1.000	108.3	0.000	0.000	0.000	0.000	Ala_161_6590_L_0			0.0000
0.0000	0.0000	0.0000	0.0000	0.0000	0.0000					
56 D	22.21	-8.1752E-03	270.4	97.07	270.4	152.0	ACTIVE	0.000	-10.90	14.00
1.000	1.000	111.1	0.000	0.000	0.000	0.000	Ala_161_6590_L_0			0.0000
0.0000	0.0000	0.0000	0.0000	0.0000	0.0000					
57 D	22.76	-7.8836E-03	272.4	97.79	272.4	153.1	ACTIVE	0.000	-11.10	16.00
1.000	1.000	113.8	0.000	0.000	0.000	0.000	Ala_161_6590_L_0			0.0000
0.0000	0.0000	0.0000	0.0000	0.0000	0.0000					
58 D	23.30	-7.5966E-03	274.4	98.52	274.4	154.2	ACTIVE	0.000	-11.30	18.00
1.000	1.000	116.5	0.000	0.000	0.000	0.000	Ala_161_6590_L_0			0.0000
0.0000	0.0000	0.0000	0.0000	0.0000	0.0000					
59 D	23.85	-7.3139E-03	276.4	99.24	276.4	155.4	ACTIVE	0.000	-11.50	20.00
1.000	1.000	119.2	0.000	0.000	0.000	0.000	Ala_161_6590_L_0			0.0000
0.0000	0.0000	0.0000	0.0000	0.0000	0.0000					
60 D	24.39	-7.0356E-03	278.4	99.95	278.4	156.5	ACTIVE	0.000	-11.70	22.00
1.000	1.000	121.9	0.000	0.000	0.000	0.000	Ala_161_6590_L_0			0.0000
0.0000	0.0000	0.0000	0.0000	0.0000	0.0000					
61 D	24.93	-6.7616E-03	280.4	100.7	280.4	157.6	ACTIVE	0.000	-11.90	24.00
1.000	1.000	124.7	0.000	0.000	0.000	0.000	Ala_161_6590_L_0			0.0000
0.0000	0.0000	0.0000	0.0000	0.0000	0.0000					
62 D	25.47	-6.4916E-03	282.3	101.4	282.3	158.7	ACTIVE	0.000	-12.10	26.00
1.000	1.000	127.4	0.000	0.000	0.000	0.000	Ala_161_6590_L_0			0.0000
0.0000	0.0000	0.0000	0.0000	0.0000	0.0000					
63 D	26.02	-6.2256E-03	284.3	102.1	284.3	159.8	ACTIVE	0.000	-12.30	28.00
1.000	1.000	130.1	0.000	0.000	0.000	0.000	Ala_161_6590_L_0			0.0000
0.0000	0.0000	0.0000	0.0000	0.0000	0.0000					
64 D	26.55	-5.9635E-03	286.2	102.8	286.2	160.9	ACTIVE	0.000	-12.50	30.00
1.000	1.000	132.8	0.000	0.000	0.000	0.000	Ala_161_6590_L_0			0.0000
0.0000	0.0000	0.0000	0.0000	0.0000	0.0000					
65 D	27.09	-5.7051E-03	288.2	103.5	288.2	162.0	ACTIVE	0.000	-12.70	32.00
1.000	1.000	135.5	0.000	0.000	0.000	0.000	Ala_161_6590_L_0			0.0000
0.0000	0.0000	0.0000	0.0000	0.0000	0.0000					
66 D	27.63	-5.4502E-03	290.1	104.1	290.1	163.0	ACTIVE	0.000	-12.90	34.00
1.000	1.000	138.1	0.000	0.000	0.000	0.000	Ala_161_6590_L_0			0.0000
0.0000	0.0000	0.0000	0.0000	0.0000	0.0000					
67 D	28.17	-5.1989E-03	292.1	104.8	292.1	164.1	ACTIVE	0.000	-13.10	36.00
1.000	1.000	140.8	0.000	0.000	0.000	0.000	Ala_161_6590_L_0			0.0000
0.0000	0.0000	0.0000	0.0000	0.0000	0.0000					
68 D	28.70	-4.9508E-03	293.9	105.5	293.9	165.2	ACTIVE	0.000	-13.30	38.00
1.000	1.000	143.5	0.000	0.000	0.000	0.000	Ala_161_6590_L_0			0.0000
0.0000	0.0000	0.0000	0.0000	0.0000	0.0000					
69 D	29.23	-4.7060E-03	295.6	106.1	295.6	166.2	ACTIVE	0.000	-13.50	40.00
1.000	1.000	146.1	0.000	0.000	0.000	0.000	Ala_161_6590_L_0			0.0000
0.0000	0.0000	0.0000	0.0000	0.0000	0.0000					
70 D	29.76	-4.4642E-03	297.4	106.8	297.4	167.2	ACTIVE	0.000	-13.70	42.00
1.000	1.000	148.8	0.000	0.000	0.000	0.000	Ala_161_6590_L_0			0.0000
0.0000	0.0000	0.0000	0.0000	0.0000	0.0000					
71 D	30.28	-4.2253E-03	299.2	107.4	299.2	168.2	ACTIVE	0.000	-13.90	44.00
1.000	1.000	151.4	0.000	0.000	0.000	0.000	Ala_161_6590_L_0			0.0000
0.0000	0.0000	0.0000	0.0000	0.0000	0.0000					
72 D	30.81	-3.9891E-03	301.0	108.1	301.0	169.2	ACTIVE	0.000	-14.10	46.00
1.000	1.000	154.1	0.000	0.000	0.000	0.000	Ala_161_6590_L_0			0.0000
0.0000	0.0000	0.0000	0.0000	0.0000	0.0000					
73 D	31.34	-3.7556E-03	302.8	108.7	302.8	170.2	ACTIVE	0.000	-14.30	48.00
1.000	1.000	156.7	0.000	0.000	0.000	0.000	Ala_161_6590_L_0			0.0000
0.0000	0.0000	0.0000	0.0000	0.0000	0.0000					
74 D	31.87	-3.5246E-03	304.6	109.3	304.6	171.2	ACTIVE	0.000	-14.50	50.00
1.000	1.000	159.3	0.000	0.000	0.000	0.000	Ala_161_6590_L_0			0.0000
0.0000	0.0000	0.0000	0.0000	0.0000	0.0000					
75 D	32.40	-3.2960E-03	306.4	110.0	306.4	172.2	ACTIVE	0.000	-14.70	52.00
1.000	1.000	162.0	0.000	0.000	0.000	0.000	Ala_161_6590_L_0			0.0000
0.0000	0.0000	0.0000	0.0000	0.0000	0.0000					
76 D	32.93	-3.0696E-03	308.2	110.6	308.2	173.2	ACTIVE	0.000	-14.90	54.00
1.000	1.000	164.6	0.000	0.000	0.000	0.000	Ala_161_6590_L_0			0.0000
0.0000	0.0000	0.0000	0.0000	0.0000	0.0000					
77 D	33.46	-2.8452E-03	310.0	111.3	310.0	174.2	ACTIVE	0.000	-15.10	56.00
1.000	1.000	167.3	0.000	0.000	0.000	0.000	Ala_161_6590_L_0			0.0000
0.0000	0.0000	0.0000	0.0000	0.0000	0.0000					
78 D	33.99	-2.6229E-03	311.8	111.9	311.8	175.2	ACTIVE	0.000	-15.30	58.00
1.000	1.000	169.9	0.000	0.000	0.000	0.000	Ala_161_6590_L_0			0.0000
0.0000	0.0000	0.0000	0.0000	0.0000	0.0000					
79 D	34.61	-2.4024E-03	313.6	113.1	313.6	176.2	UL-RL 2.6301E+04		-15.50	60.00
1.000	1.000	173.1	0.000	0.000	0.000	0.000	Ala_161_6590_L_0			0.0000
0.0000	0.0000	0.0000	0.0000	0.0000	0.0000					
80 D	36.36	-2.1836E-03	315.4	119.8	315.4	177.2	UL-RL 2.6301E+04		-15.70	62.00
1.000	1.000	181.8	0.000	0.000	0.000	0.000	Ala_161_6590_L_0			0.0000
0.0000	0.0000	0.0000	0.0000	0.0000	0.0000					
81 D	38.11	-1.9663E-03	317.2	126.5	317.2	178.3	UL-RL 2.6301E+04		-15.90	64.00
1.000	1.000	190.5	0.000	0.000	0.000	0.000	Ala_161_6590_L_0			0.0000
0.0000	0.0000	0.0000	0.0000	0.0000	0.0000					
82 D	32.81	-1.7506E-03	319.1	98.07	319.1	179.3	UL-RL 1.5322E+05		-16.10	66.00
1.000	1.000	164.1	0.000	0.000	10.00	10.00	Salt_21271_21259_L_0			0.0000
0.0000	0.0000	0.0000	0.0000	0.0000						
83 D	33.35	-1.5362E-03	321.0	98.74	321.0	180.4	UL-RL 1.5322E+05		-16.30	68.00
1.000	1.000	166.7	0.000	0.000	10.00	10.00	Salt_21271_21259_L_0			0.0000

0.0000	0.0000	0.0000	0.0000	0.0000						
84 D	33.88	-1.3231E-03	322.9	99.41	322.9	181.5	UL-RL 1.5322E+05	-16.50	70.00	
1.000	1.000	169.4	0.000	0.000	10.00	10.00	Salt_21271_21259_L_0		0.0000	
0.0000	0.0000	0.0000	0.0000	0.0000						
85 D	34.42	-1.1111E-03	324.8	100.1	324.8	182.5	UL-RL 1.5322E+05	-16.70	72.00	
1.000	1.000	172.1	0.000	0.000	10.00	10.00	Salt_21271_21259_L_0		0.0000	
0.0000	0.0000	0.0000	0.0000	0.0000						
86 D	34.95	-9.0003E-04	326.7	100.8	326.7	183.6	UL-RL 1.5322E+05	-16.90	74.00	
1.000	1.000	174.8	0.000	0.000	10.00	10.00	Salt_21271_21259_L_0		0.0000	
0.0000	0.0000	0.0000	0.0000	0.0000						
87 D	39.63	-6.8974E-04	328.6	122.2	328.6	184.7	UL-RL 1.5322E+05	-17.10	76.00	
1.000	1.000	198.2	0.000	0.000	10.00	10.00	Salt_21271_21259_L_0		0.0000	
0.0000	0.0000	0.0000	0.0000	0.0000						
88 D	44.41	-4.8005E-04	330.5	144.1	330.5	185.8	UL-RL 1.5322E+05	-17.30	78.00	
1.000	1.000	222.1	0.000	0.000	10.00	10.00	Salt_21271_21259_L_0		0.0000	
0.0000	0.0000	0.0000	0.0000	0.0000						
89 D	48.47	-2.7080E-04	332.4	162.3	332.4	188.6	UL-RL 1.5322E+05	-17.50	80.00	
1.000	1.000	242.3	0.000	0.000	10.00	10.00	Salt_21271_21259_L_0		0.0000	
0.0000	0.0000	0.0000	0.0000	0.0000						
90 D	51.64	-6.1824E-05	334.4	176.2	334.4	190.3	UL-RL 1.1423E+05	-17.70	82.00	
1.000	1.000	258.2	0.000	0.000	55.00	55.00	Sch_21272_21260_L_0		0.0000	
0.0000	0.0000	0.0000	0.0000	0.0000						
91 D	54.64	1.4699E-04	337.0	189.2	337.0	197.9	UL-RL 1.1423E+05	-17.90	84.00	
1.000	1.000	273.2	0.000	0.000	55.00	55.00	Sch_21272_21260_L_0		0.0000	
0.0000	0.0000	0.0000	0.0000	0.0000						
92 D	43.17	3.5574E-04	339.5	201.8	339.5	205.6	UL-RL 1.1423E+05	-18.10	86.00	
1.000	1.000	287.8	0.000	0.000	55.00	55.00	Sch_21272_21260_L_0		0.0000	
0.0000	0.0000	0.0000	0.0000	0.0000						
93 D	14.68	4.6011E-04	340.7	206.7	340.7	210.2	UL-RL 1.1423E+05	-18.20	87.00	
1.000	1.000	293.7	0.000	0.000	55.00	55.00	Sch_21272_21260_L_0		0.0000	
0.0000	0.0000	0.0000	0.0000	0.0000						

```

+-----+
|                PARATIEPLUS(TM)  NLS ENGINE RELEASE  2022.0.0  FULL VERSION  *Build date:Sep 13, 2021*                |
|                                                                                                                                            |
|                                                                                               ParatiePlus                               |
|                                                                                               Exe Time :28 January 2022   11:11:17           |
+-----+

```

New Project

S T R E S S R E S U L T S F O R G R O U P N O . 3

```

pali15001.7_33 :
ELEMENT TYPE   2 NO.OF ELEMENTS. IN THIS GROUP   68
C U R R E N T   T I M E   I S   4.0000 SUBINCREMENT 00001/00001

```

WALL2D ELEMENT

EL	TA	TB	MA	MB
1	-121.97	121.97	229.82	-254.21
2	-130.73	130.73	254.21	-280.36
3	-137.27	137.27	280.36	-307.81
4	-141.59	141.59	307.81	-336.13
5	-143.69	143.69	336.13	-364.87
6	-143.57	143.57	364.87	-393.59
7	-141.23	141.23	393.59	-421.83
8	-136.67	136.67	421.83	-449.17
9	-129.89	129.89	449.17	-475.14
10	-120.88	120.88	475.14	-499.32
11	-109.66	109.66	499.32	-521.25
12	-97.652	97.652	521.25	-540.78
13	-86.114	86.114	540.78	-558.00
14	-75.007	75.007	558.00	-573.00
15	-64.338	64.338	573.00	-585.87
16	-54.086	54.086	585.87	-596.69
17	-44.245	44.245	596.69	-605.54
18	-34.808	34.808	605.54	-612.50
19	-25.756	25.756	612.50	-617.65
20	-17.093	17.093	617.65	-621.07
21	-8.7913	8.7913	621.07	-622.83
22	-0.86348	0.86348	622.83	-623.00
23	6.7228	-6.7228	623.00	-621.66
24	13.953	-13.953	621.66	-618.87
25	20.860	-20.860	618.87	-614.69
26	27.349	-27.349	614.69	-609.22
27	33.450	-33.450	609.22	-602.53
28	39.153	-39.153	602.53	-594.70
29	44.484	-44.484	594.70	-585.81
30	49.437	-49.437	585.81	-575.92
31	54.032	-54.032	575.92	-565.11
32	58.268	-58.268	565.11	-553.46
33	62.158	-62.158	553.46	-541.03
34	65.708	-65.708	541.03	-527.89
35	68.925	-68.925	527.89	-514.10
36	71.819	-71.819	514.10	-499.74
37	74.391	-74.391	499.74	-484.86
38	76.656	-76.656	484.86	-469.53
39	78.611	-78.611	469.53	-453.81
40	80.271	-80.271	453.81	-437.75
41	81.634	-81.634	437.75	-421.43
42	82.714	-82.714	421.43	-404.88
43	83.508	-83.508	404.88	-388.18
44	84.033	-84.033	388.18	-371.37
45	84.296	-84.296	371.37	-354.52
46	84.299	-84.299	354.52	-337.66
47	84.048	-84.048	337.66	-320.85
48	83.545	-83.545	320.85	-304.14
49	82.795	-82.795	304.14	-287.58
50	81.801	-81.801	287.58	-271.22
51	80.567	-80.567	271.22	-255.10
52	79.095	-79.095	255.10	-239.29
53	77.388	-77.388	239.29	-223.81
54	75.448	-75.448	223.81	-208.72
55	73.184	-73.184	208.72	-194.08
56	69.469	-69.469	194.08	-180.19
57	64.312	-64.312	180.19	-167.33
58	76.232	-76.232	167.33	-152.08
59	86.532	-86.532	152.08	-134.77
60	95.221	-95.221	134.77	-115.73
61	102.31	-102.31	115.73	-95.267
62	107.80	-107.80	95.267	-73.707
63	105.39	-105.39	73.707	-52.629
64	94.950	-94.950	52.629	-33.639
65	77.203	-77.203	33.639	-18.197
66	56.278	-56.278	18.197	-6.9417
67	30.684	-30.684	6.9417	-0.80491
68	8.0491	-8.0491	0.80491	-6.88514E-11


```

+-----+
|          PARATIEPLUS(TM)  NLS ENGINE RELEASE  2022.0.0  FULL VERSION  *Build date:Sep 13, 2021*          |
|                                                                                                                                            |
|                                                                                               ParatiePlus |
|                                                                                               Exe Time :28 January 2022  11:11:17 |
+-----+

```

New Project

S T R E S S R E S U L T S F O R G R O U P N O . 4

```

muro71cm_4658 :
ELEMENT TYPE   2 NO.OF ELEMENTS. IN THIS GROUP   24
C U R R E N T   T I M E   I S   4.0000 SUBINCREMENT 00001/00001

```

WALL2D ELEMENT

EL	TA	TB	MA	MB
1	-1.3396	1.3396	-5.82123E-11	-0.26792
2	-4.2068	4.2068	0.26792	-1.1093
3	-7.2621	7.2621	1.1093	-2.5617
4	-10.506	10.506	2.5617	-4.6628
5	-13.937	13.937	4.6628	-7.4503
6	-17.558	17.558	7.4503	-10.962
7	-21.368	21.368	10.962	-15.235
8	-25.367	25.367	15.235	-20.309
9	-29.556	29.556	20.309	-26.220
10	-33.935	33.935	26.220	-33.007
11	-38.505	38.505	33.007	-40.708
12	-43.267	43.267	40.708	-49.361
13	-48.220	48.220	49.361	-59.006
14	-53.367	53.367	59.006	-69.679
15	-58.705	58.705	69.679	-81.420
16	-64.238	64.238	81.420	-94.268
17	-69.964	69.964	94.268	-108.26
18	-75.884	75.884	108.26	-123.44
19	-81.999	81.999	123.44	-139.84
20	-88.309	88.309	139.84	-157.50
21	-94.814	94.814	157.50	-176.46
22	-101.51	101.51	176.46	-196.76
23	-108.41	108.41	196.76	-218.45
24	-113.73	113.73	218.45	-229.82

```

+-----+
|          PARATIEPLUS(TM)  NLS ENGINE RELEASE  2022.0.0  FULL VERSION  *Build date:Sep 13, 2021*          |
|                                                                                                                                            |
|                                                                                               ParatiePlus                               |
|                                                                                               Exe Time :28 January 2022   11:11:17          |
+-----+

```

F I N A L I N C R E M E N T A L A N A L Y S I S

S U M M A R Y

STEP		NO. OF ITERATIONS
1	CONVERGENCE :YES	2
2	CONVERGENCE :YES	2
3	CONVERGENCE :YES	7
4	CONVERGENCE :YES	2

END OF PROCESS FOR PROBLEM
New Project
NONLINEAR SOLUTION CPU TIME 0.09 [sec]
DATABASE CREATION CPU TIME..... 0.27 [sec]

8.7. Design Assumption : A2+M2+R1 - File di Paratie - File di input (.d)

```
* PARATIE ANALYSIS FOR DESIGN SECTION:Base Design Section USING ASSUMPTION: A2+M2+R1
* Time:venerdi 28 gennaio 2022 11:11:18
* 1: Defining general settings
UNIT m kN
TITLE New Project
DELTA 0.2
option param itemax 40
option control contact lagrange

option control hinges 0 0.0001 0.001

* 2: Defining wall(s)
WALL LeftWall_32 0 -18.2 0 -1

* 3: Defining surfaces for wall(s)
SOIL 0_L LeftWall_32 -18.2 0 2 0
SOIL 0_R LeftWall_32 -18.2 0 1 180

* 4: Defining soil layers
*
* Soil Profile (rilevato_6589_8_L_0)
*
LDATA rilevato_6589_8_L_0 0 LeftWall_32
ATREST 0.426 0.5 1
WEIGHT 20 10 10
PERMEABILITY 1E-05
RESISTANCE 0 35 0 0 0
TZDATA LINEAR 0 0 0 0.5 0
KSCALE 0 0
YOUNG 50000 1.5E+05
ENDL
*
* Soil Profile (Ala_161_6590_L_0)
*
LDATA Ala_161_6590_L_0 -4.7 LeftWall_32
ATREST 0.562 0.5 1
WEIGHT 19.5 9.5 10
PERMEABILITY 1E-05
RESISTANCE 0 25 0 0 0
TZDATA LINEAR 0 0 0 0.5 0
KSCALE 0 0
YOUNG 35000 1.05E+05
ENDL
*
* Soil Profile (Salt_21271_21259_L_0)
*
LDATA Salt_21271_21259_L_0 -15.99 LeftWall_32
ATREST 0.562 0.5 1
WEIGHT 20 10 10
PERMEABILITY 1E-05
RESISTANCE 10 26 0 0 0
TZDATA LINEAR 0 0 0 0.5 0
KSCALE 0 0
YOUNG 2E+05 6E+05
ENDL
*
* Soil Profile (Sch_21272_21260_L_0)
*
LDATA Sch_21272_21260_L_0 -17.67 LeftWall_32
ATREST 0.562 0.5 1
WEIGHT 23 13 10
PERMEABILITY 1E-05
RESISTANCE 55 31 0 0 0
TZDATA LINEAR 0 0 0 0.5 0
KSCALE 0 0
YOUNG 1.35E+05 4.05E+05
ENDL

* 5: Defining structural materials
* Steel material: 110 Name=Fe360 E=206000200 kPa
MATERIAL Fe360_110 2.06E+08
* Concrete material: 108 Name=C32/40 E=33345800 kPa
MATERIAL C3240_108 3.3346E+07

* 6: Defining structural elements
* 6.1: Beams and combined Wall Elements
** rev 2021 and later
BEAM pali15001.7_33 LeftWall_32 -18.2 -4.7 C3240_108 1.206 1.0395 0.14618 25.987 00 00 0
** rev 2021 and later
BEAM muro71cm_4658 LeftWall_32 -4.7 0 C3240_108 0.74889 0.71 0.035 17.75 00 00 0

* 6.2: Supports
```

```

* 6.3: Strips
STRIP LeftWall_32 3 4 6.7 0.37824 0 76.471 45
STRIP LeftWall_32 3 4 7.0782 0.37824 0 73.412 45
STRIP LeftWall_32 3 4 7.4565 0.37824 0 70.353 45
STRIP LeftWall_32 3 4 7.8347 0.37824 0 67.294 45
STRIP LeftWall_32 3 4 8.2129 0.37824 0 64.235 45
STRIP LeftWall_32 3 4 8.5912 0.37824 0 61.176 45
STRIP LeftWall_32 3 4 8.9694 0.37824 0 58.118 45
STRIP LeftWall_32 3 4 9.3476 0.37824 0 55.059 45
STRIP LeftWall_32 3 4 9.7259 0.37824 0 52 45
STRIP LeftWall_32 3 4 10.104 0.37824 0 48.941 45
STRIP LeftWall_32 3 4 10.482 0.37824 0 45.882 45
STRIP LeftWall_32 3 4 10.861 0.37824 0 42.824 45
STRIP LeftWall_32 3 4 11.239 0.37824 0 39.765 45
STRIP LeftWall_32 3 4 11.617 0.37824 0 36.706 45
STRIP LeftWall_32 3 4 11.995 0.37824 0 33.647 45
STRIP LeftWall_32 3 4 12.374 0.37824 0 30.588 45
STRIP LeftWall_32 3 4 12.752 0.37824 0 27.529 45

```

```

* 7: Defining Steps
STEP 0-Geostatica_31
CHANGE rilevato_6589_8_L_0 U-FRICT=29.256 LeftWall_32
CHANGE rilevato_6589_8_L_0 D-FRICT=29.256 LeftWall_32
CHANGE rilevato_6589_8_L_0 U-KA=0.3 LeftWall_32
CHANGE rilevato_6589_8_L_0 U-KP=4.102 LeftWall_32
CHANGE rilevato_6589_8_L_0 D-KA=0.3 LeftWall_32
CHANGE rilevato_6589_8_L_0 D-KP=4.102 LeftWall_32
CHANGE Ala_161_6590_L_0 U-FRICT=20.458 LeftWall_32
CHANGE Ala_161_6590_L_0 D-FRICT=20.458 LeftWall_32
CHANGE Ala_161_6590_L_0 U-KA=0.432 LeftWall_32
CHANGE Ala_161_6590_L_0 U-KP=2.535 LeftWall_32
CHANGE Ala_161_6590_L_0 D-KA=0.432 LeftWall_32
CHANGE Ala_161_6590_L_0 D-KP=2.535 LeftWall_32
CHANGE Salt_21271_21259_L_0 U-FRICT=21.315 LeftWall_32
CHANGE Salt_21271_21259_L_0 D-FRICT=21.315 LeftWall_32
CHANGE Salt_21271_21259_L_0 U-KA=0.417 LeftWall_32
CHANGE Salt_21271_21259_L_0 U-KP=2.649 LeftWall_32
CHANGE Salt_21271_21259_L_0 D-KA=0.417 LeftWall_32
CHANGE Salt_21271_21259_L_0 D-KP=2.649 LeftWall_32
CHANGE Sch_21272_21260_L_0 U-FRICT=25.673 LeftWall_32
CHANGE Sch_21272_21260_L_0 D-FRICT=25.673 LeftWall_32
CHANGE Sch_21272_21260_L_0 U-KA=0.349 LeftWall_32
CHANGE Sch_21272_21260_L_0 U-KP=3.343 LeftWall_32
CHANGE Sch_21272_21260_L_0 D-KA=0.349 LeftWall_32
CHANGE Sch_21272_21260_L_0 D-KP=3.343 LeftWall_32
CHANGE rilevato_6589_8_L_0 U-COHE=0 LeftWall_32
CHANGE rilevato_6589_8_L_0 U-ADHES=0 LeftWall_32
CHANGE rilevato_6589_8_L_0 D-COHE=0 LeftWall_32
CHANGE rilevato_6589_8_L_0 D-ADHES=0 LeftWall_32
CHANGE Ala_161_6590_L_0 U-COHE=0 LeftWall_32
CHANGE Ala_161_6590_L_0 U-ADHES=0 LeftWall_32
CHANGE Ala_161_6590_L_0 D-COHE=0 LeftWall_32
CHANGE Ala_161_6590_L_0 D-ADHES=0 LeftWall_32
CHANGE Salt_21271_21259_L_0 U-COHE=8 LeftWall_32
CHANGE Salt_21271_21259_L_0 U-ADHES=0 LeftWall_32
CHANGE Salt_21271_21259_L_0 D-COHE=8 LeftWall_32
CHANGE Salt_21271_21259_L_0 D-ADHES=0 LeftWall_32
CHANGE Sch_21272_21260_L_0 U-COHE=44 LeftWall_32
CHANGE Sch_21272_21260_L_0 U-ADHES=0 LeftWall_32
CHANGE Sch_21272_21260_L_0 D-COHE=44 LeftWall_32
CHANGE Sch_21272_21260_L_0 D-ADHES=0 LeftWall_32
SETWALL LeftWall_32
GEOM -4.7 -4.7
SURCHARGE 0 0 0 0
WATER -9.5 0 -18.2 0 0
ENDSTEP

```

```

STEP 1-paratia_39155
SETWALL LeftWall_32
GEOM -4.7 -4.7
SURCHARGE 0 0 0 0
WATER -9.5 0 -18.2 0 0
ADD palil5001.7_33
ENDSTEP

```

```

STEP 2-esercizio_90561
SETWALL LeftWall_32
GEOM 0 -4.7
SURCHARGE 57 0 0 -4.7
WATER -9.5 0 -18.2 0 0
ADD muro71cm_4658
ENDSTEP

```

```

STEP 3-sisma_44110
SETWALL LeftWall_32
GEOM 0 -4.7
SURCHARGE 57 0 0 0
WATER -9.5 0 -18.2 0 0
ENDSTEP

```



```

+-----+
|          PARATIEPLUS(TM)  NLS ENGINE RELEASE  2022.0.0  FULL VERSION  *Build date:Sep 13, 2021*          |
|                                                                                                                                            |
|                                                                                               ParatiePlus                               |
|                                                                                               Exe Time :28 January 2022   11:11:18           |
+-----+

```

INPUT FILE HAS BEEN GENERATED BY WALGEN PROGRAM

New Project

```

NO. OF NODAL POINTS (NUMNP) ..... 93
NO. OF COORDINATES (NCOORD)..... 2
NO. OF NODE DOFS (NDOF)..... 2
NO. OF EQUATIONS (NEQ)..... 186
NO. OF CONSTRAINTS CARDS (NVINC)..... 0
NO. OF ELEMENT GROUPS (NEG)..... 4
NO. OF SOLUTION STEPS (NSTE)..... 4
NO. OF ELEMENT SETS ATTACHED TO SLAVE NODES ... 0
NO. OF RECORD FROM WALGEN ..... 132
NO. OF LONG NAMES (LASTNAME) ..... 19
LENGTH UNIT CHOICE ..... 3 (M )
FORCE UNIT CHOICE ..... 3 (KN )
MAX PORE PRESSURE TABLE LENGTH..... 1
MAX INELASTIC DISPL. TABLE LENGTH..... 0
NO. OF ELEMENT GROUPS REQUIRING ADD. SLIP DOF . 0

```

```

IDOFA (01) = 2 Y-DISPL.F
IDOFA (02) = 4 X-ROT. F

```

RELEVANT ITEMS UNITS

```

STRESSES                kPa
Y-DISPLACEMENTS        m
ROTATIONS                RADIANS
BEAM AND SLAB MOMENTS   kN*m/m
BEAM SHEAR FORCES       kN/m
ANCHOR FORCES           kN/m
AXIAL FORCES IN TRUSSES kN/m
AXIAL FORCES SPRINGS    kN/m
Y-REACTIONS             kN/m
X-MOMENT REACTIONS      kN*m/m
ETC.

```

P R E P R O C E S S O R D A T A
N O . O F C O M M A N D S 132

1 : UNIT m kN
2 : TITLE New Project
3 : DELTA 0.2
4 : option param itemax 40
5 : option control contact lagrange
6 : option control hinges 0 0.0001 0.001
7 : WALL LeftWall_32 0 -18.2 0 -1
8 : SOIL 0_L LeftWall_32 -18.2 0 2 0
9 : SOIL 0_R LeftWall_32 -18.2 0 1 180
10 : LDATA rilevato_6589_8_L_0 0 LeftWall_32
11 : ATREST 0.426 0.5 1
12 : WEIGHT 20 10 10
13 : PERMEABILITY 1E-05
14 : RESISTANCE 0 35 0 0 0
15 : TZDATA LINEAR 0 0 0 0.5 0
16 : KSCALE 0 0
17 : YOUNG 50000 1.5E+05
18 : ENDL
19 : LDATA Ala_161_6590_L_0 -4.7 LeftWall_32
20 : ATREST 0.562 0.5 1
21 : WEIGHT 19.5 9.5 10
22 : PERMEABILITY 1E-05
23 : RESISTANCE 0 25 0 0 0
24 : TZDATA LINEAR 0 0 0 0.5 0
25 : KSCALE 0 0
26 : YOUNG 35000 1.05E+05
27 : ENDL
28 : LDATA Salt_21271_21259_L_0 -15.99 LeftWall_32
29 : ATREST 0.562 0.5 1
30 : WEIGHT 20 10 10
31 : PERMEABILITY 1E-05
32 : RESISTANCE 10 26 0 0 0
33 : TZDATA LINEAR 0 0 0 0.5 0
34 : KSCALE 0 0
35 : YOUNG 2E+05 6E+05
36 : ENDL
37 : LDATA Sch_21272_21260_L_0 -17.67 LeftWall_32
38 : ATREST 0.562 0.5 1
39 : WEIGHT 23 13 10
40 : PERMEABILITY 1E-05
41 : RESISTANCE 55 31 0 0 0
42 : TZDATA LINEAR 0 0 0 0.5 0
43 : KSCALE 0 0
44 : YOUNG 1.35E+05 4.05E+05
45 : ENDL
46 : MATERIAL Fe360_110 2.06E+08
47 : MATERIAL C3240_108 3.3346E+07
48 : BEAM pali15001.7_33 LeftWall_32 -18.2 -4.7 C3240_108 1.206 1.0395 0.14618 25.987 00 00 0
49 : BEAM muro71cm_4658 LeftWall_32 -4.7 0 C3240_108 0.74889 0.71 0.035 17.75 00 00 0
50 : STRIP LeftWall_32 3 4 6.7 0.37824 0 76.471 45
51 : STRIP LeftWall_32 3 4 7.0782 0.37824 0 73.412 45
52 : STRIP LeftWall_32 3 4 7.4565 0.37824 0 70.353 45
53 : STRIP LeftWall_32 3 4 7.8347 0.37824 0 67.294 45
54 : STRIP LeftWall_32 3 4 8.2129 0.37824 0 64.235 45
55 : STRIP LeftWall_32 3 4 8.5912 0.37824 0 61.176 45
56 : STRIP LeftWall_32 3 4 8.9694 0.37824 0 58.118 45
57 : STRIP LeftWall_32 3 4 9.3476 0.37824 0 55.059 45
58 : STRIP LeftWall_32 3 4 9.7259 0.37824 0 52 45
59 : STRIP LeftWall_32 3 4 10.104 0.37824 0 48.941 45
60 : STRIP LeftWall_32 3 4 10.482 0.37824 0 45.882 45
61 : STRIP LeftWall_32 3 4 10.861 0.37824 0 42.824 45
62 : STRIP LeftWall_32 3 4 11.239 0.37824 0 39.765 45
63 : STRIP LeftWall_32 3 4 11.617 0.37824 0 36.706 45
64 : STRIP LeftWall_32 3 4 11.995 0.37824 0 33.647 45
65 : STRIP LeftWall_32 3 4 12.374 0.37824 0 30.588 45
66 : STRIP LeftWall_32 3 4 12.752 0.37824 0 27.529 45
67 : STEP 0-Geostatica_31
68 : CHANGE rilevato_6589_8_L_0 U-FRICT=29.256 LeftWall_32
69 : CHANGE rilevato_6589_8_L_0 D-FRICT=29.256 LeftWall_32
70 : CHANGE rilevato_6589_8_L_0 U-KA=0.3 LeftWall_32
71 : CHANGE rilevato_6589_8_L_0 U-KP=4.102 LeftWall_32
72 : CHANGE rilevato_6589_8_L_0 D-KA=0.3 LeftWall_32
73 : CHANGE rilevato_6589_8_L_0 D-KP=4.102 LeftWall_32
74 : CHANGE Ala_161_6590_L_0 U-FRICT=20.458 LeftWall_32
75 : CHANGE Ala_161_6590_L_0 D-FRICT=20.458 LeftWall_32
76 : CHANGE Ala_161_6590_L_0 U-KA=0.432 LeftWall_32
77 : CHANGE Ala_161_6590_L_0 U-KP=2.535 LeftWall_32
78 : CHANGE Ala_161_6590_L_0 D-KA=0.432 LeftWall_32
79 : CHANGE Ala_161_6590_L_0 D-KP=2.535 LeftWall_32

80 : CHANGE Salt_21271_21259_L_0 U-FRICT=21.315 LeftWall_32
81 : CHANGE Salt_21271_21259_L_0 D-FRICT=21.315 LeftWall_32
82 : CHANGE Salt_21271_21259_L_0 U-KA=0.417 LeftWall_32
83 : CHANGE Salt_21271_21259_L_0 U-KP=2.649 LeftWall_32
84 : CHANGE Salt_21271_21259_L_0 D-KA=0.417 LeftWall_32
85 : CHANGE Salt_21271_21259_L_0 D-KP=2.649 LeftWall_32
86 : CHANGE Sch_21272_21260_L_0 U-FRICT=25.673 LeftWall_32
87 : CHANGE Sch_21272_21260_L_0 D-FRICT=25.673 LeftWall_32
88 : CHANGE Sch_21272_21260_L_0 U-KA=0.349 LeftWall_32
89 : CHANGE Sch_21272_21260_L_0 U-KP=3.343 LeftWall_32
90 : CHANGE Sch_21272_21260_L_0 D-KA=0.349 LeftWall_32
91 : CHANGE Sch_21272_21260_L_0 D-KP=3.343 LeftWall_32
92 : CHANGE rilevato_6589_8_L_0 U-COHE=0 LeftWall_32
93 : CHANGE rilevato_6589_8_L_0 U-ADHES=0 LeftWall_32
94 : CHANGE rilevato_6589_8_L_0 D-COHE=0 LeftWall_32
95 : CHANGE rilevato_6589_8_L_0 D-ADHES=0 LeftWall_32
96 : CHANGE Ala_161_6590_L_0 U-COHE=0 LeftWall_32
97 : CHANGE Ala_161_6590_L_0 U-ADHES=0 LeftWall_32
98 : CHANGE Ala_161_6590_L_0 D-COHE=0 LeftWall_32
99 : CHANGE Ala_161_6590_L_0 D-ADHES=0 LeftWall_32
100 : CHANGE Salt_21271_21259_L_0 U-COHE=8 LeftWall_32
101 : CHANGE Salt_21271_21259_L_0 U-ADHES=0 LeftWall_32
102 : CHANGE Salt_21271_21259_L_0 D-COHE=8 LeftWall_32
103 : CHANGE Salt_21271_21259_L_0 D-ADHES=0 LeftWall_32
104 : CHANGE Sch_21272_21260_L_0 U-COHE=44 LeftWall_32
105 : CHANGE Sch_21272_21260_L_0 U-ADHES=0 LeftWall_32
106 : CHANGE Sch_21272_21260_L_0 D-COHE=44 LeftWall_32
107 : CHANGE Sch_21272_21260_L_0 D-ADHES=0 LeftWall_32
108 : SETWALL LeftWall_32
109 : GEOM -4.7 -4.7
110 : SURCHARGE 0 0 0 0
111 : WATER -9.5 0 -18.2 0 0
112 : ENDSTEP
113 : STEP 1-paratia_39155
114 : SETWALL LeftWall_32
115 : GEOM -4.7 -4.7
116 : SURCHARGE 0 0 0 0
117 : WATER -9.5 0 -18.2 0 0
118 : ADD pali15001.7_33
119 : ENDSTEP
120 : STEP 2-esercizio_90561
121 : SETWALL LeftWall_32
122 : GEOM 0 -4.7
123 : SURCHARGE 57 0 0 -4.7
124 : WATER -9.5 0 -18.2 0 0
125 : ADD muro71cm_4658
126 : ENDSTEP
127 : STEP 3-sisma_44110
128 : SETWALL LeftWall_32
129 : GEOM 0 -4.7
130 : SURCHARGE 57 0 0 0
131 : WATER -9.5 0 -18.2 0 0
132 : ENDSTEP


```

+-----+
|          PARATIEPLUS(TM)  NLS ENGINE RELEASE  2022.0.0  FULL VERSION  *Build date:Sep 13, 2021*          |
|                                                                                                                                            |
|                                                                                               ParatiePlus                               |
|                                                                                               Exe Time :28 January 2022   11:11:18           |
+-----+

```

N O D A L P O I N T D A T A

NODE	Y-COORD	Z-COORD /	NODE	Y-COORD	Z-COORD /	NODE	Y-COORD	Z-COORD /	NODE	Y-COORD	Z-COORD /				
1	0.0000	0.0000	/	2	0.0000	-0.20000	/	3	0.0000	-0.40000	/	4	0.0000	-0.60000	/
5	0.0000	-0.80000	/	6	0.0000	-1.0000	/	7	0.0000	-1.2000	/	8	0.0000	-1.4000	/
9	0.0000	-1.6000	/	10	0.0000	-1.8000	/	11	0.0000	-2.0000	/	12	0.0000	-2.2000	/
13	0.0000	-2.4000	/	14	0.0000	-2.6000	/	15	0.0000	-2.8000	/	16	0.0000	-3.0000	/
17	0.0000	-3.2000	/	18	0.0000	-3.4000	/	19	0.0000	-3.6000	/	20	0.0000	-3.8000	/
21	0.0000	-4.0000	/	22	0.0000	-4.2000	/	23	0.0000	-4.4000	/	24	0.0000	-4.6000	/
25	0.0000	-4.7000	/	26	0.0000	-4.9000	/	27	0.0000	-5.1000	/	28	0.0000	-5.3000	/
29	0.0000	-5.5000	/	30	0.0000	-5.7000	/	31	0.0000	-5.9000	/	32	0.0000	-6.1000	/
33	0.0000	-6.3000	/	34	0.0000	-6.5000	/	35	0.0000	-6.7000	/	36	0.0000	-6.9000	/
37	0.0000	-7.1000	/	38	0.0000	-7.3000	/	39	0.0000	-7.5000	/	40	0.0000	-7.7000	/
41	0.0000	-7.9000	/	42	0.0000	-8.1000	/	43	0.0000	-8.3000	/	44	0.0000	-8.5000	/
45	0.0000	-8.7000	/	46	0.0000	-8.9000	/	47	0.0000	-9.1000	/	48	0.0000	-9.3000	/
49	0.0000	-9.5000	/	50	0.0000	-9.7000	/	51	0.0000	-9.9000	/	52	0.0000	-10.100	/
53	0.0000	-10.300	/	54	0.0000	-10.500	/	55	0.0000	-10.700	/	56	0.0000	-10.900	/
57	0.0000	-11.100	/	58	0.0000	-11.300	/	59	0.0000	-11.500	/	60	0.0000	-11.700	/
61	0.0000	-11.900	/	62	0.0000	-12.100	/	63	0.0000	-12.300	/	64	0.0000	-12.500	/
65	0.0000	-12.700	/	66	0.0000	-12.900	/	67	0.0000	-13.100	/	68	0.0000	-13.300	/
69	0.0000	-13.500	/	70	0.0000	-13.700	/	71	0.0000	-13.900	/	72	0.0000	-14.100	/
73	0.0000	-14.300	/	74	0.0000	-14.500	/	75	0.0000	-14.700	/	76	0.0000	-14.900	/
77	0.0000	-15.100	/	78	0.0000	-15.300	/	79	0.0000	-15.500	/	80	0.0000	-15.700	/
81	0.0000	-15.900	/	82	0.0000	-16.100	/	83	0.0000	-16.300	/	84	0.0000	-16.500	/
85	0.0000	-16.700	/	86	0.0000	-16.900	/	87	0.0000	-17.100	/	88	0.0000	-17.300	/
89	0.0000	-17.500	/	90	0.0000	-17.700	/	91	0.0000	-17.900	/	92	0.0000	-18.100	/
93	0.0000	-18.200	/												

```

+-----+
|          PARATIEPLUS(TM)  NLS ENGINE RELEASE  2022.0.0  FULL VERSION  *Build date:Sep 13, 2021*          |
|                                                                                                                                            |
|                                                                                               ParatiePlus                               |
|                                                                                               Exe Time :28 January 2022   11:11:18          |
+-----+

```

ELEMENT GROUP NO. 1

```

0_L          :
 5 93  0  1  0  0  0  0  0  0  0  0  0  0  0  0  0  0  4  0  0  0  0

```

```

.....2D PLASTIC SOIL .....

```

element group behaviour throughout stage analysis

stage status

```

-----
1  active
2  active
3  active
4  active

```

material set no. 1

```

prop( 1) angle          0.00000
prop( 2) layer as foreseen 1.00000

```

material set no. 2

```

prop( 1) angle          0.00000
prop( 2) layer as foreseen 2.00000

```

material set no. 3

```

prop( 1) angle          0.00000
prop( 2) layer as foreseen 3.00000

```

material set no. 4

```

prop( 1) angle          0.00000
prop( 2) layer as foreseen 4.00000

```

element data

el	n	mat	area	flag
1	1	1	0.1000	0.000	0.000	0.000	2.000
2	2	1	0.2000	0.000	0.000	0.000	2.000
3	3	1	0.2000	0.000	0.000	0.000	2.000
4	4	1	0.2000	0.000	0.000	0.000	2.000
5	5	1	0.2000	0.000	0.000	0.000	2.000
6	6	1	0.2000	0.000	0.000	0.000	2.000
7	7	1	0.2000	0.000	0.000	0.000	2.000
8	8	1	0.2000	0.000	0.000	0.000	2.000
9	9	1	0.2000	0.000	0.000	0.000	2.000
10	10	1	0.2000	0.000	0.000	0.000	2.000
11	11	1	0.2000	0.000	0.000	0.000	2.000
12	12	1	0.2000	0.000	0.000	0.000	2.000
13	13	1	0.2000	0.000	0.000	0.000	2.000
14	14	1	0.2000	0.000	0.000	0.000	2.000
15	15	1	0.2000	0.000	0.000	0.000	2.000
16	16	1	0.2000	0.000	0.000	0.000	2.000
17	17	1	0.2000	0.000	0.000	0.000	2.000
18	18	1	0.2000	0.000	0.000	0.000	2.000
19	19	1	0.2000	0.000	0.000	0.000	2.000
20	20	1	0.2000	0.000	0.000	0.000	2.000
21	21	1	0.2000	0.000	0.000	0.000	2.000
22	22	1	0.2000	0.000	0.000	0.000	2.000
23	23	1	0.2000	0.000	0.000	0.000	2.000
24	24	1	0.1500	0.000	0.000	0.000	2.000
25	25	2	0.1500	0.000	0.000	0.000	2.000
26	26	2	0.2000	0.000	0.000	0.000	2.000
27	27	2	0.2000	0.000	0.000	0.000	2.000
28	28	2	0.2000	0.000	0.000	0.000	2.000
29	29	2	0.2000	0.000	0.000	0.000	2.000
30	30	2	0.2000	0.000	0.000	0.000	2.000
31	31	2	0.2000	0.000	0.000	0.000	2.000
32	32	2	0.2000	0.000	0.000	0.000	2.000
33	33	2	0.2000	0.000	0.000	0.000	2.000
34	34	2	0.2000	0.000	0.000	0.000	2.000
35	35	2	0.2000	0.000	0.000	0.000	2.000
36	36	2	0.2000	0.000	0.000	0.000	2.000
37	37	2	0.2000	0.000	0.000	0.000	2.000

38	38	2	0.2000	0.000	0.000	0.000	2.000
39	39	2	0.2000	0.000	0.000	0.000	2.000
40	40	2	0.2000	0.000	0.000	0.000	2.000
41	41	2	0.2000	0.000	0.000	0.000	2.000
42	42	2	0.2000	0.000	0.000	0.000	2.000
43	43	2	0.2000	0.000	0.000	0.000	2.000
44	44	2	0.2000	0.000	0.000	0.000	2.000
45	45	2	0.2000	0.000	0.000	0.000	2.000
46	46	2	0.2000	0.000	0.000	0.000	2.000
47	47	2	0.2000	0.000	0.000	0.000	2.000
48	48	2	0.2000	0.000	0.000	0.000	2.000
49	49	2	0.2000	0.000	0.000	0.000	2.000
50	50	2	0.2000	0.000	0.000	0.000	2.000
51	51	2	0.2000	0.000	0.000	0.000	2.000
52	52	2	0.2000	0.000	0.000	0.000	2.000
53	53	2	0.2000	0.000	0.000	0.000	2.000
54	54	2	0.2000	0.000	0.000	0.000	2.000
55	55	2	0.2000	0.000	0.000	0.000	2.000
56	56	2	0.2000	0.000	0.000	0.000	2.000
57	57	2	0.2000	0.000	0.000	0.000	2.000
58	58	2	0.2000	0.000	0.000	0.000	2.000
59	59	2	0.2000	0.000	0.000	0.000	2.000
60	60	2	0.2000	0.000	0.000	0.000	2.000
61	61	2	0.2000	0.000	0.000	0.000	2.000
62	62	2	0.2000	0.000	0.000	0.000	2.000
63	63	2	0.2000	0.000	0.000	0.000	2.000
64	64	2	0.2000	0.000	0.000	0.000	2.000
65	65	2	0.2000	0.000	0.000	0.000	2.000
66	66	2	0.2000	0.000	0.000	0.000	2.000
67	67	2	0.2000	0.000	0.000	0.000	2.000
68	68	2	0.2000	0.000	0.000	0.000	2.000
69	69	2	0.2000	0.000	0.000	0.000	2.000
70	70	2	0.2000	0.000	0.000	0.000	2.000
71	71	2	0.2000	0.000	0.000	0.000	2.000
72	72	2	0.2000	0.000	0.000	0.000	2.000
73	73	2	0.2000	0.000	0.000	0.000	2.000
74	74	2	0.2000	0.000	0.000	0.000	2.000
75	75	2	0.2000	0.000	0.000	0.000	2.000
76	76	2	0.2000	0.000	0.000	0.000	2.000
77	77	2	0.2000	0.000	0.000	0.000	2.000
78	78	2	0.2000	0.000	0.000	0.000	2.000
79	79	2	0.2000	0.000	0.000	0.000	2.000
80	80	2	0.2000	0.000	0.000	0.000	2.000
81	81	2	0.2000	0.000	0.000	0.000	2.000
82	82	3	0.2000	0.000	0.000	0.000	2.000
83	83	3	0.2000	0.000	0.000	0.000	2.000
84	84	3	0.2000	0.000	0.000	0.000	2.000
85	85	3	0.2000	0.000	0.000	0.000	2.000
86	86	3	0.2000	0.000	0.000	0.000	2.000
87	87	3	0.2000	0.000	0.000	0.000	2.000
88	88	3	0.2000	0.000	0.000	0.000	2.000
89	89	3	0.2000	0.000	0.000	0.000	2.000
90	90	4	0.2000	0.000	0.000	0.000	2.000
91	91	4	0.2000	0.000	0.000	0.000	2.000
92	92	4	0.1500	0.000	0.000	0.000	2.000
93	93	4	0.5000E-01	0.000	0.000	0.000	2.000

38	38	2	0.2000	0.000	0.000	0.000	1.000
39	39	2	0.2000	0.000	0.000	0.000	1.000
40	40	2	0.2000	0.000	0.000	0.000	1.000
41	41	2	0.2000	0.000	0.000	0.000	1.000
42	42	2	0.2000	0.000	0.000	0.000	1.000
43	43	2	0.2000	0.000	0.000	0.000	1.000
44	44	2	0.2000	0.000	0.000	0.000	1.000
45	45	2	0.2000	0.000	0.000	0.000	1.000
46	46	2	0.2000	0.000	0.000	0.000	1.000
47	47	2	0.2000	0.000	0.000	0.000	1.000
48	48	2	0.2000	0.000	0.000	0.000	1.000
49	49	2	0.2000	0.000	0.000	0.000	1.000
50	50	2	0.2000	0.000	0.000	0.000	1.000
51	51	2	0.2000	0.000	0.000	0.000	1.000
52	52	2	0.2000	0.000	0.000	0.000	1.000
53	53	2	0.2000	0.000	0.000	0.000	1.000
54	54	2	0.2000	0.000	0.000	0.000	1.000
55	55	2	0.2000	0.000	0.000	0.000	1.000
56	56	2	0.2000	0.000	0.000	0.000	1.000
57	57	2	0.2000	0.000	0.000	0.000	1.000
58	58	2	0.2000	0.000	0.000	0.000	1.000
59	59	2	0.2000	0.000	0.000	0.000	1.000
60	60	2	0.2000	0.000	0.000	0.000	1.000
61	61	2	0.2000	0.000	0.000	0.000	1.000
62	62	2	0.2000	0.000	0.000	0.000	1.000
63	63	2	0.2000	0.000	0.000	0.000	1.000
64	64	2	0.2000	0.000	0.000	0.000	1.000
65	65	2	0.2000	0.000	0.000	0.000	1.000
66	66	2	0.2000	0.000	0.000	0.000	1.000
67	67	2	0.2000	0.000	0.000	0.000	1.000
68	68	2	0.2000	0.000	0.000	0.000	1.000
69	69	2	0.2000	0.000	0.000	0.000	1.000
70	70	2	0.2000	0.000	0.000	0.000	1.000
71	71	2	0.2000	0.000	0.000	0.000	1.000
72	72	2	0.2000	0.000	0.000	0.000	1.000
73	73	2	0.2000	0.000	0.000	0.000	1.000
74	74	2	0.2000	0.000	0.000	0.000	1.000
75	75	2	0.2000	0.000	0.000	0.000	1.000
76	76	2	0.2000	0.000	0.000	0.000	1.000
77	77	2	0.2000	0.000	0.000	0.000	1.000
78	78	2	0.2000	0.000	0.000	0.000	1.000
79	79	2	0.2000	0.000	0.000	0.000	1.000
80	80	2	0.2000	0.000	0.000	0.000	1.000
81	81	2	0.2000	0.000	0.000	0.000	1.000
82	82	3	0.2000	0.000	0.000	0.000	1.000
83	83	3	0.2000	0.000	0.000	0.000	1.000
84	84	3	0.2000	0.000	0.000	0.000	1.000
85	85	3	0.2000	0.000	0.000	0.000	1.000
86	86	3	0.2000	0.000	0.000	0.000	1.000
87	87	3	0.2000	0.000	0.000	0.000	1.000
88	88	3	0.2000	0.000	0.000	0.000	1.000
89	89	3	0.2000	0.000	0.000	0.000	1.000
90	90	4	0.2000	0.000	0.000	0.000	1.000
91	91	4	0.2000	0.000	0.000	0.000	1.000
92	92	4	0.1500	0.000	0.000	0.000	1.000
93	93	4	0.5000E-01	0.000	0.000	0.000	1.000

46	70	71	1	0.000	0.000	1.206	1.040	0.1462	25.99	0.000	0.000
47	71	72	1	0.000	0.000	1.206	1.040	0.1462	25.99	0.000	0.000
48	72	73	1	0.000	0.000	1.206	1.040	0.1462	25.99	0.000	0.000
49	73	74	1	0.000	0.000	1.206	1.040	0.1462	25.99	0.000	0.000
50	74	75	1	0.000	0.000	1.206	1.040	0.1462	25.99	0.000	0.000
51	75	76	1	0.000	0.000	1.206	1.040	0.1462	25.99	0.000	0.000
52	76	77	1	0.000	0.000	1.206	1.040	0.1462	25.99	0.000	0.000
53	77	78	1	0.000	0.000	1.206	1.040	0.1462	25.99	0.000	0.000
54	78	79	1	0.000	0.000	1.206	1.040	0.1462	25.99	0.000	0.000
55	79	80	1	0.000	0.000	1.206	1.040	0.1462	25.99	0.000	0.000
56	80	81	1	0.000	0.000	1.206	1.040	0.1462	25.99	0.000	0.000
57	81	82	1	0.000	0.000	1.206	1.040	0.1462	25.99	0.000	0.000
58	82	83	1	0.000	0.000	1.206	1.040	0.1462	25.99	0.000	0.000
59	83	84	1	0.000	0.000	1.206	1.040	0.1462	25.99	0.000	0.000
60	84	85	1	0.000	0.000	1.206	1.040	0.1462	25.99	0.000	0.000
61	85	86	1	0.000	0.000	1.206	1.040	0.1462	25.99	0.000	0.000
62	86	87	1	0.000	0.000	1.206	1.040	0.1462	25.99	0.000	0.000
63	87	88	1	0.000	0.000	1.206	1.040	0.1462	25.99	0.000	0.000
64	88	89	1	0.000	0.000	1.206	1.040	0.1462	25.99	0.000	0.000
65	89	90	1	0.000	0.000	1.206	1.040	0.1462	25.99	0.000	0.000
66	90	91	1	0.000	0.000	1.206	1.040	0.1462	25.99	0.000	0.000
67	91	92	1	0.000	0.000	1.206	1.040	0.1462	25.99	0.000	0.000
68	92	93	1	0.000	0.000	1.206	1.040	0.1462	25.99	0.000	0.000


```
+-----+
|          PARATIEPLUS(TM)  NLS ENGINE RELEASE 2022.0.0 FULL VERSION *Build date:Sep 13, 2021*          |
|                                                                                                                                            |
|                                                                                               ParatiePlus                               |
|                                                                                               Exe Time :28 January 2022  11:11:18          |
+-----+
```

```
NO. OF NODAL LOADS (NLOAD) ..... 0
NO. OF LOAD CURVES (NLCUR) ..... 8
MAXIMUM POINTS/LCURVE (NPTM)..... 5
```

```

+-----+
|          PARATIEPLUS(TM)  NLS ENGINE RELEASE  2022.0.0  FULL VERSION  *Build date:Sep 13, 2021*          |
|                                                                                                                                            |
|                                                                                               ParatiePlus                               |
|                                                                                               Exe Time :28 January 2022   11:11:18           |
+-----+

```

L O A D D A T A

LOAD FUNCTION NUMBER = 1
NUMBER OF TIME POINTS = 5

TIME VALUE	FUNCTION
0.00000	0.0000E+00
0.80000	0.0000E+00
1.00000	0.1000E+01
1.20000	0.0000E+00
5.00000	0.0000E+00

LOAD FUNCTION NUMBER = 2
NUMBER OF TIME POINTS = 5

TIME VALUE	FUNCTION
0.00000	0.0000E+00
1.80000	0.0000E+00
2.00000	0.1000E+01
2.20000	0.0000E+00
5.00000	0.0000E+00

LOAD FUNCTION NUMBER = 3
NUMBER OF TIME POINTS = 5

TIME VALUE	FUNCTION
0.00000	0.0000E+00
2.80000	0.0000E+00
3.00000	0.1000E+01
3.20000	0.0000E+00
5.00000	0.0000E+00

LOAD FUNCTION NUMBER = 4
NUMBER OF TIME POINTS = 5

TIME VALUE	FUNCTION
0.00000	0.0000E+00
3.80000	0.0000E+00
4.00000	0.1000E+01
4.20000	0.0000E+00
5.00000	0.0000E+00

LOAD FUNCTION NUMBER = 5
NUMBER OF TIME POINTS = 4

TIME VALUE	FUNCTION
0.00000	0.0000E+00
0.80000	0.0000E+00
1.00000	0.1000E+01
5.00000	0.1000E+01

LOAD FUNCTION NUMBER = 6
NUMBER OF TIME POINTS = 4

TIME VALUE	FUNCTION
0.00000	0.0000E+00
1.80000	0.0000E+00
2.00000	0.1000E+01
5.00000	0.1000E+01

LOAD FUNCTION NUMBER = 7
NUMBER OF TIME POINTS = 4

TIME VALUE	FUNCTION
0.00000	0.0000E+00
2.80000	0.0000E+00
3.00000	0.1000E+01
5.00000	0.1000E+01

LOAD FUNCTION NUMBER = 8
NUMBER OF TIME POINTS = 4

TIME VALUE	FUNCTION
0.00000	0.0000E+00
3.80000	0.0000E+00
4.00000	0.1000E+01
5.00000	0.1000E+01

NO. OF DISTRIBUTED LOAD CARDS 0

```

+-----+
|          PARATIEPLUS(TM)  NLS ENGINE RELEASE  2022.0.0  FULL VERSION  *Build date:Sep 13, 2021*          |
|                                                                                                                                            |
|                                                                                               ParatiePlus                               |
|                                                                                               Exe Time :28 January 2022   11:11:18           |
+-----+

```

```

L O A D      B A L A N C E

STEP  1  TOTAL APPLIED LOAD IN DIR.  2  Y-DISPL.F      0.0000000
STEP  1  TOTAL APPLIED LOAD IN DIR.  4  X-ROT. F      0.0000000

STEP  2  TOTAL APPLIED LOAD IN DIR.  2  Y-DISPL.F      0.0000000
STEP  2  TOTAL APPLIED LOAD IN DIR.  4  X-ROT. F      0.0000000

STEP  3  TOTAL APPLIED LOAD IN DIR.  2  Y-DISPL.F      0.0000000
STEP  3  TOTAL APPLIED LOAD IN DIR.  4  X-ROT. F      0.0000000

STEP  4  TOTAL APPLIED LOAD IN DIR.  2  Y-DISPL.F      0.0000000
STEP  4  TOTAL APPLIED LOAD IN DIR.  4  X-ROT. F      0.0000000

```

LOAD INPUT SECTION COMPLETED

```
+-----+
|          PARATIEPLUS(TM)  NLS ENGINE RELEASE  2022.0.0  FULL VERSION  *Build date:Sep 13, 2021*          |
|                                                                                                                                            |
|                                                                                               ParatiePlus                               |
|                                                                                               Exe Time :28 January 2022   11:11:18           |
+-----+
```

```
NO. OF LAYERS ..... 4
NO. OF DATA PER LAYER..... 160
```

```

+-----+
|                PARATIEPLUS(TM)  NLS ENGINE RELEASE  2022.0.0  FULL VERSION  *Build date:Sep 13, 2021*                |
|                                                                                                                                            |
|                                                                                               ParatiePlus                                                                                               |
|                                                                                               Exe Time :28 January 2022   11:11:18                                                                                               |
+-----+

```

LAYER DESCRIPTORS FOR STEP NO. 1

NON ZERO LAYER DESCRIPTORS FOR LAYER NO. 1 FOR STEP NO. 1

ITEM NO.	1	NAME	>= 12.000	(BOTH WALLS)	
ITEM NO.	2	NATURE	>= 1.0000	(BOTH WALLS)	
ITEM NO.	3	LEVEL	>= 0.0000	(BOTH WALLS)	
ITEM NO.	4	WALL	>= 1.0000	(BOTH WALLS)	
ITEM NO.	5	GAMMAD	>= 20.000	(BOTH WALLS)	
ITEM NO.	6	GAMMAB	>= 10.000	(BOTH WALLS)	
ITEM NO.	7	GAMMAW	>= 10.000	(BOTH WALLS)	
ITEM NO.	9	U-FRICT	>= 29.256	WALL NO.	1
ITEM NO.	9	U-FRICT	>= 35.000	WALL NO.	2
ITEM NO.	10	U-KA	>= 0.30000	WALL NO.	1
ITEM NO.	11	U-KP	>= 4.1020	WALL NO.	1
ITEM NO.	12	K0-NC	>= 0.42600	(BOTH WALLS)	
ITEM NO.	13	NEXP	>= 0.50000	(BOTH WALLS)	
ITEM NO.	14	OCR	>= 1.0000	(BOTH WALLS)	
ITEM NO.	16	MODEL	>= 1.0000	(BOTH WALLS)	
ITEM NO.	17	EVC	>= 50000.	(BOTH WALLS)	
ITEM NO.	18	EUR	>= 0.15000E+06	(BOTH WALLS)	
ITEM NO.	27	U-PERM	>= 0.10000E-04	(BOTH WALLS)	
ITEM NO.	61	U-TZALPH	>= 0.50000	(BOTH WALLS)	
ITEM NO.	82	D-NATURE	>= 1.0000	(BOTH WALLS)	
ITEM NO.	83	D-LEVEL	>= 0.0000	(BOTH WALLS)	
ITEM NO.	89	D-FRICT	>= 29.256	WALL NO.	1
ITEM NO.	89	D-FRICT	>= 35.000	WALL NO.	2
ITEM NO.	90	D-KA	>= 0.30000	WALL NO.	1
ITEM NO.	91	D-KP	>= 4.1020	WALL NO.	1
ITEM NO.	107	D-PERM	>= 0.10000E-04	(BOTH WALLS)	
ITEM NO.	141	D-TZALPH	>= 0.50000	(BOTH WALLS)	

NON ZERO LAYER DESCRIPTORS FOR LAYER NO. 2 FOR STEP NO. 1

ITEM NO.	1	NAME	>= 13.000	(BOTH WALLS)	
ITEM NO.	2	NATURE	>= 1.0000	(BOTH WALLS)	
ITEM NO.	3	LEVEL	>= -4.7000	(BOTH WALLS)	
ITEM NO.	4	WALL	>= 1.0000	(BOTH WALLS)	
ITEM NO.	5	GAMMAD	>= 19.500	(BOTH WALLS)	
ITEM NO.	6	GAMMAB	>= 9.5000	(BOTH WALLS)	
ITEM NO.	7	GAMMAW	>= 10.000	(BOTH WALLS)	
ITEM NO.	9	U-FRICT	>= 20.458	WALL NO.	1
ITEM NO.	9	U-FRICT	>= 25.000	WALL NO.	2
ITEM NO.	10	U-KA	>= 0.43200	WALL NO.	1
ITEM NO.	11	U-KP	>= 2.5350	WALL NO.	1
ITEM NO.	12	K0-NC	>= 0.56200	(BOTH WALLS)	
ITEM NO.	13	NEXP	>= 0.50000	(BOTH WALLS)	
ITEM NO.	14	OCR	>= 1.0000	(BOTH WALLS)	
ITEM NO.	16	MODEL	>= 1.0000	(BOTH WALLS)	
ITEM NO.	17	EVC	>= 35000.	(BOTH WALLS)	
ITEM NO.	18	EUR	>= 0.10500E+06	(BOTH WALLS)	
ITEM NO.	27	U-PERM	>= 0.10000E-04	(BOTH WALLS)	
ITEM NO.	61	U-TZALPH	>= 0.50000	(BOTH WALLS)	
ITEM NO.	82	D-NATURE	>= 1.0000	(BOTH WALLS)	
ITEM NO.	83	D-LEVEL	>= 0.0000	(BOTH WALLS)	
ITEM NO.	89	D-FRICT	>= 20.458	WALL NO.	1
ITEM NO.	89	D-FRICT	>= 25.000	WALL NO.	2
ITEM NO.	90	D-KA	>= 0.43200	WALL NO.	1
ITEM NO.	91	D-KP	>= 2.5350	WALL NO.	1
ITEM NO.	107	D-PERM	>= 0.10000E-04	(BOTH WALLS)	
ITEM NO.	141	D-TZALPH	>= 0.50000	(BOTH WALLS)	

NON ZERO LAYER DESCRIPTORS FOR LAYER NO. 3 FOR STEP NO. 1

ITEM NO.	1	NAME	>= 14.000	(BOTH WALLS)	
ITEM NO.	2	NATURE	>= 1.0000	(BOTH WALLS)	
ITEM NO.	3	LEVEL	>= -15.990	(BOTH WALLS)	
ITEM NO.	4	WALL	>= 1.0000	(BOTH WALLS)	
ITEM NO.	5	GAMMAD	>= 20.000	(BOTH WALLS)	
ITEM NO.	6	GAMMAB	>= 10.000	(BOTH WALLS)	
ITEM NO.	7	GAMMAW	>= 10.000	(BOTH WALLS)	
ITEM NO.	8	U-COHE	>= 8.0000	WALL NO.	1
ITEM NO.	8	U-COHE	>= 10.000	WALL NO.	2
ITEM NO.	9	U-FRICT	>= 21.315	WALL NO.	1
ITEM NO.	9	U-FRICT	>= 26.000	WALL NO.	2
ITEM NO.	10	U-KA	>= 0.41700	WALL NO.	1
ITEM NO.	11	U-KP	>= 2.6490	WALL NO.	1
ITEM NO.	12	K0-NC	>= 0.56200	(BOTH WALLS)	
ITEM NO.	13	NEXP	>= 0.50000	(BOTH WALLS)	
ITEM NO.	14	OCR	>= 1.0000	(BOTH WALLS)	
ITEM NO.	16	MODEL	>= 1.0000	(BOTH WALLS)	

ITEM NO. 17<EVC >= 0.20000E+06 (BOTH WALLS)
ITEM NO. 18<EUR >= 0.60000E+06 (BOTH WALLS)
ITEM NO. 27<U-PERM >= 0.10000E-04 (BOTH WALLS)
ITEM NO. 61<U-TZALPH>= 0.50000 (BOTH WALLS)
ITEM NO. 82<D-NATURE>= 1.0000 (BOTH WALLS)
ITEM NO. 83<D-LEVEL >= 0.0000 (BOTH WALLS)
ITEM NO. 88<D-COHE >= 8.0000 WALL NO. 1
ITEM NO. 88<D-COHE >= 10.0000 WALL NO. 2
ITEM NO. 89<D-FRICT >= 21.315 WALL NO. 1
ITEM NO. 89<D-FRICT >= 26.000 WALL NO. 2
ITEM NO. 90<D-KA >= 0.41700 WALL NO. 1
ITEM NO. 91<D-KP >= 2.6490 WALL NO. 1
ITEM NO. 107<D-PERM >= 0.10000E-04 (BOTH WALLS)
ITEM NO. 141<D-TZALPH>= 0.50000 (BOTH WALLS)

NON ZERO LAYER DESCRIPTORS FOR LAYER NO. 4 FOR STEP NO. 1

ITEM NO. 1<NAME >= 15.000 (BOTH WALLS)
ITEM NO. 2<NATURE >= 1.0000 (BOTH WALLS)
ITEM NO. 3<LEVEL >= -17.670 (BOTH WALLS)
ITEM NO. 4<WALL >= 1.0000 (BOTH WALLS)
ITEM NO. 5<GAMMAD >= 23.000 (BOTH WALLS)
ITEM NO. 6<GAMMAB >= 13.000 (BOTH WALLS)
ITEM NO. 7<GAMMAW >= 10.000 (BOTH WALLS)
ITEM NO. 8<U-COHE >= 44.000 WALL NO. 1
ITEM NO. 8<U-COHE >= 55.000 WALL NO. 2
ITEM NO. 9<U-FRICT >= 25.673 WALL NO. 1
ITEM NO. 9<U-FRICT >= 31.000 WALL NO. 2
ITEM NO. 10<U-KA >= 0.34900 WALL NO. 1
ITEM NO. 11<U-KP >= 3.3430 WALL NO. 1
ITEM NO. 12<K0-NC >= 0.56200 (BOTH WALLS)
ITEM NO. 13<NEXP >= 0.50000 (BOTH WALLS)
ITEM NO. 14<OCR >= 1.0000 (BOTH WALLS)
ITEM NO. 16<MODEL >= 1.0000 (BOTH WALLS)
ITEM NO. 17<EVC >= 0.13500E+06 (BOTH WALLS)
ITEM NO. 18<EUR >= 0.40500E+06 (BOTH WALLS)
ITEM NO. 27<U-PERM >= 0.10000E-04 (BOTH WALLS)
ITEM NO. 61<U-TZALPH>= 0.50000 (BOTH WALLS)
ITEM NO. 82<D-NATURE>= 1.0000 (BOTH WALLS)
ITEM NO. 83<D-LEVEL >= 0.0000 (BOTH WALLS)
ITEM NO. 88<D-COHE >= 44.000 WALL NO. 1
ITEM NO. 88<D-COHE >= 55.000 WALL NO. 2
ITEM NO. 89<D-FRICT >= 25.673 WALL NO. 1
ITEM NO. 89<D-FRICT >= 31.000 WALL NO. 2
ITEM NO. 90<D-KA >= 0.34900 WALL NO. 1
ITEM NO. 91<D-KP >= 3.3430 WALL NO. 1
ITEM NO. 107<D-PERM >= 0.10000E-04 (BOTH WALLS)
ITEM NO. 141<D-TZALPH>= 0.50000 (BOTH WALLS)

LAYER DESCRIPTORS FOR STEP NO. 2

NON ZERO LAYER DESCRIPTORS FOR LAYER NO. 1 FOR STEP NO. 2

ITEM NO. 1<NAME >= 12.000 (BOTH WALLS)
ITEM NO. 2<NATURE >= 1.0000 (BOTH WALLS)
ITEM NO. 3<LEVEL >= 0.0000 (BOTH WALLS)
ITEM NO. 4<WALL >= 1.0000 (BOTH WALLS)
ITEM NO. 5<GAMMAD >= 20.000 (BOTH WALLS)
ITEM NO. 6<GAMMAB >= 10.000 (BOTH WALLS)
ITEM NO. 7<GAMMAW >= 10.000 (BOTH WALLS)
ITEM NO. 9<U-FRICT >= 29.256 WALL NO. 1
ITEM NO. 9<U-FRICT >= 35.000 WALL NO. 2
ITEM NO. 10<U-KA >= 0.30000 WALL NO. 1
ITEM NO. 11<U-KP >= 4.1020 WALL NO. 1
ITEM NO. 12<K0-NC >= 0.42600 (BOTH WALLS)
ITEM NO. 13<NEXP >= 0.50000 (BOTH WALLS)
ITEM NO. 14<OCR >= 1.0000 (BOTH WALLS)
ITEM NO. 16<MODEL >= 1.0000 (BOTH WALLS)
ITEM NO. 17<EVC >= 50000. (BOTH WALLS)
ITEM NO. 18<EUR >= 0.15000E+06 (BOTH WALLS)
ITEM NO. 27<U-PERM >= 0.10000E-04 (BOTH WALLS)
ITEM NO. 61<U-TZALPH>= 0.50000 (BOTH WALLS)
ITEM NO. 82<D-NATURE>= 1.0000 (BOTH WALLS)
ITEM NO. 83<D-LEVEL >= 0.0000 (BOTH WALLS)
ITEM NO. 89<D-FRICT >= 29.256 WALL NO. 1
ITEM NO. 89<D-FRICT >= 35.000 WALL NO. 2
ITEM NO. 90<D-KA >= 0.30000 WALL NO. 1
ITEM NO. 91<D-KP >= 4.1020 WALL NO. 1
ITEM NO. 107<D-PERM >= 0.10000E-04 (BOTH WALLS)
ITEM NO. 141<D-TZALPH>= 0.50000 (BOTH WALLS)

NON ZERO LAYER DESCRIPTORS FOR LAYER NO. 2 FOR STEP NO. 2

ITEM NO. 1<NAME >= 13.000 (BOTH WALLS)
ITEM NO. 2<NATURE >= 1.0000 (BOTH WALLS)
ITEM NO. 3<LEVEL >= -4.7000 (BOTH WALLS)
ITEM NO. 4<WALL >= 1.0000 (BOTH WALLS)
ITEM NO. 5<GAMMAD >= 19.500 (BOTH WALLS)
ITEM NO. 6<GAMMAB >= 9.5000 (BOTH WALLS)
ITEM NO. 7<GAMMAW >= 10.000 (BOTH WALLS)
ITEM NO. 9<U-FRICT >= 20.458 WALL NO. 1

ITEM NO.	9	U-FRICT	= 25.000	WALL NO.	2
ITEM NO.	10	U-KA	= 0.43200	WALL NO.	1
ITEM NO.	11	U-KP	= 2.5350	WALL NO.	1
ITEM NO.	12	K0-NC	= 0.56200	(BOTH WALLS)	
ITEM NO.	13	NEXP	= 0.50000	(BOTH WALLS)	
ITEM NO.	14	OCR	= 1.0000	(BOTH WALLS)	
ITEM NO.	16	MODEL	= 1.0000	(BOTH WALLS)	
ITEM NO.	17	EVC	= 35000.	(BOTH WALLS)	
ITEM NO.	18	EUR	= 0.10500E+06	(BOTH WALLS)	
ITEM NO.	27	U-PERM	= 0.10000E-04	(BOTH WALLS)	
ITEM NO.	61	U-TZALPH	= 0.50000	(BOTH WALLS)	
ITEM NO.	82	D-NATURE	= 1.0000	(BOTH WALLS)	
ITEM NO.	83	D-LEVEL	= 0.0000	(BOTH WALLS)	
ITEM NO.	89	D-FRICT	= 20.458	WALL NO.	1
ITEM NO.	89	D-FRICT	= 25.000	WALL NO.	2
ITEM NO.	90	D-KA	= 0.43200	WALL NO.	1
ITEM NO.	91	D-KP	= 2.5350	WALL NO.	1
ITEM NO.	107	D-PERM	= 0.10000E-04	(BOTH WALLS)	
ITEM NO.	141	D-TZALPH	= 0.50000	(BOTH WALLS)	

NON ZERO LAYER DESCRIPTORS FOR LAYER NO. 3 FOR STEP NO. 2

ITEM NO.	1	NAME	= 14.000	(BOTH WALLS)	
ITEM NO.	2	NATURE	= 1.0000	(BOTH WALLS)	
ITEM NO.	3	LEVEL	= -15.990	(BOTH WALLS)	
ITEM NO.	4	WALL	= 1.0000	(BOTH WALLS)	
ITEM NO.	5	GAMMAD	= 20.000	(BOTH WALLS)	
ITEM NO.	6	GAMMAB	= 10.000	(BOTH WALLS)	
ITEM NO.	7	GAMMAW	= 10.000	(BOTH WALLS)	
ITEM NO.	8	U-COHE	= 8.0000	WALL NO.	1
ITEM NO.	8	U-COHE	= 10.000	WALL NO.	2
ITEM NO.	9	U-FRICT	= 21.315	WALL NO.	1
ITEM NO.	9	U-FRICT	= 26.000	WALL NO.	2
ITEM NO.	10	U-KA	= 0.41700	WALL NO.	1
ITEM NO.	11	U-KP	= 2.6490	WALL NO.	1
ITEM NO.	12	K0-NC	= 0.56200	(BOTH WALLS)	
ITEM NO.	13	NEXP	= 0.50000	(BOTH WALLS)	
ITEM NO.	14	OCR	= 1.0000	(BOTH WALLS)	
ITEM NO.	16	MODEL	= 1.0000	(BOTH WALLS)	
ITEM NO.	17	EVC	= 0.20000E+06	(BOTH WALLS)	
ITEM NO.	18	EUR	= 0.60000E+06	(BOTH WALLS)	
ITEM NO.	27	U-PERM	= 0.10000E-04	(BOTH WALLS)	
ITEM NO.	61	U-TZALPH	= 0.50000	(BOTH WALLS)	
ITEM NO.	82	D-NATURE	= 1.0000	(BOTH WALLS)	
ITEM NO.	83	D-LEVEL	= 0.0000	(BOTH WALLS)	
ITEM NO.	88	D-COHE	= 8.0000	WALL NO.	1
ITEM NO.	88	D-COHE	= 10.000	WALL NO.	2
ITEM NO.	89	D-FRICT	= 21.315	WALL NO.	1
ITEM NO.	89	D-FRICT	= 26.000	WALL NO.	2
ITEM NO.	90	D-KA	= 0.41700	WALL NO.	1
ITEM NO.	91	D-KP	= 2.6490	WALL NO.	1
ITEM NO.	107	D-PERM	= 0.10000E-04	(BOTH WALLS)	
ITEM NO.	141	D-TZALPH	= 0.50000	(BOTH WALLS)	

NON ZERO LAYER DESCRIPTORS FOR LAYER NO. 4 FOR STEP NO. 2

ITEM NO.	1	NAME	= 15.000	(BOTH WALLS)	
ITEM NO.	2	NATURE	= 1.0000	(BOTH WALLS)	
ITEM NO.	3	LEVEL	= -17.670	(BOTH WALLS)	
ITEM NO.	4	WALL	= 1.0000	(BOTH WALLS)	
ITEM NO.	5	GAMMAD	= 23.000	(BOTH WALLS)	
ITEM NO.	6	GAMMAB	= 13.000	(BOTH WALLS)	
ITEM NO.	7	GAMMAW	= 10.000	(BOTH WALLS)	
ITEM NO.	8	U-COHE	= 44.000	WALL NO.	1
ITEM NO.	8	U-COHE	= 55.000	WALL NO.	2
ITEM NO.	9	U-FRICT	= 25.673	WALL NO.	1
ITEM NO.	9	U-FRICT	= 31.000	WALL NO.	2
ITEM NO.	10	U-KA	= 0.34900	WALL NO.	1
ITEM NO.	11	U-KP	= 3.3430	WALL NO.	1
ITEM NO.	12	K0-NC	= 0.56200	(BOTH WALLS)	
ITEM NO.	13	NEXP	= 0.50000	(BOTH WALLS)	
ITEM NO.	14	OCR	= 1.0000	(BOTH WALLS)	
ITEM NO.	16	MODEL	= 1.0000	(BOTH WALLS)	
ITEM NO.	17	EVC	= 0.13500E+06	(BOTH WALLS)	
ITEM NO.	18	EUR	= 0.40500E+06	(BOTH WALLS)	
ITEM NO.	27	U-PERM	= 0.10000E-04	(BOTH WALLS)	
ITEM NO.	61	U-TZALPH	= 0.50000	(BOTH WALLS)	
ITEM NO.	82	D-NATURE	= 1.0000	(BOTH WALLS)	
ITEM NO.	83	D-LEVEL	= 0.0000	(BOTH WALLS)	
ITEM NO.	88	D-COHE	= 44.000	WALL NO.	1
ITEM NO.	88	D-COHE	= 55.000	WALL NO.	2
ITEM NO.	89	D-FRICT	= 25.673	WALL NO.	1
ITEM NO.	89	D-FRICT	= 31.000	WALL NO.	2
ITEM NO.	90	D-KA	= 0.34900	WALL NO.	1
ITEM NO.	91	D-KP	= 3.3430	WALL NO.	1
ITEM NO.	107	D-PERM	= 0.10000E-04	(BOTH WALLS)	
ITEM NO.	141	D-TZALPH	= 0.50000	(BOTH WALLS)	

LAYER DESCRIPTORS FOR STEP NO. 3

NON ZERO LAYER DESCRIPTORS FOR LAYER NO. 1 FOR STEP NO. 3

ITEM NO.	1	NAME	>= 12.000	(BOTH WALLS)	
ITEM NO.	2	NATURE	>= 1.0000	(BOTH WALLS)	
ITEM NO.	3	LEVEL	>= 0.0000	(BOTH WALLS)	
ITEM NO.	4	WALL	>= 1.0000	(BOTH WALLS)	
ITEM NO.	5	GAMMAD	>= 20.000	(BOTH WALLS)	
ITEM NO.	6	GAMMAB	>= 10.000	(BOTH WALLS)	
ITEM NO.	7	GAMMAW	>= 10.000	(BOTH WALLS)	
ITEM NO.	9	U-FRICT	>= 29.256	WALL NO.	1
ITEM NO.	9	U-FRICT	>= 35.000	WALL NO.	2
ITEM NO.	10	U-KA	>= 0.30000	WALL NO.	1
ITEM NO.	11	U-KP	>= 4.1020	WALL NO.	1
ITEM NO.	12	K0-NC	>= 0.42600	(BOTH WALLS)	
ITEM NO.	13	NEXP	>= 0.50000	(BOTH WALLS)	
ITEM NO.	14	OCR	>= 1.0000	(BOTH WALLS)	
ITEM NO.	16	MODEL	>= 1.0000	(BOTH WALLS)	
ITEM NO.	17	EVC	>= 50000.	(BOTH WALLS)	
ITEM NO.	18	EUR	>= 0.15000E+06	(BOTH WALLS)	
ITEM NO.	27	U-PERM	>= 0.10000E-04	(BOTH WALLS)	
ITEM NO.	61	U-TZALPH	>= 0.50000	(BOTH WALLS)	
ITEM NO.	82	D-NATURE	>= 1.0000	(BOTH WALLS)	
ITEM NO.	83	D-LEVEL	>= 0.0000	(BOTH WALLS)	
ITEM NO.	89	D-FRICT	>= 29.256	WALL NO.	1
ITEM NO.	89	D-FRICT	>= 35.000	WALL NO.	2
ITEM NO.	90	D-KA	>= 0.30000	WALL NO.	1
ITEM NO.	91	D-KP	>= 4.1020	WALL NO.	1
ITEM NO.	107	D-PERM	>= 0.10000E-04	(BOTH WALLS)	
ITEM NO.	141	D-TZALPH	>= 0.50000	(BOTH WALLS)	

NON ZERO LAYER DESCRIPTORS FOR LAYER NO. 2 FOR STEP NO. 3

ITEM NO.	1	NAME	>= 13.000	(BOTH WALLS)	
ITEM NO.	2	NATURE	>= 1.0000	(BOTH WALLS)	
ITEM NO.	3	LEVEL	>= -4.7000	(BOTH WALLS)	
ITEM NO.	4	WALL	>= 1.0000	(BOTH WALLS)	
ITEM NO.	5	GAMMAD	>= 19.500	(BOTH WALLS)	
ITEM NO.	6	GAMMAB	>= 9.5000	(BOTH WALLS)	
ITEM NO.	7	GAMMAW	>= 10.000	(BOTH WALLS)	
ITEM NO.	9	U-FRICT	>= 20.458	WALL NO.	1
ITEM NO.	9	U-FRICT	>= 25.000	WALL NO.	2
ITEM NO.	10	U-KA	>= 0.43200	WALL NO.	1
ITEM NO.	11	U-KP	>= 2.5350	WALL NO.	1
ITEM NO.	12	K0-NC	>= 0.56200	(BOTH WALLS)	
ITEM NO.	13	NEXP	>= 0.50000	(BOTH WALLS)	
ITEM NO.	14	OCR	>= 1.0000	(BOTH WALLS)	
ITEM NO.	16	MODEL	>= 1.0000	(BOTH WALLS)	
ITEM NO.	17	EVC	>= 35000.	(BOTH WALLS)	
ITEM NO.	18	EUR	>= 0.10500E+06	(BOTH WALLS)	
ITEM NO.	27	U-PERM	>= 0.10000E-04	(BOTH WALLS)	
ITEM NO.	61	U-TZALPH	>= 0.50000	(BOTH WALLS)	
ITEM NO.	82	D-NATURE	>= 1.0000	(BOTH WALLS)	
ITEM NO.	83	D-LEVEL	>= 0.0000	(BOTH WALLS)	
ITEM NO.	89	D-FRICT	>= 20.458	WALL NO.	1
ITEM NO.	89	D-FRICT	>= 25.000	WALL NO.	2
ITEM NO.	90	D-KA	>= 0.43200	WALL NO.	1
ITEM NO.	91	D-KP	>= 2.5350	WALL NO.	1
ITEM NO.	107	D-PERM	>= 0.10000E-04	(BOTH WALLS)	
ITEM NO.	141	D-TZALPH	>= 0.50000	(BOTH WALLS)	

NON ZERO LAYER DESCRIPTORS FOR LAYER NO. 3 FOR STEP NO. 3

ITEM NO.	1	NAME	>= 14.000	(BOTH WALLS)	
ITEM NO.	2	NATURE	>= 1.0000	(BOTH WALLS)	
ITEM NO.	3	LEVEL	>= -15.990	(BOTH WALLS)	
ITEM NO.	4	WALL	>= 1.0000	(BOTH WALLS)	
ITEM NO.	5	GAMMAD	>= 20.000	(BOTH WALLS)	
ITEM NO.	6	GAMMAB	>= 10.000	(BOTH WALLS)	
ITEM NO.	7	GAMMAW	>= 10.000	(BOTH WALLS)	
ITEM NO.	8	U-COHE	>= 8.0000	WALL NO.	1
ITEM NO.	8	U-COHE	>= 10.000	WALL NO.	2
ITEM NO.	9	U-FRICT	>= 21.315	WALL NO.	1
ITEM NO.	9	U-FRICT	>= 26.000	WALL NO.	2
ITEM NO.	10	U-KA	>= 0.41700	WALL NO.	1
ITEM NO.	11	U-KP	>= 2.6490	WALL NO.	1
ITEM NO.	12	K0-NC	>= 0.56200	(BOTH WALLS)	
ITEM NO.	13	NEXP	>= 0.50000	(BOTH WALLS)	
ITEM NO.	14	OCR	>= 1.0000	(BOTH WALLS)	
ITEM NO.	16	MODEL	>= 1.0000	(BOTH WALLS)	
ITEM NO.	17	EVC	>= 0.20000E+06	(BOTH WALLS)	
ITEM NO.	18	EUR	>= 0.60000E+06	(BOTH WALLS)	
ITEM NO.	27	U-PERM	>= 0.10000E-04	(BOTH WALLS)	
ITEM NO.	61	U-TZALPH	>= 0.50000	(BOTH WALLS)	
ITEM NO.	82	D-NATURE	>= 1.0000	(BOTH WALLS)	
ITEM NO.	83	D-LEVEL	>= 0.0000	(BOTH WALLS)	
ITEM NO.	88	D-COHE	>= 8.0000	WALL NO.	1
ITEM NO.	88	D-COHE	>= 10.000	WALL NO.	2
ITEM NO.	89	D-FRICT	>= 21.315	WALL NO.	1
ITEM NO.	89	D-FRICT	>= 26.000	WALL NO.	2
ITEM NO.	90	D-KA	>= 0.41700	WALL NO.	1
ITEM NO.	91	D-KP	>= 2.6490	WALL NO.	1
ITEM NO.	107	D-PERM	>= 0.10000E-04	(BOTH WALLS)	
ITEM NO.	141	D-TZALPH	>= 0.50000	(BOTH WALLS)	

NON ZERO LAYER DESCRIPTORS FOR LAYER NO. 4 FOR STEP NO. 3

ITEM NO.	1	NAME	>= 15.000	(BOTH WALLS)	
ITEM NO.	2	NATURE	>= 1.0000	(BOTH WALLS)	
ITEM NO.	3	LEVEL	>= -17.670	(BOTH WALLS)	
ITEM NO.	4	WALL	>= 1.0000	(BOTH WALLS)	
ITEM NO.	5	GAMMAD	>= 23.000	(BOTH WALLS)	
ITEM NO.	6	GAMMAB	>= 13.000	(BOTH WALLS)	
ITEM NO.	7	GAMMAW	>= 10.000	(BOTH WALLS)	
ITEM NO.	8	U-COHE	>= 44.000	WALL NO.	1
ITEM NO.	8	U-COHE	>= 55.000	WALL NO.	2
ITEM NO.	9	U-FRICT	>= 25.673	WALL NO.	1
ITEM NO.	9	U-FRICT	>= 31.000	WALL NO.	2
ITEM NO.	10	U-KA	>= 0.34900	WALL NO.	1
ITEM NO.	11	U-KP	>= 3.3430	WALL NO.	1
ITEM NO.	12	K0-NC	>= 0.56200	(BOTH WALLS)	
ITEM NO.	13	NEXP	>= 0.50000	(BOTH WALLS)	
ITEM NO.	14	OCR	>= 1.0000	(BOTH WALLS)	
ITEM NO.	16	MODEL	>= 1.0000	(BOTH WALLS)	
ITEM NO.	17	EVC	>= 0.13500E+06	(BOTH WALLS)	
ITEM NO.	18	EUR	>= 0.40500E+06	(BOTH WALLS)	
ITEM NO.	27	U-PERM	>= 0.10000E-04	(BOTH WALLS)	
ITEM NO.	61	U-TZALPH	>= 0.50000	(BOTH WALLS)	
ITEM NO.	82	D-NATURE	>= 1.0000	(BOTH WALLS)	
ITEM NO.	83	D-LEVEL	>= 0.0000	(BOTH WALLS)	
ITEM NO.	88	D-COHE	>= 44.000	WALL NO.	1
ITEM NO.	88	D-COHE	>= 55.000	WALL NO.	2
ITEM NO.	89	D-FRICT	>= 25.673	WALL NO.	1
ITEM NO.	89	D-FRICT	>= 31.000	WALL NO.	2
ITEM NO.	90	D-KA	>= 0.34900	WALL NO.	1
ITEM NO.	91	D-KP	>= 3.3430	WALL NO.	1
ITEM NO.	107	D-PERM	>= 0.10000E-04	(BOTH WALLS)	
ITEM NO.	141	D-TZALPH	>= 0.50000	(BOTH WALLS)	

LAYER DESCRIPTORS FOR STEP NO. 4

NON ZERO LAYER DESCRIPTORS FOR LAYER NO. 1 FOR STEP NO. 4

ITEM NO.	1	NAME	>= 12.000	(BOTH WALLS)	
ITEM NO.	2	NATURE	>= 1.0000	(BOTH WALLS)	
ITEM NO.	3	LEVEL	>= 0.0000	(BOTH WALLS)	
ITEM NO.	4	WALL	>= 1.0000	(BOTH WALLS)	
ITEM NO.	5	GAMMAD	>= 20.000	(BOTH WALLS)	
ITEM NO.	6	GAMMAB	>= 10.000	(BOTH WALLS)	
ITEM NO.	7	GAMMAW	>= 10.000	(BOTH WALLS)	
ITEM NO.	9	U-FRICT	>= 29.256	WALL NO.	1
ITEM NO.	9	U-FRICT	>= 35.000	WALL NO.	2
ITEM NO.	10	U-KA	>= 0.30000	WALL NO.	1
ITEM NO.	11	U-KP	>= 4.1020	WALL NO.	1
ITEM NO.	12	K0-NC	>= 0.42600	(BOTH WALLS)	
ITEM NO.	13	NEXP	>= 0.50000	(BOTH WALLS)	
ITEM NO.	14	OCR	>= 1.0000	(BOTH WALLS)	
ITEM NO.	16	MODEL	>= 1.0000	(BOTH WALLS)	
ITEM NO.	17	EVC	>= 50000.	(BOTH WALLS)	
ITEM NO.	18	EUR	>= 0.15000E+06	(BOTH WALLS)	
ITEM NO.	27	U-PERM	>= 0.10000E-04	(BOTH WALLS)	
ITEM NO.	61	U-TZALPH	>= 0.50000	(BOTH WALLS)	
ITEM NO.	82	D-NATURE	>= 1.0000	(BOTH WALLS)	
ITEM NO.	83	D-LEVEL	>= 0.0000	(BOTH WALLS)	
ITEM NO.	89	D-FRICT	>= 29.256	WALL NO.	1
ITEM NO.	89	D-FRICT	>= 35.000	WALL NO.	2
ITEM NO.	90	D-KA	>= 0.30000	WALL NO.	1
ITEM NO.	91	D-KP	>= 4.1020	WALL NO.	1
ITEM NO.	107	D-PERM	>= 0.10000E-04	(BOTH WALLS)	
ITEM NO.	141	D-TZALPH	>= 0.50000	(BOTH WALLS)	

NON ZERO LAYER DESCRIPTORS FOR LAYER NO. 2 FOR STEP NO. 4

ITEM NO.	1	NAME	>= 13.000	(BOTH WALLS)	
ITEM NO.	2	NATURE	>= 1.0000	(BOTH WALLS)	
ITEM NO.	3	LEVEL	>= -4.7000	(BOTH WALLS)	
ITEM NO.	4	WALL	>= 1.0000	(BOTH WALLS)	
ITEM NO.	5	GAMMAD	>= 19.500	(BOTH WALLS)	
ITEM NO.	6	GAMMAB	>= 9.5000	(BOTH WALLS)	
ITEM NO.	7	GAMMAW	>= 10.000	(BOTH WALLS)	
ITEM NO.	9	U-FRICT	>= 20.458	WALL NO.	1
ITEM NO.	9	U-FRICT	>= 25.000	WALL NO.	2
ITEM NO.	10	U-KA	>= 0.43200	WALL NO.	1
ITEM NO.	11	U-KP	>= 2.5350	WALL NO.	1
ITEM NO.	12	K0-NC	>= 0.56200	(BOTH WALLS)	
ITEM NO.	13	NEXP	>= 0.50000	(BOTH WALLS)	
ITEM NO.	14	OCR	>= 1.0000	(BOTH WALLS)	
ITEM NO.	16	MODEL	>= 1.0000	(BOTH WALLS)	
ITEM NO.	17	EVC	>= 35000.	(BOTH WALLS)	
ITEM NO.	18	EUR	>= 0.10500E+06	(BOTH WALLS)	
ITEM NO.	27	U-PERM	>= 0.10000E-04	(BOTH WALLS)	
ITEM NO.	61	U-TZALPH	>= 0.50000	(BOTH WALLS)	
ITEM NO.	82	D-NATURE	>= 1.0000	(BOTH WALLS)	
ITEM NO.	83	D-LEVEL	>= 0.0000	(BOTH WALLS)	
ITEM NO.	89	D-FRICT	>= 20.458	WALL NO.	1

ITEM NO.	89	D-FRICT	>= 25.000	WALL NO.	2
ITEM NO.	90	D-KA	>= 0.43200	WALL NO.	1
ITEM NO.	91	D-KP	>= 2.5350	WALL NO.	1
ITEM NO.	107	D-PERM	>= 0.10000E-04	(BOTH WALLS)	
ITEM NO.	141	D-TZALPH	>= 0.50000	(BOTH WALLS)	

NON ZERO LAYER DESCRIPTORS FOR LAYER NO. 3 FOR STEP NO. 4

ITEM NO.	1	NAME	>= 14.000	(BOTH WALLS)	
ITEM NO.	2	NATURE	>= 1.0000	(BOTH WALLS)	
ITEM NO.	3	LEVEL	>= -15.990	(BOTH WALLS)	
ITEM NO.	4	WALL	>= 1.0000	(BOTH WALLS)	
ITEM NO.	5	GAMMAD	>= 20.000	(BOTH WALLS)	
ITEM NO.	6	GAMMAB	>= 10.000	(BOTH WALLS)	
ITEM NO.	7	GAMMAW	>= 10.000	(BOTH WALLS)	
ITEM NO.	8	U-COHE	>= 8.0000	WALL NO.	1
ITEM NO.	8	U-COHE	>= 10.000	WALL NO.	2
ITEM NO.	9	U-FRICT	>= 21.315	WALL NO.	1
ITEM NO.	9	U-FRICT	>= 26.000	WALL NO.	2
ITEM NO.	10	U-KA	>= 0.41700	WALL NO.	1
ITEM NO.	11	U-KP	>= 2.6490	WALL NO.	1
ITEM NO.	12	K0-NC	>= 0.56200	(BOTH WALLS)	
ITEM NO.	13	NEXP	>= 0.50000	(BOTH WALLS)	
ITEM NO.	14	OCR	>= 1.0000	(BOTH WALLS)	
ITEM NO.	16	MODEL	>= 1.0000	(BOTH WALLS)	
ITEM NO.	17	EVC	>= 0.20000E+06	(BOTH WALLS)	
ITEM NO.	18	EUR	>= 0.60000E+06	(BOTH WALLS)	
ITEM NO.	27	U-PERM	>= 0.10000E-04	(BOTH WALLS)	
ITEM NO.	61	U-TZALPH	>= 0.50000	(BOTH WALLS)	
ITEM NO.	82	D-NATURE	>= 1.0000	(BOTH WALLS)	
ITEM NO.	83	D-LEVEL	>= 0.0000	(BOTH WALLS)	
ITEM NO.	88	D-COHE	>= 8.0000	WALL NO.	1
ITEM NO.	88	D-COHE	>= 10.000	WALL NO.	2
ITEM NO.	89	D-FRICT	>= 21.315	WALL NO.	1
ITEM NO.	89	D-FRICT	>= 26.000	WALL NO.	2
ITEM NO.	90	D-KA	>= 0.41700	WALL NO.	1
ITEM NO.	91	D-KP	>= 2.6490	WALL NO.	1
ITEM NO.	107	D-PERM	>= 0.10000E-04	(BOTH WALLS)	
ITEM NO.	141	D-TZALPH	>= 0.50000	(BOTH WALLS)	

NON ZERO LAYER DESCRIPTORS FOR LAYER NO. 4 FOR STEP NO. 4

ITEM NO.	1	NAME	>= 15.000	(BOTH WALLS)	
ITEM NO.	2	NATURE	>= 1.0000	(BOTH WALLS)	
ITEM NO.	3	LEVEL	>= -17.670	(BOTH WALLS)	
ITEM NO.	4	WALL	>= 1.0000	(BOTH WALLS)	
ITEM NO.	5	GAMMAD	>= 23.000	(BOTH WALLS)	
ITEM NO.	6	GAMMAB	>= 13.000	(BOTH WALLS)	
ITEM NO.	7	GAMMAW	>= 10.000	(BOTH WALLS)	
ITEM NO.	8	U-COHE	>= 44.000	WALL NO.	1
ITEM NO.	8	U-COHE	>= 55.000	WALL NO.	2
ITEM NO.	9	U-FRICT	>= 25.673	WALL NO.	1
ITEM NO.	9	U-FRICT	>= 31.000	WALL NO.	2
ITEM NO.	10	U-KA	>= 0.34900	WALL NO.	1
ITEM NO.	11	U-KP	>= 3.3430	WALL NO.	1
ITEM NO.	12	K0-NC	>= 0.56200	(BOTH WALLS)	
ITEM NO.	13	NEXP	>= 0.50000	(BOTH WALLS)	
ITEM NO.	14	OCR	>= 1.0000	(BOTH WALLS)	
ITEM NO.	16	MODEL	>= 1.0000	(BOTH WALLS)	
ITEM NO.	17	EVC	>= 0.13500E+06	(BOTH WALLS)	
ITEM NO.	18	EUR	>= 0.40500E+06	(BOTH WALLS)	
ITEM NO.	27	U-PERM	>= 0.10000E-04	(BOTH WALLS)	
ITEM NO.	61	U-TZALPH	>= 0.50000	(BOTH WALLS)	
ITEM NO.	82	D-NATURE	>= 1.0000	(BOTH WALLS)	
ITEM NO.	83	D-LEVEL	>= 0.0000	(BOTH WALLS)	
ITEM NO.	88	D-COHE	>= 44.000	WALL NO.	1
ITEM NO.	88	D-COHE	>= 55.000	WALL NO.	2
ITEM NO.	89	D-FRICT	>= 25.673	WALL NO.	1
ITEM NO.	89	D-FRICT	>= 31.000	WALL NO.	2
ITEM NO.	90	D-KA	>= 0.34900	WALL NO.	1
ITEM NO.	91	D-KP	>= 3.3430	WALL NO.	1
ITEM NO.	107	D-PERM	>= 0.10000E-04	(BOTH WALLS)	
ITEM NO.	141	D-TZALPH	>= 0.50000	(BOTH WALLS)	

DEFAULT WATER UNIT WEIGHT = 10.000
 AVERAGED ON 16 VALUES

```

+-----+
|          PARATIEPLUS(TM)  NLS ENGINE RELEASE  2022.0.0  FULL VERSION  *Build date:Sep 13, 2021*  |
|                                                                                               |
|                                                                                               |
|                               ParatiePlus                                                    |
|                               Exe Time :28 January 2022  11:11:18                            |
+-----+

```

PHASE DESCRIPTORS

```

STEP NO.      1 no. of subincrements      1
                LEFT WALL      RIGHT WALL
Y              0.000            -0.9990E+30
Z-PC           -4.700            0.000
Z-EXCAVATION   -4.700            0.000
Z-WATER_TABLE  -9.500            -0.9990E+30
Q_AT_THE_FREE_FIELD_LEVEL  0.000            0.000
ZQ             0.000            0.000
DZW_OF_THE_WATER_TABLE  0.000            0.000
QS_ON_THE_EXCAVATION_SIDE  0.000            0.000
ZQS           0.000            -0.9990E+30
ZCUT           0.000            0.000
BALANCE LEVEL FOR PORE PRESSURES  -18.20           -18.20
WATER_BEHAVIOUR_FLAG (LINING OPT)  0.000            0.000
PORE_UPDATE_FLAG  0.000            0.000
PORE_TAB._FLAG (gt.0= use tabs)  0.000            0.000
lateral thrusts reduction elevatio  0.000            0.000
Downhill reduction factor for effe  0.000            0.000
Downhill reduction factor for pore  0.000            0.000
Uphill reduction factor for effect  0.000            0.000
Uphill reduction factor for pore p  0.000            0.000
SEISMIC HORIZONTAL ACCEL. Kh [g]  0.000            0.000
UPHILL VERTICAL ACCEL. Kv_uh [g]  0.000            0.000
DOWNHILL VERTICAL ACCEL.Kv_dh [g]  0.000            0.000
UPHILL BETA ANGLE (SLOPE) [deg]  0.000            0.000
UPHILL DELTA/PHI RATIO  0.000            0.000
DOWNHILL BETA ANGLE (SLOPE) [deg]  0.000            0.000
DOWNHILL DELTA/PHI RATIO  0.000            0.000
DYN.WATER BEHAVIOUR  0.000            0.000
Excess pore pressure RATIO Ru  0.000            0.000
SEISMIC PRESSURE LOWER VALUE  0.000            0.000
SEISMIC PRESSURE UPPER VALUE  0.000            0.000
SEISMIC PRESSURE LOWER LEVEL  0.000            0.000
SEISMIC PRESSURE UPPER LEVEL  0.000            0.000

```

=====
=====end of step 1

```

STEP NO.      2 no. of subincrements      1
                LEFT WALL      RIGHT WALL
Y              0.000            -0.9990E+30
Z-PC           -4.700            0.000
Z-EXCAVATION   -4.700            0.000
Z-WATER_TABLE  -9.500            -0.9990E+30
Q_AT_THE_FREE_FIELD_LEVEL  0.000            0.000
ZQ             0.000            0.000
DZW_OF_THE_WATER_TABLE  0.000            0.000
QS_ON_THE_EXCAVATION_SIDE  0.000            0.000
ZQS           0.000            -0.9990E+30
ZCUT           0.000            0.000
BALANCE LEVEL FOR PORE PRESSURES  -18.20           -18.20
WATER_BEHAVIOUR_FLAG (LINING OPT)  0.000            0.000
PORE_UPDATE_FLAG  0.000            0.000
PORE_TAB._FLAG (gt.0= use tabs)  0.000            0.000
lateral thrusts reduction elevatio  0.000            0.000
Downhill reduction factor for effe  0.000            0.000
Downhill reduction factor for pore  0.000            0.000
Uphill reduction factor for effect  0.000            0.000
Uphill reduction factor for pore p  0.000            0.000
SEISMIC HORIZONTAL ACCEL. Kh [g]  0.000            0.000
UPHILL VERTICAL ACCEL. Kv_uh [g]  0.000            0.000
DOWNHILL VERTICAL ACCEL.Kv_dh [g]  0.000            0.000
UPHILL BETA ANGLE (SLOPE) [deg]  0.000            0.000
UPHILL DELTA/PHI RATIO  0.000            0.000
DOWNHILL BETA ANGLE (SLOPE) [deg]  0.000            0.000
DOWNHILL DELTA/PHI RATIO  0.000            0.000
DYN.WATER BEHAVIOUR  0.000            0.000
Excess pore pressure RATIO Ru  0.000            0.000
SEISMIC PRESSURE LOWER VALUE  0.000            0.000
SEISMIC PRESSURE UPPER VALUE  0.000            0.000
SEISMIC PRESSURE LOWER LEVEL  0.000            0.000
SEISMIC PRESSURE UPPER LEVEL  0.000            0.000

```

=====
=====end of step 2

```

STEP NO.      3 no. of subincrements      1
                LEFT WALL      RIGHT WALL
Y              0.000            -0.9990E+30

```

Z-PC	0.000	0.000
Z-EXCAVATION	-4.700	0.000
Z-WATER_TABLE	-9.500	-0.9990E+30
Q_AT_THE_FREE_FIELD_LEVEL	57.00	0.000
ZQ	0.000	0.000
DZW_OF_THE_WATER_TABLE	0.000	0.000
QS_ON_THE_EXCAVATION_SIDE	0.000	0.000
ZQS	-4.700	-0.9990E+30
ZCUT	0.000	0.000
BALANCE LEVEL FOR PORE PRESSURES	-18.20	-18.20
WATER_BEHAVIOUR_FLAG (LINING OPT)	0.000	0.000
PORE_UPDATE_FLAG	0.000	0.000
PORE_TAB._FLAG (gt.0= use tabs)	0.000	0.000
lateral thrusts reduction elevatio	0.000	0.000
Downhill reduction factor for effe	0.000	0.000
Downhill reduction factor for pore	0.000	0.000
Uphill reduction factor for effect	0.000	0.000
Uphill reduction factor for pore p	0.000	0.000
SEISMIC HORIZONTAL ACCEL. Kh [g]	0.000	0.000
UPHILL VERTICAL ACCEL. Kv_uh [g]	0.000	0.000
DOWNHILL VERTICAL ACCEL.Kv_dh [g]	0.000	0.000
UPHILL BETA ANGLE (SLOPE) [deg]	0.000	0.000
UPHILL DELTA/PHI RATIO	0.000	0.000
DOWNHILL BETA ANGLE (SLOPE) [deg]	0.000	0.000
DOWNHILL DELTA/PHI RATIO	0.000	0.000
DYN.WATER BEHAVIOUR	0.000	0.000
Excess pore pressure RATIO Ru	0.000	0.000
SEISMIC PRESSURE LOWER VALUE	0.000	0.000
SEISMIC PRESSURE UPPER VALUE	0.000	0.000
SEISMIC PRESSURE LOWER LEVEL	0.000	0.000
SEISMIC PRESSURE UPPER LEVEL	0.000	0.000

=====
=====end of step 3

STEP NO.	4 no. of subincrements	1	
		LEFT WALL	RIGHT WALL
Y		0.000	-0.9990E+30
Z-PC		0.000	0.000
Z-EXCAVATION		-4.700	0.000
Z-WATER_TABLE		-9.500	-0.9990E+30
Q_AT_THE_FREE_FIELD_LEVEL		57.00	0.000
ZQ		0.000	0.000
DZW_OF_THE_WATER_TABLE		0.000	0.000
QS_ON_THE_EXCAVATION_SIDE		0.000	0.000
ZQS		0.000	-0.9990E+30
ZCUT		0.000	0.000
BALANCE LEVEL FOR PORE PRESSURES		-18.20	-18.20
WATER_BEHAVIOUR_FLAG (LINING OPT)		0.000	0.000
PORE_UPDATE_FLAG		0.000	0.000
PORE_TAB._FLAG (gt.0= use tabs)		0.000	0.000
lateral thrusts reduction elevatio		0.000	0.000
Downhill reduction factor for effe		0.000	0.000
Downhill reduction factor for pore		0.000	0.000
Uphill reduction factor for effect		0.000	0.000
Uphill reduction factor for pore p		0.000	0.000
SEISMIC HORIZONTAL ACCEL. Kh [g]		0.000	0.000
UPHILL VERTICAL ACCEL. Kv_uh [g]		0.000	0.000
DOWNHILL VERTICAL ACCEL.Kv_dh [g]		0.000	0.000
UPHILL BETA ANGLE (SLOPE) [deg]		0.000	0.000
UPHILL DELTA/PHI RATIO		0.000	0.000
DOWNHILL BETA ANGLE (SLOPE) [deg]		0.000	0.000
DOWNHILL DELTA/PHI RATIO		0.000	0.000
DYN.WATER BEHAVIOUR		0.000	0.000
Excess pore pressure RATIO Ru		0.000	0.000
SEISMIC PRESSURE LOWER VALUE		0.000	0.000
SEISMIC PRESSURE UPPER VALUE		0.000	0.000
SEISMIC PRESSURE LOWER LEVEL		0.000	0.000
SEISMIC PRESSURE UPPER LEVEL		0.000	0.000

=====
=====end of step 4

LEFT-HAND WALL

LOWER LEVEL	-18.20000
UPPER LEVEL	0.00000

RIGHT-HAND WALL

LOWER LEVEL	-18.20000
UPPER LEVEL	0.00000

BETA 45.00000000000000
BEHAVIOUR (0=FREE, 1=REFLECTING) 0.0000000000000000E+000

INPUT DATA FOR INITIAL STRESS SET NO. 6
PERTAINING SOIL ELEMENTS AT Y-COORD 0.0000

ACTIVATION TIME 3.0000
END TIME (TIME BEYOND WHICH IT IS REMOVED) 4.0000

TYPE BOUSSINESQ

HORIZONTAL DISTANCE (DY) 8.591200000000000
FOUNDATION WIDTH (B) 0.3782400000000000
ZETA-F..... 0.0000000000000000E+000
Q-F 61.176000000000000
BETA 45.000000000000000
BEHAVIOUR (0=FREE, 1=REFLECTING) 0.0000000000000000E+000

INPUT DATA FOR INITIAL STRESS SET NO. 7
PERTAINING SOIL ELEMENTS AT Y-COORD 0.0000

ACTIVATION TIME 3.0000
END TIME (TIME BEYOND WHICH IT IS REMOVED) 4.0000

TYPE BOUSSINESQ

HORIZONTAL DISTANCE (DY) 8.969400000000000
FOUNDATION WIDTH (B) 0.3782400000000000
ZETA-F..... 0.0000000000000000E+000
Q-F 58.118000000000000
BETA 45.000000000000000
BEHAVIOUR (0=FREE, 1=REFLECTING) 0.0000000000000000E+000

INPUT DATA FOR INITIAL STRESS SET NO. 8
PERTAINING SOIL ELEMENTS AT Y-COORD 0.0000

ACTIVATION TIME 3.0000
END TIME (TIME BEYOND WHICH IT IS REMOVED) 4.0000

TYPE BOUSSINESQ

HORIZONTAL DISTANCE (DY) 9.347600000000000
FOUNDATION WIDTH (B) 0.3782400000000000
ZETA-F..... 0.0000000000000000E+000
Q-F 55.059000000000000
BETA 45.000000000000000
BEHAVIOUR (0=FREE, 1=REFLECTING) 0.0000000000000000E+000

INPUT DATA FOR INITIAL STRESS SET NO. 9
PERTAINING SOIL ELEMENTS AT Y-COORD 0.0000

ACTIVATION TIME 3.0000
END TIME (TIME BEYOND WHICH IT IS REMOVED) 4.0000

TYPE BOUSSINESQ

HORIZONTAL DISTANCE (DY) 9.725900000000000
FOUNDATION WIDTH (B) 0.3782400000000000
ZETA-F..... 0.0000000000000000E+000
Q-F 52.000000000000000
BETA 45.000000000000000
BEHAVIOUR (0=FREE, 1=REFLECTING) 0.0000000000000000E+000

INPUT DATA FOR INITIAL STRESS SET NO. 10
PERTAINING SOIL ELEMENTS AT Y-COORD 0.0000

ACTIVATION TIME 3.0000
END TIME (TIME BEYOND WHICH IT IS REMOVED) 4.0000

TYPE BOUSSINESQ

HORIZONTAL DISTANCE (DY) 10.104000000000000
FOUNDATION WIDTH (B) 0.3782400000000000
ZETA-F..... 0.0000000000000000E+000
Q-F 48.941000000000000
BETA 45.000000000000000
BEHAVIOUR (0=FREE, 1=REFLECTING) 0.0000000000000000E+000

INPUT DATA FOR INITIAL STRESS SET NO. 11
PERTAINING SOIL ELEMENTS AT Y-COORD 0.0000

ACTIVATION TIME 3.0000
END TIME (TIME BEYOND WHICH IT IS REMOVED) 4.0000

TYPE BOUSSINESQ

HORIZONTAL DISTANCE (DY) 10.4820000000000
FOUNDATION WIDTH (B) 0.378240000000000
ZETA-F..... 0.000000000000000E+000
Q-F 45.8820000000000
BETA 45.0000000000000
BEHAVIOUR (0=FREE, 1=REFLECTING) 0.000000000000000E+000

INPUT DATA FOR INITIAL STRESS SET NO. 12
PERTAINING SOIL ELEMENTS AT Y-COORD 0.0000

ACTIVATION TIME 3.0000
END TIME (TIME BEYOND WHICH IT IS REMOVED) 4.0000

TYPE BOUSSINESQ

HORIZONTAL DISTANCE (DY) 10.8610000000000
FOUNDATION WIDTH (B) 0.378240000000000
ZETA-F..... 0.000000000000000E+000
Q-F 42.8240000000000
BETA 45.0000000000000
BEHAVIOUR (0=FREE, 1=REFLECTING) 0.000000000000000E+000

INPUT DATA FOR INITIAL STRESS SET NO. 13
PERTAINING SOIL ELEMENTS AT Y-COORD 0.0000

ACTIVATION TIME 3.0000
END TIME (TIME BEYOND WHICH IT IS REMOVED) 4.0000

TYPE BOUSSINESQ

HORIZONTAL DISTANCE (DY) 11.2390000000000
FOUNDATION WIDTH (B) 0.378240000000000
ZETA-F..... 0.000000000000000E+000
Q-F 39.7650000000000
BETA 45.0000000000000
BEHAVIOUR (0=FREE, 1=REFLECTING) 0.000000000000000E+000

INPUT DATA FOR INITIAL STRESS SET NO. 14
PERTAINING SOIL ELEMENTS AT Y-COORD 0.0000

ACTIVATION TIME 3.0000
END TIME (TIME BEYOND WHICH IT IS REMOVED) 4.0000

TYPE BOUSSINESQ

HORIZONTAL DISTANCE (DY) 11.6170000000000
FOUNDATION WIDTH (B) 0.378240000000000
ZETA-F..... 0.000000000000000E+000
Q-F 36.7060000000000
BETA 45.0000000000000
BEHAVIOUR (0=FREE, 1=REFLECTING) 0.000000000000000E+000

INPUT DATA FOR INITIAL STRESS SET NO. 15
PERTAINING SOIL ELEMENTS AT Y-COORD 0.0000

ACTIVATION TIME 3.0000
END TIME (TIME BEYOND WHICH IT IS REMOVED) 4.0000

TYPE BOUSSINESQ

HORIZONTAL DISTANCE (DY) 11.9950000000000
FOUNDATION WIDTH (B) 0.378240000000000
ZETA-F..... 0.000000000000000E+000
Q-F 33.6470000000000
BETA 45.0000000000000
BEHAVIOUR (0=FREE, 1=REFLECTING) 0.000000000000000E+000

INPUT DATA FOR INITIAL STRESS SET NO. 16
PERTAINING SOIL ELEMENTS AT Y-COORD 0.0000

ACTIVATION TIME 3.0000
END TIME (TIME BEYOND WHICH IT IS REMOVED) 4.0000

TYPE BOUSSINESQ

HORIZONTAL DISTANCE (DY) 12.3740000000000
FOUNDATION WIDTH (B) 0.378240000000000
ZETA-F..... 0.000000000000000E+000
Q-F 30.5880000000000
BETA 45.0000000000000
BEHAVIOUR (0=FREE, 1=REFLECTING) 0.000000000000000E+000

INPUT DATA FOR INITIAL STRESS SET NO. 17
PERTAINING SOIL ELEMENTS AT Y-COORD 0.0000

ACTIVATION TIME 3.0000

END TIME (TIME BEYOND WHICH IT IS REMOVED) 4.0000

TYPE BOUSSINESQ

HORIZONTAL DISTANCE (DY) 12.7520000000000
FOUNDATION WIDTH (B) 0.378240000000000
ZETA-F..... 0.000000000000000E+000
Q-F 27.529000000000000
BETA 45.000000000000000
BEHAVIOUR (0=FREE, 1=REFLECTING) 0.000000000000000E+000

ELEMENT GROUPS BACKUP AREA CAN STAY IN CORE AT
POSITION 7228

NO. OF D.P.W FOR THIS AREA 14242
MAX NO. OF D.P.W. AVAILABLE 81920
** MAX NO OF ITERATIONS SET TO 40

ITER 0 RNORM = 0.000 RMNORM= 0.000
RINORM=0.5558E+05 RIMNOR= 0.000
RENORM= 0.000 REMNOR= 0.000 RATIO = 0.000 TOLER =0.1000E-03 CONVERGED !
RFMAX = 36.48 RMMAX = 0.000
RTSMAL=0.1000E-03 RMSMAL= 0.000
RDT =0.5558E+05 RDR = 0.000
RATIOT= 0.000 RATIO= 0.000
MAX UN= 0.000 IEQ= 186 NODE 93 DOF 2 X-ROT. F
MIN UN= 0.000 IEQ= 1 NODE 1 DOF 1 Y-DISPL.F
NO. OF CONTACT CONSTRAINT VIOLATIONS 0

ITER 1 RNORM = 0.000 RMNORM= 0.000
RINORM=0.5558E+05 RIMNOR= 0.000
RENORM= 0.000 REMNOR= 0.000 RATIO = 0.000 TOLER =0.1000E-03 CONVERGED !
RFMAX = 36.48 RMMAX = 0.000
RTSMAL=0.1000E-03 RMSMAL= 0.000
RDT =0.5558E+05 RDR = 0.000
RATIOT= 0.000 RATIO= 0.000
MAX UN= 0.000 IEQ= 186 NODE 93 DOF 2 X-ROT. F
MIN UN= 0.000 IEQ= 1 NODE 1 DOF 1 Y-DISPL.F
NO. OF CONTACT CONSTRAINT VIOLATIONS 0

ITER 2 RNORM = 0.000 RMNORM= 0.000
RINORM=0.5558E+05 RIMNOR= 0.000
RENORM= 0.000 REMNOR= 0.000 RATIO = 0.000 TOLER =0.1000E-03 CONVERGED !
RFMAX = 36.48 RMMAX = 0.000
RTSMAL=0.1000E-03 RMSMAL= 0.000
RDT =0.5558E+05 RDR = 0.000
RATIOT= 0.000 RATIO= 0.000
MAX UN= 0.000 IEQ= 186 NODE 93 DOF 2 X-ROT. F
MIN UN= 0.000 IEQ= 1 NODE 1 DOF 1 Y-DISPL.F
NO. OF CONTACT CONSTRAINT VIOLATIONS 0

```
+-----+
|          PARATIEPLUS(TM)  NLS ENGINE RELEASE  2022.0.0  FULL VERSION  *Build date:Sep 13, 2021*  |
|                                                                                               |
|                                                                                               |
|                               ParatiePlus                                                    |
|                               Exe Time :28 January 2022  11:11:18                            |
+-----+
```

New Project
SOLUTION REACHED USING 2 ITERATIONS ON 40

P R I N T O U T F O R T I M E S T E P 1 (AT TIME 1.000) SUBINCREMENT 00001/00001

PRINT OUT OF ACTIVE COMPONENTS (FIXED NODES ARE NOT PRINTED OUT)

Y-DISPL.F	X-ROT. F
02	04

ALL NODAL POINTS HAVE ZERO DISPLACEMENT COMPONENTS

1.000	1.000	10.96	0.000	0.000	0.000	0.000	Ala_161_6590_L_0	0.0000	
0.0000	0.0000	0.0000	0.0000	0.0000	0.0000	0.0000			
31 D	2.630	0.000	23.40	13.15	23.40	13.15	V-C 2.0027E+04	-5.900	0.000
1.000	1.000	13.15	0.000	0.000	0.000	0.000	Ala_161_6590_L_0	0.0000	
0.0000	0.0000	0.0000	0.0000	0.0000	0.0000	0.0000			
32 D	3.069	0.000	27.30	15.34	27.30	15.34	V-C 2.0027E+04	-6.100	0.000
1.000	1.000	15.34	0.000	0.000	0.000	0.000	Ala_161_6590_L_0	0.0000	
0.0000	0.0000	0.0000	0.0000	0.0000	0.0000	0.0000			
33 D	3.507	0.000	31.20	17.53	31.20	17.53	V-C 2.0027E+04	-6.300	0.000
1.000	1.000	17.53	0.000	0.000	0.000	0.000	Ala_161_6590_L_0	0.0000	
0.0000	0.0000	0.0000	0.0000	0.0000	0.0000	0.0000			
34 D	3.945	0.000	35.10	19.73	35.10	19.73	V-C 2.0027E+04	-6.500	0.000
1.000	1.000	19.73	0.000	0.000	0.000	0.000	Ala_161_6590_L_0	0.0000	
0.0000	0.0000	0.0000	0.0000	0.0000	0.0000	0.0000			
35 D	4.384	0.000	39.00	21.92	39.00	21.92	V-C 2.0027E+04	-6.700	0.000
1.000	1.000	21.92	0.000	0.000	0.000	0.000	Ala_161_6590_L_0	0.0000	
0.0000	0.0000	0.0000	0.0000	0.0000	0.0000	0.0000			
36 D	4.822	0.000	42.90	24.11	42.90	24.11	V-C 2.0027E+04	-6.900	0.000
1.000	1.000	24.11	0.000	0.000	0.000	0.000	Ala_161_6590_L_0	0.0000	
0.0000	0.0000	0.0000	0.0000	0.0000	0.0000	0.0000			
37 D	5.260	0.000	46.80	26.30	46.80	26.30	V-C 2.0027E+04	-7.100	0.000
1.000	1.000	26.30	0.000	0.000	0.000	0.000	Ala_161_6590_L_0	0.0000	
0.0000	0.0000	0.0000	0.0000	0.0000	0.0000	0.0000			
38 D	5.699	0.000	50.70	28.49	50.70	28.49	V-C 2.0027E+04	-7.300	0.000
1.000	1.000	28.49	0.000	0.000	0.000	0.000	Ala_161_6590_L_0	0.0000	
0.0000	0.0000	0.0000	0.0000	0.0000	0.0000	0.0000			
39 D	6.137	0.000	54.60	30.69	54.60	30.69	V-C 2.0027E+04	-7.500	0.000
1.000	1.000	30.69	0.000	0.000	0.000	0.000	Ala_161_6590_L_0	0.0000	
0.0000	0.0000	0.0000	0.0000	0.0000	0.0000	0.0000			
40 D	6.575	0.000	58.50	32.88	58.50	32.88	V-C 2.0027E+04	-7.700	0.000
1.000	1.000	32.88	0.000	0.000	0.000	0.000	Ala_161_6590_L_0	0.0000	
0.0000	0.0000	0.0000	0.0000	0.0000	0.0000	0.0000			
41 D	7.014	0.000	62.40	35.07	62.40	35.07	V-C 2.0027E+04	-7.900	0.000
1.000	1.000	35.07	0.000	0.000	0.000	0.000	Ala_161_6590_L_0	0.0000	
0.0000	0.0000	0.0000	0.0000	0.0000	0.0000	0.0000			
42 D	7.452	0.000	66.30	37.26	66.30	37.26	V-C 2.0027E+04	-8.100	0.000
1.000	1.000	37.26	0.000	0.000	0.000	0.000	Ala_161_6590_L_0	0.0000	
0.0000	0.0000	0.0000	0.0000	0.0000	0.0000	0.0000			
43 D	7.890	0.000	70.20	39.45	70.20	39.45	V-C 2.0027E+04	-8.300	0.000
1.000	1.000	39.45	0.000	0.000	0.000	0.000	Ala_161_6590_L_0	0.0000	
0.0000	0.0000	0.0000	0.0000	0.0000	0.0000	0.0000			
44 D	8.329	0.000	74.10	41.64	74.10	41.64	V-C 2.0027E+04	-8.500	0.000
1.000	1.000	41.64	0.000	0.000	0.000	0.000	Ala_161_6590_L_0	0.0000	
0.0000	0.0000	0.0000	0.0000	0.0000	0.0000	0.0000			
45 D	8.767	0.000	78.00	43.84	78.00	43.84	V-C 2.0027E+04	-8.700	0.000
1.000	1.000	43.84	0.000	0.000	0.000	0.000	Ala_161_6590_L_0	0.0000	
0.0000	0.0000	0.0000	0.0000	0.0000	0.0000	0.0000			
46 D	9.206	0.000	81.90	46.03	81.90	46.03	V-C 2.0027E+04	-8.900	0.000
1.000	1.000	46.03	0.000	0.000	0.000	0.000	Ala_161_6590_L_0	0.0000	
0.0000	0.0000	0.0000	0.0000	0.0000	0.0000	0.0000			
47 D	9.644	0.000	85.80	48.22	85.80	48.22	V-C 2.0027E+04	-9.100	0.000
1.000	1.000	48.22	0.000	0.000	0.000	0.000	Ala_161_6590_L_0	0.0000	
0.0000	0.0000	0.0000	0.0000	0.0000	0.0000	0.0000			
48 D	10.08	0.000	89.70	50.41	89.70	50.41	V-C 2.0027E+04	-9.300	0.000
1.000	1.000	50.41	0.000	0.000	0.000	0.000	Ala_161_6590_L_0	0.0000	
0.0000	0.0000	0.0000	0.0000	0.0000	0.0000	0.0000			
49 D	10.52	0.000	93.60	52.60	93.60	52.60	V-C 2.0027E+04	-9.500	0.000
1.000	1.000	52.60	0.000	0.000	0.000	0.000	Ala_161_6590_L_0	0.0000	
0.0000	0.0000	0.0000	0.0000	0.0000	0.0000	0.0000			
50 D	11.13	0.000	95.50	53.67	95.50	53.67	V-C 2.0027E+04	-9.700	2.000
1.000	1.000	55.67	0.000	0.000	0.000	0.000	Ala_161_6590_L_0	0.0000	
0.0000	0.0000	0.0000	0.0000	0.0000	0.0000	0.0000			
51 D	11.75	0.000	97.40	54.74	97.40	54.74	V-C 2.0027E+04	-9.900	4.000
1.000	1.000	58.74	0.000	0.000	0.000	0.000	Ala_161_6590_L_0	0.0000	
0.0000	0.0000	0.0000	0.0000	0.0000	0.0000	0.0000			
52 D	12.36	0.000	99.30	55.81	99.30	55.81	V-C 2.0027E+04	-10.10	6.000
1.000	1.000	61.81	0.000	0.000	0.000	0.000	Ala_161_6590_L_0	0.0000	
0.0000	0.0000	0.0000	0.0000	0.0000	0.0000	0.0000			
53 D	12.97	0.000	101.2	56.87	101.2	56.87	V-C 2.0027E+04	-10.30	8.000
1.000	1.000	64.87	0.000	0.000	0.000	0.000	Ala_161_6590_L_0	0.0000	
0.0000	0.0000	0.0000	0.0000	0.0000	0.0000	0.0000			
54 D	13.59	0.000	103.1	57.94	103.1	57.94	V-C 2.0027E+04	-10.50	10.000
1.000	1.000	67.94	0.000	0.000	0.000	0.000	Ala_161_6590_L_0	0.0000	
0.0000	0.0000	0.0000	0.0000	0.0000	0.0000	0.0000			
55 D	14.20	0.000	105.0	59.01	105.0	59.01	V-C 2.0027E+04	-10.70	12.00
1.000	1.000	71.01	0.000	0.000	0.000	0.000	Ala_161_6590_L_0	0.0000	
0.0000	0.0000	0.0000	0.0000	0.0000	0.0000	0.0000			
56 D	14.82	0.000	106.9	60.08	106.9	60.08	V-C 2.0027E+04	-10.90	14.00
1.000	1.000	74.08	0.000	0.000	0.000	0.000	Ala_161_6590_L_0	0.0000	
0.0000	0.0000	0.0000	0.0000	0.0000	0.0000	0.0000			
57 D	15.43	0.000	108.8	61.15	108.8	61.15	V-C 2.0027E+04	-11.10	16.00
1.000	1.000	77.15	0.000	0.000	0.000	0.000	Ala_161_6590_L_0	0.0000	
0.0000	0.0000	0.0000	0.0000	0.0000	0.0000	0.0000			
58 D	16.04	0.000	110.7	62.21	110.7	62.21	V-C 2.0027E+04	-11.30	18.00
1.000	1.000	80.21	0.000	0.000	0.000	0.000	Ala_161_6590_L_0	0.0000	
0.0000	0.0000	0.0000	0.0000	0.0000	0.0000	0.0000			
59 D	16.66	0.000	112.6	63.28	112.6	63.28	V-C 2.0027E+04	-11.50	20.00
1.000	1.000	83.28	0.000	0.000	0.000	0.000	Ala_161_6590_L_0	0.0000	
0.0000	0.0000	0.0000	0.0000	0.0000	0.0000	0.0000			
60 D	17.27	0.000	114.5	64.35	114.5	64.35	V-C 2.0027E+04	-11.70	22.00
1.000	1.000	86.35	0.000	0.000	0.000	0.000	Ala_161_6590_L_0	0.0000	
0.0000	0.0000	0.0000	0.0000	0.0000	0.0000	0.0000			

61 D	17.88	0.000	116.4	65.42	116.4	65.42	V-C 2.0027E+04	-11.90	24.00
1.000	1.000	89.42	0.000	0.000	0.000	0.000	Ala_161_6590_L_0		0.0000
0.0000	0.0000	0.0000	0.0000	0.0000	0.0000	0.0000			
62 D	18.50	0.000	118.3	66.48	118.3	66.48	V-C 2.0027E+04	-12.10	26.00
1.000	1.000	92.48	0.000	0.000	0.000	0.000	Ala_161_6590_L_0		0.0000
0.0000	0.0000	0.0000	0.0000	0.0000	0.0000	0.0000			
63 D	19.11	0.000	120.2	67.55	120.2	67.55	V-C 2.0027E+04	-12.30	28.00
1.000	1.000	95.55	0.000	0.000	0.000	0.000	Ala_161_6590_L_0		0.0000
0.0000	0.0000	0.0000	0.0000	0.0000	0.0000	0.0000			
64 D	19.72	0.000	122.1	68.62	122.1	68.62	V-C 2.0027E+04	-12.50	30.00
1.000	1.000	98.62	0.000	0.000	0.000	0.000	Ala_161_6590_L_0		0.0000
0.0000	0.0000	0.0000	0.0000	0.0000	0.0000	0.0000			
65 D	20.34	0.000	124.0	69.69	124.0	69.69	V-C 2.0027E+04	-12.70	32.00
1.000	1.000	101.7	0.000	0.000	0.000	0.000	Ala_161_6590_L_0		0.0000
0.0000	0.0000	0.0000	0.0000	0.0000	0.0000	0.0000			
66 D	20.95	0.000	125.9	70.76	125.9	70.76	V-C 2.0027E+04	-12.90	34.00
1.000	1.000	104.8	0.000	0.000	0.000	0.000	Ala_161_6590_L_0		0.0000
0.0000	0.0000	0.0000	0.0000	0.0000	0.0000	0.0000			
67 D	21.56	0.000	127.8	71.82	127.8	71.82	V-C 2.0027E+04	-13.10	36.00
1.000	1.000	107.8	0.000	0.000	0.000	0.000	Ala_161_6590_L_0		0.0000
0.0000	0.0000	0.0000	0.0000	0.0000	0.0000	0.0000			
68 D	22.18	0.000	129.7	72.89	129.7	72.89	V-C 2.0027E+04	-13.30	38.00
1.000	1.000	110.9	0.000	0.000	0.000	0.000	Ala_161_6590_L_0		0.0000
0.0000	0.0000	0.0000	0.0000	0.0000	0.0000	0.0000			
69 D	22.79	0.000	131.6	73.96	131.6	73.96	V-C 2.0027E+04	-13.50	40.00
1.000	1.000	114.0	0.000	0.000	0.000	0.000	Ala_161_6590_L_0		0.0000
0.0000	0.0000	0.0000	0.0000	0.0000	0.0000	0.0000			
70 D	23.41	0.000	133.5	75.03	133.5	75.03	V-C 2.0027E+04	-13.70	42.00
1.000	1.000	117.0	0.000	0.000	0.000	0.000	Ala_161_6590_L_0		0.0000
0.0000	0.0000	0.0000	0.0000	0.0000	0.0000	0.0000			
71 D	24.02	0.000	135.4	76.09	135.4	76.09	V-C 2.0027E+04	-13.90	44.00
1.000	1.000	120.1	0.000	0.000	0.000	0.000	Ala_161_6590_L_0		0.0000
0.0000	0.0000	0.0000	0.0000	0.0000	0.0000	0.0000			
72 D	24.63	0.000	137.3	77.16	137.3	77.16	V-C 2.0027E+04	-14.10	46.00
1.000	1.000	123.2	0.000	0.000	0.000	0.000	Ala_161_6590_L_0		0.0000
0.0000	0.0000	0.0000	0.0000	0.0000	0.0000	0.0000			
73 D	25.25	0.000	139.2	78.23	139.2	78.23	V-C 2.0027E+04	-14.30	48.00
1.000	1.000	126.2	0.000	0.000	0.000	0.000	Ala_161_6590_L_0		0.0000
0.0000	0.0000	0.0000	0.0000	0.0000	0.0000	0.0000			
74 D	25.86	0.000	141.1	79.30	141.1	79.30	V-C 2.0027E+04	-14.50	50.00
1.000	1.000	129.3	0.000	0.000	0.000	0.000	Ala_161_6590_L_0		0.0000
0.0000	0.0000	0.0000	0.0000	0.0000	0.0000	0.0000			
75 D	26.47	0.000	143.0	80.37	143.0	80.37	V-C 2.0027E+04	-14.70	52.00
1.000	1.000	132.4	0.000	0.000	0.000	0.000	Ala_161_6590_L_0		0.0000
0.0000	0.0000	0.0000	0.0000	0.0000	0.0000	0.0000			
76 D	27.09	0.000	144.9	81.43	144.9	81.43	V-C 2.0027E+04	-14.90	54.00
1.000	1.000	135.4	0.000	0.000	0.000	0.000	Ala_161_6590_L_0		0.0000
0.0000	0.0000	0.0000	0.0000	0.0000	0.0000	0.0000			
77 D	27.70	0.000	146.8	82.50	146.8	82.50	V-C 2.0027E+04	-15.10	56.00
1.000	1.000	138.5	0.000	0.000	0.000	0.000	Ala_161_6590_L_0		0.0000
0.0000	0.0000	0.0000	0.0000	0.0000	0.0000	0.0000			
78 D	28.31	0.000	148.7	83.57	148.7	83.57	V-C 2.0027E+04	-15.30	58.00
1.000	1.000	141.6	0.000	0.000	0.000	0.000	Ala_161_6590_L_0		0.0000
0.0000	0.0000	0.0000	0.0000	0.0000	0.0000	0.0000			
79 D	28.93	0.000	150.6	84.64	150.6	84.64	V-C 2.0027E+04	-15.50	60.00
1.000	1.000	144.6	0.000	0.000	0.000	0.000	Ala_161_6590_L_0		0.0000
0.0000	0.0000	0.0000	0.0000	0.0000	0.0000	0.0000			
80 D	29.54	0.000	152.5	85.70	152.5	85.70	V-C 2.0027E+04	-15.70	62.00
1.000	1.000	147.7	0.000	0.000	0.000	0.000	Ala_161_6590_L_0		0.0000
0.0000	0.0000	0.0000	0.0000	0.0000	0.0000	0.0000			
81 D	30.15	0.000	154.4	86.77	154.4	86.77	V-C 2.0027E+04	-15.90	64.00
1.000	1.000	150.8	0.000	0.000	0.000	0.000	Ala_161_6590_L_0		0.0000
0.0000	0.0000	0.0000	0.0000	0.0000	0.0000	0.0000			
82 D	30.77	0.000	156.4	87.87	156.4	87.87	V-C 1.1262E+05	-16.10	66.00
1.000	1.000	153.9	0.000	0.000	0.000	0.000	Salt_21271_21259_L_0		0.0000
0.0000	0.0000	0.0000	0.0000	0.0000	0.0000	0.0000			
83 D	31.40	0.000	158.4	89.00	158.4	89.00	V-C 1.1262E+05	-16.30	68.00
1.000	1.000	157.0	0.000	0.000	0.000	0.000	Salt_21271_21259_L_0		0.0000
0.0000	0.0000	0.0000	0.0000	0.0000	0.0000	0.0000			
84 D	32.02	0.000	160.4	90.12	160.4	90.12	V-C 1.1262E+05	-16.50	70.00
1.000	1.000	160.1	0.000	0.000	0.000	0.000	Salt_21271_21259_L_0		0.0000
0.0000	0.0000	0.0000	0.0000	0.0000	0.0000	0.0000			
85 D	32.65	0.000	162.4	91.24	162.4	91.24	V-C 1.1262E+05	-16.70	72.00
1.000	1.000	163.2	0.000	0.000	0.000	0.000	Salt_21271_21259_L_0		0.0000
0.0000	0.0000	0.0000	0.0000	0.0000	0.0000	0.0000			
86 D	33.27	0.000	164.4	92.37	164.4	92.37	V-C 1.1262E+05	-16.90	74.00
1.000	1.000	166.4	0.000	0.000	0.000	0.000	Salt_21271_21259_L_0		0.0000
0.0000	0.0000	0.0000	0.0000	0.0000	0.0000	0.0000			
87 D	33.90	0.000	166.4	93.49	166.4	93.49	V-C 1.1262E+05	-17.10	76.00
1.000	1.000	169.5	0.000	0.000	0.000	0.000	Salt_21271_21259_L_0		0.0000
0.0000	0.0000	0.0000	0.0000	0.0000	0.0000	0.0000			
88 D	34.52	0.000	168.4	94.62	168.4	94.62	V-C 1.1262E+05	-17.30	78.00
1.000	1.000	172.6	0.000	0.000	0.000	0.000	Salt_21271_21259_L_0		0.0000
0.0000	0.0000	0.0000	0.0000	0.0000	0.0000	0.0000			
89 D	35.15	0.000	170.4	95.74	170.4	95.74	V-C 1.1262E+05	-17.50	80.00
1.000	1.000	175.7	0.000	0.000	0.000	0.000	Salt_21271_21259_L_0		0.0000
0.0000	0.0000	0.0000	0.0000	0.0000	0.0000	0.0000			
90 D	35.78	0.000	172.4	96.91	172.4	96.91	V-C 6.9968E+04	-17.70	82.00
1.000	1.000	178.9	0.000	0.000	0.000	0.000	Sch_21272_21260_L_0		0.0000
0.0000	0.0000	0.0000	0.0000	0.0000	0.0000	0.0000			
91 D	36.48	0.000	175.0	98.38	175.0	98.38	V-C 6.9968E+04	-17.90	84.00
1.000	1.000	182.4	0.000	0.000	0.000	0.000	Sch_21272_21260_L_0		0.0000

0.0000	0.0000	0.0000	0.0000	0.0000						
92 D	27.88	0.000	177.6	99.84	177.6	99.84	V-C	6.9968E+04	-18.10	86.00
1.000	1.000	185.8	0.000	0.000	0.000	0.000	Sch_21272_21260_L_0			0.0000
0.0000	0.0000	0.0000	0.0000	0.0000						
93 D	9.378	0.000	178.9	100.6	178.9	100.6	V-C	6.9968E+04	-18.20	87.00
1.000	1.000	187.6	0.000	0.000	0.000	0.000	Sch_21272_21260_L_0			0.0000
0.0000	0.0000	0.0000	0.0000	0.0000						

```

+-----+
|                PARATIEPLUS(TM)  NLS ENGINE RELEASE 2022.0.0  FULL VERSION  *Build date:Sep 13, 2021*                |
|                                                                                                                                            |
|                                                                                               ParatiePlus                                                                                               |
|                                                                                               Exe Time :28 January 2022  11:11:18                                                                                               |
+-----+

```

New Project

S T R E S S R E S U L T S F O R G R O U P N O . 2

```

O_R :
ELEMENT TYPE   5 NO.OF ELEMENTS. IN THIS GROUP   93
CURRENT   TIME   IS   1.0000 SUBINCREMENT 00001/00001

```

HARDENING 2D SOIL ELEMENT

***** TOTAL STRESS FORMULATION *****

EL * TOR QSL	FORCE UFACTOR ZD	DISPL-Y Peq ZPL	VERTICAL-P Su_a Kz	HORIZON.-P Su_p	MAX-V-P Coh_e_a	MAX-H-P Coh_e_p	STATE LAYER	STIFFNESS	Z-LEVEL	PORE ZFO	E FAC- QS
1	0.000	--	--	--	--	--	REMOVED	--	0.000	0.000	
1.000	1.000	0.000	0.000	0.000	0.000	0.000	not available				
2	0.000	--	--	--	--	--	REMOVED	--	-0.2000	0.000	
1.000	1.000	0.000	0.000	0.000	0.000	0.000	not available				
3	0.000	--	--	--	--	--	REMOVED	--	-0.4000	0.000	
1.000	1.000	0.000	0.000	0.000	0.000	0.000	not available				
4	0.000	--	--	--	--	--	REMOVED	--	-0.6000	0.000	
1.000	1.000	0.000	0.000	0.000	0.000	0.000	not available				
5	0.000	--	--	--	--	--	REMOVED	--	-0.8000	0.000	
1.000	1.000	0.000	0.000	0.000	0.000	0.000	not available				
6	0.000	--	--	--	--	--	REMOVED	--	-1.000	0.000	
1.000	1.000	0.000	0.000	0.000	0.000	0.000	not available				
7	0.000	--	--	--	--	--	REMOVED	--	-1.200	0.000	
1.000	1.000	0.000	0.000	0.000	0.000	0.000	not available				
8	0.000	--	--	--	--	--	REMOVED	--	-1.400	0.000	
1.000	1.000	0.000	0.000	0.000	0.000	0.000	not available				
9	0.000	--	--	--	--	--	REMOVED	--	-1.600	0.000	
1.000	1.000	0.000	0.000	0.000	0.000	0.000	not available				
10	0.000	--	--	--	--	--	REMOVED	--	-1.800	0.000	
1.000	1.000	0.000	0.000	0.000	0.000	0.000	not available				
11	0.000	--	--	--	--	--	REMOVED	--	-2.000	0.000	
1.000	1.000	0.000	0.000	0.000	0.000	0.000	not available				
12	0.000	--	--	--	--	--	REMOVED	--	-2.200	0.000	
1.000	1.000	0.000	0.000	0.000	0.000	0.000	not available				
13	0.000	--	--	--	--	--	REMOVED	--	-2.400	0.000	
1.000	1.000	0.000	0.000	0.000	0.000	0.000	not available				
14	0.000	--	--	--	--	--	REMOVED	--	-2.600	0.000	
1.000	1.000	0.000	0.000	0.000	0.000	0.000	not available				
15	0.000	--	--	--	--	--	REMOVED	--	-2.800	0.000	
1.000	1.000	0.000	0.000	0.000	0.000	0.000	not available				
16	0.000	--	--	--	--	--	REMOVED	--	-3.000	0.000	
1.000	1.000	0.000	0.000	0.000	0.000	0.000	not available				
17	0.000	--	--	--	--	--	REMOVED	--	-3.200	0.000	
1.000	1.000	0.000	0.000	0.000	0.000	0.000	not available				
18	0.000	--	--	--	--	--	REMOVED	--	-3.400	0.000	
1.000	1.000	0.000	0.000	0.000	0.000	0.000	not available				
19	0.000	--	--	--	--	--	REMOVED	--	-3.600	0.000	
1.000	1.000	0.000	0.000	0.000	0.000	0.000	not available				
20	0.000	--	--	--	--	--	REMOVED	--	-3.800	0.000	
1.000	1.000	0.000	0.000	0.000	0.000	0.000	not available				
21	0.000	--	--	--	--	--	REMOVED	--	-4.000	0.000	
1.000	1.000	0.000	0.000	0.000	0.000	0.000	not available				
22	0.000	--	--	--	--	--	REMOVED	--	-4.200	0.000	
1.000	1.000	0.000	0.000	0.000	0.000	0.000	not available				
23	0.000	--	--	--	--	--	REMOVED	--	-4.400	0.000	
1.000	1.000	0.000	0.000	0.000	0.000	0.000	not available				
24	0.000	--	--	--	--	--	REMOVED	--	-4.600	0.000	
1.000	1.000	0.000	0.000	0.000	0.000	0.000	not available				
25 D	0.000	0.000	0.000	0.000	0.000	0.000	V-C 2.0775E+04		-4.700	0.000	
1.000	1.000	0.000	0.000	0.000	0.000	0.000	Ala_161_6590_L_0			0.0000	
0.0000	0.0000	0.0000	0.0000	0.0000	0.0000	0.0000					
26 D	0.4384	0.000	3.900	2.192	3.900	2.192	V-C 2.0775E+04		-4.900	0.000	
1.000	1.000	2.192	0.000	0.000	0.000	0.000	Ala_161_6590_L_0			0.0000	
0.0000	0.0000	0.0000	0.0000	0.0000	0.0000	0.0000					
27 D	0.8767	0.000	7.800	4.384	7.800	4.384	V-C 2.0775E+04		-5.100	0.000	
1.000	1.000	4.384	0.000	0.000	0.000	0.000	Ala_161_6590_L_0			0.0000	
0.0000	0.0000	0.0000	0.0000	0.0000	0.0000	0.0000					
28 D	1.315	0.000	11.70	6.575	11.70	6.575	V-C 2.0775E+04		-5.300	0.000	
1.000	1.000	6.575	0.000	0.000	0.000	0.000	Ala_161_6590_L_0			0.0000	
0.0000	0.0000	0.0000	0.0000	0.0000	0.0000	0.0000					
29 D	1.753	0.000	15.60	8.767	15.60	8.767	V-C 2.0775E+04		-5.500	0.000	
1.000	1.000	8.767	0.000	0.000	0.000	0.000	Ala_161_6590_L_0			0.0000	
0.0000	0.0000	0.0000	0.0000	0.0000	0.0000	0.0000					
30 D	2.192	0.000	19.50	10.96	19.50	10.96	V-C 2.0775E+04		-5.700	0.000	

1.000	1.000	10.96	0.000	0.000	0.000	0.000	Ala_161_6590_L_0	0.0000	
0.0000	0.0000	0.0000	0.0000	0.0000	0.0000	0.0000			
31 D	2.630	0.000	23.40	13.15	23.40	13.15	V-C 2.0775E+04	-5.900	0.000
1.000	1.000	13.15	0.000	0.000	0.000	0.000	Ala_161_6590_L_0	0.0000	
0.0000	0.0000	0.0000	0.0000	0.0000	0.0000	0.0000			
32 D	3.069	0.000	27.30	15.34	27.30	15.34	V-C 2.0775E+04	-6.100	0.000
1.000	1.000	15.34	0.000	0.000	0.000	0.000	Ala_161_6590_L_0	0.0000	
0.0000	0.0000	0.0000	0.0000	0.0000	0.0000	0.0000			
33 D	3.507	0.000	31.20	17.53	31.20	17.53	V-C 2.0775E+04	-6.300	0.000
1.000	1.000	17.53	0.000	0.000	0.000	0.000	Ala_161_6590_L_0	0.0000	
0.0000	0.0000	0.0000	0.0000	0.0000	0.0000	0.0000			
34 D	3.945	0.000	35.10	19.73	35.10	19.73	V-C 2.0775E+04	-6.500	0.000
1.000	1.000	19.73	0.000	0.000	0.000	0.000	Ala_161_6590_L_0	0.0000	
0.0000	0.0000	0.0000	0.0000	0.0000	0.0000	0.0000			
35 D	4.384	0.000	39.00	21.92	39.00	21.92	V-C 2.0775E+04	-6.700	0.000
1.000	1.000	21.92	0.000	0.000	0.000	0.000	Ala_161_6590_L_0	0.0000	
0.0000	0.0000	0.0000	0.0000	0.0000	0.0000	0.0000			
36 D	4.822	0.000	42.90	24.11	42.90	24.11	V-C 2.0775E+04	-6.900	0.000
1.000	1.000	24.11	0.000	0.000	0.000	0.000	Ala_161_6590_L_0	0.0000	
0.0000	0.0000	0.0000	0.0000	0.0000	0.0000	0.0000			
37 D	5.260	0.000	46.80	26.30	46.80	26.30	V-C 2.0775E+04	-7.100	0.000
1.000	1.000	26.30	0.000	0.000	0.000	0.000	Ala_161_6590_L_0	0.0000	
0.0000	0.0000	0.0000	0.0000	0.0000	0.0000	0.0000			
38 D	5.699	0.000	50.70	28.49	50.70	28.49	V-C 2.0775E+04	-7.300	0.000
1.000	1.000	28.49	0.000	0.000	0.000	0.000	Ala_161_6590_L_0	0.0000	
0.0000	0.0000	0.0000	0.0000	0.0000	0.0000	0.0000			
39 D	6.137	0.000	54.60	30.69	54.60	30.69	V-C 2.0775E+04	-7.500	0.000
1.000	1.000	30.69	0.000	0.000	0.000	0.000	Ala_161_6590_L_0	0.0000	
0.0000	0.0000	0.0000	0.0000	0.0000	0.0000	0.0000			
40 D	6.575	0.000	58.50	32.88	58.50	32.88	V-C 2.0775E+04	-7.700	0.000
1.000	1.000	32.88	0.000	0.000	0.000	0.000	Ala_161_6590_L_0	0.0000	
0.0000	0.0000	0.0000	0.0000	0.0000	0.0000	0.0000			
41 D	7.014	0.000	62.40	35.07	62.40	35.07	V-C 2.0775E+04	-7.900	0.000
1.000	1.000	35.07	0.000	0.000	0.000	0.000	Ala_161_6590_L_0	0.0000	
0.0000	0.0000	0.0000	0.0000	0.0000	0.0000	0.0000			
42 D	7.452	0.000	66.30	37.26	66.30	37.26	V-C 2.0775E+04	-8.100	0.000
1.000	1.000	37.26	0.000	0.000	0.000	0.000	Ala_161_6590_L_0	0.0000	
0.0000	0.0000	0.0000	0.0000	0.0000	0.0000	0.0000			
43 D	7.890	0.000	70.20	39.45	70.20	39.45	V-C 2.0775E+04	-8.300	0.000
1.000	1.000	39.45	0.000	0.000	0.000	0.000	Ala_161_6590_L_0	0.0000	
0.0000	0.0000	0.0000	0.0000	0.0000	0.0000	0.0000			
44 D	8.329	0.000	74.10	41.64	74.10	41.64	V-C 2.0775E+04	-8.500	0.000
1.000	1.000	41.64	0.000	0.000	0.000	0.000	Ala_161_6590_L_0	0.0000	
0.0000	0.0000	0.0000	0.0000	0.0000	0.0000	0.0000			
45 D	8.767	0.000	78.00	43.84	78.00	43.84	V-C 2.0775E+04	-8.700	0.000
1.000	1.000	43.84	0.000	0.000	0.000	0.000	Ala_161_6590_L_0	0.0000	
0.0000	0.0000	0.0000	0.0000	0.0000	0.0000	0.0000			
46 D	9.206	0.000	81.90	46.03	81.90	46.03	V-C 2.0775E+04	-8.900	0.000
1.000	1.000	46.03	0.000	0.000	0.000	0.000	Ala_161_6590_L_0	0.0000	
0.0000	0.0000	0.0000	0.0000	0.0000	0.0000	0.0000			
47 D	9.644	0.000	85.80	48.22	85.80	48.22	V-C 2.0775E+04	-9.100	0.000
1.000	1.000	48.22	0.000	0.000	0.000	0.000	Ala_161_6590_L_0	0.0000	
0.0000	0.0000	0.0000	0.0000	0.0000	0.0000	0.0000			
48 D	10.08	0.000	89.70	50.41	89.70	50.41	V-C 2.0775E+04	-9.300	0.000
1.000	1.000	50.41	0.000	0.000	0.000	0.000	Ala_161_6590_L_0	0.0000	
0.0000	0.0000	0.0000	0.0000	0.0000	0.0000	0.0000			
49 D	10.52	0.000	93.60	52.60	93.60	52.60	V-C 2.0775E+04	-9.500	0.000
1.000	1.000	52.60	0.000	0.000	0.000	0.000	Ala_161_6590_L_0	0.0000	
0.0000	0.0000	0.0000	0.0000	0.0000	0.0000	0.0000			
50 D	11.13	0.000	95.50	53.67	95.50	53.67	V-C 2.0775E+04	-9.700	2.000
1.000	1.000	55.67	0.000	0.000	0.000	0.000	Ala_161_6590_L_0	0.0000	
0.0000	0.0000	0.0000	0.0000	0.0000	0.0000	0.0000			
51 D	11.75	0.000	97.40	54.74	97.40	54.74	V-C 2.0775E+04	-9.900	4.000
1.000	1.000	58.74	0.000	0.000	0.000	0.000	Ala_161_6590_L_0	0.0000	
0.0000	0.0000	0.0000	0.0000	0.0000	0.0000	0.0000			
52 D	12.36	0.000	99.30	55.81	99.30	55.81	V-C 2.0775E+04	-10.10	6.000
1.000	1.000	61.81	0.000	0.000	0.000	0.000	Ala_161_6590_L_0	0.0000	
0.0000	0.0000	0.0000	0.0000	0.0000	0.0000	0.0000			
53 D	12.97	0.000	101.2	56.87	101.2	56.87	V-C 2.0775E+04	-10.30	8.000
1.000	1.000	64.87	0.000	0.000	0.000	0.000	Ala_161_6590_L_0	0.0000	
0.0000	0.0000	0.0000	0.0000	0.0000	0.0000	0.0000			
54 D	13.59	0.000	103.1	57.94	103.1	57.94	V-C 2.0775E+04	-10.50	10.000
1.000	1.000	67.94	0.000	0.000	0.000	0.000	Ala_161_6590_L_0	0.0000	
0.0000	0.0000	0.0000	0.0000	0.0000	0.0000	0.0000			
55 D	14.20	0.000	105.0	59.01	105.0	59.01	V-C 2.0775E+04	-10.70	12.00
1.000	1.000	71.01	0.000	0.000	0.000	0.000	Ala_161_6590_L_0	0.0000	
0.0000	0.0000	0.0000	0.0000	0.0000	0.0000	0.0000			
56 D	14.82	0.000	106.9	60.08	106.9	60.08	V-C 2.0775E+04	-10.90	14.00
1.000	1.000	74.08	0.000	0.000	0.000	0.000	Ala_161_6590_L_0	0.0000	
0.0000	0.0000	0.0000	0.0000	0.0000	0.0000	0.0000			
57 D	15.43	0.000	108.8	61.15	108.8	61.15	V-C 2.0775E+04	-11.10	16.00
1.000	1.000	77.15	0.000	0.000	0.000	0.000	Ala_161_6590_L_0	0.0000	
0.0000	0.0000	0.0000	0.0000	0.0000	0.0000	0.0000			
58 D	16.04	0.000	110.7	62.21	110.7	62.21	V-C 2.0775E+04	-11.30	18.00
1.000	1.000	80.21	0.000	0.000	0.000	0.000	Ala_161_6590_L_0	0.0000	
0.0000	0.0000	0.0000	0.0000	0.0000	0.0000	0.0000			
59 D	16.66	0.000	112.6	63.28	112.6	63.28	V-C 2.0775E+04	-11.50	20.00
1.000	1.000	83.28	0.000	0.000	0.000	0.000	Ala_161_6590_L_0	0.0000	
0.0000	0.0000	0.0000	0.0000	0.0000	0.0000	0.0000			
60 D	17.27	0.000	114.5	64.35	114.5	64.35	V-C 2.0775E+04	-11.70	22.00
1.000	1.000	86.35	0.000	0.000	0.000	0.000	Ala_161_6590_L_0	0.0000	
0.0000	0.0000	0.0000	0.0000	0.0000	0.0000	0.0000			

61 D	17.88	0.000	116.4	65.42	116.4	65.42	V-C 2.0775E+04	-11.90	24.00
1.000	1.000	89.42	0.000	0.000	0.000	0.000	Ala_161_6590_L_0		0.0000
0.0000	0.0000	0.0000	0.0000	0.0000	0.0000	0.0000			
62 D	18.50	0.000	118.3	66.48	118.3	66.48	V-C 2.0775E+04	-12.10	26.00
1.000	1.000	92.48	0.000	0.000	0.000	0.000	Ala_161_6590_L_0		0.0000
0.0000	0.0000	0.0000	0.0000	0.0000	0.0000	0.0000			
63 D	19.11	0.000	120.2	67.55	120.2	67.55	V-C 2.0775E+04	-12.30	28.00
1.000	1.000	95.55	0.000	0.000	0.000	0.000	Ala_161_6590_L_0		0.0000
0.0000	0.0000	0.0000	0.0000	0.0000	0.0000	0.0000			
64 D	19.72	0.000	122.1	68.62	122.1	68.62	V-C 2.0775E+04	-12.50	30.00
1.000	1.000	98.62	0.000	0.000	0.000	0.000	Ala_161_6590_L_0		0.0000
0.0000	0.0000	0.0000	0.0000	0.0000	0.0000	0.0000			
65 D	20.34	0.000	124.0	69.69	124.0	69.69	V-C 2.0775E+04	-12.70	32.00
1.000	1.000	101.7	0.000	0.000	0.000	0.000	Ala_161_6590_L_0		0.0000
0.0000	0.0000	0.0000	0.0000	0.0000	0.0000	0.0000			
66 D	20.95	0.000	125.9	70.76	125.9	70.76	V-C 2.0775E+04	-12.90	34.00
1.000	1.000	104.8	0.000	0.000	0.000	0.000	Ala_161_6590_L_0		0.0000
0.0000	0.0000	0.0000	0.0000	0.0000	0.0000	0.0000			
67 D	21.56	0.000	127.8	71.82	127.8	71.82	V-C 2.0775E+04	-13.10	36.00
1.000	1.000	107.8	0.000	0.000	0.000	0.000	Ala_161_6590_L_0		0.0000
0.0000	0.0000	0.0000	0.0000	0.0000	0.0000	0.0000			
68 D	22.18	0.000	129.7	72.89	129.7	72.89	V-C 2.0775E+04	-13.30	38.00
1.000	1.000	110.9	0.000	0.000	0.000	0.000	Ala_161_6590_L_0		0.0000
0.0000	0.0000	0.0000	0.0000	0.0000	0.0000	0.0000			
69 D	22.79	0.000	131.6	73.96	131.6	73.96	V-C 2.0775E+04	-13.50	40.00
1.000	1.000	114.0	0.000	0.000	0.000	0.000	Ala_161_6590_L_0		0.0000
0.0000	0.0000	0.0000	0.0000	0.0000	0.0000	0.0000			
70 D	23.41	0.000	133.5	75.03	133.5	75.03	V-C 2.0775E+04	-13.70	42.00
1.000	1.000	117.0	0.000	0.000	0.000	0.000	Ala_161_6590_L_0		0.0000
0.0000	0.0000	0.0000	0.0000	0.0000	0.0000	0.0000			
71 D	24.02	0.000	135.4	76.09	135.4	76.09	V-C 2.0775E+04	-13.90	44.00
1.000	1.000	120.1	0.000	0.000	0.000	0.000	Ala_161_6590_L_0		0.0000
0.0000	0.0000	0.0000	0.0000	0.0000	0.0000	0.0000			
72 D	24.63	0.000	137.3	77.16	137.3	77.16	V-C 2.0775E+04	-14.10	46.00
1.000	1.000	123.2	0.000	0.000	0.000	0.000	Ala_161_6590_L_0		0.0000
0.0000	0.0000	0.0000	0.0000	0.0000	0.0000	0.0000			
73 D	25.25	0.000	139.2	78.23	139.2	78.23	V-C 2.0775E+04	-14.30	48.00
1.000	1.000	126.2	0.000	0.000	0.000	0.000	Ala_161_6590_L_0		0.0000
0.0000	0.0000	0.0000	0.0000	0.0000	0.0000	0.0000			
74 D	25.86	0.000	141.1	79.30	141.1	79.30	V-C 2.0775E+04	-14.50	50.00
1.000	1.000	129.3	0.000	0.000	0.000	0.000	Ala_161_6590_L_0		0.0000
0.0000	0.0000	0.0000	0.0000	0.0000	0.0000	0.0000			
75 D	26.47	0.000	143.0	80.37	143.0	80.37	V-C 2.0775E+04	-14.70	52.00
1.000	1.000	132.4	0.000	0.000	0.000	0.000	Ala_161_6590_L_0		0.0000
0.0000	0.0000	0.0000	0.0000	0.0000	0.0000	0.0000			
76 D	27.09	0.000	144.9	81.43	144.9	81.43	V-C 2.0775E+04	-14.90	54.00
1.000	1.000	135.4	0.000	0.000	0.000	0.000	Ala_161_6590_L_0		0.0000
0.0000	0.0000	0.0000	0.0000	0.0000	0.0000	0.0000			
77 D	27.70	0.000	146.8	82.50	146.8	82.50	V-C 2.0775E+04	-15.10	56.00
1.000	1.000	138.5	0.000	0.000	0.000	0.000	Ala_161_6590_L_0		0.0000
0.0000	0.0000	0.0000	0.0000	0.0000	0.0000	0.0000			
78 D	28.31	0.000	148.7	83.57	148.7	83.57	V-C 2.0775E+04	-15.30	58.00
1.000	1.000	141.6	0.000	0.000	0.000	0.000	Ala_161_6590_L_0		0.0000
0.0000	0.0000	0.0000	0.0000	0.0000	0.0000	0.0000			
79 D	28.93	0.000	150.6	84.64	150.6	84.64	V-C 2.0775E+04	-15.50	60.00
1.000	1.000	144.6	0.000	0.000	0.000	0.000	Ala_161_6590_L_0		0.0000
0.0000	0.0000	0.0000	0.0000	0.0000	0.0000	0.0000			
80 D	29.54	0.000	152.5	85.70	152.5	85.70	V-C 2.0775E+04	-15.70	62.00
1.000	1.000	147.7	0.000	0.000	0.000	0.000	Ala_161_6590_L_0		0.0000
0.0000	0.0000	0.0000	0.0000	0.0000	0.0000	0.0000			
81 D	30.15	0.000	154.4	86.77	154.4	86.77	V-C 2.0775E+04	-15.90	64.00
1.000	1.000	150.8	0.000	0.000	0.000	0.000	Ala_161_6590_L_0		0.0000
0.0000	0.0000	0.0000	0.0000	0.0000	0.0000	0.0000			
82 D	30.77	0.000	156.4	87.87	156.4	87.87	V-C 1.2063E+05	-16.10	66.00
1.000	1.000	153.9	0.000	0.000	0.000	0.000	Salt_21271_21259_L_0		0.0000
0.0000	0.0000	0.0000	0.0000	0.0000	0.0000	0.0000			
83 D	31.40	0.000	158.4	89.00	158.4	89.00	V-C 1.2063E+05	-16.30	68.00
1.000	1.000	157.0	0.000	0.000	0.000	0.000	Salt_21271_21259_L_0		0.0000
0.0000	0.0000	0.0000	0.0000	0.0000	0.0000	0.0000			
84 D	32.02	0.000	160.4	90.12	160.4	90.12	V-C 1.2063E+05	-16.50	70.00
1.000	1.000	160.1	0.000	0.000	0.000	0.000	Salt_21271_21259_L_0		0.0000
0.0000	0.0000	0.0000	0.0000	0.0000	0.0000	0.0000			
85 D	32.65	0.000	162.4	91.24	162.4	91.24	V-C 1.2063E+05	-16.70	72.00
1.000	1.000	163.2	0.000	0.000	0.000	0.000	Salt_21271_21259_L_0		0.0000
0.0000	0.0000	0.0000	0.0000	0.0000	0.0000	0.0000			
86 D	33.27	0.000	164.4	92.37	164.4	92.37	V-C 1.2063E+05	-16.90	74.00
1.000	1.000	166.4	0.000	0.000	0.000	0.000	Salt_21271_21259_L_0		0.0000
0.0000	0.0000	0.0000	0.0000	0.0000	0.0000	0.0000			
87 D	33.90	0.000	166.4	93.49	166.4	93.49	V-C 1.2063E+05	-17.10	76.00
1.000	1.000	169.5	0.000	0.000	0.000	0.000	Salt_21271_21259_L_0		0.0000
0.0000	0.0000	0.0000	0.0000	0.0000	0.0000	0.0000			
88 D	34.52	0.000	168.4	94.62	168.4	94.62	V-C 1.2063E+05	-17.30	78.00
1.000	1.000	172.6	0.000	0.000	0.000	0.000	Salt_21271_21259_L_0		0.0000
0.0000	0.0000	0.0000	0.0000	0.0000	0.0000	0.0000			
89 D	35.15	0.000	170.4	95.74	170.4	95.74	V-C 1.2063E+05	-17.50	80.00
1.000	1.000	175.7	0.000	0.000	0.000	0.000	Salt_21271_21259_L_0		0.0000
0.0000	0.0000	0.0000	0.0000	0.0000	0.0000	0.0000			
90 D	35.78	0.000	172.4	96.91	172.4	96.91	V-C 8.8467E+04	-17.70	82.00
1.000	1.000	178.9	0.000	0.000	0.000	0.000	Sch_21272_21260_L_0		0.0000
0.0000	0.0000	0.0000	0.0000	0.0000	0.0000	0.0000			
91 D	36.48	0.000	175.0	98.38	175.0	98.38	V-C 8.8467E+04	-17.90	84.00
1.000	1.000	182.4	0.000	0.000	0.000	0.000	Sch_21272_21260_L_0		0.0000

0.0000	0.0000	0.0000	0.0000	0.0000						
92 D	27.88	0.000	177.6	99.84	177.6	99.84	V-C 8.8467E+04	-18.10	86.00	
1.000	1.000	185.8	0.000	0.000	0.000	0.000	Sch_21272_21260_L_0		0.0000	
0.0000	0.0000	0.0000	0.0000	0.0000						
93 D	9.378	0.000	178.9	100.6	178.9	100.6	V-C 8.8467E+04	-18.20	87.00	
1.000	1.000	187.6	0.000	0.000	0.000	0.000	Sch_21272_21260_L_0		0.0000	
0.0000	0.0000	0.0000	0.0000	0.0000						

```
+-----+
|          PARATIEPLUS(TM)  NLS ENGINE RELEASE  2022.0.0  FULL VERSION  *Build date:Sep 13, 2021*  |
|                                                                                               |
|                                                                                               |
|                               ParatiePlus                                                    |
|                               Exe Time :28 January 2022  11:11:18                            |
+-----+
```

New Project

S T R E S S R E S U L T S F O R G R O U P N O . 3

pali15001.7_33 :
ELEMENT TYPE 2 NO.OF ELEMENTS. IN THIS GROUP 68
C U R R E N T T I M E I S 1.0000 SUBINCREMENT 00001/00001

WALL2D ELEMENT

EL TA TB MA MB

***** NO ONE ELEMENT ACTIVE AT CURRENT STEP *****

```

+-----+
|          PARATIEPLUS(TM)  NLS ENGINE RELEASE 2022.0.0  FULL VERSION  *Build date:Sep 13, 2021*          |
|                                                                                                                                            |
|                                                                                               ParatiePlus                               |
|                                                                                               Exe Time :28 January 2022  11:11:18          |
+-----+

```

New Project

S T R E S S R E S U L T S F O R G R O U P N O . 4

```

muro71cm_4658
ELEMENT TYPE   2 NO.OF ELEMENTS. IN THIS GROUP   24
C U R R E N T   T I M E   I S   1.0000 SUBINCREMENT 00001/00001

```

WALL2D ELEMENT

```

EL   TA   TB   MA   MB
-----

```

***** NO ONE ELEMENT ACTIVE AT CURRENT STEP *****

```

ITER   0  RNORM = 0.000   RMNORM= 0.000
RINORM=0.5558E+05 RIMNOR= 0.000
RENORM= 0.000   REMNOR= 0.000   RATIO = 0.000   TOLER =0.1000E-03   CONVERGED !
RFMAX = 36.48   RMMAX = 0.000
RTSMAL=0.1000E-03 RMSMAL= 0.000
RDT   =0.5558E+05 RDR   = 0.000
RATIOT= 0.000   RATIOOR= 0.000
MAX UN= 0.000   IEQ=   186 NODE   93 DOF   2   X-ROT. F
MIN UN= 0.000   IEQ=   1 NODE   1 DOF   1   Y-DISPL.F
NO. OF CONTACT CONSTRAINT VIOLATIONS   0

```

```

ITER   1  RNORM = 0.000   RMNORM= 0.000
RINORM=0.5558E+05 RIMNOR= 0.000
RENORM= 0.000   REMNOR= 0.000   RATIO = 0.000   TOLER =0.1000E-03   CONVERGED !
RFMAX = 36.48   RMMAX = 0.000
RTSMAL=0.1000E-03 RMSMAL= 0.000
RDT   =0.5558E+05 RDR   = 0.000
RATIOT= 0.000   RATIOOR= 0.000
MAX UN= 0.000   IEQ=   186 NODE   93 DOF   2   X-ROT. F
MIN UN= 0.000   IEQ=   1 NODE   1 DOF   1   Y-DISPL.F
NO. OF CONTACT CONSTRAINT VIOLATIONS   0

```

```

ITER   2  RNORM = 0.000   RMNORM= 0.000
RINORM=0.5558E+05 RIMNOR= 0.000
RENORM= 0.000   REMNOR= 0.000   RATIO = 0.000   TOLER =0.1000E-03   CONVERGED !
RFMAX = 36.48   RMMAX = 0.000
RTSMAL=0.1000E-03 RMSMAL= 0.000
RDT   =0.5558E+05 RDR   = 0.000
RATIOT= 0.000   RATIOOR= 0.000
MAX UN= 0.000   IEQ=   186 NODE   93 DOF   2   X-ROT. F
MIN UN= 0.000   IEQ=   1 NODE   1 DOF   1   Y-DISPL.F
NO. OF CONTACT CONSTRAINT VIOLATIONS   0

```

```
+-----+
|          PARATIEPLUS(TM)  NLS ENGINE RELEASE  2022.0.0  FULL VERSION  *Build date:Sep 13, 2021*  |
|                                                                                               |
|                                                                                               |
|                               ParatiePlus                                                    |
|                               Exe Time :28 January 2022  11:11:18                            |
+-----+
```

New Project

SOLUTION REACHED USING 2 ITERATIONS ON 40

P R I N T O U T F O R T I M E S T E P 2 (AT TIME 2.000) SUBINCREMENT 00001/00001

PRINT OUT OF ACTIVE COMPONENTS (FIXED NODES ARE NOT PRINTED OUT)

Y-DISPL.F	X-ROT. F
02	04

ALL NODAL POINTS HAVE ZERO DISPLACEMENT COMPONENTS

```

+-----+
|                PARATIEPLUS(TM)  NLS ENGINE RELEASE 2022.0.0  FULL VERSION  *Build date:Sep 13, 2021*                |
|                                                                                                                                            |
|                                                                                               ParatiePlus                               |
|                                                                                               Exe Time :28 January 2022   11:11:18   |
+-----+

```

New Project

S T R E S S R E S U L T S F O R G R O U P N O . 1

0_L :
ELEMENT TYPE 5 NO.OF ELEMENTS. IN THIS GROUP 93
C U R R E N T T I M E I S 2.0000 SUBINCREMENT 00001/00001

HARDENING 2D SOIL ELEMENT

***** TOTAL STRESS FORMULATION *****

EL * TOR QSL	FORCE UFACTOR ZD	DISPL-Y Peq ZPL	VERTICAL-P Su_a Kz	HORIZON.-P Su_p	MAX-V-P Coh_e_a	MAX-H-P Coh_e_p	STATE LAYER	STIFFNESS	Z-LEVEL	PORE ZFO	E FAC- QS
1	0.000	--	--	--	--	--	REMOVED	--	0.000	0.000	
1.000	1.000	0.000	0.000	0.000	0.000	0.000	not available				
2	0.000	--	--	--	--	--	REMOVED	--	-0.2000	0.000	
1.000	1.000	0.000	0.000	0.000	0.000	0.000	not available				
3	0.000	--	--	--	--	--	REMOVED	--	-0.4000	0.000	
1.000	1.000	0.000	0.000	0.000	0.000	0.000	not available				
4	0.000	--	--	--	--	--	REMOVED	--	-0.6000	0.000	
1.000	1.000	0.000	0.000	0.000	0.000	0.000	not available				
5	0.000	--	--	--	--	--	REMOVED	--	-0.8000	0.000	
1.000	1.000	0.000	0.000	0.000	0.000	0.000	not available				
6	0.000	--	--	--	--	--	REMOVED	--	-1.000	0.000	
1.000	1.000	0.000	0.000	0.000	0.000	0.000	not available				
7	0.000	--	--	--	--	--	REMOVED	--	-1.200	0.000	
1.000	1.000	0.000	0.000	0.000	0.000	0.000	not available				
8	0.000	--	--	--	--	--	REMOVED	--	-1.400	0.000	
1.000	1.000	0.000	0.000	0.000	0.000	0.000	not available				
9	0.000	--	--	--	--	--	REMOVED	--	-1.600	0.000	
1.000	1.000	0.000	0.000	0.000	0.000	0.000	not available				
10	0.000	--	--	--	--	--	REMOVED	--	-1.800	0.000	
1.000	1.000	0.000	0.000	0.000	0.000	0.000	not available				
11	0.000	--	--	--	--	--	REMOVED	--	-2.000	0.000	
1.000	1.000	0.000	0.000	0.000	0.000	0.000	not available				
12	0.000	--	--	--	--	--	REMOVED	--	-2.200	0.000	
1.000	1.000	0.000	0.000	0.000	0.000	0.000	not available				
13	0.000	--	--	--	--	--	REMOVED	--	-2.400	0.000	
1.000	1.000	0.000	0.000	0.000	0.000	0.000	not available				
14	0.000	--	--	--	--	--	REMOVED	--	-2.600	0.000	
1.000	1.000	0.000	0.000	0.000	0.000	0.000	not available				
15	0.000	--	--	--	--	--	REMOVED	--	-2.800	0.000	
1.000	1.000	0.000	0.000	0.000	0.000	0.000	not available				
16	0.000	--	--	--	--	--	REMOVED	--	-3.000	0.000	
1.000	1.000	0.000	0.000	0.000	0.000	0.000	not available				
17	0.000	--	--	--	--	--	REMOVED	--	-3.200	0.000	
1.000	1.000	0.000	0.000	0.000	0.000	0.000	not available				
18	0.000	--	--	--	--	--	REMOVED	--	-3.400	0.000	
1.000	1.000	0.000	0.000	0.000	0.000	0.000	not available				
19	0.000	--	--	--	--	--	REMOVED	--	-3.600	0.000	
1.000	1.000	0.000	0.000	0.000	0.000	0.000	not available				
20	0.000	--	--	--	--	--	REMOVED	--	-3.800	0.000	
1.000	1.000	0.000	0.000	0.000	0.000	0.000	not available				
21	0.000	--	--	--	--	--	REMOVED	--	-4.000	0.000	
1.000	1.000	0.000	0.000	0.000	0.000	0.000	not available				
22	0.000	--	--	--	--	--	REMOVED	--	-4.200	0.000	
1.000	1.000	0.000	0.000	0.000	0.000	0.000	not available				
23	0.000	--	--	--	--	--	REMOVED	--	-4.400	0.000	
1.000	1.000	0.000	0.000	0.000	0.000	0.000	not available				
24	0.000	--	--	--	--	--	REMOVED	--	-4.600	0.000	
1.000	1.000	0.000	0.000	0.000	0.000	0.000	not available				
25 D	0.000	0.000	0.000	0.000	0.000	0.000	UL-RL 6.0081E+04		-4.700	0.000	
1.000	1.000	0.000	0.000	0.000	0.000	0.000	Ala_161_6590_L_0			0.0000	
0.0000	0.0000	0.0000	0.0000	0.0000	0.0000	0.0000					
26 D	0.4384	0.000	3.900	2.192	3.900	2.192	UL-RL 6.0081E+04		-4.900	0.000	
1.000	1.000	2.192	0.000	0.000	0.000	0.000	Ala_161_6590_L_0			0.0000	
0.0000	0.0000	0.0000	0.0000	0.0000	0.0000	0.0000					
27 D	0.8767	0.000	7.800	4.384	7.800	4.384	UL-RL 6.0081E+04		-5.100	0.000	
1.000	1.000	4.384	0.000	0.000	0.000	0.000	Ala_161_6590_L_0			0.0000	
0.0000	0.0000	0.0000	0.0000	0.0000	0.0000	0.0000					
28 D	1.315	0.000	11.70	6.575	11.70	6.575	UL-RL 6.0081E+04		-5.300	0.000	
1.000	1.000	6.575	0.000	0.000	0.000	0.000	Ala_161_6590_L_0			0.0000	
0.0000	0.0000	0.0000	0.0000	0.0000	0.0000	0.0000					
29 D	1.753	0.000	15.60	8.767	15.60	8.767	UL-RL 6.0081E+04		-5.500	0.000	
1.000	1.000	8.767	0.000	0.000	0.000	0.000	Ala_161_6590_L_0			0.0000	
0.0000	0.0000	0.0000	0.0000	0.0000	0.0000	0.0000					
30 D	2.192	0.000	19.50	10.96	19.50	10.96	UL-RL 6.0081E+04		-5.700	0.000	

1.000	1.000	10.96	0.000	0.000	0.000	0.000	Ala_161_6590_L_0	0.0000	
0.0000	0.0000	0.0000	0.0000	0.0000	0.0000	0.0000			
31 D	2.630	0.000	23.40	13.15	23.40	13.15	UL-RL 6.0081E+04	-5.900	0.000
1.000	1.000	13.15	0.000	0.000	0.000	0.000	Ala_161_6590_L_0	0.0000	0.0000
0.0000	0.0000	0.0000	0.0000	0.0000	0.0000	0.0000			
32 D	3.069	0.000	27.30	15.34	27.30	15.34	UL-RL 6.0081E+04	-6.100	0.000
1.000	1.000	15.34	0.000	0.000	0.000	0.000	Ala_161_6590_L_0	0.0000	0.0000
0.0000	0.0000	0.0000	0.0000	0.0000	0.0000	0.0000			
33 D	3.507	0.000	31.20	17.53	31.20	17.53	UL-RL 6.0081E+04	-6.300	0.000
1.000	1.000	17.53	0.000	0.000	0.000	0.000	Ala_161_6590_L_0	0.0000	0.0000
0.0000	0.0000	0.0000	0.0000	0.0000	0.0000	0.0000			
34 D	3.945	0.000	35.10	19.73	35.10	19.73	UL-RL 6.0081E+04	-6.500	0.000
1.000	1.000	19.73	0.000	0.000	0.000	0.000	Ala_161_6590_L_0	0.0000	0.0000
0.0000	0.0000	0.0000	0.0000	0.0000	0.0000	0.0000			
35 D	4.384	0.000	39.00	21.92	39.00	21.92	UL-RL 6.0081E+04	-6.700	0.000
1.000	1.000	21.92	0.000	0.000	0.000	0.000	Ala_161_6590_L_0	0.0000	0.0000
0.0000	0.0000	0.0000	0.0000	0.0000	0.0000	0.0000			
36 D	4.822	0.000	42.90	24.11	42.90	24.11	UL-RL 6.0081E+04	-6.900	0.000
1.000	1.000	24.11	0.000	0.000	0.000	0.000	Ala_161_6590_L_0	0.0000	0.0000
0.0000	0.0000	0.0000	0.0000	0.0000	0.0000	0.0000			
37 D	5.260	0.000	46.80	26.30	46.80	26.30	UL-RL 6.0081E+04	-7.100	0.000
1.000	1.000	26.30	0.000	0.000	0.000	0.000	Ala_161_6590_L_0	0.0000	0.0000
0.0000	0.0000	0.0000	0.0000	0.0000	0.0000	0.0000			
38 D	5.699	0.000	50.70	28.49	50.70	28.49	UL-RL 6.0081E+04	-7.300	0.000
1.000	1.000	28.49	0.000	0.000	0.000	0.000	Ala_161_6590_L_0	0.0000	0.0000
0.0000	0.0000	0.0000	0.0000	0.0000	0.0000	0.0000			
39 D	6.137	0.000	54.60	30.69	54.60	30.69	UL-RL 6.0081E+04	-7.500	0.000
1.000	1.000	30.69	0.000	0.000	0.000	0.000	Ala_161_6590_L_0	0.0000	0.0000
0.0000	0.0000	0.0000	0.0000	0.0000	0.0000	0.0000			
40 D	6.575	0.000	58.50	32.88	58.50	32.88	UL-RL 6.0081E+04	-7.700	0.000
1.000	1.000	32.88	0.000	0.000	0.000	0.000	Ala_161_6590_L_0	0.0000	0.0000
0.0000	0.0000	0.0000	0.0000	0.0000	0.0000	0.0000			
41 D	7.014	0.000	62.40	35.07	62.40	35.07	UL-RL 6.0081E+04	-7.900	0.000
1.000	1.000	35.07	0.000	0.000	0.000	0.000	Ala_161_6590_L_0	0.0000	0.0000
0.0000	0.0000	0.0000	0.0000	0.0000	0.0000	0.0000			
42 D	7.452	0.000	66.30	37.26	66.30	37.26	UL-RL 6.0081E+04	-8.100	0.000
1.000	1.000	37.26	0.000	0.000	0.000	0.000	Ala_161_6590_L_0	0.0000	0.0000
0.0000	0.0000	0.0000	0.0000	0.0000	0.0000	0.0000			
43 D	7.890	0.000	70.20	39.45	70.20	39.45	UL-RL 6.0081E+04	-8.300	0.000
1.000	1.000	39.45	0.000	0.000	0.000	0.000	Ala_161_6590_L_0	0.0000	0.0000
0.0000	0.0000	0.0000	0.0000	0.0000	0.0000	0.0000			
44 D	8.329	0.000	74.10	41.64	74.10	41.64	UL-RL 6.0081E+04	-8.500	0.000
1.000	1.000	41.64	0.000	0.000	0.000	0.000	Ala_161_6590_L_0	0.0000	0.0000
0.0000	0.0000	0.0000	0.0000	0.0000	0.0000	0.0000			
45 D	8.767	0.000	78.00	43.84	78.00	43.84	UL-RL 6.0081E+04	-8.700	0.000
1.000	1.000	43.84	0.000	0.000	0.000	0.000	Ala_161_6590_L_0	0.0000	0.0000
0.0000	0.0000	0.0000	0.0000	0.0000	0.0000	0.0000			
46 D	9.206	0.000	81.90	46.03	81.90	46.03	UL-RL 6.0081E+04	-8.900	0.000
1.000	1.000	46.03	0.000	0.000	0.000	0.000	Ala_161_6590_L_0	0.0000	0.0000
0.0000	0.0000	0.0000	0.0000	0.0000	0.0000	0.0000			
47 D	9.644	0.000	85.80	48.22	85.80	48.22	UL-RL 6.0081E+04	-9.100	0.000
1.000	1.000	48.22	0.000	0.000	0.000	0.000	Ala_161_6590_L_0	0.0000	0.0000
0.0000	0.0000	0.0000	0.0000	0.0000	0.0000	0.0000			
48 D	10.08	0.000	89.70	50.41	89.70	50.41	UL-RL 6.0081E+04	-9.300	0.000
1.000	1.000	50.41	0.000	0.000	0.000	0.000	Ala_161_6590_L_0	0.0000	0.0000
0.0000	0.0000	0.0000	0.0000	0.0000	0.0000	0.0000			
49 D	10.52	0.000	93.60	52.60	93.60	52.60	UL-RL 6.0081E+04	-9.500	0.000
1.000	1.000	52.60	0.000	0.000	0.000	0.000	Ala_161_6590_L_0	0.0000	0.0000
0.0000	0.0000	0.0000	0.0000	0.0000	0.0000	0.0000			
50 D	11.13	0.000	95.50	53.67	95.50	53.67	UL-RL 6.0081E+04	-9.700	2.000
1.000	1.000	55.67	0.000	0.000	0.000	0.000	Ala_161_6590_L_0	0.0000	0.0000
0.0000	0.0000	0.0000	0.0000	0.0000	0.0000	0.0000			
51 D	11.75	0.000	97.40	54.74	97.40	54.74	UL-RL 6.0081E+04	-9.900	4.000
1.000	1.000	58.74	0.000	0.000	0.000	0.000	Ala_161_6590_L_0	0.0000	0.0000
0.0000	0.0000	0.0000	0.0000	0.0000	0.0000	0.0000			
52 D	12.36	0.000	99.30	55.81	99.30	55.81	UL-RL 6.0081E+04	-10.10	6.000
1.000	1.000	61.81	0.000	0.000	0.000	0.000	Ala_161_6590_L_0	0.0000	0.0000
0.0000	0.0000	0.0000	0.0000	0.0000	0.0000	0.0000			
53 D	12.97	0.000	101.2	56.87	101.2	56.87	UL-RL 6.0081E+04	-10.30	8.000
1.000	1.000	64.87	0.000	0.000	0.000	0.000	Ala_161_6590_L_0	0.0000	0.0000
0.0000	0.0000	0.0000	0.0000	0.0000	0.0000	0.0000			
54 D	13.59	0.000	103.1	57.94	103.1	57.94	UL-RL 6.0081E+04	-10.50	10.000
1.000	1.000	67.94	0.000	0.000	0.000	0.000	Ala_161_6590_L_0	0.0000	0.0000
0.0000	0.0000	0.0000	0.0000	0.0000	0.0000	0.0000			
55 D	14.20	0.000	105.0	59.01	105.0	59.01	UL-RL 6.0081E+04	-10.70	12.00
1.000	1.000	71.01	0.000	0.000	0.000	0.000	Ala_161_6590_L_0	0.0000	0.0000
0.0000	0.0000	0.0000	0.0000	0.0000	0.0000	0.0000			
56 D	14.82	0.000	106.9	60.08	106.9	60.08	UL-RL 6.0081E+04	-10.90	14.00
1.000	1.000	74.08	0.000	0.000	0.000	0.000	Ala_161_6590_L_0	0.0000	0.0000
0.0000	0.0000	0.0000	0.0000	0.0000	0.0000	0.0000			
57 D	15.43	0.000	108.8	61.15	108.8	61.15	UL-RL 6.0081E+04	-11.10	16.00
1.000	1.000	77.15	0.000	0.000	0.000	0.000	Ala_161_6590_L_0	0.0000	0.0000
0.0000	0.0000	0.0000	0.0000	0.0000	0.0000	0.0000			
58 D	16.04	0.000	110.7	62.21	110.7	62.21	UL-RL 6.0081E+04	-11.30	18.00
1.000	1.000	80.21	0.000	0.000	0.000	0.000	Ala_161_6590_L_0	0.0000	0.0000
0.0000	0.0000	0.0000	0.0000	0.0000	0.0000	0.0000			
59 D	16.66	0.000	112.6	63.28	112.6	63.28	UL-RL 6.0081E+04	-11.50	20.00
1.000	1.000	83.28	0.000	0.000	0.000	0.000	Ala_161_6590_L_0	0.0000	0.0000
0.0000	0.0000	0.0000	0.0000	0.0000	0.0000	0.0000			
60 D	17.27	0.000	114.5	64.35	114.5	64.35	UL-RL 6.0081E+04	-11.70	22.00
1.000	1.000	86.35	0.000	0.000	0.000	0.000	Ala_161_6590_L_0	0.0000	0.0000
0.0000	0.0000	0.0000	0.0000	0.0000	0.0000	0.0000			

61 D	17.88	0.000	116.4	65.42	116.4	65.42	UL-RL 6.0081E+04	-11.90	24.00
1.000	1.000	89.42	0.000	0.000	0.000	0.000	Ala_161_6590_L_0		0.0000
0.0000	0.0000	0.0000	0.0000	0.0000	0.0000	0.0000			
62 D	18.50	0.000	118.3	66.48	118.3	66.48	UL-RL 6.0081E+04	-12.10	26.00
1.000	1.000	92.48	0.000	0.000	0.000	0.000	Ala_161_6590_L_0		0.0000
0.0000	0.0000	0.0000	0.0000	0.0000	0.0000	0.0000			
63 D	19.11	0.000	120.2	67.55	120.2	67.55	UL-RL 6.0081E+04	-12.30	28.00
1.000	1.000	95.55	0.000	0.000	0.000	0.000	Ala_161_6590_L_0		0.0000
0.0000	0.0000	0.0000	0.0000	0.0000	0.0000	0.0000			
64 D	19.72	0.000	122.1	68.62	122.1	68.62	UL-RL 6.0081E+04	-12.50	30.00
1.000	1.000	98.62	0.000	0.000	0.000	0.000	Ala_161_6590_L_0		0.0000
0.0000	0.0000	0.0000	0.0000	0.0000	0.0000	0.0000			
65 D	20.34	0.000	124.0	69.69	124.0	69.69	UL-RL 6.0081E+04	-12.70	32.00
1.000	1.000	101.7	0.000	0.000	0.000	0.000	Ala_161_6590_L_0		0.0000
0.0000	0.0000	0.0000	0.0000	0.0000	0.0000	0.0000			
66 D	20.95	0.000	125.9	70.76	125.9	70.76	UL-RL 6.0081E+04	-12.90	34.00
1.000	1.000	104.8	0.000	0.000	0.000	0.000	Ala_161_6590_L_0		0.0000
0.0000	0.0000	0.0000	0.0000	0.0000	0.0000	0.0000			
67 D	21.56	0.000	127.8	71.82	127.8	71.82	UL-RL 6.0081E+04	-13.10	36.00
1.000	1.000	107.8	0.000	0.000	0.000	0.000	Ala_161_6590_L_0		0.0000
0.0000	0.0000	0.0000	0.0000	0.0000	0.0000	0.0000			
68 D	22.18	0.000	129.7	72.89	129.7	72.89	UL-RL 6.0081E+04	-13.30	38.00
1.000	1.000	110.9	0.000	0.000	0.000	0.000	Ala_161_6590_L_0		0.0000
0.0000	0.0000	0.0000	0.0000	0.0000	0.0000	0.0000			
69 D	22.79	0.000	131.6	73.96	131.6	73.96	UL-RL 6.0081E+04	-13.50	40.00
1.000	1.000	114.0	0.000	0.000	0.000	0.000	Ala_161_6590_L_0		0.0000
0.0000	0.0000	0.0000	0.0000	0.0000	0.0000	0.0000			
70 D	23.41	0.000	133.5	75.03	133.5	75.03	UL-RL 6.0081E+04	-13.70	42.00
1.000	1.000	117.0	0.000	0.000	0.000	0.000	Ala_161_6590_L_0		0.0000
0.0000	0.0000	0.0000	0.0000	0.0000	0.0000	0.0000			
71 D	24.02	0.000	135.4	76.09	135.4	76.09	UL-RL 6.0081E+04	-13.90	44.00
1.000	1.000	120.1	0.000	0.000	0.000	0.000	Ala_161_6590_L_0		0.0000
0.0000	0.0000	0.0000	0.0000	0.0000	0.0000	0.0000			
72 D	24.63	0.000	137.3	77.16	137.3	77.16	UL-RL 6.0081E+04	-14.10	46.00
1.000	1.000	123.2	0.000	0.000	0.000	0.000	Ala_161_6590_L_0		0.0000
0.0000	0.0000	0.0000	0.0000	0.0000	0.0000	0.0000			
73 D	25.25	0.000	139.2	78.23	139.2	78.23	UL-RL 6.0081E+04	-14.30	48.00
1.000	1.000	126.2	0.000	0.000	0.000	0.000	Ala_161_6590_L_0		0.0000
0.0000	0.0000	0.0000	0.0000	0.0000	0.0000	0.0000			
74 D	25.86	0.000	141.1	79.30	141.1	79.30	UL-RL 6.0081E+04	-14.50	50.00
1.000	1.000	129.3	0.000	0.000	0.000	0.000	Ala_161_6590_L_0		0.0000
0.0000	0.0000	0.0000	0.0000	0.0000	0.0000	0.0000			
75 D	26.47	0.000	143.0	80.37	143.0	80.37	UL-RL 6.0081E+04	-14.70	52.00
1.000	1.000	132.4	0.000	0.000	0.000	0.000	Ala_161_6590_L_0		0.0000
0.0000	0.0000	0.0000	0.0000	0.0000	0.0000	0.0000			
76 D	27.09	0.000	144.9	81.43	144.9	81.43	UL-RL 6.0081E+04	-14.90	54.00
1.000	1.000	135.4	0.000	0.000	0.000	0.000	Ala_161_6590_L_0		0.0000
0.0000	0.0000	0.0000	0.0000	0.0000	0.0000	0.0000			
77 D	27.70	0.000	146.8	82.50	146.8	82.50	UL-RL 6.0081E+04	-15.10	56.00
1.000	1.000	138.5	0.000	0.000	0.000	0.000	Ala_161_6590_L_0		0.0000
0.0000	0.0000	0.0000	0.0000	0.0000	0.0000	0.0000			
78 D	28.31	0.000	148.7	83.57	148.7	83.57	UL-RL 6.0081E+04	-15.30	58.00
1.000	1.000	141.6	0.000	0.000	0.000	0.000	Ala_161_6590_L_0		0.0000
0.0000	0.0000	0.0000	0.0000	0.0000	0.0000	0.0000			
79 D	28.93	0.000	150.6	84.64	150.6	84.64	UL-RL 6.0081E+04	-15.50	60.00
1.000	1.000	144.6	0.000	0.000	0.000	0.000	Ala_161_6590_L_0		0.0000
0.0000	0.0000	0.0000	0.0000	0.0000	0.0000	0.0000			
80 D	29.54	0.000	152.5	85.70	152.5	85.70	UL-RL 6.0081E+04	-15.70	62.00
1.000	1.000	147.7	0.000	0.000	0.000	0.000	Ala_161_6590_L_0		0.0000
0.0000	0.0000	0.0000	0.0000	0.0000	0.0000	0.0000			
81 D	30.15	0.000	154.4	86.77	154.4	86.77	UL-RL 6.0081E+04	-15.90	64.00
1.000	1.000	150.8	0.000	0.000	0.000	0.000	Ala_161_6590_L_0		0.0000
0.0000	0.0000	0.0000	0.0000	0.0000	0.0000	0.0000			
82 D	30.77	0.000	156.4	87.87	156.4	87.87	UL-RL 3.3787E+05	-16.10	66.00
1.000	1.000	153.9	0.000	0.000	8.000	8.000	Salt_21271_21259_L_0		0.0000
0.0000	0.0000	0.0000	0.0000	0.0000	0.0000	0.0000			
83 D	31.40	0.000	158.4	89.00	158.4	89.00	UL-RL 3.3787E+05	-16.30	68.00
1.000	1.000	157.0	0.000	0.000	8.000	8.000	Salt_21271_21259_L_0		0.0000
0.0000	0.0000	0.0000	0.0000	0.0000	0.0000	0.0000			
84 D	32.02	0.000	160.4	90.12	160.4	90.12	UL-RL 3.3787E+05	-16.50	70.00
1.000	1.000	160.1	0.000	0.000	8.000	8.000	Salt_21271_21259_L_0		0.0000
0.0000	0.0000	0.0000	0.0000	0.0000	0.0000	0.0000			
85 D	32.65	0.000	162.4	91.24	162.4	91.24	UL-RL 3.3787E+05	-16.70	72.00
1.000	1.000	163.2	0.000	0.000	8.000	8.000	Salt_21271_21259_L_0		0.0000
0.0000	0.0000	0.0000	0.0000	0.0000	0.0000	0.0000			
86 D	33.27	0.000	164.4	92.37	164.4	92.37	UL-RL 3.3787E+05	-16.90	74.00
1.000	1.000	166.4	0.000	0.000	8.000	8.000	Salt_21271_21259_L_0		0.0000
0.0000	0.0000	0.0000	0.0000	0.0000	0.0000	0.0000			
87 D	33.90	0.000	166.4	93.49	166.4	93.49	UL-RL 3.3787E+05	-17.10	76.00
1.000	1.000	169.5	0.000	0.000	8.000	8.000	Salt_21271_21259_L_0		0.0000
0.0000	0.0000	0.0000	0.0000	0.0000	0.0000	0.0000			
88 D	34.52	0.000	168.4	94.62	168.4	94.62	UL-RL 3.3787E+05	-17.30	78.00
1.000	1.000	172.6	0.000	0.000	8.000	8.000	Salt_21271_21259_L_0		0.0000
0.0000	0.0000	0.0000	0.0000	0.0000	0.0000	0.0000			
89 D	35.15	0.000	170.4	95.74	170.4	95.74	UL-RL 3.3787E+05	-17.50	80.00
1.000	1.000	175.7	0.000	0.000	8.000	8.000	Salt_21271_21259_L_0		0.0000
0.0000	0.0000	0.0000	0.0000	0.0000	0.0000	0.0000			
90 D	35.78	0.000	172.4	96.91	172.4	96.91	UL-RL 2.0990E+05	-17.70	82.00
1.000	1.000	178.9	0.000	0.000	44.00	44.00	Sch_21272_21260_L_0		0.0000
0.0000	0.0000	0.0000	0.0000	0.0000	0.0000	0.0000			
91 D	36.48	0.000	175.0	98.38	175.0	98.38	UL-RL 2.0990E+05	-17.90	84.00
1.000	1.000	182.4	0.000	0.000	44.00	44.00	Sch_21272_21260_L_0		0.0000

0.0000	0.0000	0.0000	0.0000	0.0000						
92 D	27.88	0.000	177.6	99.84	177.6	99.84	UL-RL 2.0990E+05	-18.10	86.00	
1.000	1.000	185.8	0.000	0.000	44.00	44.00	Sch_21272_21260_L_0		0.0000	
0.0000	0.0000	0.0000	0.0000	0.0000						
93 D	9.378	0.000	178.9	100.6	178.9	100.6	UL-RL 2.0990E+05	-18.20	87.00	
1.000	1.000	187.6	0.000	0.000	44.00	44.00	Sch_21272_21260_L_0		0.0000	
0.0000	0.0000	0.0000	0.0000	0.0000						

1.000	1.000	10.96	0.000	0.000	0.000	0.000	Ala_161_6590_L_0	0.0000	
0.0000	0.0000	0.0000	0.0000	0.0000	0.0000	0.0000			
31 D	2.630	0.000	23.40	13.15	23.40	13.15	UL-RL 6.2324E+04	-5.900	0.000
1.000	1.000	13.15	0.000	0.000	0.000	0.000	Ala_161_6590_L_0	0.0000	
0.0000	0.0000	0.0000	0.0000	0.0000	0.0000	0.0000			
32 D	3.069	0.000	27.30	15.34	27.30	15.34	UL-RL 6.2324E+04	-6.100	0.000
1.000	1.000	15.34	0.000	0.000	0.000	0.000	Ala_161_6590_L_0	0.0000	
0.0000	0.0000	0.0000	0.0000	0.0000	0.0000	0.0000			
33 D	3.507	0.000	31.20	17.53	31.20	17.53	UL-RL 6.2324E+04	-6.300	0.000
1.000	1.000	17.53	0.000	0.000	0.000	0.000	Ala_161_6590_L_0	0.0000	
0.0000	0.0000	0.0000	0.0000	0.0000	0.0000	0.0000			
34 D	3.945	0.000	35.10	19.73	35.10	19.73	UL-RL 6.2324E+04	-6.500	0.000
1.000	1.000	19.73	0.000	0.000	0.000	0.000	Ala_161_6590_L_0	0.0000	
0.0000	0.0000	0.0000	0.0000	0.0000	0.0000	0.0000			
35 D	4.384	0.000	39.00	21.92	39.00	21.92	UL-RL 6.2324E+04	-6.700	0.000
1.000	1.000	21.92	0.000	0.000	0.000	0.000	Ala_161_6590_L_0	0.0000	
0.0000	0.0000	0.0000	0.0000	0.0000	0.0000	0.0000			
36 D	4.822	0.000	42.90	24.11	42.90	24.11	UL-RL 6.2324E+04	-6.900	0.000
1.000	1.000	24.11	0.000	0.000	0.000	0.000	Ala_161_6590_L_0	0.0000	
0.0000	0.0000	0.0000	0.0000	0.0000	0.0000	0.0000			
37 D	5.260	0.000	46.80	26.30	46.80	26.30	UL-RL 6.2324E+04	-7.100	0.000
1.000	1.000	26.30	0.000	0.000	0.000	0.000	Ala_161_6590_L_0	0.0000	
0.0000	0.0000	0.0000	0.0000	0.0000	0.0000	0.0000			
38 D	5.699	0.000	50.70	28.49	50.70	28.49	UL-RL 6.2324E+04	-7.300	0.000
1.000	1.000	28.49	0.000	0.000	0.000	0.000	Ala_161_6590_L_0	0.0000	
0.0000	0.0000	0.0000	0.0000	0.0000	0.0000	0.0000			
39 D	6.137	0.000	54.60	30.69	54.60	30.69	UL-RL 6.2324E+04	-7.500	0.000
1.000	1.000	30.69	0.000	0.000	0.000	0.000	Ala_161_6590_L_0	0.0000	
0.0000	0.0000	0.0000	0.0000	0.0000	0.0000	0.0000			
40 D	6.575	0.000	58.50	32.88	58.50	32.88	UL-RL 6.2324E+04	-7.700	0.000
1.000	1.000	32.88	0.000	0.000	0.000	0.000	Ala_161_6590_L_0	0.0000	
0.0000	0.0000	0.0000	0.0000	0.0000	0.0000	0.0000			
41 D	7.014	0.000	62.40	35.07	62.40	35.07	UL-RL 6.2324E+04	-7.900	0.000
1.000	1.000	35.07	0.000	0.000	0.000	0.000	Ala_161_6590_L_0	0.0000	
0.0000	0.0000	0.0000	0.0000	0.0000	0.0000	0.0000			
42 D	7.452	0.000	66.30	37.26	66.30	37.26	UL-RL 6.2324E+04	-8.100	0.000
1.000	1.000	37.26	0.000	0.000	0.000	0.000	Ala_161_6590_L_0	0.0000	
0.0000	0.0000	0.0000	0.0000	0.0000	0.0000	0.0000			
43 D	7.890	0.000	70.20	39.45	70.20	39.45	UL-RL 6.2324E+04	-8.300	0.000
1.000	1.000	39.45	0.000	0.000	0.000	0.000	Ala_161_6590_L_0	0.0000	
0.0000	0.0000	0.0000	0.0000	0.0000	0.0000	0.0000			
44 D	8.329	0.000	74.10	41.64	74.10	41.64	UL-RL 6.2324E+04	-8.500	0.000
1.000	1.000	41.64	0.000	0.000	0.000	0.000	Ala_161_6590_L_0	0.0000	
0.0000	0.0000	0.0000	0.0000	0.0000	0.0000	0.0000			
45 D	8.767	0.000	78.00	43.84	78.00	43.84	UL-RL 6.2324E+04	-8.700	0.000
1.000	1.000	43.84	0.000	0.000	0.000	0.000	Ala_161_6590_L_0	0.0000	
0.0000	0.0000	0.0000	0.0000	0.0000	0.0000	0.0000			
46 D	9.206	0.000	81.90	46.03	81.90	46.03	UL-RL 6.2324E+04	-8.900	0.000
1.000	1.000	46.03	0.000	0.000	0.000	0.000	Ala_161_6590_L_0	0.0000	
0.0000	0.0000	0.0000	0.0000	0.0000	0.0000	0.0000			
47 D	9.644	0.000	85.80	48.22	85.80	48.22	UL-RL 6.2324E+04	-9.100	0.000
1.000	1.000	48.22	0.000	0.000	0.000	0.000	Ala_161_6590_L_0	0.0000	
0.0000	0.0000	0.0000	0.0000	0.0000	0.0000	0.0000			
48 D	10.08	0.000	89.70	50.41	89.70	50.41	UL-RL 6.2324E+04	-9.300	0.000
1.000	1.000	50.41	0.000	0.000	0.000	0.000	Ala_161_6590_L_0	0.0000	
0.0000	0.0000	0.0000	0.0000	0.0000	0.0000	0.0000			
49 D	10.52	0.000	93.60	52.60	93.60	52.60	UL-RL 6.2324E+04	-9.500	0.000
1.000	1.000	52.60	0.000	0.000	0.000	0.000	Ala_161_6590_L_0	0.0000	
0.0000	0.0000	0.0000	0.0000	0.0000	0.0000	0.0000			
50 D	11.13	0.000	95.50	53.67	95.50	53.67	UL-RL 6.2324E+04	-9.700	2.000
1.000	1.000	55.67	0.000	0.000	0.000	0.000	Ala_161_6590_L_0	0.0000	
0.0000	0.0000	0.0000	0.0000	0.0000	0.0000	0.0000			
51 D	11.75	0.000	97.40	54.74	97.40	54.74	UL-RL 6.2324E+04	-9.900	4.000
1.000	1.000	58.74	0.000	0.000	0.000	0.000	Ala_161_6590_L_0	0.0000	
0.0000	0.0000	0.0000	0.0000	0.0000	0.0000	0.0000			
52 D	12.36	0.000	99.30	55.81	99.30	55.81	UL-RL 6.2324E+04	-10.10	6.000
1.000	1.000	61.81	0.000	0.000	0.000	0.000	Ala_161_6590_L_0	0.0000	
0.0000	0.0000	0.0000	0.0000	0.0000	0.0000	0.0000			
53 D	12.97	0.000	101.2	56.87	101.2	56.87	UL-RL 6.2324E+04	-10.30	8.000
1.000	1.000	64.87	0.000	0.000	0.000	0.000	Ala_161_6590_L_0	0.0000	
0.0000	0.0000	0.0000	0.0000	0.0000	0.0000	0.0000			
54 D	13.59	0.000	103.1	57.94	103.1	57.94	UL-RL 6.2324E+04	-10.50	10.000
1.000	1.000	67.94	0.000	0.000	0.000	0.000	Ala_161_6590_L_0	0.0000	
0.0000	0.0000	0.0000	0.0000	0.0000	0.0000	0.0000			
55 D	14.20	0.000	105.0	59.01	105.0	59.01	UL-RL 6.2324E+04	-10.70	12.00
1.000	1.000	71.01	0.000	0.000	0.000	0.000	Ala_161_6590_L_0	0.0000	
0.0000	0.0000	0.0000	0.0000	0.0000	0.0000	0.0000			
56 D	14.82	0.000	106.9	60.08	106.9	60.08	UL-RL 6.2324E+04	-10.90	14.00
1.000	1.000	74.08	0.000	0.000	0.000	0.000	Ala_161_6590_L_0	0.0000	
0.0000	0.0000	0.0000	0.0000	0.0000	0.0000	0.0000			
57 D	15.43	0.000	108.8	61.15	108.8	61.15	UL-RL 6.2324E+04	-11.10	16.00
1.000	1.000	77.15	0.000	0.000	0.000	0.000	Ala_161_6590_L_0	0.0000	
0.0000	0.0000	0.0000	0.0000	0.0000	0.0000	0.0000			
58 D	16.04	0.000	110.7	62.21	110.7	62.21	UL-RL 6.2324E+04	-11.30	18.00
1.000	1.000	80.21	0.000	0.000	0.000	0.000	Ala_161_6590_L_0	0.0000	
0.0000	0.0000	0.0000	0.0000	0.0000	0.0000	0.0000			
59 D	16.66	0.000	112.6	63.28	112.6	63.28	UL-RL 6.2324E+04	-11.50	20.00
1.000	1.000	83.28	0.000	0.000	0.000	0.000	Ala_161_6590_L_0	0.0000	
0.0000	0.0000	0.0000	0.0000	0.0000	0.0000	0.0000			
60 D	17.27	0.000	114.5	64.35	114.5	64.35	UL-RL 6.2324E+04	-11.70	22.00
1.000	1.000	86.35	0.000	0.000	0.000	0.000	Ala_161_6590_L_0	0.0000	
0.0000	0.0000	0.0000	0.0000	0.0000	0.0000	0.0000			

61 D	17.88	0.000	116.4	65.42	116.4	65.42	UL-RL 6.2324E+04	-11.90	24.00
1.000	1.000	89.42	0.000	0.000	0.000	0.000	Ala_161_6590_L_0		0.0000
0.0000	0.0000	0.0000	0.0000	0.0000	0.0000	0.0000			
62 D	18.50	0.000	118.3	66.48	118.3	66.48	UL-RL 6.2324E+04	-12.10	26.00
1.000	1.000	92.48	0.000	0.000	0.000	0.000	Ala_161_6590_L_0		0.0000
0.0000	0.0000	0.0000	0.0000	0.0000	0.0000	0.0000			
63 D	19.11	0.000	120.2	67.55	120.2	67.55	UL-RL 6.2324E+04	-12.30	28.00
1.000	1.000	95.55	0.000	0.000	0.000	0.000	Ala_161_6590_L_0		0.0000
0.0000	0.0000	0.0000	0.0000	0.0000	0.0000	0.0000			
64 D	19.72	0.000	122.1	68.62	122.1	68.62	UL-RL 6.2324E+04	-12.50	30.00
1.000	1.000	98.62	0.000	0.000	0.000	0.000	Ala_161_6590_L_0		0.0000
0.0000	0.0000	0.0000	0.0000	0.0000	0.0000	0.0000			
65 D	20.34	0.000	124.0	69.69	124.0	69.69	UL-RL 6.2324E+04	-12.70	32.00
1.000	1.000	101.7	0.000	0.000	0.000	0.000	Ala_161_6590_L_0		0.0000
0.0000	0.0000	0.0000	0.0000	0.0000	0.0000	0.0000			
66 D	20.95	0.000	125.9	70.76	125.9	70.76	UL-RL 6.2324E+04	-12.90	34.00
1.000	1.000	104.8	0.000	0.000	0.000	0.000	Ala_161_6590_L_0		0.0000
0.0000	0.0000	0.0000	0.0000	0.0000	0.0000	0.0000			
67 D	21.56	0.000	127.8	71.82	127.8	71.82	UL-RL 6.2324E+04	-13.10	36.00
1.000	1.000	107.8	0.000	0.000	0.000	0.000	Ala_161_6590_L_0		0.0000
0.0000	0.0000	0.0000	0.0000	0.0000	0.0000	0.0000			
68 D	22.18	0.000	129.7	72.89	129.7	72.89	UL-RL 6.2324E+04	-13.30	38.00
1.000	1.000	110.9	0.000	0.000	0.000	0.000	Ala_161_6590_L_0		0.0000
0.0000	0.0000	0.0000	0.0000	0.0000	0.0000	0.0000			
69 D	22.79	0.000	131.6	73.96	131.6	73.96	UL-RL 6.2324E+04	-13.50	40.00
1.000	1.000	114.0	0.000	0.000	0.000	0.000	Ala_161_6590_L_0		0.0000
0.0000	0.0000	0.0000	0.0000	0.0000	0.0000	0.0000			
70 D	23.41	0.000	133.5	75.03	133.5	75.03	UL-RL 6.2324E+04	-13.70	42.00
1.000	1.000	117.0	0.000	0.000	0.000	0.000	Ala_161_6590_L_0		0.0000
0.0000	0.0000	0.0000	0.0000	0.0000	0.0000	0.0000			
71 D	24.02	0.000	135.4	76.09	135.4	76.09	UL-RL 6.2324E+04	-13.90	44.00
1.000	1.000	120.1	0.000	0.000	0.000	0.000	Ala_161_6590_L_0		0.0000
0.0000	0.0000	0.0000	0.0000	0.0000	0.0000	0.0000			
72 D	24.63	0.000	137.3	77.16	137.3	77.16	UL-RL 6.2324E+04	-14.10	46.00
1.000	1.000	123.2	0.000	0.000	0.000	0.000	Ala_161_6590_L_0		0.0000
0.0000	0.0000	0.0000	0.0000	0.0000	0.0000	0.0000			
73 D	25.25	0.000	139.2	78.23	139.2	78.23	UL-RL 6.2324E+04	-14.30	48.00
1.000	1.000	126.2	0.000	0.000	0.000	0.000	Ala_161_6590_L_0		0.0000
0.0000	0.0000	0.0000	0.0000	0.0000	0.0000	0.0000			
74 D	25.86	0.000	141.1	79.30	141.1	79.30	UL-RL 6.2324E+04	-14.50	50.00
1.000	1.000	129.3	0.000	0.000	0.000	0.000	Ala_161_6590_L_0		0.0000
0.0000	0.0000	0.0000	0.0000	0.0000	0.0000	0.0000			
75 D	26.47	0.000	143.0	80.37	143.0	80.37	UL-RL 6.2324E+04	-14.70	52.00
1.000	1.000	132.4	0.000	0.000	0.000	0.000	Ala_161_6590_L_0		0.0000
0.0000	0.0000	0.0000	0.0000	0.0000	0.0000	0.0000			
76 D	27.09	0.000	144.9	81.43	144.9	81.43	UL-RL 6.2324E+04	-14.90	54.00
1.000	1.000	135.4	0.000	0.000	0.000	0.000	Ala_161_6590_L_0		0.0000
0.0000	0.0000	0.0000	0.0000	0.0000	0.0000	0.0000			
77 D	27.70	0.000	146.8	82.50	146.8	82.50	UL-RL 6.2324E+04	-15.10	56.00
1.000	1.000	138.5	0.000	0.000	0.000	0.000	Ala_161_6590_L_0		0.0000
0.0000	0.0000	0.0000	0.0000	0.0000	0.0000	0.0000			
78 D	28.31	0.000	148.7	83.57	148.7	83.57	UL-RL 6.2324E+04	-15.30	58.00
1.000	1.000	141.6	0.000	0.000	0.000	0.000	Ala_161_6590_L_0		0.0000
0.0000	0.0000	0.0000	0.0000	0.0000	0.0000	0.0000			
79 D	28.93	0.000	150.6	84.64	150.6	84.64	UL-RL 6.2324E+04	-15.50	60.00
1.000	1.000	144.6	0.000	0.000	0.000	0.000	Ala_161_6590_L_0		0.0000
0.0000	0.0000	0.0000	0.0000	0.0000	0.0000	0.0000			
80 D	29.54	0.000	152.5	85.70	152.5	85.70	UL-RL 6.2324E+04	-15.70	62.00
1.000	1.000	147.7	0.000	0.000	0.000	0.000	Ala_161_6590_L_0		0.0000
0.0000	0.0000	0.0000	0.0000	0.0000	0.0000	0.0000			
81 D	30.15	0.000	154.4	86.77	154.4	86.77	UL-RL 6.2324E+04	-15.90	64.00
1.000	1.000	150.8	0.000	0.000	0.000	0.000	Ala_161_6590_L_0		0.0000
0.0000	0.0000	0.0000	0.0000	0.0000	0.0000	0.0000			
82 D	30.77	0.000	156.4	87.87	156.4	87.87	UL-RL 3.6188E+05	-16.10	66.00
1.000	1.000	153.9	0.000	0.000	8.000	8.000	Salt_21271_21259_L_0		0.0000
0.0000	0.0000	0.0000	0.0000	0.0000	0.0000	0.0000			
83 D	31.40	0.000	158.4	89.00	158.4	89.00	UL-RL 3.6188E+05	-16.30	68.00
1.000	1.000	157.0	0.000	0.000	8.000	8.000	Salt_21271_21259_L_0		0.0000
0.0000	0.0000	0.0000	0.0000	0.0000	0.0000	0.0000			
84 D	32.02	0.000	160.4	90.12	160.4	90.12	UL-RL 3.6188E+05	-16.50	70.00
1.000	1.000	160.1	0.000	0.000	8.000	8.000	Salt_21271_21259_L_0		0.0000
0.0000	0.0000	0.0000	0.0000	0.0000	0.0000	0.0000			
85 D	32.65	0.000	162.4	91.24	162.4	91.24	UL-RL 3.6188E+05	-16.70	72.00
1.000	1.000	163.2	0.000	0.000	8.000	8.000	Salt_21271_21259_L_0		0.0000
0.0000	0.0000	0.0000	0.0000	0.0000	0.0000	0.0000			
86 D	33.27	0.000	164.4	92.37	164.4	92.37	UL-RL 3.6188E+05	-16.90	74.00
1.000	1.000	166.4	0.000	0.000	8.000	8.000	Salt_21271_21259_L_0		0.0000
0.0000	0.0000	0.0000	0.0000	0.0000	0.0000	0.0000			
87 D	33.90	0.000	166.4	93.49	166.4	93.49	UL-RL 3.6188E+05	-17.10	76.00
1.000	1.000	169.5	0.000	0.000	8.000	8.000	Salt_21271_21259_L_0		0.0000
0.0000	0.0000	0.0000	0.0000	0.0000	0.0000	0.0000			
88 D	34.52	0.000	168.4	94.62	168.4	94.62	UL-RL 3.6188E+05	-17.30	78.00
1.000	1.000	172.6	0.000	0.000	8.000	8.000	Salt_21271_21259_L_0		0.0000
0.0000	0.0000	0.0000	0.0000	0.0000	0.0000	0.0000			
89 D	35.15	0.000	170.4	95.74	170.4	95.74	UL-RL 3.6188E+05	-17.50	80.00
1.000	1.000	175.7	0.000	0.000	8.000	8.000	Salt_21271_21259_L_0		0.0000
0.0000	0.0000	0.0000	0.0000	0.0000	0.0000	0.0000			
90 D	35.78	0.000	172.4	96.91	172.4	96.91	UL-RL 2.6540E+05	-17.70	82.00
1.000	1.000	178.9	0.000	0.000	44.00	44.00	Sch_21272_21260_L_0		0.0000
0.0000	0.0000	0.0000	0.0000	0.0000	0.0000	0.0000			
91 D	36.48	0.000	175.0	98.38	175.0	98.38	UL-RL 2.6540E+05	-17.90	84.00
1.000	1.000	182.4	0.000	0.000	44.00	44.00	Sch_21272_21260_L_0		0.0000

0.0000	0.0000	0.0000	0.0000	0.0000						
92 D	27.88	0.000	177.6	99.84	177.6	99.84	UL-RL 2.6540E+05	-18.10	86.00	
1.000	1.000	185.8	0.000	0.000	44.00	44.00	Sch_21272_21260_L_0		0.0000	
0.0000	0.0000	0.0000	0.0000	0.0000						
93 D	9.378	0.000	178.9	100.6	178.9	100.6	UL-RL 2.6540E+05	-18.20	87.00	
1.000	1.000	187.6	0.000	0.000	44.00	44.00	Sch_21272_21260_L_0		0.0000	
0.0000	0.0000	0.0000	0.0000	0.0000						

```

+-----+
|                PARATIEPLUS(TM)  NLS ENGINE RELEASE  2022.0.0  FULL VERSION  *Build date:Sep 13, 2021*                |
|                                                                                                                                            |
|                                                                                               ParatiePlus                               |
|                                                                                               Exe Time :28 January 2022   11:11:18           |
+-----+

```

New Project

S T R E S S R E S U L T S F O R G R O U P N O . 3

```

pali15001.7_33 :
ELEMENT TYPE   2 NO.OF ELEMENTS. IN THIS GROUP   68
C U R R E N T   T I M E   I S   2.0000 SUBINCREMENT 00001/00001

```

WALL2D ELEMENT

EL	TA	TB	MA	MB
1	0.0000	0.0000	0.0000	0.0000
2	0.0000	0.0000	0.0000	0.0000
3	0.0000	0.0000	0.0000	0.0000
4	0.0000	0.0000	0.0000	0.0000
5	0.0000	0.0000	0.0000	0.0000
6	0.0000	0.0000	0.0000	0.0000
7	0.0000	0.0000	0.0000	0.0000
8	0.0000	0.0000	0.0000	0.0000
9	0.0000	0.0000	0.0000	0.0000
10	0.0000	0.0000	0.0000	0.0000
11	0.0000	0.0000	0.0000	0.0000
12	0.0000	0.0000	0.0000	0.0000
13	0.0000	0.0000	0.0000	0.0000
14	0.0000	0.0000	0.0000	0.0000
15	0.0000	0.0000	0.0000	0.0000
16	0.0000	0.0000	0.0000	0.0000
17	0.0000	0.0000	0.0000	0.0000
18	0.0000	0.0000	0.0000	0.0000
19	0.0000	0.0000	0.0000	0.0000
20	0.0000	0.0000	0.0000	0.0000
21	0.0000	0.0000	0.0000	0.0000
22	0.0000	0.0000	0.0000	0.0000
23	0.0000	0.0000	0.0000	0.0000
24	0.0000	0.0000	0.0000	0.0000
25	0.0000	0.0000	0.0000	0.0000
26	0.0000	0.0000	0.0000	0.0000
27	0.0000	0.0000	0.0000	0.0000
28	0.0000	0.0000	0.0000	0.0000
29	0.0000	0.0000	0.0000	0.0000
30	0.0000	0.0000	0.0000	0.0000
31	0.0000	0.0000	0.0000	0.0000
32	0.0000	0.0000	0.0000	0.0000
33	0.0000	0.0000	0.0000	0.0000
34	0.0000	0.0000	0.0000	0.0000
35	0.0000	0.0000	0.0000	0.0000
36	0.0000	0.0000	0.0000	0.0000
37	0.0000	0.0000	0.0000	0.0000
38	0.0000	0.0000	0.0000	0.0000
39	0.0000	0.0000	0.0000	0.0000
40	0.0000	0.0000	0.0000	0.0000
41	0.0000	0.0000	0.0000	0.0000
42	0.0000	0.0000	0.0000	0.0000
43	0.0000	0.0000	0.0000	0.0000
44	0.0000	0.0000	0.0000	0.0000
45	0.0000	0.0000	0.0000	0.0000
46	0.0000	0.0000	0.0000	0.0000
47	0.0000	0.0000	0.0000	0.0000
48	0.0000	0.0000	0.0000	0.0000
49	0.0000	0.0000	0.0000	0.0000
50	0.0000	0.0000	0.0000	0.0000
51	0.0000	0.0000	0.0000	0.0000
52	0.0000	0.0000	0.0000	0.0000
53	0.0000	0.0000	0.0000	0.0000
54	0.0000	0.0000	0.0000	0.0000
55	0.0000	0.0000	0.0000	0.0000
56	0.0000	0.0000	0.0000	0.0000
57	0.0000	0.0000	0.0000	0.0000
58	0.0000	0.0000	0.0000	0.0000
59	0.0000	0.0000	0.0000	0.0000
60	0.0000	0.0000	0.0000	0.0000
61	0.0000	0.0000	0.0000	0.0000
62	0.0000	0.0000	0.0000	0.0000
63	0.0000	0.0000	0.0000	0.0000
64	0.0000	0.0000	0.0000	0.0000
65	0.0000	0.0000	0.0000	0.0000
66	0.0000	0.0000	0.0000	0.0000
67	0.0000	0.0000	0.0000	0.0000
68	0.0000	0.0000	0.0000	0.0000

```

+-----+
|                PARATIEPLUS(TM)  NLS ENGINE RELEASE 2022.0.0  FULL VERSION  *Build date:Sep 13, 2021*                |
|                                                                                                                                            |
|                                                                                               ParatiePlus |
|                                                                                               Exe Time :28 January 2022  11:11:18 |
+-----+

```

New Project

S T R E S S R E S U L T S F O R G R O U P N O . 4

muro71cm_4658 :
ELEMENT TYPE 2 NO.OF ELEMENTS. IN THIS GROUP 24
C U R R E N T T I M E I S 2.0000 SUBINCREMENT 00001/00001

WALL2D ELEMENT

EL TA TB MA MB

***** NO ONE ELEMENT ACTIVE AT CURRENT STEP *****

```

ITER   0  RNORM = 0.000   RMNORM= 0.000
      RINORM=0.1223E+06 RIMNOR= 0.000
      RENORM=0.2423E+05 REMNOR= 0.000   RATIO =0.4451   TOLER =0.1000E-03 NOT CONVERGED
      RFMAX = 54.83   RMMAX = 0.000
      RTSMAL=0.1000E-03 RMSMAL= 0.000
      RDT =0.1223E+06 RDR = 0.000
      RATIOT=0.4451   RATIO= 0.000
      MAX UN= 0.000   IEQ= 186 NODE   93 DOF   2   X-ROT. F
      MIN UN=-18.65   IEQ= 133 NODE   67 DOF   1   Y-DISPL.F
      NO. OF CONTACT CONSTRAINT VIOLATIONS   0

```

```

ITER   2  RNORM = 0.000   RMNORM= 0.000
      RINORM=0.1223E+06 RIMNOR= 0.000
      RENORM= 5959.   REMNOR=0.4395E-17 RATIO =0.2208   TOLER =0.1000E-03 NOT CONVERGED
      RFMAX = 54.83   RMMAX = 0.000
      RTSMAL=0.1000E-03 RMSMAL= 0.000
      RDT =0.1223E+06 RDR = 0.000
      RATIOT=0.2208   RATIO= 0.000
      MAX UN=0.2638E-08 IEQ= 161 NODE   81 DOF   1   Y-DISPL.F
      MIN UN=-23.68   IEQ= 163 NODE   82 DOF   1   Y-DISPL.F
      NO. OF CONTACT CONSTRAINT VIOLATIONS   0

```

```

ITER   3  RNORM = 0.000   RMNORM= 0.000
      RINORM=0.1223E+06 RIMNOR= 0.000
      RENORM= 3200.   REMNOR=0.9640E-16 RATIO =0.1618   TOLER =0.1000E-03 NOT CONVERGED
      RFMAX = 54.83   RMMAX = 0.000
      RTSMAL=0.1000E-03 RMSMAL= 0.000
      RDT =0.1223E+06 RDR = 0.000
      RATIOT=0.1618   RATIO= 0.000
      MAX UN=0.1955E-07 IEQ= 9 NODE   5 DOF   1   Y-DISPL.F
      MIN UN=-24.56   IEQ= 55 NODE   28 DOF   1   Y-DISPL.F
      NO. OF CONTACT CONSTRAINT VIOLATIONS   0

```

```

ITER   4  RNORM = 0.000   RMNORM= 0.000
      RINORM=0.1223E+06 RIMNOR= 0.000
      RENORM= 265.9   REMNOR=0.1196E-15 RATIO =0.4663E-01 TOLER =0.1000E-03 NOT CONVERGED
      RFMAX = 54.83   RMMAX = 0.000
      RTSMAL=0.1000E-03 RMSMAL= 0.000
      RDT =0.1223E+06 RDR = 0.000
      RATIOT=0.4663E-01 RATIO= 0.000
      MAX UN= 4.067   IEQ= 177 NODE   89 DOF   1   Y-DISPL.F
      MIN UN=-10.94   IEQ= 79 NODE   40 DOF   1   Y-DISPL.F
      NO. OF CONTACT CONSTRAINT VIOLATIONS   0

```

```

ITER   5  RNORM = 0.000   RMNORM= 0.000
      RINORM=0.1223E+06 RIMNOR= 0.000
      RENORM= 9.738   REMNOR=0.7393E-16 RATIO =0.8925E-02 TOLER =0.1000E-03 NOT CONVERGED
      RFMAX = 54.83   RMMAX = 0.000
      RTSMAL=0.1000E-03 RMSMAL= 0.000
      RDT =0.1223E+06 RDR = 0.000
      RATIOT=0.8925E-02 RATIO= 0.000
      MAX UN=0.5758   IEQ= 181 NODE   91 DOF   1   Y-DISPL.F
      MIN UN=-2.630   IEQ= 171 NODE   86 DOF   1   Y-DISPL.F
      NO. OF CONTACT CONSTRAINT VIOLATIONS   0

```

```

ITER   6  RNORM = 0.000   RMNORM= 0.000
      RINORM=0.1223E+06 RIMNOR= 0.000
      RENORM=0.9576E-01 REMNOR=0.4997E-16 RATIO =0.8850E-03 TOLER =0.1000E-03 NOT CONVERGED
      RFMAX = 54.83   RMMAX = 0.000
      RTSMAL=0.1000E-03 RMSMAL= 0.000
      RDT =0.1223E+06 RDR = 0.000
      RATIOT=0.8850E-03 RATIO= 0.000

```

MAX UN=0.2702 IEQ= 177 NODE 89 DOF 1 Y-DISPL.F
MIN UN=-.4615E-07 IEQ= 93 NODE 47 DOF 1 Y-DISPL.F
NO. OF CONTACT CONSTRAINT VIOLATIONS 0

ITER 7 RNORM = 0.000 RMNORM= 0.000
RINORM=0.1223E+06 RIMNOR= 0.000
RENORM=0.5876E-02 REMNOR=0.5223E-16 RATIO =0.2192E-03 TOLER =0.1000E-03 NOT CONVERGED
RFMAX = 54.83 RMMAX = 0.000
RTSMAL=0.1000E-03 RMSMAL= 0.000
RDT =0.1223E+06 RDR = 0.000
RATIOT=0.2192E-03 RATIO= 0.000
MAX UN=0.3768E-07 IEQ= 77 NODE 39 DOF 1 Y-DISPL.F
MIN UN=-.4731E-01 IEQ= 167 NODE 84 DOF 1 Y-DISPL.F
NO. OF CONTACT CONSTRAINT VIOLATIONS 0

ITER 8 RNORM = 0.000 RMNORM= 0.000
RINORM=0.1223E+06 RIMNOR= 0.000
RENORM=0.8331E-05 REMNOR=0.7402E-16 RATIO =0.8255E-05 TOLER =0.1000E-03 CONVERGED !
RFMAX = 54.83 RMMAX = 0.000
RTSMAL=0.1000E-03 RMSMAL= 0.000
RDT =0.1223E+06 RDR = 0.000
RATIOT=0.8255E-05 RATIO= 0.000
MAX UN=0.9300E-07 IEQ= 51 NODE 26 DOF 1 Y-DISPL.F
MIN UN=-.2160E-02 IEQ= 141 NODE 71 DOF 1 Y-DISPL.F
NO. OF CONTACT CONSTRAINT VIOLATIONS 0


```

+-----+
|              PARATIEPLUS(TM)  NLS ENGINE RELEASE  2022.0.0  FULL VERSION  *Build date:Sep 13, 2021*              |
|                                                                                                                                            |
|                                                                                               ParatiePlus                               |
|                                                                                               Exe Time :28 January 2022   11:11:18                               |
+-----+

```

New Project
SOLUTION REACHED USING 8 ITERATIONS ON 40

PRINT OUT FOR TIME STEP 3 (AT TIME 3.000) SUBINCREMENT 0001/00001

PRINT OUT OF ACTIVE COMPONENTS (FIXED NODES ARE NOT PRINTED OUT)

	Y-DISPL.F 02	X-ROT. F 04
1	-5.2687673E-02	3.9997620E-03
2	-5.1887722E-02	3.9997327E-03
3	-5.1087788E-02	3.9995821E-03
4	-5.0287906E-02	3.9991807E-03
5	-4.9488141E-02	3.9983906E-03
6	-4.8688585E-02	3.9970659E-03
7	-4.7889361E-02	3.9950523E-03
8	-4.7090621E-02	3.9921873E-03
9	-4.6292554E-02	3.9883000E-03
10	-4.5495381E-02	3.9832114E-03
11	-4.4699362E-02	3.9767339E-03
12	-4.3904793E-02	3.9686717E-03
13	-4.3112013E-02	3.9588207E-03
14	-4.2321399E-02	3.9469683E-03
15	-4.1533373E-02	3.9328933E-03
16	-4.0748405E-02	3.9163664E-03
17	-3.9967002E-02	3.8971495E-03
18	-3.9189737E-02	3.8749962E-03
19	-3.8417217E-02	3.8496516E-03
20	-3.7650106E-02	3.8208521E-03
21	-3.6889128E-02	3.7883258E-03
22	-3.6135047E-02	3.7517917E-03
23	-3.5388698E-02	3.7109609E-03
24	-3.4650969E-02	3.6655353E-03
25	-3.4285631E-02	3.6410137E-03
26	-3.3558675E-02	3.6283355E-03
27	-3.2834389E-02	3.6143362E-03
28	-3.2113038E-02	3.5989268E-03
29	-3.1394917E-02	3.5820321E-03
30	-3.0680329E-02	3.5635902E-03
31	-2.9969587E-02	3.5435523E-03
32	-2.9263020E-02	3.5218833E-03
33	-2.8560948E-02	3.4985608E-03
34	-2.7863706E-02	3.4735763E-03
35	-2.7171628E-02	3.4469344E-03
36	-2.6485042E-02	3.4186530E-03
37	-2.5804274E-02	3.3887632E-03
38	-2.5129644E-02	3.3573093E-03
39	-2.4461454E-02	3.3243477E-03
40	-2.3800001E-02	3.2899483E-03
41	-2.3145565E-02	3.2541937E-03
42	-2.2498407E-02	3.2171798E-03
43	-2.1858773E-02	3.1790152E-03
44	-2.1226873E-02	3.1398216E-03
45	-2.0602904E-02	3.0997337E-03
46	-1.9987029E-02	3.0588996E-03
47	-1.9379383E-02	3.0174750E-03
48	-1.8780072E-02	2.9756133E-03
49	-1.8189161E-02	2.9334602E-03
50	-1.7606698E-02	2.8911550E-03
51	-1.7032700E-02	2.8488298E-03
52	-1.6467173E-02	2.8066103E-03
53	-1.5910055E-02	2.7646124E-03
54	-1.5361306E-02	2.7229480E-03
55	-1.4820847E-02	2.6817211E-03
56	-1.4288581E-02	2.6410292E-03
57	-1.3764393E-02	2.6009632E-03
58	-1.3248149E-02	2.5616075E-03
59	-1.2739698E-02	2.5230402E-03
60	-1.2238875E-02	2.4853332E-03
61	-1.1745503E-02	2.4485525E-03
62	-1.1259389E-02	2.4127578E-03
63	-1.0780330E-02	2.3780031E-03
64	-1.0308115E-02	2.3443366E-03
65	-9.8425204E-03	2.3118008E-03
66	-9.3833167E-03	2.2804326E-03
67	-8.9302674E-03	2.2502634E-03
68	-8.4831297E-03	2.2213192E-03
69	-8.0416566E-03	2.1936207E-03
70	-7.6055974E-03	2.1671832E-03
71	-7.1746986E-03	2.1420174E-03
72	-6.7487053E-03	2.1181286E-03
73	-6.3273620E-03	2.0955172E-03
74	-5.9104135E-03	2.0741789E-03

75	-5.4976062E-03	2.0541042E-03
76	-5.0886885E-03	2.0352792E-03
77	-4.6834124E-03	2.0176850E-03
78	-4.2815340E-03	2.0012980E-03
79	-3.8828146E-03	1.9860901E-03
80	-3.4870216E-03	1.9720284E-03
81	-3.0939293E-03	1.9590757E-03
82	-2.7033202E-03	1.9471898E-03
83	-2.3149792E-03	1.9364164E-03
84	-1.9286714E-03	1.9268767E-03
85	-1.5441400E-03	1.9186651E-03
86	-1.1611125E-03	1.9118458E-03
87	-7.7930695E-04	1.9064471E-03
88	-3.9843991E-04	1.9024545E-03
89	-1.8238621E-05	1.8997597E-03
90	3.6155587E-04	1.8981585E-03
91	7.4109981E-04	1.8973978E-03
92	1.1205505E-03	1.8971696E-03
93	1.3102667E-03	1.8971580E-03

```

+-----+
|                PARATIEPLUS(TM)  NLS ENGINE RELEASE 2022.0.0  FULL VERSION  *Build date:Sep 13, 2021*                |
|                                                                                                                                            |
|                                                                                               ParatiePlus                               |
|                                                                                               Exe Time :28 January 2022  11:11:18          |
+-----+

```

New Project

S T R E S S R E S U L T S F O R G R O U P N O . 1

0_L :
ELEMENT TYPE 5 NO.OF ELEMENTS. IN THIS GROUP 93
C U R R E N T T I M E I S 3.0000 SUBINCREMENT 00001/00001

HARDENING 2D SOIL ELEMENT

***** TOTAL STRESS FORMULATION *****

EL * TOR QSL	FORCE UFACTOR ZD	DISPL-Y Peq ZPL	VERTICAL-P Su_a Kz	HORIZON.-P Su_p	MAX-V-P Cohe_a	MAX-H-P Cohe_p	STATE LAYER	STIFFNESS	Z-LEVEL	PORE ZFO	E FAC- QS
1	0.000	--	--	--	--	--	REMOVED	--	0.000	0.000	
1.000	1.000	0.000	0.000	0.000	0.000	0.000	not available				
2	0.000	--	--	--	--	--	REMOVED	--	-0.2000	0.000	
1.000	1.000	0.000	0.000	0.000	0.000	0.000	not available				
3	0.000	--	--	--	--	--	REMOVED	--	-0.4000	0.000	
1.000	1.000	0.000	0.000	0.000	0.000	0.000	not available				
4	0.000	--	--	--	--	--	REMOVED	--	-0.6000	0.000	
1.000	1.000	0.000	0.000	0.000	0.000	0.000	not available				
5	0.000	--	--	--	--	--	REMOVED	--	-0.8000	0.000	
1.000	1.000	0.000	0.000	0.000	0.000	0.000	not available				
6	0.000	--	--	--	--	--	REMOVED	--	-1.000	0.000	
1.000	1.000	0.000	0.000	0.000	0.000	0.000	not available				
7	0.000	--	--	--	--	--	REMOVED	--	-1.200	0.000	
1.000	1.000	0.000	0.000	0.000	0.000	0.000	not available				
8	0.000	--	--	--	--	--	REMOVED	--	-1.400	0.000	
1.000	1.000	0.000	0.000	0.000	0.000	0.000	not available				
9	0.000	--	--	--	--	--	REMOVED	--	-1.600	0.000	
1.000	1.000	0.000	0.000	0.000	0.000	0.000	not available				
10	0.000	--	--	--	--	--	REMOVED	--	-1.800	0.000	
1.000	1.000	0.000	0.000	0.000	0.000	0.000	not available				
11	0.000	--	--	--	--	--	REMOVED	--	-2.000	0.000	
1.000	1.000	0.000	0.000	0.000	0.000	0.000	not available				
12	0.000	--	--	--	--	--	REMOVED	--	-2.200	0.000	
1.000	1.000	0.000	0.000	0.000	0.000	0.000	not available				
13	0.000	--	--	--	--	--	REMOVED	--	-2.400	0.000	
1.000	1.000	0.000	0.000	0.000	0.000	0.000	not available				
14	0.000	--	--	--	--	--	REMOVED	--	-2.600	0.000	
1.000	1.000	0.000	0.000	0.000	0.000	0.000	not available				
15	0.000	--	--	--	--	--	REMOVED	--	-2.800	0.000	
1.000	1.000	0.000	0.000	0.000	0.000	0.000	not available				
16	0.000	--	--	--	--	--	REMOVED	--	-3.000	0.000	
1.000	1.000	0.000	0.000	0.000	0.000	0.000	not available				
17	0.000	--	--	--	--	--	REMOVED	--	-3.200	0.000	
1.000	1.000	0.000	0.000	0.000	0.000	0.000	not available				
18	0.000	--	--	--	--	--	REMOVED	--	-3.400	0.000	
1.000	1.000	0.000	0.000	0.000	0.000	0.000	not available				
19	0.000	--	--	--	--	--	REMOVED	--	-3.600	0.000	
1.000	1.000	0.000	0.000	0.000	0.000	0.000	not available				
20	0.000	--	--	--	--	--	REMOVED	--	-3.800	0.000	
1.000	1.000	0.000	0.000	0.000	0.000	0.000	not available				
21	0.000	--	--	--	--	--	REMOVED	--	-4.000	0.000	
1.000	1.000	0.000	0.000	0.000	0.000	0.000	not available				
22	0.000	--	--	--	--	--	REMOVED	--	-4.200	0.000	
1.000	1.000	0.000	0.000	0.000	0.000	0.000	not available				
23	0.000	--	--	--	--	--	REMOVED	--	-4.400	0.000	
1.000	1.000	0.000	0.000	0.000	0.000	0.000	not available				
24	0.000	--	--	--	--	--	REMOVED	--	-4.600	0.000	
1.000	1.000	0.000	0.000	0.000	0.000	0.000	not available				
25 D	0.000	3.4286E-02	0.000	0.000	0.000	0.000	PASSIVE	0.000	-4.700	0.000	
1.000	1.000	0.000	0.000	0.000	0.000	0.000	Ala_161_6590_L_0			0.0000	
0.0000	0.0000	0.0000	0.0000	0.0000	0.0000	0.0000					
26 D	1.977	3.3559E-02	3.900	9.887	3.900	9.887	PASSIVE	0.000	-4.900	0.000	
1.000	1.000	9.887	0.000	0.000	0.000	0.000	Ala_161_6590_L_0			0.0000	
0.0000	0.0000	0.0000	0.0000	0.0000	0.0000	0.0000					
27 D	3.955	3.2834E-02	7.800	19.77	7.800	19.77	PASSIVE	0.000	-5.100	0.000	
1.000	1.000	19.77	0.000	0.000	0.000	0.000	Ala_161_6590_L_0			0.0000	
0.0000	0.0000	0.0000	0.0000	0.0000	0.0000	0.0000					
28 D	5.932	3.2113E-02	11.70	29.66	11.70	29.66	PASSIVE	0.000	-5.300	0.000	
1.000	1.000	29.66	0.000	0.000	0.000	0.000	Ala_161_6590_L_0			0.0000	
0.0000	0.0000	0.0000	0.0000	0.0000	0.0000	0.0000					
29 D	7.909	3.1395E-02	15.60	39.55	15.60	39.55	PASSIVE	0.000	-5.500	0.000	
1.000	1.000	39.55	0.000	0.000	0.000	0.000	Ala_161_6590_L_0			0.0000	
0.0000	0.0000	0.0000	0.0000	0.0000	0.0000	0.0000					
30 D	9.886	3.0680E-02	19.50	49.43	19.50	49.43	PASSIVE	0.000	-5.700	0.000	

1.000	1.000	49.43	0.000	0.000	0.000	0.000	Ala_161_6590_L_0	0.0000	
0.0000	0.0000	0.0000	0.0000	0.0000	0.0000	0.0000			
31 D	11.86	2.9970E-02	23.40	59.32	23.40	59.32	PASSIVE 0.000	-5.900	0.000
1.000	1.000	59.32	0.000	0.000	0.000	0.000	Ala_161_6590_L_0	0.0000	
0.0000	0.0000	0.0000	0.0000	0.0000	0.0000	0.0000			
32 D	13.84	2.9263E-02	27.30	69.21	27.30	69.21	PASSIVE 0.000	-6.100	0.000
1.000	1.000	69.21	0.000	0.000	0.000	0.000	Ala_161_6590_L_0	0.0000	
0.0000	0.0000	0.0000	0.0000	0.0000	0.0000	0.0000			
33 D	15.82	2.8561E-02	31.20	79.09	31.20	79.09	PASSIVE 0.000	-6.300	0.000
1.000	1.000	79.09	0.000	0.000	0.000	0.000	Ala_161_6590_L_0	0.0000	
0.0000	0.0000	0.0000	0.0000	0.0000	0.0000	0.0000			
34 D	17.80	2.7864E-02	35.10	88.98	35.10	88.98	PASSIVE 0.000	-6.500	0.000
1.000	1.000	88.98	0.000	0.000	0.000	0.000	Ala_161_6590_L_0	0.0000	
0.0000	0.0000	0.0000	0.0000	0.0000	0.0000	0.0000			
35 D	19.77	2.7172E-02	39.00	98.86	39.00	98.86	PASSIVE 0.000	-6.700	0.000
1.000	1.000	98.86	0.000	0.000	0.000	0.000	Ala_161_6590_L_0	0.0000	
0.0000	0.0000	0.0000	0.0000	0.0000	0.0000	0.0000			
36 D	21.75	2.6485E-02	42.90	108.8	42.90	108.8	PASSIVE 0.000	-6.900	0.000
1.000	1.000	108.8	0.000	0.000	0.000	0.000	Ala_161_6590_L_0	0.0000	
0.0000	0.0000	0.0000	0.0000	0.0000	0.0000	0.0000			
37 D	23.73	2.5804E-02	46.80	118.6	46.80	118.6	PASSIVE 0.000	-7.100	0.000
1.000	1.000	118.6	0.000	0.000	0.000	0.000	Ala_161_6590_L_0	0.0000	
0.0000	0.0000	0.0000	0.0000	0.0000	0.0000	0.0000			
38 D	25.70	2.5130E-02	50.70	128.5	50.70	128.5	PASSIVE 0.000	-7.300	0.000
1.000	1.000	128.5	0.000	0.000	0.000	0.000	Ala_161_6590_L_0	0.0000	
0.0000	0.0000	0.0000	0.0000	0.0000	0.0000	0.0000			
39 D	27.68	2.4461E-02	54.60	138.4	54.60	138.4	PASSIVE 0.000	-7.500	0.000
1.000	1.000	138.4	0.000	0.000	0.000	0.000	Ala_161_6590_L_0	0.0000	
0.0000	0.0000	0.0000	0.0000	0.0000	0.0000	0.0000			
40 D	29.66	2.3800E-02	58.50	148.3	58.50	148.3	PASSIVE 0.000	-7.700	0.000
1.000	1.000	148.3	0.000	0.000	0.000	0.000	Ala_161_6590_L_0	0.0000	
0.0000	0.0000	0.0000	0.0000	0.0000	0.0000	0.0000			
41 D	31.64	2.3146E-02	62.40	158.2	62.40	158.2	PASSIVE 0.000	-7.900	0.000
1.000	1.000	158.2	0.000	0.000	0.000	0.000	Ala_161_6590_L_0	0.0000	
0.0000	0.0000	0.0000	0.0000	0.0000	0.0000	0.0000			
42 D	33.61	2.2498E-02	66.30	168.1	66.30	168.1	PASSIVE 0.000	-8.100	0.000
1.000	1.000	168.1	0.000	0.000	0.000	0.000	Ala_161_6590_L_0	0.0000	
0.0000	0.0000	0.0000	0.0000	0.0000	0.0000	0.0000			
43 D	35.59	2.1859E-02	70.20	178.0	70.20	178.0	PASSIVE 0.000	-8.300	0.000
1.000	1.000	178.0	0.000	0.000	0.000	0.000	Ala_161_6590_L_0	0.0000	
0.0000	0.0000	0.0000	0.0000	0.0000	0.0000	0.0000			
44 D	37.57	2.1227E-02	74.10	187.8	74.10	187.8	PASSIVE 0.000	-8.500	0.000
1.000	1.000	187.8	0.000	0.000	0.000	0.000	Ala_161_6590_L_0	0.0000	
0.0000	0.0000	0.0000	0.0000	0.0000	0.0000	0.0000			
45 D	39.55	2.0603E-02	78.00	197.7	78.00	197.7	PASSIVE 0.000	-8.700	0.000
1.000	1.000	197.7	0.000	0.000	0.000	0.000	Ala_161_6590_L_0	0.0000	
0.0000	0.0000	0.0000	0.0000	0.0000	0.0000	0.0000			
46 D	40.21	1.9987E-02	81.90	201.0	81.90	201.0	V-C 7755.	-8.900	0.000
1.000	1.000	201.0	0.000	0.000	0.000	0.000	Ala_161_6590_L_0	0.0000	
0.0000	0.0000	0.0000	0.0000	0.0000	0.0000	0.0000			
47 D	39.70	1.9379E-02	85.80	198.5	85.80	198.5	V-C 7755.	-9.100	0.000
1.000	1.000	198.5	0.000	0.000	0.000	0.000	Ala_161_6590_L_0	0.0000	
0.0000	0.0000	0.0000	0.0000	0.0000	0.0000	0.0000			
48 D	39.21	1.8780E-02	89.70	196.1	89.70	196.1	V-C 7755.	-9.300	0.000
1.000	1.000	196.1	0.000	0.000	0.000	0.000	Ala_161_6590_L_0	0.0000	
0.0000	0.0000	0.0000	0.0000	0.0000	0.0000	0.0000			
49 D	38.73	1.8189E-02	93.60	193.7	93.60	193.7	V-C 7755.	-9.500	0.000
1.000	1.000	193.7	0.000	0.000	0.000	0.000	Ala_161_6590_L_0	0.0000	
0.0000	0.0000	0.0000	0.0000	0.0000	0.0000	0.0000			
50 D	38.44	1.7607E-02	95.50	190.2	95.50	190.2	V-C 7755.	-9.700	2.000
1.000	1.000	192.2	0.000	0.000	0.000	0.000	Ala_161_6590_L_0	0.0000	
0.0000	0.0000	0.0000	0.0000	0.0000	0.0000	0.0000			
51 D	38.17	1.7033E-02	97.40	186.8	97.40	186.8	V-C 7755.	-9.900	4.000
1.000	1.000	190.8	0.000	0.000	0.000	0.000	Ala_161_6590_L_0	0.0000	
0.0000	0.0000	0.0000	0.0000	0.0000	0.0000	0.0000			
52 D	37.90	1.6467E-02	99.30	183.5	99.30	183.5	V-C 7755.	-10.10	6.000
1.000	1.000	189.5	0.000	0.000	0.000	0.000	Ala_161_6590_L_0	0.0000	
0.0000	0.0000	0.0000	0.0000	0.0000	0.0000	0.0000			
53 D	37.65	1.5910E-02	101.2	180.3	101.2	180.3	V-C 7755.	-10.30	8.000
1.000	1.000	188.3	0.000	0.000	0.000	0.000	Ala_161_6590_L_0	0.0000	
0.0000	0.0000	0.0000	0.0000	0.0000	0.0000	0.0000			
54 D	37.41	1.5361E-02	103.1	177.1	103.1	177.1	V-C 7755.	-10.50	10.000
1.000	1.000	187.1	0.000	0.000	0.000	0.000	Ala_161_6590_L_0	0.0000	
0.0000	0.0000	0.0000	0.0000	0.0000	0.0000	0.0000			
55 D	37.19	1.4821E-02	105.0	173.9	105.0	173.9	V-C 7755.	-10.70	12.00
1.000	1.000	185.9	0.000	0.000	0.000	0.000	Ala_161_6590_L_0	0.0000	
0.0000	0.0000	0.0000	0.0000	0.0000	0.0000	0.0000			
56 D	36.98	1.4289E-02	106.9	170.9	106.9	170.9	V-C 7755.	-10.90	14.00
1.000	1.000	184.9	0.000	0.000	0.000	0.000	Ala_161_6590_L_0	0.0000	
0.0000	0.0000	0.0000	0.0000	0.0000	0.0000	0.0000			
57 D	36.78	1.3764E-02	108.8	167.9	108.8	167.9	V-C 7755.	-11.10	16.00
1.000	1.000	183.9	0.000	0.000	0.000	0.000	Ala_161_6590_L_0	0.0000	
0.0000	0.0000	0.0000	0.0000	0.0000	0.0000	0.0000			
58 D	36.59	1.3248E-02	110.7	165.0	110.7	165.0	V-C 7755.	-11.30	18.00
1.000	1.000	183.0	0.000	0.000	0.000	0.000	Ala_161_6590_L_0	0.0000	
0.0000	0.0000	0.0000	0.0000	0.0000	0.0000	0.0000			
59 D	36.42	1.2740E-02	112.6	162.1	112.6	162.1	V-C 7755.	-11.50	20.00
1.000	1.000	182.1	0.000	0.000	0.000	0.000	Ala_161_6590_L_0	0.0000	
0.0000	0.0000	0.0000	0.0000	0.0000	0.0000	0.0000			
60 D	36.25	1.2239E-02	114.5	159.3	114.5	159.3	V-C 7755.	-11.70	22.00
1.000	1.000	181.3	0.000	0.000	0.000	0.000	Ala_161_6590_L_0	0.0000	
0.0000	0.0000	0.0000	0.0000	0.0000	0.0000	0.0000			

61 D	36.10	1.1746E-02	116.4	156.5	116.4	156.5	V-C 7755.	-11.90	24.00
1.000	1.000	180.5	0.000	0.000	0.000	0.000	Ala_161_6590_L_0		0.0000
0.0000	0.0000	0.0000	0.0000	0.0000					
62 D	35.96	1.1259E-02	118.3	153.8	118.3	153.8	V-C 7755.	-12.10	26.00
1.000	1.000	179.8	0.000	0.000	0.000	0.000	Ala_161_6590_L_0		0.0000
0.0000	0.0000	0.0000	0.0000	0.0000					
63 D	35.83	1.0780E-02	120.2	151.2	120.2	151.2	V-C 7755.	-12.30	28.00
1.000	1.000	179.2	0.000	0.000	0.000	0.000	Ala_161_6590_L_0		0.0000
0.0000	0.0000	0.0000	0.0000	0.0000					
64 D	35.71	1.0308E-02	122.1	148.6	122.1	148.6	V-C 7755.	-12.50	30.00
1.000	1.000	178.6	0.000	0.000	0.000	0.000	Ala_161_6590_L_0		0.0000
0.0000	0.0000	0.0000	0.0000	0.0000					
65 D	35.60	9.8425E-03	124.0	146.0	124.0	146.0	V-C 7755.	-12.70	32.00
1.000	1.000	178.0	0.000	0.000	0.000	0.000	Ala_161_6590_L_0		0.0000
0.0000	0.0000	0.0000	0.0000	0.0000					
66 D	35.50	9.3833E-03	125.9	143.5	125.9	143.5	V-C 7755.	-12.90	34.00
1.000	1.000	177.5	0.000	0.000	0.000	0.000	Ala_161_6590_L_0		0.0000
0.0000	0.0000	0.0000	0.0000	0.0000					
67 D	35.42	8.9303E-03	127.8	141.1	127.8	141.1	V-C 7755.	-13.10	36.00
1.000	1.000	177.1	0.000	0.000	0.000	0.000	Ala_161_6590_L_0		0.0000
0.0000	0.0000	0.0000	0.0000	0.0000					
68 D	35.34	8.4831E-03	129.7	138.7	129.7	138.7	V-C 7755.	-13.30	38.00
1.000	1.000	176.7	0.000	0.000	0.000	0.000	Ala_161_6590_L_0		0.0000
0.0000	0.0000	0.0000	0.0000	0.0000					
69 D	35.26	8.0417E-03	131.6	136.3	131.6	136.3	V-C 7755.	-13.50	40.00
1.000	1.000	176.3	0.000	0.000	0.000	0.000	Ala_161_6590_L_0		0.0000
0.0000	0.0000	0.0000	0.0000	0.0000					
70 D	35.20	7.6056E-03	133.5	134.0	133.5	134.0	V-C 7755.	-13.70	42.00
1.000	1.000	176.0	0.000	0.000	0.000	0.000	Ala_161_6590_L_0		0.0000
0.0000	0.0000	0.0000	0.0000	0.0000					
71 D	35.15	7.1747E-03	135.4	131.7	135.4	131.7	V-C 7755.	-13.90	44.00
1.000	1.000	175.7	0.000	0.000	0.000	0.000	Ala_161_6590_L_0		0.0000
0.0000	0.0000	0.0000	0.0000	0.0000					
72 D	35.10	6.7487E-03	137.3	129.5	137.3	129.5	V-C 7755.	-14.10	46.00
1.000	1.000	175.5	0.000	0.000	0.000	0.000	Ala_161_6590_L_0		0.0000
0.0000	0.0000	0.0000	0.0000	0.0000					
73 D	35.06	6.3274E-03	139.2	127.3	139.2	127.3	V-C 7755.	-14.30	48.00
1.000	1.000	175.3	0.000	0.000	0.000	0.000	Ala_161_6590_L_0		0.0000
0.0000	0.0000	0.0000	0.0000	0.0000					
74 D	35.03	5.9104E-03	141.1	125.1	141.1	125.1	V-C 7755.	-14.50	50.00
1.000	1.000	175.1	0.000	0.000	0.000	0.000	Ala_161_6590_L_0		0.0000
0.0000	0.0000	0.0000	0.0000	0.0000					
75 D	35.00	5.4976E-03	143.0	123.0	143.0	123.0	UL-RL 2.3265E+04	-14.70	52.00
1.000	1.000	175.0	0.000	0.000	0.000	0.000	Ala_161_6590_L_0		0.0000
0.0000	0.0000	0.0000	0.0000	0.0000					
76 D	34.98	5.0887E-03	144.9	120.9	144.9	120.9	UL-RL 2.3265E+04	-14.90	54.00
1.000	1.000	174.9	0.000	0.000	0.000	0.000	Ala_161_6590_L_0		0.0000
0.0000	0.0000	0.0000	0.0000	0.0000					
77 D	34.96	4.6834E-03	146.8	118.8	146.8	118.8	UL-RL 2.3265E+04	-15.10	56.00
1.000	1.000	174.8	0.000	0.000	0.000	0.000	Ala_161_6590_L_0		0.0000
0.0000	0.0000	0.0000	0.0000	0.0000					
78 D	34.95	4.2815E-03	148.7	116.8	148.7	116.8	UL-RL 2.3265E+04	-15.30	58.00
1.000	1.000	174.8	0.000	0.000	0.000	0.000	Ala_161_6590_L_0		0.0000
0.0000	0.0000	0.0000	0.0000	0.0000					
79 D	34.95	3.8828E-03	150.6	114.7	150.6	114.8	UL-RL 2.3265E+04	-15.50	60.00
1.000	1.000	174.7	0.000	0.000	0.000	0.000	Ala_161_6590_L_0		0.0000
0.0000	0.0000	0.0000	0.0000	0.0000					
80 D	34.95	3.4870E-03	152.5	112.7	152.5	112.8	UL-RL 2.3265E+04	-15.70	62.00
1.000	1.000	174.7	0.000	0.000	0.000	0.000	Ala_161_6590_L_0		0.0000
0.0000	0.0000	0.0000	0.0000	0.0000					
81 D	34.95	3.0939E-03	154.4	110.8	154.4	110.8	UL-RL 2.3265E+04	-15.90	64.00
1.000	1.000	174.8	0.000	0.000	0.000	0.000	Ala_161_6590_L_0		0.0000
0.0000	0.0000	0.0000	0.0000	0.0000					
82 D	54.34	2.7033E-03	156.4	205.7	156.4	205.8	UL-RL 1.3083E+05	-16.10	66.00
1.000	1.000	271.7	0.000	0.000	8.000	8.000	Salt_21271_21259_L_0		0.0000
0.0000	0.0000	0.0000	0.0000	0.0000					
83 D	51.58	2.3150E-03	158.4	189.9	158.4	190.0	UL-RL 1.3083E+05	-16.30	68.00
1.000	1.000	257.9	0.000	0.000	8.000	8.000	Salt_21271_21259_L_0		0.0000
0.0000	0.0000	0.0000	0.0000	0.0000					
84 D	48.83	1.9287E-03	160.4	174.2	160.4	174.3	UL-RL 1.3083E+05	-16.50	70.00
1.000	1.000	244.2	0.000	0.000	8.000	8.000	Salt_21271_21259_L_0		0.0000
0.0000	0.0000	0.0000	0.0000	0.0000					
85 D	45.84	1.5441E-03	162.4	157.2	162.4	159.3	UL-RL 1.3083E+05	-16.70	72.00
1.000	1.000	229.2	0.000	0.000	8.000	8.000	Salt_21271_21259_L_0		0.0000
0.0000	0.0000	0.0000	0.0000	0.0000					
86 D	42.53	1.1611E-03	164.4	138.7	164.4	145.2	UL-RL 1.3083E+05	-16.90	74.00
1.000	1.000	212.7	0.000	0.000	8.000	8.000	Salt_21271_21259_L_0		0.0000
0.0000	0.0000	0.0000	0.0000	0.0000					
87 D	38.92	7.7931E-04	166.4	118.6	166.4	131.9	UL-RL 1.3083E+05	-17.10	76.00
1.000	1.000	194.6	0.000	0.000	8.000	8.000	Salt_21271_21259_L_0		0.0000
0.0000	0.0000	0.0000	0.0000	0.0000					
88 D	30.87	3.9844E-04	168.4	76.34	168.4	129.8	UL-RL 1.3083E+05	-17.30	78.00
1.000	1.000	154.3	0.000	0.000	8.000	8.000	Salt_21271_21259_L_0		0.0000
0.0000	0.0000	0.0000	0.0000	0.0000					
89 D	28.27	1.8239E-05	170.4	61.33	170.4	127.7	UL-RL 1.3083E+05	-17.50	80.00
1.000	1.000	141.3	0.000	0.000	8.000	8.000	Salt_21271_21259_L_0		0.0000
0.0000	0.0000	0.0000	0.0000	0.0000					
90 D	22.76	-3.6156E-04	172.4	31.81	172.4	114.8	UL-RL 8.1281E+04	-17.70	82.00
1.000	1.000	113.8	0.000	0.000	44.00	44.00	Sch_21272_21260_L_0		0.0000
0.0000	0.0000	0.0000	0.0000	0.0000					
91 D	18.66	-7.4110E-04	175.0	9.302	175.0	114.2	UL-RL 8.1281E+04	-17.90	84.00
1.000	1.000	93.30	0.000	0.000	44.00	44.00	Sch_21272_21260_L_0		0.0000

0.0000	0.0000	0.0000	0.0000	0.0000						
92 D	14.42	-1.1206E-03	177.6	10.11	177.6	113.7	UL-RL	8.1281E+04	-18.10	86.00
1.000	1.000	96.11	0.000	0.000	44.00	44.00	Sch_21272_21260_L_0			0.0000
0.0000	0.0000	0.0000	0.0000	0.0000						
93 D	4.876	-1.3103E-03	178.9	10.52	178.9	113.4	UL-RL	8.1281E+04	-18.20	87.00
1.000	1.000	97.52	0.000	0.000	44.00	44.00	Sch_21272_21260_L_0			0.0000
0.0000	0.0000	0.0000	0.0000	0.0000						

New Project

S T R E S S R E S U L T S F O R G R O U P N O . 2

0_R :
ELEMENT TYPE 5 NO.OF ELEMENTS. IN THIS GROUP 93
C U R R E N T T I M E I S 3.0000 SUBINCREMENT 00001/00001

HARDENING 2D SOIL ELEMENT

***** TOTAL STRESS FORMULATION *****

EL * TOR QSL	FORCE UFACTOR ZD	DISPL-Y Peq ZPL	VERTICAL-P Su_a Kz	HORIZON.-P Su_p	MAX-V-P Cohe_a	MAX-H-P Cohe_p	STATE LAYER	STIFFNESS Z-LEVEL	PORE ZFO	E FAC- QS
1 D	1.710	-5.2688E-02	57.00	17.10	57.00	24.28	ACTIVE	0.000	0.000	0.000
1.000	1.000	17.10	0.000	0.000	0.000	0.000	rilevato_6589_8_L_0		0.000	0.000
0.0000	0.0000	0.0000	0.0000	0.0000	0.0000					
2 D	3.660	-5.1888E-02	61.00	18.30	61.00	25.99	ACTIVE	0.000	-0.2000	0.000
1.000	1.000	18.30	0.000	0.000	0.000	0.000	rilevato_6589_8_L_0		0.000	0.000
0.0000	0.0000	0.0000	0.0000	0.0000	0.0000					
3 D	3.900	-5.1088E-02	65.00	19.50	65.00	27.69	ACTIVE	0.000	-0.4000	0.000
1.000	1.000	19.50	0.000	0.000	0.000	0.000	rilevato_6589_8_L_0		0.000	0.000
0.0000	0.0000	0.0000	0.0000	0.0000	0.0000					
4 D	4.140	-5.0288E-02	69.01	20.70	69.01	29.39	ACTIVE	0.000	-0.6000	0.000
1.000	1.000	20.70	0.000	0.000	0.000	0.000	rilevato_6589_8_L_0		0.000	0.000
0.0000	0.0000	0.0000	0.0000	0.0000	0.0000					
5 D	4.381	-4.9488E-02	73.02	21.91	73.02	31.10	ACTIVE	0.000	-0.8000	0.000
1.000	1.000	21.91	0.000	0.000	0.000	0.000	rilevato_6589_8_L_0		0.000	0.000
0.0000	0.0000	0.0000	0.0000	0.0000	0.0000					
6 D	4.622	-4.8689E-02	77.04	23.11	77.04	32.80	ACTIVE	0.000	-1.000	0.000
1.000	1.000	23.11	0.000	0.000	0.000	0.000	rilevato_6589_8_L_0		0.000	0.000
0.0000	0.0000	0.0000	0.0000	0.0000	0.0000					
7 D	4.864	-4.7889E-02	81.06	24.32	81.06	34.51	ACTIVE	0.000	-1.200	0.000
1.000	1.000	24.32	0.000	0.000	0.000	0.000	rilevato_6589_8_L_0		0.000	0.000
0.0000	0.0000	0.0000	0.0000	0.0000	0.0000					
8 D	5.106	-4.7091E-02	85.10	25.53	85.10	36.21	ACTIVE	0.000	-1.400	0.000
1.000	1.000	25.53	0.000	0.000	0.000	0.000	rilevato_6589_8_L_0		0.000	0.000
0.0000	0.0000	0.0000	0.0000	0.0000	0.0000					
9 D	5.349	-4.6293E-02	89.15	26.74	89.15	37.91	ACTIVE	0.000	-1.600	0.000
1.000	1.000	26.74	0.000	0.000	0.000	0.000	rilevato_6589_8_L_0		0.000	0.000
0.0000	0.0000	0.0000	0.0000	0.0000	0.0000					
10 D	5.592	-4.5495E-02	93.20	27.96	93.20	39.62	ACTIVE	0.000	-1.800	0.000
1.000	1.000	27.96	0.000	0.000	0.000	0.000	rilevato_6589_8_L_0		0.000	0.000
0.0000	0.0000	0.0000	0.0000	0.0000	0.0000					
11 D	5.836	-4.4699E-02	97.27	29.18	97.27	41.32	ACTIVE	0.000	-2.000	0.000
1.000	1.000	29.18	0.000	0.000	0.000	0.000	rilevato_6589_8_L_0		0.000	0.000
0.0000	0.0000	0.0000	0.0000	0.0000	0.0000					
12 D	6.081	-4.3905E-02	101.4	30.41	101.4	43.03	ACTIVE	0.000	-2.200	0.000
1.000	1.000	30.41	0.000	0.000	0.000	0.000	rilevato_6589_8_L_0		0.000	0.000
0.0000	0.0000	0.0000	0.0000	0.0000	0.0000					
13 D	6.327	-4.3112E-02	105.4	31.63	105.4	44.73	ACTIVE	0.000	-2.400	0.000
1.000	1.000	31.63	0.000	0.000	0.000	0.000	rilevato_6589_8_L_0		0.000	0.000
0.0000	0.0000	0.0000	0.0000	0.0000	0.0000					
14 D	6.573	-4.2321E-02	109.6	32.87	109.6	46.43	ACTIVE	0.000	-2.600	0.000
1.000	1.000	32.87	0.000	0.000	0.000	0.000	rilevato_6589_8_L_0		0.000	0.000
0.0000	0.0000	0.0000	0.0000	0.0000	0.0000					
15 D	6.820	-4.1533E-02	113.7	34.10	113.7	48.14	ACTIVE	0.000	-2.800	0.000
1.000	1.000	34.10	0.000	0.000	0.000	0.000	rilevato_6589_8_L_0		0.000	0.000
0.0000	0.0000	0.0000	0.0000	0.0000	0.0000					
16 D	7.068	-4.0748E-02	117.8	35.34	117.8	49.84	ACTIVE	0.000	-3.000	0.000
1.000	1.000	35.34	0.000	0.000	0.000	0.000	rilevato_6589_8_L_0		0.000	0.000
0.0000	0.0000	0.0000	0.0000	0.0000	0.0000					
17 D	7.316	-3.9967E-02	121.9	36.58	121.9	51.55	ACTIVE	0.000	-3.200	0.000
1.000	1.000	36.58	0.000	0.000	0.000	0.000	rilevato_6589_8_L_0		0.000	0.000
0.0000	0.0000	0.0000	0.0000	0.0000	0.0000					
18 D	7.565	-3.9190E-02	126.1	37.83	126.1	53.25	ACTIVE	0.000	-3.400	0.000
1.000	1.000	37.83	0.000	0.000	0.000	0.000	rilevato_6589_8_L_0		0.000	0.000
0.0000	0.0000	0.0000	0.0000	0.0000	0.0000					
19 D	7.815	-3.8417E-02	130.2	39.07	130.2	54.95	ACTIVE	0.000	-3.600	0.000
1.000	1.000	39.07	0.000	0.000	0.000	0.000	rilevato_6589_8_L_0		0.000	0.000
0.0000	0.0000	0.0000	0.0000	0.0000	0.0000					
20 D	8.065	-3.7650E-02	134.4	40.32	134.4	56.66	ACTIVE	0.000	-3.800	0.000
1.000	1.000	40.32	0.000	0.000	0.000	0.000	rilevato_6589_8_L_0		0.000	0.000
0.0000	0.0000	0.0000	0.0000	0.0000	0.0000					
21 D	8.315	-3.6889E-02	138.6	41.57	138.6	58.36	ACTIVE	0.000	-4.000	0.000
1.000	1.000	41.57	0.000	0.000	0.000	0.000	rilevato_6589_8_L_0		0.000	0.000
0.0000	0.0000	0.0000	0.0000	0.0000	0.0000					
22 D	8.566	-3.6135E-02	142.8	42.83	142.8	60.07	ACTIVE	0.000	-4.200	0.000

1.000	1.000	42.83	0.000	0.000	0.000	0.000	rilevato_6589_8_L_0	0.0000	
0.0000	0.0000	0.0000	0.0000	0.0000	0.0000	0.0000			
23 D	8.817	-3.5389E-02	146.9	44.08	146.9	61.77	ACTIVE 0.000	-4.400	0.000
1.000	1.000	44.08	0.000	0.000	0.000	0.000	rilevato_6589_8_L_0	0.0000	
0.0000	0.0000	0.0000	0.0000	0.0000	0.0000	0.0000			
24 D	6.801	-3.4651E-02	151.1	45.34	151.1	63.47	ACTIVE 0.000	-4.600	0.000
1.000	1.000	45.34	0.000	0.000	0.000	0.000	rilevato_6589_8_L_0	0.0000	
0.0000	0.0000	0.0000	0.0000	0.0000	0.0000	0.0000			
25 D	9.929	-3.4286E-02	153.2	66.19	153.2	86.11	ACTIVE 0.000	-4.700	0.000
1.000	1.000	66.19	0.000	0.000	0.000	0.000	Ala_161_6590_L_0	0.0000	
0.0000	0.0000	0.0000	0.0000	0.0000	0.0000	0.0000			
26 D	13.59	-3.3559E-02	157.3	67.96	157.3	88.41	ACTIVE 0.000	-4.900	0.000
1.000	1.000	67.96	0.000	0.000	0.000	0.000	Ala_161_6590_L_0	0.0000	
0.0000	0.0000	0.0000	0.0000	0.0000	0.0000	0.0000			
27 D	13.95	-3.2834E-02	161.4	69.73	161.4	90.71	ACTIVE 0.000	-5.100	0.000
1.000	1.000	69.73	0.000	0.000	0.000	0.000	Ala_161_6590_L_0	0.0000	
0.0000	0.0000	0.0000	0.0000	0.0000	0.0000	0.0000			
28 D	14.30	-3.2113E-02	165.5	71.50	165.5	93.02	ACTIVE 0.000	-5.300	0.000
1.000	1.000	71.50	0.000	0.000	0.000	0.000	Ala_161_6590_L_0	0.0000	
0.0000	0.0000	0.0000	0.0000	0.0000	0.0000	0.0000			
29 D	14.65	-3.1395E-02	169.6	73.27	169.6	95.32	ACTIVE 0.000	-5.500	0.000
1.000	1.000	73.27	0.000	0.000	0.000	0.000	Ala_161_6590_L_0	0.0000	
0.0000	0.0000	0.0000	0.0000	0.0000	0.0000	0.0000			
30 D	15.01	-3.0680E-02	173.7	75.04	173.7	97.62	ACTIVE 0.000	-5.700	0.000
1.000	1.000	75.04	0.000	0.000	0.000	0.000	Ala_161_6590_L_0	0.0000	
0.0000	0.0000	0.0000	0.0000	0.0000	0.0000	0.0000			
31 D	15.36	-2.9970E-02	177.8	76.80	177.8	99.92	ACTIVE 0.000	-5.900	0.000
1.000	1.000	76.80	0.000	0.000	0.000	0.000	Ala_161_6590_L_0	0.0000	
0.0000	0.0000	0.0000	0.0000	0.0000	0.0000	0.0000			
32 D	15.71	-2.9263E-02	181.9	78.57	181.9	102.2	ACTIVE 0.000	-6.100	0.000
1.000	1.000	78.57	0.000	0.000	0.000	0.000	Ala_161_6590_L_0	0.0000	
0.0000	0.0000	0.0000	0.0000	0.0000	0.0000	0.0000			
33 D	16.07	-2.8561E-02	186.0	80.34	186.0	104.5	ACTIVE 0.000	-6.300	0.000
1.000	1.000	80.34	0.000	0.000	0.000	0.000	Ala_161_6590_L_0	0.0000	
0.0000	0.0000	0.0000	0.0000	0.0000	0.0000	0.0000			
34 D	16.42	-2.7864E-02	190.0	82.10	190.0	106.8	ACTIVE 0.000	-6.500	0.000
1.000	1.000	82.10	0.000	0.000	0.000	0.000	Ala_161_6590_L_0	0.0000	
0.0000	0.0000	0.0000	0.0000	0.0000	0.0000	0.0000			
35 D	16.77	-2.7172E-02	194.1	83.86	194.1	109.1	ACTIVE 0.000	-6.700	0.000
1.000	1.000	83.86	0.000	0.000	0.000	0.000	Ala_161_6590_L_0	0.0000	
0.0000	0.0000	0.0000	0.0000	0.0000	0.0000	0.0000			
36 D	17.16	-2.6485E-02	198.7	85.82	198.7	111.6	ACTIVE 0.000	-6.900	0.000
1.000	1.000	85.82	0.000	0.000	0.000	0.000	Ala_161_6590_L_0	0.0000	
0.0000	0.0000	0.0000	0.0000	0.0000	0.0000	0.0000			
37 D	17.60	-2.5804E-02	203.7	87.98	203.7	114.5	ACTIVE 0.000	-7.100	0.000
1.000	1.000	87.98	0.000	0.000	0.000	0.000	Ala_161_6590_L_0	0.0000	
0.0000	0.0000	0.0000	0.0000	0.0000	0.0000	0.0000			
38 D	17.99	-2.5130E-02	208.2	89.94	208.2	117.0	ACTIVE 0.000	-7.300	0.000
1.000	1.000	89.94	0.000	0.000	0.000	0.000	Ala_161_6590_L_0	0.0000	
0.0000	0.0000	0.0000	0.0000	0.0000	0.0000	0.0000			
39 D	18.40	-2.4461E-02	212.9	91.99	212.9	119.7	ACTIVE 0.000	-7.500	0.000
1.000	1.000	91.99	0.000	0.000	0.000	0.000	Ala_161_6590_L_0	0.0000	
0.0000	0.0000	0.0000	0.0000	0.0000	0.0000	0.0000			
40 D	18.79	-2.3800E-02	217.5	93.96	217.5	122.2	ACTIVE 0.000	-7.700	0.000
1.000	1.000	93.96	0.000	0.000	0.000	0.000	Ala_161_6590_L_0	0.0000	
0.0000	0.0000	0.0000	0.0000	0.0000	0.0000	0.0000			
41 D	19.18	-2.3146E-02	222.0	95.92	222.0	124.8	ACTIVE 0.000	-7.900	0.000
1.000	1.000	95.92	0.000	0.000	0.000	0.000	Ala_161_6590_L_0	0.0000	
0.0000	0.0000	0.0000	0.0000	0.0000	0.0000	0.0000			
42 D	19.58	-2.2498E-02	226.6	97.88	226.6	127.3	ACTIVE 0.000	-8.100	0.000
1.000	1.000	97.88	0.000	0.000	0.000	0.000	Ala_161_6590_L_0	0.0000	
0.0000	0.0000	0.0000	0.0000	0.0000	0.0000	0.0000			
43 D	19.95	-2.1859E-02	230.9	99.76	230.9	129.8	ACTIVE 0.000	-8.300	0.000
1.000	1.000	99.76	0.000	0.000	0.000	0.000	Ala_161_6590_L_0	0.0000	
0.0000	0.0000	0.0000	0.0000	0.0000	0.0000	0.0000			
44 D	20.34	-2.1227E-02	235.5	101.7	235.5	132.3	ACTIVE 0.000	-8.500	0.000
1.000	1.000	101.7	0.000	0.000	0.000	0.000	Ala_161_6590_L_0	0.0000	
0.0000	0.0000	0.0000	0.0000	0.0000	0.0000	0.0000			
45 D	20.71	-2.0603E-02	239.7	103.5	239.7	134.7	ACTIVE 0.000	-8.700	0.000
1.000	1.000	103.5	0.000	0.000	0.000	0.000	Ala_161_6590_L_0	0.0000	
0.0000	0.0000	0.0000	0.0000	0.0000	0.0000	0.0000			
46 D	21.10	-1.9987E-02	244.2	105.5	244.2	137.2	ACTIVE 0.000	-8.900	0.000
1.000	1.000	105.5	0.000	0.000	0.000	0.000	Ala_161_6590_L_0	0.0000	
0.0000	0.0000	0.0000	0.0000	0.0000	0.0000	0.0000			
47 D	21.46	-1.9379E-02	248.3	107.3	248.3	139.6	ACTIVE 0.000	-9.100	0.000
1.000	1.000	107.3	0.000	0.000	0.000	0.000	Ala_161_6590_L_0	0.0000	
0.0000	0.0000	0.0000	0.0000	0.0000	0.0000	0.0000			
48 D	21.84	-1.8780E-02	252.8	109.2	252.8	142.1	ACTIVE 0.000	-9.300	0.000
1.000	1.000	109.2	0.000	0.000	0.000	0.000	Ala_161_6590_L_0	0.0000	
0.0000	0.0000	0.0000	0.0000	0.0000	0.0000	0.0000			
49 D	22.20	-1.8189E-02	256.9	111.0	256.9	144.4	ACTIVE 0.000	-9.500	0.000
1.000	1.000	111.0	0.000	0.000	0.000	0.000	Ala_161_6590_L_0	0.0000	
0.0000	0.0000	0.0000	0.0000	0.0000	0.0000	0.0000			
50 D	22.80	-1.7607E-02	259.3	112.0	259.3	145.7	ACTIVE 0.000	-9.700	2.000
1.000	1.000	114.0	0.000	0.000	0.000	0.000	Ala_161_6590_L_0	0.0000	
0.0000	0.0000	0.0000	0.0000	0.0000	0.0000	0.0000			
51 D	23.38	-1.7033E-02	261.3	112.9	261.3	146.9	ACTIVE 0.000	-9.900	4.000
1.000	1.000	116.9	0.000	0.000	0.000	0.000	Ala_161_6590_L_0	0.0000	
0.0000	0.0000	0.0000	0.0000	0.0000	0.0000	0.0000			
52 D	23.98	-1.6467E-02	263.6	113.9	263.6	148.2	ACTIVE 0.000	-10.10	6.000
1.000	1.000	119.9	0.000	0.000	0.000	0.000	Ala_161_6590_L_0	0.0000	
0.0000	0.0000	0.0000	0.0000	0.0000	0.0000	0.0000			

53 D	24.55	-1.5910E-02	265.6	114.8	265.6	149.3	ACTIVE	0.000	-10.30	8.000
1.000	1.000	122.8	0.000	0.000	0.000	0.000	Ala_161_6590_L_0			0.0000
0.0000	0.0000	0.0000	0.0000	0.0000						
54 D	25.14	-1.5361E-02	267.9	115.7	267.9	150.5	ACTIVE	0.000	-10.50	10.000
1.000	1.000	125.7	0.000	0.000	0.000	0.000	Ala_161_6590_L_0			0.0000
0.0000	0.0000	0.0000	0.0000	0.0000						
55 D	25.72	-1.4821E-02	269.9	116.6	269.9	151.7	ACTIVE	0.000	-10.70	12.00
1.000	1.000	128.6	0.000	0.000	0.000	0.000	Ala_161_6590_L_0			0.0000
0.0000	0.0000	0.0000	0.0000	0.0000						
56 D	26.30	-1.4289E-02	272.0	117.5	272.0	152.9	ACTIVE	0.000	-10.90	14.00
1.000	1.000	131.5	0.000	0.000	0.000	0.000	Ala_161_6590_L_0			0.0000
0.0000	0.0000	0.0000	0.0000	0.0000						
57 D	26.87	-1.3764E-02	274.0	118.4	274.0	154.0	ACTIVE	0.000	-11.10	16.00
1.000	1.000	134.4	0.000	0.000	0.000	0.000	Ala_161_6590_L_0			0.0000
0.0000	0.0000	0.0000	0.0000	0.0000						
58 D	27.45	-1.3248E-02	276.0	119.3	276.0	155.1	ACTIVE	0.000	-11.30	18.00
1.000	1.000	137.3	0.000	0.000	0.000	0.000	Ala_161_6590_L_0			0.0000
0.0000	0.0000	0.0000	0.0000	0.0000						
59 D	28.03	-1.2740E-02	278.1	120.1	278.1	156.3	ACTIVE	0.000	-11.50	20.00
1.000	1.000	140.1	0.000	0.000	0.000	0.000	Ala_161_6590_L_0			0.0000
0.0000	0.0000	0.0000	0.0000	0.0000						
60 D	28.60	-1.2239E-02	280.0	121.0	280.0	157.4	ACTIVE	0.000	-11.70	22.00
1.000	1.000	143.0	0.000	0.000	0.000	0.000	Ala_161_6590_L_0			0.0000
0.0000	0.0000	0.0000	0.0000	0.0000						
61 D	29.17	-1.1746E-02	282.1	121.9	282.1	158.5	ACTIVE	0.000	-11.90	24.00
1.000	1.000	145.9	0.000	0.000	0.000	0.000	Ala_161_6590_L_0			0.0000
0.0000	0.0000	0.0000	0.0000	0.0000						
62 D	29.74	-1.1259E-02	284.0	122.7	284.0	159.6	ACTIVE	0.000	-12.10	26.00
1.000	1.000	148.7	0.000	0.000	0.000	0.000	Ala_161_6590_L_0			0.0000
0.0000	0.0000	0.0000	0.0000	0.0000						
63 D	30.31	-1.0780E-02	286.0	123.6	286.0	160.7	ACTIVE	0.000	-12.30	28.00
1.000	1.000	151.6	0.000	0.000	0.000	0.000	Ala_161_6590_L_0			0.0000
0.0000	0.0000	0.0000	0.0000	0.0000						
64 D	30.87	-1.0308E-02	287.9	124.4	287.9	161.8	ACTIVE	0.000	-12.50	30.00
1.000	1.000	154.4	0.000	0.000	0.000	0.000	Ala_161_6590_L_0			0.0000
0.0000	0.0000	0.0000	0.0000	0.0000						
65 D	31.45	-9.8425E-03	289.9	125.2	289.9	162.9	ACTIVE	0.000	-12.70	32.00
1.000	1.000	157.2	0.000	0.000	0.000	0.000	Ala_161_6590_L_0			0.0000
0.0000	0.0000	0.0000	0.0000	0.0000						
66 D	32.01	-9.3833E-03	291.8	126.0	291.8	164.0	ACTIVE	0.000	-12.90	34.00
1.000	1.000	160.0	0.000	0.000	0.000	0.000	Ala_161_6590_L_0			0.0000
0.0000	0.0000	0.0000	0.0000	0.0000						
67 D	32.58	-8.9303E-03	293.7	126.9	293.7	165.1	ACTIVE	0.000	-13.10	36.00
1.000	1.000	162.9	0.000	0.000	0.000	0.000	Ala_161_6590_L_0			0.0000
0.0000	0.0000	0.0000	0.0000	0.0000						
68 D	33.13	-8.4831E-03	295.5	127.7	295.5	166.1	ACTIVE	0.000	-13.30	38.00
1.000	1.000	165.7	0.000	0.000	0.000	0.000	Ala_161_6590_L_0			0.0000
0.0000	0.0000	0.0000	0.0000	0.0000						
69 D	33.69	-8.0417E-03	297.3	128.4	297.3	167.1	ACTIVE	0.000	-13.50	40.00
1.000	1.000	168.4	0.000	0.000	0.000	0.000	Ala_161_6590_L_0			0.0000
0.0000	0.0000	0.0000	0.0000	0.0000						
70 D	34.24	-7.6056E-03	299.1	129.2	299.1	168.1	ACTIVE	0.000	-13.70	42.00
1.000	1.000	171.2	0.000	0.000	0.000	0.000	Ala_161_6590_L_0			0.0000
0.0000	0.0000	0.0000	0.0000	0.0000						
71 D	34.79	-7.1747E-03	300.8	130.0	300.8	169.1	ACTIVE	0.000	-13.90	44.00
1.000	1.000	174.0	0.000	0.000	0.000	0.000	Ala_161_6590_L_0			0.0000
0.0000	0.0000	0.0000	0.0000	0.0000						
72 D	35.35	-6.7487E-03	302.6	130.7	302.6	170.1	ACTIVE	0.000	-14.10	46.00
1.000	1.000	176.7	0.000	0.000	0.000	0.000	Ala_161_6590_L_0			0.0000
0.0000	0.0000	0.0000	0.0000	0.0000						
73 D	35.90	-6.3274E-03	304.4	131.5	304.4	171.1	ACTIVE	0.000	-14.30	48.00
1.000	1.000	179.5	0.000	0.000	0.000	0.000	Ala_161_6590_L_0			0.0000
0.0000	0.0000	0.0000	0.0000	0.0000						
74 D	36.45	-5.9104E-03	306.2	132.3	306.2	172.1	ACTIVE	0.000	-14.50	50.00
1.000	1.000	182.3	0.000	0.000	0.000	0.000	Ala_161_6590_L_0			0.0000
0.0000	0.0000	0.0000	0.0000	0.0000						
75 D	37.01	-5.4976E-03	308.0	133.0	308.0	173.1	UL-RL 2.4134E+04		-14.70	52.00
1.000	1.000	185.0	0.000	0.000	0.000	0.000	Ala_161_6590_L_0			0.0000
0.0000	0.0000	0.0000	0.0000	0.0000						
76 D	37.56	-5.0887E-03	309.7	133.8	309.7	174.1	UL-RL 2.4134E+04		-14.90	54.00
1.000	1.000	187.8	0.000	0.000	0.000	0.000	Ala_161_6590_L_0			0.0000
0.0000	0.0000	0.0000	0.0000	0.0000						
77 D	38.12	-4.6834E-03	311.5	134.6	311.5	175.1	UL-RL 2.4134E+04		-15.10	56.00
1.000	1.000	190.6	0.000	0.000	0.000	0.000	Ala_161_6590_L_0			0.0000
0.0000	0.0000	0.0000	0.0000	0.0000						
78 D	38.67	-4.2815E-03	313.3	135.4	313.3	176.1	UL-RL 2.4134E+04		-15.30	58.00
1.000	1.000	193.4	0.000	0.000	0.000	0.000	Ala_161_6590_L_0			0.0000
0.0000	0.0000	0.0000	0.0000	0.0000						
79 D	39.23	-3.8828E-03	315.1	136.1	315.1	177.1	UL-RL 2.4134E+04		-15.50	60.00
1.000	1.000	196.1	0.000	0.000	0.000	0.000	Ala_161_6590_L_0			0.0000
0.0000	0.0000	0.0000	0.0000	0.0000						
80 D	39.78	-3.4870E-03	316.9	136.9	316.9	178.1	UL-RL 2.4134E+04		-15.70	62.00
1.000	1.000	198.9	0.000	0.000	0.000	0.000	Ala_161_6590_L_0			0.0000
0.0000	0.0000	0.0000	0.0000	0.0000						
81 D	40.34	-3.0939E-03	318.7	137.7	318.7	179.1	UL-RL 2.4134E+04		-15.90	64.00
1.000	1.000	201.7	0.000	0.000	0.000	0.000	Ala_161_6590_L_0			0.0000
0.0000	0.0000	0.0000	0.0000	0.0000						
82 D	37.88	-2.7033E-03	320.5	123.4	320.5	180.1	UL-RL 1.4013E+05		-16.10	66.00
1.000	1.000	189.4	0.000	0.000	8.000	8.000	Salt_21271_21259_L_0			0.0000
0.0000	0.0000	0.0000	0.0000	0.0000						
83 D	38.44	-2.3150E-03	322.4	124.2	322.4	181.2	UL-RL 1.4013E+05		-16.30	68.00
1.000	1.000	192.2	0.000	0.000	8.000	8.000	Salt_21271_21259_L_0			0.0000

0.0000	0.0000	0.0000	0.0000	0.0000						
84 D	39.01	-1.9287E-03	324.3	125.0	324.3	182.3	UL-RL 1.4013E+05	-16.50	70.00	
1.000	1.000	195.0	0.000	0.000	8.000	8.000	Salt_21271_21259_L_0		0.0000	
0.0000	0.0000	0.0000	0.0000	0.0000						
85 D	39.99	-1.5441E-03	326.2	127.9	326.2	183.3	UL-RL 1.4013E+05	-16.70	72.00	
1.000	1.000	199.9	0.000	0.000	8.000	8.000	Salt_21271_21259_L_0		0.0000	
0.0000	0.0000	0.0000	0.0000	0.0000						
86 D	41.49	-1.1611E-03	328.1	133.5	328.1	184.4	UL-RL 1.4013E+05	-16.90	74.00	
1.000	1.000	207.5	0.000	0.000	8.000	8.000	Salt_21271_21259_L_0		0.0000	
0.0000	0.0000	0.0000	0.0000	0.0000						
87 D	43.51	-7.7931E-04	330.0	141.6	330.0	185.5	UL-RL 1.4013E+05	-17.10	76.00	
1.000	1.000	217.6	0.000	0.000	8.000	8.000	Salt_21271_21259_L_0		0.0000	
0.0000	0.0000	0.0000	0.0000	0.0000						
88 D	52.67	-3.9844E-04	331.9	185.4	331.9	186.6	UL-RL 1.4013E+05	-17.30	78.00	
1.000	1.000	263.4	0.000	0.000	8.000	8.000	Salt_21271_21259_L_0		0.0000	
0.0000	0.0000	0.0000	0.0000	0.0000						
89 D	56.20	-1.8239E-05	333.8	201.0	333.8	201.7	UL-RL 1.4013E+05	-17.50	80.00	
1.000	1.000	281.0	0.000	0.000	8.000	8.000	Salt_21271_21259_L_0		0.0000	
0.0000	0.0000	0.0000	0.0000	0.0000						
90 D	56.58	3.6156E-04	335.8	200.9	335.8	201.3	UL-RL 1.0277E+05	-17.70	82.00	
1.000	1.000	282.9	0.000	0.000	44.00	44.00	Sch_21272_21260_L_0		0.0000	
0.0000	0.0000	0.0000	0.0000	0.0000						
91 D	59.87	7.4110E-04	338.4	215.4	338.4	215.6	UL-RL 1.0277E+05	-17.90	84.00	
1.000	1.000	299.4	0.000	0.000	44.00	44.00	Sch_21272_21260_L_0		0.0000	
0.0000	0.0000	0.0000	0.0000	0.0000						
92 D	47.38	1.1206E-03	340.9	229.9	340.9	230.0	UL-RL 1.0277E+05	-18.10	86.00	
1.000	1.000	315.9	0.000	0.000	44.00	44.00	Sch_21272_21260_L_0		0.0000	
0.0000	0.0000	0.0000	0.0000	0.0000						
93 D	16.21	1.3103E-03	342.1	237.1	342.1	237.2	UL-RL 1.0277E+05	-18.20	87.00	
1.000	1.000	324.1	0.000	0.000	44.00	44.00	Sch_21272_21260_L_0		0.0000	
0.0000	0.0000	0.0000	0.0000	0.0000						

```

+-----+
|                PARATIEPLUS(TM)  NLS ENGINE RELEASE  2022.0.0  FULL VERSION  *Build date:Sep 13, 2021*                |
|                                                                                                                                           |
|                                                                                               ParatiePlus                               |
|                                                                                               Exe Time :28 January 2022   11:11:18   |
+-----+

```

New Project

S T R E S S R E S U L T S F O R G R O U P N O . 3

pali15001.7_33 :
E L E M E N T T Y P E 2 N O . O F E L E M E N T S . I N T H I S G R O U P 6 8
C U R R E N T T I M E I S 3 . 0 0 0 0 S U B I N C R E M E N T 0 0 0 0 1 / 0 0 0 0 1

WALL2D ELEMENT

EL	TA	TB	MA	MB
1	-155.22	155.22	293.50	-324.54
2	-166.83	166.83	324.54	-357.91
3	-176.82	176.82	357.91	-393.27
4	-185.19	185.19	393.27	-430.31
5	-191.94	191.94	430.31	-468.70
6	-197.06	197.06	468.70	-508.11
7	-200.55	200.55	508.11	-548.22
8	-202.43	202.43	548.22	-588.70
9	-202.68	202.68	588.70	-629.24
10	-201.30	201.30	629.24	-669.50
11	-198.30	198.30	669.50	-709.16
12	-193.71	193.71	709.16	-747.90
13	-187.58	187.58	747.90	-785.42
14	-179.87	179.87	785.42	-821.39
15	-170.58	170.58	821.39	-855.51
16	-159.71	159.71	855.51	-887.45
17	-147.26	147.26	887.45	-916.90
18	-133.22	133.22	916.90	-943.55
19	-117.58	117.58	943.55	-967.06
20	-100.36	100.36	967.06	-987.14
21	-81.522	81.522	987.14	-1003.4
22	-62.416	62.416	1003.4	-1015.9
23	-44.171	44.171	1015.9	-1024.8
24	-26.803	26.803	1024.8	-1030.1
25	-10.265	10.265	1030.1	-1032.2
26	5.3753	-5.3753	1032.2	-1031.1
27	20.163	-20.163	1031.1	-1027.1
28	34.088	-34.088	1027.1	-1020.2
29	47.189	-47.189	1020.2	-1010.8
30	59.461	-59.461	1010.8	-998.92
31	70.934	-70.934	998.92	-984.73
32	81.613	-81.613	984.73	-968.41
33	91.517	-91.517	968.41	-950.10
34	100.66	-100.66	950.10	-929.97
35	109.05	-109.05	929.97	-908.16
36	116.70	-116.70	908.16	-884.82
37	123.63	-123.63	884.82	-860.10
38	129.86	-129.86	860.10	-834.12
39	135.38	-135.38	834.12	-807.05
40	140.22	-140.22	807.05	-779.01
41	144.37	-144.37	779.01	-750.13
42	147.87	-147.87	750.13	-720.56
43	150.71	-150.71	720.56	-690.42
44	152.91	-152.91	690.42	-659.83
45	154.49	-154.49	659.83	-628.94
46	155.45	-155.45	628.94	-597.85
47	155.81	-155.81	597.85	-566.69
48	155.56	-155.56	566.69	-535.57
49	154.72	-154.72	535.57	-504.63
50	153.30	-153.30	504.63	-473.97
51	151.29	-151.29	473.97	-443.71
52	148.70	-148.70	443.71	-413.97
53	145.55	-145.55	413.97	-384.86
54	141.83	-141.83	384.86	-356.49
55	137.56	-137.56	356.49	-328.98
56	132.72	-132.72	328.98	-302.44
57	127.34	-127.34	302.44	-276.97
58	143.80	-143.80	276.97	-248.21
59	156.93	-156.93	248.21	-216.83
60	166.76	-166.76	216.83	-183.47
61	172.61	-172.61	183.47	-148.95
62	173.66	-173.66	148.95	-114.22
63	169.06	-169.06	114.22	-80.409
64	147.26	-147.26	80.409	-50.958
65	119.32	-119.32	50.958	-27.093
66	85.506	-85.506	27.093	-9.9913
67	44.292	-44.292	9.9913	-1.1329
68	11.329	-11.329	1.1329	-1.73248E-10

```

+-----+
|                PARATIEPLUS(TM)  NLS ENGINE RELEASE  2022.0.0  FULL VERSION  *Build date:Sep 13, 2021*                |
|                                                                                                                                            |
|                                                                                               ParatiePlus                               |
|                                                                                               Exe Time :28 January 2022   11:11:18                               |
+-----+

```

New Project

S T R E S S R E S U L T S F O R G R O U P N O . 4

```

muro71cm_4658 :
ELEMENT TYPE   2 NO.OF ELEMENTS. IN THIS GROUP   24
C U R R E N T   T I M E   I S   3.0000 SUBINCREMENT 00001/00001

```

WALL2D ELEMENT

EL	TA	TB	MA	MB
1	-1.7100	1.7100	4.01469E-11	-0.34200
2	-5.3700	5.3700	0.34200	-1.4160
3	-9.2702	9.2702	1.4160	-3.2700
4	-13.411	13.411	3.2700	-5.9522
5	-17.792	17.792	5.9522	-9.5105
6	-22.414	22.414	9.5105	-13.993
7	-27.278	27.278	13.993	-19.449
8	-32.384	32.384	19.449	-25.926
9	-37.733	37.733	25.926	-33.472
10	-43.325	43.325	33.472	-42.137
11	-49.161	49.161	42.137	-51.969
12	-55.242	55.242	51.969	-63.018
13	-61.569	61.569	63.018	-75.332
14	-68.142	68.142	75.332	-88.960
15	-74.962	74.962	88.960	-103.95
16	-82.030	82.030	103.95	-120.36
17	-89.347	89.347	120.36	-138.23
18	-96.912	96.912	138.23	-157.61
19	-104.73	104.73	157.61	-178.56
20	-112.79	112.79	178.56	-201.11
21	-121.11	121.11	201.11	-225.33
22	-129.67	129.67	225.33	-251.27
23	-138.49	138.49	251.27	-278.97
24	-145.29	145.29	278.97	-293.50

```

ITER   0  RNORM = 0.000   RMNORM= 0.000
RINORM=0.3120E+07   RIMNOR=0.6762E+08
RENORM=0.8331E-05   REMNOR=0.7402E-16   RATIO =0.1634E-05   TOLER =0.1000E-03   CONVERGED !
RFMAX = 202.7   RMMAX = 1032.
RTSMAL=0.1000E-02   RMSMAL=0.1000E-01
RDT   =0.3120E+07   RDR   =0.6762E+08
RATIOT=0.1634E-05   RATIO= 0.000
MAX UN=0.9300E-07   IEQ=   51 NODE   26 DOF   1   Y-DISPL.F
MIN UN=-.2160E-02   IEQ=   141 NODE   71 DOF   1   Y-DISPL.F
NO. OF CONTACT CONSTRAINT VIOLATIONS   0

```

```

ITER   1  RNORM = 0.000   RMNORM= 0.000
RINORM=0.3120E+07   RIMNOR=0.6762E+08
RENORM=0.1403E-06   REMNOR=0.7409E-16   RATIO =0.2121E-06   TOLER =0.1000E-03   CONVERGED !
RFMAX = 202.7   RMMAX = 1032.
RTSMAL=0.1000E-02   RMSMAL=0.1000E-01
RDT   =0.3120E+07   RDR   =0.6762E+08
RATIOT=0.2121E-06   RATIO= 0.000
MAX UN=0.1476E-07   IEQ=   37 NODE   19 DOF   1   Y-DISPL.F
MIN UN=-.7725E-04   IEQ=   135 NODE   68 DOF   1   Y-DISPL.F
NO. OF CONTACT CONSTRAINT VIOLATIONS   0

```

```

ITER   2  RNORM = 0.000   RMNORM= 0.000
RINORM=0.3120E+07   RIMNOR=0.6762E+08
RENORM=0.3265E-07   REMNOR=0.3892E-16   RATIO =0.1023E-06   TOLER =0.1000E-03   CONVERGED !
RFMAX = 202.7   RMMAX = 1032.
RTSMAL=0.1000E-02   RMSMAL=0.1000E-01
RDT   =0.3120E+07   RDR   =0.6762E+08
RATIOT=0.1023E-06   RATIO= 0.000
MAX UN=0.3550E-07   IEQ=   93 NODE   47 DOF   1   Y-DISPL.F
MIN UN=-.7762E-04   IEQ=   43 NODE   22 DOF   1   Y-DISPL.F
NO. OF CONTACT CONSTRAINT VIOLATIONS   0

```

```

+-----+
|                PARATIEPLUS(TM)  NLS ENGINE RELEASE  2022.0.0  FULL VERSION  *Build date:Sep 13, 2021*                |
|                                                                                                                                            |
|                                                                                               ParatiePlus                                                                                               |
|                                                                                               Exe Time :28 January 2022   11:11:18                                                                                               |
+-----+

```

New Project
SOLUTION REACHED USING 2 ITERATIONS ON 40

PRINT OUT FOR TIME STEP 4 (AT TIME 4.000) SUBINCREMENT 0001/00001

PRINT OUT OF ACTIVE COMPONENTS (FIXED NODES ARE NOT PRINTED OUT)

	Y-DISPL.F	X-ROT. F
	02	04
1	-5.2687669E-02	3.9997590E-03
2	-5.1887719E-02	3.9997297E-03
3	-5.1087785E-02	3.9995791E-03
4	-5.0287904E-02	3.9991777E-03
5	-4.9488140E-02	3.9983876E-03
6	-4.8688585E-02	3.9970629E-03
7	-4.7889361E-02	3.9950493E-03
8	-4.7090622E-02	3.9921842E-03
9	-4.6292555E-02	3.9882970E-03
10	-4.5495383E-02	3.9832083E-03
11	-4.4699364E-02	3.9767308E-03
12	-4.3904796E-02	3.9686686E-03
13	-4.3112016E-02	3.9588176E-03
14	-4.2321403E-02	3.9469651E-03
15	-4.1533378E-02	3.9328901E-03
16	-4.0748410E-02	3.9163632E-03
17	-3.9967009E-02	3.8971462E-03
18	-3.9189744E-02	3.8749930E-03
19	-3.8417224E-02	3.8496483E-03
20	-3.7650115E-02	3.8208488E-03
21	-3.6889137E-02	3.7883226E-03
22	-3.6135057E-02	3.7517885E-03
23	-3.5388708E-02	3.7109577E-03
24	-3.4650980E-02	3.6655322E-03
25	-3.4285642E-02	3.6410107E-03
26	-3.3558687E-02	3.6283325E-03
27	-3.2834401E-02	3.6143332E-03
28	-3.2113051E-02	3.5989238E-03
29	-3.1394930E-02	3.5820292E-03
30	-3.0680343E-02	3.5635873E-03
31	-2.9969602E-02	3.5435495E-03
32	-2.9263035E-02	3.5218805E-03
33	-2.8560964E-02	3.4985581E-03
34	-2.7863723E-02	3.4735736E-03
35	-2.7171645E-02	3.4469317E-03
36	-2.6485059E-02	3.4186504E-03
37	-2.5804292E-02	3.3887607E-03
38	-2.5129663E-02	3.3573069E-03
39	-2.4461473E-02	3.3243453E-03
40	-2.3800020E-02	3.2899460E-03
41	-2.3145585E-02	3.2541916E-03
42	-2.2498428E-02	3.2171777E-03
43	-2.1858794E-02	3.1790133E-03
44	-2.1226894E-02	3.1398197E-03
45	-2.0602925E-02	3.0997319E-03
46	-1.9987051E-02	3.0588979E-03
47	-1.9379405E-02	3.0174734E-03
48	-1.8780094E-02	2.9756118E-03
49	-1.8189183E-02	2.9334589E-03
50	-1.7606721E-02	2.8911538E-03
51	-1.7032723E-02	2.8488287E-03
52	-1.6467196E-02	2.8066094E-03
53	-1.5910079E-02	2.7646117E-03
54	-1.5361329E-02	2.7229474E-03
55	-1.4820871E-02	2.6817207E-03
56	-1.4288605E-02	2.6410289E-03
57	-1.3764417E-02	2.6009631E-03
58	-1.3248173E-02	2.5616075E-03
59	-1.2739722E-02	2.5230404E-03
60	-1.2238899E-02	2.4853337E-03
61	-1.1745526E-02	2.4485531E-03
62	-1.1259412E-02	2.4127586E-03
63	-1.0780354E-02	2.3780042E-03
64	-1.0308138E-02	2.3443379E-03
65	-9.8425431E-03	2.3118024E-03
66	-9.3833392E-03	2.2804344E-03
67	-8.9302894E-03	2.2502655E-03
68	-8.4831513E-03	2.2213216E-03
69	-8.0416777E-03	2.1936233E-03
70	-7.6056179E-03	2.1671862E-03
71	-7.1747185E-03	2.1420207E-03
72	-6.7487245E-03	2.1181321E-03
73	-6.3273805E-03	2.0955211E-03
74	-5.9104312E-03	2.0741830E-03

75	-5.4976230E-03	2.0541086E-03
76	-5.0887045E-03	2.0352838E-03
77	-4.6834275E-03	2.0176897E-03
78	-4.2815481E-03	2.0013029E-03
79	-3.8828277E-03	1.9860952E-03
80	-3.4870336E-03	1.9720336E-03
81	-3.0939403E-03	1.9590809E-03
82	-2.7033301E-03	1.9471952E-03
83	-2.3149881E-03	1.9364218E-03
84	-1.9286792E-03	1.9268822E-03
85	-1.5441467E-03	1.9186705E-03
86	-1.1611181E-03	1.9118512E-03
87	-7.7931149E-04	1.9064526E-03
88	-3.9844336E-04	1.9024600E-03
89	-1.8240978E-05	1.8997652E-03
90	3.6155460E-04	1.8981640E-03
91	7.4109963E-04	1.8974033E-03
92	1.1205514E-03	1.8971751E-03
93	1.3102681E-03	1.8971634E-03

New Project

S T R E S S R E S U L T S F O R G R O U P N O . 1

0_L :
ELEMENT TYPE 5 NO.OF ELEMENTS. IN THIS GROUP 93
C U R R E N T T I M E I S 4.0000 SUBINCREMENT 00001/00001

HARDENING 2D SOIL ELEMENT

***** TOTAL STRESS FORMULATION *****

EL * TOR QSL	FORCE UFACTOR ZD	DISPL-Y Peq ZPL	VERTICAL-P Su_a Kz	HORIZON.-P Su_p	MAX-V-P Cohe_a	MAX-H-P Cohe_p	STATE LAYER	STIFFNESS	Z-LEVEL	PORE ZFO	E FAC- QS
1	0.000	--	--	--	--	--	REMOVED	--	0.000	0.000	
1.000	1.000	0.000	0.000	0.000	0.000	0.000	not available	--			
2	0.000	--	--	--	--	--	REMOVED	--	-0.2000	0.000	
1.000	1.000	0.000	0.000	0.000	0.000	0.000	not available	--			
3	0.000	--	--	--	--	--	REMOVED	--	-0.4000	0.000	
1.000	1.000	0.000	0.000	0.000	0.000	0.000	not available	--			
4	0.000	--	--	--	--	--	REMOVED	--	-0.6000	0.000	
1.000	1.000	0.000	0.000	0.000	0.000	0.000	not available	--			
5	0.000	--	--	--	--	--	REMOVED	--	-0.8000	0.000	
1.000	1.000	0.000	0.000	0.000	0.000	0.000	not available	--			
6	0.000	--	--	--	--	--	REMOVED	--	-1.000	0.000	
1.000	1.000	0.000	0.000	0.000	0.000	0.000	not available	--			
7	0.000	--	--	--	--	--	REMOVED	--	-1.200	0.000	
1.000	1.000	0.000	0.000	0.000	0.000	0.000	not available	--			
8	0.000	--	--	--	--	--	REMOVED	--	-1.400	0.000	
1.000	1.000	0.000	0.000	0.000	0.000	0.000	not available	--			
9	0.000	--	--	--	--	--	REMOVED	--	-1.600	0.000	
1.000	1.000	0.000	0.000	0.000	0.000	0.000	not available	--			
10	0.000	--	--	--	--	--	REMOVED	--	-1.800	0.000	
1.000	1.000	0.000	0.000	0.000	0.000	0.000	not available	--			
11	0.000	--	--	--	--	--	REMOVED	--	-2.000	0.000	
1.000	1.000	0.000	0.000	0.000	0.000	0.000	not available	--			
12	0.000	--	--	--	--	--	REMOVED	--	-2.200	0.000	
1.000	1.000	0.000	0.000	0.000	0.000	0.000	not available	--			
13	0.000	--	--	--	--	--	REMOVED	--	-2.400	0.000	
1.000	1.000	0.000	0.000	0.000	0.000	0.000	not available	--			
14	0.000	--	--	--	--	--	REMOVED	--	-2.600	0.000	
1.000	1.000	0.000	0.000	0.000	0.000	0.000	not available	--			
15	0.000	--	--	--	--	--	REMOVED	--	-2.800	0.000	
1.000	1.000	0.000	0.000	0.000	0.000	0.000	not available	--			
16	0.000	--	--	--	--	--	REMOVED	--	-3.000	0.000	
1.000	1.000	0.000	0.000	0.000	0.000	0.000	not available	--			
17	0.000	--	--	--	--	--	REMOVED	--	-3.200	0.000	
1.000	1.000	0.000	0.000	0.000	0.000	0.000	not available	--			
18	0.000	--	--	--	--	--	REMOVED	--	-3.400	0.000	
1.000	1.000	0.000	0.000	0.000	0.000	0.000	not available	--			
19	0.000	--	--	--	--	--	REMOVED	--	-3.600	0.000	
1.000	1.000	0.000	0.000	0.000	0.000	0.000	not available	--			
20	0.000	--	--	--	--	--	REMOVED	--	-3.800	0.000	
1.000	1.000	0.000	0.000	0.000	0.000	0.000	not available	--			
21	0.000	--	--	--	--	--	REMOVED	--	-4.000	0.000	
1.000	1.000	0.000	0.000	0.000	0.000	0.000	not available	--			
22	0.000	--	--	--	--	--	REMOVED	--	-4.200	0.000	
1.000	1.000	0.000	0.000	0.000	0.000	0.000	not available	--			
23	0.000	--	--	--	--	--	REMOVED	--	-4.400	0.000	
1.000	1.000	0.000	0.000	0.000	0.000	0.000	not available	--			
24	0.000	--	--	--	--	--	REMOVED	--	-4.600	0.000	
1.000	1.000	0.000	0.000	0.000	0.000	0.000	not available	--			
25 D	0.000	3.4286E-02	0.000	0.000	0.000	0.000	PASSIVE	0.000	-4.700	0.000	
1.000	1.000	0.000	0.000	0.000	0.000	0.000	Ala_161_6590_L_0			0.0000	
0.0000	0.0000	0.0000	0.0000	0.0000	0.0000						
26 D	1.977	3.3559E-02	3.900	9.887	3.900	9.887	PASSIVE	0.000	-4.900	0.000	
1.000	1.000	9.887	0.000	0.000	0.000	0.000	Ala_161_6590_L_0			0.0000	
0.0000	0.0000	0.0000	0.0000	0.0000							
27 D	3.955	3.2834E-02	7.800	19.77	7.800	19.77	PASSIVE	0.000	-5.100	0.000	
1.000	1.000	19.77	0.000	0.000	0.000	0.000	Ala_161_6590_L_0			0.0000	
0.0000	0.0000	0.0000	0.0000	0.0000							
28 D	5.932	3.2113E-02	11.70	29.66	11.70	29.66	PASSIVE	0.000	-5.300	0.000	
1.000	1.000	29.66	0.000	0.000	0.000	0.000	Ala_161_6590_L_0			0.0000	
0.0000	0.0000	0.0000	0.0000	0.0000							
29 D	7.909	3.1395E-02	15.60	39.55	15.60	39.55	PASSIVE	0.000	-5.500	0.000	
1.000	1.000	39.55	0.000	0.000	0.000	0.000	Ala_161_6590_L_0			0.0000	
0.0000	0.0000	0.0000	0.0000	0.0000							
30 D	9.886	3.0680E-02	19.50	49.43	19.50	49.43	PASSIVE	0.000	-5.700	0.000	

1.000	1.000	49.43	0.000	0.000	0.000	0.000	Ala_161_6590_L_0	0.0000	
0.0000	0.0000	0.0000	0.0000	0.0000	0.0000	0.0000			
31 D	11.86	2.9970E-02	23.40	59.32	23.40	59.32	PASSIVE 0.000	-5.900	0.000
1.000	1.000	59.32	0.000	0.000	0.000	0.000	Ala_161_6590_L_0	0.0000	
0.0000	0.0000	0.0000	0.0000	0.0000	0.0000	0.0000			
32 D	13.84	2.9263E-02	27.30	69.21	27.30	69.21	PASSIVE 0.000	-6.100	0.000
1.000	1.000	69.21	0.000	0.000	0.000	0.000	Ala_161_6590_L_0	0.0000	
0.0000	0.0000	0.0000	0.0000	0.0000	0.0000	0.0000			
33 D	15.82	2.8561E-02	31.20	79.09	31.20	79.09	PASSIVE 0.000	-6.300	0.000
1.000	1.000	79.09	0.000	0.000	0.000	0.000	Ala_161_6590_L_0	0.0000	
0.0000	0.0000	0.0000	0.0000	0.0000	0.0000	0.0000			
34 D	17.80	2.7864E-02	35.10	88.98	35.10	88.98	PASSIVE 0.000	-6.500	0.000
1.000	1.000	88.98	0.000	0.000	0.000	0.000	Ala_161_6590_L_0	0.0000	
0.0000	0.0000	0.0000	0.0000	0.0000	0.0000	0.0000			
35 D	19.77	2.7172E-02	39.00	98.86	39.00	98.86	PASSIVE 0.000	-6.700	0.000
1.000	1.000	98.86	0.000	0.000	0.000	0.000	Ala_161_6590_L_0	0.0000	
0.0000	0.0000	0.0000	0.0000	0.0000	0.0000	0.0000			
36 D	21.75	2.6485E-02	42.90	108.8	42.90	108.8	PASSIVE 0.000	-6.900	0.000
1.000	1.000	108.8	0.000	0.000	0.000	0.000	Ala_161_6590_L_0	0.0000	
0.0000	0.0000	0.0000	0.0000	0.0000	0.0000	0.0000			
37 D	23.73	2.5804E-02	46.80	118.6	46.80	118.6	PASSIVE 0.000	-7.100	0.000
1.000	1.000	118.6	0.000	0.000	0.000	0.000	Ala_161_6590_L_0	0.0000	
0.0000	0.0000	0.0000	0.0000	0.0000	0.0000	0.0000			
38 D	25.70	2.5130E-02	50.70	128.5	50.70	128.5	PASSIVE 0.000	-7.300	0.000
1.000	1.000	128.5	0.000	0.000	0.000	0.000	Ala_161_6590_L_0	0.0000	
0.0000	0.0000	0.0000	0.0000	0.0000	0.0000	0.0000			
39 D	27.68	2.4461E-02	54.60	138.4	54.60	138.4	PASSIVE 0.000	-7.500	0.000
1.000	1.000	138.4	0.000	0.000	0.000	0.000	Ala_161_6590_L_0	0.0000	
0.0000	0.0000	0.0000	0.0000	0.0000	0.0000	0.0000			
40 D	29.66	2.3800E-02	58.50	148.3	58.50	148.3	PASSIVE 0.000	-7.700	0.000
1.000	1.000	148.3	0.000	0.000	0.000	0.000	Ala_161_6590_L_0	0.0000	
0.0000	0.0000	0.0000	0.0000	0.0000	0.0000	0.0000			
41 D	31.64	2.3146E-02	62.40	158.2	62.40	158.2	PASSIVE 0.000	-7.900	0.000
1.000	1.000	158.2	0.000	0.000	0.000	0.000	Ala_161_6590_L_0	0.0000	
0.0000	0.0000	0.0000	0.0000	0.0000	0.0000	0.0000			
42 D	33.61	2.2498E-02	66.30	168.1	66.30	168.1	PASSIVE 0.000	-8.100	0.000
1.000	1.000	168.1	0.000	0.000	0.000	0.000	Ala_161_6590_L_0	0.0000	
0.0000	0.0000	0.0000	0.0000	0.0000	0.0000	0.0000			
43 D	35.59	2.1859E-02	70.20	178.0	70.20	178.0	PASSIVE 0.000	-8.300	0.000
1.000	1.000	178.0	0.000	0.000	0.000	0.000	Ala_161_6590_L_0	0.0000	
0.0000	0.0000	0.0000	0.0000	0.0000	0.0000	0.0000			
44 D	37.57	2.1227E-02	74.10	187.8	74.10	187.8	PASSIVE 0.000	-8.500	0.000
1.000	1.000	187.8	0.000	0.000	0.000	0.000	Ala_161_6590_L_0	0.0000	
0.0000	0.0000	0.0000	0.0000	0.0000	0.0000	0.0000			
45 D	39.55	2.0603E-02	78.00	197.7	78.00	197.7	PASSIVE 0.000	-8.700	0.000
1.000	1.000	197.7	0.000	0.000	0.000	0.000	Ala_161_6590_L_0	0.0000	
0.0000	0.0000	0.0000	0.0000	0.0000	0.0000	0.0000			
46 D	40.21	1.9987E-02	81.90	201.0	81.90	201.0	V-C 7755.	-8.900	0.000
1.000	1.000	201.0	0.000	0.000	0.000	0.000	Ala_161_6590_L_0	0.0000	
0.0000	0.0000	0.0000	0.0000	0.0000	0.0000	0.0000			
47 D	39.70	1.9379E-02	85.80	198.5	85.80	198.5	V-C 7755.	-9.100	0.000
1.000	1.000	198.5	0.000	0.000	0.000	0.000	Ala_161_6590_L_0	0.0000	
0.0000	0.0000	0.0000	0.0000	0.0000	0.0000	0.0000			
48 D	39.21	1.8780E-02	89.70	196.1	89.70	196.1	V-C 7755.	-9.300	0.000
1.000	1.000	196.1	0.000	0.000	0.000	0.000	Ala_161_6590_L_0	0.0000	
0.0000	0.0000	0.0000	0.0000	0.0000	0.0000	0.0000			
49 D	38.73	1.8189E-02	93.60	193.7	93.60	193.7	V-C 7755.	-9.500	0.000
1.000	1.000	193.7	0.000	0.000	0.000	0.000	Ala_161_6590_L_0	0.0000	
0.0000	0.0000	0.0000	0.0000	0.0000	0.0000	0.0000			
50 D	38.44	1.7607E-02	95.50	190.2	95.50	190.2	V-C 7755.	-9.700	2.000
1.000	1.000	192.2	0.000	0.000	0.000	0.000	Ala_161_6590_L_0	0.0000	
0.0000	0.0000	0.0000	0.0000	0.0000	0.0000	0.0000			
51 D	38.17	1.7033E-02	97.40	186.8	97.40	186.8	V-C 7755.	-9.900	4.000
1.000	1.000	190.8	0.000	0.000	0.000	0.000	Ala_161_6590_L_0	0.0000	
0.0000	0.0000	0.0000	0.0000	0.0000	0.0000	0.0000			
52 D	37.90	1.6467E-02	99.30	183.5	99.30	183.5	V-C 7755.	-10.10	6.000
1.000	1.000	189.5	0.000	0.000	0.000	0.000	Ala_161_6590_L_0	0.0000	
0.0000	0.0000	0.0000	0.0000	0.0000	0.0000	0.0000			
53 D	37.65	1.5910E-02	101.2	180.3	101.2	180.3	V-C 7755.	-10.30	8.000
1.000	1.000	188.3	0.000	0.000	0.000	0.000	Ala_161_6590_L_0	0.0000	
0.0000	0.0000	0.0000	0.0000	0.0000	0.0000	0.0000			
54 D	37.41	1.5361E-02	103.1	177.1	103.1	177.1	V-C 7755.	-10.50	10.000
1.000	1.000	187.1	0.000	0.000	0.000	0.000	Ala_161_6590_L_0	0.0000	
0.0000	0.0000	0.0000	0.0000	0.0000	0.0000	0.0000			
55 D	37.19	1.4821E-02	105.0	173.9	105.0	173.9	V-C 7755.	-10.70	12.00
1.000	1.000	185.9	0.000	0.000	0.000	0.000	Ala_161_6590_L_0	0.0000	
0.0000	0.0000	0.0000	0.0000	0.0000	0.0000	0.0000			
56 D	36.98	1.4289E-02	106.9	170.9	106.9	170.9	V-C 7755.	-10.90	14.00
1.000	1.000	184.9	0.000	0.000	0.000	0.000	Ala_161_6590_L_0	0.0000	
0.0000	0.0000	0.0000	0.0000	0.0000	0.0000	0.0000			
57 D	36.78	1.3764E-02	108.8	167.9	108.8	167.9	V-C 7755.	-11.10	16.00
1.000	1.000	183.9	0.000	0.000	0.000	0.000	Ala_161_6590_L_0	0.0000	
0.0000	0.0000	0.0000	0.0000	0.0000	0.0000	0.0000			
58 D	36.59	1.3248E-02	110.7	165.0	110.7	165.0	V-C 7755.	-11.30	18.00
1.000	1.000	183.0	0.000	0.000	0.000	0.000	Ala_161_6590_L_0	0.0000	
0.0000	0.0000	0.0000	0.0000	0.0000	0.0000	0.0000			
59 D	36.42	1.2740E-02	112.6	162.1	112.6	162.1	V-C 7755.	-11.50	20.00
1.000	1.000	182.1	0.000	0.000	0.000	0.000	Ala_161_6590_L_0	0.0000	
0.0000	0.0000	0.0000	0.0000	0.0000	0.0000	0.0000			
60 D	36.25	1.2239E-02	114.5	159.3	114.5	159.3	V-C 7755.	-11.70	22.00
1.000	1.000	181.3	0.000	0.000	0.000	0.000	Ala_161_6590_L_0	0.0000	
0.0000	0.0000	0.0000	0.0000	0.0000	0.0000	0.0000			

61 D	36.10	1.1746E-02	116.4	156.5	116.4	156.5	V-C 7755.	-11.90	24.00
1.000	1.000	180.5	0.000	0.000	0.000	0.000	Ala_161_6590_L_0		0.0000
0.0000	0.0000	0.0000	0.0000	0.0000					
62 D	35.96	1.1259E-02	118.3	153.8	118.3	153.8	V-C 7755.	-12.10	26.00
1.000	1.000	179.8	0.000	0.000	0.000	0.000	Ala_161_6590_L_0		0.0000
0.0000	0.0000	0.0000	0.0000	0.0000					
63 D	35.83	1.0780E-02	120.2	151.2	120.2	151.2	V-C 7755.	-12.30	28.00
1.000	1.000	179.2	0.000	0.000	0.000	0.000	Ala_161_6590_L_0		0.0000
0.0000	0.0000	0.0000	0.0000	0.0000					
64 D	35.71	1.0308E-02	122.1	148.6	122.1	148.6	V-C 7755.	-12.50	30.00
1.000	1.000	178.6	0.000	0.000	0.000	0.000	Ala_161_6590_L_0		0.0000
0.0000	0.0000	0.0000	0.0000	0.0000					
65 D	35.60	9.8425E-03	124.0	146.0	124.0	146.0	V-C 7755.	-12.70	32.00
1.000	1.000	178.0	0.000	0.000	0.000	0.000	Ala_161_6590_L_0		0.0000
0.0000	0.0000	0.0000	0.0000	0.0000					
66 D	35.50	9.3833E-03	125.9	143.5	125.9	143.5	V-C 7755.	-12.90	34.00
1.000	1.000	177.5	0.000	0.000	0.000	0.000	Ala_161_6590_L_0		0.0000
0.0000	0.0000	0.0000	0.0000	0.0000					
67 D	35.42	8.9303E-03	127.8	141.1	127.8	141.1	V-C 7755.	-13.10	36.00
1.000	1.000	177.1	0.000	0.000	0.000	0.000	Ala_161_6590_L_0		0.0000
0.0000	0.0000	0.0000	0.0000	0.0000					
68 D	35.34	8.4832E-03	129.7	138.7	129.7	138.7	V-C 7755.	-13.30	38.00
1.000	1.000	176.7	0.000	0.000	0.000	0.000	Ala_161_6590_L_0		0.0000
0.0000	0.0000	0.0000	0.0000	0.0000					
69 D	35.26	8.0417E-03	131.6	136.3	131.6	136.3	V-C 7755.	-13.50	40.00
1.000	1.000	176.3	0.000	0.000	0.000	0.000	Ala_161_6590_L_0		0.0000
0.0000	0.0000	0.0000	0.0000	0.0000					
70 D	35.20	7.6056E-03	133.5	134.0	133.5	134.0	V-C 7755.	-13.70	42.00
1.000	1.000	176.0	0.000	0.000	0.000	0.000	Ala_161_6590_L_0		0.0000
0.0000	0.0000	0.0000	0.0000	0.0000					
71 D	35.15	7.1747E-03	135.4	131.7	135.4	131.7	V-C 7755.	-13.90	44.00
1.000	1.000	175.7	0.000	0.000	0.000	0.000	Ala_161_6590_L_0		0.0000
0.0000	0.0000	0.0000	0.0000	0.0000					
72 D	35.10	6.7487E-03	137.3	129.5	137.3	129.5	V-C 7755.	-14.10	46.00
1.000	1.000	175.5	0.000	0.000	0.000	0.000	Ala_161_6590_L_0		0.0000
0.0000	0.0000	0.0000	0.0000	0.0000					
73 D	35.06	6.3274E-03	139.2	127.3	139.2	127.3	V-C 7755.	-14.30	48.00
1.000	1.000	175.3	0.000	0.000	0.000	0.000	Ala_161_6590_L_0		0.0000
0.0000	0.0000	0.0000	0.0000	0.0000					
74 D	35.03	5.9104E-03	141.1	125.1	141.1	125.1	V-C 7755.	-14.50	50.00
1.000	1.000	175.1	0.000	0.000	0.000	0.000	Ala_161_6590_L_0		0.0000
0.0000	0.0000	0.0000	0.0000	0.0000					
75 D	35.00	5.4976E-03	143.0	123.0	143.0	123.0	UL-RL 2.3265E+04	-14.70	52.00
1.000	1.000	175.0	0.000	0.000	0.000	0.000	Ala_161_6590_L_0		0.0000
0.0000	0.0000	0.0000	0.0000	0.0000					
76 D	34.98	5.0887E-03	144.9	120.9	144.9	120.9	UL-RL 2.3265E+04	-14.90	54.00
1.000	1.000	174.9	0.000	0.000	0.000	0.000	Ala_161_6590_L_0		0.0000
0.0000	0.0000	0.0000	0.0000	0.0000					
77 D	34.96	4.6834E-03	146.8	118.8	146.8	118.8	UL-RL 2.3265E+04	-15.10	56.00
1.000	1.000	174.8	0.000	0.000	0.000	0.000	Ala_161_6590_L_0		0.0000
0.0000	0.0000	0.0000	0.0000	0.0000					
78 D	34.95	4.2815E-03	148.7	116.8	148.7	116.8	UL-RL 2.3265E+04	-15.30	58.00
1.000	1.000	174.8	0.000	0.000	0.000	0.000	Ala_161_6590_L_0		0.0000
0.0000	0.0000	0.0000	0.0000	0.0000					
79 D	34.95	3.8828E-03	150.6	114.7	150.6	114.8	UL-RL 2.3265E+04	-15.50	60.00
1.000	1.000	174.7	0.000	0.000	0.000	0.000	Ala_161_6590_L_0		0.0000
0.0000	0.0000	0.0000	0.0000	0.0000					
80 D	34.95	3.4870E-03	152.5	112.7	152.5	112.8	UL-RL 2.3265E+04	-15.70	62.00
1.000	1.000	174.7	0.000	0.000	0.000	0.000	Ala_161_6590_L_0		0.0000
0.0000	0.0000	0.0000	0.0000	0.0000					
81 D	34.95	3.0939E-03	154.4	110.8	154.4	110.8	UL-RL 2.3265E+04	-15.90	64.00
1.000	1.000	174.8	0.000	0.000	0.000	0.000	Ala_161_6590_L_0		0.0000
0.0000	0.0000	0.0000	0.0000	0.0000					
82 D	54.34	2.7033E-03	156.4	205.7	156.4	205.8	UL-RL 1.3083E+05	-16.10	66.00
1.000	1.000	271.7	0.000	0.000	8.000	8.000	Salt_21271_21259_L_0		0.0000
0.0000	0.0000	0.0000	0.0000	0.0000					
83 D	51.58	2.3150E-03	158.4	189.9	158.4	190.0	UL-RL 1.3083E+05	-16.30	68.00
1.000	1.000	257.9	0.000	0.000	8.000	8.000	Salt_21271_21259_L_0		0.0000
0.0000	0.0000	0.0000	0.0000	0.0000					
84 D	48.83	1.9287E-03	160.4	174.2	160.4	174.3	UL-RL 1.3083E+05	-16.50	70.00
1.000	1.000	244.2	0.000	0.000	8.000	8.000	Salt_21271_21259_L_0		0.0000
0.0000	0.0000	0.0000	0.0000	0.0000					
85 D	45.84	1.5441E-03	162.4	157.2	162.4	159.3	UL-RL 1.3083E+05	-16.70	72.00
1.000	1.000	229.2	0.000	0.000	8.000	8.000	Salt_21271_21259_L_0		0.0000
0.0000	0.0000	0.0000	0.0000	0.0000					
86 D	42.54	1.1611E-03	164.4	138.7	164.4	145.2	UL-RL 1.3083E+05	-16.90	74.00
1.000	1.000	212.7	0.000	0.000	8.000	8.000	Salt_21271_21259_L_0		0.0000
0.0000	0.0000	0.0000	0.0000	0.0000					
87 D	38.92	7.7931E-04	166.4	118.6	166.4	131.9	UL-RL 1.3083E+05	-17.10	76.00
1.000	1.000	194.6	0.000	0.000	8.000	8.000	Salt_21271_21259_L_0		0.0000
0.0000	0.0000	0.0000	0.0000	0.0000					
88 D	30.87	3.9844E-04	168.4	76.34	168.4	129.8	UL-RL 1.3083E+05	-17.30	78.00
1.000	1.000	154.3	0.000	0.000	8.000	8.000	Salt_21271_21259_L_0		0.0000
0.0000	0.0000	0.0000	0.0000	0.0000					
89 D	28.27	1.8241E-05	170.4	61.33	170.4	127.7	UL-RL 1.3083E+05	-17.50	80.00
1.000	1.000	141.3	0.000	0.000	8.000	8.000	Salt_21271_21259_L_0		0.0000
0.0000	0.0000	0.0000	0.0000	0.0000					
90 D	22.76	-3.6155E-04	172.4	31.81	172.4	114.8	UL-RL 8.1281E+04	-17.70	82.00
1.000	1.000	113.8	0.000	0.000	44.00	44.00	Sch_21272_21260_L_0		0.0000
0.0000	0.0000	0.0000	0.0000	0.0000					
91 D	18.66	-7.4110E-04	175.0	9.302	175.0	114.2	UL-RL 8.1281E+04	-17.90	84.00
1.000	1.000	93.30	0.000	0.000	44.00	44.00	Sch_21272_21260_L_0		0.0000

0.0000	0.0000	0.0000	0.0000	0.0000						
92 D	14.42	-1.1206E-03	177.6	10.11	177.6	113.7	UL-RL	8.1281E+04	-18.10	86.00
1.000	1.000	96.11	0.000	0.000	44.00	44.00	Sch_21272_21260_L_0			0.0000
0.0000	0.0000	0.0000	0.0000	0.0000						
93 D	4.876	-1.3103E-03	178.9	10.52	178.9	113.4	UL-RL	8.1281E+04	-18.20	87.00
1.000	1.000	97.52	0.000	0.000	44.00	44.00	Sch_21272_21260_L_0			0.0000
0.0000	0.0000	0.0000	0.0000	0.0000						

```

+-----+
|                PARATIEPLUS(TM)  NLS ENGINE RELEASE  2022.0.0  FULL VERSION  *Build date:Sep 13, 2021*                |
|                                                                                                                                            |
|                                                                                               ParatiePlus                               |
|                                                                                               Exe Time :28 January 2022  11:11:18                               |
+-----+

```

New Project

S T R E S S R E S U L T S F O R G R O U P N O . 2

0_R :
ELEMENT TYPE 5 NO.OF ELEMENTS. IN THIS GROUP 93
C U R R E N T T I M E I S 4.0000 SUBINCREMENT 00001/00001

HARDENING 2D SOIL ELEMENT

***** TOTAL STRESS FORMULATION *****

EL * TOR QSL	FORCE UFACTOR ZD	DISPL-Y Peq ZPL	VERTICAL-P Su_a Kz	HORIZON.-P Su_p	MAX-V-P Cohe_a	MAX-H-P Cohe_p	STATE LAYER	STIFFNESS	Z-LEVEL	PORE ZFO	E FAC- QS
1 D	1.710	-5.2688E-02	57.00	17.10	57.00	24.28	UL-RL	4.0844E+04	0.000	0.000	
1.000	1.000	17.10	0.000	0.000	0.000	0.000	rilevato_6589_8_L_0			0.000	
0.0000	0.0000	0.0000	0.0000	0.0000							
2 D	3.660	-5.1888E-02	61.00	18.30	61.00	25.99	UL-RL	4.0844E+04	-0.2000	0.000	
1.000	1.000	18.30	0.000	0.000	0.000	0.000	rilevato_6589_8_L_0			0.000	
0.0000	0.0000	0.0000	0.0000	0.0000							
3 D	3.900	-5.1088E-02	65.00	19.50	65.00	27.69	UL-RL	4.0844E+04	-0.4000	0.000	
1.000	1.000	19.50	0.000	0.000	0.000	0.000	rilevato_6589_8_L_0			0.000	
0.0000	0.0000	0.0000	0.0000	0.0000							
4 D	4.141	-5.0288E-02	69.01	20.70	69.01	29.39	UL-RL	4.0844E+04	-0.6000	0.000	
1.000	1.000	20.70	0.000	0.000	0.000	0.000	rilevato_6589_8_L_0			0.000	
0.0000	0.0000	0.0000	0.0000	0.0000							
5 D	4.381	-4.9488E-02	73.02	21.91	73.02	31.10	UL-RL	4.0844E+04	-0.8000	0.000	
1.000	1.000	21.91	0.000	0.000	0.000	0.000	rilevato_6589_8_L_0			0.000	
0.0000	0.0000	0.0000	0.0000	0.0000							
6 D	4.622	-4.8689E-02	77.04	23.11	77.04	32.80	UL-RL	4.0844E+04	-1.000	0.000	
1.000	1.000	23.11	0.000	0.000	0.000	0.000	rilevato_6589_8_L_0			0.000	
0.0000	0.0000	0.0000	0.0000	0.0000							
7 D	4.864	-4.7889E-02	81.06	24.32	81.06	34.51	UL-RL	4.0844E+04	-1.200	0.000	
1.000	1.000	24.32	0.000	0.000	0.000	0.000	rilevato_6589_8_L_0			0.000	
0.0000	0.0000	0.0000	0.0000	0.0000							
8 D	5.106	-4.7091E-02	85.10	25.53	85.10	36.21	ACTIVE	0.000	-1.400	0.000	
1.000	1.000	25.53	0.000	0.000	0.000	0.000	rilevato_6589_8_L_0			0.000	
0.0000	0.0000	0.0000	0.0000	0.0000							
9 D	5.349	-4.6293E-02	89.15	26.74	89.15	37.91	ACTIVE	0.000	-1.600	0.000	
1.000	1.000	26.74	0.000	0.000	0.000	0.000	rilevato_6589_8_L_0			0.000	
0.0000	0.0000	0.0000	0.0000	0.0000							
10 D	5.592	-4.5495E-02	93.20	27.96	93.20	39.62	ACTIVE	0.000	-1.800	0.000	
1.000	1.000	27.96	0.000	0.000	0.000	0.000	rilevato_6589_8_L_0			0.000	
0.0000	0.0000	0.0000	0.0000	0.0000							
11 D	5.836	-4.4699E-02	97.27	29.18	97.27	41.32	ACTIVE	0.000	-2.000	0.000	
1.000	1.000	29.18	0.000	0.000	0.000	0.000	rilevato_6589_8_L_0			0.000	
0.0000	0.0000	0.0000	0.0000	0.0000							
12 D	6.081	-4.3905E-02	101.4	30.41	101.4	43.03	ACTIVE	0.000	-2.200	0.000	
1.000	1.000	30.41	0.000	0.000	0.000	0.000	rilevato_6589_8_L_0			0.000	
0.0000	0.0000	0.0000	0.0000	0.0000							
13 D	6.327	-4.3112E-02	105.4	31.63	105.4	44.73	ACTIVE	0.000	-2.400	0.000	
1.000	1.000	31.63	0.000	0.000	0.000	0.000	rilevato_6589_8_L_0			0.000	
0.0000	0.0000	0.0000	0.0000	0.0000							
14 D	6.573	-4.2321E-02	109.6	32.87	109.6	46.43	ACTIVE	0.000	-2.600	0.000	
1.000	1.000	32.87	0.000	0.000	0.000	0.000	rilevato_6589_8_L_0			0.000	
0.0000	0.0000	0.0000	0.0000	0.0000							
15 D	6.820	-4.1533E-02	113.7	34.10	113.7	48.14	ACTIVE	0.000	-2.800	0.000	
1.000	1.000	34.10	0.000	0.000	0.000	0.000	rilevato_6589_8_L_0			0.000	
0.0000	0.0000	0.0000	0.0000	0.0000							
16 D	7.068	-4.0748E-02	117.8	35.34	117.8	49.84	ACTIVE	0.000	-3.000	0.000	
1.000	1.000	35.34	0.000	0.000	0.000	0.000	rilevato_6589_8_L_0			0.000	
0.0000	0.0000	0.0000	0.0000	0.0000							
17 D	7.316	-3.9967E-02	121.9	36.58	121.9	51.55	ACTIVE	0.000	-3.200	0.000	
1.000	1.000	36.58	0.000	0.000	0.000	0.000	rilevato_6589_8_L_0			0.000	
0.0000	0.0000	0.0000	0.0000	0.0000							
18 D	7.565	-3.9190E-02	126.1	37.83	126.1	53.25	ACTIVE	0.000	-3.400	0.000	
1.000	1.000	37.83	0.000	0.000	0.000	0.000	rilevato_6589_8_L_0			0.000	
0.0000	0.0000	0.0000	0.0000	0.0000							
19 D	7.815	-3.8417E-02	130.2	39.07	130.2	54.95	ACTIVE	0.000	-3.600	0.000	
1.000	1.000	39.07	0.000	0.000	0.000	0.000	rilevato_6589_8_L_0			0.000	
0.0000	0.0000	0.0000	0.0000	0.0000							
20 D	8.065	-3.7650E-02	134.4	40.32	134.4	56.66	ACTIVE	0.000	-3.800	0.000	
1.000	1.000	40.32	0.000	0.000	0.000	0.000	rilevato_6589_8_L_0			0.000	
0.0000	0.0000	0.0000	0.0000	0.0000							
21 D	8.315	-3.6889E-02	138.6	41.57	138.6	58.36	ACTIVE	0.000	-4.000	0.000	
1.000	1.000	41.57	0.000	0.000	0.000	0.000	rilevato_6589_8_L_0			0.000	
0.0000	0.0000	0.0000	0.0000	0.0000							
22 D	8.566	-3.6135E-02	142.8	42.83	142.8	60.07	ACTIVE	0.000	-4.200	0.000	

1.000	1.000	42.83	0.000	0.000	0.000	0.000	rilevato_6589_8_L_0	0.0000	
0.0000	0.0000	0.0000	0.0000	0.0000	0.0000				
23 D	8.817	-3.5389E-02	146.9	44.08	146.9	61.77	ACTIVE 0.000	-4.400	0.000
1.000	1.000	44.08	0.000	0.000	0.000	0.000	rilevato_6589_8_L_0	0.0000	
0.0000	0.0000	0.0000	0.0000	0.0000	0.0000				
24 D	6.801	-3.4651E-02	151.1	45.34	151.1	63.47	ACTIVE 0.000	-4.600	0.000
1.000	1.000	45.34	0.000	0.000	0.000	0.000	rilevato_6589_8_L_0	0.0000	
0.0000	0.0000	0.0000	0.0000	0.0000	0.0000				
25 D	9.929	-3.4286E-02	153.2	66.19	153.2	86.11	ACTIVE 0.000	-4.700	0.000
1.000	1.000	66.19	0.000	0.000	0.000	0.000	Ala_161_6590_L_0	0.0000	
0.0000	0.0000	0.0000	0.0000	0.0000	0.0000				
26 D	13.59	-3.3559E-02	157.3	67.96	157.3	88.41	ACTIVE 0.000	-4.900	0.000
1.000	1.000	67.96	0.000	0.000	0.000	0.000	Ala_161_6590_L_0	0.0000	
0.0000	0.0000	0.0000	0.0000	0.0000	0.0000				
27 D	13.95	-3.2834E-02	161.4	69.73	161.4	90.71	ACTIVE 0.000	-5.100	0.000
1.000	1.000	69.73	0.000	0.000	0.000	0.000	Ala_161_6590_L_0	0.0000	
0.0000	0.0000	0.0000	0.0000	0.0000	0.0000				
28 D	14.30	-3.2113E-02	165.5	71.50	165.5	93.02	ACTIVE 0.000	-5.300	0.000
1.000	1.000	71.50	0.000	0.000	0.000	0.000	Ala_161_6590_L_0	0.0000	
0.0000	0.0000	0.0000	0.0000	0.0000	0.0000				
29 D	14.65	-3.1395E-02	169.6	73.27	169.6	95.32	ACTIVE 0.000	-5.500	0.000
1.000	1.000	73.27	0.000	0.000	0.000	0.000	Ala_161_6590_L_0	0.0000	
0.0000	0.0000	0.0000	0.0000	0.0000	0.0000				
30 D	15.01	-3.0680E-02	173.7	75.04	173.7	97.62	ACTIVE 0.000	-5.700	0.000
1.000	1.000	75.04	0.000	0.000	0.000	0.000	Ala_161_6590_L_0	0.0000	
0.0000	0.0000	0.0000	0.0000	0.0000	0.0000				
31 D	15.36	-2.9970E-02	177.8	76.80	177.8	99.92	ACTIVE 0.000	-5.900	0.000
1.000	1.000	76.80	0.000	0.000	0.000	0.000	Ala_161_6590_L_0	0.0000	
0.0000	0.0000	0.0000	0.0000	0.0000	0.0000				
32 D	15.71	-2.9263E-02	181.9	78.57	181.9	102.2	ACTIVE 0.000	-6.100	0.000
1.000	1.000	78.57	0.000	0.000	0.000	0.000	Ala_161_6590_L_0	0.0000	
0.0000	0.0000	0.0000	0.0000	0.0000	0.0000				
33 D	16.07	-2.8561E-02	186.0	80.34	186.0	104.5	ACTIVE 0.000	-6.300	0.000
1.000	1.000	80.34	0.000	0.000	0.000	0.000	Ala_161_6590_L_0	0.0000	
0.0000	0.0000	0.0000	0.0000	0.0000	0.0000				
34 D	16.42	-2.7864E-02	190.0	82.10	190.0	106.8	ACTIVE 0.000	-6.500	0.000
1.000	1.000	82.10	0.000	0.000	0.000	0.000	Ala_161_6590_L_0	0.0000	
0.0000	0.0000	0.0000	0.0000	0.0000	0.0000				
35 D	16.77	-2.7172E-02	194.1	83.86	194.1	109.1	ACTIVE 0.000	-6.700	0.000
1.000	1.000	83.86	0.000	0.000	0.000	0.000	Ala_161_6590_L_0	0.0000	
0.0000	0.0000	0.0000	0.0000	0.0000	0.0000				
36 D	17.16	-2.6485E-02	198.7	85.82	198.7	111.6	ACTIVE 0.000	-6.900	0.000
1.000	1.000	85.82	0.000	0.000	0.000	0.000	Ala_161_6590_L_0	0.0000	
0.0000	0.0000	0.0000	0.0000	0.0000	0.0000				
37 D	17.60	-2.5804E-02	203.7	87.98	203.7	114.5	ACTIVE 0.000	-7.100	0.000
1.000	1.000	87.98	0.000	0.000	0.000	0.000	Ala_161_6590_L_0	0.0000	
0.0000	0.0000	0.0000	0.0000	0.0000	0.0000				
38 D	17.99	-2.5130E-02	208.2	89.94	208.2	117.0	ACTIVE 0.000	-7.300	0.000
1.000	1.000	89.94	0.000	0.000	0.000	0.000	Ala_161_6590_L_0	0.0000	
0.0000	0.0000	0.0000	0.0000	0.0000	0.0000				
39 D	18.40	-2.4461E-02	212.9	91.99	212.9	119.7	ACTIVE 0.000	-7.500	0.000
1.000	1.000	91.99	0.000	0.000	0.000	0.000	Ala_161_6590_L_0	0.0000	
0.0000	0.0000	0.0000	0.0000	0.0000	0.0000				
40 D	18.79	-2.3800E-02	217.5	93.96	217.5	122.2	ACTIVE 0.000	-7.700	0.000
1.000	1.000	93.96	0.000	0.000	0.000	0.000	Ala_161_6590_L_0	0.0000	
0.0000	0.0000	0.0000	0.0000	0.0000	0.0000				
41 D	19.18	-2.3146E-02	222.0	95.92	222.0	124.8	ACTIVE 0.000	-7.900	0.000
1.000	1.000	95.92	0.000	0.000	0.000	0.000	Ala_161_6590_L_0	0.0000	
0.0000	0.0000	0.0000	0.0000	0.0000	0.0000				
42 D	19.58	-2.2498E-02	226.6	97.88	226.6	127.3	ACTIVE 0.000	-8.100	0.000
1.000	1.000	97.88	0.000	0.000	0.000	0.000	Ala_161_6590_L_0	0.0000	
0.0000	0.0000	0.0000	0.0000	0.0000	0.0000				
43 D	19.95	-2.1859E-02	230.9	99.76	230.9	129.8	ACTIVE 0.000	-8.300	0.000
1.000	1.000	99.76	0.000	0.000	0.000	0.000	Ala_161_6590_L_0	0.0000	
0.0000	0.0000	0.0000	0.0000	0.0000	0.0000				
44 D	20.34	-2.1227E-02	235.5	101.7	235.5	132.3	ACTIVE 0.000	-8.500	0.000
1.000	1.000	101.7	0.000	0.000	0.000	0.000	Ala_161_6590_L_0	0.0000	
0.0000	0.0000	0.0000	0.0000	0.0000	0.0000				
45 D	20.71	-2.0603E-02	239.7	103.5	239.7	134.7	ACTIVE 0.000	-8.700	0.000
1.000	1.000	103.5	0.000	0.000	0.000	0.000	Ala_161_6590_L_0	0.0000	
0.0000	0.0000	0.0000	0.0000	0.0000	0.0000				
46 D	21.10	-1.9987E-02	244.2	105.5	244.2	137.2	ACTIVE 0.000	-8.900	0.000
1.000	1.000	105.5	0.000	0.000	0.000	0.000	Ala_161_6590_L_0	0.0000	
0.0000	0.0000	0.0000	0.0000	0.0000	0.0000				
47 D	21.46	-1.9379E-02	248.3	107.3	248.3	139.6	ACTIVE 0.000	-9.100	0.000
1.000	1.000	107.3	0.000	0.000	0.000	0.000	Ala_161_6590_L_0	0.0000	
0.0000	0.0000	0.0000	0.0000	0.0000	0.0000				
48 D	21.84	-1.8780E-02	252.8	109.2	252.8	142.1	ACTIVE 0.000	-9.300	0.000
1.000	1.000	109.2	0.000	0.000	0.000	0.000	Ala_161_6590_L_0	0.0000	
0.0000	0.0000	0.0000	0.0000	0.0000	0.0000				
49 D	22.20	-1.8189E-02	256.9	111.0	256.9	144.4	ACTIVE 0.000	-9.500	0.000
1.000	1.000	111.0	0.000	0.000	0.000	0.000	Ala_161_6590_L_0	0.0000	
0.0000	0.0000	0.0000	0.0000	0.0000	0.0000				
50 D	22.80	-1.7607E-02	259.3	112.0	259.3	145.7	ACTIVE 0.000	-9.700	2.000
1.000	1.000	114.0	0.000	0.000	0.000	0.000	Ala_161_6590_L_0	0.0000	
0.0000	0.0000	0.0000	0.0000	0.0000	0.0000				
51 D	23.38	-1.7033E-02	261.3	112.9	261.3	146.9	ACTIVE 0.000	-9.900	4.000
1.000	1.000	116.9	0.000	0.000	0.000	0.000	Ala_161_6590_L_0	0.0000	
0.0000	0.0000	0.0000	0.0000	0.0000	0.0000				
52 D	23.98	-1.6467E-02	263.6	113.9	263.6	148.2	ACTIVE 0.000	-10.10	6.000
1.000	1.000	119.9	0.000	0.000	0.000	0.000	Ala_161_6590_L_0	0.0000	
0.0000	0.0000	0.0000	0.0000	0.0000	0.0000				

53 D	24.55	-1.5910E-02	265.6	114.8	265.6	149.3	ACTIVE	0.000	-10.30	8.000
1.000	1.000	122.8	0.000	0.000	0.000	0.000	Ala_161_6590_L_0			0.0000
0.0000	0.0000	0.0000	0.0000	0.0000						
54 D	25.14	-1.5361E-02	267.9	115.7	267.9	150.5	ACTIVE	0.000	-10.50	10.000
1.000	1.000	125.7	0.000	0.000	0.000	0.000	Ala_161_6590_L_0			0.0000
0.0000	0.0000	0.0000	0.0000	0.0000						
55 D	25.72	-1.4821E-02	269.9	116.6	269.9	151.7	ACTIVE	0.000	-10.70	12.00
1.000	1.000	128.6	0.000	0.000	0.000	0.000	Ala_161_6590_L_0			0.0000
0.0000	0.0000	0.0000	0.0000	0.0000						
56 D	26.30	-1.4289E-02	272.0	117.5	272.0	152.9	ACTIVE	0.000	-10.90	14.00
1.000	1.000	131.5	0.000	0.000	0.000	0.000	Ala_161_6590_L_0			0.0000
0.0000	0.0000	0.0000	0.0000	0.0000						
57 D	26.87	-1.3764E-02	274.0	118.4	274.0	154.0	ACTIVE	0.000	-11.10	16.00
1.000	1.000	134.4	0.000	0.000	0.000	0.000	Ala_161_6590_L_0			0.0000
0.0000	0.0000	0.0000	0.0000	0.0000						
58 D	27.45	-1.3248E-02	276.0	119.3	276.0	155.1	ACTIVE	0.000	-11.30	18.00
1.000	1.000	137.3	0.000	0.000	0.000	0.000	Ala_161_6590_L_0			0.0000
0.0000	0.0000	0.0000	0.0000	0.0000						
59 D	28.03	-1.2740E-02	278.1	120.1	278.1	156.3	ACTIVE	0.000	-11.50	20.00
1.000	1.000	140.1	0.000	0.000	0.000	0.000	Ala_161_6590_L_0			0.0000
0.0000	0.0000	0.0000	0.0000	0.0000						
60 D	28.60	-1.2239E-02	280.0	121.0	280.0	157.4	ACTIVE	0.000	-11.70	22.00
1.000	1.000	143.0	0.000	0.000	0.000	0.000	Ala_161_6590_L_0			0.0000
0.0000	0.0000	0.0000	0.0000	0.0000						
61 D	29.17	-1.1746E-02	282.1	121.9	282.1	158.5	ACTIVE	0.000	-11.90	24.00
1.000	1.000	145.9	0.000	0.000	0.000	0.000	Ala_161_6590_L_0			0.0000
0.0000	0.0000	0.0000	0.0000	0.0000						
62 D	29.74	-1.1259E-02	284.0	122.7	284.0	159.6	ACTIVE	0.000	-12.10	26.00
1.000	1.000	148.7	0.000	0.000	0.000	0.000	Ala_161_6590_L_0			0.0000
0.0000	0.0000	0.0000	0.0000	0.0000						
63 D	30.31	-1.0780E-02	286.0	123.6	286.0	160.7	ACTIVE	0.000	-12.30	28.00
1.000	1.000	151.6	0.000	0.000	0.000	0.000	Ala_161_6590_L_0			0.0000
0.0000	0.0000	0.0000	0.0000	0.0000						
64 D	30.87	-1.0308E-02	287.9	124.4	287.9	161.8	ACTIVE	0.000	-12.50	30.00
1.000	1.000	154.4	0.000	0.000	0.000	0.000	Ala_161_6590_L_0			0.0000
0.0000	0.0000	0.0000	0.0000	0.0000						
65 D	31.45	-9.8425E-03	289.9	125.2	289.9	162.9	ACTIVE	0.000	-12.70	32.00
1.000	1.000	157.2	0.000	0.000	0.000	0.000	Ala_161_6590_L_0			0.0000
0.0000	0.0000	0.0000	0.0000	0.0000						
66 D	32.01	-9.3833E-03	291.8	126.0	291.8	164.0	ACTIVE	0.000	-12.90	34.00
1.000	1.000	160.0	0.000	0.000	0.000	0.000	Ala_161_6590_L_0			0.0000
0.0000	0.0000	0.0000	0.0000	0.0000						
67 D	32.58	-8.9303E-03	293.7	126.9	293.7	165.1	ACTIVE	0.000	-13.10	36.00
1.000	1.000	162.9	0.000	0.000	0.000	0.000	Ala_161_6590_L_0			0.0000
0.0000	0.0000	0.0000	0.0000	0.0000						
68 D	33.13	-8.4832E-03	295.5	127.7	295.5	166.1	ACTIVE	0.000	-13.30	38.00
1.000	1.000	165.7	0.000	0.000	0.000	0.000	Ala_161_6590_L_0			0.0000
0.0000	0.0000	0.0000	0.0000	0.0000						
69 D	33.69	-8.0417E-03	297.3	128.4	297.3	167.1	ACTIVE	0.000	-13.50	40.00
1.000	1.000	168.4	0.000	0.000	0.000	0.000	Ala_161_6590_L_0			0.0000
0.0000	0.0000	0.0000	0.0000	0.0000						
70 D	34.24	-7.6056E-03	299.1	129.2	299.1	168.1	ACTIVE	0.000	-13.70	42.00
1.000	1.000	171.2	0.000	0.000	0.000	0.000	Ala_161_6590_L_0			0.0000
0.0000	0.0000	0.0000	0.0000	0.0000						
71 D	34.79	-7.1747E-03	300.8	130.0	300.8	169.1	ACTIVE	0.000	-13.90	44.00
1.000	1.000	174.0	0.000	0.000	0.000	0.000	Ala_161_6590_L_0			0.0000
0.0000	0.0000	0.0000	0.0000	0.0000						
72 D	35.35	-6.7487E-03	302.6	130.7	302.6	170.1	ACTIVE	0.000	-14.10	46.00
1.000	1.000	176.7	0.000	0.000	0.000	0.000	Ala_161_6590_L_0			0.0000
0.0000	0.0000	0.0000	0.0000	0.0000						
73 D	35.90	-6.3274E-03	304.4	131.5	304.4	171.1	ACTIVE	0.000	-14.30	48.00
1.000	1.000	179.5	0.000	0.000	0.000	0.000	Ala_161_6590_L_0			0.0000
0.0000	0.0000	0.0000	0.0000	0.0000						
74 D	36.45	-5.9104E-03	306.2	132.3	306.2	172.1	ACTIVE	0.000	-14.50	50.00
1.000	1.000	182.3	0.000	0.000	0.000	0.000	Ala_161_6590_L_0			0.0000
0.0000	0.0000	0.0000	0.0000	0.0000						
75 D	37.01	-5.4976E-03	308.0	133.0	308.0	173.1	UL-RL 2.4134E+04		-14.70	52.00
1.000	1.000	185.0	0.000	0.000	0.000	0.000	Ala_161_6590_L_0			0.0000
0.0000	0.0000	0.0000	0.0000	0.0000						
76 D	37.56	-5.0887E-03	309.7	133.8	309.7	174.1	UL-RL 2.4134E+04		-14.90	54.00
1.000	1.000	187.8	0.000	0.000	0.000	0.000	Ala_161_6590_L_0			0.0000
0.0000	0.0000	0.0000	0.0000	0.0000						
77 D	38.12	-4.6834E-03	311.5	134.6	311.5	175.1	UL-RL 2.4134E+04		-15.10	56.00
1.000	1.000	190.6	0.000	0.000	0.000	0.000	Ala_161_6590_L_0			0.0000
0.0000	0.0000	0.0000	0.0000	0.0000						
78 D	38.67	-4.2815E-03	313.3	135.4	313.3	176.1	UL-RL 2.4134E+04		-15.30	58.00
1.000	1.000	193.4	0.000	0.000	0.000	0.000	Ala_161_6590_L_0			0.0000
0.0000	0.0000	0.0000	0.0000	0.0000						
79 D	39.23	-3.8828E-03	315.1	136.1	315.1	177.1	UL-RL 2.4134E+04		-15.50	60.00
1.000	1.000	196.1	0.000	0.000	0.000	0.000	Ala_161_6590_L_0			0.0000
0.0000	0.0000	0.0000	0.0000	0.0000						
80 D	39.78	-3.4870E-03	316.9	136.9	316.9	178.1	UL-RL 2.4134E+04		-15.70	62.00
1.000	1.000	198.9	0.000	0.000	0.000	0.000	Ala_161_6590_L_0			0.0000
0.0000	0.0000	0.0000	0.0000	0.0000						
81 D	40.34	-3.0939E-03	318.7	137.7	318.7	179.1	UL-RL 2.4134E+04		-15.90	64.00
1.000	1.000	201.7	0.000	0.000	0.000	0.000	Ala_161_6590_L_0			0.0000
0.0000	0.0000	0.0000	0.0000	0.0000						
82 D	37.88	-2.7033E-03	320.5	123.4	320.5	180.1	UL-RL 1.4013E+05		-16.10	66.00
1.000	1.000	189.4	0.000	0.000	8.000	8.000	Salt_21271_21259_L_0			0.0000
0.0000	0.0000	0.0000	0.0000	0.0000						
83 D	38.44	-2.3150E-03	322.4	124.2	322.4	181.2	UL-RL 1.4013E+05		-16.30	68.00
1.000	1.000	192.2	0.000	0.000	8.000	8.000	Salt_21271_21259_L_0			0.0000

0.0000	0.0000	0.0000	0.0000	0.0000						
84 D	39.00	-1.9287E-03	324.3	125.0	324.3	182.3	UL-RL 1.4013E+05	-16.50	70.00	
1.000	1.000	195.0	0.000	0.000	8.000	8.000	Salt_21271_21259_L_0		0.0000	
0.0000	0.0000	0.0000	0.0000	0.0000						
85 D	39.98	-1.5441E-03	326.2	127.9	326.2	183.3	UL-RL 1.4013E+05	-16.70	72.00	
1.000	1.000	199.9	0.000	0.000	8.000	8.000	Salt_21271_21259_L_0		0.0000	
0.0000	0.0000	0.0000	0.0000	0.0000						
86 D	41.49	-1.1611E-03	328.1	133.5	328.1	184.4	UL-RL 1.4013E+05	-16.90	74.00	
1.000	1.000	207.5	0.000	0.000	8.000	8.000	Salt_21271_21259_L_0		0.0000	
0.0000	0.0000	0.0000	0.0000	0.0000						
87 D	43.51	-7.7931E-04	330.0	141.6	330.0	185.5	UL-RL 1.4013E+05	-17.10	76.00	
1.000	1.000	217.6	0.000	0.000	8.000	8.000	Salt_21271_21259_L_0		0.0000	
0.0000	0.0000	0.0000	0.0000	0.0000						
88 D	52.67	-3.9844E-04	331.9	185.4	331.9	186.6	UL-RL 1.4013E+05	-17.30	78.00	
1.000	1.000	263.4	0.000	0.000	8.000	8.000	Salt_21271_21259_L_0		0.0000	
0.0000	0.0000	0.0000	0.0000	0.0000						
89 D	56.20	-1.8241E-05	333.8	201.0	333.8	201.7	UL-RL 1.4013E+05	-17.50	80.00	
1.000	1.000	281.0	0.000	0.000	8.000	8.000	Salt_21271_21259_L_0		0.0000	
0.0000	0.0000	0.0000	0.0000	0.0000						
90 D	56.58	3.6155E-04	335.8	200.9	335.8	201.3	UL-RL 1.0277E+05	-17.70	82.00	
1.000	1.000	282.9	0.000	0.000	44.00	44.00	Sch_21272_21260_L_0		0.0000	
0.0000	0.0000	0.0000	0.0000	0.0000						
91 D	59.87	7.4110E-04	338.4	215.4	338.4	215.6	UL-RL 1.0277E+05	-17.90	84.00	
1.000	1.000	299.4	0.000	0.000	44.00	44.00	Sch_21272_21260_L_0		0.0000	
0.0000	0.0000	0.0000	0.0000	0.0000						
92 D	47.38	1.1206E-03	340.9	229.9	340.9	230.0	UL-RL 1.0277E+05	-18.10	86.00	
1.000	1.000	315.9	0.000	0.000	44.00	44.00	Sch_21272_21260_L_0		0.0000	
0.0000	0.0000	0.0000	0.0000	0.0000						
93 D	16.21	1.3103E-03	342.1	237.1	342.1	237.2	UL-RL 1.0277E+05	-18.20	87.00	
1.000	1.000	324.1	0.000	0.000	44.00	44.00	Sch_21272_21260_L_0		0.0000	
0.0000	0.0000	0.0000	0.0000	0.0000						

```

+-----+
|                PARATIEPLUS(TM)  NLS ENGINE RELEASE 2022.0.0  FULL VERSION  *Build date:Sep 13, 2021* |
|                |
|                |
|                |
|                |
|                |
|                |
|                |
+-----+

```

New Project

STRESS RESULTS FOR GROUP NO. 3

pali15001.7_33 :
 ELEMENT TYPE 2 NO.OF ELEMENTS. IN THIS GROUP 68
 CURRENT TIME IS 4.0000 SUBINCREMENT 00001/00001

WALL2D ELEMENT

EL	TA	TB	MA	MB
1	-155.22	155.22	293.50	-324.54
2	-166.83	166.83	324.54	-357.91
3	-176.82	176.82	357.91	-393.27
4	-185.19	185.19	393.27	-430.31
5	-191.94	191.94	430.31	-468.70
6	-197.06	197.06	468.70	-508.11
7	-200.55	200.55	508.11	-548.22
8	-202.43	202.43	548.22	-588.70
9	-202.68	202.68	588.70	-629.24
10	-201.30	201.30	629.24	-669.50
11	-198.30	198.30	669.50	-709.16
12	-193.71	193.71	709.16	-747.90
13	-187.58	187.58	747.90	-785.42
14	-179.87	179.87	785.42	-821.39
15	-170.58	170.58	821.39	-855.51
16	-159.71	159.71	855.51	-887.45
17	-147.26	147.26	887.45	-916.90
18	-133.22	133.22	916.90	-943.55
19	-117.58	117.58	943.55	-967.06
20	-100.36	100.36	967.06	-987.13
21	-81.522	81.522	987.13	-1003.4
22	-62.416	62.416	1003.4	-1015.9
23	-44.170	44.170	1015.9	-1024.8
24	-26.802	26.802	1024.8	-1030.1
25	-10.265	10.265	1030.1	-1032.2
26	5.3760	-5.3760	1032.2	-1031.1
27	20.164	-20.164	1031.1	-1027.1
28	34.089	-34.089	1027.1	-1020.2
29	47.190	-47.190	1020.2	-1010.8
30	59.462	-59.462	1010.8	-998.91
31	70.935	-70.935	998.91	-984.73
32	81.613	-81.613	984.73	-968.40
33	91.518	-91.518	968.40	-950.10
34	100.66	-100.66	950.10	-929.97
35	109.05	-109.05	929.97	-908.16
36	116.71	-116.71	908.16	-884.82
37	123.64	-123.64	884.82	-860.09
38	129.86	-129.86	860.09	-834.12
39	135.38	-135.38	834.12	-807.04
40	140.22	-140.22	807.04	-779.00
41	144.37	-144.37	779.00	-750.12
42	147.87	-147.87	750.12	-720.55
43	150.71	-150.71	720.55	-690.41
44	152.91	-152.91	690.41	-659.83
45	154.49	-154.49	659.83	-628.93
46	155.45	-155.45	628.93	-597.84
47	155.80	-155.80	597.84	-566.68
48	155.56	-155.56	566.68	-535.57
49	154.72	-154.72	535.57	-504.62
50	153.29	-153.29	504.62	-473.96
51	151.28	-151.28	473.96	-443.71
52	148.70	-148.70	443.71	-413.97
53	145.55	-145.55	413.97	-384.86
54	141.83	-141.83	384.86	-356.49
55	137.55	-137.55	356.49	-328.98
56	132.72	-132.72	328.98	-302.44
57	127.33	-127.33	302.44	-276.97
58	143.79	-143.79	276.97	-248.21
59	156.93	-156.93	248.21	-216.83
60	166.76	-166.76	216.83	-183.47
61	172.61	-172.61	183.47	-148.95
62	173.66	-173.66	148.95	-114.22
63	169.06	-169.06	114.22	-80.409
64	147.26	-147.26	80.409	-50.958
65	119.32	-119.32	50.958	-27.093
66	85.506	-85.506	27.093	-9.9913
67	44.292	-44.292	9.9913	-1.1329
68	11.329	-11.329	1.1329	-2.78987E-10

```

+-----+
|          PARATIEPLUS(TM)  NLS ENGINE RELEASE  2022.0.0  FULL VERSION  *Build date:Sep 13, 2021*          |
|                                                                                                                                            |
|                                                                                               ParatiePlus                               |
|                                                                                               Exe Time :28 January 2022   11:11:18           |
+-----+

```

New Project

S T R E S S R E S U L T S F O R G R O U P N O . 4

```

muro71cm_4658
ELEMENT TYPE   2 NO.OF ELEMENTS. IN THIS GROUP   24
C U R R E N T   T I M E   I S   4.0000 SUBINCREMENT 00001/00001

```

WALL2D ELEMENT

EL	TA	TB	MA	MB
1	-1.7100	1.7100	-1.72465E-10	-0.34200
2	-5.3701	5.3701	0.34200	-1.4160
3	-9.2702	9.2702	1.4160	-3.2701
4	-13.411	13.411	3.2701	-5.9522
5	-17.792	17.792	5.9522	-9.5106
6	-22.414	22.414	9.5106	-13.993
7	-27.278	27.278	13.993	-19.449
8	-32.384	32.384	19.449	-25.926
9	-37.733	37.733	25.926	-33.472
10	-43.325	43.325	33.472	-42.137
11	-49.161	49.161	42.137	-51.969
12	-55.242	55.242	51.969	-63.018
13	-61.569	61.569	63.018	-75.332
14	-68.142	68.142	75.332	-88.960
15	-74.962	74.962	88.960	-103.95
16	-82.030	82.030	103.95	-120.36
17	-89.346	89.346	120.36	-138.23
18	-96.911	96.911	138.23	-157.61
19	-104.73	104.73	157.61	-178.56
20	-112.79	112.79	178.56	-201.11
21	-121.11	121.11	201.11	-225.33
22	-129.67	129.67	225.33	-251.27
23	-138.49	138.49	251.27	-278.97
24	-145.29	145.29	278.97	-293.50


```

+-----+
|          PARATIEPLUS(TM)  NLS ENGINE RELEASE  2022.0.0  FULL VERSION  *Build date:Sep 13, 2021*          |
|                                                                                                                                            |
|                                                                                               ParatiePlus                               |
|                                                                                               Exe Time :28 January 2022   11:11:18           |
+-----+

```

F I N A L I N C R E M E N T A L A N A L Y S I S

S U M M A R Y

STEP		NO. OF ITERATIONS
1	CONVERGENCE :YES	2
2	CONVERGENCE :YES	2
3	CONVERGENCE :YES	8
4	CONVERGENCE :YES	2

END OF PROCESS FOR PROBLEM

New Project

NONLINEAR SOLUTION CPU TIME 0.10 [sec]

DATABASE CREATION CPU TIME..... 0.28 [sec]

8.9. Design Assumption : SISMICA STR - File di Paratie - File di input (.d)

```
* PARATIE ANALYSIS FOR DESIGN SECTION:Base Design Section USING ASSUMPTION: SISMICA STR
* Time:venerdi 28 gennaio 2022 11:11:19
* 1: Defining general settings
UNIT m kN
TITLE New Project
DELTA 0.2
option param itemax 40
option control contact lagrange

option control hinges 0 0.0001 0.001

* 2: Defining wall(s)
WALL LeftWall_32 0 -18.2 0 -1

* 3: Defining surfaces for wall(s)
SOIL 0_L LeftWall_32 -18.2 0 2 0
SOIL 0_R LeftWall_32 -18.2 0 1 180

* 4: Defining soil layers
*
* Soil Profile (rilevato_6589_8_L_0)
*
LDATA rilevato_6589_8_L_0 0 LeftWall_32
ATREST 0.426 0.5 1
WEIGHT 20 10 10
PERMEABILITY 1E-05
RESISTANCE 0 35 0 0 0
TZDATA LINEAR 0 0 0 0.5 0
KSCALE 0 0
YOUNG 50000 1.5E+05
ENDL
*
* Soil Profile (Ala_161_6590_L_0)
*
LDATA Ala_161_6590_L_0 -4.7 LeftWall_32
ATREST 0.562 0.5 1
WEIGHT 19.5 9.5 10
PERMEABILITY 1E-05
RESISTANCE 0 25 0 0 0
TZDATA LINEAR 0 0 0 0.5 0
KSCALE 0 0
YOUNG 35000 1.05E+05
ENDL
*
* Soil Profile (Salt_21271_21259_L_0)
*
LDATA Salt_21271_21259_L_0 -15.99 LeftWall_32
ATREST 0.562 0.5 1
WEIGHT 20 10 10
PERMEABILITY 1E-05
RESISTANCE 10 26 0 0 0
TZDATA LINEAR 0 0 0 0.5 0
KSCALE 0 0
YOUNG 2E+05 6E+05
ENDL
*
* Soil Profile (Sch_21272_21260_L_0)
*
LDATA Sch_21272_21260_L_0 -17.67 LeftWall_32
ATREST 0.562 0.5 1
WEIGHT 23 13 10
PERMEABILITY 1E-05
RESISTANCE 55 31 0 0 0
TZDATA LINEAR 0 0 0 0.5 0
KSCALE 0 0
YOUNG 1.35E+05 4.05E+05
ENDL

* 5: Defining structural materials
* Steel material: 110 Name=Fe360 E=206000200 kPa
MATERIAL Fe360_110 2.06E+08
* Concrete material: 108 Name=C32/40 E=33345800 kPa
MATERIAL C3240_108 3.3346E+07

* 6: Defining structural elements
* 6.1: Beams and combined Wall Elements
** rev 2021 and later
BEAM pali15001.7_33 LeftWall_32 -18.2 -4.7 C3240_108 1.206 1.0395 0.14618 25.987 00 00 0
** rev 2021 and later
BEAM muro71cm_4658 LeftWall_32 -4.7 0 C3240_108 0.74889 0.71 0.035 17.75 00 00 0

* 6.2: Supports
```

```

* 6.3: Strips
STRIP LeftWall_32 3 4 6.7 0.37824 0 58.824 45
STRIP LeftWall_32 3 4 7.0782 0.37824 0 56.471 45
STRIP LeftWall_32 3 4 7.4565 0.37824 0 54.118 45
STRIP LeftWall_32 3 4 7.8347 0.37824 0 51.765 45
STRIP LeftWall_32 3 4 8.2129 0.37824 0 49.412 45
STRIP LeftWall_32 3 4 8.5912 0.37824 0 47.059 45
STRIP LeftWall_32 3 4 8.9694 0.37824 0 44.706 45
STRIP LeftWall_32 3 4 9.3476 0.37824 0 42.353 45
STRIP LeftWall_32 3 4 9.7259 0.37824 0 40 45
STRIP LeftWall_32 3 4 10.104 0.37824 0 37.647 45
STRIP LeftWall_32 3 4 10.482 0.37824 0 35.294 45
STRIP LeftWall_32 3 4 10.861 0.37824 0 32.941 45
STRIP LeftWall_32 3 4 11.239 0.37824 0 30.588 45
STRIP LeftWall_32 3 4 11.617 0.37824 0 28.235 45
STRIP LeftWall_32 3 4 11.995 0.37824 0 25.882 45
STRIP LeftWall_32 3 4 12.374 0.37824 0 23.529 45
STRIP LeftWall_32 3 4 12.752 0.37824 0 21.176 45

```

```

* 7: Defining Steps
STEP 0-Geostatica_31
CHANGE rilevato_6589_8_L_0 U-FRICT=35 LeftWall_32
CHANGE rilevato_6589_8_L_0 D-FRICT=35 LeftWall_32
CHANGE rilevato_6589_8_L_0 U-KA=0.235 LeftWall_32
CHANGE rilevato_6589_8_L_0 U-KP=5.879 LeftWall_32
CHANGE rilevato_6589_8_L_0 D-KA=0.235 LeftWall_32
CHANGE rilevato_6589_8_L_0 D-KP=5.879 LeftWall_32
CHANGE Ala_161_6590_L_0 U-FRICT=25 LeftWall_32
CHANGE Ala_161_6590_L_0 D-FRICT=25 LeftWall_32
CHANGE Ala_161_6590_L_0 U-KA=0.359 LeftWall_32
CHANGE Ala_161_6590_L_0 U-KP=3.222 LeftWall_32
CHANGE Ala_161_6590_L_0 D-KA=0.359 LeftWall_32
CHANGE Ala_161_6590_L_0 D-KP=3.222 LeftWall_32
CHANGE Salt_21271_21259_L_0 U-FRICT=26 LeftWall_32
CHANGE Salt_21271_21259_L_0 D-FRICT=26 LeftWall_32
CHANGE Salt_21271_21259_L_0 U-KA=0.344 LeftWall_32
CHANGE Salt_21271_21259_L_0 U-KP=3.404 LeftWall_32
CHANGE Salt_21271_21259_L_0 D-KA=0.344 LeftWall_32
CHANGE Salt_21271_21259_L_0 D-KP=3.404 LeftWall_32
CHANGE Sch_21272_21260_L_0 U-FRICT=31 LeftWall_32
CHANGE Sch_21272_21260_L_0 D-FRICT=31 LeftWall_32
CHANGE Sch_21272_21260_L_0 U-KA=0.279 LeftWall_32
CHANGE Sch_21272_21260_L_0 U-KP=4.555 LeftWall_32
CHANGE Sch_21272_21260_L_0 D-KA=0.279 LeftWall_32
CHANGE Sch_21272_21260_L_0 D-KP=4.555 LeftWall_32
CHANGE rilevato_6589_8_L_0 U-COHE=0 LeftWall_32
CHANGE rilevato_6589_8_L_0 U-ADHES=0 LeftWall_32
CHANGE rilevato_6589_8_L_0 D-COHE=0 LeftWall_32
CHANGE rilevato_6589_8_L_0 D-ADHES=0 LeftWall_32
CHANGE Ala_161_6590_L_0 U-COHE=0 LeftWall_32
CHANGE Ala_161_6590_L_0 U-ADHES=0 LeftWall_32
CHANGE Ala_161_6590_L_0 D-COHE=0 LeftWall_32
CHANGE Ala_161_6590_L_0 D-ADHES=0 LeftWall_32
CHANGE Salt_21271_21259_L_0 U-COHE=10 LeftWall_32
CHANGE Salt_21271_21259_L_0 U-ADHES=0 LeftWall_32
CHANGE Salt_21271_21259_L_0 D-COHE=10 LeftWall_32
CHANGE Salt_21271_21259_L_0 D-ADHES=0 LeftWall_32
CHANGE Sch_21272_21260_L_0 U-COHE=55 LeftWall_32
CHANGE Sch_21272_21260_L_0 U-ADHES=0 LeftWall_32
CHANGE Sch_21272_21260_L_0 D-COHE=55 LeftWall_32
CHANGE Sch_21272_21260_L_0 D-ADHES=0 LeftWall_32
SETWALL LeftWall_32
GEOM -4.7 -4.7
SURCHARGE 0 0 0 0
WATER -9.5 0 -18.2 0 0
ENDSTEP

```

```

STEP 1-paratia_39155
SETWALL LeftWall_32
GEOM -4.7 -4.7
SURCHARGE 0 0 0 0
WATER -9.5 0 -18.2 0 0
ADD palil5001.7_33
ENDSTEP

```

```

STEP 2-esercizio_90561
SETWALL LeftWall_32
GEOM 0 -4.7
SURCHARGE 57 0 0 -4.7
WATER -9.5 0 -18.2 0 0
ADD muro71cm_4658
ENDSTEP

```

```

STEP 3-sisma_44110
SETWALL LeftWall_32
GEOM 0 -4.7
SURCHARGE 57 0 0 0
WATER -9.5 0 -18.2 0 0
CHANGE rilevato_6589_8_L_0 U-KAED=0.29971 LeftWall_32
CHANGE rilevato_6589_8_L_0 U-KAEW=0.36573 LeftWall_32

```

```

CHANGE rilievo_6589_8_L_0 U-KPED=5.8297 LeftWall_32
CHANGE rilievo_6589_8_L_0 U-KPEW=5.4315 LeftWall_32
CHANGE rilievo_6589_8_L_0 D-KAED=0.278 LeftWall_32
CHANGE rilievo_6589_8_L_0 D-KAEW=0.34559 LeftWall_32
CHANGE rilievo_6589_8_L_0 D-KPED=5.2629 LeftWall_32
CHANGE rilievo_6589_8_L_0 D-KPEW=4.8545 LeftWall_32
CHANGE Ala_161_6590_L_0 U-KAED=0.44538 LeftWall_32
CHANGE Ala_161_6590_L_0 U-KAEW=0.5376 LeftWall_32
CHANGE Ala_161_6590_L_0 U-KPED=3.1512 LeftWall_32
CHANGE Ala_161_6590_L_0 U-KPEW=2.8567 LeftWall_32
CHANGE Ala_161_6590_L_0 D-KAED=0.41129 LeftWall_32
CHANGE Ala_161_6590_L_0 D-KAEW=0.50839 LeftWall_32
CHANGE Ala_161_6590_L_0 D-KPED=2.84 LeftWall_32
CHANGE Ala_161_6590_L_0 D-KPEW=2.5363 LeftWall_32
CHANGE Salt_21271_21259_L_0 U-KAED=0.42861 LeftWall_32
CHANGE Salt_21271_21259_L_0 U-KAEW=0.5135 LeftWall_32
CHANGE Salt_21271_21259_L_0 U-KPED=3.3356 LeftWall_32
CHANGE Salt_21271_21259_L_0 U-KPEW=3.0485 LeftWall_32
CHANGE Salt_21271_21259_L_0 D-KAED=0.39605 LeftWall_32
CHANGE Salt_21271_21259_L_0 D-KAEW=0.48459 LeftWall_32
CHANGE Salt_21271_21259_L_0 D-KPED=3.0066 LeftWall_32
CHANGE Salt_21271_21259_L_0 D-KPEW=2.7114 LeftWall_32
CHANGE Sch_21272_21260_L_0 U-KAED=0.35211 LeftWall_32
CHANGE Sch_21272_21260_L_0 U-KAEW=0.4066 LeftWall_32
CHANGE Sch_21272_21260_L_0 U-KPED=4.4947 LeftWall_32
CHANGE Sch_21272_21260_L_0 U-KPEW=4.239 LeftWall_32
CHANGE Sch_21272_21260_L_0 D-KAED=0.3256 LeftWall_32
CHANGE Sch_21272_21260_L_0 D-KAEW=0.38272 LeftWall_32
CHANGE Sch_21272_21260_L_0 D-KPED=4.0548 LeftWall_32
CHANGE Sch_21272_21260_L_0 D-KPEW=3.793 LeftWall_32
EQK USER 0.0959 0.04795 -0.04795 0 0.5 0 0.5 0 0
* Defining seismic surcharge pressures on wall LeftWall_32
*   min elevation = -4,7
*   max elevation = 0
*   average gamma = 20
*   kh = 0,0959
*   deltaQ = 15,8882325
DLOAD step LeftWall_32 -4.7 -3.3805 0 -3.3805
* Include pressure contribution from wall: LeftWall_32
* Include wall contribution
DLOAD step LeftWall_32 -4.7 -1.7022 0 -1.7022
ENDSTEP

```

8.10. Design Assumption : SISMICA STR - File di Paratie - File di output (.out)

```

+-----+
|           PARATIEPLUS(TM)   NLS ENGINE RELEASE 2022.0.0 FULL VERSION *Build date:Sep 13, 2021* |
|                                                                           |
|                               ParatiePlus                                |
|                               Exe Time :28 January 2022  11:11:19        |
+-----+

```

```

*****
*                                                                           *
*   PARATIE PLUS Non-Linear Spring Engine                               *
*                                                                           *
*   AN ELASTOPLASTIC FINITE ELEMENT PROGRAM                          *
*   FOR FLEXIBLE EARTH-RETAINING STRUCTURES                           *
*                                                                           *
*   Written by CEAS s.r.l. (ITALY)                                     *
*   with the scientific supervision of                                 *
*   Roberto Nova - full professor SOIL MECHANICS                       *
*   at Politecnico di Milano (ITALY)                                  *
*                                                                           *
*****
*   RELEASE 2022.0.0 *Build date:Sep 13, 2021*                       *
*                                                                           *
*   CEAS S.R.L VIALE GIUSTINIANO 10                                    *
*   20129 M I L A N O (ITALIA)                                        *
*   TEL.      +39 02 2020221                                           *
*                                                                           *
*   email      bruno.becci@ceas.it                                     *
*   Web Page   www.ceas.it      www.paratieplus.com                   *
*****

```

```

JOB : ParatiePlus
STARTING
ACCEPTED &lt;FILE,GENW &gt;
ACCEPTED &lt;FILE,PLOTTER,BINARY &gt;
ACCEPTED &lt;SOLVE TOTAL_STRESS &gt;
ACCEPTED &lt;PARAM ITEMEX 40 &gt;
ACCEPTED &lt;CONTROL CONTACT LAGRANGE &gt;

```

ACCEPTED <CONTROL HINGES 0 0.0001 0.001

>

```
*****  
*  
* WARNING : PORE PRESSURES ARE AUTOMATICALLY COMPUTED *  
* BY THE PROGRAM. *  
*****
```

PRELIMINARY OPERATIONS CPU TIME 0.00 [sec]

```

+-----+
|          PARATIEPLUS(TM)  NLS ENGINE RELEASE  2022.0.0  FULL VERSION  *Build date:Sep 13, 2021*          |
|                                                                                                                                            |
|                                                                                               ParatiePlus                               |
|                                                                                               Exe Time :28 January 2022   11:11:19                               |
+-----+

```

INPUT FILE HAS BEEN GENERATED BY WALGEN PROGRAM

New Project

```

NO. OF NODAL POINTS (NUMNP) ..... 93
NO. OF COORDINATES (NCOORD)..... 2
NO. OF NODE DOFS (NDOF)..... 2
NO. OF EQUATIONS (NEQ)..... 186
NO. OF CONSTRAINTS CARDS (NVINC)..... 0
NO. OF ELEMENT GROUPS (NEG)..... 4
NO. OF SOLUTION STEPS (NSTE)..... 4
NO. OF ELEMENT SETS ATTACHED TO SLAVE NODES ... 0
NO. OF RECORD FROM WALGEN ..... 167
NO. OF LONG NAMES (LASTNAME) ..... 19
LENGTH UNIT CHOICE ..... 3 (M )
FORCE UNIT CHOICE ..... 3 (KN )
MAX PORE PRESSURE TABLE LENGTH..... 1
MAX INELASTIC DISPL. TABLE LENGTH..... 0
NO. OF ELEMENT GROUPS REQUIRING ADD. SLIP DOF . 0

```

```

IDOFA (01) = 2 Y-DISPL.F
IDOFA (02) = 4 X-ROT. F

```

RELEVANT ITEMS UNITS

```

STRESSES                kPa
Y-DISPLACEMENTS        m
ROTATIONS                RADIANS
BEAM AND SLAB MOMENTS   kN*m/m
BEAM SHEAR FORCES       kN/m
ANCHOR FORCES           kN/m
AXIAL FORCES IN TRUSSES kN/m
AXIAL FORCES SPRINGS    kN/m
Y-REACTIONS             kN/m
X-MOMENT REACTIONS      kN*m/m
ETC.

```

P R E P R O C E S S O R D A T A

N O . O F C O M M A N D S 167

```

1 : UNIT m kN
2 : TITLE New Project
3 : DELTA 0.2
4 : option param itemax 40
5 : option control contact lagrange
6 : option control hinges 0 0.0001 0.001
7 : WALL LeftWall_32 0 -18.2 0 -1
8 : SOIL 0_L LeftWall_32 -18.2 0 2 0
9 : SOIL 0_R LeftWall_32 -18.2 0 1 180
10 : LDATA rilevato_6589_8_L_0 0 LeftWall_32
11 : ATREST 0.426 0.5 1
12 : WEIGHT 20 10 10
13 : PERMEABILITY 1E-05
14 : RESISTANCE 0 35 0 0 0
15 : TZDATA LINEAR 0 0 0 0.5 0
16 : KSCALE 0 0
17 : YOUNG 50000 1.5E+05
18 : ENDL
19 : LDATA Ala_161_6590_L_0 -4.7 LeftWall_32
20 : ATREST 0.562 0.5 1
21 : WEIGHT 19.5 9.5 10
22 : PERMEABILITY 1E-05
23 : RESISTANCE 0 25 0 0 0
24 : TZDATA LINEAR 0 0 0 0.5 0
25 : KSCALE 0 0
26 : YOUNG 35000 1.05E+05
27 : ENDL
28 : LDATA Salt_21271_21259_L_0 -15.99 LeftWall_32
29 : ATREST 0.562 0.5 1
30 : WEIGHT 20 10 10
31 : PERMEABILITY 1E-05
32 : RESISTANCE 10 26 0 0 0
33 : TZDATA LINEAR 0 0 0 0.5 0
34 : KSCALE 0 0
35 : YOUNG 2E+05 6E+05
36 : ENDL
37 : LDATA Sch_21272_21260_L_0 -17.67 LeftWall_32
38 : ATREST 0.562 0.5 1
39 : WEIGHT 23 13 10
40 : PERMEABILITY 1E-05
41 : RESISTANCE 55 31 0 0 0
42 : TZDATA LINEAR 0 0 0 0.5 0
43 : KSCALE 0 0
44 : YOUNG 1.35E+05 4.05E+05
45 : ENDL
46 : MATERIAL Fe360_110 2.06E+08
47 : MATERIAL C3240_108 3.3346E+07
48 : BEAM pali15001.7_33 LeftWall_32 -18.2 -4.7 C3240_108 1.206 1.0395 0.14618 25.987 00 00 0
49 : BEAM muro71cm_4658 LeftWall_32 -4.7 0 C3240_108 0.74889 0.71 0.035 17.75 00 00 0
50 : STRIP LeftWall_32 3 4 6.7 0.37824 0 58.824 45
51 : STRIP LeftWall_32 3 4 7.0782 0.37824 0 56.471 45
52 : STRIP LeftWall_32 3 4 7.4565 0.37824 0 54.118 45
53 : STRIP LeftWall_32 3 4 7.8347 0.37824 0 51.765 45
54 : STRIP LeftWall_32 3 4 8.2129 0.37824 0 49.412 45
55 : STRIP LeftWall_32 3 4 8.5912 0.37824 0 47.059 45
56 : STRIP LeftWall_32 3 4 8.9694 0.37824 0 44.706 45
57 : STRIP LeftWall_32 3 4 9.3476 0.37824 0 42.353 45
58 : STRIP LeftWall_32 3 4 9.7259 0.37824 0 40 45
59 : STRIP LeftWall_32 3 4 10.104 0.37824 0 37.647 45
60 : STRIP LeftWall_32 3 4 10.482 0.37824 0 35.294 45
61 : STRIP LeftWall_32 3 4 10.861 0.37824 0 32.941 45
62 : STRIP LeftWall_32 3 4 11.239 0.37824 0 30.588 45
63 : STRIP LeftWall_32 3 4 11.617 0.37824 0 28.235 45
64 : STRIP LeftWall_32 3 4 11.995 0.37824 0 25.882 45
65 : STRIP LeftWall_32 3 4 12.374 0.37824 0 23.529 45
66 : STRIP LeftWall_32 3 4 12.752 0.37824 0 21.176 45
67 : STEP 0-Geostatica_31
68 : CHANGE rilevato_6589_8_L_0 U-FRICT=35 LeftWall_32
69 : CHANGE rilevato_6589_8_L_0 D-FRICT=35 LeftWall_32
70 : CHANGE rilevato_6589_8_L_0 U-KA=0.235 LeftWall_32
71 : CHANGE rilevato_6589_8_L_0 U-KP=5.879 LeftWall_32
72 : CHANGE rilevato_6589_8_L_0 D-KA=0.235 LeftWall_32
73 : CHANGE rilevato_6589_8_L_0 D-KP=5.879 LeftWall_32
74 : CHANGE Ala_161_6590_L_0 U-FRICT=25 LeftWall_32
75 : CHANGE Ala_161_6590_L_0 D-FRICT=25 LeftWall_32
76 : CHANGE Ala_161_6590_L_0 U-KA=0.359 LeftWall_32
77 : CHANGE Ala_161_6590_L_0 U-KP=3.222 LeftWall_32
78 : CHANGE Ala_161_6590_L_0 D-KA=0.359 LeftWall_32
79 : CHANGE Ala_161_6590_L_0 D-KP=3.222 LeftWall_32

```

```

80 : CHANGE Salt_21271_21259_L_0 U-FRICT=26 LeftWall_32
81 : CHANGE Salt_21271_21259_L_0 D-FRICT=26 LeftWall_32
82 : CHANGE Salt_21271_21259_L_0 U-KA=0.344 LeftWall_32
83 : CHANGE Salt_21271_21259_L_0 U-KP=3.404 LeftWall_32
84 : CHANGE Salt_21271_21259_L_0 D-KA=0.344 LeftWall_32
85 : CHANGE Salt_21271_21259_L_0 D-KP=3.404 LeftWall_32
86 : CHANGE Sch_21272_21260_L_0 U-FRICT=31 LeftWall_32
87 : CHANGE Sch_21272_21260_L_0 D-FRICT=31 LeftWall_32
88 : CHANGE Sch_21272_21260_L_0 U-KA=0.279 LeftWall_32
89 : CHANGE Sch_21272_21260_L_0 U-KP=4.555 LeftWall_32
90 : CHANGE Sch_21272_21260_L_0 D-KA=0.279 LeftWall_32
91 : CHANGE Sch_21272_21260_L_0 D-KP=4.555 LeftWall_32
92 : CHANGE rilevato_6589_8_L_0 U-COHE=0 LeftWall_32
93 : CHANGE rilevato_6589_8_L_0 U-ADHES=0 LeftWall_32
94 : CHANGE rilevato_6589_8_L_0 D-COHE=0 LeftWall_32
95 : CHANGE rilevato_6589_8_L_0 D-ADHES=0 LeftWall_32
96 : CHANGE Ala_161_6590_L_0 U-COHE=0 LeftWall_32
97 : CHANGE Ala_161_6590_L_0 U-ADHES=0 LeftWall_32
98 : CHANGE Ala_161_6590_L_0 D-COHE=0 LeftWall_32
99 : CHANGE Ala_161_6590_L_0 D-ADHES=0 LeftWall_32
100 : CHANGE Salt_21271_21259_L_0 U-COHE=10 LeftWall_32
101 : CHANGE Salt_21271_21259_L_0 U-ADHES=0 LeftWall_32
102 : CHANGE Salt_21271_21259_L_0 D-COHE=10 LeftWall_32
103 : CHANGE Salt_21271_21259_L_0 D-ADHES=0 LeftWall_32
104 : CHANGE Sch_21272_21260_L_0 U-COHE=55 LeftWall_32
105 : CHANGE Sch_21272_21260_L_0 U-ADHES=0 LeftWall_32
106 : CHANGE Sch_21272_21260_L_0 D-COHE=55 LeftWall_32
107 : CHANGE Sch_21272_21260_L_0 D-ADHES=0 LeftWall_32
108 : SETWALL LeftWall_32
109 : GEOM -4.7 -4.7
110 : SURCHARGE 0 0 0 0
111 : WATER -9.5 0 -18.2 0 0
112 : ENDSTEP
113 : STEP 1-paratia_39155
114 : SETWALL LeftWall_32
115 : GEOM -4.7 -4.7
116 : SURCHARGE 0 0 0 0
117 : WATER -9.5 0 -18.2 0 0
118 : ADD pali15001.7_33
119 : ENDSTEP
120 : STEP 2-esercizio_90561
121 : SETWALL LeftWall_32
122 : GEOM 0 -4.7
123 : SURCHARGE 57 0 0 -4.7
124 : WATER -9.5 0 -18.2 0 0
125 : ADD muro71cm_4658
126 : ENDSTEP
127 : STEP 3-sisma_44110
128 : SETWALL LeftWall_32
129 : GEOM 0 -4.7
130 : SURCHARGE 57 0 0 0
131 : WATER -9.5 0 -18.2 0 0
132 : CHANGE rilevato_6589_8_L_0 U-KAED=0.29971 LeftWall_32
133 : CHANGE rilevato_6589_8_L_0 U-KAEW=0.36573 LeftWall_32
134 : CHANGE rilevato_6589_8_L_0 U-KPED=5.8297 LeftWall_32
135 : CHANGE rilevato_6589_8_L_0 U-KPEW=5.4315 LeftWall_32
136 : CHANGE rilevato_6589_8_L_0 D-KAED=0.278 LeftWall_32
137 : CHANGE rilevato_6589_8_L_0 D-KAEW=0.34559 LeftWall_32
138 : CHANGE rilevato_6589_8_L_0 D-KPED=5.2629 LeftWall_32
139 : CHANGE rilevato_6589_8_L_0 D-KPEW=4.8545 LeftWall_32
140 : CHANGE Ala_161_6590_L_0 U-KAED=0.44538 LeftWall_32
141 : CHANGE Ala_161_6590_L_0 U-KAEW=0.5376 LeftWall_32
142 : CHANGE Ala_161_6590_L_0 U-KPED=3.1512 LeftWall_32
143 : CHANGE Ala_161_6590_L_0 U-KPEW=2.8567 LeftWall_32
144 : CHANGE Ala_161_6590_L_0 D-KAED=0.41129 LeftWall_32
145 : CHANGE Ala_161_6590_L_0 D-KAEW=0.50839 LeftWall_32
146 : CHANGE Ala_161_6590_L_0 D-KPED=2.84 LeftWall_32
147 : CHANGE Ala_161_6590_L_0 D-KPEW=2.5363 LeftWall_32
148 : CHANGE Salt_21271_21259_L_0 U-KAED=0.42861 LeftWall_32
149 : CHANGE Salt_21271_21259_L_0 U-KAEW=0.5135 LeftWall_32
150 : CHANGE Salt_21271_21259_L_0 U-KPED=3.3356 LeftWall_32
151 : CHANGE Salt_21271_21259_L_0 U-KPEW=3.0485 LeftWall_32
152 : CHANGE Salt_21271_21259_L_0 D-KAED=0.39605 LeftWall_32
153 : CHANGE Salt_21271_21259_L_0 D-KAEW=0.48459 LeftWall_32
154 : CHANGE Salt_21271_21259_L_0 D-KPED=3.0066 LeftWall_32
155 : CHANGE Salt_21271_21259_L_0 D-KPEW=2.7114 LeftWall_32
156 : CHANGE Sch_21272_21260_L_0 U-KAED=0.35211 LeftWall_32
157 : CHANGE Sch_21272_21260_L_0 U-KAEW=0.4066 LeftWall_32
158 : CHANGE Sch_21272_21260_L_0 U-KPED=4.4947 LeftWall_32
159 : CHANGE Sch_21272_21260_L_0 U-KPEW=4.239 LeftWall_32
160 : CHANGE Sch_21272_21260_L_0 D-KAED=0.3256 LeftWall_32
161 : CHANGE Sch_21272_21260_L_0 D-KAEW=0.38272 LeftWall_32
162 : CHANGE Sch_21272_21260_L_0 D-KPED=4.0548 LeftWall_32
163 : CHANGE Sch_21272_21260_L_0 D-KPEW=3.793 LeftWall_32
164 : EQK USER 0.0959 0.04795 -0.04795 0 0.5 0 0.5 0 0
165 : DLOAD step LeftWall_32 -4.7 -3.3805 0 -3.3805
166 : DLOAD step LeftWall_32 -4.7 -1.7022 0 -1.7022
167 : ENDSTEP

```



```

+-----+
|          PARATIEPLUS(TM)  NLS ENGINE RELEASE  2022.0.0  FULL VERSION  *Build date:Sep 13, 2021*          |
|                                                                                                                                            |
|                                                                                               ParatiePlus                               |
|                                                                                               Exe Time :28 January 2022   11:11:19                               |
+-----+

```

N O D A L P O I N T D A T A

NODE	Y-COORD	Z-COORD /	NODE	Y-COORD	Z-COORD /	NODE	Y-COORD	Z-COORD /	NODE	Y-COORD	Z-COORD /				
1	0.0000	0.0000	/	2	0.0000	-0.20000	/	3	0.0000	-0.40000	/	4	0.0000	-0.60000	/
5	0.0000	-0.80000	/	6	0.0000	-1.0000	/	7	0.0000	-1.2000	/	8	0.0000	-1.4000	/
9	0.0000	-1.6000	/	10	0.0000	-1.8000	/	11	0.0000	-2.0000	/	12	0.0000	-2.2000	/
13	0.0000	-2.4000	/	14	0.0000	-2.6000	/	15	0.0000	-2.8000	/	16	0.0000	-3.0000	/
17	0.0000	-3.2000	/	18	0.0000	-3.4000	/	19	0.0000	-3.6000	/	20	0.0000	-3.8000	/
21	0.0000	-4.0000	/	22	0.0000	-4.2000	/	23	0.0000	-4.4000	/	24	0.0000	-4.6000	/
25	0.0000	-4.7000	/	26	0.0000	-4.9000	/	27	0.0000	-5.1000	/	28	0.0000	-5.3000	/
29	0.0000	-5.5000	/	30	0.0000	-5.7000	/	31	0.0000	-5.9000	/	32	0.0000	-6.1000	/
33	0.0000	-6.3000	/	34	0.0000	-6.5000	/	35	0.0000	-6.7000	/	36	0.0000	-6.9000	/
37	0.0000	-7.1000	/	38	0.0000	-7.3000	/	39	0.0000	-7.5000	/	40	0.0000	-7.7000	/
41	0.0000	-7.9000	/	42	0.0000	-8.1000	/	43	0.0000	-8.3000	/	44	0.0000	-8.5000	/
45	0.0000	-8.7000	/	46	0.0000	-8.9000	/	47	0.0000	-9.1000	/	48	0.0000	-9.3000	/
49	0.0000	-9.5000	/	50	0.0000	-9.7000	/	51	0.0000	-9.9000	/	52	0.0000	-10.100	/
53	0.0000	-10.300	/	54	0.0000	-10.500	/	55	0.0000	-10.700	/	56	0.0000	-10.900	/
57	0.0000	-11.100	/	58	0.0000	-11.300	/	59	0.0000	-11.500	/	60	0.0000	-11.700	/
61	0.0000	-11.900	/	62	0.0000	-12.100	/	63	0.0000	-12.300	/	64	0.0000	-12.500	/
65	0.0000	-12.700	/	66	0.0000	-12.900	/	67	0.0000	-13.100	/	68	0.0000	-13.300	/
69	0.0000	-13.500	/	70	0.0000	-13.700	/	71	0.0000	-13.900	/	72	0.0000	-14.100	/
73	0.0000	-14.300	/	74	0.0000	-14.500	/	75	0.0000	-14.700	/	76	0.0000	-14.900	/
77	0.0000	-15.100	/	78	0.0000	-15.300	/	79	0.0000	-15.500	/	80	0.0000	-15.700	/
81	0.0000	-15.900	/	82	0.0000	-16.100	/	83	0.0000	-16.300	/	84	0.0000	-16.500	/
85	0.0000	-16.700	/	86	0.0000	-16.900	/	87	0.0000	-17.100	/	88	0.0000	-17.300	/
89	0.0000	-17.500	/	90	0.0000	-17.700	/	91	0.0000	-17.900	/	92	0.0000	-18.100	/
93	0.0000	-18.200	/												

```

+-----+
|          PARATIEPLUS(TM)  NLS ENGINE RELEASE  2022.0.0  FULL VERSION  *Build date:Sep 13, 2021*          |
|                                                                                                                                            |
|                                                                                               ParatiePlus |
|                                                                                               Exe Time :28 January 2022  11:11:19 |
+-----+

```

ELEMENT GROUP NO. 1

```

0_L          :
 5 93  0  1  0  0  0  0  0  0  0  0  0  0  0  0  4  0  0  0  0

```

.....2D PLASTIC SOIL

element group behaviour throughout stage analysis

stage status

- 1 active
- 2 active
- 3 active
- 4 active

material set no. 1

prop(1) angle 0.00000
prop(2) layer as foreseen 1.00000

material set no. 2

prop(1) angle 0.00000
prop(2) layer as foreseen 2.00000

material set no. 3

prop(1) angle 0.00000
prop(2) layer as foreseen 3.00000

material set no. 4

prop(1) angle 0.00000
prop(2) layer as foreseen 4.00000

element data

el	n	mat	area	flag
1	1	1	0.1000	0.000	0.000	0.000	2.000
2	2	1	0.2000	0.000	0.000	0.000	2.000
3	3	1	0.2000	0.000	0.000	0.000	2.000
4	4	1	0.2000	0.000	0.000	0.000	2.000
5	5	1	0.2000	0.000	0.000	0.000	2.000
6	6	1	0.2000	0.000	0.000	0.000	2.000
7	7	1	0.2000	0.000	0.000	0.000	2.000
8	8	1	0.2000	0.000	0.000	0.000	2.000
9	9	1	0.2000	0.000	0.000	0.000	2.000
10	10	1	0.2000	0.000	0.000	0.000	2.000
11	11	1	0.2000	0.000	0.000	0.000	2.000
12	12	1	0.2000	0.000	0.000	0.000	2.000
13	13	1	0.2000	0.000	0.000	0.000	2.000
14	14	1	0.2000	0.000	0.000	0.000	2.000
15	15	1	0.2000	0.000	0.000	0.000	2.000
16	16	1	0.2000	0.000	0.000	0.000	2.000
17	17	1	0.2000	0.000	0.000	0.000	2.000
18	18	1	0.2000	0.000	0.000	0.000	2.000
19	19	1	0.2000	0.000	0.000	0.000	2.000
20	20	1	0.2000	0.000	0.000	0.000	2.000
21	21	1	0.2000	0.000	0.000	0.000	2.000
22	22	1	0.2000	0.000	0.000	0.000	2.000
23	23	1	0.2000	0.000	0.000	0.000	2.000
24	24	1	0.1500	0.000	0.000	0.000	2.000
25	25	2	0.1500	0.000	0.000	0.000	2.000
26	26	2	0.2000	0.000	0.000	0.000	2.000
27	27	2	0.2000	0.000	0.000	0.000	2.000
28	28	2	0.2000	0.000	0.000	0.000	2.000
29	29	2	0.2000	0.000	0.000	0.000	2.000
30	30	2	0.2000	0.000	0.000	0.000	2.000
31	31	2	0.2000	0.000	0.000	0.000	2.000
32	32	2	0.2000	0.000	0.000	0.000	2.000
33	33	2	0.2000	0.000	0.000	0.000	2.000
34	34	2	0.2000	0.000	0.000	0.000	2.000
35	35	2	0.2000	0.000	0.000	0.000	2.000
36	36	2	0.2000	0.000	0.000	0.000	2.000
37	37	2	0.2000	0.000	0.000	0.000	2.000

38	38	2	0.2000	0.000	0.000	0.000	2.000
39	39	2	0.2000	0.000	0.000	0.000	2.000
40	40	2	0.2000	0.000	0.000	0.000	2.000
41	41	2	0.2000	0.000	0.000	0.000	2.000
42	42	2	0.2000	0.000	0.000	0.000	2.000
43	43	2	0.2000	0.000	0.000	0.000	2.000
44	44	2	0.2000	0.000	0.000	0.000	2.000
45	45	2	0.2000	0.000	0.000	0.000	2.000
46	46	2	0.2000	0.000	0.000	0.000	2.000
47	47	2	0.2000	0.000	0.000	0.000	2.000
48	48	2	0.2000	0.000	0.000	0.000	2.000
49	49	2	0.2000	0.000	0.000	0.000	2.000
50	50	2	0.2000	0.000	0.000	0.000	2.000
51	51	2	0.2000	0.000	0.000	0.000	2.000
52	52	2	0.2000	0.000	0.000	0.000	2.000
53	53	2	0.2000	0.000	0.000	0.000	2.000
54	54	2	0.2000	0.000	0.000	0.000	2.000
55	55	2	0.2000	0.000	0.000	0.000	2.000
56	56	2	0.2000	0.000	0.000	0.000	2.000
57	57	2	0.2000	0.000	0.000	0.000	2.000
58	58	2	0.2000	0.000	0.000	0.000	2.000
59	59	2	0.2000	0.000	0.000	0.000	2.000
60	60	2	0.2000	0.000	0.000	0.000	2.000
61	61	2	0.2000	0.000	0.000	0.000	2.000
62	62	2	0.2000	0.000	0.000	0.000	2.000
63	63	2	0.2000	0.000	0.000	0.000	2.000
64	64	2	0.2000	0.000	0.000	0.000	2.000
65	65	2	0.2000	0.000	0.000	0.000	2.000
66	66	2	0.2000	0.000	0.000	0.000	2.000
67	67	2	0.2000	0.000	0.000	0.000	2.000
68	68	2	0.2000	0.000	0.000	0.000	2.000
69	69	2	0.2000	0.000	0.000	0.000	2.000
70	70	2	0.2000	0.000	0.000	0.000	2.000
71	71	2	0.2000	0.000	0.000	0.000	2.000
72	72	2	0.2000	0.000	0.000	0.000	2.000
73	73	2	0.2000	0.000	0.000	0.000	2.000
74	74	2	0.2000	0.000	0.000	0.000	2.000
75	75	2	0.2000	0.000	0.000	0.000	2.000
76	76	2	0.2000	0.000	0.000	0.000	2.000
77	77	2	0.2000	0.000	0.000	0.000	2.000
78	78	2	0.2000	0.000	0.000	0.000	2.000
79	79	2	0.2000	0.000	0.000	0.000	2.000
80	80	2	0.2000	0.000	0.000	0.000	2.000
81	81	2	0.2000	0.000	0.000	0.000	2.000
82	82	3	0.2000	0.000	0.000	0.000	2.000
83	83	3	0.2000	0.000	0.000	0.000	2.000
84	84	3	0.2000	0.000	0.000	0.000	2.000
85	85	3	0.2000	0.000	0.000	0.000	2.000
86	86	3	0.2000	0.000	0.000	0.000	2.000
87	87	3	0.2000	0.000	0.000	0.000	2.000
88	88	3	0.2000	0.000	0.000	0.000	2.000
89	89	3	0.2000	0.000	0.000	0.000	2.000
90	90	4	0.2000	0.000	0.000	0.000	2.000
91	91	4	0.2000	0.000	0.000	0.000	2.000
92	92	4	0.1500	0.000	0.000	0.000	2.000
93	93	4	0.5000E-01	0.000	0.000	0.000	2.000

```

+-----+
|          PARATIEPLUS(TM)  NLS ENGINE RELEASE  2022.0.0  FULL VERSION  *Build date:Sep 13, 2021*          |
|                                                                                                                                            |
|                                                                                               ParatiePlus                               |
|                                                                                               Exe Time :28 January 2022   11:11:19          |
+-----+

```

ELEMENT GROUP NO. 2

```

0_R          :
 5 93  0  1  0  0  0  0  0  0  0  0  0  0  0  0  4  0  0  0  0

```

.....2D PLASTIC SOIL

element group behaviour throughout stage analysis

stage status

```

-----
1 active
2 active
3 active
4 active

```

material set no. 1

```

prop( 1) angle          180.000
prop( 2) layer as foreseen 1.00000

```

material set no. 2

```

prop( 1) angle          180.000
prop( 2) layer as foreseen 2.00000

```

material set no. 3

```

prop( 1) angle          180.000
prop( 2) layer as foreseen 3.00000

```

material set no. 4

```

prop( 1) angle          180.000
prop( 2) layer as foreseen 4.00000

```

element data

el	n	mat	area	flag
1	1	1	0.1000	0.000	0.000	0.000	1.000
2	2	1	0.2000	0.000	0.000	0.000	1.000
3	3	1	0.2000	0.000	0.000	0.000	1.000
4	4	1	0.2000	0.000	0.000	0.000	1.000
5	5	1	0.2000	0.000	0.000	0.000	1.000
6	6	1	0.2000	0.000	0.000	0.000	1.000
7	7	1	0.2000	0.000	0.000	0.000	1.000
8	8	1	0.2000	0.000	0.000	0.000	1.000
9	9	1	0.2000	0.000	0.000	0.000	1.000
10	10	1	0.2000	0.000	0.000	0.000	1.000
11	11	1	0.2000	0.000	0.000	0.000	1.000
12	12	1	0.2000	0.000	0.000	0.000	1.000
13	13	1	0.2000	0.000	0.000	0.000	1.000
14	14	1	0.2000	0.000	0.000	0.000	1.000
15	15	1	0.2000	0.000	0.000	0.000	1.000
16	16	1	0.2000	0.000	0.000	0.000	1.000
17	17	1	0.2000	0.000	0.000	0.000	1.000
18	18	1	0.2000	0.000	0.000	0.000	1.000
19	19	1	0.2000	0.000	0.000	0.000	1.000
20	20	1	0.2000	0.000	0.000	0.000	1.000
21	21	1	0.2000	0.000	0.000	0.000	1.000
22	22	1	0.2000	0.000	0.000	0.000	1.000
23	23	1	0.2000	0.000	0.000	0.000	1.000
24	24	1	0.1500	0.000	0.000	0.000	1.000
25	25	2	0.1500	0.000	0.000	0.000	1.000
26	26	2	0.2000	0.000	0.000	0.000	1.000
27	27	2	0.2000	0.000	0.000	0.000	1.000
28	28	2	0.2000	0.000	0.000	0.000	1.000
29	29	2	0.2000	0.000	0.000	0.000	1.000
30	30	2	0.2000	0.000	0.000	0.000	1.000
31	31	2	0.2000	0.000	0.000	0.000	1.000
32	32	2	0.2000	0.000	0.000	0.000	1.000
33	33	2	0.2000	0.000	0.000	0.000	1.000
34	34	2	0.2000	0.000	0.000	0.000	1.000
35	35	2	0.2000	0.000	0.000	0.000	1.000
36	36	2	0.2000	0.000	0.000	0.000	1.000
37	37	2	0.2000	0.000	0.000	0.000	1.000

38	38	2	0.2000	0.000	0.000	0.000	1.000
39	39	2	0.2000	0.000	0.000	0.000	1.000
40	40	2	0.2000	0.000	0.000	0.000	1.000
41	41	2	0.2000	0.000	0.000	0.000	1.000
42	42	2	0.2000	0.000	0.000	0.000	1.000
43	43	2	0.2000	0.000	0.000	0.000	1.000
44	44	2	0.2000	0.000	0.000	0.000	1.000
45	45	2	0.2000	0.000	0.000	0.000	1.000
46	46	2	0.2000	0.000	0.000	0.000	1.000
47	47	2	0.2000	0.000	0.000	0.000	1.000
48	48	2	0.2000	0.000	0.000	0.000	1.000
49	49	2	0.2000	0.000	0.000	0.000	1.000
50	50	2	0.2000	0.000	0.000	0.000	1.000
51	51	2	0.2000	0.000	0.000	0.000	1.000
52	52	2	0.2000	0.000	0.000	0.000	1.000
53	53	2	0.2000	0.000	0.000	0.000	1.000
54	54	2	0.2000	0.000	0.000	0.000	1.000
55	55	2	0.2000	0.000	0.000	0.000	1.000
56	56	2	0.2000	0.000	0.000	0.000	1.000
57	57	2	0.2000	0.000	0.000	0.000	1.000
58	58	2	0.2000	0.000	0.000	0.000	1.000
59	59	2	0.2000	0.000	0.000	0.000	1.000
60	60	2	0.2000	0.000	0.000	0.000	1.000
61	61	2	0.2000	0.000	0.000	0.000	1.000
62	62	2	0.2000	0.000	0.000	0.000	1.000
63	63	2	0.2000	0.000	0.000	0.000	1.000
64	64	2	0.2000	0.000	0.000	0.000	1.000
65	65	2	0.2000	0.000	0.000	0.000	1.000
66	66	2	0.2000	0.000	0.000	0.000	1.000
67	67	2	0.2000	0.000	0.000	0.000	1.000
68	68	2	0.2000	0.000	0.000	0.000	1.000
69	69	2	0.2000	0.000	0.000	0.000	1.000
70	70	2	0.2000	0.000	0.000	0.000	1.000
71	71	2	0.2000	0.000	0.000	0.000	1.000
72	72	2	0.2000	0.000	0.000	0.000	1.000
73	73	2	0.2000	0.000	0.000	0.000	1.000
74	74	2	0.2000	0.000	0.000	0.000	1.000
75	75	2	0.2000	0.000	0.000	0.000	1.000
76	76	2	0.2000	0.000	0.000	0.000	1.000
77	77	2	0.2000	0.000	0.000	0.000	1.000
78	78	2	0.2000	0.000	0.000	0.000	1.000
79	79	2	0.2000	0.000	0.000	0.000	1.000
80	80	2	0.2000	0.000	0.000	0.000	1.000
81	81	2	0.2000	0.000	0.000	0.000	1.000
82	82	3	0.2000	0.000	0.000	0.000	1.000
83	83	3	0.2000	0.000	0.000	0.000	1.000
84	84	3	0.2000	0.000	0.000	0.000	1.000
85	85	3	0.2000	0.000	0.000	0.000	1.000
86	86	3	0.2000	0.000	0.000	0.000	1.000
87	87	3	0.2000	0.000	0.000	0.000	1.000
88	88	3	0.2000	0.000	0.000	0.000	1.000
89	89	3	0.2000	0.000	0.000	0.000	1.000
90	90	4	0.2000	0.000	0.000	0.000	1.000
91	91	4	0.2000	0.000	0.000	0.000	1.000
92	92	4	0.1500	0.000	0.000	0.000	1.000
93	93	4	0.5000E-01	0.000	0.000	0.000	1.000

```

+-----+
|                PARATIEPLUS(TM)  NLS ENGINE RELEASE  2022.0.0  FULL VERSION  *Build date:Sep 13, 2021* |
|                                                                                                     |
|                                                                                                     |
|                                                                                                     |
|                                                                                                     |
|                ParatiePlus |
|                Exe Time :28 January 2022  11:11:19 |
+-----+

```

ELEMENT GROUP NO. 3

```

pal115001.7_33 :
 2 68 0 1 0 0 0 0 0 0 0 0 0 0 0 0 0 1 0 0 1 0

```

```

.....
.....2D WALL ELEMENT.....
.....

```

element group behaviour throughout stage analysis

stage status

```

-----
1  inactive
2  active
3  active
4  active

```

material set no. 1

```

prop( 1) young modulus      0.333500E+08
prop( 2) modification time  0.00000
prop( 3) new young modulus   0.00000
prop( 4) poisson ratio      0.00000
prop( 5) future .....      0.00000

```

no. of step variable items: 1

step inertia multiplier

```

-----
1  1.000
2  1.000
3  1.000
4  1.000

```

element data

el	na	nb	mat	erc1	erc2	thick	area	inertia	wgt(-z)	by-i	by-j
1	25	26	1	0.000	0.000	1.206	1.040	0.1462	25.99	0.000	0.000
2	26	27	1	0.000	0.000	1.206	1.040	0.1462	25.99	0.000	0.000
3	27	28	1	0.000	0.000	1.206	1.040	0.1462	25.99	0.000	0.000
4	28	29	1	0.000	0.000	1.206	1.040	0.1462	25.99	0.000	0.000
5	29	30	1	0.000	0.000	1.206	1.040	0.1462	25.99	0.000	0.000
6	30	31	1	0.000	0.000	1.206	1.040	0.1462	25.99	0.000	0.000
7	31	32	1	0.000	0.000	1.206	1.040	0.1462	25.99	0.000	0.000
8	32	33	1	0.000	0.000	1.206	1.040	0.1462	25.99	0.000	0.000
9	33	34	1	0.000	0.000	1.206	1.040	0.1462	25.99	0.000	0.000
10	34	35	1	0.000	0.000	1.206	1.040	0.1462	25.99	0.000	0.000
11	35	36	1	0.000	0.000	1.206	1.040	0.1462	25.99	0.000	0.000
12	36	37	1	0.000	0.000	1.206	1.040	0.1462	25.99	0.000	0.000
13	37	38	1	0.000	0.000	1.206	1.040	0.1462	25.99	0.000	0.000
14	38	39	1	0.000	0.000	1.206	1.040	0.1462	25.99	0.000	0.000
15	39	40	1	0.000	0.000	1.206	1.040	0.1462	25.99	0.000	0.000
16	40	41	1	0.000	0.000	1.206	1.040	0.1462	25.99	0.000	0.000
17	41	42	1	0.000	0.000	1.206	1.040	0.1462	25.99	0.000	0.000
18	42	43	1	0.000	0.000	1.206	1.040	0.1462	25.99	0.000	0.000
19	43	44	1	0.000	0.000	1.206	1.040	0.1462	25.99	0.000	0.000
20	44	45	1	0.000	0.000	1.206	1.040	0.1462	25.99	0.000	0.000
21	45	46	1	0.000	0.000	1.206	1.040	0.1462	25.99	0.000	0.000
22	46	47	1	0.000	0.000	1.206	1.040	0.1462	25.99	0.000	0.000
23	47	48	1	0.000	0.000	1.206	1.040	0.1462	25.99	0.000	0.000
24	48	49	1	0.000	0.000	1.206	1.040	0.1462	25.99	0.000	0.000
25	49	50	1	0.000	0.000	1.206	1.040	0.1462	25.99	0.000	0.000
26	50	51	1	0.000	0.000	1.206	1.040	0.1462	25.99	0.000	0.000
27	51	52	1	0.000	0.000	1.206	1.040	0.1462	25.99	0.000	0.000
28	52	53	1	0.000	0.000	1.206	1.040	0.1462	25.99	0.000	0.000
29	53	54	1	0.000	0.000	1.206	1.040	0.1462	25.99	0.000	0.000
30	54	55	1	0.000	0.000	1.206	1.040	0.1462	25.99	0.000	0.000
31	55	56	1	0.000	0.000	1.206	1.040	0.1462	25.99	0.000	0.000
32	56	57	1	0.000	0.000	1.206	1.040	0.1462	25.99	0.000	0.000
33	57	58	1	0.000	0.000	1.206	1.040	0.1462	25.99	0.000	0.000
34	58	59	1	0.000	0.000	1.206	1.040	0.1462	25.99	0.000	0.000
35	59	60	1	0.000	0.000	1.206	1.040	0.1462	25.99	0.000	0.000
36	60	61	1	0.000	0.000	1.206	1.040	0.1462	25.99	0.000	0.000
37	61	62	1	0.000	0.000	1.206	1.040	0.1462	25.99	0.000	0.000
38	62	63	1	0.000	0.000	1.206	1.040	0.1462	25.99	0.000	0.000
39	63	64	1	0.000	0.000	1.206	1.040	0.1462	25.99	0.000	0.000
40	64	65	1	0.000	0.000	1.206	1.040	0.1462	25.99	0.000	0.000
41	65	66	1	0.000	0.000	1.206	1.040	0.1462	25.99	0.000	0.000
42	66	67	1	0.000	0.000	1.206	1.040	0.1462	25.99	0.000	0.000
43	67	68	1	0.000	0.000	1.206	1.040	0.1462	25.99	0.000	0.000
44	68	69	1	0.000	0.000	1.206	1.040	0.1462	25.99	0.000	0.000
45	69	70	1	0.000	0.000	1.206	1.040	0.1462	25.99	0.000	0.000

46	70	71	1	0.000	0.000	1.206	1.040	0.1462	25.99	0.000	0.000
47	71	72	1	0.000	0.000	1.206	1.040	0.1462	25.99	0.000	0.000
48	72	73	1	0.000	0.000	1.206	1.040	0.1462	25.99	0.000	0.000
49	73	74	1	0.000	0.000	1.206	1.040	0.1462	25.99	0.000	0.000
50	74	75	1	0.000	0.000	1.206	1.040	0.1462	25.99	0.000	0.000
51	75	76	1	0.000	0.000	1.206	1.040	0.1462	25.99	0.000	0.000
52	76	77	1	0.000	0.000	1.206	1.040	0.1462	25.99	0.000	0.000
53	77	78	1	0.000	0.000	1.206	1.040	0.1462	25.99	0.000	0.000
54	78	79	1	0.000	0.000	1.206	1.040	0.1462	25.99	0.000	0.000
55	79	80	1	0.000	0.000	1.206	1.040	0.1462	25.99	0.000	0.000
56	80	81	1	0.000	0.000	1.206	1.040	0.1462	25.99	0.000	0.000
57	81	82	1	0.000	0.000	1.206	1.040	0.1462	25.99	0.000	0.000
58	82	83	1	0.000	0.000	1.206	1.040	0.1462	25.99	0.000	0.000
59	83	84	1	0.000	0.000	1.206	1.040	0.1462	25.99	0.000	0.000
60	84	85	1	0.000	0.000	1.206	1.040	0.1462	25.99	0.000	0.000
61	85	86	1	0.000	0.000	1.206	1.040	0.1462	25.99	0.000	0.000
62	86	87	1	0.000	0.000	1.206	1.040	0.1462	25.99	0.000	0.000
63	87	88	1	0.000	0.000	1.206	1.040	0.1462	25.99	0.000	0.000
64	88	89	1	0.000	0.000	1.206	1.040	0.1462	25.99	0.000	0.000
65	89	90	1	0.000	0.000	1.206	1.040	0.1462	25.99	0.000	0.000
66	90	91	1	0.000	0.000	1.206	1.040	0.1462	25.99	0.000	0.000
67	91	92	1	0.000	0.000	1.206	1.040	0.1462	25.99	0.000	0.000
68	92	93	1	0.000	0.000	1.206	1.040	0.1462	25.99	0.000	0.000

```

+-----+
|           PARATIEPLUS(TM)  NLS ENGINE RELEASE 2022.0.0  FULL VERSION  *Build date:Sep 13, 2021*           |
|                                                                                                     |
|                                                                                       ParatiePlus           |
|                                                                                       Exe Time :28 January 2022  11:11:19           |
+-----+

```

ELEMENT GROUP NO. 4

```

muro71cm_4658          :
 2 24  0  1  0  0  0  0  0  0  0  0  0  0  1  0  0  1  0
.....
.....2D WALL ELEMENT.....
.....

```

element group behaviour throughout stage analysis

```

stage  status
-----
 1  inactive
 2  inactive
 3  active
 4  active

```

material set no. 1

```

prop( 1) young modulus      0.333500E+08
prop( 2) modification time  0.00000
prop( 3) new young modulus  0.00000
prop( 4) poisson ratio     0.00000
prop( 5) future ..... 0.00000

```

no. of step variable items: 1

step inertia multiplier

```

-----
 1  1.000
 2  1.000
 3  1.000
 4  1.000

```

element data

el	na	nb	mat	erc1	erc2	thick	area	inertia	wgt(-z)	by-i	by-j
1	1	2	1	0.000	0.000	0.7489	0.7100	0.3500E-01	17.75	0.000	0.000
2	2	3	1	0.000	0.000	0.7489	0.7100	0.3500E-01	17.75	0.000	0.000
3	3	4	1	0.000	0.000	0.7489	0.7100	0.3500E-01	17.75	0.000	0.000
4	4	5	1	0.000	0.000	0.7489	0.7100	0.3500E-01	17.75	0.000	0.000
5	5	6	1	0.000	0.000	0.7489	0.7100	0.3500E-01	17.75	0.000	0.000
6	6	7	1	0.000	0.000	0.7489	0.7100	0.3500E-01	17.75	0.000	0.000
7	7	8	1	0.000	0.000	0.7489	0.7100	0.3500E-01	17.75	0.000	0.000
8	8	9	1	0.000	0.000	0.7489	0.7100	0.3500E-01	17.75	0.000	0.000
9	9	10	1	0.000	0.000	0.7489	0.7100	0.3500E-01	17.75	0.000	0.000
10	10	11	1	0.000	0.000	0.7489	0.7100	0.3500E-01	17.75	0.000	0.000
11	11	12	1	0.000	0.000	0.7489	0.7100	0.3500E-01	17.75	0.000	0.000
12	12	13	1	0.000	0.000	0.7489	0.7100	0.3500E-01	17.75	0.000	0.000
13	13	14	1	0.000	0.000	0.7489	0.7100	0.3500E-01	17.75	0.000	0.000
14	14	15	1	0.000	0.000	0.7489	0.7100	0.3500E-01	17.75	0.000	0.000
15	15	16	1	0.000	0.000	0.7489	0.7100	0.3500E-01	17.75	0.000	0.000
16	16	17	1	0.000	0.000	0.7489	0.7100	0.3500E-01	17.75	0.000	0.000
17	17	18	1	0.000	0.000	0.7489	0.7100	0.3500E-01	17.75	0.000	0.000
18	18	19	1	0.000	0.000	0.7489	0.7100	0.3500E-01	17.75	0.000	0.000
19	19	20	1	0.000	0.000	0.7489	0.7100	0.3500E-01	17.75	0.000	0.000
20	20	21	1	0.000	0.000	0.7489	0.7100	0.3500E-01	17.75	0.000	0.000
21	21	22	1	0.000	0.000	0.7489	0.7100	0.3500E-01	17.75	0.000	0.000
22	22	23	1	0.000	0.000	0.7489	0.7100	0.3500E-01	17.75	0.000	0.000
23	23	24	1	0.000	0.000	0.7489	0.7100	0.3500E-01	17.75	0.000	0.000
24	24	25	1	0.000	0.000	0.7489	0.7100	0.3500E-01	17.75	0.000	0.000


```
+-----+
|          PARATIEPLUS(TM)  NLS ENGINE RELEASE  2022.0.0  FULL VERSION  *Build date:Sep 13, 2021*          |
|                                                                                                                                            |
|                                                                                               ParatiePlus                               |
|                                                                                               Exe Time :28 January 2022   11:11:19          |
+-----+
```

```
NO. OF NODAL LOADS (NLOAD) ..... 0
NO. OF LOAD CURVES (NLCUR) ..... 8
MAXIMUM POINTS/LCURVE (NPTM)..... 5
```

```

+-----+
|          PARATIEPLUS(TM)  NLS ENGINE RELEASE  2022.0.0  FULL VERSION  *Build date:Sep 13, 2021*          |
|                                                                                                                                            |
|                                                                                               ParatiePlus                               |
|                                                                                               Exe Time :28 January 2022   11:11:19           |
+-----+

```

L O A D D A T A

LOAD FUNCTION NUMBER = 1
NUMBER OF TIME POINTS = 5

TIME VALUE	FUNCTION
0.00000	0.0000E+00
0.80000	0.0000E+00
1.00000	0.1000E+01
1.20000	0.0000E+00
5.00000	0.0000E+00

LOAD FUNCTION NUMBER = 2
NUMBER OF TIME POINTS = 5

TIME VALUE	FUNCTION
0.00000	0.0000E+00
1.80000	0.0000E+00
2.00000	0.1000E+01
2.20000	0.0000E+00
5.00000	0.0000E+00

LOAD FUNCTION NUMBER = 3
NUMBER OF TIME POINTS = 5

TIME VALUE	FUNCTION
0.00000	0.0000E+00
2.80000	0.0000E+00
3.00000	0.1000E+01
3.20000	0.0000E+00
5.00000	0.0000E+00

LOAD FUNCTION NUMBER = 4
NUMBER OF TIME POINTS = 5

TIME VALUE	FUNCTION
0.00000	0.0000E+00
3.80000	0.0000E+00
4.00000	0.1000E+01
4.20000	0.0000E+00
5.00000	0.0000E+00

LOAD FUNCTION NUMBER = 5
NUMBER OF TIME POINTS = 4

TIME VALUE	FUNCTION
0.00000	0.0000E+00
0.80000	0.0000E+00
1.00000	0.1000E+01
5.00000	0.1000E+01

LOAD FUNCTION NUMBER = 6
NUMBER OF TIME POINTS = 4

TIME VALUE	FUNCTION
0.00000	0.0000E+00
1.80000	0.0000E+00
2.00000	0.1000E+01
5.00000	0.1000E+01

LOAD FUNCTION NUMBER = 7
NUMBER OF TIME POINTS = 4

TIME VALUE	FUNCTION
0.00000	0.0000E+00
2.80000	0.0000E+00
3.00000	0.1000E+01
5.00000	0.1000E+01

LOAD FUNCTION NUMBER = 8
NUMBER OF TIME POINTS = 4

TIME VALUE	FUNCTION
0.00000	0.0000E+00
3.80000	0.0000E+00
4.00000	0.1000E+01
5.00000	0.1000E+01

PROCESSING DISTRIBUTED LOADS CARD NO. 1
AT Y-COORD 0.000 Z-COORD -4.700 PRESSURE -3.381
Z-COORD 0.000 PRESSURE -3.381
L.CURVE 4

NO. OF GENERATED NODAL FORCES		25							
NODE	Z-LVL	FORCE /	NODE	Z-LVL	FORCE /	NODE	Z-LVL	FORCE /	
25	-.4700E+01	-0.1690500E+00 /	24	-.4600E+01	-0.5071500E+00 /	23	-.4400E+01	-0.6762000E+00 /	
22	-.4200E+01	-0.6762000E+00 /	21	-.4000E+01	-0.6761983E+00 /	20	-.3800E+01	-0.6761983E+00 /	
19	-.3600E+01	-0.6762000E+00 /	18	-.3400E+01	-0.6762000E+00 /	17	-.3200E+01	-0.6762017E+00 /	
16	-.3000E+01	-0.6762017E+00 /	15	-.2800E+01	-0.6762000E+00 /	14	-.2600E+01	-0.6762000E+00 /	
13	-.2400E+01	-0.6762000E+00 /	12	-.2200E+01	-0.6762000E+00 /	11	-.2000E+01	-0.6762000E+00 /	
10	-.1800E+01	-0.6762000E+00 /	9	-.1600E+01	-0.6762000E+00 /	8	-.1400E+01	-0.6762000E+00 /	
7	-.1200E+01	-0.6762000E+00 /	6	-.1000E+01	-0.6762000E+00 /	5	-.8000E+00	-0.6762000E+00 /	
4	-.6000E+00	-0.6762000E+00 /	3	-.4000E+00	-0.6762000E+00 /	2	-.2000E+00	-0.6762000E+00 /	
1	0.0000E+00	-0.3381000E+00 /							

OVERALL APPLIED Y FORCE FOR CURRENT DISTRIBUTED LOAD -15.891

PROCESSING DISTRIBUTED LOADS CARD NO. 2
AT Y-COORD 0.000 Z-COORD -4.700 PRESSURE -1.702
Z-COORD 0.000 PRESSURE -1.702
L.CURVE 4

NO. OF GENERATED NODAL FORCES		25							
NODE	Z-LVL	FORCE /	NODE	Z-LVL	FORCE /	NODE	Z-LVL	FORCE /	
25	-.4700E+01	-0.8510000E-01 /	24	-.4600E+01	-0.2553000E+00 /	23	-.4400E+01	-0.3404000E+00 /	
22	-.4200E+01	-0.3404000E+00 /	21	-.4000E+01	-0.3403991E+00 /	20	-.3800E+01	-0.3403991E+00 /	
19	-.3600E+01	-0.3404000E+00 /	18	-.3400E+01	-0.3404000E+00 /	17	-.3200E+01	-0.3404009E+00 /	
16	-.3000E+01	-0.3404009E+00 /	15	-.2800E+01	-0.3404000E+00 /	14	-.2600E+01	-0.3404000E+00 /	
13	-.2400E+01	-0.3404000E+00 /	12	-.2200E+01	-0.3404000E+00 /	11	-.2000E+01	-0.3404000E+00 /	
10	-.1800E+01	-0.3404000E+00 /	9	-.1600E+01	-0.3404000E+00 /	8	-.1400E+01	-0.3404000E+00 /	
7	-.1200E+01	-0.3404000E+00 /	6	-.1000E+01	-0.3404000E+00 /	5	-.8000E+00	-0.3404000E+00 /	
4	-.6000E+00	-0.3404000E+00 /	3	-.4000E+00	-0.3404000E+00 /	2	-.2000E+00	-0.3404000E+00 /	
1	0.0000E+00	-0.1702000E+00 /							

OVERALL APPLIED Y FORCE FOR CURRENT DISTRIBUTED LOAD -7.9994

NO. OF DISTRIBUTED LOAD CARDS 2

```

+-----+
|          PARATIEPLUS(TM)  NLS ENGINE RELEASE  2022.0.0  FULL VERSION  *Build date:Sep 13, 2021*          |
|                                                                                                                                            |
|                                                                                               ParatiePlus                               |
|                                                                                               Exe Time :28 January 2022   11:11:19           |
+-----+

```

```

L O A D      B A L A N C E

STEP 1 TOTAL APPLIED LOAD IN DIR.  2  Y-DISPL.F      0.0000000
STEP 1 TOTAL APPLIED LOAD IN DIR.  4  X-ROT. F      0.0000000

STEP 2 TOTAL APPLIED LOAD IN DIR.  2  Y-DISPL.F      0.0000000
STEP 2 TOTAL APPLIED LOAD IN DIR.  4  X-ROT. F      0.0000000

STEP 3 TOTAL APPLIED LOAD IN DIR.  2  Y-DISPL.F      0.0000000
STEP 3 TOTAL APPLIED LOAD IN DIR.  4  X-ROT. F      0.0000000

STEP 4 TOTAL APPLIED LOAD IN DIR.  2  Y-DISPL.F     -23.890100
STEP 4 TOTAL APPLIED LOAD IN DIR.  4  X-ROT. F      0.0000000

```

LOAD INPUT SECTION COMPLETED

```
+-----+
|          PARATIEPLUS(TM)  NLS ENGINE RELEASE  2022.0.0  FULL VERSION  *Build date:Sep 13, 2021*          |
|                                                                                                                                            |
|                                                                                               ParatiePlus                               |
|                                                                                               Exe Time :28 January 2022   11:11:19          |
+-----+
```

```
NO. OF LAYERS ..... 4
NO. OF DATA PER LAYER..... 160
```

```

+-----+
|                PARATIEPLUS(TM)  NLS ENGINE RELEASE  2022.0.0  FULL VERSION  *Build date:Sep 13, 2021*                |
|                                                                                                                                            |
|                                                                                               ParatiePlus                                                                                               |
|                                                                                               Exe Time :28 January 2022   11:11:19                                                                                               |
+-----+

```

LAYER DESCRIPTORS FOR STEP NO. 1

NON ZERO LAYER DESCRIPTORS FOR LAYER NO. 1 FOR STEP NO. 1

```

ITEM NO.  1&lt;NAME      &gt;= 12.0000  (BOTH WALLS)
ITEM NO.  2&lt;NATURE   &gt;=  1.0000  (BOTH WALLS)
ITEM NO.  3&lt;LEVEL    &gt;=  0.0000  (BOTH WALLS)
ITEM NO.  4&lt;WALL     &gt;=  1.0000  (BOTH WALLS)
ITEM NO.  5&lt;GAMMAD   &gt;= 20.0000  (BOTH WALLS)
ITEM NO.  6&lt;GAMMAB   &gt;= 10.0000  (BOTH WALLS)
ITEM NO.  7&lt;GAMMAW   &gt;= 10.0000  (BOTH WALLS)
ITEM NO.  9&lt;U-FRICT  &gt;= 35.0000  (BOTH WALLS)
ITEM NO. 10&lt;U-KA     &gt;= 0.23500  WALL NO.  1
ITEM NO. 11&lt;U-KP     &gt;=  5.8790  WALL NO.  1
ITEM NO. 12&lt;K0-NC    &gt;= 0.42600  (BOTH WALLS)
ITEM NO. 13&lt;NEXP     &gt;= 0.50000  (BOTH WALLS)
ITEM NO. 14&lt;OCR      &gt;=  1.0000  (BOTH WALLS)
ITEM NO. 16&lt;MODEL    &gt;=  1.0000  (BOTH WALLS)
ITEM NO. 17&lt;EVC      &gt;= 50000.   (BOTH WALLS)
ITEM NO. 18&lt;EUR      &gt;= 0.15000E+06 (BOTH WALLS)
ITEM NO. 27&lt;U-PERM   &gt;= 0.10000E-04 (BOTH WALLS)
ITEM NO. 61&lt;U-TZALPH&gt;= 0.50000  (BOTH WALLS)
ITEM NO. 82&lt;D-NATURE&gt;=  1.0000  (BOTH WALLS)
ITEM NO. 83&lt;D-LEVEL  &gt;=  0.0000  (BOTH WALLS)
ITEM NO. 89&lt;D-FRICT  &gt;= 35.0000  (BOTH WALLS)
ITEM NO. 90&lt;D-KA     &gt;= 0.23500  WALL NO.  1
ITEM NO. 91&lt;D-KP     &gt;=  5.8790  WALL NO.  1
ITEM NO. 107&lt;D-PERM  &gt;= 0.10000E-04 (BOTH WALLS)
ITEM NO. 141&lt;D-TZALPH&gt;= 0.50000  (BOTH WALLS)

```

NON ZERO LAYER DESCRIPTORS FOR LAYER NO. 2 FOR STEP NO. 1

```

ITEM NO.  1&lt;NAME      &gt;= 13.0000  (BOTH WALLS)
ITEM NO.  2&lt;NATURE   &gt;=  1.0000  (BOTH WALLS)
ITEM NO.  3&lt;LEVEL    &gt;= -4.7000  (BOTH WALLS)
ITEM NO.  4&lt;WALL     &gt;=  1.0000  (BOTH WALLS)
ITEM NO.  5&lt;GAMMAD   &gt;= 19.5000  (BOTH WALLS)
ITEM NO.  6&lt;GAMMAB   &gt;=  9.5000  (BOTH WALLS)
ITEM NO.  7&lt;GAMMAW   &gt;= 10.0000  (BOTH WALLS)
ITEM NO.  9&lt;U-FRICT  &gt;= 25.0000  (BOTH WALLS)
ITEM NO. 10&lt;U-KA     &gt;= 0.35900  WALL NO.  1
ITEM NO. 11&lt;U-KP     &gt;=  3.2220  WALL NO.  1
ITEM NO. 12&lt;K0-NC    &gt;= 0.56200  (BOTH WALLS)
ITEM NO. 13&lt;NEXP     &gt;= 0.50000  (BOTH WALLS)
ITEM NO. 14&lt;OCR      &gt;=  1.0000  (BOTH WALLS)
ITEM NO. 16&lt;MODEL    &gt;=  1.0000  (BOTH WALLS)
ITEM NO. 17&lt;EVC      &gt;= 35000.   (BOTH WALLS)
ITEM NO. 18&lt;EUR      &gt;= 0.10500E+06 (BOTH WALLS)
ITEM NO. 27&lt;U-PERM   &gt;= 0.10000E-04 (BOTH WALLS)
ITEM NO. 61&lt;U-TZALPH&gt;= 0.50000  (BOTH WALLS)
ITEM NO. 82&lt;D-NATURE&gt;=  1.0000  (BOTH WALLS)
ITEM NO. 83&lt;D-LEVEL  &gt;=  0.0000  (BOTH WALLS)
ITEM NO. 89&lt;D-FRICT  &gt;= 25.0000  (BOTH WALLS)
ITEM NO. 90&lt;D-KA     &gt;= 0.35900  WALL NO.  1
ITEM NO. 91&lt;D-KP     &gt;=  3.2220  WALL NO.  1
ITEM NO. 107&lt;D-PERM  &gt;= 0.10000E-04 (BOTH WALLS)
ITEM NO. 141&lt;D-TZALPH&gt;= 0.50000  (BOTH WALLS)

```

NON ZERO LAYER DESCRIPTORS FOR LAYER NO. 3 FOR STEP NO. 1

```

ITEM NO.  1&lt;NAME      &gt;= 14.0000  (BOTH WALLS)
ITEM NO.  2&lt;NATURE   &gt;=  1.0000  (BOTH WALLS)
ITEM NO.  3&lt;LEVEL    &gt;= -15.990  (BOTH WALLS)
ITEM NO.  4&lt;WALL     &gt;=  1.0000  (BOTH WALLS)
ITEM NO.  5&lt;GAMMAD   &gt;= 20.0000  (BOTH WALLS)
ITEM NO.  6&lt;GAMMAB   &gt;= 10.0000  (BOTH WALLS)
ITEM NO.  7&lt;GAMMAW   &gt;= 10.0000  (BOTH WALLS)
ITEM NO.  8&lt;U-COHE   &gt;= 10.0000  (BOTH WALLS)
ITEM NO.  9&lt;U-FRICT  &gt;= 26.0000  (BOTH WALLS)
ITEM NO. 10&lt;U-KA     &gt;= 0.34400  WALL NO.  1
ITEM NO. 11&lt;U-KP     &gt;=  3.4040  WALL NO.  1
ITEM NO. 12&lt;K0-NC    &gt;= 0.56200  (BOTH WALLS)
ITEM NO. 13&lt;NEXP     &gt;= 0.50000  (BOTH WALLS)
ITEM NO. 14&lt;OCR      &gt;=  1.0000  (BOTH WALLS)
ITEM NO. 16&lt;MODEL    &gt;=  1.0000  (BOTH WALLS)
ITEM NO. 17&lt;EVC      &gt;= 0.20000E+06 (BOTH WALLS)
ITEM NO. 18&lt;EUR      &gt;= 0.60000E+06 (BOTH WALLS)
ITEM NO. 27&lt;U-PERM   &gt;= 0.10000E-04 (BOTH WALLS)
ITEM NO. 61&lt;U-TZALPH&gt;= 0.50000  (BOTH WALLS)
ITEM NO. 82&lt;D-NATURE&gt;=  1.0000  (BOTH WALLS)
ITEM NO. 83&lt;D-LEVEL  &gt;=  0.0000  (BOTH WALLS)

```

ITEM NO. 88<D-COHE >= 10.000 (BOTH WALLS)
 ITEM NO. 89<D-FRICT >= 26.000 (BOTH WALLS)
 ITEM NO. 90<D-KA >= 0.34400 WALL NO. 1
 ITEM NO. 91<D-KP >= 3.4040 WALL NO. 1
 ITEM NO. 107<D-PERM >= 0.10000E-04 (BOTH WALLS)
 ITEM NO. 141<D-TZALPH>= 0.50000 (BOTH WALLS)

NON ZERO LAYER DESCRIPTORS FOR LAYER NO. 4 FOR STEP NO. 1

ITEM NO. 1<NAME >= 15.000 (BOTH WALLS)
 ITEM NO. 2<NATURE >= 1.0000 (BOTH WALLS)
 ITEM NO. 3<LEVEL >= -17.670 (BOTH WALLS)
 ITEM NO. 4<WALL >= 1.0000 (BOTH WALLS)
 ITEM NO. 5<GAMMAD >= 23.000 (BOTH WALLS)
 ITEM NO. 6<GAMMAB >= 13.000 (BOTH WALLS)
 ITEM NO. 7<GAMMAW >= 10.000 (BOTH WALLS)
 ITEM NO. 8<D-COHE >= 55.000 (BOTH WALLS)
 ITEM NO. 9<U-FRICT >= 31.000 (BOTH WALLS)
 ITEM NO. 10<U-KA >= 0.27900 WALL NO. 1
 ITEM NO. 11<U-KP >= 4.5550 WALL NO. 1
 ITEM NO. 12<K0-NC >= 0.56200 (BOTH WALLS)
 ITEM NO. 13<NEXP >= 0.50000 (BOTH WALLS)
 ITEM NO. 14<OCR >= 1.0000 (BOTH WALLS)
 ITEM NO. 16<MODEL >= 1.0000 (BOTH WALLS)
 ITEM NO. 17<EVC >= 0.13500E+06 (BOTH WALLS)
 ITEM NO. 18<EUR >= 0.40500E+06 (BOTH WALLS)
 ITEM NO. 27<U-PERM >= 0.10000E-04 (BOTH WALLS)
 ITEM NO. 61<U-TZALPH>= 0.50000 (BOTH WALLS)
 ITEM NO. 82<D-NATURE>= 1.0000 (BOTH WALLS)
 ITEM NO. 83<D-LEVEL >= 0.0000 (BOTH WALLS)
 ITEM NO. 88<D-COHE >= 55.000 (BOTH WALLS)
 ITEM NO. 89<D-FRICT >= 31.000 (BOTH WALLS)
 ITEM NO. 90<D-KA >= 0.27900 WALL NO. 1
 ITEM NO. 91<D-KP >= 4.5550 WALL NO. 1
 ITEM NO. 107<D-PERM >= 0.10000E-04 (BOTH WALLS)
 ITEM NO. 141<D-TZALPH>= 0.50000 (BOTH WALLS)

LAYER DESCRIPTORS FOR STEP NO. 2

NON ZERO LAYER DESCRIPTORS FOR LAYER NO. 1 FOR STEP NO. 2

ITEM NO. 1<NAME >= 12.000 (BOTH WALLS)
 ITEM NO. 2<NATURE >= 1.0000 (BOTH WALLS)
 ITEM NO. 3<LEVEL >= 0.0000 (BOTH WALLS)
 ITEM NO. 4<WALL >= 1.0000 (BOTH WALLS)
 ITEM NO. 5<GAMMAD >= 20.000 (BOTH WALLS)
 ITEM NO. 6<GAMMAB >= 10.000 (BOTH WALLS)
 ITEM NO. 7<GAMMAW >= 10.000 (BOTH WALLS)
 ITEM NO. 9<U-FRICT >= 35.000 (BOTH WALLS)
 ITEM NO. 10<U-KA >= 0.23500 WALL NO. 1
 ITEM NO. 11<U-KP >= 5.8790 WALL NO. 1
 ITEM NO. 12<K0-NC >= 0.42600 (BOTH WALLS)
 ITEM NO. 13<NEXP >= 0.50000 (BOTH WALLS)
 ITEM NO. 14<OCR >= 1.0000 (BOTH WALLS)
 ITEM NO. 16<MODEL >= 1.0000 (BOTH WALLS)
 ITEM NO. 17<EVC >= 50000. (BOTH WALLS)
 ITEM NO. 18<EUR >= 0.15000E+06 (BOTH WALLS)
 ITEM NO. 27<U-PERM >= 0.10000E-04 (BOTH WALLS)
 ITEM NO. 61<U-TZALPH>= 0.50000 (BOTH WALLS)
 ITEM NO. 82<D-NATURE>= 1.0000 (BOTH WALLS)
 ITEM NO. 83<D-LEVEL >= 0.0000 (BOTH WALLS)
 ITEM NO. 89<D-FRICT >= 35.000 (BOTH WALLS)
 ITEM NO. 90<D-KA >= 0.23500 WALL NO. 1
 ITEM NO. 91<D-KP >= 5.8790 WALL NO. 1
 ITEM NO. 107<D-PERM >= 0.10000E-04 (BOTH WALLS)
 ITEM NO. 141<D-TZALPH>= 0.50000 (BOTH WALLS)

NON ZERO LAYER DESCRIPTORS FOR LAYER NO. 2 FOR STEP NO. 2

ITEM NO. 1<NAME >= 13.000 (BOTH WALLS)
 ITEM NO. 2<NATURE >= 1.0000 (BOTH WALLS)
 ITEM NO. 3<LEVEL >= -4.7000 (BOTH WALLS)
 ITEM NO. 4<WALL >= 1.0000 (BOTH WALLS)
 ITEM NO. 5<GAMMAD >= 19.500 (BOTH WALLS)
 ITEM NO. 6<GAMMAB >= 9.5000 (BOTH WALLS)
 ITEM NO. 7<GAMMAW >= 10.000 (BOTH WALLS)
 ITEM NO. 9<U-FRICT >= 25.000 (BOTH WALLS)
 ITEM NO. 10<U-KA >= 0.35900 WALL NO. 1
 ITEM NO. 11<U-KP >= 3.2220 WALL NO. 1
 ITEM NO. 12<K0-NC >= 0.56200 (BOTH WALLS)
 ITEM NO. 13<NEXP >= 0.50000 (BOTH WALLS)
 ITEM NO. 14<OCR >= 1.0000 (BOTH WALLS)
 ITEM NO. 16<MODEL >= 1.0000 (BOTH WALLS)
 ITEM NO. 17<EVC >= 35000. (BOTH WALLS)
 ITEM NO. 18<EUR >= 0.10500E+06 (BOTH WALLS)
 ITEM NO. 27<U-PERM >= 0.10000E-04 (BOTH WALLS)
 ITEM NO. 61<U-TZALPH>= 0.50000 (BOTH WALLS)
 ITEM NO. 82<D-NATURE>= 1.0000 (BOTH WALLS)
 ITEM NO. 83<D-LEVEL >= 0.0000 (BOTH WALLS)
 ITEM NO. 89<D-FRICT >= 25.000 (BOTH WALLS)
 ITEM NO. 90<D-KA >= 0.35900 WALL NO. 1

ITEM NO. 91<D-KP >= 3.2220 WALL NO. 1
 ITEM NO. 107<D-PERM >= 0.10000E-04 (BOTH WALLS)
 ITEM NO. 141<D-TZALPH>= 0.50000 (BOTH WALLS)

NON ZERO LAYER DESCRIPTORS FOR LAYER NO. 3 FOR STEP NO. 2

ITEM NO. 1<NAME >= 14.000 (BOTH WALLS)
 ITEM NO. 2<NATURE >= 1.0000 (BOTH WALLS)
 ITEM NO. 3<LEVEL >= -15.990 (BOTH WALLS)
 ITEM NO. 4<WALL >= 1.0000 (BOTH WALLS)
 ITEM NO. 5<GAMMAD >= 20.000 (BOTH WALLS)
 ITEM NO. 6<GAMMAB >= 10.000 (BOTH WALLS)
 ITEM NO. 7<GAMMAW >= 10.000 (BOTH WALLS)
 ITEM NO. 8<U-COHE >= 10.000 (BOTH WALLS)
 ITEM NO. 9<U-FRICT >= 26.000 (BOTH WALLS)
 ITEM NO. 10<U-KA >= 0.34400 WALL NO. 1
 ITEM NO. 11<U-KP >= 3.4040 WALL NO. 1
 ITEM NO. 12<K0-NC >= 0.56200 (BOTH WALLS)
 ITEM NO. 13<NEXP >= 0.50000 (BOTH WALLS)
 ITEM NO. 14<OCR >= 1.0000 (BOTH WALLS)
 ITEM NO. 16<MODEL >= 1.0000 (BOTH WALLS)
 ITEM NO. 17<EVC >= 0.20000E+06 (BOTH WALLS)
 ITEM NO. 18<EUR >= 0.60000E+06 (BOTH WALLS)
 ITEM NO. 27<U-PERM >= 0.10000E-04 (BOTH WALLS)
 ITEM NO. 61<U-TZALPH>= 0.50000 (BOTH WALLS)
 ITEM NO. 82<D-NATURE>= 1.0000 (BOTH WALLS)
 ITEM NO. 83<D-LEVEL >= 0.0000 (BOTH WALLS)
 ITEM NO. 88<D-COHE >= 10.000 (BOTH WALLS)
 ITEM NO. 89<D-FRICT >= 26.000 (BOTH WALLS)
 ITEM NO. 90<D-KA >= 0.34400 WALL NO. 1
 ITEM NO. 91<D-KP >= 3.4040 WALL NO. 1
 ITEM NO. 107<D-PERM >= 0.10000E-04 (BOTH WALLS)
 ITEM NO. 141<D-TZALPH>= 0.50000 (BOTH WALLS)

NON ZERO LAYER DESCRIPTORS FOR LAYER NO. 4 FOR STEP NO. 2

ITEM NO. 1<NAME >= 15.000 (BOTH WALLS)
 ITEM NO. 2<NATURE >= 1.0000 (BOTH WALLS)
 ITEM NO. 3<LEVEL >= -17.670 (BOTH WALLS)
 ITEM NO. 4<WALL >= 1.0000 (BOTH WALLS)
 ITEM NO. 5<GAMMAD >= 23.000 (BOTH WALLS)
 ITEM NO. 6<GAMMAB >= 13.000 (BOTH WALLS)
 ITEM NO. 7<GAMMAW >= 10.000 (BOTH WALLS)
 ITEM NO. 8<U-COHE >= 55.000 (BOTH WALLS)
 ITEM NO. 9<U-FRICT >= 31.000 (BOTH WALLS)
 ITEM NO. 10<U-KA >= 0.27900 WALL NO. 1
 ITEM NO. 11<U-KP >= 4.5550 WALL NO. 1
 ITEM NO. 12<K0-NC >= 0.56200 (BOTH WALLS)
 ITEM NO. 13<NEXP >= 0.50000 (BOTH WALLS)
 ITEM NO. 14<OCR >= 1.0000 (BOTH WALLS)
 ITEM NO. 16<MODEL >= 1.0000 (BOTH WALLS)
 ITEM NO. 17<EVC >= 0.13500E+06 (BOTH WALLS)
 ITEM NO. 18<EUR >= 0.40500E+06 (BOTH WALLS)
 ITEM NO. 27<U-PERM >= 0.10000E-04 (BOTH WALLS)
 ITEM NO. 61<U-TZALPH>= 0.50000 (BOTH WALLS)
 ITEM NO. 82<D-NATURE>= 1.0000 (BOTH WALLS)
 ITEM NO. 83<D-LEVEL >= 0.0000 (BOTH WALLS)
 ITEM NO. 88<D-COHE >= 55.000 (BOTH WALLS)
 ITEM NO. 89<D-FRICT >= 31.000 (BOTH WALLS)
 ITEM NO. 90<D-KA >= 0.27900 WALL NO. 1
 ITEM NO. 91<D-KP >= 4.5550 WALL NO. 1
 ITEM NO. 107<D-PERM >= 0.10000E-04 (BOTH WALLS)
 ITEM NO. 141<D-TZALPH>= 0.50000 (BOTH WALLS)

LAYER DESCRIPTORS FOR STEP NO. 3

NON ZERO LAYER DESCRIPTORS FOR LAYER NO. 1 FOR STEP NO. 3

ITEM NO. 1<NAME >= 12.000 (BOTH WALLS)
 ITEM NO. 2<NATURE >= 1.0000 (BOTH WALLS)
 ITEM NO. 3<LEVEL >= 0.0000 (BOTH WALLS)
 ITEM NO. 4<WALL >= 1.0000 (BOTH WALLS)
 ITEM NO. 5<GAMMAD >= 20.000 (BOTH WALLS)
 ITEM NO. 6<GAMMAB >= 10.000 (BOTH WALLS)
 ITEM NO. 7<GAMMAW >= 10.000 (BOTH WALLS)
 ITEM NO. 9<U-FRICT >= 35.000 (BOTH WALLS)
 ITEM NO. 10<U-KA >= 0.23500 WALL NO. 1
 ITEM NO. 11<U-KP >= 5.8790 WALL NO. 1
 ITEM NO. 12<K0-NC >= 0.42600 (BOTH WALLS)
 ITEM NO. 13<NEXP >= 0.50000 (BOTH WALLS)
 ITEM NO. 14<OCR >= 1.0000 (BOTH WALLS)
 ITEM NO. 16<MODEL >= 1.0000 (BOTH WALLS)
 ITEM NO. 17<EVC >= 50000. (BOTH WALLS)
 ITEM NO. 18<EUR >= 0.15000E+06 (BOTH WALLS)
 ITEM NO. 27<U-PERM >= 0.10000E-04 (BOTH WALLS)
 ITEM NO. 61<U-TZALPH>= 0.50000 (BOTH WALLS)
 ITEM NO. 82<D-NATURE>= 1.0000 (BOTH WALLS)
 ITEM NO. 83<D-LEVEL >= 0.0000 (BOTH WALLS)
 ITEM NO. 89<D-FRICT >= 35.000 (BOTH WALLS)
 ITEM NO. 90<D-KA >= 0.23500 WALL NO. 1
 ITEM NO. 91<D-KP >= 5.8790 WALL NO. 1

ITEM NO. 107<D-PERM >= 0.10000E-04 (BOTH WALLS)
ITEM NO. 141<D-TZALPH>= 0.50000 (BOTH WALLS)

NON ZERO LAYER DESCRIPTORS FOR LAYER NO. 2 FOR STEP NO. 3

ITEM NO. 1<NAME >= 13.000 (BOTH WALLS)
ITEM NO. 2<NATURE >= 1.0000 (BOTH WALLS)
ITEM NO. 3<LEVEL >= -4.7000 (BOTH WALLS)
ITEM NO. 4<WALL >= 1.0000 (BOTH WALLS)
ITEM NO. 5<GAMMAD >= 19.500 (BOTH WALLS)
ITEM NO. 6<GAMMAB >= 9.5000 (BOTH WALLS)
ITEM NO. 7<GAMMAW >= 10.000 (BOTH WALLS)
ITEM NO. 9<U-FRICT >= 25.000 (BOTH WALLS)
ITEM NO. 10<U-KA >= 0.35900 WALL NO. 1
ITEM NO. 11<U-KP >= 3.2220 WALL NO. 1
ITEM NO. 12<K0-NC >= 0.56200 (BOTH WALLS)
ITEM NO. 13<NEXP >= 0.50000 (BOTH WALLS)
ITEM NO. 14<OCR >= 1.0000 (BOTH WALLS)
ITEM NO. 16<MODEL >= 1.0000 (BOTH WALLS)
ITEM NO. 17<EVC >= 35000. (BOTH WALLS)
ITEM NO. 18<EUR >= 0.10500E+06 (BOTH WALLS)
ITEM NO. 27<U-PERM >= 0.10000E-04 (BOTH WALLS)
ITEM NO. 61<U-TZALPH>= 0.50000 (BOTH WALLS)
ITEM NO. 82<D-NATURE>= 1.0000 (BOTH WALLS)
ITEM NO. 83<D-LEVEL >= 0.0000 (BOTH WALLS)
ITEM NO. 89<D-FRICT >= 25.000 (BOTH WALLS)
ITEM NO. 90<D-KA >= 0.35900 WALL NO. 1
ITEM NO. 91<D-KP >= 3.2220 WALL NO. 1
ITEM NO. 107<D-PERM >= 0.10000E-04 (BOTH WALLS)
ITEM NO. 141<D-TZALPH>= 0.50000 (BOTH WALLS)

NON ZERO LAYER DESCRIPTORS FOR LAYER NO. 3 FOR STEP NO. 3

ITEM NO. 1<NAME >= 14.000 (BOTH WALLS)
ITEM NO. 2<NATURE >= 1.0000 (BOTH WALLS)
ITEM NO. 3<LEVEL >= -15.990 (BOTH WALLS)
ITEM NO. 4<WALL >= 1.0000 (BOTH WALLS)
ITEM NO. 5<GAMMAD >= 20.000 (BOTH WALLS)
ITEM NO. 6<GAMMAB >= 10.000 (BOTH WALLS)
ITEM NO. 7<GAMMAW >= 10.000 (BOTH WALLS)
ITEM NO. 8<U-COHE >= 10.000 (BOTH WALLS)
ITEM NO. 9<U-FRICT >= 26.000 (BOTH WALLS)
ITEM NO. 10<U-KA >= 0.34400 WALL NO. 1
ITEM NO. 11<U-KP >= 3.4040 WALL NO. 1
ITEM NO. 12<K0-NC >= 0.56200 (BOTH WALLS)
ITEM NO. 13<NEXP >= 0.50000 (BOTH WALLS)
ITEM NO. 14<OCR >= 1.0000 (BOTH WALLS)
ITEM NO. 16<MODEL >= 1.0000 (BOTH WALLS)
ITEM NO. 17<EVC >= 0.20000E+06 (BOTH WALLS)
ITEM NO. 18<EUR >= 0.60000E+06 (BOTH WALLS)
ITEM NO. 27<U-PERM >= 0.10000E-04 (BOTH WALLS)
ITEM NO. 61<U-TZALPH>= 0.50000 (BOTH WALLS)
ITEM NO. 82<D-NATURE>= 1.0000 (BOTH WALLS)
ITEM NO. 83<D-LEVEL >= 0.0000 (BOTH WALLS)
ITEM NO. 88<D-COHE >= 10.000 (BOTH WALLS)
ITEM NO. 89<D-FRICT >= 26.000 (BOTH WALLS)
ITEM NO. 90<D-KA >= 0.34400 WALL NO. 1
ITEM NO. 91<D-KP >= 3.4040 WALL NO. 1
ITEM NO. 107<D-PERM >= 0.10000E-04 (BOTH WALLS)
ITEM NO. 141<D-TZALPH>= 0.50000 (BOTH WALLS)

NON ZERO LAYER DESCRIPTORS FOR LAYER NO. 4 FOR STEP NO. 3

ITEM NO. 1<NAME >= 15.000 (BOTH WALLS)
ITEM NO. 2<NATURE >= 1.0000 (BOTH WALLS)
ITEM NO. 3<LEVEL >= -17.670 (BOTH WALLS)
ITEM NO. 4<WALL >= 1.0000 (BOTH WALLS)
ITEM NO. 5<GAMMAD >= 23.000 (BOTH WALLS)
ITEM NO. 6<GAMMAB >= 13.000 (BOTH WALLS)
ITEM NO. 7<GAMMAW >= 10.000 (BOTH WALLS)
ITEM NO. 8<U-COHE >= 55.000 (BOTH WALLS)
ITEM NO. 9<U-FRICT >= 31.000 (BOTH WALLS)
ITEM NO. 10<U-KA >= 0.27900 WALL NO. 1
ITEM NO. 11<U-KP >= 4.5550 WALL NO. 1
ITEM NO. 12<K0-NC >= 0.56200 (BOTH WALLS)
ITEM NO. 13<NEXP >= 0.50000 (BOTH WALLS)
ITEM NO. 14<OCR >= 1.0000 (BOTH WALLS)
ITEM NO. 16<MODEL >= 1.0000 (BOTH WALLS)
ITEM NO. 17<EVC >= 0.13500E+06 (BOTH WALLS)
ITEM NO. 18<EUR >= 0.40500E+06 (BOTH WALLS)
ITEM NO. 27<U-PERM >= 0.10000E-04 (BOTH WALLS)
ITEM NO. 61<U-TZALPH>= 0.50000 (BOTH WALLS)
ITEM NO. 82<D-NATURE>= 1.0000 (BOTH WALLS)
ITEM NO. 83<D-LEVEL >= 0.0000 (BOTH WALLS)
ITEM NO. 88<D-COHE >= 55.000 (BOTH WALLS)
ITEM NO. 89<D-FRICT >= 31.000 (BOTH WALLS)
ITEM NO. 90<D-KA >= 0.27900 WALL NO. 1
ITEM NO. 91<D-KP >= 4.5550 WALL NO. 1
ITEM NO. 107<D-PERM >= 0.10000E-04 (BOTH WALLS)
ITEM NO. 141<D-TZALPH>= 0.50000 (BOTH WALLS)

LAYER DESCRIPTORS FOR STEP NO. 4

NON ZERO LAYER DESCRIPTORS FOR LAYER NO. 1 FOR STEP NO. 4

ITEM NO.	1	NAME	>= 12.000	(BOTH WALLS)	
ITEM NO.	2	NATURE	>= 1.0000	(BOTH WALLS)	
ITEM NO.	3	LEVEL	>= 0.0000	(BOTH WALLS)	
ITEM NO.	4	WALL	>= 1.0000	(BOTH WALLS)	
ITEM NO.	5	GAMMAD	>= 20.000	(BOTH WALLS)	
ITEM NO.	6	GAMMAB	>= 10.000	(BOTH WALLS)	
ITEM NO.	7	GAMMAW	>= 10.000	(BOTH WALLS)	
ITEM NO.	9	U-FRICT	>= 35.000	(BOTH WALLS)	
ITEM NO.	10	U-KA	>= 0.23500	WALL NO.	1
ITEM NO.	11	U-KP	>= 5.8790	WALL NO.	1
ITEM NO.	12	K0-NC	>= 0.42600	(BOTH WALLS)	
ITEM NO.	13	NEXP	>= 0.50000	(BOTH WALLS)	
ITEM NO.	14	OCR	>= 1.0000	(BOTH WALLS)	
ITEM NO.	16	MODEL	>= 1.0000	(BOTH WALLS)	
ITEM NO.	17	EVC	>= 50000.	(BOTH WALLS)	
ITEM NO.	18	EUR	>= 0.15000E+06	(BOTH WALLS)	
ITEM NO.	27	U-PERM	>= 0.10000E-04	(BOTH WALLS)	
ITEM NO.	47	U-KAED	>= 0.29971	WALL NO.	1
ITEM NO.	48	U-KAEW	>= 0.36573	WALL NO.	1
ITEM NO.	49	U-KPED	>= 5.8297	WALL NO.	1
ITEM NO.	50	U-KPEW	>= 5.4315	WALL NO.	1
ITEM NO.	61	U-TZALPH	>= 0.50000	(BOTH WALLS)	
ITEM NO.	82	D-NATURE	>= 1.0000	(BOTH WALLS)	
ITEM NO.	83	D-LEVEL	>= 0.0000	(BOTH WALLS)	
ITEM NO.	89	D-FRICT	>= 35.000	(BOTH WALLS)	
ITEM NO.	90	D-KA	>= 0.23500	WALL NO.	1
ITEM NO.	91	D-KP	>= 5.8790	WALL NO.	1
ITEM NO.	107	D-PERM	>= 0.10000E-04	(BOTH WALLS)	
ITEM NO.	127	D-KAED	>= 0.27800	WALL NO.	1
ITEM NO.	128	D-KAEW	>= 0.34559	WALL NO.	1
ITEM NO.	129	D-KPED	>= 5.2629	WALL NO.	1
ITEM NO.	130	D-KPEW	>= 4.8545	WALL NO.	1
ITEM NO.	141	D-TZALPH	>= 0.50000	(BOTH WALLS)	

NON ZERO LAYER DESCRIPTORS FOR LAYER NO. 2 FOR STEP NO. 4

ITEM NO.	1	NAME	>= 13.000	(BOTH WALLS)	
ITEM NO.	2	NATURE	>= 1.0000	(BOTH WALLS)	
ITEM NO.	3	LEVEL	>= -4.7000	(BOTH WALLS)	
ITEM NO.	4	WALL	>= 1.0000	(BOTH WALLS)	
ITEM NO.	5	GAMMAD	>= 19.500	(BOTH WALLS)	
ITEM NO.	6	GAMMAB	>= 9.5000	(BOTH WALLS)	
ITEM NO.	7	GAMMAW	>= 10.000	(BOTH WALLS)	
ITEM NO.	9	U-FRICT	>= 25.000	(BOTH WALLS)	
ITEM NO.	10	U-KA	>= 0.35900	WALL NO.	1
ITEM NO.	11	U-KP	>= 3.2220	WALL NO.	1
ITEM NO.	12	K0-NC	>= 0.56200	(BOTH WALLS)	
ITEM NO.	13	NEXP	>= 0.50000	(BOTH WALLS)	
ITEM NO.	14	OCR	>= 1.0000	(BOTH WALLS)	
ITEM NO.	16	MODEL	>= 1.0000	(BOTH WALLS)	
ITEM NO.	17	EVC	>= 35000.	(BOTH WALLS)	
ITEM NO.	18	EUR	>= 0.10500E+06	(BOTH WALLS)	
ITEM NO.	27	U-PERM	>= 0.10000E-04	(BOTH WALLS)	
ITEM NO.	47	U-KAED	>= 0.44538	WALL NO.	1
ITEM NO.	48	U-KAEW	>= 0.53760	WALL NO.	1
ITEM NO.	49	U-KPED	>= 3.1512	WALL NO.	1
ITEM NO.	50	U-KPEW	>= 2.8567	WALL NO.	1
ITEM NO.	61	U-TZALPH	>= 0.50000	(BOTH WALLS)	
ITEM NO.	82	D-NATURE	>= 1.0000	(BOTH WALLS)	
ITEM NO.	83	D-LEVEL	>= 0.0000	(BOTH WALLS)	
ITEM NO.	89	D-FRICT	>= 25.000	(BOTH WALLS)	
ITEM NO.	90	D-KA	>= 0.35900	WALL NO.	1
ITEM NO.	91	D-KP	>= 3.2220	WALL NO.	1
ITEM NO.	107	D-PERM	>= 0.10000E-04	(BOTH WALLS)	
ITEM NO.	127	D-KAED	>= 0.41129	WALL NO.	1
ITEM NO.	128	D-KAEW	>= 0.50839	WALL NO.	1
ITEM NO.	129	D-KPED	>= 2.8400	WALL NO.	1
ITEM NO.	130	D-KPEW	>= 2.5363	WALL NO.	1
ITEM NO.	141	D-TZALPH	>= 0.50000	(BOTH WALLS)	

NON ZERO LAYER DESCRIPTORS FOR LAYER NO. 3 FOR STEP NO. 4

ITEM NO.	1	NAME	>= 14.000	(BOTH WALLS)	
ITEM NO.	2	NATURE	>= 1.0000	(BOTH WALLS)	
ITEM NO.	3	LEVEL	>= -15.990	(BOTH WALLS)	
ITEM NO.	4	WALL	>= 1.0000	(BOTH WALLS)	
ITEM NO.	5	GAMMAD	>= 20.000	(BOTH WALLS)	
ITEM NO.	6	GAMMAB	>= 10.000	(BOTH WALLS)	
ITEM NO.	7	GAMMAW	>= 10.000	(BOTH WALLS)	
ITEM NO.	8	U-COHE	>= 10.000	(BOTH WALLS)	
ITEM NO.	9	U-FRICT	>= 26.000	(BOTH WALLS)	
ITEM NO.	10	U-KA	>= 0.34400	WALL NO.	1
ITEM NO.	11	U-KP	>= 3.4040	WALL NO.	1
ITEM NO.	12	K0-NC	>= 0.56200	(BOTH WALLS)	
ITEM NO.	13	NEXP	>= 0.50000	(BOTH WALLS)	
ITEM NO.	14	OCR	>= 1.0000	(BOTH WALLS)	
ITEM NO.	16	MODEL	>= 1.0000	(BOTH WALLS)	
ITEM NO.	17	EVC	>= 0.20000E+06	(BOTH WALLS)	

ITEM NO. 18<EUR >= 0.60000E+06 (BOTH WALLS)
ITEM NO. 27<U-PERM >= 0.10000E-04 (BOTH WALLS)
ITEM NO. 47<U-KAED >= 0.42861 WALL NO. 1
ITEM NO. 48<U-KAEW >= 0.51350 WALL NO. 1
ITEM NO. 49<U-KPED >= 3.3356 WALL NO. 1
ITEM NO. 50<U-KPEW >= 3.0485 WALL NO. 1
ITEM NO. 61<U-TZALPH>= 0.50000 (BOTH WALLS)
ITEM NO. 82<D-NATURE>= 1.0000 (BOTH WALLS)
ITEM NO. 83<D-LEVEL >= 0.0000 (BOTH WALLS)
ITEM NO. 88<D-COHE >= 10.000 (BOTH WALLS)
ITEM NO. 89<D-FRICT >= 26.000 (BOTH WALLS)
ITEM NO. 90<D-KA >= 0.34400 WALL NO. 1
ITEM NO. 91<D-KP >= 3.4040 WALL NO. 1
ITEM NO. 107<D-PERM >= 0.10000E-04 (BOTH WALLS)
ITEM NO. 127<D-KAED >= 0.39605 WALL NO. 1
ITEM NO. 128<D-KAEW >= 0.48459 WALL NO. 1
ITEM NO. 129<D-KPED >= 3.0066 WALL NO. 1
ITEM NO. 130<D-KPEW >= 2.7114 WALL NO. 1
ITEM NO. 141<D-TZALPH>= 0.50000 (BOTH WALLS)

NON ZERO LAYER DESCRIPTORS FOR LAYER NO. 4 FOR STEP NO. 4

ITEM NO. 1<NAME >= 15.000 (BOTH WALLS)
ITEM NO. 2<NATURE >= 1.0000 (BOTH WALLS)
ITEM NO. 3<LEVEL >= -17.670 (BOTH WALLS)
ITEM NO. 4<WALL >= 1.0000 (BOTH WALLS)
ITEM NO. 5<GAMMAD >= 23.000 (BOTH WALLS)
ITEM NO. 6<GAMMAB >= 13.000 (BOTH WALLS)
ITEM NO. 7<GAMMAW >= 10.000 (BOTH WALLS)
ITEM NO. 8<U-COHE >= 55.000 (BOTH WALLS)
ITEM NO. 9<U-FRICT >= 31.000 (BOTH WALLS)
ITEM NO. 10<U-KA >= 0.27900 WALL NO. 1
ITEM NO. 11<U-KP >= 4.5550 WALL NO. 1
ITEM NO. 12<K0-NC >= 0.56200 (BOTH WALLS)
ITEM NO. 13<NEXP >= 0.50000 (BOTH WALLS)
ITEM NO. 14<OCR >= 1.0000 (BOTH WALLS)
ITEM NO. 16<MODEL >= 1.0000 (BOTH WALLS)
ITEM NO. 17<EVC >= 0.13500E+06 (BOTH WALLS)
ITEM NO. 18<EUR >= 0.40500E+06 (BOTH WALLS)
ITEM NO. 27<U-PERM >= 0.10000E-04 (BOTH WALLS)
ITEM NO. 47<U-KAED >= 0.35211 WALL NO. 1
ITEM NO. 48<U-KAEW >= 0.40660 WALL NO. 1
ITEM NO. 49<U-KPED >= 4.4947 WALL NO. 1
ITEM NO. 50<U-KPEW >= 4.2390 WALL NO. 1
ITEM NO. 61<U-TZALPH>= 0.50000 (BOTH WALLS)
ITEM NO. 82<D-NATURE>= 1.0000 (BOTH WALLS)
ITEM NO. 83<D-LEVEL >= 0.0000 (BOTH WALLS)
ITEM NO. 88<D-COHE >= 55.000 (BOTH WALLS)
ITEM NO. 89<D-FRICT >= 31.000 (BOTH WALLS)
ITEM NO. 90<D-KA >= 0.27900 WALL NO. 1
ITEM NO. 91<D-KP >= 4.5550 WALL NO. 1
ITEM NO. 107<D-PERM >= 0.10000E-04 (BOTH WALLS)
ITEM NO. 127<D-KAED >= 0.32560 WALL NO. 1
ITEM NO. 128<D-KAEW >= 0.38272 WALL NO. 1
ITEM NO. 129<D-KPED >= 4.0548 WALL NO. 1
ITEM NO. 130<D-KPEW >= 3.7930 WALL NO. 1
ITEM NO. 141<D-TZALPH>= 0.50000 (BOTH WALLS)

DEFAULT WATER UNIT WEIGHT = 10.000
AVERAGED ON 16 VALUES

```

+-----+
|          PARATIEPLUS(TM)  NLS ENGINE RELEASE  2022.0.0  FULL VERSION  *Build date:Sep 13, 2021*          |
|                                                                                                                                            |
|                                                                                               ParatiePlus                               |
|                                                                                               Exe Time :28 January 2022   11:11:19           |
+-----+

```

PHASE DESCRIPTORS

```

STEP NO.      1 no. of subincrements      1
                LEFT WALL      RIGHT WALL
Y              0.000            -0.9990E+30
Z-PC          -4.700             0.000
Z-EXCAVATION  -4.700             0.000
Z-WATER_TABLE -9.500            -0.9990E+30
Q_AT_THE_FREE_FIELD_LEVEL  0.000             0.000
ZQ            0.000             0.000
DZW_OF_THE_WATER_TABLE  0.000             0.000
QS_ON_THE_EXCAVATION_SIDE  0.000             0.000
ZQS          0.000            -0.9990E+30
ZCUT         0.000             0.000
BALANCE LEVEL FOR PORE PRESSURES  -18.20            -18.20
WATER_BEHAVIOUR_FLAG (LINING OPT)  0.000             0.000
PORE_UPDATE_FLAG  0.000             0.000
PORE_TAB._FLAG (gt.0= use tabs)  0.000             0.000
lateral thrusts reduction elevatio  0.000             0.000
Downhill reduction factor for effe  0.000             0.000
Downhill reduction factor for pore  0.000             0.000
Uphill reduction factor for effect  0.000             0.000
Uphill reduction factor for pore p  0.000             0.000
SEISMIC HORIZONTAL ACCEL. Kh [g]  0.000             0.000
UPHILL VERTICAL ACCEL. Kv_uh [g]  0.000             0.000
DOWNHILL VERTICAL ACCEL.Kv_dh [g]  0.000             0.000
UPHILL BETA ANGLE (SLOPE) [deg]  0.000             0.000
UPHILL DELTA/PHI RATIO  0.000             0.000
DOWNHILL BETA ANGLE (SLOPE) [deg]  0.000             0.000
DOWNHILL DELTA/PHI RATIO  0.000             0.000
DYN.WATER BEHAVIOUR  0.000             0.000
Excess pore pressure RATIO Ru  0.000             0.000
SEISMIC PRESSURE LOWER VALUE  0.000             0.000
SEISMIC PRESSURE UPPER VALUE  0.000             0.000
SEISMIC PRESSURE LOWER LEVEL  0.000             0.000
SEISMIC PRESSURE UPPER LEVEL  0.000             0.000

```

=====end of step 1

```

STEP NO.      2 no. of subincrements      1
                LEFT WALL      RIGHT WALL
Y              0.000            -0.9990E+30
Z-PC          -4.700             0.000
Z-EXCAVATION  -4.700             0.000
Z-WATER_TABLE -9.500            -0.9990E+30
Q_AT_THE_FREE_FIELD_LEVEL  0.000             0.000
ZQ            0.000             0.000
DZW_OF_THE_WATER_TABLE  0.000             0.000
QS_ON_THE_EXCAVATION_SIDE  0.000             0.000
ZQS          0.000            -0.9990E+30
ZCUT         0.000             0.000
BALANCE LEVEL FOR PORE PRESSURES  -18.20            -18.20
WATER_BEHAVIOUR_FLAG (LINING OPT)  0.000             0.000
PORE_UPDATE_FLAG  0.000             0.000
PORE_TAB._FLAG (gt.0= use tabs)  0.000             0.000
lateral thrusts reduction elevatio  0.000             0.000
Downhill reduction factor for effe  0.000             0.000
Downhill reduction factor for pore  0.000             0.000
Uphill reduction factor for effect  0.000             0.000
Uphill reduction factor for pore p  0.000             0.000
SEISMIC HORIZONTAL ACCEL. Kh [g]  0.000             0.000
UPHILL VERTICAL ACCEL. Kv_uh [g]  0.000             0.000
DOWNHILL VERTICAL ACCEL.Kv_dh [g]  0.000             0.000
UPHILL BETA ANGLE (SLOPE) [deg]  0.000             0.000
UPHILL DELTA/PHI RATIO  0.000             0.000
DOWNHILL BETA ANGLE (SLOPE) [deg]  0.000             0.000
DOWNHILL DELTA/PHI RATIO  0.000             0.000
DYN.WATER BEHAVIOUR  0.000             0.000
Excess pore pressure RATIO Ru  0.000             0.000
SEISMIC PRESSURE LOWER VALUE  0.000             0.000
SEISMIC PRESSURE UPPER VALUE  0.000             0.000
SEISMIC PRESSURE LOWER LEVEL  0.000             0.000
SEISMIC PRESSURE UPPER LEVEL  0.000             0.000

```

=====end of step 2

```

STEP NO.      3 no. of subincrements      1
                LEFT WALL      RIGHT WALL
Y              0.000            -0.9990E+30

```

Z-PC	0.000	0.000
Z-EXCAVATION	-4.700	0.000
Z-WATER_TABLE	-9.500	-0.9990E+30
Q_AT_THE_FREE_FIELD_LEVEL	57.00	0.000
ZQ	0.000	0.000
DZW_OF_THE_WATER_TABLE	0.000	0.000
QS_ON_THE_EXCAVATION_SIDE	0.000	0.000
ZQS	-4.700	-0.9990E+30
ZCUT	0.000	0.000
BALANCE LEVEL FOR PORE PRESSURES	-18.20	-18.20
WATER_BEHAVIOUR_FLAG (LINING OPT)	0.000	0.000
PORE_UPDATE_FLAG	0.000	0.000
PORE_TAB._FLAG (gt.0= use tabs)	0.000	0.000
lateral thrusts reduction elevatio	0.000	0.000
Downhill reduction factor for effe	0.000	0.000
Downhill reduction factor for pore	0.000	0.000
Uphill reduction factor for effect	0.000	0.000
Uphill reduction factor for pore p	0.000	0.000
SEISMIC HORIZONTAL ACCEL. Kh [g]	0.000	0.000
UPHILL VERTICAL ACCEL. Kv_uh [g]	0.000	0.000
DOWNHILL VERTICAL ACCEL.Kv_dh [g]	0.000	0.000
UPHILL BETA ANGLE (SLOPE) [deg]	0.000	0.000
UPHILL DELTA/PHI RATIO	0.000	0.000
DOWNHILL BETA ANGLE (SLOPE) [deg]	0.000	0.000
DOWNHILL DELTA/PHI RATIO	0.000	0.000
DYN.WATER BEHAVIOUR	0.000	0.000
Excess pore pressure RATIO Ru	0.000	0.000
SEISMIC PRESSURE LOWER VALUE	0.000	0.000
SEISMIC PRESSURE UPPER VALUE	0.000	0.000
SEISMIC PRESSURE LOWER LEVEL	0.000	0.000
SEISMIC PRESSURE UPPER LEVEL	0.000	0.000

=====
=====end of step 3

STEP NO.	4 no. of subincrements	1	
		LEFT WALL	RIGHT WALL
Y		0.000	-0.9990E+30
Z-PC		0.000	0.000
Z-EXCAVATION		-4.700	0.000
Z-WATER_TABLE		-9.500	-0.9990E+30
Q_AT_THE_FREE_FIELD_LEVEL		57.00	0.000
ZQ		0.000	0.000
DZW_OF_THE_WATER_TABLE		0.000	0.000
QS_ON_THE_EXCAVATION_SIDE		0.000	0.000
ZQS		0.000	-0.9990E+30
ZCUT		0.000	0.000
BALANCE LEVEL FOR PORE PRESSURES		-18.20	-18.20
WATER_BEHAVIOUR_FLAG (LINING OPT)		0.000	0.000
PORE_UPDATE_FLAG		0.000	0.000
PORE_TAB._FLAG (gt.0= use tabs)		0.000	0.000
lateral thrusts reduction elevatio		0.000	0.000
Downhill reduction factor for effe		0.000	0.000
Downhill reduction factor for pore		0.000	0.000
Uphill reduction factor for effect		0.000	0.000
Uphill reduction factor for pore p		0.000	0.000
SEISMIC HORIZONTAL ACCEL. Kh [g]		-0.9590E-01	0.000
		MANUAL	
UPHILL VERTICAL ACCEL. Kv_uh [g]		0.4795E-01	0.000
DOWNHILL VERTICAL ACCEL.Kv_dh [g]		-0.4795E-01	0.000
UPHILL BETA ANGLE (SLOPE) [deg]		0.000	0.000
UPHILL DELTA/PHI RATIO		0.5000	0.000
DOWNHILL BETA ANGLE (SLOPE) [deg]		0.000	0.000
DOWNHILL DELTA/PHI RATIO		0.5000	0.000
DYN.WATER BEHAVIOUR		0.000	0.000
Excess pore pressure RATIO Ru		0.000	0.000
SEISMIC PRESSURE LOWER VALUE		0.000	0.000
SEISMIC PRESSURE UPPER VALUE		0.000	0.000
SEISMIC PRESSURE LOWER LEVEL		0.000	0.000
SEISMIC PRESSURE UPPER LEVEL		0.000	0.000

=====
=====end of step 4

LEFT-HAND WALL

LOWER LEVEL	-18.20000
UPPER LEVEL	0.00000

RIGHT-HAND WALL

LOWER LEVEL	-18.20000
UPPER LEVEL	0.00000

```

+-----+
|          PARATIEPLUS(TM)  NLS ENGINE RELEASE  2022.0.0  FULL VERSION  *Build date:Sep 13, 2021*          |
|                                                                                                                                            |
|                                                                                               ParatiePlus                               |
|                                                                                               Exe Time :28 January 2022   11:11:19          |
+-----+

```

I N I T I A L S T R E S S T A B L E S

S E C T I O N

NUMBER OF DEFINED TABLES 17

INPUT DATA FOR INITIAL STRESS SET NO. 1
PERTAINING SOIL ELEMENTS AT Y-COORD 0.0000

ACTIVATION TIME 3.0000
END TIME (TIME BEYOND WHICH IT IS REMOVED) 4.0000

TYPE BOUSSINESQ

HORIZONTAL DISTANCE (DY) 6.700000000000000
FOUNDATION WIDTH (B) 0.378240000000000
ZETA-F..... 0.000000000000000E+000
Q-F 58.8240000000000
BETA 45.0000000000000
BEHAVIOUR (0=FREE, 1=REFLECTING) 0.000000000000000E+000

INPUT DATA FOR INITIAL STRESS SET NO. 2
PERTAINING SOIL ELEMENTS AT Y-COORD 0.0000

ACTIVATION TIME 3.0000
END TIME (TIME BEYOND WHICH IT IS REMOVED) 4.0000

TYPE BOUSSINESQ

HORIZONTAL DISTANCE (DY) 7.078200000000000
FOUNDATION WIDTH (B) 0.378240000000000
ZETA-F..... 0.000000000000000E+000
Q-F 56.4710000000000
BETA 45.0000000000000
BEHAVIOUR (0=FREE, 1=REFLECTING) 0.000000000000000E+000

INPUT DATA FOR INITIAL STRESS SET NO. 3
PERTAINING SOIL ELEMENTS AT Y-COORD 0.0000

ACTIVATION TIME 3.0000
END TIME (TIME BEYOND WHICH IT IS REMOVED) 4.0000

TYPE BOUSSINESQ

HORIZONTAL DISTANCE (DY) 7.456500000000000
FOUNDATION WIDTH (B) 0.378240000000000
ZETA-F..... 0.000000000000000E+000
Q-F 54.1180000000000
BETA 45.0000000000000
BEHAVIOUR (0=FREE, 1=REFLECTING) 0.000000000000000E+000

INPUT DATA FOR INITIAL STRESS SET NO. 4
PERTAINING SOIL ELEMENTS AT Y-COORD 0.0000

ACTIVATION TIME 3.0000
END TIME (TIME BEYOND WHICH IT IS REMOVED) 4.0000

TYPE BOUSSINESQ

HORIZONTAL DISTANCE (DY) 7.834700000000000
FOUNDATION WIDTH (B) 0.378240000000000
ZETA-F..... 0.000000000000000E+000
Q-F 51.7650000000000
BETA 45.0000000000000
BEHAVIOUR (0=FREE, 1=REFLECTING) 0.000000000000000E+000

INPUT DATA FOR INITIAL STRESS SET NO. 5
PERTAINING SOIL ELEMENTS AT Y-COORD 0.0000

ACTIVATION TIME 3.0000
END TIME (TIME BEYOND WHICH IT IS REMOVED) 4.0000

TYPE BOUSSINESQ

HORIZONTAL DISTANCE (DY) 8.212900000000000
FOUNDATION WIDTH (B) 0.378240000000000
ZETA-F..... 0.000000000000000E+000
Q-F 49.4120000000000

BETA 45.00000000000000
BEHAVIOUR (0=FREE, 1=REFLECTING) 0.0000000000000000E+000

INPUT DATA FOR INITIAL STRESS SET NO. 6
PERTAINING SOIL ELEMENTS AT Y-COORD 0.0000

ACTIVATION TIME 3.0000
END TIME (TIME BEYOND WHICH IT IS REMOVED) 4.0000

TYPE BOUSSINESQ

HORIZONTAL DISTANCE (DY) 8.591200000000000
FOUNDATION WIDTH (B) 0.3782400000000000
ZETA-F..... 0.0000000000000000E+000
Q-F 47.059000000000000
BETA 45.000000000000000
BEHAVIOUR (0=FREE, 1=REFLECTING) 0.0000000000000000E+000

INPUT DATA FOR INITIAL STRESS SET NO. 7
PERTAINING SOIL ELEMENTS AT Y-COORD 0.0000

ACTIVATION TIME 3.0000
END TIME (TIME BEYOND WHICH IT IS REMOVED) 4.0000

TYPE BOUSSINESQ

HORIZONTAL DISTANCE (DY) 8.969400000000000
FOUNDATION WIDTH (B) 0.3782400000000000
ZETA-F..... 0.0000000000000000E+000
Q-F 44.706000000000000
BETA 45.000000000000000
BEHAVIOUR (0=FREE, 1=REFLECTING) 0.0000000000000000E+000

INPUT DATA FOR INITIAL STRESS SET NO. 8
PERTAINING SOIL ELEMENTS AT Y-COORD 0.0000

ACTIVATION TIME 3.0000
END TIME (TIME BEYOND WHICH IT IS REMOVED) 4.0000

TYPE BOUSSINESQ

HORIZONTAL DISTANCE (DY) 9.347600000000000
FOUNDATION WIDTH (B) 0.3782400000000000
ZETA-F..... 0.0000000000000000E+000
Q-F 42.353000000000000
BETA 45.000000000000000
BEHAVIOUR (0=FREE, 1=REFLECTING) 0.0000000000000000E+000

INPUT DATA FOR INITIAL STRESS SET NO. 9
PERTAINING SOIL ELEMENTS AT Y-COORD 0.0000

ACTIVATION TIME 3.0000
END TIME (TIME BEYOND WHICH IT IS REMOVED) 4.0000

TYPE BOUSSINESQ

HORIZONTAL DISTANCE (DY) 9.725900000000000
FOUNDATION WIDTH (B) 0.3782400000000000
ZETA-F..... 0.0000000000000000E+000
Q-F 40.000000000000000
BETA 45.000000000000000
BEHAVIOUR (0=FREE, 1=REFLECTING) 0.0000000000000000E+000

INPUT DATA FOR INITIAL STRESS SET NO. 10
PERTAINING SOIL ELEMENTS AT Y-COORD 0.0000

ACTIVATION TIME 3.0000
END TIME (TIME BEYOND WHICH IT IS REMOVED) 4.0000

TYPE BOUSSINESQ

HORIZONTAL DISTANCE (DY) 10.104000000000000
FOUNDATION WIDTH (B) 0.3782400000000000
ZETA-F..... 0.0000000000000000E+000
Q-F 37.647000000000000
BETA 45.000000000000000
BEHAVIOUR (0=FREE, 1=REFLECTING) 0.0000000000000000E+000

INPUT DATA FOR INITIAL STRESS SET NO. 11
PERTAINING SOIL ELEMENTS AT Y-COORD 0.0000

ACTIVATION TIME 3.0000
END TIME (TIME BEYOND WHICH IT IS REMOVED) 4.0000

TYPE BOUSSINESQ

HORIZONTAL DISTANCE (DY) 10.4820000000000
FOUNDATION WIDTH (B) 0.378240000000000
ZETA-F..... 0.000000000000000E+000
Q-F 35.2940000000000
BETA 45.0000000000000
BEHAVIOUR (0=FREE, 1=REFLECTING) 0.000000000000000E+000

INPUT DATA FOR INITIAL STRESS SET NO. 12
PERTAINING SOIL ELEMENTS AT Y-COORD 0.0000

ACTIVATION TIME 3.0000
END TIME (TIME BEYOND WHICH IT IS REMOVED) 4.0000

TYPE BOUSSINESQ

HORIZONTAL DISTANCE (DY) 10.8610000000000
FOUNDATION WIDTH (B) 0.378240000000000
ZETA-F..... 0.000000000000000E+000
Q-F 32.9410000000000
BETA 45.0000000000000
BEHAVIOUR (0=FREE, 1=REFLECTING) 0.000000000000000E+000

INPUT DATA FOR INITIAL STRESS SET NO. 13
PERTAINING SOIL ELEMENTS AT Y-COORD 0.0000

ACTIVATION TIME 3.0000
END TIME (TIME BEYOND WHICH IT IS REMOVED) 4.0000

TYPE BOUSSINESQ

HORIZONTAL DISTANCE (DY) 11.2390000000000
FOUNDATION WIDTH (B) 0.378240000000000
ZETA-F..... 0.000000000000000E+000
Q-F 30.5880000000000
BETA 45.0000000000000
BEHAVIOUR (0=FREE, 1=REFLECTING) 0.000000000000000E+000

INPUT DATA FOR INITIAL STRESS SET NO. 14
PERTAINING SOIL ELEMENTS AT Y-COORD 0.0000

ACTIVATION TIME 3.0000
END TIME (TIME BEYOND WHICH IT IS REMOVED) 4.0000

TYPE BOUSSINESQ

HORIZONTAL DISTANCE (DY) 11.6170000000000
FOUNDATION WIDTH (B) 0.378240000000000
ZETA-F..... 0.000000000000000E+000
Q-F 28.2350000000000
BETA 45.0000000000000
BEHAVIOUR (0=FREE, 1=REFLECTING) 0.000000000000000E+000

INPUT DATA FOR INITIAL STRESS SET NO. 15
PERTAINING SOIL ELEMENTS AT Y-COORD 0.0000

ACTIVATION TIME 3.0000
END TIME (TIME BEYOND WHICH IT IS REMOVED) 4.0000

TYPE BOUSSINESQ

HORIZONTAL DISTANCE (DY) 11.9950000000000
FOUNDATION WIDTH (B) 0.378240000000000
ZETA-F..... 0.000000000000000E+000
Q-F 25.8820000000000
BETA 45.0000000000000
BEHAVIOUR (0=FREE, 1=REFLECTING) 0.000000000000000E+000

INPUT DATA FOR INITIAL STRESS SET NO. 16
PERTAINING SOIL ELEMENTS AT Y-COORD 0.0000

ACTIVATION TIME 3.0000
END TIME (TIME BEYOND WHICH IT IS REMOVED) 4.0000

TYPE BOUSSINESQ

HORIZONTAL DISTANCE (DY) 12.3740000000000
FOUNDATION WIDTH (B) 0.378240000000000
ZETA-F..... 0.000000000000000E+000
Q-F 23.5290000000000
BETA 45.0000000000000
BEHAVIOUR (0=FREE, 1=REFLECTING) 0.000000000000000E+000

INPUT DATA FOR INITIAL STRESS SET NO. 17
PERTAINING SOIL ELEMENTS AT Y-COORD 0.0000

ACTIVATION TIME 3.0000

END TIME (TIME BEYOND WHICH IT IS REMOVED) 4.0000

TYPE BOUSSINESQ

HORIZONTAL DISTANCE (DY) 12.7520000000000
FOUNDATION WIDTH (B) 0.378240000000000
ZETA-F..... 0.000000000000000E+000
Q-F 21.1760000000000
BETA 45.0000000000000
BEHAVIOUR (0=FREE, 1=REFLECTING) 0.000000000000000E+000

ELEMENT GROUPS BACKUP AREA CAN STAY IN CORE AT
POSITION 7228

NO. OF D.P.W FOR THIS AREA 14242
MAX NO. OF D.P.W. AVAILABLE 81920
** MAX NO OF ITERATIONS SET TO 40

ITER 0 RNORM = 0.000 RMNORM= 0.000
RINORM=0.5558E+05 RIMNOR= 0.000
RENORM= 0.000 REMNOR= 0.000 RATIO = 0.000 TOLER =0.1000E-03 CONVERGED !
RFMAX = 36.48 RMMAX = 0.000
RTSMAL=0.1000E-03 RMSMAL= 0.000
RDT =0.5558E+05 RDR = 0.000
RATIOT= 0.000 RATIO= 0.000
MAX UN= 0.000 IEQ= 186 NODE 93 DOF 2 X-ROT. F
MIN UN= 0.000 IEQ= 1 NODE 1 DOF 1 Y-DISPL.F
NO. OF CONTACT CONSTRAINT VIOLATIONS 0

ITER 1 RNORM = 0.000 RMNORM= 0.000
RINORM=0.5558E+05 RIMNOR= 0.000
RENORM= 0.000 REMNOR= 0.000 RATIO = 0.000 TOLER =0.1000E-03 CONVERGED !
RFMAX = 36.48 RMMAX = 0.000
RTSMAL=0.1000E-03 RMSMAL= 0.000
RDT =0.5558E+05 RDR = 0.000
RATIOT= 0.000 RATIO= 0.000
MAX UN= 0.000 IEQ= 186 NODE 93 DOF 2 X-ROT. F
MIN UN= 0.000 IEQ= 1 NODE 1 DOF 1 Y-DISPL.F
NO. OF CONTACT CONSTRAINT VIOLATIONS 0

ITER 2 RNORM = 0.000 RMNORM= 0.000
RINORM=0.5558E+05 RIMNOR= 0.000
RENORM= 0.000 REMNOR= 0.000 RATIO = 0.000 TOLER =0.1000E-03 CONVERGED !
RFMAX = 36.48 RMMAX = 0.000
RTSMAL=0.1000E-03 RMSMAL= 0.000
RDT =0.5558E+05 RDR = 0.000
RATIOT= 0.000 RATIO= 0.000
MAX UN= 0.000 IEQ= 186 NODE 93 DOF 2 X-ROT. F
MIN UN= 0.000 IEQ= 1 NODE 1 DOF 1 Y-DISPL.F
NO. OF CONTACT CONSTRAINT VIOLATIONS 0

```
+-----+
|          PARATIEPLUS(TM)  NLS ENGINE RELEASE  2022.0.0  FULL VERSION  *Build date:Sep 13, 2021*  |
|                                                                                               |
|                                                                                               |
|                               ParatiePlus                                                    |
|                               Exe Time :28 January 2022  11:11:19                            |
+-----+
```

New Project

SOLUTION REACHED USING 2 ITERATIONS ON 40

P R I N T O U T F O R T I M E S T E P 1 (AT TIME 1.000) SUBINCREMENT 00001/00001

PRINT OUT OF ACTIVE COMPONENTS (FIXED NODES ARE NOT PRINTED OUT)

Y-DISPL.F	X-ROT. F
02	04

ALL NODAL POINTS HAVE ZERO DISPLACEMENT COMPONENTS

```

+-----+
|          PARATIEPLUS(TM)  NLS ENGINE RELEASE  2022.0.0  FULL VERSION  *Build date:Sep 13, 2021*          |
|                                                                                                                                            |
|                                                                                               ParatiePlus                               |
|                                                                                               Exe Time :28 January 2022   11:11:19          |
+-----+

```

New Project

STRESS RESULTS FOR GROUP NO. 1

0_L :
ELEMENT TYPE 5 NO.OF ELEMENTS. IN THIS GROUP 93
CURRENT TIME IS 1.0000 SUBINCREMENT 00001/00001

HARDENING 2D SOIL ELEMENT

***** TOTAL STRESS FORMULATION *****

EL * TOR QSL	FORCE UFACTOR ZD	DISPL-Y Peq ZPL	VERTICAL-P Su_a Kz	HORIZON.-P Su_p	MAX-V-P Coh_e_a	MAX-H-P Coh_e_p	STATE LAYER	STIFFNESS	Z-LEVEL	PORE ZFO	E FAC- QS
1	0.000	--	--	--	--	--	REMOVED	--	0.000	0.000	
1.000	1.000	0.000	0.000	0.000	0.000	0.000	not available				
2	0.000	--	--	--	--	--	REMOVED	--	-0.2000	0.000	
1.000	1.000	0.000	0.000	0.000	0.000	0.000	not available				
3	0.000	--	--	--	--	--	REMOVED	--	-0.4000	0.000	
1.000	1.000	0.000	0.000	0.000	0.000	0.000	not available				
4	0.000	--	--	--	--	--	REMOVED	--	-0.6000	0.000	
1.000	1.000	0.000	0.000	0.000	0.000	0.000	not available				
5	0.000	--	--	--	--	--	REMOVED	--	-0.8000	0.000	
1.000	1.000	0.000	0.000	0.000	0.000	0.000	not available				
6	0.000	--	--	--	--	--	REMOVED	--	-1.000	0.000	
1.000	1.000	0.000	0.000	0.000	0.000	0.000	not available				
7	0.000	--	--	--	--	--	REMOVED	--	-1.200	0.000	
1.000	1.000	0.000	0.000	0.000	0.000	0.000	not available				
8	0.000	--	--	--	--	--	REMOVED	--	-1.400	0.000	
1.000	1.000	0.000	0.000	0.000	0.000	0.000	not available				
9	0.000	--	--	--	--	--	REMOVED	--	-1.600	0.000	
1.000	1.000	0.000	0.000	0.000	0.000	0.000	not available				
10	0.000	--	--	--	--	--	REMOVED	--	-1.800	0.000	
1.000	1.000	0.000	0.000	0.000	0.000	0.000	not available				
11	0.000	--	--	--	--	--	REMOVED	--	-2.000	0.000	
1.000	1.000	0.000	0.000	0.000	0.000	0.000	not available				
12	0.000	--	--	--	--	--	REMOVED	--	-2.200	0.000	
1.000	1.000	0.000	0.000	0.000	0.000	0.000	not available				
13	0.000	--	--	--	--	--	REMOVED	--	-2.400	0.000	
1.000	1.000	0.000	0.000	0.000	0.000	0.000	not available				
14	0.000	--	--	--	--	--	REMOVED	--	-2.600	0.000	
1.000	1.000	0.000	0.000	0.000	0.000	0.000	not available				
15	0.000	--	--	--	--	--	REMOVED	--	-2.800	0.000	
1.000	1.000	0.000	0.000	0.000	0.000	0.000	not available				
16	0.000	--	--	--	--	--	REMOVED	--	-3.000	0.000	
1.000	1.000	0.000	0.000	0.000	0.000	0.000	not available				
17	0.000	--	--	--	--	--	REMOVED	--	-3.200	0.000	
1.000	1.000	0.000	0.000	0.000	0.000	0.000	not available				
18	0.000	--	--	--	--	--	REMOVED	--	-3.400	0.000	
1.000	1.000	0.000	0.000	0.000	0.000	0.000	not available				
19	0.000	--	--	--	--	--	REMOVED	--	-3.600	0.000	
1.000	1.000	0.000	0.000	0.000	0.000	0.000	not available				
20	0.000	--	--	--	--	--	REMOVED	--	-3.800	0.000	
1.000	1.000	0.000	0.000	0.000	0.000	0.000	not available				
21	0.000	--	--	--	--	--	REMOVED	--	-4.000	0.000	
1.000	1.000	0.000	0.000	0.000	0.000	0.000	not available				
22	0.000	--	--	--	--	--	REMOVED	--	-4.200	0.000	
1.000	1.000	0.000	0.000	0.000	0.000	0.000	not available				
23	0.000	--	--	--	--	--	REMOVED	--	-4.400	0.000	
1.000	1.000	0.000	0.000	0.000	0.000	0.000	not available				
24	0.000	--	--	--	--	--	REMOVED	--	-4.600	0.000	
1.000	1.000	0.000	0.000	0.000	0.000	0.000	not available				
25 D	0.000	0.000	0.000	0.000	0.000	0.000	V-C 1.8377E+04		-4.700	0.000	
1.000	1.000	0.000	0.000	0.000	0.000	0.000	Ala_161_6590_L_0			0.0000	
0.0000	0.0000	0.0000	0.0000	0.0000	0.0000	0.0000					
26 D	0.4384	0.000	3.900	2.192	3.900	2.192	V-C 1.8377E+04		-4.900	0.000	
1.000	1.000	2.192	0.000	0.000	0.000	0.000	Ala_161_6590_L_0			0.0000	
0.0000	0.0000	0.0000	0.0000	0.0000	0.0000	0.0000					
27 D	0.8767	0.000	7.800	4.384	7.800	4.384	V-C 1.8377E+04		-5.100	0.000	
1.000	1.000	4.384	0.000	0.000	0.000	0.000	Ala_161_6590_L_0			0.0000	
0.0000	0.0000	0.0000	0.0000	0.0000	0.0000	0.0000					
28 D	1.315	0.000	11.70	6.575	11.70	6.575	V-C 1.8377E+04		-5.300	0.000	
1.000	1.000	6.575	0.000	0.000	0.000	0.000	Ala_161_6590_L_0			0.0000	
0.0000	0.0000	0.0000	0.0000	0.0000	0.0000	0.0000					
29 D	1.753	0.000	15.60	8.767	15.60	8.767	V-C 1.8377E+04		-5.500	0.000	
1.000	1.000	8.767	0.000	0.000	0.000	0.000	Ala_161_6590_L_0			0.0000	
0.0000	0.0000	0.0000	0.0000	0.0000	0.0000	0.0000					
30 D	2.192	0.000	19.50	10.96	19.50	10.96	V-C 1.8377E+04		-5.700	0.000	

1.000	1.000	10.96	0.000	0.000	0.000	0.000	Ala_161_6590_L_0	0.0000	
0.0000	0.0000	0.0000	0.0000	0.0000	0.0000	0.0000			
31 D	2.630	0.000	23.40	13.15	23.40	13.15	V-C 1.8377E+04	-5.900	0.000
1.000	1.000	13.15	0.000	0.000	0.000	0.000	Ala_161_6590_L_0	0.0000	
0.0000	0.0000	0.0000	0.0000	0.0000	0.0000	0.0000			
32 D	3.069	0.000	27.30	15.34	27.30	15.34	V-C 1.8377E+04	-6.100	0.000
1.000	1.000	15.34	0.000	0.000	0.000	0.000	Ala_161_6590_L_0	0.0000	
0.0000	0.0000	0.0000	0.0000	0.0000	0.0000	0.0000			
33 D	3.507	0.000	31.20	17.53	31.20	17.53	V-C 1.8377E+04	-6.300	0.000
1.000	1.000	17.53	0.000	0.000	0.000	0.000	Ala_161_6590_L_0	0.0000	
0.0000	0.0000	0.0000	0.0000	0.0000	0.0000	0.0000			
34 D	3.945	0.000	35.10	19.73	35.10	19.73	V-C 1.8377E+04	-6.500	0.000
1.000	1.000	19.73	0.000	0.000	0.000	0.000	Ala_161_6590_L_0	0.0000	
0.0000	0.0000	0.0000	0.0000	0.0000	0.0000	0.0000			
35 D	4.384	0.000	39.00	21.92	39.00	21.92	V-C 1.8377E+04	-6.700	0.000
1.000	1.000	21.92	0.000	0.000	0.000	0.000	Ala_161_6590_L_0	0.0000	
0.0000	0.0000	0.0000	0.0000	0.0000	0.0000	0.0000			
36 D	4.822	0.000	42.90	24.11	42.90	24.11	V-C 1.8377E+04	-6.900	0.000
1.000	1.000	24.11	0.000	0.000	0.000	0.000	Ala_161_6590_L_0	0.0000	
0.0000	0.0000	0.0000	0.0000	0.0000	0.0000	0.0000			
37 D	5.260	0.000	46.80	26.30	46.80	26.30	V-C 1.8377E+04	-7.100	0.000
1.000	1.000	26.30	0.000	0.000	0.000	0.000	Ala_161_6590_L_0	0.0000	
0.0000	0.0000	0.0000	0.0000	0.0000	0.0000	0.0000			
38 D	5.699	0.000	50.70	28.49	50.70	28.49	V-C 1.8377E+04	-7.300	0.000
1.000	1.000	28.49	0.000	0.000	0.000	0.000	Ala_161_6590_L_0	0.0000	
0.0000	0.0000	0.0000	0.0000	0.0000	0.0000	0.0000			
39 D	6.137	0.000	54.60	30.69	54.60	30.69	V-C 1.8377E+04	-7.500	0.000
1.000	1.000	30.69	0.000	0.000	0.000	0.000	Ala_161_6590_L_0	0.0000	
0.0000	0.0000	0.0000	0.0000	0.0000	0.0000	0.0000			
40 D	6.575	0.000	58.50	32.88	58.50	32.88	V-C 1.8377E+04	-7.700	0.000
1.000	1.000	32.88	0.000	0.000	0.000	0.000	Ala_161_6590_L_0	0.0000	
0.0000	0.0000	0.0000	0.0000	0.0000	0.0000	0.0000			
41 D	7.014	0.000	62.40	35.07	62.40	35.07	V-C 1.8377E+04	-7.900	0.000
1.000	1.000	35.07	0.000	0.000	0.000	0.000	Ala_161_6590_L_0	0.0000	
0.0000	0.0000	0.0000	0.0000	0.0000	0.0000	0.0000			
42 D	7.452	0.000	66.30	37.26	66.30	37.26	V-C 1.8377E+04	-8.100	0.000
1.000	1.000	37.26	0.000	0.000	0.000	0.000	Ala_161_6590_L_0	0.0000	
0.0000	0.0000	0.0000	0.0000	0.0000	0.0000	0.0000			
43 D	7.890	0.000	70.20	39.45	70.20	39.45	V-C 1.8377E+04	-8.300	0.000
1.000	1.000	39.45	0.000	0.000	0.000	0.000	Ala_161_6590_L_0	0.0000	
0.0000	0.0000	0.0000	0.0000	0.0000	0.0000	0.0000			
44 D	8.329	0.000	74.10	41.64	74.10	41.64	V-C 1.8377E+04	-8.500	0.000
1.000	1.000	41.64	0.000	0.000	0.000	0.000	Ala_161_6590_L_0	0.0000	
0.0000	0.0000	0.0000	0.0000	0.0000	0.0000	0.0000			
45 D	8.767	0.000	78.00	43.84	78.00	43.84	V-C 1.8377E+04	-8.700	0.000
1.000	1.000	43.84	0.000	0.000	0.000	0.000	Ala_161_6590_L_0	0.0000	
0.0000	0.0000	0.0000	0.0000	0.0000	0.0000	0.0000			
46 D	9.206	0.000	81.90	46.03	81.90	46.03	V-C 1.8377E+04	-8.900	0.000
1.000	1.000	46.03	0.000	0.000	0.000	0.000	Ala_161_6590_L_0	0.0000	
0.0000	0.0000	0.0000	0.0000	0.0000	0.0000	0.0000			
47 D	9.644	0.000	85.80	48.22	85.80	48.22	V-C 1.8377E+04	-9.100	0.000
1.000	1.000	48.22	0.000	0.000	0.000	0.000	Ala_161_6590_L_0	0.0000	
0.0000	0.0000	0.0000	0.0000	0.0000	0.0000	0.0000			
48 D	10.08	0.000	89.70	50.41	89.70	50.41	V-C 1.8377E+04	-9.300	0.000
1.000	1.000	50.41	0.000	0.000	0.000	0.000	Ala_161_6590_L_0	0.0000	
0.0000	0.0000	0.0000	0.0000	0.0000	0.0000	0.0000			
49 D	10.52	0.000	93.60	52.60	93.60	52.60	V-C 1.8377E+04	-9.500	0.000
1.000	1.000	52.60	0.000	0.000	0.000	0.000	Ala_161_6590_L_0	0.0000	
0.0000	0.0000	0.0000	0.0000	0.0000	0.0000	0.0000			
50 D	11.13	0.000	95.50	53.67	95.50	53.67	V-C 1.8377E+04	-9.700	2.000
1.000	1.000	55.67	0.000	0.000	0.000	0.000	Ala_161_6590_L_0	0.0000	
0.0000	0.0000	0.0000	0.0000	0.0000	0.0000	0.0000			
51 D	11.75	0.000	97.40	54.74	97.40	54.74	V-C 1.8377E+04	-9.900	4.000
1.000	1.000	58.74	0.000	0.000	0.000	0.000	Ala_161_6590_L_0	0.0000	
0.0000	0.0000	0.0000	0.0000	0.0000	0.0000	0.0000			
52 D	12.36	0.000	99.30	55.81	99.30	55.81	V-C 1.8377E+04	-10.10	6.000
1.000	1.000	61.81	0.000	0.000	0.000	0.000	Ala_161_6590_L_0	0.0000	
0.0000	0.0000	0.0000	0.0000	0.0000	0.0000	0.0000			
53 D	12.97	0.000	101.2	56.87	101.2	56.87	V-C 1.8377E+04	-10.30	8.000
1.000	1.000	64.87	0.000	0.000	0.000	0.000	Ala_161_6590_L_0	0.0000	
0.0000	0.0000	0.0000	0.0000	0.0000	0.0000	0.0000			
54 D	13.59	0.000	103.1	57.94	103.1	57.94	V-C 1.8377E+04	-10.50	10.000
1.000	1.000	67.94	0.000	0.000	0.000	0.000	Ala_161_6590_L_0	0.0000	
0.0000	0.0000	0.0000	0.0000	0.0000	0.0000	0.0000			
55 D	14.20	0.000	105.0	59.01	105.0	59.01	V-C 1.8377E+04	-10.70	12.00
1.000	1.000	71.01	0.000	0.000	0.000	0.000	Ala_161_6590_L_0	0.0000	
0.0000	0.0000	0.0000	0.0000	0.0000	0.0000	0.0000			
56 D	14.82	0.000	106.9	60.08	106.9	60.08	V-C 1.8377E+04	-10.90	14.00
1.000	1.000	74.08	0.000	0.000	0.000	0.000	Ala_161_6590_L_0	0.0000	
0.0000	0.0000	0.0000	0.0000	0.0000	0.0000	0.0000			
57 D	15.43	0.000	108.8	61.15	108.8	61.15	V-C 1.8377E+04	-11.10	16.00
1.000	1.000	77.15	0.000	0.000	0.000	0.000	Ala_161_6590_L_0	0.0000	
0.0000	0.0000	0.0000	0.0000	0.0000	0.0000	0.0000			
58 D	16.04	0.000	110.7	62.21	110.7	62.21	V-C 1.8377E+04	-11.30	18.00
1.000	1.000	80.21	0.000	0.000	0.000	0.000	Ala_161_6590_L_0	0.0000	
0.0000	0.0000	0.0000	0.0000	0.0000	0.0000	0.0000			
59 D	16.66	0.000	112.6	63.28	112.6	63.28	V-C 1.8377E+04	-11.50	20.00
1.000	1.000	83.28	0.000	0.000	0.000	0.000	Ala_161_6590_L_0	0.0000	
0.0000	0.0000	0.0000	0.0000	0.0000	0.0000	0.0000			
60 D	17.27	0.000	114.5	64.35	114.5	64.35	V-C 1.8377E+04	-11.70	22.00
1.000	1.000	86.35	0.000	0.000	0.000	0.000	Ala_161_6590_L_0	0.0000	
0.0000	0.0000	0.0000	0.0000	0.0000	0.0000	0.0000			

61 D	17.88	0.000	116.4	65.42	116.4	65.42	V-C 1.8377E+04	-11.90	24.00
1.000	1.000	89.42	0.000	0.000	0.000	0.000	Ala_161_6590_L_0		0.0000
0.0000	0.0000	0.0000	0.0000	0.0000	0.0000	0.0000			
62 D	18.50	0.000	118.3	66.48	118.3	66.48	V-C 1.8377E+04	-12.10	26.00
1.000	1.000	92.48	0.000	0.000	0.000	0.000	Ala_161_6590_L_0		0.0000
0.0000	0.0000	0.0000	0.0000	0.0000	0.0000	0.0000			
63 D	19.11	0.000	120.2	67.55	120.2	67.55	V-C 1.8377E+04	-12.30	28.00
1.000	1.000	95.55	0.000	0.000	0.000	0.000	Ala_161_6590_L_0		0.0000
0.0000	0.0000	0.0000	0.0000	0.0000	0.0000	0.0000			
64 D	19.72	0.000	122.1	68.62	122.1	68.62	V-C 1.8377E+04	-12.50	30.00
1.000	1.000	98.62	0.000	0.000	0.000	0.000	Ala_161_6590_L_0		0.0000
0.0000	0.0000	0.0000	0.0000	0.0000	0.0000	0.0000			
65 D	20.34	0.000	124.0	69.69	124.0	69.69	V-C 1.8377E+04	-12.70	32.00
1.000	1.000	101.7	0.000	0.000	0.000	0.000	Ala_161_6590_L_0		0.0000
0.0000	0.0000	0.0000	0.0000	0.0000	0.0000	0.0000			
66 D	20.95	0.000	125.9	70.76	125.9	70.76	V-C 1.8377E+04	-12.90	34.00
1.000	1.000	104.8	0.000	0.000	0.000	0.000	Ala_161_6590_L_0		0.0000
0.0000	0.0000	0.0000	0.0000	0.0000	0.0000	0.0000			
67 D	21.56	0.000	127.8	71.82	127.8	71.82	V-C 1.8377E+04	-13.10	36.00
1.000	1.000	107.8	0.000	0.000	0.000	0.000	Ala_161_6590_L_0		0.0000
0.0000	0.0000	0.0000	0.0000	0.0000	0.0000	0.0000			
68 D	22.18	0.000	129.7	72.89	129.7	72.89	V-C 1.8377E+04	-13.30	38.00
1.000	1.000	110.9	0.000	0.000	0.000	0.000	Ala_161_6590_L_0		0.0000
0.0000	0.0000	0.0000	0.0000	0.0000	0.0000	0.0000			
69 D	22.79	0.000	131.6	73.96	131.6	73.96	V-C 1.8377E+04	-13.50	40.00
1.000	1.000	114.0	0.000	0.000	0.000	0.000	Ala_161_6590_L_0		0.0000
0.0000	0.0000	0.0000	0.0000	0.0000	0.0000	0.0000			
70 D	23.41	0.000	133.5	75.03	133.5	75.03	V-C 1.8377E+04	-13.70	42.00
1.000	1.000	117.0	0.000	0.000	0.000	0.000	Ala_161_6590_L_0		0.0000
0.0000	0.0000	0.0000	0.0000	0.0000	0.0000	0.0000			
71 D	24.02	0.000	135.4	76.09	135.4	76.09	V-C 1.8377E+04	-13.90	44.00
1.000	1.000	120.1	0.000	0.000	0.000	0.000	Ala_161_6590_L_0		0.0000
0.0000	0.0000	0.0000	0.0000	0.0000	0.0000	0.0000			
72 D	24.63	0.000	137.3	77.16	137.3	77.16	V-C 1.8377E+04	-14.10	46.00
1.000	1.000	123.2	0.000	0.000	0.000	0.000	Ala_161_6590_L_0		0.0000
0.0000	0.0000	0.0000	0.0000	0.0000	0.0000	0.0000			
73 D	25.25	0.000	139.2	78.23	139.2	78.23	V-C 1.8377E+04	-14.30	48.00
1.000	1.000	126.2	0.000	0.000	0.000	0.000	Ala_161_6590_L_0		0.0000
0.0000	0.0000	0.0000	0.0000	0.0000	0.0000	0.0000			
74 D	25.86	0.000	141.1	79.30	141.1	79.30	V-C 1.8377E+04	-14.50	50.00
1.000	1.000	129.3	0.000	0.000	0.000	0.000	Ala_161_6590_L_0		0.0000
0.0000	0.0000	0.0000	0.0000	0.0000	0.0000	0.0000			
75 D	26.47	0.000	143.0	80.37	143.0	80.37	V-C 1.8377E+04	-14.70	52.00
1.000	1.000	132.4	0.000	0.000	0.000	0.000	Ala_161_6590_L_0		0.0000
0.0000	0.0000	0.0000	0.0000	0.0000	0.0000	0.0000			
76 D	27.09	0.000	144.9	81.43	144.9	81.43	V-C 1.8377E+04	-14.90	54.00
1.000	1.000	135.4	0.000	0.000	0.000	0.000	Ala_161_6590_L_0		0.0000
0.0000	0.0000	0.0000	0.0000	0.0000	0.0000	0.0000			
77 D	27.70	0.000	146.8	82.50	146.8	82.50	V-C 1.8377E+04	-15.10	56.00
1.000	1.000	138.5	0.000	0.000	0.000	0.000	Ala_161_6590_L_0		0.0000
0.0000	0.0000	0.0000	0.0000	0.0000	0.0000	0.0000			
78 D	28.31	0.000	148.7	83.57	148.7	83.57	V-C 1.8377E+04	-15.30	58.00
1.000	1.000	141.6	0.000	0.000	0.000	0.000	Ala_161_6590_L_0		0.0000
0.0000	0.0000	0.0000	0.0000	0.0000	0.0000	0.0000			
79 D	28.93	0.000	150.6	84.64	150.6	84.64	V-C 1.8377E+04	-15.50	60.00
1.000	1.000	144.6	0.000	0.000	0.000	0.000	Ala_161_6590_L_0		0.0000
0.0000	0.0000	0.0000	0.0000	0.0000	0.0000	0.0000			
80 D	29.54	0.000	152.5	85.70	152.5	85.70	V-C 1.8377E+04	-15.70	62.00
1.000	1.000	147.7	0.000	0.000	0.000	0.000	Ala_161_6590_L_0		0.0000
0.0000	0.0000	0.0000	0.0000	0.0000	0.0000	0.0000			
81 D	30.15	0.000	154.4	86.77	154.4	86.77	V-C 1.8377E+04	-15.90	64.00
1.000	1.000	150.8	0.000	0.000	0.000	0.000	Ala_161_6590_L_0		0.0000
0.0000	0.0000	0.0000	0.0000	0.0000	0.0000	0.0000			
82 D	30.77	0.000	156.4	87.87	156.4	87.87	V-C 1.0300E+05	-16.10	66.00
1.000	1.000	153.9	0.000	0.000	0.000	0.000	Salt_21271_21259_L_0		0.0000
0.0000	0.0000	0.0000	0.0000	0.0000	0.0000	0.0000			
83 D	31.40	0.000	158.4	89.00	158.4	89.00	V-C 1.0300E+05	-16.30	68.00
1.000	1.000	157.0	0.000	0.000	0.000	0.000	Salt_21271_21259_L_0		0.0000
0.0000	0.0000	0.0000	0.0000	0.0000	0.0000	0.0000			
84 D	32.02	0.000	160.4	90.12	160.4	90.12	V-C 1.0300E+05	-16.50	70.00
1.000	1.000	160.1	0.000	0.000	0.000	0.000	Salt_21271_21259_L_0		0.0000
0.0000	0.0000	0.0000	0.0000	0.0000	0.0000	0.0000			
85 D	32.65	0.000	162.4	91.24	162.4	91.24	V-C 1.0300E+05	-16.70	72.00
1.000	1.000	163.2	0.000	0.000	0.000	0.000	Salt_21271_21259_L_0		0.0000
0.0000	0.0000	0.0000	0.0000	0.0000	0.0000	0.0000			
86 D	33.27	0.000	164.4	92.37	164.4	92.37	V-C 1.0300E+05	-16.90	74.00
1.000	1.000	166.4	0.000	0.000	0.000	0.000	Salt_21271_21259_L_0		0.0000
0.0000	0.0000	0.0000	0.0000	0.0000	0.0000	0.0000			
87 D	33.90	0.000	166.4	93.49	166.4	93.49	V-C 1.0300E+05	-17.10	76.00
1.000	1.000	169.5	0.000	0.000	0.000	0.000	Salt_21271_21259_L_0		0.0000
0.0000	0.0000	0.0000	0.0000	0.0000	0.0000	0.0000			
88 D	34.52	0.000	168.4	94.62	168.4	94.62	V-C 1.0300E+05	-17.30	78.00
1.000	1.000	172.6	0.000	0.000	0.000	0.000	Salt_21271_21259_L_0		0.0000
0.0000	0.0000	0.0000	0.0000	0.0000	0.0000	0.0000			
89 D	35.15	0.000	170.4	95.74	170.4	95.74	V-C 1.0300E+05	-17.50	80.00
1.000	1.000	175.7	0.000	0.000	0.000	0.000	Salt_21271_21259_L_0		0.0000
0.0000	0.0000	0.0000	0.0000	0.0000	0.0000	0.0000			
90 D	35.78	0.000	172.4	96.91	172.4	96.91	V-C 6.2950E+04	-17.70	82.00
1.000	1.000	178.9	0.000	0.000	0.000	0.000	Sch_21272_21260_L_0		0.0000
0.0000	0.0000	0.0000	0.0000	0.0000	0.0000	0.0000			
91 D	36.48	0.000	175.0	98.38	175.0	98.38	V-C 6.2950E+04	-17.90	84.00
1.000	1.000	182.4	0.000	0.000	0.000	0.000	Sch_21272_21260_L_0		0.0000

0.0000	0.0000	0.0000	0.0000	0.0000						
92 D	27.88	0.000	177.6	99.84	177.6	99.84	V-C 6.2950E+04	-18.10	86.00	
1.000	1.000	185.8	0.000	0.000	0.000	0.000	Sch_21272_21260_L_0		0.0000	
0.0000	0.0000	0.0000	0.0000	0.0000						
93 D	9.378	0.000	178.9	100.6	178.9	100.6	V-C 6.2950E+04	-18.20	87.00	
1.000	1.000	187.6	0.000	0.000	0.000	0.000	Sch_21272_21260_L_0		0.0000	
0.0000	0.0000	0.0000	0.0000	0.0000						

```

+-----+
|                PARATIEPLUS(TM)  NLS ENGINE RELEASE  2022.0.0  FULL VERSION  *Build date:Sep 13, 2021*                |
|                                                                                                                                           |
|                                                                                               ParatiePlus                               |
|                                                                                               Exe Time :28 January 2022  11:11:19                               |
+-----+

```

New Project

S T R E S S R E S U L T S F O R G R O U P N O . 2

O_R :
ELEMENT TYPE 5 NO.OF ELEMENTS. IN THIS GROUP 93
C U R R E N T T I M E I S 1.0000 SUBINCREMENT 00001/00001

HARDENING 2D SOIL ELEMENT

***** TOTAL STRESS FORMULATION *****

EL * TOR QSL	FORCE UFACTOR ZD	DISPL-Y Peq ZPL	VERTICAL-P Su_a Kz	HORIZON.-P Su_p	MAX-V-P Coh_e_a	MAX-H-P Coh_e_p	STATE LAYER	STIFFNESS	Z-LEVEL	PORE ZFO	E FAC- QS
1	0.000	--	--	--	--	--	REMOVED	--	0.000	0.000	
1.000	1.000	0.000	0.000	0.000	0.000	0.000	not available				
2	0.000	--	--	--	--	--	REMOVED	--	-0.2000	0.000	
1.000	1.000	0.000	0.000	0.000	0.000	0.000	not available				
3	0.000	--	--	--	--	--	REMOVED	--	-0.4000	0.000	
1.000	1.000	0.000	0.000	0.000	0.000	0.000	not available				
4	0.000	--	--	--	--	--	REMOVED	--	-0.6000	0.000	
1.000	1.000	0.000	0.000	0.000	0.000	0.000	not available				
5	0.000	--	--	--	--	--	REMOVED	--	-0.8000	0.000	
1.000	1.000	0.000	0.000	0.000	0.000	0.000	not available				
6	0.000	--	--	--	--	--	REMOVED	--	-1.000	0.000	
1.000	1.000	0.000	0.000	0.000	0.000	0.000	not available				
7	0.000	--	--	--	--	--	REMOVED	--	-1.200	0.000	
1.000	1.000	0.000	0.000	0.000	0.000	0.000	not available				
8	0.000	--	--	--	--	--	REMOVED	--	-1.400	0.000	
1.000	1.000	0.000	0.000	0.000	0.000	0.000	not available				
9	0.000	--	--	--	--	--	REMOVED	--	-1.600	0.000	
1.000	1.000	0.000	0.000	0.000	0.000	0.000	not available				
10	0.000	--	--	--	--	--	REMOVED	--	-1.800	0.000	
1.000	1.000	0.000	0.000	0.000	0.000	0.000	not available				
11	0.000	--	--	--	--	--	REMOVED	--	-2.000	0.000	
1.000	1.000	0.000	0.000	0.000	0.000	0.000	not available				
12	0.000	--	--	--	--	--	REMOVED	--	-2.200	0.000	
1.000	1.000	0.000	0.000	0.000	0.000	0.000	not available				
13	0.000	--	--	--	--	--	REMOVED	--	-2.400	0.000	
1.000	1.000	0.000	0.000	0.000	0.000	0.000	not available				
14	0.000	--	--	--	--	--	REMOVED	--	-2.600	0.000	
1.000	1.000	0.000	0.000	0.000	0.000	0.000	not available				
15	0.000	--	--	--	--	--	REMOVED	--	-2.800	0.000	
1.000	1.000	0.000	0.000	0.000	0.000	0.000	not available				
16	0.000	--	--	--	--	--	REMOVED	--	-3.000	0.000	
1.000	1.000	0.000	0.000	0.000	0.000	0.000	not available				
17	0.000	--	--	--	--	--	REMOVED	--	-3.200	0.000	
1.000	1.000	0.000	0.000	0.000	0.000	0.000	not available				
18	0.000	--	--	--	--	--	REMOVED	--	-3.400	0.000	
1.000	1.000	0.000	0.000	0.000	0.000	0.000	not available				
19	0.000	--	--	--	--	--	REMOVED	--	-3.600	0.000	
1.000	1.000	0.000	0.000	0.000	0.000	0.000	not available				
20	0.000	--	--	--	--	--	REMOVED	--	-3.800	0.000	
1.000	1.000	0.000	0.000	0.000	0.000	0.000	not available				
21	0.000	--	--	--	--	--	REMOVED	--	-4.000	0.000	
1.000	1.000	0.000	0.000	0.000	0.000	0.000	not available				
22	0.000	--	--	--	--	--	REMOVED	--	-4.200	0.000	
1.000	1.000	0.000	0.000	0.000	0.000	0.000	not available				
23	0.000	--	--	--	--	--	REMOVED	--	-4.400	0.000	
1.000	1.000	0.000	0.000	0.000	0.000	0.000	not available				
24	0.000	--	--	--	--	--	REMOVED	--	-4.600	0.000	
1.000	1.000	0.000	0.000	0.000	0.000	0.000	not available				
25 D	0.000	0.000	0.000	0.000	0.000	0.000	V-C 2.2640E+04		-4.700	0.000	
1.000	1.000	0.000	0.000	0.000	0.000	0.000	Ala_161_6590_L_0			0.0000	
0.0000	0.0000	0.0000	0.0000	0.0000	0.0000	0.0000					
26 D	0.4384	0.000	3.900	2.192	3.900	2.192	V-C 2.2640E+04		-4.900	0.000	
1.000	1.000	2.192	0.000	0.000	0.000	0.000	Ala_161_6590_L_0			0.0000	
0.0000	0.0000	0.0000	0.0000	0.0000	0.0000	0.0000					
27 D	0.8767	0.000	7.800	4.384	7.800	4.384	V-C 2.2640E+04		-5.100	0.000	
1.000	1.000	4.384	0.000	0.000	0.000	0.000	Ala_161_6590_L_0			0.0000	
0.0000	0.0000	0.0000	0.0000	0.0000	0.0000	0.0000					
28 D	1.315	0.000	11.70	6.575	11.70	6.575	V-C 2.2640E+04		-5.300	0.000	
1.000	1.000	6.575	0.000	0.000	0.000	0.000	Ala_161_6590_L_0			0.0000	
0.0000	0.0000	0.0000	0.0000	0.0000	0.0000	0.0000					
29 D	1.753	0.000	15.60	8.767	15.60	8.767	V-C 2.2640E+04		-5.500	0.000	
1.000	1.000	8.767	0.000	0.000	0.000	0.000	Ala_161_6590_L_0			0.0000	
0.0000	0.0000	0.0000	0.0000	0.0000	0.0000	0.0000					
30 D	2.192	0.000	19.50	10.96	19.50	10.96	V-C 2.2640E+04		-5.700	0.000	

1.000	1.000	10.96	0.000	0.000	0.000	0.000	Ala_161_6590_L_0	0.0000	
0.0000	0.0000	0.0000	0.0000	0.0000	0.0000	0.0000			
31 D	2.630	0.000	23.40	13.15	23.40	13.15	V-C 2.2640E+04	-5.900	0.000
1.000	1.000	13.15	0.000	0.000	0.000	0.000	Ala_161_6590_L_0	0.0000	0.0000
0.0000	0.0000	0.0000	0.0000	0.0000	0.0000	0.0000			
32 D	3.069	0.000	27.30	15.34	27.30	15.34	V-C 2.2640E+04	-6.100	0.000
1.000	1.000	15.34	0.000	0.000	0.000	0.000	Ala_161_6590_L_0	0.0000	0.0000
0.0000	0.0000	0.0000	0.0000	0.0000	0.0000	0.0000			
33 D	3.507	0.000	31.20	17.53	31.20	17.53	V-C 2.2640E+04	-6.300	0.000
1.000	1.000	17.53	0.000	0.000	0.000	0.000	Ala_161_6590_L_0	0.0000	0.0000
0.0000	0.0000	0.0000	0.0000	0.0000	0.0000	0.0000			
34 D	3.945	0.000	35.10	19.73	35.10	19.73	V-C 2.2640E+04	-6.500	0.000
1.000	1.000	19.73	0.000	0.000	0.000	0.000	Ala_161_6590_L_0	0.0000	0.0000
0.0000	0.0000	0.0000	0.0000	0.0000	0.0000	0.0000			
35 D	4.384	0.000	39.00	21.92	39.00	21.92	V-C 2.2640E+04	-6.700	0.000
1.000	1.000	21.92	0.000	0.000	0.000	0.000	Ala_161_6590_L_0	0.0000	0.0000
0.0000	0.0000	0.0000	0.0000	0.0000	0.0000	0.0000			
36 D	4.822	0.000	42.90	24.11	42.90	24.11	V-C 2.2640E+04	-6.900	0.000
1.000	1.000	24.11	0.000	0.000	0.000	0.000	Ala_161_6590_L_0	0.0000	0.0000
0.0000	0.0000	0.0000	0.0000	0.0000	0.0000	0.0000			
37 D	5.260	0.000	46.80	26.30	46.80	26.30	V-C 2.2640E+04	-7.100	0.000
1.000	1.000	26.30	0.000	0.000	0.000	0.000	Ala_161_6590_L_0	0.0000	0.0000
0.0000	0.0000	0.0000	0.0000	0.0000	0.0000	0.0000			
38 D	5.699	0.000	50.70	28.49	50.70	28.49	V-C 2.2640E+04	-7.300	0.000
1.000	1.000	28.49	0.000	0.000	0.000	0.000	Ala_161_6590_L_0	0.0000	0.0000
0.0000	0.0000	0.0000	0.0000	0.0000	0.0000	0.0000			
39 D	6.137	0.000	54.60	30.69	54.60	30.69	V-C 2.2640E+04	-7.500	0.000
1.000	1.000	30.69	0.000	0.000	0.000	0.000	Ala_161_6590_L_0	0.0000	0.0000
0.0000	0.0000	0.0000	0.0000	0.0000	0.0000	0.0000			
40 D	6.575	0.000	58.50	32.88	58.50	32.88	V-C 2.2640E+04	-7.700	0.000
1.000	1.000	32.88	0.000	0.000	0.000	0.000	Ala_161_6590_L_0	0.0000	0.0000
0.0000	0.0000	0.0000	0.0000	0.0000	0.0000	0.0000			
41 D	7.014	0.000	62.40	35.07	62.40	35.07	V-C 2.2640E+04	-7.900	0.000
1.000	1.000	35.07	0.000	0.000	0.000	0.000	Ala_161_6590_L_0	0.0000	0.0000
0.0000	0.0000	0.0000	0.0000	0.0000	0.0000	0.0000			
42 D	7.452	0.000	66.30	37.26	66.30	37.26	V-C 2.2640E+04	-8.100	0.000
1.000	1.000	37.26	0.000	0.000	0.000	0.000	Ala_161_6590_L_0	0.0000	0.0000
0.0000	0.0000	0.0000	0.0000	0.0000	0.0000	0.0000			
43 D	7.890	0.000	70.20	39.45	70.20	39.45	V-C 2.2640E+04	-8.300	0.000
1.000	1.000	39.45	0.000	0.000	0.000	0.000	Ala_161_6590_L_0	0.0000	0.0000
0.0000	0.0000	0.0000	0.0000	0.0000	0.0000	0.0000			
44 D	8.329	0.000	74.10	41.64	74.10	41.64	V-C 2.2640E+04	-8.500	0.000
1.000	1.000	41.64	0.000	0.000	0.000	0.000	Ala_161_6590_L_0	0.0000	0.0000
0.0000	0.0000	0.0000	0.0000	0.0000	0.0000	0.0000			
45 D	8.767	0.000	78.00	43.84	78.00	43.84	V-C 2.2640E+04	-8.700	0.000
1.000	1.000	43.84	0.000	0.000	0.000	0.000	Ala_161_6590_L_0	0.0000	0.0000
0.0000	0.0000	0.0000	0.0000	0.0000	0.0000	0.0000			
46 D	9.206	0.000	81.90	46.03	81.90	46.03	V-C 2.2640E+04	-8.900	0.000
1.000	1.000	46.03	0.000	0.000	0.000	0.000	Ala_161_6590_L_0	0.0000	0.0000
0.0000	0.0000	0.0000	0.0000	0.0000	0.0000	0.0000			
47 D	9.644	0.000	85.80	48.22	85.80	48.22	V-C 2.2640E+04	-9.100	0.000
1.000	1.000	48.22	0.000	0.000	0.000	0.000	Ala_161_6590_L_0	0.0000	0.0000
0.0000	0.0000	0.0000	0.0000	0.0000	0.0000	0.0000			
48 D	10.08	0.000	89.70	50.41	89.70	50.41	V-C 2.2640E+04	-9.300	0.000
1.000	1.000	50.41	0.000	0.000	0.000	0.000	Ala_161_6590_L_0	0.0000	0.0000
0.0000	0.0000	0.0000	0.0000	0.0000	0.0000	0.0000			
49 D	10.52	0.000	93.60	52.60	93.60	52.60	V-C 2.2640E+04	-9.500	0.000
1.000	1.000	52.60	0.000	0.000	0.000	0.000	Ala_161_6590_L_0	0.0000	0.0000
0.0000	0.0000	0.0000	0.0000	0.0000	0.0000	0.0000			
50 D	11.13	0.000	95.50	53.67	95.50	53.67	V-C 2.2640E+04	-9.700	2.000
1.000	1.000	55.67	0.000	0.000	0.000	0.000	Ala_161_6590_L_0	0.0000	0.0000
0.0000	0.0000	0.0000	0.0000	0.0000	0.0000	0.0000			
51 D	11.75	0.000	97.40	54.74	97.40	54.74	V-C 2.2640E+04	-9.900	4.000
1.000	1.000	58.74	0.000	0.000	0.000	0.000	Ala_161_6590_L_0	0.0000	0.0000
0.0000	0.0000	0.0000	0.0000	0.0000	0.0000	0.0000			
52 D	12.36	0.000	99.30	55.81	99.30	55.81	V-C 2.2640E+04	-10.10	6.000
1.000	1.000	61.81	0.000	0.000	0.000	0.000	Ala_161_6590_L_0	0.0000	0.0000
0.0000	0.0000	0.0000	0.0000	0.0000	0.0000	0.0000			
53 D	12.97	0.000	101.2	56.87	101.2	56.87	V-C 2.2640E+04	-10.30	8.000
1.000	1.000	64.87	0.000	0.000	0.000	0.000	Ala_161_6590_L_0	0.0000	0.0000
0.0000	0.0000	0.0000	0.0000	0.0000	0.0000	0.0000			
54 D	13.59	0.000	103.1	57.94	103.1	57.94	V-C 2.2640E+04	-10.50	10.000
1.000	1.000	67.94	0.000	0.000	0.000	0.000	Ala_161_6590_L_0	0.0000	0.0000
0.0000	0.0000	0.0000	0.0000	0.0000	0.0000	0.0000			
55 D	14.20	0.000	105.0	59.01	105.0	59.01	V-C 2.2640E+04	-10.70	12.00
1.000	1.000	71.01	0.000	0.000	0.000	0.000	Ala_161_6590_L_0	0.0000	0.0000
0.0000	0.0000	0.0000	0.0000	0.0000	0.0000	0.0000			
56 D	14.82	0.000	106.9	60.08	106.9	60.08	V-C 2.2640E+04	-10.90	14.00
1.000	1.000	74.08	0.000	0.000	0.000	0.000	Ala_161_6590_L_0	0.0000	0.0000
0.0000	0.0000	0.0000	0.0000	0.0000	0.0000	0.0000			
57 D	15.43	0.000	108.8	61.15	108.8	61.15	V-C 2.2640E+04	-11.10	16.00
1.000	1.000	77.15	0.000	0.000	0.000	0.000	Ala_161_6590_L_0	0.0000	0.0000
0.0000	0.0000	0.0000	0.0000	0.0000	0.0000	0.0000			
58 D	16.04	0.000	110.7	62.21	110.7	62.21	V-C 2.2640E+04	-11.30	18.00
1.000	1.000	80.21	0.000	0.000	0.000	0.000	Ala_161_6590_L_0	0.0000	0.0000
0.0000	0.0000	0.0000	0.0000	0.0000	0.0000	0.0000			
59 D	16.66	0.000	112.6	63.28	112.6	63.28	V-C 2.2640E+04	-11.50	20.00
1.000	1.000	83.28	0.000	0.000	0.000	0.000	Ala_161_6590_L_0	0.0000	0.0000
0.0000	0.0000	0.0000	0.0000	0.0000	0.0000	0.0000			
60 D	17.27	0.000	114.5	64.35	114.5	64.35	V-C 2.2640E+04	-11.70	22.00
1.000	1.000	86.35	0.000	0.000	0.000	0.000	Ala_161_6590_L_0	0.0000	0.0000
0.0000	0.0000	0.0000	0.0000	0.0000	0.0000	0.0000			

61 D	17.88	0.000	116.4	65.42	116.4	65.42	V-C 2.2640E+04	-11.90	24.00
1.000	1.000	89.42	0.000	0.000	0.000	0.000	Ala_161_6590_L_0		0.0000
0.0000	0.0000	0.0000	0.0000	0.0000	0.0000	0.0000			
62 D	18.50	0.000	118.3	66.48	118.3	66.48	V-C 2.2640E+04	-12.10	26.00
1.000	1.000	92.48	0.000	0.000	0.000	0.000	Ala_161_6590_L_0		0.0000
0.0000	0.0000	0.0000	0.0000	0.0000	0.0000	0.0000			
63 D	19.11	0.000	120.2	67.55	120.2	67.55	V-C 2.2640E+04	-12.30	28.00
1.000	1.000	95.55	0.000	0.000	0.000	0.000	Ala_161_6590_L_0		0.0000
0.0000	0.0000	0.0000	0.0000	0.0000	0.0000	0.0000			
64 D	19.72	0.000	122.1	68.62	122.1	68.62	V-C 2.2640E+04	-12.50	30.00
1.000	1.000	98.62	0.000	0.000	0.000	0.000	Ala_161_6590_L_0		0.0000
0.0000	0.0000	0.0000	0.0000	0.0000	0.0000	0.0000			
65 D	20.34	0.000	124.0	69.69	124.0	69.69	V-C 2.2640E+04	-12.70	32.00
1.000	1.000	101.7	0.000	0.000	0.000	0.000	Ala_161_6590_L_0		0.0000
0.0000	0.0000	0.0000	0.0000	0.0000	0.0000	0.0000			
66 D	20.95	0.000	125.9	70.76	125.9	70.76	V-C 2.2640E+04	-12.90	34.00
1.000	1.000	104.8	0.000	0.000	0.000	0.000	Ala_161_6590_L_0		0.0000
0.0000	0.0000	0.0000	0.0000	0.0000	0.0000	0.0000			
67 D	21.56	0.000	127.8	71.82	127.8	71.82	V-C 2.2640E+04	-13.10	36.00
1.000	1.000	107.8	0.000	0.000	0.000	0.000	Ala_161_6590_L_0		0.0000
0.0000	0.0000	0.0000	0.0000	0.0000	0.0000	0.0000			
68 D	22.18	0.000	129.7	72.89	129.7	72.89	V-C 2.2640E+04	-13.30	38.00
1.000	1.000	110.9	0.000	0.000	0.000	0.000	Ala_161_6590_L_0		0.0000
0.0000	0.0000	0.0000	0.0000	0.0000	0.0000	0.0000			
69 D	22.79	0.000	131.6	73.96	131.6	73.96	V-C 2.2640E+04	-13.50	40.00
1.000	1.000	114.0	0.000	0.000	0.000	0.000	Ala_161_6590_L_0		0.0000
0.0000	0.0000	0.0000	0.0000	0.0000	0.0000	0.0000			
70 D	23.41	0.000	133.5	75.03	133.5	75.03	V-C 2.2640E+04	-13.70	42.00
1.000	1.000	117.0	0.000	0.000	0.000	0.000	Ala_161_6590_L_0		0.0000
0.0000	0.0000	0.0000	0.0000	0.0000	0.0000	0.0000			
71 D	24.02	0.000	135.4	76.09	135.4	76.09	V-C 2.2640E+04	-13.90	44.00
1.000	1.000	120.1	0.000	0.000	0.000	0.000	Ala_161_6590_L_0		0.0000
0.0000	0.0000	0.0000	0.0000	0.0000	0.0000	0.0000			
72 D	24.63	0.000	137.3	77.16	137.3	77.16	V-C 2.2640E+04	-14.10	46.00
1.000	1.000	123.2	0.000	0.000	0.000	0.000	Ala_161_6590_L_0		0.0000
0.0000	0.0000	0.0000	0.0000	0.0000	0.0000	0.0000			
73 D	25.25	0.000	139.2	78.23	139.2	78.23	V-C 2.2640E+04	-14.30	48.00
1.000	1.000	126.2	0.000	0.000	0.000	0.000	Ala_161_6590_L_0		0.0000
0.0000	0.0000	0.0000	0.0000	0.0000	0.0000	0.0000			
74 D	25.86	0.000	141.1	79.30	141.1	79.30	V-C 2.2640E+04	-14.50	50.00
1.000	1.000	129.3	0.000	0.000	0.000	0.000	Ala_161_6590_L_0		0.0000
0.0000	0.0000	0.0000	0.0000	0.0000	0.0000	0.0000			
75 D	26.47	0.000	143.0	80.37	143.0	80.37	V-C 2.2640E+04	-14.70	52.00
1.000	1.000	132.4	0.000	0.000	0.000	0.000	Ala_161_6590_L_0		0.0000
0.0000	0.0000	0.0000	0.0000	0.0000	0.0000	0.0000			
76 D	27.09	0.000	144.9	81.43	144.9	81.43	V-C 2.2640E+04	-14.90	54.00
1.000	1.000	135.4	0.000	0.000	0.000	0.000	Ala_161_6590_L_0		0.0000
0.0000	0.0000	0.0000	0.0000	0.0000	0.0000	0.0000			
77 D	27.70	0.000	146.8	82.50	146.8	82.50	V-C 2.2640E+04	-15.10	56.00
1.000	1.000	138.5	0.000	0.000	0.000	0.000	Ala_161_6590_L_0		0.0000
0.0000	0.0000	0.0000	0.0000	0.0000	0.0000	0.0000			
78 D	28.31	0.000	148.7	83.57	148.7	83.57	V-C 2.2640E+04	-15.30	58.00
1.000	1.000	141.6	0.000	0.000	0.000	0.000	Ala_161_6590_L_0		0.0000
0.0000	0.0000	0.0000	0.0000	0.0000	0.0000	0.0000			
79 D	28.93	0.000	150.6	84.64	150.6	84.64	V-C 2.2640E+04	-15.50	60.00
1.000	1.000	144.6	0.000	0.000	0.000	0.000	Ala_161_6590_L_0		0.0000
0.0000	0.0000	0.0000	0.0000	0.0000	0.0000	0.0000			
80 D	29.54	0.000	152.5	85.70	152.5	85.70	V-C 2.2640E+04	-15.70	62.00
1.000	1.000	147.7	0.000	0.000	0.000	0.000	Ala_161_6590_L_0		0.0000
0.0000	0.0000	0.0000	0.0000	0.0000	0.0000	0.0000			
81 D	30.15	0.000	154.4	86.77	154.4	86.77	V-C 2.2640E+04	-15.90	64.00
1.000	1.000	150.8	0.000	0.000	0.000	0.000	Ala_161_6590_L_0		0.0000
0.0000	0.0000	0.0000	0.0000	0.0000	0.0000	0.0000			
82 D	30.77	0.000	156.4	87.87	156.4	87.87	V-C 1.3190E+05	-16.10	66.00
1.000	1.000	153.9	0.000	0.000	0.000	0.000	Salt_21271_21259_L_0		0.0000
0.0000	0.0000	0.0000	0.0000	0.0000	0.0000	0.0000			
83 D	31.40	0.000	158.4	89.00	158.4	89.00	V-C 1.3190E+05	-16.30	68.00
1.000	1.000	157.0	0.000	0.000	0.000	0.000	Salt_21271_21259_L_0		0.0000
0.0000	0.0000	0.0000	0.0000	0.0000	0.0000	0.0000			
84 D	32.02	0.000	160.4	90.12	160.4	90.12	V-C 1.3190E+05	-16.50	70.00
1.000	1.000	160.1	0.000	0.000	0.000	0.000	Salt_21271_21259_L_0		0.0000
0.0000	0.0000	0.0000	0.0000	0.0000	0.0000	0.0000			
85 D	32.65	0.000	162.4	91.24	162.4	91.24	V-C 1.3190E+05	-16.70	72.00
1.000	1.000	163.2	0.000	0.000	0.000	0.000	Salt_21271_21259_L_0		0.0000
0.0000	0.0000	0.0000	0.0000	0.0000	0.0000	0.0000			
86 D	33.27	0.000	164.4	92.37	164.4	92.37	V-C 1.3190E+05	-16.90	74.00
1.000	1.000	166.4	0.000	0.000	0.000	0.000	Salt_21271_21259_L_0		0.0000
0.0000	0.0000	0.0000	0.0000	0.0000	0.0000	0.0000			
87 D	33.90	0.000	166.4	93.49	166.4	93.49	V-C 1.3190E+05	-17.10	76.00
1.000	1.000	169.5	0.000	0.000	0.000	0.000	Salt_21271_21259_L_0		0.0000
0.0000	0.0000	0.0000	0.0000	0.0000	0.0000	0.0000			
88 D	34.52	0.000	168.4	94.62	168.4	94.62	V-C 1.3190E+05	-17.30	78.00
1.000	1.000	172.6	0.000	0.000	0.000	0.000	Salt_21271_21259_L_0		0.0000
0.0000	0.0000	0.0000	0.0000	0.0000	0.0000	0.0000			
89 D	35.15	0.000	170.4	95.74	170.4	95.74	V-C 1.3190E+05	-17.50	80.00
1.000	1.000	175.7	0.000	0.000	0.000	0.000	Salt_21271_21259_L_0		0.0000
0.0000	0.0000	0.0000	0.0000	0.0000	0.0000	0.0000			
90 D	35.78	0.000	172.4	96.91	172.4	96.91	V-C 9.8329E+04	-17.70	82.00
1.000	1.000	178.9	0.000	0.000	0.000	0.000	Sch_21272_21260_L_0		0.0000
0.0000	0.0000	0.0000	0.0000	0.0000	0.0000	0.0000			
91 D	36.48	0.000	175.0	98.38	175.0	98.38	V-C 9.8329E+04	-17.90	84.00
1.000	1.000	182.4	0.000	0.000	0.000	0.000	Sch_21272_21260_L_0		0.0000

0.0000	0.0000	0.0000	0.0000	0.0000						
92 D	27.88	0.000	177.6	99.84	177.6	99.84	V-C 9.8329E+04	-18.10	86.00	
1.000	1.000	185.8	0.000	0.000	0.000	0.000	Sch_21272_21260_L_0		0.0000	
0.0000	0.0000	0.0000	0.0000	0.0000						
93 D	9.378	0.000	178.9	100.6	178.9	100.6	V-C 9.8329E+04	-18.20	87.00	
1.000	1.000	187.6	0.000	0.000	0.000	0.000	Sch_21272_21260_L_0		0.0000	
0.0000	0.0000	0.0000	0.0000	0.0000						

```
+-----+
|          PARATIEPLUS(TM)  NLS ENGINE RELEASE  2022.0.0  FULL VERSION  *Build date:Sep 13, 2021*  |
|                                                                                               |
|                                                                                               |
|                               ParatiePlus                                                    |
|                               Exe Time :28 January 2022  11:11:19                            |
+-----+
```

New Project

S T R E S S R E S U L T S F O R G R O U P N O . 3

pali15001.7_33 :
ELEMENT TYPE 2 NO.OF ELEMENTS. IN THIS GROUP 68
C U R R E N T T I M E I S 1.0000 SUBINCREMENT 00001/00001

WALL2D ELEMENT

EL TA TB MA MB

***** NO ONE ELEMENT ACTIVE AT CURRENT STEP *****

```

+-----+
|          PARATIEPLUS(TM)  NLS ENGINE RELEASE 2022.0.0  FULL VERSION  *Build date:Sep 13, 2021*          |
|                                                                                                                                            |
|                                                                                               ParatiePlus                               |
|                                                                                               Exe Time :28 January 2022   11:11:19          |
+-----+

```

New Project

S T R E S S R E S U L T S F O R G R O U P N O . 4

muro71cm_4658 :
ELEMENT TYPE 2 NO.OF ELEMENTS. IN THIS GROUP 24
C U R R E N T T I M E I S 1.0000 SUBINCREMENT 00001/00001

WALL2D ELEMENT

EL TA TB MA MB

***** NO ONE ELEMENT ACTIVE AT CURRENT STEP *****

```

ITER   0  RNORM = 0.000   RMNORM= 0.000
      RINORM=0.5558E+05 RIMNOR= 0.000
      RENORM= 0.000   REMNOR= 0.000   RATIO = 0.000   TOLER =0.1000E-03   CONVERGED !
      RFMAX = 36.48   RMMAX = 0.000
      RTSMAL=0.1000E-03 RMSMAL= 0.000
      RDT   =0.5558E+05 RDR   = 0.000
      RATIOT= 0.000   RATIOOR= 0.000
      MAX UN= 0.000   IEQ=   186 NODE   93 DOF   2   X-ROT. F
      MIN UN= 0.000   IEQ=   1 NODE   1 DOF   1   Y-DISPL.F
      NO. OF CONTACT CONSTRAINT VIOLATIONS   0

```

```

ITER   1  RNORM = 0.000   RMNORM= 0.000
      RINORM=0.5558E+05 RIMNOR= 0.000
      RENORM= 0.000   REMNOR= 0.000   RATIO = 0.000   TOLER =0.1000E-03   CONVERGED !
      RFMAX = 36.48   RMMAX = 0.000
      RTSMAL=0.1000E-03 RMSMAL= 0.000
      RDT   =0.5558E+05 RDR   = 0.000
      RATIOT= 0.000   RATIOOR= 0.000
      MAX UN= 0.000   IEQ=   186 NODE   93 DOF   2   X-ROT. F
      MIN UN= 0.000   IEQ=   1 NODE   1 DOF   1   Y-DISPL.F
      NO. OF CONTACT CONSTRAINT VIOLATIONS   0

```

```

ITER   2  RNORM = 0.000   RMNORM= 0.000
      RINORM=0.5558E+05 RIMNOR= 0.000
      RENORM= 0.000   REMNOR= 0.000   RATIO = 0.000   TOLER =0.1000E-03   CONVERGED !
      RFMAX = 36.48   RMMAX = 0.000
      RTSMAL=0.1000E-03 RMSMAL= 0.000
      RDT   =0.5558E+05 RDR   = 0.000
      RATIOT= 0.000   RATIOOR= 0.000
      MAX UN= 0.000   IEQ=   186 NODE   93 DOF   2   X-ROT. F
      MIN UN= 0.000   IEQ=   1 NODE   1 DOF   1   Y-DISPL.F
      NO. OF CONTACT CONSTRAINT VIOLATIONS   0

```

```
+-----+
|          PARATIEPLUS(TM)  NLS ENGINE RELEASE  2022.0.0  FULL VERSION  *Build date:Sep 13, 2021*  |
|                                                                                               |
|                                                                                               |
|                               ParatiePlus                                                    |
|                               Exe Time :28 January 2022  11:11:19                            |
+-----+
```

New Project
SOLUTION REACHED USING 2 ITERATIONS ON 40

P R I N T O U T F O R T I M E S T E P 2 (AT TIME 2.000) SUBINCREMENT 00001/00001

PRINT OUT OF ACTIVE COMPONENTS (FIXED NODES ARE NOT PRINTED OUT)

Y-DISPL.F	X-ROT. F
02	04

ALL NODAL POINTS HAVE ZERO DISPLACEMENT COMPONENTS

```

+-----+
|                PARATIEPLUS(TM)  NLS ENGINE RELEASE  2022.0.0  FULL VERSION  *Build date:Sep 13, 2021*                |
|                                                                                                                                            |
|                                                                                               ParatiePlus                               |
|                                                                                               Exe Time :28 January 2022   11:11:19                               |
+-----+

```

New Project

S T R E S S R E S U L T S F O R G R O U P N O . 1

0_L :
ELEMENT TYPE 5 NO.OF ELEMENTS. IN THIS GROUP 93
C U R R E N T T I M E I S 2.0000 SUBINCREMENT 00001/00001

HARDENING 2D SOIL ELEMENT

***** TOTAL STRESS FORMULATION *****

EL * TOR QSL	FORCE UFACTOR ZD	DISPL-Y Peq ZPL	VERTICAL-P Su_a Kz	HORIZON.-P Su_p	MAX-V-P Coh_e_a	MAX-H-P Coh_e_p	STATE LAYER	STIFFNESS	Z-LEVEL	PORE ZFO	E FAC- QS
1	0.000	--	--	--	--	--	REMOVED	--	0.000	0.000	
1.000	1.000	0.000	0.000	0.000	0.000	0.000	not available				
2	0.000	--	--	--	--	--	REMOVED	--	-0.2000	0.000	
1.000	1.000	0.000	0.000	0.000	0.000	0.000	not available				
3	0.000	--	--	--	--	--	REMOVED	--	-0.4000	0.000	
1.000	1.000	0.000	0.000	0.000	0.000	0.000	not available				
4	0.000	--	--	--	--	--	REMOVED	--	-0.6000	0.000	
1.000	1.000	0.000	0.000	0.000	0.000	0.000	not available				
5	0.000	--	--	--	--	--	REMOVED	--	-0.8000	0.000	
1.000	1.000	0.000	0.000	0.000	0.000	0.000	not available				
6	0.000	--	--	--	--	--	REMOVED	--	-1.000	0.000	
1.000	1.000	0.000	0.000	0.000	0.000	0.000	not available				
7	0.000	--	--	--	--	--	REMOVED	--	-1.200	0.000	
1.000	1.000	0.000	0.000	0.000	0.000	0.000	not available				
8	0.000	--	--	--	--	--	REMOVED	--	-1.400	0.000	
1.000	1.000	0.000	0.000	0.000	0.000	0.000	not available				
9	0.000	--	--	--	--	--	REMOVED	--	-1.600	0.000	
1.000	1.000	0.000	0.000	0.000	0.000	0.000	not available				
10	0.000	--	--	--	--	--	REMOVED	--	-1.800	0.000	
1.000	1.000	0.000	0.000	0.000	0.000	0.000	not available				
11	0.000	--	--	--	--	--	REMOVED	--	-2.000	0.000	
1.000	1.000	0.000	0.000	0.000	0.000	0.000	not available				
12	0.000	--	--	--	--	--	REMOVED	--	-2.200	0.000	
1.000	1.000	0.000	0.000	0.000	0.000	0.000	not available				
13	0.000	--	--	--	--	--	REMOVED	--	-2.400	0.000	
1.000	1.000	0.000	0.000	0.000	0.000	0.000	not available				
14	0.000	--	--	--	--	--	REMOVED	--	-2.600	0.000	
1.000	1.000	0.000	0.000	0.000	0.000	0.000	not available				
15	0.000	--	--	--	--	--	REMOVED	--	-2.800	0.000	
1.000	1.000	0.000	0.000	0.000	0.000	0.000	not available				
16	0.000	--	--	--	--	--	REMOVED	--	-3.000	0.000	
1.000	1.000	0.000	0.000	0.000	0.000	0.000	not available				
17	0.000	--	--	--	--	--	REMOVED	--	-3.200	0.000	
1.000	1.000	0.000	0.000	0.000	0.000	0.000	not available				
18	0.000	--	--	--	--	--	REMOVED	--	-3.400	0.000	
1.000	1.000	0.000	0.000	0.000	0.000	0.000	not available				
19	0.000	--	--	--	--	--	REMOVED	--	-3.600	0.000	
1.000	1.000	0.000	0.000	0.000	0.000	0.000	not available				
20	0.000	--	--	--	--	--	REMOVED	--	-3.800	0.000	
1.000	1.000	0.000	0.000	0.000	0.000	0.000	not available				
21	0.000	--	--	--	--	--	REMOVED	--	-4.000	0.000	
1.000	1.000	0.000	0.000	0.000	0.000	0.000	not available				
22	0.000	--	--	--	--	--	REMOVED	--	-4.200	0.000	
1.000	1.000	0.000	0.000	0.000	0.000	0.000	not available				
23	0.000	--	--	--	--	--	REMOVED	--	-4.400	0.000	
1.000	1.000	0.000	0.000	0.000	0.000	0.000	not available				
24	0.000	--	--	--	--	--	REMOVED	--	-4.600	0.000	
1.000	1.000	0.000	0.000	0.000	0.000	0.000	not available				
25 D	0.000	0.000	0.000	0.000	0.000	0.000	UL-RL 5.5131E+04		-4.700	0.000	
1.000	1.000	0.000	0.000	0.000	0.000	0.000	Ala_161_6590_L_0			0.0000	
0.0000	0.0000	0.0000	0.0000	0.0000	0.0000	0.0000					
26 D	0.4384	0.000	3.900	2.192	3.900	2.192	UL-RL 5.5131E+04		-4.900	0.000	
1.000	1.000	2.192	0.000	0.000	0.000	0.000	Ala_161_6590_L_0			0.0000	
0.0000	0.0000	0.0000	0.0000	0.0000	0.0000	0.0000					
27 D	0.8767	0.000	7.800	4.384	7.800	4.384	UL-RL 5.5131E+04		-5.100	0.000	
1.000	1.000	4.384	0.000	0.000	0.000	0.000	Ala_161_6590_L_0			0.0000	
0.0000	0.0000	0.0000	0.0000	0.0000	0.0000	0.0000					
28 D	1.315	0.000	11.70	6.575	11.70	6.575	UL-RL 5.5131E+04		-5.300	0.000	
1.000	1.000	6.575	0.000	0.000	0.000	0.000	Ala_161_6590_L_0			0.0000	
0.0000	0.0000	0.0000	0.0000	0.0000	0.0000	0.0000					
29 D	1.753	0.000	15.60	8.767	15.60	8.767	UL-RL 5.5131E+04		-5.500	0.000	
1.000	1.000	8.767	0.000	0.000	0.000	0.000	Ala_161_6590_L_0			0.0000	
0.0000	0.0000	0.0000	0.0000	0.0000	0.0000	0.0000					
30 D	2.192	0.000	19.50	10.96	19.50	10.96	UL-RL 5.5131E+04		-5.700	0.000	

1.000	1.000	10.96	0.000	0.000	0.000	0.000	Ala_161_6590_L_0	0.0000	
0.0000	0.0000	0.0000	0.0000	0.0000	0.0000	0.0000			
31 D	2.630	0.000	23.40	13.15	23.40	13.15	UL-RL 5.5131E+04	-5.900	0.000
1.000	1.000	13.15	0.000	0.000	0.000	0.000	Ala_161_6590_L_0	0.0000	
0.0000	0.0000	0.0000	0.0000	0.0000	0.0000	0.0000			
32 D	3.069	0.000	27.30	15.34	27.30	15.34	UL-RL 5.5131E+04	-6.100	0.000
1.000	1.000	15.34	0.000	0.000	0.000	0.000	Ala_161_6590_L_0	0.0000	
0.0000	0.0000	0.0000	0.0000	0.0000	0.0000	0.0000			
33 D	3.507	0.000	31.20	17.53	31.20	17.53	UL-RL 5.5131E+04	-6.300	0.000
1.000	1.000	17.53	0.000	0.000	0.000	0.000	Ala_161_6590_L_0	0.0000	
0.0000	0.0000	0.0000	0.0000	0.0000	0.0000	0.0000			
34 D	3.945	0.000	35.10	19.73	35.10	19.73	UL-RL 5.5131E+04	-6.500	0.000
1.000	1.000	19.73	0.000	0.000	0.000	0.000	Ala_161_6590_L_0	0.0000	
0.0000	0.0000	0.0000	0.0000	0.0000	0.0000	0.0000			
35 D	4.384	0.000	39.00	21.92	39.00	21.92	UL-RL 5.5131E+04	-6.700	0.000
1.000	1.000	21.92	0.000	0.000	0.000	0.000	Ala_161_6590_L_0	0.0000	
0.0000	0.0000	0.0000	0.0000	0.0000	0.0000	0.0000			
36 D	4.822	0.000	42.90	24.11	42.90	24.11	UL-RL 5.5131E+04	-6.900	0.000
1.000	1.000	24.11	0.000	0.000	0.000	0.000	Ala_161_6590_L_0	0.0000	
0.0000	0.0000	0.0000	0.0000	0.0000	0.0000	0.0000			
37 D	5.260	0.000	46.80	26.30	46.80	26.30	UL-RL 5.5131E+04	-7.100	0.000
1.000	1.000	26.30	0.000	0.000	0.000	0.000	Ala_161_6590_L_0	0.0000	
0.0000	0.0000	0.0000	0.0000	0.0000	0.0000	0.0000			
38 D	5.699	0.000	50.70	28.49	50.70	28.49	UL-RL 5.5131E+04	-7.300	0.000
1.000	1.000	28.49	0.000	0.000	0.000	0.000	Ala_161_6590_L_0	0.0000	
0.0000	0.0000	0.0000	0.0000	0.0000	0.0000	0.0000			
39 D	6.137	0.000	54.60	30.69	54.60	30.69	UL-RL 5.5131E+04	-7.500	0.000
1.000	1.000	30.69	0.000	0.000	0.000	0.000	Ala_161_6590_L_0	0.0000	
0.0000	0.0000	0.0000	0.0000	0.0000	0.0000	0.0000			
40 D	6.575	0.000	58.50	32.88	58.50	32.88	UL-RL 5.5131E+04	-7.700	0.000
1.000	1.000	32.88	0.000	0.000	0.000	0.000	Ala_161_6590_L_0	0.0000	
0.0000	0.0000	0.0000	0.0000	0.0000	0.0000	0.0000			
41 D	7.014	0.000	62.40	35.07	62.40	35.07	UL-RL 5.5131E+04	-7.900	0.000
1.000	1.000	35.07	0.000	0.000	0.000	0.000	Ala_161_6590_L_0	0.0000	
0.0000	0.0000	0.0000	0.0000	0.0000	0.0000	0.0000			
42 D	7.452	0.000	66.30	37.26	66.30	37.26	UL-RL 5.5131E+04	-8.100	0.000
1.000	1.000	37.26	0.000	0.000	0.000	0.000	Ala_161_6590_L_0	0.0000	
0.0000	0.0000	0.0000	0.0000	0.0000	0.0000	0.0000			
43 D	7.890	0.000	70.20	39.45	70.20	39.45	UL-RL 5.5131E+04	-8.300	0.000
1.000	1.000	39.45	0.000	0.000	0.000	0.000	Ala_161_6590_L_0	0.0000	
0.0000	0.0000	0.0000	0.0000	0.0000	0.0000	0.0000			
44 D	8.329	0.000	74.10	41.64	74.10	41.64	UL-RL 5.5131E+04	-8.500	0.000
1.000	1.000	41.64	0.000	0.000	0.000	0.000	Ala_161_6590_L_0	0.0000	
0.0000	0.0000	0.0000	0.0000	0.0000	0.0000	0.0000			
45 D	8.767	0.000	78.00	43.84	78.00	43.84	UL-RL 5.5131E+04	-8.700	0.000
1.000	1.000	43.84	0.000	0.000	0.000	0.000	Ala_161_6590_L_0	0.0000	
0.0000	0.0000	0.0000	0.0000	0.0000	0.0000	0.0000			
46 D	9.206	0.000	81.90	46.03	81.90	46.03	UL-RL 5.5131E+04	-8.900	0.000
1.000	1.000	46.03	0.000	0.000	0.000	0.000	Ala_161_6590_L_0	0.0000	
0.0000	0.0000	0.0000	0.0000	0.0000	0.0000	0.0000			
47 D	9.644	0.000	85.80	48.22	85.80	48.22	UL-RL 5.5131E+04	-9.100	0.000
1.000	1.000	48.22	0.000	0.000	0.000	0.000	Ala_161_6590_L_0	0.0000	
0.0000	0.0000	0.0000	0.0000	0.0000	0.0000	0.0000			
48 D	10.08	0.000	89.70	50.41	89.70	50.41	UL-RL 5.5131E+04	-9.300	0.000
1.000	1.000	50.41	0.000	0.000	0.000	0.000	Ala_161_6590_L_0	0.0000	
0.0000	0.0000	0.0000	0.0000	0.0000	0.0000	0.0000			
49 D	10.52	0.000	93.60	52.60	93.60	52.60	UL-RL 5.5131E+04	-9.500	0.000
1.000	1.000	52.60	0.000	0.000	0.000	0.000	Ala_161_6590_L_0	0.0000	
0.0000	0.0000	0.0000	0.0000	0.0000	0.0000	0.0000			
50 D	11.13	0.000	95.50	53.67	95.50	53.67	UL-RL 5.5131E+04	-9.700	2.000
1.000	1.000	55.67	0.000	0.000	0.000	0.000	Ala_161_6590_L_0	0.0000	
0.0000	0.0000	0.0000	0.0000	0.0000	0.0000	0.0000			
51 D	11.75	0.000	97.40	54.74	97.40	54.74	UL-RL 5.5131E+04	-9.900	4.000
1.000	1.000	58.74	0.000	0.000	0.000	0.000	Ala_161_6590_L_0	0.0000	
0.0000	0.0000	0.0000	0.0000	0.0000	0.0000	0.0000			
52 D	12.36	0.000	99.30	55.81	99.30	55.81	UL-RL 5.5131E+04	-10.10	6.000
1.000	1.000	61.81	0.000	0.000	0.000	0.000	Ala_161_6590_L_0	0.0000	
0.0000	0.0000	0.0000	0.0000	0.0000	0.0000	0.0000			
53 D	12.97	0.000	101.2	56.87	101.2	56.87	UL-RL 5.5131E+04	-10.30	8.000
1.000	1.000	64.87	0.000	0.000	0.000	0.000	Ala_161_6590_L_0	0.0000	
0.0000	0.0000	0.0000	0.0000	0.0000	0.0000	0.0000			
54 D	13.59	0.000	103.1	57.94	103.1	57.94	UL-RL 5.5131E+04	-10.50	10.000
1.000	1.000	67.94	0.000	0.000	0.000	0.000	Ala_161_6590_L_0	0.0000	
0.0000	0.0000	0.0000	0.0000	0.0000	0.0000	0.0000			
55 D	14.20	0.000	105.0	59.01	105.0	59.01	UL-RL 5.5131E+04	-10.70	12.00
1.000	1.000	71.01	0.000	0.000	0.000	0.000	Ala_161_6590_L_0	0.0000	
0.0000	0.0000	0.0000	0.0000	0.0000	0.0000	0.0000			
56 D	14.82	0.000	106.9	60.08	106.9	60.08	UL-RL 5.5131E+04	-10.90	14.00
1.000	1.000	74.08	0.000	0.000	0.000	0.000	Ala_161_6590_L_0	0.0000	
0.0000	0.0000	0.0000	0.0000	0.0000	0.0000	0.0000			
57 D	15.43	0.000	108.8	61.15	108.8	61.15	UL-RL 5.5131E+04	-11.10	16.00
1.000	1.000	77.15	0.000	0.000	0.000	0.000	Ala_161_6590_L_0	0.0000	
0.0000	0.0000	0.0000	0.0000	0.0000	0.0000	0.0000			
58 D	16.04	0.000	110.7	62.21	110.7	62.21	UL-RL 5.5131E+04	-11.30	18.00
1.000	1.000	80.21	0.000	0.000	0.000	0.000	Ala_161_6590_L_0	0.0000	
0.0000	0.0000	0.0000	0.0000	0.0000	0.0000	0.0000			
59 D	16.66	0.000	112.6	63.28	112.6	63.28	UL-RL 5.5131E+04	-11.50	20.00
1.000	1.000	83.28	0.000	0.000	0.000	0.000	Ala_161_6590_L_0	0.0000	
0.0000	0.0000	0.0000	0.0000	0.0000	0.0000	0.0000			
60 D	17.27	0.000	114.5	64.35	114.5	64.35	UL-RL 5.5131E+04	-11.70	22.00
1.000	1.000	86.35	0.000	0.000	0.000	0.000	Ala_161_6590_L_0	0.0000	
0.0000	0.0000	0.0000	0.0000	0.0000	0.0000	0.0000			

61 D	17.88	0.000	116.4	65.42	116.4	65.42	UL-RL 5.5131E+04	-11.90	24.00
1.000	1.000	89.42	0.000	0.000	0.000	0.000	Ala_161_6590_L_0		0.0000
0.0000	0.0000	0.0000	0.0000	0.0000	0.0000	0.0000			
62 D	18.50	0.000	118.3	66.48	118.3	66.48	UL-RL 5.5131E+04	-12.10	26.00
1.000	1.000	92.48	0.000	0.000	0.000	0.000	Ala_161_6590_L_0		0.0000
0.0000	0.0000	0.0000	0.0000	0.0000	0.0000	0.0000			
63 D	19.11	0.000	120.2	67.55	120.2	67.55	UL-RL 5.5131E+04	-12.30	28.00
1.000	1.000	95.55	0.000	0.000	0.000	0.000	Ala_161_6590_L_0		0.0000
0.0000	0.0000	0.0000	0.0000	0.0000	0.0000	0.0000			
64 D	19.72	0.000	122.1	68.62	122.1	68.62	UL-RL 5.5131E+04	-12.50	30.00
1.000	1.000	98.62	0.000	0.000	0.000	0.000	Ala_161_6590_L_0		0.0000
0.0000	0.0000	0.0000	0.0000	0.0000	0.0000	0.0000			
65 D	20.34	0.000	124.0	69.69	124.0	69.69	UL-RL 5.5131E+04	-12.70	32.00
1.000	1.000	101.7	0.000	0.000	0.000	0.000	Ala_161_6590_L_0		0.0000
0.0000	0.0000	0.0000	0.0000	0.0000	0.0000	0.0000			
66 D	20.95	0.000	125.9	70.76	125.9	70.76	UL-RL 5.5131E+04	-12.90	34.00
1.000	1.000	104.8	0.000	0.000	0.000	0.000	Ala_161_6590_L_0		0.0000
0.0000	0.0000	0.0000	0.0000	0.0000	0.0000	0.0000			
67 D	21.56	0.000	127.8	71.82	127.8	71.82	UL-RL 5.5131E+04	-13.10	36.00
1.000	1.000	107.8	0.000	0.000	0.000	0.000	Ala_161_6590_L_0		0.0000
0.0000	0.0000	0.0000	0.0000	0.0000	0.0000	0.0000			
68 D	22.18	0.000	129.7	72.89	129.7	72.89	UL-RL 5.5131E+04	-13.30	38.00
1.000	1.000	110.9	0.000	0.000	0.000	0.000	Ala_161_6590_L_0		0.0000
0.0000	0.0000	0.0000	0.0000	0.0000	0.0000	0.0000			
69 D	22.79	0.000	131.6	73.96	131.6	73.96	UL-RL 5.5131E+04	-13.50	40.00
1.000	1.000	114.0	0.000	0.000	0.000	0.000	Ala_161_6590_L_0		0.0000
0.0000	0.0000	0.0000	0.0000	0.0000	0.0000	0.0000			
70 D	23.41	0.000	133.5	75.03	133.5	75.03	UL-RL 5.5131E+04	-13.70	42.00
1.000	1.000	117.0	0.000	0.000	0.000	0.000	Ala_161_6590_L_0		0.0000
0.0000	0.0000	0.0000	0.0000	0.0000	0.0000	0.0000			
71 D	24.02	0.000	135.4	76.09	135.4	76.09	UL-RL 5.5131E+04	-13.90	44.00
1.000	1.000	120.1	0.000	0.000	0.000	0.000	Ala_161_6590_L_0		0.0000
0.0000	0.0000	0.0000	0.0000	0.0000	0.0000	0.0000			
72 D	24.63	0.000	137.3	77.16	137.3	77.16	UL-RL 5.5131E+04	-14.10	46.00
1.000	1.000	123.2	0.000	0.000	0.000	0.000	Ala_161_6590_L_0		0.0000
0.0000	0.0000	0.0000	0.0000	0.0000	0.0000	0.0000			
73 D	25.25	0.000	139.2	78.23	139.2	78.23	UL-RL 5.5131E+04	-14.30	48.00
1.000	1.000	126.2	0.000	0.000	0.000	0.000	Ala_161_6590_L_0		0.0000
0.0000	0.0000	0.0000	0.0000	0.0000	0.0000	0.0000			
74 D	25.86	0.000	141.1	79.30	141.1	79.30	UL-RL 5.5131E+04	-14.50	50.00
1.000	1.000	129.3	0.000	0.000	0.000	0.000	Ala_161_6590_L_0		0.0000
0.0000	0.0000	0.0000	0.0000	0.0000	0.0000	0.0000			
75 D	26.47	0.000	143.0	80.37	143.0	80.37	UL-RL 5.5131E+04	-14.70	52.00
1.000	1.000	132.4	0.000	0.000	0.000	0.000	Ala_161_6590_L_0		0.0000
0.0000	0.0000	0.0000	0.0000	0.0000	0.0000	0.0000			
76 D	27.09	0.000	144.9	81.43	144.9	81.43	UL-RL 5.5131E+04	-14.90	54.00
1.000	1.000	135.4	0.000	0.000	0.000	0.000	Ala_161_6590_L_0		0.0000
0.0000	0.0000	0.0000	0.0000	0.0000	0.0000	0.0000			
77 D	27.70	0.000	146.8	82.50	146.8	82.50	UL-RL 5.5131E+04	-15.10	56.00
1.000	1.000	138.5	0.000	0.000	0.000	0.000	Ala_161_6590_L_0		0.0000
0.0000	0.0000	0.0000	0.0000	0.0000	0.0000	0.0000			
78 D	28.31	0.000	148.7	83.57	148.7	83.57	UL-RL 5.5131E+04	-15.30	58.00
1.000	1.000	141.6	0.000	0.000	0.000	0.000	Ala_161_6590_L_0		0.0000
0.0000	0.0000	0.0000	0.0000	0.0000	0.0000	0.0000			
79 D	28.93	0.000	150.6	84.64	150.6	84.64	UL-RL 5.5131E+04	-15.50	60.00
1.000	1.000	144.6	0.000	0.000	0.000	0.000	Ala_161_6590_L_0		0.0000
0.0000	0.0000	0.0000	0.0000	0.0000	0.0000	0.0000			
80 D	29.54	0.000	152.5	85.70	152.5	85.70	UL-RL 5.5131E+04	-15.70	62.00
1.000	1.000	147.7	0.000	0.000	0.000	0.000	Ala_161_6590_L_0		0.0000
0.0000	0.0000	0.0000	0.0000	0.0000	0.0000	0.0000			
81 D	30.15	0.000	154.4	86.77	154.4	86.77	UL-RL 5.5131E+04	-15.90	64.00
1.000	1.000	150.8	0.000	0.000	0.000	0.000	Ala_161_6590_L_0		0.0000
0.0000	0.0000	0.0000	0.0000	0.0000	0.0000	0.0000			
82 D	30.77	0.000	156.4	87.87	156.4	87.87	UL-RL 3.0900E+05	-16.10	66.00
1.000	1.000	153.9	0.000	0.000	10.00	10.00	Salt_21271_21259_L_0		0.0000
0.0000	0.0000	0.0000	0.0000	0.0000	0.0000	0.0000			
83 D	31.40	0.000	158.4	89.00	158.4	89.00	UL-RL 3.0900E+05	-16.30	68.00
1.000	1.000	157.0	0.000	0.000	10.00	10.00	Salt_21271_21259_L_0		0.0000
0.0000	0.0000	0.0000	0.0000	0.0000	0.0000	0.0000			
84 D	32.02	0.000	160.4	90.12	160.4	90.12	UL-RL 3.0900E+05	-16.50	70.00
1.000	1.000	160.1	0.000	0.000	10.00	10.00	Salt_21271_21259_L_0		0.0000
0.0000	0.0000	0.0000	0.0000	0.0000	0.0000	0.0000			
85 D	32.65	0.000	162.4	91.24	162.4	91.24	UL-RL 3.0900E+05	-16.70	72.00
1.000	1.000	163.2	0.000	0.000	10.00	10.00	Salt_21271_21259_L_0		0.0000
0.0000	0.0000	0.0000	0.0000	0.0000	0.0000	0.0000			
86 D	33.27	0.000	164.4	92.37	164.4	92.37	UL-RL 3.0900E+05	-16.90	74.00
1.000	1.000	166.4	0.000	0.000	10.00	10.00	Salt_21271_21259_L_0		0.0000
0.0000	0.0000	0.0000	0.0000	0.0000	0.0000	0.0000			
87 D	33.90	0.000	166.4	93.49	166.4	93.49	UL-RL 3.0900E+05	-17.10	76.00
1.000	1.000	169.5	0.000	0.000	10.00	10.00	Salt_21271_21259_L_0		0.0000
0.0000	0.0000	0.0000	0.0000	0.0000	0.0000	0.0000			
88 D	34.52	0.000	168.4	94.62	168.4	94.62	UL-RL 3.0900E+05	-17.30	78.00
1.000	1.000	172.6	0.000	0.000	10.00	10.00	Salt_21271_21259_L_0		0.0000
0.0000	0.0000	0.0000	0.0000	0.0000	0.0000	0.0000			
89 D	35.15	0.000	170.4	95.74	170.4	95.74	UL-RL 3.0900E+05	-17.50	80.00
1.000	1.000	175.7	0.000	0.000	10.00	10.00	Salt_21271_21259_L_0		0.0000
0.0000	0.0000	0.0000	0.0000	0.0000	0.0000	0.0000			
90 D	35.78	0.000	172.4	96.91	172.4	96.91	UL-RL 1.8885E+05	-17.70	82.00
1.000	1.000	178.9	0.000	0.000	55.00	55.00	Sch_21272_21260_L_0		0.0000
0.0000	0.0000	0.0000	0.0000	0.0000	0.0000	0.0000			
91 D	36.48	0.000	175.0	98.38	175.0	98.38	UL-RL 1.8885E+05	-17.90	84.00
1.000	1.000	182.4	0.000	0.000	55.00	55.00	Sch_21272_21260_L_0		0.0000

0.0000	0.0000	0.0000	0.0000	0.0000						
92 D	27.88	0.000	177.6	99.84	177.6	99.84	UL-RL 1.8885E+05	-18.10	86.00	
1.000	1.000	185.8	0.000	0.000	55.00	55.00	Sch_21272_21260_L_0		0.0000	
0.0000	0.0000	0.0000	0.0000	0.0000						
93 D	9.378	0.000	178.9	100.6	178.9	100.6	UL-RL 1.8885E+05	-18.20	87.00	
1.000	1.000	187.6	0.000	0.000	55.00	55.00	Sch_21272_21260_L_0		0.0000	
0.0000	0.0000	0.0000	0.0000	0.0000						

```

+-----+
|                PARATIEPLUS(TM)  NLS ENGINE RELEASE 2022.0.0  FULL VERSION  *Build date:Sep 13, 2021*                |
|                                                                                                                                            |
|                                                                                               ParatiePlus                               |
|                                                                                               Exe Time :28 January 2022  11:11:19                               |
+-----+

```

New Project

S T R E S S R E S U L T S F O R G R O U P N O . 2

```

O_R :
ELEMENT TYPE   5 NO.OF ELEMENTS. IN THIS GROUP   93
C U R R E N T   T I M E   I S   2.0000 SUBINCREMENT 00001/00001

```

HARDENING 2D SOIL ELEMENT

***** TOTAL STRESS FORMULATION *****

EL * TOR QSL	FORCE UFACTOR ZD	DISPL-Y Peq ZPL	VERTICAL-P Su_a Kz	HORIZON.-P Su_p	MAX-V-P Coh_e_a	MAX-H-P Coh_e_p	STATE LAYER	STIFFNESS	Z-LEVEL	PORE ZFO	E FAC- QS
1	0.000	--	--	--	--	--	REMOVED	--	0.000	0.000	
1.000	1.000	0.000	0.000	0.000	0.000	0.000	not available				
2	0.000	--	--	--	--	--	REMOVED	--	-0.2000	0.000	
1.000	1.000	0.000	0.000	0.000	0.000	0.000	not available				
3	0.000	--	--	--	--	--	REMOVED	--	-0.4000	0.000	
1.000	1.000	0.000	0.000	0.000	0.000	0.000	not available				
4	0.000	--	--	--	--	--	REMOVED	--	-0.6000	0.000	
1.000	1.000	0.000	0.000	0.000	0.000	0.000	not available				
5	0.000	--	--	--	--	--	REMOVED	--	-0.8000	0.000	
1.000	1.000	0.000	0.000	0.000	0.000	0.000	not available				
6	0.000	--	--	--	--	--	REMOVED	--	-1.000	0.000	
1.000	1.000	0.000	0.000	0.000	0.000	0.000	not available				
7	0.000	--	--	--	--	--	REMOVED	--	-1.200	0.000	
1.000	1.000	0.000	0.000	0.000	0.000	0.000	not available				
8	0.000	--	--	--	--	--	REMOVED	--	-1.400	0.000	
1.000	1.000	0.000	0.000	0.000	0.000	0.000	not available				
9	0.000	--	--	--	--	--	REMOVED	--	-1.600	0.000	
1.000	1.000	0.000	0.000	0.000	0.000	0.000	not available				
10	0.000	--	--	--	--	--	REMOVED	--	-1.800	0.000	
1.000	1.000	0.000	0.000	0.000	0.000	0.000	not available				
11	0.000	--	--	--	--	--	REMOVED	--	-2.000	0.000	
1.000	1.000	0.000	0.000	0.000	0.000	0.000	not available				
12	0.000	--	--	--	--	--	REMOVED	--	-2.200	0.000	
1.000	1.000	0.000	0.000	0.000	0.000	0.000	not available				
13	0.000	--	--	--	--	--	REMOVED	--	-2.400	0.000	
1.000	1.000	0.000	0.000	0.000	0.000	0.000	not available				
14	0.000	--	--	--	--	--	REMOVED	--	-2.600	0.000	
1.000	1.000	0.000	0.000	0.000	0.000	0.000	not available				
15	0.000	--	--	--	--	--	REMOVED	--	-2.800	0.000	
1.000	1.000	0.000	0.000	0.000	0.000	0.000	not available				
16	0.000	--	--	--	--	--	REMOVED	--	-3.000	0.000	
1.000	1.000	0.000	0.000	0.000	0.000	0.000	not available				
17	0.000	--	--	--	--	--	REMOVED	--	-3.200	0.000	
1.000	1.000	0.000	0.000	0.000	0.000	0.000	not available				
18	0.000	--	--	--	--	--	REMOVED	--	-3.400	0.000	
1.000	1.000	0.000	0.000	0.000	0.000	0.000	not available				
19	0.000	--	--	--	--	--	REMOVED	--	-3.600	0.000	
1.000	1.000	0.000	0.000	0.000	0.000	0.000	not available				
20	0.000	--	--	--	--	--	REMOVED	--	-3.800	0.000	
1.000	1.000	0.000	0.000	0.000	0.000	0.000	not available				
21	0.000	--	--	--	--	--	REMOVED	--	-4.000	0.000	
1.000	1.000	0.000	0.000	0.000	0.000	0.000	not available				
22	0.000	--	--	--	--	--	REMOVED	--	-4.200	0.000	
1.000	1.000	0.000	0.000	0.000	0.000	0.000	not available				
23	0.000	--	--	--	--	--	REMOVED	--	-4.400	0.000	
1.000	1.000	0.000	0.000	0.000	0.000	0.000	not available				
24	0.000	--	--	--	--	--	REMOVED	--	-4.600	0.000	
1.000	1.000	0.000	0.000	0.000	0.000	0.000	not available				
25 D	0.000	0.000	0.000	0.000	0.000	0.000	UL-RL 6.7919E+04		-4.700	0.000	
1.000	1.000	0.000	0.000	0.000	0.000	0.000	Ala_161_6590_L_0			0.0000	
0.0000	0.0000	0.0000	0.0000	0.0000	0.0000	0.0000					
26 D	0.4384	0.000	3.900	2.192	3.900	2.192	UL-RL 6.7919E+04		-4.900	0.000	
1.000	1.000	2.192	0.000	0.000	0.000	0.000	Ala_161_6590_L_0			0.0000	
0.0000	0.0000	0.0000	0.0000	0.0000	0.0000	0.0000					
27 D	0.8767	0.000	7.800	4.384	7.800	4.384	UL-RL 6.7919E+04		-5.100	0.000	
1.000	1.000	4.384	0.000	0.000	0.000	0.000	Ala_161_6590_L_0			0.0000	
0.0000	0.0000	0.0000	0.0000	0.0000	0.0000	0.0000					
28 D	1.315	0.000	11.70	6.575	11.70	6.575	UL-RL 6.7919E+04		-5.300	0.000	
1.000	1.000	6.575	0.000	0.000	0.000	0.000	Ala_161_6590_L_0			0.0000	
0.0000	0.0000	0.0000	0.0000	0.0000	0.0000	0.0000					
29 D	1.753	0.000	15.60	8.767	15.60	8.767	UL-RL 6.7919E+04		-5.500	0.000	
1.000	1.000	8.767	0.000	0.000	0.000	0.000	Ala_161_6590_L_0			0.0000	
0.0000	0.0000	0.0000	0.0000	0.0000	0.0000	0.0000					
30 D	2.192	0.000	19.50	10.96	19.50	10.96	UL-RL 6.7919E+04		-5.700	0.000	

1.000	1.000	10.96	0.000	0.000	0.000	0.000	Ala_161_6590_L_0	0.0000	
0.0000	0.0000	0.0000	0.0000	0.0000	0.0000	0.0000			
31 D	2.630	0.000	23.40	13.15	23.40	13.15	UL-RL 6.7919E+04	-5.900	0.000
1.000	1.000	13.15	0.000	0.000	0.000	0.000	Ala_161_6590_L_0	0.0000	
0.0000	0.0000	0.0000	0.0000	0.0000	0.0000	0.0000			
32 D	3.069	0.000	27.30	15.34	27.30	15.34	UL-RL 6.7919E+04	-6.100	0.000
1.000	1.000	15.34	0.000	0.000	0.000	0.000	Ala_161_6590_L_0	0.0000	
0.0000	0.0000	0.0000	0.0000	0.0000	0.0000	0.0000			
33 D	3.507	0.000	31.20	17.53	31.20	17.53	UL-RL 6.7919E+04	-6.300	0.000
1.000	1.000	17.53	0.000	0.000	0.000	0.000	Ala_161_6590_L_0	0.0000	
0.0000	0.0000	0.0000	0.0000	0.0000	0.0000	0.0000			
34 D	3.945	0.000	35.10	19.73	35.10	19.73	UL-RL 6.7919E+04	-6.500	0.000
1.000	1.000	19.73	0.000	0.000	0.000	0.000	Ala_161_6590_L_0	0.0000	
0.0000	0.0000	0.0000	0.0000	0.0000	0.0000	0.0000			
35 D	4.384	0.000	39.00	21.92	39.00	21.92	UL-RL 6.7919E+04	-6.700	0.000
1.000	1.000	21.92	0.000	0.000	0.000	0.000	Ala_161_6590_L_0	0.0000	
0.0000	0.0000	0.0000	0.0000	0.0000	0.0000	0.0000			
36 D	4.822	0.000	42.90	24.11	42.90	24.11	UL-RL 6.7919E+04	-6.900	0.000
1.000	1.000	24.11	0.000	0.000	0.000	0.000	Ala_161_6590_L_0	0.0000	
0.0000	0.0000	0.0000	0.0000	0.0000	0.0000	0.0000			
37 D	5.260	0.000	46.80	26.30	46.80	26.30	UL-RL 6.7919E+04	-7.100	0.000
1.000	1.000	26.30	0.000	0.000	0.000	0.000	Ala_161_6590_L_0	0.0000	
0.0000	0.0000	0.0000	0.0000	0.0000	0.0000	0.0000			
38 D	5.699	0.000	50.70	28.49	50.70	28.49	UL-RL 6.7919E+04	-7.300	0.000
1.000	1.000	28.49	0.000	0.000	0.000	0.000	Ala_161_6590_L_0	0.0000	
0.0000	0.0000	0.0000	0.0000	0.0000	0.0000	0.0000			
39 D	6.137	0.000	54.60	30.69	54.60	30.69	UL-RL 6.7919E+04	-7.500	0.000
1.000	1.000	30.69	0.000	0.000	0.000	0.000	Ala_161_6590_L_0	0.0000	
0.0000	0.0000	0.0000	0.0000	0.0000	0.0000	0.0000			
40 D	6.575	0.000	58.50	32.88	58.50	32.88	UL-RL 6.7919E+04	-7.700	0.000
1.000	1.000	32.88	0.000	0.000	0.000	0.000	Ala_161_6590_L_0	0.0000	
0.0000	0.0000	0.0000	0.0000	0.0000	0.0000	0.0000			
41 D	7.014	0.000	62.40	35.07	62.40	35.07	UL-RL 6.7919E+04	-7.900	0.000
1.000	1.000	35.07	0.000	0.000	0.000	0.000	Ala_161_6590_L_0	0.0000	
0.0000	0.0000	0.0000	0.0000	0.0000	0.0000	0.0000			
42 D	7.452	0.000	66.30	37.26	66.30	37.26	UL-RL 6.7919E+04	-8.100	0.000
1.000	1.000	37.26	0.000	0.000	0.000	0.000	Ala_161_6590_L_0	0.0000	
0.0000	0.0000	0.0000	0.0000	0.0000	0.0000	0.0000			
43 D	7.890	0.000	70.20	39.45	70.20	39.45	UL-RL 6.7919E+04	-8.300	0.000
1.000	1.000	39.45	0.000	0.000	0.000	0.000	Ala_161_6590_L_0	0.0000	
0.0000	0.0000	0.0000	0.0000	0.0000	0.0000	0.0000			
44 D	8.329	0.000	74.10	41.64	74.10	41.64	UL-RL 6.7919E+04	-8.500	0.000
1.000	1.000	41.64	0.000	0.000	0.000	0.000	Ala_161_6590_L_0	0.0000	
0.0000	0.0000	0.0000	0.0000	0.0000	0.0000	0.0000			
45 D	8.767	0.000	78.00	43.84	78.00	43.84	UL-RL 6.7919E+04	-8.700	0.000
1.000	1.000	43.84	0.000	0.000	0.000	0.000	Ala_161_6590_L_0	0.0000	
0.0000	0.0000	0.0000	0.0000	0.0000	0.0000	0.0000			
46 D	9.206	0.000	81.90	46.03	81.90	46.03	UL-RL 6.7919E+04	-8.900	0.000
1.000	1.000	46.03	0.000	0.000	0.000	0.000	Ala_161_6590_L_0	0.0000	
0.0000	0.0000	0.0000	0.0000	0.0000	0.0000	0.0000			
47 D	9.644	0.000	85.80	48.22	85.80	48.22	UL-RL 6.7919E+04	-9.100	0.000
1.000	1.000	48.22	0.000	0.000	0.000	0.000	Ala_161_6590_L_0	0.0000	
0.0000	0.0000	0.0000	0.0000	0.0000	0.0000	0.0000			
48 D	10.08	0.000	89.70	50.41	89.70	50.41	UL-RL 6.7919E+04	-9.300	0.000
1.000	1.000	50.41	0.000	0.000	0.000	0.000	Ala_161_6590_L_0	0.0000	
0.0000	0.0000	0.0000	0.0000	0.0000	0.0000	0.0000			
49 D	10.52	0.000	93.60	52.60	93.60	52.60	UL-RL 6.7919E+04	-9.500	0.000
1.000	1.000	52.60	0.000	0.000	0.000	0.000	Ala_161_6590_L_0	0.0000	
0.0000	0.0000	0.0000	0.0000	0.0000	0.0000	0.0000			
50 D	11.13	0.000	95.50	53.67	95.50	53.67	UL-RL 6.7919E+04	-9.700	2.000
1.000	1.000	55.67	0.000	0.000	0.000	0.000	Ala_161_6590_L_0	0.0000	
0.0000	0.0000	0.0000	0.0000	0.0000	0.0000	0.0000			
51 D	11.75	0.000	97.40	54.74	97.40	54.74	UL-RL 6.7919E+04	-9.900	4.000
1.000	1.000	58.74	0.000	0.000	0.000	0.000	Ala_161_6590_L_0	0.0000	
0.0000	0.0000	0.0000	0.0000	0.0000	0.0000	0.0000			
52 D	12.36	0.000	99.30	55.81	99.30	55.81	UL-RL 6.7919E+04	-10.10	6.000
1.000	1.000	61.81	0.000	0.000	0.000	0.000	Ala_161_6590_L_0	0.0000	
0.0000	0.0000	0.0000	0.0000	0.0000	0.0000	0.0000			
53 D	12.97	0.000	101.2	56.87	101.2	56.87	UL-RL 6.7919E+04	-10.30	8.000
1.000	1.000	64.87	0.000	0.000	0.000	0.000	Ala_161_6590_L_0	0.0000	
0.0000	0.0000	0.0000	0.0000	0.0000	0.0000	0.0000			
54 D	13.59	0.000	103.1	57.94	103.1	57.94	UL-RL 6.7919E+04	-10.50	10.000
1.000	1.000	67.94	0.000	0.000	0.000	0.000	Ala_161_6590_L_0	0.0000	
0.0000	0.0000	0.0000	0.0000	0.0000	0.0000	0.0000			
55 D	14.20	0.000	105.0	59.01	105.0	59.01	UL-RL 6.7919E+04	-10.70	12.00
1.000	1.000	71.01	0.000	0.000	0.000	0.000	Ala_161_6590_L_0	0.0000	
0.0000	0.0000	0.0000	0.0000	0.0000	0.0000	0.0000			
56 D	14.82	0.000	106.9	60.08	106.9	60.08	UL-RL 6.7919E+04	-10.90	14.00
1.000	1.000	74.08	0.000	0.000	0.000	0.000	Ala_161_6590_L_0	0.0000	
0.0000	0.0000	0.0000	0.0000	0.0000	0.0000	0.0000			
57 D	15.43	0.000	108.8	61.15	108.8	61.15	UL-RL 6.7919E+04	-11.10	16.00
1.000	1.000	77.15	0.000	0.000	0.000	0.000	Ala_161_6590_L_0	0.0000	
0.0000	0.0000	0.0000	0.0000	0.0000	0.0000	0.0000			
58 D	16.04	0.000	110.7	62.21	110.7	62.21	UL-RL 6.7919E+04	-11.30	18.00
1.000	1.000	80.21	0.000	0.000	0.000	0.000	Ala_161_6590_L_0	0.0000	
0.0000	0.0000	0.0000	0.0000	0.0000	0.0000	0.0000			
59 D	16.66	0.000	112.6	63.28	112.6	63.28	UL-RL 6.7919E+04	-11.50	20.00
1.000	1.000	83.28	0.000	0.000	0.000	0.000	Ala_161_6590_L_0	0.0000	
0.0000	0.0000	0.0000	0.0000	0.0000	0.0000	0.0000			
60 D	17.27	0.000	114.5	64.35	114.5	64.35	UL-RL 6.7919E+04	-11.70	22.00
1.000	1.000	86.35	0.000	0.000	0.000	0.000	Ala_161_6590_L_0	0.0000	
0.0000	0.0000	0.0000	0.0000	0.0000	0.0000	0.0000			

61 D	17.88	0.000	116.4	65.42	116.4	65.42	UL-RL 6.7919E+04	-11.90	24.00
1.000	1.000	89.42	0.000	0.000	0.000	0.000	Ala_161_6590_L_0		0.0000
0.0000	0.0000	0.0000	0.0000	0.0000	0.0000	0.0000			
62 D	18.50	0.000	118.3	66.48	118.3	66.48	UL-RL 6.7919E+04	-12.10	26.00
1.000	1.000	92.48	0.000	0.000	0.000	0.000	Ala_161_6590_L_0		0.0000
0.0000	0.0000	0.0000	0.0000	0.0000	0.0000	0.0000			
63 D	19.11	0.000	120.2	67.55	120.2	67.55	UL-RL 6.7919E+04	-12.30	28.00
1.000	1.000	95.55	0.000	0.000	0.000	0.000	Ala_161_6590_L_0		0.0000
0.0000	0.0000	0.0000	0.0000	0.0000	0.0000	0.0000			
64 D	19.72	0.000	122.1	68.62	122.1	68.62	UL-RL 6.7919E+04	-12.50	30.00
1.000	1.000	98.62	0.000	0.000	0.000	0.000	Ala_161_6590_L_0		0.0000
0.0000	0.0000	0.0000	0.0000	0.0000	0.0000	0.0000			
65 D	20.34	0.000	124.0	69.69	124.0	69.69	UL-RL 6.7919E+04	-12.70	32.00
1.000	1.000	101.7	0.000	0.000	0.000	0.000	Ala_161_6590_L_0		0.0000
0.0000	0.0000	0.0000	0.0000	0.0000	0.0000	0.0000			
66 D	20.95	0.000	125.9	70.76	125.9	70.76	UL-RL 6.7919E+04	-12.90	34.00
1.000	1.000	104.8	0.000	0.000	0.000	0.000	Ala_161_6590_L_0		0.0000
0.0000	0.0000	0.0000	0.0000	0.0000	0.0000	0.0000			
67 D	21.56	0.000	127.8	71.82	127.8	71.82	UL-RL 6.7919E+04	-13.10	36.00
1.000	1.000	107.8	0.000	0.000	0.000	0.000	Ala_161_6590_L_0		0.0000
0.0000	0.0000	0.0000	0.0000	0.0000	0.0000	0.0000			
68 D	22.18	0.000	129.7	72.89	129.7	72.89	UL-RL 6.7919E+04	-13.30	38.00
1.000	1.000	110.9	0.000	0.000	0.000	0.000	Ala_161_6590_L_0		0.0000
0.0000	0.0000	0.0000	0.0000	0.0000	0.0000	0.0000			
69 D	22.79	0.000	131.6	73.96	131.6	73.96	UL-RL 6.7919E+04	-13.50	40.00
1.000	1.000	114.0	0.000	0.000	0.000	0.000	Ala_161_6590_L_0		0.0000
0.0000	0.0000	0.0000	0.0000	0.0000	0.0000	0.0000			
70 D	23.41	0.000	133.5	75.03	133.5	75.03	UL-RL 6.7919E+04	-13.70	42.00
1.000	1.000	117.0	0.000	0.000	0.000	0.000	Ala_161_6590_L_0		0.0000
0.0000	0.0000	0.0000	0.0000	0.0000	0.0000	0.0000			
71 D	24.02	0.000	135.4	76.09	135.4	76.09	UL-RL 6.7919E+04	-13.90	44.00
1.000	1.000	120.1	0.000	0.000	0.000	0.000	Ala_161_6590_L_0		0.0000
0.0000	0.0000	0.0000	0.0000	0.0000	0.0000	0.0000			
72 D	24.63	0.000	137.3	77.16	137.3	77.16	UL-RL 6.7919E+04	-14.10	46.00
1.000	1.000	123.2	0.000	0.000	0.000	0.000	Ala_161_6590_L_0		0.0000
0.0000	0.0000	0.0000	0.0000	0.0000	0.0000	0.0000			
73 D	25.25	0.000	139.2	78.23	139.2	78.23	UL-RL 6.7919E+04	-14.30	48.00
1.000	1.000	126.2	0.000	0.000	0.000	0.000	Ala_161_6590_L_0		0.0000
0.0000	0.0000	0.0000	0.0000	0.0000	0.0000	0.0000			
74 D	25.86	0.000	141.1	79.30	141.1	79.30	UL-RL 6.7919E+04	-14.50	50.00
1.000	1.000	129.3	0.000	0.000	0.000	0.000	Ala_161_6590_L_0		0.0000
0.0000	0.0000	0.0000	0.0000	0.0000	0.0000	0.0000			
75 D	26.47	0.000	143.0	80.37	143.0	80.37	UL-RL 6.7919E+04	-14.70	52.00
1.000	1.000	132.4	0.000	0.000	0.000	0.000	Ala_161_6590_L_0		0.0000
0.0000	0.0000	0.0000	0.0000	0.0000	0.0000	0.0000			
76 D	27.09	0.000	144.9	81.43	144.9	81.43	UL-RL 6.7919E+04	-14.90	54.00
1.000	1.000	135.4	0.000	0.000	0.000	0.000	Ala_161_6590_L_0		0.0000
0.0000	0.0000	0.0000	0.0000	0.0000	0.0000	0.0000			
77 D	27.70	0.000	146.8	82.50	146.8	82.50	UL-RL 6.7919E+04	-15.10	56.00
1.000	1.000	138.5	0.000	0.000	0.000	0.000	Ala_161_6590_L_0		0.0000
0.0000	0.0000	0.0000	0.0000	0.0000	0.0000	0.0000			
78 D	28.31	0.000	148.7	83.57	148.7	83.57	UL-RL 6.7919E+04	-15.30	58.00
1.000	1.000	141.6	0.000	0.000	0.000	0.000	Ala_161_6590_L_0		0.0000
0.0000	0.0000	0.0000	0.0000	0.0000	0.0000	0.0000			
79 D	28.93	0.000	150.6	84.64	150.6	84.64	UL-RL 6.7919E+04	-15.50	60.00
1.000	1.000	144.6	0.000	0.000	0.000	0.000	Ala_161_6590_L_0		0.0000
0.0000	0.0000	0.0000	0.0000	0.0000	0.0000	0.0000			
80 D	29.54	0.000	152.5	85.70	152.5	85.70	UL-RL 6.7919E+04	-15.70	62.00
1.000	1.000	147.7	0.000	0.000	0.000	0.000	Ala_161_6590_L_0		0.0000
0.0000	0.0000	0.0000	0.0000	0.0000	0.0000	0.0000			
81 D	30.15	0.000	154.4	86.77	154.4	86.77	UL-RL 6.7919E+04	-15.90	64.00
1.000	1.000	150.8	0.000	0.000	0.000	0.000	Ala_161_6590_L_0		0.0000
0.0000	0.0000	0.0000	0.0000	0.0000	0.0000	0.0000			
82 D	30.77	0.000	156.4	87.87	156.4	87.87	UL-RL 3.9569E+05	-16.10	66.00
1.000	1.000	153.9	0.000	0.000	10.00	10.00	Salt_21271_21259_L_0		0.0000
0.0000	0.0000	0.0000	0.0000	0.0000	0.0000	0.0000			
83 D	31.40	0.000	158.4	89.00	158.4	89.00	UL-RL 3.9569E+05	-16.30	68.00
1.000	1.000	157.0	0.000	0.000	10.00	10.00	Salt_21271_21259_L_0		0.0000
0.0000	0.0000	0.0000	0.0000	0.0000	0.0000	0.0000			
84 D	32.02	0.000	160.4	90.12	160.4	90.12	UL-RL 3.9569E+05	-16.50	70.00
1.000	1.000	160.1	0.000	0.000	10.00	10.00	Salt_21271_21259_L_0		0.0000
0.0000	0.0000	0.0000	0.0000	0.0000	0.0000	0.0000			
85 D	32.65	0.000	162.4	91.24	162.4	91.24	UL-RL 3.9569E+05	-16.70	72.00
1.000	1.000	163.2	0.000	0.000	10.00	10.00	Salt_21271_21259_L_0		0.0000
0.0000	0.0000	0.0000	0.0000	0.0000	0.0000	0.0000			
86 D	33.27	0.000	164.4	92.37	164.4	92.37	UL-RL 3.9569E+05	-16.90	74.00
1.000	1.000	166.4	0.000	0.000	10.00	10.00	Salt_21271_21259_L_0		0.0000
0.0000	0.0000	0.0000	0.0000	0.0000	0.0000	0.0000			
87 D	33.90	0.000	166.4	93.49	166.4	93.49	UL-RL 3.9569E+05	-17.10	76.00
1.000	1.000	169.5	0.000	0.000	10.00	10.00	Salt_21271_21259_L_0		0.0000
0.0000	0.0000	0.0000	0.0000	0.0000	0.0000	0.0000			
88 D	34.52	0.000	168.4	94.62	168.4	94.62	UL-RL 3.9569E+05	-17.30	78.00
1.000	1.000	172.6	0.000	0.000	10.00	10.00	Salt_21271_21259_L_0		0.0000
0.0000	0.0000	0.0000	0.0000	0.0000	0.0000	0.0000			
89 D	35.15	0.000	170.4	95.74	170.4	95.74	UL-RL 3.9569E+05	-17.50	80.00
1.000	1.000	175.7	0.000	0.000	10.00	10.00	Salt_21271_21259_L_0		0.0000
0.0000	0.0000	0.0000	0.0000	0.0000	0.0000	0.0000			
90 D	35.78	0.000	172.4	96.91	172.4	96.91	UL-RL 2.9499E+05	-17.70	82.00
1.000	1.000	178.9	0.000	0.000	55.00	55.00	Sch_21272_21260_L_0		0.0000
0.0000	0.0000	0.0000	0.0000	0.0000	0.0000	0.0000			
91 D	36.48	0.000	175.0	98.38	175.0	98.38	UL-RL 2.9499E+05	-17.90	84.00
1.000	1.000	182.4	0.000	0.000	55.00	55.00	Sch_21272_21260_L_0		0.0000

0.0000	0.0000	0.0000	0.0000	0.0000						
92 D	27.88	0.000	177.6	99.84	177.6	99.84	UL-RL 2.9499E+05	-18.10	86.00	
1.000	1.000	185.8	0.000	0.000	55.00	55.00	Sch_21272_21260_L_0		0.0000	
0.0000	0.0000	0.0000	0.0000	0.0000						
93 D	9.378	0.000	178.9	100.6	178.9	100.6	UL-RL 2.9499E+05	-18.20	87.00	
1.000	1.000	187.6	0.000	0.000	55.00	55.00	Sch_21272_21260_L_0		0.0000	
0.0000	0.0000	0.0000	0.0000	0.0000						

```

+-----+
|                PARATIEPLUS(TM)  NLS ENGINE RELEASE  2022.0.0  FULL VERSION  *Build date:Sep 13, 2021*                |
|                                                                                                                                            |
|                                                                                               ParatiePlus                               |
|                                                                                               Exe Time :28 January 2022   11:11:19                               |
+-----+

```

New Project

S T R E S S R E S U L T S F O R G R O U P N O . 3

```

pali15001.7_33 :
ELEMENT TYPE   2 NO.OF ELEMENTS. IN THIS GROUP   68
C U R R E N T   T I M E   I S   2.0000 SUBINCREMENT 00001/00001

```

WALL2D ELEMENT

EL	TA	TB	MA	MB
1	0.0000	0.0000	0.0000	0.0000
2	0.0000	0.0000	0.0000	0.0000
3	0.0000	0.0000	0.0000	0.0000
4	0.0000	0.0000	0.0000	0.0000
5	0.0000	0.0000	0.0000	0.0000
6	0.0000	0.0000	0.0000	0.0000
7	0.0000	0.0000	0.0000	0.0000
8	0.0000	0.0000	0.0000	0.0000
9	0.0000	0.0000	0.0000	0.0000
10	0.0000	0.0000	0.0000	0.0000
11	0.0000	0.0000	0.0000	0.0000
12	0.0000	0.0000	0.0000	0.0000
13	0.0000	0.0000	0.0000	0.0000
14	0.0000	0.0000	0.0000	0.0000
15	0.0000	0.0000	0.0000	0.0000
16	0.0000	0.0000	0.0000	0.0000
17	0.0000	0.0000	0.0000	0.0000
18	0.0000	0.0000	0.0000	0.0000
19	0.0000	0.0000	0.0000	0.0000
20	0.0000	0.0000	0.0000	0.0000
21	0.0000	0.0000	0.0000	0.0000
22	0.0000	0.0000	0.0000	0.0000
23	0.0000	0.0000	0.0000	0.0000
24	0.0000	0.0000	0.0000	0.0000
25	0.0000	0.0000	0.0000	0.0000
26	0.0000	0.0000	0.0000	0.0000
27	0.0000	0.0000	0.0000	0.0000
28	0.0000	0.0000	0.0000	0.0000
29	0.0000	0.0000	0.0000	0.0000
30	0.0000	0.0000	0.0000	0.0000
31	0.0000	0.0000	0.0000	0.0000
32	0.0000	0.0000	0.0000	0.0000
33	0.0000	0.0000	0.0000	0.0000
34	0.0000	0.0000	0.0000	0.0000
35	0.0000	0.0000	0.0000	0.0000
36	0.0000	0.0000	0.0000	0.0000
37	0.0000	0.0000	0.0000	0.0000
38	0.0000	0.0000	0.0000	0.0000
39	0.0000	0.0000	0.0000	0.0000
40	0.0000	0.0000	0.0000	0.0000
41	0.0000	0.0000	0.0000	0.0000
42	0.0000	0.0000	0.0000	0.0000
43	0.0000	0.0000	0.0000	0.0000
44	0.0000	0.0000	0.0000	0.0000
45	0.0000	0.0000	0.0000	0.0000
46	0.0000	0.0000	0.0000	0.0000
47	0.0000	0.0000	0.0000	0.0000
48	0.0000	0.0000	0.0000	0.0000
49	0.0000	0.0000	0.0000	0.0000
50	0.0000	0.0000	0.0000	0.0000
51	0.0000	0.0000	0.0000	0.0000
52	0.0000	0.0000	0.0000	0.0000
53	0.0000	0.0000	0.0000	0.0000
54	0.0000	0.0000	0.0000	0.0000
55	0.0000	0.0000	0.0000	0.0000
56	0.0000	0.0000	0.0000	0.0000
57	0.0000	0.0000	0.0000	0.0000
58	0.0000	0.0000	0.0000	0.0000
59	0.0000	0.0000	0.0000	0.0000
60	0.0000	0.0000	0.0000	0.0000
61	0.0000	0.0000	0.0000	0.0000
62	0.0000	0.0000	0.0000	0.0000
63	0.0000	0.0000	0.0000	0.0000
64	0.0000	0.0000	0.0000	0.0000
65	0.0000	0.0000	0.0000	0.0000
66	0.0000	0.0000	0.0000	0.0000
67	0.0000	0.0000	0.0000	0.0000
68	0.0000	0.0000	0.0000	0.0000

```

+-----+
|                PARATIEPLUS(TM)  NLS ENGINE RELEASE  2022.0.0  FULL VERSION  *Build date:Sep 13, 2021*                |
|                                                                                                                                            |
|                                                                                               ParatiePlus                                                                 |
|                                                                                               Exe Time :28 January 2022  11:11:19                                                                 |
+-----+

```

New Project

S T R E S S R E S U L T S F O R G R O U P N O . 4

muro71cm_4658 :
ELEMENT TYPE 2 NO.OF ELEMENTS. IN THIS GROUP 24
C U R R E N T T I M E I S 2.0000 SUBINCREMENT 00001/00001

WALL2D ELEMENT

EL TA TB MA MB

***** NO ONE ELEMENT ACTIVE AT CURRENT STEP *****

```

ITER   0  RNORM = 0.000   RMNORM= 0.000
RINORM=0.1208E+06 RIMNOR= 0.000
RENORM=0.2352E+05 REMNOR= 0.000   RATIO =0.4413   TOLER =0.1000E-03 NOT CONVERGED
RFMAX = 54.51   RMMAX = 0.000
RTSMAL=0.1000E-03 RMSMAL= 0.000
RDT =0.1208E+06 RDR = 0.000
RATIOT=0.4413   RATIO= 0.000
MAX UN= 0.000   IEQ= 186 NODE   93 DOF   2   X-ROT. F
MIN UN=-18.26   IEQ= 133 NODE   67 DOF   1   Y-DISPL.F
NO. OF CONTACT CONSTRAINT VIOLATIONS   0

```

```

ITER   2  RNORM = 0.000   RMNORM= 0.000
RINORM=0.1208E+06 RIMNOR= 0.000
RENORM= 3350.   REMNOR=0.4799E-17 RATIO =0.1665   TOLER =0.1000E-03 NOT CONVERGED
RFMAX = 54.51   RMMAX = 0.000
RTSMAL=0.1000E-03 RMSMAL= 0.000
RDT =0.1208E+06 RDR = 0.000
RATIOT=0.1665   RATIO= 0.000
MAX UN=0.5656E-08 IEQ= 133 NODE   67 DOF   1   Y-DISPL.F
MIN UN=-19.64   IEQ= 163 NODE   82 DOF   1   Y-DISPL.F
NO. OF CONTACT CONSTRAINT VIOLATIONS   0

```

```

ITER   3  RNORM = 0.000   RMNORM= 0.000
RINORM=0.1208E+06 RIMNOR= 0.000
RENORM= 3405.   REMNOR=0.5279E-16 RATIO =0.1679   TOLER =0.1000E-03 NOT CONVERGED
RFMAX = 54.51   RMMAX = 0.000
RTSMAL=0.1000E-03 RMSMAL= 0.000
RDT =0.1208E+06 RDR = 0.000
RATIOT=0.1679   RATIO= 0.000
MAX UN=0.3933E-07 IEQ= 71 NODE   36 DOF   1   Y-DISPL.F
MIN UN=-26.84   IEQ= 177 NODE   89 DOF   1   Y-DISPL.F
NO. OF CONTACT CONSTRAINT VIOLATIONS   0

```

```

ITER   4  RNORM = 0.000   RMNORM= 0.000
RINORM=0.1208E+06 RIMNOR= 0.000
RENORM= 366.3   REMNOR=0.3103E-16 RATIO =0.5507E-01 TOLER =0.1000E-03 NOT CONVERGED
RFMAX = 54.51   RMMAX = 0.000
RTSMAL=0.1000E-03 RMSMAL= 0.000
RDT =0.1208E+06 RDR = 0.000
RATIOT=0.5507E-01 RATIO= 0.000
MAX UN= 2.735   IEQ= 177 NODE   89 DOF   1   Y-DISPL.F
MIN UN=-15.50   IEQ= 165 NODE   83 DOF   1   Y-DISPL.F
NO. OF CONTACT CONSTRAINT VIOLATIONS   0

```

```

ITER   5  RNORM = 0.000   RMNORM= 0.000
RINORM=0.1208E+06 RIMNOR= 0.000
RENORM=0.1083E-01 REMNOR=0.2785E-16 RATIO =0.2995E-03 TOLER =0.1000E-03 NOT CONVERGED
RFMAX = 54.51   RMMAX = 0.000
RTSMAL=0.1000E-03 RMSMAL= 0.000
RDT =0.1208E+06 RDR = 0.000
RATIOT=0.2995E-03 RATIO= 0.000
MAX UN=0.1041   IEQ= 185 NODE   93 DOF   1   Y-DISPL.F
MIN UN=-.2477E-07 IEQ= 51 NODE   26 DOF   1   Y-DISPL.F
NO. OF CONTACT CONSTRAINT VIOLATIONS   0

```

```

ITER   6  RNORM = 0.000   RMNORM= 0.000
RINORM=0.1208E+06 RIMNOR= 0.000
RENORM=0.3639E-03 REMNOR=0.1542E-16 RATIO =0.5489E-04 TOLER =0.1000E-03   CONVERGED !
RFMAX = 54.51   RMMAX = 0.000
RTSMAL=0.1000E-03 RMSMAL= 0.000
RDT =0.1208E+06 RDR = 0.000
RATIOT=0.5489E-04 RATIO= 0.000

```

MAX UN=0.4215E-07 IEQ= 61 NODE 31 DOF 1 Y-DISPL.F
MIN UN=-.1089E-01 IEQ= 169 NODE 85 DOF 1 Y-DISPL.F
NO. OF CONTACT CONSTRAINT VIOLATIONS 0


```

+-----+
|                PARATIEPLUS(TM)  NLS ENGINE RELEASE  2022.0.0  FULL VERSION  *Build date:Sep 13, 2021*                |
|                                                                                                                                            |
|                                                                                                                                            |
|                                                                                                                                            |
|                                                                                                                                            |
|                                                                                                                                            |
|                ParatiePlus                                                                                                                                            |
|                Exe Time :28 January 2022  11:11:19                                                                                                                                            |
+-----+

```

New Project
SOLUTION REACHED USING 6 ITERATIONS ON 40

PRINT OUT FOR TIME STEP 3 (AT TIME 3.000) SUBINCREMENT 00001/00001

PRINT OUT OF ACTIVE COMPONENTS (FIXED NODES ARE NOT PRINTED OUT)

	Y-DISPL.F 02	X-ROT. F 04
1	-3.0408604E-02	2.4010540E-03
2	-2.9928395E-02	2.4010310E-03
3	-2.9448198E-02	2.4009130E-03
4	-2.8968043E-02	2.4005986E-03
5	-2.8487979E-02	2.3999797E-03
6	-2.8008079E-02	2.3989420E-03
7	-2.7528438E-02	2.3973647E-03
8	-2.7049178E-02	2.3951205E-03
9	-2.6570444E-02	2.3920756E-03
10	-2.6092410E-02	2.3880898E-03
11	-2.5615280E-02	2.3830162E-03
12	-2.5139286E-02	2.3767015E-03
13	-2.4664693E-02	2.3689860E-03
14	-2.4191797E-02	2.3597031E-03
15	-2.3720928E-02	2.3486801E-03
16	-2.3252453E-02	2.3357372E-03
17	-2.2786771E-02	2.3206884E-03
18	-2.2324328E-02	2.3033411E-03
19	-2.1865601E-02	2.2834957E-03
20	-2.1411110E-02	2.2609464E-03
21	-2.0961419E-02	2.2354806E-03
22	-2.0517129E-02	2.2068788E-03
23	-2.0078892E-02	2.1749151E-03
24	-1.9647403E-02	2.1393570E-03
25	-1.9434419E-02	2.1201630E-03
26	-1.9011362E-02	2.1102380E-03
27	-1.8590395E-02	2.0992771E-03
28	-1.8171726E-02	2.0872177E-03
29	-1.7755584E-02	2.0740155E-03
30	-1.7342198E-02	2.0596443E-03
31	-1.6931804E-02	2.0440962E-03
32	-1.6524639E-02	2.0273816E-03
33	-1.6120930E-02	2.0095289E-03
34	-1.5720901E-02	1.9905850E-03
35	-1.5324764E-02	1.9706149E-03
36	-1.4932717E-02	1.9497020E-03
37	-1.4544940E-02	1.9279412E-03
38	-1.4161593E-02	1.9054283E-03
39	-1.3782814E-02	1.8822552E-03
40	-1.3408729E-02	1.8585106E-03
41	-1.3039443E-02	1.8342798E-03
42	-1.2675044E-02	1.8096444E-03
43	-1.2315608E-02	1.7846834E-03
44	-1.1961189E-02	1.7594717E-03
45	-1.1611832E-02	1.7340819E-03
46	-1.1267564E-02	1.7085830E-03
47	-1.0928401E-02	1.6830415E-03
48	-1.0594348E-02	1.6575209E-03
49	-1.0265389E-02	1.6320814E-03
50	-9.9415057E-03	1.6067811E-03
51	-9.6226638E-03	1.5816748E-03
52	-9.3088272E-03	1.5568147E-03
53	-8.9999262E-03	1.5322480E-03
54	-8.6959054E-03	1.5080206E-03
55	-8.3966925E-03	1.4841746E-03
56	-8.1022075E-03	1.4607495E-03
57	-7.8123623E-03	1.4377814E-03
58	-7.5270622E-03	1.4153039E-03
59	-7.2462059E-03	1.3933478E-03
60	-6.9696865E-03	1.3719408E-03
61	-6.6973913E-03	1.3511085E-03
62	-6.4292033E-03	1.3308733E-03
63	-6.1650008E-03	1.3112556E-03
64	-5.9046587E-03	1.2922728E-03
65	-5.6480483E-03	1.2739402E-03
66	-5.3950384E-03	1.2562705E-03
67	-5.1454952E-03	1.2392742E-03
68	-4.8992833E-03	1.2229593E-03
69	-4.6562657E-03	1.2073316E-03
70	-4.4163046E-03	1.1923948E-03
71	-4.1792616E-03	1.1781505E-03
72	-3.9449983E-03	1.1645982E-03
73	-3.7133764E-03	1.1517351E-03
74	-3.4842586E-03	1.1395567E-03

75	-3.2575085E-03	1.1280562E-03
76	-3.0329915E-03	1.1172252E-03
77	-2.8105746E-03	1.1070529E-03
78	-2.5901272E-03	1.0975269E-03
79	-2.3715217E-03	1.0886328E-03
80	-2.1546331E-03	1.0803536E-03
81	-1.9393409E-03	1.0726645E-03
82	-1.7255304E-03	1.0655290E-03
83	-1.5130906E-03	1.0589746E-03
84	-1.3018958E-03	1.0530918E-03
85	-1.0918039E-03	1.0479582E-03
86	-8.8265830E-04	1.0436382E-03
87	-6.7429102E-04	1.0401822E-03
88	-4.6652712E-04	1.0376006E-03
89	-2.5919619E-04	1.0358380E-03
90	-5.2134716E-05	1.0347783E-03
91	1.5476185E-04	1.0342640E-03
92	3.6159460E-04	1.0341054E-03
93	4.6500460E-04	1.0340972E-03

```

+-----+
|                PARATIEPLUS(TM)  NLS ENGINE RELEASE 2022.0.0  FULL VERSION  *Build date:Sep 13, 2021*                |
|                                                                                                                                            |
|                                                                                               ParatiePlus                                                                                               |
|                                                                                               Exe Time :28 January 2022  11:11:19                                                                                               |
+-----+

```

New Project

STRESS RESULTS FOR GROUP NO. 1

0_L :
ELEMENT TYPE 5 NO.OF ELEMENTS. IN THIS GROUP 93
CURRENT TIME IS 3.0000 SUBINCREMENT 00001/00001

HARDENING 2D SOIL ELEMENT

***** TOTAL STRESS FORMULATION *****

EL * TOR QSL	FORCE UFACTOR ZD	DISPL-Y Peq ZPL	VERTICAL-P Su_a Kz	HORIZON.-P Su_p	MAX-V-P Coh_e_a	MAX-H-P Coh_e_p	STATE LAYER	STIFFNESS	Z-LEVEL	PORE ZFO	E FAC- QS
1	0.000	--	--	--	--	--	REMOVED	--	0.000	0.000	
1.000	1.000	0.000	0.000	0.000	0.000	0.000	not available				
2	0.000	--	--	--	--	--	REMOVED	--	-0.2000	0.000	
1.000	1.000	0.000	0.000	0.000	0.000	0.000	not available				
3	0.000	--	--	--	--	--	REMOVED	--	-0.4000	0.000	
1.000	1.000	0.000	0.000	0.000	0.000	0.000	not available				
4	0.000	--	--	--	--	--	REMOVED	--	-0.6000	0.000	
1.000	1.000	0.000	0.000	0.000	0.000	0.000	not available				
5	0.000	--	--	--	--	--	REMOVED	--	-0.8000	0.000	
1.000	1.000	0.000	0.000	0.000	0.000	0.000	not available				
6	0.000	--	--	--	--	--	REMOVED	--	-1.000	0.000	
1.000	1.000	0.000	0.000	0.000	0.000	0.000	not available				
7	0.000	--	--	--	--	--	REMOVED	--	-1.200	0.000	
1.000	1.000	0.000	0.000	0.000	0.000	0.000	not available				
8	0.000	--	--	--	--	--	REMOVED	--	-1.400	0.000	
1.000	1.000	0.000	0.000	0.000	0.000	0.000	not available				
9	0.000	--	--	--	--	--	REMOVED	--	-1.600	0.000	
1.000	1.000	0.000	0.000	0.000	0.000	0.000	not available				
10	0.000	--	--	--	--	--	REMOVED	--	-1.800	0.000	
1.000	1.000	0.000	0.000	0.000	0.000	0.000	not available				
11	0.000	--	--	--	--	--	REMOVED	--	-2.000	0.000	
1.000	1.000	0.000	0.000	0.000	0.000	0.000	not available				
12	0.000	--	--	--	--	--	REMOVED	--	-2.200	0.000	
1.000	1.000	0.000	0.000	0.000	0.000	0.000	not available				
13	0.000	--	--	--	--	--	REMOVED	--	-2.400	0.000	
1.000	1.000	0.000	0.000	0.000	0.000	0.000	not available				
14	0.000	--	--	--	--	--	REMOVED	--	-2.600	0.000	
1.000	1.000	0.000	0.000	0.000	0.000	0.000	not available				
15	0.000	--	--	--	--	--	REMOVED	--	-2.800	0.000	
1.000	1.000	0.000	0.000	0.000	0.000	0.000	not available				
16	0.000	--	--	--	--	--	REMOVED	--	-3.000	0.000	
1.000	1.000	0.000	0.000	0.000	0.000	0.000	not available				
17	0.000	--	--	--	--	--	REMOVED	--	-3.200	0.000	
1.000	1.000	0.000	0.000	0.000	0.000	0.000	not available				
18	0.000	--	--	--	--	--	REMOVED	--	-3.400	0.000	
1.000	1.000	0.000	0.000	0.000	0.000	0.000	not available				
19	0.000	--	--	--	--	--	REMOVED	--	-3.600	0.000	
1.000	1.000	0.000	0.000	0.000	0.000	0.000	not available				
20	0.000	--	--	--	--	--	REMOVED	--	-3.800	0.000	
1.000	1.000	0.000	0.000	0.000	0.000	0.000	not available				
21	0.000	--	--	--	--	--	REMOVED	--	-4.000	0.000	
1.000	1.000	0.000	0.000	0.000	0.000	0.000	not available				
22	0.000	--	--	--	--	--	REMOVED	--	-4.200	0.000	
1.000	1.000	0.000	0.000	0.000	0.000	0.000	not available				
23	0.000	--	--	--	--	--	REMOVED	--	-4.400	0.000	
1.000	1.000	0.000	0.000	0.000	0.000	0.000	not available				
24	0.000	--	--	--	--	--	REMOVED	--	-4.600	0.000	
1.000	1.000	0.000	0.000	0.000	0.000	0.000	not available				
25 D	0.000	1.9434E-02	0.000	0.000	0.000	0.000	PASSIVE	0.000	-4.700	0.000	
1.000	1.000	0.000	0.000	0.000	0.000	0.000	Ala_161_6590_L_0			0.0000	
0.0000	0.0000	0.0000	0.0000	0.0000	0.0000						
26 D	2.513	1.9011E-02	3.900	12.57	3.900	12.57	PASSIVE	0.000	-4.900	0.000	
1.000	1.000	12.57	0.000	0.000	0.000	0.000	Ala_161_6590_L_0			0.0000	
0.0000	0.0000	0.0000	0.0000	0.0000	0.0000						
27 D	5.026	1.8590E-02	7.800	25.13	7.800	25.13	PASSIVE	0.000	-5.100	0.000	
1.000	1.000	25.13	0.000	0.000	0.000	0.000	Ala_161_6590_L_0			0.0000	
0.0000	0.0000	0.0000	0.0000	0.0000	0.0000						
28 D	7.539	1.8172E-02	11.70	37.70	11.70	37.70	PASSIVE	0.000	-5.300	0.000	
1.000	1.000	37.70	0.000	0.000	0.000	0.000	Ala_161_6590_L_0			0.0000	
0.0000	0.0000	0.0000	0.0000	0.0000	0.0000						
29 D	10.05	1.7756E-02	15.60	50.26	15.60	50.26	PASSIVE	0.000	-5.500	0.000	
1.000	1.000	50.26	0.000	0.000	0.000	0.000	Ala_161_6590_L_0			0.0000	
0.0000	0.0000	0.0000	0.0000	0.0000	0.0000						
30 D	12.57	1.7342E-02	19.50	62.83	19.50	62.83	PASSIVE	0.000	-5.700	0.000	

1.000	1.000	62.83	0.000	0.000	0.000	0.000	Ala_161_6590_L_0	0.0000	
0.0000	0.0000	0.0000	0.0000	0.0000	0.0000	0.0000			
31 D	15.08	1.6932E-02	23.40	75.39	23.40	75.39	PASSIVE 0.000	-5.900	0.000
1.000	1.000	75.39	0.000	0.000	0.000	0.000	Ala_161_6590_L_0	0.0000	
0.0000	0.0000	0.0000	0.0000	0.0000	0.0000	0.0000			
32 D	17.59	1.6525E-02	27.30	87.96	27.30	87.96	PASSIVE 0.000	-6.100	0.000
1.000	1.000	87.96	0.000	0.000	0.000	0.000	Ala_161_6590_L_0	0.0000	
0.0000	0.0000	0.0000	0.0000	0.0000	0.0000	0.0000			
33 D	20.11	1.6121E-02	31.20	100.5	31.20	100.5	PASSIVE 0.000	-6.300	0.000
1.000	1.000	100.5	0.000	0.000	0.000	0.000	Ala_161_6590_L_0	0.0000	
0.0000	0.0000	0.0000	0.0000	0.0000	0.0000	0.0000			
34 D	22.62	1.5721E-02	35.10	113.1	35.10	113.1	PASSIVE 0.000	-6.500	0.000
1.000	1.000	113.1	0.000	0.000	0.000	0.000	Ala_161_6590_L_0	0.0000	
0.0000	0.0000	0.0000	0.0000	0.0000	0.0000	0.0000			
35 D	25.13	1.5325E-02	39.00	125.7	39.00	125.7	PASSIVE 0.000	-6.700	0.000
1.000	1.000	125.7	0.000	0.000	0.000	0.000	Ala_161_6590_L_0	0.0000	
0.0000	0.0000	0.0000	0.0000	0.0000	0.0000	0.0000			
36 D	26.07	1.4933E-02	42.90	130.4	42.90	130.4	V-C 7116.	-6.900	0.000
1.000	1.000	130.4	0.000	0.000	0.000	0.000	Ala_161_6590_L_0	0.0000	
0.0000	0.0000	0.0000	0.0000	0.0000	0.0000	0.0000			
37 D	25.96	1.4545E-02	46.80	129.8	46.80	129.8	V-C 7116.	-7.100	0.000
1.000	1.000	129.8	0.000	0.000	0.000	0.000	Ala_161_6590_L_0	0.0000	
0.0000	0.0000	0.0000	0.0000	0.0000	0.0000	0.0000			
38 D	25.85	1.4162E-02	50.70	129.3	50.70	129.3	V-C 7116.	-7.300	0.000
1.000	1.000	129.3	0.000	0.000	0.000	0.000	Ala_161_6590_L_0	0.0000	
0.0000	0.0000	0.0000	0.0000	0.0000	0.0000	0.0000			
39 D	25.75	1.3783E-02	54.60	128.8	54.60	128.8	V-C 7116.	-7.500	0.000
1.000	1.000	128.8	0.000	0.000	0.000	0.000	Ala_161_6590_L_0	0.0000	
0.0000	0.0000	0.0000	0.0000	0.0000	0.0000	0.0000			
40 D	25.66	1.3409E-02	58.50	128.3	58.50	128.3	V-C 7116.	-7.700	0.000
1.000	1.000	128.3	0.000	0.000	0.000	0.000	Ala_161_6590_L_0	0.0000	
0.0000	0.0000	0.0000	0.0000	0.0000	0.0000	0.0000			
41 D	25.57	1.3039E-02	62.40	127.9	62.40	127.9	V-C 7116.	-7.900	0.000
1.000	1.000	127.9	0.000	0.000	0.000	0.000	Ala_161_6590_L_0	0.0000	
0.0000	0.0000	0.0000	0.0000	0.0000	0.0000	0.0000			
42 D	25.49	1.2675E-02	66.30	127.5	66.30	127.5	V-C 7116.	-8.100	0.000
1.000	1.000	127.5	0.000	0.000	0.000	0.000	Ala_161_6590_L_0	0.0000	
0.0000	0.0000	0.0000	0.0000	0.0000	0.0000	0.0000			
43 D	25.42	1.2316E-02	70.20	127.1	70.20	127.1	V-C 7116.	-8.300	0.000
1.000	1.000	127.1	0.000	0.000	0.000	0.000	Ala_161_6590_L_0	0.0000	
0.0000	0.0000	0.0000	0.0000	0.0000	0.0000	0.0000			
44 D	25.35	1.1961E-02	74.10	126.8	74.10	126.8	V-C 7116.	-8.500	0.000
1.000	1.000	126.8	0.000	0.000	0.000	0.000	Ala_161_6590_L_0	0.0000	
0.0000	0.0000	0.0000	0.0000	0.0000	0.0000	0.0000			
45 D	25.29	1.1612E-02	78.00	126.5	78.00	126.5	V-C 7116.	-8.700	0.000
1.000	1.000	126.5	0.000	0.000	0.000	0.000	Ala_161_6590_L_0	0.0000	
0.0000	0.0000	0.0000	0.0000	0.0000	0.0000	0.0000			
46 D	25.24	1.1268E-02	81.90	126.2	81.90	126.2	V-C 7116.	-8.900	0.000
1.000	1.000	126.2	0.000	0.000	0.000	0.000	Ala_161_6590_L_0	0.0000	
0.0000	0.0000	0.0000	0.0000	0.0000	0.0000	0.0000			
47 D	25.20	1.0928E-02	85.80	126.0	85.80	126.0	V-C 7116.	-9.100	0.000
1.000	1.000	126.0	0.000	0.000	0.000	0.000	Ala_161_6590_L_0	0.0000	
0.0000	0.0000	0.0000	0.0000	0.0000	0.0000	0.0000			
48 D	25.16	1.0594E-02	89.70	125.8	89.70	125.8	V-C 7116.	-9.300	0.000
1.000	1.000	125.8	0.000	0.000	0.000	0.000	Ala_161_6590_L_0	0.0000	
0.0000	0.0000	0.0000	0.0000	0.0000	0.0000	0.0000			
49 D	25.13	1.0265E-02	93.60	125.7	93.60	125.7	V-C 7116.	-9.500	0.000
1.000	1.000	125.7	0.000	0.000	0.000	0.000	Ala_161_6590_L_0	0.0000	
0.0000	0.0000	0.0000	0.0000	0.0000	0.0000	0.0000			
50 D	25.28	9.9415E-03	95.50	124.4	95.50	124.4	V-C 7116.	-9.700	2.000
1.000	1.000	126.4	0.000	0.000	0.000	0.000	Ala_161_6590_L_0	0.0000	
0.0000	0.0000	0.0000	0.0000	0.0000	0.0000	0.0000			
51 D	25.44	9.6227E-03	97.40	123.2	97.40	123.2	V-C 7116.	-9.900	4.000
1.000	1.000	127.2	0.000	0.000	0.000	0.000	Ala_161_6590_L_0	0.0000	
0.0000	0.0000	0.0000	0.0000	0.0000	0.0000	0.0000			
52 D	25.61	9.3088E-03	99.30	122.1	99.30	122.1	V-C 7116.	-10.10	6.000
1.000	1.000	128.1	0.000	0.000	0.000	0.000	Ala_161_6590_L_0	0.0000	
0.0000	0.0000	0.0000	0.0000	0.0000	0.0000	0.0000			
53 D	25.78	8.9999E-03	101.2	120.9	101.2	120.9	V-C 7116.	-10.30	8.000
1.000	1.000	128.9	0.000	0.000	0.000	0.000	Ala_161_6590_L_0	0.0000	
0.0000	0.0000	0.0000	0.0000	0.0000	0.0000	0.0000			
54 D	25.96	8.6959E-03	103.1	119.8	103.1	119.8	V-C 7116.	-10.50	10.000
1.000	1.000	129.8	0.000	0.000	0.000	0.000	Ala_161_6590_L_0	0.0000	
0.0000	0.0000	0.0000	0.0000	0.0000	0.0000	0.0000			
55 D	26.15	8.3967E-03	105.0	118.8	105.0	118.8	V-C 7116.	-10.70	12.00
1.000	1.000	130.8	0.000	0.000	0.000	0.000	Ala_161_6590_L_0	0.0000	
0.0000	0.0000	0.0000	0.0000	0.0000	0.0000	0.0000			
56 D	26.35	8.1022E-03	106.9	117.7	106.9	117.7	V-C 7116.	-10.90	14.00
1.000	1.000	131.7	0.000	0.000	0.000	0.000	Ala_161_6590_L_0	0.0000	
0.0000	0.0000	0.0000	0.0000	0.0000	0.0000	0.0000			
57 D	26.55	7.8124E-03	108.8	116.7	108.8	116.7	V-C 7116.	-11.10	16.00
1.000	1.000	132.7	0.000	0.000	0.000	0.000	Ala_161_6590_L_0	0.0000	
0.0000	0.0000	0.0000	0.0000	0.0000	0.0000	0.0000			
58 D	26.76	7.5271E-03	110.7	115.8	110.7	115.8	V-C 7116.	-11.30	18.00
1.000	1.000	133.8	0.000	0.000	0.000	0.000	Ala_161_6590_L_0	0.0000	
0.0000	0.0000	0.0000	0.0000	0.0000	0.0000	0.0000			
59 D	26.97	7.2462E-03	112.6	114.8	112.6	114.8	V-C 7116.	-11.50	20.00
1.000	1.000	134.8	0.000	0.000	0.000	0.000	Ala_161_6590_L_0	0.0000	
0.0000	0.0000	0.0000	0.0000	0.0000	0.0000	0.0000			
60 D	27.19	6.9697E-03	114.5	113.9	114.5	113.9	V-C 7116.	-11.70	22.00
1.000	1.000	135.9	0.000	0.000	0.000	0.000	Ala_161_6590_L_0	0.0000	
0.0000	0.0000	0.0000	0.0000	0.0000	0.0000	0.0000			

61 D	27.42	6.6974E-03	116.4	113.1	116.4	113.1	V-C	7116.	-11.90	24.00
1.000	1.000	137.1	0.000	0.000	0.000	0.000	Ala_161_6590_L_0			0.0000
0.0000	0.0000	0.0000	0.0000	0.0000						
62 D	27.65	6.4292E-03	118.3	112.2	118.3	112.2	V-C	7116.	-12.10	26.00
1.000	1.000	138.2	0.000	0.000	0.000	0.000	Ala_161_6590_L_0			0.0000
0.0000	0.0000	0.0000	0.0000	0.0000						
63 D	27.88	6.1650E-03	120.2	111.4	120.2	111.4	V-C	7116.	-12.30	28.00
1.000	1.000	139.4	0.000	0.000	0.000	0.000	Ala_161_6590_L_0			0.0000
0.0000	0.0000	0.0000	0.0000	0.0000						
64 D	28.13	5.9047E-03	122.1	110.6	122.1	110.6	V-C	7116.	-12.50	30.00
1.000	1.000	140.6	0.000	0.000	0.000	0.000	Ala_161_6590_L_0			0.0000
0.0000	0.0000	0.0000	0.0000	0.0000						
65 D	28.38	5.6480E-03	124.0	109.9	124.0	109.9	V-C	7116.	-12.70	32.00
1.000	1.000	141.9	0.000	0.000	0.000	0.000	Ala_161_6590_L_0			0.0000
0.0000	0.0000	0.0000	0.0000	0.0000						
66 D	28.63	5.3950E-03	125.9	109.1	125.9	109.1	V-C	7116.	-12.90	34.00
1.000	1.000	143.1	0.000	0.000	0.000	0.000	Ala_161_6590_L_0			0.0000
0.0000	0.0000	0.0000	0.0000	0.0000						
67 D	28.89	5.1455E-03	127.8	108.4	127.8	108.4	V-C	7116.	-13.10	36.00
1.000	1.000	144.4	0.000	0.000	0.000	0.000	Ala_161_6590_L_0			0.0000
0.0000	0.0000	0.0000	0.0000	0.0000						
68 D	29.15	4.8993E-03	129.7	107.8	129.7	107.8	V-C	7116.	-13.30	38.00
1.000	1.000	145.8	0.000	0.000	0.000	0.000	Ala_161_6590_L_0			0.0000
0.0000	0.0000	0.0000	0.0000	0.0000						
69 D	29.42	4.6563E-03	131.6	107.1	131.6	107.1	V-C	7116.	-13.50	40.00
1.000	1.000	147.1	0.000	0.000	0.000	0.000	Ala_161_6590_L_0			0.0000
0.0000	0.0000	0.0000	0.0000	0.0000						
70 D	29.69	4.4163E-03	133.5	106.5	133.5	106.5	V-C	7116.	-13.70	42.00
1.000	1.000	148.5	0.000	0.000	0.000	0.000	Ala_161_6590_L_0			0.0000
0.0000	0.0000	0.0000	0.0000	0.0000						
71 D	29.97	4.1793E-03	135.4	105.8	135.4	105.8	V-C	7116.	-13.90	44.00
1.000	1.000	149.8	0.000	0.000	0.000	0.000	Ala_161_6590_L_0			0.0000
0.0000	0.0000	0.0000	0.0000	0.0000						
72 D	30.25	3.9450E-03	137.3	105.2	137.3	105.2	UL-RL	2.1349E+04	-14.10	46.00
1.000	1.000	151.2	0.000	0.000	0.000	0.000	Ala_161_6590_L_0			0.0000
0.0000	0.0000	0.0000	0.0000	0.0000						
73 D	30.53	3.7134E-03	139.2	104.7	139.2	104.7	UL-RL	2.1349E+04	-14.30	48.00
1.000	1.000	152.7	0.000	0.000	0.000	0.000	Ala_161_6590_L_0			0.0000
0.0000	0.0000	0.0000	0.0000	0.0000						
74 D	30.82	3.4843E-03	141.1	104.1	141.1	104.1	UL-RL	2.1349E+04	-14.50	50.00
1.000	1.000	154.1	0.000	0.000	0.000	0.000	Ala_161_6590_L_0			0.0000
0.0000	0.0000	0.0000	0.0000	0.0000						
75 D	31.11	3.2575E-03	143.0	103.5	143.0	103.5	UL-RL	2.1349E+04	-14.70	52.00
1.000	1.000	155.5	0.000	0.000	0.000	0.000	Ala_161_6590_L_0			0.0000
0.0000	0.0000	0.0000	0.0000	0.0000						
76 D	31.40	3.0330E-03	144.9	103.0	144.9	103.0	UL-RL	2.1349E+04	-14.90	54.00
1.000	1.000	157.0	0.000	0.000	0.000	0.000	Ala_161_6590_L_0			0.0000
0.0000	0.0000	0.0000	0.0000	0.0000						
77 D	31.70	2.8106E-03	146.8	102.5	146.8	102.5	UL-RL	2.1349E+04	-15.10	56.00
1.000	1.000	158.5	0.000	0.000	0.000	0.000	Ala_161_6590_L_0			0.0000
0.0000	0.0000	0.0000	0.0000	0.0000						
78 D	32.00	2.5901E-03	148.7	102.0	148.7	102.0	UL-RL	2.1349E+04	-15.30	58.00
1.000	1.000	160.0	0.000	0.000	0.000	0.000	Ala_161_6590_L_0			0.0000
0.0000	0.0000	0.0000	0.0000	0.0000						
79 D	32.30	2.3715E-03	150.6	101.5	150.6	101.5	UL-RL	2.1349E+04	-15.50	60.00
1.000	1.000	161.5	0.000	0.000	0.000	0.000	Ala_161_6590_L_0			0.0000
0.0000	0.0000	0.0000	0.0000	0.0000						
80 D	32.61	2.1546E-03	152.5	101.0	152.5	101.0	UL-RL	2.1349E+04	-15.70	62.00
1.000	1.000	163.0	0.000	0.000	0.000	0.000	Ala_161_6590_L_0			0.0000
0.0000	0.0000	0.0000	0.0000	0.0000						
81 D	32.91	1.9393E-03	154.4	100.6	154.4	100.6	UL-RL	2.1349E+04	-15.90	64.00
1.000	1.000	164.6	0.000	0.000	0.000	0.000	Ala_161_6590_L_0			0.0000
0.0000	0.0000	0.0000	0.0000	0.0000						
82 D	44.54	1.7255E-03	156.4	156.7	156.4	156.7	UL-RL	1.1966E+05	-16.10	66.00
1.000	1.000	222.7	0.000	0.000	10.00	10.00	Salt_21271_21259_L_0			0.0000
0.0000	0.0000	0.0000	0.0000	0.0000						
83 D	43.47	1.5131E-03	158.4	149.3	158.4	149.4	UL-RL	1.1966E+05	-16.30	68.00
1.000	1.000	217.3	0.000	0.000	10.00	10.00	Salt_21271_21259_L_0			0.0000
0.0000	0.0000	0.0000	0.0000	0.0000						
84 D	42.41	1.3019E-03	160.4	142.0	160.4	142.1	UL-RL	1.1966E+05	-16.50	70.00
1.000	1.000	212.0	0.000	0.000	10.00	10.00	Salt_21271_21259_L_0			0.0000
0.0000	0.0000	0.0000	0.0000	0.0000						
85 D	41.35	1.0918E-03	162.4	134.8	162.4	134.8	UL-RL	1.1966E+05	-16.70	72.00
1.000	1.000	206.8	0.000	0.000	10.00	10.00	Salt_21271_21259_L_0			0.0000
0.0000	0.0000	0.0000	0.0000	0.0000						
86 D	40.23	8.8266E-04	164.4	127.2	164.4	127.8	UL-RL	1.1966E+05	-16.90	74.00
1.000	1.000	201.2	0.000	0.000	10.00	10.00	Salt_21271_21259_L_0			0.0000
0.0000	0.0000	0.0000	0.0000	0.0000						
87 D	36.99	6.7429E-04	166.4	109.0	166.4	126.1	UL-RL	1.1966E+05	-17.10	76.00
1.000	1.000	185.0	0.000	0.000	10.00	10.00	Salt_21271_21259_L_0			0.0000
0.0000	0.0000	0.0000	0.0000	0.0000						
88 D	33.77	4.6653E-04	168.4	90.86	168.4	124.4	UL-RL	1.1966E+05	-17.30	78.00
1.000	1.000	168.9	0.000	0.000	10.00	10.00	Salt_21271_21259_L_0			0.0000
0.0000	0.0000	0.0000	0.0000	0.0000						
89 D	30.56	2.5920E-04	170.4	72.80	170.4	122.7	UL-RL	1.1966E+05	-17.50	80.00
1.000	1.000	152.8	0.000	0.000	10.00	10.00	Salt_21271_21259_L_0			0.0000
0.0000	0.0000	0.0000	0.0000	0.0000						
90 D	30.64	5.2135E-05	172.4	71.19	172.4	111.7	UL-RL	7.3129E+04	-17.70	82.00
1.000	1.000	153.2	0.000	0.000	55.00	55.00	Sch_21272_21260_L_0			0.0000
0.0000	0.0000	0.0000	0.0000	0.0000						
91 D	28.99	-1.5476E-04	175.0	60.95	175.0	111.4	UL-RL	7.3129E+04	-17.90	84.00
1.000	1.000	144.9	0.000	0.000	55.00	55.00	Sch_21272_21260_L_0			0.0000

0.0000	0.0000	0.0000	0.0000	0.0000						
92 D	20.51	-3.6159E-04	177.6	50.72	177.6	111.2	UL-RL 7.3129E+04	-18.10	86.00	
1.000	1.000	136.7	0.000	0.000	55.00	55.00	Sch_21272_21260_L_0		0.0000	
0.0000	0.0000	0.0000	0.0000	0.0000						
93 D	6.630	-4.6500E-04	178.9	45.60	178.9	111.0	UL-RL 7.3129E+04	-18.20	87.00	
1.000	1.000	132.6	0.000	0.000	55.00	55.00	Sch_21272_21260_L_0		0.0000	
0.0000	0.0000	0.0000	0.0000	0.0000						

```

+-----+
|                PARATIEPLUS(TM)  NLS ENGINE RELEASE  2022.0.0  FULL VERSION  *Build date:Sep 13, 2021*                |
|                                                                                                                                            |
|                                                                                               ParatiePlus                                                                                               |
|                                                                                               Exe Time :28 January 2022  11:11:19                                                                                               |
+-----+

```

New Project

S T R E S S R E S U L T S F O R G R O U P N O . 2

0_R :
ELEMENT TYPE 5 NO.OF ELEMENTS. IN THIS GROUP 93
CURRENT TIME I S 3.0000 SUBINCREMENT 00001/00001

HARDENING 2D SOIL ELEMENT

***** TOTAL STRESS FORMULATION *****

EL * TOR QSL	FORCE UFACTOR ZD	DISPL-Y Peq ZPL	VERTICAL-P Su_a Kz	HORIZON.-P Su_p	MAX-V-P Cohe_a	MAX-H-P Cohe_p	STATE LAYER	STIFFNESS	Z-LEVEL	PORE ZFO	E FAC- QS
1 D	1.340	-3.0409E-02	57.00	13.39	57.00	24.28	ACTIVE	0.000	0.000	0.000	
1.000	1.000	13.40	0.000	0.000	0.000	0.000	rilevato_6589_8_L_0			0.000	
0.0000	0.0000	0.0000	0.0000	0.0000							
2 D	2.867	-2.9928E-02	61.00	14.34	61.00	25.99	ACTIVE	0.000	-0.2000	0.000	
1.000	1.000	14.34	0.000	0.000	0.000	0.000	rilevato_6589_8_L_0			0.000	
0.0000	0.0000	0.0000	0.0000	0.0000							
3 D	3.055	-2.9448E-02	65.00	15.28	65.00	27.69	ACTIVE	0.000	-0.4000	0.000	
1.000	1.000	15.28	0.000	0.000	0.000	0.000	rilevato_6589_8_L_0			0.000	
0.0000	0.0000	0.0000	0.0000	0.0000							
4 D	3.243	-2.8968E-02	69.01	16.22	69.01	29.39	ACTIVE	0.000	-0.6000	0.000	
1.000	1.000	16.22	0.000	0.000	0.000	0.000	rilevato_6589_8_L_0			0.000	
0.0000	0.0000	0.0000	0.0000	0.0000							
5 D	3.432	-2.8488E-02	73.01	17.16	73.01	31.10	ACTIVE	0.000	-0.8000	0.000	
1.000	1.000	17.16	0.000	0.000	0.000	0.000	rilevato_6589_8_L_0			0.000	
0.0000	0.0000	0.0000	0.0000	0.0000							
6 D	3.620	-2.8008E-02	77.03	18.10	77.03	32.80	ACTIVE	0.000	-1.000	0.000	
1.000	1.000	18.10	0.000	0.000	0.000	0.000	rilevato_6589_8_L_0			0.000	
0.0000	0.0000	0.0000	0.0000	0.0000							
7 D	3.809	-2.7528E-02	81.05	19.05	81.05	34.51	ACTIVE	0.000	-1.200	0.000	
1.000	1.000	19.05	0.000	0.000	0.000	0.000	rilevato_6589_8_L_0			0.000	
0.0000	0.0000	0.0000	0.0000	0.0000							
8 D	3.999	-2.7049E-02	85.08	19.99	85.08	36.21	ACTIVE	0.000	-1.400	0.000	
1.000	1.000	19.99	0.000	0.000	0.000	0.000	rilevato_6589_8_L_0			0.000	
0.0000	0.0000	0.0000	0.0000	0.0000							
9 D	4.188	-2.6570E-02	89.11	20.94	89.11	37.91	ACTIVE	0.000	-1.600	0.000	
1.000	1.000	20.94	0.000	0.000	0.000	0.000	rilevato_6589_8_L_0			0.000	
0.0000	0.0000	0.0000	0.0000	0.0000							
10 D	4.378	-2.6092E-02	93.16	21.89	93.16	39.62	ACTIVE	0.000	-1.800	0.000	
1.000	1.000	21.89	0.000	0.000	0.000	0.000	rilevato_6589_8_L_0			0.000	
0.0000	0.0000	0.0000	0.0000	0.0000							
11 D	4.569	-2.5615E-02	97.21	22.84	97.21	41.32	ACTIVE	0.000	-2.000	0.000	
1.000	1.000	22.84	0.000	0.000	0.000	0.000	rilevato_6589_8_L_0			0.000	
0.0000	0.0000	0.0000	0.0000	0.0000							
12 D	4.760	-2.5139E-02	101.3	23.80	101.3	43.03	ACTIVE	0.000	-2.200	0.000	
1.000	1.000	23.80	0.000	0.000	0.000	0.000	rilevato_6589_8_L_0			0.000	
0.0000	0.0000	0.0000	0.0000	0.0000							
13 D	4.951	-2.4665E-02	105.3	24.76	105.3	44.73	ACTIVE	0.000	-2.400	0.000	
1.000	1.000	24.76	0.000	0.000	0.000	0.000	rilevato_6589_8_L_0			0.000	
0.0000	0.0000	0.0000	0.0000	0.0000							
14 D	5.143	-2.4192E-02	109.4	25.71	109.4	46.43	ACTIVE	0.000	-2.600	0.000	
1.000	1.000	25.71	0.000	0.000	0.000	0.000	rilevato_6589_8_L_0			0.000	
0.0000	0.0000	0.0000	0.0000	0.0000							
15 D	5.335	-2.3721E-02	113.5	26.68	113.5	48.14	ACTIVE	0.000	-2.800	0.000	
1.000	1.000	26.68	0.000	0.000	0.000	0.000	rilevato_6589_8_L_0			0.000	
0.0000	0.0000	0.0000	0.0000	0.0000							
16 D	5.528	-2.3252E-02	117.6	27.64	117.6	49.84	ACTIVE	0.000	-3.000	0.000	
1.000	1.000	27.64	0.000	0.000	0.000	0.000	rilevato_6589_8_L_0			0.000	
0.0000	0.0000	0.0000	0.0000	0.0000							
17 D	5.721	-2.2787E-02	121.7	28.60	121.7	51.55	ACTIVE	0.000	-3.200	0.000	
1.000	1.000	28.60	0.000	0.000	0.000	0.000	rilevato_6589_8_L_0			0.000	
0.0000	0.0000	0.0000	0.0000	0.0000							
18 D	5.914	-2.2324E-02	125.8	29.57	125.8	53.25	ACTIVE	0.000	-3.400	0.000	
1.000	1.000	29.57	0.000	0.000	0.000	0.000	rilevato_6589_8_L_0			0.000	
0.0000	0.0000	0.0000	0.0000	0.0000							
19 D	6.108	-2.1866E-02	130.0	30.54	130.0	54.95	ACTIVE	0.000	-3.600	0.000	
1.000	1.000	30.54	0.000	0.000	0.000	0.000	rilevato_6589_8_L_0			0.000	
0.0000	0.0000	0.0000	0.0000	0.0000							
20 D	6.302	-2.1411E-02	134.1	31.51	134.1	56.66	ACTIVE	0.000	-3.800	0.000	
1.000	1.000	31.51	0.000	0.000	0.000	0.000	rilevato_6589_8_L_0			0.000	
0.0000	0.0000	0.0000	0.0000	0.0000							
21 D	6.496	-2.0961E-02	138.2	32.48	138.2	58.36	ACTIVE	0.000	-4.000	0.000	
1.000	1.000	32.48	0.000	0.000	0.000	0.000	rilevato_6589_8_L_0			0.000	
0.0000	0.0000	0.0000	0.0000	0.0000							
22 D	6.691	-2.0517E-02	142.4	33.45	142.4	60.07	ACTIVE	0.000	-4.200	0.000	

1.000	1.000	33.45	0.000	0.000	0.000	0.000	0.000	rilevato_6589_8_L_0		0.0000
0.0000	0.0000	0.0000	0.0000	0.0000	0.0000					
23 D	6.885	-2.0079E-02	146.5	34.43	146.5	61.77		ACTIVE 0.000	-4.400	0.000
1.000	1.000	34.43	0.000	0.000	0.000	0.000		rilevato_6589_8_L_0		0.0000
0.0000	0.0000	0.0000	0.0000	0.0000						
24 D	5.310	-1.9647E-02	150.6	35.40	150.6	63.47		ACTIVE 0.000	-4.600	0.000
1.000	1.000	35.40	0.000	0.000	0.000	0.000		rilevato_6589_8_L_0		0.0000
0.0000	0.0000	0.0000	0.0000	0.0000						
25 D	8.224	-1.9434E-02	152.7	54.82	152.7	85.82		ACTIVE 0.000	-4.700	0.000
1.000	1.000	54.82	0.000	0.000	0.000	0.000		Ala_161_6590_L_0		0.0000
0.0000	0.0000	0.0000	0.0000	0.0000						
26 D	11.26	-1.9011E-02	156.8	56.28	156.8	88.10		ACTIVE 0.000	-4.900	0.000
1.000	1.000	56.28	0.000	0.000	0.000	0.000		Ala_161_6590_L_0		0.0000
0.0000	0.0000	0.0000	0.0000	0.0000						
27 D	11.55	-1.8590E-02	160.8	57.73	160.8	90.38		ACTIVE 0.000	-5.100	0.000
1.000	1.000	57.73	0.000	0.000	0.000	0.000		Ala_161_6590_L_0		0.0000
0.0000	0.0000	0.0000	0.0000	0.0000						
28 D	11.84	-1.8172E-02	164.9	59.18	164.9	92.65		ACTIVE 0.000	-5.300	0.000
1.000	1.000	59.18	0.000	0.000	0.000	0.000		Ala_161_6590_L_0		0.0000
0.0000	0.0000	0.0000	0.0000	0.0000						
29 D	12.13	-1.7756E-02	168.9	60.64	168.9	94.93		ACTIVE 0.000	-5.500	0.000
1.000	1.000	60.64	0.000	0.000	0.000	0.000		Ala_161_6590_L_0		0.0000
0.0000	0.0000	0.0000	0.0000	0.0000						
30 D	12.42	-1.7342E-02	173.0	62.09	173.0	97.20		ACTIVE 0.000	-5.700	0.000
1.000	1.000	62.09	0.000	0.000	0.000	0.000		Ala_161_6590_L_0		0.0000
0.0000	0.0000	0.0000	0.0000	0.0000						
31 D	12.71	-1.6932E-02	177.0	63.54	177.0	99.48		ACTIVE 0.000	-5.900	0.000
1.000	1.000	63.54	0.000	0.000	0.000	0.000		Ala_161_6590_L_0		0.0000
0.0000	0.0000	0.0000	0.0000	0.0000						
32 D	13.00	-1.6525E-02	181.1	65.00	181.1	101.8		ACTIVE 0.000	-6.100	0.000
1.000	1.000	65.00	0.000	0.000	0.000	0.000		Ala_161_6590_L_0		0.0000
0.0000	0.0000	0.0000	0.0000	0.0000						
33 D	13.29	-1.6121E-02	185.1	66.45	185.1	104.0		ACTIVE 0.000	-6.300	0.000
1.000	1.000	66.45	0.000	0.000	0.000	0.000		Ala_161_6590_L_0		0.0000
0.0000	0.0000	0.0000	0.0000	0.0000						
34 D	13.58	-1.5721E-02	189.1	67.90	189.1	106.3		ACTIVE 0.000	-6.500	0.000
1.000	1.000	67.90	0.000	0.000	0.000	0.000		Ala_161_6590_L_0		0.0000
0.0000	0.0000	0.0000	0.0000	0.0000						
35 D	13.87	-1.5325E-02	193.2	69.35	193.2	108.6		ACTIVE 0.000	-6.700	0.000
1.000	1.000	69.35	0.000	0.000	0.000	0.000		Ala_161_6590_L_0		0.0000
0.0000	0.0000	0.0000	0.0000	0.0000						
36 D	14.18	-1.4933E-02	197.6	70.92	197.6	111.0		ACTIVE 0.000	-6.900	0.000
1.000	1.000	70.92	0.000	0.000	0.000	0.000		Ala_161_6590_L_0		0.0000
0.0000	0.0000	0.0000	0.0000	0.0000						
37 D	14.53	-1.4545E-02	202.3	72.63	202.3	113.7		ACTIVE 0.000	-7.100	0.000
1.000	1.000	72.63	0.000	0.000	0.000	0.000		Ala_161_6590_L_0		0.0000
0.0000	0.0000	0.0000	0.0000	0.0000						
38 D	14.84	-1.4162E-02	206.7	74.20	206.7	116.2		ACTIVE 0.000	-7.300	0.000
1.000	1.000	74.20	0.000	0.000	0.000	0.000		Ala_161_6590_L_0		0.0000
0.0000	0.0000	0.0000	0.0000	0.0000						
39 D	15.17	-1.3783E-02	211.2	75.84	211.2	118.7		ACTIVE 0.000	-7.500	0.000
1.000	1.000	75.84	0.000	0.000	0.000	0.000		Ala_161_6590_L_0		0.0000
0.0000	0.0000	0.0000	0.0000	0.0000						
40 D	15.48	-1.3409E-02	215.6	77.42	215.6	121.2		ACTIVE 0.000	-7.700	0.000
1.000	1.000	77.42	0.000	0.000	0.000	0.000		Ala_161_6590_L_0		0.0000
0.0000	0.0000	0.0000	0.0000	0.0000						
41 D	15.80	-1.3039E-02	220.0	78.99	220.0	123.7		ACTIVE 0.000	-7.900	0.000
1.000	1.000	78.99	0.000	0.000	0.000	0.000		Ala_161_6590_L_0		0.0000
0.0000	0.0000	0.0000	0.0000	0.0000						
42 D	16.11	-1.2675E-02	224.4	80.57	224.4	126.1		ACTIVE 0.000	-8.100	0.000
1.000	1.000	80.57	0.000	0.000	0.000	0.000		Ala_161_6590_L_0		0.0000
0.0000	0.0000	0.0000	0.0000	0.0000						
43 D	16.42	-1.2316E-02	228.7	82.10	228.7	128.5		ACTIVE 0.000	-8.300	0.000
1.000	1.000	82.10	0.000	0.000	0.000	0.000		Ala_161_6590_L_0		0.0000
0.0000	0.0000	0.0000	0.0000	0.0000						
44 D	16.73	-1.1961E-02	233.1	83.67	233.1	131.0		ACTIVE 0.000	-8.500	0.000
1.000	1.000	83.67	0.000	0.000	0.000	0.000		Ala_161_6590_L_0		0.0000
0.0000	0.0000	0.0000	0.0000	0.0000						
45 D	17.03	-1.1612E-02	237.2	85.16	237.2	133.3		ACTIVE 0.000	-8.700	0.000
1.000	1.000	85.16	0.000	0.000	0.000	0.000		Ala_161_6590_L_0		0.0000
0.0000	0.0000	0.0000	0.0000	0.0000						
46 D	17.35	-1.1268E-02	241.6	86.73	241.6	135.8		ACTIVE 0.000	-8.900	0.000
1.000	1.000	86.73	0.000	0.000	0.000	0.000		Ala_161_6590_L_0		0.0000
0.0000	0.0000	0.0000	0.0000	0.0000						
47 D	17.64	-1.0928E-02	245.7	88.20	245.7	138.1		ACTIVE 0.000	-9.100	0.000
1.000	1.000	88.20	0.000	0.000	0.000	0.000		Ala_161_6590_L_0		0.0000
0.0000	0.0000	0.0000	0.0000	0.0000						
48 D	17.95	-1.0594E-02	250.0	89.75	250.0	140.5		ACTIVE 0.000	-9.300	0.000
1.000	1.000	89.75	0.000	0.000	0.000	0.000		Ala_161_6590_L_0		0.0000
0.0000	0.0000	0.0000	0.0000	0.0000						
49 D	18.24	-1.0265E-02	254.1	91.20	254.1	142.8		ACTIVE 0.000	-9.500	0.000
1.000	1.000	91.20	0.000	0.000	0.000	0.000		Ala_161_6590_L_0		0.0000
0.0000	0.0000	0.0000	0.0000	0.0000						
50 D	18.80	-9.9415E-03	256.3	92.02	256.3	144.1		ACTIVE 0.000	-9.700	2.000
1.000	1.000	94.02	0.000	0.000	0.000	0.000		Ala_161_6590_L_0		0.0000
0.0000	0.0000	0.0000	0.0000	0.0000						
51 D	19.35	-9.6227E-03	258.3	92.74	258.3	145.2		ACTIVE 0.000	-9.900	4.000
1.000	1.000	96.74	0.000	0.000	0.000	0.000		Ala_161_6590_L_0		0.0000
0.0000	0.0000	0.0000	0.0000	0.0000						
52 D	19.91	-9.3088E-03	260.6	93.54	260.6	146.4		ACTIVE 0.000	-10.10	6.000
1.000	1.000	99.54	0.000	0.000	0.000	0.000		Ala_161_6590_L_0		0.0000
0.0000	0.0000	0.0000	0.0000	0.0000						

53 D	20.45	-8.9999E-03	262.5	94.25	262.5	147.5	ACTIVE	0.000	-10.30	8.000
1.000	1.000	102.2	0.000	0.000	0.000	0.000	Ala_161_6590_L_0			0.0000
0.0000	0.0000	0.0000	0.0000	0.0000	0.0000					
54 D	21.00	-8.6959E-03	264.7	95.02	264.7	148.7	ACTIVE	0.000	-10.50	10.000
1.000	1.000	105.0	0.000	0.000	0.000	0.000	Ala_161_6590_L_0			0.0000
0.0000	0.0000	0.0000	0.0000	0.0000						
55 D	21.55	-8.3967E-03	266.7	95.73	266.7	149.9	ACTIVE	0.000	-10.70	12.00
1.000	1.000	107.7	0.000	0.000	0.000	0.000	Ala_161_6590_L_0			0.0000
0.0000	0.0000	0.0000	0.0000	0.0000						
56 D	22.10	-8.1022E-03	268.7	96.48	268.7	151.0	ACTIVE	0.000	-10.90	14.00
1.000	1.000	110.5	0.000	0.000	0.000	0.000	Ala_161_6590_L_0			0.0000
0.0000	0.0000	0.0000	0.0000	0.0000						
57 D	22.64	-7.8124E-03	270.7	97.19	270.7	152.1	ACTIVE	0.000	-11.10	16.00
1.000	1.000	113.2	0.000	0.000	0.000	0.000	Ala_161_6590_L_0			0.0000
0.0000	0.0000	0.0000	0.0000	0.0000						
58 D	23.18	-7.5271E-03	272.7	97.91	272.7	153.3	ACTIVE	0.000	-11.30	18.00
1.000	1.000	115.9	0.000	0.000	0.000	0.000	Ala_161_6590_L_0			0.0000
0.0000	0.0000	0.0000	0.0000	0.0000						
59 D	23.73	-7.2462E-03	274.7	98.63	274.7	154.4	ACTIVE	0.000	-11.50	20.00
1.000	1.000	118.6	0.000	0.000	0.000	0.000	Ala_161_6590_L_0			0.0000
0.0000	0.0000	0.0000	0.0000	0.0000						
60 D	24.27	-6.9697E-03	276.7	99.33	276.7	155.5	ACTIVE	0.000	-11.70	22.00
1.000	1.000	121.3	0.000	0.000	0.000	0.000	Ala_161_6590_L_0			0.0000
0.0000	0.0000	0.0000	0.0000	0.0000						
61 D	24.81	-6.6974E-03	278.7	100.0	278.7	156.6	ACTIVE	0.000	-11.90	24.00
1.000	1.000	124.0	0.000	0.000	0.000	0.000	Ala_161_6590_L_0			0.0000
0.0000	0.0000	0.0000	0.0000	0.0000						
62 D	25.35	-6.4292E-03	280.6	100.7	280.6	157.7	ACTIVE	0.000	-12.10	26.00
1.000	1.000	126.7	0.000	0.000	0.000	0.000	Ala_161_6590_L_0			0.0000
0.0000	0.0000	0.0000	0.0000	0.0000						
63 D	25.89	-6.1650E-03	282.6	101.5	282.6	158.8	ACTIVE	0.000	-12.30	28.00
1.000	1.000	129.5	0.000	0.000	0.000	0.000	Ala_161_6590_L_0			0.0000
0.0000	0.0000	0.0000	0.0000	0.0000						
64 D	26.43	-5.9047E-03	284.5	102.1	284.5	159.9	ACTIVE	0.000	-12.50	30.00
1.000	1.000	132.1	0.000	0.000	0.000	0.000	Ala_161_6590_L_0			0.0000
0.0000	0.0000	0.0000	0.0000	0.0000						
65 D	26.97	-5.6480E-03	286.5	102.8	286.5	161.0	ACTIVE	0.000	-12.70	32.00
1.000	1.000	134.8	0.000	0.000	0.000	0.000	Ala_161_6590_L_0			0.0000
0.0000	0.0000	0.0000	0.0000	0.0000						
66 D	27.50	-5.3950E-03	288.3	103.5	288.3	162.0	ACTIVE	0.000	-12.90	34.00
1.000	1.000	137.5	0.000	0.000	0.000	0.000	Ala_161_6590_L_0			0.0000
0.0000	0.0000	0.0000	0.0000	0.0000						
67 D	28.04	-5.1455E-03	290.3	104.2	290.3	163.1	ACTIVE	0.000	-13.10	36.00
1.000	1.000	140.2	0.000	0.000	0.000	0.000	Ala_161_6590_L_0			0.0000
0.0000	0.0000	0.0000	0.0000	0.0000						
68 D	28.57	-4.8993E-03	292.1	104.9	292.1	164.2	ACTIVE	0.000	-13.30	38.00
1.000	1.000	142.9	0.000	0.000	0.000	0.000	Ala_161_6590_L_0			0.0000
0.0000	0.0000	0.0000	0.0000	0.0000						
69 D	29.10	-4.6563E-03	293.9	105.5	293.9	165.2	ACTIVE	0.000	-13.50	40.00
1.000	1.000	145.5	0.000	0.000	0.000	0.000	Ala_161_6590_L_0			0.0000
0.0000	0.0000	0.0000	0.0000	0.0000						
70 D	29.63	-4.4163E-03	295.7	106.2	295.7	166.2	ACTIVE	0.000	-13.70	42.00
1.000	1.000	148.2	0.000	0.000	0.000	0.000	Ala_161_6590_L_0			0.0000
0.0000	0.0000	0.0000	0.0000	0.0000						
71 D	30.16	-4.1793E-03	297.5	106.8	297.5	167.2	ACTIVE	0.000	-13.90	44.00
1.000	1.000	150.8	0.000	0.000	0.000	0.000	Ala_161_6590_L_0			0.0000
0.0000	0.0000	0.0000	0.0000	0.0000						
72 D	30.69	-3.9450E-03	299.3	107.5	299.3	168.2	UL-RL	2.6301E+04	-14.10	46.00
1.000	1.000	153.5	0.000	0.000	0.000	0.000	Ala_161_6590_L_0			0.0000
0.0000	0.0000	0.0000	0.0000	0.0000						
73 D	31.22	-3.7134E-03	301.1	108.1	301.1	169.2	UL-RL	2.6301E+04	-14.30	48.00
1.000	1.000	156.1	0.000	0.000	0.000	0.000	Ala_161_6590_L_0			0.0000
0.0000	0.0000	0.0000	0.0000	0.0000						
74 D	31.75	-3.4843E-03	302.9	108.8	302.9	170.2	UL-RL	2.6301E+04	-14.50	50.00
1.000	1.000	158.8	0.000	0.000	0.000	0.000	Ala_161_6590_L_0			0.0000
0.0000	0.0000	0.0000	0.0000	0.0000						
75 D	32.28	-3.2575E-03	304.7	109.4	304.7	171.3	UL-RL	2.6301E+04	-14.70	52.00
1.000	1.000	161.4	0.000	0.000	0.000	0.000	Ala_161_6590_L_0			0.0000
0.0000	0.0000	0.0000	0.0000	0.0000						
76 D	32.81	-3.0330E-03	306.5	110.1	306.5	172.3	UL-RL	2.6301E+04	-14.90	54.00
1.000	1.000	164.1	0.000	0.000	0.000	0.000	Ala_161_6590_L_0			0.0000
0.0000	0.0000	0.0000	0.0000	0.0000						
77 D	33.34	-2.8106E-03	308.4	110.7	308.4	173.3	UL-RL	2.6301E+04	-15.10	56.00
1.000	1.000	166.7	0.000	0.000	0.000	0.000	Ala_161_6590_L_0			0.0000
0.0000	0.0000	0.0000	0.0000	0.0000						
78 D	33.87	-2.5901E-03	310.2	111.4	310.2	174.3	UL-RL	2.6301E+04	-15.30	58.00
1.000	1.000	169.4	0.000	0.000	0.000	0.000	Ala_161_6590_L_0			0.0000
0.0000	0.0000	0.0000	0.0000	0.0000						
79 D	34.59	-2.3715E-03	312.0	113.0	312.0	175.3	UL-RL	2.6301E+04	-15.50	60.00
1.000	1.000	173.0	0.000	0.000	0.000	0.000	Ala_161_6590_L_0			0.0000
0.0000	0.0000	0.0000	0.0000	0.0000						
80 D	36.34	-2.1546E-03	313.8	119.7	313.8	176.4	UL-RL	2.6301E+04	-15.70	62.00
1.000	1.000	181.7	0.000	0.000	0.000	0.000	Ala_161_6590_L_0			0.0000
0.0000	0.0000	0.0000	0.0000	0.0000						
81 D	38.07	-1.9393E-03	315.6	126.4	315.6	177.4	UL-RL	2.6301E+04	-15.90	64.00
1.000	1.000	190.4	0.000	0.000	0.000	0.000	Ala_161_6590_L_0			0.0000
0.0000	0.0000	0.0000	0.0000	0.0000						
82 D	32.70	-1.7255E-03	317.5	97.51	317.5	178.4	UL-RL	1.5322E+05	-16.10	66.00
1.000	1.000	163.5	0.000	0.000	10.00	10.00	Salt_21271_21259_L_0			0.0000
0.0000	0.0000	0.0000	0.0000	0.0000						
83 D	33.24	-1.5131E-03	319.4	98.18	319.4	179.5	UL-RL	1.5322E+05	-16.30	68.00
1.000	1.000	166.2	0.000	0.000	10.00	10.00	Salt_21271_21259_L_0			0.0000

0.0000	0.0000	0.0000	0.0000	0.0000						
84 D	33.77	-1.3019E-03	321.3	98.84	321.3	180.6	UL-RL 1.5322E+05	-16.50	70.00	
1.000	1.000	168.8	0.000	0.000	10.00	10.00	Salt_21271_21259_L_0		0.0000	
0.0000	0.0000	0.0000	0.0000	0.0000						
85 D	34.30	-1.0918E-03	323.3	99.51	323.3	181.7	UL-RL 1.5322E+05	-16.70	72.00	
1.000	1.000	171.5	0.000	0.000	10.00	10.00	Salt_21271_21259_L_0		0.0000	
0.0000	0.0000	0.0000	0.0000	0.0000						
86 D	34.99	-8.8266E-04	325.2	100.9	325.2	182.8	UL-RL 1.5322E+05	-16.90	74.00	
1.000	1.000	174.9	0.000	0.000	10.00	10.00	Salt_21271_21259_L_0		0.0000	
0.0000	0.0000	0.0000	0.0000	0.0000						
87 D	39.74	-6.7429E-04	327.1	122.7	327.1	183.8	UL-RL 1.5322E+05	-17.10	76.00	
1.000	1.000	198.7	0.000	0.000	10.00	10.00	Salt_21271_21259_L_0		0.0000	
0.0000	0.0000	0.0000	0.0000	0.0000						
88 D	44.48	-4.6653E-04	329.0	144.4	329.0	184.9	UL-RL 1.5322E+05	-17.30	78.00	
1.000	1.000	222.4	0.000	0.000	10.00	10.00	Salt_21271_21259_L_0		0.0000	
0.0000	0.0000	0.0000	0.0000	0.0000						
89 D	48.17	-2.5920E-04	331.0	160.8	331.0	188.6	UL-RL 1.5322E+05	-17.50	80.00	
1.000	1.000	240.8	0.000	0.000	10.00	10.00	Salt_21271_21259_L_0		0.0000	
0.0000	0.0000	0.0000	0.0000	0.0000						
90 D	51.43	-5.2135E-05	333.0	175.1	333.0	190.2	UL-RL 1.1423E+05	-17.70	82.00	
1.000	1.000	257.1	0.000	0.000	55.00	55.00	Sch_21272_21260_L_0		0.0000	
0.0000	0.0000	0.0000	0.0000	0.0000						
91 D	54.44	1.5476E-04	335.5	188.2	335.5	197.6	UL-RL 1.1423E+05	-17.90	84.00	
1.000	1.000	272.2	0.000	0.000	55.00	55.00	Sch_21272_21260_L_0		0.0000	
0.0000	0.0000	0.0000	0.0000	0.0000						
92 D	43.09	3.6159E-04	338.0	201.3	338.0	205.0	UL-RL 1.1423E+05	-18.10	86.00	
1.000	1.000	287.3	0.000	0.000	55.00	55.00	Sch_21272_21260_L_0		0.0000	
0.0000	0.0000	0.0000	0.0000	0.0000						
93 D	14.67	4.6500E-04	339.3	206.3	339.3	209.4	UL-RL 1.1423E+05	-18.20	87.00	
1.000	1.000	293.3	0.000	0.000	55.00	55.00	Sch_21272_21260_L_0		0.0000	
0.0000	0.0000	0.0000	0.0000	0.0000						

```

+-----+
|                PARATIEPLUS(TM)  NLS ENGINE RELEASE  2022.0.0  FULL VERSION  *Build date:Sep 13, 2021*                |
|                                                                                                                                            |
|                                                                                               ParatiePlus                               |
|                                                                                               Exe Time :28 January 2022   11:11:19   |
+-----+

```

New Project

S T R E S S R E S U L T S F O R G R O U P N O . 3

```

pali15001.7_33 :
ELEMENT TYPE   2 NO.OF ELEMENTS. IN THIS GROUP   68
C U R R E N T   T I M E   I S   3.0000 SUBINCREMENT 00001/00001

```

WALL2D ELEMENT

EL	TA	TB	MA	MB
1	-121.87	121.87	229.73	-254.10
2	-130.61	130.61	254.10	-280.22
3	-137.13	137.13	280.22	-307.65
4	-141.43	141.43	307.65	-335.93
5	-143.50	143.50	335.93	-364.63
6	-143.36	143.36	364.63	-393.31
7	-140.99	140.99	393.31	-421.50
8	-136.39	136.39	421.50	-448.78
9	-129.58	129.58	448.78	-474.70
10	-120.54	120.54	474.70	-498.80
11	-109.28	109.28	498.80	-520.66
12	-97.387	97.387	520.66	-540.14
13	-85.951	85.951	540.14	-557.33
14	-74.938	74.938	557.33	-572.31
15	-64.352	64.352	572.31	-585.18
16	-54.177	54.177	585.18	-596.02
17	-44.403	44.403	596.02	-604.90
18	-35.026	35.026	604.90	-611.91
19	-26.027	26.027	611.91	-617.11
20	-17.410	17.410	617.11	-620.59
21	-9.1482	9.1482	620.59	-622.42
22	-1.2530	1.2530	622.42	-622.67
23	6.3051	-6.3051	622.67	-621.41
24	13.515	-13.515	621.41	-618.71
25	20.405	-20.405	618.71	-614.63
26	26.883	-26.883	614.63	-609.25
27	32.978	-32.978	609.25	-602.66
28	38.680	-38.680	602.66	-594.92
29	44.014	-44.014	594.92	-586.12
30	48.975	-48.975	586.12	-576.32
31	53.581	-53.581	576.32	-565.61
32	57.833	-57.833	565.61	-554.04
33	61.743	-61.743	554.04	-541.69
34	65.316	-65.316	541.69	-528.63
35	68.560	-68.560	528.63	-514.92
36	71.483	-71.483	514.92	-500.62
37	74.089	-74.089	500.62	-485.80
38	76.389	-76.389	485.80	-470.52
39	78.384	-78.384	470.52	-454.85
40	80.086	-80.086	454.85	-438.83
41	81.494	-81.494	438.83	-422.53
42	82.622	-82.622	422.53	-406.01
43	83.467	-83.467	406.01	-389.31
44	84.045	-84.045	389.31	-372.50
45	84.361	-84.361	372.50	-355.63
46	84.420	-84.420	355.63	-338.75
47	84.226	-84.226	338.75	-321.90
48	83.783	-83.783	321.90	-305.15
49	83.093	-83.093	305.15	-288.53
50	82.162	-82.162	288.53	-272.10
51	80.991	-80.991	272.10	-255.90
52	79.584	-79.584	255.90	-239.98
53	77.944	-77.944	239.98	-224.39
54	76.074	-76.074	224.39	-209.18
55	73.784	-73.784	209.18	-194.42
56	70.053	-70.053	194.42	-180.41
57	64.893	-64.893	180.41	-167.43
58	76.734	-76.734	167.43	-152.08
59	86.974	-86.974	152.08	-134.69
60	95.621	-95.621	134.69	-115.56
61	102.68	-102.68	115.56	-95.028
62	107.93	-107.93	95.028	-73.443
63	105.18	-105.18	73.443	-52.407
64	94.466	-94.466	52.407	-33.514
65	76.858	-76.858	33.514	-18.142
66	56.070	-56.070	18.142	-6.9278
67	30.620	-30.620	6.9278	-0.80372
68	8.0372	-8.0372	0.80372	-6.84963E-11

```

+-----+
|                PARATIEPLUS(TM)  NLS ENGINE RELEASE  2022.0.0  FULL VERSION  *Build date:Sep 13, 2021*          |
|                                                                                                                                            |
|                                                                                             ParatiePlus                                       |
|                                                                                           Exe Time :28 January 2022   11:11:19                |
+-----+

```

New Project

S T R E S S R E S U L T S F O R G R O U P N O . 4

```

muro71cm_4658
ELEMENT TYPE      2  NO.OF ELEMENTS. IN THIS GROUP   24
C U R R E N T    T I M E   I S           3.0000 SUBINCREMENT 00001/00001

```

WALL2D ELEMENT

EL	TA	TB	MA	MB
1	-1.3395	1.3395	-4.29403E-10	0.26790
2	-4.2065	4.2065	0.26790	-1.1092
3	-7.2616	7.2616	1.1092	-2.5615
4	-10.505	10.505	2.5615	-4.6625
5	-13.937	13.937	4.6625	-7.4498
6	-17.557	17.557	7.4498	-10.961
7	-21.366	21.366	10.961	-15.234
8	-25.365	25.365	15.234	-20.307
9	-29.553	29.553	20.307	-26.218
10	-33.931	33.931	26.218	-33.004
11	-38.500	38.500	33.004	-40.704
12	-43.260	43.260	40.704	-49.356
13	-48.211	48.211	49.356	-58.999
14	-53.354	53.354	58.999	-69.669
15	-58.689	58.689	69.669	-81.407
16	-64.217	64.217	81.407	-94.251
17	-69.938	69.938	94.251	-108.24
18	-75.852	75.852	108.24	-123.41
19	-81.960	81.960	123.41	-139.80
20	-88.262	88.262	139.80	-157.45
21	-94.759	94.759	157.45	-176.41
22	-101.45	101.45	176.41	-196.69
23	-108.33	108.33	196.69	-218.36
24	-113.64	113.64	218.36	-229.73

```

ITER      0  RNORM = 23.64    RMNORM= 0.000
            RINORM=0.1215E+07    RIMNOR=0.2609E+08
            RENORM= 60.74    REMNOR=0.1542E-16    RATIO =0.7071E-02    TOLER =0.1000E-03    NOT CONVERGED
            RFMAX = 143.5    RMMAX = 622.7
            RTSMAL=0.1000E-02    RMSMAL=0.1000E-02
            RDT    =0.1215E+07    RDR    =0.2609E+08
            RATIOI=0.7071E-02    RATIOIR= 0.000
            MAX UN=0.1076E-07    IEQ= 101 NODE      51 DOF    1  Y-DISPL.F
            MIN UN=-2.980    IEQ= 69 NODE      35 DOF    1  Y-DISPL.F
            NO. OF CONTACT CONSTRAINT VIOLATIONS    0

```

```

ITER      2  RNORM = 23.64    RMNORM= 0.000
            RINORM=0.1215E+07    RIMNOR=0.2609E+08
            RENORM= 48.71    REMNOR=0.2759E-16    RATIO =0.6332E-02    TOLER =0.1000E-03    NOT CONVERGED
            RFMAX = 143.5    RMMAX = 622.7
            RTSMAL=0.1000E-02    RMSMAL=0.1000E-02
            RDT    =0.1215E+07    RDR    =0.2609E+08
            RATIOI=0.6332E-02    RATIOIR= 0.000
            MAX UN= 2.057    IEQ= 183 NODE      92 DOF    1  Y-DISPL.F
            MIN UN=-2.871    IEQ= 73 NODE      37 DOF    1  Y-DISPL.F
            NO. OF CONTACT CONSTRAINT VIOLATIONS    0

```

```

ITER      3  RNORM = 23.64    RMNORM= 0.000
            RINORM=0.1215E+07    RIMNOR=0.2609E+08
            RENORM= 1.651    REMNOR=0.3349E-16    RATIO =0.1166E-02    TOLER =0.1000E-03    NOT CONVERGED
            RFMAX = 143.5    RMMAX = 622.7
            RTSMAL=0.1000E-02    RMSMAL=0.1000E-02
            RDT    =0.1215E+07    RDR    =0.2609E+08
            RATIOI=0.1166E-02    RATIOIR= 0.000
            MAX UN=0.3389E-07    IEQ= 73 NODE      37 DOF    1  Y-DISPL.F
            MIN UN=-1.285    IEQ= 167 NODE      84 DOF    1  Y-DISPL.F
            NO. OF CONTACT CONSTRAINT VIOLATIONS    0

```

```

ITER      4  RNORM = 23.64    RMNORM= 0.000
            RINORM=0.1215E+07    RIMNOR=0.2609E+08
            RENORM=0.4901E-02    REMNOR=0.2700E-16    RATIO =0.6352E-04    TOLER =0.1000E-03    CONVERGED !
            RFMAX = 143.5    RMMAX = 622.7
            RTSMAL=0.1000E-02    RMSMAL=0.1000E-02
            RDT    =0.1215E+07    RDR    =0.2609E+08
            RATIOI=0.6352E-04    RATIOIR= 0.000
            MAX UN=0.4383E-01    IEQ= 179 NODE      90 DOF    1  Y-DISPL.F
            MIN UN=-.1101E-02    IEQ= 3 NODE        2 DOF    1  Y-DISPL.F

```

NO. OF CONTACT CONSTRAINT VIOLATIONS 0

```

+-----+
|                PARATIEPLUS(TM)  NLS ENGINE RELEASE  2022.0.0  FULL VERSION  *Build date:Sep 13, 2021* |
|                |
|                |
|                |
|                |
|                |
|                |
|                |
|                |
|                |
+-----+

```

```

New Project
SOLUTION REACHED USING      4 ITERATIONS ON      40

```

```

P R I N T   O U T   F O R   T I M E   S T E P   4   ( AT TIME   4.000   ) SUBINCREMENT 00001/00001

```

```

PRINT OUT OF ACTIVE COMPONENTS (FIXED NODES ARE NOT PRINTED OUT)

```

	Y-DISPL.F 02	X-ROT. F 04
1	-3.6859754E-02	2.9667610E-03
2	-3.6266404E-02	2.9667293E-03
3	-3.5673071E-02	2.9665678E-03
4	-3.5079795E-02	2.9661401E-03
5	-3.4486643E-02	2.9653035E-03
6	-3.3893711E-02	2.9639087E-03
7	-3.3301127E-02	2.9618002E-03
8	-3.2709049E-02	2.9588157E-03
9	-3.2117670E-02	2.9547867E-03
10	-3.1527216E-02	2.9495380E-03
11	-3.0937948E-02	2.9428880E-03
12	-3.0350166E-02	2.9346486E-03
13	-2.9764208E-02	2.9246251E-03
14	-2.9180449E-02	2.9126162E-03
15	-2.8599307E-02	2.8984143E-03
16	-2.8021244E-02	2.8818049E-03
17	-2.7446758E-02	2.8625669E-03
18	-2.6876404E-02	2.8404730E-03
19	-2.6310775E-02	2.8152889E-03
20	-2.5750511E-02	2.7867737E-03
21	-2.5196307E-02	2.7546801E-03
22	-2.4648897E-02	2.7187538E-03
23	-2.4109078E-02	2.6787341E-03
24	-2.3577694E-02	2.6343535E-03
25	-2.3315444E-02	2.6104511E-03
26	-2.2794567E-02	2.5981247E-03
27	-2.2276279E-02	2.5845652E-03
28	-2.1760830E-02	2.5697063E-03
29	-2.1248487E-02	2.5534975E-03
30	-2.0739523E-02	2.5359042E-03
31	-2.0234218E-02	2.5169073E-03
32	-1.9732856E-02	2.4965039E-03
33	-1.9235712E-02	2.4747065E-03
34	-1.8743065E-02	2.4515437E-03
35	-1.8255183E-02	2.4270596E-03
36	-1.7772325E-02	2.4013143E-03
37	-1.7294736E-02	2.3743837E-03
38	-1.6822647E-02	2.3463591E-03
39	-1.6356261E-02	2.3173469E-03
40	-1.5895766E-02	2.2874630E-03
41	-1.5441326E-02	2.2568221E-03
42	-1.4993081E-02	2.2255346E-03
43	-1.4551150E-02	2.1937069E-03
44	-1.4115629E-02	2.1614405E-03
45	-1.3686597E-02	2.1288335E-03
46	-1.3264112E-02	2.0959800E-03
47	-1.2848215E-02	2.0629698E-03
48	-1.2438931E-02	2.0298896E-03
49	-1.2036261E-02	1.9968214E-03
50	-1.1640196E-02	1.9638445E-03
51	-1.1250712E-02	1.9310339E-03
52	-1.0867776E-02	1.8984615E-03
53	-1.0491317E-02	1.8661927E-03
54	-1.0121275E-02	1.8342913E-03
55	-9.7575717E-03	1.8028166E-03
56	-9.4001161E-03	1.7718241E-03
57	-9.0488065E-03	1.7413658E-03
58	-8.7035310E-03	1.7114899E-03
59	-8.3641687E-03	1.6822411E-03
60	-8.0305900E-03	1.6536609E-03
61	-7.7026572E-03	1.6257873E-03
62	-7.3802256E-03	1.5986550E-03
63	-7.0631437E-03	1.5722955E-03
64	-6.7512540E-03	1.5467374E-03
65	-6.4443937E-03	1.5220059E-03
66	-6.1423950E-03	1.4981234E-03
67	-5.8450864E-03	1.4751093E-03
68	-5.5522923E-03	1.4529802E-03
69	-5.2638344E-03	1.4317498E-03
70	-4.9795318E-03	1.4114291E-03
71	-4.6992015E-03	1.3920265E-03
72	-4.4226595E-03	1.3735478E-03
73	-4.1497206E-03	1.3559962E-03
74	-3.8801992E-03	1.3393724E-03

75	-3.6139099E-03	1.3236745E-03
76	-3.3506680E-03	1.3088984E-03
77	-3.0902896E-03	1.2950374E-03
78	-2.8325926E-03	1.2820825E-03
79	-2.5773969E-03	1.2700224E-03
80	-2.3245249E-03	1.2588433E-03
81	-2.0738020E-03	1.2485273E-03
82	-1.8250583E-03	1.2390461E-03
83	-1.5781256E-03	1.2304343E-03
84	-1.3328203E-03	1.2227877E-03
85	-1.0889409E-03	1.2161869E-03
86	-8.4627147E-04	1.2106968E-03
87	-6.0458532E-04	1.2063589E-03
88	-3.6365197E-04	1.2031599E-03
89	-1.2325171E-04	1.2010057E-03
90	1.1682067E-04	1.1997268E-03
91	3.5669525E-04	1.1991115E-03
92	5.9649373E-04	1.1989230E-03
93	7.1638538E-04	1.1989132E-03

```

+-----+
|                PARATIEPLUS(TM)  NLS ENGINE RELEASE  2022.0.0  FULL VERSION  *Build date:Sep 13, 2021*                |
|                                                                                                                                            |
|                                                                                               ParatiePlus                                                                                               |
|                                                                                               Exe Time :28 January 2022   11:11:19                                                                                               |
+-----+

```

New Project

S T R E S S R E S U L T S F O R G R O U P N O . 1

0_L :
ELEMENT TYPE 5 NO.OF ELEMENTS. IN THIS GROUP 93
C U R R E N T T I M E I S 4.0000 SUBINCREMENT 00001/00001

HARDENING 2D SOIL ELEMENT

***** TOTAL STRESS FORMULATION *****

EL * TOR QSL	FORCE UFACTOR ZD	DISPL-Y Peq ZPL	VERTICAL-P Su_a Kz	HORIZON.-P Su_p	MAX-V-P Cohe_a	MAX-H-P Cohe_p	STATE LAYER	STIFFNESS	Z-LEVEL	PORE ZFO	E FAC- QS
1	0.000	--	--	--	--	--	REMOVED	--	0.000	0.000	
1.000	1.000	0.000	0.000	0.000	0.000	0.000	not available				
2	0.000	--	--	--	--	--	REMOVED	--	-0.2000	0.000	
1.000	1.000	0.000	0.000	0.000	0.000	0.000	not available				
3	0.000	--	--	--	--	--	REMOVED	--	-0.4000	0.000	
1.000	1.000	0.000	0.000	0.000	0.000	0.000	not available				
4	0.000	--	--	--	--	--	REMOVED	--	-0.6000	0.000	
1.000	1.000	0.000	0.000	0.000	0.000	0.000	not available				
5	0.000	--	--	--	--	--	REMOVED	--	-0.8000	0.000	
1.000	1.000	0.000	0.000	0.000	0.000	0.000	not available				
6	0.000	--	--	--	--	--	REMOVED	--	-1.000	0.000	
1.000	1.000	0.000	0.000	0.000	0.000	0.000	not available				
7	0.000	--	--	--	--	--	REMOVED	--	-1.200	0.000	
1.000	1.000	0.000	0.000	0.000	0.000	0.000	not available				
8	0.000	--	--	--	--	--	REMOVED	--	-1.400	0.000	
1.000	1.000	0.000	0.000	0.000	0.000	0.000	not available				
9	0.000	--	--	--	--	--	REMOVED	--	-1.600	0.000	
1.000	1.000	0.000	0.000	0.000	0.000	0.000	not available				
10	0.000	--	--	--	--	--	REMOVED	--	-1.800	0.000	
1.000	1.000	0.000	0.000	0.000	0.000	0.000	not available				
11	0.000	--	--	--	--	--	REMOVED	--	-2.000	0.000	
1.000	1.000	0.000	0.000	0.000	0.000	0.000	not available				
12	0.000	--	--	--	--	--	REMOVED	--	-2.200	0.000	
1.000	1.000	0.000	0.000	0.000	0.000	0.000	not available				
13	0.000	--	--	--	--	--	REMOVED	--	-2.400	0.000	
1.000	1.000	0.000	0.000	0.000	0.000	0.000	not available				
14	0.000	--	--	--	--	--	REMOVED	--	-2.600	0.000	
1.000	1.000	0.000	0.000	0.000	0.000	0.000	not available				
15	0.000	--	--	--	--	--	REMOVED	--	-2.800	0.000	
1.000	1.000	0.000	0.000	0.000	0.000	0.000	not available				
16	0.000	--	--	--	--	--	REMOVED	--	-3.000	0.000	
1.000	1.000	0.000	0.000	0.000	0.000	0.000	not available				
17	0.000	--	--	--	--	--	REMOVED	--	-3.200	0.000	
1.000	1.000	0.000	0.000	0.000	0.000	0.000	not available				
18	0.000	--	--	--	--	--	REMOVED	--	-3.400	0.000	
1.000	1.000	0.000	0.000	0.000	0.000	0.000	not available				
19	0.000	--	--	--	--	--	REMOVED	--	-3.600	0.000	
1.000	1.000	0.000	0.000	0.000	0.000	0.000	not available				
20	0.000	--	--	--	--	--	REMOVED	--	-3.800	0.000	
1.000	1.000	0.000	0.000	0.000	0.000	0.000	not available				
21	0.000	--	--	--	--	--	REMOVED	--	-4.000	0.000	
1.000	1.000	0.000	0.000	0.000	0.000	0.000	not available				
22	0.000	--	--	--	--	--	REMOVED	--	-4.200	0.000	
1.000	1.000	0.000	0.000	0.000	0.000	0.000	not available				
23	0.000	--	--	--	--	--	REMOVED	--	-4.400	0.000	
1.000	1.000	0.000	0.000	0.000	0.000	0.000	not available				
24	0.000	--	--	--	--	--	REMOVED	--	-4.600	0.000	
1.000	1.000	0.000	0.000	0.000	0.000	0.000	not available				
25 D	0.000	2.3315E-02	0.000	0.000	0.000	0.000	PASSIVE	0.000	-4.700	0.000	
1.000	1.000	0.000	0.000	0.000	0.000	0.000	Ala_161_6590_L_0			0.0000	
0.0000	0.0000	0.0000	0.0000	0.0000	0.0000						
26 D	2.215	2.2795E-02	3.900	11.08	3.900	12.57	PASSIVE	0.000	-4.900	0.000	
1.000	1.000	11.08	0.000	0.000	0.000	0.000	Ala_161_6590_L_0			0.0000	
0.0000	0.0000	0.0000	0.0000	0.0000							
27 D	4.430	2.2276E-02	7.800	22.15	7.800	25.13	PASSIVE	0.000	-5.100	0.000	
1.000	1.000	22.15	0.000	0.000	0.000	0.000	Ala_161_6590_L_0			0.0000	
0.0000	0.0000	0.0000	0.0000	0.0000							
28 D	6.646	2.1761E-02	11.70	33.23	11.70	37.70	PASSIVE	0.000	-5.300	0.000	
1.000	1.000	33.23	0.000	0.000	0.000	0.000	Ala_161_6590_L_0			0.0000	
0.0000	0.0000	0.0000	0.0000	0.0000							
29 D	8.861	2.1248E-02	15.60	44.30	15.60	50.26	PASSIVE	0.000	-5.500	0.000	
1.000	1.000	44.30	0.000	0.000	0.000	0.000	Ala_161_6590_L_0			0.0000	
0.0000	0.0000	0.0000	0.0000	0.0000							
30 D	11.08	2.0740E-02	19.50	55.38	19.50	62.83	PASSIVE	0.000	-5.700	0.000	

1.000	1.000	55.38	0.000	0.000	0.000	0.000	Ala_161_6590_L_0	0.0000	
0.0000	0.0000	0.0000	0.0000	0.0000	0.0000				
31 D	13.29	2.0234E-02	23.40	66.46	23.40	75.39	PASSIVE 0.000	-5.900	0.000
1.000	1.000	66.46	0.000	0.000	0.000	0.000	Ala_161_6590_L_0	0.0000	
0.0000	0.0000	0.0000	0.0000	0.0000	0.0000				
32 D	15.51	1.9733E-02	27.30	77.53	27.30	87.96	PASSIVE 0.000	-6.100	0.000
1.000	1.000	77.53	0.000	0.000	0.000	0.000	Ala_161_6590_L_0	0.0000	
0.0000	0.0000	0.0000	0.0000	0.0000	0.0000				
33 D	17.72	1.9236E-02	31.20	88.61	31.20	100.5	PASSIVE 0.000	-6.300	0.000
1.000	1.000	88.61	0.000	0.000	0.000	0.000	Ala_161_6590_L_0	0.0000	
0.0000	0.0000	0.0000	0.0000	0.0000	0.0000				
34 D	19.94	1.8743E-02	35.10	99.68	35.10	113.1	PASSIVE 0.000	-6.500	0.000
1.000	1.000	99.68	0.000	0.000	0.000	0.000	Ala_161_6590_L_0	0.0000	
0.0000	0.0000	0.0000	0.0000	0.0000	0.0000				
35 D	22.15	1.8255E-02	39.00	110.8	39.00	125.7	PASSIVE 0.000	-6.700	0.000
1.000	1.000	110.8	0.000	0.000	0.000	0.000	Ala_161_6590_L_0	0.0000	
0.0000	0.0000	0.0000	0.0000	0.0000	0.0000				
36 D	24.37	1.7772E-02	42.90	121.8	42.90	130.4	PASSIVE 0.000	-6.900	0.000
1.000	1.000	121.8	0.000	0.000	0.000	0.000	Ala_161_6590_L_0	0.0000	
0.0000	0.0000	0.0000	0.0000	0.0000	0.0000				
37 D	26.58	1.7295E-02	46.80	132.9	46.80	132.9	PASSIVE 0.000	-7.100	0.000
1.000	1.000	132.9	0.000	0.000	0.000	0.000	Ala_161_6590_L_0	0.0000	
0.0000	0.0000	0.0000	0.0000	0.0000	0.0000				
38 D	28.80	1.6823E-02	50.70	144.0	50.70	144.0	PASSIVE 0.000	-7.300	0.000
1.000	1.000	144.0	0.000	0.000	0.000	0.000	Ala_161_6590_L_0	0.0000	
0.0000	0.0000	0.0000	0.0000	0.0000	0.0000				
39 D	29.42	1.6356E-02	54.60	147.1	54.60	147.1	V-C 7116.	-7.500	0.000
1.000	1.000	147.1	0.000	0.000	0.000	0.000	Ala_161_6590_L_0	0.0000	
0.0000	0.0000	0.0000	0.0000	0.0000	0.0000				
40 D	29.20	1.5896E-02	58.50	146.0	58.50	146.0	V-C 7116.	-7.700	0.000
1.000	1.000	146.0	0.000	0.000	0.000	0.000	Ala_161_6590_L_0	0.0000	
0.0000	0.0000	0.0000	0.0000	0.0000	0.0000				
41 D	28.99	1.5441E-02	62.40	145.0	62.40	145.0	V-C 7116.	-7.900	0.000
1.000	1.000	145.0	0.000	0.000	0.000	0.000	Ala_161_6590_L_0	0.0000	
0.0000	0.0000	0.0000	0.0000	0.0000	0.0000				
42 D	28.79	1.4993E-02	66.30	144.0	66.30	144.0	V-C 7116.	-8.100	0.000
1.000	1.000	144.0	0.000	0.000	0.000	0.000	Ala_161_6590_L_0	0.0000	
0.0000	0.0000	0.0000	0.0000	0.0000	0.0000				
43 D	28.60	1.4551E-02	70.20	143.0	70.20	143.0	V-C 7116.	-8.300	0.000
1.000	1.000	143.0	0.000	0.000	0.000	0.000	Ala_161_6590_L_0	0.0000	
0.0000	0.0000	0.0000	0.0000	0.0000	0.0000				
44 D	28.42	1.4116E-02	74.10	142.1	74.10	142.1	V-C 7116.	-8.500	0.000
1.000	1.000	142.1	0.000	0.000	0.000	0.000	Ala_161_6590_L_0	0.0000	
0.0000	0.0000	0.0000	0.0000	0.0000	0.0000				
45 D	28.25	1.3687E-02	78.00	141.2	78.00	141.2	V-C 7116.	-8.700	0.000
1.000	1.000	141.2	0.000	0.000	0.000	0.000	Ala_161_6590_L_0	0.0000	
0.0000	0.0000	0.0000	0.0000	0.0000	0.0000				
46 D	28.08	1.3264E-02	81.90	140.4	81.90	140.4	V-C 7116.	-8.900	0.000
1.000	1.000	140.4	0.000	0.000	0.000	0.000	Ala_161_6590_L_0	0.0000	
0.0000	0.0000	0.0000	0.0000	0.0000	0.0000				
47 D	27.93	1.2848E-02	85.80	139.7	85.80	139.7	V-C 7116.	-9.100	0.000
1.000	1.000	139.7	0.000	0.000	0.000	0.000	Ala_161_6590_L_0	0.0000	
0.0000	0.0000	0.0000	0.0000	0.0000	0.0000				
48 D	27.79	1.2439E-02	89.70	138.9	89.70	138.9	V-C 7116.	-9.300	0.000
1.000	1.000	138.9	0.000	0.000	0.000	0.000	Ala_161_6590_L_0	0.0000	
0.0000	0.0000	0.0000	0.0000	0.0000	0.0000				
49 D	27.65	1.2036E-02	93.60	138.3	93.60	138.3	V-C 7116.	-9.500	0.000
1.000	1.000	138.3	0.000	0.000	0.000	0.000	Ala_161_6590_L_0	0.0000	
0.0000	0.0000	0.0000	0.0000	0.0000	0.0000				
50 D	27.70	1.1640E-02	95.50	136.5	95.50	136.5	V-C 7116.	-9.700	2.000
1.000	1.000	138.5	0.000	0.000	0.000	0.000	Ala_161_6590_L_0	0.0000	
0.0000	0.0000	0.0000	0.0000	0.0000	0.0000				
51 D	27.76	1.1251E-02	97.40	134.8	97.40	134.8	V-C 7116.	-9.900	4.000
1.000	1.000	138.8	0.000	0.000	0.000	0.000	Ala_161_6590_L_0	0.0000	
0.0000	0.0000	0.0000	0.0000	0.0000	0.0000				
52 D	27.83	1.0868E-02	99.30	133.1	99.30	133.1	V-C 7116.	-10.10	6.000
1.000	1.000	139.1	0.000	0.000	0.000	0.000	Ala_161_6590_L_0	0.0000	
0.0000	0.0000	0.0000	0.0000	0.0000	0.0000				
53 D	27.91	1.0491E-02	101.2	131.5	101.2	131.5	V-C 7116.	-10.30	8.000
1.000	1.000	139.5	0.000	0.000	0.000	0.000	Ala_161_6590_L_0	0.0000	
0.0000	0.0000	0.0000	0.0000	0.0000	0.0000				
54 D	27.99	1.0121E-02	103.1	130.0	103.1	130.0	V-C 7116.	-10.50	10.000
1.000	1.000	140.0	0.000	0.000	0.000	0.000	Ala_161_6590_L_0	0.0000	
0.0000	0.0000	0.0000	0.0000	0.0000	0.0000				
55 D	28.09	9.7576E-03	105.0	128.4	105.0	128.4	V-C 7116.	-10.70	12.00
1.000	1.000	140.4	0.000	0.000	0.000	0.000	Ala_161_6590_L_0	0.0000	
0.0000	0.0000	0.0000	0.0000	0.0000	0.0000				
56 D	28.19	9.4001E-03	106.9	127.0	106.9	127.0	V-C 7116.	-10.90	14.00
1.000	1.000	141.0	0.000	0.000	0.000	0.000	Ala_161_6590_L_0	0.0000	
0.0000	0.0000	0.0000	0.0000	0.0000	0.0000				
57 D	28.31	9.0488E-03	108.8	125.5	108.8	125.5	V-C 7116.	-11.10	16.00
1.000	1.000	141.5	0.000	0.000	0.000	0.000	Ala_161_6590_L_0	0.0000	
0.0000	0.0000	0.0000	0.0000	0.0000	0.0000				
58 D	28.43	8.7035E-03	110.7	124.1	110.7	124.1	V-C 7116.	-11.30	18.00
1.000	1.000	142.1	0.000	0.000	0.000	0.000	Ala_161_6590_L_0	0.0000	
0.0000	0.0000	0.0000	0.0000	0.0000	0.0000				
59 D	28.56	8.3642E-03	112.6	122.8	112.6	122.8	V-C 7116.	-11.50	20.00
1.000	1.000	142.8	0.000	0.000	0.000	0.000	Ala_161_6590_L_0	0.0000	
0.0000	0.0000	0.0000	0.0000	0.0000	0.0000				
60 D	28.70	8.0306E-03	114.5	121.5	114.5	121.5	V-C 7116.	-11.70	22.00
1.000	1.000	143.5	0.000	0.000	0.000	0.000	Ala_161_6590_L_0	0.0000	
0.0000	0.0000	0.0000	0.0000	0.0000	0.0000				

61 D	28.85	7.7027E-03	116.4	120.2	116.4	120.2	V-C	7116.	-11.90	24.00
1.000	1.000	144.2	0.000	0.000	0.000	0.000	Ala_161_6590_L_0			0.0000
0.0000	0.0000	0.0000	0.0000	0.0000						
62 D	29.00	7.3802E-03	118.3	119.0	118.3	119.0	V-C	7116.	-12.10	26.00
1.000	1.000	145.0	0.000	0.000	0.000	0.000	Ala_161_6590_L_0			0.0000
0.0000	0.0000	0.0000	0.0000	0.0000						
63 D	29.16	7.0631E-03	120.2	117.8	120.2	117.8	V-C	7116.	-12.30	28.00
1.000	1.000	145.8	0.000	0.000	0.000	0.000	Ala_161_6590_L_0			0.0000
0.0000	0.0000	0.0000	0.0000	0.0000						
64 D	29.33	6.7513E-03	122.1	116.7	122.1	116.7	V-C	7116.	-12.50	30.00
1.000	1.000	146.7	0.000	0.000	0.000	0.000	Ala_161_6590_L_0			0.0000
0.0000	0.0000	0.0000	0.0000	0.0000						
65 D	29.51	6.4444E-03	124.0	115.5	124.0	115.5	V-C	7116.	-12.70	32.00
1.000	1.000	147.5	0.000	0.000	0.000	0.000	Ala_161_6590_L_0			0.0000
0.0000	0.0000	0.0000	0.0000	0.0000						
66 D	29.69	6.1424E-03	125.9	114.5	125.9	114.5	V-C	7116.	-12.90	34.00
1.000	1.000	148.5	0.000	0.000	0.000	0.000	Ala_161_6590_L_0			0.0000
0.0000	0.0000	0.0000	0.0000	0.0000						
67 D	29.88	5.8451E-03	127.8	113.4	127.8	113.4	V-C	7116.	-13.10	36.00
1.000	1.000	149.4	0.000	0.000	0.000	0.000	Ala_161_6590_L_0			0.0000
0.0000	0.0000	0.0000	0.0000	0.0000						
68 D	30.08	5.5523E-03	129.7	112.4	129.7	112.4	V-C	7116.	-13.30	38.00
1.000	1.000	150.4	0.000	0.000	0.000	0.000	Ala_161_6590_L_0			0.0000
0.0000	0.0000	0.0000	0.0000	0.0000						
69 D	30.28	5.2638E-03	131.6	111.4	131.6	111.4	V-C	7116.	-13.50	40.00
1.000	1.000	151.4	0.000	0.000	0.000	0.000	Ala_161_6590_L_0			0.0000
0.0000	0.0000	0.0000	0.0000	0.0000						
70 D	30.49	4.9795E-03	133.5	110.5	133.5	110.5	V-C	7116.	-13.70	42.00
1.000	1.000	152.5	0.000	0.000	0.000	0.000	Ala_161_6590_L_0			0.0000
0.0000	0.0000	0.0000	0.0000	0.0000						
71 D	30.71	4.6992E-03	135.4	109.5	135.4	109.5	V-C	7116.	-13.90	44.00
1.000	1.000	153.5	0.000	0.000	0.000	0.000	Ala_161_6590_L_0			0.0000
0.0000	0.0000	0.0000	0.0000	0.0000						
72 D	30.93	4.4227E-03	137.3	108.6	137.3	108.6	V-C	7116.	-14.10	46.00
1.000	1.000	154.6	0.000	0.000	0.000	0.000	Ala_161_6590_L_0			0.0000
0.0000	0.0000	0.0000	0.0000	0.0000						
73 D	31.15	4.1497E-03	139.2	107.8	139.2	107.8	V-C	7116.	-14.30	48.00
1.000	1.000	155.8	0.000	0.000	0.000	0.000	Ala_161_6590_L_0			0.0000
0.0000	0.0000	0.0000	0.0000	0.0000						
74 D	31.38	3.8802E-03	141.1	106.9	141.1	106.9	V-C	7116.	-14.50	50.00
1.000	1.000	156.9	0.000	0.000	0.000	0.000	Ala_161_6590_L_0			0.0000
0.0000	0.0000	0.0000	0.0000	0.0000						
75 D	31.62	3.6139E-03	143.0	106.1	143.0	106.1	V-C	7116.	-14.70	52.00
1.000	1.000	158.1	0.000	0.000	0.000	0.000	Ala_161_6590_L_0			0.0000
0.0000	0.0000	0.0000	0.0000	0.0000						
76 D	31.86	3.3507E-03	144.9	105.3	144.9	105.3	V-C	7116.	-14.90	54.00
1.000	1.000	159.3	0.000	0.000	0.000	0.000	Ala_161_6590_L_0			0.0000
0.0000	0.0000	0.0000	0.0000	0.0000						
77 D	32.10	3.0903E-03	146.8	104.5	146.8	104.5	V-C	7116.	-15.10	56.00
1.000	1.000	160.5	0.000	0.000	0.000	0.000	Ala_161_6590_L_0			0.0000
0.0000	0.0000	0.0000	0.0000	0.0000						
78 D	32.35	2.8326E-03	148.7	103.7	148.7	103.7	V-C	7116.	-15.30	58.00
1.000	1.000	161.7	0.000	0.000	0.000	0.000	Ala_161_6590_L_0			0.0000
0.0000	0.0000	0.0000	0.0000	0.0000						
79 D	32.60	2.5774E-03	150.6	103.0	150.6	103.0	V-C	7116.	-15.50	60.00
1.000	1.000	163.0	0.000	0.000	0.000	0.000	Ala_161_6590_L_0			0.0000
0.0000	0.0000	0.0000	0.0000	0.0000						
80 D	32.85	2.3245E-03	152.5	102.2	152.5	102.2	V-C	7116.	-15.70	62.00
1.000	1.000	164.2	0.000	0.000	0.000	0.000	Ala_161_6590_L_0			0.0000
0.0000	0.0000	0.0000	0.0000	0.0000						
81 D	33.11	2.0738E-03	154.4	101.5	154.4	101.5	V-C	7116.	-15.90	64.00
1.000	1.000	165.5	0.000	0.000	0.000	0.000	Ala_161_6590_L_0			0.0000
0.0000	0.0000	0.0000	0.0000	0.0000						
82 D	45.33	1.8251E-03	156.4	160.7	156.4	160.7	V-C	3.9885E+04	-16.10	66.00
1.000	1.000	226.7	0.000	0.000	10.25	10.25	Salt_21271_21259_L_0			0.0000
0.0000	0.0000	0.0000	0.0000	0.0000						
83 D	43.99	1.5781E-03	158.4	151.9	158.4	151.9	V-C	3.9885E+04	-16.30	68.00
1.000	1.000	219.9	0.000	0.000	10.25	10.25	Salt_21271_21259_L_0			0.0000
0.0000	0.0000	0.0000	0.0000	0.0000						
84 D	42.66	1.3328E-03	160.4	143.3	160.4	143.3	V-C	3.9885E+04	-16.50	70.00
1.000	1.000	213.3	0.000	0.000	10.25	10.25	Salt_21271_21259_L_0			0.0000
0.0000	0.0000	0.0000	0.0000	0.0000						
85 D	41.29	1.0889E-03	162.4	134.4	162.4	134.8	UL-RL	1.1966E+05	-16.70	72.00
1.000	1.000	206.4	0.000	0.000	10.25	10.25	Salt_21271_21259_L_0			0.0000
0.0000	0.0000	0.0000	0.0000	0.0000						
86 D	39.36	8.4627E-04	164.4	122.8	164.4	127.8	UL-RL	1.1966E+05	-16.90	74.00
1.000	1.000	196.8	0.000	0.000	10.25	10.25	Salt_21271_21259_L_0			0.0000
0.0000	0.0000	0.0000	0.0000	0.0000						
87 D	35.33	6.0459E-04	166.4	100.6	166.4	126.1	UL-RL	1.1966E+05	-17.10	76.00
1.000	1.000	176.6	0.000	0.000	10.25	10.25	Salt_21271_21259_L_0			0.0000
0.0000	0.0000	0.0000	0.0000	0.0000						
88 D	31.31	3.6365E-04	168.4	78.55	168.4	124.4	UL-RL	1.1966E+05	-17.30	78.00
1.000	1.000	156.6	0.000	0.000	10.25	10.25	Salt_21271_21259_L_0			0.0000
0.0000	0.0000	0.0000	0.0000	0.0000						
89 D	27.31	1.2325E-04	170.4	56.53	170.4	122.7	UL-RL	1.1966E+05	-17.50	80.00
1.000	1.000	136.5	0.000	0.000	10.25	10.25	Salt_21271_21259_L_0			0.0000
0.0000	0.0000	0.0000	0.0000	0.0000						
90 D	28.17	-1.1682E-04	172.4	58.83	172.4	111.7	UL-RL	7.3129E+04	-17.70	82.00
1.000	1.000	140.8	0.000	0.000	56.37	56.37	Sch_21272_21260_L_0			0.0000
0.0000	0.0000	0.0000	0.0000	0.0000						
91 D	26.04	-3.5670E-04	175.0	46.18	175.0	111.4	UL-RL	7.3129E+04	-17.90	84.00
1.000	1.000	130.2	0.000	0.000	56.37	56.37	Sch_21272_21260_L_0			0.0000

0.0000	0.0000	0.0000	0.0000	0.0000						
92 D	17.93	-5.9649E-04	177.6	33.54	177.6	111.2	UL-RL	7.3129E+04	-18.10	86.00
1.000	1.000	119.5	0.000	0.000	56.37	56.37	Sch_21272_21260_L_0			0.0000
0.0000	0.0000	0.0000	0.0000	0.0000						
93 D	5.711	-7.1639E-04	178.9	27.22	178.9	111.0	UL-RL	7.3129E+04	-18.20	87.00
1.000	1.000	114.2	0.000	0.000	56.37	56.37	Sch_21272_21260_L_0			0.0000
0.0000	0.0000	0.0000	0.0000	0.0000						

ParatiePlus

Exe Time :28 January 2022 11:11:19

New Project

STRESS RESULTS FOR GROUP NO. 2

0_R :
 ELEMENT TYPE 5 NO.OF ELEMENTS. IN THIS GROUP 93
 CURRENT TIME IS 4.0000 SUBINCREMENT 00001/00001

HARDENING 2D SOIL ELEMENT

***** TOTAL STRESS FORMULATION *****

EL * TOR QSL	FORCE UFACTOR ZD	DISPL-Y Peq ZPL	VERTICAL-P Su_a Kz	HORIZON.-P Su_p	MAX-V-P Cohe_a	MAX-H-P Cohe_p	STATE LAYER	STIFFNESS	Z-LEVEL	PORE ZFO	E FAC- QS
1 D	1.340	-3.6860E-02	57.00	13.40	57.00	24.28	UL-RL	4.5981E+04	0.000	0.000	
1.000	1.000	13.40	0.000	0.000	0.000	0.000	rilevato_6589_8_L_0			0.0000	
0.0000	0.0000	0.0000	0.0000	0.0000							
2 D	2.868	-3.6266E-02	61.00	14.34	61.00	25.99	UL-RL	4.5981E+04	-0.2000	0.000	
1.000	1.000	14.34	0.000	0.000	0.000	0.000	rilevato_6589_8_L_0			0.0000	
0.0000	0.0000	0.0000	0.0000	0.0000							
3 D	3.056	-3.5673E-02	65.00	15.28	65.00	27.69	UL-RL	4.5981E+04	-0.4000	0.000	
1.000	1.000	15.28	0.000	0.000	0.000	0.000	rilevato_6589_8_L_0			0.0000	
0.0000	0.0000	0.0000	0.0000	0.0000							
4 D	3.243	-3.5080E-02	69.01	16.22	69.01	29.39	UL-RL	4.5981E+04	-0.6000	0.000	
1.000	1.000	16.22	0.000	0.000	0.000	0.000	rilevato_6589_8_L_0			0.0000	
0.0000	0.0000	0.0000	0.0000	0.0000							
5 D	3.432	-3.4487E-02	73.01	17.16	73.01	31.10	ACTIVE	0.000	-0.8000	0.000	
1.000	1.000	17.16	0.000	0.000	0.000	0.000	rilevato_6589_8_L_0			0.0000	
0.0000	0.0000	0.0000	0.0000	0.0000							
6 D	3.620	-3.3894E-02	77.03	18.10	77.03	32.80	ACTIVE	0.000	-1.000	0.000	
1.000	1.000	18.10	0.000	0.000	0.000	0.000	rilevato_6589_8_L_0			0.0000	
0.0000	0.0000	0.0000	0.0000	0.0000							
7 D	3.809	-3.3301E-02	81.05	19.05	81.05	34.51	ACTIVE	0.000	-1.200	0.000	
1.000	1.000	19.05	0.000	0.000	0.000	0.000	rilevato_6589_8_L_0			0.0000	
0.0000	0.0000	0.0000	0.0000	0.0000							
8 D	3.999	-3.2709E-02	85.08	19.99	85.08	36.21	ACTIVE	0.000	-1.400	0.000	
1.000	1.000	19.99	0.000	0.000	0.000	0.000	rilevato_6589_8_L_0			0.0000	
0.0000	0.0000	0.0000	0.0000	0.0000							
9 D	4.188	-3.2118E-02	89.11	20.94	89.11	37.91	ACTIVE	0.000	-1.600	0.000	
1.000	1.000	20.94	0.000	0.000	0.000	0.000	rilevato_6589_8_L_0			0.0000	
0.0000	0.0000	0.0000	0.0000	0.0000							
10 D	4.378	-3.1527E-02	93.16	21.89	93.16	39.62	ACTIVE	0.000	-1.800	0.000	
1.000	1.000	21.89	0.000	0.000	0.000	0.000	rilevato_6589_8_L_0			0.0000	
0.0000	0.0000	0.0000	0.0000	0.0000							
11 D	4.569	-3.0938E-02	97.21	22.84	97.21	41.32	ACTIVE	0.000	-2.000	0.000	
1.000	1.000	22.84	0.000	0.000	0.000	0.000	rilevato_6589_8_L_0			0.0000	
0.0000	0.0000	0.0000	0.0000	0.0000							
12 D	4.760	-3.0350E-02	101.3	23.80	101.3	43.03	ACTIVE	0.000	-2.200	0.000	
1.000	1.000	23.80	0.000	0.000	0.000	0.000	rilevato_6589_8_L_0			0.0000	
0.0000	0.0000	0.0000	0.0000	0.0000							
13 D	4.951	-2.9764E-02	105.3	24.76	105.3	44.73	ACTIVE	0.000	-2.400	0.000	
1.000	1.000	24.76	0.000	0.000	0.000	0.000	rilevato_6589_8_L_0			0.0000	
0.0000	0.0000	0.0000	0.0000	0.0000							
14 D	5.143	-2.9180E-02	109.4	25.71	109.4	46.43	ACTIVE	0.000	-2.600	0.000	
1.000	1.000	25.71	0.000	0.000	0.000	0.000	rilevato_6589_8_L_0			0.0000	
0.0000	0.0000	0.0000	0.0000	0.0000							
15 D	5.335	-2.8599E-02	113.5	26.68	113.5	48.14	ACTIVE	0.000	-2.800	0.000	
1.000	1.000	26.68	0.000	0.000	0.000	0.000	rilevato_6589_8_L_0			0.0000	
0.0000	0.0000	0.0000	0.0000	0.0000							
16 D	5.528	-2.8021E-02	117.6	27.64	117.6	49.84	ACTIVE	0.000	-3.000	0.000	
1.000	1.000	27.64	0.000	0.000	0.000	0.000	rilevato_6589_8_L_0			0.0000	
0.0000	0.0000	0.0000	0.0000	0.0000							
17 D	5.721	-2.7447E-02	121.7	28.60	121.7	51.55	ACTIVE	0.000	-3.200	0.000	
1.000	1.000	28.60	0.000	0.000	0.000	0.000	rilevato_6589_8_L_0			0.0000	
0.0000	0.0000	0.0000	0.0000	0.0000							
18 D	5.914	-2.6876E-02	125.8	29.57	125.8	53.25	ACTIVE	0.000	-3.400	0.000	
1.000	1.000	29.57	0.000	0.000	0.000	0.000	rilevato_6589_8_L_0			0.0000	
0.0000	0.0000	0.0000	0.0000	0.0000							
19 D	6.108	-2.6311E-02	130.0	30.54	130.0	54.95	ACTIVE	0.000	-3.600	0.000	
1.000	1.000	30.54	0.000	0.000	0.000	0.000	rilevato_6589_8_L_0			0.0000	
0.0000	0.0000	0.0000	0.0000	0.0000							
20 D	6.302	-2.5751E-02	134.1	31.51	134.1	56.66	ACTIVE	0.000	-3.800	0.000	
1.000	1.000	31.51	0.000	0.000	0.000	0.000	rilevato_6589_8_L_0			0.0000	
0.0000	0.0000	0.0000	0.0000	0.0000							
21 D	6.496	-2.5196E-02	138.2	32.48	138.2	58.36	ACTIVE	0.000	-4.000	0.000	
1.000	1.000	32.48	0.000	0.000	0.000	0.000	rilevato_6589_8_L_0			0.0000	
0.0000	0.0000	0.0000	0.0000	0.0000							
22 D	6.691	-2.4649E-02	142.4	33.45	142.4	60.07	ACTIVE	0.000	-4.200	0.000	

1.000	1.000	33.45	0.000	0.000	0.000	0.000	rilevato_6589_8_L_0	0.0000	
0.0000	0.0000	0.0000	0.0000	0.0000	0.0000	0.0000			
23 D	6.885	-2.4109E-02	146.5	34.43	146.5	61.77	ACTIVE 0.000	-4.400	0.000
1.000	1.000	34.43	0.000	0.000	0.000	0.000	rilevato_6589_8_L_0	0.0000	
0.0000	0.0000	0.0000	0.0000	0.0000	0.0000	0.0000			
24 D	5.310	-2.3578E-02	150.6	35.40	150.6	63.47	ACTIVE 0.000	-4.600	0.000
1.000	1.000	35.40	0.000	0.000	0.000	0.000	rilevato_6589_8_L_0	0.0000	
0.0000	0.0000	0.0000	0.0000	0.0000	0.0000	0.0000			
25 D	8.224	-2.3315E-02	152.7	54.82	152.7	85.82	ACTIVE 0.000	-4.700	0.000
1.000	1.000	54.82	0.000	0.000	0.000	0.000	Ala_161_6590_L_0	0.0000	
0.0000	0.0000	0.0000	0.0000	0.0000	0.0000	0.0000			
26 D	11.26	-2.2795E-02	156.8	56.28	156.8	88.10	ACTIVE 0.000	-4.900	0.000
1.000	1.000	56.28	0.000	0.000	0.000	0.000	Ala_161_6590_L_0	0.0000	
0.0000	0.0000	0.0000	0.0000	0.0000	0.0000	0.0000			
27 D	11.55	-2.2276E-02	160.8	57.73	160.8	90.38	ACTIVE 0.000	-5.100	0.000
1.000	1.000	57.73	0.000	0.000	0.000	0.000	Ala_161_6590_L_0	0.0000	
0.0000	0.0000	0.0000	0.0000	0.0000	0.0000	0.0000			
28 D	11.84	-2.1761E-02	164.9	59.18	164.9	92.65	ACTIVE 0.000	-5.300	0.000
1.000	1.000	59.18	0.000	0.000	0.000	0.000	Ala_161_6590_L_0	0.0000	
0.0000	0.0000	0.0000	0.0000	0.0000	0.0000	0.0000			
29 D	12.13	-2.1248E-02	168.9	60.64	168.9	94.93	ACTIVE 0.000	-5.500	0.000
1.000	1.000	60.64	0.000	0.000	0.000	0.000	Ala_161_6590_L_0	0.0000	
0.0000	0.0000	0.0000	0.0000	0.0000	0.0000	0.0000			
30 D	12.42	-2.0740E-02	173.0	62.09	173.0	97.20	ACTIVE 0.000	-5.700	0.000
1.000	1.000	62.09	0.000	0.000	0.000	0.000	Ala_161_6590_L_0	0.0000	
0.0000	0.0000	0.0000	0.0000	0.0000	0.0000	0.0000			
31 D	12.71	-2.0234E-02	177.0	63.54	177.0	99.48	ACTIVE 0.000	-5.900	0.000
1.000	1.000	63.54	0.000	0.000	0.000	0.000	Ala_161_6590_L_0	0.0000	
0.0000	0.0000	0.0000	0.0000	0.0000	0.0000	0.0000			
32 D	13.00	-1.9733E-02	181.1	65.00	181.1	101.8	ACTIVE 0.000	-6.100	0.000
1.000	1.000	65.00	0.000	0.000	0.000	0.000	Ala_161_6590_L_0	0.0000	
0.0000	0.0000	0.0000	0.0000	0.0000	0.0000	0.0000			
33 D	13.29	-1.9236E-02	185.1	66.45	185.1	104.0	ACTIVE 0.000	-6.300	0.000
1.000	1.000	66.45	0.000	0.000	0.000	0.000	Ala_161_6590_L_0	0.0000	
0.0000	0.0000	0.0000	0.0000	0.0000	0.0000	0.0000			
34 D	13.58	-1.8743E-02	189.1	67.90	189.1	106.3	ACTIVE 0.000	-6.500	0.000
1.000	1.000	67.90	0.000	0.000	0.000	0.000	Ala_161_6590_L_0	0.0000	
0.0000	0.0000	0.0000	0.0000	0.0000	0.0000	0.0000			
35 D	13.87	-1.8255E-02	193.2	69.35	193.2	108.6	ACTIVE 0.000	-6.700	0.000
1.000	1.000	69.35	0.000	0.000	0.000	0.000	Ala_161_6590_L_0	0.0000	
0.0000	0.0000	0.0000	0.0000	0.0000	0.0000	0.0000			
36 D	14.18	-1.7772E-02	197.6	70.92	197.6	111.0	ACTIVE 0.000	-6.900	0.000
1.000	1.000	70.92	0.000	0.000	0.000	0.000	Ala_161_6590_L_0	0.0000	
0.0000	0.0000	0.0000	0.0000	0.0000	0.0000	0.0000			
37 D	14.53	-1.7295E-02	202.3	72.63	202.3	113.7	ACTIVE 0.000	-7.100	0.000
1.000	1.000	72.63	0.000	0.000	0.000	0.000	Ala_161_6590_L_0	0.0000	
0.0000	0.0000	0.0000	0.0000	0.0000	0.0000	0.0000			
38 D	14.84	-1.6823E-02	206.7	74.20	206.7	116.2	ACTIVE 0.000	-7.300	0.000
1.000	1.000	74.20	0.000	0.000	0.000	0.000	Ala_161_6590_L_0	0.0000	
0.0000	0.0000	0.0000	0.0000	0.0000	0.0000	0.0000			
39 D	15.17	-1.6356E-02	211.2	75.84	211.2	118.7	ACTIVE 0.000	-7.500	0.000
1.000	1.000	75.84	0.000	0.000	0.000	0.000	Ala_161_6590_L_0	0.0000	
0.0000	0.0000	0.0000	0.0000	0.0000	0.0000	0.0000			
40 D	15.48	-1.5896E-02	215.6	77.42	215.6	121.2	ACTIVE 0.000	-7.700	0.000
1.000	1.000	77.42	0.000	0.000	0.000	0.000	Ala_161_6590_L_0	0.0000	
0.0000	0.0000	0.0000	0.0000	0.0000	0.0000	0.0000			
41 D	15.80	-1.5441E-02	220.0	78.99	220.0	123.7	ACTIVE 0.000	-7.900	0.000
1.000	1.000	78.99	0.000	0.000	0.000	0.000	Ala_161_6590_L_0	0.0000	
0.0000	0.0000	0.0000	0.0000	0.0000	0.0000	0.0000			
42 D	16.11	-1.4993E-02	224.4	80.57	224.4	126.1	ACTIVE 0.000	-8.100	0.000
1.000	1.000	80.57	0.000	0.000	0.000	0.000	Ala_161_6590_L_0	0.0000	
0.0000	0.0000	0.0000	0.0000	0.0000	0.0000	0.0000			
43 D	16.42	-1.4551E-02	228.7	82.10	228.7	128.5	ACTIVE 0.000	-8.300	0.000
1.000	1.000	82.10	0.000	0.000	0.000	0.000	Ala_161_6590_L_0	0.0000	
0.0000	0.0000	0.0000	0.0000	0.0000	0.0000	0.0000			
44 D	16.73	-1.4116E-02	233.1	83.67	233.1	131.0	ACTIVE 0.000	-8.500	0.000
1.000	1.000	83.67	0.000	0.000	0.000	0.000	Ala_161_6590_L_0	0.0000	
0.0000	0.0000	0.0000	0.0000	0.0000	0.0000	0.0000			
45 D	17.03	-1.3687E-02	237.2	85.16	237.2	133.3	ACTIVE 0.000	-8.700	0.000
1.000	1.000	85.16	0.000	0.000	0.000	0.000	Ala_161_6590_L_0	0.0000	
0.0000	0.0000	0.0000	0.0000	0.0000	0.0000	0.0000			
46 D	17.35	-1.3264E-02	241.6	86.73	241.6	135.8	ACTIVE 0.000	-8.900	0.000
1.000	1.000	86.73	0.000	0.000	0.000	0.000	Ala_161_6590_L_0	0.0000	
0.0000	0.0000	0.0000	0.0000	0.0000	0.0000	0.0000			
47 D	17.64	-1.2848E-02	245.7	88.20	245.7	138.1	ACTIVE 0.000	-9.100	0.000
1.000	1.000	88.20	0.000	0.000	0.000	0.000	Ala_161_6590_L_0	0.0000	
0.0000	0.0000	0.0000	0.0000	0.0000	0.0000	0.0000			
48 D	17.95	-1.2439E-02	250.0	89.75	250.0	140.5	ACTIVE 0.000	-9.300	0.000
1.000	1.000	89.75	0.000	0.000	0.000	0.000	Ala_161_6590_L_0	0.0000	
0.0000	0.0000	0.0000	0.0000	0.0000	0.0000	0.0000			
49 D	18.24	-1.2036E-02	254.1	91.20	254.1	142.8	ACTIVE 0.000	-9.500	0.000
1.000	1.000	91.20	0.000	0.000	0.000	0.000	Ala_161_6590_L_0	0.0000	
0.0000	0.0000	0.0000	0.0000	0.0000	0.0000	0.0000			
50 D	18.80	-1.1640E-02	256.3	92.02	256.3	144.1	ACTIVE 0.000	-9.700	2.000
1.000	1.000	94.02	0.000	0.000	0.000	0.000	Ala_161_6590_L_0	0.0000	
0.0000	0.0000	0.0000	0.0000	0.0000	0.0000	0.0000			
51 D	19.35	-1.1251E-02	258.3	92.74	258.3	145.2	ACTIVE 0.000	-9.900	4.000
1.000	1.000	96.74	0.000	0.000	0.000	0.000	Ala_161_6590_L_0	0.0000	
0.0000	0.0000	0.0000	0.0000	0.0000	0.0000	0.0000			
52 D	19.91	-1.0868E-02	260.6	93.54	260.6	146.4	ACTIVE 0.000	-10.10	6.000
1.000	1.000	99.54	0.000	0.000	0.000	0.000	Ala_161_6590_L_0	0.0000	
0.0000	0.0000	0.0000	0.0000	0.0000	0.0000	0.0000			

53 D	20.45	-1.0491E-02	262.5	94.25	262.5	147.5	ACTIVE	0.000	-10.30	8.000
1.000	1.000	102.2	0.000	0.000	0.000	0.000	Ala_161_6590_L_0			0.0000
0.0000	0.0000	0.0000	0.0000	0.0000	0.0000	0.0000				
54 D	21.00	-1.0121E-02	264.7	95.02	264.7	148.7	ACTIVE	0.000	-10.50	10.000
1.000	1.000	105.0	0.000	0.000	0.000	0.000	Ala_161_6590_L_0			0.0000
0.0000	0.0000	0.0000	0.0000	0.0000	0.0000	0.0000				
55 D	21.55	-9.7576E-03	266.7	95.73	266.7	149.9	ACTIVE	0.000	-10.70	12.00
1.000	1.000	107.7	0.000	0.000	0.000	0.000	Ala_161_6590_L_0			0.0000
0.0000	0.0000	0.0000	0.0000	0.0000	0.0000	0.0000				
56 D	22.10	-9.4001E-03	268.7	96.48	268.7	151.0	ACTIVE	0.000	-10.90	14.00
1.000	1.000	110.5	0.000	0.000	0.000	0.000	Ala_161_6590_L_0			0.0000
0.0000	0.0000	0.0000	0.0000	0.0000	0.0000	0.0000				
57 D	22.64	-9.0488E-03	270.7	97.19	270.7	152.1	ACTIVE	0.000	-11.10	16.00
1.000	1.000	113.2	0.000	0.000	0.000	0.000	Ala_161_6590_L_0			0.0000
0.0000	0.0000	0.0000	0.0000	0.0000	0.0000	0.0000				
58 D	23.18	-8.7035E-03	272.7	97.91	272.7	153.3	ACTIVE	0.000	-11.30	18.00
1.000	1.000	115.9	0.000	0.000	0.000	0.000	Ala_161_6590_L_0			0.0000
0.0000	0.0000	0.0000	0.0000	0.0000	0.0000	0.0000				
59 D	23.73	-8.3642E-03	274.7	98.63	274.7	154.4	ACTIVE	0.000	-11.50	20.00
1.000	1.000	118.6	0.000	0.000	0.000	0.000	Ala_161_6590_L_0			0.0000
0.0000	0.0000	0.0000	0.0000	0.0000	0.0000	0.0000				
60 D	24.27	-8.0306E-03	276.7	99.33	276.7	155.5	ACTIVE	0.000	-11.70	22.00
1.000	1.000	121.3	0.000	0.000	0.000	0.000	Ala_161_6590_L_0			0.0000
0.0000	0.0000	0.0000	0.0000	0.0000	0.0000	0.0000				
61 D	24.81	-7.7027E-03	278.7	100.0	278.7	156.6	ACTIVE	0.000	-11.90	24.00
1.000	1.000	124.0	0.000	0.000	0.000	0.000	Ala_161_6590_L_0			0.0000
0.0000	0.0000	0.0000	0.0000	0.0000	0.0000	0.0000				
62 D	25.35	-7.3802E-03	280.6	100.7	280.6	157.7	ACTIVE	0.000	-12.10	26.00
1.000	1.000	126.7	0.000	0.000	0.000	0.000	Ala_161_6590_L_0			0.0000
0.0000	0.0000	0.0000	0.0000	0.0000	0.0000	0.0000				
63 D	25.89	-7.0631E-03	282.6	101.5	282.6	158.8	ACTIVE	0.000	-12.30	28.00
1.000	1.000	129.5	0.000	0.000	0.000	0.000	Ala_161_6590_L_0			0.0000
0.0000	0.0000	0.0000	0.0000	0.0000	0.0000	0.0000				
64 D	26.43	-6.7513E-03	284.5	102.1	284.5	159.9	ACTIVE	0.000	-12.50	30.00
1.000	1.000	132.1	0.000	0.000	0.000	0.000	Ala_161_6590_L_0			0.0000
0.0000	0.0000	0.0000	0.0000	0.0000	0.0000	0.0000				
65 D	26.97	-6.4444E-03	286.5	102.8	286.5	161.0	ACTIVE	0.000	-12.70	32.00
1.000	1.000	134.8	0.000	0.000	0.000	0.000	Ala_161_6590_L_0			0.0000
0.0000	0.0000	0.0000	0.0000	0.0000	0.0000	0.0000				
66 D	27.50	-6.1424E-03	288.3	103.5	288.3	162.0	ACTIVE	0.000	-12.90	34.00
1.000	1.000	137.5	0.000	0.000	0.000	0.000	Ala_161_6590_L_0			0.0000
0.0000	0.0000	0.0000	0.0000	0.0000	0.0000	0.0000				
67 D	28.04	-5.8451E-03	290.3	104.2	290.3	163.1	ACTIVE	0.000	-13.10	36.00
1.000	1.000	140.2	0.000	0.000	0.000	0.000	Ala_161_6590_L_0			0.0000
0.0000	0.0000	0.0000	0.0000	0.0000	0.0000	0.0000				
68 D	28.57	-5.5523E-03	292.1	104.9	292.1	164.2	ACTIVE	0.000	-13.30	38.00
1.000	1.000	142.9	0.000	0.000	0.000	0.000	Ala_161_6590_L_0			0.0000
0.0000	0.0000	0.0000	0.0000	0.0000	0.0000	0.0000				
69 D	29.10	-5.2638E-03	293.9	105.5	293.9	165.2	ACTIVE	0.000	-13.50	40.00
1.000	1.000	145.5	0.000	0.000	0.000	0.000	Ala_161_6590_L_0			0.0000
0.0000	0.0000	0.0000	0.0000	0.0000	0.0000	0.0000				
70 D	29.63	-4.9795E-03	295.7	106.2	295.7	166.2	ACTIVE	0.000	-13.70	42.00
1.000	1.000	148.2	0.000	0.000	0.000	0.000	Ala_161_6590_L_0			0.0000
0.0000	0.0000	0.0000	0.0000	0.0000	0.0000	0.0000				
71 D	30.16	-4.6992E-03	297.5	106.8	297.5	167.2	ACTIVE	0.000	-13.90	44.00
1.000	1.000	150.8	0.000	0.000	0.000	0.000	Ala_161_6590_L_0			0.0000
0.0000	0.0000	0.0000	0.0000	0.0000	0.0000	0.0000				
72 D	30.69	-4.4227E-03	299.3	107.5	299.3	168.2	ACTIVE	0.000	-14.10	46.00
1.000	1.000	153.5	0.000	0.000	0.000	0.000	Ala_161_6590_L_0			0.0000
0.0000	0.0000	0.0000	0.0000	0.0000	0.0000	0.0000				
73 D	31.22	-4.1497E-03	301.1	108.1	301.1	169.2	ACTIVE	0.000	-14.30	48.00
1.000	1.000	156.1	0.000	0.000	0.000	0.000	Ala_161_6590_L_0			0.0000
0.0000	0.0000	0.0000	0.0000	0.0000	0.0000	0.0000				
74 D	31.75	-3.8802E-03	302.9	108.8	302.9	170.2	ACTIVE	0.000	-14.50	50.00
1.000	1.000	158.8	0.000	0.000	0.000	0.000	Ala_161_6590_L_0			0.0000
0.0000	0.0000	0.0000	0.0000	0.0000	0.0000	0.0000				
75 D	32.28	-3.6139E-03	304.7	109.4	304.7	171.3	ACTIVE	0.000	-14.70	52.00
1.000	1.000	161.4	0.000	0.000	0.000	0.000	Ala_161_6590_L_0			0.0000
0.0000	0.0000	0.0000	0.0000	0.0000	0.0000	0.0000				
76 D	32.81	-3.3507E-03	306.5	110.1	306.5	172.3	ACTIVE	0.000	-14.90	54.00
1.000	1.000	164.1	0.000	0.000	0.000	0.000	Ala_161_6590_L_0			0.0000
0.0000	0.0000	0.0000	0.0000	0.0000	0.0000	0.0000				
77 D	33.34	-3.0903E-03	308.4	110.7	308.4	173.3	ACTIVE	0.000	-15.10	56.00
1.000	1.000	166.7	0.000	0.000	0.000	0.000	Ala_161_6590_L_0			0.0000
0.0000	0.0000	0.0000	0.0000	0.0000	0.0000	0.0000				
78 D	33.87	-2.8326E-03	310.2	111.4	310.2	174.3	ACTIVE	0.000	-15.30	58.00
1.000	1.000	169.4	0.000	0.000	0.000	0.000	Ala_161_6590_L_0			0.0000
0.0000	0.0000	0.0000	0.0000	0.0000	0.0000	0.0000				
79 D	34.40	-2.5774E-03	312.0	112.0	312.0	175.3	ACTIVE	0.000	-15.50	60.00
1.000	1.000	172.0	0.000	0.000	0.000	0.000	Ala_161_6590_L_0			0.0000
0.0000	0.0000	0.0000	0.0000	0.0000	0.0000	0.0000				
80 D	35.44	-2.3245E-03	313.8	115.2	313.8	176.4	UL-RL	2.6301E+04	-15.70	62.00
1.000	1.000	177.2	0.000	0.000	0.000	0.000	Ala_161_6590_L_0			0.0000
0.0000	0.0000	0.0000	0.0000	0.0000	0.0000	0.0000				
81 D	37.37	-2.0738E-03	315.6	122.8	315.6	177.4	UL-RL	2.6301E+04	-15.90	64.00
1.000	1.000	186.8	0.000	0.000	0.000	0.000	Ala_161_6590_L_0			0.0000
0.0000	0.0000	0.0000	0.0000	0.0000	0.0000	0.0000				
82 D	32.70	-1.8251E-03	317.5	97.49	317.5	178.4	ACTIVE	0.000	-16.10	66.00
1.000	1.000	163.5	0.000	0.000	10.00	10.00	Salt_21271_21259_L_0			0.0000
0.0000	0.0000	0.0000	0.0000	0.0000	0.0000	0.0000				
83 D	33.23	-1.5781E-03	319.4	98.15	319.4	179.5	ACTIVE	0.000	-16.30	68.00
1.000	1.000	166.1	0.000	0.000	10.00	10.00	Salt_21271_21259_L_0			0.0000

0.0000	0.0000	0.0000	0.0000	0.0000						
84 D	33.76	-1.3328E-03	321.3	98.81	321.3	180.6	ACTIVE	0.000	-16.50	70.00
1.000	1.000	168.8	0.000	0.000	10.00	10.00	Salt_21271_21259_L_0			0.0000
0.0000	0.0000	0.0000	0.0000	0.0000						
85 D	34.39	-1.0889E-03	323.3	99.95	323.3	181.7	UL-RL	1.5322E+05	-16.70	72.00
1.000	1.000	171.9	0.000	0.000	10.00	10.00	Salt_21271_21259_L_0			0.0000
0.0000	0.0000	0.0000	0.0000	0.0000						
86 D	36.10	-8.4627E-04	325.2	106.5	325.2	182.8	UL-RL	1.5322E+05	-16.90	74.00
1.000	1.000	180.5	0.000	0.000	10.00	10.00	Salt_21271_21259_L_0			0.0000
0.0000	0.0000	0.0000	0.0000	0.0000						
87 D	41.88	-6.0459E-04	327.1	133.4	327.1	183.8	UL-RL	1.5322E+05	-17.10	76.00
1.000	1.000	209.4	0.000	0.000	10.00	10.00	Salt_21271_21259_L_0			0.0000
0.0000	0.0000	0.0000	0.0000	0.0000						
88 D	47.64	-3.6365E-04	329.0	160.2	329.0	184.9	UL-RL	1.5322E+05	-17.30	78.00
1.000	1.000	238.2	0.000	0.000	10.00	10.00	Salt_21271_21259_L_0			0.0000
0.0000	0.0000	0.0000	0.0000	0.0000						
89 D	52.33	-1.2325E-04	331.0	181.7	331.0	188.6	UL-RL	1.5322E+05	-17.50	80.00
1.000	1.000	261.7	0.000	0.000	10.00	10.00	Salt_21271_21259_L_0			0.0000
0.0000	0.0000	0.0000	0.0000	0.0000						
90 D	54.67	1.1682E-04	333.0	191.4	333.0	191.7	UL-RL	1.1423E+05	-17.70	82.00
1.000	1.000	273.4	0.000	0.000	55.00	55.00	Sch_21272_21260_L_0			0.0000
0.0000	0.0000	0.0000	0.0000	0.0000						
91 D	57.18	3.5670E-04	335.5	201.9	335.5	202.2	UL-RL	1.1423E+05	-17.90	84.00
1.000	1.000	285.9	0.000	0.000	55.00	55.00	Sch_21272_21260_L_0			0.0000
0.0000	0.0000	0.0000	0.0000	0.0000						
92 D	44.77	5.9649E-04	338.0	212.5	338.0	212.8	UL-RL	1.1423E+05	-18.10	86.00
1.000	1.000	298.5	0.000	0.000	55.00	55.00	Sch_21272_21260_L_0			0.0000
0.0000	0.0000	0.0000	0.0000	0.0000						
93 D	15.24	7.1639E-04	339.3	217.8	339.3	218.1	UL-RL	1.1423E+05	-18.20	87.00
1.000	1.000	304.8	0.000	0.000	55.00	55.00	Sch_21272_21260_L_0			0.0000
0.0000	0.0000	0.0000	0.0000	0.0000						

```

+-----+
|          PARATIEPLUS(TM)  NLS ENGINE RELEASE  2022.0.0  FULL VERSION  *Build date:Sep 13, 2021*  |
|                                                                                               |
|                                                                                               |
|                                                                                               |
|                                                                                               |
|                                                                                               |
|          ParatiePlus  |
|          Exe Time :28 January 2022  11:11:19  |
+-----+

```

New Project

S T R E S S R E S U L T S F O R G R O U P N O . 3

```

pali15001.7_33 :
ELEMENT TYPE   2 NO.OF ELEMENTS. IN THIS GROUP   68
C U R R E N T   T I M E   I S   4.0000 SUBINCREMENT 00001/00001

```

WALL2D ELEMENT

EL	TA	TB	MA	MB
1	-145.76	145.76	285.87	-315.02
2	-154.80	154.80	315.02	-345.98
3	-161.91	161.91	345.98	-378.36
4	-167.11	167.11	378.36	-411.78
5	-170.37	170.37	411.78	-445.86
6	-171.71	171.71	445.86	-480.20
7	-171.13	171.13	480.20	-514.43
8	-168.63	168.63	514.43	-548.15
9	-164.19	164.19	548.15	-580.99
10	-157.84	157.84	580.99	-612.56
11	-149.56	149.56	612.56	-642.47
12	-139.37	139.37	642.47	-670.34
13	-127.32	127.32	670.34	-695.81
14	-113.36	113.36	695.81	-718.48
15	-99.111	99.111	718.48	-738.30
16	-85.395	85.395	738.30	-755.38
17	-72.203	72.203	755.38	-769.82
18	-59.527	59.527	769.82	-781.73
19	-47.347	47.347	781.73	-791.20
20	-35.663	35.663	791.20	-798.33
21	-24.448	24.448	798.33	-803.22
22	-13.712	13.712	803.22	-805.96
23	-3.4211	3.4211	805.96	-806.64
24	6.4138	-6.4138	806.64	-805.36
25	15.824	-15.824	805.36	-802.20
26	24.720	-24.720	802.20	-797.25
27	33.132	-33.132	797.25	-790.63
28	41.053	-41.053	790.63	-782.42
29	48.510	-48.510	782.42	-772.71
30	55.499	-55.499	772.71	-761.61
31	62.042	-62.042	761.61	-749.21
32	68.142	-68.142	749.21	-735.58
33	73.811	-73.811	735.58	-720.81
34	79.059	-79.059	720.81	-705.00
35	83.893	-83.893	705.00	-688.22
36	88.326	-88.326	688.22	-670.56
37	92.363	-92.363	670.56	-652.09
38	96.017	-96.017	652.09	-632.88
39	99.290	-99.290	632.88	-613.02
40	102.20	-102.20	613.02	-592.59
41	104.74	-104.74	592.59	-571.64
42	106.93	-106.93	571.64	-550.25
43	108.77	-108.77	550.25	-528.50
44	110.28	-110.28	528.50	-506.44
45	111.46	-111.46	506.44	-484.15
46	112.32	-112.32	484.15	-461.69
47	112.87	-112.87	461.69	-439.11
48	113.10	-113.10	439.11	-416.49
49	113.03	-113.03	416.49	-393.89
50	112.67	-112.67	393.89	-371.35
51	112.00	-112.00	371.35	-348.95
52	111.05	-111.05	348.95	-326.74
53	109.81	-109.81	326.74	-304.78
54	108.28	-108.28	304.78	-283.13
55	106.48	-106.48	283.13	-261.83
56	103.88	-103.88	261.83	-241.05
57	99.619	-99.619	241.05	-221.13
58	112.25	-112.25	221.13	-198.68
59	123.01	-123.01	198.68	-174.08
60	131.91	-131.91	174.08	-147.70
61	138.80	-138.80	147.70	-119.94
62	142.06	-142.06	119.94	-91.524
63	135.50	-135.50	91.524	-64.423
64	119.18	-119.18	64.423	-40.587
65	94.152	-94.152	40.587	-21.756
66	67.601	-67.601	21.756	-8.2358
67	36.410	-36.410	8.2358	-0.95374
68	9.5374	-9.5374	0.95374	1.47836E-10


```

+-----+
|           PARATIEPLUS(TM)  NLS ENGINE RELEASE  2022.0.0  FULL VERSION  *Build date:Sep 13, 2021*           |
|                                                                                                                                           |
|                                                                                       ParatiePlus                                         |
|                                                                                       Exe Time :28 January 2022   11:11:19                 |
+-----+

```

New Project

S T R E S S R E S U L T S F O R G R O U P N O . 4

```

muro71cm_4658 :
ELEMENT TYPE   2 NO.OF ELEMENTS. IN THIS GROUP   24
C U R R E N T   T I M E   I S   4.0000 SUBINCREMENT 00001/00001

```

WALL2D ELEMENT

EL	TA	TB	MA	MB
1	-1.8478	1.8478	9.83533E-10	-0.36956
2	-5.7314	5.7314	0.36956	-1.5158
3	-9.8031	9.8031	1.5158	-3.4765
4	-14.063	14.063	3.4765	-6.2891
5	-18.511	18.511	6.2891	-9.9913
6	-23.148	23.148	9.9913	-14.621
7	-27.974	27.974	14.621	-20.216
8	-32.989	32.989	20.216	-26.814
9	-38.194	38.194	26.814	-34.452
10	-43.589	43.589	34.452	-43.170
11	-49.175	49.175	43.170	-53.005
12	-54.951	54.951	53.005	-63.995
13	-60.919	60.919	63.995	-76.179
14	-67.078	67.078	76.179	-89.595
15	-73.430	73.430	89.595	-104.28
16	-79.975	79.975	104.28	-120.28
17	-86.712	86.712	120.28	-137.62
18	-93.643	93.643	137.62	-156.35
19	-100.77	100.77	156.35	-176.50
20	-108.09	108.09	176.50	-198.12
21	-115.60	115.60	198.12	-221.24
22	-123.31	123.31	221.24	-245.90
23	-131.21	131.21	245.90	-272.14
24	-137.28	137.28	272.14	-285.87

```
+-----+
|          PARATIEPLUS(TM)  NLS ENGINE RELEASE  2022.0.0  FULL VERSION  *Build date:Sep 13, 2021*  |
|                                                                                               |
|                                                                                               |
|                               ParatiePlus                                                    |
|                               Exe Time :28 January 2022  11:11:19                            |
+-----+
```

F I N A L I N C R E M E N T A L A N A L Y S I S
S U M M A R Y

STEP		NO. OF ITERATIONS
1	CONVERGENCE :YES	2
2	CONVERGENCE :YES	2
3	CONVERGENCE :YES	6
4	CONVERGENCE :YES	4

END OF PROCESS FOR PROBLEM
New Project
NONLINEAR SOLUTION CPU TIME 0.10 [sec]
DATABASE CREATION CPU TIME..... 0.21 [sec]

8.11. Design Assumption : SISMICA GEO - File di Paratie - File di input (.d)

```
* PARATIE ANALYSIS FOR DESIGN SECTION:Base Design Section USING ASSUMPTION: SISMICA GEO
* Time:venerdi 28 gennaio 2022 11:11:20
* 1: Defining general settings
UNIT m kN
TITLE New Project
DELTA 0.2
option param itemax 40
option control contact lagrange

option control hinges 0 0.0001 0.001

* 2: Defining wall(s)
WALL LeftWall_32 0 -18.2 0 -1

* 3: Defining surfaces for wall(s)
SOIL 0_L LeftWall_32 -18.2 0 2 0
SOIL 0_R LeftWall_32 -18.2 0 1 180

* 4: Defining soil layers
*
* Soil Profile (rilevato_6589_8_L_0)
*
LDATA rilevato_6589_8_L_0 0 LeftWall_32
ATREST 0.426 0.5 1
WEIGHT 20 10 10
PERMEABILITY 1E-05
RESISTANCE 0 35 0 0 0
TZDATA LINEAR 0 0 0 0.5 0
KSCALE 0 0
YOUNG 50000 1.5E+05
ENDL
*
* Soil Profile (Ala_161_6590_L_0)
*
LDATA Ala_161_6590_L_0 -4.7 LeftWall_32
ATREST 0.562 0.5 1
WEIGHT 19.5 9.5 10
PERMEABILITY 1E-05
RESISTANCE 0 25 0 0 0
TZDATA LINEAR 0 0 0 0.5 0
KSCALE 0 0
YOUNG 35000 1.05E+05
ENDL
*
* Soil Profile (Salt_21271_21259_L_0)
*
LDATA Salt_21271_21259_L_0 -15.99 LeftWall_32
ATREST 0.562 0.5 1
WEIGHT 20 10 10
PERMEABILITY 1E-05
RESISTANCE 10 26 0 0 0
TZDATA LINEAR 0 0 0 0.5 0
KSCALE 0 0
YOUNG 2E+05 6E+05
ENDL
*
* Soil Profile (Sch_21272_21260_L_0)
*
LDATA Sch_21272_21260_L_0 -17.67 LeftWall_32
ATREST 0.562 0.5 1
WEIGHT 23 13 10
PERMEABILITY 1E-05
RESISTANCE 55 31 0 0 0
TZDATA LINEAR 0 0 0 0.5 0
KSCALE 0 0
YOUNG 1.35E+05 4.05E+05
ENDL

* 5: Defining structural materials
* Steel material: 110 Name=Fe360 E=206000200 kPa
MATERIAL Fe360_110 2.06E+08
* Concrete material: 108 Name=C32/40 E=33345800 kPa
MATERIAL C3240_108 3.3346E+07

* 6: Defining structural elements
* 6.1: Beams and combined Wall Elements
** rev 2021 and later
BEAM pali15001.7_33 LeftWall_32 -18.2 -4.7 C3240_108 1.206 1.0395 0.14618 25.987 00 00 0
** rev 2021 and later
BEAM muro71cm_4658 LeftWall_32 -4.7 0 C3240_108 0.74889 0.71 0.035 17.75 00 00 0

* 6.2: Supports
```

```

* 6.3: Strips
STRIP LeftWall_32 3 4 6.7 0.37824 0 58.824 45
STRIP LeftWall_32 3 4 7.0782 0.37824 0 56.471 45
STRIP LeftWall_32 3 4 7.4565 0.37824 0 54.118 45
STRIP LeftWall_32 3 4 7.8347 0.37824 0 51.765 45
STRIP LeftWall_32 3 4 8.2129 0.37824 0 49.412 45
STRIP LeftWall_32 3 4 8.5912 0.37824 0 47.059 45
STRIP LeftWall_32 3 4 8.9694 0.37824 0 44.706 45
STRIP LeftWall_32 3 4 9.3476 0.37824 0 42.353 45
STRIP LeftWall_32 3 4 9.7259 0.37824 0 40 45
STRIP LeftWall_32 3 4 10.104 0.37824 0 37.647 45
STRIP LeftWall_32 3 4 10.482 0.37824 0 35.294 45
STRIP LeftWall_32 3 4 10.861 0.37824 0 32.941 45
STRIP LeftWall_32 3 4 11.239 0.37824 0 30.588 45
STRIP LeftWall_32 3 4 11.617 0.37824 0 28.235 45
STRIP LeftWall_32 3 4 11.995 0.37824 0 25.882 45
STRIP LeftWall_32 3 4 12.374 0.37824 0 23.529 45
STRIP LeftWall_32 3 4 12.752 0.37824 0 21.176 45

```

```

* 7: Defining Steps
STEP 0-Geostatica_31
CHANGE rilievo_6589_8_L_0 U-FRICT=29.256 LeftWall_32
CHANGE rilievo_6589_8_L_0 D-FRICT=29.256 LeftWall_32
CHANGE rilievo_6589_8_L_0 U-KA=0.3 LeftWall_32
CHANGE rilievo_6589_8_L_0 U-KP=4.102 LeftWall_32
CHANGE rilievo_6589_8_L_0 D-KA=0.3 LeftWall_32
CHANGE rilievo_6589_8_L_0 D-KP=4.102 LeftWall_32
CHANGE Ala_161_6590_L_0 U-FRICT=20.458 LeftWall_32
CHANGE Ala_161_6590_L_0 D-FRICT=20.458 LeftWall_32
CHANGE Ala_161_6590_L_0 U-KA=0.432 LeftWall_32
CHANGE Ala_161_6590_L_0 U-KP=2.535 LeftWall_32
CHANGE Ala_161_6590_L_0 D-KA=0.432 LeftWall_32
CHANGE Ala_161_6590_L_0 D-KP=2.535 LeftWall_32
CHANGE Salt_21271_21259_L_0 U-FRICT=21.315 LeftWall_32
CHANGE Salt_21271_21259_L_0 D-FRICT=21.315 LeftWall_32
CHANGE Salt_21271_21259_L_0 U-KA=0.417 LeftWall_32
CHANGE Salt_21271_21259_L_0 U-KP=2.649 LeftWall_32
CHANGE Salt_21271_21259_L_0 D-KA=0.417 LeftWall_32
CHANGE Salt_21271_21259_L_0 D-KP=2.649 LeftWall_32
CHANGE Sch_21272_21260_L_0 U-FRICT=25.673 LeftWall_32
CHANGE Sch_21272_21260_L_0 D-FRICT=25.673 LeftWall_32
CHANGE Sch_21272_21260_L_0 U-KA=0.349 LeftWall_32
CHANGE Sch_21272_21260_L_0 U-KP=3.343 LeftWall_32
CHANGE Sch_21272_21260_L_0 D-KA=0.349 LeftWall_32
CHANGE Sch_21272_21260_L_0 D-KP=3.343 LeftWall_32
CHANGE rilievo_6589_8_L_0 U-COHE=0 LeftWall_32
CHANGE rilievo_6589_8_L_0 U-ADHES=0 LeftWall_32
CHANGE rilievo_6589_8_L_0 D-COHE=0 LeftWall_32
CHANGE rilievo_6589_8_L_0 D-ADHES=0 LeftWall_32
CHANGE Ala_161_6590_L_0 U-COHE=0 LeftWall_32
CHANGE Ala_161_6590_L_0 U-ADHES=0 LeftWall_32
CHANGE Ala_161_6590_L_0 D-COHE=0 LeftWall_32
CHANGE Ala_161_6590_L_0 D-ADHES=0 LeftWall_32
CHANGE Salt_21271_21259_L_0 U-COHE=8 LeftWall_32
CHANGE Salt_21271_21259_L_0 U-ADHES=0 LeftWall_32
CHANGE Salt_21271_21259_L_0 D-COHE=8 LeftWall_32
CHANGE Salt_21271_21259_L_0 D-ADHES=0 LeftWall_32
CHANGE Sch_21272_21260_L_0 U-COHE=44 LeftWall_32
CHANGE Sch_21272_21260_L_0 U-ADHES=0 LeftWall_32
CHANGE Sch_21272_21260_L_0 D-COHE=44 LeftWall_32
CHANGE Sch_21272_21260_L_0 D-ADHES=0 LeftWall_32
SETWALL LeftWall_32
GEOM -4.7 -4.7
SURCHARGE 0 0 0 0
WATER -9.5 0 -18.2 0 0
ENDSTEP

```

```

STEP 1-paratia_39155
SETWALL LeftWall_32
GEOM -4.7 -4.7
SURCHARGE 0 0 0 0
WATER -9.5 0 -18.2 0 0
ADD palil5001.7_33
ENDSTEP

```

```

STEP 2-esercizio_90561
SETWALL LeftWall_32
GEOM 0 -4.7
SURCHARGE 57 0 0 -4.7
WATER -9.5 0 -18.2 0 0
ADD muro71cm_4658
ENDSTEP

```

```

STEP 3-sisma_44110
SETWALL LeftWall_32
GEOM 0 -4.7
SURCHARGE 57 0 0 0
WATER -9.5 0 -18.2 0 0
CHANGE rilievo_6589_8_L_0 U-KAED=0.37726 LeftWall_32
CHANGE rilievo_6589_8_L_0 U-KAEW=0.45376 LeftWall_32

```

```

CHANGE rilevato_6589_8_L_0 U-KPED=4.0378 LeftWall_32
CHANGE rilevato_6589_8_L_0 U-KPEW=3.7202 LeftWall_32
CHANGE rilevato_6589_8_L_0 D-KAED=0.34845 LeftWall_32
CHANGE rilevato_6589_8_L_0 D-KAEW=0.42842 LeftWall_32
CHANGE rilevato_6589_8_L_0 D-KPED=3.6416 LeftWall_32
CHANGE rilevato_6589_8_L_0 D-KPEW=3.315 LeftWall_32
CHANGE Ala_161_6590_L_0 U-KAED=0.53026 LeftWall_32
CHANGE Ala_161_6590_L_0 U-KAEW=0.6403 LeftWall_32
CHANGE Ala_161_6590_L_0 U-KPED=2.4616 LeftWall_32
CHANGE Ala_161_6590_L_0 U-KPEW=2.1934 LeftWall_32
CHANGE Ala_161_6590_L_0 D-KAED=0.49031 LeftWall_32
CHANGE Ala_161_6590_L_0 D-KAEW=0.6055 LeftWall_32
CHANGE Ala_161_6590_L_0 D-KPED=2.2154 LeftWall_32
CHANGE Ala_161_6590_L_0 D-KPEW=1.9374 LeftWall_32
CHANGE Salt_21271_21259_L_0 U-KAED=0.5135 LeftWall_32
CHANGE Salt_21271_21259_L_0 U-KAEW=0.61305 LeftWall_32
CHANGE Salt_21271_21259_L_0 U-KPED=2.5759 LeftWall_32
CHANGE Salt_21271_21259_L_0 U-KPEW=2.3202 LeftWall_32
CHANGE Salt_21271_21259_L_0 D-KAED=0.47412 LeftWall_32
CHANGE Salt_21271_21259_L_0 D-KAEW=0.57885 LeftWall_32
CHANGE Salt_21271_21259_L_0 D-KPED=2.3192 LeftWall_32
CHANGE Salt_21271_21259_L_0 D-KPEW=2.0536 LeftWall_32
CHANGE Sch_21272_21260_L_0 U-KAED=0.43385 LeftWall_32
CHANGE Sch_21272_21260_L_0 U-KAEW=0.49778 LeftWall_32
CHANGE Sch_21272_21260_L_0 U-KPED=3.2738 LeftWall_32
CHANGE Sch_21272_21260_L_0 U-KPEW=3.06 LeftWall_32
CHANGE Sch_21272_21260_L_0 D-KAED=0.40081 LeftWall_32
CHANGE Sch_21272_21260_L_0 D-KAEW=0.46746 LeftWall_32
CHANGE Sch_21272_21260_L_0 D-KPED=2.9504 LeftWall_32
CHANGE Sch_21272_21260_L_0 D-KPEW=2.7314 LeftWall_32
EQK USER 0.0959 0.04795 -0.04795 0 0.5 0 0.5 0 0
* Defining seismic surcharge pressures on wall LeftWall_32
* min elevation = -4,7
* max elevation = 0
* average gamma = 20
* kh = 0,0959
* deltaQ = 15,8882325
DLOAD step LeftWall_32 -4.7 -3.3805 0 -3.3805
* Include pressure contribution from wall: LeftWall_32
* Include wall contribution
DLOAD step LeftWall_32 -4.7 -1.7022 0 -1.7022
ENDSTEP

```

8.12. Design Assumption : SISMICA GEO - File di Paratie - File di output (.out)

```

+-----+
|          PARATIEPLUS(TM)  NLS ENGINE RELEASE  2022.0.0  FULL VERSION  *Build date:Sep 13, 2021*          |
|                                                                                                            |
|                                                                                                            |
|                                                                                                            |
|          ParatiePlus                                                                                      |
|          Exe Time :28 January 2022  11:11:20                                                                |
+-----+

*****
*                                                                 *
*  PARATIE PLUS Non-Linear Spring Engine                            *
*                                                                 *
*          AN ELASTOPLASTIC FINITE ELEMENT PROGRAM                *
*          FOR FLEXIBLE EARTH-RETAINING STRUCTURES                 *
*                                                                 *
*          Written by CEAS s.r.l. (ITALY)                          *
*          with the scientific supervision of                       *
*          Roberto Nova - full professor SOIL MECHANICS          *
*          at Politecnico di Milano (ITALY)                       *
*                                                                 *
*****
*          RELEASE  2022.0.0  *Build date:Sep 13, 2021*          *
*                                                                 *
*                                                                 *
*          CEAS S.R.L  VIALE  GIUSTINIANO 10                       *
*          20129  M I L A N O (ITALIA)                            *
*          TEL.      +39 02 2020221                               *
*                                                                 *
*          email      bruno.becci@ceas.it                         *
*          Web Page   www.ceas.it   www.paratieplus.com          *
*****

JOB : ParatiePlus
STARTING
ACCEPTED &lt;FILE,GENW                                         &gt;
ACCEPTED &lt;FILE,PLOTTER,BINARY                                &gt;
ACCEPTED &lt;SOLVE TOTAL_STRESS                                 &gt;
ACCEPTED &lt;PARAM ITEMEX 40                                    &gt;
ACCEPTED &lt;CONTROL CONTACT LAGRANGE                           &gt;

```

ACCEPTED <CONTROL HINGES 0 0.0001 0.001

>

```
*****  
*  
* WARNING : PORE PRESSURES ARE AUTOMATICALLY COMPUTED *  
* BY THE PROGRAM. *  
*****
```

PRELIMINARY OPERATIONS CPU TIME 0.00 [sec]

```

+-----+
|          PARATIEPLUS(TM)  NLS ENGINE RELEASE  2022.0.0  FULL VERSION  *Build date:Sep 13, 2021*          |
|                                                                                                                                            |
|                                                                                               ParatiePlus                               |
|                                                                                               Exe Time :28 January 2022   11:11:20           |
+-----+

```

INPUT FILE HAS BEEN GENERATED BY WALGEN PROGRAM

New Project

```

NO. OF NODAL POINTS (NUMNP) ..... 93
NO. OF COORDINATES (NCOORD)..... 2
NO. OF NODE DOFS (NDOF)..... 2
NO. OF EQUATIONS (NEQ)..... 186
NO. OF CONSTRAINTS CARDS (NVINC)..... 0
NO. OF ELEMENT GROUPS (NEG)..... 4
NO. OF SOLUTION STEPS (NSTE)..... 4
NO. OF ELEMENT SETS ATTACHED TO SLAVE NODES ... 0
NO. OF RECORD FROM WALGEN ..... 167
NO. OF LONG NAMES (LASTNAME) ..... 19
LENGTH UNIT CHOICE ..... 3 (M )
FORCE UNIT CHOICE ..... 3 (KN )
MAX PORE PRESSURE TABLE LENGTH..... 1
MAX INELASTIC DISPL. TABLE LENGTH..... 0
NO. OF ELEMENT GROUPS REQUIRING ADD. SLIP DOF . 0

```

```

IDOFA (01) = 2 Y-DISPL.F
IDOFA (02) = 4 X-ROT. F

```

RELEVANT ITEMS UNITS

```

STRESSES                kPa
Y-DISPLACEMENTS        m
ROTATIONS                RADIANS
BEAM AND SLAB MOMENTS   kN*m/m
BEAM SHEAR FORCES       kN/m
ANCHOR FORCES           kN/m
AXIAL FORCES IN TRUSSES kN/m
AXIAL FORCES SPRINGS    kN/m
Y-REACTIONS             kN/m
X-MOMENT REACTIONS      kN*m/m
ETC.

```

```

+-----+
|           PARATIEPLUS(TM)   NLS ENGINE RELEASE 2022.0.0 FULL VERSION *Build date:Sep 13, 2021* |
|                                                                                               |
|                                                                                               |
|                                                                                               |
|                               ParatiePlus                                                    |
|                               Exe Time :28 January 2022  11:11:20                            |
+-----+

```

P R E P R O C E S S O R D A T A

N O . O F C O M M A N D S 167

```

1 : UNIT m kN
2 : TITLE New Project
3 : DELTA 0.2
4 : option param itemax 40
5 : option control contact lagrange
6 : option control hinges 0 0.0001 0.001
7 : WALL LeftWall_32 0 -18.2 0 -1
8 : SOIL 0_L LeftWall_32 -18.2 0 2 0
9 : SOIL 0_R LeftWall_32 -18.2 0 1 180
10 : LDATA rilevato_6589_8_L_0 0 LeftWall_32
11 : ATREST 0.426 0.5 1
12 : WEIGHT 20 10 10
13 : PERMEABILITY 1E-05
14 : RESISTANCE 0 35 0 0 0
15 : TZDATA LINEAR 0 0 0 0.5 0
16 : KSCALE 0 0
17 : YOUNG 50000 1.5E+05
18 : ENDL
19 : LDATA Ala_161_6590_L_0 -4.7 LeftWall_32
20 : ATREST 0.562 0.5 1
21 : WEIGHT 19.5 9.5 10
22 : PERMEABILITY 1E-05
23 : RESISTANCE 0 25 0 0 0
24 : TZDATA LINEAR 0 0 0 0.5 0
25 : KSCALE 0 0
26 : YOUNG 35000 1.05E+05
27 : ENDL
28 : LDATA Salt_21271_21259_L_0 -15.99 LeftWall_32
29 : ATREST 0.562 0.5 1
30 : WEIGHT 20 10 10
31 : PERMEABILITY 1E-05
32 : RESISTANCE 10 26 0 0 0
33 : TZDATA LINEAR 0 0 0 0.5 0
34 : KSCALE 0 0
35 : YOUNG 2E+05 6E+05
36 : ENDL
37 : LDATA Sch_21272_21260_L_0 -17.67 LeftWall_32
38 : ATREST 0.562 0.5 1
39 : WEIGHT 23 13 10
40 : PERMEABILITY 1E-05
41 : RESISTANCE 55 31 0 0 0
42 : TZDATA LINEAR 0 0 0 0.5 0
43 : KSCALE 0 0
44 : YOUNG 1.35E+05 4.05E+05
45 : ENDL
46 : MATERIAL Fe360_110 2.06E+08
47 : MATERIAL C3240_108 3.3346E+07
48 : BEAM pali15001.7_33 LeftWall_32 -18.2 -4.7 C3240_108 1.206 1.0395 0.14618 25.987 00 00 0
49 : BEAM muro71cm_4658 LeftWall_32 -4.7 0 C3240_108 0.74889 0.71 0.035 17.75 00 00 0
50 : STRIP LeftWall_32 3 4 6.7 0.37824 0 58.824 45
51 : STRIP LeftWall_32 3 4 7.0782 0.37824 0 56.471 45
52 : STRIP LeftWall_32 3 4 7.4565 0.37824 0 54.118 45
53 : STRIP LeftWall_32 3 4 7.8347 0.37824 0 51.765 45
54 : STRIP LeftWall_32 3 4 8.2129 0.37824 0 49.412 45
55 : STRIP LeftWall_32 3 4 8.5912 0.37824 0 47.059 45
56 : STRIP LeftWall_32 3 4 8.9694 0.37824 0 44.706 45
57 : STRIP LeftWall_32 3 4 9.3476 0.37824 0 42.353 45
58 : STRIP LeftWall_32 3 4 9.7259 0.37824 0 40 45
59 : STRIP LeftWall_32 3 4 10.104 0.37824 0 37.647 45
60 : STRIP LeftWall_32 3 4 10.482 0.37824 0 35.294 45
61 : STRIP LeftWall_32 3 4 10.861 0.37824 0 32.941 45
62 : STRIP LeftWall_32 3 4 11.239 0.37824 0 30.588 45
63 : STRIP LeftWall_32 3 4 11.617 0.37824 0 28.235 45
64 : STRIP LeftWall_32 3 4 11.995 0.37824 0 25.882 45
65 : STRIP LeftWall_32 3 4 12.374 0.37824 0 23.529 45
66 : STRIP LeftWall_32 3 4 12.752 0.37824 0 21.176 45
67 : STEP 0-Geostatica_31
68 : CHANGE rilevato_6589_8_L_0 U-FRICT=29.256 LeftWall_32
69 : CHANGE rilevato_6589_8_L_0 D-FRICT=29.256 LeftWall_32
70 : CHANGE rilevato_6589_8_L_0 U-KA=0.3 LeftWall_32
71 : CHANGE rilevato_6589_8_L_0 U-KP=4.102 LeftWall_32
72 : CHANGE rilevato_6589_8_L_0 D-KA=0.3 LeftWall_32
73 : CHANGE rilevato_6589_8_L_0 D-KP=4.102 LeftWall_32
74 : CHANGE Ala_161_6590_L_0 U-FRICT=20.458 LeftWall_32
75 : CHANGE Ala_161_6590_L_0 D-FRICT=20.458 LeftWall_32
76 : CHANGE Ala_161_6590_L_0 U-KA=0.432 LeftWall_32
77 : CHANGE Ala_161_6590_L_0 U-KP=2.535 LeftWall_32
78 : CHANGE Ala_161_6590_L_0 D-KA=0.432 LeftWall_32
79 : CHANGE Ala_161_6590_L_0 D-KP=2.535 LeftWall_32

```



```

80 : CHANGE Salt_21271_21259_L_0 U-FRICT=21.315 LeftWall_32
81 : CHANGE Salt_21271_21259_L_0 D-FRICT=21.315 LeftWall_32
82 : CHANGE Salt_21271_21259_L_0 U-KA=0.417 LeftWall_32
83 : CHANGE Salt_21271_21259_L_0 U-KP=2.649 LeftWall_32
84 : CHANGE Salt_21271_21259_L_0 D-KA=0.417 LeftWall_32
85 : CHANGE Salt_21271_21259_L_0 D-KP=2.649 LeftWall_32
86 : CHANGE Sch_21272_21260_L_0 U-FRICT=25.673 LeftWall_32
87 : CHANGE Sch_21272_21260_L_0 D-FRICT=25.673 LeftWall_32
88 : CHANGE Sch_21272_21260_L_0 U-KA=0.349 LeftWall_32
89 : CHANGE Sch_21272_21260_L_0 U-KP=3.343 LeftWall_32
90 : CHANGE Sch_21272_21260_L_0 D-KA=0.349 LeftWall_32
91 : CHANGE Sch_21272_21260_L_0 D-KP=3.343 LeftWall_32
92 : CHANGE rilevato_6589_8_L_0 U-COHE=0 LeftWall_32
93 : CHANGE rilevato_6589_8_L_0 U-ADHES=0 LeftWall_32
94 : CHANGE rilevato_6589_8_L_0 D-COHE=0 LeftWall_32
95 : CHANGE rilevato_6589_8_L_0 D-ADHES=0 LeftWall_32
96 : CHANGE Ala_161_6590_L_0 U-COHE=0 LeftWall_32
97 : CHANGE Ala_161_6590_L_0 U-ADHES=0 LeftWall_32
98 : CHANGE Ala_161_6590_L_0 D-COHE=0 LeftWall_32
99 : CHANGE Ala_161_6590_L_0 D-ADHES=0 LeftWall_32
100 : CHANGE Salt_21271_21259_L_0 U-COHE=8 LeftWall_32
101 : CHANGE Salt_21271_21259_L_0 U-ADHES=0 LeftWall_32
102 : CHANGE Salt_21271_21259_L_0 D-COHE=8 LeftWall_32
103 : CHANGE Salt_21271_21259_L_0 D-ADHES=0 LeftWall_32
104 : CHANGE Sch_21272_21260_L_0 U-COHE=44 LeftWall_32
105 : CHANGE Sch_21272_21260_L_0 U-ADHES=0 LeftWall_32
106 : CHANGE Sch_21272_21260_L_0 D-COHE=44 LeftWall_32
107 : CHANGE Sch_21272_21260_L_0 D-ADHES=0 LeftWall_32
108 : SETWALL LeftWall_32
109 : GEOM -4.7 -4.7
110 : SURCHARGE 0 0 0 0
111 : WATER -9.5 0 -18.2 0 0
112 : ENDSTEP
113 : STEP 1-paratia_39155
114 : SETWALL LeftWall_32
115 : GEOM -4.7 -4.7
116 : SURCHARGE 0 0 0 0
117 : WATER -9.5 0 -18.2 0 0
118 : ADD pali15001.7_33
119 : ENDSTEP
120 : STEP 2-esercizio_90561
121 : SETWALL LeftWall_32
122 : GEOM 0 -4.7
123 : SURCHARGE 57 0 0 -4.7
124 : WATER -9.5 0 -18.2 0 0
125 : ADD muro71cm_4658
126 : ENDSTEP
127 : STEP 3-sisma_44110
128 : SETWALL LeftWall_32
129 : GEOM 0 -4.7
130 : SURCHARGE 57 0 0 0
131 : WATER -9.5 0 -18.2 0 0
132 : CHANGE rilevato_6589_8_L_0 U-KAED=0.37726 LeftWall_32
133 : CHANGE rilevato_6589_8_L_0 U-KAEW=0.45376 LeftWall_32
134 : CHANGE rilevato_6589_8_L_0 U-KPED=4.0378 LeftWall_32
135 : CHANGE rilevato_6589_8_L_0 U-KPEW=3.7202 LeftWall_32
136 : CHANGE rilevato_6589_8_L_0 D-KAED=0.34845 LeftWall_32
137 : CHANGE rilevato_6589_8_L_0 D-KAEW=0.42842 LeftWall_32
138 : CHANGE rilevato_6589_8_L_0 D-KPED=3.6416 LeftWall_32
139 : CHANGE rilevato_6589_8_L_0 D-KPEW=3.315 LeftWall_32
140 : CHANGE Ala_161_6590_L_0 U-KAED=0.53026 LeftWall_32
141 : CHANGE Ala_161_6590_L_0 U-KAEW=0.6403 LeftWall_32
142 : CHANGE Ala_161_6590_L_0 U-KPED=2.4616 LeftWall_32
143 : CHANGE Ala_161_6590_L_0 U-KPEW=2.1934 LeftWall_32
144 : CHANGE Ala_161_6590_L_0 D-KAED=0.49031 LeftWall_32
145 : CHANGE Ala_161_6590_L_0 D-KAEW=0.6055 LeftWall_32
146 : CHANGE Ala_161_6590_L_0 D-KPED=2.2154 LeftWall_32
147 : CHANGE Ala_161_6590_L_0 D-KPEW=1.9374 LeftWall_32
148 : CHANGE Salt_21271_21259_L_0 U-KAED=0.5135 LeftWall_32
149 : CHANGE Salt_21271_21259_L_0 U-KAEW=0.61305 LeftWall_32
150 : CHANGE Salt_21271_21259_L_0 U-KPED=2.5759 LeftWall_32
151 : CHANGE Salt_21271_21259_L_0 U-KPEW=2.3202 LeftWall_32
152 : CHANGE Salt_21271_21259_L_0 D-KAED=0.47412 LeftWall_32
153 : CHANGE Salt_21271_21259_L_0 D-KAEW=0.57885 LeftWall_32
154 : CHANGE Salt_21271_21259_L_0 D-KPED=2.3192 LeftWall_32
155 : CHANGE Salt_21271_21259_L_0 D-KPEW=2.0536 LeftWall_32
156 : CHANGE Sch_21272_21260_L_0 U-KAED=0.43385 LeftWall_32
157 : CHANGE Sch_21272_21260_L_0 U-KAEW=0.49778 LeftWall_32
158 : CHANGE Sch_21272_21260_L_0 U-KPED=3.2738 LeftWall_32
159 : CHANGE Sch_21272_21260_L_0 U-KPEW=3.06 LeftWall_32
160 : CHANGE Sch_21272_21260_L_0 D-KAED=0.40081 LeftWall_32
161 : CHANGE Sch_21272_21260_L_0 D-KAEW=0.46746 LeftWall_32
162 : CHANGE Sch_21272_21260_L_0 D-KPED=2.9504 LeftWall_32
163 : CHANGE Sch_21272_21260_L_0 D-KPEW=2.7314 LeftWall_32
164 : EQK USER 0.0959 0.04795 -0.04795 0 0.5 0 0.5 0 0
165 : DLOAD step LeftWall_32 -4.7 -3.3805 0 -3.3805
166 : DLOAD step LeftWall_32 -4.7 -1.7022 0 -1.7022
167 : ENDSTEP

```

```

+-----+
|          PARATIEPLUS(TM)  NLS ENGINE RELEASE  2022.0.0  FULL VERSION  *Build date:Sep 13, 2021*          |
|                                                                                                                                            |
|                                                                                               ParatiePlus                               |
|                                                                                               Exe Time :28 January 2022   11:11:20                               |
+-----+

```

N O D A L P O I N T D A T A

NODE	Y-COORD	Z-COORD /	NODE	Y-COORD	Z-COORD /	NODE	Y-COORD	Z-COORD /	NODE	Y-COORD	Z-COORD /
1	0.0000	0.0000 /	2	0.0000	-0.20000 /	3	0.0000	-0.40000 /	4	0.0000	-0.60000 /
5	0.0000	-0.80000 /	6	0.0000	-1.0000 /	7	0.0000	-1.2000 /	8	0.0000	-1.4000 /
9	0.0000	-1.6000 /	10	0.0000	-1.8000 /	11	0.0000	-2.0000 /	12	0.0000	-2.2000 /
13	0.0000	-2.4000 /	14	0.0000	-2.6000 /	15	0.0000	-2.8000 /	16	0.0000	-3.0000 /
17	0.0000	-3.2000 /	18	0.0000	-3.4000 /	19	0.0000	-3.6000 /	20	0.0000	-3.8000 /
21	0.0000	-4.0000 /	22	0.0000	-4.2000 /	23	0.0000	-4.4000 /	24	0.0000	-4.6000 /
25	0.0000	-4.7000 /	26	0.0000	-4.9000 /	27	0.0000	-5.1000 /	28	0.0000	-5.3000 /
29	0.0000	-5.5000 /	30	0.0000	-5.7000 /	31	0.0000	-5.9000 /	32	0.0000	-6.1000 /
33	0.0000	-6.3000 /	34	0.0000	-6.5000 /	35	0.0000	-6.7000 /	36	0.0000	-6.9000 /
37	0.0000	-7.1000 /	38	0.0000	-7.3000 /	39	0.0000	-7.5000 /	40	0.0000	-7.7000 /
41	0.0000	-7.9000 /	42	0.0000	-8.1000 /	43	0.0000	-8.3000 /	44	0.0000	-8.5000 /
45	0.0000	-8.7000 /	46	0.0000	-8.9000 /	47	0.0000	-9.1000 /	48	0.0000	-9.3000 /
49	0.0000	-9.5000 /	50	0.0000	-9.7000 /	51	0.0000	-9.9000 /	52	0.0000	-10.100 /
53	0.0000	-10.300 /	54	0.0000	-10.500 /	55	0.0000	-10.700 /	56	0.0000	-10.900 /
57	0.0000	-11.100 /	58	0.0000	-11.300 /	59	0.0000	-11.500 /	60	0.0000	-11.700 /
61	0.0000	-11.900 /	62	0.0000	-12.100 /	63	0.0000	-12.300 /	64	0.0000	-12.500 /
65	0.0000	-12.700 /	66	0.0000	-12.900 /	67	0.0000	-13.100 /	68	0.0000	-13.300 /
69	0.0000	-13.500 /	70	0.0000	-13.700 /	71	0.0000	-13.900 /	72	0.0000	-14.100 /
73	0.0000	-14.300 /	74	0.0000	-14.500 /	75	0.0000	-14.700 /	76	0.0000	-14.900 /
77	0.0000	-15.100 /	78	0.0000	-15.300 /	79	0.0000	-15.500 /	80	0.0000	-15.700 /
81	0.0000	-15.900 /	82	0.0000	-16.100 /	83	0.0000	-16.300 /	84	0.0000	-16.500 /
85	0.0000	-16.700 /	86	0.0000	-16.900 /	87	0.0000	-17.100 /	88	0.0000	-17.300 /
89	0.0000	-17.500 /	90	0.0000	-17.700 /	91	0.0000	-17.900 /	92	0.0000	-18.100 /
93	0.0000	-18.200 /									

```

+-----+
|          PARATIEPLUS(TM)  NLS ENGINE RELEASE  2022.0.0  FULL VERSION  *Build date:Sep 13, 2021*          |
|                                                                                                                                            |
|                                                                                               ParatiePlus                               |
|                                                                                               Exe Time :28 January 2022   11:11:20          |
+-----+

```

ELEMENT GROUP NO. 1

```

0_L          :
 5 93  0  1  0  0  0  0  0  0  0  0  0  0  0  0  4  0  0  0  0

```

```

.....2D PLASTIC SOIL .....

```

element group behaviour throughout stage analysis

stage status

```

-----
1  active
2  active
3  active
4  active

```

material set no. 1

```

prop( 1) angle          0.00000
prop( 2) layer as foreseen 1.00000

```

material set no. 2

```

prop( 1) angle          0.00000
prop( 2) layer as foreseen 2.00000

```

material set no. 3

```

prop( 1) angle          0.00000
prop( 2) layer as foreseen 3.00000

```

material set no. 4

```

prop( 1) angle          0.00000
prop( 2) layer as foreseen 4.00000

```

element data

el	n	mat	area	flag
1	1	1	0.1000	0.000	0.000	0.000	2.000
2	2	1	0.2000	0.000	0.000	0.000	2.000
3	3	1	0.2000	0.000	0.000	0.000	2.000
4	4	1	0.2000	0.000	0.000	0.000	2.000
5	5	1	0.2000	0.000	0.000	0.000	2.000
6	6	1	0.2000	0.000	0.000	0.000	2.000
7	7	1	0.2000	0.000	0.000	0.000	2.000
8	8	1	0.2000	0.000	0.000	0.000	2.000
9	9	1	0.2000	0.000	0.000	0.000	2.000
10	10	1	0.2000	0.000	0.000	0.000	2.000
11	11	1	0.2000	0.000	0.000	0.000	2.000
12	12	1	0.2000	0.000	0.000	0.000	2.000
13	13	1	0.2000	0.000	0.000	0.000	2.000
14	14	1	0.2000	0.000	0.000	0.000	2.000
15	15	1	0.2000	0.000	0.000	0.000	2.000
16	16	1	0.2000	0.000	0.000	0.000	2.000
17	17	1	0.2000	0.000	0.000	0.000	2.000
18	18	1	0.2000	0.000	0.000	0.000	2.000
19	19	1	0.2000	0.000	0.000	0.000	2.000
20	20	1	0.2000	0.000	0.000	0.000	2.000
21	21	1	0.2000	0.000	0.000	0.000	2.000
22	22	1	0.2000	0.000	0.000	0.000	2.000
23	23	1	0.2000	0.000	0.000	0.000	2.000
24	24	1	0.1500	0.000	0.000	0.000	2.000
25	25	2	0.1500	0.000	0.000	0.000	2.000
26	26	2	0.2000	0.000	0.000	0.000	2.000
27	27	2	0.2000	0.000	0.000	0.000	2.000
28	28	2	0.2000	0.000	0.000	0.000	2.000
29	29	2	0.2000	0.000	0.000	0.000	2.000
30	30	2	0.2000	0.000	0.000	0.000	2.000
31	31	2	0.2000	0.000	0.000	0.000	2.000
32	32	2	0.2000	0.000	0.000	0.000	2.000
33	33	2	0.2000	0.000	0.000	0.000	2.000
34	34	2	0.2000	0.000	0.000	0.000	2.000
35	35	2	0.2000	0.000	0.000	0.000	2.000
36	36	2	0.2000	0.000	0.000	0.000	2.000
37	37	2	0.2000	0.000	0.000	0.000	2.000

38	38	2	0.2000	0.000	0.000	0.000	2.000
39	39	2	0.2000	0.000	0.000	0.000	2.000
40	40	2	0.2000	0.000	0.000	0.000	2.000
41	41	2	0.2000	0.000	0.000	0.000	2.000
42	42	2	0.2000	0.000	0.000	0.000	2.000
43	43	2	0.2000	0.000	0.000	0.000	2.000
44	44	2	0.2000	0.000	0.000	0.000	2.000
45	45	2	0.2000	0.000	0.000	0.000	2.000
46	46	2	0.2000	0.000	0.000	0.000	2.000
47	47	2	0.2000	0.000	0.000	0.000	2.000
48	48	2	0.2000	0.000	0.000	0.000	2.000
49	49	2	0.2000	0.000	0.000	0.000	2.000
50	50	2	0.2000	0.000	0.000	0.000	2.000
51	51	2	0.2000	0.000	0.000	0.000	2.000
52	52	2	0.2000	0.000	0.000	0.000	2.000
53	53	2	0.2000	0.000	0.000	0.000	2.000
54	54	2	0.2000	0.000	0.000	0.000	2.000
55	55	2	0.2000	0.000	0.000	0.000	2.000
56	56	2	0.2000	0.000	0.000	0.000	2.000
57	57	2	0.2000	0.000	0.000	0.000	2.000
58	58	2	0.2000	0.000	0.000	0.000	2.000
59	59	2	0.2000	0.000	0.000	0.000	2.000
60	60	2	0.2000	0.000	0.000	0.000	2.000
61	61	2	0.2000	0.000	0.000	0.000	2.000
62	62	2	0.2000	0.000	0.000	0.000	2.000
63	63	2	0.2000	0.000	0.000	0.000	2.000
64	64	2	0.2000	0.000	0.000	0.000	2.000
65	65	2	0.2000	0.000	0.000	0.000	2.000
66	66	2	0.2000	0.000	0.000	0.000	2.000
67	67	2	0.2000	0.000	0.000	0.000	2.000
68	68	2	0.2000	0.000	0.000	0.000	2.000
69	69	2	0.2000	0.000	0.000	0.000	2.000
70	70	2	0.2000	0.000	0.000	0.000	2.000
71	71	2	0.2000	0.000	0.000	0.000	2.000
72	72	2	0.2000	0.000	0.000	0.000	2.000
73	73	2	0.2000	0.000	0.000	0.000	2.000
74	74	2	0.2000	0.000	0.000	0.000	2.000
75	75	2	0.2000	0.000	0.000	0.000	2.000
76	76	2	0.2000	0.000	0.000	0.000	2.000
77	77	2	0.2000	0.000	0.000	0.000	2.000
78	78	2	0.2000	0.000	0.000	0.000	2.000
79	79	2	0.2000	0.000	0.000	0.000	2.000
80	80	2	0.2000	0.000	0.000	0.000	2.000
81	81	2	0.2000	0.000	0.000	0.000	2.000
82	82	3	0.2000	0.000	0.000	0.000	2.000
83	83	3	0.2000	0.000	0.000	0.000	2.000
84	84	3	0.2000	0.000	0.000	0.000	2.000
85	85	3	0.2000	0.000	0.000	0.000	2.000
86	86	3	0.2000	0.000	0.000	0.000	2.000
87	87	3	0.2000	0.000	0.000	0.000	2.000
88	88	3	0.2000	0.000	0.000	0.000	2.000
89	89	3	0.2000	0.000	0.000	0.000	2.000
90	90	4	0.2000	0.000	0.000	0.000	2.000
91	91	4	0.2000	0.000	0.000	0.000	2.000
92	92	4	0.1500	0.000	0.000	0.000	2.000
93	93	4	0.5000E-01	0.000	0.000	0.000	2.000

```

+-----+
|          PARATIEPLUS(TM)  NLS ENGINE RELEASE 2022.0.0  FULL VERSION  *Build date:Sep 13, 2021*          |
|                                                                                                                                           |
|                                                                                               ParatiePlus                               |
|                                                                                               Exe Time :28 January 2022  11:11:20        |
+-----+

```

ELEMENT GROUP NO. 2

0_R :
5 93 0 1 0 0 0 0 0 0 0 0 0 0 0 0 4 0 0 0 0

.....2D PLASTIC SOIL

element group behaviour throughout stage analysis

stage status

```

-----
1 active
2 active
3 active
4 active

```

material set no. 1

prop(1) angle 180.000
prop(2) layer as foreseen 1.00000

material set no. 2

prop(1) angle 180.000
prop(2) layer as foreseen 2.00000

material set no. 3

prop(1) angle 180.000
prop(2) layer as foreseen 3.00000

material set no. 4

prop(1) angle 180.000
prop(2) layer as foreseen 4.00000

element data

el	n	mat	area	flag
1	1	1	0.1000	0.000	0.000	0.000	1.000
2	2	1	0.2000	0.000	0.000	0.000	1.000
3	3	1	0.2000	0.000	0.000	0.000	1.000
4	4	1	0.2000	0.000	0.000	0.000	1.000
5	5	1	0.2000	0.000	0.000	0.000	1.000
6	6	1	0.2000	0.000	0.000	0.000	1.000
7	7	1	0.2000	0.000	0.000	0.000	1.000
8	8	1	0.2000	0.000	0.000	0.000	1.000
9	9	1	0.2000	0.000	0.000	0.000	1.000
10	10	1	0.2000	0.000	0.000	0.000	1.000
11	11	1	0.2000	0.000	0.000	0.000	1.000
12	12	1	0.2000	0.000	0.000	0.000	1.000
13	13	1	0.2000	0.000	0.000	0.000	1.000
14	14	1	0.2000	0.000	0.000	0.000	1.000
15	15	1	0.2000	0.000	0.000	0.000	1.000
16	16	1	0.2000	0.000	0.000	0.000	1.000
17	17	1	0.2000	0.000	0.000	0.000	1.000
18	18	1	0.2000	0.000	0.000	0.000	1.000
19	19	1	0.2000	0.000	0.000	0.000	1.000
20	20	1	0.2000	0.000	0.000	0.000	1.000
21	21	1	0.2000	0.000	0.000	0.000	1.000
22	22	1	0.2000	0.000	0.000	0.000	1.000
23	23	1	0.2000	0.000	0.000	0.000	1.000
24	24	1	0.1500	0.000	0.000	0.000	1.000
25	25	2	0.1500	0.000	0.000	0.000	1.000
26	26	2	0.2000	0.000	0.000	0.000	1.000
27	27	2	0.2000	0.000	0.000	0.000	1.000
28	28	2	0.2000	0.000	0.000	0.000	1.000
29	29	2	0.2000	0.000	0.000	0.000	1.000
30	30	2	0.2000	0.000	0.000	0.000	1.000
31	31	2	0.2000	0.000	0.000	0.000	1.000
32	32	2	0.2000	0.000	0.000	0.000	1.000
33	33	2	0.2000	0.000	0.000	0.000	1.000
34	34	2	0.2000	0.000	0.000	0.000	1.000
35	35	2	0.2000	0.000	0.000	0.000	1.000
36	36	2	0.2000	0.000	0.000	0.000	1.000
37	37	2	0.2000	0.000	0.000	0.000	1.000

38	38	2	0.2000	0.000	0.000	0.000	1.000
39	39	2	0.2000	0.000	0.000	0.000	1.000
40	40	2	0.2000	0.000	0.000	0.000	1.000
41	41	2	0.2000	0.000	0.000	0.000	1.000
42	42	2	0.2000	0.000	0.000	0.000	1.000
43	43	2	0.2000	0.000	0.000	0.000	1.000
44	44	2	0.2000	0.000	0.000	0.000	1.000
45	45	2	0.2000	0.000	0.000	0.000	1.000
46	46	2	0.2000	0.000	0.000	0.000	1.000
47	47	2	0.2000	0.000	0.000	0.000	1.000
48	48	2	0.2000	0.000	0.000	0.000	1.000
49	49	2	0.2000	0.000	0.000	0.000	1.000
50	50	2	0.2000	0.000	0.000	0.000	1.000
51	51	2	0.2000	0.000	0.000	0.000	1.000
52	52	2	0.2000	0.000	0.000	0.000	1.000
53	53	2	0.2000	0.000	0.000	0.000	1.000
54	54	2	0.2000	0.000	0.000	0.000	1.000
55	55	2	0.2000	0.000	0.000	0.000	1.000
56	56	2	0.2000	0.000	0.000	0.000	1.000
57	57	2	0.2000	0.000	0.000	0.000	1.000
58	58	2	0.2000	0.000	0.000	0.000	1.000
59	59	2	0.2000	0.000	0.000	0.000	1.000
60	60	2	0.2000	0.000	0.000	0.000	1.000
61	61	2	0.2000	0.000	0.000	0.000	1.000
62	62	2	0.2000	0.000	0.000	0.000	1.000
63	63	2	0.2000	0.000	0.000	0.000	1.000
64	64	2	0.2000	0.000	0.000	0.000	1.000
65	65	2	0.2000	0.000	0.000	0.000	1.000
66	66	2	0.2000	0.000	0.000	0.000	1.000
67	67	2	0.2000	0.000	0.000	0.000	1.000
68	68	2	0.2000	0.000	0.000	0.000	1.000
69	69	2	0.2000	0.000	0.000	0.000	1.000
70	70	2	0.2000	0.000	0.000	0.000	1.000
71	71	2	0.2000	0.000	0.000	0.000	1.000
72	72	2	0.2000	0.000	0.000	0.000	1.000
73	73	2	0.2000	0.000	0.000	0.000	1.000
74	74	2	0.2000	0.000	0.000	0.000	1.000
75	75	2	0.2000	0.000	0.000	0.000	1.000
76	76	2	0.2000	0.000	0.000	0.000	1.000
77	77	2	0.2000	0.000	0.000	0.000	1.000
78	78	2	0.2000	0.000	0.000	0.000	1.000
79	79	2	0.2000	0.000	0.000	0.000	1.000
80	80	2	0.2000	0.000	0.000	0.000	1.000
81	81	2	0.2000	0.000	0.000	0.000	1.000
82	82	3	0.2000	0.000	0.000	0.000	1.000
83	83	3	0.2000	0.000	0.000	0.000	1.000
84	84	3	0.2000	0.000	0.000	0.000	1.000
85	85	3	0.2000	0.000	0.000	0.000	1.000
86	86	3	0.2000	0.000	0.000	0.000	1.000
87	87	3	0.2000	0.000	0.000	0.000	1.000
88	88	3	0.2000	0.000	0.000	0.000	1.000
89	89	3	0.2000	0.000	0.000	0.000	1.000
90	90	4	0.2000	0.000	0.000	0.000	1.000
91	91	4	0.2000	0.000	0.000	0.000	1.000
92	92	4	0.1500	0.000	0.000	0.000	1.000
93	93	4	0.5000E-01	0.000	0.000	0.000	1.000

```

+-----+
|          PARATIEPLUS(TM)  NLS ENGINE RELEASE  2022.0.0  FULL VERSION  *Build date:Sep 13, 2021*  |
|                                                                                               |
|                               ParatiePlus                                                     |
|                               Exe Time :28 January 2022  11:11:20                             |
+-----+

```

ELEMENT GROUP NO. 3

```

pal115001.7_33
 2 68 0 1 0 0 0 0 0 0 0 0 0 0 0 0 0 1 0 0 1 0
.....
.....2D WALL ELEMENT.....
.....

```

element group behaviour throughout stage analysis

```

stage  status
-----
 1  inactive
 2  active
 3  active
 4  active

```

```

material set no. 1

prop( 1) young modulus      0.333500E+08
prop( 2) modification time  0.00000
prop( 3) new young modulus   0.00000
prop( 4) poisson ratio      0.00000
prop( 5) future .....      0.00000

```

```

no. of step variable items: 1
step inertia multiplier
-----
 1  1.000
 2  1.000
 3  1.000
 4  1.000

```

element data

el	na	nb	mat	erc1	erc2	thick	area	inertia	wgt(-z)	by-i	by-j
1	25	26	1	0.000	0.000	1.206	1.040	0.1462	25.99	0.000	0.000
2	26	27	1	0.000	0.000	1.206	1.040	0.1462	25.99	0.000	0.000
3	27	28	1	0.000	0.000	1.206	1.040	0.1462	25.99	0.000	0.000
4	28	29	1	0.000	0.000	1.206	1.040	0.1462	25.99	0.000	0.000
5	29	30	1	0.000	0.000	1.206	1.040	0.1462	25.99	0.000	0.000
6	30	31	1	0.000	0.000	1.206	1.040	0.1462	25.99	0.000	0.000
7	31	32	1	0.000	0.000	1.206	1.040	0.1462	25.99	0.000	0.000
8	32	33	1	0.000	0.000	1.206	1.040	0.1462	25.99	0.000	0.000
9	33	34	1	0.000	0.000	1.206	1.040	0.1462	25.99	0.000	0.000
10	34	35	1	0.000	0.000	1.206	1.040	0.1462	25.99	0.000	0.000
11	35	36	1	0.000	0.000	1.206	1.040	0.1462	25.99	0.000	0.000
12	36	37	1	0.000	0.000	1.206	1.040	0.1462	25.99	0.000	0.000
13	37	38	1	0.000	0.000	1.206	1.040	0.1462	25.99	0.000	0.000
14	38	39	1	0.000	0.000	1.206	1.040	0.1462	25.99	0.000	0.000
15	39	40	1	0.000	0.000	1.206	1.040	0.1462	25.99	0.000	0.000
16	40	41	1	0.000	0.000	1.206	1.040	0.1462	25.99	0.000	0.000
17	41	42	1	0.000	0.000	1.206	1.040	0.1462	25.99	0.000	0.000
18	42	43	1	0.000	0.000	1.206	1.040	0.1462	25.99	0.000	0.000
19	43	44	1	0.000	0.000	1.206	1.040	0.1462	25.99	0.000	0.000
20	44	45	1	0.000	0.000	1.206	1.040	0.1462	25.99	0.000	0.000
21	45	46	1	0.000	0.000	1.206	1.040	0.1462	25.99	0.000	0.000
22	46	47	1	0.000	0.000	1.206	1.040	0.1462	25.99	0.000	0.000
23	47	48	1	0.000	0.000	1.206	1.040	0.1462	25.99	0.000	0.000
24	48	49	1	0.000	0.000	1.206	1.040	0.1462	25.99	0.000	0.000
25	49	50	1	0.000	0.000	1.206	1.040	0.1462	25.99	0.000	0.000
26	50	51	1	0.000	0.000	1.206	1.040	0.1462	25.99	0.000	0.000
27	51	52	1	0.000	0.000	1.206	1.040	0.1462	25.99	0.000	0.000
28	52	53	1	0.000	0.000	1.206	1.040	0.1462	25.99	0.000	0.000
29	53	54	1	0.000	0.000	1.206	1.040	0.1462	25.99	0.000	0.000
30	54	55	1	0.000	0.000	1.206	1.040	0.1462	25.99	0.000	0.000
31	55	56	1	0.000	0.000	1.206	1.040	0.1462	25.99	0.000	0.000
32	56	57	1	0.000	0.000	1.206	1.040	0.1462	25.99	0.000	0.000
33	57	58	1	0.000	0.000	1.206	1.040	0.1462	25.99	0.000	0.000
34	58	59	1	0.000	0.000	1.206	1.040	0.1462	25.99	0.000	0.000
35	59	60	1	0.000	0.000	1.206	1.040	0.1462	25.99	0.000	0.000
36	60	61	1	0.000	0.000	1.206	1.040	0.1462	25.99	0.000	0.000
37	61	62	1	0.000	0.000	1.206	1.040	0.1462	25.99	0.000	0.000
38	62	63	1	0.000	0.000	1.206	1.040	0.1462	25.99	0.000	0.000
39	63	64	1	0.000	0.000	1.206	1.040	0.1462	25.99	0.000	0.000
40	64	65	1	0.000	0.000	1.206	1.040	0.1462	25.99	0.000	0.000
41	65	66	1	0.000	0.000	1.206	1.040	0.1462	25.99	0.000	0.000
42	66	67	1	0.000	0.000	1.206	1.040	0.1462	25.99	0.000	0.000
43	67	68	1	0.000	0.000	1.206	1.040	0.1462	25.99	0.000	0.000
44	68	69	1	0.000	0.000	1.206	1.040	0.1462	25.99	0.000	0.000
45	69	70	1	0.000	0.000	1.206	1.040	0.1462	25.99	0.000	0.000

46	70	71	1	0.000	0.000	1.206	1.040	0.1462	25.99	0.000	0.000
47	71	72	1	0.000	0.000	1.206	1.040	0.1462	25.99	0.000	0.000
48	72	73	1	0.000	0.000	1.206	1.040	0.1462	25.99	0.000	0.000
49	73	74	1	0.000	0.000	1.206	1.040	0.1462	25.99	0.000	0.000
50	74	75	1	0.000	0.000	1.206	1.040	0.1462	25.99	0.000	0.000
51	75	76	1	0.000	0.000	1.206	1.040	0.1462	25.99	0.000	0.000
52	76	77	1	0.000	0.000	1.206	1.040	0.1462	25.99	0.000	0.000
53	77	78	1	0.000	0.000	1.206	1.040	0.1462	25.99	0.000	0.000
54	78	79	1	0.000	0.000	1.206	1.040	0.1462	25.99	0.000	0.000
55	79	80	1	0.000	0.000	1.206	1.040	0.1462	25.99	0.000	0.000
56	80	81	1	0.000	0.000	1.206	1.040	0.1462	25.99	0.000	0.000
57	81	82	1	0.000	0.000	1.206	1.040	0.1462	25.99	0.000	0.000
58	82	83	1	0.000	0.000	1.206	1.040	0.1462	25.99	0.000	0.000
59	83	84	1	0.000	0.000	1.206	1.040	0.1462	25.99	0.000	0.000
60	84	85	1	0.000	0.000	1.206	1.040	0.1462	25.99	0.000	0.000
61	85	86	1	0.000	0.000	1.206	1.040	0.1462	25.99	0.000	0.000
62	86	87	1	0.000	0.000	1.206	1.040	0.1462	25.99	0.000	0.000
63	87	88	1	0.000	0.000	1.206	1.040	0.1462	25.99	0.000	0.000
64	88	89	1	0.000	0.000	1.206	1.040	0.1462	25.99	0.000	0.000
65	89	90	1	0.000	0.000	1.206	1.040	0.1462	25.99	0.000	0.000
66	90	91	1	0.000	0.000	1.206	1.040	0.1462	25.99	0.000	0.000
67	91	92	1	0.000	0.000	1.206	1.040	0.1462	25.99	0.000	0.000
68	92	93	1	0.000	0.000	1.206	1.040	0.1462	25.99	0.000	0.000


```

+-----+
|              PARATIEPLUS(TM)  NLS ENGINE RELEASE 2022.0.0  FULL VERSION  *Build date:Sep 13, 2021* |
|                                                                                               |
|                                                                                               |
|              ParatiePlus                                                                    |
|              Exe Time :28 January 2022  11:11:20                                           |
+-----+

```

ELEMENT GROUP NO. 4

```

muro71cm_4658 :
  2 24 0 1 0 0 0 0 0 0 0 0 0 0 0 0 1 0 0 1 0

```

.....2D WALL ELEMENT.....

element group behaviour throughout stage analysis

stage status

```

-----
 1 inactive
 2 inactive
 3 active
 4 active

```

material set no. 1

```

prop( 1) young modulus      0.333500E+08
prop( 2) modification time  0.00000
prop( 3) new young modulus  0.00000
prop( 4) poisson ratio      0.00000
prop( 5) future ..... 0.00000

```

no. of step variable items: 1

step inertia multiplier

```

-----
 1 1.000
 2 1.000
 3 1.000
 4 1.000

```

element data

el	na	nb	mat	erc1	erc2	thick	area	inertia	wgt(-z)	by-i	by-j
1	1	2	1	0.000	0.000	0.7489	0.7100	0.3500E-01	17.75	0.000	0.000
2	2	3	1	0.000	0.000	0.7489	0.7100	0.3500E-01	17.75	0.000	0.000
3	3	4	1	0.000	0.000	0.7489	0.7100	0.3500E-01	17.75	0.000	0.000
4	4	5	1	0.000	0.000	0.7489	0.7100	0.3500E-01	17.75	0.000	0.000
5	5	6	1	0.000	0.000	0.7489	0.7100	0.3500E-01	17.75	0.000	0.000
6	6	7	1	0.000	0.000	0.7489	0.7100	0.3500E-01	17.75	0.000	0.000
7	7	8	1	0.000	0.000	0.7489	0.7100	0.3500E-01	17.75	0.000	0.000
8	8	9	1	0.000	0.000	0.7489	0.7100	0.3500E-01	17.75	0.000	0.000
9	9	10	1	0.000	0.000	0.7489	0.7100	0.3500E-01	17.75	0.000	0.000
10	10	11	1	0.000	0.000	0.7489	0.7100	0.3500E-01	17.75	0.000	0.000
11	11	12	1	0.000	0.000	0.7489	0.7100	0.3500E-01	17.75	0.000	0.000
12	12	13	1	0.000	0.000	0.7489	0.7100	0.3500E-01	17.75	0.000	0.000
13	13	14	1	0.000	0.000	0.7489	0.7100	0.3500E-01	17.75	0.000	0.000
14	14	15	1	0.000	0.000	0.7489	0.7100	0.3500E-01	17.75	0.000	0.000
15	15	16	1	0.000	0.000	0.7489	0.7100	0.3500E-01	17.75	0.000	0.000
16	16	17	1	0.000	0.000	0.7489	0.7100	0.3500E-01	17.75	0.000	0.000
17	17	18	1	0.000	0.000	0.7489	0.7100	0.3500E-01	17.75	0.000	0.000
18	18	19	1	0.000	0.000	0.7489	0.7100	0.3500E-01	17.75	0.000	0.000
19	19	20	1	0.000	0.000	0.7489	0.7100	0.3500E-01	17.75	0.000	0.000
20	20	21	1	0.000	0.000	0.7489	0.7100	0.3500E-01	17.75	0.000	0.000
21	21	22	1	0.000	0.000	0.7489	0.7100	0.3500E-01	17.75	0.000	0.000
22	22	23	1	0.000	0.000	0.7489	0.7100	0.3500E-01	17.75	0.000	0.000
23	23	24	1	0.000	0.000	0.7489	0.7100	0.3500E-01	17.75	0.000	0.000
24	24	25	1	0.000	0.000	0.7489	0.7100	0.3500E-01	17.75	0.000	0.000

```
+-----+
|          PARATIEPLUS(TM)  NLS ENGINE RELEASE 2022.0.0 FULL VERSION *Build date:Sep 13, 2021*          |
|                                                                                                                                            |
|                                                                                               ParatiePlus                               |
|                                                                                               Exe Time :28 January 2022  11:11:20          |
+-----+
```

```
NO. OF NODAL LOADS (NLOAD) ..... 0
NO. OF LOAD CURVES (NLCUR) ..... 8
MAXIMUM POINTS/LCURVE (NPTM)..... 5
```

```

+-----+
|          PARATIEPLUS(TM)  NLS ENGINE RELEASE  2022.0.0  FULL VERSION  *Build date:Sep 13, 2021*          |
|                                                                                                                                            |
|                                                                                               ParatiePlus                               |
|                                                                                               Exe Time :28 January 2022   11:11:20           |
+-----+

```

L O A D D A T A

LOAD FUNCTION NUMBER = 1
NUMBER OF TIME POINTS = 5

TIME VALUE	FUNCTION
0.00000	0.0000E+00
0.80000	0.0000E+00
1.00000	0.1000E+01
1.20000	0.0000E+00
5.00000	0.0000E+00

LOAD FUNCTION NUMBER = 2
NUMBER OF TIME POINTS = 5

TIME VALUE	FUNCTION
0.00000	0.0000E+00
1.80000	0.0000E+00
2.00000	0.1000E+01
2.20000	0.0000E+00
5.00000	0.0000E+00

LOAD FUNCTION NUMBER = 3
NUMBER OF TIME POINTS = 5

TIME VALUE	FUNCTION
0.00000	0.0000E+00
2.80000	0.0000E+00
3.00000	0.1000E+01
3.20000	0.0000E+00
5.00000	0.0000E+00

LOAD FUNCTION NUMBER = 4
NUMBER OF TIME POINTS = 5

TIME VALUE	FUNCTION
0.00000	0.0000E+00
3.80000	0.0000E+00
4.00000	0.1000E+01
4.20000	0.0000E+00
5.00000	0.0000E+00

LOAD FUNCTION NUMBER = 5
NUMBER OF TIME POINTS = 4

TIME VALUE	FUNCTION
0.00000	0.0000E+00
0.80000	0.0000E+00
1.00000	0.1000E+01
5.00000	0.1000E+01

LOAD FUNCTION NUMBER = 6
NUMBER OF TIME POINTS = 4

TIME VALUE	FUNCTION
0.00000	0.0000E+00
1.80000	0.0000E+00
2.00000	0.1000E+01
5.00000	0.1000E+01

LOAD FUNCTION NUMBER = 7
NUMBER OF TIME POINTS = 4

TIME VALUE	FUNCTION
0.00000	0.0000E+00
2.80000	0.0000E+00
3.00000	0.1000E+01
5.00000	0.1000E+01

LOAD FUNCTION NUMBER = 8
NUMBER OF TIME POINTS = 4

TIME VALUE	FUNCTION
0.00000	0.0000E+00
3.80000	0.0000E+00
4.00000	0.1000E+01
5.00000	0.1000E+01

PROCESSING DISTRIBUTED LOADS CARD NO. 1
AT Y-COORD 0.000 Z-COORD -4.700 PRESSURE -3.381
Z-COORD 0.000 PRESSURE -3.381
L.CURVE 4

NO. OF GENERATED NODAL FORCES		25							
NODE	Z-LVL	FORCE /	NODE	Z-LVL	FORCE /	NODE	Z-LVL	FORCE /	
25	-.4700E+01	-0.1690500E+00 /	24	-.4600E+01	-0.5071500E+00 /	23	-.4400E+01	-0.6762000E+00 /	
22	-.4200E+01	-0.6762000E+00 /	21	-.4000E+01	-0.6761983E+00 /	20	-.3800E+01	-0.6761983E+00 /	
19	-.3600E+01	-0.6762000E+00 /	18	-.3400E+01	-0.6762000E+00 /	17	-.3200E+01	-0.6762017E+00 /	
16	-.3000E+01	-0.6762017E+00 /	15	-.2800E+01	-0.6762000E+00 /	14	-.2600E+01	-0.6762000E+00 /	
13	-.2400E+01	-0.6762000E+00 /	12	-.2200E+01	-0.6762000E+00 /	11	-.2000E+01	-0.6762000E+00 /	
10	-.1800E+01	-0.6762000E+00 /	9	-.1600E+01	-0.6762000E+00 /	8	-.1400E+01	-0.6762000E+00 /	
7	-.1200E+01	-0.6762000E+00 /	6	-.1000E+01	-0.6762000E+00 /	5	-.8000E+00	-0.6762000E+00 /	
4	-.6000E+00	-0.6762000E+00 /	3	-.4000E+00	-0.6762000E+00 /	2	-.2000E+00	-0.6762000E+00 /	
1	0.0000E+00	-0.3381000E+00 /							

OVERALL APPLIED Y FORCE FOR CURRENT DISTRIBUTED LOAD -15.891

PROCESSING DISTRIBUTED LOADS CARD NO. 2
AT Y-COORD 0.000 Z-COORD -4.700 PRESSURE -1.702
Z-COORD 0.000 PRESSURE -1.702
L.CURVE 4

NO. OF GENERATED NODAL FORCES		25							
NODE	Z-LVL	FORCE /	NODE	Z-LVL	FORCE /	NODE	Z-LVL	FORCE /	
25	-.4700E+01	-0.8510000E-01 /	24	-.4600E+01	-0.2553000E+00 /	23	-.4400E+01	-0.3404000E+00 /	
22	-.4200E+01	-0.3404000E+00 /	21	-.4000E+01	-0.3403991E+00 /	20	-.3800E+01	-0.3403991E+00 /	
19	-.3600E+01	-0.3404000E+00 /	18	-.3400E+01	-0.3404000E+00 /	17	-.3200E+01	-0.3404009E+00 /	
16	-.3000E+01	-0.3404009E+00 /	15	-.2800E+01	-0.3404000E+00 /	14	-.2600E+01	-0.3404000E+00 /	
13	-.2400E+01	-0.3404000E+00 /	12	-.2200E+01	-0.3404000E+00 /	11	-.2000E+01	-0.3404000E+00 /	
10	-.1800E+01	-0.3404000E+00 /	9	-.1600E+01	-0.3404000E+00 /	8	-.1400E+01	-0.3404000E+00 /	
7	-.1200E+01	-0.3404000E+00 /	6	-.1000E+01	-0.3404000E+00 /	5	-.8000E+00	-0.3404000E+00 /	
4	-.6000E+00	-0.3404000E+00 /	3	-.4000E+00	-0.3404000E+00 /	2	-.2000E+00	-0.3404000E+00 /	
1	0.0000E+00	-0.1702000E+00 /							

OVERALL APPLIED Y FORCE FOR CURRENT DISTRIBUTED LOAD -7.9994

NO. OF DISTRIBUTED LOAD CARDS 2

```

+-----+
|          PARATIEPLUS(TM)  NLS ENGINE RELEASE  2022.0.0  FULL VERSION  *Build date:Sep 13, 2021*          |
|                                                                                                                                            |
|                                                                                               ParatiePlus                               |
|                                                                                               Exe Time :28 January 2022   11:11:20           |
+-----+

```

```

L O A D      B A L A N C E
STEP 1 TOTAL APPLIED LOAD IN DIR.  2  Y-DISPL.F      0.0000000
STEP 1 TOTAL APPLIED LOAD IN DIR.  4  X-ROT. F      0.0000000

STEP 2 TOTAL APPLIED LOAD IN DIR.  2  Y-DISPL.F      0.0000000
STEP 2 TOTAL APPLIED LOAD IN DIR.  4  X-ROT. F      0.0000000

STEP 3 TOTAL APPLIED LOAD IN DIR.  2  Y-DISPL.F      0.0000000
STEP 3 TOTAL APPLIED LOAD IN DIR.  4  X-ROT. F      0.0000000

STEP 4 TOTAL APPLIED LOAD IN DIR.  2  Y-DISPL.F     -23.890100
STEP 4 TOTAL APPLIED LOAD IN DIR.  4  X-ROT. F      0.0000000

```

LOAD INPUT SECTION COMPLETED

```
+-----+
|          PARATIEPLUS(TM)  NLS ENGINE RELEASE  2022.0.0  FULL VERSION  *Build date:Sep 13, 2021*          |
|                                                                                                                                            |
|                                                                                               ParatiePlus                               |
|                                                                                               Exe Time :28 January 2022   11:11:20           |
+-----+
```

```
NO. OF LAYERS ..... 4
NO. OF DATA PER LAYER..... 160
```

```

+-----+
|                PARATIEPLUS(TM)  NLS ENGINE RELEASE  2022.0.0  FULL VERSION  *Build date:Sep 13, 2021*                |
|                                                                                                                                            |
|                                                                                               ParatiePlus                                                                                               |
|                                                                                               Exe Time :28 January 2022   11:11:20                                                                                               |
+-----+

```

LAYER DESCRIPTORS FOR STEP NO. 1

NON ZERO LAYER DESCRIPTORS FOR LAYER NO. 1 FOR STEP NO. 1

ITEM NO.	1	NAME	>= 12.000	(BOTH WALLS)	
ITEM NO.	2	NATURE	>= 1.0000	(BOTH WALLS)	
ITEM NO.	3	LEVEL	>= 0.0000	(BOTH WALLS)	
ITEM NO.	4	WALL	>= 1.0000	(BOTH WALLS)	
ITEM NO.	5	GAMMAD	>= 20.000	(BOTH WALLS)	
ITEM NO.	6	GAMMAB	>= 10.000	(BOTH WALLS)	
ITEM NO.	7	GAMMAW	>= 10.000	(BOTH WALLS)	
ITEM NO.	9	U-FRICT	>= 29.256	WALL NO.	1
ITEM NO.	9	U-FRICT	>= 35.000	WALL NO.	2
ITEM NO.	10	U-KA	>= 0.30000	WALL NO.	1
ITEM NO.	11	U-KP	>= 4.1020	WALL NO.	1
ITEM NO.	12	K0-NC	>= 0.42600	(BOTH WALLS)	
ITEM NO.	13	NEXP	>= 0.50000	(BOTH WALLS)	
ITEM NO.	14	OCR	>= 1.0000	(BOTH WALLS)	
ITEM NO.	16	MODEL	>= 1.0000	(BOTH WALLS)	
ITEM NO.	17	EVC	>= 50000.	(BOTH WALLS)	
ITEM NO.	18	EUR	>= 0.15000E+06	(BOTH WALLS)	
ITEM NO.	27	U-PERM	>= 0.10000E-04	(BOTH WALLS)	
ITEM NO.	61	U-TZALPH	>= 0.50000	(BOTH WALLS)	
ITEM NO.	82	D-NATURE	>= 1.0000	(BOTH WALLS)	
ITEM NO.	83	D-LEVEL	>= 0.0000	(BOTH WALLS)	
ITEM NO.	89	D-FRICT	>= 29.256	WALL NO.	1
ITEM NO.	89	D-FRICT	>= 35.000	WALL NO.	2
ITEM NO.	90	D-KA	>= 0.30000	WALL NO.	1
ITEM NO.	91	D-KP	>= 4.1020	WALL NO.	1
ITEM NO.	107	D-PERM	>= 0.10000E-04	(BOTH WALLS)	
ITEM NO.	141	D-TZALPH	>= 0.50000	(BOTH WALLS)	

NON ZERO LAYER DESCRIPTORS FOR LAYER NO. 2 FOR STEP NO. 1

ITEM NO.	1	NAME	>= 13.000	(BOTH WALLS)	
ITEM NO.	2	NATURE	>= 1.0000	(BOTH WALLS)	
ITEM NO.	3	LEVEL	>= -4.7000	(BOTH WALLS)	
ITEM NO.	4	WALL	>= 1.0000	(BOTH WALLS)	
ITEM NO.	5	GAMMAD	>= 19.500	(BOTH WALLS)	
ITEM NO.	6	GAMMAB	>= 9.5000	(BOTH WALLS)	
ITEM NO.	7	GAMMAW	>= 10.000	(BOTH WALLS)	
ITEM NO.	9	U-FRICT	>= 20.458	WALL NO.	1
ITEM NO.	9	U-FRICT	>= 25.000	WALL NO.	2
ITEM NO.	10	U-KA	>= 0.43200	WALL NO.	1
ITEM NO.	11	U-KP	>= 2.5350	WALL NO.	1
ITEM NO.	12	K0-NC	>= 0.56200	(BOTH WALLS)	
ITEM NO.	13	NEXP	>= 0.50000	(BOTH WALLS)	
ITEM NO.	14	OCR	>= 1.0000	(BOTH WALLS)	
ITEM NO.	16	MODEL	>= 1.0000	(BOTH WALLS)	
ITEM NO.	17	EVC	>= 35000.	(BOTH WALLS)	
ITEM NO.	18	EUR	>= 0.10500E+06	(BOTH WALLS)	
ITEM NO.	27	U-PERM	>= 0.10000E-04	(BOTH WALLS)	
ITEM NO.	61	U-TZALPH	>= 0.50000	(BOTH WALLS)	
ITEM NO.	82	D-NATURE	>= 1.0000	(BOTH WALLS)	
ITEM NO.	83	D-LEVEL	>= 0.0000	(BOTH WALLS)	
ITEM NO.	89	D-FRICT	>= 20.458	WALL NO.	1
ITEM NO.	89	D-FRICT	>= 25.000	WALL NO.	2
ITEM NO.	90	D-KA	>= 0.43200	WALL NO.	1
ITEM NO.	91	D-KP	>= 2.5350	WALL NO.	1
ITEM NO.	107	D-PERM	>= 0.10000E-04	(BOTH WALLS)	
ITEM NO.	141	D-TZALPH	>= 0.50000	(BOTH WALLS)	

NON ZERO LAYER DESCRIPTORS FOR LAYER NO. 3 FOR STEP NO. 1

ITEM NO.	1	NAME	>= 14.000	(BOTH WALLS)	
ITEM NO.	2	NATURE	>= 1.0000	(BOTH WALLS)	
ITEM NO.	3	LEVEL	>= -15.990	(BOTH WALLS)	
ITEM NO.	4	WALL	>= 1.0000	(BOTH WALLS)	
ITEM NO.	5	GAMMAD	>= 20.000	(BOTH WALLS)	
ITEM NO.	6	GAMMAB	>= 10.000	(BOTH WALLS)	
ITEM NO.	7	GAMMAW	>= 10.000	(BOTH WALLS)	
ITEM NO.	8	U-COHE	>= 8.0000	WALL NO.	1
ITEM NO.	8	U-COHE	>= 10.000	WALL NO.	2
ITEM NO.	9	U-FRICT	>= 21.315	WALL NO.	1
ITEM NO.	9	U-FRICT	>= 26.000	WALL NO.	2
ITEM NO.	10	U-KA	>= 0.41700	WALL NO.	1
ITEM NO.	11	U-KP	>= 2.6490	WALL NO.	1
ITEM NO.	12	K0-NC	>= 0.56200	(BOTH WALLS)	
ITEM NO.	13	NEXP	>= 0.50000	(BOTH WALLS)	
ITEM NO.	14	OCR	>= 1.0000	(BOTH WALLS)	
ITEM NO.	16	MODEL	>= 1.0000	(BOTH WALLS)	

ITEM NO. 17<EVC >= 0.20000E+06 (BOTH WALLS)
ITEM NO. 18<EUR >= 0.60000E+06 (BOTH WALLS)
ITEM NO. 27<U-PERM >= 0.10000E-04 (BOTH WALLS)
ITEM NO. 61<U-TZALPH>= 0.50000 (BOTH WALLS)
ITEM NO. 82<D-NATURE>= 1.0000 (BOTH WALLS)
ITEM NO. 83<D-LEVEL >= 0.0000 (BOTH WALLS)
ITEM NO. 88<D-COHE >= 8.0000 WALL NO. 1
ITEM NO. 88<D-COHE >= 10.000 WALL NO. 2
ITEM NO. 89<D-FRICT >= 21.315 WALL NO. 1
ITEM NO. 89<D-FRICT >= 26.000 WALL NO. 2
ITEM NO. 90<D-KA >= 0.41700 WALL NO. 1
ITEM NO. 91<D-KP >= 2.6490 WALL NO. 1
ITEM NO. 107<D-PERM >= 0.10000E-04 (BOTH WALLS)
ITEM NO. 141<D-TZALPH>= 0.50000 (BOTH WALLS)

NON ZERO LAYER DESCRIPTORS FOR LAYER NO. 4 FOR STEP NO. 1

ITEM NO. 1<NAME >= 15.000 (BOTH WALLS)
ITEM NO. 2<NATURE >= 1.0000 (BOTH WALLS)
ITEM NO. 3<LEVEL >= -17.670 (BOTH WALLS)
ITEM NO. 4<WALL >= 1.0000 (BOTH WALLS)
ITEM NO. 5<GAMMAD >= 23.000 (BOTH WALLS)
ITEM NO. 6<GAMMAB >= 13.000 (BOTH WALLS)
ITEM NO. 7<GAMMAW >= 10.000 (BOTH WALLS)
ITEM NO. 8<U-COHE >= 44.000 WALL NO. 1
ITEM NO. 8<U-COHE >= 55.000 WALL NO. 2
ITEM NO. 9<U-FRICT >= 25.673 WALL NO. 1
ITEM NO. 9<U-FRICT >= 31.000 WALL NO. 2
ITEM NO. 10<U-KA >= 0.34900 WALL NO. 1
ITEM NO. 11<U-KP >= 3.3430 WALL NO. 1
ITEM NO. 12<K0-NC >= 0.56200 (BOTH WALLS)
ITEM NO. 13<NEXP >= 0.50000 (BOTH WALLS)
ITEM NO. 14<OCR >= 1.0000 (BOTH WALLS)
ITEM NO. 16<MODEL >= 1.0000 (BOTH WALLS)
ITEM NO. 17<EVC >= 0.13500E+06 (BOTH WALLS)
ITEM NO. 18<EUR >= 0.40500E+06 (BOTH WALLS)
ITEM NO. 27<U-PERM >= 0.10000E-04 (BOTH WALLS)
ITEM NO. 61<U-TZALPH>= 0.50000 (BOTH WALLS)
ITEM NO. 82<D-NATURE>= 1.0000 (BOTH WALLS)
ITEM NO. 83<D-LEVEL >= 0.0000 (BOTH WALLS)
ITEM NO. 88<D-COHE >= 44.000 WALL NO. 1
ITEM NO. 88<D-COHE >= 55.000 WALL NO. 2
ITEM NO. 89<D-FRICT >= 25.673 WALL NO. 1
ITEM NO. 89<D-FRICT >= 31.000 WALL NO. 2
ITEM NO. 90<D-KA >= 0.34900 WALL NO. 1
ITEM NO. 91<D-KP >= 3.3430 WALL NO. 1
ITEM NO. 107<D-PERM >= 0.10000E-04 (BOTH WALLS)
ITEM NO. 141<D-TZALPH>= 0.50000 (BOTH WALLS)

LAYER DESCRIPTORS FOR STEP NO. 2

NON ZERO LAYER DESCRIPTORS FOR LAYER NO. 1 FOR STEP NO. 2

ITEM NO. 1<NAME >= 12.000 (BOTH WALLS)
ITEM NO. 2<NATURE >= 1.0000 (BOTH WALLS)
ITEM NO. 3<LEVEL >= 0.0000 (BOTH WALLS)
ITEM NO. 4<WALL >= 1.0000 (BOTH WALLS)
ITEM NO. 5<GAMMAD >= 20.000 (BOTH WALLS)
ITEM NO. 6<GAMMAB >= 10.000 (BOTH WALLS)
ITEM NO. 7<GAMMAW >= 10.000 (BOTH WALLS)
ITEM NO. 9<U-FRICT >= 29.256 WALL NO. 1
ITEM NO. 9<U-FRICT >= 35.000 WALL NO. 2
ITEM NO. 10<U-KA >= 0.30000 WALL NO. 1
ITEM NO. 11<U-KP >= 4.1020 WALL NO. 1
ITEM NO. 12<K0-NC >= 0.42600 (BOTH WALLS)
ITEM NO. 13<NEXP >= 0.50000 (BOTH WALLS)
ITEM NO. 14<OCR >= 1.0000 (BOTH WALLS)
ITEM NO. 16<MODEL >= 1.0000 (BOTH WALLS)
ITEM NO. 17<EVC >= 50000. (BOTH WALLS)
ITEM NO. 18<EUR >= 0.15000E+06 (BOTH WALLS)
ITEM NO. 27<U-PERM >= 0.10000E-04 (BOTH WALLS)
ITEM NO. 61<U-TZALPH>= 0.50000 (BOTH WALLS)
ITEM NO. 82<D-NATURE>= 1.0000 (BOTH WALLS)
ITEM NO. 83<D-LEVEL >= 0.0000 (BOTH WALLS)
ITEM NO. 89<D-FRICT >= 29.256 WALL NO. 1
ITEM NO. 89<D-FRICT >= 35.000 WALL NO. 2
ITEM NO. 90<D-KA >= 0.30000 WALL NO. 1
ITEM NO. 91<D-KP >= 4.1020 WALL NO. 1
ITEM NO. 107<D-PERM >= 0.10000E-04 (BOTH WALLS)
ITEM NO. 141<D-TZALPH>= 0.50000 (BOTH WALLS)

NON ZERO LAYER DESCRIPTORS FOR LAYER NO. 2 FOR STEP NO. 2

ITEM NO. 1<NAME >= 13.000 (BOTH WALLS)
ITEM NO. 2<NATURE >= 1.0000 (BOTH WALLS)
ITEM NO. 3<LEVEL >= -4.7000 (BOTH WALLS)
ITEM NO. 4<WALL >= 1.0000 (BOTH WALLS)
ITEM NO. 5<GAMMAD >= 19.500 (BOTH WALLS)
ITEM NO. 6<GAMMAB >= 9.5000 (BOTH WALLS)
ITEM NO. 7<GAMMAW >= 10.000 (BOTH WALLS)
ITEM NO. 9<U-FRICT >= 20.458 WALL NO. 1

ITEM NO.	9	U-FRICT	= 25.000	WALL NO.	2
ITEM NO.	10	U-KA	= 0.43200	WALL NO.	1
ITEM NO.	11	U-KP	= 2.5350	WALL NO.	1
ITEM NO.	12	K0-NC	= 0.56200	(BOTH WALLS)	
ITEM NO.	13	NEXP	= 0.50000	(BOTH WALLS)	
ITEM NO.	14	OCR	= 1.0000	(BOTH WALLS)	
ITEM NO.	16	MODEL	= 1.0000	(BOTH WALLS)	
ITEM NO.	17	EVC	= 35000.	(BOTH WALLS)	
ITEM NO.	18	EUR	= 0.10500E+06	(BOTH WALLS)	
ITEM NO.	27	U-PERM	= 0.10000E-04	(BOTH WALLS)	
ITEM NO.	61	U-TZALPH	= 0.50000	(BOTH WALLS)	
ITEM NO.	82	D-NATURE	= 1.0000	(BOTH WALLS)	
ITEM NO.	83	D-LEVEL	= 0.0000	(BOTH WALLS)	
ITEM NO.	89	D-FRICT	= 20.458	WALL NO.	1
ITEM NO.	89	D-FRICT	= 25.000	WALL NO.	2
ITEM NO.	90	D-KA	= 0.43200	WALL NO.	1
ITEM NO.	91	D-KP	= 2.5350	WALL NO.	1
ITEM NO.	107	D-PERM	= 0.10000E-04	(BOTH WALLS)	
ITEM NO.	141	D-TZALPH	= 0.50000	(BOTH WALLS)	

NON ZERO LAYER DESCRIPTORS FOR LAYER NO. 3 FOR STEP NO. 2

ITEM NO.	1	NAME	= 14.000	(BOTH WALLS)	
ITEM NO.	2	NATURE	= 1.0000	(BOTH WALLS)	
ITEM NO.	3	LEVEL	= -15.990	(BOTH WALLS)	
ITEM NO.	4	WALL	= 1.0000	(BOTH WALLS)	
ITEM NO.	5	GAMMAD	= 20.000	(BOTH WALLS)	
ITEM NO.	6	GAMMAB	= 10.000	(BOTH WALLS)	
ITEM NO.	7	GAMMAW	= 10.000	(BOTH WALLS)	
ITEM NO.	8	U-COHE	= 8.0000	WALL NO.	1
ITEM NO.	8	U-COHE	= 10.000	WALL NO.	2
ITEM NO.	9	U-FRICT	= 21.315	WALL NO.	1
ITEM NO.	9	U-FRICT	= 26.000	WALL NO.	2
ITEM NO.	10	U-KA	= 0.41700	WALL NO.	1
ITEM NO.	11	U-KP	= 2.6490	WALL NO.	1
ITEM NO.	12	K0-NC	= 0.56200	(BOTH WALLS)	
ITEM NO.	13	NEXP	= 0.50000	(BOTH WALLS)	
ITEM NO.	14	OCR	= 1.0000	(BOTH WALLS)	
ITEM NO.	16	MODEL	= 1.0000	(BOTH WALLS)	
ITEM NO.	17	EVC	= 0.20000E+06	(BOTH WALLS)	
ITEM NO.	18	EUR	= 0.60000E+06	(BOTH WALLS)	
ITEM NO.	27	U-PERM	= 0.10000E-04	(BOTH WALLS)	
ITEM NO.	61	U-TZALPH	= 0.50000	(BOTH WALLS)	
ITEM NO.	82	D-NATURE	= 1.0000	(BOTH WALLS)	
ITEM NO.	83	D-LEVEL	= 0.0000	(BOTH WALLS)	
ITEM NO.	88	D-COHE	= 8.0000	WALL NO.	1
ITEM NO.	88	D-COHE	= 10.000	WALL NO.	2
ITEM NO.	89	D-FRICT	= 21.315	WALL NO.	1
ITEM NO.	89	D-FRICT	= 26.000	WALL NO.	2
ITEM NO.	90	D-KA	= 0.41700	WALL NO.	1
ITEM NO.	91	D-KP	= 2.6490	WALL NO.	1
ITEM NO.	107	D-PERM	= 0.10000E-04	(BOTH WALLS)	
ITEM NO.	141	D-TZALPH	= 0.50000	(BOTH WALLS)	

NON ZERO LAYER DESCRIPTORS FOR LAYER NO. 4 FOR STEP NO. 2

ITEM NO.	1	NAME	= 15.000	(BOTH WALLS)	
ITEM NO.	2	NATURE	= 1.0000	(BOTH WALLS)	
ITEM NO.	3	LEVEL	= -17.670	(BOTH WALLS)	
ITEM NO.	4	WALL	= 1.0000	(BOTH WALLS)	
ITEM NO.	5	GAMMAD	= 23.000	(BOTH WALLS)	
ITEM NO.	6	GAMMAB	= 13.000	(BOTH WALLS)	
ITEM NO.	7	GAMMAW	= 10.000	(BOTH WALLS)	
ITEM NO.	8	U-COHE	= 44.000	WALL NO.	1
ITEM NO.	8	U-COHE	= 55.000	WALL NO.	2
ITEM NO.	9	U-FRICT	= 25.673	WALL NO.	1
ITEM NO.	9	U-FRICT	= 31.000	WALL NO.	2
ITEM NO.	10	U-KA	= 0.34900	WALL NO.	1
ITEM NO.	11	U-KP	= 3.3430	WALL NO.	1
ITEM NO.	12	K0-NC	= 0.56200	(BOTH WALLS)	
ITEM NO.	13	NEXP	= 0.50000	(BOTH WALLS)	
ITEM NO.	14	OCR	= 1.0000	(BOTH WALLS)	
ITEM NO.	16	MODEL	= 1.0000	(BOTH WALLS)	
ITEM NO.	17	EVC	= 0.13500E+06	(BOTH WALLS)	
ITEM NO.	18	EUR	= 0.40500E+06	(BOTH WALLS)	
ITEM NO.	27	U-PERM	= 0.10000E-04	(BOTH WALLS)	
ITEM NO.	61	U-TZALPH	= 0.50000	(BOTH WALLS)	
ITEM NO.	82	D-NATURE	= 1.0000	(BOTH WALLS)	
ITEM NO.	83	D-LEVEL	= 0.0000	(BOTH WALLS)	
ITEM NO.	88	D-COHE	= 44.000	WALL NO.	1
ITEM NO.	88	D-COHE	= 55.000	WALL NO.	2
ITEM NO.	89	D-FRICT	= 25.673	WALL NO.	1
ITEM NO.	89	D-FRICT	= 31.000	WALL NO.	2
ITEM NO.	90	D-KA	= 0.34900	WALL NO.	1
ITEM NO.	91	D-KP	= 3.3430	WALL NO.	1
ITEM NO.	107	D-PERM	= 0.10000E-04	(BOTH WALLS)	
ITEM NO.	141	D-TZALPH	= 0.50000	(BOTH WALLS)	

LAYER DESCRIPTORS FOR STEP NO. 3

NON ZERO LAYER DESCRIPTORS FOR LAYER NO. 1 FOR STEP NO. 3

ITEM NO.	1	NAME	= 12.000	(BOTH WALLS)	
ITEM NO.	2	NATURE	= 1.0000	(BOTH WALLS)	
ITEM NO.	3	LEVEL	= 0.0000	(BOTH WALLS)	
ITEM NO.	4	WALL	= 1.0000	(BOTH WALLS)	
ITEM NO.	5	GAMMAD	= 20.000	(BOTH WALLS)	
ITEM NO.	6	GAMMAB	= 10.000	(BOTH WALLS)	
ITEM NO.	7	GAMMAW	= 10.000	(BOTH WALLS)	
ITEM NO.	9	U-FRICT	= 29.256	WALL NO.	1
ITEM NO.	9	U-FRICT	= 35.000	WALL NO.	2
ITEM NO.	10	U-KA	= 0.30000	WALL NO.	1
ITEM NO.	11	U-KP	= 4.1020	WALL NO.	1
ITEM NO.	12	K0-NC	= 0.42600	(BOTH WALLS)	
ITEM NO.	13	NEXP	= 0.50000	(BOTH WALLS)	
ITEM NO.	14	OCR	= 1.0000	(BOTH WALLS)	
ITEM NO.	16	MODEL	= 1.0000	(BOTH WALLS)	
ITEM NO.	17	EVC	= 50000.	(BOTH WALLS)	
ITEM NO.	18	EUR	= 0.15000E+06	(BOTH WALLS)	
ITEM NO.	27	U-PERM	= 0.10000E-04	(BOTH WALLS)	
ITEM NO.	61	U-TZALPH	= 0.50000	(BOTH WALLS)	
ITEM NO.	82	D-NATURE	= 1.0000	(BOTH WALLS)	
ITEM NO.	83	D-LEVEL	= 0.0000	(BOTH WALLS)	
ITEM NO.	89	D-FRICT	= 29.256	WALL NO.	1
ITEM NO.	89	D-FRICT	= 35.000	WALL NO.	2
ITEM NO.	90	D-KA	= 0.30000	WALL NO.	1
ITEM NO.	91	D-KP	= 4.1020	WALL NO.	1
ITEM NO.	107	D-PERM	= 0.10000E-04	(BOTH WALLS)	
ITEM NO.	141	D-TZALPH	= 0.50000	(BOTH WALLS)	

NON ZERO LAYER DESCRIPTORS FOR LAYER NO. 2 FOR STEP NO. 3

ITEM NO.	1	NAME	= 13.000	(BOTH WALLS)	
ITEM NO.	2	NATURE	= 1.0000	(BOTH WALLS)	
ITEM NO.	3	LEVEL	= -4.7000	(BOTH WALLS)	
ITEM NO.	4	WALL	= 1.0000	(BOTH WALLS)	
ITEM NO.	5	GAMMAD	= 19.500	(BOTH WALLS)	
ITEM NO.	6	GAMMAB	= 9.5000	(BOTH WALLS)	
ITEM NO.	7	GAMMAW	= 10.000	(BOTH WALLS)	
ITEM NO.	9	U-FRICT	= 20.458	WALL NO.	1
ITEM NO.	9	U-FRICT	= 25.000	WALL NO.	2
ITEM NO.	10	U-KA	= 0.43200	WALL NO.	1
ITEM NO.	11	U-KP	= 2.5350	WALL NO.	1
ITEM NO.	12	K0-NC	= 0.56200	(BOTH WALLS)	
ITEM NO.	13	NEXP	= 0.50000	(BOTH WALLS)	
ITEM NO.	14	OCR	= 1.0000	(BOTH WALLS)	
ITEM NO.	16	MODEL	= 1.0000	(BOTH WALLS)	
ITEM NO.	17	EVC	= 35000.	(BOTH WALLS)	
ITEM NO.	18	EUR	= 0.10500E+06	(BOTH WALLS)	
ITEM NO.	27	U-PERM	= 0.10000E-04	(BOTH WALLS)	
ITEM NO.	61	U-TZALPH	= 0.50000	(BOTH WALLS)	
ITEM NO.	82	D-NATURE	= 1.0000	(BOTH WALLS)	
ITEM NO.	83	D-LEVEL	= 0.0000	(BOTH WALLS)	
ITEM NO.	89	D-FRICT	= 20.458	WALL NO.	1
ITEM NO.	89	D-FRICT	= 25.000	WALL NO.	2
ITEM NO.	90	D-KA	= 0.43200	WALL NO.	1
ITEM NO.	91	D-KP	= 2.5350	WALL NO.	1
ITEM NO.	107	D-PERM	= 0.10000E-04	(BOTH WALLS)	
ITEM NO.	141	D-TZALPH	= 0.50000	(BOTH WALLS)	

NON ZERO LAYER DESCRIPTORS FOR LAYER NO. 3 FOR STEP NO. 3

ITEM NO.	1	NAME	= 14.000	(BOTH WALLS)	
ITEM NO.	2	NATURE	= 1.0000	(BOTH WALLS)	
ITEM NO.	3	LEVEL	= -15.990	(BOTH WALLS)	
ITEM NO.	4	WALL	= 1.0000	(BOTH WALLS)	
ITEM NO.	5	GAMMAD	= 20.000	(BOTH WALLS)	
ITEM NO.	6	GAMMAB	= 10.000	(BOTH WALLS)	
ITEM NO.	7	GAMMAW	= 10.000	(BOTH WALLS)	
ITEM NO.	8	U-COHE	= 8.0000	WALL NO.	1
ITEM NO.	8	U-COHE	= 10.000	WALL NO.	2
ITEM NO.	9	U-FRICT	= 21.315	WALL NO.	1
ITEM NO.	9	U-FRICT	= 26.000	WALL NO.	2
ITEM NO.	10	U-KA	= 0.41700	WALL NO.	1
ITEM NO.	11	U-KP	= 2.6490	WALL NO.	1
ITEM NO.	12	K0-NC	= 0.56200	(BOTH WALLS)	
ITEM NO.	13	NEXP	= 0.50000	(BOTH WALLS)	
ITEM NO.	14	OCR	= 1.0000	(BOTH WALLS)	
ITEM NO.	16	MODEL	= 1.0000	(BOTH WALLS)	
ITEM NO.	17	EVC	= 0.20000E+06	(BOTH WALLS)	
ITEM NO.	18	EUR	= 0.60000E+06	(BOTH WALLS)	
ITEM NO.	27	U-PERM	= 0.10000E-04	(BOTH WALLS)	
ITEM NO.	61	U-TZALPH	= 0.50000	(BOTH WALLS)	
ITEM NO.	82	D-NATURE	= 1.0000	(BOTH WALLS)	
ITEM NO.	83	D-LEVEL	= 0.0000	(BOTH WALLS)	
ITEM NO.	88	D-COHE	= 8.0000	WALL NO.	1
ITEM NO.	88	D-COHE	= 10.000	WALL NO.	2
ITEM NO.	89	D-FRICT	= 21.315	WALL NO.	1
ITEM NO.	89	D-FRICT	= 26.000	WALL NO.	2
ITEM NO.	90	D-KA	= 0.41700	WALL NO.	1
ITEM NO.	91	D-KP	= 2.6490	WALL NO.	1
ITEM NO.	107	D-PERM	= 0.10000E-04	(BOTH WALLS)	
ITEM NO.	141	D-TZALPH	= 0.50000	(BOTH WALLS)	

NON ZERO LAYER DESCRIPTORS FOR LAYER NO. 4 FOR STEP NO. 3

ITEM NO.	1	NAME	= 15.000	(BOTH WALLS)	
ITEM NO.	2	NATURE	= 1.0000	(BOTH WALLS)	
ITEM NO.	3	LEVEL	= -17.670	(BOTH WALLS)	
ITEM NO.	4	WALL	= 1.0000	(BOTH WALLS)	
ITEM NO.	5	GAMMAD	= 23.000	(BOTH WALLS)	
ITEM NO.	6	GAMMAB	= 13.000	(BOTH WALLS)	
ITEM NO.	7	GAMMAW	= 10.000	(BOTH WALLS)	
ITEM NO.	8	U-COHE	= 44.000	WALL NO.	1
ITEM NO.	8	U-COHE	= 55.000	WALL NO.	2
ITEM NO.	9	U-FRICT	= 25.673	WALL NO.	1
ITEM NO.	9	U-FRICT	= 31.000	WALL NO.	2
ITEM NO.	10	U-KA	= 0.34900	WALL NO.	1
ITEM NO.	11	U-KP	= 3.3430	WALL NO.	1
ITEM NO.	12	K0-NC	= 0.56200	(BOTH WALLS)	
ITEM NO.	13	NEXP	= 0.50000	(BOTH WALLS)	
ITEM NO.	14	OCR	= 1.0000	(BOTH WALLS)	
ITEM NO.	16	MODEL	= 1.0000	(BOTH WALLS)	
ITEM NO.	17	EVC	= 0.13500E+06	(BOTH WALLS)	
ITEM NO.	18	EUR	= 0.40500E+06	(BOTH WALLS)	
ITEM NO.	27	U-PERM	= 0.10000E-04	(BOTH WALLS)	
ITEM NO.	61	U-TZALPH	= 0.50000	(BOTH WALLS)	
ITEM NO.	82	D-NATURE	= 1.0000	(BOTH WALLS)	
ITEM NO.	83	D-LEVEL	= 0.0000	(BOTH WALLS)	
ITEM NO.	88	D-COHE	= 44.000	WALL NO.	1
ITEM NO.	88	D-COHE	= 55.000	WALL NO.	2
ITEM NO.	89	D-FRICT	= 25.673	WALL NO.	1
ITEM NO.	89	D-FRICT	= 31.000	WALL NO.	2
ITEM NO.	90	D-KA	= 0.34900	WALL NO.	1
ITEM NO.	91	D-KP	= 3.3430	WALL NO.	1
ITEM NO.	107	D-PERM	= 0.10000E-04	(BOTH WALLS)	
ITEM NO.	141	D-TZALPH	= 0.50000	(BOTH WALLS)	

LAYER DESCRIPTORS FOR STEP NO. 4

NON ZERO LAYER DESCRIPTORS FOR LAYER NO. 1 FOR STEP NO. 4

ITEM NO.	1	NAME	= 12.000	(BOTH WALLS)	
ITEM NO.	2	NATURE	= 1.0000	(BOTH WALLS)	
ITEM NO.	3	LEVEL	= 0.0000	(BOTH WALLS)	
ITEM NO.	4	WALL	= 1.0000	(BOTH WALLS)	
ITEM NO.	5	GAMMAD	= 20.000	(BOTH WALLS)	
ITEM NO.	6	GAMMAB	= 10.000	(BOTH WALLS)	
ITEM NO.	7	GAMMAW	= 10.000	(BOTH WALLS)	
ITEM NO.	9	U-FRICT	= 29.256	WALL NO.	1
ITEM NO.	9	U-FRICT	= 35.000	WALL NO.	2
ITEM NO.	10	U-KA	= 0.30000	WALL NO.	1
ITEM NO.	11	U-KP	= 4.1020	WALL NO.	1
ITEM NO.	12	K0-NC	= 0.42600	(BOTH WALLS)	
ITEM NO.	13	NEXP	= 0.50000	(BOTH WALLS)	
ITEM NO.	14	OCR	= 1.0000	(BOTH WALLS)	
ITEM NO.	16	MODEL	= 1.0000	(BOTH WALLS)	
ITEM NO.	17	EVC	= 50000.	(BOTH WALLS)	
ITEM NO.	18	EUR	= 0.15000E+06	(BOTH WALLS)	
ITEM NO.	27	U-PERM	= 0.10000E-04	(BOTH WALLS)	
ITEM NO.	47	U-KAED	= 0.37726	WALL NO.	1
ITEM NO.	48	U-KAEW	= 0.45376	WALL NO.	1
ITEM NO.	49	U-KPED	= 4.0378	WALL NO.	1
ITEM NO.	50	U-KPEW	= 3.7202	WALL NO.	1
ITEM NO.	61	U-TZALPH	= 0.50000	(BOTH WALLS)	
ITEM NO.	82	D-NATURE	= 1.0000	(BOTH WALLS)	
ITEM NO.	83	D-LEVEL	= 0.0000	(BOTH WALLS)	
ITEM NO.	89	D-FRICT	= 29.256	WALL NO.	1
ITEM NO.	89	D-FRICT	= 35.000	WALL NO.	2
ITEM NO.	90	D-KA	= 0.30000	WALL NO.	1
ITEM NO.	91	D-KP	= 4.1020	WALL NO.	1
ITEM NO.	107	D-PERM	= 0.10000E-04	(BOTH WALLS)	
ITEM NO.	127	D-KAED	= 0.34845	WALL NO.	1
ITEM NO.	128	D-KAEW	= 0.42842	WALL NO.	1
ITEM NO.	129	D-KPED	= 3.6416	WALL NO.	1
ITEM NO.	130	D-KPEW	= 3.3150	WALL NO.	1
ITEM NO.	141	D-TZALPH	= 0.50000	(BOTH WALLS)	

NON ZERO LAYER DESCRIPTORS FOR LAYER NO. 2 FOR STEP NO. 4

ITEM NO.	1	NAME	= 13.000	(BOTH WALLS)	
ITEM NO.	2	NATURE	= 1.0000	(BOTH WALLS)	
ITEM NO.	3	LEVEL	= -4.7000	(BOTH WALLS)	
ITEM NO.	4	WALL	= 1.0000	(BOTH WALLS)	
ITEM NO.	5	GAMMAD	= 19.500	(BOTH WALLS)	
ITEM NO.	6	GAMMAB	= 9.5000	(BOTH WALLS)	
ITEM NO.	7	GAMMAW	= 10.000	(BOTH WALLS)	
ITEM NO.	9	U-FRICT	= 20.458	WALL NO.	1
ITEM NO.	9	U-FRICT	= 25.000	WALL NO.	2
ITEM NO.	10	U-KA	= 0.43200	WALL NO.	1
ITEM NO.	11	U-KP	= 2.5350	WALL NO.	1
ITEM NO.	12	K0-NC	= 0.56200	(BOTH WALLS)	
ITEM NO.	13	NEXP	= 0.50000	(BOTH WALLS)	
ITEM NO.	14	OCR	= 1.0000	(BOTH WALLS)	

ITEM NO.	16	MODEL	>= 1.0000	(BOTH WALLS)	
ITEM NO.	17	EVC	>= 35000.	(BOTH WALLS)	
ITEM NO.	18	EUR	>= 0.10500E+06	(BOTH WALLS)	
ITEM NO.	27	U-PERM	>= 0.10000E-04	(BOTH WALLS)	
ITEM NO.	47	U-KAED	>= 0.53026	WALL NO.	1
ITEM NO.	48	U-KAEW	>= 0.64030	WALL NO.	1
ITEM NO.	49	U-KPED	>= 2.4616	WALL NO.	1
ITEM NO.	50	U-KPEW	>= 2.1934	WALL NO.	1
ITEM NO.	61	U-TZALPH	>= 0.50000	(BOTH WALLS)	
ITEM NO.	82	D-NATURE	>= 1.0000	(BOTH WALLS)	
ITEM NO.	83	D-LEVEL	>= 0.0000	(BOTH WALLS)	
ITEM NO.	89	D-FRICT	>= 20.458	WALL NO.	1
ITEM NO.	89	D-FRICT	>= 25.000	WALL NO.	2
ITEM NO.	90	D-KA	>= 0.43200	WALL NO.	1
ITEM NO.	91	D-KP	>= 2.5350	WALL NO.	1
ITEM NO.	107	D-PERM	>= 0.10000E-04	(BOTH WALLS)	
ITEM NO.	127	D-KAED	>= 0.49031	WALL NO.	1
ITEM NO.	128	D-KAEW	>= 0.60550	WALL NO.	1
ITEM NO.	129	D-KPED	>= 2.2154	WALL NO.	1
ITEM NO.	130	D-KPEW	>= 1.9374	WALL NO.	1
ITEM NO.	141	D-TZALPH	>= 0.50000	(BOTH WALLS)	

NON ZERO LAYER DESCRIPTORS FOR LAYER NO. 3 FOR STEP NO. 4

ITEM NO.	1	NAME	>= 14.000	(BOTH WALLS)	
ITEM NO.	2	NATURE	>= 1.0000	(BOTH WALLS)	
ITEM NO.	3	LEVEL	>= -15.990	(BOTH WALLS)	
ITEM NO.	4	WALL	>= 1.0000	(BOTH WALLS)	
ITEM NO.	5	GAMMAD	>= 20.000	(BOTH WALLS)	
ITEM NO.	6	GAMMAB	>= 10.000	(BOTH WALLS)	
ITEM NO.	7	GAMMAW	>= 10.000	(BOTH WALLS)	
ITEM NO.	8	U-COHE	>= 8.0000	WALL NO.	1
ITEM NO.	8	U-COHE	>= 10.000	WALL NO.	2
ITEM NO.	9	U-FRICT	>= 21.315	WALL NO.	1
ITEM NO.	9	U-FRICT	>= 26.000	WALL NO.	2
ITEM NO.	10	U-KA	>= 0.41700	WALL NO.	1
ITEM NO.	11	U-KP	>= 2.6490	WALL NO.	1
ITEM NO.	12	K0-NC	>= 0.56200	(BOTH WALLS)	
ITEM NO.	13	NEXP	>= 0.50000	(BOTH WALLS)	
ITEM NO.	14	OCR	>= 1.0000	(BOTH WALLS)	
ITEM NO.	16	MODEL	>= 1.0000	(BOTH WALLS)	
ITEM NO.	17	EVC	>= 0.20000E+06	(BOTH WALLS)	
ITEM NO.	18	EUR	>= 0.60000E+06	(BOTH WALLS)	
ITEM NO.	27	U-PERM	>= 0.10000E-04	(BOTH WALLS)	
ITEM NO.	47	U-KAED	>= 0.51350	WALL NO.	1
ITEM NO.	48	U-KAEW	>= 0.61305	WALL NO.	1
ITEM NO.	49	U-KPED	>= 2.5759	WALL NO.	1
ITEM NO.	50	U-KPEW	>= 2.3202	WALL NO.	1
ITEM NO.	61	U-TZALPH	>= 0.50000	(BOTH WALLS)	
ITEM NO.	82	D-NATURE	>= 1.0000	(BOTH WALLS)	
ITEM NO.	83	D-LEVEL	>= 0.0000	(BOTH WALLS)	
ITEM NO.	88	D-COHE	>= 8.0000	WALL NO.	1
ITEM NO.	88	D-COHE	>= 10.000	WALL NO.	2
ITEM NO.	89	D-FRICT	>= 21.315	WALL NO.	1
ITEM NO.	89	D-FRICT	>= 26.000	WALL NO.	2
ITEM NO.	90	D-KA	>= 0.41700	WALL NO.	1
ITEM NO.	91	D-KP	>= 2.6490	WALL NO.	1
ITEM NO.	107	D-PERM	>= 0.10000E-04	(BOTH WALLS)	
ITEM NO.	127	D-KAED	>= 0.47412	WALL NO.	1
ITEM NO.	128	D-KAEW	>= 0.57885	WALL NO.	1
ITEM NO.	129	D-KPED	>= 2.3192	WALL NO.	1
ITEM NO.	130	D-KPEW	>= 2.0536	WALL NO.	1
ITEM NO.	141	D-TZALPH	>= 0.50000	(BOTH WALLS)	

NON ZERO LAYER DESCRIPTORS FOR LAYER NO. 4 FOR STEP NO. 4

ITEM NO.	1	NAME	>= 15.000	(BOTH WALLS)	
ITEM NO.	2	NATURE	>= 1.0000	(BOTH WALLS)	
ITEM NO.	3	LEVEL	>= -17.670	(BOTH WALLS)	
ITEM NO.	4	WALL	>= 1.0000	(BOTH WALLS)	
ITEM NO.	5	GAMMAD	>= 23.000	(BOTH WALLS)	
ITEM NO.	6	GAMMAB	>= 13.000	(BOTH WALLS)	
ITEM NO.	7	GAMMAW	>= 10.000	(BOTH WALLS)	
ITEM NO.	8	U-COHE	>= 44.000	WALL NO.	1
ITEM NO.	8	U-COHE	>= 55.000	WALL NO.	2
ITEM NO.	9	U-FRICT	>= 25.673	WALL NO.	1
ITEM NO.	9	U-FRICT	>= 31.000	WALL NO.	2
ITEM NO.	10	U-KA	>= 0.34900	WALL NO.	1
ITEM NO.	11	U-KP	>= 3.3430	WALL NO.	1
ITEM NO.	12	K0-NC	>= 0.56200	(BOTH WALLS)	
ITEM NO.	13	NEXP	>= 0.50000	(BOTH WALLS)	
ITEM NO.	14	OCR	>= 1.0000	(BOTH WALLS)	
ITEM NO.	16	MODEL	>= 1.0000	(BOTH WALLS)	
ITEM NO.	17	EVC	>= 0.13500E+06	(BOTH WALLS)	
ITEM NO.	18	EUR	>= 0.40500E+06	(BOTH WALLS)	
ITEM NO.	27	U-PERM	>= 0.10000E-04	(BOTH WALLS)	
ITEM NO.	47	U-KAED	>= 0.43385	WALL NO.	1
ITEM NO.	48	U-KAEW	>= 0.49778	WALL NO.	1
ITEM NO.	49	U-KPED	>= 3.2738	WALL NO.	1
ITEM NO.	50	U-KPEW	>= 3.0600	WALL NO.	1
ITEM NO.	61	U-TZALPH	>= 0.50000	(BOTH WALLS)	
ITEM NO.	82	D-NATURE	>= 1.0000	(BOTH WALLS)	

ITEM NO.	83	D-LEVEL	>=	0.0000	(BOTH WALLS)	
ITEM NO.	88	D-COHE	>=	44.000	WALL NO.	1
ITEM NO.	88	D-COHE	>=	55.000	WALL NO.	2
ITEM NO.	89	D-FRICT	>=	25.673	WALL NO.	1
ITEM NO.	89	D-FRICT	>=	31.000	WALL NO.	2
ITEM NO.	90	D-KA	>=	0.34900	WALL NO.	1
ITEM NO.	91	D-KP	>=	3.3430	WALL NO.	1
ITEM NO.	107	D-PERM	>=	0.10000E-04	(BOTH WALLS)	
ITEM NO.	127	D-KAED	>=	0.40081	WALL NO.	1
ITEM NO.	128	D-KAEW	>=	0.46746	WALL NO.	1
ITEM NO.	129	D-KPED	>=	2.9504	WALL NO.	1
ITEM NO.	130	D-KPEW	>=	2.7314	WALL NO.	1
ITEM NO.	141	D-TZALPH	>=	0.50000	(BOTH WALLS)	

DEFAULT WATER UNIT WEIGHT = 10.000
AVERAGED ON 16 VALUES

```

+-----+
|          PARATIEPLUS(TM)  NLS ENGINE RELEASE  2022.0.0  FULL VERSION  *Build date:Sep 13, 2021*  |
|                                                                                               |
|                                                                                               |
|                               ParatiePlus                                                    |
|                               Exe Time :28 January 2022  11:11:20                            |
+-----+

```

PHASE DESCRIPTORS

```

STEP NO.      1 no. of subincrements      1
                LEFT WALL      RIGHT WALL
Y              0.000            -0.9990E+30
Z-PC           -4.700            0.000
Z-EXCAVATION   -4.700            0.000
Z-WATER_TABLE  -9.500            -0.9990E+30
Q_AT_THE_FREE_FIELD_LEVEL  0.000            0.000
ZQ             0.000            0.000
DZW_OF_THE_WATER_TABLE  0.000            0.000
QS_ON_THE_EXCAVATION_SIDE  0.000            0.000
ZQS           0.000            -0.9990E+30
ZCUT           0.000            0.000
BALANCE LEVEL FOR PORE PRESSURES  -18.20           -18.20
WATER_BEHAVIOUR_FLAG (LINING OPT)  0.000            0.000
PORE_UPDATE_FLAG  0.000            0.000
PORE_TAB._FLAG (gt.0= use tabs)  0.000            0.000
lateral thrusts reduction elevatio  0.000            0.000
Downhill reduction factor for effe  0.000            0.000
Downhill reduction factor for pore  0.000            0.000
Uphill reduction factor for effect  0.000            0.000
Uphill reduction factor for pore p  0.000            0.000
SEISMIC HORIZONTAL ACCEL. Kh [g]  0.000            0.000
UPHILL VERTICAL ACCEL. Kv_uh [g]  0.000            0.000
DOWNHILL VERTICAL ACCEL.Kv_dh [g]  0.000            0.000
UPHILL BETA ANGLE (SLOPE) [deg]  0.000            0.000
UPHILL DELTA/PHI RATIO  0.000            0.000
DOWNHILL BETA ANGLE (SLOPE) [deg]  0.000            0.000
DOWNHILL DELTA/PHI RATIO  0.000            0.000
DYN.WATER BEHAVIOUR  0.000            0.000
Excess pore pressure RATIO Ru  0.000            0.000
SEISMIC PRESSURE LOWER VALUE  0.000            0.000
SEISMIC PRESSURE UPPER VALUE  0.000            0.000
SEISMIC PRESSURE LOWER LEVEL  0.000            0.000
SEISMIC PRESSURE UPPER LEVEL  0.000            0.000

```

=====
=====end of step 1

```

STEP NO.      2 no. of subincrements      1
                LEFT WALL      RIGHT WALL
Y              0.000            -0.9990E+30
Z-PC           -4.700            0.000
Z-EXCAVATION   -4.700            0.000
Z-WATER_TABLE  -9.500            -0.9990E+30
Q_AT_THE_FREE_FIELD_LEVEL  0.000            0.000
ZQ             0.000            0.000
DZW_OF_THE_WATER_TABLE  0.000            0.000
QS_ON_THE_EXCAVATION_SIDE  0.000            0.000
ZQS           0.000            -0.9990E+30
ZCUT           0.000            0.000
BALANCE LEVEL FOR PORE PRESSURES  -18.20           -18.20
WATER_BEHAVIOUR_FLAG (LINING OPT)  0.000            0.000
PORE_UPDATE_FLAG  0.000            0.000
PORE_TAB._FLAG (gt.0= use tabs)  0.000            0.000
lateral thrusts reduction elevatio  0.000            0.000
Downhill reduction factor for effe  0.000            0.000
Downhill reduction factor for pore  0.000            0.000
Uphill reduction factor for effect  0.000            0.000
Uphill reduction factor for pore p  0.000            0.000
SEISMIC HORIZONTAL ACCEL. Kh [g]  0.000            0.000
UPHILL VERTICAL ACCEL. Kv_uh [g]  0.000            0.000
DOWNHILL VERTICAL ACCEL.Kv_dh [g]  0.000            0.000
UPHILL BETA ANGLE (SLOPE) [deg]  0.000            0.000
UPHILL DELTA/PHI RATIO  0.000            0.000
DOWNHILL BETA ANGLE (SLOPE) [deg]  0.000            0.000
DOWNHILL DELTA/PHI RATIO  0.000            0.000
DYN.WATER BEHAVIOUR  0.000            0.000
Excess pore pressure RATIO Ru  0.000            0.000
SEISMIC PRESSURE LOWER VALUE  0.000            0.000
SEISMIC PRESSURE UPPER VALUE  0.000            0.000
SEISMIC PRESSURE LOWER LEVEL  0.000            0.000
SEISMIC PRESSURE UPPER LEVEL  0.000            0.000

```

=====
=====end of step 2

```

STEP NO.      3 no. of subincrements      1
                LEFT WALL      RIGHT WALL
Y              0.000            -0.9990E+30

```

Z-PC	0.000	0.000
Z-EXCAVATION	-4.700	0.000
Z-WATER_TABLE	-9.500	-0.9990E+30
Q_AT_THE_FREE_FIELD_LEVEL	57.00	0.000
ZQ	0.000	0.000
DZW_OF_THE_WATER_TABLE	0.000	0.000
QS_ON_THE_EXCAVATION_SIDE	0.000	0.000
ZQS	-4.700	-0.9990E+30
ZCUT	0.000	0.000
BALANCE LEVEL FOR PORE PRESSURES	-18.20	-18.20
WATER_BEHAVIOUR_FLAG (LINING OPT)	0.000	0.000
PORE_UPDATE_FLAG	0.000	0.000
PORE_TAB._FLAG (gt.0= use tabs)	0.000	0.000
lateral thrusts reduction elevatio	0.000	0.000
Downhill reduction factor for effe	0.000	0.000
Downhill reduction factor for pore	0.000	0.000
Uphill reduction factor for effect	0.000	0.000
Uphill reduction factor for pore p	0.000	0.000
SEISMIC HORIZONTAL ACCEL. Kh [g]	0.000	0.000
UPHILL VERTICAL ACCEL. Kv_uh [g]	0.000	0.000
DOWNHILL VERTICAL ACCEL.Kv_dh [g]	0.000	0.000
UPHILL BETA ANGLE (SLOPE) [deg]	0.000	0.000
UPHILL DELTA/PHI RATIO	0.000	0.000
DOWNHILL BETA ANGLE (SLOPE) [deg]	0.000	0.000
DOWNHILL DELTA/PHI RATIO	0.000	0.000
DYN.WATER BEHAVIOUR	0.000	0.000
Excess pore pressure RATIO Ru	0.000	0.000
SEISMIC PRESSURE LOWER VALUE	0.000	0.000
SEISMIC PRESSURE UPPER VALUE	0.000	0.000
SEISMIC PRESSURE LOWER LEVEL	0.000	0.000
SEISMIC PRESSURE UPPER LEVEL	0.000	0.000

=====
=====end of step 3

STEP NO.	4 no. of subincrements	1	
		LEFT WALL	RIGHT WALL
Y		0.000	-0.9990E+30
Z-PC		0.000	0.000
Z-EXCAVATION		-4.700	0.000
Z-WATER_TABLE		-9.500	-0.9990E+30
Q_AT_THE_FREE_FIELD_LEVEL		57.00	0.000
ZQ		0.000	0.000
DZW_OF_THE_WATER_TABLE		0.000	0.000
QS_ON_THE_EXCAVATION_SIDE		0.000	0.000
ZQS		0.000	-0.9990E+30
ZCUT		0.000	0.000
BALANCE LEVEL FOR PORE PRESSURES		-18.20	-18.20
WATER_BEHAVIOUR_FLAG (LINING OPT)		0.000	0.000
PORE_UPDATE_FLAG		0.000	0.000
PORE_TAB._FLAG (gt.0= use tabs)		0.000	0.000
lateral thrusts reduction elevatio		0.000	0.000
Downhill reduction factor for effe		0.000	0.000
Downhill reduction factor for pore		0.000	0.000
Uphill reduction factor for effect		0.000	0.000
Uphill reduction factor for pore p		0.000	0.000
SEISMIC HORIZONTAL ACCEL. Kh [g]		-0.9590E-01	0.000
		MANUAL	
UPHILL VERTICAL ACCEL. Kv_uh [g]		0.4795E-01	0.000
DOWNHILL VERTICAL ACCEL.Kv_dh [g]		-0.4795E-01	0.000
UPHILL BETA ANGLE (SLOPE) [deg]		0.000	0.000
UPHILL DELTA/PHI RATIO		0.5000	0.000
DOWNHILL BETA ANGLE (SLOPE) [deg]		0.000	0.000
DOWNHILL DELTA/PHI RATIO		0.5000	0.000
DYN.WATER BEHAVIOUR		0.000	0.000
Excess pore pressure RATIO Ru		0.000	0.000
SEISMIC PRESSURE LOWER VALUE		0.000	0.000
SEISMIC PRESSURE UPPER VALUE		0.000	0.000
SEISMIC PRESSURE LOWER LEVEL		0.000	0.000
SEISMIC PRESSURE UPPER LEVEL		0.000	0.000

=====
=====end of step 4

LEFT-HAND WALL

LOWER LEVEL	-18.20000
UPPER LEVEL	0.00000

RIGHT-HAND WALL

LOWER LEVEL	-18.20000
UPPER LEVEL	0.00000

```

+-----+
|          PARATIEPLUS(TM)  NLS ENGINE RELEASE 2022.0.0  FULL VERSION  *Build date:Sep 13, 2021*          |
|                                                                                                                                           |
|                                                                                               ParatiePlus                               |
|                                                                                               Exe Time :28 January 2022   11:11:20           |
+-----+

```

I N I T I A L S T R E S S T A B L E S

S E C T I O N

NUMBER OF DEFINED TABLES 17

INPUT DATA FOR INITIAL STRESS SET NO. 1
PERTAINING SOIL ELEMENTS AT Y-COORD 0.0000

ACTIVATION TIME 3.0000
END TIME (TIME BEYOND WHICH IT IS REMOVED) 4.0000

TYPE BOUSSINESQ

HORIZONTAL DISTANCE (DY) 6.7000000000000000
FOUNDATION WIDTH (B) 0.3782400000000000
ZETA-F..... 0.0000000000000000E+000
Q-F 58.82400000000000
BETA 45.00000000000000
BEHAVIOUR (0=FREE, 1=REFLECTING) 0.0000000000000000E+000

INPUT DATA FOR INITIAL STRESS SET NO. 2
PERTAINING SOIL ELEMENTS AT Y-COORD 0.0000

ACTIVATION TIME 3.0000
END TIME (TIME BEYOND WHICH IT IS REMOVED) 4.0000

TYPE BOUSSINESQ

HORIZONTAL DISTANCE (DY) 7.0782000000000000
FOUNDATION WIDTH (B) 0.3782400000000000
ZETA-F..... 0.0000000000000000E+000
Q-F 56.47100000000000
BETA 45.00000000000000
BEHAVIOUR (0=FREE, 1=REFLECTING) 0.0000000000000000E+000

INPUT DATA FOR INITIAL STRESS SET NO. 3
PERTAINING SOIL ELEMENTS AT Y-COORD 0.0000

ACTIVATION TIME 3.0000
END TIME (TIME BEYOND WHICH IT IS REMOVED) 4.0000

TYPE BOUSSINESQ

HORIZONTAL DISTANCE (DY) 7.4565000000000000
FOUNDATION WIDTH (B) 0.3782400000000000
ZETA-F..... 0.0000000000000000E+000
Q-F 54.11800000000000
BETA 45.00000000000000
BEHAVIOUR (0=FREE, 1=REFLECTING) 0.0000000000000000E+000

INPUT DATA FOR INITIAL STRESS SET NO. 4
PERTAINING SOIL ELEMENTS AT Y-COORD 0.0000

ACTIVATION TIME 3.0000
END TIME (TIME BEYOND WHICH IT IS REMOVED) 4.0000

TYPE BOUSSINESQ

HORIZONTAL DISTANCE (DY) 7.8347000000000000
FOUNDATION WIDTH (B) 0.3782400000000000
ZETA-F..... 0.0000000000000000E+000
Q-F 51.76500000000000
BETA 45.00000000000000
BEHAVIOUR (0=FREE, 1=REFLECTING) 0.0000000000000000E+000

INPUT DATA FOR INITIAL STRESS SET NO. 5
PERTAINING SOIL ELEMENTS AT Y-COORD 0.0000

ACTIVATION TIME 3.0000
END TIME (TIME BEYOND WHICH IT IS REMOVED) 4.0000

TYPE BOUSSINESQ

HORIZONTAL DISTANCE (DY) 8.2129000000000000
FOUNDATION WIDTH (B) 0.3782400000000000
ZETA-F..... 0.0000000000000000E+000
Q-F 49.41200000000000

BETA 45.00000000000000
BEHAVIOUR (0=FREE, 1=REFLECTING) 0.0000000000000000E+000

INPUT DATA FOR INITIAL STRESS SET NO. 6
PERTAINING SOIL ELEMENTS AT Y-COORD 0.0000

ACTIVATION TIME 3.0000
END TIME (TIME BEYOND WHICH IT IS REMOVED) 4.0000

TYPE BOUSSINESQ

HORIZONTAL DISTANCE (DY) 8.591200000000000
FOUNDATION WIDTH (B) 0.3782400000000000
ZETA-F..... 0.0000000000000000E+000
Q-F 47.059000000000000
BETA 45.000000000000000
BEHAVIOUR (0=FREE, 1=REFLECTING) 0.0000000000000000E+000

INPUT DATA FOR INITIAL STRESS SET NO. 7
PERTAINING SOIL ELEMENTS AT Y-COORD 0.0000

ACTIVATION TIME 3.0000
END TIME (TIME BEYOND WHICH IT IS REMOVED) 4.0000

TYPE BOUSSINESQ

HORIZONTAL DISTANCE (DY) 8.969400000000000
FOUNDATION WIDTH (B) 0.3782400000000000
ZETA-F..... 0.0000000000000000E+000
Q-F 44.706000000000000
BETA 45.000000000000000
BEHAVIOUR (0=FREE, 1=REFLECTING) 0.0000000000000000E+000

INPUT DATA FOR INITIAL STRESS SET NO. 8
PERTAINING SOIL ELEMENTS AT Y-COORD 0.0000

ACTIVATION TIME 3.0000
END TIME (TIME BEYOND WHICH IT IS REMOVED) 4.0000

TYPE BOUSSINESQ

HORIZONTAL DISTANCE (DY) 9.347600000000000
FOUNDATION WIDTH (B) 0.3782400000000000
ZETA-F..... 0.0000000000000000E+000
Q-F 42.353000000000000
BETA 45.000000000000000
BEHAVIOUR (0=FREE, 1=REFLECTING) 0.0000000000000000E+000

INPUT DATA FOR INITIAL STRESS SET NO. 9
PERTAINING SOIL ELEMENTS AT Y-COORD 0.0000

ACTIVATION TIME 3.0000
END TIME (TIME BEYOND WHICH IT IS REMOVED) 4.0000

TYPE BOUSSINESQ

HORIZONTAL DISTANCE (DY) 9.725900000000000
FOUNDATION WIDTH (B) 0.3782400000000000
ZETA-F..... 0.0000000000000000E+000
Q-F 40.000000000000000
BETA 45.000000000000000
BEHAVIOUR (0=FREE, 1=REFLECTING) 0.0000000000000000E+000

INPUT DATA FOR INITIAL STRESS SET NO. 10
PERTAINING SOIL ELEMENTS AT Y-COORD 0.0000

ACTIVATION TIME 3.0000
END TIME (TIME BEYOND WHICH IT IS REMOVED) 4.0000

TYPE BOUSSINESQ

HORIZONTAL DISTANCE (DY) 10.104000000000000
FOUNDATION WIDTH (B) 0.3782400000000000
ZETA-F..... 0.0000000000000000E+000
Q-F 37.647000000000000
BETA 45.000000000000000
BEHAVIOUR (0=FREE, 1=REFLECTING) 0.0000000000000000E+000

INPUT DATA FOR INITIAL STRESS SET NO. 11
PERTAINING SOIL ELEMENTS AT Y-COORD 0.0000

ACTIVATION TIME 3.0000
END TIME (TIME BEYOND WHICH IT IS REMOVED) 4.0000

TYPE BOUSSINESQ

HORIZONTAL DISTANCE (DY) 10.4820000000000
FOUNDATION WIDTH (B) 0.378240000000000
ZETA-F..... 0.000000000000000E+000
Q-F 35.2940000000000
BETA 45.0000000000000
BEHAVIOUR (0=FREE, 1=REFLECTING) 0.000000000000000E+000

INPUT DATA FOR INITIAL STRESS SET NO. 12
PERTAINING SOIL ELEMENTS AT Y-COORD 0.0000

ACTIVATION TIME 3.0000
END TIME (TIME BEYOND WHICH IT IS REMOVED) 4.0000

TYPE BOUSSINESQ

HORIZONTAL DISTANCE (DY) 10.8610000000000
FOUNDATION WIDTH (B) 0.378240000000000
ZETA-F..... 0.000000000000000E+000
Q-F 32.9410000000000
BETA 45.0000000000000
BEHAVIOUR (0=FREE, 1=REFLECTING) 0.000000000000000E+000

INPUT DATA FOR INITIAL STRESS SET NO. 13
PERTAINING SOIL ELEMENTS AT Y-COORD 0.0000

ACTIVATION TIME 3.0000
END TIME (TIME BEYOND WHICH IT IS REMOVED) 4.0000

TYPE BOUSSINESQ

HORIZONTAL DISTANCE (DY) 11.2390000000000
FOUNDATION WIDTH (B) 0.378240000000000
ZETA-F..... 0.000000000000000E+000
Q-F 30.5880000000000
BETA 45.0000000000000
BEHAVIOUR (0=FREE, 1=REFLECTING) 0.000000000000000E+000

INPUT DATA FOR INITIAL STRESS SET NO. 14
PERTAINING SOIL ELEMENTS AT Y-COORD 0.0000

ACTIVATION TIME 3.0000
END TIME (TIME BEYOND WHICH IT IS REMOVED) 4.0000

TYPE BOUSSINESQ

HORIZONTAL DISTANCE (DY) 11.6170000000000
FOUNDATION WIDTH (B) 0.378240000000000
ZETA-F..... 0.000000000000000E+000
Q-F 28.2350000000000
BETA 45.0000000000000
BEHAVIOUR (0=FREE, 1=REFLECTING) 0.000000000000000E+000

INPUT DATA FOR INITIAL STRESS SET NO. 15
PERTAINING SOIL ELEMENTS AT Y-COORD 0.0000

ACTIVATION TIME 3.0000
END TIME (TIME BEYOND WHICH IT IS REMOVED) 4.0000

TYPE BOUSSINESQ

HORIZONTAL DISTANCE (DY) 11.9950000000000
FOUNDATION WIDTH (B) 0.378240000000000
ZETA-F..... 0.000000000000000E+000
Q-F 25.8820000000000
BETA 45.0000000000000
BEHAVIOUR (0=FREE, 1=REFLECTING) 0.000000000000000E+000

INPUT DATA FOR INITIAL STRESS SET NO. 16
PERTAINING SOIL ELEMENTS AT Y-COORD 0.0000

ACTIVATION TIME 3.0000
END TIME (TIME BEYOND WHICH IT IS REMOVED) 4.0000

TYPE BOUSSINESQ

HORIZONTAL DISTANCE (DY) 12.3740000000000
FOUNDATION WIDTH (B) 0.378240000000000
ZETA-F..... 0.000000000000000E+000
Q-F 23.5290000000000
BETA 45.0000000000000
BEHAVIOUR (0=FREE, 1=REFLECTING) 0.000000000000000E+000

INPUT DATA FOR INITIAL STRESS SET NO. 17
PERTAINING SOIL ELEMENTS AT Y-COORD 0.0000

ACTIVATION TIME 3.0000

END TIME (TIME BEYOND WHICH IT IS REMOVED) 4.0000

TYPE BOUSSINESQ

HORIZONTAL DISTANCE (DY) 12.7520000000000
FOUNDATION WIDTH (B) 0.378240000000000
ZETA-F..... 0.000000000000000E+000
Q-F 21.1760000000000
BETA 45.0000000000000
BEHAVIOUR (0=FREE, 1=REFLECTING) 0.000000000000000E+000

ELEMENT GROUPS BACKUP AREA CAN STAY IN CORE AT
POSITION 7228

NO. OF D.P.W FOR THIS AREA 14242
MAX NO. OF D.P.W. AVAILABLE 81920
** MAX NO OF ITERATIONS SET TO 40

ITER 0 RNORM = 0.000 RMNORM= 0.000
RINORM=0.5558E+05 RIMNOR= 0.000
RENORM= 0.000 REMNOR= 0.000 RATIO = 0.000 TOLER =0.1000E-03 CONVERGED !
RFMAX = 36.48 RMMAX = 0.000
RTSMAL=0.1000E-03 RMSMAL= 0.000
RDT =0.5558E+05 RDR = 0.000
RATIOT= 0.000 RATIO= 0.000
MAX UN= 0.000 IEQ= 186 NODE 93 DOF 2 X-ROT. F
MIN UN= 0.000 IEQ= 1 NODE 1 DOF 1 Y-DISPL.F
NO. OF CONTACT CONSTRAINT VIOLATIONS 0

ITER 1 RNORM = 0.000 RMNORM= 0.000
RINORM=0.5558E+05 RIMNOR= 0.000
RENORM= 0.000 REMNOR= 0.000 RATIO = 0.000 TOLER =0.1000E-03 CONVERGED !
RFMAX = 36.48 RMMAX = 0.000
RTSMAL=0.1000E-03 RMSMAL= 0.000
RDT =0.5558E+05 RDR = 0.000
RATIOT= 0.000 RATIO= 0.000
MAX UN= 0.000 IEQ= 186 NODE 93 DOF 2 X-ROT. F
MIN UN= 0.000 IEQ= 1 NODE 1 DOF 1 Y-DISPL.F
NO. OF CONTACT CONSTRAINT VIOLATIONS 0

ITER 2 RNORM = 0.000 RMNORM= 0.000
RINORM=0.5558E+05 RIMNOR= 0.000
RENORM= 0.000 REMNOR= 0.000 RATIO = 0.000 TOLER =0.1000E-03 CONVERGED !
RFMAX = 36.48 RMMAX = 0.000
RTSMAL=0.1000E-03 RMSMAL= 0.000
RDT =0.5558E+05 RDR = 0.000
RATIOT= 0.000 RATIO= 0.000
MAX UN= 0.000 IEQ= 186 NODE 93 DOF 2 X-ROT. F
MIN UN= 0.000 IEQ= 1 NODE 1 DOF 1 Y-DISPL.F
NO. OF CONTACT CONSTRAINT VIOLATIONS 0

```
+-----+
|          PARATIEPLUS(TM)  NLS ENGINE RELEASE  2022.0.0  FULL VERSION  *Build date:Sep 13, 2021*  |
|                                                                                               |
|                                                                                               |
|                               ParatiePlus                                                    |
|                               Exe Time :28 January 2022  11:11:20                            |
+-----+
```

New Project
SOLUTION REACHED USING 2 ITERATIONS ON 40

P R I N T O U T F O R T I M E S T E P 1 (AT TIME 1.000) SUBINCREMENT 00001/00001

PRINT OUT OF ACTIVE COMPONENTS (FIXED NODES ARE NOT PRINTED OUT)

Y-DISPL.F	X-ROT. F
02	04

ALL NODAL POINTS HAVE ZERO DISPLACEMENT COMPONENTS

```

+-----+
|                PARATIEPLUS(TM)  NLS ENGINE RELEASE 2022.0.0  FULL VERSION  *Build date:Sep 13, 2021*                |
|                                                                                                                                            |
|                                                                                               ParatiePlus                                                                                               |
|                                                                                               Exe Time :28 January 2022   11:11:20                                                                                               |
+-----+

```

New Project

S T R E S S R E S U L T S F O R G R O U P N O . 1

0_L :
ELEMENT TYPE 5 NO.OF ELEMENTS. IN THIS GROUP 93
C U R R E N T T I M E I S 1.0000 SUBINCREMENT 00001/00001

HARDENING 2D SOIL ELEMENT

***** TOTAL STRESS FORMULATION *****

EL * TOR QSL	FORCE UFACTOR ZD	DISPL-Y Peq ZPL	VERTICAL-P Su_a Kz	HORIZON.-P Su_p	MAX-V-P Coh_e_a	MAX-H-P Coh_e_p	STATE LAYER	STIFFNESS	Z-LEVEL	PORE ZFO	E FAC- QS
1	0.000	--	--	--	--	--	REMOVED	--	0.000	0.000	
1.000	1.000	0.000	0.000	0.000	0.000	0.000	not available				
2	0.000	--	--	--	--	--	REMOVED	--	-0.2000	0.000	
1.000	1.000	0.000	0.000	0.000	0.000	0.000	not available				
3	0.000	--	--	--	--	--	REMOVED	--	-0.4000	0.000	
1.000	1.000	0.000	0.000	0.000	0.000	0.000	not available				
4	0.000	--	--	--	--	--	REMOVED	--	-0.6000	0.000	
1.000	1.000	0.000	0.000	0.000	0.000	0.000	not available				
5	0.000	--	--	--	--	--	REMOVED	--	-0.8000	0.000	
1.000	1.000	0.000	0.000	0.000	0.000	0.000	not available				
6	0.000	--	--	--	--	--	REMOVED	--	-1.000	0.000	
1.000	1.000	0.000	0.000	0.000	0.000	0.000	not available				
7	0.000	--	--	--	--	--	REMOVED	--	-1.200	0.000	
1.000	1.000	0.000	0.000	0.000	0.000	0.000	not available				
8	0.000	--	--	--	--	--	REMOVED	--	-1.400	0.000	
1.000	1.000	0.000	0.000	0.000	0.000	0.000	not available				
9	0.000	--	--	--	--	--	REMOVED	--	-1.600	0.000	
1.000	1.000	0.000	0.000	0.000	0.000	0.000	not available				
10	0.000	--	--	--	--	--	REMOVED	--	-1.800	0.000	
1.000	1.000	0.000	0.000	0.000	0.000	0.000	not available				
11	0.000	--	--	--	--	--	REMOVED	--	-2.000	0.000	
1.000	1.000	0.000	0.000	0.000	0.000	0.000	not available				
12	0.000	--	--	--	--	--	REMOVED	--	-2.200	0.000	
1.000	1.000	0.000	0.000	0.000	0.000	0.000	not available				
13	0.000	--	--	--	--	--	REMOVED	--	-2.400	0.000	
1.000	1.000	0.000	0.000	0.000	0.000	0.000	not available				
14	0.000	--	--	--	--	--	REMOVED	--	-2.600	0.000	
1.000	1.000	0.000	0.000	0.000	0.000	0.000	not available				
15	0.000	--	--	--	--	--	REMOVED	--	-2.800	0.000	
1.000	1.000	0.000	0.000	0.000	0.000	0.000	not available				
16	0.000	--	--	--	--	--	REMOVED	--	-3.000	0.000	
1.000	1.000	0.000	0.000	0.000	0.000	0.000	not available				
17	0.000	--	--	--	--	--	REMOVED	--	-3.200	0.000	
1.000	1.000	0.000	0.000	0.000	0.000	0.000	not available				
18	0.000	--	--	--	--	--	REMOVED	--	-3.400	0.000	
1.000	1.000	0.000	0.000	0.000	0.000	0.000	not available				
19	0.000	--	--	--	--	--	REMOVED	--	-3.600	0.000	
1.000	1.000	0.000	0.000	0.000	0.000	0.000	not available				
20	0.000	--	--	--	--	--	REMOVED	--	-3.800	0.000	
1.000	1.000	0.000	0.000	0.000	0.000	0.000	not available				
21	0.000	--	--	--	--	--	REMOVED	--	-4.000	0.000	
1.000	1.000	0.000	0.000	0.000	0.000	0.000	not available				
22	0.000	--	--	--	--	--	REMOVED	--	-4.200	0.000	
1.000	1.000	0.000	0.000	0.000	0.000	0.000	not available				
23	0.000	--	--	--	--	--	REMOVED	--	-4.400	0.000	
1.000	1.000	0.000	0.000	0.000	0.000	0.000	not available				
24	0.000	--	--	--	--	--	REMOVED	--	-4.600	0.000	
1.000	1.000	0.000	0.000	0.000	0.000	0.000	not available				
25 D	0.000	0.000	0.000	0.000	0.000	0.000	V-C 2.0027E+04		-4.700	0.000	
1.000	1.000	0.000	0.000	0.000	0.000	0.000	Ala_161_6590_L_0			0.0000	
0.0000	0.0000	0.0000	0.0000	0.0000	0.0000	0.0000					
26 D	0.4384	0.000	3.900	2.192	3.900	2.192	V-C 2.0027E+04		-4.900	0.000	
1.000	1.000	2.192	0.000	0.000	0.000	0.000	Ala_161_6590_L_0			0.0000	
0.0000	0.0000	0.0000	0.0000	0.0000	0.0000	0.0000					
27 D	0.8767	0.000	7.800	4.384	7.800	4.384	V-C 2.0027E+04		-5.100	0.000	
1.000	1.000	4.384	0.000	0.000	0.000	0.000	Ala_161_6590_L_0			0.0000	
0.0000	0.0000	0.0000	0.0000	0.0000	0.0000	0.0000					
28 D	1.315	0.000	11.70	6.575	11.70	6.575	V-C 2.0027E+04		-5.300	0.000	
1.000	1.000	6.575	0.000	0.000	0.000	0.000	Ala_161_6590_L_0			0.0000	
0.0000	0.0000	0.0000	0.0000	0.0000	0.0000	0.0000					
29 D	1.753	0.000	15.60	8.767	15.60	8.767	V-C 2.0027E+04		-5.500	0.000	
1.000	1.000	8.767	0.000	0.000	0.000	0.000	Ala_161_6590_L_0			0.0000	
0.0000	0.0000	0.0000	0.0000	0.0000	0.0000	0.0000					
30 D	2.192	0.000	19.50	10.96	19.50	10.96	V-C 2.0027E+04		-5.700	0.000	

1.000	1.000	10.96	0.000	0.000	0.000	0.000	Ala_161_6590_L_0	0.0000	
0.0000	0.0000	0.0000	0.0000	0.0000	0.0000	0.0000			
31 D	2.630	0.000	23.40	13.15	23.40	13.15	V-C 2.0027E+04	-5.900	0.000
1.000	1.000	13.15	0.000	0.000	0.000	0.000	Ala_161_6590_L_0	0.0000	
0.0000	0.0000	0.0000	0.0000	0.0000	0.0000	0.0000			
32 D	3.069	0.000	27.30	15.34	27.30	15.34	V-C 2.0027E+04	-6.100	0.000
1.000	1.000	15.34	0.000	0.000	0.000	0.000	Ala_161_6590_L_0	0.0000	
0.0000	0.0000	0.0000	0.0000	0.0000	0.0000	0.0000			
33 D	3.507	0.000	31.20	17.53	31.20	17.53	V-C 2.0027E+04	-6.300	0.000
1.000	1.000	17.53	0.000	0.000	0.000	0.000	Ala_161_6590_L_0	0.0000	
0.0000	0.0000	0.0000	0.0000	0.0000	0.0000	0.0000			
34 D	3.945	0.000	35.10	19.73	35.10	19.73	V-C 2.0027E+04	-6.500	0.000
1.000	1.000	19.73	0.000	0.000	0.000	0.000	Ala_161_6590_L_0	0.0000	
0.0000	0.0000	0.0000	0.0000	0.0000	0.0000	0.0000			
35 D	4.384	0.000	39.00	21.92	39.00	21.92	V-C 2.0027E+04	-6.700	0.000
1.000	1.000	21.92	0.000	0.000	0.000	0.000	Ala_161_6590_L_0	0.0000	
0.0000	0.0000	0.0000	0.0000	0.0000	0.0000	0.0000			
36 D	4.822	0.000	42.90	24.11	42.90	24.11	V-C 2.0027E+04	-6.900	0.000
1.000	1.000	24.11	0.000	0.000	0.000	0.000	Ala_161_6590_L_0	0.0000	
0.0000	0.0000	0.0000	0.0000	0.0000	0.0000	0.0000			
37 D	5.260	0.000	46.80	26.30	46.80	26.30	V-C 2.0027E+04	-7.100	0.000
1.000	1.000	26.30	0.000	0.000	0.000	0.000	Ala_161_6590_L_0	0.0000	
0.0000	0.0000	0.0000	0.0000	0.0000	0.0000	0.0000			
38 D	5.699	0.000	50.70	28.49	50.70	28.49	V-C 2.0027E+04	-7.300	0.000
1.000	1.000	28.49	0.000	0.000	0.000	0.000	Ala_161_6590_L_0	0.0000	
0.0000	0.0000	0.0000	0.0000	0.0000	0.0000	0.0000			
39 D	6.137	0.000	54.60	30.69	54.60	30.69	V-C 2.0027E+04	-7.500	0.000
1.000	1.000	30.69	0.000	0.000	0.000	0.000	Ala_161_6590_L_0	0.0000	
0.0000	0.0000	0.0000	0.0000	0.0000	0.0000	0.0000			
40 D	6.575	0.000	58.50	32.88	58.50	32.88	V-C 2.0027E+04	-7.700	0.000
1.000	1.000	32.88	0.000	0.000	0.000	0.000	Ala_161_6590_L_0	0.0000	
0.0000	0.0000	0.0000	0.0000	0.0000	0.0000	0.0000			
41 D	7.014	0.000	62.40	35.07	62.40	35.07	V-C 2.0027E+04	-7.900	0.000
1.000	1.000	35.07	0.000	0.000	0.000	0.000	Ala_161_6590_L_0	0.0000	
0.0000	0.0000	0.0000	0.0000	0.0000	0.0000	0.0000			
42 D	7.452	0.000	66.30	37.26	66.30	37.26	V-C 2.0027E+04	-8.100	0.000
1.000	1.000	37.26	0.000	0.000	0.000	0.000	Ala_161_6590_L_0	0.0000	
0.0000	0.0000	0.0000	0.0000	0.0000	0.0000	0.0000			
43 D	7.890	0.000	70.20	39.45	70.20	39.45	V-C 2.0027E+04	-8.300	0.000
1.000	1.000	39.45	0.000	0.000	0.000	0.000	Ala_161_6590_L_0	0.0000	
0.0000	0.0000	0.0000	0.0000	0.0000	0.0000	0.0000			
44 D	8.329	0.000	74.10	41.64	74.10	41.64	V-C 2.0027E+04	-8.500	0.000
1.000	1.000	41.64	0.000	0.000	0.000	0.000	Ala_161_6590_L_0	0.0000	
0.0000	0.0000	0.0000	0.0000	0.0000	0.0000	0.0000			
45 D	8.767	0.000	78.00	43.84	78.00	43.84	V-C 2.0027E+04	-8.700	0.000
1.000	1.000	43.84	0.000	0.000	0.000	0.000	Ala_161_6590_L_0	0.0000	
0.0000	0.0000	0.0000	0.0000	0.0000	0.0000	0.0000			
46 D	9.206	0.000	81.90	46.03	81.90	46.03	V-C 2.0027E+04	-8.900	0.000
1.000	1.000	46.03	0.000	0.000	0.000	0.000	Ala_161_6590_L_0	0.0000	
0.0000	0.0000	0.0000	0.0000	0.0000	0.0000	0.0000			
47 D	9.644	0.000	85.80	48.22	85.80	48.22	V-C 2.0027E+04	-9.100	0.000
1.000	1.000	48.22	0.000	0.000	0.000	0.000	Ala_161_6590_L_0	0.0000	
0.0000	0.0000	0.0000	0.0000	0.0000	0.0000	0.0000			
48 D	10.08	0.000	89.70	50.41	89.70	50.41	V-C 2.0027E+04	-9.300	0.000
1.000	1.000	50.41	0.000	0.000	0.000	0.000	Ala_161_6590_L_0	0.0000	
0.0000	0.0000	0.0000	0.0000	0.0000	0.0000	0.0000			
49 D	10.52	0.000	93.60	52.60	93.60	52.60	V-C 2.0027E+04	-9.500	0.000
1.000	1.000	52.60	0.000	0.000	0.000	0.000	Ala_161_6590_L_0	0.0000	
0.0000	0.0000	0.0000	0.0000	0.0000	0.0000	0.0000			
50 D	11.13	0.000	95.50	53.67	95.50	53.67	V-C 2.0027E+04	-9.700	2.000
1.000	1.000	55.67	0.000	0.000	0.000	0.000	Ala_161_6590_L_0	0.0000	
0.0000	0.0000	0.0000	0.0000	0.0000	0.0000	0.0000			
51 D	11.75	0.000	97.40	54.74	97.40	54.74	V-C 2.0027E+04	-9.900	4.000
1.000	1.000	58.74	0.000	0.000	0.000	0.000	Ala_161_6590_L_0	0.0000	
0.0000	0.0000	0.0000	0.0000	0.0000	0.0000	0.0000			
52 D	12.36	0.000	99.30	55.81	99.30	55.81	V-C 2.0027E+04	-10.10	6.000
1.000	1.000	61.81	0.000	0.000	0.000	0.000	Ala_161_6590_L_0	0.0000	
0.0000	0.0000	0.0000	0.0000	0.0000	0.0000	0.0000			
53 D	12.97	0.000	101.2	56.87	101.2	56.87	V-C 2.0027E+04	-10.30	8.000
1.000	1.000	64.87	0.000	0.000	0.000	0.000	Ala_161_6590_L_0	0.0000	
0.0000	0.0000	0.0000	0.0000	0.0000	0.0000	0.0000			
54 D	13.59	0.000	103.1	57.94	103.1	57.94	V-C 2.0027E+04	-10.50	10.000
1.000	1.000	67.94	0.000	0.000	0.000	0.000	Ala_161_6590_L_0	0.0000	
0.0000	0.0000	0.0000	0.0000	0.0000	0.0000	0.0000			
55 D	14.20	0.000	105.0	59.01	105.0	59.01	V-C 2.0027E+04	-10.70	12.00
1.000	1.000	71.01	0.000	0.000	0.000	0.000	Ala_161_6590_L_0	0.0000	
0.0000	0.0000	0.0000	0.0000	0.0000	0.0000	0.0000			
56 D	14.82	0.000	106.9	60.08	106.9	60.08	V-C 2.0027E+04	-10.90	14.00
1.000	1.000	74.08	0.000	0.000	0.000	0.000	Ala_161_6590_L_0	0.0000	
0.0000	0.0000	0.0000	0.0000	0.0000	0.0000	0.0000			
57 D	15.43	0.000	108.8	61.15	108.8	61.15	V-C 2.0027E+04	-11.10	16.00
1.000	1.000	77.15	0.000	0.000	0.000	0.000	Ala_161_6590_L_0	0.0000	
0.0000	0.0000	0.0000	0.0000	0.0000	0.0000	0.0000			
58 D	16.04	0.000	110.7	62.21	110.7	62.21	V-C 2.0027E+04	-11.30	18.00
1.000	1.000	80.21	0.000	0.000	0.000	0.000	Ala_161_6590_L_0	0.0000	
0.0000	0.0000	0.0000	0.0000	0.0000	0.0000	0.0000			
59 D	16.66	0.000	112.6	63.28	112.6	63.28	V-C 2.0027E+04	-11.50	20.00
1.000	1.000	83.28	0.000	0.000	0.000	0.000	Ala_161_6590_L_0	0.0000	
0.0000	0.0000	0.0000	0.0000	0.0000	0.0000	0.0000			
60 D	17.27	0.000	114.5	64.35	114.5	64.35	V-C 2.0027E+04	-11.70	22.00
1.000	1.000	86.35	0.000	0.000	0.000	0.000	Ala_161_6590_L_0	0.0000	
0.0000	0.0000	0.0000	0.0000	0.0000	0.0000	0.0000			

61 D	17.88	0.000	116.4	65.42	116.4	65.42	V-C 2.0027E+04	-11.90	24.00
1.000	1.000	89.42	0.000	0.000	0.000	0.000	Ala_161_6590_L_0		0.0000
0.0000	0.0000	0.0000	0.0000	0.0000	0.0000	0.0000			
62 D	18.50	0.000	118.3	66.48	118.3	66.48	V-C 2.0027E+04	-12.10	26.00
1.000	1.000	92.48	0.000	0.000	0.000	0.000	Ala_161_6590_L_0		0.0000
0.0000	0.0000	0.0000	0.0000	0.0000	0.0000	0.0000			
63 D	19.11	0.000	120.2	67.55	120.2	67.55	V-C 2.0027E+04	-12.30	28.00
1.000	1.000	95.55	0.000	0.000	0.000	0.000	Ala_161_6590_L_0		0.0000
0.0000	0.0000	0.0000	0.0000	0.0000	0.0000	0.0000			
64 D	19.72	0.000	122.1	68.62	122.1	68.62	V-C 2.0027E+04	-12.50	30.00
1.000	1.000	98.62	0.000	0.000	0.000	0.000	Ala_161_6590_L_0		0.0000
0.0000	0.0000	0.0000	0.0000	0.0000	0.0000	0.0000			
65 D	20.34	0.000	124.0	69.69	124.0	69.69	V-C 2.0027E+04	-12.70	32.00
1.000	1.000	101.7	0.000	0.000	0.000	0.000	Ala_161_6590_L_0		0.0000
0.0000	0.0000	0.0000	0.0000	0.0000	0.0000	0.0000			
66 D	20.95	0.000	125.9	70.76	125.9	70.76	V-C 2.0027E+04	-12.90	34.00
1.000	1.000	104.8	0.000	0.000	0.000	0.000	Ala_161_6590_L_0		0.0000
0.0000	0.0000	0.0000	0.0000	0.0000	0.0000	0.0000			
67 D	21.56	0.000	127.8	71.82	127.8	71.82	V-C 2.0027E+04	-13.10	36.00
1.000	1.000	107.8	0.000	0.000	0.000	0.000	Ala_161_6590_L_0		0.0000
0.0000	0.0000	0.0000	0.0000	0.0000	0.0000	0.0000			
68 D	22.18	0.000	129.7	72.89	129.7	72.89	V-C 2.0027E+04	-13.30	38.00
1.000	1.000	110.9	0.000	0.000	0.000	0.000	Ala_161_6590_L_0		0.0000
0.0000	0.0000	0.0000	0.0000	0.0000	0.0000	0.0000			
69 D	22.79	0.000	131.6	73.96	131.6	73.96	V-C 2.0027E+04	-13.50	40.00
1.000	1.000	114.0	0.000	0.000	0.000	0.000	Ala_161_6590_L_0		0.0000
0.0000	0.0000	0.0000	0.0000	0.0000	0.0000	0.0000			
70 D	23.41	0.000	133.5	75.03	133.5	75.03	V-C 2.0027E+04	-13.70	42.00
1.000	1.000	117.0	0.000	0.000	0.000	0.000	Ala_161_6590_L_0		0.0000
0.0000	0.0000	0.0000	0.0000	0.0000	0.0000	0.0000			
71 D	24.02	0.000	135.4	76.09	135.4	76.09	V-C 2.0027E+04	-13.90	44.00
1.000	1.000	120.1	0.000	0.000	0.000	0.000	Ala_161_6590_L_0		0.0000
0.0000	0.0000	0.0000	0.0000	0.0000	0.0000	0.0000			
72 D	24.63	0.000	137.3	77.16	137.3	77.16	V-C 2.0027E+04	-14.10	46.00
1.000	1.000	123.2	0.000	0.000	0.000	0.000	Ala_161_6590_L_0		0.0000
0.0000	0.0000	0.0000	0.0000	0.0000	0.0000	0.0000			
73 D	25.25	0.000	139.2	78.23	139.2	78.23	V-C 2.0027E+04	-14.30	48.00
1.000	1.000	126.2	0.000	0.000	0.000	0.000	Ala_161_6590_L_0		0.0000
0.0000	0.0000	0.0000	0.0000	0.0000	0.0000	0.0000			
74 D	25.86	0.000	141.1	79.30	141.1	79.30	V-C 2.0027E+04	-14.50	50.00
1.000	1.000	129.3	0.000	0.000	0.000	0.000	Ala_161_6590_L_0		0.0000
0.0000	0.0000	0.0000	0.0000	0.0000	0.0000	0.0000			
75 D	26.47	0.000	143.0	80.37	143.0	80.37	V-C 2.0027E+04	-14.70	52.00
1.000	1.000	132.4	0.000	0.000	0.000	0.000	Ala_161_6590_L_0		0.0000
0.0000	0.0000	0.0000	0.0000	0.0000	0.0000	0.0000			
76 D	27.09	0.000	144.9	81.43	144.9	81.43	V-C 2.0027E+04	-14.90	54.00
1.000	1.000	135.4	0.000	0.000	0.000	0.000	Ala_161_6590_L_0		0.0000
0.0000	0.0000	0.0000	0.0000	0.0000	0.0000	0.0000			
77 D	27.70	0.000	146.8	82.50	146.8	82.50	V-C 2.0027E+04	-15.10	56.00
1.000	1.000	138.5	0.000	0.000	0.000	0.000	Ala_161_6590_L_0		0.0000
0.0000	0.0000	0.0000	0.0000	0.0000	0.0000	0.0000			
78 D	28.31	0.000	148.7	83.57	148.7	83.57	V-C 2.0027E+04	-15.30	58.00
1.000	1.000	141.6	0.000	0.000	0.000	0.000	Ala_161_6590_L_0		0.0000
0.0000	0.0000	0.0000	0.0000	0.0000	0.0000	0.0000			
79 D	28.93	0.000	150.6	84.64	150.6	84.64	V-C 2.0027E+04	-15.50	60.00
1.000	1.000	144.6	0.000	0.000	0.000	0.000	Ala_161_6590_L_0		0.0000
0.0000	0.0000	0.0000	0.0000	0.0000	0.0000	0.0000			
80 D	29.54	0.000	152.5	85.70	152.5	85.70	V-C 2.0027E+04	-15.70	62.00
1.000	1.000	147.7	0.000	0.000	0.000	0.000	Ala_161_6590_L_0		0.0000
0.0000	0.0000	0.0000	0.0000	0.0000	0.0000	0.0000			
81 D	30.15	0.000	154.4	86.77	154.4	86.77	V-C 2.0027E+04	-15.90	64.00
1.000	1.000	150.8	0.000	0.000	0.000	0.000	Ala_161_6590_L_0		0.0000
0.0000	0.0000	0.0000	0.0000	0.0000	0.0000	0.0000			
82 D	30.77	0.000	156.4	87.87	156.4	87.87	V-C 1.1262E+05	-16.10	66.00
1.000	1.000	153.9	0.000	0.000	0.000	0.000	Salt_21271_21259_L_0		0.0000
0.0000	0.0000	0.0000	0.0000	0.0000	0.0000	0.0000			
83 D	31.40	0.000	158.4	89.00	158.4	89.00	V-C 1.1262E+05	-16.30	68.00
1.000	1.000	157.0	0.000	0.000	0.000	0.000	Salt_21271_21259_L_0		0.0000
0.0000	0.0000	0.0000	0.0000	0.0000	0.0000	0.0000			
84 D	32.02	0.000	160.4	90.12	160.4	90.12	V-C 1.1262E+05	-16.50	70.00
1.000	1.000	160.1	0.000	0.000	0.000	0.000	Salt_21271_21259_L_0		0.0000
0.0000	0.0000	0.0000	0.0000	0.0000	0.0000	0.0000			
85 D	32.65	0.000	162.4	91.24	162.4	91.24	V-C 1.1262E+05	-16.70	72.00
1.000	1.000	163.2	0.000	0.000	0.000	0.000	Salt_21271_21259_L_0		0.0000
0.0000	0.0000	0.0000	0.0000	0.0000	0.0000	0.0000			
86 D	33.27	0.000	164.4	92.37	164.4	92.37	V-C 1.1262E+05	-16.90	74.00
1.000	1.000	166.4	0.000	0.000	0.000	0.000	Salt_21271_21259_L_0		0.0000
0.0000	0.0000	0.0000	0.0000	0.0000	0.0000	0.0000			
87 D	33.90	0.000	166.4	93.49	166.4	93.49	V-C 1.1262E+05	-17.10	76.00
1.000	1.000	169.5	0.000	0.000	0.000	0.000	Salt_21271_21259_L_0		0.0000
0.0000	0.0000	0.0000	0.0000	0.0000	0.0000	0.0000			
88 D	34.52	0.000	168.4	94.62	168.4	94.62	V-C 1.1262E+05	-17.30	78.00
1.000	1.000	172.6	0.000	0.000	0.000	0.000	Salt_21271_21259_L_0		0.0000
0.0000	0.0000	0.0000	0.0000	0.0000	0.0000	0.0000			
89 D	35.15	0.000	170.4	95.74	170.4	95.74	V-C 1.1262E+05	-17.50	80.00
1.000	1.000	175.7	0.000	0.000	0.000	0.000	Salt_21271_21259_L_0		0.0000
0.0000	0.0000	0.0000	0.0000	0.0000	0.0000	0.0000			
90 D	35.78	0.000	172.4	96.91	172.4	96.91	V-C 6.9968E+04	-17.70	82.00
1.000	1.000	178.9	0.000	0.000	0.000	0.000	Sch_21272_21260_L_0		0.0000
0.0000	0.0000	0.0000	0.0000	0.0000	0.0000	0.0000			
91 D	36.48	0.000	175.0	98.38	175.0	98.38	V-C 6.9968E+04	-17.90	84.00
1.000	1.000	182.4	0.000	0.000	0.000	0.000	Sch_21272_21260_L_0		0.0000

0.0000	0.0000	0.0000	0.0000	0.0000						
92 D	27.88	0.000	177.6	99.84	177.6	99.84	V-C	6.9968E+04	-18.10	86.00
1.000	1.000	185.8	0.000	0.000	0.000	0.000	Sch_21272_21260_L_0			0.0000
0.0000	0.0000	0.0000	0.0000	0.0000						
93 D	9.378	0.000	178.9	100.6	178.9	100.6	V-C	6.9968E+04	-18.20	87.00
1.000	1.000	187.6	0.000	0.000	0.000	0.000	Sch_21272_21260_L_0			0.0000
0.0000	0.0000	0.0000	0.0000	0.0000						


```

+-----+
|                PARATIEPLUS(TM)  NLS ENGINE RELEASE 2022.0.0  FULL VERSION  *Build date:Sep 13, 2021*                |
|                                                                                                                                            |
|                                                                                               ParatiePlus                               |
|                                                                                               Exe Time :28 January 2022  11:11:20                               |
+-----+

```

New Project

STRESS RESULTS FOR GROUP NO. 2

O_R :
ELEMENT TYPE 5 NO.OF ELEMENTS. IN THIS GROUP 93
CURRENT TIME IS 1.0000 SUBINCREMENT 00001/00001

HARDENING 2D SOIL ELEMENT

***** TOTAL STRESS FORMULATION *****

EL * TOR QSL	FORCE UFACTOR ZD	DISPL-Y Peq ZPL	VERTICAL-P Su_a Kz	HORIZON.-P Su_p	MAX-V-P Cohe_a	MAX-H-P Cohe_p	STATE LAYER	STIFFNESS	Z-LEVEL	PORE ZFO	E FAC- QS
1	0.000	--	--	--	--	--	REMOVED	--	0.000	0.000	
1.000	1.000	0.000	0.000	0.000	0.000	0.000	not available				
2	0.000	--	--	--	--	--	REMOVED	--	-0.2000	0.000	
1.000	1.000	0.000	0.000	0.000	0.000	0.000	not available				
3	0.000	--	--	--	--	--	REMOVED	--	-0.4000	0.000	
1.000	1.000	0.000	0.000	0.000	0.000	0.000	not available				
4	0.000	--	--	--	--	--	REMOVED	--	-0.6000	0.000	
1.000	1.000	0.000	0.000	0.000	0.000	0.000	not available				
5	0.000	--	--	--	--	--	REMOVED	--	-0.8000	0.000	
1.000	1.000	0.000	0.000	0.000	0.000	0.000	not available				
6	0.000	--	--	--	--	--	REMOVED	--	-1.000	0.000	
1.000	1.000	0.000	0.000	0.000	0.000	0.000	not available				
7	0.000	--	--	--	--	--	REMOVED	--	-1.200	0.000	
1.000	1.000	0.000	0.000	0.000	0.000	0.000	not available				
8	0.000	--	--	--	--	--	REMOVED	--	-1.400	0.000	
1.000	1.000	0.000	0.000	0.000	0.000	0.000	not available				
9	0.000	--	--	--	--	--	REMOVED	--	-1.600	0.000	
1.000	1.000	0.000	0.000	0.000	0.000	0.000	not available				
10	0.000	--	--	--	--	--	REMOVED	--	-1.800	0.000	
1.000	1.000	0.000	0.000	0.000	0.000	0.000	not available				
11	0.000	--	--	--	--	--	REMOVED	--	-2.000	0.000	
1.000	1.000	0.000	0.000	0.000	0.000	0.000	not available				
12	0.000	--	--	--	--	--	REMOVED	--	-2.200	0.000	
1.000	1.000	0.000	0.000	0.000	0.000	0.000	not available				
13	0.000	--	--	--	--	--	REMOVED	--	-2.400	0.000	
1.000	1.000	0.000	0.000	0.000	0.000	0.000	not available				
14	0.000	--	--	--	--	--	REMOVED	--	-2.600	0.000	
1.000	1.000	0.000	0.000	0.000	0.000	0.000	not available				
15	0.000	--	--	--	--	--	REMOVED	--	-2.800	0.000	
1.000	1.000	0.000	0.000	0.000	0.000	0.000	not available				
16	0.000	--	--	--	--	--	REMOVED	--	-3.000	0.000	
1.000	1.000	0.000	0.000	0.000	0.000	0.000	not available				
17	0.000	--	--	--	--	--	REMOVED	--	-3.200	0.000	
1.000	1.000	0.000	0.000	0.000	0.000	0.000	not available				
18	0.000	--	--	--	--	--	REMOVED	--	-3.400	0.000	
1.000	1.000	0.000	0.000	0.000	0.000	0.000	not available				
19	0.000	--	--	--	--	--	REMOVED	--	-3.600	0.000	
1.000	1.000	0.000	0.000	0.000	0.000	0.000	not available				
20	0.000	--	--	--	--	--	REMOVED	--	-3.800	0.000	
1.000	1.000	0.000	0.000	0.000	0.000	0.000	not available				
21	0.000	--	--	--	--	--	REMOVED	--	-4.000	0.000	
1.000	1.000	0.000	0.000	0.000	0.000	0.000	not available				
22	0.000	--	--	--	--	--	REMOVED	--	-4.200	0.000	
1.000	1.000	0.000	0.000	0.000	0.000	0.000	not available				
23	0.000	--	--	--	--	--	REMOVED	--	-4.400	0.000	
1.000	1.000	0.000	0.000	0.000	0.000	0.000	not available				
24	0.000	--	--	--	--	--	REMOVED	--	-4.600	0.000	
1.000	1.000	0.000	0.000	0.000	0.000	0.000	not available				
25 D	0.000	0.000	0.000	0.000	0.000	0.000	V-C 2.0775E+04		-4.700	0.000	
1.000	1.000	0.000	0.000	0.000	0.000	0.000	Ala_161_6590_L_0			0.0000	
0.0000	0.0000	0.0000	0.0000	0.0000	0.0000	0.0000					
26 D	0.4384	0.000	3.900	2.192	3.900	2.192	V-C 2.0775E+04		-4.900	0.000	
1.000	1.000	2.192	0.000	0.000	0.000	0.000	Ala_161_6590_L_0			0.0000	
0.0000	0.0000	0.0000	0.0000	0.0000	0.0000	0.0000					
27 D	0.8767	0.000	7.800	4.384	7.800	4.384	V-C 2.0775E+04		-5.100	0.000	
1.000	1.000	4.384	0.000	0.000	0.000	0.000	Ala_161_6590_L_0			0.0000	
0.0000	0.0000	0.0000	0.0000	0.0000	0.0000	0.0000					
28 D	1.315	0.000	11.70	6.575	11.70	6.575	V-C 2.0775E+04		-5.300	0.000	
1.000	1.000	6.575	0.000	0.000	0.000	0.000	Ala_161_6590_L_0			0.0000	
0.0000	0.0000	0.0000	0.0000	0.0000	0.0000	0.0000					
29 D	1.753	0.000	15.60	8.767	15.60	8.767	V-C 2.0775E+04		-5.500	0.000	
1.000	1.000	8.767	0.000	0.000	0.000	0.000	Ala_161_6590_L_0			0.0000	
0.0000	0.0000	0.0000	0.0000	0.0000	0.0000	0.0000					
30 D	2.192	0.000	19.50	10.96	19.50	10.96	V-C 2.0775E+04		-5.700	0.000	

1.000	1.000	10.96	0.000	0.000	0.000	0.000	Ala_161_6590_L_0	0.0000	
0.0000	0.0000	0.0000	0.0000	0.0000	0.0000	0.0000			
31 D	2.630	0.000	23.40	13.15	23.40	13.15	V-C 2.0775E+04	-5.900	0.000
1.000	1.000	13.15	0.000	0.000	0.000	0.000	Ala_161_6590_L_0	0.0000	
0.0000	0.0000	0.0000	0.0000	0.0000	0.0000	0.0000			
32 D	3.069	0.000	27.30	15.34	27.30	15.34	V-C 2.0775E+04	-6.100	0.000
1.000	1.000	15.34	0.000	0.000	0.000	0.000	Ala_161_6590_L_0	0.0000	
0.0000	0.0000	0.0000	0.0000	0.0000	0.0000	0.0000			
33 D	3.507	0.000	31.20	17.53	31.20	17.53	V-C 2.0775E+04	-6.300	0.000
1.000	1.000	17.53	0.000	0.000	0.000	0.000	Ala_161_6590_L_0	0.0000	
0.0000	0.0000	0.0000	0.0000	0.0000	0.0000	0.0000			
34 D	3.945	0.000	35.10	19.73	35.10	19.73	V-C 2.0775E+04	-6.500	0.000
1.000	1.000	19.73	0.000	0.000	0.000	0.000	Ala_161_6590_L_0	0.0000	
0.0000	0.0000	0.0000	0.0000	0.0000	0.0000	0.0000			
35 D	4.384	0.000	39.00	21.92	39.00	21.92	V-C 2.0775E+04	-6.700	0.000
1.000	1.000	21.92	0.000	0.000	0.000	0.000	Ala_161_6590_L_0	0.0000	
0.0000	0.0000	0.0000	0.0000	0.0000	0.0000	0.0000			
36 D	4.822	0.000	42.90	24.11	42.90	24.11	V-C 2.0775E+04	-6.900	0.000
1.000	1.000	24.11	0.000	0.000	0.000	0.000	Ala_161_6590_L_0	0.0000	
0.0000	0.0000	0.0000	0.0000	0.0000	0.0000	0.0000			
37 D	5.260	0.000	46.80	26.30	46.80	26.30	V-C 2.0775E+04	-7.100	0.000
1.000	1.000	26.30	0.000	0.000	0.000	0.000	Ala_161_6590_L_0	0.0000	
0.0000	0.0000	0.0000	0.0000	0.0000	0.0000	0.0000			
38 D	5.699	0.000	50.70	28.49	50.70	28.49	V-C 2.0775E+04	-7.300	0.000
1.000	1.000	28.49	0.000	0.000	0.000	0.000	Ala_161_6590_L_0	0.0000	
0.0000	0.0000	0.0000	0.0000	0.0000	0.0000	0.0000			
39 D	6.137	0.000	54.60	30.69	54.60	30.69	V-C 2.0775E+04	-7.500	0.000
1.000	1.000	30.69	0.000	0.000	0.000	0.000	Ala_161_6590_L_0	0.0000	
0.0000	0.0000	0.0000	0.0000	0.0000	0.0000	0.0000			
40 D	6.575	0.000	58.50	32.88	58.50	32.88	V-C 2.0775E+04	-7.700	0.000
1.000	1.000	32.88	0.000	0.000	0.000	0.000	Ala_161_6590_L_0	0.0000	
0.0000	0.0000	0.0000	0.0000	0.0000	0.0000	0.0000			
41 D	7.014	0.000	62.40	35.07	62.40	35.07	V-C 2.0775E+04	-7.900	0.000
1.000	1.000	35.07	0.000	0.000	0.000	0.000	Ala_161_6590_L_0	0.0000	
0.0000	0.0000	0.0000	0.0000	0.0000	0.0000	0.0000			
42 D	7.452	0.000	66.30	37.26	66.30	37.26	V-C 2.0775E+04	-8.100	0.000
1.000	1.000	37.26	0.000	0.000	0.000	0.000	Ala_161_6590_L_0	0.0000	
0.0000	0.0000	0.0000	0.0000	0.0000	0.0000	0.0000			
43 D	7.890	0.000	70.20	39.45	70.20	39.45	V-C 2.0775E+04	-8.300	0.000
1.000	1.000	39.45	0.000	0.000	0.000	0.000	Ala_161_6590_L_0	0.0000	
0.0000	0.0000	0.0000	0.0000	0.0000	0.0000	0.0000			
44 D	8.329	0.000	74.10	41.64	74.10	41.64	V-C 2.0775E+04	-8.500	0.000
1.000	1.000	41.64	0.000	0.000	0.000	0.000	Ala_161_6590_L_0	0.0000	
0.0000	0.0000	0.0000	0.0000	0.0000	0.0000	0.0000			
45 D	8.767	0.000	78.00	43.84	78.00	43.84	V-C 2.0775E+04	-8.700	0.000
1.000	1.000	43.84	0.000	0.000	0.000	0.000	Ala_161_6590_L_0	0.0000	
0.0000	0.0000	0.0000	0.0000	0.0000	0.0000	0.0000			
46 D	9.206	0.000	81.90	46.03	81.90	46.03	V-C 2.0775E+04	-8.900	0.000
1.000	1.000	46.03	0.000	0.000	0.000	0.000	Ala_161_6590_L_0	0.0000	
0.0000	0.0000	0.0000	0.0000	0.0000	0.0000	0.0000			
47 D	9.644	0.000	85.80	48.22	85.80	48.22	V-C 2.0775E+04	-9.100	0.000
1.000	1.000	48.22	0.000	0.000	0.000	0.000	Ala_161_6590_L_0	0.0000	
0.0000	0.0000	0.0000	0.0000	0.0000	0.0000	0.0000			
48 D	10.08	0.000	89.70	50.41	89.70	50.41	V-C 2.0775E+04	-9.300	0.000
1.000	1.000	50.41	0.000	0.000	0.000	0.000	Ala_161_6590_L_0	0.0000	
0.0000	0.0000	0.0000	0.0000	0.0000	0.0000	0.0000			
49 D	10.52	0.000	93.60	52.60	93.60	52.60	V-C 2.0775E+04	-9.500	0.000
1.000	1.000	52.60	0.000	0.000	0.000	0.000	Ala_161_6590_L_0	0.0000	
0.0000	0.0000	0.0000	0.0000	0.0000	0.0000	0.0000			
50 D	11.13	0.000	95.50	53.67	95.50	53.67	V-C 2.0775E+04	-9.700	2.000
1.000	1.000	55.67	0.000	0.000	0.000	0.000	Ala_161_6590_L_0	0.0000	
0.0000	0.0000	0.0000	0.0000	0.0000	0.0000	0.0000			
51 D	11.75	0.000	97.40	54.74	97.40	54.74	V-C 2.0775E+04	-9.900	4.000
1.000	1.000	58.74	0.000	0.000	0.000	0.000	Ala_161_6590_L_0	0.0000	
0.0000	0.0000	0.0000	0.0000	0.0000	0.0000	0.0000			
52 D	12.36	0.000	99.30	55.81	99.30	55.81	V-C 2.0775E+04	-10.10	6.000
1.000	1.000	61.81	0.000	0.000	0.000	0.000	Ala_161_6590_L_0	0.0000	
0.0000	0.0000	0.0000	0.0000	0.0000	0.0000	0.0000			
53 D	12.97	0.000	101.2	56.87	101.2	56.87	V-C 2.0775E+04	-10.30	8.000
1.000	1.000	64.87	0.000	0.000	0.000	0.000	Ala_161_6590_L_0	0.0000	
0.0000	0.0000	0.0000	0.0000	0.0000	0.0000	0.0000			
54 D	13.59	0.000	103.1	57.94	103.1	57.94	V-C 2.0775E+04	-10.50	10.000
1.000	1.000	67.94	0.000	0.000	0.000	0.000	Ala_161_6590_L_0	0.0000	
0.0000	0.0000	0.0000	0.0000	0.0000	0.0000	0.0000			
55 D	14.20	0.000	105.0	59.01	105.0	59.01	V-C 2.0775E+04	-10.70	12.00
1.000	1.000	71.01	0.000	0.000	0.000	0.000	Ala_161_6590_L_0	0.0000	
0.0000	0.0000	0.0000	0.0000	0.0000	0.0000	0.0000			
56 D	14.82	0.000	106.9	60.08	106.9	60.08	V-C 2.0775E+04	-10.90	14.00
1.000	1.000	74.08	0.000	0.000	0.000	0.000	Ala_161_6590_L_0	0.0000	
0.0000	0.0000	0.0000	0.0000	0.0000	0.0000	0.0000			
57 D	15.43	0.000	108.8	61.15	108.8	61.15	V-C 2.0775E+04	-11.10	16.00
1.000	1.000	77.15	0.000	0.000	0.000	0.000	Ala_161_6590_L_0	0.0000	
0.0000	0.0000	0.0000	0.0000	0.0000	0.0000	0.0000			
58 D	16.04	0.000	110.7	62.21	110.7	62.21	V-C 2.0775E+04	-11.30	18.00
1.000	1.000	80.21	0.000	0.000	0.000	0.000	Ala_161_6590_L_0	0.0000	
0.0000	0.0000	0.0000	0.0000	0.0000	0.0000	0.0000			
59 D	16.66	0.000	112.6	63.28	112.6	63.28	V-C 2.0775E+04	-11.50	20.00
1.000	1.000	83.28	0.000	0.000	0.000	0.000	Ala_161_6590_L_0	0.0000	
0.0000	0.0000	0.0000	0.0000	0.0000	0.0000	0.0000			
60 D	17.27	0.000	114.5	64.35	114.5	64.35	V-C 2.0775E+04	-11.70	22.00
1.000	1.000	86.35	0.000	0.000	0.000	0.000	Ala_161_6590_L_0	0.0000	
0.0000	0.0000	0.0000	0.0000	0.0000	0.0000	0.0000			

61 D	17.88	0.000	116.4	65.42	116.4	65.42	V-C 2.0775E+04	-11.90	24.00
1.000	1.000	89.42	0.000	0.000	0.000	0.000	Ala_161_6590_L_0		0.0000
0.0000	0.0000	0.0000	0.0000	0.0000	0.0000				
62 D	18.50	0.000	118.3	66.48	118.3	66.48	V-C 2.0775E+04	-12.10	26.00
1.000	1.000	92.48	0.000	0.000	0.000	0.000	Ala_161_6590_L_0		0.0000
0.0000	0.0000	0.0000	0.0000	0.0000	0.0000				
63 D	19.11	0.000	120.2	67.55	120.2	67.55	V-C 2.0775E+04	-12.30	28.00
1.000	1.000	95.55	0.000	0.000	0.000	0.000	Ala_161_6590_L_0		0.0000
0.0000	0.0000	0.0000	0.0000	0.0000	0.0000				
64 D	19.72	0.000	122.1	68.62	122.1	68.62	V-C 2.0775E+04	-12.50	30.00
1.000	1.000	98.62	0.000	0.000	0.000	0.000	Ala_161_6590_L_0		0.0000
0.0000	0.0000	0.0000	0.0000	0.0000	0.0000				
65 D	20.34	0.000	124.0	69.69	124.0	69.69	V-C 2.0775E+04	-12.70	32.00
1.000	1.000	101.7	0.000	0.000	0.000	0.000	Ala_161_6590_L_0		0.0000
0.0000	0.0000	0.0000	0.0000	0.0000	0.0000				
66 D	20.95	0.000	125.9	70.76	125.9	70.76	V-C 2.0775E+04	-12.90	34.00
1.000	1.000	104.8	0.000	0.000	0.000	0.000	Ala_161_6590_L_0		0.0000
0.0000	0.0000	0.0000	0.0000	0.0000	0.0000				
67 D	21.56	0.000	127.8	71.82	127.8	71.82	V-C 2.0775E+04	-13.10	36.00
1.000	1.000	107.8	0.000	0.000	0.000	0.000	Ala_161_6590_L_0		0.0000
0.0000	0.0000	0.0000	0.0000	0.0000	0.0000				
68 D	22.18	0.000	129.7	72.89	129.7	72.89	V-C 2.0775E+04	-13.30	38.00
1.000	1.000	110.9	0.000	0.000	0.000	0.000	Ala_161_6590_L_0		0.0000
0.0000	0.0000	0.0000	0.0000	0.0000	0.0000				
69 D	22.79	0.000	131.6	73.96	131.6	73.96	V-C 2.0775E+04	-13.50	40.00
1.000	1.000	114.0	0.000	0.000	0.000	0.000	Ala_161_6590_L_0		0.0000
0.0000	0.0000	0.0000	0.0000	0.0000	0.0000				
70 D	23.41	0.000	133.5	75.03	133.5	75.03	V-C 2.0775E+04	-13.70	42.00
1.000	1.000	117.0	0.000	0.000	0.000	0.000	Ala_161_6590_L_0		0.0000
0.0000	0.0000	0.0000	0.0000	0.0000	0.0000				
71 D	24.02	0.000	135.4	76.09	135.4	76.09	V-C 2.0775E+04	-13.90	44.00
1.000	1.000	120.1	0.000	0.000	0.000	0.000	Ala_161_6590_L_0		0.0000
0.0000	0.0000	0.0000	0.0000	0.0000	0.0000				
72 D	24.63	0.000	137.3	77.16	137.3	77.16	V-C 2.0775E+04	-14.10	46.00
1.000	1.000	123.2	0.000	0.000	0.000	0.000	Ala_161_6590_L_0		0.0000
0.0000	0.0000	0.0000	0.0000	0.0000	0.0000				
73 D	25.25	0.000	139.2	78.23	139.2	78.23	V-C 2.0775E+04	-14.30	48.00
1.000	1.000	126.2	0.000	0.000	0.000	0.000	Ala_161_6590_L_0		0.0000
0.0000	0.0000	0.0000	0.0000	0.0000	0.0000				
74 D	25.86	0.000	141.1	79.30	141.1	79.30	V-C 2.0775E+04	-14.50	50.00
1.000	1.000	129.3	0.000	0.000	0.000	0.000	Ala_161_6590_L_0		0.0000
0.0000	0.0000	0.0000	0.0000	0.0000	0.0000				
75 D	26.47	0.000	143.0	80.37	143.0	80.37	V-C 2.0775E+04	-14.70	52.00
1.000	1.000	132.4	0.000	0.000	0.000	0.000	Ala_161_6590_L_0		0.0000
0.0000	0.0000	0.0000	0.0000	0.0000	0.0000				
76 D	27.09	0.000	144.9	81.43	144.9	81.43	V-C 2.0775E+04	-14.90	54.00
1.000	1.000	135.4	0.000	0.000	0.000	0.000	Ala_161_6590_L_0		0.0000
0.0000	0.0000	0.0000	0.0000	0.0000	0.0000				
77 D	27.70	0.000	146.8	82.50	146.8	82.50	V-C 2.0775E+04	-15.10	56.00
1.000	1.000	138.5	0.000	0.000	0.000	0.000	Ala_161_6590_L_0		0.0000
0.0000	0.0000	0.0000	0.0000	0.0000	0.0000				
78 D	28.31	0.000	148.7	83.57	148.7	83.57	V-C 2.0775E+04	-15.30	58.00
1.000	1.000	141.6	0.000	0.000	0.000	0.000	Ala_161_6590_L_0		0.0000
0.0000	0.0000	0.0000	0.0000	0.0000	0.0000				
79 D	28.93	0.000	150.6	84.64	150.6	84.64	V-C 2.0775E+04	-15.50	60.00
1.000	1.000	144.6	0.000	0.000	0.000	0.000	Ala_161_6590_L_0		0.0000
0.0000	0.0000	0.0000	0.0000	0.0000	0.0000				
80 D	29.54	0.000	152.5	85.70	152.5	85.70	V-C 2.0775E+04	-15.70	62.00
1.000	1.000	147.7	0.000	0.000	0.000	0.000	Ala_161_6590_L_0		0.0000
0.0000	0.0000	0.0000	0.0000	0.0000	0.0000				
81 D	30.15	0.000	154.4	86.77	154.4	86.77	V-C 2.0775E+04	-15.90	64.00
1.000	1.000	150.8	0.000	0.000	0.000	0.000	Ala_161_6590_L_0		0.0000
0.0000	0.0000	0.0000	0.0000	0.0000	0.0000				
82 D	30.77	0.000	156.4	87.87	156.4	87.87	V-C 1.2063E+05	-16.10	66.00
1.000	1.000	153.9	0.000	0.000	0.000	0.000	Salt_21271_21259_L_0		0.0000
0.0000	0.0000	0.0000	0.0000	0.0000	0.0000				
83 D	31.40	0.000	158.4	89.00	158.4	89.00	V-C 1.2063E+05	-16.30	68.00
1.000	1.000	157.0	0.000	0.000	0.000	0.000	Salt_21271_21259_L_0		0.0000
0.0000	0.0000	0.0000	0.0000	0.0000	0.0000				
84 D	32.02	0.000	160.4	90.12	160.4	90.12	V-C 1.2063E+05	-16.50	70.00
1.000	1.000	160.1	0.000	0.000	0.000	0.000	Salt_21271_21259_L_0		0.0000
0.0000	0.0000	0.0000	0.0000	0.0000	0.0000				
85 D	32.65	0.000	162.4	91.24	162.4	91.24	V-C 1.2063E+05	-16.70	72.00
1.000	1.000	163.2	0.000	0.000	0.000	0.000	Salt_21271_21259_L_0		0.0000
0.0000	0.0000	0.0000	0.0000	0.0000	0.0000				
86 D	33.27	0.000	164.4	92.37	164.4	92.37	V-C 1.2063E+05	-16.90	74.00
1.000	1.000	166.4	0.000	0.000	0.000	0.000	Salt_21271_21259_L_0		0.0000
0.0000	0.0000	0.0000	0.0000	0.0000	0.0000				
87 D	33.90	0.000	166.4	93.49	166.4	93.49	V-C 1.2063E+05	-17.10	76.00
1.000	1.000	169.5	0.000	0.000	0.000	0.000	Salt_21271_21259_L_0		0.0000
0.0000	0.0000	0.0000	0.0000	0.0000	0.0000				
88 D	34.52	0.000	168.4	94.62	168.4	94.62	V-C 1.2063E+05	-17.30	78.00
1.000	1.000	172.6	0.000	0.000	0.000	0.000	Salt_21271_21259_L_0		0.0000
0.0000	0.0000	0.0000	0.0000	0.0000	0.0000				
89 D	35.15	0.000	170.4	95.74	170.4	95.74	V-C 1.2063E+05	-17.50	80.00
1.000	1.000	175.7	0.000	0.000	0.000	0.000	Salt_21271_21259_L_0		0.0000
0.0000	0.0000	0.0000	0.0000	0.0000	0.0000				
90 D	35.78	0.000	172.4	96.91	172.4	96.91	V-C 8.8467E+04	-17.70	82.00
1.000	1.000	178.9	0.000	0.000	0.000	0.000	Sch_21272_21260_L_0		0.0000
0.0000	0.0000	0.0000	0.0000	0.0000	0.0000				
91 D	36.48	0.000	175.0	98.38	175.0	98.38	V-C 8.8467E+04	-17.90	84.00
1.000	1.000	182.4	0.000	0.000	0.000	0.000	Sch_21272_21260_L_0		0.0000

0.0000	0.0000	0.0000	0.0000	0.0000						
92 D	27.88	0.000	177.6	99.84	177.6	99.84	V-C 8.8467E+04	-18.10	86.00	
1.000	1.000	185.8	0.000	0.000	0.000	0.000	Sch_21272_21260_L_0		0.0000	
0.0000	0.0000	0.0000	0.0000	0.0000						
93 D	9.378	0.000	178.9	100.6	178.9	100.6	V-C 8.8467E+04	-18.20	87.00	
1.000	1.000	187.6	0.000	0.000	0.000	0.000	Sch_21272_21260_L_0		0.0000	
0.0000	0.0000	0.0000	0.0000	0.0000						

```
+-----+
|          PARATIEPLUS(TM)  NLS ENGINE RELEASE  2022.0.0  FULL VERSION  *Build date:Sep 13, 2021*  |
|                                                                                               |
|                                                                                               |
|                                                                                               |
|                                                                                               |
|          ParatiePlus                                                                           |
|          Exe Time :28 January 2022  11:11:20                                               |
+-----+
```

New Project

S T R E S S R E S U L T S F O R G R O U P N O . 3

pali15001.7_33 :
ELEMENT TYPE 2 NO.OF ELEMENTS. IN THIS GROUP 68
C U R R E N T T I M E I S 1.0000 SUBINCREMENT 00001/00001

WALL2D ELEMENT

EL TA TB MA MB

***** NO ONE ELEMENT ACTIVE AT CURRENT STEP *****

```

+-----+
|          PARATIEPLUS(TM)  NLS ENGINE RELEASE 2022.0.0  FULL VERSION  *Build date:Sep 13, 2021*          |
|                                                                                                                                            |
|                                                                                               ParatiePlus                               |
|                                                                                               Exe Time :28 January 2022  11:11:20          |
+-----+

```

New Project

S T R E S S R E S U L T S F O R G R O U P N O . 4

```

muro71cm_4658
ELEMENT TYPE   2 NO.OF ELEMENTS. IN THIS GROUP   24
C U R R E N T   T I M E   I S   1.0000 SUBINCREMENT 00001/00001

```

WALL2D ELEMENT

```

EL   TA   TB   MA   MB
-----

```

***** NO ONE ELEMENT ACTIVE AT CURRENT STEP *****

```

ITER   0  RNORM = 0.000   RMNORM= 0.000
RINORM=0.5558E+05 RIMNOR= 0.000
RENORM= 0.000   REMNOR= 0.000   RATIO = 0.000   TOLER =0.1000E-03   CONVERGED !
RFMAX = 36.48   RMMAX = 0.000
RTSMAL=0.1000E-03 RMSMAL= 0.000
RDT   =0.5558E+05 RDR   = 0.000
RATIOT= 0.000   RATIO= 0.000
MAX UN= 0.000   IEQ=  186 NODE   93 DOF   2   X-ROT. F
MIN UN= 0.000   IEQ=    1 NODE    1 DOF   1   Y-DISPL.F
NO. OF CONTACT CONSTRAINT VIOLATIONS   0

```

```

ITER   1  RNORM = 0.000   RMNORM= 0.000
RINORM=0.5558E+05 RIMNOR= 0.000
RENORM= 0.000   REMNOR= 0.000   RATIO = 0.000   TOLER =0.1000E-03   CONVERGED !
RFMAX = 36.48   RMMAX = 0.000
RTSMAL=0.1000E-03 RMSMAL= 0.000
RDT   =0.5558E+05 RDR   = 0.000
RATIOT= 0.000   RATIO= 0.000
MAX UN= 0.000   IEQ=  186 NODE   93 DOF   2   X-ROT. F
MIN UN= 0.000   IEQ=    1 NODE    1 DOF   1   Y-DISPL.F
NO. OF CONTACT CONSTRAINT VIOLATIONS   0

```

```

ITER   2  RNORM = 0.000   RMNORM= 0.000
RINORM=0.5558E+05 RIMNOR= 0.000
RENORM= 0.000   REMNOR= 0.000   RATIO = 0.000   TOLER =0.1000E-03   CONVERGED !
RFMAX = 36.48   RMMAX = 0.000
RTSMAL=0.1000E-03 RMSMAL= 0.000
RDT   =0.5558E+05 RDR   = 0.000
RATIOT= 0.000   RATIO= 0.000
MAX UN= 0.000   IEQ=  186 NODE   93 DOF   2   X-ROT. F
MIN UN= 0.000   IEQ=    1 NODE    1 DOF   1   Y-DISPL.F
NO. OF CONTACT CONSTRAINT VIOLATIONS   0

```

```
+-----+
|          PARATIEPLUS(TM)  NLS ENGINE RELEASE  2022.0.0  FULL VERSION  *Build date:Sep 13, 2021*  |
|                                                                                               |
|                                                                                               |
|                               ParatiePlus                                                    |
|                               Exe Time :28 January 2022  11:11:20                            |
+-----+
```

New Project

SOLUTION REACHED USING 2 ITERATIONS ON 40

P R I N T O U T F O R T I M E S T E P 2 (AT TIME 2.000) SUBINCREMENT 00001/00001

PRINT OUT OF ACTIVE COMPONENTS (FIXED NODES ARE NOT PRINTED OUT)

Y-DISPL.F	X-ROT. F
02	04

ALL NODAL POINTS HAVE ZERO DISPLACEMENT COMPONENTS

```

+-----+
|                PARATIEPLUS(TM)  NLS ENGINE RELEASE 2022.0.0  FULL VERSION  *Build date:Sep 13, 2021*                |
|                                                                                                                                            |
|                                                                                               ParatiePlus                                                                                               |
|                                                                                               Exe Time :28 January 2022   11:11:20                                                                                               |
+-----+

```

New Project

S T R E S S R E S U L T S F O R G R O U P N O . 1

```

O_L                               :
ELEMENT TYPE   5 NO.OF ELEMENTS. IN THIS GROUP 93
CURRENT TIME IS      2.0000 SUBINCREMENT 00001/00001

```

HARDENING 2D SOIL ELEMENT

***** TOTAL STRESS FORMULATION *****

EL * TOR QSL	FORCE UFACTOR ZD	DISPL-Y Peq ZPL	VERTICAL-P Su_a Kz	HORIZON.-P Su_p	MAX-V-P Coh_e_a	MAX-H-P Coh_e_p	STATE LAYER	STIFFNESS	Z-LEVEL	PORE ZFO	E FAC- QS
1	0.000	--	--	--	--	--	REMOVED	--	0.000	0.000	
1.000	1.000	0.000	0.000	0.000	0.000	0.000	not available				
2	0.000	--	--	--	--	--	REMOVED	--	-0.2000	0.000	
1.000	1.000	0.000	0.000	0.000	0.000	0.000	not available				
3	0.000	--	--	--	--	--	REMOVED	--	-0.4000	0.000	
1.000	1.000	0.000	0.000	0.000	0.000	0.000	not available				
4	0.000	--	--	--	--	--	REMOVED	--	-0.6000	0.000	
1.000	1.000	0.000	0.000	0.000	0.000	0.000	not available				
5	0.000	--	--	--	--	--	REMOVED	--	-0.8000	0.000	
1.000	1.000	0.000	0.000	0.000	0.000	0.000	not available				
6	0.000	--	--	--	--	--	REMOVED	--	-1.000	0.000	
1.000	1.000	0.000	0.000	0.000	0.000	0.000	not available				
7	0.000	--	--	--	--	--	REMOVED	--	-1.200	0.000	
1.000	1.000	0.000	0.000	0.000	0.000	0.000	not available				
8	0.000	--	--	--	--	--	REMOVED	--	-1.400	0.000	
1.000	1.000	0.000	0.000	0.000	0.000	0.000	not available				
9	0.000	--	--	--	--	--	REMOVED	--	-1.600	0.000	
1.000	1.000	0.000	0.000	0.000	0.000	0.000	not available				
10	0.000	--	--	--	--	--	REMOVED	--	-1.800	0.000	
1.000	1.000	0.000	0.000	0.000	0.000	0.000	not available				
11	0.000	--	--	--	--	--	REMOVED	--	-2.000	0.000	
1.000	1.000	0.000	0.000	0.000	0.000	0.000	not available				
12	0.000	--	--	--	--	--	REMOVED	--	-2.200	0.000	
1.000	1.000	0.000	0.000	0.000	0.000	0.000	not available				
13	0.000	--	--	--	--	--	REMOVED	--	-2.400	0.000	
1.000	1.000	0.000	0.000	0.000	0.000	0.000	not available				
14	0.000	--	--	--	--	--	REMOVED	--	-2.600	0.000	
1.000	1.000	0.000	0.000	0.000	0.000	0.000	not available				
15	0.000	--	--	--	--	--	REMOVED	--	-2.800	0.000	
1.000	1.000	0.000	0.000	0.000	0.000	0.000	not available				
16	0.000	--	--	--	--	--	REMOVED	--	-3.000	0.000	
1.000	1.000	0.000	0.000	0.000	0.000	0.000	not available				
17	0.000	--	--	--	--	--	REMOVED	--	-3.200	0.000	
1.000	1.000	0.000	0.000	0.000	0.000	0.000	not available				
18	0.000	--	--	--	--	--	REMOVED	--	-3.400	0.000	
1.000	1.000	0.000	0.000	0.000	0.000	0.000	not available				
19	0.000	--	--	--	--	--	REMOVED	--	-3.600	0.000	
1.000	1.000	0.000	0.000	0.000	0.000	0.000	not available				
20	0.000	--	--	--	--	--	REMOVED	--	-3.800	0.000	
1.000	1.000	0.000	0.000	0.000	0.000	0.000	not available				
21	0.000	--	--	--	--	--	REMOVED	--	-4.000	0.000	
1.000	1.000	0.000	0.000	0.000	0.000	0.000	not available				
22	0.000	--	--	--	--	--	REMOVED	--	-4.200	0.000	
1.000	1.000	0.000	0.000	0.000	0.000	0.000	not available				
23	0.000	--	--	--	--	--	REMOVED	--	-4.400	0.000	
1.000	1.000	0.000	0.000	0.000	0.000	0.000	not available				
24	0.000	--	--	--	--	--	REMOVED	--	-4.600	0.000	
1.000	1.000	0.000	0.000	0.000	0.000	0.000	not available				
25 D	0.000	0.000	0.000	0.000	0.000	0.000	UL-RL 6.0081E+04		-4.700	0.000	
1.000	1.000	0.000	0.000	0.000	0.000	0.000	Ala_161_6590_L_0			0.0000	
0.0000	0.0000	0.0000	0.0000	0.0000	0.0000	0.0000					
26 D	0.4384	0.000	3.900	2.192	3.900	2.192	UL-RL 6.0081E+04		-4.900	0.000	
1.000	1.000	2.192	0.000	0.000	0.000	0.000	Ala_161_6590_L_0			0.0000	
0.0000	0.0000	0.0000	0.0000	0.0000	0.0000	0.0000					
27 D	0.8767	0.000	7.800	4.384	7.800	4.384	UL-RL 6.0081E+04		-5.100	0.000	
1.000	1.000	4.384	0.000	0.000	0.000	0.000	Ala_161_6590_L_0			0.0000	
0.0000	0.0000	0.0000	0.0000	0.0000	0.0000	0.0000					
28 D	1.315	0.000	11.70	6.575	11.70	6.575	UL-RL 6.0081E+04		-5.300	0.000	
1.000	1.000	6.575	0.000	0.000	0.000	0.000	Ala_161_6590_L_0			0.0000	
0.0000	0.0000	0.0000	0.0000	0.0000	0.0000	0.0000					
29 D	1.753	0.000	15.60	8.767	15.60	8.767	UL-RL 6.0081E+04		-5.500	0.000	
1.000	1.000	8.767	0.000	0.000	0.000	0.000	Ala_161_6590_L_0			0.0000	
0.0000	0.0000	0.0000	0.0000	0.0000	0.0000	0.0000					
30 D	2.192	0.000	19.50	10.96	19.50	10.96	UL-RL 6.0081E+04		-5.700	0.000	

1.000	1.000	10.96	0.000	0.000	0.000	0.000	Ala_161_6590_L_0	0.0000	
0.0000	0.0000	0.0000	0.0000	0.0000	0.0000	0.0000			
31 D	2.630	0.000	23.40	13.15	23.40	13.15	UL-RL 6.0081E+04	-5.900	0.000
1.000	1.000	13.15	0.000	0.000	0.000	0.000	Ala_161_6590_L_0	0.0000	0.0000
0.0000	0.0000	0.0000	0.0000	0.0000	0.0000	0.0000			
32 D	3.069	0.000	27.30	15.34	27.30	15.34	UL-RL 6.0081E+04	-6.100	0.000
1.000	1.000	15.34	0.000	0.000	0.000	0.000	Ala_161_6590_L_0	0.0000	0.0000
0.0000	0.0000	0.0000	0.0000	0.0000	0.0000	0.0000			
33 D	3.507	0.000	31.20	17.53	31.20	17.53	UL-RL 6.0081E+04	-6.300	0.000
1.000	1.000	17.53	0.000	0.000	0.000	0.000	Ala_161_6590_L_0	0.0000	0.0000
0.0000	0.0000	0.0000	0.0000	0.0000	0.0000	0.0000			
34 D	3.945	0.000	35.10	19.73	35.10	19.73	UL-RL 6.0081E+04	-6.500	0.000
1.000	1.000	19.73	0.000	0.000	0.000	0.000	Ala_161_6590_L_0	0.0000	0.0000
0.0000	0.0000	0.0000	0.0000	0.0000	0.0000	0.0000			
35 D	4.384	0.000	39.00	21.92	39.00	21.92	UL-RL 6.0081E+04	-6.700	0.000
1.000	1.000	21.92	0.000	0.000	0.000	0.000	Ala_161_6590_L_0	0.0000	0.0000
0.0000	0.0000	0.0000	0.0000	0.0000	0.0000	0.0000			
36 D	4.822	0.000	42.90	24.11	42.90	24.11	UL-RL 6.0081E+04	-6.900	0.000
1.000	1.000	24.11	0.000	0.000	0.000	0.000	Ala_161_6590_L_0	0.0000	0.0000
0.0000	0.0000	0.0000	0.0000	0.0000	0.0000	0.0000			
37 D	5.260	0.000	46.80	26.30	46.80	26.30	UL-RL 6.0081E+04	-7.100	0.000
1.000	1.000	26.30	0.000	0.000	0.000	0.000	Ala_161_6590_L_0	0.0000	0.0000
0.0000	0.0000	0.0000	0.0000	0.0000	0.0000	0.0000			
38 D	5.699	0.000	50.70	28.49	50.70	28.49	UL-RL 6.0081E+04	-7.300	0.000
1.000	1.000	28.49	0.000	0.000	0.000	0.000	Ala_161_6590_L_0	0.0000	0.0000
0.0000	0.0000	0.0000	0.0000	0.0000	0.0000	0.0000			
39 D	6.137	0.000	54.60	30.69	54.60	30.69	UL-RL 6.0081E+04	-7.500	0.000
1.000	1.000	30.69	0.000	0.000	0.000	0.000	Ala_161_6590_L_0	0.0000	0.0000
0.0000	0.0000	0.0000	0.0000	0.0000	0.0000	0.0000			
40 D	6.575	0.000	58.50	32.88	58.50	32.88	UL-RL 6.0081E+04	-7.700	0.000
1.000	1.000	32.88	0.000	0.000	0.000	0.000	Ala_161_6590_L_0	0.0000	0.0000
0.0000	0.0000	0.0000	0.0000	0.0000	0.0000	0.0000			
41 D	7.014	0.000	62.40	35.07	62.40	35.07	UL-RL 6.0081E+04	-7.900	0.000
1.000	1.000	35.07	0.000	0.000	0.000	0.000	Ala_161_6590_L_0	0.0000	0.0000
0.0000	0.0000	0.0000	0.0000	0.0000	0.0000	0.0000			
42 D	7.452	0.000	66.30	37.26	66.30	37.26	UL-RL 6.0081E+04	-8.100	0.000
1.000	1.000	37.26	0.000	0.000	0.000	0.000	Ala_161_6590_L_0	0.0000	0.0000
0.0000	0.0000	0.0000	0.0000	0.0000	0.0000	0.0000			
43 D	7.890	0.000	70.20	39.45	70.20	39.45	UL-RL 6.0081E+04	-8.300	0.000
1.000	1.000	39.45	0.000	0.000	0.000	0.000	Ala_161_6590_L_0	0.0000	0.0000
0.0000	0.0000	0.0000	0.0000	0.0000	0.0000	0.0000			
44 D	8.329	0.000	74.10	41.64	74.10	41.64	UL-RL 6.0081E+04	-8.500	0.000
1.000	1.000	41.64	0.000	0.000	0.000	0.000	Ala_161_6590_L_0	0.0000	0.0000
0.0000	0.0000	0.0000	0.0000	0.0000	0.0000	0.0000			
45 D	8.767	0.000	78.00	43.84	78.00	43.84	UL-RL 6.0081E+04	-8.700	0.000
1.000	1.000	43.84	0.000	0.000	0.000	0.000	Ala_161_6590_L_0	0.0000	0.0000
0.0000	0.0000	0.0000	0.0000	0.0000	0.0000	0.0000			
46 D	9.206	0.000	81.90	46.03	81.90	46.03	UL-RL 6.0081E+04	-8.900	0.000
1.000	1.000	46.03	0.000	0.000	0.000	0.000	Ala_161_6590_L_0	0.0000	0.0000
0.0000	0.0000	0.0000	0.0000	0.0000	0.0000	0.0000			
47 D	9.644	0.000	85.80	48.22	85.80	48.22	UL-RL 6.0081E+04	-9.100	0.000
1.000	1.000	48.22	0.000	0.000	0.000	0.000	Ala_161_6590_L_0	0.0000	0.0000
0.0000	0.0000	0.0000	0.0000	0.0000	0.0000	0.0000			
48 D	10.08	0.000	89.70	50.41	89.70	50.41	UL-RL 6.0081E+04	-9.300	0.000
1.000	1.000	50.41	0.000	0.000	0.000	0.000	Ala_161_6590_L_0	0.0000	0.0000
0.0000	0.0000	0.0000	0.0000	0.0000	0.0000	0.0000			
49 D	10.52	0.000	93.60	52.60	93.60	52.60	UL-RL 6.0081E+04	-9.500	0.000
1.000	1.000	52.60	0.000	0.000	0.000	0.000	Ala_161_6590_L_0	0.0000	0.0000
0.0000	0.0000	0.0000	0.0000	0.0000	0.0000	0.0000			
50 D	11.13	0.000	95.50	53.67	95.50	53.67	UL-RL 6.0081E+04	-9.700	2.000
1.000	1.000	55.67	0.000	0.000	0.000	0.000	Ala_161_6590_L_0	0.0000	0.0000
0.0000	0.0000	0.0000	0.0000	0.0000	0.0000	0.0000			
51 D	11.75	0.000	97.40	54.74	97.40	54.74	UL-RL 6.0081E+04	-9.900	4.000
1.000	1.000	58.74	0.000	0.000	0.000	0.000	Ala_161_6590_L_0	0.0000	0.0000
0.0000	0.0000	0.0000	0.0000	0.0000	0.0000	0.0000			
52 D	12.36	0.000	99.30	55.81	99.30	55.81	UL-RL 6.0081E+04	-10.10	6.000
1.000	1.000	61.81	0.000	0.000	0.000	0.000	Ala_161_6590_L_0	0.0000	0.0000
0.0000	0.0000	0.0000	0.0000	0.0000	0.0000	0.0000			
53 D	12.97	0.000	101.2	56.87	101.2	56.87	UL-RL 6.0081E+04	-10.30	8.000
1.000	1.000	64.87	0.000	0.000	0.000	0.000	Ala_161_6590_L_0	0.0000	0.0000
0.0000	0.0000	0.0000	0.0000	0.0000	0.0000	0.0000			
54 D	13.59	0.000	103.1	57.94	103.1	57.94	UL-RL 6.0081E+04	-10.50	10.000
1.000	1.000	67.94	0.000	0.000	0.000	0.000	Ala_161_6590_L_0	0.0000	0.0000
0.0000	0.0000	0.0000	0.0000	0.0000	0.0000	0.0000			
55 D	14.20	0.000	105.0	59.01	105.0	59.01	UL-RL 6.0081E+04	-10.70	12.00
1.000	1.000	71.01	0.000	0.000	0.000	0.000	Ala_161_6590_L_0	0.0000	0.0000
0.0000	0.0000	0.0000	0.0000	0.0000	0.0000	0.0000			
56 D	14.82	0.000	106.9	60.08	106.9	60.08	UL-RL 6.0081E+04	-10.90	14.00
1.000	1.000	74.08	0.000	0.000	0.000	0.000	Ala_161_6590_L_0	0.0000	0.0000
0.0000	0.0000	0.0000	0.0000	0.0000	0.0000	0.0000			
57 D	15.43	0.000	108.8	61.15	108.8	61.15	UL-RL 6.0081E+04	-11.10	16.00
1.000	1.000	77.15	0.000	0.000	0.000	0.000	Ala_161_6590_L_0	0.0000	0.0000
0.0000	0.0000	0.0000	0.0000	0.0000	0.0000	0.0000			
58 D	16.04	0.000	110.7	62.21	110.7	62.21	UL-RL 6.0081E+04	-11.30	18.00
1.000	1.000	80.21	0.000	0.000	0.000	0.000	Ala_161_6590_L_0	0.0000	0.0000
0.0000	0.0000	0.0000	0.0000	0.0000	0.0000	0.0000			
59 D	16.66	0.000	112.6	63.28	112.6	63.28	UL-RL 6.0081E+04	-11.50	20.00
1.000	1.000	83.28	0.000	0.000	0.000	0.000	Ala_161_6590_L_0	0.0000	0.0000
0.0000	0.0000	0.0000	0.0000	0.0000	0.0000	0.0000			
60 D	17.27	0.000	114.5	64.35	114.5	64.35	UL-RL 6.0081E+04	-11.70	22.00
1.000	1.000	86.35	0.000	0.000	0.000	0.000	Ala_161_6590_L_0	0.0000	0.0000
0.0000	0.0000	0.0000	0.0000	0.0000	0.0000	0.0000			

61 D	17.88	0.000	116.4	65.42	116.4	65.42	UL-RL 6.0081E+04	-11.90	24.00
1.000	1.000	89.42	0.000	0.000	0.000	0.000	Ala_161_6590_L_0		0.0000
0.0000	0.0000	0.0000	0.0000	0.0000	0.0000	0.0000			
62 D	18.50	0.000	118.3	66.48	118.3	66.48	UL-RL 6.0081E+04	-12.10	26.00
1.000	1.000	92.48	0.000	0.000	0.000	0.000	Ala_161_6590_L_0		0.0000
0.0000	0.0000	0.0000	0.0000	0.0000	0.0000	0.0000			
63 D	19.11	0.000	120.2	67.55	120.2	67.55	UL-RL 6.0081E+04	-12.30	28.00
1.000	1.000	95.55	0.000	0.000	0.000	0.000	Ala_161_6590_L_0		0.0000
0.0000	0.0000	0.0000	0.0000	0.0000	0.0000	0.0000			
64 D	19.72	0.000	122.1	68.62	122.1	68.62	UL-RL 6.0081E+04	-12.50	30.00
1.000	1.000	98.62	0.000	0.000	0.000	0.000	Ala_161_6590_L_0		0.0000
0.0000	0.0000	0.0000	0.0000	0.0000	0.0000	0.0000			
65 D	20.34	0.000	124.0	69.69	124.0	69.69	UL-RL 6.0081E+04	-12.70	32.00
1.000	1.000	101.7	0.000	0.000	0.000	0.000	Ala_161_6590_L_0		0.0000
0.0000	0.0000	0.0000	0.0000	0.0000	0.0000	0.0000			
66 D	20.95	0.000	125.9	70.76	125.9	70.76	UL-RL 6.0081E+04	-12.90	34.00
1.000	1.000	104.8	0.000	0.000	0.000	0.000	Ala_161_6590_L_0		0.0000
0.0000	0.0000	0.0000	0.0000	0.0000	0.0000	0.0000			
67 D	21.56	0.000	127.8	71.82	127.8	71.82	UL-RL 6.0081E+04	-13.10	36.00
1.000	1.000	107.8	0.000	0.000	0.000	0.000	Ala_161_6590_L_0		0.0000
0.0000	0.0000	0.0000	0.0000	0.0000	0.0000	0.0000			
68 D	22.18	0.000	129.7	72.89	129.7	72.89	UL-RL 6.0081E+04	-13.30	38.00
1.000	1.000	110.9	0.000	0.000	0.000	0.000	Ala_161_6590_L_0		0.0000
0.0000	0.0000	0.0000	0.0000	0.0000	0.0000	0.0000			
69 D	22.79	0.000	131.6	73.96	131.6	73.96	UL-RL 6.0081E+04	-13.50	40.00
1.000	1.000	114.0	0.000	0.000	0.000	0.000	Ala_161_6590_L_0		0.0000
0.0000	0.0000	0.0000	0.0000	0.0000	0.0000	0.0000			
70 D	23.41	0.000	133.5	75.03	133.5	75.03	UL-RL 6.0081E+04	-13.70	42.00
1.000	1.000	117.0	0.000	0.000	0.000	0.000	Ala_161_6590_L_0		0.0000
0.0000	0.0000	0.0000	0.0000	0.0000	0.0000	0.0000			
71 D	24.02	0.000	135.4	76.09	135.4	76.09	UL-RL 6.0081E+04	-13.90	44.00
1.000	1.000	120.1	0.000	0.000	0.000	0.000	Ala_161_6590_L_0		0.0000
0.0000	0.0000	0.0000	0.0000	0.0000	0.0000	0.0000			
72 D	24.63	0.000	137.3	77.16	137.3	77.16	UL-RL 6.0081E+04	-14.10	46.00
1.000	1.000	123.2	0.000	0.000	0.000	0.000	Ala_161_6590_L_0		0.0000
0.0000	0.0000	0.0000	0.0000	0.0000	0.0000	0.0000			
73 D	25.25	0.000	139.2	78.23	139.2	78.23	UL-RL 6.0081E+04	-14.30	48.00
1.000	1.000	126.2	0.000	0.000	0.000	0.000	Ala_161_6590_L_0		0.0000
0.0000	0.0000	0.0000	0.0000	0.0000	0.0000	0.0000			
74 D	25.86	0.000	141.1	79.30	141.1	79.30	UL-RL 6.0081E+04	-14.50	50.00
1.000	1.000	129.3	0.000	0.000	0.000	0.000	Ala_161_6590_L_0		0.0000
0.0000	0.0000	0.0000	0.0000	0.0000	0.0000	0.0000			
75 D	26.47	0.000	143.0	80.37	143.0	80.37	UL-RL 6.0081E+04	-14.70	52.00
1.000	1.000	132.4	0.000	0.000	0.000	0.000	Ala_161_6590_L_0		0.0000
0.0000	0.0000	0.0000	0.0000	0.0000	0.0000	0.0000			
76 D	27.09	0.000	144.9	81.43	144.9	81.43	UL-RL 6.0081E+04	-14.90	54.00
1.000	1.000	135.4	0.000	0.000	0.000	0.000	Ala_161_6590_L_0		0.0000
0.0000	0.0000	0.0000	0.0000	0.0000	0.0000	0.0000			
77 D	27.70	0.000	146.8	82.50	146.8	82.50	UL-RL 6.0081E+04	-15.10	56.00
1.000	1.000	138.5	0.000	0.000	0.000	0.000	Ala_161_6590_L_0		0.0000
0.0000	0.0000	0.0000	0.0000	0.0000	0.0000	0.0000			
78 D	28.31	0.000	148.7	83.57	148.7	83.57	UL-RL 6.0081E+04	-15.30	58.00
1.000	1.000	141.6	0.000	0.000	0.000	0.000	Ala_161_6590_L_0		0.0000
0.0000	0.0000	0.0000	0.0000	0.0000	0.0000	0.0000			
79 D	28.93	0.000	150.6	84.64	150.6	84.64	UL-RL 6.0081E+04	-15.50	60.00
1.000	1.000	144.6	0.000	0.000	0.000	0.000	Ala_161_6590_L_0		0.0000
0.0000	0.0000	0.0000	0.0000	0.0000	0.0000	0.0000			
80 D	29.54	0.000	152.5	85.70	152.5	85.70	UL-RL 6.0081E+04	-15.70	62.00
1.000	1.000	147.7	0.000	0.000	0.000	0.000	Ala_161_6590_L_0		0.0000
0.0000	0.0000	0.0000	0.0000	0.0000	0.0000	0.0000			
81 D	30.15	0.000	154.4	86.77	154.4	86.77	UL-RL 6.0081E+04	-15.90	64.00
1.000	1.000	150.8	0.000	0.000	0.000	0.000	Ala_161_6590_L_0		0.0000
0.0000	0.0000	0.0000	0.0000	0.0000	0.0000	0.0000			
82 D	30.77	0.000	156.4	87.87	156.4	87.87	UL-RL 3.3787E+05	-16.10	66.00
1.000	1.000	153.9	0.000	0.000	8.000	8.000	Salt_21271_21259_L_0		0.0000
0.0000	0.0000	0.0000	0.0000	0.0000	0.0000	0.0000			
83 D	31.40	0.000	158.4	89.00	158.4	89.00	UL-RL 3.3787E+05	-16.30	68.00
1.000	1.000	157.0	0.000	0.000	8.000	8.000	Salt_21271_21259_L_0		0.0000
0.0000	0.0000	0.0000	0.0000	0.0000	0.0000	0.0000			
84 D	32.02	0.000	160.4	90.12	160.4	90.12	UL-RL 3.3787E+05	-16.50	70.00
1.000	1.000	160.1	0.000	0.000	8.000	8.000	Salt_21271_21259_L_0		0.0000
0.0000	0.0000	0.0000	0.0000	0.0000	0.0000	0.0000			
85 D	32.65	0.000	162.4	91.24	162.4	91.24	UL-RL 3.3787E+05	-16.70	72.00
1.000	1.000	163.2	0.000	0.000	8.000	8.000	Salt_21271_21259_L_0		0.0000
0.0000	0.0000	0.0000	0.0000	0.0000	0.0000	0.0000			
86 D	33.27	0.000	164.4	92.37	164.4	92.37	UL-RL 3.3787E+05	-16.90	74.00
1.000	1.000	166.4	0.000	0.000	8.000	8.000	Salt_21271_21259_L_0		0.0000
0.0000	0.0000	0.0000	0.0000	0.0000	0.0000	0.0000			
87 D	33.90	0.000	166.4	93.49	166.4	93.49	UL-RL 3.3787E+05	-17.10	76.00
1.000	1.000	169.5	0.000	0.000	8.000	8.000	Salt_21271_21259_L_0		0.0000
0.0000	0.0000	0.0000	0.0000	0.0000	0.0000	0.0000			
88 D	34.52	0.000	168.4	94.62	168.4	94.62	UL-RL 3.3787E+05	-17.30	78.00
1.000	1.000	172.6	0.000	0.000	8.000	8.000	Salt_21271_21259_L_0		0.0000
0.0000	0.0000	0.0000	0.0000	0.0000	0.0000	0.0000			
89 D	35.15	0.000	170.4	95.74	170.4	95.74	UL-RL 3.3787E+05	-17.50	80.00
1.000	1.000	175.7	0.000	0.000	8.000	8.000	Salt_21271_21259_L_0		0.0000
0.0000	0.0000	0.0000	0.0000	0.0000	0.0000	0.0000			
90 D	35.78	0.000	172.4	96.91	172.4	96.91	UL-RL 2.0990E+05	-17.70	82.00
1.000	1.000	178.9	0.000	0.000	44.00	44.00	Sch_21272_21260_L_0		0.0000
0.0000	0.0000	0.0000	0.0000	0.0000	0.0000	0.0000			
91 D	36.48	0.000	175.0	98.38	175.0	98.38	UL-RL 2.0990E+05	-17.90	84.00
1.000	1.000	182.4	0.000	0.000	44.00	44.00	Sch_21272_21260_L_0		0.0000

0.0000	0.0000	0.0000	0.0000	0.0000						
92 D	27.88	0.000	177.6	99.84	177.6	99.84	UL-RL 2.0990E+05	-18.10	86.00	
1.000	1.000	185.8	0.000	0.000	44.00	44.00	Sch_21272_21260_L_0		0.0000	
0.0000	0.0000	0.0000	0.0000	0.0000						
93 D	9.378	0.000	178.9	100.6	178.9	100.6	UL-RL 2.0990E+05	-18.20	87.00	
1.000	1.000	187.6	0.000	0.000	44.00	44.00	Sch_21272_21260_L_0		0.0000	
0.0000	0.0000	0.0000	0.0000	0.0000						

```

+-----+
|                PARATIEPLUS(TM)  NLS ENGINE RELEASE 2022.0.0  FULL VERSION  *Build date:Sep 13, 2021*                |
|                                                                                                                                            |
|                                                                                               ParatiePlus                                                                                               |
|                                                                                               Exe Time :28 January 2022  11:11:20                                                                                               |
+-----+

```

New Project

STRESS RESULTS FOR GROUP NO. 2

O_R :
ELEMENT TYPE 5 NO.OF ELEMENTS. IN THIS GROUP 93
CURRENT TIME IS 2.0000 SUBINCREMENT 00001/00001

HARDENING 2D SOIL ELEMENT

***** TOTAL STRESS FORMULATION *****

EL * TOR QSL	FORCE UFACTOR ZD	DISPL-Y Peq ZPL	VERTICAL-P Su_a Kz	HORIZON.-P Su_p	MAX-V-P Coh_e_a	MAX-H-P Coh_e_p	STATE LAYER	STIFFNESS	Z-LEVEL	PORE ZFO	E FAC- QS
1	0.000	--	--	--	--	--	REMOVED	--	0.000	0.000	
1.000	1.000	0.000	0.000	0.000	0.000	0.000	not available				
2	0.000	--	--	--	--	--	REMOVED	--	-0.2000	0.000	
1.000	1.000	0.000	0.000	0.000	0.000	0.000	not available				
3	0.000	--	--	--	--	--	REMOVED	--	-0.4000	0.000	
1.000	1.000	0.000	0.000	0.000	0.000	0.000	not available				
4	0.000	--	--	--	--	--	REMOVED	--	-0.6000	0.000	
1.000	1.000	0.000	0.000	0.000	0.000	0.000	not available				
5	0.000	--	--	--	--	--	REMOVED	--	-0.8000	0.000	
1.000	1.000	0.000	0.000	0.000	0.000	0.000	not available				
6	0.000	--	--	--	--	--	REMOVED	--	-1.000	0.000	
1.000	1.000	0.000	0.000	0.000	0.000	0.000	not available				
7	0.000	--	--	--	--	--	REMOVED	--	-1.200	0.000	
1.000	1.000	0.000	0.000	0.000	0.000	0.000	not available				
8	0.000	--	--	--	--	--	REMOVED	--	-1.400	0.000	
1.000	1.000	0.000	0.000	0.000	0.000	0.000	not available				
9	0.000	--	--	--	--	--	REMOVED	--	-1.600	0.000	
1.000	1.000	0.000	0.000	0.000	0.000	0.000	not available				
10	0.000	--	--	--	--	--	REMOVED	--	-1.800	0.000	
1.000	1.000	0.000	0.000	0.000	0.000	0.000	not available				
11	0.000	--	--	--	--	--	REMOVED	--	-2.000	0.000	
1.000	1.000	0.000	0.000	0.000	0.000	0.000	not available				
12	0.000	--	--	--	--	--	REMOVED	--	-2.200	0.000	
1.000	1.000	0.000	0.000	0.000	0.000	0.000	not available				
13	0.000	--	--	--	--	--	REMOVED	--	-2.400	0.000	
1.000	1.000	0.000	0.000	0.000	0.000	0.000	not available				
14	0.000	--	--	--	--	--	REMOVED	--	-2.600	0.000	
1.000	1.000	0.000	0.000	0.000	0.000	0.000	not available				
15	0.000	--	--	--	--	--	REMOVED	--	-2.800	0.000	
1.000	1.000	0.000	0.000	0.000	0.000	0.000	not available				
16	0.000	--	--	--	--	--	REMOVED	--	-3.000	0.000	
1.000	1.000	0.000	0.000	0.000	0.000	0.000	not available				
17	0.000	--	--	--	--	--	REMOVED	--	-3.200	0.000	
1.000	1.000	0.000	0.000	0.000	0.000	0.000	not available				
18	0.000	--	--	--	--	--	REMOVED	--	-3.400	0.000	
1.000	1.000	0.000	0.000	0.000	0.000	0.000	not available				
19	0.000	--	--	--	--	--	REMOVED	--	-3.600	0.000	
1.000	1.000	0.000	0.000	0.000	0.000	0.000	not available				
20	0.000	--	--	--	--	--	REMOVED	--	-3.800	0.000	
1.000	1.000	0.000	0.000	0.000	0.000	0.000	not available				
21	0.000	--	--	--	--	--	REMOVED	--	-4.000	0.000	
1.000	1.000	0.000	0.000	0.000	0.000	0.000	not available				
22	0.000	--	--	--	--	--	REMOVED	--	-4.200	0.000	
1.000	1.000	0.000	0.000	0.000	0.000	0.000	not available				
23	0.000	--	--	--	--	--	REMOVED	--	-4.400	0.000	
1.000	1.000	0.000	0.000	0.000	0.000	0.000	not available				
24	0.000	--	--	--	--	--	REMOVED	--	-4.600	0.000	
1.000	1.000	0.000	0.000	0.000	0.000	0.000	not available				
25 D	0.000	0.000	0.000	0.000	0.000	0.000	UL-RL 6.2324E+04		-4.700	0.000	
1.000	1.000	0.000	0.000	0.000	0.000	0.000	Ala_161_6590_L_0			0.0000	
0.0000	0.0000	0.0000	0.0000	0.0000	0.0000	0.0000					
26 D	0.4384	0.000	3.900	2.192	3.900	2.192	UL-RL 6.2324E+04		-4.900	0.000	
1.000	1.000	2.192	0.000	0.000	0.000	0.000	Ala_161_6590_L_0			0.0000	
0.0000	0.0000	0.0000	0.0000	0.0000	0.0000	0.0000					
27 D	0.8767	0.000	7.800	4.384	7.800	4.384	UL-RL 6.2324E+04		-5.100	0.000	
1.000	1.000	4.384	0.000	0.000	0.000	0.000	Ala_161_6590_L_0			0.0000	
0.0000	0.0000	0.0000	0.0000	0.0000	0.0000	0.0000					
28 D	1.315	0.000	11.70	6.575	11.70	6.575	UL-RL 6.2324E+04		-5.300	0.000	
1.000	1.000	6.575	0.000	0.000	0.000	0.000	Ala_161_6590_L_0			0.0000	
0.0000	0.0000	0.0000	0.0000	0.0000	0.0000	0.0000					
29 D	1.753	0.000	15.60	8.767	15.60	8.767	UL-RL 6.2324E+04		-5.500	0.000	
1.000	1.000	8.767	0.000	0.000	0.000	0.000	Ala_161_6590_L_0			0.0000	
0.0000	0.0000	0.0000	0.0000	0.0000	0.0000	0.0000					
30 D	2.192	0.000	19.50	10.96	19.50	10.96	UL-RL 6.2324E+04		-5.700	0.000	

1.000	1.000	10.96	0.000	0.000	0.000	0.000	Ala_161_6590_L_0	0.0000	
0.0000	0.0000	0.0000	0.0000	0.0000	0.0000	0.0000			
31 D	2.630	0.000	23.40	13.15	23.40	13.15	UL-RL 6.2324E+04	-5.900	0.000
1.000	1.000	13.15	0.000	0.000	0.000	0.000	Ala_161_6590_L_0	0.0000	0.0000
0.0000	0.0000	0.0000	0.0000	0.0000	0.0000	0.0000			
32 D	3.069	0.000	27.30	15.34	27.30	15.34	UL-RL 6.2324E+04	-6.100	0.000
1.000	1.000	15.34	0.000	0.000	0.000	0.000	Ala_161_6590_L_0	0.0000	0.0000
0.0000	0.0000	0.0000	0.0000	0.0000	0.0000	0.0000			
33 D	3.507	0.000	31.20	17.53	31.20	17.53	UL-RL 6.2324E+04	-6.300	0.000
1.000	1.000	17.53	0.000	0.000	0.000	0.000	Ala_161_6590_L_0	0.0000	0.0000
0.0000	0.0000	0.0000	0.0000	0.0000	0.0000	0.0000			
34 D	3.945	0.000	35.10	19.73	35.10	19.73	UL-RL 6.2324E+04	-6.500	0.000
1.000	1.000	19.73	0.000	0.000	0.000	0.000	Ala_161_6590_L_0	0.0000	0.0000
0.0000	0.0000	0.0000	0.0000	0.0000	0.0000	0.0000			
35 D	4.384	0.000	39.00	21.92	39.00	21.92	UL-RL 6.2324E+04	-6.700	0.000
1.000	1.000	21.92	0.000	0.000	0.000	0.000	Ala_161_6590_L_0	0.0000	0.0000
0.0000	0.0000	0.0000	0.0000	0.0000	0.0000	0.0000			
36 D	4.822	0.000	42.90	24.11	42.90	24.11	UL-RL 6.2324E+04	-6.900	0.000
1.000	1.000	24.11	0.000	0.000	0.000	0.000	Ala_161_6590_L_0	0.0000	0.0000
0.0000	0.0000	0.0000	0.0000	0.0000	0.0000	0.0000			
37 D	5.260	0.000	46.80	26.30	46.80	26.30	UL-RL 6.2324E+04	-7.100	0.000
1.000	1.000	26.30	0.000	0.000	0.000	0.000	Ala_161_6590_L_0	0.0000	0.0000
0.0000	0.0000	0.0000	0.0000	0.0000	0.0000	0.0000			
38 D	5.699	0.000	50.70	28.49	50.70	28.49	UL-RL 6.2324E+04	-7.300	0.000
1.000	1.000	28.49	0.000	0.000	0.000	0.000	Ala_161_6590_L_0	0.0000	0.0000
0.0000	0.0000	0.0000	0.0000	0.0000	0.0000	0.0000			
39 D	6.137	0.000	54.60	30.69	54.60	30.69	UL-RL 6.2324E+04	-7.500	0.000
1.000	1.000	30.69	0.000	0.000	0.000	0.000	Ala_161_6590_L_0	0.0000	0.0000
0.0000	0.0000	0.0000	0.0000	0.0000	0.0000	0.0000			
40 D	6.575	0.000	58.50	32.88	58.50	32.88	UL-RL 6.2324E+04	-7.700	0.000
1.000	1.000	32.88	0.000	0.000	0.000	0.000	Ala_161_6590_L_0	0.0000	0.0000
0.0000	0.0000	0.0000	0.0000	0.0000	0.0000	0.0000			
41 D	7.014	0.000	62.40	35.07	62.40	35.07	UL-RL 6.2324E+04	-7.900	0.000
1.000	1.000	35.07	0.000	0.000	0.000	0.000	Ala_161_6590_L_0	0.0000	0.0000
0.0000	0.0000	0.0000	0.0000	0.0000	0.0000	0.0000			
42 D	7.452	0.000	66.30	37.26	66.30	37.26	UL-RL 6.2324E+04	-8.100	0.000
1.000	1.000	37.26	0.000	0.000	0.000	0.000	Ala_161_6590_L_0	0.0000	0.0000
0.0000	0.0000	0.0000	0.0000	0.0000	0.0000	0.0000			
43 D	7.890	0.000	70.20	39.45	70.20	39.45	UL-RL 6.2324E+04	-8.300	0.000
1.000	1.000	39.45	0.000	0.000	0.000	0.000	Ala_161_6590_L_0	0.0000	0.0000
0.0000	0.0000	0.0000	0.0000	0.0000	0.0000	0.0000			
44 D	8.329	0.000	74.10	41.64	74.10	41.64	UL-RL 6.2324E+04	-8.500	0.000
1.000	1.000	41.64	0.000	0.000	0.000	0.000	Ala_161_6590_L_0	0.0000	0.0000
0.0000	0.0000	0.0000	0.0000	0.0000	0.0000	0.0000			
45 D	8.767	0.000	78.00	43.84	78.00	43.84	UL-RL 6.2324E+04	-8.700	0.000
1.000	1.000	43.84	0.000	0.000	0.000	0.000	Ala_161_6590_L_0	0.0000	0.0000
0.0000	0.0000	0.0000	0.0000	0.0000	0.0000	0.0000			
46 D	9.206	0.000	81.90	46.03	81.90	46.03	UL-RL 6.2324E+04	-8.900	0.000
1.000	1.000	46.03	0.000	0.000	0.000	0.000	Ala_161_6590_L_0	0.0000	0.0000
0.0000	0.0000	0.0000	0.0000	0.0000	0.0000	0.0000			
47 D	9.644	0.000	85.80	48.22	85.80	48.22	UL-RL 6.2324E+04	-9.100	0.000
1.000	1.000	48.22	0.000	0.000	0.000	0.000	Ala_161_6590_L_0	0.0000	0.0000
0.0000	0.0000	0.0000	0.0000	0.0000	0.0000	0.0000			
48 D	10.08	0.000	89.70	50.41	89.70	50.41	UL-RL 6.2324E+04	-9.300	0.000
1.000	1.000	50.41	0.000	0.000	0.000	0.000	Ala_161_6590_L_0	0.0000	0.0000
0.0000	0.0000	0.0000	0.0000	0.0000	0.0000	0.0000			
49 D	10.52	0.000	93.60	52.60	93.60	52.60	UL-RL 6.2324E+04	-9.500	0.000
1.000	1.000	52.60	0.000	0.000	0.000	0.000	Ala_161_6590_L_0	0.0000	0.0000
0.0000	0.0000	0.0000	0.0000	0.0000	0.0000	0.0000			
50 D	11.13	0.000	95.50	53.67	95.50	53.67	UL-RL 6.2324E+04	-9.700	2.000
1.000	1.000	55.67	0.000	0.000	0.000	0.000	Ala_161_6590_L_0	0.0000	0.0000
0.0000	0.0000	0.0000	0.0000	0.0000	0.0000	0.0000			
51 D	11.75	0.000	97.40	54.74	97.40	54.74	UL-RL 6.2324E+04	-9.900	4.000
1.000	1.000	58.74	0.000	0.000	0.000	0.000	Ala_161_6590_L_0	0.0000	0.0000
0.0000	0.0000	0.0000	0.0000	0.0000	0.0000	0.0000			
52 D	12.36	0.000	99.30	55.81	99.30	55.81	UL-RL 6.2324E+04	-10.10	6.000
1.000	1.000	61.81	0.000	0.000	0.000	0.000	Ala_161_6590_L_0	0.0000	0.0000
0.0000	0.0000	0.0000	0.0000	0.0000	0.0000	0.0000			
53 D	12.97	0.000	101.2	56.87	101.2	56.87	UL-RL 6.2324E+04	-10.30	8.000
1.000	1.000	64.87	0.000	0.000	0.000	0.000	Ala_161_6590_L_0	0.0000	0.0000
0.0000	0.0000	0.0000	0.0000	0.0000	0.0000	0.0000			
54 D	13.59	0.000	103.1	57.94	103.1	57.94	UL-RL 6.2324E+04	-10.50	10.000
1.000	1.000	67.94	0.000	0.000	0.000	0.000	Ala_161_6590_L_0	0.0000	0.0000
0.0000	0.0000	0.0000	0.0000	0.0000	0.0000	0.0000			
55 D	14.20	0.000	105.0	59.01	105.0	59.01	UL-RL 6.2324E+04	-10.70	12.00
1.000	1.000	71.01	0.000	0.000	0.000	0.000	Ala_161_6590_L_0	0.0000	0.0000
0.0000	0.0000	0.0000	0.0000	0.0000	0.0000	0.0000			
56 D	14.82	0.000	106.9	60.08	106.9	60.08	UL-RL 6.2324E+04	-10.90	14.00
1.000	1.000	74.08	0.000	0.000	0.000	0.000	Ala_161_6590_L_0	0.0000	0.0000
0.0000	0.0000	0.0000	0.0000	0.0000	0.0000	0.0000			
57 D	15.43	0.000	108.8	61.15	108.8	61.15	UL-RL 6.2324E+04	-11.10	16.00
1.000	1.000	77.15	0.000	0.000	0.000	0.000	Ala_161_6590_L_0	0.0000	0.0000
0.0000	0.0000	0.0000	0.0000	0.0000	0.0000	0.0000			
58 D	16.04	0.000	110.7	62.21	110.7	62.21	UL-RL 6.2324E+04	-11.30	18.00
1.000	1.000	80.21	0.000	0.000	0.000	0.000	Ala_161_6590_L_0	0.0000	0.0000
0.0000	0.0000	0.0000	0.0000	0.0000	0.0000	0.0000			
59 D	16.66	0.000	112.6	63.28	112.6	63.28	UL-RL 6.2324E+04	-11.50	20.00
1.000	1.000	83.28	0.000	0.000	0.000	0.000	Ala_161_6590_L_0	0.0000	0.0000
0.0000	0.0000	0.0000	0.0000	0.0000	0.0000	0.0000			
60 D	17.27	0.000	114.5	64.35	114.5	64.35	UL-RL 6.2324E+04	-11.70	22.00
1.000	1.000	86.35	0.000	0.000	0.000	0.000	Ala_161_6590_L_0	0.0000	0.0000
0.0000	0.0000	0.0000	0.0000	0.0000	0.0000	0.0000			

61 D	17.88	0.000	116.4	65.42	116.4	65.42	UL-RL 6.2324E+04	-11.90	24.00
1.000	1.000	89.42	0.000	0.000	0.000	0.000	Ala_161_6590_L_0		0.0000
0.0000	0.0000	0.0000	0.0000	0.0000	0.0000	0.0000			
62 D	18.50	0.000	118.3	66.48	118.3	66.48	UL-RL 6.2324E+04	-12.10	26.00
1.000	1.000	92.48	0.000	0.000	0.000	0.000	Ala_161_6590_L_0		0.0000
0.0000	0.0000	0.0000	0.0000	0.0000	0.0000	0.0000			
63 D	19.11	0.000	120.2	67.55	120.2	67.55	UL-RL 6.2324E+04	-12.30	28.00
1.000	1.000	95.55	0.000	0.000	0.000	0.000	Ala_161_6590_L_0		0.0000
0.0000	0.0000	0.0000	0.0000	0.0000	0.0000	0.0000			
64 D	19.72	0.000	122.1	68.62	122.1	68.62	UL-RL 6.2324E+04	-12.50	30.00
1.000	1.000	98.62	0.000	0.000	0.000	0.000	Ala_161_6590_L_0		0.0000
0.0000	0.0000	0.0000	0.0000	0.0000	0.0000	0.0000			
65 D	20.34	0.000	124.0	69.69	124.0	69.69	UL-RL 6.2324E+04	-12.70	32.00
1.000	1.000	101.7	0.000	0.000	0.000	0.000	Ala_161_6590_L_0		0.0000
0.0000	0.0000	0.0000	0.0000	0.0000	0.0000	0.0000			
66 D	20.95	0.000	125.9	70.76	125.9	70.76	UL-RL 6.2324E+04	-12.90	34.00
1.000	1.000	104.8	0.000	0.000	0.000	0.000	Ala_161_6590_L_0		0.0000
0.0000	0.0000	0.0000	0.0000	0.0000	0.0000	0.0000			
67 D	21.56	0.000	127.8	71.82	127.8	71.82	UL-RL 6.2324E+04	-13.10	36.00
1.000	1.000	107.8	0.000	0.000	0.000	0.000	Ala_161_6590_L_0		0.0000
0.0000	0.0000	0.0000	0.0000	0.0000	0.0000	0.0000			
68 D	22.18	0.000	129.7	72.89	129.7	72.89	UL-RL 6.2324E+04	-13.30	38.00
1.000	1.000	110.9	0.000	0.000	0.000	0.000	Ala_161_6590_L_0		0.0000
0.0000	0.0000	0.0000	0.0000	0.0000	0.0000	0.0000			
69 D	22.79	0.000	131.6	73.96	131.6	73.96	UL-RL 6.2324E+04	-13.50	40.00
1.000	1.000	114.0	0.000	0.000	0.000	0.000	Ala_161_6590_L_0		0.0000
0.0000	0.0000	0.0000	0.0000	0.0000	0.0000	0.0000			
70 D	23.41	0.000	133.5	75.03	133.5	75.03	UL-RL 6.2324E+04	-13.70	42.00
1.000	1.000	117.0	0.000	0.000	0.000	0.000	Ala_161_6590_L_0		0.0000
0.0000	0.0000	0.0000	0.0000	0.0000	0.0000	0.0000			
71 D	24.02	0.000	135.4	76.09	135.4	76.09	UL-RL 6.2324E+04	-13.90	44.00
1.000	1.000	120.1	0.000	0.000	0.000	0.000	Ala_161_6590_L_0		0.0000
0.0000	0.0000	0.0000	0.0000	0.0000	0.0000	0.0000			
72 D	24.63	0.000	137.3	77.16	137.3	77.16	UL-RL 6.2324E+04	-14.10	46.00
1.000	1.000	123.2	0.000	0.000	0.000	0.000	Ala_161_6590_L_0		0.0000
0.0000	0.0000	0.0000	0.0000	0.0000	0.0000	0.0000			
73 D	25.25	0.000	139.2	78.23	139.2	78.23	UL-RL 6.2324E+04	-14.30	48.00
1.000	1.000	126.2	0.000	0.000	0.000	0.000	Ala_161_6590_L_0		0.0000
0.0000	0.0000	0.0000	0.0000	0.0000	0.0000	0.0000			
74 D	25.86	0.000	141.1	79.30	141.1	79.30	UL-RL 6.2324E+04	-14.50	50.00
1.000	1.000	129.3	0.000	0.000	0.000	0.000	Ala_161_6590_L_0		0.0000
0.0000	0.0000	0.0000	0.0000	0.0000	0.0000	0.0000			
75 D	26.47	0.000	143.0	80.37	143.0	80.37	UL-RL 6.2324E+04	-14.70	52.00
1.000	1.000	132.4	0.000	0.000	0.000	0.000	Ala_161_6590_L_0		0.0000
0.0000	0.0000	0.0000	0.0000	0.0000	0.0000	0.0000			
76 D	27.09	0.000	144.9	81.43	144.9	81.43	UL-RL 6.2324E+04	-14.90	54.00
1.000	1.000	135.4	0.000	0.000	0.000	0.000	Ala_161_6590_L_0		0.0000
0.0000	0.0000	0.0000	0.0000	0.0000	0.0000	0.0000			
77 D	27.70	0.000	146.8	82.50	146.8	82.50	UL-RL 6.2324E+04	-15.10	56.00
1.000	1.000	138.5	0.000	0.000	0.000	0.000	Ala_161_6590_L_0		0.0000
0.0000	0.0000	0.0000	0.0000	0.0000	0.0000	0.0000			
78 D	28.31	0.000	148.7	83.57	148.7	83.57	UL-RL 6.2324E+04	-15.30	58.00
1.000	1.000	141.6	0.000	0.000	0.000	0.000	Ala_161_6590_L_0		0.0000
0.0000	0.0000	0.0000	0.0000	0.0000	0.0000	0.0000			
79 D	28.93	0.000	150.6	84.64	150.6	84.64	UL-RL 6.2324E+04	-15.50	60.00
1.000	1.000	144.6	0.000	0.000	0.000	0.000	Ala_161_6590_L_0		0.0000
0.0000	0.0000	0.0000	0.0000	0.0000	0.0000	0.0000			
80 D	29.54	0.000	152.5	85.70	152.5	85.70	UL-RL 6.2324E+04	-15.70	62.00
1.000	1.000	147.7	0.000	0.000	0.000	0.000	Ala_161_6590_L_0		0.0000
0.0000	0.0000	0.0000	0.0000	0.0000	0.0000	0.0000			
81 D	30.15	0.000	154.4	86.77	154.4	86.77	UL-RL 6.2324E+04	-15.90	64.00
1.000	1.000	150.8	0.000	0.000	0.000	0.000	Ala_161_6590_L_0		0.0000
0.0000	0.0000	0.0000	0.0000	0.0000	0.0000	0.0000			
82 D	30.77	0.000	156.4	87.87	156.4	87.87	UL-RL 3.6188E+05	-16.10	66.00
1.000	1.000	153.9	0.000	0.000	8.000	8.000	Salt_21271_21259_L_0		0.0000
0.0000	0.0000	0.0000	0.0000	0.0000	0.0000	0.0000			
83 D	31.40	0.000	158.4	89.00	158.4	89.00	UL-RL 3.6188E+05	-16.30	68.00
1.000	1.000	157.0	0.000	0.000	8.000	8.000	Salt_21271_21259_L_0		0.0000
0.0000	0.0000	0.0000	0.0000	0.0000	0.0000	0.0000			
84 D	32.02	0.000	160.4	90.12	160.4	90.12	UL-RL 3.6188E+05	-16.50	70.00
1.000	1.000	160.1	0.000	0.000	8.000	8.000	Salt_21271_21259_L_0		0.0000
0.0000	0.0000	0.0000	0.0000	0.0000	0.0000	0.0000			
85 D	32.65	0.000	162.4	91.24	162.4	91.24	UL-RL 3.6188E+05	-16.70	72.00
1.000	1.000	163.2	0.000	0.000	8.000	8.000	Salt_21271_21259_L_0		0.0000
0.0000	0.0000	0.0000	0.0000	0.0000	0.0000	0.0000			
86 D	33.27	0.000	164.4	92.37	164.4	92.37	UL-RL 3.6188E+05	-16.90	74.00
1.000	1.000	166.4	0.000	0.000	8.000	8.000	Salt_21271_21259_L_0		0.0000
0.0000	0.0000	0.0000	0.0000	0.0000	0.0000	0.0000			
87 D	33.90	0.000	166.4	93.49	166.4	93.49	UL-RL 3.6188E+05	-17.10	76.00
1.000	1.000	169.5	0.000	0.000	8.000	8.000	Salt_21271_21259_L_0		0.0000
0.0000	0.0000	0.0000	0.0000	0.0000	0.0000	0.0000			
88 D	34.52	0.000	168.4	94.62	168.4	94.62	UL-RL 3.6188E+05	-17.30	78.00
1.000	1.000	172.6	0.000	0.000	8.000	8.000	Salt_21271_21259_L_0		0.0000
0.0000	0.0000	0.0000	0.0000	0.0000	0.0000	0.0000			
89 D	35.15	0.000	170.4	95.74	170.4	95.74	UL-RL 3.6188E+05	-17.50	80.00
1.000	1.000	175.7	0.000	0.000	8.000	8.000	Salt_21271_21259_L_0		0.0000
0.0000	0.0000	0.0000	0.0000	0.0000	0.0000	0.0000			
90 D	35.78	0.000	172.4	96.91	172.4	96.91	UL-RL 2.6540E+05	-17.70	82.00
1.000	1.000	178.9	0.000	0.000	44.00	44.00	Sch_21272_21260_L_0		0.0000
0.0000	0.0000	0.0000	0.0000	0.0000	0.0000	0.0000			
91 D	36.48	0.000	175.0	98.38	175.0	98.38	UL-RL 2.6540E+05	-17.90	84.00
1.000	1.000	182.4	0.000	0.000	44.00	44.00	Sch_21272_21260_L_0		0.0000

0.0000	0.0000	0.0000	0.0000	0.0000						
92 D	27.88	0.000	177.6	99.84	177.6	99.84	UL-RL 2.6540E+05	-18.10	86.00	
1.000	1.000	185.8	0.000	0.000	44.00	44.00	Sch_21272_21260_L_0		0.0000	
0.0000	0.0000	0.0000	0.0000	0.0000						
93 D	9.378	0.000	178.9	100.6	178.9	100.6	UL-RL 2.6540E+05	-18.20	87.00	
1.000	1.000	187.6	0.000	0.000	44.00	44.00	Sch_21272_21260_L_0		0.0000	
0.0000	0.0000	0.0000	0.0000	0.0000						

```

+-----+
|                PARATIEPLUS(TM)  NLS ENGINE RELEASE  2022.0.0  FULL VERSION  *Build date:Sep 13, 2021*                |
|                                                                                                                                            |
|                                                                                               ParatiePlus                                                                                               |
|                                                                                               Exe Time :28 January 2022   11:11:20                                                                                               |
+-----+

```

New Project

S T R E S S R E S U L T S F O R G R O U P N O . 3

```

pali15001.7_33 :
ELEMENT TYPE   2 NO.OF ELEMENTS. IN THIS GROUP   68
C U R R E N T   T I M E   I S   2.0000 SUBINCREMENT 00001/00001

```

WALL2D ELEMENT

EL	TA	TB	MA	MB
1	0.0000	0.0000	0.0000	0.0000
2	0.0000	0.0000	0.0000	0.0000
3	0.0000	0.0000	0.0000	0.0000
4	0.0000	0.0000	0.0000	0.0000
5	0.0000	0.0000	0.0000	0.0000
6	0.0000	0.0000	0.0000	0.0000
7	0.0000	0.0000	0.0000	0.0000
8	0.0000	0.0000	0.0000	0.0000
9	0.0000	0.0000	0.0000	0.0000
10	0.0000	0.0000	0.0000	0.0000
11	0.0000	0.0000	0.0000	0.0000
12	0.0000	0.0000	0.0000	0.0000
13	0.0000	0.0000	0.0000	0.0000
14	0.0000	0.0000	0.0000	0.0000
15	0.0000	0.0000	0.0000	0.0000
16	0.0000	0.0000	0.0000	0.0000
17	0.0000	0.0000	0.0000	0.0000
18	0.0000	0.0000	0.0000	0.0000
19	0.0000	0.0000	0.0000	0.0000
20	0.0000	0.0000	0.0000	0.0000
21	0.0000	0.0000	0.0000	0.0000
22	0.0000	0.0000	0.0000	0.0000
23	0.0000	0.0000	0.0000	0.0000
24	0.0000	0.0000	0.0000	0.0000
25	0.0000	0.0000	0.0000	0.0000
26	0.0000	0.0000	0.0000	0.0000
27	0.0000	0.0000	0.0000	0.0000
28	0.0000	0.0000	0.0000	0.0000
29	0.0000	0.0000	0.0000	0.0000
30	0.0000	0.0000	0.0000	0.0000
31	0.0000	0.0000	0.0000	0.0000
32	0.0000	0.0000	0.0000	0.0000
33	0.0000	0.0000	0.0000	0.0000
34	0.0000	0.0000	0.0000	0.0000
35	0.0000	0.0000	0.0000	0.0000
36	0.0000	0.0000	0.0000	0.0000
37	0.0000	0.0000	0.0000	0.0000
38	0.0000	0.0000	0.0000	0.0000
39	0.0000	0.0000	0.0000	0.0000
40	0.0000	0.0000	0.0000	0.0000
41	0.0000	0.0000	0.0000	0.0000
42	0.0000	0.0000	0.0000	0.0000
43	0.0000	0.0000	0.0000	0.0000
44	0.0000	0.0000	0.0000	0.0000
45	0.0000	0.0000	0.0000	0.0000
46	0.0000	0.0000	0.0000	0.0000
47	0.0000	0.0000	0.0000	0.0000
48	0.0000	0.0000	0.0000	0.0000
49	0.0000	0.0000	0.0000	0.0000
50	0.0000	0.0000	0.0000	0.0000
51	0.0000	0.0000	0.0000	0.0000
52	0.0000	0.0000	0.0000	0.0000
53	0.0000	0.0000	0.0000	0.0000
54	0.0000	0.0000	0.0000	0.0000
55	0.0000	0.0000	0.0000	0.0000
56	0.0000	0.0000	0.0000	0.0000
57	0.0000	0.0000	0.0000	0.0000
58	0.0000	0.0000	0.0000	0.0000
59	0.0000	0.0000	0.0000	0.0000
60	0.0000	0.0000	0.0000	0.0000
61	0.0000	0.0000	0.0000	0.0000
62	0.0000	0.0000	0.0000	0.0000
63	0.0000	0.0000	0.0000	0.0000
64	0.0000	0.0000	0.0000	0.0000
65	0.0000	0.0000	0.0000	0.0000
66	0.0000	0.0000	0.0000	0.0000
67	0.0000	0.0000	0.0000	0.0000
68	0.0000	0.0000	0.0000	0.0000


```

+-----+
|                PARATIEPLUS(TM)  NLS ENGINE RELEASE 2022.0.0  FULL VERSION  *Build date:Sep 13, 2021*                |
|                                                                                                                                            |
|                                                                                               ParatiePlus                                                                                               |
|                                                                                               Exe Time :28 January 2022  11:11:20                                                                                               |
+-----+

```

New Project

S T R E S S R E S U L T S F O R G R O U P N O . 4

```

muro71cm_4658 :
ELEMENT TYPE 2 NO.OF ELEMENTS. IN THIS GROUP 24
C U R R E N T   T I M E   I S   2.0000 SUBINCREMENT 00001/00001

```

WALL2D ELEMENT

```

-----
EL   TA   TB   MA   MB
-----

```

***** NO ONE ELEMENT ACTIVE AT CURRENT STEP *****

```

ITER   0  RNORM = 0.000   RMNORM= 0.000
RINORM=0.1208E+06 RIMNOR= 0.000
RENORM=0.2352E+05 REMNOR= 0.000   RATIO =0.4413   TOLER =0.1000E-03 NOT CONVERGED
RFMAX = 54.51   RMMAX = 0.000
RTSMAL=0.1000E-03 RMSMAL= 0.000
RDT =0.1208E+06 RDR = 0.000
RATIOT=0.4413   RATIO= 0.000
MAX UN= 0.000   IEQ= 186 NODE   93 DOF   2   X-ROT. F
MIN UN=-18.26   IEQ= 133 NODE   67 DOF   1   Y-DISPL.F
NO. OF CONTACT CONSTRAINT VIOLATIONS   0

ITER   2  RNORM = 0.000   RMNORM= 0.000
RINORM=0.1208E+06 RIMNOR= 0.000
RENORM= 5754.   REMNOR=0.5109E-17 RATIO =0.2183   TOLER =0.1000E-03 NOT CONVERGED
RFMAX = 54.51   RMMAX = 0.000
RTSMAL=0.1000E-03 RMSMAL= 0.000
RDT =0.1208E+06 RDR = 0.000
RATIOT=0.2183   RATIO= 0.000
MAX UN=0.3402E-08 IEQ= 183 NODE   92 DOF   1   Y-DISPL.F
MIN UN=-23.10   IEQ= 163 NODE   82 DOF   1   Y-DISPL.F
NO. OF CONTACT CONSTRAINT VIOLATIONS   0

ITER   3  RNORM = 0.000   RMNORM= 0.000
RINORM=0.1208E+06 RIMNOR= 0.000
RENORM= 3299.   REMNOR=0.1297E-15 RATIO =0.1653   TOLER =0.1000E-03 NOT CONVERGED
RFMAX = 54.51   RMMAX = 0.000
RTSMAL=0.1000E-03 RMSMAL= 0.000
RDT =0.1208E+06 RDR = 0.000
RATIOT=0.1653   RATIO= 0.000
MAX UN=0.4944E-07 IEQ= 79 NODE   40 DOF   1   Y-DISPL.F
MIN UN=-24.29   IEQ= 55 NODE   28 DOF   1   Y-DISPL.F
NO. OF CONTACT CONSTRAINT VIOLATIONS   0

ITER   4  RNORM = 0.000   RMNORM= 0.000
RINORM=0.1208E+06 RIMNOR= 0.000
RENORM= 230.1   REMNOR=0.6502E-16 RATIO =0.4365E-01 TOLER =0.1000E-03 NOT CONVERGED
RFMAX = 54.51   RMMAX = 0.000
RTSMAL=0.1000E-03 RMSMAL= 0.000
RDT =0.1208E+06 RDR = 0.000
RATIOT=0.4365E-01 RATIO= 0.000
MAX UN= 2.761   IEQ= 179 NODE   90 DOF   1   Y-DISPL.F
MIN UN=-10.50   IEQ= 79 NODE   40 DOF   1   Y-DISPL.F
NO. OF CONTACT CONSTRAINT VIOLATIONS   0

ITER   5  RNORM = 0.000   RMNORM= 0.000
RINORM=0.1208E+06 RIMNOR= 0.000
RENORM= 6.187   REMNOR=0.5728E-16 RATIO =0.7157E-02 TOLER =0.1000E-03 NOT CONVERGED
RFMAX = 54.51   RMMAX = 0.000
RTSMAL=0.1000E-03 RMSMAL= 0.000
RDT =0.1208E+06 RDR = 0.000
RATIOT=0.7157E-02 RATIO= 0.000
MAX UN=0.4170   IEQ= 181 NODE   91 DOF   1   Y-DISPL.F
MIN UN=-2.234   IEQ= 171 NODE   86 DOF   1   Y-DISPL.F
NO. OF CONTACT CONSTRAINT VIOLATIONS   0

ITER   6  RNORM = 0.000   RMNORM= 0.000
RINORM=0.1208E+06 RIMNOR= 0.000
RENORM=0.1624   REMNOR=0.5483E-16 RATIO =0.1159E-02 TOLER =0.1000E-03 NOT CONVERGED
RFMAX = 54.51   RMMAX = 0.000
RTSMAL=0.1000E-03 RMSMAL= 0.000
RDT =0.1208E+06 RDR = 0.000
RATIOT=0.1159E-02 RATIO= 0.000

```

MAX UN=0.3014 IEQ= 177 NODE 89 DOF 1 Y-DISPL.F
MIN UN=-.4650E-07 IEQ= 53 NODE 27 DOF 1 Y-DISPL.F
NO. OF CONTACT CONSTRAINT VIOLATIONS 0

ITER 7 RNORM = 0.000 RMNORM= 0.000
RINORM=0.1208E+06 RIMNOR= 0.000
RENORM=0.1505E-01 REMNOR=0.5191E-16 RATIO =0.3530E-03 TOLER =0.1000E-03 NOT CONVERGED
RFMAX = 54.51 RMMAX = 0.000
RTSMAL=0.1000E-03 RMSMAL= 0.000
RDT =0.1208E+06 RDR = 0.000
RATIOT=0.3530E-03 RATIO= 0.000
MAX UN=0.3992E-07 IEQ= 81 NODE 41 DOF 1 Y-DISPL.F
MIN UN=-.7550E-01 IEQ= 167 NODE 84 DOF 1 Y-DISPL.F
NO. OF CONTACT CONSTRAINT VIOLATIONS 0

ITER 8 RNORM = 0.000 RMNORM= 0.000
RINORM=0.1208E+06 RIMNOR= 0.000
RENORM=0.3103E-04 REMNOR=0.6375E-16 RATIO =0.1603E-04 TOLER =0.1000E-03 CONVERGED !
RFMAX = 54.51 RMMAX = 0.000
RTSMAL=0.1000E-03 RMSMAL= 0.000
RDT =0.1208E+06 RDR = 0.000
RATIOT=0.1603E-04 RATIO= 0.000
MAX UN=0.3754E-07 IEQ= 75 NODE 38 DOF 1 Y-DISPL.F
MIN UN=-.3928E-02 IEQ= 139 NODE 70 DOF 1 Y-DISPL.F
NO. OF CONTACT CONSTRAINT VIOLATIONS 0

```

+-----+
|                PARATIEPLUS(TM)  NLS ENGINE RELEASE  2022.0.0  FULL VERSION  *Build date:Sep 13, 2021*                |
|                                                                                                                                            |
|                                                                                               ParatiePlus |
|                                                                                               Exe Time :28 January 2022  11:11:20 |
+-----+

```

New Project
SOLUTION REACHED USING 8 ITERATIONS ON 40

PRINT OUT FOR TIME STEP 3 (AT TIME 3.000) SUBINCREMENT 0001/00001

PRINT OUT OF ACTIVE COMPONENTS (FIXED NODES ARE NOT PRINTED OUT)

	Y-DISPL.F	X-ROT. F
	02	04
1	-5.1872006E-02	3.9507537E-03
2	-5.1081857E-02	3.9507244E-03
3	-5.0291725E-02	3.9505737E-03
4	-4.9501645E-02	3.9501723E-03
5	-4.8711682E-02	3.9493822E-03
6	-4.7921927E-02	3.9480575E-03
7	-4.7132504E-02	3.9460440E-03
8	-4.6343567E-02	3.9431791E-03
9	-4.5555301E-02	3.9392920E-03
10	-4.4767930E-02	3.9342036E-03
11	-4.3981712E-02	3.9277267E-03
12	-4.3196945E-02	3.9196654E-03
13	-4.2413965E-02	3.9098158E-03
14	-4.1633152E-02	3.8979654E-03
15	-4.0854927E-02	3.8838934E-03
16	-4.0079758E-02	3.8673706E-03
17	-3.9308154E-02	3.8481594E-03
18	-3.8540686E-02	3.8260138E-03
19	-3.7777961E-02	3.8006793E-03
20	-3.7020644E-02	3.7718929E-03
21	-3.6269456E-02	3.7393834E-03
22	-3.5525162E-02	3.7028704E-03
23	-3.4788594E-02	3.6620657E-03
24	-3.4060641E-02	3.6166724E-03
25	-3.3700189E-02	3.5921695E-03
26	-3.2983000E-02	3.5795017E-03
27	-3.2268480E-02	3.5655148E-03
28	-3.1556892E-02	3.5501206E-03
29	-3.0848530E-02	3.5332442E-03
30	-3.0143697E-02	3.5148240E-03
31	-2.9442707E-02	3.4948120E-03
32	-2.8745884E-02	3.4731733E-03
33	-2.8053551E-02	3.4498864E-03
34	-2.7366040E-02	3.4249431E-03
35	-2.6683684E-02	3.3983488E-03
36	-2.6006809E-02	3.3701221E-03
37	-2.5335741E-02	3.3402948E-03
38	-2.4670799E-02	3.3089120E-03
39	-2.4012280E-02	3.2760311E-03
40	-2.3360481E-02	3.2417232E-03
41	-2.2715680E-02	3.2060722E-03
42	-2.2078135E-02	3.1691752E-03
43	-2.1448089E-02	3.1311424E-03
44	-2.0825749E-02	3.0920969E-03
45	-2.0211309E-02	3.0521753E-03
46	-1.9604927E-02	3.0115273E-03
47	-1.9006736E-02	2.9703078E-03
48	-1.8416835E-02	2.9286675E-03
49	-1.7835290E-02	2.8867492E-03
50	-1.7262145E-02	2.8446898E-03
51	-1.6697415E-02	2.8026188E-03
52	-1.6141104E-02	2.7606599E-03
53	-1.5593150E-02	2.7189267E-03
54	-1.5053511E-02	2.6775293E-03
55	-1.4522109E-02	2.6365700E-03
56	-1.3998847E-02	2.5961447E-03
57	-1.3483610E-02	2.5563427E-03
58	-1.2976263E-02	2.5172472E-03
59	-1.2476659E-02	2.4789352E-03
60	-1.1984632E-02	2.4414774E-03
61	-1.1500006E-02	2.4049389E-03
62	-1.1022591E-02	2.3693787E-03
63	-1.0552186E-02	2.3348501E-03
64	-1.0088579E-02	2.3014008E-03
65	-9.6315509E-03	2.2690727E-03
66	-9.1808730E-03	2.2379025E-03
67	-8.7363107E-03	2.2079214E-03
68	-8.2976234E-03	2.1791553E-03
69	-7.8645662E-03	2.1516249E-03
70	-7.4368900E-03	2.1253458E-03
71	-7.0143437E-03	2.1003287E-03
72	-6.5966741E-03	2.0765792E-03
73	-6.1836275E-03	2.0540981E-03
74	-5.7749505E-03	2.0328816E-03

75	-5.3703911E-03	2.0129208E-03
76	-4.9696994E-03	1.9942022E-03
77	-4.5726286E-03	1.9767078E-03
78	-4.1789362E-03	1.9604147E-03
79	-3.7883845E-03	1.9452957E-03
80	-3.4007417E-03	1.9313189E-03
81	-3.0157832E-03	1.9184480E-03
82	-2.6332915E-03	1.9066421E-03
83	-2.2530524E-03	1.8959457E-03
84	-1.8748314E-03	1.8864774E-03
85	-1.4983734E-03	1.8783293E-03
86	-1.1234075E-03	1.8715647E-03
87	-7.4965331E-04	1.8662131E-03
88	-3.7682907E-04	1.8622586E-03
89	-4.6641372E-06	1.8595901E-03
90	3.6709776E-04	1.8580045E-03
91	7.3861175E-04	1.8572513E-03
92	1.1100334E-03	1.8570254E-03
93	1.2957352E-03	1.8570139E-03

```

+-----+
|                PARATIEPLUS(TM)  NLS ENGINE RELEASE  2022.0.0  FULL VERSION  *Build date:Sep 13, 2021*                |
|                                                                                                                                            |
|                                                                                               ParatiePlus                               |
|                                                                                               Exe Time :28 January 2022   11:11:20                               |
+-----+

```

New Project

S T R E S S R E S U L T S F O R G R O U P N O . 1

0_L :
ELEMENT TYPE 5 NO.OF ELEMENTS. IN THIS GROUP 93
C U R R E N T T I M E I S 3.0000 SUBINCREMENT 00001/00001

HARDENING 2D SOIL ELEMENT

***** TOTAL STRESS FORMULATION *****

EL * TOR QSL	FORCE UFACTOR ZD	DISPL-Y Peq ZPL	VERTICAL-P Su_a Kz	HORIZON.-P Su_p	MAX-V-P Cohe_a	MAX-H-P Cohe_p	STATE LAYER	STIFFNESS	Z-LEVEL	PORE ZFO	E FAC- QS
1	0.000	--	--	--	--	--	REMOVED	--	0.000	0.000	
1.000	1.000	0.000	0.000	0.000	0.000	0.000	not available				
2	0.000	--	--	--	--	--	REMOVED	--	-0.2000	0.000	
1.000	1.000	0.000	0.000	0.000	0.000	0.000	not available				
3	0.000	--	--	--	--	--	REMOVED	--	-0.4000	0.000	
1.000	1.000	0.000	0.000	0.000	0.000	0.000	not available				
4	0.000	--	--	--	--	--	REMOVED	--	-0.6000	0.000	
1.000	1.000	0.000	0.000	0.000	0.000	0.000	not available				
5	0.000	--	--	--	--	--	REMOVED	--	-0.8000	0.000	
1.000	1.000	0.000	0.000	0.000	0.000	0.000	not available				
6	0.000	--	--	--	--	--	REMOVED	--	-1.000	0.000	
1.000	1.000	0.000	0.000	0.000	0.000	0.000	not available				
7	0.000	--	--	--	--	--	REMOVED	--	-1.200	0.000	
1.000	1.000	0.000	0.000	0.000	0.000	0.000	not available				
8	0.000	--	--	--	--	--	REMOVED	--	-1.400	0.000	
1.000	1.000	0.000	0.000	0.000	0.000	0.000	not available				
9	0.000	--	--	--	--	--	REMOVED	--	-1.600	0.000	
1.000	1.000	0.000	0.000	0.000	0.000	0.000	not available				
10	0.000	--	--	--	--	--	REMOVED	--	-1.800	0.000	
1.000	1.000	0.000	0.000	0.000	0.000	0.000	not available				
11	0.000	--	--	--	--	--	REMOVED	--	-2.000	0.000	
1.000	1.000	0.000	0.000	0.000	0.000	0.000	not available				
12	0.000	--	--	--	--	--	REMOVED	--	-2.200	0.000	
1.000	1.000	0.000	0.000	0.000	0.000	0.000	not available				
13	0.000	--	--	--	--	--	REMOVED	--	-2.400	0.000	
1.000	1.000	0.000	0.000	0.000	0.000	0.000	not available				
14	0.000	--	--	--	--	--	REMOVED	--	-2.600	0.000	
1.000	1.000	0.000	0.000	0.000	0.000	0.000	not available				
15	0.000	--	--	--	--	--	REMOVED	--	-2.800	0.000	
1.000	1.000	0.000	0.000	0.000	0.000	0.000	not available				
16	0.000	--	--	--	--	--	REMOVED	--	-3.000	0.000	
1.000	1.000	0.000	0.000	0.000	0.000	0.000	not available				
17	0.000	--	--	--	--	--	REMOVED	--	-3.200	0.000	
1.000	1.000	0.000	0.000	0.000	0.000	0.000	not available				
18	0.000	--	--	--	--	--	REMOVED	--	-3.400	0.000	
1.000	1.000	0.000	0.000	0.000	0.000	0.000	not available				
19	0.000	--	--	--	--	--	REMOVED	--	-3.600	0.000	
1.000	1.000	0.000	0.000	0.000	0.000	0.000	not available				
20	0.000	--	--	--	--	--	REMOVED	--	-3.800	0.000	
1.000	1.000	0.000	0.000	0.000	0.000	0.000	not available				
21	0.000	--	--	--	--	--	REMOVED	--	-4.000	0.000	
1.000	1.000	0.000	0.000	0.000	0.000	0.000	not available				
22	0.000	--	--	--	--	--	REMOVED	--	-4.200	0.000	
1.000	1.000	0.000	0.000	0.000	0.000	0.000	not available				
23	0.000	--	--	--	--	--	REMOVED	--	-4.400	0.000	
1.000	1.000	0.000	0.000	0.000	0.000	0.000	not available				
24	0.000	--	--	--	--	--	REMOVED	--	-4.600	0.000	
1.000	1.000	0.000	0.000	0.000	0.000	0.000	not available				
25 D	0.000	3.3700E-02	0.000	0.000	0.000	0.000	PASSIVE	0.000	-4.700	0.000	
1.000	1.000	0.000	0.000	0.000	0.000	0.000	Ala_161_6590_L_0			0.0000	
0.0000	0.0000	0.0000	0.0000	0.0000	0.0000						
26 D	1.977	3.2983E-02	3.900	9.887	3.900	9.887	PASSIVE	0.000	-4.900	0.000	
1.000	1.000	9.887	0.000	0.000	0.000	0.000	Ala_161_6590_L_0			0.0000	
0.0000	0.0000	0.0000	0.0000	0.0000	0.0000						
27 D	3.955	3.2268E-02	7.800	19.77	7.800	19.77	PASSIVE	0.000	-5.100	0.000	
1.000	1.000	19.77	0.000	0.000	0.000	0.000	Ala_161_6590_L_0			0.0000	
0.0000	0.0000	0.0000	0.0000	0.0000	0.0000						
28 D	5.932	3.1557E-02	11.70	29.66	11.70	29.66	PASSIVE	0.000	-5.300	0.000	
1.000	1.000	29.66	0.000	0.000	0.000	0.000	Ala_161_6590_L_0			0.0000	
0.0000	0.0000	0.0000	0.0000	0.0000	0.0000						
29 D	7.909	3.0849E-02	15.60	39.55	15.60	39.55	PASSIVE	0.000	-5.500	0.000	
1.000	1.000	39.55	0.000	0.000	0.000	0.000	Ala_161_6590_L_0			0.0000	
0.0000	0.0000	0.0000	0.0000	0.0000	0.0000						
30 D	9.886	3.0144E-02	19.50	49.43	19.50	49.43	PASSIVE	0.000	-5.700	0.000	

1.000	1.000	49.43	0.000	0.000	0.000	0.000	Ala_161_6590_L_0	0.0000	
0.0000	0.0000	0.0000	0.0000	0.0000	0.0000	0.0000			
31 D	11.86	2.9443E-02	23.40	59.32	23.40	59.32	PASSIVE 0.000	-5.900	0.000
1.000	1.000	59.32	0.000	0.000	0.000	0.000	Ala_161_6590_L_0	0.0000	
0.0000	0.0000	0.0000	0.0000	0.0000	0.0000	0.0000			
32 D	13.84	2.8746E-02	27.30	69.21	27.30	69.21	PASSIVE 0.000	-6.100	0.000
1.000	1.000	69.21	0.000	0.000	0.000	0.000	Ala_161_6590_L_0	0.0000	
0.0000	0.0000	0.0000	0.0000	0.0000	0.0000	0.0000			
33 D	15.82	2.8054E-02	31.20	79.09	31.20	79.09	PASSIVE 0.000	-6.300	0.000
1.000	1.000	79.09	0.000	0.000	0.000	0.000	Ala_161_6590_L_0	0.0000	
0.0000	0.0000	0.0000	0.0000	0.0000	0.0000	0.0000			
34 D	17.80	2.7366E-02	35.10	88.98	35.10	88.98	PASSIVE 0.000	-6.500	0.000
1.000	1.000	88.98	0.000	0.000	0.000	0.000	Ala_161_6590_L_0	0.0000	
0.0000	0.0000	0.0000	0.0000	0.0000	0.0000	0.0000			
35 D	19.77	2.6684E-02	39.00	98.86	39.00	98.86	PASSIVE 0.000	-6.700	0.000
1.000	1.000	98.86	0.000	0.000	0.000	0.000	Ala_161_6590_L_0	0.0000	
0.0000	0.0000	0.0000	0.0000	0.0000	0.0000	0.0000			
36 D	21.75	2.6007E-02	42.90	108.8	42.90	108.8	PASSIVE 0.000	-6.900	0.000
1.000	1.000	108.8	0.000	0.000	0.000	0.000	Ala_161_6590_L_0	0.0000	
0.0000	0.0000	0.0000	0.0000	0.0000	0.0000	0.0000			
37 D	23.73	2.5336E-02	46.80	118.6	46.80	118.6	PASSIVE 0.000	-7.100	0.000
1.000	1.000	118.6	0.000	0.000	0.000	0.000	Ala_161_6590_L_0	0.0000	
0.0000	0.0000	0.0000	0.0000	0.0000	0.0000	0.0000			
38 D	25.70	2.4671E-02	50.70	128.5	50.70	128.5	PASSIVE 0.000	-7.300	0.000
1.000	1.000	128.5	0.000	0.000	0.000	0.000	Ala_161_6590_L_0	0.0000	
0.0000	0.0000	0.0000	0.0000	0.0000	0.0000	0.0000			
39 D	27.68	2.4012E-02	54.60	138.4	54.60	138.4	PASSIVE 0.000	-7.500	0.000
1.000	1.000	138.4	0.000	0.000	0.000	0.000	Ala_161_6590_L_0	0.0000	
0.0000	0.0000	0.0000	0.0000	0.0000	0.0000	0.0000			
40 D	29.66	2.3360E-02	58.50	148.3	58.50	148.3	PASSIVE 0.000	-7.700	0.000
1.000	1.000	148.3	0.000	0.000	0.000	0.000	Ala_161_6590_L_0	0.0000	
0.0000	0.0000	0.0000	0.0000	0.0000	0.0000	0.0000			
41 D	31.64	2.2716E-02	62.40	158.2	62.40	158.2	PASSIVE 0.000	-7.900	0.000
1.000	1.000	158.2	0.000	0.000	0.000	0.000	Ala_161_6590_L_0	0.0000	
0.0000	0.0000	0.0000	0.0000	0.0000	0.0000	0.0000			
42 D	33.61	2.2078E-02	66.30	168.1	66.30	168.1	PASSIVE 0.000	-8.100	0.000
1.000	1.000	168.1	0.000	0.000	0.000	0.000	Ala_161_6590_L_0	0.0000	
0.0000	0.0000	0.0000	0.0000	0.0000	0.0000	0.0000			
43 D	35.59	2.1448E-02	70.20	178.0	70.20	178.0	PASSIVE 0.000	-8.300	0.000
1.000	1.000	178.0	0.000	0.000	0.000	0.000	Ala_161_6590_L_0	0.0000	
0.0000	0.0000	0.0000	0.0000	0.0000	0.0000	0.0000			
44 D	37.57	2.0826E-02	74.10	187.8	74.10	187.8	PASSIVE 0.000	-8.500	0.000
1.000	1.000	187.8	0.000	0.000	0.000	0.000	Ala_161_6590_L_0	0.0000	
0.0000	0.0000	0.0000	0.0000	0.0000	0.0000	0.0000			
45 D	39.55	2.0211E-02	78.00	197.7	78.00	197.7	PASSIVE 0.000	-8.700	0.000
1.000	1.000	197.7	0.000	0.000	0.000	0.000	Ala_161_6590_L_0	0.0000	
0.0000	0.0000	0.0000	0.0000	0.0000	0.0000	0.0000			
46 D	39.61	1.9605E-02	81.90	198.1	81.90	198.1	V-C 7755.	-8.900	0.000
1.000	1.000	198.1	0.000	0.000	0.000	0.000	Ala_161_6590_L_0	0.0000	
0.0000	0.0000	0.0000	0.0000	0.0000	0.0000	0.0000			
47 D	39.12	1.9007E-02	85.80	195.6	85.80	195.6	V-C 7755.	-9.100	0.000
1.000	1.000	195.6	0.000	0.000	0.000	0.000	Ala_161_6590_L_0	0.0000	
0.0000	0.0000	0.0000	0.0000	0.0000	0.0000	0.0000			
48 D	38.65	1.8417E-02	89.70	193.2	89.70	193.2	V-C 7755.	-9.300	0.000
1.000	1.000	193.2	0.000	0.000	0.000	0.000	Ala_161_6590_L_0	0.0000	
0.0000	0.0000	0.0000	0.0000	0.0000	0.0000	0.0000			
49 D	38.18	1.7835E-02	93.60	190.9	93.60	190.9	V-C 7755.	-9.500	0.000
1.000	1.000	190.9	0.000	0.000	0.000	0.000	Ala_161_6590_L_0	0.0000	
0.0000	0.0000	0.0000	0.0000	0.0000	0.0000	0.0000			
50 D	37.91	1.7262E-02	95.50	187.5	95.50	187.5	V-C 7755.	-9.700	2.000
1.000	1.000	189.5	0.000	0.000	0.000	0.000	Ala_161_6590_L_0	0.0000	
0.0000	0.0000	0.0000	0.0000	0.0000	0.0000	0.0000			
51 D	37.65	1.6697E-02	97.40	184.2	97.40	184.2	V-C 7755.	-9.900	4.000
1.000	1.000	188.2	0.000	0.000	0.000	0.000	Ala_161_6590_L_0	0.0000	
0.0000	0.0000	0.0000	0.0000	0.0000	0.0000	0.0000			
52 D	37.40	1.6141E-02	99.30	181.0	99.30	181.0	V-C 7755.	-10.10	6.000
1.000	1.000	187.0	0.000	0.000	0.000	0.000	Ala_161_6590_L_0	0.0000	
0.0000	0.0000	0.0000	0.0000	0.0000	0.0000	0.0000			
53 D	37.16	1.5593E-02	101.2	177.8	101.2	177.8	V-C 7755.	-10.30	8.000
1.000	1.000	185.8	0.000	0.000	0.000	0.000	Ala_161_6590_L_0	0.0000	
0.0000	0.0000	0.0000	0.0000	0.0000	0.0000	0.0000			
54 D	36.94	1.5054E-02	103.1	174.7	103.1	174.7	V-C 7755.	-10.50	10.000
1.000	1.000	184.7	0.000	0.000	0.000	0.000	Ala_161_6590_L_0	0.0000	
0.0000	0.0000	0.0000	0.0000	0.0000	0.0000	0.0000			
55 D	36.73	1.4522E-02	105.0	171.6	105.0	171.6	V-C 7755.	-10.70	12.00
1.000	1.000	183.6	0.000	0.000	0.000	0.000	Ala_161_6590_L_0	0.0000	
0.0000	0.0000	0.0000	0.0000	0.0000	0.0000	0.0000			
56 D	36.53	1.3999E-02	106.9	168.6	106.9	168.6	V-C 7755.	-10.90	14.00
1.000	1.000	182.6	0.000	0.000	0.000	0.000	Ala_161_6590_L_0	0.0000	
0.0000	0.0000	0.0000	0.0000	0.0000	0.0000	0.0000			
57 D	36.34	1.3484E-02	108.8	165.7	108.8	165.7	V-C 7755.	-11.10	16.00
1.000	1.000	181.7	0.000	0.000	0.000	0.000	Ala_161_6590_L_0	0.0000	
0.0000	0.0000	0.0000	0.0000	0.0000	0.0000	0.0000			
58 D	36.17	1.2976E-02	110.7	162.8	110.7	162.8	V-C 7755.	-11.30	18.00
1.000	1.000	180.8	0.000	0.000	0.000	0.000	Ala_161_6590_L_0	0.0000	
0.0000	0.0000	0.0000	0.0000	0.0000	0.0000	0.0000			
59 D	36.01	1.2477E-02	112.6	160.0	112.6	160.0	V-C 7755.	-11.50	20.00
1.000	1.000	180.0	0.000	0.000	0.000	0.000	Ala_161_6590_L_0	0.0000	
0.0000	0.0000	0.0000	0.0000	0.0000	0.0000	0.0000			
60 D	35.86	1.1985E-02	114.5	157.3	114.5	157.3	V-C 7755.	-11.70	22.00
1.000	1.000	179.3	0.000	0.000	0.000	0.000	Ala_161_6590_L_0	0.0000	
0.0000	0.0000	0.0000	0.0000	0.0000	0.0000	0.0000			

61 D	35.72	1.1500E-02	116.4	154.6	116.4	154.6	V-C	7755.	-11.90	24.00
1.000	1.000	178.6	0.000	0.000	0.000	0.000	Ala_161_6590_L_0			0.0000
0.0000	0.0000	0.0000	0.0000	0.0000						
62 D	35.59	1.1023E-02	118.3	152.0	118.3	152.0	V-C	7755.	-12.10	26.00
1.000	1.000	178.0	0.000	0.000	0.000	0.000	Ala_161_6590_L_0			0.0000
0.0000	0.0000	0.0000	0.0000	0.0000						
63 D	35.48	1.0552E-02	120.2	149.4	120.2	149.4	V-C	7755.	-12.30	28.00
1.000	1.000	177.4	0.000	0.000	0.000	0.000	Ala_161_6590_L_0			0.0000
0.0000	0.0000	0.0000	0.0000	0.0000						
64 D	35.37	1.0089E-02	122.1	146.9	122.1	146.9	V-C	7755.	-12.50	30.00
1.000	1.000	176.9	0.000	0.000	0.000	0.000	Ala_161_6590_L_0			0.0000
0.0000	0.0000	0.0000	0.0000	0.0000						
65 D	35.28	9.6316E-03	124.0	144.4	124.0	144.4	V-C	7755.	-12.70	32.00
1.000	1.000	176.4	0.000	0.000	0.000	0.000	Ala_161_6590_L_0			0.0000
0.0000	0.0000	0.0000	0.0000	0.0000						
66 D	35.19	9.1809E-03	125.9	142.0	125.9	142.0	V-C	7755.	-12.90	34.00
1.000	1.000	176.0	0.000	0.000	0.000	0.000	Ala_161_6590_L_0			0.0000
0.0000	0.0000	0.0000	0.0000	0.0000						
67 D	35.11	8.7363E-03	127.8	139.6	127.8	139.6	V-C	7755.	-13.10	36.00
1.000	1.000	175.6	0.000	0.000	0.000	0.000	Ala_161_6590_L_0			0.0000
0.0000	0.0000	0.0000	0.0000	0.0000						
68 D	35.05	8.2976E-03	129.7	137.2	129.7	137.2	V-C	7755.	-13.30	38.00
1.000	1.000	175.2	0.000	0.000	0.000	0.000	Ala_161_6590_L_0			0.0000
0.0000	0.0000	0.0000	0.0000	0.0000						
69 D	34.99	7.8646E-03	131.6	134.9	131.6	134.9	V-C	7755.	-13.50	40.00
1.000	1.000	174.9	0.000	0.000	0.000	0.000	Ala_161_6590_L_0			0.0000
0.0000	0.0000	0.0000	0.0000	0.0000						
70 D	34.94	7.4369E-03	133.5	132.7	133.5	132.7	V-C	7755.	-13.70	42.00
1.000	1.000	174.7	0.000	0.000	0.000	0.000	Ala_161_6590_L_0			0.0000
0.0000	0.0000	0.0000	0.0000	0.0000						
71 D	34.90	7.0143E-03	135.4	130.5	135.4	130.5	V-C	7755.	-13.90	44.00
1.000	1.000	174.5	0.000	0.000	0.000	0.000	Ala_161_6590_L_0			0.0000
0.0000	0.0000	0.0000	0.0000	0.0000						
72 D	34.86	6.5967E-03	137.3	128.3	137.3	128.3	V-C	7755.	-14.10	46.00
1.000	1.000	174.3	0.000	0.000	0.000	0.000	Ala_161_6590_L_0			0.0000
0.0000	0.0000	0.0000	0.0000	0.0000						
73 D	34.84	6.1836E-03	139.2	126.2	139.2	126.2	V-C	7755.	-14.30	48.00
1.000	1.000	174.2	0.000	0.000	0.000	0.000	Ala_161_6590_L_0			0.0000
0.0000	0.0000	0.0000	0.0000	0.0000						
74 D	34.82	5.7750E-03	141.1	124.1	141.1	124.1	V-C	7755.	-14.50	50.00
1.000	1.000	174.1	0.000	0.000	0.000	0.000	Ala_161_6590_L_0			0.0000
0.0000	0.0000	0.0000	0.0000	0.0000						
75 D	34.80	5.3704E-03	143.0	122.0	143.0	122.0	UL-RL	2.3265E+04	-14.70	52.00
1.000	1.000	174.0	0.000	0.000	0.000	0.000	Ala_161_6590_L_0			0.0000
0.0000	0.0000	0.0000	0.0000	0.0000						
76 D	34.79	4.9697E-03	144.9	120.0	144.9	120.0	UL-RL	2.3265E+04	-14.90	54.00
1.000	1.000	174.0	0.000	0.000	0.000	0.000	Ala_161_6590_L_0			0.0000
0.0000	0.0000	0.0000	0.0000	0.0000						
77 D	34.79	4.5726E-03	146.8	118.0	146.8	118.0	UL-RL	2.3265E+04	-15.10	56.00
1.000	1.000	174.0	0.000	0.000	0.000	0.000	Ala_161_6590_L_0			0.0000
0.0000	0.0000	0.0000	0.0000	0.0000						
78 D	34.79	4.1789E-03	148.7	116.0	148.7	116.0	UL-RL	2.3265E+04	-15.30	58.00
1.000	1.000	174.0	0.000	0.000	0.000	0.000	Ala_161_6590_L_0			0.0000
0.0000	0.0000	0.0000	0.0000	0.0000						
79 D	34.80	3.7884E-03	150.6	114.0	150.6	114.0	UL-RL	2.3265E+04	-15.50	60.00
1.000	1.000	174.0	0.000	0.000	0.000	0.000	Ala_161_6590_L_0			0.0000
0.0000	0.0000	0.0000	0.0000	0.0000						
80 D	34.81	3.4007E-03	152.5	112.1	152.5	112.1	UL-RL	2.3265E+04	-15.70	62.00
1.000	1.000	174.1	0.000	0.000	0.000	0.000	Ala_161_6590_L_0			0.0000
0.0000	0.0000	0.0000	0.0000	0.0000						
81 D	34.83	3.0158E-03	154.4	110.1	154.4	110.2	UL-RL	2.3265E+04	-15.90	64.00
1.000	1.000	174.1	0.000	0.000	0.000	0.000	Ala_161_6590_L_0			0.0000
0.0000	0.0000	0.0000	0.0000	0.0000						
82 D	53.73	2.6333E-03	156.4	202.6	156.4	202.8	UL-RL	1.3083E+05	-16.10	66.00
1.000	1.000	268.6	0.000	0.000	8.000	8.000	Salt_21271_21259_L_0			0.0000
0.0000	0.0000	0.0000	0.0000	0.0000						
83 D	51.03	2.2531E-03	158.4	187.2	158.4	187.3	UL-RL	1.3083E+05	-16.30	68.00
1.000	1.000	255.2	0.000	0.000	8.000	8.000	Salt_21271_21259_L_0			0.0000
0.0000	0.0000	0.0000	0.0000	0.0000						
84 D	48.35	1.8748E-03	160.4	171.8	160.4	171.9	UL-RL	1.3083E+05	-16.50	70.00
1.000	1.000	241.8	0.000	0.000	8.000	8.000	Salt_21271_21259_L_0			0.0000
0.0000	0.0000	0.0000	0.0000	0.0000						
85 D	45.51	1.4984E-03	162.4	155.6	162.4	157.1	UL-RL	1.3083E+05	-16.70	72.00
1.000	1.000	227.6	0.000	0.000	8.000	8.000	Salt_21271_21259_L_0			0.0000
0.0000	0.0000	0.0000	0.0000	0.0000						
86 D	42.33	1.1234E-03	164.4	137.6	164.4	143.2	UL-RL	1.3083E+05	-16.90	74.00
1.000	1.000	211.6	0.000	0.000	8.000	8.000	Salt_21271_21259_L_0			0.0000
0.0000	0.0000	0.0000	0.0000	0.0000						
87 D	38.45	7.4965E-04	166.4	116.2	166.4	131.2	UL-RL	1.3083E+05	-17.10	76.00
1.000	1.000	192.2	0.000	0.000	8.000	8.000	Salt_21271_21259_L_0			0.0000
0.0000	0.0000	0.0000	0.0000	0.0000						
88 D	30.59	3.7683E-04	168.4	74.94	168.4	129.1	UL-RL	1.3083E+05	-17.30	78.00
1.000	1.000	152.9	0.000	0.000	8.000	8.000	Salt_21271_21259_L_0			0.0000
0.0000	0.0000	0.0000	0.0000	0.0000						
89 D	28.26	4.6641E-06	170.4	61.32	170.4	127.1	UL-RL	1.3083E+05	-17.50	80.00
1.000	1.000	141.3	0.000	0.000	8.000	8.000	Salt_21271_21259_L_0			0.0000
0.0000	0.0000	0.0000	0.0000	0.0000						
90 D	22.82	-3.6710E-04	172.4	32.10	172.4	114.4	UL-RL	8.1281E+04	-17.70	82.00
1.000	1.000	114.1	0.000	0.000	44.00	44.00	Sch_21272_21260_L_0			0.0000
0.0000	0.0000	0.0000	0.0000	0.0000						
91 D	18.68	-7.3861E-04	175.0	9.387	175.0	113.9	UL-RL	8.1281E+04	-17.90	84.00
1.000	1.000	93.39	0.000	0.000	44.00	44.00	Sch_21272_21260_L_0			0.0000

0.0000	0.0000	0.0000	0.0000	0.0000						
92 D	14.44	-1.1100E-03	177.6	10.24	177.6	113.4	UL-RL	8.1281E+04	-18.10	86.00
1.000	1.000	96.24	0.000	0.000	44.00	44.00	Sch_21272_21260_L_0			0.0000
0.0000	0.0000	0.0000	0.0000	0.0000						
93 D	4.884	-1.2957E-03	178.9	10.67	178.9	113.1	UL-RL	8.1281E+04	-18.20	87.00
1.000	1.000	97.67	0.000	0.000	44.00	44.00	Sch_21272_21260_L_0			0.0000
0.0000	0.0000	0.0000	0.0000	0.0000						


```

+-----+
|                PARATIEPLUS(TM)  NLS ENGINE RELEASE  2022.0.0  FULL VERSION  *Build date:Sep 13, 2021*                |
|                                                                                                                                            |
|                                                                                               ParatiePlus                                                                                               |
|                                                                                               Exe Time :28 January 2022  11:11:20                                                                                               |
+-----+

```

New Project

S T R E S S R E S U L T S F O R G R O U P N O . 2

0_R :
ELEMENT TYPE 5 NO.OF ELEMENTS. IN THIS GROUP 93
C U R R E N T T I M E I S 3.0000 SUBINCREMENT 00001/00001

HARDENING 2D SOIL ELEMENT

***** TOTAL STRESS FORMULATION *****

EL * TOR QSL	FORCE UFACTOR ZD	DISPL-Y Peq ZPL	VERTICAL-P Su_a Kz	HORIZON.-P Su_p	MAX-V-P Coh_e_a	MAX-H-P Coh_e_p	STATE LAYER	STIFFNESS	Z-LEVEL	PORE ZFO	E FAC- QS
1 D	1.710	-5.1872E-02	57.00	17.10	57.00	24.28	ACTIVE	0.000	0.000	0.000	
1.000	1.000	17.10	0.000	0.000	0.000	0.000	rilevato_6589_8_L_0			0.000	
0.0000	0.0000	0.0000	0.0000	0.0000							
2 D	3.660	-5.1082E-02	61.00	18.30	61.00	25.99	ACTIVE	0.000	-0.2000	0.000	
1.000	1.000	18.30	0.000	0.000	0.000	0.000	rilevato_6589_8_L_0			0.000	
0.0000	0.0000	0.0000	0.0000	0.0000							
3 D	3.900	-5.0292E-02	65.00	19.50	65.00	27.69	ACTIVE	0.000	-0.4000	0.000	
1.000	1.000	19.50	0.000	0.000	0.000	0.000	rilevato_6589_8_L_0			0.000	
0.0000	0.0000	0.0000	0.0000	0.0000							
4 D	4.140	-4.9502E-02	69.01	20.70	69.01	29.39	ACTIVE	0.000	-0.6000	0.000	
1.000	1.000	20.70	0.000	0.000	0.000	0.000	rilevato_6589_8_L_0			0.000	
0.0000	0.0000	0.0000	0.0000	0.0000							
5 D	4.381	-4.8712E-02	73.01	21.90	73.01	31.10	ACTIVE	0.000	-0.8000	0.000	
1.000	1.000	21.90	0.000	0.000	0.000	0.000	rilevato_6589_8_L_0			0.000	
0.0000	0.0000	0.0000	0.0000	0.0000							
6 D	4.622	-4.7922E-02	77.03	23.11	77.03	32.80	ACTIVE	0.000	-1.000	0.000	
1.000	1.000	23.11	0.000	0.000	0.000	0.000	rilevato_6589_8_L_0			0.000	
0.0000	0.0000	0.0000	0.0000	0.0000							
7 D	4.863	-4.7133E-02	81.05	24.31	81.05	34.51	ACTIVE	0.000	-1.200	0.000	
1.000	1.000	24.31	0.000	0.000	0.000	0.000	rilevato_6589_8_L_0			0.000	
0.0000	0.0000	0.0000	0.0000	0.0000							
8 D	5.105	-4.6344E-02	85.08	25.52	85.08	36.21	ACTIVE	0.000	-1.400	0.000	
1.000	1.000	25.52	0.000	0.000	0.000	0.000	rilevato_6589_8_L_0			0.000	
0.0000	0.0000	0.0000	0.0000	0.0000							
9 D	5.347	-4.5555E-02	89.11	26.73	89.11	37.91	ACTIVE	0.000	-1.600	0.000	
1.000	1.000	26.73	0.000	0.000	0.000	0.000	rilevato_6589_8_L_0			0.000	
0.0000	0.0000	0.0000	0.0000	0.0000							
10 D	5.589	-4.4768E-02	93.16	27.95	93.16	39.62	ACTIVE	0.000	-1.800	0.000	
1.000	1.000	27.95	0.000	0.000	0.000	0.000	rilevato_6589_8_L_0			0.000	
0.0000	0.0000	0.0000	0.0000	0.0000							
11 D	5.833	-4.3982E-02	97.21	29.16	97.21	41.32	ACTIVE	0.000	-2.000	0.000	
1.000	1.000	29.16	0.000	0.000	0.000	0.000	rilevato_6589_8_L_0			0.000	
0.0000	0.0000	0.0000	0.0000	0.0000							
12 D	6.076	-4.3197E-02	101.3	30.38	101.3	43.03	ACTIVE	0.000	-2.200	0.000	
1.000	1.000	30.38	0.000	0.000	0.000	0.000	rilevato_6589_8_L_0			0.000	
0.0000	0.0000	0.0000	0.0000	0.0000							
13 D	6.321	-4.2414E-02	105.3	31.60	105.3	44.73	ACTIVE	0.000	-2.400	0.000	
1.000	1.000	31.60	0.000	0.000	0.000	0.000	rilevato_6589_8_L_0			0.000	
0.0000	0.0000	0.0000	0.0000	0.0000							
14 D	6.566	-4.1633E-02	109.4	32.83	109.4	46.43	ACTIVE	0.000	-2.600	0.000	
1.000	1.000	32.83	0.000	0.000	0.000	0.000	rilevato_6589_8_L_0			0.000	
0.0000	0.0000	0.0000	0.0000	0.0000							
15 D	6.811	-4.0855E-02	113.5	34.05	113.5	48.14	ACTIVE	0.000	-2.800	0.000	
1.000	1.000	34.05	0.000	0.000	0.000	0.000	rilevato_6589_8_L_0			0.000	
0.0000	0.0000	0.0000	0.0000	0.0000							
16 D	7.057	-4.0080E-02	117.6	35.28	117.6	49.84	ACTIVE	0.000	-3.000	0.000	
1.000	1.000	35.28	0.000	0.000	0.000	0.000	rilevato_6589_8_L_0			0.000	
0.0000	0.0000	0.0000	0.0000	0.0000							
17 D	7.303	-3.9308E-02	121.7	36.52	121.7	51.55	ACTIVE	0.000	-3.200	0.000	
1.000	1.000	36.52	0.000	0.000	0.000	0.000	rilevato_6589_8_L_0			0.000	
0.0000	0.0000	0.0000	0.0000	0.0000							
18 D	7.550	-3.8541E-02	125.8	37.75	125.8	53.25	ACTIVE	0.000	-3.400	0.000	
1.000	1.000	37.75	0.000	0.000	0.000	0.000	rilevato_6589_8_L_0			0.000	
0.0000	0.0000	0.0000	0.0000	0.0000							
19 D	7.797	-3.7778E-02	130.0	38.99	130.0	54.95	ACTIVE	0.000	-3.600	0.000	
1.000	1.000	38.99	0.000	0.000	0.000	0.000	rilevato_6589_8_L_0			0.000	
0.0000	0.0000	0.0000	0.0000	0.0000							
20 D	8.045	-3.7021E-02	134.1	40.23	134.1	56.66	ACTIVE	0.000	-3.800	0.000	
1.000	1.000	40.23	0.000	0.000	0.000	0.000	rilevato_6589_8_L_0			0.000	
0.0000	0.0000	0.0000	0.0000	0.0000							
21 D	8.293	-3.6269E-02	138.2	41.47	138.2	58.36	ACTIVE	0.000	-4.000	0.000	
1.000	1.000	41.47	0.000	0.000	0.000	0.000	rilevato_6589_8_L_0			0.000	
0.0000	0.0000	0.0000	0.0000	0.0000							
22 D	8.541	-3.5525E-02	142.4	42.71	142.4	60.07	ACTIVE	0.000	-4.200	0.000	

1.000	1.000	42.71	0.000	0.000	0.000	0.000	rilevato_6589_8_L_0	0.0000	
0.0000	0.0000	0.0000	0.0000	0.0000	0.0000				
23 D	8.790	-3.4789E-02	146.5	43.95	146.5	61.77	ACTIVE 0.000	-4.400	0.000
1.000	1.000	43.95	0.000	0.000	0.000	0.000	rilevato_6589_8_L_0	0.0000	
0.0000	0.0000	0.0000	0.0000	0.0000	0.0000				
24 D	6.779	-3.4061E-02	150.6	45.19	150.6	63.47	ACTIVE 0.000	-4.600	0.000
1.000	1.000	45.19	0.000	0.000	0.000	0.000	rilevato_6589_8_L_0	0.0000	
0.0000	0.0000	0.0000	0.0000	0.0000	0.0000				
25 D	9.896	-3.3700E-02	152.7	65.97	152.7	85.82	ACTIVE 0.000	-4.700	0.000
1.000	1.000	65.97	0.000	0.000	0.000	0.000	Ala_161_6590_L_0	0.0000	
0.0000	0.0000	0.0000	0.0000	0.0000	0.0000				
26 D	13.54	-3.2983E-02	156.8	67.72	156.8	88.10	ACTIVE 0.000	-4.900	0.000
1.000	1.000	67.72	0.000	0.000	0.000	0.000	Ala_161_6590_L_0	0.0000	
0.0000	0.0000	0.0000	0.0000	0.0000	0.0000				
27 D	13.89	-3.2268E-02	160.8	69.47	160.8	90.38	ACTIVE 0.000	-5.100	0.000
1.000	1.000	69.47	0.000	0.000	0.000	0.000	Ala_161_6590_L_0	0.0000	
0.0000	0.0000	0.0000	0.0000	0.0000	0.0000				
28 D	14.24	-3.1557E-02	164.9	71.22	164.9	92.65	ACTIVE 0.000	-5.300	0.000
1.000	1.000	71.22	0.000	0.000	0.000	0.000	Ala_161_6590_L_0	0.0000	
0.0000	0.0000	0.0000	0.0000	0.0000	0.0000				
29 D	14.59	-3.0849E-02	168.9	72.97	168.9	94.93	ACTIVE 0.000	-5.500	0.000
1.000	1.000	72.97	0.000	0.000	0.000	0.000	Ala_161_6590_L_0	0.0000	
0.0000	0.0000	0.0000	0.0000	0.0000	0.0000				
30 D	14.94	-3.0144E-02	173.0	74.72	173.0	97.20	ACTIVE 0.000	-5.700	0.000
1.000	1.000	74.72	0.000	0.000	0.000	0.000	Ala_161_6590_L_0	0.0000	
0.0000	0.0000	0.0000	0.0000	0.0000	0.0000				
31 D	15.29	-2.9443E-02	177.0	76.47	177.0	99.48	ACTIVE 0.000	-5.900	0.000
1.000	1.000	76.47	0.000	0.000	0.000	0.000	Ala_161_6590_L_0	0.0000	
0.0000	0.0000	0.0000	0.0000	0.0000	0.0000				
32 D	15.64	-2.8746E-02	181.1	78.21	181.1	101.8	ACTIVE 0.000	-6.100	0.000
1.000	1.000	78.21	0.000	0.000	0.000	0.000	Ala_161_6590_L_0	0.0000	
0.0000	0.0000	0.0000	0.0000	0.0000	0.0000				
33 D	15.99	-2.8054E-02	185.1	79.96	185.1	104.0	ACTIVE 0.000	-6.300	0.000
1.000	1.000	79.96	0.000	0.000	0.000	0.000	Ala_161_6590_L_0	0.0000	
0.0000	0.0000	0.0000	0.0000	0.0000	0.0000				
34 D	16.34	-2.7366E-02	189.1	81.71	189.1	106.3	ACTIVE 0.000	-6.500	0.000
1.000	1.000	81.71	0.000	0.000	0.000	0.000	Ala_161_6590_L_0	0.0000	
0.0000	0.0000	0.0000	0.0000	0.0000	0.0000				
35 D	16.69	-2.6684E-02	193.2	83.45	193.2	108.6	ACTIVE 0.000	-6.700	0.000
1.000	1.000	83.45	0.000	0.000	0.000	0.000	Ala_161_6590_L_0	0.0000	
0.0000	0.0000	0.0000	0.0000	0.0000	0.0000				
36 D	17.07	-2.6007E-02	197.6	85.34	197.6	111.0	ACTIVE 0.000	-6.900	0.000
1.000	1.000	85.34	0.000	0.000	0.000	0.000	Ala_161_6590_L_0	0.0000	
0.0000	0.0000	0.0000	0.0000	0.0000	0.0000				
37 D	17.48	-2.5336E-02	202.3	87.40	202.3	113.7	ACTIVE 0.000	-7.100	0.000
1.000	1.000	87.40	0.000	0.000	0.000	0.000	Ala_161_6590_L_0	0.0000	
0.0000	0.0000	0.0000	0.0000	0.0000	0.0000				
38 D	17.86	-2.4671E-02	206.7	89.29	206.7	116.2	ACTIVE 0.000	-7.300	0.000
1.000	1.000	89.29	0.000	0.000	0.000	0.000	Ala_161_6590_L_0	0.0000	
0.0000	0.0000	0.0000	0.0000	0.0000	0.0000				
39 D	18.25	-2.4012E-02	211.2	91.26	211.2	118.7	ACTIVE 0.000	-7.500	0.000
1.000	1.000	91.26	0.000	0.000	0.000	0.000	Ala_161_6590_L_0	0.0000	
0.0000	0.0000	0.0000	0.0000	0.0000	0.0000				
40 D	18.63	-2.3360E-02	215.6	93.16	215.6	121.2	ACTIVE 0.000	-7.700	0.000
1.000	1.000	93.16	0.000	0.000	0.000	0.000	Ala_161_6590_L_0	0.0000	
0.0000	0.0000	0.0000	0.0000	0.0000	0.0000				
41 D	19.01	-2.2716E-02	220.0	95.06	220.0	123.7	ACTIVE 0.000	-7.900	0.000
1.000	1.000	95.06	0.000	0.000	0.000	0.000	Ala_161_6590_L_0	0.0000	
0.0000	0.0000	0.0000	0.0000	0.0000	0.0000				
42 D	19.39	-2.2078E-02	224.4	96.96	224.4	126.1	ACTIVE 0.000	-8.100	0.000
1.000	1.000	96.96	0.000	0.000	0.000	0.000	Ala_161_6590_L_0	0.0000	
0.0000	0.0000	0.0000	0.0000	0.0000	0.0000				
43 D	19.76	-2.1448E-02	228.7	98.79	228.7	128.5	ACTIVE 0.000	-8.300	0.000
1.000	1.000	98.79	0.000	0.000	0.000	0.000	Ala_161_6590_L_0	0.0000	
0.0000	0.0000	0.0000	0.0000	0.0000	0.0000				
44 D	20.14	-2.0826E-02	233.1	100.7	233.1	131.0	ACTIVE 0.000	-8.500	0.000
1.000	1.000	100.7	0.000	0.000	0.000	0.000	Ala_161_6590_L_0	0.0000	
0.0000	0.0000	0.0000	0.0000	0.0000	0.0000				
45 D	20.50	-2.0211E-02	237.2	102.5	237.2	133.3	ACTIVE 0.000	-8.700	0.000
1.000	1.000	102.5	0.000	0.000	0.000	0.000	Ala_161_6590_L_0	0.0000	
0.0000	0.0000	0.0000	0.0000	0.0000	0.0000				
46 D	20.87	-1.9605E-02	241.6	104.4	241.6	135.8	ACTIVE 0.000	-8.900	0.000
1.000	1.000	104.4	0.000	0.000	0.000	0.000	Ala_161_6590_L_0	0.0000	
0.0000	0.0000	0.0000	0.0000	0.0000	0.0000				
47 D	21.23	-1.9007E-02	245.7	106.1	245.7	138.1	ACTIVE 0.000	-9.100	0.000
1.000	1.000	106.1	0.000	0.000	0.000	0.000	Ala_161_6590_L_0	0.0000	
0.0000	0.0000	0.0000	0.0000	0.0000	0.0000				
48 D	21.60	-1.8417E-02	250.0	108.0	250.0	140.5	ACTIVE 0.000	-9.300	0.000
1.000	1.000	108.0	0.000	0.000	0.000	0.000	Ala_161_6590_L_0	0.0000	
0.0000	0.0000	0.0000	0.0000	0.0000	0.0000				
49 D	21.95	-1.7835E-02	254.1	109.8	254.1	142.8	ACTIVE 0.000	-9.500	0.000
1.000	1.000	109.8	0.000	0.000	0.000	0.000	Ala_161_6590_L_0	0.0000	
0.0000	0.0000	0.0000	0.0000	0.0000	0.0000				
50 D	22.55	-1.7262E-02	256.3	110.7	256.3	144.1	ACTIVE 0.000	-9.700	2.000
1.000	1.000	112.7	0.000	0.000	0.000	0.000	Ala_161_6590_L_0	0.0000	
0.0000	0.0000	0.0000	0.0000	0.0000	0.0000				
51 D	23.12	-1.6697E-02	258.3	111.6	258.3	145.2	ACTIVE 0.000	-9.900	4.000
1.000	1.000	115.6	0.000	0.000	0.000	0.000	Ala_161_6590_L_0	0.0000	
0.0000	0.0000	0.0000	0.0000	0.0000	0.0000				
52 D	23.71	-1.6141E-02	260.6	112.6	260.6	146.4	ACTIVE 0.000	-10.10	6.000
1.000	1.000	118.6	0.000	0.000	0.000	0.000	Ala_161_6590_L_0	0.0000	
0.0000	0.0000	0.0000	0.0000	0.0000	0.0000				

53 D	24.28	-1.5593E-02	262.5	113.4	262.5	147.5	ACTIVE	0.000	-10.30	8.000
1.000	1.000	121.4	0.000	0.000	0.000	0.000	Ala_161_6590_L_0			0.0000
0.0000	0.0000	0.0000	0.0000	0.0000						
54 D	24.87	-1.5054E-02	264.7	114.3	264.7	148.7	ACTIVE	0.000	-10.50	10.000
1.000	1.000	124.3	0.000	0.000	0.000	0.000	Ala_161_6590_L_0			0.0000
0.0000	0.0000	0.0000	0.0000	0.0000						
55 D	25.44	-1.4522E-02	266.7	115.2	266.7	149.9	ACTIVE	0.000	-10.70	12.00
1.000	1.000	127.2	0.000	0.000	0.000	0.000	Ala_161_6590_L_0			0.0000
0.0000	0.0000	0.0000	0.0000	0.0000						
56 D	26.02	-1.3999E-02	268.7	116.1	268.7	151.0	ACTIVE	0.000	-10.90	14.00
1.000	1.000	130.1	0.000	0.000	0.000	0.000	Ala_161_6590_L_0			0.0000
0.0000	0.0000	0.0000	0.0000	0.0000						
57 D	26.59	-1.3484E-02	270.7	117.0	270.7	152.1	ACTIVE	0.000	-11.10	16.00
1.000	1.000	133.0	0.000	0.000	0.000	0.000	Ala_161_6590_L_0			0.0000
0.0000	0.0000	0.0000	0.0000	0.0000						
58 D	27.16	-1.2976E-02	272.7	117.8	272.7	153.3	ACTIVE	0.000	-11.30	18.00
1.000	1.000	135.8	0.000	0.000	0.000	0.000	Ala_161_6590_L_0			0.0000
0.0000	0.0000	0.0000	0.0000	0.0000						
59 D	27.74	-1.2477E-02	274.7	118.7	274.7	154.4	ACTIVE	0.000	-11.50	20.00
1.000	1.000	138.7	0.000	0.000	0.000	0.000	Ala_161_6590_L_0			0.0000
0.0000	0.0000	0.0000	0.0000	0.0000						
60 D	28.31	-1.1985E-02	276.7	119.5	276.7	155.5	ACTIVE	0.000	-11.70	22.00
1.000	1.000	141.5	0.000	0.000	0.000	0.000	Ala_161_6590_L_0			0.0000
0.0000	0.0000	0.0000	0.0000	0.0000						
61 D	28.88	-1.1500E-02	278.7	120.4	278.7	156.6	ACTIVE	0.000	-11.90	24.00
1.000	1.000	144.4	0.000	0.000	0.000	0.000	Ala_161_6590_L_0			0.0000
0.0000	0.0000	0.0000	0.0000	0.0000						
62 D	29.44	-1.1023E-02	280.6	121.2	280.6	157.7	ACTIVE	0.000	-12.10	26.00
1.000	1.000	147.2	0.000	0.000	0.000	0.000	Ala_161_6590_L_0			0.0000
0.0000	0.0000	0.0000	0.0000	0.0000						
63 D	30.02	-1.0552E-02	282.6	122.1	282.6	158.8	ACTIVE	0.000	-12.30	28.00
1.000	1.000	150.1	0.000	0.000	0.000	0.000	Ala_161_6590_L_0			0.0000
0.0000	0.0000	0.0000	0.0000	0.0000						
64 D	30.58	-1.0089E-02	284.5	122.9	284.5	159.9	ACTIVE	0.000	-12.50	30.00
1.000	1.000	152.9	0.000	0.000	0.000	0.000	Ala_161_6590_L_0			0.0000
0.0000	0.0000	0.0000	0.0000	0.0000						
65 D	31.15	-9.6316E-03	286.5	123.8	286.5	161.0	ACTIVE	0.000	-12.70	32.00
1.000	1.000	155.8	0.000	0.000	0.000	0.000	Ala_161_6590_L_0			0.0000
0.0000	0.0000	0.0000	0.0000	0.0000						
66 D	31.71	-9.1809E-03	288.3	124.6	288.3	162.0	ACTIVE	0.000	-12.90	34.00
1.000	1.000	158.6	0.000	0.000	0.000	0.000	Ala_161_6590_L_0			0.0000
0.0000	0.0000	0.0000	0.0000	0.0000						
67 D	32.28	-8.7363E-03	290.3	125.4	290.3	163.1	ACTIVE	0.000	-13.10	36.00
1.000	1.000	161.4	0.000	0.000	0.000	0.000	Ala_161_6590_L_0			0.0000
0.0000	0.0000	0.0000	0.0000	0.0000						
68 D	32.84	-8.2976E-03	292.1	126.2	292.1	164.2	ACTIVE	0.000	-13.30	38.00
1.000	1.000	164.2	0.000	0.000	0.000	0.000	Ala_161_6590_L_0			0.0000
0.0000	0.0000	0.0000	0.0000	0.0000						
69 D	33.39	-7.8646E-03	293.9	127.0	293.9	165.2	ACTIVE	0.000	-13.50	40.00
1.000	1.000	167.0	0.000	0.000	0.000	0.000	Ala_161_6590_L_0			0.0000
0.0000	0.0000	0.0000	0.0000	0.0000						
70 D	33.95	-7.4369E-03	295.7	127.7	295.7	166.2	ACTIVE	0.000	-13.70	42.00
1.000	1.000	169.7	0.000	0.000	0.000	0.000	Ala_161_6590_L_0			0.0000
0.0000	0.0000	0.0000	0.0000	0.0000						
71 D	34.50	-7.0143E-03	297.5	128.5	297.5	167.2	ACTIVE	0.000	-13.90	44.00
1.000	1.000	172.5	0.000	0.000	0.000	0.000	Ala_161_6590_L_0			0.0000
0.0000	0.0000	0.0000	0.0000	0.0000						
72 D	35.06	-6.5967E-03	299.3	129.3	299.3	168.2	ACTIVE	0.000	-14.10	46.00
1.000	1.000	175.3	0.000	0.000	0.000	0.000	Ala_161_6590_L_0			0.0000
0.0000	0.0000	0.0000	0.0000	0.0000						
73 D	35.62	-6.1836E-03	301.1	130.1	301.1	169.2	ACTIVE	0.000	-14.30	48.00
1.000	1.000	178.1	0.000	0.000	0.000	0.000	Ala_161_6590_L_0			0.0000
0.0000	0.0000	0.0000	0.0000	0.0000						
74 D	36.17	-5.7750E-03	302.9	130.9	302.9	170.2	ACTIVE	0.000	-14.50	50.00
1.000	1.000	180.9	0.000	0.000	0.000	0.000	Ala_161_6590_L_0			0.0000
0.0000	0.0000	0.0000	0.0000	0.0000						
75 D	36.73	-5.3704E-03	304.7	131.6	304.7	171.3	UL-RL 2.4134E+04		-14.70	52.00
1.000	1.000	183.6	0.000	0.000	0.000	0.000	Ala_161_6590_L_0			0.0000
0.0000	0.0000	0.0000	0.0000	0.0000						
76 D	37.29	-4.9697E-03	306.5	132.4	306.5	172.3	UL-RL 2.4134E+04		-14.90	54.00
1.000	1.000	186.4	0.000	0.000	0.000	0.000	Ala_161_6590_L_0			0.0000
0.0000	0.0000	0.0000	0.0000	0.0000						
77 D	37.84	-4.5726E-03	308.4	133.2	308.4	173.3	UL-RL 2.4134E+04		-15.10	56.00
1.000	1.000	189.2	0.000	0.000	0.000	0.000	Ala_161_6590_L_0			0.0000
0.0000	0.0000	0.0000	0.0000	0.0000						
78 D	38.40	-4.1789E-03	310.2	134.0	310.2	174.3	UL-RL 2.4134E+04		-15.30	58.00
1.000	1.000	192.0	0.000	0.000	0.000	0.000	Ala_161_6590_L_0			0.0000
0.0000	0.0000	0.0000	0.0000	0.0000						
79 D	38.96	-3.7884E-03	312.0	134.8	312.0	175.3	UL-RL 2.4134E+04		-15.50	60.00
1.000	1.000	194.8	0.000	0.000	0.000	0.000	Ala_161_6590_L_0			0.0000
0.0000	0.0000	0.0000	0.0000	0.0000						
80 D	39.52	-3.4007E-03	313.8	135.6	313.8	176.4	UL-RL 2.4134E+04		-15.70	62.00
1.000	1.000	197.6	0.000	0.000	0.000	0.000	Ala_161_6590_L_0			0.0000
0.0000	0.0000	0.0000	0.0000	0.0000						
81 D	40.07	-3.0158E-03	315.6	136.4	315.6	177.4	UL-RL 2.4134E+04		-15.90	64.00
1.000	1.000	200.4	0.000	0.000	0.000	0.000	Ala_161_6590_L_0			0.0000
0.0000	0.0000	0.0000	0.0000	0.0000						
82 D	37.64	-2.6333E-03	317.5	122.2	317.5	178.4	UL-RL 1.4013E+05		-16.10	66.00
1.000	1.000	188.2	0.000	0.000	8.000	8.000	Salt_21271_21259_L_0			0.0000
0.0000	0.0000	0.0000	0.0000	0.0000						
83 D	38.20	-2.2531E-03	319.4	123.0	319.4	179.5	UL-RL 1.4013E+05		-16.30	68.00
1.000	1.000	191.0	0.000	0.000	8.000	8.000	Salt_21271_21259_L_0			0.0000

0.0000	0.0000	0.0000	0.0000	0.0000						
84 D	38.77	-1.8748E-03	321.3	123.8	321.3	180.6	UL-RL 1.4013E+05	-16.50	70.00	
1.000	1.000	193.8	0.000	0.000	8.000	8.000	Salt_21271_21259_L_0		0.0000	
0.0000	0.0000	0.0000	0.0000	0.0000						
85 D	39.62	-1.4984E-03	323.3	126.1	323.3	181.7	UL-RL 1.4013E+05	-16.70	72.00	
1.000	1.000	198.1	0.000	0.000	8.000	8.000	Salt_21271_21259_L_0		0.0000	
0.0000	0.0000	0.0000	0.0000	0.0000						
86 D	41.05	-1.1234E-03	325.2	131.2	325.2	182.8	UL-RL 1.4013E+05	-16.90	74.00	
1.000	1.000	205.2	0.000	0.000	8.000	8.000	Salt_21271_21259_L_0		0.0000	
0.0000	0.0000	0.0000	0.0000	0.0000						
87 D	43.61	-7.4965E-04	327.1	142.0	327.1	183.8	UL-RL 1.4013E+05	-17.10	76.00	
1.000	1.000	218.0	0.000	0.000	8.000	8.000	Salt_21271_21259_L_0		0.0000	
0.0000	0.0000	0.0000	0.0000	0.0000						
88 D	52.48	-3.7683E-04	329.0	184.4	329.0	185.2	UL-RL 1.4013E+05	-17.30	78.00	
1.000	1.000	262.4	0.000	0.000	8.000	8.000	Salt_21271_21259_L_0		0.0000	
0.0000	0.0000	0.0000	0.0000	0.0000						
89 D	55.89	-4.6641E-06	331.0	199.4	331.0	200.1	UL-RL 1.4013E+05	-17.50	80.00	
1.000	1.000	279.4	0.000	0.000	8.000	8.000	Salt_21271_21259_L_0		0.0000	
0.0000	0.0000	0.0000	0.0000	0.0000						
90 D	56.29	3.6710E-04	333.0	199.4	333.0	199.9	UL-RL 1.0277E+05	-17.70	82.00	
1.000	1.000	281.4	0.000	0.000	44.00	44.00	Sch_21272_21260_L_0		0.0000	
0.0000	0.0000	0.0000	0.0000	0.0000						
91 D	59.52	7.3861E-04	335.5	213.6	335.5	214.0	UL-RL 1.0277E+05	-17.90	84.00	
1.000	1.000	297.6	0.000	0.000	44.00	44.00	Sch_21272_21260_L_0		0.0000	
0.0000	0.0000	0.0000	0.0000	0.0000						
92 D	47.07	1.1100E-03	338.0	227.8	338.0	228.1	UL-RL 1.0277E+05	-18.10	86.00	
1.000	1.000	313.8	0.000	0.000	44.00	44.00	Sch_21272_21260_L_0		0.0000	
0.0000	0.0000	0.0000	0.0000	0.0000						
93 D	16.10	1.2957E-03	339.3	234.9	339.3	235.2	UL-RL 1.0277E+05	-18.20	87.00	
1.000	1.000	321.9	0.000	0.000	44.00	44.00	Sch_21272_21260_L_0		0.0000	
0.0000	0.0000	0.0000	0.0000	0.0000						

```

+-----+
|                PARATIEPLUS(TM)  NLS ENGINE RELEASE  2022.0.0  FULL VERSION  *Build date:Sep 13, 2021*                |
|                                                                                                                                            |
|                                                                                               ParatiePlus                               |
|                                                                                               Exe Time :28 January 2022   11:11:20                               |
+-----+

```

New Project

S T R E S S R E S U L T S F O R G R O U P N O . 3

```

pali15001.7_33 :
ELEMENT TYPE   2 NO.OF ELEMENTS. IN THIS GROUP   68
C U R R E N T   T I M E   I S   3.0000 SUBINCREMENT 00001/00001

```

WALL2D ELEMENT

EL	TA	TB	MA	MB
1	-154.97	154.97	293.27	-324.26
2	-166.54	166.54	324.26	-357.57
3	-176.48	176.48	357.57	-392.87
4	-184.79	184.79	392.87	-429.82
5	-191.48	191.48	429.82	-468.12
6	-196.53	196.53	468.12	-507.43
7	-199.96	199.96	507.43	-547.42
8	-201.76	201.76	547.42	-587.77
9	-201.94	201.94	587.77	-628.16
10	-200.48	200.48	628.16	-668.26
11	-197.40	197.40	668.26	-707.74
12	-192.72	192.72	707.74	-746.28
13	-186.47	186.47	746.28	-783.58
14	-178.63	178.63	783.58	-819.30
15	-169.20	169.20	819.30	-853.14
16	-158.17	158.17	853.14	-884.77
17	-145.54	145.54	884.77	-913.88
18	-131.32	131.32	913.88	-940.15
19	-115.49	115.49	940.15	-963.24
20	-98.056	98.056	963.24	-982.85
21	-79.006	79.006	982.85	-998.66
22	-60.267	60.267	998.66	-1010.7
23	-42.369	42.369	1010.7	-1019.2
24	-25.323	25.323	1019.2	-1024.2
25	-9.0897	9.0897	1024.2	-1026.1
26	6.2714	-6.2714	1026.1	-1024.8
27	20.797	-20.797	1024.8	-1020.7
28	34.482	-34.482	1020.7	-1013.8
29	47.359	-47.359	1013.8	-1004.3
30	59.428	-59.428	1004.3	-992.40
31	70.714	-70.714	992.40	-978.26
32	81.224	-81.224	978.26	-962.01
33	90.975	-90.975	962.01	-943.82
34	99.980	-99.980	943.82	-923.82
35	108.25	-108.25	923.82	-902.17
36	115.80	-115.80	902.17	-879.01
37	122.65	-122.65	879.01	-854.48
38	128.80	-128.80	854.48	-828.72
39	134.26	-134.26	828.72	-801.87
40	139.05	-139.05	801.87	-774.06
41	143.18	-143.18	774.06	-745.42
42	146.65	-146.65	745.42	-716.09
43	149.49	-149.49	716.09	-686.20
44	151.70	-151.70	686.20	-655.86
45	153.29	-153.29	655.86	-625.20
46	154.29	-154.29	625.20	-594.34
47	154.69	-154.69	594.34	-563.40
48	154.49	-154.49	563.40	-532.50
49	153.71	-153.71	532.50	-501.76
50	152.36	-152.36	501.76	-471.29
51	150.43	-150.43	471.29	-441.20
52	147.94	-147.94	441.20	-411.62
53	144.89	-144.89	411.62	-382.64
54	141.28	-141.28	382.64	-354.38
55	137.12	-137.12	354.38	-326.96
56	132.42	-132.42	326.96	-300.47
57	127.17	-127.17	300.47	-275.04
58	143.26	-143.26	275.04	-246.39
59	156.09	-156.09	246.39	-215.17
60	165.67	-165.67	215.17	-182.04
61	171.56	-171.56	182.04	-147.72
62	172.84	-172.84	147.72	-113.16
63	167.68	-167.68	113.16	-79.619
64	145.79	-145.79	79.619	-50.462
65	118.16	-118.16	50.462	-26.829
66	84.693	-84.693	26.829	-9.8904
67	43.846	-43.846	9.8904	-1.1212
68	11.212	-11.212	1.1212	2.74447E-10

```

+-----+
|                PARATIEPLUS(TM)  NLS ENGINE RELEASE  2022.0.0  FULL VERSION  *Build date:Sep 13, 2021*                |
|                                                                                                                                            |
|                                                                                               ParatiePlus                               |
|                                                                                               Exe Time :28 January 2022   11:11:20          |
+-----+

```

New Project

S T R E S S R E S U L T S F O R G R O U P N O . 4

```

muro71cm_4658 :
ELEMENT TYPE   2 NO.OF ELEMENTS. IN THIS GROUP   24
C U R R E N T   T I M E   I S   3.0000 SUBINCREMENT 00001/00001

```

WALL2D ELEMENT

EL	TA	TB	MA	MB
1	-1.7100	1.7100	-6.89788E-10	0.34200
2	-5.3700	5.3700	0.34200	-1.4160
3	-9.2701	9.2701	1.4160	-3.2700
4	-13.411	13.411	3.2700	-5.9521
5	-17.791	17.791	5.9521	-9.5104
6	-22.413	22.413	9.5104	-13.993
7	-27.276	27.276	13.993	-19.448
8	-32.381	32.381	19.448	-25.924
9	-37.727	37.727	25.924	-33.470
10	-43.317	43.317	33.470	-42.133
11	-49.149	49.149	42.133	-51.963
12	-55.226	55.226	51.963	-63.008
13	-61.546	61.546	63.008	-75.317
14	-68.112	68.112	75.317	-88.940
15	-74.923	74.923	88.940	-103.92
16	-81.979	81.979	103.92	-120.32
17	-89.283	89.283	120.32	-138.18
18	-96.833	96.833	138.18	-157.54
19	-104.63	104.63	157.54	-178.47
20	-112.68	112.68	178.47	-201.00
21	-120.97	120.97	201.00	-225.20
22	-129.51	129.51	225.20	-251.10
23	-138.30	138.30	251.10	-278.76
24	-145.08	145.08	278.76	-293.27

```

ITER   0  RNORM = 23.64   RMNORM= 0.000
RINORM=0.3081E+07   RIMNOR=0.6694E+08
RENORM= 214.3   REMNOR=0.6375E-16   RATIO =0.8340E-02   TOLER =0.1000E-03   NOT CONVERGED
RFMAX = 201.9   RMMAX = 1026.
RTSMAL=0.1000E-02   RMSMAL=0.1000E-01
RDT   =0.3081E+07   RDR   =0.6694E+08
RATIOT=0.8340E-02   RATIO= 0.000
MAX UN=0.1506E-07   IEQ= 111 NODE   56 DOF   1   Y-DISPL.F
MIN UN=-4.986   IEQ= 89 NODE   45 DOF   1   Y-DISPL.F
NO. OF CONTACT CONSTRAINT VIOLATIONS   0

```

```

ITER   2  RNORM = 23.64   RMNORM= 0.000
RINORM=0.3081E+07   RIMNOR=0.6694E+08
RENORM= 1565.   REMNOR=0.1387E-15   RATIO =0.2254E-01   TOLER =0.1000E-03   NOT CONVERGED
RFMAX = 201.9   RMMAX = 1026.
RTSMAL=0.1000E-02   RMSMAL=0.1000E-01
RDT   =0.3081E+07   RDR   =0.6694E+08
RATIOT=0.2254E-01   RATIO= 0.000
MAX UN= 17.18   IEQ= 177 NODE   89 DOF   1   Y-DISPL.F
MIN UN=-12.75   IEQ= 163 NODE   82 DOF   1   Y-DISPL.F
NO. OF CONTACT CONSTRAINT VIOLATIONS   0

```

```

ITER   3  RNORM = 23.64   RMNORM= 0.000
RINORM=0.3081E+07   RIMNOR=0.6694E+08
RENORM= 17.65   REMNOR=0.1137E-15   RATIO =0.2393E-02   TOLER =0.1000E-03   NOT CONVERGED
RFMAX = 201.9   RMMAX = 1026.
RTSMAL=0.1000E-02   RMSMAL=0.1000E-01
RDT   =0.3081E+07   RDR   =0.6694E+08
RATIOT=0.2393E-02   RATIO= 0.000
MAX UN= 2.975   IEQ= 173 NODE   87 DOF   1   Y-DISPL.F
MIN UN=-2.259   IEQ= 103 NODE   52 DOF   1   Y-DISPL.F
NO. OF CONTACT CONSTRAINT VIOLATIONS   0

```

```

ITER   4  RNORM = 23.64   RMNORM= 0.000
RINORM=0.3081E+07   RIMNOR=0.6694E+08
RENORM=0.4350E-13   REMNOR=0.1382E-15   RATIO =0.1188E-09   TOLER =0.1000E-03   CONVERGED !
RFMAX = 201.9   RMMAX = 1026.
RTSMAL=0.1000E-02   RMSMAL=0.1000E-01
RDT   =0.3081E+07   RDR   =0.6694E+08
RATIOT=0.1188E-09   RATIO= 0.000
MAX UN=0.5907E-07   IEQ= 81 NODE   41 DOF   1   Y-DISPL.F
MIN UN=-.7620E-07   IEQ= 71 NODE   36 DOF   1   Y-DISPL.F

```

NO. OF CONTACT CONSTRAINT VIOLATIONS 0

```

+-----+
|                PARATIEPLUS(TM)  NLS ENGINE RELEASE  2022.0.0  FULL VERSION  *Build date:Sep 13, 2021*                |
|                                                                                                                                            |
|                                                                                                                                            |
|                                                                                                                                            |
|                                                                                                                                            |
|                                                                                                                                            |
|                ParatiePlus                                                                                                                                            |
|                Exe Time :28 January 2022  11:11:20                                                                                                                                            |
+-----+

```

New Project
SOLUTION REACHED USING 4 ITERATIONS ON 40

PRINT OUT FOR TIME STEP 4 (AT TIME 4.000) SUBINCREMENT 0001/00001

PRINT OUT OF ACTIVE COMPONENTS (FIXED NODES ARE NOT PRINTED OUT)

	Y-DISPL.F	X-ROT. F
	02	04
1	-7.2375400E-02	5.4229293E-03
2	-7.1290817E-02	5.4228913E-03
3	-7.0206254E-02	5.4226972E-03
4	-6.9121759E-02	5.4221825E-03
5	-6.8037414E-02	5.4211747E-03
6	-6.6953335E-02	5.4194929E-03
7	-6.5869674E-02	5.4169481E-03
8	-6.4786626E-02	5.4133429E-03
9	-6.3704422E-02	5.4084716E-03
10	-6.2623336E-02	5.4021205E-03
11	-6.1543687E-02	5.3940671E-03
12	-6.0465838E-02	5.3840811E-03
13	-5.9390199E-02	5.3719235E-03
14	-5.8317230E-02	5.3573471E-03
15	-5.7247439E-02	5.3400962E-03
16	-5.6181387E-02	5.3199069E-03
17	-5.5119685E-02	5.2965065E-03
18	-5.4063012E-02	5.2696144E-03
19	-5.3012091E-02	5.2389411E-03
20	-5.1967708E-02	5.2041889E-03
21	-5.0930713E-02	5.1650516E-03
22	-4.9902006E-02	5.1212141E-03
23	-4.8882562E-02	5.0723534E-03
24	-4.7873421E-02	5.0181376E-03
25	-4.7373056E-02	4.9889262E-03
26	-4.6376753E-02	4.9738570E-03
27	-4.5383619E-02	4.9572718E-03
28	-4.4393957E-02	4.9390790E-03
29	-4.3408100E-02	4.9191988E-03
30	-4.2426394E-02	4.8975625E-03
31	-4.1449196E-02	4.8741127E-03
32	-4.0476878E-02	4.8488035E-03
33	-3.9509806E-02	4.8215997E-03
34	-3.8548366E-02	4.7924783E-03
35	-3.7592943E-02	4.7614269E-03
36	-3.6643924E-02	4.7284447E-03
37	-3.5701693E-02	4.6935423E-03
38	-3.4766638E-02	4.6567409E-03
39	-3.3839126E-02	4.6180727E-03
40	-3.2919531E-02	4.5775809E-03
41	-3.2008212E-02	4.5353199E-03
42	-3.1105516E-02	4.4913550E-03
43	-3.0211783E-02	4.4457628E-03
44	-2.9327318E-02	4.3986304E-03
45	-2.8452426E-02	4.3500566E-03
46	-2.7587384E-02	4.3001513E-03
47	-2.6732447E-02	4.2490354E-03
48	-2.5887846E-02	4.1968412E-03
49	-2.5053777E-02	4.1437115E-03
50	-2.4230414E-02	4.0898012E-03
51	-2.3417897E-02	4.0352727E-03
52	-2.2616355E-02	3.9802942E-03
53	-2.1825819E-02	3.9250345E-03
54	-2.1046348E-02	3.8696709E-03
55	-2.0277945E-02	3.8143803E-03
56	-1.9520580E-02	3.7593333E-03
57	-1.8774185E-02	3.7046910E-03
58	-1.8038666E-02	3.6506054E-03
59	-1.7313896E-02	3.5972193E-03
60	-1.6599723E-02	3.5446666E-03
61	-1.5895966E-02	3.4930723E-03
62	-1.5202422E-02	3.4425529E-03
63	-1.4518866E-02	3.3932162E-03
64	-1.3845050E-02	3.3451617E-03
65	-1.3180710E-02	3.2984807E-03
66	-1.2525561E-02	3.2532561E-03
67	-1.1879305E-02	3.2095631E-03
68	-1.1241629E-02	3.1674688E-03
69	-1.0612207E-02	3.1270327E-03
70	-9.9907019E-03	3.0883067E-03
71	-9.3767673E-03	3.0513350E-03
72	-8.7700485E-03	3.0161546E-03
73	-8.1701840E-03	2.9827952E-03
74	-7.5768075E-03	2.9512793E-03

75	-6.9895484E-03	2.9216223E-03
76	-6.4080341E-03	2.8938323E-03
77	-5.8318909E-03	2.8679107E-03
78	-5.2607456E-03	2.8438521E-03
79	-4.6942267E-03	2.8216439E-03
80	-4.1319660E-03	2.8012670E-03
81	-3.5735995E-03	2.7826956E-03
82	-3.0187695E-03	2.7658970E-03
83	-2.4671184E-03	2.7509333E-03
84	-1.9182645E-03	2.7379449E-03
85	-1.3718025E-03	2.7270258E-03
86	-8.2731432E-04	2.7182050E-03
87	-2.8438489E-04	2.7114182E-03
88	2.5737725E-04	2.7064957E-03
89	7.9832193E-04	2.7032013E-03
90	1.3387752E-03	2.7012627E-03
91	1.8789224E-03	2.7003494E-03
92	2.4189575E-03	2.7000746E-03
93	2.6889640E-03	2.7000606E-03

```

+-----+
|                PARATIEPLUS(TM)  NLS ENGINE RELEASE 2022.0.0  FULL VERSION  *Build date:Sep 13, 2021*                |
|                                                                                                                                            |
|                                                                                               ParatiePlus                               |
|                                                                                               Exe Time :28 January 2022   11:11:20                               |
+-----+

```

New Project

S T R E S S R E S U L T S F O R G R O U P N O . 1

```

O_L :
ELEMENT TYPE   5 NO.OF ELEMENTS. IN THIS GROUP   93
C U R R E N T   T I M E   I S   4.0000 SUBINCREMENT 00001/00001

```

HARDENING 2D SOIL ELEMENT

***** TOTAL STRESS FORMULATION *****

EL * TOR QSL	FORCE UFACTOR ZD	DISPL-Y Peq ZPL	VERTICAL-P Su_a Kz	HORIZON.-P Su_p	MAX-V-P Cohe_a	MAX-H-P Cohe_p	STATE LAYER	STIFFNESS	Z-LEVEL	PORE ZFO	E FAC- QS
1	0.000	--	--	--	--	--	REMOVED	--	0.000	0.000	
1.000	1.000	0.000	0.000	0.000	0.000	0.000	not available				
2	0.000	--	--	--	--	--	REMOVED	--	-0.2000	0.000	
1.000	1.000	0.000	0.000	0.000	0.000	0.000	not available				
3	0.000	--	--	--	--	--	REMOVED	--	-0.4000	0.000	
1.000	1.000	0.000	0.000	0.000	0.000	0.000	not available				
4	0.000	--	--	--	--	--	REMOVED	--	-0.6000	0.000	
1.000	1.000	0.000	0.000	0.000	0.000	0.000	not available				
5	0.000	--	--	--	--	--	REMOVED	--	-0.8000	0.000	
1.000	1.000	0.000	0.000	0.000	0.000	0.000	not available				
6	0.000	--	--	--	--	--	REMOVED	--	-1.000	0.000	
1.000	1.000	0.000	0.000	0.000	0.000	0.000	not available				
7	0.000	--	--	--	--	--	REMOVED	--	-1.200	0.000	
1.000	1.000	0.000	0.000	0.000	0.000	0.000	not available				
8	0.000	--	--	--	--	--	REMOVED	--	-1.400	0.000	
1.000	1.000	0.000	0.000	0.000	0.000	0.000	not available				
9	0.000	--	--	--	--	--	REMOVED	--	-1.600	0.000	
1.000	1.000	0.000	0.000	0.000	0.000	0.000	not available				
10	0.000	--	--	--	--	--	REMOVED	--	-1.800	0.000	
1.000	1.000	0.000	0.000	0.000	0.000	0.000	not available				
11	0.000	--	--	--	--	--	REMOVED	--	-2.000	0.000	
1.000	1.000	0.000	0.000	0.000	0.000	0.000	not available				
12	0.000	--	--	--	--	--	REMOVED	--	-2.200	0.000	
1.000	1.000	0.000	0.000	0.000	0.000	0.000	not available				
13	0.000	--	--	--	--	--	REMOVED	--	-2.400	0.000	
1.000	1.000	0.000	0.000	0.000	0.000	0.000	not available				
14	0.000	--	--	--	--	--	REMOVED	--	-2.600	0.000	
1.000	1.000	0.000	0.000	0.000	0.000	0.000	not available				
15	0.000	--	--	--	--	--	REMOVED	--	-2.800	0.000	
1.000	1.000	0.000	0.000	0.000	0.000	0.000	not available				
16	0.000	--	--	--	--	--	REMOVED	--	-3.000	0.000	
1.000	1.000	0.000	0.000	0.000	0.000	0.000	not available				
17	0.000	--	--	--	--	--	REMOVED	--	-3.200	0.000	
1.000	1.000	0.000	0.000	0.000	0.000	0.000	not available				
18	0.000	--	--	--	--	--	REMOVED	--	-3.400	0.000	
1.000	1.000	0.000	0.000	0.000	0.000	0.000	not available				
19	0.000	--	--	--	--	--	REMOVED	--	-3.600	0.000	
1.000	1.000	0.000	0.000	0.000	0.000	0.000	not available				
20	0.000	--	--	--	--	--	REMOVED	--	-3.800	0.000	
1.000	1.000	0.000	0.000	0.000	0.000	0.000	not available				
21	0.000	--	--	--	--	--	REMOVED	--	-4.000	0.000	
1.000	1.000	0.000	0.000	0.000	0.000	0.000	not available				
22	0.000	--	--	--	--	--	REMOVED	--	-4.200	0.000	
1.000	1.000	0.000	0.000	0.000	0.000	0.000	not available				
23	0.000	--	--	--	--	--	REMOVED	--	-4.400	0.000	
1.000	1.000	0.000	0.000	0.000	0.000	0.000	not available				
24	0.000	--	--	--	--	--	REMOVED	--	-4.600	0.000	
1.000	1.000	0.000	0.000	0.000	0.000	0.000	not available				
25 D	0.000	4.7373E-02	0.000	0.000	0.000	0.000	PASSIVE	0.000	-4.700	0.000	
1.000	1.000	0.000	0.000	0.000	0.000	0.000	Ala_161_6590_L_0			0.0000	
0.0000	0.0000	0.0000	0.0000	0.0000	0.0000						
26 D	1.728	4.6377E-02	3.900	8.640	3.900	9.887	PASSIVE	0.000	-4.900	0.000	
1.000	1.000	8.640	0.000	0.000	0.000	0.000	Ala_161_6590_L_0			0.0000	
0.0000	0.0000	0.0000	0.0000	0.0000	0.0000						
27 D	3.456	4.5384E-02	7.800	17.28	7.800	19.77	PASSIVE	0.000	-5.100	0.000	
1.000	1.000	17.28	0.000	0.000	0.000	0.000	Ala_161_6590_L_0			0.0000	
0.0000	0.0000	0.0000	0.0000	0.0000	0.0000						
28 D	5.184	4.4394E-02	11.70	25.92	11.70	29.66	PASSIVE	0.000	-5.300	0.000	
1.000	1.000	25.92	0.000	0.000	0.000	0.000	Ala_161_6590_L_0			0.0000	
0.0000	0.0000	0.0000	0.0000	0.0000	0.0000						
29 D	6.912	4.3408E-02	15.60	34.56	15.60	39.55	PASSIVE	0.000	-5.500	0.000	
1.000	1.000	34.56	0.000	0.000	0.000	0.000	Ala_161_6590_L_0			0.0000	
0.0000	0.0000	0.0000	0.0000	0.0000	0.0000						
30 D	8.640	4.2426E-02	19.50	43.20	19.50	49.43	PASSIVE	0.000	-5.700	0.000	

1.000	1.000	43.20	0.000	0.000	0.000	0.000	Ala_161_6590_L_0	0.0000
0.0000	0.0000	0.0000	0.0000	0.0000	0.0000			
31 D	10.37	4.1449E-02	23.40	51.84	23.40	59.32	PASSIVE 0.000	-5.900 0.000
1.000	1.000	51.84	0.000	0.000	0.000	0.000	Ala_161_6590_L_0	0.0000
0.0000	0.0000	0.0000	0.0000	0.0000				
32 D	12.10	4.0477E-02	27.30	60.48	27.30	69.21	PASSIVE 0.000	-6.100 0.000
1.000	1.000	60.48	0.000	0.000	0.000	0.000	Ala_161_6590_L_0	0.0000
0.0000	0.0000	0.0000	0.0000	0.0000				
33 D	13.82	3.9510E-02	31.20	69.12	31.20	79.09	PASSIVE 0.000	-6.300 0.000
1.000	1.000	69.12	0.000	0.000	0.000	0.000	Ala_161_6590_L_0	0.0000
0.0000	0.0000	0.0000	0.0000	0.0000				
34 D	15.55	3.8548E-02	35.10	77.76	35.10	88.98	PASSIVE 0.000	-6.500 0.000
1.000	1.000	77.76	0.000	0.000	0.000	0.000	Ala_161_6590_L_0	0.0000
0.0000	0.0000	0.0000	0.0000	0.0000				
35 D	17.28	3.7593E-02	39.00	86.40	39.00	98.86	PASSIVE 0.000	-6.700 0.000
1.000	1.000	86.40	0.000	0.000	0.000	0.000	Ala_161_6590_L_0	0.0000
0.0000	0.0000	0.0000	0.0000	0.0000				
36 D	19.01	3.6644E-02	42.90	95.04	42.90	108.8	PASSIVE 0.000	-6.900 0.000
1.000	1.000	95.04	0.000	0.000	0.000	0.000	Ala_161_6590_L_0	0.0000
0.0000	0.0000	0.0000	0.0000	0.0000				
37 D	20.74	3.5702E-02	46.80	103.7	46.80	118.6	PASSIVE 0.000	-7.100 0.000
1.000	1.000	103.7	0.000	0.000	0.000	0.000	Ala_161_6590_L_0	0.0000
0.0000	0.0000	0.0000	0.0000	0.0000				
38 D	22.46	3.4767E-02	50.70	112.3	50.70	128.5	PASSIVE 0.000	-7.300 0.000
1.000	1.000	112.3	0.000	0.000	0.000	0.000	Ala_161_6590_L_0	0.0000
0.0000	0.0000	0.0000	0.0000	0.0000				
39 D	24.19	3.3839E-02	54.60	121.0	54.60	138.4	PASSIVE 0.000	-7.500 0.000
1.000	1.000	121.0	0.000	0.000	0.000	0.000	Ala_161_6590_L_0	0.0000
0.0000	0.0000	0.0000	0.0000	0.0000				
40 D	25.92	3.2920E-02	58.50	129.6	58.50	148.3	PASSIVE 0.000	-7.700 0.000
1.000	1.000	129.6	0.000	0.000	0.000	0.000	Ala_161_6590_L_0	0.0000
0.0000	0.0000	0.0000	0.0000	0.0000				
41 D	27.65	3.2008E-02	62.40	138.2	62.40	158.2	PASSIVE 0.000	-7.900 0.000
1.000	1.000	138.2	0.000	0.000	0.000	0.000	Ala_161_6590_L_0	0.0000
0.0000	0.0000	0.0000	0.0000	0.0000				
42 D	29.38	3.1106E-02	66.30	146.9	66.30	168.1	PASSIVE 0.000	-8.100 0.000
1.000	1.000	146.9	0.000	0.000	0.000	0.000	Ala_161_6590_L_0	0.0000
0.0000	0.0000	0.0000	0.0000	0.0000				
43 D	31.10	3.0212E-02	70.20	155.5	70.20	178.0	PASSIVE 0.000	-8.300 0.000
1.000	1.000	155.5	0.000	0.000	0.000	0.000	Ala_161_6590_L_0	0.0000
0.0000	0.0000	0.0000	0.0000	0.0000				
44 D	32.83	2.9327E-02	74.10	164.2	74.10	187.8	PASSIVE 0.000	-8.500 0.000
1.000	1.000	164.2	0.000	0.000	0.000	0.000	Ala_161_6590_L_0	0.0000
0.0000	0.0000	0.0000	0.0000	0.0000				
45 D	34.56	2.8452E-02	78.00	172.8	78.00	197.7	PASSIVE 0.000	-8.700 0.000
1.000	1.000	172.8	0.000	0.000	0.000	0.000	Ala_161_6590_L_0	0.0000
0.0000	0.0000	0.0000	0.0000	0.0000				
46 D	36.29	2.7587E-02	81.90	181.4	81.90	198.1	PASSIVE 0.000	-8.900 0.000
1.000	1.000	181.4	0.000	0.000	0.000	0.000	Ala_161_6590_L_0	0.0000
0.0000	0.0000	0.0000	0.0000	0.0000				
47 D	38.02	2.6732E-02	85.80	190.1	85.80	195.6	PASSIVE 0.000	-9.100 0.000
1.000	1.000	190.1	0.000	0.000	0.000	0.000	Ala_161_6590_L_0	0.0000
0.0000	0.0000	0.0000	0.0000	0.0000				
48 D	39.74	2.5888E-02	89.70	198.7	89.70	198.7	PASSIVE 0.000	-9.300 0.000
1.000	1.000	198.7	0.000	0.000	0.000	0.000	Ala_161_6590_L_0	0.0000
0.0000	0.0000	0.0000	0.0000	0.0000				
49 D	41.47	2.5054E-02	93.60	207.4	93.60	207.4	PASSIVE 0.000	-9.500 0.000
1.000	1.000	207.4	0.000	0.000	0.000	0.000	Ala_161_6590_L_0	0.0000
0.0000	0.0000	0.0000	0.0000	0.0000				
50 D	42.61	2.4230E-02	95.50	211.0	95.50	211.0	PASSIVE 0.000	-9.700 2.000
1.000	1.000	213.0	0.000	0.000	0.000	0.000	Ala_161_6590_L_0	0.0000
0.0000	0.0000	0.0000	0.0000	0.0000				
51 D	43.74	2.3418E-02	97.40	214.7	97.40	214.7	PASSIVE 0.000	-9.900 4.000
1.000	1.000	218.7	0.000	0.000	0.000	0.000	Ala_161_6590_L_0	0.0000
0.0000	0.0000	0.0000	0.0000	0.0000				
52 D	44.88	2.2616E-02	99.30	218.4	99.30	218.4	PASSIVE 0.000	-10.10 6.000
1.000	1.000	224.4	0.000	0.000	0.000	0.000	Ala_161_6590_L_0	0.0000
0.0000	0.0000	0.0000	0.0000	0.0000				
53 D	46.02	2.1826E-02	101.2	222.1	101.2	222.1	PASSIVE 0.000	-10.30 8.000
1.000	1.000	230.1	0.000	0.000	0.000	0.000	Ala_161_6590_L_0	0.0000
0.0000	0.0000	0.0000	0.0000	0.0000				
54 D	46.23	2.1046E-02	103.1	221.2	103.1	221.2	V-C 7755.	-10.50 10.000
1.000	1.000	231.2	0.000	0.000	0.000	0.000	Ala_161_6590_L_0	0.0000
0.0000	0.0000	0.0000	0.0000	0.0000				
55 D	45.65	2.0278E-02	105.0	216.3	105.0	216.3	V-C 7755.	-10.70 12.00
1.000	1.000	228.3	0.000	0.000	0.000	0.000	Ala_161_6590_L_0	0.0000
0.0000	0.0000	0.0000	0.0000	0.0000				
56 D	45.09	1.9521E-02	106.9	211.5	106.9	211.5	V-C 7755.	-10.90 14.00
1.000	1.000	225.5	0.000	0.000	0.000	0.000	Ala_161_6590_L_0	0.0000
0.0000	0.0000	0.0000	0.0000	0.0000				
57 D	44.55	1.8774E-02	108.8	206.7	108.8	206.7	V-C 7755.	-11.10 16.00
1.000	1.000	222.7	0.000	0.000	0.000	0.000	Ala_161_6590_L_0	0.0000
0.0000	0.0000	0.0000	0.0000	0.0000				
58 D	44.02	1.8039E-02	110.7	202.1	110.7	202.1	V-C 7755.	-11.30 18.00
1.000	1.000	220.1	0.000	0.000	0.000	0.000	Ala_161_6590_L_0	0.0000
0.0000	0.0000	0.0000	0.0000	0.0000				
59 D	43.51	1.7314E-02	112.6	197.6	112.6	197.6	V-C 7755.	-11.50 20.00
1.000	1.000	217.6	0.000	0.000	0.000	0.000	Ala_161_6590_L_0	0.0000
0.0000	0.0000	0.0000	0.0000	0.0000				
60 D	43.02	1.6600E-02	114.5	193.1	114.5	193.1	V-C 7755.	-11.70 22.00
1.000	1.000	215.1	0.000	0.000	0.000	0.000	Ala_161_6590_L_0	0.0000
0.0000	0.0000	0.0000	0.0000	0.0000				

61 D	42.54	1.5896E-02	116.4	188.7	116.4	188.7	V-C 7755.	-11.90	24.00
1.000	1.000	212.7	0.000	0.000	0.000	0.000	Ala_161_6590_L_0		0.0000
0.0000	0.0000	0.0000	0.0000	0.0000					
62 D	42.08	1.5202E-02	118.3	184.4	118.3	184.4	V-C 7755.	-12.10	26.00
1.000	1.000	210.4	0.000	0.000	0.000	0.000	Ala_161_6590_L_0		0.0000
0.0000	0.0000	0.0000	0.0000	0.0000					
63 D	41.63	1.4519E-02	120.2	180.1	120.2	180.1	V-C 7755.	-12.30	28.00
1.000	1.000	208.1	0.000	0.000	0.000	0.000	Ala_161_6590_L_0		0.0000
0.0000	0.0000	0.0000	0.0000	0.0000					
64 D	41.20	1.3845E-02	122.1	176.0	122.1	176.0	V-C 7755.	-12.50	30.00
1.000	1.000	206.0	0.000	0.000	0.000	0.000	Ala_161_6590_L_0		0.0000
0.0000	0.0000	0.0000	0.0000	0.0000					
65 D	40.78	1.3181E-02	124.0	171.9	124.0	171.9	V-C 7755.	-12.70	32.00
1.000	1.000	203.9	0.000	0.000	0.000	0.000	Ala_161_6590_L_0		0.0000
0.0000	0.0000	0.0000	0.0000	0.0000					
66 D	40.38	1.2526E-02	125.9	167.9	125.9	167.9	V-C 7755.	-12.90	34.00
1.000	1.000	201.9	0.000	0.000	0.000	0.000	Ala_161_6590_L_0		0.0000
0.0000	0.0000	0.0000	0.0000	0.0000					
67 D	39.99	1.1879E-02	127.8	163.9	127.8	163.9	V-C 7755.	-13.10	36.00
1.000	1.000	199.9	0.000	0.000	0.000	0.000	Ala_161_6590_L_0		0.0000
0.0000	0.0000	0.0000	0.0000	0.0000					
68 D	39.61	1.1242E-02	129.7	160.1	129.7	160.1	V-C 7755.	-13.30	38.00
1.000	1.000	198.1	0.000	0.000	0.000	0.000	Ala_161_6590_L_0		0.0000
0.0000	0.0000	0.0000	0.0000	0.0000					
69 D	39.25	1.0612E-02	131.6	156.3	131.6	156.3	V-C 7755.	-13.50	40.00
1.000	1.000	196.3	0.000	0.000	0.000	0.000	Ala_161_6590_L_0		0.0000
0.0000	0.0000	0.0000	0.0000	0.0000					
70 D	38.90	9.9907E-03	133.5	152.5	133.5	152.5	V-C 7755.	-13.70	42.00
1.000	1.000	194.5	0.000	0.000	0.000	0.000	Ala_161_6590_L_0		0.0000
0.0000	0.0000	0.0000	0.0000	0.0000					
71 D	38.56	9.3768E-03	135.4	148.8	135.4	148.8	V-C 7755.	-13.90	44.00
1.000	1.000	192.8	0.000	0.000	0.000	0.000	Ala_161_6590_L_0		0.0000
0.0000	0.0000	0.0000	0.0000	0.0000					
72 D	38.24	8.7700E-03	137.3	145.2	137.3	145.2	V-C 7755.	-14.10	46.00
1.000	1.000	191.2	0.000	0.000	0.000	0.000	Ala_161_6590_L_0		0.0000
0.0000	0.0000	0.0000	0.0000	0.0000					
73 D	37.92	8.1702E-03	139.2	141.6	139.2	141.6	V-C 7755.	-14.30	48.00
1.000	1.000	189.6	0.000	0.000	0.000	0.000	Ala_161_6590_L_0		0.0000
0.0000	0.0000	0.0000	0.0000	0.0000					
74 D	37.61	7.5768E-03	141.1	138.1	141.1	138.1	V-C 7755.	-14.50	50.00
1.000	1.000	188.1	0.000	0.000	0.000	0.000	Ala_161_6590_L_0		0.0000
0.0000	0.0000	0.0000	0.0000	0.0000					
75 D	37.31	6.9895E-03	143.0	134.6	143.0	134.6	V-C 7755.	-14.70	52.00
1.000	1.000	186.6	0.000	0.000	0.000	0.000	Ala_161_6590_L_0		0.0000
0.0000	0.0000	0.0000	0.0000	0.0000					
76 D	37.03	6.4080E-03	144.9	131.1	144.9	131.1	V-C 7755.	-14.90	54.00
1.000	1.000	185.1	0.000	0.000	0.000	0.000	Ala_161_6590_L_0		0.0000
0.0000	0.0000	0.0000	0.0000	0.0000					
77 D	36.75	5.8319E-03	146.8	127.7	146.8	127.7	V-C 7755.	-15.10	56.00
1.000	1.000	183.7	0.000	0.000	0.000	0.000	Ala_161_6590_L_0		0.0000
0.0000	0.0000	0.0000	0.0000	0.0000					
78 D	36.47	5.2607E-03	148.7	124.4	148.7	124.4	V-C 7755.	-15.30	58.00
1.000	1.000	182.4	0.000	0.000	0.000	0.000	Ala_161_6590_L_0		0.0000
0.0000	0.0000	0.0000	0.0000	0.0000					
79 D	36.21	4.6942E-03	150.6	121.0	150.6	121.0	V-C 7755.	-15.50	60.00
1.000	1.000	181.0	0.000	0.000	0.000	0.000	Ala_161_6590_L_0		0.0000
0.0000	0.0000	0.0000	0.0000	0.0000					
80 D	35.95	4.1320E-03	152.5	117.7	152.5	117.7	V-C 7755.	-15.70	62.00
1.000	1.000	179.7	0.000	0.000	0.000	0.000	Ala_161_6590_L_0		0.0000
0.0000	0.0000	0.0000	0.0000	0.0000					
81 D	35.70	3.5736E-03	154.4	114.5	154.4	114.5	V-C 7755.	-15.90	64.00
1.000	1.000	178.5	0.000	0.000	0.000	0.000	Ala_161_6590_L_0		0.0000
0.0000	0.0000	0.0000	0.0000	0.0000					
82 D	57.10	3.0188E-03	156.4	219.5	156.4	219.5	V-C 4.3611E+04	-16.10	66.00
1.000	1.000	285.5	0.000	0.000	8.199	8.199	Salt_21271_21259_L_0		0.0000
0.0000	0.0000	0.0000	0.0000	0.0000					
83 D	52.92	2.4671E-03	158.4	196.6	158.4	196.6	V-C 4.3611E+04	-16.30	68.00
1.000	1.000	264.6	0.000	0.000	8.199	8.199	Salt_21271_21259_L_0		0.0000
0.0000	0.0000	0.0000	0.0000	0.0000					
84 D	48.02	1.9183E-03	160.4	170.1	160.4	175.6	UL-RL 1.3083E+05	-16.50	70.00
1.000	1.000	240.1	0.000	0.000	8.199	8.199	Salt_21271_21259_L_0		0.0000
0.0000	0.0000	0.0000	0.0000	0.0000					
85 D	42.20	1.3718E-03	162.4	139.0	162.4	157.1	UL-RL 1.3083E+05	-16.70	72.00
1.000	1.000	211.0	0.000	0.000	8.199	8.199	Salt_21271_21259_L_0		0.0000
0.0000	0.0000	0.0000	0.0000	0.0000					
86 D	34.58	8.2731E-04	164.4	98.90	164.4	143.2	UL-RL 1.3083E+05	-16.90	74.00
1.000	1.000	172.9	0.000	0.000	8.199	8.199	Salt_21271_21259_L_0		0.0000
0.0000	0.0000	0.0000	0.0000	0.0000					
87 D	26.96	2.8438E-04	166.4	58.78	166.4	131.2	ACTIVE 0.000	-17.10	76.00
1.000	1.000	134.8	0.000	0.000	8.199	8.199	Salt_21271_21259_L_0		0.0000
0.0000	0.0000	0.0000	0.0000	0.0000					
88 D	27.52	-2.5738E-04	168.4	59.61	168.4	129.1	ACTIVE 0.000	-17.30	78.00
1.000	1.000	137.6	0.000	0.000	8.199	8.199	Salt_21271_21259_L_0		0.0000
0.0000	0.0000	0.0000	0.0000	0.0000					
89 D	28.09	-7.9832E-04	170.4	60.45	170.4	127.1	ACTIVE 0.000	-17.50	80.00
1.000	1.000	140.4	0.000	0.000	8.199	8.199	Salt_21271_21259_L_0		0.0000
0.0000	0.0000	0.0000	0.0000	0.0000					
90 D	17.78	-1.3388E-03	172.4	6.903	172.4	114.4	ACTIVE 0.000	-17.70	82.00
1.000	1.000	88.90	0.000	0.000	45.09	45.09	Sch_21272_21260_L_0		0.0000
0.0000	0.0000	0.0000	0.0000	0.0000					
91 D	18.36	-1.8789E-03	175.0	7.811	175.0	113.9	ACTIVE 0.000	-17.90	84.00
1.000	1.000	91.81	0.000	0.000	45.09	45.09	Sch_21272_21260_L_0		0.0000

0.0000	0.0000	0.0000	0.0000	0.0000						
92 D	14.21	-2.4190E-03	177.6	8.718	177.6	113.4	ACTIVE	0.000	-18.10	86.00
1.000	1.000	94.72	0.000	0.000	45.09	45.09	Sch_21272_21260_L_0			0.0000
0.0000	0.0000	0.0000	0.0000	0.0000						
93 D	4.809	-2.6890E-03	178.9	9.172	178.9	113.1	ACTIVE	0.000	-18.20	87.00
1.000	1.000	96.17	0.000	0.000	45.09	45.09	Sch_21272_21260_L_0			0.0000
0.0000	0.0000	0.0000	0.0000	0.0000						

```

+-----+
|          PARATIEPLUS(TM)  NLS ENGINE RELEASE  2022.0.0  FULL VERSION  *Build date:Sep 13, 2021*          |
|                                                                                                                                            |
|                                                                                               ParatiePlus                               |
|                                                                                               Exe Time :28 January 2022   11:11:20          |
+-----+

```

New Project

STRESS RESULTS FOR GROUP NO. 2

O_R :
ELEMENT TYPE 5 NO.OF ELEMENTS. IN THIS GROUP 93
CURRENT TIME IS 4.0000 SUBINCREMENT 00001/00001

HARDENING 2D SOIL ELEMENT

***** TOTAL STRESS FORMULATION *****

EL * TOR QSL	FORCE UFACTOR ZD	DISPL-Y Peq ZPL	VERTICAL-P Su_a Kz	HORIZON.-P Su_p	MAX-V-P Cohes_a	MAX-H-P Cohes_p	STATE LAYER	STIFFNESS	Z-LEVEL	PORE ZFO	E FAC- QS
1 D	1.710	-7.2375E-02	57.00	17.10	57.00	24.28	ACTIVE	0.000	0.000	0.000	
1.000	1.000	17.10	0.000	0.000	0.000	0.000	rilevato_6589_8_L_0			0.000	
0.0000	0.0000	0.0000	0.0000	0.0000							
2 D	3.660	-7.1291E-02	61.00	18.30	61.00	25.99	ACTIVE	0.000	-0.2000	0.000	
1.000	1.000	18.30	0.000	0.000	0.000	0.000	rilevato_6589_8_L_0			0.000	
0.0000	0.0000	0.0000	0.0000	0.0000							
3 D	3.900	-7.0206E-02	65.00	19.50	65.00	27.69	ACTIVE	0.000	-0.4000	0.000	
1.000	1.000	19.50	0.000	0.000	0.000	0.000	rilevato_6589_8_L_0			0.000	
0.0000	0.0000	0.0000	0.0000	0.0000							
4 D	4.140	-6.9122E-02	69.01	20.70	69.01	29.39	ACTIVE	0.000	-0.6000	0.000	
1.000	1.000	20.70	0.000	0.000	0.000	0.000	rilevato_6589_8_L_0			0.000	
0.0000	0.0000	0.0000	0.0000	0.0000							
5 D	4.381	-6.8037E-02	73.01	21.90	73.01	31.10	ACTIVE	0.000	-0.8000	0.000	
1.000	1.000	21.90	0.000	0.000	0.000	0.000	rilevato_6589_8_L_0			0.000	
0.0000	0.0000	0.0000	0.0000	0.0000							
6 D	4.622	-6.6953E-02	77.03	23.11	77.03	32.80	ACTIVE	0.000	-1.000	0.000	
1.000	1.000	23.11	0.000	0.000	0.000	0.000	rilevato_6589_8_L_0			0.000	
0.0000	0.0000	0.0000	0.0000	0.0000							
7 D	4.863	-6.5870E-02	81.05	24.31	81.05	34.51	ACTIVE	0.000	-1.200	0.000	
1.000	1.000	24.31	0.000	0.000	0.000	0.000	rilevato_6589_8_L_0			0.000	
0.0000	0.0000	0.0000	0.0000	0.0000							
8 D	5.105	-6.4787E-02	85.08	25.52	85.08	36.21	ACTIVE	0.000	-1.400	0.000	
1.000	1.000	25.52	0.000	0.000	0.000	0.000	rilevato_6589_8_L_0			0.000	
0.0000	0.0000	0.0000	0.0000	0.0000							
9 D	5.347	-6.3704E-02	89.11	26.73	89.11	37.91	ACTIVE	0.000	-1.600	0.000	
1.000	1.000	26.73	0.000	0.000	0.000	0.000	rilevato_6589_8_L_0			0.000	
0.0000	0.0000	0.0000	0.0000	0.0000							
10 D	5.589	-6.2623E-02	93.16	27.95	93.16	39.62	ACTIVE	0.000	-1.800	0.000	
1.000	1.000	27.95	0.000	0.000	0.000	0.000	rilevato_6589_8_L_0			0.000	
0.0000	0.0000	0.0000	0.0000	0.0000							
11 D	5.833	-6.1544E-02	97.21	29.16	97.21	41.32	ACTIVE	0.000	-2.000	0.000	
1.000	1.000	29.16	0.000	0.000	0.000	0.000	rilevato_6589_8_L_0			0.000	
0.0000	0.0000	0.0000	0.0000	0.0000							
12 D	6.076	-6.0466E-02	101.3	30.38	101.3	43.03	ACTIVE	0.000	-2.200	0.000	
1.000	1.000	30.38	0.000	0.000	0.000	0.000	rilevato_6589_8_L_0			0.000	
0.0000	0.0000	0.0000	0.0000	0.0000							
13 D	6.321	-5.9390E-02	105.3	31.60	105.3	44.73	ACTIVE	0.000	-2.400	0.000	
1.000	1.000	31.60	0.000	0.000	0.000	0.000	rilevato_6589_8_L_0			0.000	
0.0000	0.0000	0.0000	0.0000	0.0000							
14 D	6.566	-5.8317E-02	109.4	32.83	109.4	46.43	ACTIVE	0.000	-2.600	0.000	
1.000	1.000	32.83	0.000	0.000	0.000	0.000	rilevato_6589_8_L_0			0.000	
0.0000	0.0000	0.0000	0.0000	0.0000							
15 D	6.811	-5.7247E-02	113.5	34.05	113.5	48.14	ACTIVE	0.000	-2.800	0.000	
1.000	1.000	34.05	0.000	0.000	0.000	0.000	rilevato_6589_8_L_0			0.000	
0.0000	0.0000	0.0000	0.0000	0.0000							
16 D	7.057	-5.6181E-02	117.6	35.28	117.6	49.84	ACTIVE	0.000	-3.000	0.000	
1.000	1.000	35.28	0.000	0.000	0.000	0.000	rilevato_6589_8_L_0			0.000	
0.0000	0.0000	0.0000	0.0000	0.0000							
17 D	7.303	-5.5120E-02	121.7	36.52	121.7	51.55	ACTIVE	0.000	-3.200	0.000	
1.000	1.000	36.52	0.000	0.000	0.000	0.000	rilevato_6589_8_L_0			0.000	
0.0000	0.0000	0.0000	0.0000	0.0000							
18 D	7.550	-5.4063E-02	125.8	37.75	125.8	53.25	ACTIVE	0.000	-3.400	0.000	
1.000	1.000	37.75	0.000	0.000	0.000	0.000	rilevato_6589_8_L_0			0.000	
0.0000	0.0000	0.0000	0.0000	0.0000							
19 D	7.797	-5.3012E-02	130.0	38.99	130.0	54.95	ACTIVE	0.000	-3.600	0.000	
1.000	1.000	38.99	0.000	0.000	0.000	0.000	rilevato_6589_8_L_0			0.000	
0.0000	0.0000	0.0000	0.0000	0.0000							
20 D	8.045	-5.1968E-02	134.1	40.23	134.1	56.66	ACTIVE	0.000	-3.800	0.000	
1.000	1.000	40.23	0.000	0.000	0.000	0.000	rilevato_6589_8_L_0			0.000	
0.0000	0.0000	0.0000	0.0000	0.0000							
21 D	8.293	-5.0931E-02	138.2	41.47	138.2	58.36	ACTIVE	0.000	-4.000	0.000	
1.000	1.000	41.47	0.000	0.000	0.000	0.000	rilevato_6589_8_L_0			0.000	
0.0000	0.0000	0.0000	0.0000	0.0000							
22 D	8.541	-4.9902E-02	142.4	42.71	142.4	60.07	ACTIVE	0.000	-4.200	0.000	

1.000	1.000	42.71	0.000	0.000	0.000	0.000	rilevato_6589_8_L_0	0.0000	
0.0000	0.0000	0.0000	0.0000	0.0000	0.0000				
23 D	8.790	-4.8883E-02	146.5	43.95	146.5	61.77	ACTIVE 0.000	-4.400	0.000
1.000	1.000	43.95	0.000	0.000	0.000	0.000	rilevato_6589_8_L_0	0.0000	
0.0000	0.0000	0.0000	0.0000	0.0000	0.0000				
24 D	6.779	-4.7873E-02	150.6	45.19	150.6	63.47	ACTIVE 0.000	-4.600	0.000
1.000	1.000	45.19	0.000	0.000	0.000	0.000	rilevato_6589_8_L_0	0.0000	
0.0000	0.0000	0.0000	0.0000	0.0000	0.0000				
25 D	9.896	-4.7373E-02	152.7	65.97	152.7	85.82	ACTIVE 0.000	-4.700	0.000
1.000	1.000	65.97	0.000	0.000	0.000	0.000	Ala_161_6590_L_0	0.0000	
0.0000	0.0000	0.0000	0.0000	0.0000	0.0000				
26 D	13.54	-4.6377E-02	156.8	67.72	156.8	88.10	ACTIVE 0.000	-4.900	0.000
1.000	1.000	67.72	0.000	0.000	0.000	0.000	Ala_161_6590_L_0	0.0000	
0.0000	0.0000	0.0000	0.0000	0.0000	0.0000				
27 D	13.89	-4.5384E-02	160.8	69.47	160.8	90.38	ACTIVE 0.000	-5.100	0.000
1.000	1.000	69.47	0.000	0.000	0.000	0.000	Ala_161_6590_L_0	0.0000	
0.0000	0.0000	0.0000	0.0000	0.0000	0.0000				
28 D	14.24	-4.4394E-02	164.9	71.22	164.9	92.65	ACTIVE 0.000	-5.300	0.000
1.000	1.000	71.22	0.000	0.000	0.000	0.000	Ala_161_6590_L_0	0.0000	
0.0000	0.0000	0.0000	0.0000	0.0000	0.0000				
29 D	14.59	-4.3408E-02	168.9	72.97	168.9	94.93	ACTIVE 0.000	-5.500	0.000
1.000	1.000	72.97	0.000	0.000	0.000	0.000	Ala_161_6590_L_0	0.0000	
0.0000	0.0000	0.0000	0.0000	0.0000	0.0000				
30 D	14.94	-4.2426E-02	173.0	74.72	173.0	97.20	ACTIVE 0.000	-5.700	0.000
1.000	1.000	74.72	0.000	0.000	0.000	0.000	Ala_161_6590_L_0	0.0000	
0.0000	0.0000	0.0000	0.0000	0.0000	0.0000				
31 D	15.29	-4.1449E-02	177.0	76.47	177.0	99.48	ACTIVE 0.000	-5.900	0.000
1.000	1.000	76.47	0.000	0.000	0.000	0.000	Ala_161_6590_L_0	0.0000	
0.0000	0.0000	0.0000	0.0000	0.0000	0.0000				
32 D	15.64	-4.0477E-02	181.1	78.21	181.1	101.8	ACTIVE 0.000	-6.100	0.000
1.000	1.000	78.21	0.000	0.000	0.000	0.000	Ala_161_6590_L_0	0.0000	
0.0000	0.0000	0.0000	0.0000	0.0000	0.0000				
33 D	15.99	-3.9510E-02	185.1	79.96	185.1	104.0	ACTIVE 0.000	-6.300	0.000
1.000	1.000	79.96	0.000	0.000	0.000	0.000	Ala_161_6590_L_0	0.0000	
0.0000	0.0000	0.0000	0.0000	0.0000	0.0000				
34 D	16.34	-3.8548E-02	189.1	81.71	189.1	106.3	ACTIVE 0.000	-6.500	0.000
1.000	1.000	81.71	0.000	0.000	0.000	0.000	Ala_161_6590_L_0	0.0000	
0.0000	0.0000	0.0000	0.0000	0.0000	0.0000				
35 D	16.69	-3.7593E-02	193.2	83.45	193.2	108.6	ACTIVE 0.000	-6.700	0.000
1.000	1.000	83.45	0.000	0.000	0.000	0.000	Ala_161_6590_L_0	0.0000	
0.0000	0.0000	0.0000	0.0000	0.0000	0.0000				
36 D	17.07	-3.6644E-02	197.6	85.34	197.6	111.0	ACTIVE 0.000	-6.900	0.000
1.000	1.000	85.34	0.000	0.000	0.000	0.000	Ala_161_6590_L_0	0.0000	
0.0000	0.0000	0.0000	0.0000	0.0000	0.0000				
37 D	17.48	-3.5702E-02	202.3	87.40	202.3	113.7	ACTIVE 0.000	-7.100	0.000
1.000	1.000	87.40	0.000	0.000	0.000	0.000	Ala_161_6590_L_0	0.0000	
0.0000	0.0000	0.0000	0.0000	0.0000	0.0000				
38 D	17.86	-3.4767E-02	206.7	89.29	206.7	116.2	ACTIVE 0.000	-7.300	0.000
1.000	1.000	89.29	0.000	0.000	0.000	0.000	Ala_161_6590_L_0	0.0000	
0.0000	0.0000	0.0000	0.0000	0.0000	0.0000				
39 D	18.25	-3.3839E-02	211.2	91.26	211.2	118.7	ACTIVE 0.000	-7.500	0.000
1.000	1.000	91.26	0.000	0.000	0.000	0.000	Ala_161_6590_L_0	0.0000	
0.0000	0.0000	0.0000	0.0000	0.0000	0.0000				
40 D	18.63	-3.2920E-02	215.6	93.16	215.6	121.2	ACTIVE 0.000	-7.700	0.000
1.000	1.000	93.16	0.000	0.000	0.000	0.000	Ala_161_6590_L_0	0.0000	
0.0000	0.0000	0.0000	0.0000	0.0000	0.0000				
41 D	19.01	-3.2008E-02	220.0	95.06	220.0	123.7	ACTIVE 0.000	-7.900	0.000
1.000	1.000	95.06	0.000	0.000	0.000	0.000	Ala_161_6590_L_0	0.0000	
0.0000	0.0000	0.0000	0.0000	0.0000	0.0000				
42 D	19.39	-3.1106E-02	224.4	96.96	224.4	126.1	ACTIVE 0.000	-8.100	0.000
1.000	1.000	96.96	0.000	0.000	0.000	0.000	Ala_161_6590_L_0	0.0000	
0.0000	0.0000	0.0000	0.0000	0.0000	0.0000				
43 D	19.76	-3.0212E-02	228.7	98.79	228.7	128.5	ACTIVE 0.000	-8.300	0.000
1.000	1.000	98.79	0.000	0.000	0.000	0.000	Ala_161_6590_L_0	0.0000	
0.0000	0.0000	0.0000	0.0000	0.0000	0.0000				
44 D	20.14	-2.9327E-02	233.1	100.7	233.1	131.0	ACTIVE 0.000	-8.500	0.000
1.000	1.000	100.7	0.000	0.000	0.000	0.000	Ala_161_6590_L_0	0.0000	
0.0000	0.0000	0.0000	0.0000	0.0000	0.0000				
45 D	20.50	-2.8452E-02	237.2	102.5	237.2	133.3	ACTIVE 0.000	-8.700	0.000
1.000	1.000	102.5	0.000	0.000	0.000	0.000	Ala_161_6590_L_0	0.0000	
0.0000	0.0000	0.0000	0.0000	0.0000	0.0000				
46 D	20.87	-2.7587E-02	241.6	104.4	241.6	135.8	ACTIVE 0.000	-8.900	0.000
1.000	1.000	104.4	0.000	0.000	0.000	0.000	Ala_161_6590_L_0	0.0000	
0.0000	0.0000	0.0000	0.0000	0.0000	0.0000				
47 D	21.23	-2.6732E-02	245.7	106.1	245.7	138.1	ACTIVE 0.000	-9.100	0.000
1.000	1.000	106.1	0.000	0.000	0.000	0.000	Ala_161_6590_L_0	0.0000	
0.0000	0.0000	0.0000	0.0000	0.0000	0.0000				
48 D	21.60	-2.5888E-02	250.0	108.0	250.0	140.5	ACTIVE 0.000	-9.300	0.000
1.000	1.000	108.0	0.000	0.000	0.000	0.000	Ala_161_6590_L_0	0.0000	
0.0000	0.0000	0.0000	0.0000	0.0000	0.0000				
49 D	21.95	-2.5054E-02	254.1	109.8	254.1	142.8	ACTIVE 0.000	-9.500	0.000
1.000	1.000	109.8	0.000	0.000	0.000	0.000	Ala_161_6590_L_0	0.0000	
0.0000	0.0000	0.0000	0.0000	0.0000	0.0000				
50 D	22.55	-2.4230E-02	256.3	110.7	256.3	144.1	ACTIVE 0.000	-9.700	2.000
1.000	1.000	112.7	0.000	0.000	0.000	0.000	Ala_161_6590_L_0	0.0000	
0.0000	0.0000	0.0000	0.0000	0.0000	0.0000				
51 D	23.12	-2.3418E-02	258.3	111.6	258.3	145.2	ACTIVE 0.000	-9.900	4.000
1.000	1.000	115.6	0.000	0.000	0.000	0.000	Ala_161_6590_L_0	0.0000	
0.0000	0.0000	0.0000	0.0000	0.0000	0.0000				
52 D	23.71	-2.2616E-02	260.6	112.6	260.6	146.4	ACTIVE 0.000	-10.10	6.000
1.000	1.000	118.6	0.000	0.000	0.000	0.000	Ala_161_6590_L_0	0.0000	
0.0000	0.0000	0.0000	0.0000	0.0000	0.0000				

53 D	24.28	-2.1826E-02	262.5	113.4	262.5	147.5	ACTIVE	0.000	-10.30	8.000
1.000	1.000	121.4	0.000	0.000	0.000	0.000	Ala_161_6590_L_0			0.0000
0.0000	0.0000	0.0000	0.0000	0.0000						
54 D	24.87	-2.1046E-02	264.7	114.3	264.7	148.7	ACTIVE	0.000	-10.50	10.000
1.000	1.000	124.3	0.000	0.000	0.000	0.000	Ala_161_6590_L_0			0.0000
0.0000	0.0000	0.0000	0.0000	0.0000						
55 D	25.44	-2.0278E-02	266.7	115.2	266.7	149.9	ACTIVE	0.000	-10.70	12.00
1.000	1.000	127.2	0.000	0.000	0.000	0.000	Ala_161_6590_L_0			0.0000
0.0000	0.0000	0.0000	0.0000	0.0000						
56 D	26.02	-1.9521E-02	268.7	116.1	268.7	151.0	ACTIVE	0.000	-10.90	14.00
1.000	1.000	130.1	0.000	0.000	0.000	0.000	Ala_161_6590_L_0			0.0000
0.0000	0.0000	0.0000	0.0000	0.0000						
57 D	26.59	-1.8774E-02	270.7	117.0	270.7	152.1	ACTIVE	0.000	-11.10	16.00
1.000	1.000	133.0	0.000	0.000	0.000	0.000	Ala_161_6590_L_0			0.0000
0.0000	0.0000	0.0000	0.0000	0.0000						
58 D	27.16	-1.8039E-02	272.7	117.8	272.7	153.3	ACTIVE	0.000	-11.30	18.00
1.000	1.000	135.8	0.000	0.000	0.000	0.000	Ala_161_6590_L_0			0.0000
0.0000	0.0000	0.0000	0.0000	0.0000						
59 D	27.74	-1.7314E-02	274.7	118.7	274.7	154.4	ACTIVE	0.000	-11.50	20.00
1.000	1.000	138.7	0.000	0.000	0.000	0.000	Ala_161_6590_L_0			0.0000
0.0000	0.0000	0.0000	0.0000	0.0000						
60 D	28.31	-1.6600E-02	276.7	119.5	276.7	155.5	ACTIVE	0.000	-11.70	22.00
1.000	1.000	141.5	0.000	0.000	0.000	0.000	Ala_161_6590_L_0			0.0000
0.0000	0.0000	0.0000	0.0000	0.0000						
61 D	28.88	-1.5896E-02	278.7	120.4	278.7	156.6	ACTIVE	0.000	-11.90	24.00
1.000	1.000	144.4	0.000	0.000	0.000	0.000	Ala_161_6590_L_0			0.0000
0.0000	0.0000	0.0000	0.0000	0.0000						
62 D	29.44	-1.5202E-02	280.6	121.2	280.6	157.7	ACTIVE	0.000	-12.10	26.00
1.000	1.000	147.2	0.000	0.000	0.000	0.000	Ala_161_6590_L_0			0.0000
0.0000	0.0000	0.0000	0.0000	0.0000						
63 D	30.02	-1.4519E-02	282.6	122.1	282.6	158.8	ACTIVE	0.000	-12.30	28.00
1.000	1.000	150.1	0.000	0.000	0.000	0.000	Ala_161_6590_L_0			0.0000
0.0000	0.0000	0.0000	0.0000	0.0000						
64 D	30.58	-1.3845E-02	284.5	122.9	284.5	159.9	ACTIVE	0.000	-12.50	30.00
1.000	1.000	152.9	0.000	0.000	0.000	0.000	Ala_161_6590_L_0			0.0000
0.0000	0.0000	0.0000	0.0000	0.0000						
65 D	31.15	-1.3181E-02	286.5	123.8	286.5	161.0	ACTIVE	0.000	-12.70	32.00
1.000	1.000	155.8	0.000	0.000	0.000	0.000	Ala_161_6590_L_0			0.0000
0.0000	0.0000	0.0000	0.0000	0.0000						
66 D	31.71	-1.2526E-02	288.3	124.6	288.3	162.0	ACTIVE	0.000	-12.90	34.00
1.000	1.000	158.6	0.000	0.000	0.000	0.000	Ala_161_6590_L_0			0.0000
0.0000	0.0000	0.0000	0.0000	0.0000						
67 D	32.28	-1.1879E-02	290.3	125.4	290.3	163.1	ACTIVE	0.000	-13.10	36.00
1.000	1.000	161.4	0.000	0.000	0.000	0.000	Ala_161_6590_L_0			0.0000
0.0000	0.0000	0.0000	0.0000	0.0000						
68 D	32.84	-1.1242E-02	292.1	126.2	292.1	164.2	ACTIVE	0.000	-13.30	38.00
1.000	1.000	164.2	0.000	0.000	0.000	0.000	Ala_161_6590_L_0			0.0000
0.0000	0.0000	0.0000	0.0000	0.0000						
69 D	33.39	-1.0612E-02	293.9	127.0	293.9	165.2	ACTIVE	0.000	-13.50	40.00
1.000	1.000	167.0	0.000	0.000	0.000	0.000	Ala_161_6590_L_0			0.0000
0.0000	0.0000	0.0000	0.0000	0.0000						
70 D	33.95	-9.9907E-03	295.7	127.7	295.7	166.2	ACTIVE	0.000	-13.70	42.00
1.000	1.000	169.7	0.000	0.000	0.000	0.000	Ala_161_6590_L_0			0.0000
0.0000	0.0000	0.0000	0.0000	0.0000						
71 D	34.50	-9.3768E-03	297.5	128.5	297.5	167.2	ACTIVE	0.000	-13.90	44.00
1.000	1.000	172.5	0.000	0.000	0.000	0.000	Ala_161_6590_L_0			0.0000
0.0000	0.0000	0.0000	0.0000	0.0000						
72 D	35.06	-8.7700E-03	299.3	129.3	299.3	168.2	ACTIVE	0.000	-14.10	46.00
1.000	1.000	175.3	0.000	0.000	0.000	0.000	Ala_161_6590_L_0			0.0000
0.0000	0.0000	0.0000	0.0000	0.0000						
73 D	35.62	-8.1702E-03	301.1	130.1	301.1	169.2	ACTIVE	0.000	-14.30	48.00
1.000	1.000	178.1	0.000	0.000	0.000	0.000	Ala_161_6590_L_0			0.0000
0.0000	0.0000	0.0000	0.0000	0.0000						
74 D	36.17	-7.5768E-03	302.9	130.9	302.9	170.2	ACTIVE	0.000	-14.50	50.00
1.000	1.000	180.9	0.000	0.000	0.000	0.000	Ala_161_6590_L_0			0.0000
0.0000	0.0000	0.0000	0.0000	0.0000						
75 D	36.73	-6.9895E-03	304.7	131.6	304.7	171.3	ACTIVE	0.000	-14.70	52.00
1.000	1.000	183.6	0.000	0.000	0.000	0.000	Ala_161_6590_L_0			0.0000
0.0000	0.0000	0.0000	0.0000	0.0000						
76 D	37.29	-6.4080E-03	306.5	132.4	306.5	172.3	ACTIVE	0.000	-14.90	54.00
1.000	1.000	186.4	0.000	0.000	0.000	0.000	Ala_161_6590_L_0			0.0000
0.0000	0.0000	0.0000	0.0000	0.0000						
77 D	37.84	-5.8319E-03	308.4	133.2	308.4	173.3	ACTIVE	0.000	-15.10	56.00
1.000	1.000	189.2	0.000	0.000	0.000	0.000	Ala_161_6590_L_0			0.0000
0.0000	0.0000	0.0000	0.0000	0.0000						
78 D	38.40	-5.2607E-03	310.2	134.0	310.2	174.3	ACTIVE	0.000	-15.30	58.00
1.000	1.000	192.0	0.000	0.000	0.000	0.000	Ala_161_6590_L_0			0.0000
0.0000	0.0000	0.0000	0.0000	0.0000						
79 D	38.96	-4.6942E-03	312.0	134.8	312.0	175.3	ACTIVE	0.000	-15.50	60.00
1.000	1.000	194.8	0.000	0.000	0.000	0.000	Ala_161_6590_L_0			0.0000
0.0000	0.0000	0.0000	0.0000	0.0000						
80 D	39.51	-4.1320E-03	313.8	135.6	313.8	176.4	ACTIVE	0.000	-15.70	62.00
1.000	1.000	197.6	0.000	0.000	0.000	0.000	Ala_161_6590_L_0			0.0000
0.0000	0.0000	0.0000	0.0000	0.0000						
81 D	40.07	-3.5736E-03	315.6	136.3	315.6	177.4	ACTIVE	0.000	-15.90	64.00
1.000	1.000	200.3	0.000	0.000	0.000	0.000	Ala_161_6590_L_0			0.0000
0.0000	0.0000	0.0000	0.0000	0.0000						
82 D	37.61	-3.0188E-03	317.5	122.1	317.5	178.4	ACTIVE	0.000	-16.10	66.00
1.000	1.000	188.1	0.000	0.000	8.000	8.000	Salt_21271_21259_L_0			0.0000
0.0000	0.0000	0.0000	0.0000	0.0000						
83 D	38.17	-2.4671E-03	319.4	122.9	319.4	179.5	ACTIVE	0.000	-16.30	68.00
1.000	1.000	190.9	0.000	0.000	8.000	8.000	Salt_21271_21259_L_0			0.0000

0.0000	0.0000	0.0000	0.0000	0.0000						
84 D	39.91	-1.9183E-03	321.3	129.5	321.3	180.6	UL-RL 1.4013E+05	-16.50	70.00	
1.000	1.000	199.5	0.000	0.000	8.000	8.000	Salt_21271_21259_L_0		0.0000	
0.0000	0.0000	0.0000	0.0000	0.0000						
85 D	43.17	-1.3718E-03	323.3	143.9	323.3	181.7	UL-RL 1.4013E+05	-16.70	72.00	
1.000	1.000	215.9	0.000	0.000	8.000	8.000	Salt_21271_21259_L_0		0.0000	
0.0000	0.0000	0.0000	0.0000	0.0000						
86 D	49.35	-8.2731E-04	325.2	172.7	325.2	182.8	UL-RL 1.4013E+05	-16.90	74.00	
1.000	1.000	246.7	0.000	0.000	8.000	8.000	Salt_21271_21259_L_0		0.0000	
0.0000	0.0000	0.0000	0.0000	0.0000						
87 D	53.53	-2.8438E-04	327.1	191.6	327.1	191.6	V-C 4.6711E+04	-17.10	76.00	
1.000	1.000	267.6	0.000	0.000	8.000	8.000	Salt_21271_21259_L_0		0.0000	
0.0000	0.0000	0.0000	0.0000	0.0000						
88 D	58.51	2.5738E-04	329.0	214.5	329.0	214.5	V-C 4.6711E+04	-17.30	78.00	
1.000	1.000	292.5	0.000	0.000	8.000	8.000	Salt_21271_21259_L_0		0.0000	
0.0000	0.0000	0.0000	0.0000	0.0000						
89 D	63.48	7.9832E-04	331.0	237.4	331.0	237.4	V-C 4.6711E+04	-17.50	80.00	
1.000	1.000	317.4	0.000	0.000	8.000	8.000	Salt_21271_21259_L_0		0.0000	
0.0000	0.0000	0.0000	0.0000	0.0000						
90 D	63.00	1.3388E-03	333.0	233.0	333.0	233.0	V-C 3.4257E+04	-17.70	82.00	
1.000	1.000	315.0	0.000	0.000	44.00	44.00	Sch_21272_21260_L_0		0.0000	
0.0000	0.0000	0.0000	0.0000	0.0000						
91 D	67.38	1.8789E-03	335.5	252.9	335.5	252.9	V-C 3.4257E+04	-17.90	84.00	
1.000	1.000	336.9	0.000	0.000	44.00	44.00	Sch_21272_21260_L_0		0.0000	
0.0000	0.0000	0.0000	0.0000	0.0000						
92 D	53.83	2.4190E-03	338.0	272.8	338.0	272.8	V-C 3.4257E+04	-18.10	86.00	
1.000	1.000	358.8	0.000	0.000	44.00	44.00	Sch_21272_21260_L_0		0.0000	
0.0000	0.0000	0.0000	0.0000	0.0000						
93 D	18.49	2.6890E-03	339.3	282.8	339.3	282.8	V-C 3.4257E+04	-18.20	87.00	
1.000	1.000	369.8	0.000	0.000	44.00	44.00	Sch_21272_21260_L_0		0.0000	
0.0000	0.0000	0.0000	0.0000	0.0000						

```

+-----+
|                PARATIEPLUS(TM)  NLS ENGINE RELEASE  2022.0.0  FULL VERSION  *Build date:Sep 13, 2021*                |
|                                                                                                                                            |
|                                                                                               ParatiePlus                               |
|                                                                                               Exe Time :28 January 2022   11:11:20                               |
+-----+

```

New Project

S T R E S S R E S U L T S F O R G R O U P N O . 3

```

pali15001.7_33 :
ELEMENT TYPE   2 NO.OF ELEMENTS. IN THIS GROUP   68
C U R R E N T   T I M E   I S   4.0000 SUBINCREMENT 00001/00001

```

WALL2D ELEMENT

EL	TA	TB	MA	MB
1	-178.86	178.86	349.41	-385.18
2	-190.68	190.68	385.18	-423.32
3	-201.12	201.12	423.32	-463.54
4	-210.18	210.18	463.54	-505.58
5	-217.86	217.86	505.58	-549.15
6	-224.16	224.16	549.15	-593.98
7	-229.09	229.09	593.98	-639.80
8	-232.64	232.64	639.80	-686.33
9	-234.80	234.80	686.33	-733.29
10	-235.59	235.59	733.29	-780.41
11	-235.00	235.00	780.41	-827.41
12	-233.06	233.06	827.41	-874.02
13	-229.81	229.81	874.02	-919.98
14	-225.20	225.20	919.98	-965.02
15	-219.26	219.26	965.02	-1008.9
16	-211.97	211.97	1008.9	-1051.3
17	-203.34	203.34	1051.3	-1091.9
18	-193.35	193.35	1091.9	-1130.6
19	-182.01	182.01	1130.6	-1167.0
20	-169.31	169.31	1167.0	-1200.9
21	-155.25	155.25	1200.9	-1231.9
22	-139.83	139.83	1231.9	-1259.9
23	-123.04	123.04	1259.9	-1284.5
24	-104.90	104.90	1284.5	-1305.5
25	-85.377	85.377	1305.5	-1322.5
26	-65.316	65.316	1322.5	-1335.6
27	-44.691	44.691	1335.6	-1344.5
28	-23.522	23.522	1344.5	-1349.3
29	-1.7880	1.7880	1349.3	-1349.6
30	19.576	-19.576	1349.6	-1345.7
31	39.790	-39.790	1345.7	-1337.7
32	58.863	-58.863	1337.7	-1326.0
33	76.821	-76.821	1326.0	-1310.6
34	93.678	-93.678	1310.6	-1291.9
35	109.45	-109.45	1291.9	-1270.0
36	124.16	-124.16	1270.0	-1245.1
37	137.82	-137.82	1245.1	-1217.6
38	150.45	-150.45	1217.6	-1187.5
39	162.07	-162.07	1187.5	-1155.1
40	172.69	-172.69	1155.1	-1120.5
41	182.32	-182.32	1120.5	-1084.1
42	190.99	-190.99	1084.1	-1045.9
43	198.69	-198.69	1045.9	-1006.1
44	205.47	-205.47	1006.1	-965.04
45	211.33	-211.33	965.04	-922.78
46	216.28	-216.28	922.78	-879.52
47	220.34	-220.34	879.52	-835.45
48	223.51	-223.51	835.45	-790.75
49	225.81	-225.81	790.75	-745.59
50	227.25	-227.25	745.59	-700.14
51	227.84	-227.84	700.14	-654.57
52	227.58	-227.58	654.57	-609.05
53	226.48	-226.48	609.05	-563.76
54	224.56	-224.56	563.76	-518.85
55	221.81	-221.81	518.85	-474.48
56	218.24	-218.24	474.48	-430.84
57	213.87	-213.87	430.84	-388.06
58	233.36	-233.36	388.06	-341.39
59	248.11	-248.11	341.39	-291.77
60	256.23	-256.23	291.77	-240.52
61	255.25	-255.25	240.52	-189.47
62	240.49	-240.49	189.47	-141.37
63	213.92	-213.92	141.37	-98.590
64	182.93	-182.93	98.590	-62.003
65	147.54	-147.54	62.003	-32.493
66	102.32	-102.32	32.493	-12.028
67	53.301	-53.301	12.028	-1.3682
68	13.682	-13.682	1.3682	1.73493E-10

```

+-----+
|          PARATIEPLUS(TM)  NLS ENGINE RELEASE  2022.0.0  FULL VERSION  *Build date:Sep 13, 2021*          |
|                                                                                                                                            |
|                                                                                               ParatiePlus                               |
|                                                                                               Exe Time :28 January 2022   11:11:20           |
+-----+

```

New Project

S T R E S S R E S U L T S F O R G R O U P N O . 4

```

muro71cm_4658 :
ELEMENT TYPE   2 NO.OF ELEMENTS. IN THIS GROUP   24
C U R R E N T   T I M E   I S   4.0000 SUBINCREMENT 00001/00001

```

WALL2D ELEMENT

EL	TA	TB	MA	MB
1	-2.2183	2.2183	1.07878E-09	-0.44366
2	-6.8949	6.8949	0.44366	-1.8226
3	-11.812	11.812	1.8226	-4.1850
4	-16.969	16.969	4.1850	-7.5787
5	-22.366	22.366	7.5787	-12.052
6	-28.004	28.004	12.052	-17.653
7	-33.884	33.884	17.653	-24.430
8	-40.005	40.005	24.430	-32.431
9	-46.368	46.368	32.431	-41.704
10	-52.974	52.974	41.704	-52.299
11	-59.824	59.824	52.299	-64.264
12	-66.916	66.916	64.264	-77.647
13	-74.254	74.254	77.647	-92.498
14	-81.836	81.836	92.498	-108.87
15	-89.663	89.663	108.87	-126.80
16	-97.737	97.737	126.80	-146.35
17	-106.06	106.06	146.35	-167.56
18	-114.62	114.62	167.56	-190.48
19	-123.44	123.44	190.48	-215.17
20	-132.50	132.50	215.17	-241.67
21	-141.81	141.81	241.67	-270.03
22	-151.37	151.37	270.03	-300.30
23	-161.17	161.17	300.30	-332.54
24	-168.71	168.71	332.54	-349.41

```

+-----+
|          PARATIEPLUS(TM)  NLS ENGINE RELEASE  2022.0.0  FULL VERSION  *Build date:Sep 13, 2021*          |
|                                                                                                                                            |
|                                                                                               ParatiePlus                               |
|                                                                                               Exe Time :28 January 2022   11:11:20          |
+-----+

```

F I N A L I N C R E M E N T A L A N A L Y S I S

S U M M A R Y

STEP		NO. OF ITERATIONS
1	CONVERGENCE :YES	2
2	CONVERGENCE :YES	2
3	CONVERGENCE :YES	8
4	CONVERGENCE :YES	4

END OF PROCESS FOR PROBLEM

New Project

NONLINEAR SOLUTION CPU TIME 0.11 [sec]

DATABASE CREATION CPU TIME..... 0.29 [sec]



2.1.3 PEDEMONTANA DELLE MARCHE

3° stralcio funzionale: Castelraimondo nord – Castelraimondo sud

4° stralcio funzionale: Castelraimondo sud – innesto S.S. 77 a Muccia

Paratia di sottoscarpa con paramento in DX da 8+895 al km 9+005

Relazione tecnica e di calcolo

Opera L0703	Tratto 213	Settore E	CEE 16	WBS MU029	Id.doc. REL	N.prog. 01	Rev. D	Pag.di Pag. 48 di 48
----------------	---------------	--------------	-----------	--------------	----------------	---------------	-----------	-------------------------

APPENDICE B

REPORT DI CALCOLO VERIFICHE STRUTTURALI

DATI GENERALI SEZIONE GENERICA NON DISSIPATIVA IN C.A.**NOME SEZIONE: MU29_gabbiasup(H=4.7m)**

Descrizione Sezione:	
Metodo di calcolo resistenza:	Resistenze in campo sostanzialmente elastico
Tipologia sezione:	Sezione generica di Trave di fondazione in combinazione sismica
Normativa di riferimento:	N.T.C.
Percorso sollecitazione:	A Sforzo Norm. costante
Condizioni Ambientali:	Moderat. aggressive
Tipo di sollecitazione:	Retta (asse neutro sempre parallelo all'asse X)
Riferimento Sforzi assegnati:	Assi x,y principali d'inerzia
Riferimento alla sismicit�:	Comb. non sismiche

CARATTERISTICHE DI RESISTENZA DEI MATERIALI IMPIEGATI

CALCESTRUZZO -	Classe:	C32/40	
	Resis. compr. di progetto fcd:	18.8	MPa
	Resis. compr. ridotta fcd':	9.4	MPa
	Def.unit. max resistenza ec2:	0.0020	
	Def.unit. ultima ecu:	0.0035	
	Diagramma tensione-deformaz.:	Parabola-Rettangolo	
	Modulo Elastico Normale Ec:	33642.8	MPa
	Resis. media a trazione fctm:	3.10	MPa
	Coeff. Omogen. S.L.E.:	15.00	
	Sc limite S.L.E. comb. Rare:	19.9	MPa
	Sc limite S.L.E. comb. Frequenti:	19.9	MPa
	Ap.Fessure limite S.L.E. comb. Frequenti:	0.300	mm
	Sc limite S.L.E. comb. Q.Permanenti:	14.9	MPa
	Ap.Fess.limite S.L.E. comb. Q.Perm.:	0.200	mm
	ACCIAIO -	Tipo:	B450C
Resist. caratt. snervam. fyk:		450.0	MPa
Resist. caratt. rottura ftk:		450.0	MPa
Resist. snerv. di progetto fyd:		391.3	MPa
Resist. ultima di progetto ftd:		391.3	MPa
Deform. ultima di progetto Epu:		0.068	
Modulo Elastico Ef		2000000	daN/cm ²
Diagramma tensione-deformaz.:		Bilineare finito	
Coeff. Aderenza istantaneo $\beta_1 \cdot \beta_2$:		1.00	
Coeff. Aderenza differito $\beta_1 \cdot \beta_2$:		0.50	
Sf limite S.L.E. Comb. Rare:		360.00	MPa

CARATTERISTICHE DOMINIO CALCESTRUZZO

Forma del Dominio:	Circolare
Classe Calcestruzzo:	C32/40

Raggio circ.:	75.0 cm
X centro circ.:	0.0 cm
Y centro circ.:	0.0 cm

DATI BARRE ISOLATE

N°Barra	X [cm]	Y [cm]	DiamØ[mm]
1	0.0	57.6	26
2	0.0	-57.6	26
3	13.8	55.9	26
4	-13.8	55.9	26
5	-13.8	-55.9	26
6	13.8	-55.9	26
7	26.8	51.0	26
8	-26.8	51.0	26
9	-26.8	-51.0	26

10	26.8	-51.0	26
11	38.2	43.1	26
12	-38.2	43.1	26
13	-38.2	-43.1	26
14	38.2	-43.1	26
15	47.4	32.7	26
16	-47.4	32.7	26
17	-47.4	-32.7	26
18	47.4	-32.7	26
19	53.9	20.4	26
20	-53.9	20.4	26
21	-53.9	-20.4	26
22	53.9	-20.4	26
23	57.2	6.9	26
24	-57.2	-6.9	26
25	-57.2	6.9	26
26	57.2	-6.9	26

DATI GENERAZIONI CIRCOLARI DI BARRE

N°Gen.	Numero assegnato alla singola generazione circolare di barre
Xcentro	Ascissa [cm] del centro della circonf. lungo cui sono disposte le barre generate
Ycentro	Ordinata [cm] del centro della circonf. lungo cui sono disposte le barre generate
Raggio	Raggio [cm] della circonferenza lungo cui sono disposte le barre generate
N°Barre	Numero di barre generate equidist. disposte lungo la circonferenza
Ø	Diametro [mm] della singola barra generata

N°Gen.	Xcentro	Ycentro	Raggio	N°Barre	Ø
1	0.0	0.0	63.1	26	26

ARMATURE A TAGLIO

Diametro staffe:	16	mm
Passo staffe:	20.0	cm
Staffe:	Una sola staffa chiusa perimetrale	

CALCOLO DI RESISTENZA - SFORZI PER OGNI COMBINAZIONE ASSEGNATA

N	Sforzo normale [kN] applicato nel Baric. (+ se di compressione)
Mx	Momento flettente [daNm] intorno all'asse X di riferimento delle coordinate con verso positivo se tale da comprimere il lembo sup. della sez.
Vy	Componente del Taglio [kN] parallela all'asse Y di riferimento delle coordinate

N°Comb.	N	Mx	Vy
1	0.00	1377.00	318.00
2	0.00	1371.00	292.00

COMB. RARE (S.L.E.) - SFORZI PER OGNI COMBINAZIONE ASSEGNATA

N	Sforzo normale [kN] applicato nel Baricentro (+ se di compressione)
Mx	Momento flettente [kNm] intorno all'asse X di riferimento (tra parentesi Mom.Fessurazione) con verso positivo se tale da comprimere il lembo superiore della sezione

N°Comb.	N	Mx	My
1	208.00	1059.00	0.00

COMB. FREQUENTI (S.L.E.) - SFORZI PER OGNI COMBINAZIONE ASSEGNATA

N	Sforzo normale [kN] applicato nel Baricentro (+ se di compressione)
Mx	Momento flettente [kNm] intorno all'asse X di riferimento (tra parentesi Mom.Fessurazione)

con verso positivo se tale da comprimere il lembo superiore della sezione

N°Comb.	N	Mx	My
1	208.00	1059.00 (1393.73)	0.00 (0.00)

COMB. QUASI PERMANENTI (S.L.E.) - SFORZI PER OGNI COMBINAZIONE ASSEGNATA

N Sforzo normale [kN] applicato nel Baricentro (+ se di compressione)
Mx Momento flettente [kNm] intorno all'asse X di riferimento (tra parentesi Mom.Fessurazione)
con verso positivo se tale da comprimere il lembo superiore della sezione

N°Comb.	N	Mx	My
1	208.00	1059.00 (1393.73)	0.00 (0.00)

RISULTATI DEL CALCOLO

Sezione verificata per tutte le combinazioni assegnate

Copriferro netto minimo barre longitudinali:	10.6 cm
Interferro netto minimo barre longitudinali:	2.9 cm
Copriferro netto minimo staffe:	9.0 cm

VERIFICHE DI RESISTENZA IN PRESSO-TENSO FLESSIONE ALLO STATO LIMITE SOSTANZIALMENTE ELASTICO

Ver S = combinazione verificata / N = combin. non verificata
N Sforzo normale assegnato [kN] nel baricentro B sezione cls.(positivo se di compressione)
Mx Componente del momento assegnato [kNm] riferito all'asse x princ. d'inerzia
N Res Sforzo normale resistente [kN] nel baricentro B sezione cls.(positivo se di compress.)
Mx Res Momento flettente resistente [kNm] riferito all'asse x princ. d'inerzia
Mis.Sic. Misura sicurezza = rapporto vettoriale tra (N r,Mx Res,My Res) e (N,Mx,My)
Verifica positiva se tale rapporto risulta >=1.000
As Tesa Area armature trave [cm²] in zona tesa. [Tra parentesi l'area minima ex § 7.2.6 NTC]

N°Comb	Ver	N	Mx	N Res	Mx Res	Mis.Sic.	As Tesa
1	S	0.00	1377.00	0.00	3955.62	2.87	138.0(35.3)
2	S	0.00	1371.00	0.00	3955.62	2.89	138.0(35.3)

METODO AGLI STATI LIMITE IN CAMPO SOSTANZIALMENTE ELASTICO - DEFORMAZIONI UNITARIE ALLO STATO LIMITE

ec max Deform. unit. massima del calcestruzzo a compressione
x/d Rapporto di duttilità [§ 4.1.2.1.2.1 NTC] deve essere < 0.45
Xc max Ascissa in cm della fibra corrisp. a ec max (sistema rif. X,Y,O sez.)
Yc max Ordinata in cm della fibra corrisp. a ec max (sistema rif. X,Y,O sez.)
es min Deform. unit. minima nell'acciaio (negativa se di trazione)
Xs min Ascissa in cm della barra corrisp. a es min (sistema rif. X,Y,O sez.)
Ys min Ordinata in cm della barra corrisp. a es min (sistema rif. X,Y,O sez.)
es max Deform. unit. massima nell'acciaio (positiva se di compress.)
Xs max Ascissa in cm della barra corrisp. a es max (sistema rif. X,Y,O sez.)
Ys max Ordinata in cm della barra corrisp. a es max (sistema rif. X,Y,O sez.)

N°Comb	ec max	x/d	Xc max	Yc max	es min	Xs min	Ys min	es max	Xs max	Ys max
1	0.00103	0.344	0.0	75.0	0.00077	0.0	63.1	-0.00196	0.0	-63.1
2	0.00103	0.344	0.0	75.0	0.00077	0.0	63.1	-0.00196	0.0	-63.1

POSIZIONE ASSE NEUTRO PER OGNI COMB. DI RESISTENZA

a, b, c Coeff. a, b, c nell'eq. dell'asse neutro $aX+bY+c=0$ nel rif. X,Y,O gen.
x/d Rapp. di duttilità (travi e solette)[§ 4.1.2.1.2.1 NTC]: deve essere < 0.45
C.Rid. Coeff. di riduz. momenti per sola flessione in travi continue

N°Comb	a	b	c	x/d	C.Rid.
1	0.000000000	0.000021612	-0.000592772	0.344	0.871

2 0.000000000 0.000021612 -0.000592772 0.344 0.871

VERIFICHE A TAGLIO

Diam. Staffe: 16 mm
 Passo staffe: 20.0 cm [Passo massimo di normativa = 33.0 cm]

Ver S = comb. verificata a taglio / N = comb. non verificata
 Ved Taglio di progetto [kN] = Vy ortogonale all'asse neutro
 Vcd Taglio compressione resistente [kN] lato calcestruzzo [formula (4.1.28)NTC]
 Vwd Taglio resistente [kN] assorbito dalle staffe [(4.1.18) NTC]
 Dmed Altezza utile media pesata [cm] valutata lungo strisce ortog. all'asse neutro.
 La resistenza delle travi è calcolata assumendo il valore di 0.9 Dmed come coppia interna.
 I pesi della media sono le lunghezze delle strisce.(Sono escluse le strisce totalmente non compresse).
 bw Larghezza media resistente a taglio [cm] misurate parallel. all'asse neutro
 E' data dal rapporto tra l'area delle sopradette strisce resistenti e Dmed.
 Ctg Cotangente dell'angolo di inclinazione dei puntoni di calcestruzzo
 Acw Coefficiente maggiorativo della resistenza a taglio per compressione
 Ast Area staffe+legature strettam. necessarie a taglio per metro di pil.[cm²/m]
 A.Eff Area staffe+legature efficaci nella direzione del taglio di combinaz.[cm²/m]
 Tra parentesi è indicata la quota dell'area relativa alle sole legature.
 L'area della legatura è ridotta col fattore L/d_max con L=lungh.legat.proietta-
 ta sulla direz. del taglio e d_max= massima altezza utile nella direz.del taglio.

N°Comb	Ver	Ved	Vcd	Vwd	Dmed	bw	Ctg	Acw	Ast	A.Eff
1	S	318.00	4584.51	2075.29	117.2	134.0	2.500	1.000	3.1	20.1(0.0)
2	S	292.00	4584.51	2075.29	117.2	134.0	2.500	1.000	2.8	20.1(0.0)

COMBINAZIONI RARE IN ESERCIZIO - MASSIME TENSIONI NORMALI ED APERTURA FESSURE (NTC/EC2)

Ver S = comb. verificata/ N = comb. non verificata
 Sc max Massima tensione (positiva se di compressione) nel calcestruzzo [MPa]
 Xc max, Yc max Ascissa, Ordinata [cm] del punto corrisp. a Sc max (sistema rif. X,Y,O)
 Ss min Minima tensione (negativa se di trazione) nell'acciaio [MPa]
 Xs min, Ys min Ascissa, Ordinata [cm] della barra corrisp. a Ss min (sistema rif. X,Y,O)
 Ac eff. Area di calcestruzzo [cm²] in zona tesa considerata aderente alle barre
 As eff. Area barre [cm²] in zona tesa considerate efficaci per l'apertura delle fessure

N°Comb	Ver	Sc max	Xc max	Yc max	Ss min	Xs min	Ys min	Ac eff.	As eff.
1	S	3.99	0.0	0.0	-97.4	0.0	-63.1	2815	74.3

COMBINAZIONI RARE IN ESERCIZIO - APERTURA FESSURE [§ 7.3.4 EC2]

Ver. La sezione viene assunta sempre fessurata anche nel caso in cui la trazione minima del calcestruzzo sia inferiore a fctm
 Esito della verifica
 e1 Massima deformazione di trazione del calcestruzzo, valutata in sezione fessurata
 e2 Minima deformazione di trazione del cls. (in sezione fessurata), valutata nella fibra più interna dell'area Ac eff
 k1 = 0.8 per barre ad aderenza migliorata [eq.(7.11)EC2]
 kt = 0.4 per comb. quasi permanenti / = 0.6 per comb.frequenti [cfr. eq.(7.9)EC2]
 k2 = (e1 + e2)/(2*e1) [eq.(7.13)EC2]
 k3 = 3.400 Coeff. in eq.(7.11) come da annessi nazionali
 k4 = 0.425 Coeff. in eq.(7.11) come da annessi nazionali
 Ø Diametro [mm] equivalente delle barre tese comprese nell'area efficace Ac eff [eq.(7.11)EC2]
 Cf Coprifero [mm] netto calcolato con riferimento alla barra più tesa
 e sm - e cm Differenza tra le deformazioni medie di acciaio e calcestruzzo [(7.8)EC2 e (C4.1.7)NTC]
 Tra parentesi: valore minimo = 0.6 Smax / Es [(7.9)EC2 e (C4.1.8)NTC]
 sr max Massima distanza tra le fessure [mm]
 wk Apertura fessure in mm calcolata = sr max*(e_sm - e_cm) [(7.8)EC2 e (C4.1.7)NTC]. Valore limite tra parentesi
 Mx fess. Componente momento di prima fessurazione intorno all'asse X [kNm]
 My fess. Componente momento di prima fessurazione intorno all'asse Y [kNm]

Comb.	Ver	e1	e2	k2	Ø	Cf	e sm - e cm	sr max	wk	Mx fess	My fess
1	S	-0.00056	0.00000	0.835	26.0	106	0.00029 (0.00029)	640	0.187 (990.00)	1393.73	0.00

COMBINAZIONI FREQUENTI IN ESERCIZIO - MASSIME TENSIONI NORMALI ED APERTURA FESSURE (NTC/EC2)

N°Comb	Ver	Sc max	Xc max	Yc max	Ss min	Xs min	Ys min	Ac eff.	As eff.
--------	-----	--------	--------	--------	--------	--------	--------	---------	---------

1	S	3.99	0.0	0.0	-97.4	0.0	-63.1	2815	74.3
---	---	------	-----	-----	-------	-----	-------	------	------

COMBINAZIONI FREQUENTI IN ESERCIZIO - APERTURA FESSURE [§ 7.3.4 EC2]

Comb.	Ver	e1	e2	k2	Ø	Cf	e sm - e cm sr max	wk	Mx fess	My fess	
1	S	-0.00056	0.00000	0.835	26.0	106	0.00029 (0.00029)	640	0.187 (0.30)	1393.73	0.00

COMBINAZIONI QUASI PERMANENTI IN ESERCIZIO - MASSIME TENSIONI NORMALI ED APERTURA FESSURE (NTC/EC2)

N°Comb	Ver	Sc max	Xc max	Yc max	Ss min	Xs min	Ys min	Ac eff.	As eff.
1	S	3.99	0.0	0.0	-97.4	0.0	-63.1	2815	74.3

COMBINAZIONI QUASI PERMANENTI IN ESERCIZIO - APERTURA FESSURE [§ 7.3.4 EC2]

Comb.	Ver	e1	e2	k2	Ø	Cf	e sm - e cm sr max	wk	Mx fess	My fess	
1	S	-0.00056	0.00000	0.835	26.0	106	0.00029 (0.00029)	640	0.187 (0.20)	1393.73	0.00

DATI GENERALI SEZIONE GENERICA IN C.A.

NOME SEZIONE: MU029 - gabbia inf.

Descrizione Sezione:	
Metodo di calcolo resistenza:	Resistenze agli Stati Limite Ultimi
Tipologia sezione:	Sezione generica di Trave di fondazione in combinazione sismica
Normativa di riferimento:	N.T.C.
Percorso sollecitazione:	A Sforzo Norm. costante
Condizioni Ambientali:	Moderat. aggressive
Tipo di sollecitazione:	Retta (asse neutro sempre parallelo all'asse X)
Riferimento Sforzi assegnati:	Assi x,y principali d'inerzia
Riferimento alla sismicit�:	Comb. non sismiche

CARATTERISTICHE DI RESISTENZA DEI MATERIALI IMPIEGATI

CALCESTRUZZO -	Classe:	C32/40
	Resis. compr. di progetto fcd:	18.8 MPa
	Resis. compr. ridotta fcd':	9.4 MPa
	Def.unit. max resistenza ec2:	0.0020
	Def.unit. ultima ecu:	0.0035
	Diagramma tensione-deformaz.:	Parabola-Rettangolo
	Modulo Elastico Normale Ec:	33642.8 MPa
	Resis. media a trazione fctm:	3.10 MPa
	Coeff. Omogen. S.L.E.:	15.00
	Sc limite S.L.E. comb. Rare:	19.9 MPa
	Sc limite S.L.E. comb. Frequenti:	19.9 MPa
	Ap.Fessure limite S.L.E. comb. Frequenti:	0.300 mm
	Sc limite S.L.E. comb. Q.Permanenti:	14.9 MPa
	Ap.Fess.limite S.L.E. comb. Q.Perm.:	0.200 mm
	ACCIAIO -	Tipo:
Resist. caratt. snervam. fyk:		450.0 MPa
Resist. caratt. rottura ftk:		450.0 MPa
Resist. snerv. di progetto fyd:		391.3 MPa
Resist. ultima di progetto ftd:		391.3 MPa
Deform. ultima di progetto Epu:		0.068
Modulo Elastico Ef		2000000 daN/cm ²
Diagramma tensione-deformaz.:		Bilineare finito
Coeff. Aderenza istantaneo $\beta_1 \cdot \beta_2$:		1.00
Coeff. Aderenza differito $\beta_1 \cdot \beta_2$:		0.50
Sf limite S.L.E. Comb. Rare:		360.00 MPa

CARATTERISTICHE DOMINIO CALCESTRUZZO

Forma del Dominio:	Circolare
Classe Calcestruzzo:	C32/40

Raggio circ.:	75.0 cm
X centro circ.:	0.0 cm
Y centro circ.:	0.0 cm

DATI GENERAZIONI CIRCOLARI DI BARRE

N°Gen.	Numero assegnato alla singola generazione circolare di barre				
Xcentro	Ascissa [cm] del centro della circonf. lungo cui sono disposte le barre generate				
Ycentro	Ordinata [cm] del centro della circonf. lungo cui sono disposte le barre generate				
Raggio	Raggio [cm] della circonferenza lungo cui sono disposte le barre generate				
N°Barre	Numero di barre generate equidist. disposte lungo la circonferenza				
Ø	Diametro [mm] della singola barra generata				

N°Gen.	Xcentro	Ycentro	Raggio	N°Barre	Ø
1	0.0	0.0	63.1	26	26

ARMATURE A TAGLIO

Diametro staffe: 16 mm
Passo staffe: 20.0 cm
Staffe: Una sola staffa chiusa perimetrale

CALCOLO DI RESISTENZA - SFORZI PER OGNI COMBINAZIONE ASSEGNATA

N Sforzo normale [kN] applicato nel Baric. (+ se di compressione)
Mx Momento flettente [daNm] intorno all'asse X di riferimento delle coordinate con verso positivo se tale da comprimere il lembo sup. della sez.
Vy Componente del Taglio [kN] parallela all'asse Y di riferimento delle coordinate

N°Comb.	N	Mx	Vy
1	0.00	342.00	243.00
2	0.00	348.00	271.00

COMB. RARE (S.L.E.) - SFORZI PER OGNI COMBINAZIONE ASSEGNATA

N Sforzo normale [kN] applicato nel Baricentro (+ se di compressione)
Mx Momento flettente [kNm] intorno all'asse X di riferimento (tra parentesi Mom.Fessurazione) con verso positivo se tale da comprimere il lembo superiore della sezione

N°Comb.	N	Mx	My
1	0.00	263.00	0.00

COMB. FREQUENTI (S.L.E.) - SFORZI PER OGNI COMBINAZIONE ASSEGNATA

N Sforzo normale [kN] applicato nel Baricentro (+ se di compressione)
Mx Momento flettente [kNm] intorno all'asse X di riferimento (tra parentesi Mom.Fessurazione) con verso positivo se tale da comprimere il lembo superiore della sezione

N°Comb.	N	Mx	My
1	0.00	263.00 (1197.54)	0.00 (0.00)

COMB. QUASI PERMANENTI (S.L.E.) - SFORZI PER OGNI COMBINAZIONE ASSEGNATA

N Sforzo normale [kN] applicato nel Baricentro (+ se di compressione)
Mx Momento flettente [kNm] intorno all'asse X di riferimento (tra parentesi Mom.Fessurazione) con verso positivo se tale da comprimere il lembo superiore della sezione

N°Comb.	N	Mx	My
1	0.00	263.00 (1197.54)	0.00 (0.00)

RISULTATI DEL CALCOLO

Sezione verificata per tutte le combinazioni assegnate

Copriferro netto minimo barre longitudinali: 10.6 cm
Interferro netto minimo barre longitudinali: 12.6 cm
Copriferro netto minimo staffe: 9.0 cm

VERIFICHE DI RESISTENZA IN PRESSO-TENSO FLESSIONE ALLO STATO LIMITE ULTIMO

Ver S = combinazione verificata / N = combin. non verificata
N Sforzo normale assegnato [kN] nel baricentro B sezione cls.(positivo se di compressione)
Mx Componente del momento assegnato [kNm] riferito all'asse x princ. d'inerzia
N Res Sforzo normale resistente [kN] nel baricentro B sezione cls.(positivo se di compress.)
Mx Res Momento flettente resistente [kNm] riferito all'asse x princ. d'inerzia
Mis.Sic. Misura sicurezza = rapporto vettoriale tra (N r,Mx Res,My Res) e (N,Mx,My)

As Tesa Verifica positiva se tale rapporto risulta ≥ 1.000
 Area armature trave [cm²] in zona tesa. [Tra parentesi l'area minima ex § 7.2.6 NTC]

N°Comb	Ver	N	Mx	N Res	Mx Res	Mis.Sic.	As Tesa
1	S	0.00	342.00	0.00	3206.06	9.37	100.9(35.3)
2	S	0.00	348.00	0.00	3206.06	9.21	100.9(35.3)

METODO AGLI STATI LIMITE ULTIMI - DEFORMAZIONI UNITARIE ALLO STATO ULTIMO

ec max Deform. unit. massima del calcestruzzo a compressione
 x/d Rapporto di duttilità [§ 4.1.2.1.2.1 NTC] deve essere < 0.45
 Xc max Ascissa in cm della fibra corrisp. a ec max (sistema rif. X,Y,O sez.)
 Yc max Ordinata in cm della fibra corrisp. a ec max (sistema rif. X,Y,O sez.)
 es min Deform. unit. minima nell'acciaio (negativa se di trazione)
 Xs min Ascissa in cm della barra corrisp. a es min (sistema rif. X,Y,O sez.)
 Ys min Ordinata in cm della barra corrisp. a es min (sistema rif. X,Y,O sez.)
 es max Deform. unit. massima nell'acciaio (positiva se di compress.)
 Xs max Ascissa in cm della barra corrisp. a es max (sistema rif. X,Y,O sez.)
 Ys max Ordinata in cm della barra corrisp. a es max (sistema rif. X,Y,O sez.)

N°Comb	ec max	x/d	Xc max	Yc max	es min	Xs min	Ys min	es max	Xs max	Ys max
1	0.00350	0.198	0.0	75.0	0.00197	0.0	63.1	-0.01421	0.0	-63.1
2	0.00350	0.198	0.0	75.0	0.00197	0.0	63.1	-0.01421	0.0	-63.1

POSIZIONE ASSE NEUTRO PER OGNI COMB. DI RESISTENZA

a, b, c Coeff. a, b, c nell'eq. dell'asse neutro $aX+bY+c=0$ nel rif. X,Y,O gen.
 x/d Rapp. di duttilità (travi e solette)[§ 4.1.2.1.2.1 NTC]: deve essere < 0.45
 C.Rid. Coeff. di riduz. momenti per sola flessione in travi continue

N°Comb	a	b	c	x/d	C.Rid.
1	0.000000000	0.000128267	-0.006119994	0.198	0.700
2	0.000000000	0.000128267	-0.006119994	0.198	0.700

VERIFICHE A TAGLIO

Diam. Staffe: 16 mm
 Passo staffe: 20.0 cm [Passo massimo di normativa = 33.0 cm]

Ver S = comb. verificata a taglio / N = comb. non verificata
 Ved Taglio di progetto [kN] = V_y ortogonale all'asse neutro
 Vcd Taglio compressione resistente [kN] lato calcestruzzo [formula (4.1.28)NTC]
 Vwd Taglio resistente [kN] assorbito dalle staffe [(4.1.18) NTC]
 Dmed Altezza utile media pesata [cm] valutata lungo strisce ortog. all'asse neutro.
 La resistenza delle travi è calcolata assumendo il valore di 0.9 Dmed come coppia interna.
 I pesi della media sono le lunghezze delle strisce.(Sono escluse le strisce totalmente non compresse).
 bw Larghezza media resistente a taglio [cm] misurate parallel. all'asse neutro
 E' data dal rapporto tra l'area delle sopradette strisce resistenti e Dmed.
 Ctg Cotangente dell'angolo di inclinazione dei puntoni di calcestruzzo
 Acw Coefficiente maggiorativo della resistenza a taglio per compressione
 Ast Area staffe+legature strettam. necessarie a taglio per metro di pil.[cm²/m]
 A.Eff Area staffe+legature efficaci nella direzione del taglio di combinaz.[cm²/m]
 Tra parentesi è indicata la quota dell'area relativa alle sole legature.
 L'area della legatura è ridotta col fattore L/d_{max} con L =lungh.legat.proietta-
 ta sulla direz. del taglio e d_{max} = massima altezza utile nella direz.del taglio.

N°Comb	Ver	Ved	Vcd	Vwd	Dmed	bw	Ctg	Acw	Ast	A.Eff
1	S	243.00	4113.47	2181.84	123.3	114.4	2.500	1.000	2.2	20.1(0.0)
2	S	271.00	4113.47	2181.84	123.3	114.4	2.500	1.000	2.5	20.1(0.0)

COMBINAZIONI RARE IN ESERCIZIO - MASSIME TENSIONI NORMALI ED APERTURA FESSURE (NTC/EC2)

Ver S = comb. verificata/ N = comb. non verificata
 Sc max Massima tensione (positiva se di compressione) nel calcestruzzo [MPa]

Xc max, Yc max Ascissa, Ordinata [cm] del punto corrisp. a Sc max (sistema rif. X,Y,O)
 Ss min Minima tensione (negativa se di trazione) nell'acciaio [MPa]
 Xs min, Ys min Ascissa, Ordinata [cm] della barra corrisp. a Ss min (sistema rif. X,Y,O)
 Ac eff. Area di calcestruzzo [cm²] in zona tesa considerata aderente alle barre
 As eff. Area barre [cm²] in zona tesa considerate efficaci per l'apertura delle fessure

N°Comb	Ver	Sc max	Xc max	Yc max	Ss min	Xs min	Ys min	Ac eff.	As eff.
1	S	1.36	0.0	0.0	-47.0	0.0	-63.1	3034	37.2

COMBINAZIONI RARE IN ESERCIZIO - APERTURA FESSURE [§ 7.3.4 EC2]

Ver. La sezione viene assunta sempre fessurata anche nel caso in cui la trazione minima del calcestruzzo sia inferiore a f_{ctm}
 Esito della verifica
 e1 Massima deformazione unitaria di trazione nel calcestruzzo (trazione -) valutata in sezione fessurata
 e2 Minima deformazione unitaria di trazione nel calcestruzzo (trazione -) valutata in sezione fessurata
 k1 = 0.8 per barre ad aderenza migliorata [eq.(7.11)EC2]
 kt = 0.4 per comb. quasi permanenti / = 0.6 per comb. frequenti [cfr. eq.(7.9)EC2]
 k2 = 0.5 per flessione; $= (e1 + e2) / (2 * e1)$ per trazione eccentrica [eq.(7.13)EC2]
 k3 = 3.400 Coeff. in eq.(7.11) come da annessi nazionali
 k4 = 0.425 Coeff. in eq.(7.11) come da annessi nazionali
 Ø Diametro [mm] equivalente delle barre tese comprese nell'area efficace Ac eff [eq.(7.11)EC2]
 Cf Copriferro [mm] netto calcolato con riferimento alla barra più tesa
 e sm - e cm Differenza tra le deformazioni medie di acciaio e calcestruzzo [(7.8)EC2 e (C4.1.7)NTC]
 Tra parentesi: valore minimo = $0.6 S_{max} / E_s$ [(7.9)EC2 e (C4.1.8)NTC]
 sr max Massima distanza tra le fessure [mm]
 wk Apertura fessure in mm calcolata = $sr_{max} * (e_{sm} - e_{cm})$ [(7.8)EC2 e (C4.1.7)NTC]. Valore limite tra parentesi
 Mx fess. Componente momento di prima fessurazione intorno all'asse X [kNm]
 My fess. Componente momento di prima fessurazione intorno all'asse Y [kNm]

Comb.	Ver	e1	e2	k2	Ø	Cf	e sm - e cm	sr max	wk	Mx fess	My fess
1	S	-0.00026	0.00000	0.500	26.0	106	0.00014 (0.00014)	721	0.102 (990.00)	1197.54	0.00

COMBINAZIONI FREQUENTI IN ESERCIZIO - MASSIME TENSIONI NORMALI ED APERTURA FESSURE (NTC/EC2)

N°Comb	Ver	Sc max	Xc max	Yc max	Ss min	Xs min	Ys min	Ac eff.	As eff.
1	S	1.36	0.0	0.0	-47.0	0.0	-63.1	3034	37.2

COMBINAZIONI FREQUENTI IN ESERCIZIO - APERTURA FESSURE [§ 7.3.4 EC2]

Comb.	Ver	e1	e2	k2	Ø	Cf	e sm - e cm	sr max	wk	Mx fess	My fess
1	S	-0.00026	0.00000	0.500	26.0	106	0.00014 (0.00014)	721	0.102 (0.30)	1197.54	0.00

COMBINAZIONI QUASI PERMANENTI IN ESERCIZIO - MASSIME TENSIONI NORMALI ED APERTURA FESSURE (NTC/EC2)

N°Comb	Ver	Sc max	Xc max	Yc max	Ss min	Xs min	Ys min	Ac eff.	As eff.
1	S	1.36	0.0	0.0	-47.0	0.0	-63.1	3034	37.2

COMBINAZIONI QUASI PERMANENTI IN ESERCIZIO - APERTURA FESSURE [§ 7.3.4 EC2]

Comb.	Ver	e1	e2	k2	Ø	Cf	e sm - e cm	sr max	wk	Mx fess	My fess
1	S	-0.00026	0.00000	0.500	26.0	106	0.00014 (0.00014)	721	0.102 (0.20)	1197.54	0.00

DATI GENERALI SEZIONE GENERICA NON DISSIPATIVA IN C.A.

NOME SEZIONE: MU29_paramento

Descrizione Sezione:	
Metodo di calcolo resistenza:	Resistenze in campo sostanzialmente elastico
Tipologia sezione:	Sezione generica di Trave
Normativa di riferimento:	N.T.C.
Percorso sollecitazione:	A Sforzo Norm. costante
Condizioni Ambientali:	Moderat. aggressive
Tipo di sollecitazione:	Retta (asse neutro sempre parallelo all'asse X)
Riferimento Sforzi assegnati:	Assi x,y principali d'inerzia
Riferimento alla sismicit�:	Comb. non sismiche

CARATTERISTICHE DI RESISTENZA DEI MATERIALI IMPIEGATI

CALCESTRUZZO -	Classe:	C25/30	
	Resis. compr. di progetto fcd:	14.2	MPa
	Resis. compr. ridotta fcd':	7.1	MPa
	Def.unit. max resistenza ec2:	0.0020	
	Def.unit. ultima ecu:	0.0035	
	Diagramma tensione-deformaz.:	Parabola-Rettangolo	
	Modulo Elastico Normale Ec:	31475.0	MPa
	Resis. media a trazione fctm:	2.56	MPa
	Coeff. Omogen. S.L.E.:	15.00	
	Sc limite S.L.E. comb. Rare:	15.0	MPa
	Sc limite S.L.E. comb. Frequenti:	15.0	MPa
	Ap.Fessure limite S.L.E. comb. Frequenti:	0.300	mm
	Sc limite S.L.E. comb. Q.Permanenti:	11.3	MPa
	Ap.Fess.limite S.L.E. comb. Q.Perm.:	0.200	mm
	ACCIAIO -	Tipo:	B450C
Resist. caratt. snervam. fyk:		450.0	MPa
Resist. caratt. rottura ftk:		450.0	MPa
Resist. snerv. di progetto fyd:		391.3	MPa
Resist. ultima di progetto ftd:		391.3	MPa
Deform. ultima di progetto Epu:		0.068	
Modulo Elastico Ef		2000000	daN/cm ²
Diagramma tensione-deformaz.:		Bilineare finito	
Coeff. Aderenza istantaneo $\beta_1*\beta_2$:		1.00	
Coeff. Aderenza differito $\beta_1*\beta_2$:		0.50	
Sf limite S.L.E. Comb. Rare:	360.00	MPa	

CARATTERISTICHE DOMINIO CALCESTRUZZO

Forma del Dominio:	Poligonale
Classe Calcestruzzo:	C25/30

N°vertice:	X [cm]	Y [cm]
1	-50.0	0.0
2	-50.0	75.0
3	50.0	75.0
4	50.0	0.0

DATI BARRE ISOLATE

N°Barra	X [cm]	Y [cm]	DiamØ[mm]
1	-43.0	7.5	26
2	43.0	7.5	26
3	-43.0	67.8	20
4	43.0	67.8	20

DATI GENERAZIONI LINEARI DI BARRE

N°Gen. Numero assegnato alla singola generazione lineare di barre
 N°Barra Ini. Numero della barra iniziale cui si riferisce la generazione
 N°Barra Fin. Numero della barra finale cui si riferisce la generazione
 N°Barre Numero di barre generate equidistanti cui si riferisce la generazione
 Ø Diametro in mm delle barre della generazione

N°Gen.	N°Barra Ini.	N°Barra Fin.	N°Barre	Ø
1	1	2	3	26
2	3	4	3	20

ARMATURE A TAGLIO

Diametro staffe: 8 mm
 Passo staffe: 6.6 cm
 Staffe: Una sola staffa chiusa perimetrale

CALCOLO DI RESISTENZA - SFORZI PER OGNI COMBINAZIONE ASSEGNATA

N Sforzo normale [kN] applicato nel Baric. (+ se di compressione)
 Mx Momento flettente [daNm] intorno all'asse X di riferimento delle coordinate con verso positivo se tale da comprimere il lembo sup. della sez.
 Vy Componente del Taglio [kN] parallela all'asse Y di riferimento delle coordinate

N°Comb.	N	Mx	Vy
1	0.00	299.00	148.00
2	0.00	286.00	137.00

COMB. RARE (S.L.E.) - SFORZI PER OGNI COMBINAZIONE ASSEGNATA

N Sforzo normale [kN] applicato nel Baricentro (+ se di compressione)
 Mx Momento flettente [kNm] intorno all'asse X di riferimento (tra parentesi Mom.Fessurazione) con verso positivo se tale da comprimere il lembo superiore della sezione

N°Comb.	N	Mx	My
1	82.00	230.00	0.00

COMB. FREQUENTI (S.L.E.) - SFORZI PER OGNI COMBINAZIONE ASSEGNATA

N Sforzo normale [kN] applicato nel Baricentro (+ se di compressione)
 Mx Momento flettente [kNm] intorno all'asse X di riferimento (tra parentesi Mom.Fessurazione) con verso positivo se tale da comprimere il lembo superiore della sezione

N°Comb.	N	Mx	My
1	82.00	230.00 (297.31)	0.00 (0.00)

COMB. QUASI PERMANENTI (S.L.E.) - SFORZI PER OGNI COMBINAZIONE ASSEGNATA

N Sforzo normale [kN] applicato nel Baricentro (+ se di compressione)
 Mx Momento flettente [kNm] intorno all'asse X di riferimento (tra parentesi Mom.Fessurazione) con verso positivo se tale da comprimere il lembo superiore della sezione

N°Comb.	N	Mx	My
1	82.00	230.00 (297.31)	0.00 (0.00)

RISULTATI DEL CALCOLO

Sezione verificata per tutte le combinazioni assegnate

Copriferro netto minimo barre longitudinali:	5.7	cm
Interferro netto minimo barre longitudinali:	18.9	cm
Copriferro netto minimo staffe:	4.9	cm

VERIFICHE DI RESISTENZA IN PRESSO-TENSO FLESSIONE ALLO STATO LIMITE SOSTANZIALMENTE ELASTICO

Ver	S = combinazione verificata / N = combin. non verificata
N	Sforzo normale assegnato [kN] nel baricentro B sezione cls.(positivo se di compressione)
Mx	Componente del momento assegnato [kNm] riferito all'asse x princ. d'inerzia
N Res	Sforzo normale resistente [kN] nel baricentro B sezione cls.(positivo se di compress.)
Mx Res	Momento flettente resistente [kNm] riferito all'asse x princ. d'inerzia
Mis.Sic.	Misura sicurezza = rapporto vettoriale tra (N r,Mx Res,My Res) e (N,Mx,My) Verifica positiva se tale rapporto risulta >=1.000
As Tesa	Area armature trave [cm ²] in zona tesa. [Tra parentesi l'area minima ex (4.1.15)NTC]

N°Comb	Ver	N	Mx	N Res	Mx Res	Mis.Sic.	As Tesa
1	S	0.00	299.00	0.00	632.27	2.11	26.5(10.1)
2	S	0.00	286.00	0.00	632.27	2.21	26.5(10.1)

METODO AGLI STATI LIMITE IN CAMPO SOSTANZIALMENTE ELASTICO - DEFORMAZIONI UNITARIE ALLO STATO LIMITE

ec max	Deform. unit. massima del calcestruzzo a compressione
x/d	Rapporto di duttilità [§ 4.1.2.1.2.1 NTC] deve essere < 0.45
Xc max	Ascissa in cm della fibra corrisp. a ec max (sistema rif. X,Y,O sez.)
Yc max	Ordinata in cm della fibra corrisp. a ec max (sistema rif. X,Y,O sez.)
es min	Deform. unit. minima nell'acciaio (negativa se di trazione)
Xs min	Ascissa in cm della barra corrisp. a es min (sistema rif. X,Y,O sez.)
Ys min	Ordinata in cm della barra corrisp. a es min (sistema rif. X,Y,O sez.)
es max	Deform. unit. massima nell'acciaio (positiva se di compress.)
Xs max	Ascissa in cm della barra corrisp. a es max (sistema rif. X,Y,O sez.)
Ys max	Ordinata in cm della barra corrisp. a es max (sistema rif. X,Y,O sez.)

N°Comb	ec max	x/d	Xc max	Yc max	es min	Xs min	Ys min	es max	Xs max	Ys max
1	0.00076	0.280	-50.0	75.0	0.00047	-43.0	67.8	-0.00196	-43.0	7.5
2	0.00076	0.280	-50.0	75.0	0.00047	-43.0	67.8	-0.00196	-43.0	7.5

POSIZIONE ASSE NEUTRO PER OGNI COMB. DI RESISTENZA

a, b, c	Coeff. a, b, c nell'eq. dell'asse neutro aX+bY+c=0 nel rif. X,Y,O gen.
x/d	Rapp. di duttilità (travi e solette)[§ 4.1.2.1.2.1 NTC]: deve essere < 0.45
C.Rid.	Coeff. di riduz. momenti per sola flessione in travi continue

N°Comb	a	b	c	x/d	C.Rid.
1	0.000000000	0.000040269	-0.002258518	0.280	0.790
2	0.000000000	0.000040269	-0.002258518	0.280	0.790

VERIFICHE A TAGLIO

Diam. Staffe:	8	mm
Passo staffe:	6.6	cm [Passo massimo di normativa = 33.0 cm]

Ver	S = comb. verificata a taglio / N = comb. non verificata
Ved	Taglio di progetto [kN] = Vy ortogonale all'asse neutro
Vcd	Taglio compressione resistente [kN] lato calcestruzzo [formula (4.1.28)NTC]
Vvd	Taglio resistente [kN] assorbito dalle staffe [(4.1.18) NTC]
Dmed	Altezza utile media pesata [cm] valutata lungo strisce ortog. all'asse neutro. La resistenza delle travi è calcolata assumendo il valore di 0.9 Dmed come coppia interna. I pesi della media sono le lunghezze delle strisce.(Sono escluse le strisce totalmente non compresse).
bw	Larghezza media resistente a taglio [cm] misurate parallel. all'asse neutro E' data dal rapporto tra l'area delle sopradette strisce resistenti e Dmed.
Ctg	Cotangente dell'angolo di inclinazione dei puntoni di calcestruzzo
Acw	Coefficiente maggiorativo della resistenza a taglio per compressione
Ast	Area staffe+legature strettam. necessarie a taglio per metro di pil.[cm ² /m]
A.Eff	Area staffe+legature efficaci nella direzione del taglio di combinaz.[cm ² /m]

Tra parentesi è indicata la quota dell'area relativa alle sole legature.
L'area della legatura è ridotta col fattore L/d_max con L=lungh.legat.proiettata sulla direz. del taglio e d_max= massima altezza utile nella direz.del taglio.

N°Comb	Ver	Ved	Vcd	Vwd	Dmed	bw	Ctg	Acw	Ast	A.Eff
1	S	148.00	1494.12	911.92	68.0	100.0	2.500	1.000	2.5	15.2(0.0)
2	S	137.00	1494.12	911.92	68.0	100.0	2.500	1.000	2.3	15.2(0.0)

COMBINAZIONI RARE IN ESERCIZIO - MASSIME TENSIONI NORMALI ED APERTURA FESSURE (NTC/EC2)

Ver	S = comb. verificata/ N = comb. non verificata
Sc max	Massima tensione (positiva se di compressione) nel calcestruzzo [MPa]
Xc max, Yc max	Ascissa, Ordinata [cm] del punto corrisp. a Sc max (sistema rif. X,Y,O)
Ss min	Minima tensione (negativa se di trazione) nell'acciaio [MPa]
Xs min, Ys min	Ascissa, Ordinata [cm] della barra corrisp. a Ss min (sistema rif. X,Y,O)
Ac eff.	Area di calcestruzzo [cm²] in zona tesa considerata aderente alle barre
As eff.	Area barre [cm²] in zona tesa considerate efficaci per l'apertura delle fessure

N°Comb	Ver	Sc max	Xc max	Yc max	Ss min	Xs min	Ys min	Ac eff.	As eff.
1	S	3.61	-50.0	75.0	-127.1	21.5	7.5	1850	26.5

COMBINAZIONI RARE IN ESERCIZIO - APERTURA FESSURE [§ 7.3.4 EC2]

Ver.	La sezione viene assunta sempre fessurata anche nel caso in cui la trazione minima del calcestruzzo sia inferiore a fctm
e1	Esito della verifica
e2	Massima deformazione unitaria di trazione nel calcestruzzo (trazione -) valutata in sezione fessurata
k1	Minima deformazione unitaria di trazione nel calcestruzzo (trazione -) valutata in sezione fessurata
kt	= 0.8 per barre ad aderenza migliorata [eq.(7.11)EC2]
k2	= 0.4 per comb. quasi permanenti / = 0.6 per comb.frequenti [cfr. eq.(7.9)EC2]
k3	= 0.5 per flessione; =(e1 + e2)/(2*e1) per trazione eccentrica [eq.(7.13)EC2]
k4	= 3.400 Coeff. in eq.(7.11) come da annessi nazionali
Ø	= 0.425 Coeff. in eq.(7.11) come da annessi nazionali
Cf	Diametro [mm] equivalente delle barre tese comprese nell'area efficace Ac eff [eq.(7.11)EC2]
e sm - e cm	Copriferro [mm] netto calcolato con riferimento alla barra più tesa
sr max	Differenza tra le deformazioni medie di acciaio e calcestruzzo [(7.8)EC2 e (C4.1.7)NTC]
wk	Tra parentesi: valore minimo = 0.6 Smax / Es [(7.9)EC2 e (C4.1.8)NTC]
Mx fess.	Massima distanza tra le fessure [mm]
My fess.	Apertura fessure in mm calcolata = sr max*(e_sm - e_cm) [(7.8)EC2 e (C4.1.7)NTC]. Valore limite tra parentesi
	Componente momento di prima fessurazione intorno all'asse X [kNm]
	Componente momento di prima fessurazione intorno all'asse Y [kNm]

Comb.	Ver	e1	e2	k2	Ø	Cf	e sm - e cm	sr max	wk	Mx fess	My fess
1	S	-0.00074	0.00000	0.500	26.0	62	0.00038 (0.00038)	519	0.198 (990.00)	297.31	0.00

COMBINAZIONI FREQUENTI IN ESERCIZIO - MASSIME TENSIONI NORMALI ED APERTURA FESSURE (NTC/EC2)

N°Comb	Ver	Sc max	Xc max	Yc max	Ss min	Xs min	Ys min	Ac eff.	As eff.
1	S	3.61	-50.0	75.0	-127.1	21.5	7.5	1850	26.5

COMBINAZIONI FREQUENTI IN ESERCIZIO - APERTURA FESSURE [§ 7.3.4 EC2]

Comb.	Ver	e1	e2	k2	Ø	Cf	e sm - e cm	sr max	wk	Mx fess	My fess
1	S	-0.00074	0.00000	0.500	26.0	62	0.00038 (0.00038)	519	0.198 (0.30)	297.31	0.00

COMBINAZIONI QUASI PERMANENTI IN ESERCIZIO - MASSIME TENSIONI NORMALI ED APERTURA FESSURE (NTC/EC2)

N°Comb	Ver	Sc max	Xc max	Yc max	Ss min	Xs min	Ys min	Ac eff.	As eff.
1	S	3.61	-50.0	75.0	-127.1	21.5	7.5	1850	26.5

COMBINAZIONI QUASI PERMANENTI IN ESERCIZIO - APERTURA FESSURE [§ 7.3.4 EC2]

Comb.	Ver	e1	e2	k2	Ø	Cf	e sm - e cm	sr max	wk	Mx fess	My fess
-------	-----	----	----	----	---	----	-------------	--------	----	---------	---------

1	S	-0.00074	0.00000	0.500	26.0	62	0.00038 (0.00038)	519	0.198 (0.20)	297.31	0.00
---	---	----------	---------	-------	------	----	-------------------	-----	--------------	--------	------